Джей Орир

ФИЗИКА



ПОЛНЫЙ КУРС

примеры, задачи, решения

Книга посвящена Э. Ферми

Ферми (Fermi) Энрико (1901–1954) – итальянский физик, член Национальной академии деи Линчей с 1935 года, с 1926 года — профессор Римского университета, с 1938 года жил и работал в США. В 1939–1942 годах — профессор Колумбийского, а в 1942–1945 годах — Чикагского университетов. С 1946 года — профессор Института ядерных исследований в Чикаго. Иностранный член Академии наук СССР с 1929 года. Лауреат Нобелевской премии по физике за 1938 год.

Один из создателей ядерной и нейтронной физики, основатель научных школ в Италии и США. Во время Второй мировой войны — один из научных руководителей Манхеттенского проекта (1942–1945) по созданию атомной бомбы в интересах государств — участников антигитлеровской коалиции.

Научные интересы Э. Ферми были весьма разносторонни, а достижения в каждой из разрабатываемых им областей — фундаментальны. В 1925 году независимо от П. А. М. Дирака он разработал квантовую статистику частиц с полуцелым спином (известную как статистику Ферми–Дирака), а в 1928 году независимо от Л. Томаса дал схему расчета многоэлектронных атомов (названную позднее теорией Томаса–Ферми). В 1933–1934 годах Э. Ферми создал теорию бета-распада нейтрона, открыл искусственную нейтронную радиоактивность и положил начало физике нейтрона (открытого в 1932 году Дж. Чедвиком). В 1940 году Э. Ферми получил первый трансурановый элемент — нептуний. 2 декабря 1942 года он впервые осуществил предсказанную им еще в 1939 году цепную ядерную реакцию в сконструированном им ядерном реакторе.

В 50-е годы XX века Э. Ферми активно занимался исследованиями космических лучей и разработал теорию их происхождения. В его честь назван радиоактивный химический элемент — фермий — с атомным номером 100, а также внесистемная единица длины 1 ферми = 10^{-15} м, широко применяемая при исследованиях в ядерных и субъядерных пространственных масштабах.

Джей Орир

ФИЗИКА

ПОЛНЫЙ КУРС

примеры, задачи, решения

Учебник

УНИВЕРСИТЕТ
книжный дом

УДК 530
ББК 22.3
О-66

Орир Дж.
О-66 Физика : учебник / Джей Орир ; пер. с англ. и научная редактура Ю. Г. Рудого и А. В. Беркова. — М. : КДУ, 2010. — 752 с. : табл., ил.

ISBN 978-5-98227-366-6

Книга известного физика из США Дж. Орира представляет собой один из наиболее удачных в мировой литературе вводных курсов по физике, охватывающих диапазон от физики как школьного предмета до доступного описания ее последних достижений. Эта книга занимает почетное место на книжной полке уже нескольких поколений российских физиков, причем для данного издания книга существенно дополнена и осовременена.

Автор книги – ученик выдающегося физика XX века, Нобелевского лауреата Э. Ферми – в течение многих лет читал свой курс студентам Корнельского университета. Этот курс может служить полезным практическим введением к широко известным в России «Фейнмановским лекциям по физике» и «Берклиевскому курсу физики».

По своему уровню и содержанию книга Орира доступна уже школьникам старших классов, но может представлять интерес и для студентов, аспирантов, преподавателей, а также всех тех, кто желает не просто систематизировать и пополнить свои знания в области физики, но и научиться успешно решать широкий класс физических задач.

УДК 530
ББК 22.3

Учебное издание

Джей Орир
ФИЗИКА
Учебник

Зав. редакцией *Игнатова Е. С.*, ведущий редактор *Климкин М. С.*, корректоры *Юрьева В. И.*, *Макарова Л. Н.*, дизайн обложки *Терехова Г. Д.*, компьютерная верстка *Комаровой Н. Ю.*
Автор фрактала, используемого в оформлении обложки, *Ермушев А. В.*
Директор издательства *Чепыжов В. В.*

Подписано в печать 01.11.2009. Гарнитура Newton. Формат 70x100/16. Объем 47,0 печ. л., 61,1 усл. печ. л. Бумага офсетная. Тираж 2000 экз. Заказ №

ООО «Издательство «КДУ». 119234, Москва, а/я 587. Тел./факс: (495) 939-57-32, 939-40-51; e-mail: kdu@kdu.ru; www.kdu.ru.

Отпечатано в полном соответствии с качеством предоставленных диапозитивов

ISBN 978-5-98227-366-6

© Орир Дж., наследники, 2010
© Рудой Ю. Г., Берков А. В., перевод, 2010
© Издательство «КДУ», 2010

ОГЛАВЛЕНИЕ

Предисловие редактора русского издания 13
Предисловие 15
1. ВВЕДЕНИЕ 19
§ 1. Что такое физика? 19
§ 2. Единицы измерения 21
§ 3. Анализ размерностей 24
§ 4. Точность в физике 26
§ 5. Роль математики в физике 28
§ 6. Наука и общество 30
Приложение. Правильные ответы, не содержащие некоторых распространенных ошибок 31
Упражнения 31
Задачи 32
2. ОДНОМЕРНОЕ ДВИЖЕНИЕ 34
§ 1. Скорость 34
§ 2. Средняя скорость 36
§ 3. Ускорение 37
§ 4. Равномерно ускоренное движение 39
Основные выводы 43
Упражнения 43
Задачи 44
3. ДВУМЕРНОЕ ДВИЖЕНИЕ 46
§ 1. Траектории свободного падения 46
§ 2. Векторы 47
§ 3. Движение снаряда 52
§ 4. Равномерное движение по окружности 24
§ 5. Искусственные спутники Земли 55
Основные выводы 58
Упражнения 58
Задачи 59
4. ДИНАМИКА 61
§ 1. Введение 61
§ 2. Определения основных понятий 62
§ 3. Законы Ньютона 63
§ 4. Единицы силы и массы 66
§ 5. Контактные силы (силы реакции и трения) 67
§ 6. Решение задач 70
§ 7. Машина Атвуда 73
§ 8. Конический маятник 74
§ 9. Закон сохранения импульса 75
Основные выводы 77
Упражнения 78
Задачи 79

5. ГРАВИТАЦИЯ 82
§ 1. Закон всемирного тяготения 82
§ 2. Опыт Кавендиша 85
§ 3. Законы Кеплера для движений планет 86
§ 4. Вес 88
§ 5. Принцип эквивалентности 91
§ 6. Гравитационное поле внутри сферы 92
Основные выводы 93
Упражнения 94
Задачи 95
6. РАБОТА И ЭНЕРГИЯ 98
§ 1. Введение 98
§ 2. Работа 98
§ 3. Мощность 100
§ 4. Скалярное произведение 101
§ 5. Кинетическая энергия 103
§ 6. Потенциальная энергия 105
§ 7. Гравитационная потенциальная энергия 107
§ 8. Потенциальная энергия пружины 108
Основные выводы 109
Упражнения 109
Задачи 111
7. ЗАКОН СОХРАНЕНИЯ ЭНЕРГИИ 113
§ 1. Сохранение механической энергии 114
§ 2. Соударения 117
§ 3. Сохранение гравитационной энергии 120
§ 4. Диаграммы потенциальной энергии 122
§ 5. Сохранение полной энергии 123
§ 6. Энергия в биологии 126
§ 7. Энергия и автомобиль 128
Основные выводы 131
Приложение. Закон сохранения энергии для системы N частиц 131
Упражнения 132
Задачи 132
8. РЕЛЯТИВИСТСКАЯ КИНЕМАТИКА 136
§ 1. Введение 136
§ 2. Постоянство скорости света 137
§ 3. Замедление времени 142
§ 4. Преобразования Лоренца 145
§ 5. Одновременность 148
§ 6. Оптический эффект Доплера 149
§ 7. Парадокс близнецов 151
Основные выводы 154
Упражнения 154
Задачи 155
9. РЕЛЯТИВИСТСКАЯ ДИНАМИКА 159
§ 1. Релятивистское сложение скоростей 159
§ 2. Определение релятивистского импульса 161
§ 3. Закон сохранения импульса и энергии 162
§ 4. Эквивалентность массы и энергии 164
§ 5. Кинетическая энергия 166
§ 6. Масса и сила 167
§ 7. Общая теория относительности 168
Основные выводы 170

Приложение. Преобразование энергии и импульса 170
Упражнения 171
Задачи 172

10. ВРАЩАТЕЛЬНОЕ ДВИЖЕНИЕ 175
§ 1. Кинематика вращательного движения 175
§ 2. Векторное произведение 176
§ 3. Момент импульса 177
§ 4. Динамика вращательного движения 179
§ 5. Центр масс 182
§ 6. Твердые тела и момент инерции 184
§ 7. Статика 187
§ 8. Маховики 189
Основные выводы 191
Упражнения 191
Задачи 192

11. КОЛЕБАТЕЛЬНОЕ ДВИЖЕНИЕ 196
§ 1. Гармоническая сила 196
§ 2. Период колебаний 198
§ 3. Маятник 200
§ 4. Энергия простого гармонического движения 202
§ 5. Малые колебания 203
§ 6. Интенсивность звука 206
Основные выводы 206
Упражнения 208
Задачи 209

12. КИНЕТИЧЕСКАЯ ТЕОРИЯ 213
§ 1. Давление и гидростатика 213
§ 2. Уравнение состояния идеального газа 217
§ 3. Температура 219
§ 4. Равномерное распределение энергии 222
§ 5. Кинетическая теория тепла 224
Основные выводы 226
Упражнения 226
Задачи 228

13. ТЕРМОДИНАМИКА 230
§ 1. Первый закон термодинамики 230
§ 2. Гипотеза Авогадро 231
§ 3. Удельная теплоемкость 232
§ 4. Изотермическое расширение 235
§ 5. Адиабатическое расширение 236
§ 6. Бензиновый двигатель 238
Основные выводы 240
Упражнения 241
Задачи 241

14. ВТОРОЙ ЗАКОН ТЕРМОДИНАМИКИ 244
§ 1. Машина Карно 244
§ 2. Тепловое загрязнение окружающей среды 246
§ 3. Холодильники и тепловые насосы 247
§ 4. Второй закон термодинамики 249
§ 5. Энтропия 252
§ 6. Обращение времени 256
Основные выводы 259
Упражнения 259
Задачи 260

15. ЭЛЕКТРОСТАТИЧЕСКАЯ СИЛА 262
§ 1. Электрический заряд 262
§ 2. Закон Кулона 263
§ 3. Электрическое поле 266
§ 4. Электрические силовые линии 268
§ 5. Теорема Гаусса 270
Основные выводы 275
Упражнения 275
Задачи 276
16. ЭЛЕКТРОСТАТИКА 279
§ 1. Сферическое распределение заряда 279
§ 2. Линейное распределение заряда 282
§ 3. Плоское распределение заряда 283
§ 4. Электрический потенциал 286
§ 5. Электрическая емкость 291
§ 6. Диэлектрики 294
Основные выводы 296
Упражнения 297
Задачи 299
17. ЭЛЕКТРИЧЕСКИЙ ТОК И МАГНИТНАЯ СИЛА 302
§ 1. Электрический ток 302
§ 2. Закон Ома 303
§ 3. Цепи постоянного тока 306
§ 4. Эмпирические данные о магнитной силе 310
§ 5. Вывод формулы для магнитной силы 312
§ 6. Магнитное поле 313
§ 7. Единицы измерения магнитного поля 316
§ 8. Релятивистское преобразование величин $\mathfrak{B}$ и E 318
Основные выводы 320
Приложение. Релятивистские преобразования тока и заряда 321
Упражнения 322
Задачи 323
18. МАГНИТНЫЕ ПОЛЯ 327
§ 1. Закон Ампера 327
§ 2. Некоторые конфигурации токов 329
§ 3. Закон Био-Савара 333
§ 4. Магнетизм 336
§ 5. Уравнения Максвелла для постоянных токов 339
Основные выводы 339
Упражнения 340
Задачи 341
19. ЭЛЕКТРОМАГНИТНАЯ ИНДУКЦИЯ 344
§ 1. Двигатели и генераторы 344
§ 2. Закон Фарадея 346
§ 3. Закон Ленца 348
§ 4. Индуктивность 350
§ 5. Энергия магнитного поля 352
§ 6. Цепи переменного тока 355
§ 7. Цепи RC и RL 359
Основные выводы 362
Приложение. Контур произвольной формы 363
Упражнения 364
Задачи 366

20. ЭЛЕКТРОМАГНИТНОЕ ИЗЛУЧЕНИЕ И ВОЛНЫ 369
§ 1. Ток смещения 369
§ 2. Уравнения Максвелла в общем виде 371
§ 3. Электромагнитное излучение 373
§ 4. Излучение плоского синусоидального тока 374
§ 5. Несинусоидальный ток; разложение Фурье 377
§ 6. Бегущие волны 379
§ 7. Перенос энергии волнами 383
Основные выводы 384
Приложение. Вывод волнового уравнения 385
Упражнения 387
Задачи 387

21. ВЗАИМОДЕЙСТВИЕ ИЗЛУЧЕНИЯ С ВЕЩЕСТВОМ 390
§ 1. Энергия излучения 390
§ 2. Импульс излучения 393
§ 3. Отражение излучения от хорошего проводника 394
§ 4. Взаимодействие излучения с диэлектриком 395
§ 5. Показатель преломления 396
§ 6. Электромагнитное излучение в ионизованной среде . . . 400
§ 7. Поле излучения точечных зарядов 401
Основные выводы 404
Приложение 1. Метод фазовых диаграмм 405
Приложение 2. Волновые пакеты и групповая скорость 406
Упражнения 410
Задачи 410

22. ИНТЕРФЕРЕНЦИЯ ВОЛН 414
§ 1. Стоячие волны 414
§ 2. Интерференция волн, излучаемых двумя точечными источниками 417
§ 3. Интерференция волн от большого числа источников . . 419
§ 4. Дифракционная решетка 421
§ 5. Принцип Гюйгенса 423
§ 6. Дифракция на отдельной щели 425
§ 7. Когерентность и некогерентность 427
Основные выводы 430
Упражнения 431
Задачи 432

23. ОПТИКА 434
§ 1. Голография 434
§ 2. Поляризация света 438
§ 3. Дифракция на круглом отверстии 443
§ 4. Оптические приборы и их разрешающая способность 444
§ 5. Дифракционное рассеяние 448
§ 6. Геометрическая оптика 451
Основные выводы 455
Приложение. Закон Брюстера 455
Упражнения 456
Задачи 457

24. ВОЛНОВАЯ ПРИРОДА ВЕЩЕСТВА 460
§ 1. Классическая и современная физика 460
§ 2. Фотоэффект 461
§ 3. Эффект Комптона 465
§ 4. Корпускулярно-волновой дуализм 465
§ 5. Великий парадокс 466
§ 6. Дифракция электронов 470
Основные выводы 472
Упражнения 473
Задачи 473

25. КВАНТОВАЯ МЕХАНИКА 475
§ 1. Волновые пакеты 475
§ 2. Принцип неопределенности 477
§ 3. Частица в ящике 481
§ 4. Уравнение Шредингера 485
§ 5. Потенциальные ямы конечной глубины 486
§ 6. Гармонический осциллятор 489
Основные выводы 491
Упражнения 491
Задачи 492

26. АТОМ ВОДОРОДА 495
§ 1. Приближенная теория атома водорода 495
§ 2. Уравнение Шредингера в трех измерениях 496
§ 3. Строгая теория атома водорода 498
§ 4. Орбитальный момент импульса 500
§ 5. Испускание фотонов 504
§ 6. Вынужденное излучение 508
§ 7. Боровская модель атома 509
Основные выводы 512
Упражнения 513
Задачи 514

27. АТОМНАЯ ФИЗИКА 516
§ 1. Принцип запрета Паули 516
§ 2. Многоэлектронные атомы 517
§ 3. Периодическая система элементов 521
§ 4. Рентгеновское излучение 525
§ 5. Связь в молекулах 526
§ 6. Гибридизация 528
Основные выводы 531
Упражнения 531
Задачи 532

28. КОНДЕНСИРОВАННЫЕ СРЕДЫ 533
§ 1. Типы связи 533
§ 2. Теория свободных электронов в металлах 536
§ 3. Электропроводность 540
§ 4. Зонная теория твердых тел 544
§ 5. Физика полупроводников 550
§ 6. Сверхтекучесть 557
§ 7. Проникновение сквозь барьер 558
Основные выводы 560
П р и л о ж е н и е. Различные применения *p*-*n*-перехода (в радио и телевидении) 562
Упражнения 564
Задачи 566

29. ЯДЕРНАЯ ФИЗИКА 568
§ 1. Размеры ядер 568
§ 2. Фундаментальные силы, действующие между двумя нуклонами 573
§ 3. Строение тяжелых ядер 576
§ 4. Альфа-распад 583
§ 5. Гамма- и бета-распады 586
§ 6. Деление ядер 588
§ 7. Синтез ядер 592
Основные выводы 596
Упражнения 597
Задачи 597
30. АСТРОФИЗИКА 600
§ 1. Источники энергии звезд 600
§ 2. Эволюция звезд 603
§ 3. Квантово-механическое давление вырожденного ферми-газа 605
§ 4. Белые карлики 607
§ 6. Черные дыры 609
§ 7. Нейтронные звезды 611
31. ФИЗИКА ЭЛЕМЕНТАРНЫХ ЧАСТИЦ 615
§ 1. Введение 615
§ 2. Фундаментальные частицы 620
§ 3. Фундаментальные взаимодействия 622
§ 4. Взаимодействия между фундаментальными частицами как обмен квантами поля-переносчика 623
§ 5. Симметрии в мире частиц и законы сохранения 636
§ 6. Квантовая электродинамика как локальная калибровочная теория 629
§ 7. Внутренние симметрии адронов 650
§ 8. Кварковая модель адронов 636
§ 9. Цвет. Квантовая хромодинамика 641
§ 10. «Видны» ли кварки и глюоны? 650
§ 11. Слабые взаимодействия 653
§ 12. Несохранение четности 656
§ 13. Промежуточные бозоны и неперенормируемость теории 660
§ 14. Стандартная модель 662
§ 15. Новые идеи: ТВО, суперсимметрия, суперструны 674
32. ГРАВИТАЦИЯ И КОСМОЛОГИЯ 678
§ 1. Введение 678
§ 2. Принцип эквивалентности 679
§ 3. Метрические теории тяготения 680
§ 4. Структура уравнений ОТО. Простейшие решения 684
§ 5. Проверка принципа эквивалентности 685
§ 6. Как оценить масштаб эффектов ОТО? 687
§ 7. Классические тесты ОТО 688
§ 8. Основные положения современной космологии 694
§ 9. Модель горячей Вселенной («стандартная» космологическая модель) 703
§ 10. Возраст Вселенной 705
§ 11. Критическая плотность и фридмановские сценарии эволюции 705
§ 12. Плотность материи во Вселенной и скрытая масса 708

§ 13. Сценарий первых трех минут эволюции Вселенной ... 710
§ 14. Вблизи самого начала ... 718
§ 15. Сценарий инфляции ... 722
§ 16. Загадка темной материи ... 726
ПРИЛОЖЕНИЕ А ... 730
Физические константы ... 730
Некоторые астрономические сведения ... 730
ПРИЛОЖЕНИЕ Б ... 731
Единицы измерения основных физических величин ... 731
Единицы измерения электрических величин ... 731
ПРИЛОЖЕНИЕ В ... 732
Геометрия ... 732
Тригонометрия ... 732
Квадратное уравнение ... 732
Некоторые производные ... 733
Некоторые неопределенные интегралы (с точностью до произвольной постоянной) ... 733
Произведения векторов ... 733
Греческий алфавит ... 733
ОТВЕТЫ К УПРАЖНЕНИЯМ И ЗАДАЧАМ ... 734
УКАЗАТЕЛЬ ... 746

Предисловие редактора русского переиздания

В настоящее время не существует практически ни одной области естественнонаучного или технического знания, где в той или иной степени не использовались бы достижения физики. Более того, эти достижения все быстрее проникают и в традиционно гуманитарные науки, что нашло отражение во включении в учебные планы всех гуманитарных специальностей российских вузов дисциплины «Концепции современного естествознания».

Предлагаемая вниманию российского читателя книга Дж. Орира была впервые издана в России (точнее, в СССР) более четверти века назад, но, как это бывает с действительно хорошими книгами, до сих пор не потеряла интереса и актуальности. Секрет жизнестойкости книги Орира состоит в том, что она удачно заполняет нишу, неизменно востребованную все новыми поколениями читателей, главным образом молодых.

Не будучи учебником в обычном смысле слова — и без претензий на то, чтобы его заменить — книга Орира предлагает достаточно полное и последовательное изложение всего курса физики на вполне элементарном уровне. Этот уровень не отягощен сложной математикой и в принципе доступен каждому любознательному и трудолюбивому школьнику и тем более студенту.

Легкий и свободный стиль изложения, не жертвующий логикой и не избегающий трудных вопросов, продуманный подбор иллюстраций, схем и графиков, использование большого числа примеров и задач, имеющих, как правило, практическое значение и соответствующих жизненному опыту учащихся — все это делает книгу Орира незаменимым пособием для самообразования или дополнительного чтения.

Разумеется, она может быть с успехом использована в качестве полезного дополнения к обычным учебникам и пособиям по физике, прежде всего в физико-математических классах, лицеях и колледжах. Книгу Орира можно также рекомендовать студентам младших курсов высших учебных заведений, в которых физика не является профилирующей дисциплиной.

Мы не будем излагать здесь методические взгляды и установки автора на преподавание физики — он сам блестяще осуществил это в своем предисловии, с которым мы настоятельно рекомендуем ознакомиться читателю. Отметим лишь, что, по словам автора, его книга предназначена не только для того, чтобы заложить теоретические основы будущей профессии студентов. Она призвана также

способствовать общему культурному росту человека, который будет занят в сфере науки и техники.

Автор книги Джей Орир — известный физик-экспериментатор в области ядерной физики, профессор Корнеллского университета в США. Орир считает себя (и действительно является) прямым последователем и учеником выдающегося физика XX века — теоретика и экспериментатора Энрико Ферми. Как утверждает Орир, он полностью придерживается взглядов Ферми на то, как следует излагать и преподавать физику.

Это дает нам моральное право считать книгу Орира своего рода «Фермиевским курсом физики» — подобно тому, как созданный впоследствии группой авторов из университета в Беркли (США) многотомный курс физики стал называться «Берклиевским». Заметим, что именно этот курс может быть рекомендован заинтересованному читателю в качестве дальнейшего чтения наряду с давно и хорошо известным в России «Фейнмановским курсом лекций по физике».

При подготовке настоящего переиздания мы практически оставили без изменений удачно построенный Дж. Ориром основной корпус теоретических сведений, примеров, задач и упражнений — он сохраняет свое значение до тех пор, пока неизменными остаются основы классической (а в определенной степени и квантовой) физики.

Некоторые главы, в которых автор касался технических приложений излагаемых физических принципов, были несколько дополнены нами с учетом достижений физики за период между двумя изданиями. В ряде случаев были даны также небольшие терминологические пояснения и уточнены значения некоторых физических величин (например, число открытых к настоящему времени элементов периодической системы Менделеева).

Естественно, наибольшим изменениям и дополнениям подверглись (с любезного разрешения автора) заключительные главы книги, посвященные астрофизике и космологии (в данном издании разделенные на две гл. 30 и 32), а также физике элементарных частиц (гл. 31). Указанные главы в несколько расширенном виде написаны заново известным специалистом в этих областях физики А. В. Берковым. Мы стремились и в этих главах по возможности следовать авторскому замыслу и стилю, сохранив, в частности, некоторые не потерявшие актуальности сведения.

В настоящем переиздании сохранен (с точностью до редакционных поправок и исправления опечаток) оригинальный перевод, выполненный для предыдущего издания А. Г. Башкировым (гл. 1–4, 12–14), Ю. Г. Рудым (гл. 5–11), П. С. Барановым (гл. 15–20) и Е. М. Лейкиным (гл. 21–29).

Ю. Г. Рудой

Предисловие автора

Этот учебник предназначен для студентов технических и естественнонаучных специальностей, которым читается двух- или трехсеместровый вводный курс физики. Он не требует предварительного знакомства с дифференциальным и интегральным исчислениями, однако чтение лекций на основе данной книги должно сопровождаться изучением курса математического анализа. По замыслу автора уровень физических и математических понятий, используемых в этом учебнике, не должен превышать общепринятый для популярных пособий. Однако от большинства из них эту книгу отличают два аспекта.

1. В ней дается единое изложение современной физики.

2. Во всех случаях, когда это возможно, законы физики выводятся из основных принципов; таким образом, всюду подчеркивается различие между основными принципами и следствиями из них.

В книге прослеживаются взаимосвязи различных областей физики (а также науки и техники). Независимые на первый взгляд разделы воссоединяются друг с другом и образуют единую картину. При введении каждого нового «закона», например закона магнитной силы, действующей на движущийся заряд, или закона равнораспределения энергии, автор стремится разъяснить, действительно ли это новый закон, или же его можно вывести, используя уже известный материал. В большинстве случаев, проделав простые действия, удается проследить логическую структуру и замечательное единство всего того, что в противном случае выглядело бы просто как энциклопедическое собрание разнообразных явлений и законов.

Например, такие законы, как закон Ампера, закон Фарадея, закон равнораспределения энергии, закон действия магнитной силы, закон Ома, закон уменьшения скорости распространения света в веществе, закон Гука и принцип Гюйгенса, по возможности выводятся из фундаментальных законов. Они не рассматриваются как новые, не зависящие от других законы физики. В любом случае, где это возможно, я считал необходимым отвечать на вопрос «почему?». Если вывод оказывается слишком сложным, то читателю по крайней мере сообщается, что такой вывод возможен, и приводятся соответствующие разумные соображения. Эти «вторичные законы» позволяют предсказать экспериментальные результаты, от которых в конечном счете зависит «выживание» основных законов.

Если весь электромагнетизм приходится «выводить» из закона Кулона, то полезно прежде всего осмыслить специальную теорию

относительности. Поэтому, прежде чем излагать теорию электромагнетизма (гл. 15–21), в гл. 8 и 9 мы излагаем теорию относительности. Тем не менее главы, посвященные электромагнетизму, написаны таким образом, что желающие могут пропустить гл. 8 и 9. По-настоящему теория относительности нам понадобится не ранее гл. 24.

Для того чтобы дать правильную картину строения вещества и многих других физических явлений, нам потребуется квантовая теория, поэтому в гл. 24 и 25 рассматриваются основные принципы этой теории. В последующих главах продолжается дальнейшее изучение квантовой теории применительно к атомной физике, физике твердого тела, ядерной физике, астрофизике и физике элементарных частиц. На таком фундаменте — квантовой теории и теории относительности — удается даже провести простые вычисления радиуса и свойств нейтронных звезд и черных дыр (гл. 30).

Некоторых читателей может смутить рассмотрение в этом учебнике таких актуальных вопросов современной физики, как нейтронные звезды, черные дыры, энергия Ферми, сохранение четности, кварки, голография, замедление времени, которые слишком сложны для начинающих студентов. Я счел нужным включить их, поскольку все эти вопросы захватывают воображение студентов, узнающих о них из средств массовой информации. Студенты, приходящие в высшие учебные заведения, хотели бы ближе познакомиться с этими проблемами в курсе физики. Мой опыт преподавания свидетельствует о том, что многие из вопросов современной физики легче усваиваются студентами, чем то, что кроется за третьим законом Ньютона.

Другой вполне правомерный вопрос: а стоит ли знакомить студентов, собирающихся стать обычными инженерами, с этими идеями? Автору известны профессора, которые, преподавая специальные инженерные дисциплины, желали бы рассматривать вводный курс физики как прикладной или инженерный. Для студентов, изучающих технические науки, единственная возможность узнать, как связаны между собой различные области науки и техники, — это изучение вводного курса физики. В то же время это и единственная возможность познакомиться с новыми достижениями физики и их влиянием на другие области науки и техники.

Поэтому в данной книге предпринята попытка связать изучение физики с изучением других областей науки, а также обратить внимание на взаимосвязь науки и общества. Например, центральной темой, пронизывающей всю книгу, является проблема сокращения мировых ресурсов энергии. Обсуждаются и другие общественные, политические, экономические и философские предпосылки научного знания.

Предлагаемый курс физики предназначен не только для того, чтобы заложить теоретические основы будущей профессии студентов: он призван также способствовать общему культурному росту

человека, который будет занят в сфере науки и техники. При этом, как уже отмечалось выше, для правильного понимания большинства явлений природы необходимо получить знания по теории относительности и квантовой механике.

В книге приводится много примеров, причем особое внимание уделяется тем из них, которые имеют определенное значения для жизни людей. Ряд примеров иллюстрирует интересные побочные применения; большинство же примеров предназначено для того, чтобы помочь студенту совершенствовать технику решения задач. Примеры, слишком сложные для студентов первых курсов, отмечены звездочкой. В дополнение к проработанным примерам, часто встречающимся в тексте, в конце каждой главы приводится большое количество задач. Они подразделяются на «упражнения» и собственно «задачи»; упражнения — это по существу более простые задачи, не требующие длинных и сложных вычислений. Задачи расположены приблизительно в том порядке, в каком соответствующие вопросы рассматриваются в тексте.

Я предпринял попытку предложить задачи, которые заимствованы из повседневной жизни. Поэтому некоторые задачи основаны на тематике предшествующих глав. Это не только приближает их к реальной жизни, но и вырабатывает более широкий взгляд на предмет, помогает сохранить преемственность изложения и способствует усвоению материала. «Жизненность» задач состоит еще и в том, что в них сообщается не вся необходимая информация, однако эту информацию можно найти где-либо в тексте. С другой стороны, некоторые задачи содержат больше информации, чем это необходимо.

В книге всюду используется международная система единиц СИ (или МКС). При рассмотрении вопросов, имеющих практическое значение, иногда упоминаются и другие единицы. Несмотря на то что теория электромагнетизма излагается также в системе СИ, большая часть соответствующих уравнений записана в форме, которую легко использовать и тем, кто предпочитает изучать этот раздел в гауссовой системе (или СГС).

На рисунках для изображения всех векторов принята определенная система графического изображения. Векторы скорости всегда изображаются сплошными серыми стрелками, векторы ускорения — черными контурными стрелками, а векторы сил — контурными серыми стрелками. Электрические и магнитные поля (а также их силовые линии) изображаются сплошными серыми стрелками; электрические токи обозначаются сплошными черными стрелками. Результирующим векторам всегда соответствуют более широкие стрелки, чем их компонентам. Эти и ряд других особенностей графического изображения должны облегчить восприятие иллюстраций.

Разделы, отмеченные в оглавлении звездочкой, можно при сокращенном или облегченном курсе обучения опустить.

Я приношу благодарность моим коллегам и студентам Корнелльского университета за поддержку при создании этой книги и за возможность апробировать большую часть изложенного здесь материала при чтении вводного курса физики для инженеров в течение последних десяти лет. Но больше всего я обязан Энрико Ферми, который научил меня не только физике, но и тому, как ее следует излагать и преподавать. Моя основная цель при написании данной книги состояла в том, чтобы попытаться донести до читателя дух самой физики и волнение, которое испытываешь при соприкосновении с нею, так, как это мог бы сделать Ферми.

Джей Орир

1

Введение

§ 1. Что такое физика?

Главная цель физики — выявить и объяснить законы природы, которыми определяются все физические явления. История науки демонстрирует движение ко все более глубокому пониманию, причем с каждым шагом основные законы или теории упрощаются, а их число уменьшается. Например, по мере того как развивается физика, число фундаментальных частиц и типов взаимодействий становится, как правило, меньше. Таким образом, чем более мы приближаемся к истине, тем проще оказываются основные законы; этот факт установлен в XIV в. английским философом Уильямом Оккамом и получил название «бритвы Оккама»*.

Ученые занимаются поисками истины, дающей как можно более полное представление об окружающем физическом мире. Мы не знаем, сколь долго будет продолжаться это продвижение к более глубоким уровням познания. Большинство ученых верит в то, что человечество будет непрерывно приближаться к «окончательной истине». Для того, чтобы представить себе, сколь далеко мы продвинулись в этом направлении, укажем на существование фундаментального соотношения $\lambda = h/p$ (наряду с его физической интерпретацией), которое применительно к известным элементарным частицам и силам взаимодействия между ними объясняет в принципе всю атомную физику и химию. Поскольку биология рассматривается как совокупность сложных химических превращений, то и она тем самым также «объяснена»*.

По мере поиска основ мироздания физики добрались до исходного строительного материала вещества — элементарных частиц: протонов, электронов, нейтронов и фотонов. В результате главным занятием физиков стало изучение элементарных частиц, их свойств и взаимодействий. До сих пор обнаружено лишь четыре типа взаимодействий, которые лежат в основе всех сил и взаимодействий во Вселенной. В табл. 1-1 представлены эти четыре типа взаимодействий**.

Если элементарные частицы и их взаимодействия являются действительно фундаментальными, они должны объяснять все явления не только микромира, но и макромира. Насколько мы знаем, поведение звезд и галактик описывается

---

* См. Антология мировой философии. М.: Мысль, 1969. Т. 1. Ч. 2. — *Прим. перев.*

* Содержательное и доступное обсуждение взаимосвязи физики с биологией можно найти в книге Э. Шредингера «Что такое жизнь с точки зрения физики».

** Классификация элементарных частиц и их взаимодействий с более современной точки зрения дана в приложении к тому 2 (см. далее гл. 30 и 31).

Таблица 1-1

Четыре основных типа взаимодействия, лежащие в основе всех известных сил и взаимодействий в природе

Взаимодействие	Источник	Относительная интенсивность	Радиус действия
1. Гравитационное	Масса	$\sim 10^{-38}$	Дальнодействующее
2. Слабое	Все элементарные частицы	$\sim 10^{-15}$	Короткодействующее ($\sim 10^{-15}$ м)
3. Электромагнитное	Электрические заряды	$\sim 10^{-2}$	Дальнодействующее
4. Ядерное (сильное)	Адроны (протоны, нейтроны, мезоны)	1	Короткодействующее ($\sim 10^{-15}$ м)

теми же физическими законами, что и поведение элементарных частиц. Объяснение строения звезд и галактик с помощью основных законов также входит в задачу физики (см. гл. 30). Своими корнями уходят в физику химия и биология.

Некоторые основные законы природы противоречат нашему повседневному опыту и поэтому не укладываются в рамки здравого смысла. Например, из соотношения $\lambda = h/p$ можно получить как $2 + 2 = 0$, так и $2 + 2 = 8$! Это иллюстрируется рис. 1-1, на котором показан пучок электронов, направленный на непрозрачный экран с двумя отверстиями A и B. Поместим на некотором расстоянии позади экрана небольшой счетчик Гейгера и закроем отверстие B. В этих условиях счетчик будет регистрировать 2 электрона в секунду. Затем откроем отверстие B и закроем A. Снова получим 2 электрона в секунду. Откроем теперь одновременно оба отверстия. В этом случае счетчик не регистрирует электронов вовсе! Целое оказывается не только меньше суммы составляющих его частей, но оно меньше даже любой из этих частей. Но при желании, слегка подвинув счетчик Гейгера в сторону, мы найдем такое положение, в котором он будет регистрировать 8 электронов в секунду, т. е. целое в этом случае окажется вдвое больше суммы частей. Со всем этим, возможно, трудно согласиться, однако в принципе это именно так, и в лабораторных экспериментах наблюдались именно такие явления (см. рис. 24-11). Подобные явления обусловлены волновой природой вещества. В гл. 24 мы узнаем, что все частицы обладают волновыми свойствами и поэтому для них характерны такие явления.

Чтобы пролить дополнительный свет на то, что собой представляет физика, перечислим все то, что не относится к ней. Астрология, психокинез, колдов-

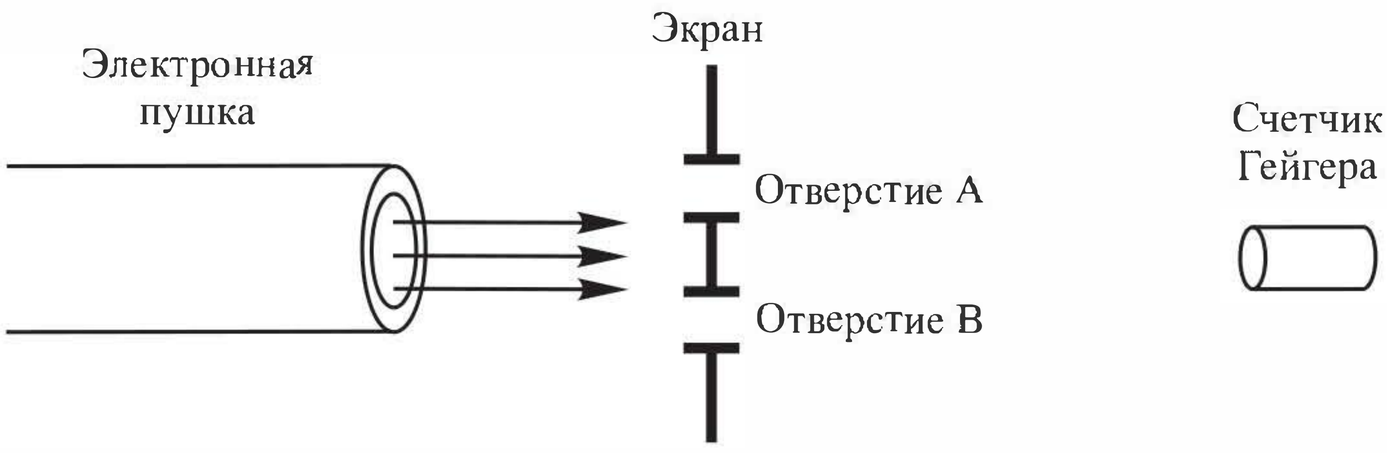


Рис. 1-1. Электронная пушка, посылающая пучок электронов в отверстия *A* и *B*

ство, спиритуализм, загробная жизнь, сверхъестественные явления, черная магия и телепатия либо требуют введения сил, с которыми никогда не сталкивались физики, либо нарушают основные законы физики.*

§ 2. Единицы измерения

Физикам, как правило, приходится иметь дело с измерением различных физических величин, таких, как длина, время, частота, скорость, площадь, объем, масса, плотность, заряд, температура и энергия. Многие из этих величин связаны между собой. Например, скорость представляет собой длину, деленную на время, а плотность есть масса, деленная на объем, объем же в свою очередь является произведением трех длин. Большинство физических величин связано с длиной, временем и массой. В табл. 1-2 приведены некоторые соотношения такого рода. Мы будем изучать эти физические величины по мере того, как они нам будут встречаться в книге.

Таблица 1-2

Размерности некоторых физических величин, выраженные через длину *L*, массу *M* и время *T*

Величина	Размерность
Площадь	L^2
Объем	L^3
Скорость	LT^{-1}
Ускорение	LT^{-2}
Плотность	ML^{-3}
Импульс	MLT^{-1}
Сила	MLT^{-2}
Энергия	ML^2T^{-2}
Частота	T^{-1}
Момент импульса	ML^2T^{-1}
Давление	$ML^{-1}T^{-2}$

Основные величины — длина (L), время (T) и масса (M) — называются размерностями. Следовательно, скорость имеет размерность L/T (или LT^{-1}). Мы будем использовать оба типа записи.

Длина

Понятия длины, площади и объема определяются в евклидовой геометрии. Существует несколько стандартных единиц длины, которыми продолжают пользоваться по сей день, это — метр, дюйм, фут, миля и сантиметр. В 1978 г. все страны, кроме Бирмы, Либерии, Йемена, Брунея и США, официально договорились использовать метрическую систему. Несмотря на то что в США официально признанной системой единиц является британская, американские ученые пользуются почти исключительно метрической системой; поэтому в данной книге мы будем использовать метрическую систему. В настоящее время в США происходит постепенный процесс естественного перехода к метрической системе.

Первоначально метр был определен через расстояние от Северного полюса до экватора, которое составляет около 10 000 километров (км), или 10^7 метров (м). До недавнего времени международным эталоном метра считалось расстояние между двумя штрихами на стержне из платино-иридиевого сплава, хранящемся в Международном бюро мер и весов во Франции (г. Севр). Теперь эталон метра определяется числом длин световой волны спектральной линии изотопа криптон-86. В США принято считать дюйм в точности равным 2,54 сантиметра (см). В метрической системе очень просто перейти от одной единицы к другой: достаточно всего лишь добавить множитель, равный десяти в соответствующей степени (см. табл. 1-3).

---

* Проблема борьбы с антинаукой приобрела значительную остроту в настоящее время и в России (см., например, книгу академика Э. П. Круглякова «Ученые с большой дороги». М.: Наука, 2002). *Прим. ред.*

Таблица 1-3

Приставки к метрическим единицам

Приставка	Обозначение	Множитель
Тера	Т	10^{12}
Гига	Г	10^{9}
Мега	М	10^{6}
Кило	к	10^{3}
Санти	с	10^{-2}
Милли	м	10^{-3}
Микро	мк	10^{-6}
Нано	н	10^{-9}
Пико	п	10^{-12}
Фемто	ф	10^{-15}

Время

Время — физическое понятие; поэтому его определение связано с теми или иными законами физики. Например, согласно законам физики период вращения Земли вокруг собственной оси с очень высокой степенью точности должен оставаться постоянным. Этот факт можно использовать для определения основной единицы времени, называемой средними солнечными сутками. Кроме того, законы физики утверждают, что период колебания кварцевой пластинки в генераторе с кварцевой стабилизацией частоты должен оставаться постоянным, если температура и другие внешние условия сохраняются неизменными. Следовательно, генератор с кварцевой стабилизацией можно применять для очень точного отсчета времени. В современных электронных наручных часах с питанием от батареек используются такие генераторы.

Однако если измерять период вращения Земли с помощью генератора с кварцевой стабилизацией, то окажется, что скорость собственного вращения Земли постепенно убывает. Это явление совершенно понятно: в основном оно обусловлено влиянием приливных сил. При сравнении одинаковых кварцевых генераторов можно обнаружить небольшие сдвиги и в их частотах. Это явление также вполне понятно. Изучая законы физики, приходим к выводу, что можно добиться еще более высокой точности измерения времени, если использовать частоты колебаний электронов в атомах. Действительно, эксперименты с атомными часами согласуются с теорией. В настоящее время наиболее точными считаются часы, основанные на частоте излучения атомов цезия-133. При этом секунда определяется как интервал времени, на котором укладывается $9{,}19263177 \cdot 10^{9}$ периодов колебаний излучения, испускаемого атомом цезия-133.

Основывая такие понятия, как время, на физических законах, мы не можем быть уверены в абсолютной правильности и неизменности этих законов. Например, предположим, что со временем скорость света постепенно возрастает. Это должно привести к изменению принятых эталонов длины и времени. До сих пор не было никаких экспериментальных данных, свидетельствующих об изменении физических констант со временем, однако это не исключает возможности их очень медленного изменения за пределами существующей точности измерений. В дальнейшем мы увидим, что не так уж редко «священные» законы физики опровергаются новыми экспериментальными данными. Следует выработать трезвое отношение к существующим «законам» физики и быть готовыми к их пересмотру при появлении противоречащих им экспериментальных данных. В конечном итоге любая сколь угодно красивая и убедительная физическая теория основана на экспериментальных фактах, поскольку физика имеет дело с реальным физическим миром. Теория предсказывает новые экспериментальные результаты, и это служит ее проверкой. Если она не вы-

держивает подобной проверки, ее следует либо изменить, либо отбросить.

Масса

Масса — тоже физическое понятие. В основе ее определения также должны лежать законы физики. В гл. 4 мы дадим современное определение массы с помощью закона сохранения импульса. В метрической системе за единицу массы первоначально была взята масса одного кубического сантиметра ($см^3$) воды при определенных значениях температуры и давления. Эта единица массы называется граммом (г). Таким образом, плотность воды равна одному грамму на кубический сантиметр ($г/см^3$). Современный международный эталон килограмма (кг) массы представляет собой цилиндр, изготовленный из платино-иридиевого сплава; он, как и прежний эталон длины, хранится в Международном бюро мер и весов в г. Севр (Франция).

Системы единиц МКС и СГС

Такие физические величины, как сила и энергия, принято измерять в единицах, основанных на метре, килограмме и секунде или на сантиметре, грамме и секунде. Первую из этих систем единиц называют МКС, а вторую — СГС. Хотя переход от системы МКС к СГС сводится к умножению (или делению) на десятки, при решении конкретных задач существенным бывает перевод всех величин либо в систему МКС, либо в СГС. Чрезвычайно важно никогда не смешивать эти системы. В данной книге в соответствии с современными тенденциями предпочтение будет отдано системе МКС, а не СГС. Единицы длины, массы и времени системы МКС совместно с единицей кельвин для температуры и ампером для электрического тока образуют Международную систему единиц, сокращенно СИ (SI — начальные буквы французского наименования Système International).*

Мы будем использовать следующие обозначения: м — метр, кг — килограмм, г — грамм, с — секунда, К — кельвин, А — ампер. При этом километр обозначается как км, сантиметр — см, микросекунда — мкс, наносекунда — нс и т. п.

В физических задачах большинство ответов представляет собой некоторое число и единицу измерения. Подчеркнем, что если не указана единица измерения, то такой ответ нельзя считать полным. Числовые ответы ни в коем случае не должны приводиться без указания единиц измерения. Последние имеют количественную характеристику и являются существенной частью ответа.

Преобразование единиц измерения

Часто исходные данные приведены не в той системе единиц, какая кажется наиболее удобной для решения поставленной задачи. Иногда встречаются смешанные единицы, например миля в час для скорости. Если задача решается в системе МКС, то все скорости нужно перевести в метры в секунду (м/с).

В качестве примера рассмотрим преобразование скорости 60 миль/ч в систему МКС методом подстановок. Для ясности каждую вновь вводимую величину будем ставить в круглые скобки. Таким образом,

$$v = 60\frac{\text{миль}}{\text{ч}} = 6\frac{(1\text{ миля})}{(1\text{ ч})}.$$

Теперь вместо прежней единицы (миля) подставим ее эквивалент в метрах ($1{,}61\cdot10^3$ м):

---

* В Российской Федерации использование Международной системы единиц СИ (или МКС) утверждено Государственным стандартом в 1982 году. — *Прим. ред.*

$$v = 60\frac{\left(1{,}61\cdot 10^3\ \text{м}\right)}{1\ \text{ч}}.$$

В знаменатель вместо 1 ч подставим $3{,}6\cdot 10^3$ с:

$$v = 60\frac{\left(1{,}61\cdot 10^3\ \text{м}\right)}{\left(3{,}6\cdot 10^3\ \text{с}\right)} = 26{,}8\ \text{м/с}.$$

Другой способ состоит в умножении на величину, равную 1, а именно на

$$\left(\frac{1{,}61\cdot 10^3\ \text{м}}{1\ \text{миля}}\right) \quad \text{и} \quad \left(\frac{1\ \text{ч}}{3600\ \text{с}}\right).$$

Таким образом, имеем

$$60\frac{\text{миль}}{\text{ч}}\cdot 1\cdot 1 =$$

$$= 60\frac{\text{миль}}{\text{ч}}\left(\frac{1{,}61\cdot 10^3\ \text{м}}{\text{миля}}\right)\left(\frac{\text{ч}}{3600\ \text{с}}\right) =$$

$$= \frac{60\cdot 1{,}61\cdot 10^3\ \text{миля}\cdot\text{м}\cdot\text{ч}}{3600\ \text{ч}\cdot\text{миля}\cdot\text{с}} = 26{,}8\ \text{м/с}.$$

Иногда вместо того, чтобы вводить единицы в знаменатель, удобно использовать отрицательные степени, например, писать $\text{м}\cdot\text{с}^{-1}$, а не м/с. Мы будем использовать обе формы записи.

§ 3. Анализ размерностей

Решение многих физических задач состоит в получении конкретной формулы из одного или нескольких основных уравнений. В качестве примера рассмотрим вывод формулы, связывающей скорость автомобиля v с его ускорением a и проходимым им расстоянием x при условии, что автомобиль движется равноускоренно, а начальная скорость его равна нулю. В этом случае основными являются уравнения, определяющие скорость и ускорение. Такие уравнения мы рассмотрим в гл. 2. Искомая формула имеет вид $v = \sqrt{2ax}$. Предположим, что мы забыли, как ее выводить, или ошиблись при выводе. К счастью, существует простой и надежный способ, с помощью которого в большинстве случаев удается вывести или проверить искомые формулы. Этот подход называется анализом размерностей и позволяет получить правильное выражение с точностью до безразмерного множителя. В рассмотренном примере анализ размерностей дает $v \sim \sqrt{ax}$, но он не в состоянии помочь нам найти множитель $\sqrt{2}$. (Волнистая черта ~ означает пропорциональность одной величины другой.)

Анализ размерностей состоит в том, что мы записываем обобщенное соотношение, которое в нашем случае имеет вид

$$v \sim a^p x^q, \tag{1-1}$$

где p и q — неизвестные показатели степени. Теперь остается лишь проверить размерности правой и левой частей. Напомним, что размерностями называются три основные величины: масса, длина и время. Размерность скорости равна отношению длины ко времени, или LT^{-1}. Для правой части соотношения (1-1) имеем

Размерность произведения $a^p x^q =$

$$= \left(\frac{L}{T^2}\right)^p (L)^q = L^{p+q}T^{-2p}.$$

Приравнивание этой величины к размерности левой части соотношения (1-1) дает

$$LT^{-1} = L^{p+q}\,T^{-2p}.$$

Поскольку степени величины L должны быть одинаковыми как справа, так и слева, имеем

$$1 = (p + q). \tag{1-2}$$

Приравнивая степени величины T, получаем

$-1 = -2p$, откуда $p = 1/2$.

Подставляя в соотношение (1-2) вместо p значение 1/2, имеем

$1 = 1/2 + q$, откуда $q = 1/2$.

Таким образом, подставляя в (1-1) $p = 1/2$ и $q = 1/2$, приходим к формулам

$v \sim a^{1/2} x^{1/2}$, или $v \sim \sqrt{ax}$.

Как уже отмечалось, этот результат не содержит множителя $\sqrt{2}$. Однако довольно часто множитель пропорциональности оказывается равным 1 (или порядка 1). В приводимом ниже примере точное значение этого множителя 1,18.

---

* **Пример 1[1].** Используя анализ размерностей, выведите формулу для скорости звука в газе, имеющем плотность ρ.

Решение: Единственными переменными в этой задаче могут быть давление P, температура T и плотность газа ρ. В гл. 12 мы покажем, что только две из этих переменных независимы (при данной плотности давление пропорционально температуре). Следовательно,

$v \sim \rho^p P^q$.

Плотность ρ имеет размерность кг/м^3, или ML^{-3}. Давление представляет собой силу, действующую на единичную площадку, и в соответствии с табл. 1-2 имеет размерность $ML^{-1}T^{-2}$. Запишем теперь размерности обеих частей приведенного выше соотношения:

$LT^{-1} = (ML^{-3})^p (ML^{-1}T^{-2})^q$.

Приравняем показатели степеней

при M: $0 = p + q$,

при T: $-1 = -2q$,

при L: $1 = -3p - q$.

Отсюда находим $p = -1/2$ и $q = 1/2$. Таким образом,

$v \sim \sqrt{P/\rho}$.

Точный ответ для воздуха запишется в виде

$v = 1{,}18\sqrt{P/\rho}$.

Во многих задачах и вовсе не нужно знать множитель пропорциональности, например в случае, когда требуется сравнить скорости звука в двух различных газах, находящихся при одинаковых давлениях. Из анализа размерностей находим, что скорость звука обратно пропорциональна корню квадратному из отношения плотностей газов.

В любом случае, когда это возможно, толковый студент будет использовать анализ размерностей для проверки всех выкладок и расчетов. Столкнувшись на экзамене с непосильной задачей, лучше попытаться разобрать ее с помощью анализа размерностей, чем совсем ничего не делать. Приводимый ниже пример служит хорошей иллюстрацией эффективности такого способа. Им можно пользоваться и в тех случаях, когда нам не хватает знаний или понимания, и получать при этом полезные результаты.

Пример 2. С какой примерно скоростью должен двигаться автомобиль, имеющий массу 1000 кг, чтобы сила сопротивления воздуха оказалась сравнимой с его весом? (В системе МКС вес этого автомобиля равен приблизительно 10^4 кг·м·с$^{-2}$). Предположим, что площадь поперечного сечения автомобиля составляет около 2 м^2, а плотность воздуха — около 1 кг·м$^{-3}$. Будем также считать, что сила сопротивления воздуха F зависит от площади поперечного сечения A, плотности воздуха ρ, который автомобиль сжимает впереди себя, и скорости автомобиля v:

$F \sim A^p \rho^q v^r$. (1-3)

---

[1] Если перед примером стоит звездочка, то это означает, что он является слишком сложным для самостоятельного решения при первоначальном изучении предмета.

Решение: В соответствии с табл. 1-2 сила имеет размерность MLT^{-2}; следовательно,

$$MLT^{-2} = (L^2)^p (ML^{-3})^q (LT^{-1})^r.$$

Приравняем показатели степеней

при M: $1 = q$,

при L: $1 = 2p - 3q + r$,

при T: $-2 = -r$.

Отсюда находим $q = 1, r = 2, p = 1$. Подстановка этих значений в (1-3) дает

$$F \sim A\rho v^2.$$

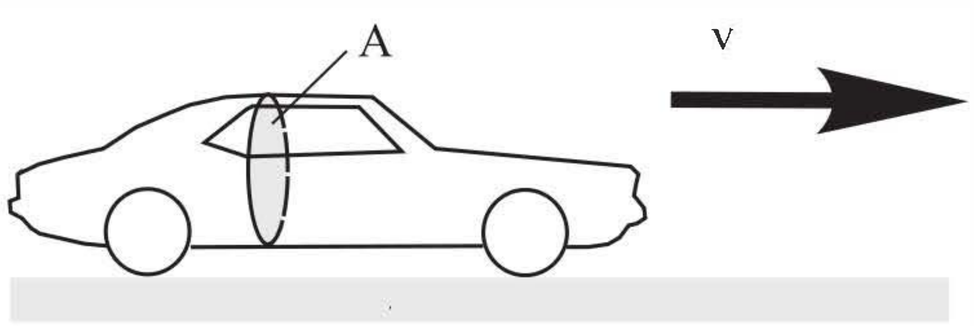


Рис. 1-2. Заштрихованная область A соответствует площади (максимальной) поперечного сечения автомобиля

Оказывается, это выражение является правильным с точностью до множителя 2 (см. с. 112). Отсюда для v получаем следующее выражение:

$$v \sim \sqrt{F/A\rho}.$$

Когда сила сопротивления воздуха становится сравнимой с весом автомобиля, т. е. $F = 10^4$ кг·м·с$^{-2}$, мы имеем

$$v \sim \sqrt{\frac{10^4 \text{ кг} \cdot \text{м} \cdot \text{с}^{-2}}{2 \text{ м}^2 \left(1 \text{ кг} \cdot \text{м}^{-3}\right)}} \approx 71 \text{ м/с} \approx 255 \text{ км/ч}.$$

Таким образом, чтобы автомобиль двигался со скоростью ~ 250 км/ч, его двигатель должен развивать мощность, достаточную для подъема автомобиля по вертикальной стене (при условии, что сохранится сцепление колес со стеной). Кроме того, поскольку сила сопротивления воздуха пропорциональна квадрату скорости, то при скорости автомобиля 64 км/ч эта сила будет меньше в 16 раз. Отсюда ясно, что для экономии горючего нужно ездить медленнее.

§ 4. Точность в физике

Физику иногда называют точной наукой. Однако у студентов, побывавших в физической лаборатории, может сложиться противоположное мнение — и в некотором смысле они правы. В общем случае измерения, выполненные с помощью приборов, не являются абсолютно точными. Измеряя расстояние 5 см обычной пластмассовой линейкой, нельзя сделать отсчет по ее шкале с точностью выше 1 %. Но погрешность измерения возникает не только при отсчете показаний по шкале, существуют еще так называемые систематические ошибки; в данном примере ошибка такого рода может быть связана с тепловым расширением пластмассы. Во всех разделах науки оценка систематических ошибок измерений оказывается чрезвычайно тонким и сложным делом. Чтобы выявить и оценить все возможные систематические ошибки, необходим строгий анализ условий эксперимента. Физикам постоянно приходится иметь дело с подобными проблемами.

Одним из наиболее точных измерительных приборов является частотомер, или пересчетное устройство. Этот прибор подсчитывает полное число колебаний какого-либо генератора, или источника колебаний. Одним из наиболее стабильных и точных генераторов являются часы с использованием атомного пучка цезия; частота такого генератора задается хорошо определенной частотой сверхтонкого перехода атома цезия-133 в основное состояние. Частоты двух таких генераторов различаются не более чем на 10^{-12}. Их точность настолько велика, что в настоящее время секунду определяют как длительность 9 192 631 770 периодов колебаний «идеальных» часов на атомном пучке цезия, о чем уже упоминалось в § 2.

Погрешность среднего значения

Для увеличения точности можно несколько раз повторить одно и то же измерение и взять среднее значение. Предположим, например, что имеется n одинаковых атомных часов, которые измеряют один и тот же интервал времени, давая показания $t_1, t_2, \ldots, t_n$ соответственно. (Эти часы включаются и выключаются одновременно.) Тогда наиболее точным значением интервала времени будет среднее значение

$$\bar{t} = (t_1 + t_2 + \ldots + t_n)/n.$$

Если типичная ошибка одних часов равна σ, то, как нетрудно показать, ошибка среднего $\bar{t}$ равна $\sigma/\sqrt{n}$. Мы можем записать этот результат как $t = \bar{t} \pm \sigma/\sqrt{n}$, где σ — типичная ошибка отдельного измерения. Все это справедливо для случайных, но не систематических ошибок.

Значащие цифры

Предположим, что измеряется скорость движущегося тела. С помощью рулетки и точных часов было найдено, что тело продвинулось на 10 см «в точности» за 3 с. Таким образом,

$$v = \frac{10\ \text{см}}{3\ \text{с}} = 3{,}33333\ldots\ \text{см/с}.$$

Возникает вопрос, сколько цифр нужно поставить после запятой при записи простой дроби 10/3 в виде десятичной дроби. Принято ставить по крайней мере еще одну цифру после той, которую можно считать достоверной. Так, если расстояние 10 см измерено с точностью до 1 %, то результат следует записать в виде $v = 3{,}33 \pm 0{,}03$ см/с. Так как истинное значение v лежит между 3,30 и 3,36 см/с, значащими цифрами являются первые две тройки, третья же в некоторой степени ненадежна. Плохо записывать результат как в виде $v = 3$ см/с, так и в виде $v = 3{,}333$ см/с. Правильной является запись $v = 3{,}33$ см/с. Ставить больше цифр, чем надо, не только излишне, но и ошибочно, поскольку может сложиться впечатление, что наш результат получен с более высокой точностью, чем это есть на самом деле.

Предположим, что нам нужно сложить скорость $v = 3{,}33$ см/с со скоростью $v' = 4{,}51$ м/с, которая также измерена с точностью до 1 %:

$$\begin{array}{rr} v = & 3{,}33\ \text{см/с} \\ v' = & 451{,}00\ \text{см/с} \\ \hline v + v' = & 454{,}33\ \text{см/с} \end{array}$$

Следует заметить, что такой ответ означает, что мы получили наш результат с погрешностью не 1 %, а менее 0,01 %. Поэтому, чтобы учесть правильно погрешность результата, мы должны написать 454 см/с.

Пример 3. Используя один и тот же секундомер, студент повторяет измерения периода колебаний маятника. Полученные им результаты отличаются между собой в среднем на 1/10 с. Сколько раз должен он повторить измерение, чтобы определить период колебаний маятника с точностью до 1/100 с?

Решение:

Ошибка среднего $= \sigma/\sqrt{n}$,

$$\frac{1}{100}\,\text{с} = \frac{(1/10)\,\text{с}}{\sqrt{n}},$$

$$\sqrt{n} = \frac{(1/10)\,\text{с}}{(1/100)\,\text{с}} = 10,$$

$n = 100$.

Таким образом, для повышения точности в 10 раз нужно повторить измерения 10^2 раз.

В этой книге всюду, кроме особо оговоренных случаев, все величины будут

приводиться с тремя значащими цифрами, что подразумевает точность по крайней мере не менее 1 %. Задачи также следует решать с этой точностью.

§ 5. Роль математики в физике

За физикой укрепилась репутация науки, использующей очень сложные математические расчеты. К счастью, это не так, если мы имеем в виду фундаментальные законы. Видимо, здесь действует «бритва Оккама» (см. прим. на с. 9): чем фундаментальнее законы, тем проще их содержание и математическое описание. Потребность в более сложной математике обычно возникает при решении проблем, не носящих фундаментальный характер, например задачи трех тел (движение трех взаимодействующих тел). Задача трех тел не является фундаментальной, поскольку она, по существу, сводится к трем задачам о взаимодействии двух тел. Несколько столетий назад Исаак Ньютон решил действительно фундаментальную проблему — нашел орбиты двух тел, силы взаимодействия которых обратно пропорциональны квадрату расстояния между телами. Проблему двух тел в астрономии можно решить, используя лишь элементарные математические выкладки (см. гл. 5), однако для достаточно точного решения задачи трех тел требуется большая ЭВМ.

При рассмотрении физических явлений мы будем в основном использовать элементарную алгебру, геометрию и тригонометрию. В гл. 2, в которой нам понадобится формула $d(x^2)/dx = 2x$, мы постепенно введем элементы дифференциального исчисления. Начиная с гл. 6, мы будем прибегать к интегральному исчислению на уровне простейших формул типа $\int x dx = x^2/2$.

В гл. 11 нам впервые встретятся производные от синуса и косинуса. Элементы векторного анализа появятся в гл. 3, а произведения векторов мы будем использовать в гл. 6–10. Все необходимые сведения из векторного анализа даются по ходу изложения. Данная книга может служить учебником физики для студентов, не владеющих дифференциальным и интегральным исчислением, но изучающих его параллельно с курсом физики. Желательно, чтобы читатель владел элементарной алгеброй в рамках требований первого курса высшей школы. Ниже приводится список ошибок, характерных для студентов с таким уровнем подготовки. Читателю предлагается самостоятельно разобрать их и дать правильные ответы, которые мы приводим в приложении к настоящей главе. Тот, кто с трудом справится с этой задачей, встретится, по-видимому, с большими трудностями при изучении физики.

Некоторые распространенные ошибки

1 $(a + b)^2 = a^2 + b^2$

2 $\dfrac{1}{a+b} = \dfrac{1}{a} + \dfrac{1}{b}$

3 Половина от 10^{-10} равна 10^{-5}

4 $\dfrac{A}{B} + \dfrac{X}{Y} = \dfrac{A+X}{B+Y}$

5 $4 : \dfrac{1}{2} = 2$

6 $\sqrt{16ab} = 4ab$

7 $\dfrac{1}{2}$ от 10^{-8} равна 5^{-8}

8 $\dfrac{10^{-10}}{10^{-5}} = 10^{-15}$

9 $\log AB = \log A \log B$

10 $\sin(A + B) = \sin A + \sin B$

Из алгебры особое значение для нас имеют возведение в степень, логарифмы, системы алгебраических уравнений и биномиальное разложение. Возведение в степень мы кратко рассмотрим в следующем разделе «Принятые в науке обозначения». Вспомним, что такое биномиальное разложение:

$$(1+a)^n = 1 + na + \frac{n(n-1)}{1\cdot 2}a^2 + \frac{n(n-1)(n-2)}{1\cdot 2\cdot 3}a^3 + \ldots .$$

Используя знак суммы, его можно записать в более компактном виде:

$$(1+a)^n = \sum_{j=0}^{\infty}\left(\frac{n!}{j!(n-j)!}a^j\right),$$

где $k! = 1\cdot 2\cdot \ldots \cdot k$ (k — натуральное число).

Знак Σ означает суммирование одинаковых по виду последовательных членов, отличающихся друг от друга значением j на единицу. Покажем это на двух примерах:

$$\sum_{j=1}^{5}(j) = 1+2+3+4+5,$$

$$\sum_{j=1}^{n}(x_j t_j) = x_1 t_1 + x_2 t_2 + \ldots + x_n t_n .$$

Обычно систему уравнений решают, исключая ненужные переменные. В гл. 3 мы рассмотрим пример решения системы трех уравнений. При этом совсем не обязательно знать физический смысл используемых в них обозначений. Рассмотрим, например, вывод выражения для центростремительного ускорения a_c через радиус R и частоту f, исходя из следующих трех уравнений:

$a_c = v^2/R,$ (1-4)

$v = 2\pi R/t,$ (1-5)

$f = 1/t.$

Будем решать эту систему методом подстановки, исключая сначала v, а затем t. Сначала подставим в (1-4) выражение (1-5) для v:

$$a_c = \frac{(2\pi R/t)^2}{R} = \frac{4\pi^2 R}{t^2}.$$

Подставим сюда вместо t величину $1/f$:

$$a_c = \frac{4\pi^2 R}{(1/f)^2} = 4\pi^2 f^2 R .$$

В этих выражениях круглые скобки используются, чтобы указать нато, что подстановка уже выполнена.

Другим примером математики в физике является построение графиков и умение их расшифровать. В следующей главе мы поупражняемся в этом.

Принятые в науке обозначения

Численные значения большинства физических величин либо много больше, либо много меньше единицы. Независимо от того, велика или мала физическая величина, ее принято записывать в виде числа между 1 и 10 (называемого численным значением, или мантиссой), умноженного на соответствующую степень десяти. Такая запись принята в науке. Например, массу электрона принято записывать как $9{,}11\cdot 10^{-31}$ кг. Здесь численное значение равно 9,11, а показатель степени десяти -31. Масса Солнца равна $1{,}99\cdot 10^{30}$ кг. Мы видим, что эти значения масс перекрывают интервал порядка 10^{60}. Значения длины в физике перекрывают интервал такого же порядка.

При проведении расчетов рекомендуется сначала сделать грубую оценку первой значащей цифры. Затем можно провести повторный расчет с помощью счетной линейки или карманной вычислительной машинки (микрокалькулятора). Обычные микрокалькуляторы

позволяют охватить диапазон величин от 10^{-8} до 10^{8}, в то время как микрокалькуляторы для научных расчетов охватывают диапазон значений от 10^{-99} до 10^{99}. Ясно, что студентам, изучающим физику, лучше запастись последними. Кроме того, желательно, чтобы микрокалькуляторы вычисляли тригонометрические функции и логарифмы, а также имели память для хранения промежуточных результатов.

Достоинством принятой в науке системы обозначений является то, что показатели степеней при умножении или делении только складываются или вычитаются соответственно. Например, $10^a \cdot 10^b = 10^{(a+b)}$ и $10^a/10^b = 10^{(a-b)}$. Следующие два примера позволяют попрактиковаться в обращении с огромными числами и преобразованием единиц. Кроме того, они в некотором отношении иллюстрируют материал, излагаемый в § 6 и посвященный связи науки и общества.

Пример 4. Среднегодовая мощность производимой в США электроэнергии в 70-х годах XX века составляла 250 млн киловатт (кВт). Какую площадь должны занимать солнечные батареи, чтобы производить такую же мощность за счет солнечной энергии? При этом можно считать, что КПД преобразования солнечной энергии в электрическую равен 10 %, а средняя мощность солнечного излучения на юге США в полдень составляет ~ 1 кВт/м^2.

Решение: После преобразования солнечной энергии в электрическую из 1 кВт/м^2 мы имеем 100 кВт/м^2. Усреднение последнего значения за сутки дает ~ 25 кВт/м^2. Пусть $P_{\text{полн.}} = 2{,}5 \cdot 10^{11}$ Вт — полная мощность, которую требуется получить, а $A_{\text{полн.}}$ — общая площадь солнечных батарей. Таким образом,

$$\frac{P_{\text{полн.}}}{A_{\text{полн.}}} = 25 \text{ Вт/м}^2,$$

$$A_{\text{полн.}} = \frac{P_{\text{полн.}}}{25 \text{ Вт/м}^2} = \frac{2{,}5 \cdot 10^{11} \text{ Вт}}{25 \text{ Вт/м}^2} = 10^{10} \text{ м}^2 = 10^4 \text{ км}^2. \quad (1\text{-}6)$$

Такую площадь имеет квадрат с длиной стороны всего лишь 100 км. К северу от Лас-Вегаса имеется государственный участок земли примерно такого же размера. На любой дорожной карте штата Невада этот участок обозначен как закрытый «Испытательный полигон Невада», принадлежащий Комиссии по атомной энергии США. Возможно, что со временем эта площадь будет использована для подобных целей.

Будут или нет США использовать этот или другой участок земли для преобразования солнечной энергии — связано с проблемой, затрагивающей общественные и политические аспекты, а также экономику, экологию и технику. Все это не имеет отношения к физике.

В приведенном расчете мы не касались таких важных проблем, как накопление энергии и потери при ее передаче.

Заметим, что этот пример характерен для расчетов, которые приходится выполнять ученым. Любой научный работник должен делать такие вычисления по порядку величины, пользуясь лишь клочком бумаги и не прибегая к счетной линейке или микрокалькулятору.

§ 6. Наука и общество

Для физика основной целью является познание окружающего мира. *Homo sapiens* — единственное живое существо, способное к такому познанию. Научное знание составляет центральную часть современной культуры и цивилизации. Всякий мыслящий человек не может не стремиться к научному познанию мира.

Другой, более распространенный стимул к изучению физики состоит в том, что человек, живущий в наш технический

век — век автоматизации, загрязнения окружающей среды, ядерной энергии, электронных вычислительных машин, космических полетов, ракет и ядерных бомб, — обязан иметь представление об этой науке. Почти в любой газете имеются статьи, которые нельзя полностью понять, не зная физики. Почти каждый день встречаются статьи о ядерном оружии, ядерной энергии, хранении энергии, о солнечной или термоядерной энергии, контроле над загрязнением окружающей среды, космических полетах, НЛО, новых научных открытиях и разработках и т. д. Могут ли политики, мало сведущие в науке, принимать компетентные решения по столь жизненно важным вопросам? А ведь от этих решений, как мы знаем, зависит дальнейшее существование человеческой цивилизации.

Приложение. Правильные ответы, не содержащие некоторых распространенных ошибок

1 $(a + b)^2 = a^2 + 2ab + b^2$

2 $\dfrac{1}{a+b} = (a+b)^{-1}$

3 Половина от $10^{-10} = 0{,}5 \cdot 10^{-10} = 5 \cdot 10^{-11}$

4 $\dfrac{A}{B} + \dfrac{X}{Y} = \dfrac{AY + BX}{BY}$

5 $4:1/2 = 8$

6 $\sqrt{16ab} = 4\sqrt{ab}$

7 Половина от $10^{-8} = 0{,}5 \cdot 10^{-8} = 5 \cdot 10^{-9}$

8 $\dfrac{10^{-10}}{10^{-5}} = 10^{-10+5} = 10^{-5}$

9 $\log AB = \log A + \log B$

10 $\sin(A + B) = \sin A \cos B + \cos A \sin B$

Упражнения

(Упражнения — это небольшие простые задачи.)

1. Американские преподаватели обнаружили, что большинство студентов обычных колледжей не могут решить предлагаемую ниже задачу. При решении ее считайте, что вы не знаете, как переводить мили в километры.

В штате Огайо на всех «верстовых» столбах вдоль магистральных железных дорог расстояние проставлено в двух системах единиц — британской и метрической. В качестве примера изображен знак, который может вам встретиться по пути к Кливленду:

Кливленд	**Уаху**
94 мили	— мили
152 км	380 км

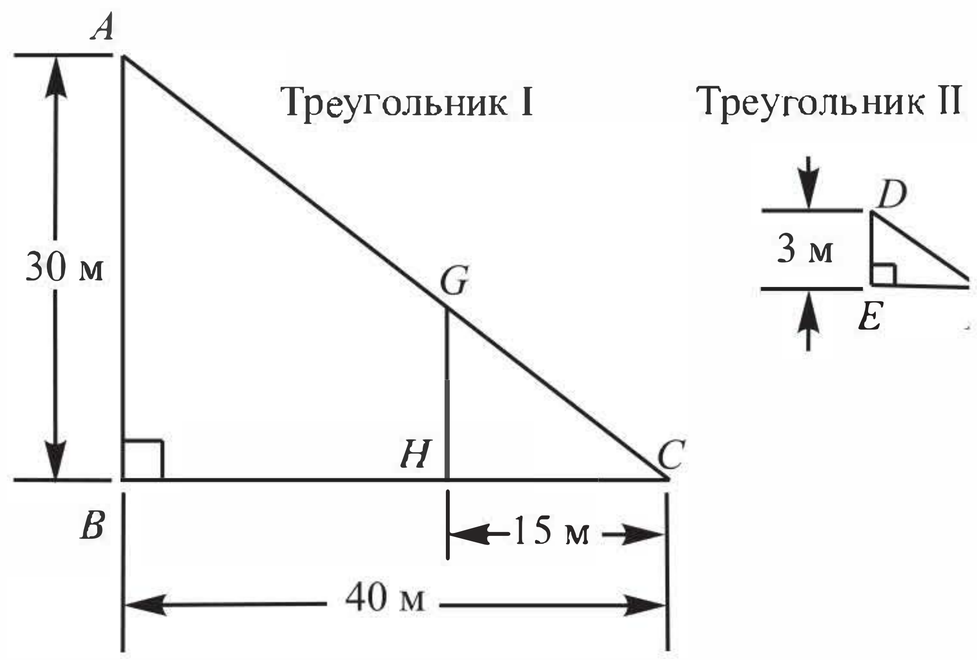
Предположим, что штат Небраска тоже решил использовать такую систему дорожных знаков. По дороге в Уаху вам может встретиться другой такой же дорожный знак. Найдите число, которое следует поставить в пустующее место.

2. Еще одна задача, которую, как выяснили преподаватели, не может решить примерно половина студентов обычного колледжа, состоит в следующем:

Треугольники I и II являются подобными.

а) Чему равна сторона *EF* треугольника II?

б) Чему равна сторона *GH* треугольника I?



3. Пусть $K = (1/2)Mv^2$ и $P = Mv$. Как выражается K через P и M?

4. Вычислите $8^{2/3}$, $8^{-2/3}$ и $8^{3/2}$.

5. Покажите, что $\frac{1+\beta}{\sqrt{1-\beta^2}} = \sqrt{\frac{1+\beta}{1-\beta}}$. Чему равно $\frac{1-\beta}{\sqrt{1-\beta^2}}$?
6. Пусть $M = \frac{M_0}{\sqrt{1-v^2/c^2}}$. Как выражается v через M, M_0 и c?
7. Мыло продается в кусках двух размеров, но одинаковой формы. Более крупный кусок мыла на 50 % длиннее. Насколько больше мыла в крупном куске?
8. Сколько должна стоить пицца (круглый итальянский пирог) диаметром 30 см, если пицца диаметром 20 см стоит полтора доллара?
9. В двух граммах водорода содержится $N_0 = 6{,}02 \cdot 10^{23}$ молекул H_2. Чему равна масса одного атома водорода?
10. Напишите биномиальное разложение для $(1 - v^2/c^2)^{-1/2}$, ограничившись первыми тремя членами. Чему равно отношение третьего члена ко второму, если $v/c = 0{,}1$?
11. Упростите выражение $\exp[-\ln(1/x)]$ ($\exp a \equiv e^a$, $e = 2{,}718$).
12. При каком значении x функция $y = \exp(-x^2/2)$ убывает до половины своего начального значения (при $x = 0$)?
13. При каком значении t функция $y = \exp(-t/\tau)$ убывает до половины своего начального значения? Ответ должен выражаться через τ.
14. Ребро куба измерено с точностью до 1 %. Какую точность будет иметь значение объема куба, вычисленное на базе этого измерения?

Задачи

(Задачи несколько сложнее упражнений, приведенных выше.)

15. На расстоянии 100 м некий объект виден под углом 1°. Какова его высота? (Решая эту задачу, не пользуйтесь тригонометрическими функциями.)
16. Если $v = v_0 + at$ и $x = x_0 + v_0 t + (1/2)at^2$, то как выражается v через x_0, v_0, a и x?
17. Используя следующие соотношения, найдите выражение для E только через e и R: $E = (1/2)\, mv^2 + U$, $U = -e^2/R$, $mv^2/R = e^2/R^2$.
18. Пусть $a = v^2/R$, $v = 2\pi R/t$, $\nu = 1/t$. Как выглядит выражение для a через ν и R?
19. Пусть $p = M_0 \gamma v$, $E = M_0 \gamma c^2$, $\gamma = 1/\sqrt{1 - v^2/c^2}$. Как выглядит выражение для E через M_0, p и c?
20. Начертите график функции $y = \sin^2 x$, где x выражается в градусах.
21. Вдоль металлического стержня с площадью поперечного сечения A распространяется звуковая волна. Она возбуждается переменной силой ΔF, приложенной к концу стержня. Удлинение стержня Δl пропорционально ΔF и определяется формулой

$$YA\frac{\Delta l}{l} = \Delta F \text{ или } Y = \frac{\Delta F/A}{\Delta l/l},$$

где Y — модуль Юнга (константа, характеризующая упругие свойства данного металла). С помощью анализа размерностей выведите формулу, выражающую скорость звука в стержне через Y и плотность металла ρ (ρ = масса/объем) (см. пример 1).
22. При «сжигании» в ядерном реакторе урана массой m за время t выделяется мощность $P = 10^{-3}mc^2/t$, где $c = 3 \cdot 10^8$ м/с — скорость света. Если m измерять в килограммах, а t — в секундах, то P будет выражаться в ваттах. КПД преобразования этой мощности в электрическую порядка 30 %. Сколько грамм уранового топлива нужно сжигать в сутки, чтобы полностью удовлетворить средним потребностям США в электроэнергии? (См. пример 4.)
23. Средний легковой автомобиль расходует один литр бензина на 5 км и движется со скоростью 90 км/ч.
    а) Сколько грамм топлива сжигается ежесекундно, если в одном литре 835 г бензина?
    б) Какую мощность (в ваттах) расходует автомобиль, если один грамм бензина выделяет энергию 30 000 джоулей (Дж), а 1 Вт = 1 Дж/с? Больше ли это мощности, потребляемой в среднем американском доме?
24. В теории относительности отношение релятивистской массы m к массе покоя

m_0 обычно обозначают через $\gamma = m/m_0$. При этом скорость записывается как $v = c\,(1 - 1/\gamma^2)^{1/2}$. Найдите первые два члена биномиального разложения для скорости.

25. Покажите, что справедливо равенство

$$\gamma_+ - \gamma_- = \frac{2\beta\beta_0}{\sqrt{\left(1-\beta_0^2\right)\left(1-\beta^2\right)}},$$

где

$$\gamma_+ = \left(1-\beta_+^2\right)^{-1/2}, \qquad \gamma_- = \left(1-\beta_-^2\right)^{-1/2},$$

$$\beta_+ = \frac{\beta_0+\beta}{1+\beta_0\beta}, \qquad \beta_- = \frac{\beta_0-\beta}{1-\beta_0\beta}.$$

26. Период колебаний маятника равен 2,5 с. Было проделано 40 измерений этой величины секундомером А со случайной ошибкой, равной $\sigma = 0{,}1$ с.

а) Какова погрешность среднего значения?

б) Какова погрешность среднего значения периода колебаний, найденного по десяти измерениям другим секундомером Б со случайной ошибкой $\sigma = 0{,}05$ с?

в) Предположим, что сорок измерений секундомером А и десять измерений секундомером Б сделаны в одном эксперименте. С какой погрешностью в этом эксперименте измерен период колебаний маятника?

27. В предыдущей задаче мы убедились, что четыре измерения секундомером А дают бóльшую ошибку, чем одно измерение секундомером Б. Какова будет погрешность при определении среднего значения в задаче 26(в), если с помощью каждого секундомера проводится 10 измерений?

28. Докажите, что $\alpha = \theta$, если

$$\operatorname{tg}\alpha = \frac{\sin\theta+\sin 2\theta}{1+\cos\theta+\cos 2\theta}.$$

[*Указание:*
$\sin(a+b) = \sin a\cos b + \cos a\sin b$;
$\cos(a+b) = \cos a\cos b - \sin a\sin b$.]

29. Покажите, что $\cos(k+\Delta k)x+\cos(k-\Delta k)x = 2(\cos\Delta kx)(\cos kx)$.

30. Выразите $\sin 2A$ через $\sin A$.

31. Пусть $C = (A - B^2)$, $A = 1010 \pm 1$ и $B = 30{,}0 \pm 0{,}1$. Чему будет равна относительная погрешность (в процентах) величины C? Запишите величину C с правильным количеством значащих цифр.

32. Решите еще раз задачу 31, полагая $A = 920{,}0 \pm 0{,}1$ и $B = 30{,}00 \pm 0{,}01$.

2

Одномерное движение

Главы 2 и 3 посвящены изучению кинематики. В кинематике имеют дело с соотношениями между положением, скоростью и ускорением частицы или тела. Этот раздел физики не касается вопроса о том, откуда берутся ускорение и сила. Природа сил и причины их возникновения составляют предмет динамики, которой посвящена гл. 4. В настоящей главе мы будем рассматривать лишь прямолинейное движение. При этом направление движения мы будем обычно выбирать в качестве оси x.

§ 1. Скорость

В век автомобилизма с понятием скорости знакомятся в детстве. Спидометр автомобиля показывает мгновенное значение скорости в километрах в час (км/ч) или в милях в час (миль/ч). **Скорость — это быстрота изменения расстояния.**

Постоянная скорость

Если автомобиль движется с постоянной скоростью, то пройденное им за время t расстояние пропорционально времени движения, т. е. $x = vt$. Если в начальный момент времени t_0 он находился в точке $x = x_0$, то

$$x - x_0 = v(t - t_0),$$

или

$$v = \frac{x - x_0}{t - t_0} \qquad (2\text{-}1)$$

при условии, что величина v постоянна.

На рис. 2-1 показано соотношение между x и t. Полученное выше выражение для u может быть как положительным, так и отрицательным, причем знак указывает на направление движения. Если v отрицательно, то движение происходит в сторону уменьшения x.

При решении практических задач часто приходится переходить от одних единиц измерения к другим. Используя предложенный на с. 13 метод подстановок, находим

$$\frac{60 \text{ миль}}{1 \text{ ч}} = \frac{60(5280 \text{ фут})}{1(3600 \text{ с})} = 88 \text{ фут/с}.$$

Таким образом, 60 миль/ч = 88 фут/с. С другой стороны, 1 миля = 1,61 км, поэтому 60 миль/ч = 96,6 км/ч = 26,8 м/с.

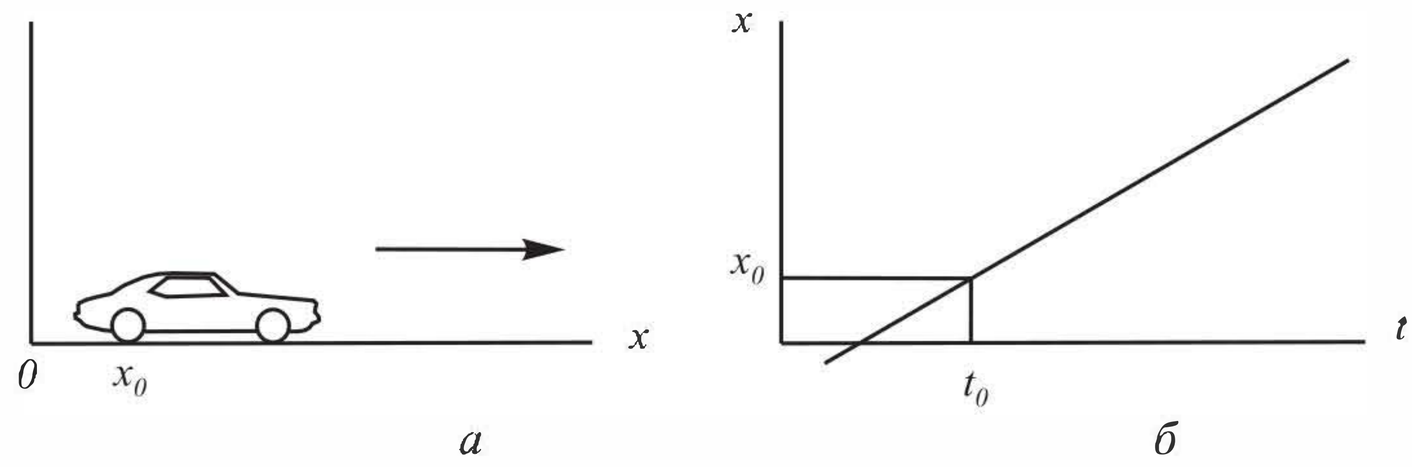


Рис. 2-1. *а* — автомобиль в момент времени t_0 находится в точке x_0; *б* — график зависимости положения автомобиля от времени при движении автомобиля с постоянной скоростью

Мгновенная скорость

Когда автомобиль разгоняется или тормозит, показания спидометра, вообще говоря, не совпадают с вычислениями по формуле (2-1), если только при этом не брать достаточно малые значения $x - x_0$. В дальнейшем мы будем обозначать очень малые значения $x - x_0$ через Δx, а малые интервалы времени, за которые автомобиль проходит путь Δx, — через Δt. В этом случае мгновенную скорость можно определить как предел отношения $\Delta x/\Delta t$ при Δt, стремящемся к нулю:

$$v \equiv \lim_{\Delta t \to 0} \left[\frac{\Delta x}{\Delta t} \right].$$

В курсе математического анализа точно таким же образом определяется производная от x по t. Используя принятое в анализе обозначение, запишем предыдущее выражение в виде

$$v \equiv \frac{dx}{dt} \quad (\textit{определение мгновенной скорости}). \qquad (2\text{-}2)$$

(Символ « ≡ » означает здесь «по определению».)

Пример 1. Пусть x возрастает пропорционально квадрату времени, т. е. $x = At^2$. Чему равна мгновенная скорость в момент времени t_1?

Решение:

$$v = \frac{d}{dt}\left(At^2\right) = A\frac{d\left(t^2\right)}{dt} = 2At.$$

В момент времени t_1 имеем $v = 2At_1$.

В общем случае производная от t^n записывается в виде

$$\frac{d}{dt}\left(t^n\right) = nt^{n-1}.$$

Пример 1 можно решить без использования дифференциального исчисления. Пусть x_2 — положение в более поздний момент времени t_2; тогда

$$\frac{\Delta x}{\Delta t} = \frac{x_2 - x_1}{t_2 - t_1} = \frac{\left(At_2^2\right) - \left(At_1^2\right)}{t_2 - t_1}.$$

Подставив в это выражение $t_2 = t_1 + \Delta t$, находим

$$\frac{\Delta x}{\Delta t} = \frac{A\left(t_1 + \Delta t\right)^2 - At_1^2}{\Delta t} =$$

$$= \frac{2At_1\Delta t + A\left(\Delta t\right)^2}{\Delta t} = 2At_1 + A\Delta t.$$

Беря предел при $\Delta t \to 0$, мы видим, что второй член обращается в нуль. Следовательно,

$$v_1 = 2At_1.$$

Из рис. 2-2 с учетом примера 1 ясно, что наклон* кривой, выражающей зависимость x от t, представляет собой мгновенную скорость. На рис. 2-2 построена кривая $x = At^2$. Наклон цветной линии равен $(x_2 - x_1)/(t_1 - t_2)$ и в пределе при $t_2 \to t_1$ он стремится к наклону кривой в точке x_1.

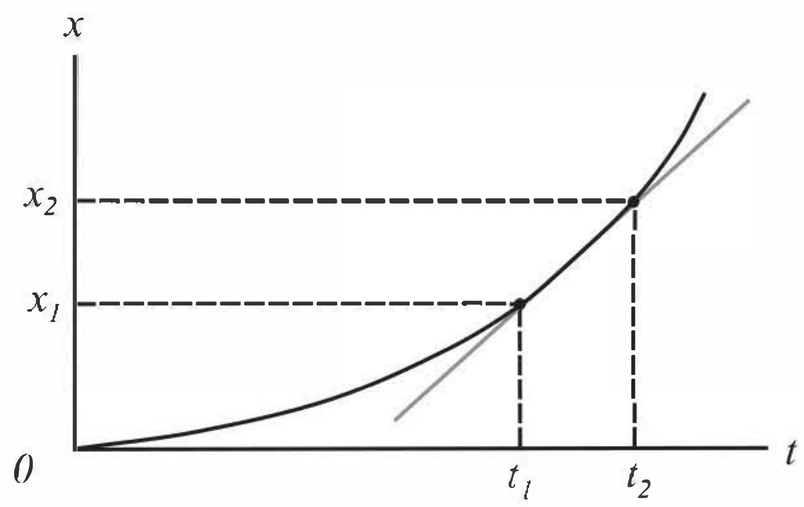


Рис. 2-2. Наклон (тангенс угла наклона) цветной линии равен $(x_2 - x_1)/(t_1 - t_2)$. Иллюстрация того, что наклон кривой зависимости x от t характеризует мгновенное значение скорости

---

* Под наклоном будем подразумевать тангенс угла наклона. — *Прим. ред.*

§ 2. Средняя скорость

В этом параграфе мы выведем формулу для средней скорости

$$\bar{v} = \frac{x - x_0}{t} \text{ (средняя скорость)}, \qquad (2\text{-}3)$$

где $x - x_0$ — расстояние, пройденное за время t. Удобнее было бы просто определить среднюю скорость как отношение $(x - x_0)/t$ и двигаться дальше. Однако при этом мы совершили бы логическую ошибку, поскольку среднее представляет собой уже четко определенную величину. Поэтому надо начать с определений математического среднего* и мгновенной скорости, а лишь затем вывести формулу для средней скорости.

Для вычисления среднего значения необходимо учитывать весовой множитель каждой величины, дающий вклад в среднее. Например, если в интервале времени t_1 скорость автомобиля была равна v_1, а на интервале t_2 она равнялась v_2, согласно определению средняя по времени скорость записывается в виде

$$\bar{v} = \frac{v_1 t_1 + v_2 t_2}{t_1 + t_2} \quad (\textit{определение среднего взвешенного}). \qquad (2\text{-}4)$$

Если бы вместо t_1 и t_2 в качестве весовых множителей использовали расстояния x_1 и x_2, то получили бы скорость, усредненную по расстоянию. (Скорость, усредненная по расстоянию, используется в гидродинамике.) В кинематике принято считать, что средняя скорость — это «скорость, усредненная по времени», если специально не оговаривается противное.

* Эта величина называется еще *математическим ожиданием* и *средним значением*. — *Прим. ред.*

Пример 2. Автомобиль проезжает ограниченный участок пути длиной 10 км со скоростью 20 км/ч, а затем проезжает еще 10 км со скоростью 60 км/ч. Будет ли средняя скорость в точности средним между 20 и 60, т. е. будет ли она равна 40 км/ч?

Решение: Найдем сначала весовые множители t_1 и t_2:

$$t_1 = \frac{x_1}{v_1} = \frac{10\text{ км}}{20\text{ км/ч}} = \frac{1}{2}\text{ ч}$$

и

$$t_1 = \frac{x_2}{v_2} = \frac{10\text{ км}}{60\text{ км/ч}} = \frac{1}{6}\text{ ч}.$$

Подставим эти весовые множители в формулу (2-4):

$$\bar{v} = \frac{20\text{ км/ч}\left[(1/2)\text{ ч}\right] + 60\text{ км/ч}\left[(1/6)\text{ ч}\right]}{(1/2)\text{ ч} + (1/6)\text{ ч}} =$$

$$= 30\text{ км/ч}.$$

Теперь можно перейти к рассмотрению более общего случая — переменной скорости движения; это случай, когда скорость равна v_1 в течение короткого промежутка времени t_1, v_2 в течение t_2, v_3 в течение t_3 и т. п. Тогда средняя скорость запишется в виде

$$\bar{v} = \frac{v_1 t_1 + v_2 t_2 + \ldots + v_n t_n}{T}, \qquad (2\text{-}5)^*$$

* С помощью знака суммы Σ выражение (2-5) можно записать в следующем виде:

$$\bar{v} = \sum_{j=1}^{n} v_j t_j \Big/ \sum_{j=1}^{n} t_j .$$

Для читателей, знакомых с интегральным исчислением, выражение (2-5) можно записать в виде

$$\bar{v} = \frac{\int_a^b v\,dt}{t_b - t_a}.$$

где $T = t_1 + t_2 + \ldots + t_n$. Заметим, что $v_j t_j = x_j$ при любом j, где x_j — расстояние, пройденное за время t_j. Поэтому (2-5) можно записать следующим образом:

$$\bar{v} = \frac{x_1 + x_2 + \ldots + x_n}{T}.$$

Алгебраическая сумма $x_1 + x_2 + \ldots + x_n$ представляет собой результирующее перемещение, равное $x - x_0$, где x_0 — начальное положение тела, а x — положение тела спустя время T.

Таким образом, мы вывели формулу для средней скорости $\bar{v} = (x - x_0)/T$. Следует заметить, что если тело движется с постоянной скоростью 60 км/ч, а затем мгновенно разворачивается и с той же скоростью возвращается в исходное положение, то средняя скорость будет равна нулю, хотя скорость его перемещения (среднее значение $|v|$) остается равной 60 км/ч.

Пример 3. Предположим, что автомобиль, движущийся со скоростью 60 миль/ч, может резко затормозить и остановиться в течение 5 секунд. Будем считать, что в эти 5 секунд его скорость уменьшается равномерно. (При этом средняя скорость равна $\bar{v}$ = 30 миль/ч = = 13,4 м/с.) Какое расстояние пройдет автомобиль до полной остановки?

Решение: Из (2-3) найдем выражение для $x - x_0$ и, подставив в него значение средней скорости 13,4 м/с, получим

$$x - x_0 = \bar{v}t = (13{,}4\ \text{м/с})(5\ \text{с}) = 67\ \text{м}.$$

Пример 3 позволяет нам найти длину тормозного пути на сухой дороге. Водители, которым (хотя бы из опыта) известен этот результат, понимают, что при скорости 60 миль/ч (около 97 км/ч) для полной остановки нужен тормозной путь по крайней мере в десять раз длиннее корпуса автомобиля. Таким образом, только приступив к изучению физики, мы сразу же получили практически важный результат.

Пример 4. Велосипедист преодолевает ряд холмов. На подъемах его скорость равна v_1, а на спусках v_2. Общая длина пути l, причем подъемы и спуски имеют одинаковые длины. Какова средняя скорость велосипедиста?

Решение: Обозначим через t_1 полное время подъема на холмы, а через t_2 — время спуска. Тогда $t_1 = (l/2)/v_1$, а $t_2 = (l/2)/v_2$. Подставив эти выражения в (2-4), найдем

$$\bar{v} = \frac{v_1(l/2v_1) + v_2(l/2v_2)}{l/2v_1 + l/2v_2} = \frac{2}{1/v_1 + 1/v_2} =$$

$$= \frac{2v_1v_2}{v_1 + v_2}.$$

---

§ 3. Ускорение

Качественное представление об ускорении известно каждому. Автомобиль ускоряется нажатием педали газа. Чем сильнее нажимается педаль, тем больше ускорение. При ускорении возрастает скорость и пассажиров прижимает к спинкам кресел. Это давление спинок служит количественной мерой ускорения. Нажатие на педаль тормоза приводит к аналогичному эффекту — только теперь это отрицательное ускорение (уменьшение скорости). **Ускорение — это быстрота изменения скорости.**

Постоянное ускорение

По определению тело движется с постоянным ускорением, если его скорость равномерно возрастает во времени. Если ускорение a постоянно, то

$$v - v_0 = at,$$

или

$$a = \frac{v - v_0}{t} \quad (\textit{постоянное ускорение}), \qquad (2\text{-}6)$$

где $v - v_0$ — приращение скорости за время t. В системе МКС ускорение a измеряется в метрах на секунду в квадрате (м/с^2), а в британской системе единиц — в футах на секунду в квадрате (фут/с^2).

Мгновенное ускорение

Если ускорение меняется во времени, то следует измерить изменение скорости Δv за небольшой интервал времени Δt. Тогда

$$a = \lim_{\Delta t \to 0} \left(\frac{\Delta v}{\Delta t} \right),$$

или

$$a \equiv \frac{dv}{dt} \quad (\textit{определение мгновенного ускорения}). \qquad (2\text{-}7)$$

В этой и следующих главах мы рассмотрим равномерно ускоренное движение. Позднее, при изучении простого гармонического движения и сил, обратно пропорциональных квадрату расстояния, мы встретимся с ускорением, меняющимся со временем и от точки к точке.

Ускорение свободного падения

Экспериментально установлено, что вблизи поверхности Земли *любой* свободный предмет падает по направлению к центру Земли с ускорением 9,8 м/с^2. Самое замечательное заключается в том, что ускорение не зависит ни от массы, ни от состава, ни от начальной скорости тела. (Если сопротивление воздуха является существенным, то ускорение оказывается меньше.) Это ускорение принято обозначать буквой g:

$$g = 9{,}8 \text{ м/с}^2 \quad (\textit{ускорение свободного падения}).$$

Мы будем всегда считать g положительной величиной. Поэтому, если ось x направлена вверх, то ускорение $a = -g$.

Пример 5. В течение целого года тело испытывает ускорение g. Какую скорость приобретет тело за это время, если первоначально оно покоилось?

Решение: В соответствии с (2-6) имеем

$$v = gt = (9{,}8 \text{ м/с}^2)\,(3{,}16 \cdot 10^7 \text{ с}) = 3{,}09 \cdot 10^8 \text{ м/с}.$$

Влияние релятивизма

В примере 5 скорость тела оказалась несколько выше скорости света, равной $2{,}998 \cdot 10^8$ м/с. Существует фундаментальный принцип (с ним мы познакомимся в гл. 8), согласно которому ни одно тело не может двигаться со скоростью, превышающей скорость света. Это заставляет нас предположить, что выражение $v = at$ не вполне корректно. Чтобы получить точное выражение для скорости, нужно вместо формулы (2-6) использовать выражения из теории относительности Эйнштейна. В теории относительности выражению $v = at$ соответствует формула

$$v = at\,[1 + (at/c)^2]^{-1/2}.$$

Здесь c — скорость света, a — постоянное ускорение, измеренное наблюдателем, находящимся на движущемся теле. Заметим, что если $at \gg c$, то из этой формулы следует $v \approx c$, а если $at \ll c$, то выражение в квадратных скобках, по существу, равно единице, и мы имеем $v \approx at$.

Поскольку при «обычных» скоростях теория относительности вносит весьма незначительные изменения, мы можем изучать классическую механику, используя выражение (2-6), которое обеспечивает хорошее приближение к точному реля-

тивистскому соотношению. Изменения, вносимые теорией относительности, мы подробно обсудим в гл. 8 и 9.

§ 4. Равномерно ускоренное движение

Таким образом, у нас имеется выражение, позволяющее найти скорость, если известны ускорение и время движения. Однако зачастую нас интересует не скорость тела, а его положение. Нам нужно найти выражение для x через a, t и начальную скорость v_0. С помощью (2-3) получаем следующее выражение для x:

$$x = x_0 + \bar{v}t. \qquad (2\text{-}8)$$

При равноускоренном движении скорость равномерно увеличивается от начального значения v_0 до v. Из рис. 2-3 мы видим, что среднее значение скорости равно средней ординате, т. е.

$$\bar{v} = (1/2)(v_0 + v).$$

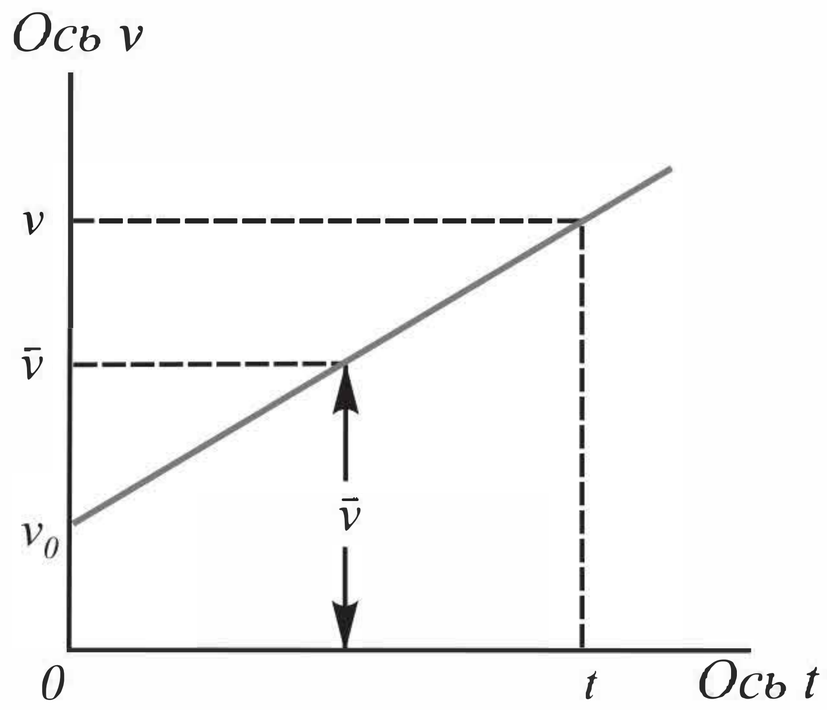


Рис. 2-3. График зависимости v от t. Средняя скорость равна ординате средней точки кривой

Если в (2-8) вместо $\bar{v}$ подставить $(1/2)\times$ $\times(v_0 + v)$, то можно записать

$$x = x_0 + (1/2)\,(v_0 + v)\,t.$$

Из (2-6) имеем $v = v_0 + at$. Подставим это значение v в предыдущее выражение:

$$x = x_0 + (1/2)\,[v_0 + (v_0 + at)]\,t,$$

или

$$x = x_0 + v_0 t + (1/2)\,at^2 \quad (\textit{при постоянном } a). \qquad (2\text{-}9)$$

Мы видим, что при равноускоренном движении перемещение тела, находившегося в состоянии покоя, меняется пропорционально квадрату времени. Из рис. 2-4 следует, что тело, свободно падающее из состояния покоя, проходит расстояние $x = gt^2/2$.

На рис. 2-5, *а* построена зависимость в соответствии с уравнением (2-9). Если обе части этого уравнения продифференцировать по времени, то мы получим

$$dx/dt = v_0 + at.$$

Производная в левой части по определению является скоростью v; на рис. 2-5, *б* представлена ее зависимость от времени. Дифференцируя последнее выражение еще раз, получаем $d^2x/dt^2 = a$; эта зависимость показана на рис. 2-5, *в*. Левая часть последнего равенства представляет собой dv/dt, т. е. ускорение.

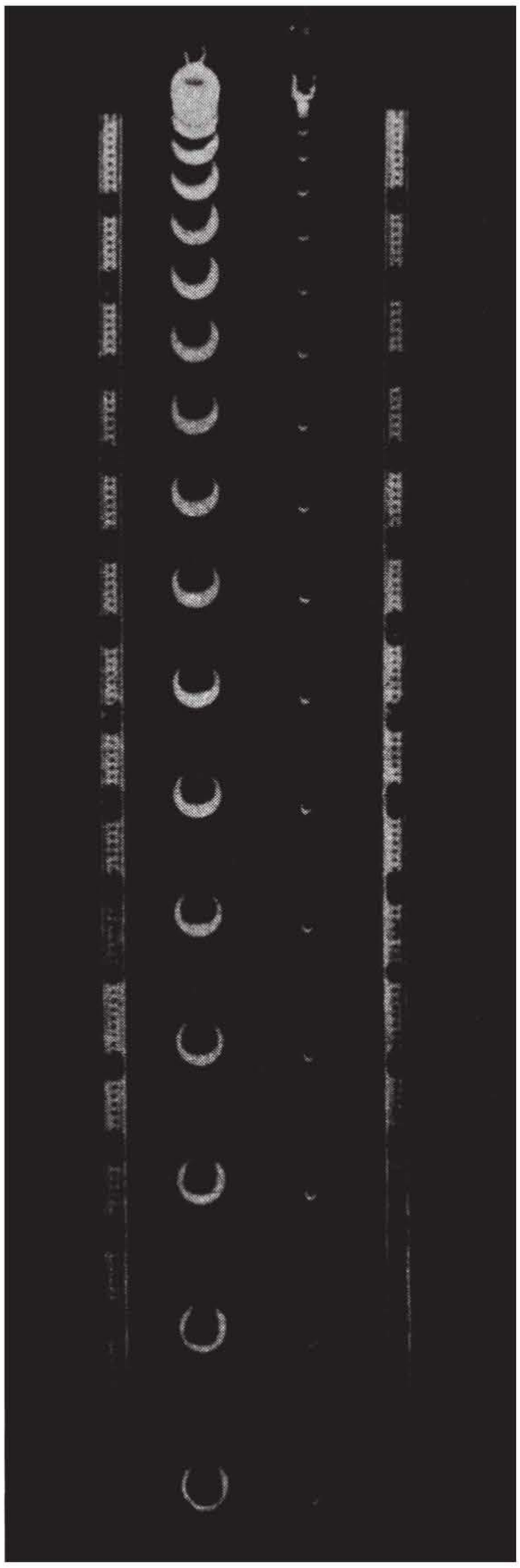
Пример 6. Переделайте графики, приведенные на рис. 2-5, для случая отрицательной начальной скорости v_0. Через какое время t_1 скорость движения окажется равна нулю?

Решение: Графики в случае отрицательных v_0 приведены на рис. 2-6. Чтобы найти значение t, при котором $v = 0$, нужно решить уравнение (2-6) относительно t и подставить в решение $v = 0$:

$$t = (v - v_0)/a,$$

$$t_1 = (0 - v_0)/a = -v_0/a.$$

Следует заметить, что при отрицательных v_0 и положительных a время t будет положительным.



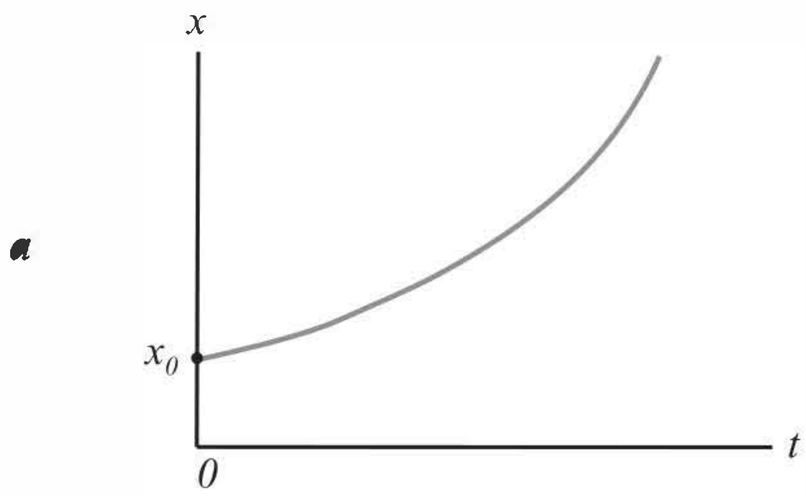


Рис. 2-5. *а* — график функции $x = x_0 + v_0 t + at^2/2$; *б* — производная этой функции, или тангенс угла наклона; *в* — тангенс угла наклона кривой, приведенной на рис. *б*

Рис. 2-4. Стробоскопическая фотография двух свободно падающих шариков различной массы. Для получения такой фотографии затвор фотоаппарата держат открытым, а предмет освещают периодическими вспышками света (в данном случае — через 1/30 с). Заметьте, что маленький шарик достигает дна сосуда одновременно с большим. Оба шарика начинают падать одновременно, и в начальный момент их нижние точки находятся на одном уровне [*С любезного разрешения Центра по развитию образования США.*]

Пример 7. Один из способов оценки качества автомобиля основан на определении того, насколько быстро он разгоняется с места до скорости 60 км/ч. У некоторых автомобилей ускорение лимитируется не мощностью двигателя, а проскальзыванием колес. Хорошие шины обеспечивают ускорение примерно $0{,}5g$. Сколько времени и какое расстояние потребуется в этом случае для разгона до 60 км/ч (16,8 м/с)?

Решение: Так как $v_0 = 0$, то

$$v = at,\ t = \frac{v}{a} = \frac{16{,}8\ \text{м/с}}{(1/2)(9{,}8\ \text{м/с}^2)} = 3{,}4\ \text{с},$$

$$x = at^2/2 = (1/2)\ (4{,}9\ \text{м/с}^2)\ (3{,}4\ \text{с})^2 = 28{,}3\ \text{м}.$$

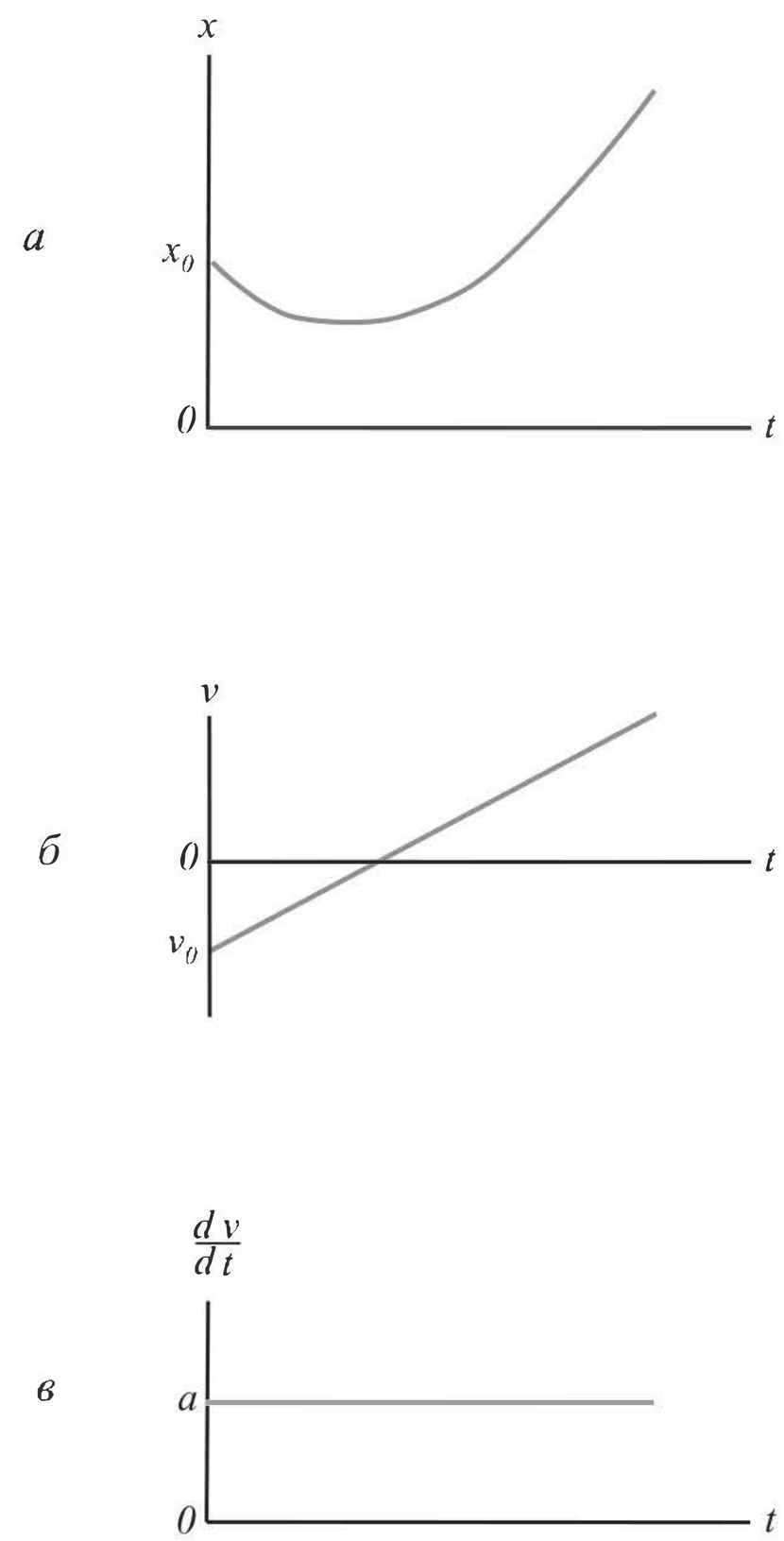


Рис. 2-6. То же, что и на рис. 2-5, но для случая отрицательной скорости v_0.

По аналогии с примером 7 можно определить минимальные время и расстояние, необходимые для полной остановки движущегося автомобиля. Если максимальное замедление также составляет $0{,}5g$, то $a = -4{,}9\ \text{м/с}^2$. Воспользуемся формулой (2-6), откуда находим $v - v_0 = at$, где $v_0 = 16{,}8$ м/с — начальная скорость, а $v = 0$ — конечная скорость. Таким образом,

$$0 - 16{,}8\ \text{м/с} = (-4{,}9\ \text{м/с}^2)\ t,$$

откуда

$$t = 3{,}4\ \text{с}.$$

Как и следовало ожидать, мы получили тот же результат, что и в примере 7. Действительно, если снять фильм о разгоне автомобиля (пример 7) и прокрутить этот фильм в обратном направлении, то мы увидим, как автомобиль движется задом наперед и тормозится с замедлением $4{,}9\ \text{м/с}^2$. При этом время торможения будет точно таким же, как и время разгона.

На этом же основании при подбрасывании мяча вертикально вверх время подъема совпадает с временем падения. Чему равны мгновенные значения ускорения и скорости мяча в тот момент, когда он достигает максимальной высоты? Мгновенная скорость равна нулю, и можно пытаться утверждать, что и ускорение должно быть равно нулю, когда скорость равна нулю. Однако скорость мяча независимо от своего значения непрерывно убывает с быстротой $9{,}8\ \text{м/с}^2$, следовательно, мгновенное значение ускорения равно $a = -9{,}8\ \text{м/с}^2$.

Пример 8. Предположим, что для комфортабельных условий полета горизонтальная составляющая ускорения авиалайнера не должна превышать $10\ \text{м/с}^2$ (что близко к g). Каким при этом может быть наименьшее время полета из Нью-Йорка в Бостон (расстояние 280 км)?

Решение: Начав полет в Нью-Йорке, авиалайнер первую половину пути будет двигаться равноускоренно, а вторую половину пути — равнозамедленно, чтобы приземлиться в Бостоне. Обозначим половину пути через x_1,

тогда $x_1 = (1/2)at_1^2$, где t_1 — половина времени полета,

$$t_1 = \sqrt{\frac{2x_1}{a}} = \sqrt{\frac{280 \cdot 10^3 \text{ м}}{10 \text{ м/с}^2}} = 167 \text{ с}.$$

Таким образом, полное время пути равно 335 с, или 5 мин 35 с.

Соотношение между скоростью и расстоянием

В формуле (2-9) расстояние выражается через время движения. Как будет показано в примере 9, иногда требуется выразить расстояние через скорость, исключив из рассмотрения время. Для этого нужно решить уравнение (2-6) относительно t и подставить полученное выражение в (2-9). Тогда

$$t = \left(\frac{v - v_0}{a} \right)$$

и

$$x = x_0 + v_0\left(\frac{v - v_0}{a} \right) + \frac{1}{2}a\left(\frac{v - v_0}{a} \right)^2 =$$

$$= x_0 + \frac{v^2 - v_0^2}{2a},$$

$$v^2 - v_0^2 = 2a(x - x_0)$$

(*при постоянном a*). (2-10)

Пример 9. Чтобы попасть на околоземную орбиту, ракета должна приобрести скорость 8 км/с. Кроме того, для выхода за пределы атмосферы нужно пролететь около 200 км. Предположим, что ракета может достичь нужной скорости, пролетев равноускоренно 200 км в атмосфере. Каким должно быть ее ускорение?

Решение: Подставим в (2-10) $v_0 = 0$ и $x = 2 \cdot 10^5$ м. Находим

$$v^2 = 2ax,$$

$$a = \frac{v^2}{2x} = \frac{\left(8 \cdot 10^3 \text{ м/с}\right)^2}{2\left(2 \cdot 10^5 \text{ м}\right)} = 160 \text{ м/с}^2 = 16{,}3g.$$

Это ускорение близко к предельному, которое может выдержать тренированный космонавт в течение длительного времени.

Известно несколько случаев, когда человек выпадал без парашюта из летящего на большой высоте самолета и оставался жив. Спасало то, что падение замедлялось или мягкими и глубокими снежными сугробами, или ветвями деревьев. Предположим, что человек на короткое время способен выдержать ускорение $a = 50g$. Какой глубины в этом случае должен быть снежный сугроб или какова должна быть высота дерева? К счастью, свободно падающее тело перестает ускоряться, как только сила сопротивления воздуха становится равна силе тяжести. Это происходит при скорости порядка 190 км/ч, или 53 м/с. Обозначим глубину снега через x, тогда

$$v^2 - v_0^2 = 2ax,$$

$$0 - v_0^2 = -100gx,$$

$$x = \frac{v_0^2}{100g} = \frac{(53 \text{ м/с})^2}{100\left(9{,}8 \text{ м/с}^2\right)} = 2{,}9 \text{ м}.$$

Один из документально достоверных случаев благополучного приземления человека без парашюта описан в заметке Снайдера*:

«Во время батальонных парашютных учений в ясный, относительно теплый день наблюдатель заметил, как ему показалось, тюк, вывалившийся из одного из самолетов с высоты

* *Snyder R.C.* Journ. Military Medicine, **131**, 1290 (1966).

360 м; за этим предметом не тянулся парашют. Падение на землю подняло облако снега и выглядело как взрыв мины. Прибывшие на место спасатели обнаружили молодого парашютиста, лежащего на спине на дне снежного кратера глубиной около 1 м. Кратер образовался при его падении в снежном покрове, состоящем из чередующихся слоев мягкого снега и наста. Парашютист мог говорить и не имел каких-либо повреждений».

Основные выводы

Прямолинейное движение с постоянной скоростью описывается уравнением

$$x = x_0 + vt.$$

Такое же уравнение справедливо и для средней скорости:

$$x = x_0 + \bar{v}t.$$

Мгновенная скорость определяется так:

$$v = dx/dt.$$

Если ускорение постоянно, то справедливы соотношения:

$$x = x_0 + v_0 t + (1/2)\, at^2,\ v = v_0 t + at,$$

а также

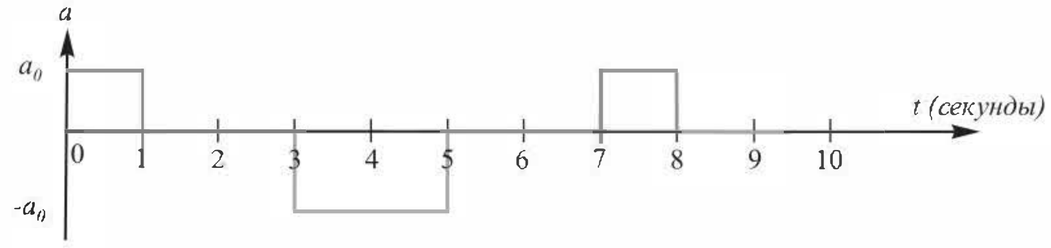
$$v^2 - v_0^2 = 2a(x - x_0).$$

Мгновенное ускорение определяется так:

$$a = dv/dt = d^2x/dt^2.$$

Упражнения

1. Сколько м/с в одном км/ч?
2. В момент времени $t = -2$ с автомобиль начал движение из точки $x = 50$ км с постоянной скоростью $v = -10$ км/с.
   а) Постройте кривую зависимости x от t.
   б) В какой момент времени автомобиль будет в точке $x = 0$?
3. Чему равна скорость $\bar{v}$ движения велосипедиста в примере 4, усредненная по пути?
4. Тело, находившееся в состоянии покоя, приходит в движение с постоянным ускорением. За время T оно проходит расстояние s. Как выражается мгновенное значение скорости в момент времени T через s и T?
5. Автомобиль проходит расстояние x_1 со скоростью v_1, а затем расстояние x_2 со скоростью v_2. Чему равна скорость, усредненная по пути? (Здесь весовыми множителями являются x_1 и x_2.)
6. В момент времени t_1 тело находится в точке x_1 и имеет скорость v_1. В более поздний момент времени x_2 оно имеет координату t_2 и скорость v_2.
   а) Чему равна средняя скорость этого тела?
   б) Чему равно его среднее ускорение?
7. Ниже приведен график ускорения частицы, движущейся вдоль оси x. Начертите график зависимости ее скорости и координаты от времени, полагая $x = v = 0$ при $t = 0$.



8. Постройте зависимость x от t при положительных x_0 и v_0 в случае, когда ускорение a постоянно и отрицательно.
9. Постройте зависимость x от t при отрицательных x_0 и v_0 в случае, когда ускорение a постоянно и отрицательно.
10. Продолжите кривые, показанные на рис. 2-6, в область отрицательных t.
11. Рассмотрите снова пример 8 в случае, когда допустимое горизонтальное ускорение равно $2g$.
12. Вычислите максимальную скорость самолета при условиях, указанных в примере 8.
13. Повторите вычисления, как в примере 8, но для случая, когда самолет летит к противоположной точке земного шара. (При этом x_1 можно считать равным одной четверти длины экватора Земли.)
14. Сколько времени потребуется на кругосветное путешествие, если совершать его так же, как в примере 8?

15. Стальной шарик периодически подпрыгивает на стальной плите с периодом 1 с. На какую высоту он поднимается?

16. Автомобиль врезается со скоростью 100 км/ч в твердую стену. Падению с какой высоты эквивалентен этот удар?

17. Ракета при вертикальном взлете набирает скорость 900 км/ч к отметке высоты 300 м. Во сколько раз ее ускорение больше g?

18. Предположим, что система противоракетной обороны получает оповещение о том, что через минуту над стартовой площадкой ракеты-перехватчика на высоте 200 км будет находиться баллистическая ракета противника. Ракета-перехватчик способна развить ускорение $10g$. Достаточно ли одной минуты для перехвата?

19. Предельная скорость падения человеческого тела в воздухе около 55 м/с. С какой высоты должно падать тело в вакууме, чтобы достичь такой скорости?

20. Ракета запускается с постоянным ускорением $16g$. Какое расстояние она пролетит к моменту достижения второй космической скорости 11,3 км/с?

Задачи

21. Тело начинает двигаться равноускоренно с начальной скоростью v_0. За время T оно проходит расстояние x. Чему равна его мгновенная скорость в момент времени T?

22. Пусть $x = At^n$, тогда

$$\frac{\Delta x}{\Delta t} = A\frac{(t+\Delta t)^n - t^n}{\Delta t}.$$

Используя биномиальное разложение $(t + \Delta t)^n$, найдите первый, второй и третий члены разложения при $t = 1$ с и $\Delta t = 0{,}1$ с.

23. При игре в бейсбол правый полевой игрок находится в 60 м от основной базы (дома). В тот момент, когда он кидает мяч к основной базе, другой игрок, находившийся у третьей базы, устремляется к основной базе, на этот путь ему нужно 4,5 с. Успеет ли он вовремя добежать до нее, если максимальная высота подъема мяча около 19,2 м?

24. Мяч подбрасывают вертикально вверх и ловят через 2 с.
а) Какова начальная скорость мяча?
б) На какую высоту взлетает мяч?

25. Тело с начальной скоростью 10 м/с движется равнозамедленно и останавливается, пройдя 20 м.
а) Чему равно отрицательное ускорение?
б) Сколько времени потребовалось для полной остановки?
в) Нарисуйте график зависимости v от t, а также x от t.

26. Для выхода на орбиту космонавт, покоившийся до старта, должен за время T достичь первой космической скорости 8 км/с. Будем считать, что в этот промежуток времени космический корабль движется прямолинейно с постоянным ускорением $4g$. Через какое время космический корабль достигнет первой космической скорости и какое расстояние он преодолеет к этому моменту?

27. Искусственный спутник Земли движется по орбите на высоте 400 км. Сверхмощная пушка стреляет вертикально вверх, чтобы сбить этот спутник. Будем считать ускорение свободного падения постоянным и пренебрежем сопротивлением воздуха. Какой должна быть начальная скорость снаряда, чтобы он достиг спутника? Сколько времени ему на это потребуется?

28. Предположим, что автомобиль, движущийся со скоростью 60 км/ч, сталкивается в лоб со встречным тяжелым грузовиком, также имеющим скорость 60 км/ч. Будем считать, что скорость грузовика после столкновения не изменилась. Чему равна эквивалентная высота, при падении с которой на радиатор автомобиль получит такое же повреждение?

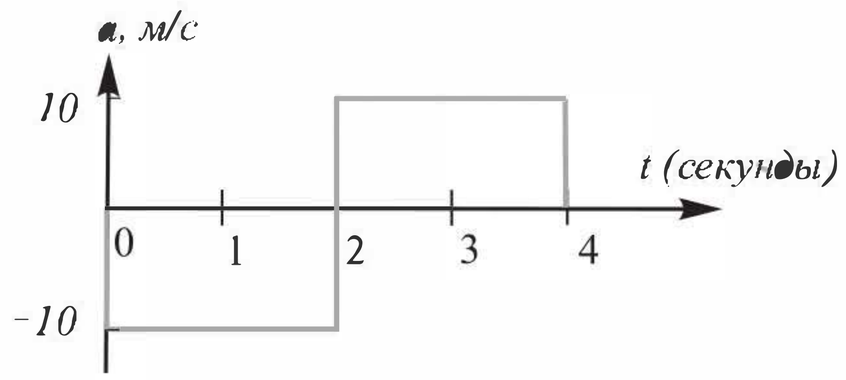
29. Рассмотрите пример 5, но теперь считайте, что тело движется не год, а полгода. Чему равна его конечная скорость? Приведите результаты в классическом и релятивистском случаях.

30. Тело движется из состояния покоя в течение года с постоянным ускорениемg. Чему равна его конечная скорость относитель-

но начальной точки (согласно теории относительности)? Насколько близка она к скорости света, если движение длится 10 лет?

31. Сколько времени потребуется телу, движущемуся, как указано в предыдущей задаче, чтобы достичь скорости, равной 99 % скорости света?

32. Частица движется из состояния покоя в течение 4 с с ускорением, меняющимся в соответствии с графиком, приведенным ниже.



а) Постройте зависимость v от t.
б) Постройте зависимость расстояния от времени.
в) Какой максимальной скорости достигнет тело на этом интервале времени (4 с)?
г) Какое расстояние пройдет частица за 4 с?

33. Человек, находящийся в комнате на пятом этаже, видит, как мимо его окна пролетает сверху цветочный горшок. Расстояние 2 м, равное высоте окна, горшок пролетел за 0,1 с. Высота одного этажа 4 м. Считая $g = 9{,}8$ м/с^2, определите, с какого этажа выпал горшок?

34. Мяч падает на плоскую поверхность с высоты 20 м и отскакивает на высоту 5 м.
а) Какова скорость мяча перед его соприкосновением с поверхностью?
б) Сколько времени прошло с момента начала его падения до достижения высшей точки после отскока?
в) Какова скорость мяча сразу после отскока?

35. (В задаче используется интегральное исчисление.) Частица, находившаяся в состоянии покоя, движется с постоянным ускорением a, и ее скорость достигает значения v_1. Докажите, что усредненное по пути значение $\bar{v}$ равно (2/3) v_1. Постройте зависимость v от x.

36. (В задаче используется интегральное исчисление.) Записывая ускорение в виде $a = At$, покажите, что тело, движущееся из состояния покоя, проходит за время t путь $x = A(t^3/6)$.

37. (При решении можно не пользоваться интегральным исчислением.) Найдите в соответствии с условиями задачи 36 зависимость v от t.

38. (В задаче используется интегральное исчисление.) Решите задачу 37 для случая, когда движение тела из точки x_0 начинается с начальной скоростью v_0.

39. Из-за сопротивления воздуха формула для количества бензина, потребляемого автомобилем, содержит член, пропорциональный квадрату скорости. Если обозначить через V объем топлива, необходимого для преодоления автомобилем расстояния x со скоростью v, то эта формула запишется в виде

$$\frac{V}{x} = A + Bv^2.$$

Используя приведенные на рис. 7-15 данные для автомобиля марки «Пинто», ответьте на следующие вопросы:

а) Чему равно A в л/км (1 л = 10^3 см^3)?
б) Чему равно B в (л/км)/(км/ч)^2?
в) Чему равно B в (л·с^2)/м^3?

3

Двумерное движение

В предыдущей главе рассматривалось прямолинейное движение. Независимо от направления движения, по горизонтали или по вертикали, мы считали, что оно происходит вдоль оси x. В данной главе мы займемся изучением движения в плоскости. Как правило, это будет вертикальная плоскость. Будем обозначать горизонтальную координату x, а вертикальную — y. Мы покажем, что двумерное движение можно рассматривать как два независимых одномерных движения.

§ 1. Траектории свободного падения

Воспользуемся рис. 3-1 и убедимся в том, что при выстреле из игрушечной пушки под углом θ к линии горизонта шарик летит по параболе. На фото *а* выстрел произведен вертикально вверх с начальной скоростью $(v_0)_y$. При съемке затвор фотоаппарата остается открытым, а предмет освещается стробоскопическими короткими вспышками с частотой 10 раз в секунду. В соответствии с (2-9) перемещение шарика по вертикали дается выражением

$$y = (v_0)_y t - gt^2/2. \qquad (3\text{-}1)$$

На фото *б* показана траектория при таком же вертикальном выстреле из пушки, движущейся вправо с постоянной скоростью, а на фото *в* — траектория шарика, когда фотоаппарат движется влево

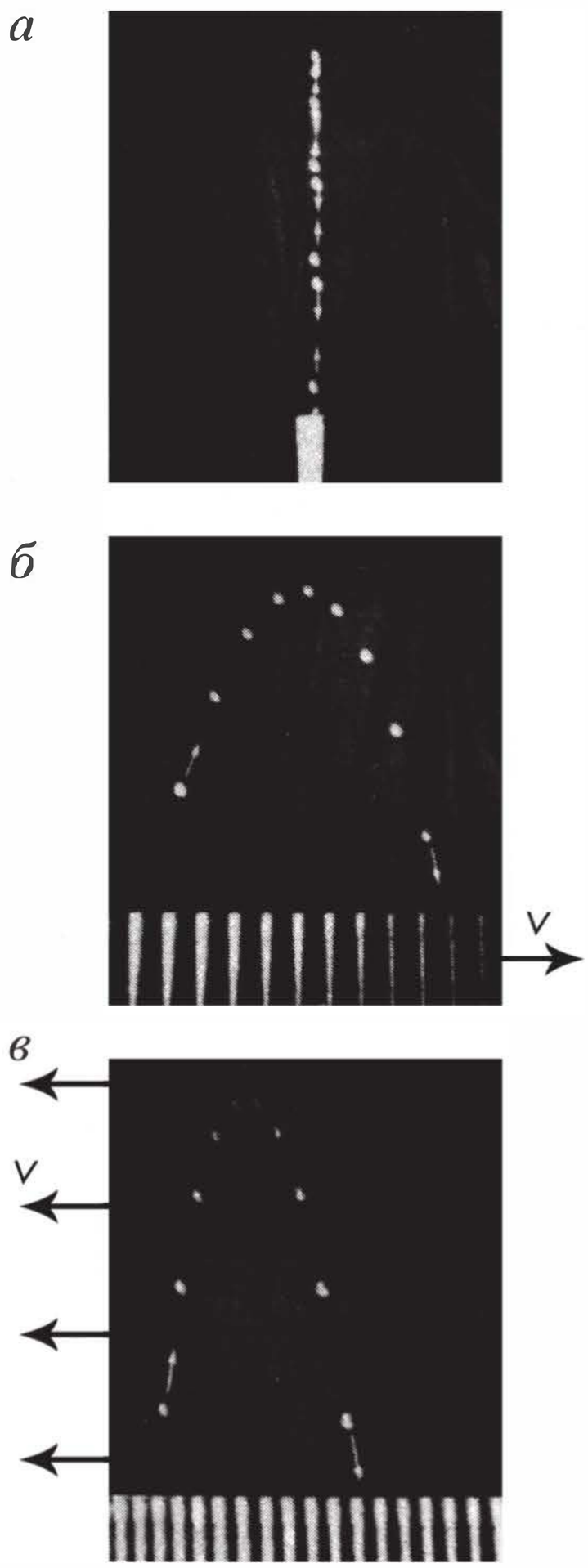


Рис. 3-1. Стробоскопическая фотография шарика, вылетающего вертикально из пушки. Частота вспышек — 10 раз в секунду. *а* — пушка неподвижна; *б* — пушка расположена на тележке, движущейся вправо; *в* — пушка неподвижна, как и на рис. *а*, но съемка производится фотоаппаратом, движущимся влево

со скоростью $-(v_0)_x$. Относительно наблюдателя, движущегося вместе с фотоаппаратом, перемещение шарика по горизонтали запишется в виде

$$x = (v_0)_x t, \tag{3-2}$$

а перемещение по вертикали описывается выражением (3-1), поскольку второй снимок соответствует точно такому же физическому процессу, что и первый.

Уравнение траектории шарика, изображенной на фото *в*, можно получить, решая уравнение (3-2) относительно t и подставляя это решение в (3-1):

$$y = (v_0)_y \left(\frac{x}{(v_0)_x}\right) - \frac{1}{2} g \left(\frac{x}{(v_0)_x}\right)^2 =$$

$$= \frac{(v_0)_y}{(v_0)_x} x - \frac{g}{2(v_0)_x^2} x^2. \tag{3-3}$$

Это уравнение является уравнением параболы.

При получении фото *б* фотоаппарат оставался неподвижным, как и в случае с фото *а*, а пушка располагалась на тележке, движущейся вправо с постоянной горизонтальной скоростью $v_{\text{тележки}}$. Ее перемещение по горизонтали дается формулой (3-2), в которой $(v_0)_x$ нужно заменить на $v_{\text{тележки}}$. Поскольку ускорение свободного падения не зависит от скорости тела, перемещение шарика по вертикали по-прежнему описывается выражением (3-1), и траекторией шарика должна быть парабола. Действительно, из рис. 3-1 видим, что в любом случае траектория имеет форму параболы. В следующем параграфе мы покажем, что абсолютное значение начальной скорости на рис. 3-1, *б* равно $v_0 = \sqrt{(v_0)_x^2 + (v_0)_y^2}$.

§ 2. Векторы

Рассматривая движение на плоскости, мы должны будем складывать и вычитать скорости, которые не всегда бывают направленными в одну и ту же сторону. Начиная со следующей главы, мы будем складывать и вычитать силы, имеющие различные направления. Для упрощения этих действий можно воспользоваться математическим понятием вектора. Вектор характеризуется длиной и направлением, но не имеет определенного положения в пространстве. Например, начальная скорость шарика на рис. 3-2 может быть определена, если заданы ее величина в метрах в секунду и угол θ, который ее направление составляет с горизонтальной осью x. Скорость можно также определить, задавая ее составляющие $(v_0)_x$ и $(v_0)_y$. С помощью теоремы Пифагора нетрудно найти соотношение между v_0 и ее составляющими. Пусть за время Δt шарик пролетает расстояние Δx по горизонтали и Δy по вертикали. Тогда в соответствии с рис. 3-3 полное линейное перемещение шарика за время Δt запишется в виде

$$\Delta s = \sqrt{(\Delta x)^2 + (\Delta y)^2}\ .$$

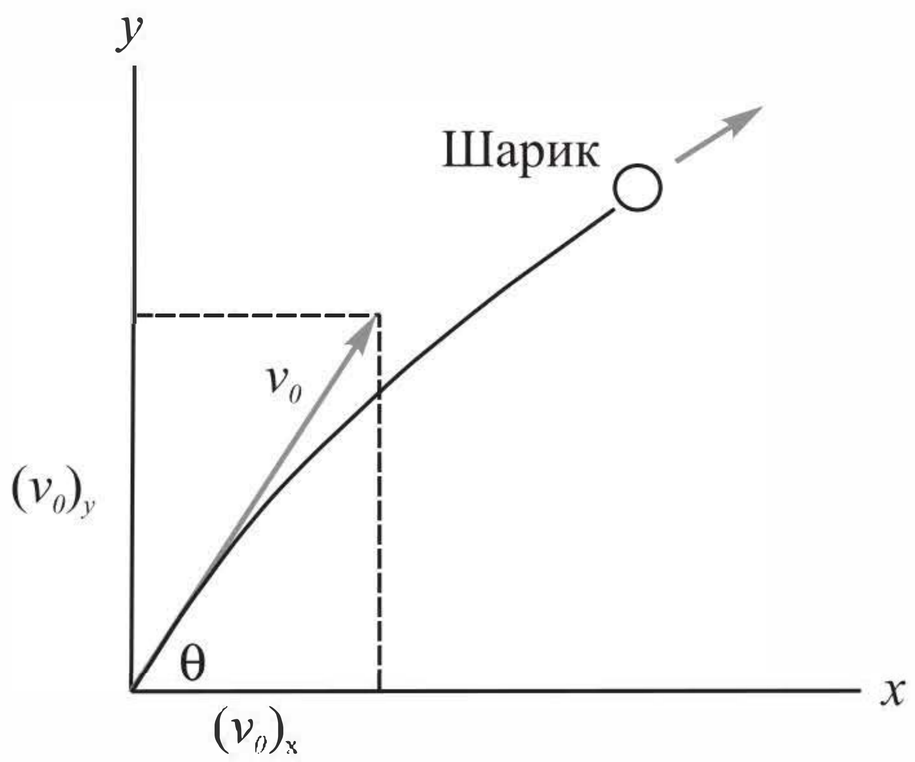


Рис. 3-2. Разложение начальной скорости v_0 на ее составляющие по осям x и y

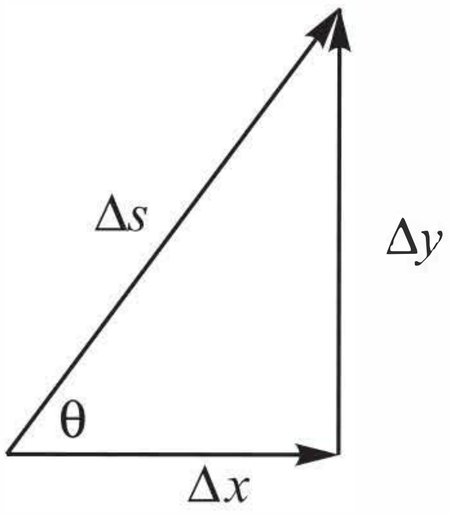


Рис. 3-3. Соотношение между перемещением Δs и его составляющими по осям x и y

Разделив обе части этого выражения на Δt, получим

$$\Delta s/\Delta t = \sqrt{(\Delta x/\Delta t)^2 + (\Delta y/\Delta t)^2} ,$$

или

$$v = \sqrt{(v_x)^2 + (v_y)^2} .$$

Отметим, что $v_x = v\cos\theta$ и $v_y = v\sin\theta$. При движении во всех трех измерениях имеем

$$v = \sqrt{(v_x)^2 + (v_y)^2 + (v_z)^2} .$$

Сложение векторов

Чтобы полностью определить вектор, необходимо задать правило сложения векторов, имеющих различные направления. Это правило формулируется следующим образом: **Вектор представляет собой математическую величину, характеризуемую длиной и направлением. Любая составляющая суммы двух векторов равна сумме соответствующих составляющих этих векторов** (рис. 3-4).

На рис. 3-4 показано, как складываются два вектора. Вектор $\mathbf{s}_1$ представляет собой перемещение из точки A в точку B, а $\mathbf{s}_2$ — перемещение из точки B в точку C. Результирующее перемещение из A в C представляет собой векторную сумму $\mathbf{s}$. Из рис. 3-4 мы видим, что

$$s_x = s_{1x} + s_{2x}, \quad s_y = s_{1y} + s_{2y}.$$

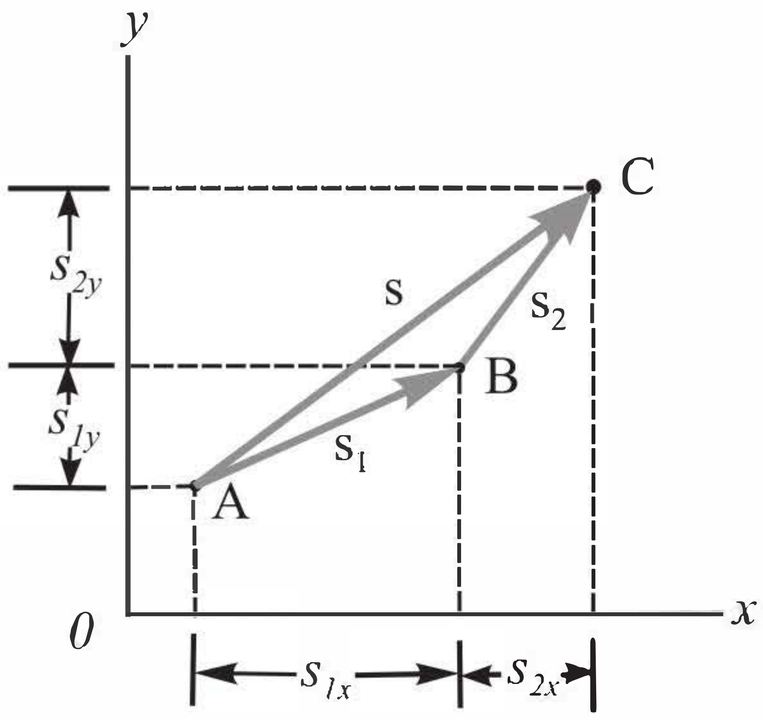


Рис. 3-4. Сложение двух векторов путем совмещения начала второго вектора с концом первого

Если векторы $\mathbf{s}_1$ и $\mathbf{s}_2$ не лежат в плоскости xy, то, кроме того, и

$$s_z = s_{1z} + s_{2z}.$$

В данной книге векторы будут обозначаться прямыми полужирными буквами, например $\mathbf{s}$, а длины векторов — курсивными светлыми буквами, например s, либо в виде $|\mathbf{s}|$. Длина вектора всегда положительна. Векторное уравнение $\mathbf{s} = \mathbf{s}_1 + \mathbf{s}_2$ представляет собой сокращенную форму записи приведенных выше трех уравнений. Отметим, что если векторы $\mathbf{s}_1$ и $\mathbf{s}_2$ не являются параллельными, то для суммы $\mathbf{s} = \mathbf{s}_1 + \mathbf{s}_2$ справедливо неравенство $s < s_1 + s_2$. Более того, иногда величина s может оказаться меньше любого из ее слагаемых. Такой случай показан на рис. 3-5.

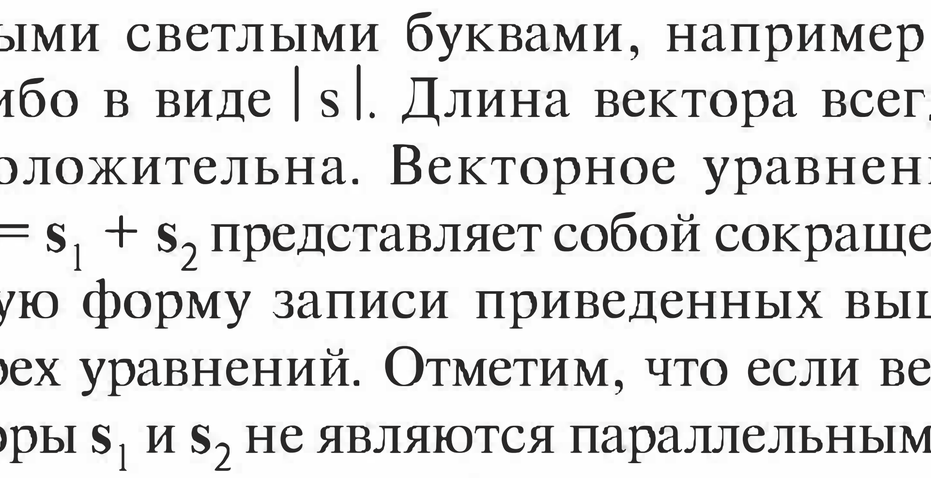


Рис. 3-5. Применение правила многоугольника к определению суммы $\mathbf{s} = \mathbf{s}_1 + \mathbf{s}_2 + \mathbf{s}_3$

Правило многоугольника

На рис. 3-4 мы совместили начало вектора $\mathbf{s}_2$ с концом вектора $\mathbf{s}_1$. При этом вектор суммы $\mathbf{s}$ соединил начало первого вектора с концом второго. Заметим, что $s_x = s_{1x} + s_{2x}$ и $s_y = s_{1y} + s_{2y}$; следовательно, в соответствии с определением $\mathbf{s} = \mathbf{s}_1 + \mathbf{s}_2$. Процесс совмещения начала последующего вектора с концом предыдущего можно повторять много раз, и мы приходим к правилу многоугольника для сложения векторов (см. рис. 3-5). Поскольку $s_{1x} + s_{2x} = s_{2x} + s_{1x}$, ясно, что $\mathbf{s}_1 + \mathbf{s}_2 = \mathbf{s}_2 + \mathbf{s}_1$, т. е. порядок слагаемых не влияет на окончательный результат.

Отрицательный вектор совпадает по длине с исходным, но направлен в противоположную сторону. Чтобы вычесть вектор, можно прибавить соответствующий ему отрицательный вектор. Так, если $\mathbf{v} = \mathbf{v}_2 - \mathbf{v}_1$, то $\mathbf{v} = \mathbf{v}_2 + (-\mathbf{v}_1)$. Такое сложение векторов иллюстрируется рис. 3-6.

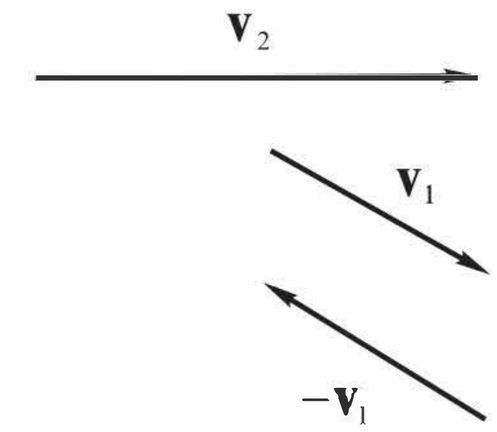


Рис. 3-6. На верхнем треугольнике вектор $-\mathbf{v}_1$ складывается с $\mathbf{v}_2$, что дает $\mathbf{v}_2 - \mathbf{v}_1$. Нижний треугольник иллюстрирует иной метод построения разности

Пример 1. Векторы $\mathbf{v}_1$ и $\mathbf{v}_2$ имеют одну и ту же длину v. Угол между ними составляет θ. Чему равно абсолютное значение их разности $\mathbf{v}_2 - \mathbf{v}_1$?

Решение: Обозначим $\Delta v = |\mathbf{v}_2 - \mathbf{v}_1|$. Это длина основания равнобедренного треугольника, показанного на рис. 3-7.

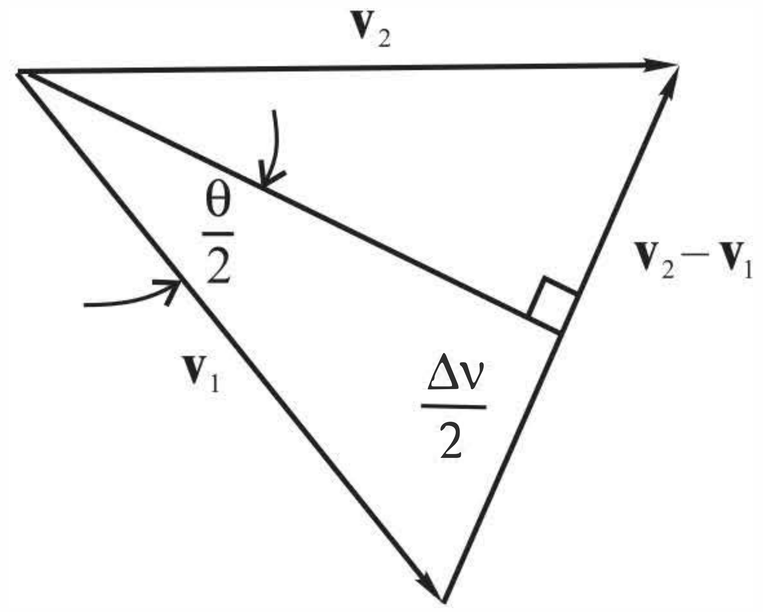


Рис. 3-7. Векторы $\mathbf{v}_1$ и $\mathbf{v}_2$ имеют одинаковые длины. Жирный вектор представляет собой их разность

Для любого из прямоугольных треугольников

$$\sin\left(\frac{1}{2}\theta\right) = \Delta v / 2v .$$

Следовательно,

$$\Delta v = 2v \sin\left(\frac{1}{2}\theta\right).$$

В физике часто приходится иметь дело с векторными величинами. Является ли та или иная физическая величина векторной, в конечном счете устанавливается опытным путем. К векторным величинам, которые мы будем изучать в данной книге, относятся перемещение тела, скорость, ускорение, сила, импульс, момент импульса, момент силы, электрическое поле, магнитное поле и плотность тока.

Если вектор умножить (или разделить) на число, то результирующая величина также будет вектором. Например,

при делении перемещения $\Delta\mathbf{s}$ на Δt получаем вектор скорости:

$$\mathbf{v} \equiv \lim_{\Delta t \to 0}\left[\frac{\Delta \mathbf{s}}{\Delta t}\right] \quad (\textit{определение скорости}).$$

Аналогично при делении вектора $\Delta\mathbf{v}$ на Δt имеем вектор ускорения:

$$\mathbf{a} \equiv \lim_{\Delta t \to 0}\left[\frac{\Delta \mathbf{v}}{\Delta t}\right] \quad (\textit{определение ускорения}).$$

Векторное сложение скоростей можно продемонстрировать на примере лодки, перемещающейся в движущейся воде. Обозначим через $\Delta\mathbf{S}$ перемещения лодки относительно воды и через $\Delta\mathbf{S}_w$ перемещение воды относительно берега за одно и то же время Δt. Тогда для перемещения $\Delta\mathbf{S}'$ лодки относительно берега имеем $\Delta\mathbf{S}' = \Delta\mathbf{S}_w + \Delta\mathbf{S}$. Разделив обе части этого выражения на Δt, получим

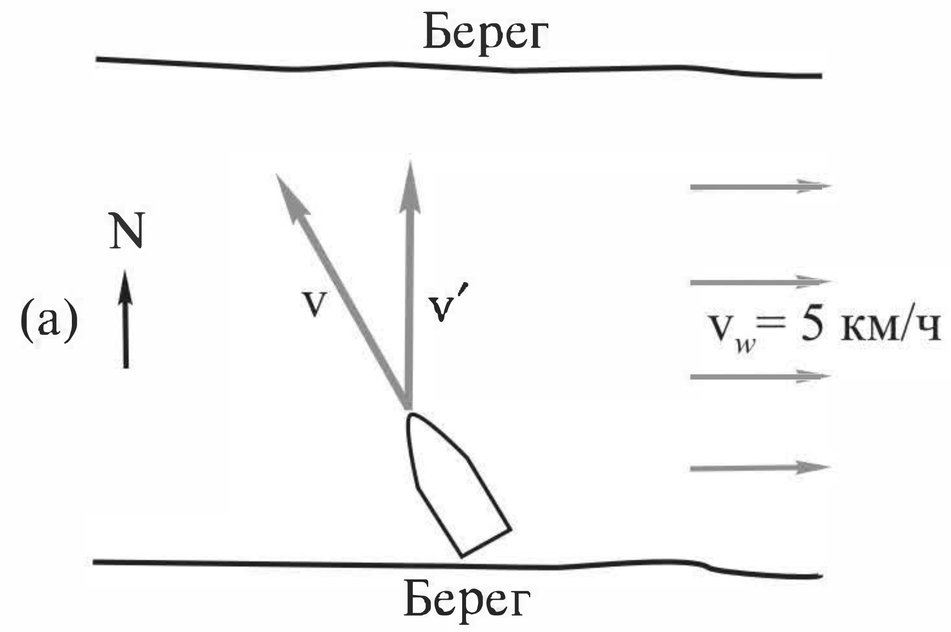
$$\frac{\Delta \mathbf{S}'}{\Delta t} = \frac{\Delta \mathbf{S}'_w}{\Delta t} + \frac{\Delta \mathbf{S}'}{\Delta t}.$$

В пределе при $\Delta t \to 0$ имеем

$$\mathbf{v}' = \mathbf{v}_w + \mathbf{v}.$$

В приводимом ниже примере через $\mathbf{v}$ обозначена скорость лодки в системе отсчета (в системе координат), которая покоится относительно воды. Эту скорость измеряют те, кто находится на борту лодки, если они не видят берегов. Наблюдатель в другой системе отсчета, а именно связанной с берегом, видит иную скорость движения лодки $\mathbf{v}'$, которая дается написанным выше соотношением.

Пример 2. Парóм пытается пересечь реку, текущую, как показано на рис. 3-8, на восток со скоростью 5 км/ч. Рулевому известна скорость парома относительно воды: 10 км/ч. Куда надо править, чтобы паром двигался поперек реки и какой будет скорость парома относительно берега?



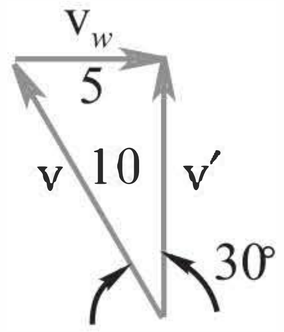
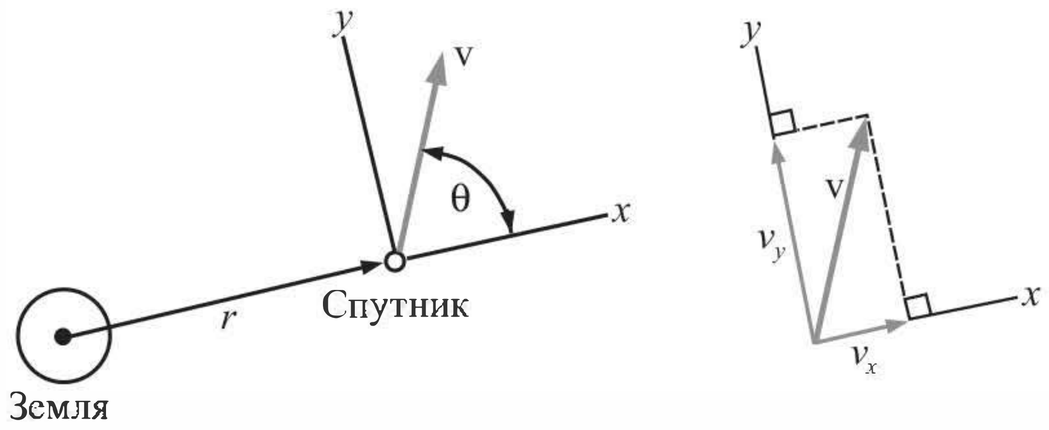


Рис. 3-8. Чтобы пересечь реку, имеющую скорость течения 5 км/ч, паром со скоростью 10 км/ч должен держать курс под углом 30°

Решение: Обозначим через $\mathbf{v}$ вектор скорости парома относительно воды, а через $\mathbf{v}_w$ — скорость воды. Тогда скорость парома относительно берега $\mathbf{v}' = \mathbf{v} + \mathbf{v}_w$, и она должна быть направлена на север. На рис. 3-8, *б* показан треугольник, составленный из этих векторов. Один угол в этом треугольнике прямой, а два других равны 30 и 60°, поскольку гипотенуза треугольника в два раза длиннее одного из катетов. Следовательно, рулевой должен держать курс под углом 30° к северо-западу. Величина вектора $\mathbf{v}'$ равна 10 км/ч×cos 30°, т. е. 8,66 км/ч. Заметим, что она меньше суммы величин слагаемых: 8,66 < 10 + 5.

Разложение векторов

Мы уже познакомились с тем, как построить вектор, если известны его составляющие. Однако встречается и обратная ситуация, когда вектор известен, а нужно найти его составляющие. Типичный пример — задача об определении радиальной и тангенциальной скоростей искусственного спутника на околоземной орбите (рис. 3-9, *а*).



(а) (б)

Рис. 3-9. *а* — искусственный спутник движется со скоростью **v** на расстоянии **r** от центра Земли; *б* — для определения составляющих скорости по осям *x* и *y* из конца вектора **v** на эти оси опускаются перпендикуляры

Направим ось *x* вдоль радиуса *r*. Радиальную составляющую v_x можно найти, опустив перпендикуляр на ось *x* из конца вектора **v** (как показано на рис. 3-9, *б*). Она равна длине отрезка на оси *x*, т. е. $v_x = v\cos\theta$. Чтобы найти тангенциальную скорость, нужно опустить перпендикуляр на ось *y*, иначе говоря, спроецировать вектор на ось *y*.

Пример 3. Тело массой *m* соскальзывает под действием силы тяжести $\mathbf{F}_g$ с наклонной плоскости (рис. 3-10). Чему равна составляющая силы $\mathbf{F}_{\parallel}$ вдоль наклонной плоскости?

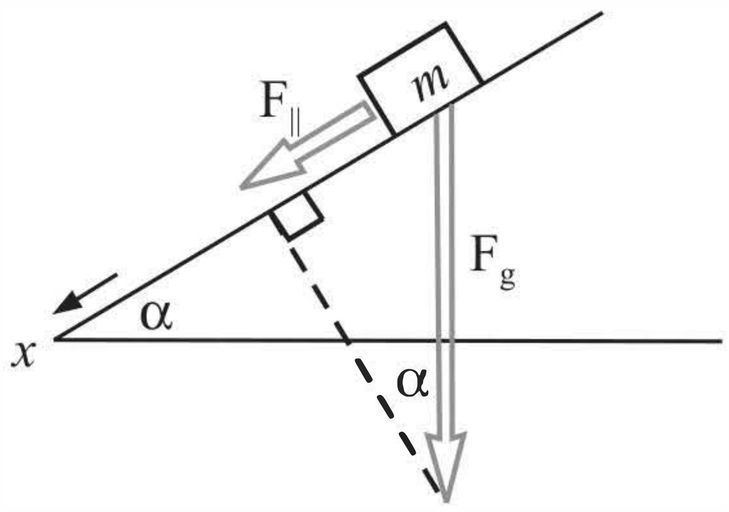
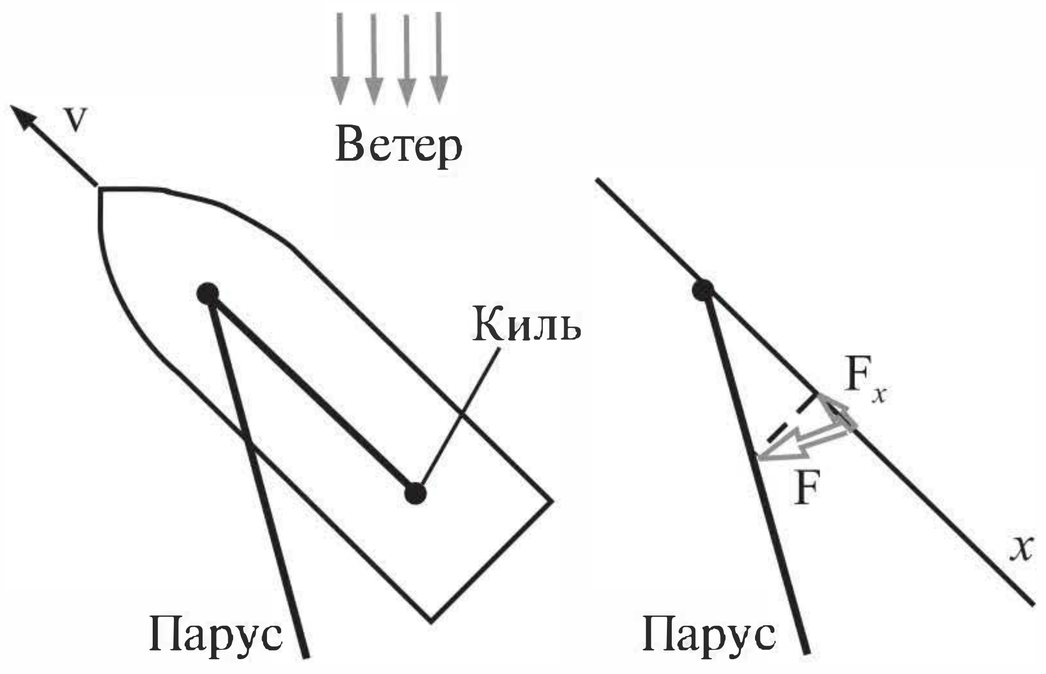


Рис. 3-10. Сила тяжести $\mathbf{F}_g$, действующая на массу *m*, направлена строго вниз. Ее составляющую $\mathbf{F}_{\parallel}$ вдоль наклонной плоскости можно найти, опустив перпендикуляр к этой плоскости

Р е ш е н и е: Выберем на рис. 3-10 направление вдоль наклонной плоскости за ось *x*. Затем опустим перпендикуляр из конца вектора $\mathbf{F}_g$ на ось *x*. Из рисунка находим

$$\mathbf{F}_{\parallel} = \mathbf{F}_g \sin\alpha.$$

Используя разложение векторов, можно, например, объяснить движение парусной яхты против ветра. На рис. 3-11, *а* показана яхта, идущая под углом 45° к ветру. Проекция скорости ветра $\mathbf{v}_{\text{ветра}}$ на ось яхты направлена навстречу ее движению, и мы удивляемся, как яхта может двигаться против ветра.



(а) (б)

Рис. 3-11. *а* — парусная лодка (яхта) идет под углом 45° к ветру; *б* — составляющая силы, действующая на парус в направлении движения, равна $\mathbf{F}_x$; эта сила и тянет лодку вперед

Объяснение связано с разложением вектора силы, действующей на парус. Сила ветра **F**, действующая на плоский парус, направлена перпендикулярно его плоскости, как показано на рис. 3-11, *б*. Благодаря килю (или выдвижному килю), находящемуся под днищем, яхта может двигаться только вдоль оси, которую мы примем за ось *x*. Из рисунка мы видим, что проекция силы F_x на эту ось направлена по движению. (Одно из допущений, сделанных в ходе этого объяснения,

связано с плоской формой паруса. В действительности парус надувается под действием ветра, что позволяет получить дополнительный эффект, обеспечивающий движение яхты вперед.)*

Единичные векторы

Произвольный вектор **v** можно задать тремя его составляющими v_x, v_y, v_z. В учебниках по физике общепринята следующая запись:

$$\mathbf{v} = \mathbf{i}v_x + \mathbf{j}v_y + \mathbf{k}v_z,$$

где **i**, **j**, **k** — единичные векторы, направленные вдоль осей x, y, z соответственно. Например, как показано на рис. 3-12, вектор **i** имеет единичную длину и направлен вдоль оси x.

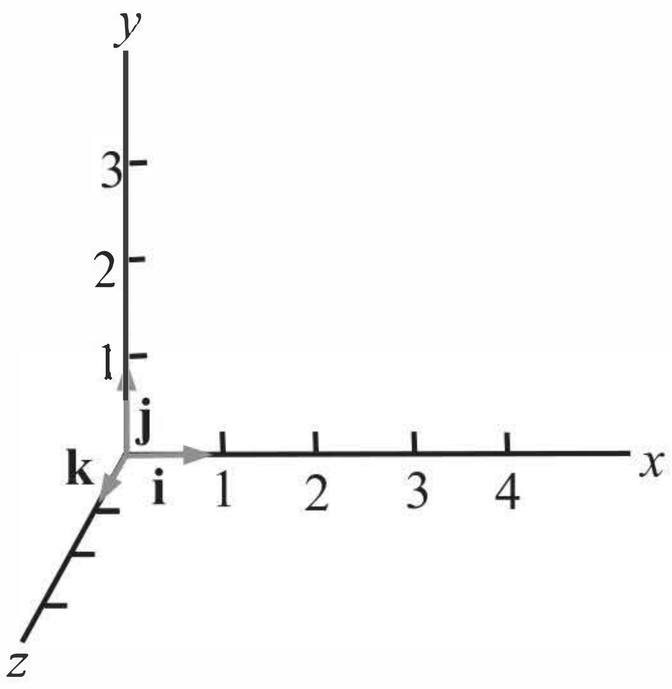


Рис. 3-12. Три единичных вектора **i**, **j** и **k**

В математике разработаны также правила умножения векторов. Раньше, чем в гл. 6, у нас не будет необходимости перемножать векторы. Поэтому пока мы отложим обсуждение этого вопроса.

---

* При реальном осуществлении этого явления необходимо, конечно, учитывать также и момент (см. гл. 10), создаваемый действующей на парус силой ветра относительно оси (киля яхты) и могущий опрокинуть яхту при неправильном (близком к 90°) выборе угла постановки паруса. — *Прим. ред.*

Пример 4. Вектор, проведенный из начала координат в точку, где находится частица (именуемый также радиус-вектором частицы), определяется тремя числами и записывается в виде

$$\mathbf{S} = \mathbf{i}a_1 t + \mathbf{j}\,(a_2 t - a_3 t^2).$$

Найдите $|\mathbf{v}_0|$, **v** и **a** (ускорение).

Решение: Для нахождения скорости воспользуемся ее определением:

$$\mathbf{v} = \frac{d\mathbf{S}}{dt} = \mathbf{i}\,a_1 + \mathbf{j}(a_2 - 2a_3 t)\,.$$

При $t = 0$ имеем

$$\mathbf{v}_0 = \mathbf{i}\,a_1 + \mathbf{j}a_2\,,\ |\mathbf{v}_0| = \sqrt{a_1^2 + a_2^2}\,.$$

Ускорение записывается следующим образом:

$$\mathbf{a} = \frac{d\mathbf{v}}{dt} = \frac{d}{dt}\left[\mathbf{i}\,a_1 + \mathbf{j}(a_2 - 2a_3 t)\right] = \mathbf{j}(-2a_3)\,.$$

Вектор ускорения имеет постоянную длину $2a_3$ и направлен вниз (в отрицательном направлении оси y). Заметим, что исходное выражение для **S** представляет собой уравнение параболы в векторном обозначении.

---

§ 3. Движение снаряда

Одной из традиционных (со времен изобретения пращи) военных проблем является задача наведения пушки (или пращи) на цель, если известны расстояние до цели R и начальная скорость снаряда v_0. Требуется найти угол θ на рис. 3-13.

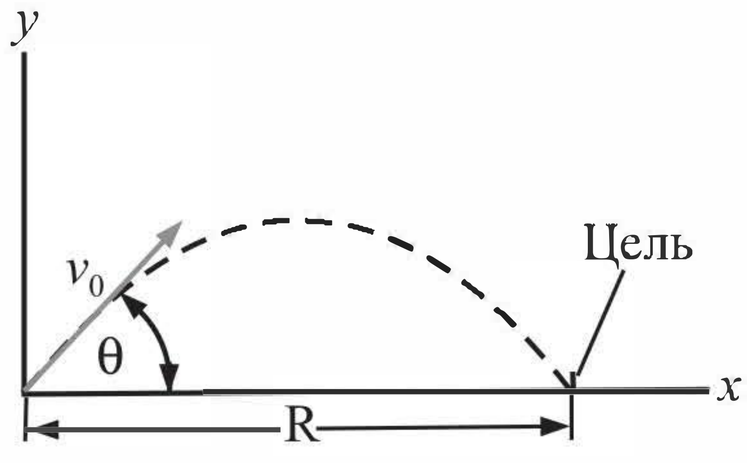


Рис. 3-13. Траектория снаряда, выпущенного под углом θ с начальной скоростью v_0. Радиус поражения R

Траектория снаряда определяется уравнением (3-3), если положить $(v_0)_x = v_0 \cos\theta$ и $(v_0)_y = v_0 \sin\theta$. Таким образом,

$$y = (\operatorname{tg}\theta)x - \left(\frac{g}{2v_0^2 \cos^2\theta}\right)x^2. \qquad (3\text{-}4)$$

В момент достижения цели следует считать $y = 0$, $x = R$:

$$0 = (\operatorname{tg}\theta)R - \left(\frac{g}{2v_0^2 \cos^2\theta}\right)R^2,$$

$$R = \frac{2v_0^2 \sin\theta\cos\theta}{g} = \frac{v_0^2}{g}\sin 2\theta, \qquad (3\text{-}5)$$

откуда находим

$$\sin 2\theta = gR/v_0^2.$$

Отсюда видно, что максимальная дальность соответствует $2\theta = 90°$, т. е. стрельбе под углом $\theta = 45°$.

В примере 5 рассматривается современный вариант этой классической проблемы.

Пример 5. С подводной лодки запускается баллистическая ракета, наведенная на цель. Расстояние от цели до подводной лодки 3000 км. Предположим, что момент запуска обнаружен. Каким запасом времени мы располагаем для укрытия цели и чему равна стартовая скорость v_0 ракеты? При этом будем считать Землю плоской, ускорение свободного падения постоянным, угол запуска 45°, а также, что вдоль всей траектории, кроме начального участка, ракета находится в свободном полете.

Решение: Сначала из выражения (3-5) найдем, что при $\theta = 45°$

$$v_0 = \sqrt{gR} + \sqrt{9{,}8 \cdot 3 \cdot 10^6} \text{ м/с} = 5{,}42 \text{ км/с}.$$

(Эта величина составляет 68 % скорости, необходимой для вывода ракеты на околоземную орбиту.) Координата x ракеты дается выражением

$$x = (v_0 \cos\theta)t, \quad \text{откуда} \quad t = \frac{x}{v_0 \cos\theta}.$$

Полное время полета T получаем, положив $x = R$. Таким образом,

$$T = \frac{R}{v_0 \cos\theta} = \frac{3 \cdot 10^6}{5{,}42 \cdot 10^3 \cdot 0{,}707}\text{с} = 783\text{с} = 13\text{ мин}.$$

Из этого примера мы видим, что в случае запуска ракеты максимальный запас времени составляет около 10 минут, что может быть недостаточно для укрытия цели.

Пример 6. Рассмотрим задачу, известную под названием «попади в мишень». Предположим, что в момент выстрела мишень падает с дерева, как показано на рис. 3-14. Под каким углом должно быть направлено ружье, чтобы пуля попала в мишень во время ее свободного падения? Оказывается, что ответ не зависит от начальной скорости пули.

Решение: Обозначим начальные координаты мишени через x_m и y_m, а момент времени, когда пуля попадает в мишень, — через t_1. В этот момент времени мишень будет находиться на высоте

$$y = y_m - gt_1^2/2,$$

а пуля — на высоте

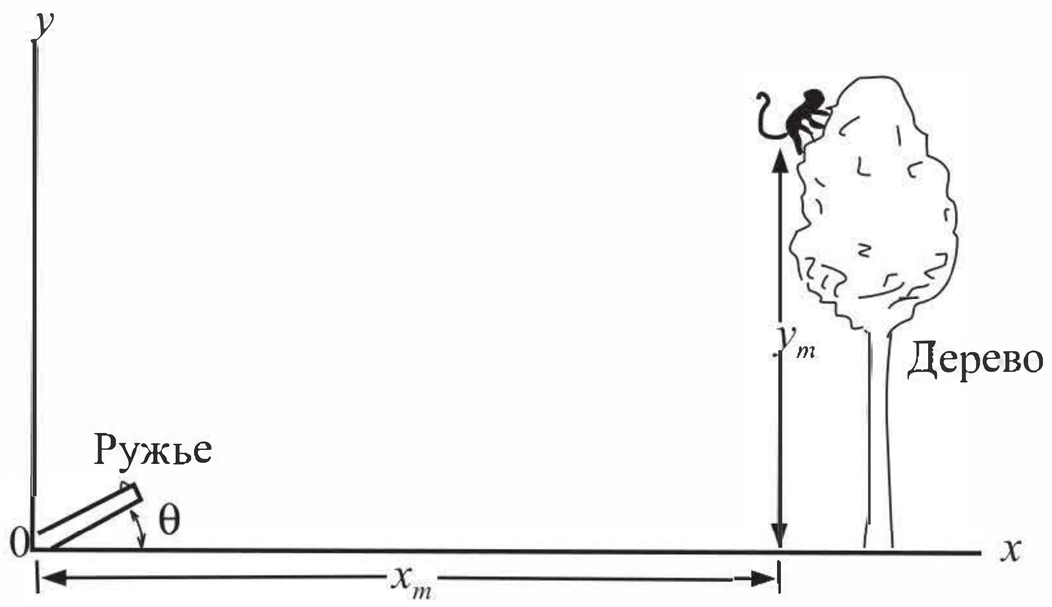
$$y = (v_0 \sin\theta) - gt_1^2/2.$$

Приравнивая эти выражения друг к другу, находим

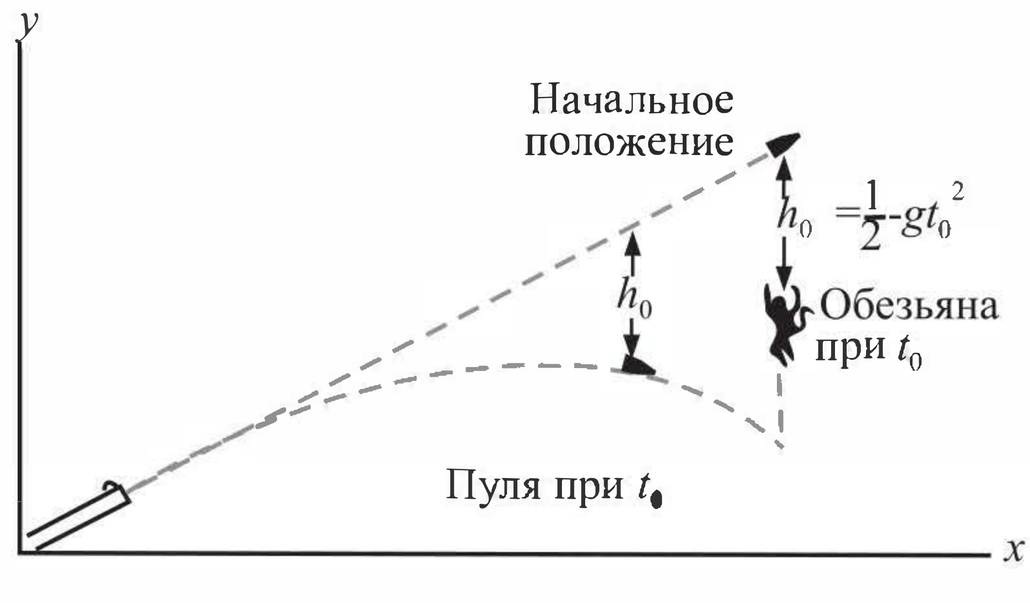
$$t_1 = \frac{y_m}{v_0 \sin\theta}. \qquad (3\text{-}6)$$

В момент времени t_1 координата x пули равна

$$x_m = (v_0 \cos\theta)\, t_1.$$



(а)



(б)

Рис. 3-14. Задача о стрельбе в мишень. Каким должен быть угол θ? *а* — непосредственно перед выстрелом; *б* — через промежуток времени t_0 после выстрела. И мишень, и пуля опускаются за это время относительно прямой линии на высоту h_0

Подставляя сюда вместо t_1 выражение (3-6), имеем

$$x_m = (v_0 \cos\theta)\left(\frac{y_m}{v_0 \sin\theta}\right),$$

или

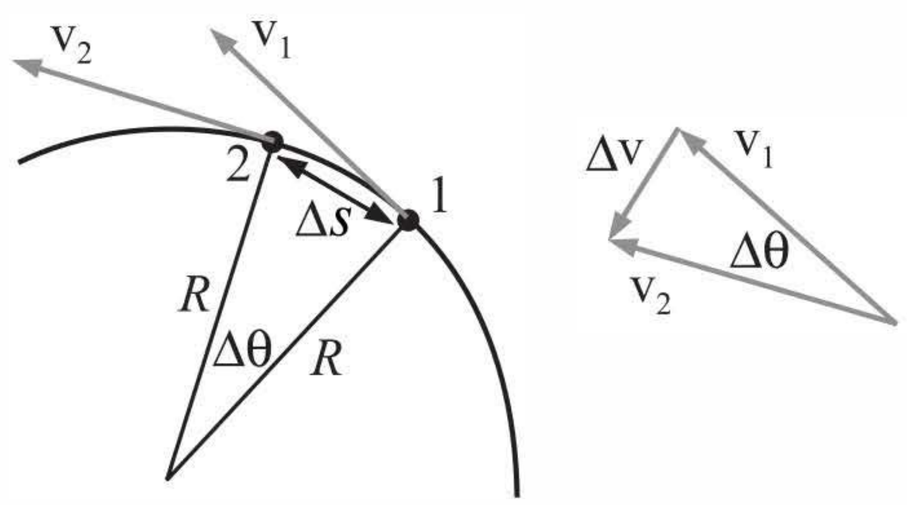
$$\operatorname{tg}\theta = x_m/y_m.$$

Отсюда видно, что в момент выстрела ружье должно быть направлено прямо в мишень!

§ 4. Равномерное движение по окружности

Рассмотрим теперь равномерное движение тела с постоянной скоростью v по окружности радиусом R. Даже если величина скорости v сохраняется постоянной, это не означает, что вектор $\mathbf{v}$ не меняется, поскольку он непрерывно меняет свое направление. Приращение $\Delta\mathbf{v}$ вектора $\mathbf{v}$ отлично от нуля. Следовательно, должен быть отличен от нуля и вектор ускорения $d\mathbf{v}/dt$. **Ускорение, связанное с изменением направления скорости, называется центростремительным ускорением $\mathbf{a}_c$.** Покажем теперь, что оно всегда направлено к центру окружности и по абсолютной величине равно v^2/R. Чтобы вычислить a_c, нужно найти разность скоростей в двух последовательных положениях тела. Предположим, что за время Δt тело перемещается из точки 1 в точку 2, как показано на рис. 3-15, *а*. Пусть $\Delta\mathbf{v} = \mathbf{v}_2 - \mathbf{v}_1$. При этом

$$\mathbf{a}_c = \lim_{\Delta t \to 0}\left(\frac{\Delta\mathbf{v}}{\Delta t}\right). \qquad (3\text{-}7)$$



(а) (б)

Рис. 3-15. *а* — два последовательных положения при равномерном движении по окружности; *б* — разность двух векторов скорости

Заметим, что угол $\Delta\theta$ между $\mathbf{v}_1$ и $\mathbf{v}_2$ совпадает с углом $\Delta\theta$ на рис. 3-15, *а* (стороны, составляющие этот угол, взаимно перпендикулярны). Таким образом, треугольники, изображенные на рис. 3-15, *а* и *б*, являются подобными, и мы можем записать

$\Delta v/v = \Delta s/R$,

или

$\Delta v = v\,\Delta s/R$;

здесь Δs — расстояние по прямой между точками 1 и 2. Разделив обе части этого равенства на Δt, найдем

$$\frac{\Delta v}{\Delta t} = \frac{v}{R}\,\frac{\Delta s}{\Delta t}.$$

Если перейти к пределу при $\Delta t \to 0$, то $\Delta v/\Delta t \to a_c$ и $\Delta s/\Delta t \to v$. Таким образом,

$$a_c = \frac{v^2}{R} \quad (\textit{центростремительное ускорение}). \qquad (3\text{-}8)$$

Заметим, что в пределе при $\Delta t \to 0$ вектор $\Delta\mathbf{v}$ будет перпендикулярен вектор $\mathbf{v}$ и, следовательно, направлен к центру окружности. Таким образом, мы убеждаемся, что центростремительное ускорение всегда направлено к центру окружности.

Нередко бывает удобно записывать центростремительное ускорение через R и T, где T — период обращения, т. е. время полного оборота. Скорость движения частицы равна длине окружности, деленной на период T:

$v = 2\pi R/T$.

Подставив это выражение для v в (3-8), получим

$$a_c = \frac{(2\pi R/T)^2}{R} = \frac{4\pi^2}{T^2}R. \qquad (3\text{-}9)$$

Некоторым читателям, возможно, встречались выражения «центробежная сила» и «центробежное ускорение». Сила и ускорение такого рода существуют лишь в том случае, когда наблюдатель находится во вращающейся системе координат (наблюдатель ускоряется). В этой книге мы ограничимся рассмотрением случая неподвижного наблюдателя или наблюдателя, движущегося с постоянной скоростью (см. в гл. 4 определение инерциальной системы отсчета), и нигде не будем встречаться с центробежным ускорением.

Пример 7. Чему равно центростремительное ускорение тела на экваторе, обусловленное вращением Земли?

Решение: В данном случае $T = 1$ сутки $= 8{,}64\cdot10^4$ с, $R = R_3 = 6370$ км. Подставляя данные значения в (3-9), получаем

$$a_c = \frac{4\pi^2\left(6{,}37\cdot10^6\right)}{\left(8{,}64\cdot10^4\right)^2}\ \text{м/с}^2 = 0{,}034\ \text{м/с}^2.$$

Это всего лишь 0,35 % от величины $g = 9{,}8$ м/с^2. Таким образом, если бы Земля была идеально сферической, то на экваторе человек был бы на 0,35 % легче, чем около полюса. Это одна из причин, объясняющих, почему в более высоких широтах труднее побить спортивные рекорды, чем на экваторе.

---

§ 5. Искусственные спутники Земли

Люди, не изучавшие физику, часто задают вопрос: «Что удерживает спутники Земли от падения?» Не должен ли спутник после прекращения работы ракетных двигателей падать к центру Земли с ускорением свободного падения g, как и все другие тела вблизи поверхности Земли? Ответ является утвердительным: да, спутники, летающие по околоземной орбите, испытывают ускорение 9,8 м/с^2, направленное к центру Земли. В противном случае они бы улетели по касательной к поверхности Земли. Любое тело движется по окружности с ускорением v^2/R. Если окружностью является околоземная орбита, то ускорение обеспечивается силой тяжести и, следовательно,

$$g = v_c^2 / R_З , \qquad (3\text{-}10)$$

где v_c называется орбитальной или первой космической скоростью, а $R_З = 6370$ км — радиус Земли. Из (3-10) находим v_c:

$$v_c = \sqrt{gR_З} = \sqrt{(9{,}8\ \text{м/с})(6{,}37 \cdot 10^6\ \text{м})} = 7{,}90\ \text{км/с}. \qquad (3\text{-}11)$$

Это минимальное значение скорости, необходимое для вывода тела на околоземную орбиту. На рис. 3-16 приведена фотография первого спутника, запущенного в 1957 г. в СССР. Период T (или время одного оборота вокруг Земли) равен окружности Земли, деленной на v_c:

$$T = \frac{2\pi R_З}{v_c} = \frac{40\,000\ \text{км}}{7{,}9\ \text{км/с}} = 5060\ \text{с} = 84\ \text{мин}.$$

Это значение согласуется с хорошо известным временем обращения многочисленных околоземных искусственных спутников, начиная с первого. Впервые подобные вычисления выполнил (около 300 лет тому назад) Исаак Ньютон.

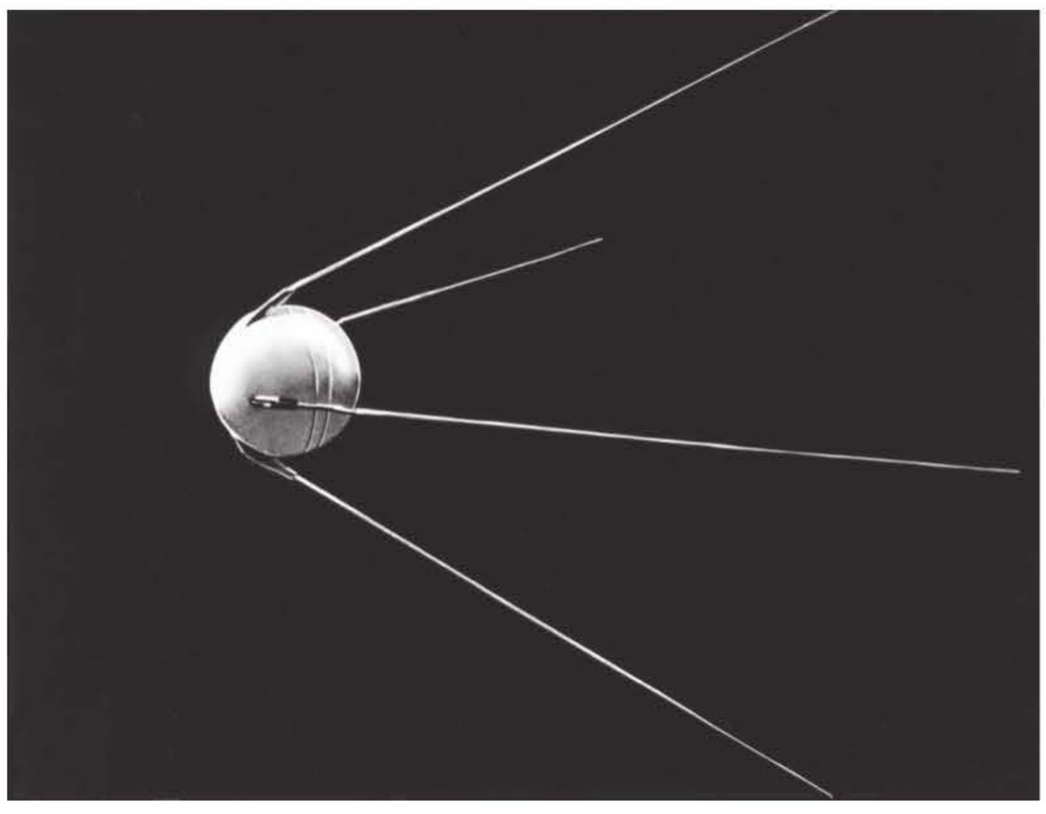


Рис. 3-16. Точная копия первого искусственного спутника на выставке в Москве [*С любезного разрешения «Совфото».*]

На рис. 3-17 изображены орбиты искусственного спутника Земли, нарисованные самим Ньютоном. Он предлагал выстрелить из огромной пушки с вершины горы. Ньютон предсказал, что если когда-либо удастся достичь начальной скорости пушечного ядра, равной 8 км/с, то ядро будет вращаться вокруг Земли, как это показано на рисунке.

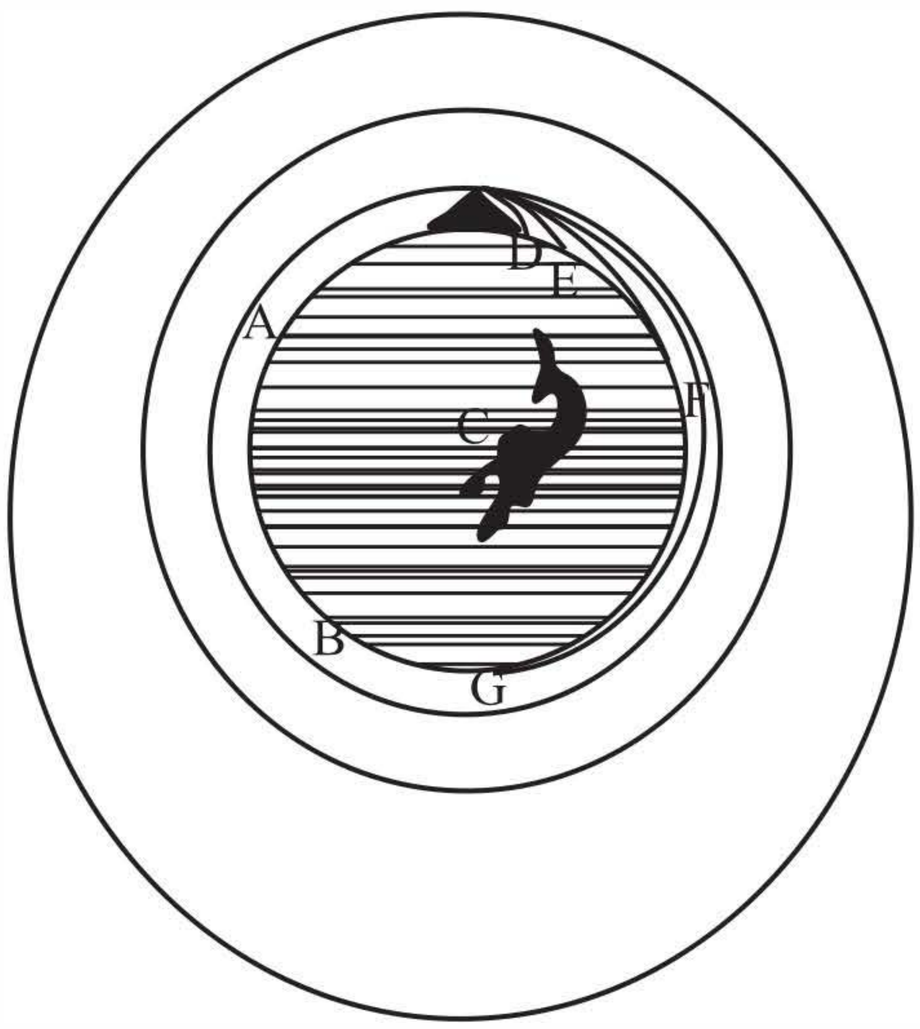


Рис. 3-17. Принадлежащий Исааку Ньютону проект запуска искусственного спутника Земли

Для вывода на орбиту совсем не обязательно иметь скорость, точно совпадающую с v_c. Предположим, что v на 10 % больше v_c (рис. 3-18). Вблизи поверхности Земли ускорение должно оставаться равным g, так что мы имеем

$g = v^2/R$, или $R = v^2/g$;

здесь R — начальный радиус кривизны орбиты. В этом примере $\upsilon = 1{,}1\upsilon_c = 1{,}1\sqrt{gR_З}$. Подставляя это значение в приведенное выше выражение, получаем

$$R = \frac{\left(1{,}1\sqrt{gR_З}\right)^2}{g} = 1{,}21 R_З.$$

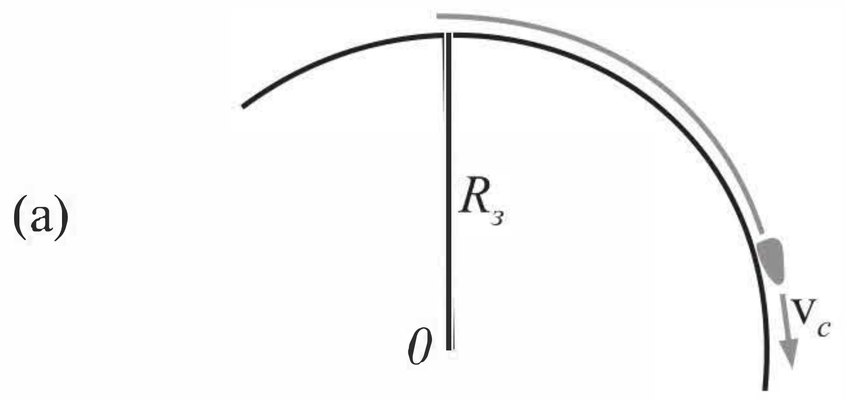


Рис. 3-18. *а* — орбита спутника Земли, движущегося со скоростью v_c; *б* — спутник запущен со скоростью, на 10 % превышающей v_c

Таким образом, начальный радиус орбиты оказывается на 21 % больше, чем у спутника, движущегося по круговой околоземной орбите. В этом случае спутник первоначально удаляется от Земли. Спустя какой-то промежуток времени у его скорости появится радиальная составляющая, направленная от центра Земли. Под влиянием силы тяжести эта составляющая будет убывать, и в конце концов спутник возвратится к Земле. Как показано в гл. 5, при этом точной траекторией будет эллипс, один из фокусов которого находится в центре Земли.

Если спутник движется по круговой орбите на значительном расстоянии h от поверхности Земли, то необходимо учитывать экспериментальный факт, что ускорение свободного падения убывает обратно пропорционально квадрату расстояния до центра Земли (рис. 3-19). На расстоянии $R_3 + h$ от центра Земли ускорение свободного падения дается выражением

$$g' = g\frac{R_3^2}{(R_3 + h)^2}.$$

В гл. 5 мы обсудим это обстоятельство подробно. Приравнивая друг другу g' и $v^2/(R_3 + h)$, получаем

$$\frac{v^2}{R_3 + h} = g\frac{R_3^2}{(R_3 + h)^2},$$

откуда

$$v = \sqrt{gR_3}\sqrt{\frac{R_3}{R_3 + h}} = v_c\sqrt{\frac{R_3}{R_3 + h}}. \qquad (3\text{-}12)$$

Мы видим, что в этом случае скорость меньше первой космической.

Если космический корабль находится на удаленной круговой орбите, то для перехода на более низкую орбиту нужно включить ракетные двигатели, направив их навстречу движению корабля (т. е. создать силу тяги, тормозящую движение). За время работы тормозных двигателей

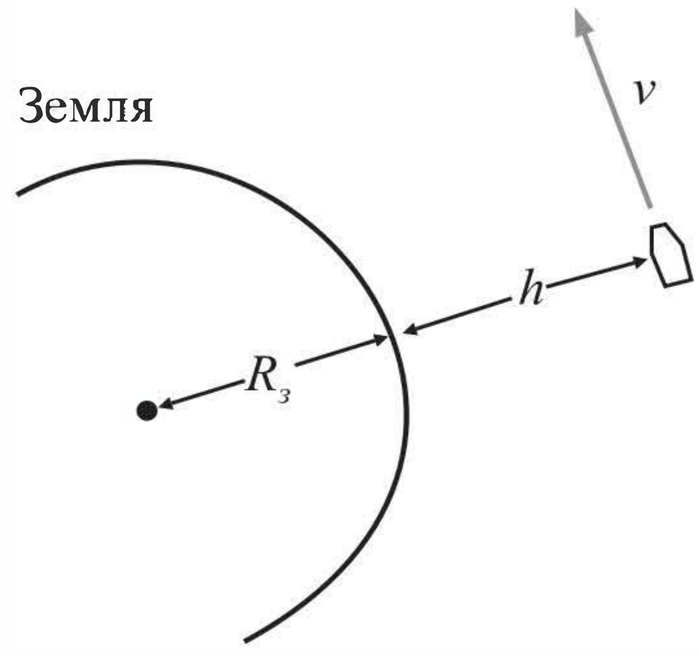


Рис. 3-19. Спутник, движущийся по круговой орбите на высоте h над поверхностью Земли

космический корабль будет постепенно терять скорость, медленно «падая» по направлению к Земле. Заметим, что если бы подобные тормозные двигатели были установлены на автомобиле, то они замедлили бы его движение, в то время как в соответствии с выражением (3-12) скорость космического корабля вопреки здравому смыслу должна возрастать при уменьшении высоты h. Такие маневры можно моделировать на компьютере, причем пока новичок не научится управлять своими порывами, космический аппарат будет совершать совсем не то, что от него хотят.

Основные выводы

Движение по вертикали и по горизонтали можно изучать по отдельности. Если имеется постоянное вертикальное ускорение a_y, то траектория представляет собой параболу:

$$x = (v_0 \cos\theta)\, t,\ y = (v_0 \sin\theta)\, t + a_y t^2/2.$$

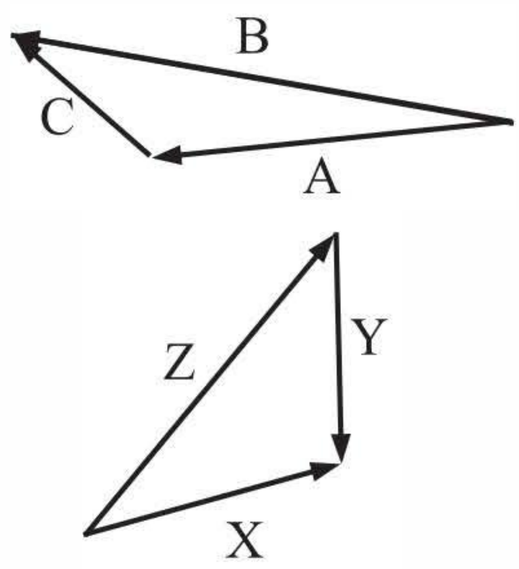
Дальность полета снаряда, выпущенного под углом θ к горизонту, равна

$$R = \frac{v_0^2}{g} \sin 2\theta.$$

Перемещение, скорость и ускорение являются векторами. Для сложения или вычитания векторов их можно разложить на составляющие либо воспользоваться правилом многоугольника. Чтобы найти вектор ускорения, необходимо произвести вычитание векторов скорости. При равномерном движении по окружности существует центростремительное ускорение $a_c = v^2/R$. Для искусственных спутников в околоземном пространстве $a_c = g$ и $v = \sqrt{gR_З}$.

Упражнения

1. Запишите вектор **C** через **A** и **B**. Как записать вектор **Z** через **X** и **Y**?



2. Пусть $\mathbf{A} + \mathbf{B} + \mathbf{C} = 0$, $\mathbf{A} = 2\mathbf{i} + 3\mathbf{j} + 4\mathbf{k}$ и $\mathbf{B} = 5\mathbf{i} + 6\mathbf{j} + 7\mathbf{k}$. Чему равен вектор **C**? Какова его длина? Каков угол между вектором **C** и осью x?

3. Чему равна проекция векторов **B** на **A**, если $|\mathbf{A}| = 3$ м, $|\mathbf{B}| = 2$ м, а угол между ними равен 30°?

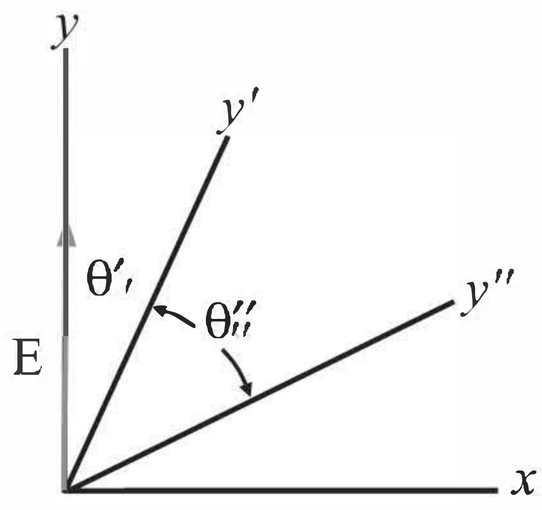
4. Найдите в примере 1 выражение для приращения Δv через v и θ (в радианах), когда $\theta \to 0$. Не пользуйтесь тригонометрическими функциями.

5. Чему равна в примере 3 составляющая $\mathbf{F}_\perp$ силы $\mathbf{F}_g$, перпендикулярная поверхности?

6. Решите пример 5, полагая прицельный угол равным 30° (пусть, как и прежде, $R = 3000$ км). Определите t и v_0. Постройте зависимости y от x и y от t.

7. Под каким углом должна стрелять пушка, чтобы ее снаряд пролетел половину максимального расстояния до цели?

8. Вектор **E** направлен вдоль оси y.



а) Чему равна составляющая вектора **E** на оси y', расположенной под углом θ' к оси y? Эта составляющая представляет собой вектор, который мы обозначим через $\mathbf{E}'$.

б) Рассмотрите теперь ось y'', расположенную под углом θ'' к оси y'. Чему равна составляющая вектора $\mathbf{E}'$ на оси y''? Эту составляющую обозначим $\mathbf{E}''$.

в) Напишите выражение для E'' через E, θ' и θ''.

г) Если $\theta' + \theta'' = 90°$, то будет ли $E'' = 0$?

9. В упражнении 8 положите $\theta' + \theta'' = 45°$. Как выражается E'' через E? Положите теперь $\theta' = 30°$ и $\theta'' = 60°$. Как в этом случае выглядит выражение для E' и E'' через E?

10. В упражнении 8 предположите, что $\theta' = \theta'' = 60°$. Чему равно E''? Чему равна составляющая вектора $\mathbf{E}''$ на ось y? Положительна она или отрицательна?

11. Повторите решение в примере 2, полагая, что паром движется относительно воды со скоростью 6 км/ч.

12. Частица движется с постоянной скоростью по окружности радиусом R. Число оборотов в секунду равно f. Запишите выражение для ускорения частицы через f и R.

Задачи

13. Пусть фотоаппарат (рис. 3-1, *в*) движется со скоростью

$$\mathbf{v}_c = -\mathbf{i}v_c/\sqrt{2} - \mathbf{j}v_c/\sqrt{2},$$

а шарик выстреливается вертикально вверх, так что его перемещение описывается уравнением

$$y = v_b t - gt^2/2.$$

Запишите уравнение траектории шарика с точки зрения наблюдателя, движущегося вместе с пушкой. Нарисуйте эту траекторию, полагая $v_c = 10$ м/с и $v_b = 20$ м/с.

14. Покажите, что если на рис. 3-13 положить $\theta = 45°$, то максимальная высота, на которую поднимается снаряд, равна $R/4$.

15. Предположите, что на рис. 3-11 сила, действующая на парус, равна $F_0 \sin\alpha$ (α — угол между плоскостью паруса и направлением ветра). Пусть угол между осью яхты и ветром равен θ. При каком значении α скорость яхты будет максимальной?

16. Из пушки выстреливается снаряд под углом 30° к горизонту. Вертикальная составляющая начальной скорости снаряда равна $v_y = 100$ м/с. Сопротивлением воздуха можно пренебречь.

а) Чему равна начальная скорость снаряда?

б) Пусть полное время полета снаряда равно T. Чему равна составляющая скорости v_y снаряда в момент времени $t = T/2$? Чему равно ускорение в этот момент времени?

в) Чему равна v_y непосредственно до $t = T$?

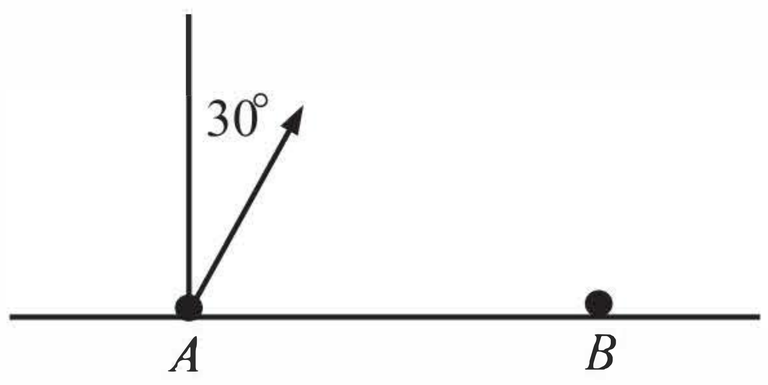
г) Чему равна v_y при $t = T/4$?

д) Нарисуйте зависимость v_y от t.

17. Чему равна максимальная высота, на которую поднимается снаряд на рис. 3-13? Ответ следует выразить через v_0, θ и g.

18. Предполагая, что на рис. 3-14 пуля попадает в обезьяну в тот момент времени, когда она достигает земли, найдите выражение для v_0 через θ и x_m.

19. Шарик выстреливается из точки A под углом 30° относительно вертикали. На его полет влияет только сила тяжести. После 20 с полета он падает в точке B, находящейся на одной высоте с точкой A. На какую высоту относительно начального уровня поднимается шарик?



20. Электрон движется в некоторой системе отсчета из начального положения, определяемого радиус-вектором

$\mathbf{r}_0 = \mathbf{i}x_0 + \mathbf{k}z_0$, где $x_0 = 3{,}0$ м и $z_0 = 1{,}0$ м,

с начальной скоростью

$\mathbf{v}_0 = \mathbf{j}v_{0y}$, где $v_{0y} = 2{,}0$ м/с,

и ускорением

$\mathbf{a}(t) = \mathbf{j}At + \mathbf{k}B$, где $A = 12{,}0$ м/с^3 и $B = 8{,}0$ м/с^2.

а) Чему равна координата z электрона в момент времени $t = 0{,}5$ с?
б) Чему равна скорость электрона при $t = 1$ с?
в) Чему равен угол между радиус-вектором $\mathbf{r}$ и вектором скорости $\mathbf{v}$ при $t = 0$?

21. Самолет, путевая скорость которого относительно воздуха равна 300 км/ч, летит по маршруту между пунктами A и B, расположенными на расстоянии 600 км друг от друга. Временем на взлет, стоянку и разворот можно пренебречь.
а) Сколько времени займет полный полет туда и обратно в тихий, безветренный день?
б) Сколько времени займет этот полет в тот день, когда дует ветер со скоростью 60 км/ч, направленный от B к A?
в) Сколько времени займет этот полет при боковом ветре, имеющем скорость 60 км/ч?

22. Рассмотрим лунный модуль, движущийся по круговой орбите вокруг Луны. Пусть радиус его орбиты составляет одну треть радиуса Земли, а ускорение свободного падения на этой орбите равно $g/12$, где $g = 9{,}8$ м/с^2. Какова скорость модуля по сравнению со скоростью спутника, движущегося по околоземной орбите?

23. Разработан аппарат для изучения поведения насекомых при ускорении $100g$. Этот аппарат представляет собой 10-сантиметровый стержень, на обоих концах которого имеются контейнеры с насекомыми. Стержень вращается около своего центра.
а) С какой скоростью движутся насекомые, когда их ускорение достигает $100g$?
б) Чему равно число оборотов в секунду?

24. На расстоянии r от центра Земли ускорение свободного падения $a = g\,(R_3/r)^2$, где R_3 — радиус Земли. Необходимо запустить искусственный спутник, который «висел» бы над определенной точкой экватора. Обозначим время полного оборота Земли через t_0. Выразите скорость спутника v через g, R_3 и t_0.

25. Искусственный спутник Земли движется по круговой орбите на расстоянии 400 000 км от центра Земли. Чему равен (в сутках) период его обращения?

26. На какой высоте должен двигаться по круговой орбите искусственный спутник Земли, чтобы он совершал один оборот в сутки?

27. Докажите, что период обращения искусственного спутника по круговой орбите на высоте h над поверхностью Земли дается выражением

$$t = t_c \left(\frac{R_3 + h}{R_3} \right)^{3/2},$$

где t_c — период обращения спутника на околоземной орбите.

28. Ускорение свободного падения на поверхности Луны равно $0{,}14g$, а радиус Луны равен $1{,}74 \cdot 10^3$ км. Сколько времени потребуется лунному модулю, чтобы облететь Луну по орбите вблизи ее поверхности?

4

Динамика

§ 1. Введение

Одна из основных задач физики — это вычисление координат и скоростей взаимодействующих между собой частиц в любые прошлые или будущие моменты времени. В гл. 3 мы уже показали, что если известна зависимость ускорения каждой из частиц от времени, то в принципе можно предсказать положение любой частицы в будущем. Как мы увидим, для нахождения ускорения необходимо знать действующую на частицу силу и массу частицы. Таким образом, эта задача физики сводится частично к изучению сил и их происхождения.

К счастью, оказывается, что все силы природы, насколько нам сейчас известно, можно разделить на четыре основных типа: 1) гравитационные, 2) слабые, 3) электромагнитные и 4) ядерные. Как будет показано в следующей главе, гравитационные силы действуют на любые массы и порождаются массой, действуя на расстоянии. (Формальное определение массы мы дадим позже в этой главе.) Электромагнитные силы действуют на заряды и токи, и их источниками являются также заряды и токи. Поскольку атомы состоят из заряженных электронов и протонов, то силы, действующие между атомами, по существу также относятся к электромагнитным. Более того, обычное вещество построено из атомов, и поэтому большинство сил, с которыми нам приходится иметь дело в повседневной жизни, являются электромагнитными. Это и реакция растянутой или сжатой пружины, и другие силы, возникающие при соприкосновении тел. Электромагнитные силы мы подробно изучим в гл. 15–21. Ядерные и слабые силы имеют малый радиус действия (они не проявляются на расстояниях свыше 10^{-14} м). Именно ядерные силы скрепляют ядро, несмотря на сильное электростатическое отталкивание между протонами. Ядерные и слабые силы мы рассмотрим в гл. 29–31.

Движение тел под действием внешней силы можно изучать, не зная природы этой силы или ее происхождения. В настоящей главе мы рассмотрим влияние сил в общем случае, а позднее перейдем к изучению конкретных особенностей гравитационных, электромагнитных, слабых и ядерных сил. Раздел физики, изучающий общие свойства движения, возникающего под действием сил, носит название динамики. В отличие от кинематики в динамике мы имеем дело не с материальной точкой, а с реальными телами*, имеющими помимо скорости и ускорения массу, импульс и энергию. В § 2 будут даны в сжатом виде определения массы, силы и импульса. Более подробную физическую интерпретацию этих понятий мы рассмотрим в § 3 и 4.

---

* Заметим, что во многих случаях реальные тела могут все же моделироваться посредством материальной точки (например, самолет в горизонтальном полете). — *Прим. ред.*

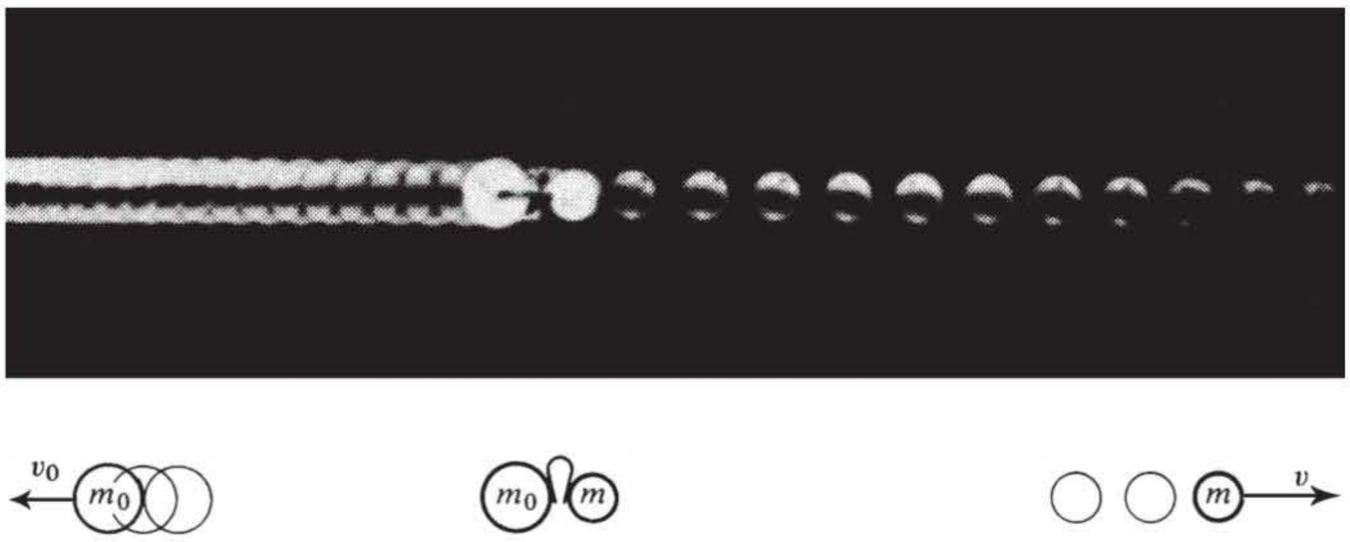


Рис. 4-1. Стробоскопическая фотография разлета двух различных масс. В начальный момент времени массы соединены сжатой пружиной, которая, распрямляясь, их расталкивает в разные стороны [*С любезного разрешения Центра по развитию образования США.*]

Существует несколько эквивалентных с точки зрения математики способов определения таких величин, как масса и сила. Мы воспользуемся одним из них.

§ 2. Определения основных понятий

Масса

Мы дадим операционное определение массы. Рассмотрим стандартную массу, равную 1 кг. Стандартную массу 1 кг (в действительности 0,99997 кг) можно получить, взяв 1000 см^3 воды при 4 °С и атмосферном давлении. Это количество воды замораживается и превращается в кусок льда. Неизвестную массу m можно сравнить с данной стандартной массой m_0, поместив между ними небольшую сжатую пружину (рис. 4-1). Отпустив пружину, мы заставим первоначально покоившиеся массы разлететься в противоположные стороны со скоростями v и v_0 соответственно. При этом неизвестную массу m можно определить следующим образом:

$$m = m_0 \frac{v_0}{v} \quad (\textit{определение инертной массы}). \quad (4\text{-}1)$$

Импульс

Импульс тела можно определить как произведение его массы на вектор скорости. Будем обозначать импульс буквой **P**:

$$\mathbf{P} \equiv m\mathbf{v} \ (\textit{определение импульса}). \quad (4\text{-}2)$$

Сила

Если к телу массой m приложена сила **F**, то вектор этой силы определяется как скорость изменения импульса тела во времени:

$$\mathbf{F} = \frac{d\mathbf{P}}{dt} \ (\textit{определение силы}). \quad (4\text{-}3а)$$

Для тела постоянной массы m это выражение записывается в виде

$$\mathbf{F} = \frac{d(m\mathbf{v})}{dt} = m\frac{d\mathbf{v}}{dt},$$

$$\mathbf{F}_1 = m\mathbf{a}. \quad (4\text{-}3б)$$

С помощью формулы (4-3б) шкалу растяжения пружины можно откалибровать так, как показано на рис. 4-2*. Чем больше растянута пружина, тем больше сила и ускорение тележки без трения. Шкалу можно откалибровать с помощью тележки единичной массы. Пружина растягивается до тех пор, пока тележка не приобретет единичное ускорение; при этом положение стрелки отмечается как единичная сила. Процедура повторяется для удвоенного ускорения, что позволяет сделать отметку удвоенной силы и т. д.

---

* При этом мы считаем, что натяжение пружины полностью передается нитью тележке. Это предположение будет подробно обосновано в § 7 настоящей главы.

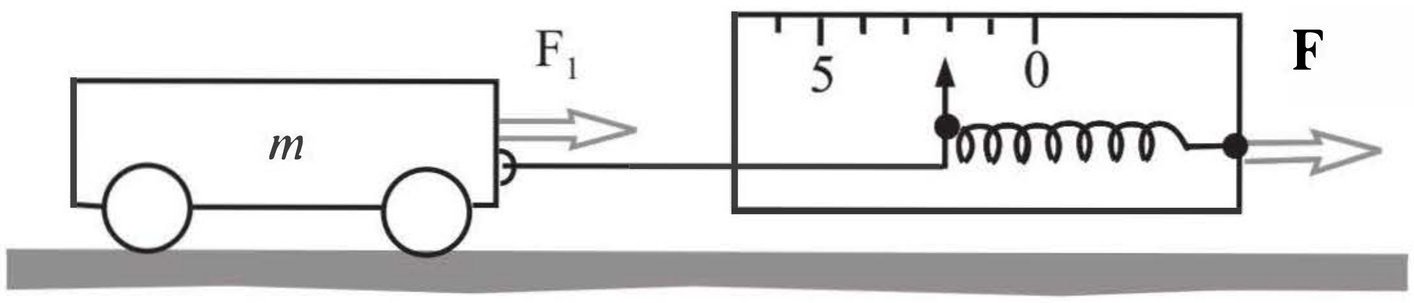


Рис. 4-2. На массу *m* действует сила **F**. Эта сила передается массе пружиной, которую тянут вправо

§ 3. Законы Ньютона

Чтобы предсказать, как будет двигаться тело под действием приложенных к нему сил, необходимо знать основной «закон», т. е. иметь теорию, дающую нужные предсказания. Теория может оказаться либо правильной, либо неправильной, и лишь эксперимент может дать окончательный ответ. Фундаментальная теория, позволяющая предсказывать движение тел, основана на трех уравнениях, называемых законами Ньютона, которые были сформулированы Исааком Ньютоном в конце XVII века. Сначала мы приведем краткую формулировку трех законов Ньютона, а затем обсудим более глубокий смысл и значение этих законов.

Первый закон Ньютона. Если тело предоставлено самому себе (т. е. результирующая действующих на него сил равна нулю), то оно остается в состоянии покоя или продолжает движение с постоянной скоростью (без ускорения). Математически этот закон записывается в виде

$\mathbf{a} = 0$, если $\mathbf{F}_{\text{рез.}} = 0$

(*первый закон Ньютона*). (4-4)

Второй закон Ньютона. Скорость изменения импульса тела во времени равна результирующей силе, действующей на тело. Для тела постоянной массы скорость изменения импульса совпадает с произведением массы на ускорение:

$$\mathbf{F}_{\text{рез.}} = \frac{d\mathbf{P}}{dt}, \text{ или } \mathbf{F}_{\text{рез.}} = m\mathbf{a}$$

(*второй закон Ньютона*). (4-5)

Третий закон Ньютона. При взаимодействии двух тел сила, действующая на первое тело со стороны второго, равна по величине и противоположна по направлению силе, действующей на второе тело со стороны первого:

$\mathbf{F}_{A \to B} = -\mathbf{F}_{B \to A}$

(*третий закон Ньютона*).

Обсуждение первого закона Ньютона

Первый закон утверждает, что если $\mathbf{F}_{\text{рез.}} = 0$, то и $\mathbf{a} = 0$. Это утверждение можно рассматривать как частный случай второго закона. Тем не менее следует подчеркнуть, что в науке до Ньютона господствовала точка зрения, восходящая к учению Аристотеля. Основное положение системы Аристотеля состоит в утверждении, что в отсутствие внешних сил все тела должны приходить к состоянию покоя. На первый взгляд это совпадает с нашим повседневным опытом. Мы привыкли к тому, что если движущиеся тела перестать тянуть или толкать, то они останавливаются, а не продолжают двигаться с постоянной скоростью. Например, после выключения двигателя автомобиль тормозится до полной остановки. Согласно же первому закону Ньютона, если автомобиль замедляется, действующая на него результирующая сила

не может быть равна нулю. В данном случае существуют сопротивление воздуха и сопротивление дорожного покрытия (см. пример 1).

Из первого закона следует важный физический принцип: существование так называемой инерциальной системы отсчета. Разумеется, движущемуся с ускорением наблюдателю первый закон кажется нарушенным. Смысл первого закона состоит в том, что если на тело не действуют внешние силы, то существует система отсчета, в которой оно покоится. Но если в одной системе тело покоится, то существует множество других систем отсчета, в которых тело движется с постоянной скоростью. Эти системы отсчета называются инерциальными. Нетривиальным следствием первого закона Ньютона является утверждение, что если наблюдатель находится в инерциальной системе отсчета, а это удостоверяет покоящееся в ней тело, то все прочие тела, на которые не действуют результирующие силы, будут также находиться в покое или двигаться с постоянной скоростью.

Обсуждение второго закона Ньютона

Очевидно, второй закон Ньютона справедлив при условии, что наблюдатель находится в инерциальной системе отсчета. В противном случае правая часть уравнения $\mathbf{F}_{\text{рез.}} = m\mathbf{a}$ зависела бы от ускорения наблюдателя. Напомним, что запись $\mathbf{F}_{\text{рез.}} = m\mathbf{a}$ справедлива лишь для постоянной массы m.

Во времена Ньютона из всех опытов следовало, что m не зависит от скорости. Однако более поздние и точные эксперименты указывают на то, что масса тела, определяемая соотношением (4-1), зависит от скорости. Эта зависимость записывается в виде

$$m(v) = \frac{m_{\text{пок.}}}{\sqrt{1 - v^2/c^2}},$$

где $m_{\text{пок.}}$ — значение массы в состоянии покоя, а $c = 2{,}998 \cdot 10^8$ м/с — скорость света (см. гл. 9, посвященную теории относительности). Заметим, что $m \approx m_{\text{пок.}}$ при малых v, и в этом случае m можно считать постоянной. Если скорости не превышают 1 % от скорости света, то массу m можно считать постоянной, и мы вправе пользоваться уравнением $\mathbf{F}_{\text{рез.}} = m\mathbf{a}$. (При $v/c = 0{,}01$ имеем $m = 1{,}00005 m_{\text{пок.}}$.) Массу $m(v)$, зависящую от скорости*, мы будем в дальнейшем называть релятивистской. В тех случаях, когда упоминается просто «масса», мы будем подразумевать массу покоящегося тела.

Необходимо подчеркнуть, что во второй закон Ньютона входит результирующая сила. Поэтому, прежде чем применять второй закон Ньютона, нужно сначала найти векторную сумму всех сил, действующих на данное тело.

У читателя может создаться представление, что в рассуждениях возникает порочный круг. Если сила в соответствии с (4-3) определяется как $\mathbf{F} = m\mathbf{a}$, то, может быть, второй закон Ньютона является всего лишь определением, а не фундаментальным законом природы. Прежде всего заметим, что выражения (4-3) и (4-5) не тождественны друг другу. В левой части (4-3) стоит $\mathbf{F}_1$ (единственная сила), а в левой части (4-5) мы имеем $\mathbf{F}_{\text{рез.}}$. Это различие очень существенно. Оно подразумевает, что (4-5) имеет дополнительное физическое содержание, которое можно проверить экспериментально. Соотношение (4-5) предполагает аддитив-

---

* Следует заметить, что применимость понятия массы, зависящей от скорости, имеет лишь ограниченный смысл (см. подробнее статью «Масса» в т. 3 Физической энциклопедии (М.: БРЭ, 1992). — *Прим. пер.*

ность масс и векторный закон сложения сил. Аддитивность масс означает, что если соединить вместе два тела с массами m_A и m_B, то масса такого тела будет в соответствии с (4-1) равна $m = (m_A + m_B)$. Этот результат может показаться совершенно очевидным, однако все утверждения относительно свойств природы требуют экспериментальной проверки. Многие из обычных физических величин, такие как длины векторов или объемы тел, не аддитивны. Например, если 1 л спирта добавить к 1 л воды, то объем смеси будет существенно меньше 2 л.

Аддитивность сил можно проверить следующим образом. Сначала измерим, насколько нужно растянуть пружину, чтобы масса 1 кг получила ускорение 1 м/с^2. В системе МКС эта единица силы получила название ньютон (Н). Прокалибруем таким образом две пружины, с тем чтобы каждая из них создавала силу 1 Н. Затем подсоединим обе пружины, как показано на рис. 4-3, к одной и той же массе 1 кг, так что полная сила должна составить 2 Н. Снова может показаться очевидным, что масса 1 кг должна приобрести ускорение 2 м/с^2, однако это утверждение следует тщательно проверить на опыте. Эксперименты подтверждают, что отдельные силы, определяемые в соответствии с (4-3), складываются векторно. Таким образом, мы убеждаемся в том, что уравнение $\mathbf{F}_{\text{рез.}} = m\mathbf{a}$ значительно шире, нежели простое определение, и что оно предполагает скалярную аддитивность масс и векторную аддитивность сил. Это дополнительное содержание должно быть проверено опытным путем*.

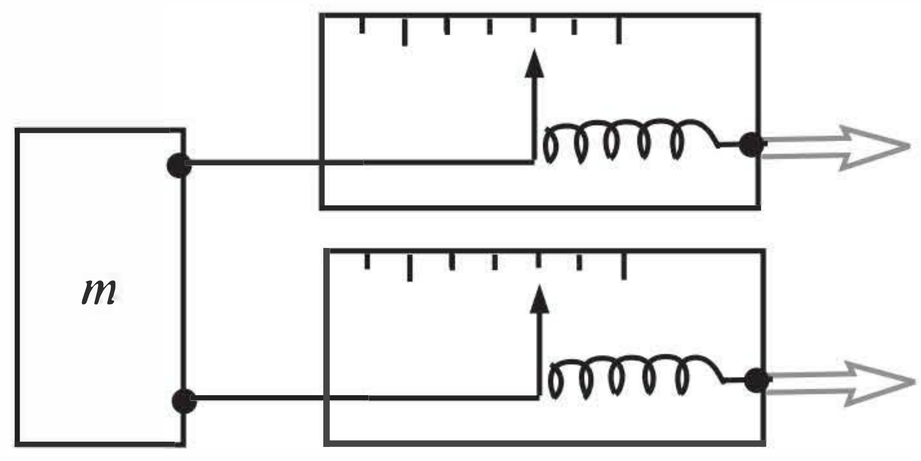


Рис. 4-3. Две одинаковые пружины. Если каждая в отдельности обеспечивает ускорение $\boldsymbol{a}_0$, будут ли они вместе сообщать массе ускорение $2\boldsymbol{a}_0$?

Обсуждение третьего закона Ньютона

Пусть имеется система, состоящая только из двух тел с массами m_A и m_B. В этой системе, как видно из рис. 4-4, могут действовать лишь две силы: $\mathbf{F}_A$ (сила, действующая на A со стороны B) и $\mathbf{F}_B$ (сила, действующая на B со стороны A). Эти силы называются силами взаимодействия. По своему характеру они могут быть, например, гравитационными, электрическими или контактными (если тела A и B соприкасаются друг с другом). Третий закон Ньютона утверждает, что при взаимодействии двух тел

$$\mathbf{F}_A = -\mathbf{F}_B.$$

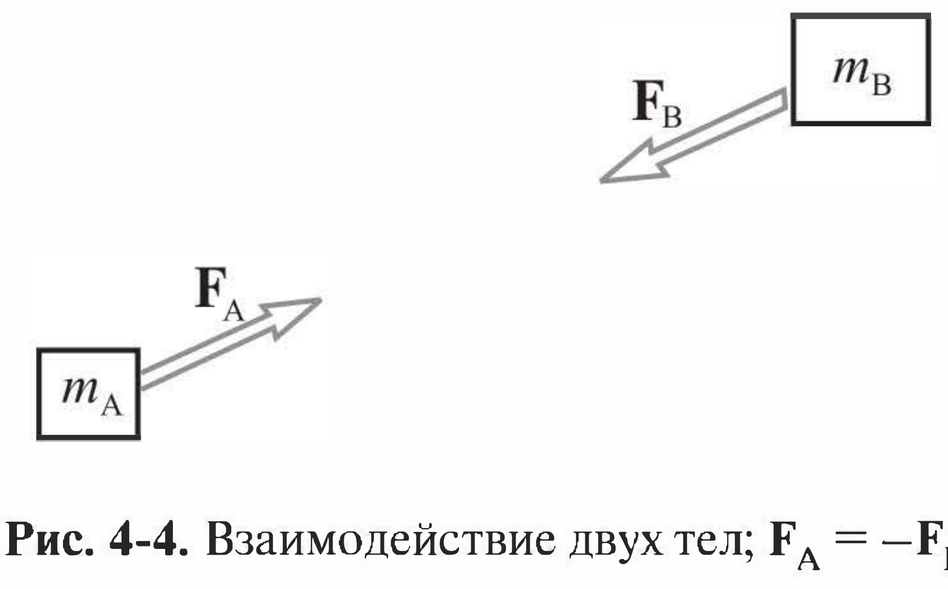


Рис. 4-4. Взаимодействие двух тел; $\mathbf{F}_A = -\mathbf{F}_B$

Заметим, что силы, входящие в третий закон Ньютона, приложены к разным телам. Сила $\mathbf{F}_B$ называется силой реакции по отношению к $\mathbf{F}_A$, а сила $\mathbf{F}_A$ — силой реакции по отношению к $\mathbf{F}_B$.

---

* Действительно, соотношение $\mathbf{F}_{\text{рез.}} = m\mathbf{a}$ не выдерживает опытной проверки, если масса m движется со скоростью, близкой к скорости света. Однако соотношение $\mathbf{F}_{\text{рез.}} = d\mathbf{P}/dt$ всегда согласуется с экспериментом.

Рассмотрим в качестве примера игрушечный поезд из трех вагонов, который тянут с внешней силой **F** (рис. 4-5). Взаимодействие между вагонами передается с помощью нитей, не имеющих массы. На тело m_1 со стороны m_2 действует сила $\mathbf{F}_1$ (2), а на тело m_2 со стороны m_1 — сила $\mathbf{F}_2$ (1). По третьему закону Ньютона сумма $\mathbf{F}_2$ (1) + $\mathbf{F}_1$ (2) равна нулю. Ускорение поезда можно найти, применяя к каждому вагону второй закон Ньютона и затем складывая следующие выражения:

$$\mathbf{F}_1\,(2) = m_1\mathbf{a}$$

$$\mathbf{F}_2\,(1) + \mathbf{F}_2\,(3) = m_2\mathbf{a}$$

$$\mathbf{F}_3\,(2) + \mathbf{F} = m_3\mathbf{a}$$

$$[\mathbf{F}_1\,(2) + \mathbf{F}_2\,(1) +$$

$$+ [\mathbf{F}_2\,(3) + \mathbf{F}_3\,(2)] + \mathbf{F} = (m_1 + m_2 + m_3)\,\mathbf{a}$$

$$\mathbf{F} = (m_1 + m_2 + m_3)\,\mathbf{a},$$

$$\mathbf{a} = \frac{\mathbf{F}}{m_1 + m_2 + m_3}.$$

Суммы в квадратных скобках обращаются в нуль благодаря третьему закону Ньютона.

В § 5 мы продолжим обсуждение третьего закона Ньютона.

§ 4. Единицы силы и массы

Исторически единице массы в метрической системе было дано такое определение, чтобы максимальная плотность воды составляла 1 г/см^3; это означает, что за 1 г принята масса 1 см^3 воды при температуре 4 °С.

В системе МКС в качестве единицы силы выбрана сила, сообщающая массе 1 кг ускорение 1 м/с^2. Следовательно, в системе МКС единицей силы является 1 кг·м/с^2. Этой единице присвоено специальное наименование: ньютон (сокращенно Н). В системе СГС единицей силы является 1 г·см/с^2, эта единица называется диной:

$$1\ \text{Н} = 1\ \text{кг·м/с}^2 = 1\ (10^3\ \text{г})\ (10^2\ \text{см})/\text{с}^2 = 10^5\ \text{г·см/с}^2 = 10^5\ \text{дин}.$$

В британской системе единиц для названия как единицы силы, так и единицы массы используется одно и то же слово «фунт». В научной литературе на английском языке иногда фунт массы обозначают как 1 lb, а фунт силы — 1 lbf; 1 lbf равен силе тяжести, действующей на поверхности Земли на 1 lb массы. Поскольку 1 lb массы равен 0,454 кг, то 1 lbf = 0,454 кг × 9,8 м/с^2 = 4,45 Н. В связи с недоразумениями, возникающими при использовании одного и того же слова для обозначения совершенно различных понятий, а также из-за того, что почти все государства и все ученые пользуются метрической системой, мы постараемся избегать британской системы единиц для массы и силы.

Пример 1. Автомобиль, имеющий массу 1500 кг, мчится по шоссе со скоростью 120 км/ч (33, 3 м/с). Если отпустить педаль газа, то в течение времени 5,0 с его скорость снизится до 105 км/ч. Чему равна результирующая сила сопротивления (при такой скорости это в основном сопротивление воздуха)? С помощью такого несложного приема можно точно

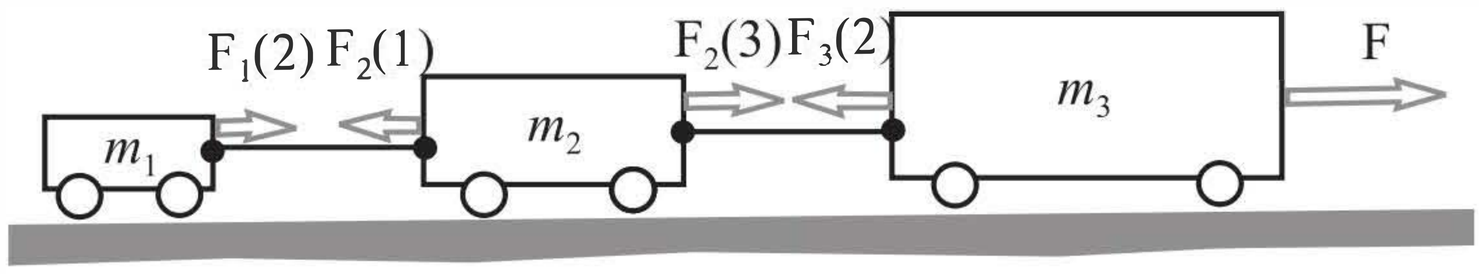


Рис. 4-5. Внешняя сила **F** тянет поезд, который движется без трения (показаны контактные силы)

Таблица 4-1

Единицы измерения массы, ускорения и силы

Система		Масса	Ускорение	Сила
	МКС	кг	$м/с^2$	1 Н = (1 кг) × (1 $м/с^2$)
	СГС	г (10^{-3} кг)	$см/с^2$	1 дина = (1 г) × (1 $см/с^2$)
устаревшие	Британская	фунт (0,454 кг)	$фут/с^2$	1 паундаль = (1 фунт) × × (1 $фут/с^2$)
	Британская техническая	слаг (32 фунта)	$фут/с^2$	1 фунт-сила = (1 слаг) × × (1 $фут/с^2$)

измерить силу, тормозящую автомобиль. Студентам не рекомендуется проводить подобный эксперимент. (В последний раз, когда автор пытался осуществить такой эксперимент, он был оштрафован за превышение скорости.)

Решение: Вычислим среднее ускорение

$$a = \frac{\Delta v}{\Delta t} = -\frac{15\,км/ч}{5\,с} = --\frac{4{,}17\,м/с}{5\,с} =$$

$$= -0{,}834\,м/с^2.$$

Средняя сила $F = ma =$
$= (1{,}5 \cdot 10^3\,кг)(-0{,}834\,м/с^2) = -1{,}25 \cdot 10^3$ Н. Эта величина составляет около 8,5 % веса автомобиля.

§ 5. Контактные силы (силы реакции и трения)

Если создать контакт между двумя силами, например прижав брусок к столу или к стенке, то возникнут силы взаимодействия. При этом не только брусок действует на стол, но в соответствии с третьим законом Ньютона возникает сила, действующая на брусок со стороны стола. В конечном счете эти силы обусловлены отталкиванием атомов. Если электронные оболочки двух атомов начинают перекрываться, между атомами возникает отталкивание, и чем сильнее сближаются атомы, тем больше это отталкивание. Сила отталкивания атомов имеет электромагнитную природу и может оказаться очень большой по сравнению с силой гравитационного взаимодействия. Если прижимать брусок к столу, то атомы на поверхности бруска будут сближаться с атомами на поверхности стола до тех пор, пока результирующая сила отталкивания, направленная навстречу приложенной силе, не окажется равной ей по величине. Подобные силы отталкивания между поверхностями мы будем называть контактными.

На рис. 4-6 изображен брусок массой m, прижатый к стенке с силой **F**. Если в этом случае автоматически применить уравнение $\mathbf{F} = m\mathbf{a}$, то мы получим ускорение $\mathbf{a} = \mathbf{F}/m$, которое отлично от нуля. Однако совершенно очевидно, что брусок не испытывает ускорения под действием силы **F**. Более тщательный анализ показывает, что атомы стенки отталкивают брусок с силой $\mathbf{F}_1$, равной $-\mathbf{F}$. Результирующая сила

$$\mathbf{F}_{рез.} = \mathbf{F} + \mathbf{F}_1 = \mathbf{F} + (-\mathbf{F}) = 0.$$

Если на брусок действует сила тяжести $\mathbf{F}_g$, то возникает сила реакции $\mathbf{F}_2$, направленная вверх и равная $-\mathbf{F}_g$. В этом случае результирующая сила является суммой всех четырех сил (рис. 4-7):

$$\mathbf{F}_{рез.} = \mathbf{F} + \mathbf{F}_1 + \mathbf{F}_g + \mathbf{F}_2 =$$
$$= \mathbf{F} + (-\mathbf{F}) + \mathbf{F}_g + (-\mathbf{F}_g) = 0.$$

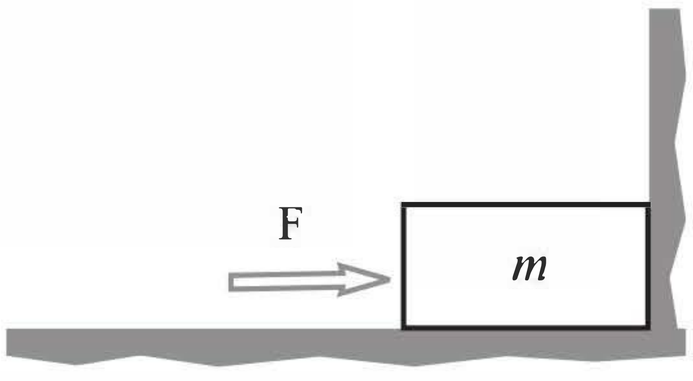


Рис. 4-6. Брусок, прижатый к неподвижной стенке

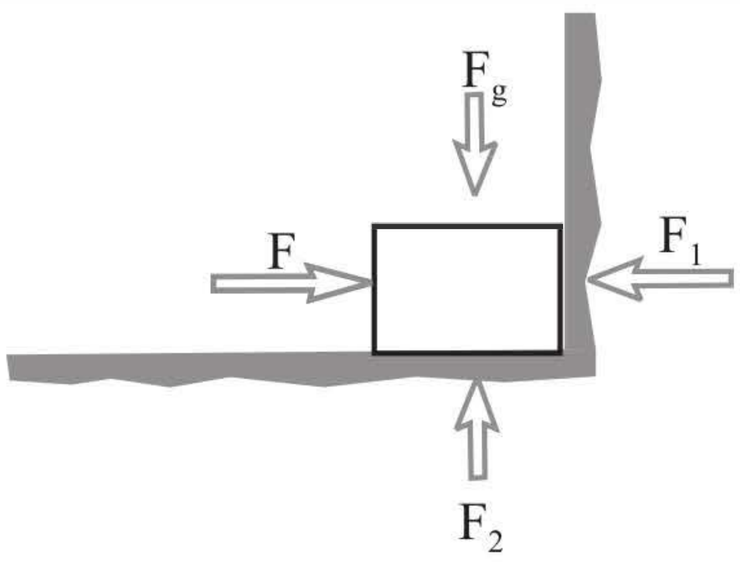


Рис. 4-7. Четыре силы, действующие на брусок, изображенный на рис. 4-6; силы, действующие со стороны бруска на стенку и пол, не показаны

Во всех случаях, когда применяется второй закон Ньютона, сначала необходимо вычислить *результирующую* силу.

По мере дальнейшего изучения физики мы постепенно осознаем величие простоты и изящества законов Ньютона. Однако иногда правильное применение законов Ньютона может оказаться весьма хитроумным. Своего рода «предупреждением» может служить следующий парадокс.

Рассмотрим два бруска с массами m_A и m_B, расположенные на абсолютно гладкой поверхности (рис. 4-8). Сила **F** прилагается к бруску A и передается им бруску B. Согласно третьему закону Ньютона, брусок B должен оказывать на брусок A такую же по величине, но противоположно направленную силу $-\mathbf{F}$. Результирующая сил, действующих на брусок A, равна сумме силы **F** и силы реакции $-\mathbf{F}$ бруска B, т. е. $\mathbf{F}_{рез.} = \mathbf{F} + (-\mathbf{F}) = 0$. Согласно второму закону Ньютона, это означает, что

$$\mathbf{a} = \mathbf{F}_{рез.}/m_A = 0.$$

Мы вынуждены сделать вывод, что брусок A не удастся сдвинуть с места, как бы ни была велика сила **F**! Попробуйте сами найти ошибку в этих рассуждениях, прежде чем читать следующий абзац.

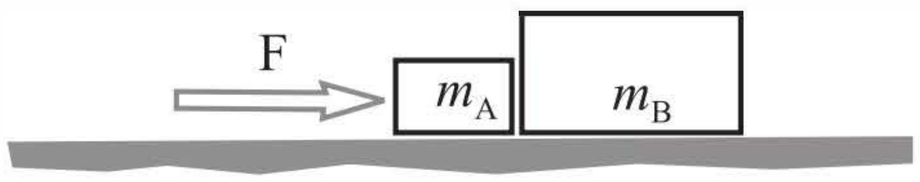


Рис. 4-8. Два бруска на абсолютно гладкой поверхности, которые толкает внешняя сила

Ошибка состоит в предположении, что сила **F** полностью передается бруском A и, таким образом, прилагается и к бруску B. Законы Ньютона вовсе не утверждают, что должно быть именно так. От этого предположения следует отказаться и допустить, что сила реакции, действующая на B со стороны A, принимает какое-то иное значение $\mathbf{F}'$. Общий подход к решению задач динамики состоит в применении второго закона Ньютона к каждой массе в отдельности. На массу m_A помимо силы **F** будет действовать сила реакции со стороны массы m_B, направленная в противоположную сторону, которая по третьему закону Ньютона равна $-\mathbf{F}'$. Тогда результирующая сила, действующая на A, равна $\mathbf{F} - \mathbf{F}'$, и второй закон Ньютона принимает вид

$$\mathbf{F} - \mathbf{F}' = m_A\mathbf{a}.$$

Для m_B второй закон записывается следующим образом:

$$\mathbf{F}' = m_B\mathbf{a}.$$

Складывая оба этих уравнения, получаем

$$\mathbf{F} = (m_A + m_B)\,\mathbf{a}, \text{ или } \mathbf{a} = \mathbf{F}/(m_A + m_B).$$

Следует заметить, что этот же результат можно получить, рассматривая оба бруска как одно тело массой $m_A + m_B$.

Трение

До сих пор мы рассматривали контактные силы, направленные перпендикулярно (по нормали) к поверхности контакта между двумя телами. Эти силы мы назвали силами реакции. Кроме того, контактная сила может иметь составляющую вдоль поверхности. Сила взаимодействия, параллельная поверхности, называется силой трения. Рассмотрим, например, брусок A, поставленный на брусок B (рис. 4-9). Может оказаться, что при действии на брусок A небольшой боковой силы **F** он останется неподвижным. Это означает, что сила **F** уравновешивается силой трения $\mathbf{F}_f$, показанной на рис. 4-9, *б*; таким образом, $\mathbf{F}_f = -\mathbf{F}$. При увеличении силы **F** наступит момент, когда брусок A начнет двигаться. Чем более гладкой является поверхность, тем раньше он придет в движение. Обозначим это предельное значение силы трения через $(F_f)_s$ (индекс *s* означает «статическая»). Отношение $(F_f)_s$ к силе реакции F_N на рис. 4-9, *б* характеризует статический коэффициент трения μ_s:

$$\mu_s \equiv \frac{(F_f)_s}{F_N} \quad (\textit{статический коэффициент трения}).$$

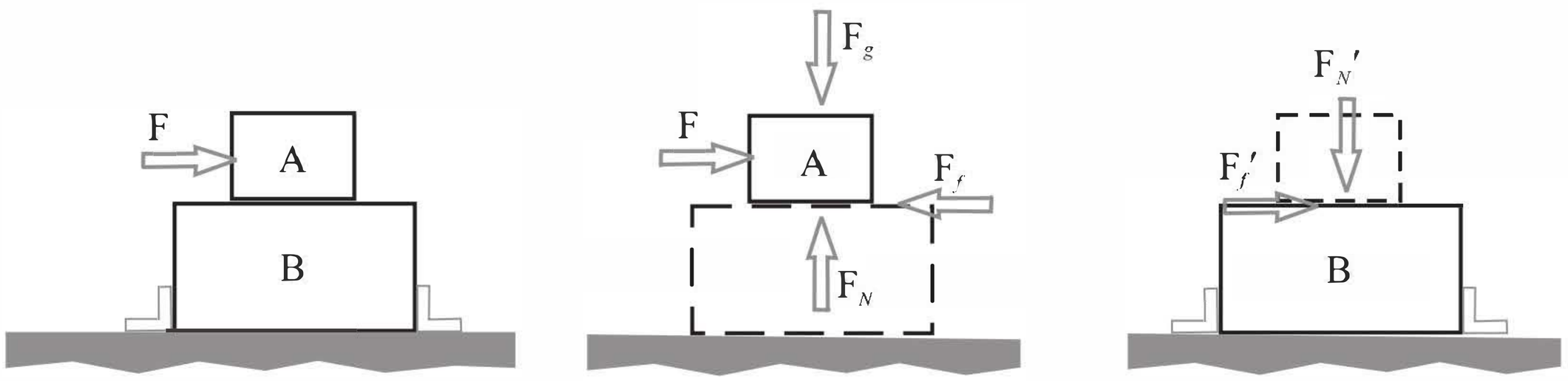
Экспериментально установлено, что для большинства сухих поверхностей μ_s почти не зависит от F_N и от площади соприкосновения.

Если F больше, чем $(F_f)_s$, то брусок на рис. 4-9 будет двигаться; однако в противоположном направлении на него по-прежнему будет действовать сила трения $(F_f)_d$ (индекс *d* означает «динамическая»). Соответствующий динамический коэффициент трения имеет вид

$$\mu_d \equiv \frac{(F_f)_d}{F_N} \quad (\textit{динамический коэффициент трения}).$$

Для большинства веществ величина μ_d несколько меньше, чем μ_s. В случае с сухими поверхностями она почти не зависит от F_N, площади соприкосновения тел и скорости.

При трении между гладкими деревянными поверхностями $\mu_s \approx \mu_d \approx 0{,}3$. Коэффициент трения резиновых шин по бетону может достигать единицы. Во многих задачах с трением коэффициент трения



(а) (б) (в)

Рис. 4-9. *а* — к бруску *A* приложена боковая сила **F**; *б* — на брусок *A* помимо силы тяжести $\mathbf{F}_g$ действуют также две составляющие контактной силы (благодаря силе, действующей со стороны бруска *B*); векторная сумма всех этих сил равна нулю; *в* — контактные силы, действующие на брусок *B* со стороны бруска *A*; брусок *B* прочно прикреплен к основанию

задается. При этом предельную силу трения вычисляют, умножая μ на силу F_N. В примере, приведенном на рис. 4-9, F_N обусловлена силой тяжести F_g.

Трение — довольно сложное явление, и мы не будем его подробно здесь рассматривать. Для правильного его объяснения требуется хорошо представлять себе взаимодействие между поверхностными атомами, а для этого понадобится знание физики твердого тела и химии.

§ 6. Решение задач

Вес

Обычно при вычислении силы реакции приходится вычислять силу тяжести F_g. Действующая на тело сила тяжести называется весом тела*. (Более подробно этот вопрос рассматривается в § 4 гл. 5.) Поскольку вблизи поверхности Земли ускорение любого свободно падающего тела равно $a_g = g$, из второго закона Ньютона мы имеем $\mathbf{F}_g = m\mathbf{a}_g$, или

$$F_g = mg \quad (вес).$$

Вблизи поверхности Земли вес тела равен mg.

Пример 2. На каждое колесо автомобиля приходится 25 % его веса. Пусть статический коэффициент трения между колесом и дорогой равен $\mu_s = 0{,}8$. а) Чему равно минимальное время полного торможения при скорости 60 км/ч? (Тормоза действуют на все 4 колеса.) б) Чему равно минимальное время разгона с места до скорости 60 км/ч? (Это стандартный показатель качества автомобиля — т. н. приёмистость.)

Решение: Если торможение происходит так, что колеса не проскальзывают, то результирующая сила торможения $0{,}8mg$, где mg — нормальная (перпендикулярная поверхности дороги) сила. (Если колеса идут юзом, то вместо μ_s нужно пользоваться коэффициентом μ_d.) Приравнивая $F_{рез.}$ тормозящей силе $ma = 0{,}8mg$, находим $a = 0{,}8g$. Время полного торможения

$$t = \frac{v}{a} = \frac{16{,}67\ \text{м/с}}{0{,}8\left(9{,}8\ \text{м/с}^2\right)} = 2{,}13\ \text{с}.$$

У автомобиля с одной парой ведущих колес двигатель вращает только задние колеса. При разгоне максимальная сила ограничивается сцеплением задних колес с дорогой, и поэтому она не может превышать половины найденной выше тормозящей силы, т. е. $0{,}4g$. Время разгона до скорости 60 км/ч будет в два раза больше времени торможения, т. е. составит 4,26 с. Этот показатель можно улучшить, используя более крупные мягкие шины и перемещая на задние колеса больше половины веса автомобиля. Требования к мощности двигателя мы рассмотрим в гл. 7.

Пример 3. На деревянную наклонную плоскость помещается брусок из дерева (рис. 4-10). Угол наклона постепенно увеличивается до значения $\theta = 20°$, при котором брусок начинает скользить по плоскости с ускорением. Чему равен коэффициент трения μ_s?

Решение: На рис. 4-10, *а* показаны три силы, действующие на брусок, причем $\mathbf{F}_g + \mathbf{F}_N + \mathbf{F}_f = 0$. Сложение этих векторов показано на рис. 4-10, *б*. Мы видим, что

$$\operatorname{tg}\theta = F_f/F_N.$$

При максимальном угле наклона 20°

$$\operatorname{tg}\theta_{макс.} = (F_f)_s/F_N = \mu_s,$$

$$\operatorname{tg} 20° = \mu_s,$$

$$\mu_s = 0{,}36.$$

Как только брусок начинает скользить, сила трения уменьшается, поскольку $(F_f)_d < (F_f)_s$. Результирующая сила $F_{рез.} = (F_f)_s - (F_f)_d$.

---

* Во избежание недоразумений заметим уже здесь, что данное определение справедливо лишь в инерциальной системе отсчета. — *Прим. ред.*

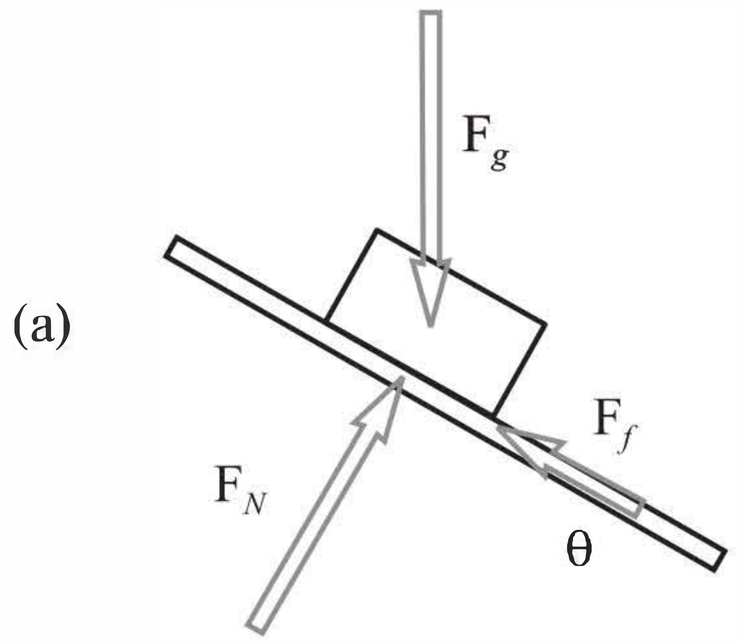


Рис. 4-10. *а* — брусок, лежащий неподвижно на наклонной плоскости; *б* — векторная сумма трех сил, действующих на брусок, дает $\mathbf{F}_{\text{рез.}} = 0$

Пример 4. Предположим, что коэффициент трения колес по бетонному покрытию дороги равен 0,8 и все четыре колеса автомобиля — ведущие. Каким может быть максимальный угол подъема дороги, чтобы автомобиль мог ехать не буксуя?

Решение: Воспользуемся из предыдущего примера соотношением

$$\operatorname{tg}\theta_{\text{макс.}} = \mu_s = 0{,}8,$$

откуда находим

$$\operatorname{tg}\theta_{\text{макс.}} = 38{,}6^\circ.$$

Это означает, что на дорогу с более крутым подъемом автомобиль въехать не сможет.

Диаграммы сил

В примере 3 и задаче с брусками мы сначала нашли все силы, действующие на тело, а затем сложили их векторно и определили $\mathbf{F}_{\text{рез.}}$. Затем $\mathbf{F}_{\text{рез.}}$ приравняли массе тела, умноженной на ускорение, как если бы это было свободное тело, на которое действует единственная сила $\mathbf{F}_{\text{рез.}}$. Графическое изображение всех действующих на тело сил называется диаграммой сил. При решении задач о движении тела под действием сил полезно применять следующую программу.

1. Выделить рассматриваемое тело.
2. Найти все силы, действующие на тело, включая силы реакции и силы трения.
3. Сложить векторно все силы. При этом полезно нарисовать диаграмму сил, наглядно изображающую суммирование векторов.
4. Применить второй закон Ньютона $\mathbf{F}_{\text{рез.}} = m\mathbf{a}$ к рассматриваемому телу.
5. Если останутся еще неизвестные величины, то следует повторить эту процедуру для других тел системы.

Мы воспользуемся этим подходом при рассмотрении следующих четырех случаев: аттракциона «американские горы», ускорения на наклонной плоскости, машины Атвуда и конического маятника.

Американские горы

В тележке, совершающей мертвую петлю радиусом R (рис. 4-11), находится человек, масса которого равна m. Скорость тележки в верхнем положении равна v. Чему равно ускорение? Сколь велика при этом сила, прижимающая человека к сиденью? Чему равна результирующая сила, действующая на человека?

Решение: По определению ускорение $\mathbf{a} = d\mathbf{v}/dt$ независимо от величины силы тяжести. Поэтому, как показано в § 4, $a = v^2/R$. Согласно второму закону Ньютона, результирующая сила дается выражением

$$F_{\text{рез.}} = ma = mv^2/R$$

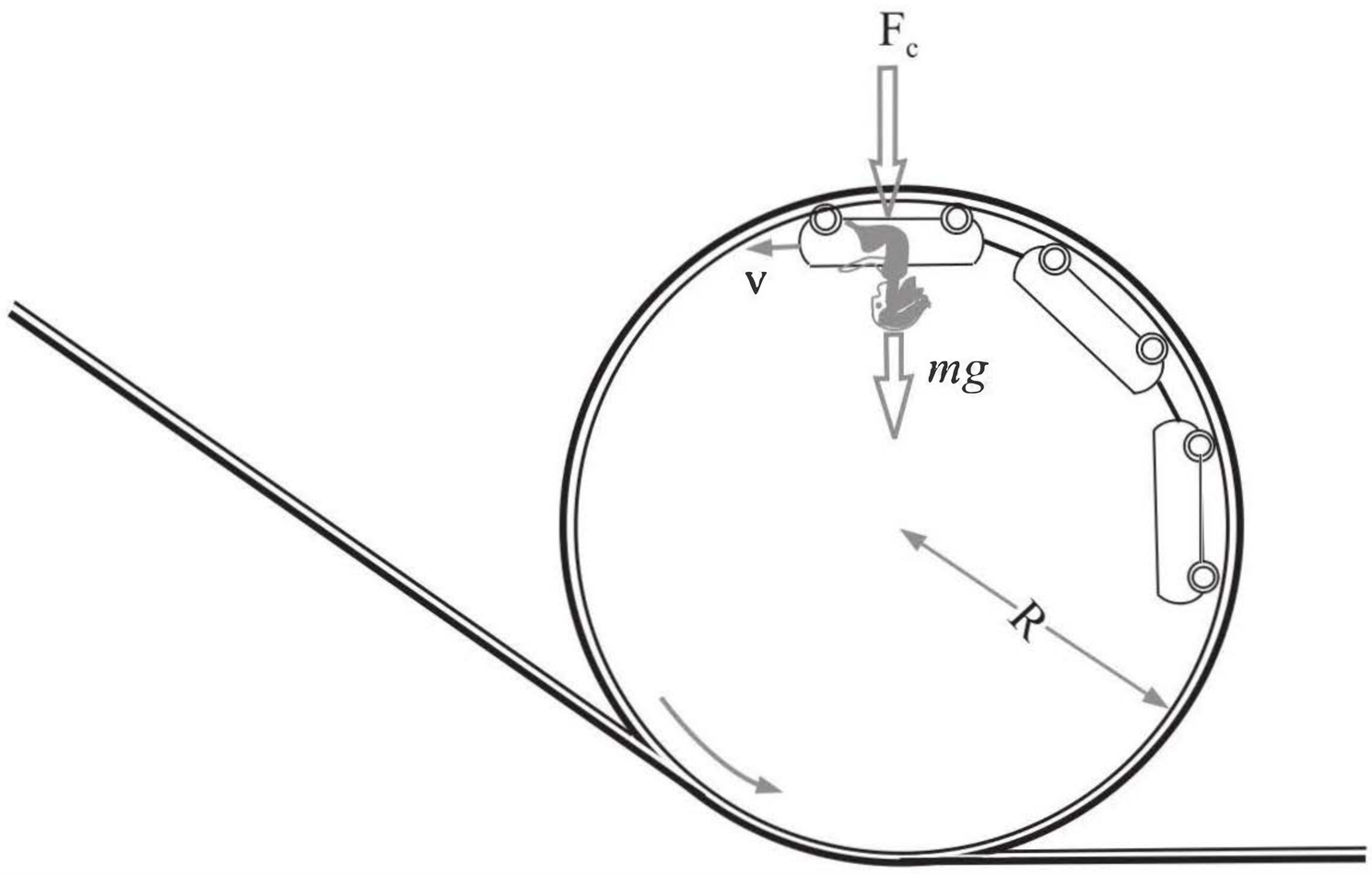


Рис. 4-11. Силы, действующие в верхней части петли на человека, сидящего в тележке

и направлена вниз. Эта сила складывается из направленных вниз силы тяжести и контактной силы F_c, действующей на человека со стороны сиденья, т. е. $F_{\text{рез.}} = mg + F_c$. Таким образом,

$$mv^2/R = mg + F_c,$$

откуда

$$F_c = m\,[(v^2/R) - g].$$

Согласно третьему закону Ньютона, эта сила равна по величине силе, которая прижимает человека к сиденью. (По определению, данному в § 4 гл. 5, она представляет собой «истинный вес» человека. Если $v^2/R = g$, то человек оказывается «невесомым».)

Наклонная плоскость

Вычислим ускорение тела массой m, скользящего по наклонной поверхности, которая образует угол θ с горизонтальной плоскостью (рис. 4-12). На рисунке показаны три действующие на массу силы: сила реакции $\mathbf{F}_N$, сила трения $\mathbf{F}_f$, направленная против движения, и сила тяжести $m\mathbf{g}$, направленная вниз. Векторное сложение этих сил на рис. 4-12, *б* дает $\mathbf{F}_{\text{рез.}}$. Силы образуют прямоугольный треугольник, причем угол между $\mathbf{F}_N$ и $m\mathbf{g}$ равен θ, поскольку эти силы взаимно перпендикулярны векторам, составляющим угол θ на рис. 4-1, *а*. Следовательно, лежащий против угла θ катет треугольника $F_{\text{рез.}} + F_f$ равен $mg \sin \theta$:

$$F_{\text{рез.}} + F_f = mg \sin \theta.$$

Заменяя $F_{\text{рез.}}$ на ma, получаем

$$ma = mg \sin \theta - F_f. \qquad (4\text{-}6)$$

В отсутствие трения

$$a = g \sin \theta \ (\textit{без трения}). \qquad (4\text{-}7)$$

В случае когда имеется трение, в формуле (4-6) следует заменить F_f на $\mu_d F_N$, что дает

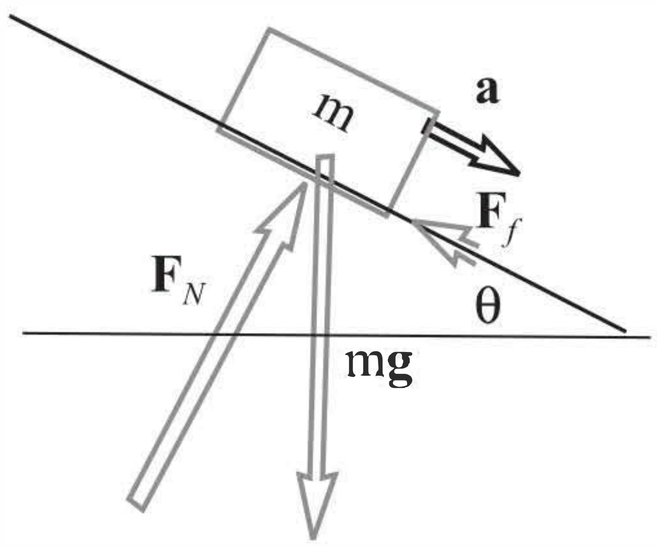
$$ma = mg \sin \theta - \mu_d F_N.$$

Из треугольника сил на рис. 4-12, *б* находим $F_N = mg \cos \theta$. Подставляя это в последнее соотношение, имеем

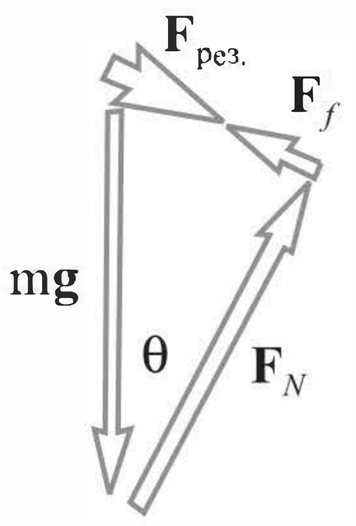
$$a = g \sin \theta - \mu_d g \cos \theta. \qquad (4\text{-}8)$$

Из (4-7) и (4-8) следует, что наклонную плоскость можно использовать для уменьшения ускорения тела, возникающего благодаря силе тяжести.

(а)



(б)



$$\mathbf{F} = m\mathbf{g}+\mathbf{F}_N+\mathbf{F}_f$$

Рис. 4-12. *а* — тело массой *m* на наклонной плоскости; *б* — сумма трех сил, действующих на *m*, дает $\mathbf{F}_{рез.}$

Пусть брусок скользит по наклонной плоскости, не ускоряясь. Тогда в (4-8) нужно положить $a = 0$, и мы можем написать

$$g \sin \theta = \mu_d g \cos \theta,$$

откуда

$$\operatorname{tg} \theta = \mu_d .$$

При этом значении угла наклона тело будет двигаться без ускорения. Отметим, что последнее выражение имеет тот же вид, что и $\operatorname{tg} \theta = \mu_s$ в примере 3; отличие состоит лишь в том, что вместо μ_s стоит μ_d. Смысл этого отличия простой: если брусок скользит с постоянной скоростью, нужно пользоваться коэффициентом μ_d, а если он покоится, — коэффициентом μ_s.

Из этих примеров видно, что сила реакции $\mathbf{F}_N$ принимает такое значение, чтобы направление результирующей силы $\mathbf{F}_{рез.}$ совпадало с направлением движения.

§ 7. Машина Атвуда

В механике встречается много задач, связанных с движением тел, соединенных приводными ремнями или нитями, переброшенными через вращающиеся без трения блоки. Обычно предполагают, что ремни, нити и блоки не имеют массы. Поэтому даже при ускорении нити сила, приложенная к одному ее концу, целиком передается на другой конец. Например, на рис. 4-13 результирующая сила равна $F_2 - F_1$, поэтому нить приобретает ускорение вправо.

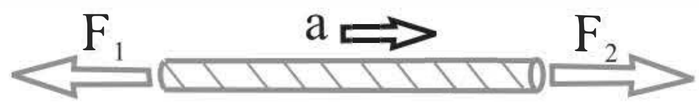


Рис. 4-13. Силы, действующие на участок нити

Если масса нити *m*, то

$$F_2 - F_1 = ma.$$

Но если $m = 0$, мы имеем

$F_2 - F_1 = 0$, или $F_2 = F_1$.

На рис. 4-14 сила, действующая на любое тело со стороны нити, является натяжением и обозначается *T*. По третьему закону Ньютона ее величина равна силе, действующей со стороны висящего на нити тела; используя равенство $F_2 = F_1$, получаем $T_1 = T_2$. Мы видим, что натяжения на обоих концах нити с нулевой массой одинаковы, и поэтому обозначим их одной буквой *T*. Нам нужно найти ускорение *a* и натяжение *T* такой системы (именуемой машиной Атвуда). Чтобы решить эту задачу, нам потребуется система двух уравнений. Эти уравнения можно получить с помощью второго закона Ньютона, применяя его отдельно для каждой массы. Иными словами, мы имеем здесь две диаграммы сил. Для m_1:

$$F_{1\,рез.} = T - m_1 g, \text{ или } m_1 a = T - m_1 g \quad (4\text{-}9)$$

и аналогично для m_2:

$$F_{2\text{рез.}} = m_2 g - T, \text{ или } m_2 a = m_2 g - T.$$

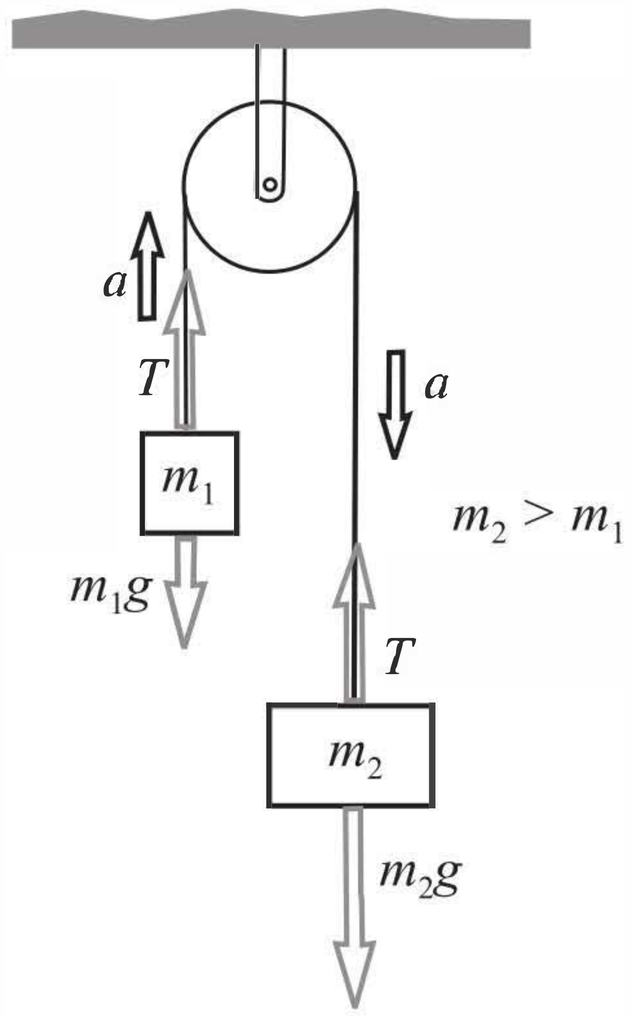


Рис. 4-14. Машина Атвуда; тело массой m_1 движется вверх, а тело массой m_2 движется вниз с ускорением a

При этом мы приняли направление ускорения a за положительное, так что силы, совпадающие по направлению с a, будут положительными. Если направление a выбрано неправильно, то a окажется отрицательной величиной. Складывая оба уравнения, получаем

$$m_1 a + m_2 a = m_2 g - m_1 g, \qquad (4\text{-}10)$$

$$a = \frac{m_2 - m_1}{m_2 + m_1} g.$$

Мы видим, что при $m_1 \approx m_2$ ускорение мало.

Чтобы найти натяжение, нужно подставить выражение для a в (4-9):

$$m_1 \left(\frac{m_2 - m_1}{m_2 + m_1} g \right) = T - m_1 g,$$

$$T = \frac{2 m_1 m_2}{m_1 + m_2} g.$$

§ 8. Конический маятник

На рис. 4-15 изображен конический маятник. Он представляет собой тело массой m, которое подвешено на нити длиной L и совершает равномерное движение по окружности относительно вертикальной оси, проходящей через точку

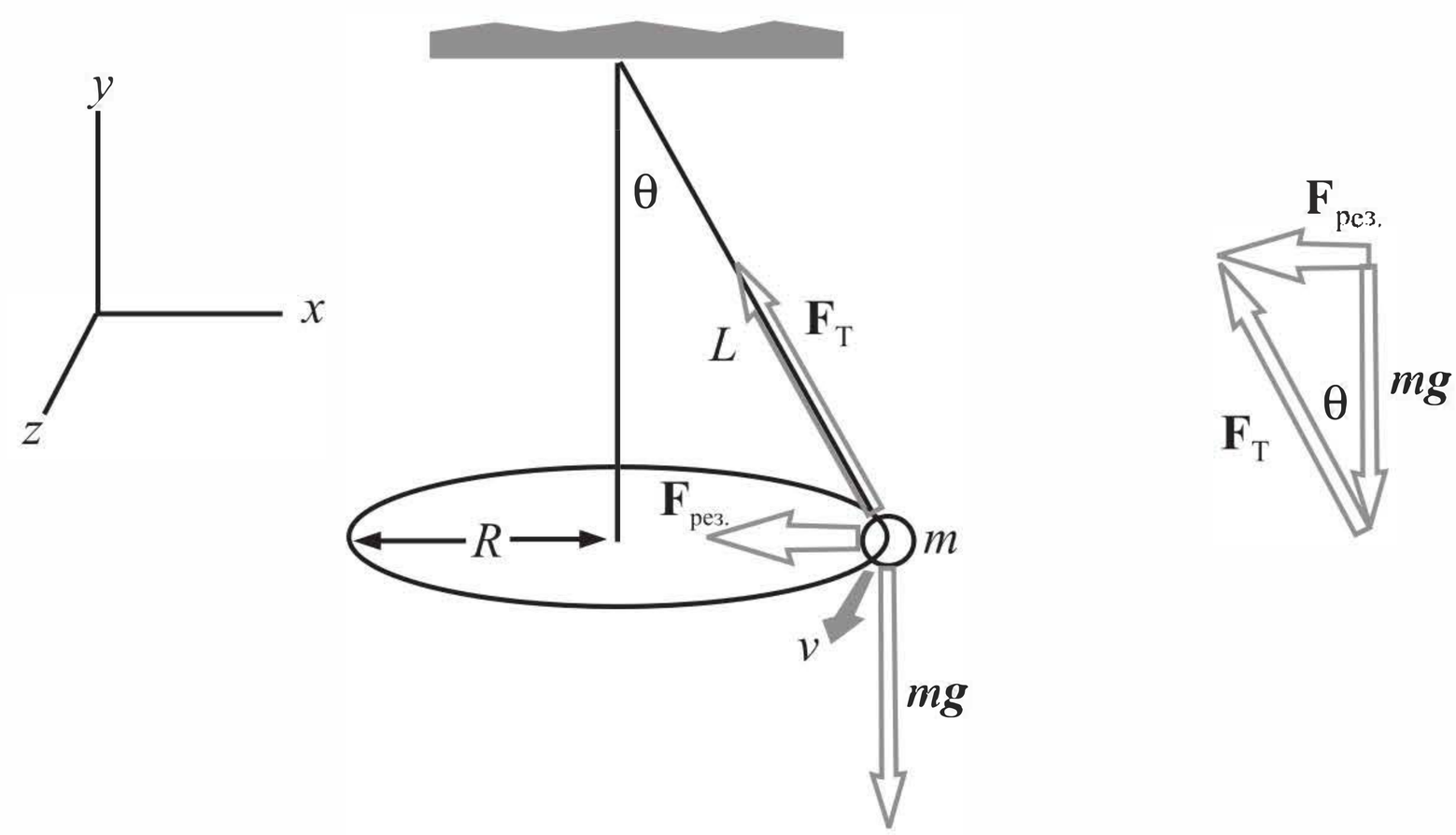


Рис. 4-15. *а* — конический маятник, состоящий из подвешенного на нити тела массой m, движущегося по окружности; *б* — векторная сумма сил, действующих на m

подвеса. Следовательно, ускорение маятника — центростремительное, и сила $\mathbf{F}_{\text{рез.}}$ должна быть направлена к центру окружности. Обозначим через v скорость, а через R радиус траектории. На тело массой m действуют две силы: сила тяжести $m\mathbf{g}$, направленная вертикально вниз, и натяжение нити $\mathbf{F}_T$, направленное под углом θ к вертикали. На рис. 4-15, *б* показано векторное сложение этих сил, которое дает результирующую $\mathbf{F}_{\text{рез.}}$. Из этой диаграммы следует, что

$$F_{\text{рез.}} = mg \operatorname{tg} \theta.$$

Приравнивая $F_{\text{рез.}}$ и ma друг другу, получаем

$$ma = mg \operatorname{tg} \theta.$$

Подставим сюда вместо центростремительного ускорения a его выражение (3-9). Таким образом, можно записать

$$m\left(\frac{4\pi^2}{T^2}R\right) = mg \operatorname{tg} \theta,$$

откуда находим период колебаний

$$T = 2\pi\sqrt{R/g \operatorname{tg}\theta}.$$

Замена R на $L \sin \theta$ дает

$$T = 2\pi\sqrt{(L/g)\cos\theta}.$$

Заметим, что период не зависит от массы m.

Для малых θ можно положить $\cos \theta \approx 1$. Тогда

$$T = 2\pi\sqrt{L/g} \quad (\textit{для малых отклонений}). \qquad (4\text{-}11)$$

В этом случае период не зависит не только от m, но и от θ. Если рассматривать составляющие векторов $\mathbf{F}_{\text{рез.}}$, $\mathbf{v}$ и смещения массы m, расположенные только в плоскости xy, то мы придем к обычному маятнику, совершающему колебания от $x = -R$ до $x = +R$ с периодом $T = 2\pi\sqrt{L/g}$. Таким образом, при малых θ формула (4-11) описывает также период колебаний обычного маятника.

§ 9. Закон сохранения импульса

В данном параграфе, исходя из второго и третьего законов Ньютона, мы получим закон сохранения импульса. Позже из законов Ньютона мы получим также закон сохранения энергии. Интересно заметить, что можно идти и обратным путем: вывести законы Ньютона из законов сохранения импульса и энергии. Это дело вкуса, что постулировать, а что выводить. Наше изложение является более традиционным и соответствует исторической последовательности развития физики.

В действительности, используя более сложный математический аппарат, применение которого выходит за рамки настоящей книги, можно вывести законы Ньютона и законы сохранения импульса и энергии, исходя из однородности пространства и времени. **Однородность пространства** при этом означает, что законы физики одинаковы во всех точках пространства, а **однородность времени** — что законы физики не меняются со временем. (Отсюда следует, что ни одна физическая константа не меняет со временем своего значения.) Как бы убедительно ни звучали такие принципы симметрии, их необходимо проверять экспериментальным путем.

Напомним, что в формуле (4-2) импульс определялся как $\mathbf{P} = m\mathbf{v}$. Закон сохранения импульса утверждает, что полный импульс замкнутой системы остается постоянным во времени. При этом под полным импульсом подразумевается векторная сумма импульсов всех частиц системы. **Замкнутой системой** мы будем называть систему, на которую не действуют

внешние силы. Все силы, действующие внутри системы, должны быть включены в нее саму. Если, например, замкнутая система состоит из двух взаимодействующих между собой частиц с массами m_A и m_B, то, согласно третьему закону Ньютона, $\mathbf{F}_A = -\mathbf{F}_B$, как это показано на рис. 4-4. Воспользуемся теперь вторым законом Ньютона и заменим каждую силу на $d\mathbf{P}/dt$:

$$d\mathbf{P}_A/dt = -d\mathbf{P}_B/dt,$$

$$d\mathbf{P}_A/dt + d\mathbf{P}_B/dt = 0,$$

$$d(\mathbf{P}_A + \mathbf{P}_B)/dt = 0,$$

$$(\mathbf{P}_A + \mathbf{P}_B) = \text{const}, \text{ или } \mathbf{P}_{\text{полн.}} = \text{const}.$$

Таким образом, мы убедились, что полный импульс системы не меняется во времени. Этот вывод нетрудно обобщить на случай замкнутой системы, состоящей из n частиц. Если нет внешних сил, то

$$\sum_j \mathbf{P}_j = \text{const},$$

или

$$\sum_j \mathbf{p}_j = \sum_j \mathbf{P}_j \quad (\textit{закон сохранения импульса}); \tag{4-12}$$

здесь через $\mathbf{p}$ мы обозначили импульсы в начальный момент времени, а через $\mathbf{P}$ — импульсы в один из последующих моментов времени.

Пример 5. Рассмотрим случай разлета двух тел. В начальный момент времени оба тела с массами m_1 и m_2, между которыми зажата пружинка, находятся в покое (см. рис. 4-1). Каково соотношение скоростей этих тел, после того как пружинку освободили и они начали разлетаться?

Решение: В соответствии с (4-12)

$$\mathbf{p}_1 + \mathbf{p}_2 = \mathbf{P}_1 + \mathbf{P}_2.$$

Начальные значения импульсов $\mathbf{p}_1 = \mathbf{p}_2 = 0$, поэтому

$$0 + 0 = \mathbf{P}_1 + \mathbf{P}_2,$$

т. е.

$$\mathbf{P}_1 = -\mathbf{P}_2, \text{ или } m_1\mathbf{v}_1 = -m_2\mathbf{v}_2,$$

откуда находим

$$v_1/v_2 = -m_2/m_1. \tag{4-13}$$

Знак «минус» свидетельствует о том, что скорости направлены в противоположные стороны.

Заметим, что соотношение (4-13) совпадает с формулой (4-1), которую мы использовали для определения массы.

Пример 6. На рис. 4-16 изображено 3-килограммовое ружье, из которого со скоростью 600 м/с вылетает пуля массой 10 г. Какова будет скорость отдачи ружья, если оно свободно, т. е. не прижато к плечу?

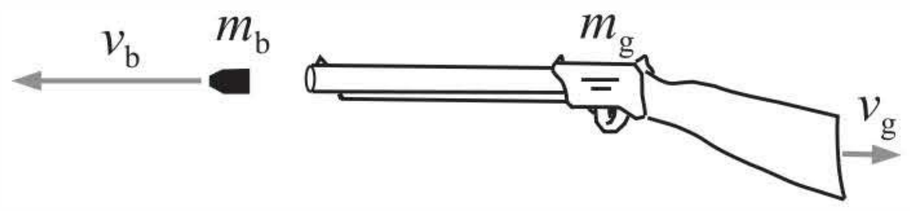


Рис. 4-16. Ружье массой m_g, выстреливающее пулей, имеющей массу m_b

Решение: Начальные импульсы пули и ружья равны нулю. Поэтому для определения отношения скоростей можно воспользоваться формулой (4-13). Обозначим величины, относящиеся к ружью и пуле, соответственно индексами g и b. Тогда

$$v_g/v_b = -m_b/m_g,$$

$$v_g = -(m_b/m_g)v_b = -(0{,}01/3)(-600) \text{ м/с} = 2 \text{ м/с}.$$

Пример 6 иллюстрирует принцип действия ракетного двигателя. Если ружье рассматривать как ракету, а пулю — как порцию топлива, выброшенную со ско-

ростью v_b, то ясно, что при каждом выбросе порции топлива с массой m_b скорость ракеты будет увеличиваться на v_g.

*Пример 7. (Тем, кто не знаком с интегральным исчислением, этот пример рекомендуем пропустить.) Ракета, имеющая начальную массу m_0, начинает движение из состояния покоя. К некоторому моменту времени, когда израсходована общая масса топлива m, ракета развивает скорость v. Пусть скорость истечения топлива относительно ракеты равна v_0. Как в этом случае v зависит от m?

Решение: На рис. 4-17 показана ситуация, наблюдаемая в лабораторной системе координат, когда ракета израсходовала некоторое количество Δm топлива (в этой системе $v = 0$ при $m = 0$). Чтобы установить соотношение между Δm и Δv, воспользуемся законом сохранения импульса. Если скорость ракеты, имеющей теперь массу $m_0 - m$, увеличилась на Δv, то соответствующее приращение импульса $\Delta P_1 = (m_0 - m)\Delta v$. При этом произошел выброс топлива Δm, скорость которого уменьшилась на v_0. Это соответствует уменьшению импульса топлива на $\Delta P_1 = (\Delta m)\, v_0$. Из закона сохранения импульса следует, что обе величины должны быть равны друг другу:

$$(m_0 - m)\Delta v = (\Delta m)v_0,$$

откуда

$$\Delta v = v_0 \Delta m/(m_0 - m), \text{ или } dv = v_0 dm/(m_0 - m).$$

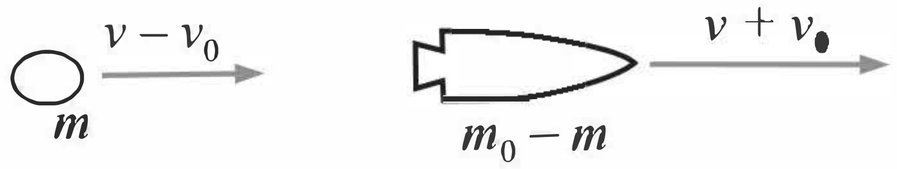


Рис. 4-17. Истечение из ракеты топлива массой Δm с относительной скоростью v_0

Чтобы найти скорость v, проинтегрируем последнее соотношение. Таким образом,

$$v = v_0 \int_0^m [dm/(m_0 - m)],$$

$$v = v_0 \ln[m/(m_0 - m)]. \qquad (4\text{-}14)$$

Конечная скорость достигается в тот момент времени, когда $m_0 - m$ соответствует массе ракеты без топлива. Отношение $m_0/(m_0 - m)$ может быть равным 10, что обеспечивает конечную скорость $v = 2{,}3v_0$. Если для вывода на орбиту требуются более высокие скорости, то приходится использовать многоступенчатые ракеты.

Основные выводы

В случае когда известна сила, действующая на тело массой m, с помощью трех законов Ньютона можно определить ускорение тела и предсказать его координаты и скорости в любой последующий момент времени.

Первый закон: Если $\mathbf{F}_{\text{рез.}} = 0$, то $\mathbf{a} = 0$.

Второй закон: $\mathbf{F}_{\text{рез.}} = d\mathbf{P}/dt = m\mathbf{a}$, где $\mathbf{P} \equiv m\mathbf{v}$ — импульс тела.

Третий закон: Сила, действующая на m_a со стороны m_b, равна по величине и противоположна по направлению силе, действующей на m_b со стороны m_a.

Если на тело массой m действует единственная сила, ее можно определить, измеряя ускорение $\mathbf{a}$ этого тела, сила равна произведению $m\mathbf{a}$. Сила 1 Н, действующая на тело массы 1 кг, сообщает ему ускорение, равное 1 м/с^2.

Используя закон сохранения импульса, сравним неизвестную массу со стандартной массой m_0. Если под действием пружины эти массы разлетаются из состояния покоя в разные стороны, то $m\mathbf{v} = -m_0\mathbf{v}_0$.

При скольжении тела по поверхности возникает такая контактная сила, что результирующая сила $\mathbf{F}_{\text{рез.}}$ оказывается направленной вдоль поверхности.

Контактная сила может иметь составляющую вдоль поверхности, направлен-

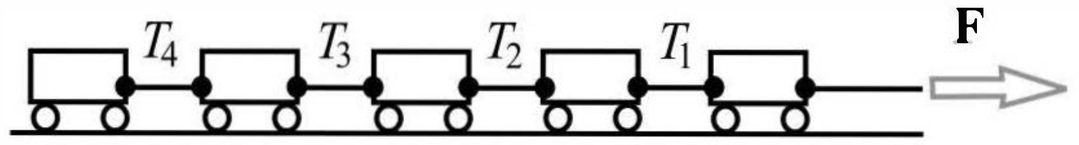
ную против движения тела. Эта составляющая называется силой трения F_f. Коэффициент трения определяется как $\mu = F_f / F_N$, где F_N — сила реакции (нормальная компонента контактной силы).

При скольжении тела по наклонной плоскости векторное сложение силы реакции, силы тяжести и силы трения дает результирующую силу $\mathbf{F}_{\text{рез.}}$.

Для замкнутой системы, состоящей из n частиц, закон сохранения импульса принимает вид $\Sigma m_j \mathbf{v}_j = \Sigma m_j \mathbf{V}_j$, или $\mathbf{P}_{\text{полн.}} = \text{const}$.

Упражнения

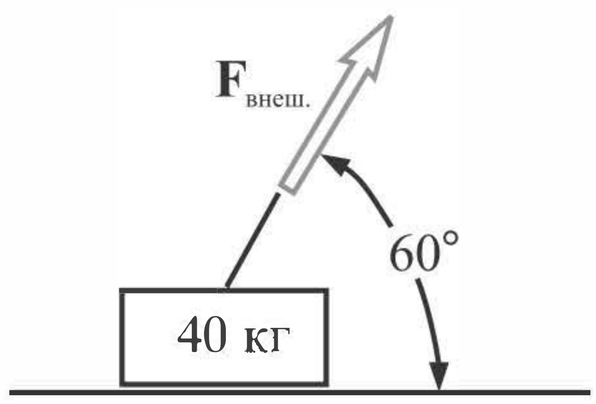
1. Трактор движется с постоянной скоростью 10 км/ч и тянет за собой бревно с силой 10^3 Н. Вес бревна равен 2000 Н. Чему равна результирующая сила, действующая на бревно?
2. При какой скорости релятивистская масса становится равной $m(v) = 1{,}01 m_{\text{пок.}}$?
3. Выразите через m_1, m_2, m_3 и F натяжение каждой нити на рис. 4-5. Напишите зависимость результирующей силы, действующей на каждую из тележек, от этих величин.
4. Предположим, что в примере 1 сила сопротивления пропорциональна v^2. Сколько времени потребуется для уменьшения скорости от 65 до 55 км/ч? [В этом диапазоне скоростей силу можно считать постоянной и равной ее значению при скорости 70 км/ч, умноженному на величину $(60/70)^2$.]
5. Сколько паундалей в 1 фунте силы и в ньютоне? Много ли килограммов в слаге?
6. Чему равны результирующие силы, действующие на рис. 4-8 на тела с массами m_A и m_B? Ответ выразите через m_A, m_B и F.
7. В примере 1 в последующие 5 с скорость автомобиля снижается от 120 до 95 км/ч. Чему равна средняя результирующая сила, действующая на автомобиль в течение этого интервала времени?
8. Пусть в примере 6 из ружья в горизонтальном направлении стреляет охотник, стоящий на абсолютно гладком льду. Масса охотника 60 кг. Чему равна его скорость после выстрела?
9. Укажите, в чем состоит ошибка в выводе из следующего рассуждения. Трактор тянет плуг с силой **F**. Согласно третьему закону Ньютона, сила реакции, действующая со стороны земли на плуг, равна $-\mathbf{F}$. Поскольку сумма этих сил равна нулю, плуг не может двигаться.
10. Пусть на рис. 4-10 $\theta = 30°$, $\mu_s = 0{,}4$ и $\mu_d = 0{,}38$. Во время скольжения бруска угол θ постепенно уменьшается до тех пор, пока брусок не остановится. Чему равен при этом угол θ? Затем θ увеличивают до тех пор, пока брусок опять не начнет двигаться. Чему равно это значение угла θ?
11. Предположите, что атом водорода состоит из протона, вокруг которого по окружности диаметром 10^{-10} м вращается электрон массой $9{,}1 \cdot 10^{-31}$ кг. Сила притяжения равна $9 \cdot 10^{-8}$ Н. Чему равна скорость электрона? Сколько оборотов в секунду совершает электрон?
12. Ребенок тянет игрушечный поезд из 5 вагончиков с силой **F**, как показано на рисунке. Масса вагончика m.



   а) Выразите натяжения нитей T_1, T_2, T_3 и T_4 через F и m. Трением можно пренебречь.
   б) Чему равно ускорение поезда?
13. Подвешенный на нити длиной l груз вращается в горизонтальной плоскости, причем нить отклоняется от вертикали на 20°.
   а) Каков период колебаний этого конического маятника, если $l = 1$ м?
   б) Чему равно отношение периода конического маятника к периоду колебаний обычного маятника такой же длины, совершающего малые колебания?
   в) Повторите упражнение, заменив 20° на 45°.
14. Период колебаний обычного маятника равен 1 с. Какова длина его нити?

Задачи

15. Брусок массой 40 кг находится на идеально гладкой поверхности. К нему приложена сила $F_{внеш.} = 200$ Н, как показано на рисунке.

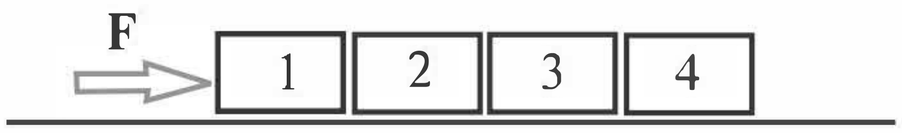


а) Какая результирующая сила действует на брусок? Найдите ее величину и направление.

б) Предположите, что $F_{внеш.} = 800$ Н. Какова теперь результирующая сила?

16. При какой скорости v вес человека, делающего петлю, как показано на рис. 4-11, будет равен половине его веса в обычных условиях? Ответ запишите через g и R.

17. По поверхности идеально гладкого стола (см. рисунок) с силой F толкают четыре бруска, каждый из которых имеет массу m.



а) Чему равно ускорение четвертого бруска?

б) Какая сила действует на второй брусок со стороны первого? Ответы запишите через m и F.

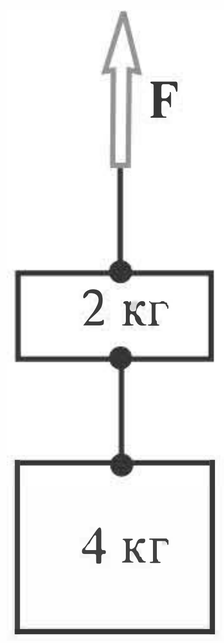
18. В замкнутой системе, состоящей из трех тел m_1, m_2 и m_3, действует шесть сил взаимодействия: $\mathbf{F}_{12}$, $\mathbf{F}_{13}$, $\mathbf{F}_{21}$, $\mathbf{F}_{23}$, $\mathbf{F}_{31}$, $\mathbf{F}_{32}$. С помощью законов Ньютона докажите, что $\mathbf{P}_1 + \mathbf{P}_2 + \mathbf{P}_3 = \text{const}$.

19. Пусть в предыдущей задаче система не замкнута; кроме шести упомянутых сил на нее действуют три внешние силы: $\mathbf{F}_{1внеш.}$, $\mathbf{F}_{2внеш.}$ и $\mathbf{F}_{3внеш.}$. Докажите, что

$$\mathbf{F}_{1внеш.} + \mathbf{F}_{2внеш.} + \mathbf{F}_{3внеш.} = \frac{d}{dt}(\mathbf{P}_1 + \mathbf{P}_2 + \mathbf{P}_3).$$

20. Предположите, что $m = m_0 (1 - v^2/c^2)^{-1/2}$. Запишите силу $F = d(mv)/dt$ через m_0 и v.

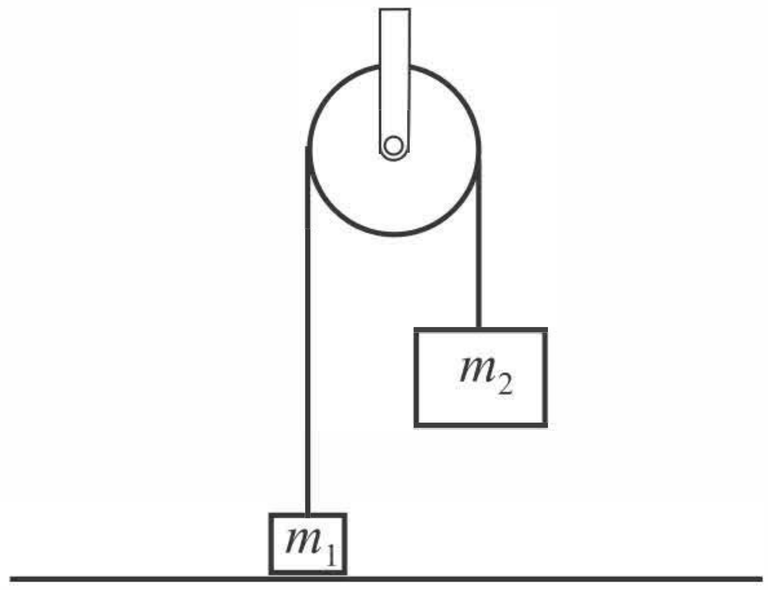
21. Два бруска соединены друг с другом короткой нитью, причем верхний брусок подвешен на нити, как показано на рисунке. Бруски находятся в поле силы тяжести.



а) Какую силу F нужно приложить к верхней нити, чтобы бруски висели неподвижно?

б) Какая сила F должна быть приложена к верхней нити, чтобы бруски двигались вверх с ускорением 2 м/с^2? Каково при этом будет натяжение нити, соединяющей бруски?

22. Тела с массами m_1 и m_2 соединены нитью, переброшенной через блок, вращающийся без трения. Тело m_1 находится на столе.

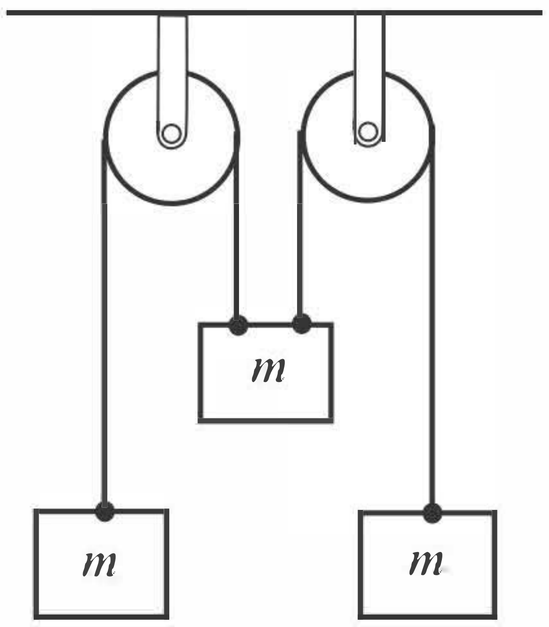


а) Какая сила требуется для того, чтобы удерживать тело m_1 на столе, если $m_1 = 0{,}1$ кг и $m_2 = 0{,}3$ кг?

б) Чему равно натяжение нити в этом случае?

в) Каково было бы натяжение, если бы мы перестали удерживать тело m_1?

23. Рассмотрите «двойную» машину Атвуда. Считая нити и блоки лишенными массы и пренебрегая трением, напишите ответы, выражая результаты через m и g.

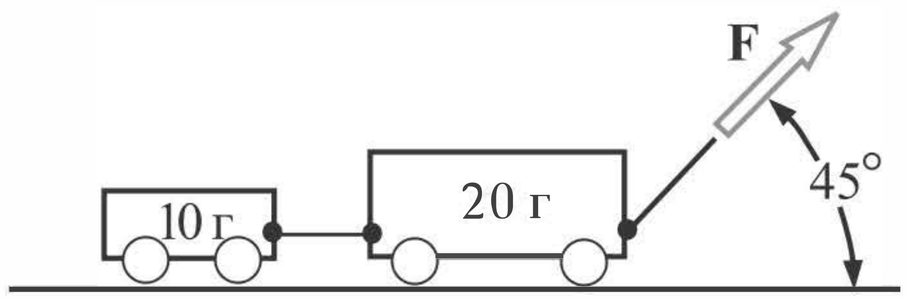


а) Чему равно ускорение центра масс?
б) Каково натяжение каждой нити?

24. В примере 4 водитель автомобиля забыл подключить вторую ведущую пару колес. При каком угле наклона начнет он буксовать? (Считайте, что на задние колеса приходится 60 % веса автомобиля.)

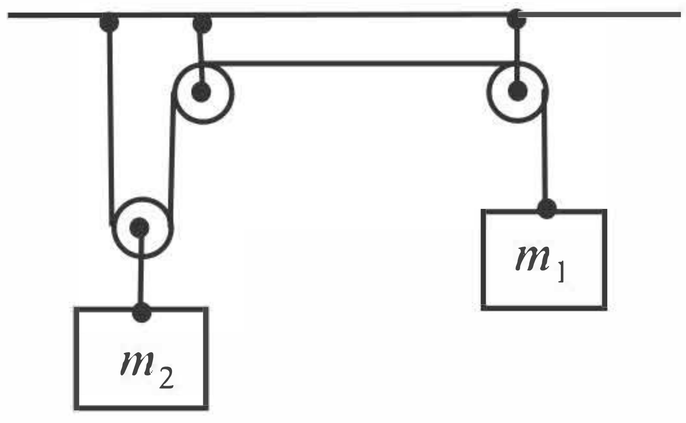
25. В течение времени t_0 на тело массой m действует сила F. Чему равно приращение импульса тела? Выразите результат через F и t_0.

26. По идеально гладкой поверхности ребенок тянет игрушку с силой $F = 1{,}4 \cdot 10^4$ дин под углом 45°.



а) Найдите ускорение игрушки.
б) Каково натяжение нити, соединяющей тележки?
в) С какой силой давит пол на тележку массой 20 г?

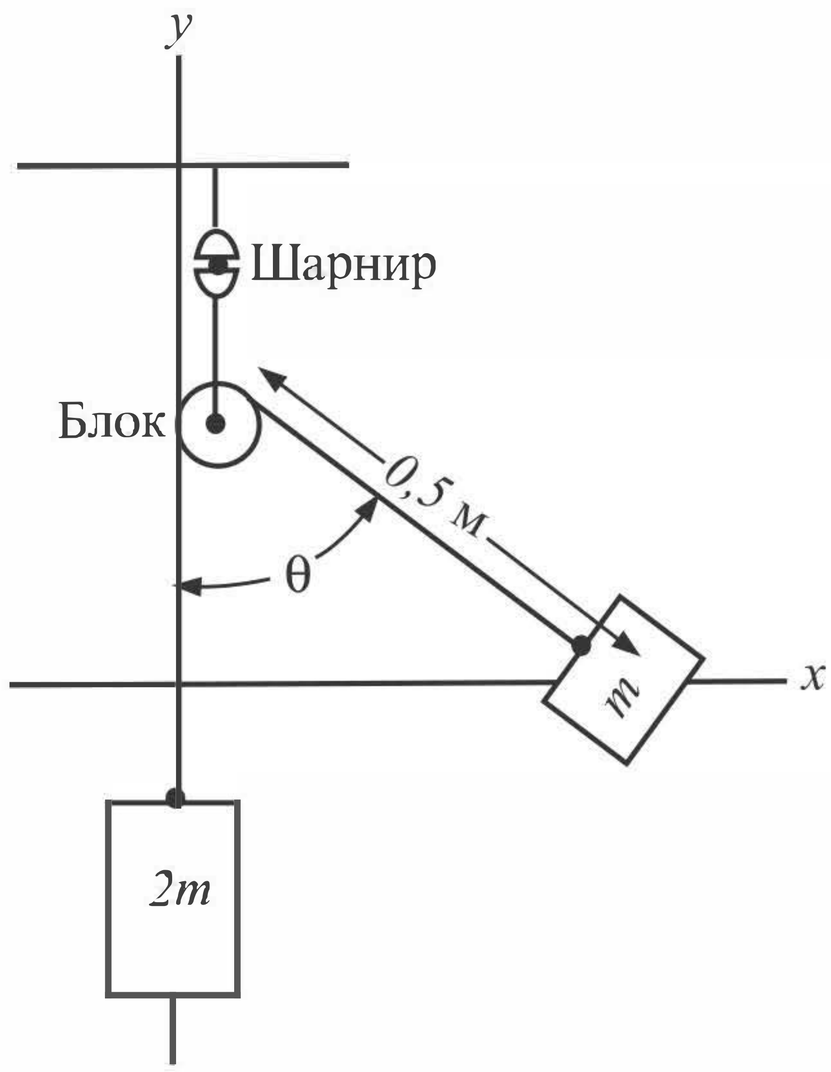
27. Рассмотрим изображенную на рисунке систему масс и блоков. Будем считать, что нити не обладают массой, а блоки движутся без трения.



а) При каком соотношении между массами m_1 и m_2 система будет находиться в состоянии равновесия?
б) Считая $m_1 = 6$ кг и $m_2 = 8$ кг, определите направление и величину ускорения тела массой m_2.

28. Предполагая, что на рис. 4-12 угол θ возрастает до тех пор, пока брусок не начинает скользить, выведите соотношение между ускорением бруска и величинами μ_d, μ_s и g.

29. Тело массой m движется по окружности в плоскости xz. Тело массой $2m$ находится на оси вращения (блок вращается с телом массой m). Пренебрегая массой нити и блока, а также трением в блоке, найдите период обращения тела массой m. Чему равен угол θ?



30. Общая стартовая масса двухступенчатой ракеты равна 25,5 т. Ниже в таблице приведены массы топлива и корпусов каждой ступени. После сжигания 20 т топлива первая ступень отбрасывается, и включается вторая ступень. Относительная скорость истечения топлива 1 км/с.

	Масса корпуса	**Масса топлива**
1-я ступень	2 т	20 т
2-я ступень	(1/2) т	3 т

а) Какова скорость ракеты в момент отключения первой ступени?
б) Чему равна конечная скорость ракеты после использования всего топлива?
в) Пусть имеется одноступенчатая ракета, имеющая массу корпуса 2,5 т и заправленная 23 т топлива. Чему равна конечная скорость такой ракеты?

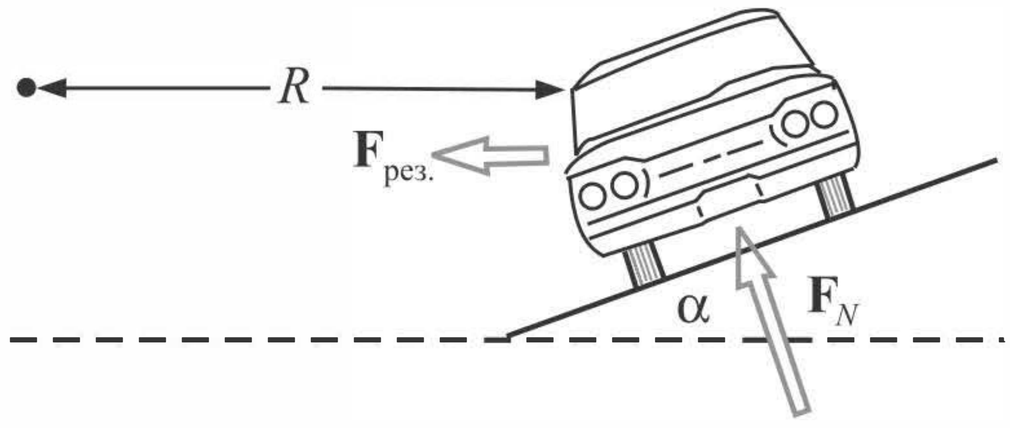
31. Предположите, что ракета, рассмотренная в предыдущей задаче, имеет еще третью ступень, масса корпуса которой равна 1/5 т, и заправлена 4/5 т горючего. Таким образом, общая масса ракеты теперь составляет 26,5 т. Какую конечную скорость имеет третья ступень? Достигнет ли она первой космической скорости?

32. Деревянный брусок массой 2 кг первоначально покоится на абсолютно гладкой горизонтальной поверхности. В брусок попадает и застревает в нем пуля массой 5 г, летевшая горизонтально со скоростью 500 см/с. С какой скоростью станет двигаться брусок с пулей после соударения?

33. Отец (60 кг) и дочь (20 кг) стоят на абсолютно гладком льду. Отец бросает дочери мяч массой 1 кг. Горизонтальная составляющая скорости мяча 5 м/с. С какой скоростью после этого начнет скользить отец? Какова будет скорость скольжения дочери после того, как она поймает мяч?

34. В предыдущей задаче предположите, что мяч отскакивает от рук дочери со скоростью 4 м/с по направлению к отцу. С какой скоростью в этом случае будет скользить дочь?

35. Автомобиль движется по профилированному виражу* радиусом R. Найдите выражение для угла наклона дороги α, если известны v, R и g. (Эта задача аналогична задаче о коническом маятнике, но здесь в роли силы натяжения F_T выступает сила реакции F_N.)



36. В небольшом городе дорога делает плавный поворот с радиусом кривизны $R = 100$ м. Дорога не профилирована. Ограничение скорости составляет 40 км/ч. После того, как выпал снег, коэффициент трения μ_s для легковых автомобилей стал равен 0,2. Занесет ли на этом повороте автомобиль, идущий на предельно дозволенной скорости? Если да, то начиная с какой скорости будет заносить автомобиль на этом повороте?

37. Пусть поворот, рассмотренный в предыдущей задаче, профилирован и имеет угол наклона 10°. На какой скорости начнет заносить автомобиль при $\mu_s = 0{,}1$?

38. Автомобиль медленно съезжает с горы, имеющей уклон 30°. Он попадает на травяной участок, на котором $\mu_s = 0{,}5$ и $\mu_d = 0{,}48$. Начнет ли автомобиль скользить и если да, то через сколько времени скорость скольжения достигнет 60 км/ч (16,7 м/с)?

39. Предположите, что в случае, показанном на рис. 4-12, $\mu_s = 0{,}3$, а $\mu_d = 0{,}2 + Av$, где $A = 2$ с/м.
а) Брусок помещается на плоскость, наклоненную под углом 30°. Чему равно начальное ускорение?
б) Какова предельная скорость?

---

* Профилированным принято называть участок автомобильной или железной дороги (обычно связанной с поворотом, или виражом), внешний край которого приподнят по сравнению с центром дороги для повышения устойчивости колесного транспорта (автомобиля или поезда); этот эффект особенно ярко выражен на велотреке. — *Прим. ред.*

5

Гравитация

§ 1. Закон всемирного тяготения

Обсудим теперь более подробно один из возможных источников силы **F** в уравнении $\mathbf{F} = m\mathbf{a}$. Силу **F** можно рассматривать как причину, вызывающую ускорение **a**. Повседневно мы встречаемся с примерами действия сил гравитационного притяжения Землей различных тел, характеризуемых массой m, сил притяжения магнитом куска железа, притяжения или отталкивания между двумя магнитами или заряженными телами, сил, вызываемых пружиной или полоской резины, наконец, контактными силами и т. п. В этой главе мы ограничимся обсуждением гравитационных сил.



Рис. 5-1. Ньютон и яблоко (шарж Н. Мистри)

Однажды в летний день 1665 г. Ньютон, созерцая окружающую природу, обратил внимание на падающее вниз яблоко (рис. 5-1). Он спросил себя, что заставило упасть это яблоко. Если между Землей и яблоком существует притяжение, то такая же сила должна существовать и между любыми двумя телами с массами m_1 и m_2. Поскольку сила пропорциональна массе яблока, она должна быть также пропорциональна по отдельности каждой из двух масс m_1 и m_2; иными словами, $F \sim m_1 m_2$ (знак ~ означает пропорциональность).

Ньютон заинтересовался также тем, будет ли убывать сила, действующая на яблоко, по мере удаления от поверхности Земли (рис. 5-2). Он предположил, что если удалить яблоко на расстояние, равное расстоянию до Луны, то оно будет иметь то же ускорение, что и Луна. Силы тяготения между Землей и Луной и между Землей и яблоком должны иметь одну и ту же природу.

Пример 1. Чему равно ускорение Луны и каково отношение этого ускорения к ускорению свободного падения на поверхности Земли?

Решение: Используя формулу (3-9) для центростремительного ускорения, находим, что ускорение Луны $a = 4\pi^2 r_m / T^2$, где r_m — расстояние от Земли до Луны, равное $3{,}86 \cdot 10^5$ км. Период обращения Луны вокруг Земли

$T = 27{,}3$ суток, или $2{,}36 \cdot 10^6$ с. Подставляя эти значения в выражение для a, имеем $a = 2{,}73 \cdot 10^{-3}$ м/с^2. Вблизи поверхности Земли ускорение свободного падения равно 9,8 м/с^2. Таким образом, отношение $a/g = 1/3590 \approx \approx (1/60)^2$, что в пределах ошибок измерения совпадает с R_3^2/r_m^2.

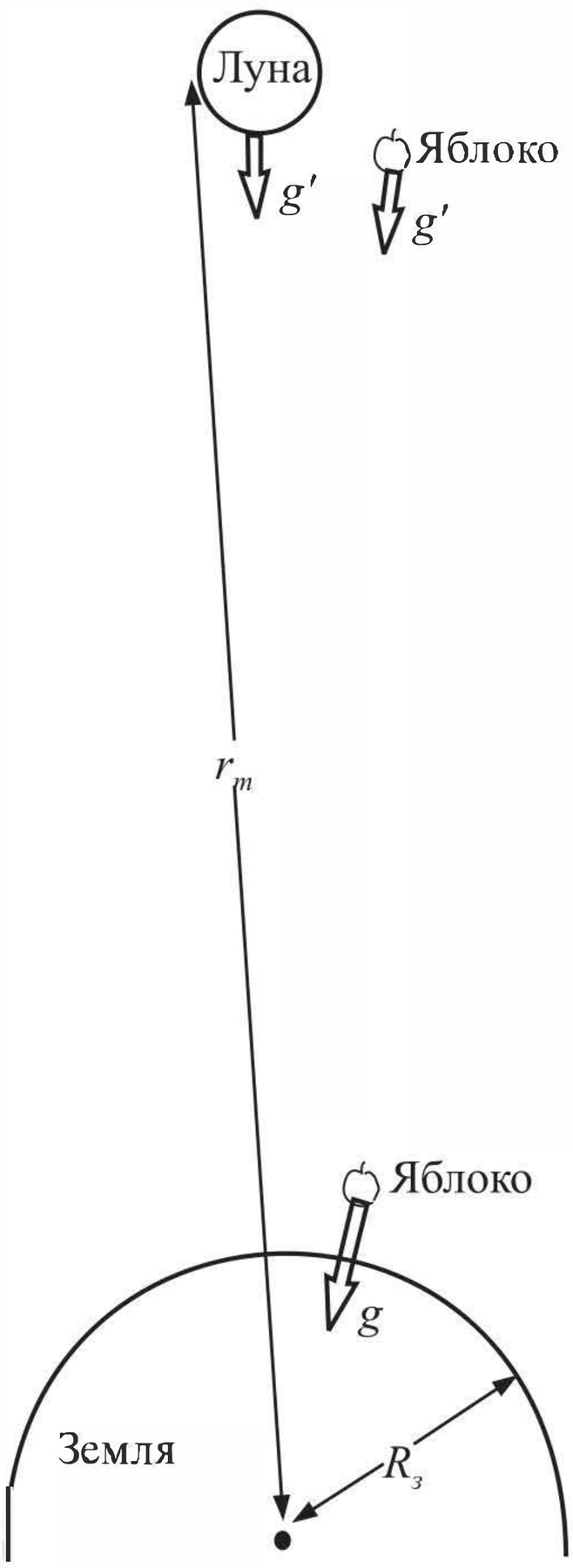


Рис. 5-2. По мере удаления яблока от Земли ускорение его свободного падения убывает. На одинаковых расстояниях от Земли Луна и яблоко имеют одно и то же ускорение g' (При условии, что яблоко помещено в центр Луны. — *Прим. ред.*)

Ньютон выполнил простые вычисления, близкие к описанным в примере 1, и обнаружил, что сила тяготения, действующая со стороны Земли на яблоко, удаленное к Луне, уменьшится в $3600 = (60)^2$ раз, что соответствует отношению квадратов расстояний. Отсюда Ньютон заключил, что сила тяготения между двумя телами должна убывать обратно пропорционально квадрату расстояния между ними. Он предложил универсальный закон гравитационного притяжения между любыми двумя телами:

$$F \sim \frac{m_1 m_2}{r^2}.$$

Для обозначения коэффициента пропорциональности используется прописная буква G. Таким образом,

$$F = G\frac{m_1 m_2}{r^2} \quad (\textit{закон всемирного тяготения}). \qquad (5\text{-}1)$$

Пример 2. Предположив, что средняя плотность Земли равна $\rho = 5 \cdot 10^3$ кг/м^3, Ньютон нашел численное значение G. (Его догадка с точностью до 10 % совпала с истинным значением.) Получите выражение для G через ρ, R_3 и g.

Решение: Применим формулу (5-1) к силе, действующей между Землей и яблоком. Обозначим массу Земли M_3, а массу яблока m. Тогда

$$F = GM_3 m/r^2.$$

Полагая r равным расстоянию R_3 между центром Земли и яблоком, имеем

$$F = GM_3\, m/R_3^2.$$

В соответствии со вторым законом Ньютона эта сила должна равняться ma, причем в нашем случае $a = g$. Таким образом,

$$GM_3\, m/R_3^2 = mg,$$

откуда

$$G = gR_З^2 / M_З. \qquad (5\text{-}2)$$

Учитывая, что $M_З$ равна произведению плотности на объем, т. е. $M_З = \rho(4/3)\pi R_З^3$, получаем

$$G = 3gR_З^2 / 4\pi\rho R_З^3 = 3g/4\pi\rho R_З.$$

Подставляя сюда $R_З = 6{,}37\cdot10^6$ м и $\rho = 5\times\times10^3$ кг/м^3, имеем $G = 7{,}35\cdot10^{-11}$ Н·м^2·кг$^{-2}$, что всего лишь на 10 % превышает принятое значение $G = 6{,}67\cdot10^{-11}$ Н·м^2·кг$^{-2}$.

Сравнивая ускорение свободного падения на Луне с величиной этого ускорения на поверхности Земли, Ньютон предположил, что Земля ведет себя так, как если бы вся ее масса была сконцентрирована в центре. Ньютон догадался, что такое поведение справедливо в случае сил, изменяющихся обратно пропорционально квадрату расстояния. Однако ему удалось получить строгое доказательство лишь 20 лет спустя. Возможно, именно эта задача была одной из тех, которые привели Ньютона к созданию интегрального исчисления. Интегрирование является громоздким и утомительным делом, и поэтому мы не будем им здесь заниматься. Однако в гл. 16 при изучении закона Гаусса мы покажем с помощью довольно простых рассуждений, что твердая сфера ведет себя так, как если бы вся ее масса была сосредоточена в центре. Подобной эквивалентности нет, если речь идет о силе тяготения внутри сферы. Если бы удалось выкопать колодец к центру Земли, то в нем сила тяжести по мере приближения к центру убывала бы, как показано в § 6.

Формула (5-1) выражает закон всемирного тяготения, поскольку один и тот же закон применим во всех случаях действия гравитационной силы. Этот закон, объясняющий падение тел на Землю, описывает также орбиты планет и комет, движущихся вокруг Солнца, и даже движение гигантских звездных галактик относительно друг друга. Он позволил вычислить массы Земли, Солнца и большинства планет, а также периоды их обращения.

Пример 3. Чему равен период обращения лунного модуля «Аполлон» вокруг Луны непосредственно перед посадкой (рис. 5-3 и 5-4)?

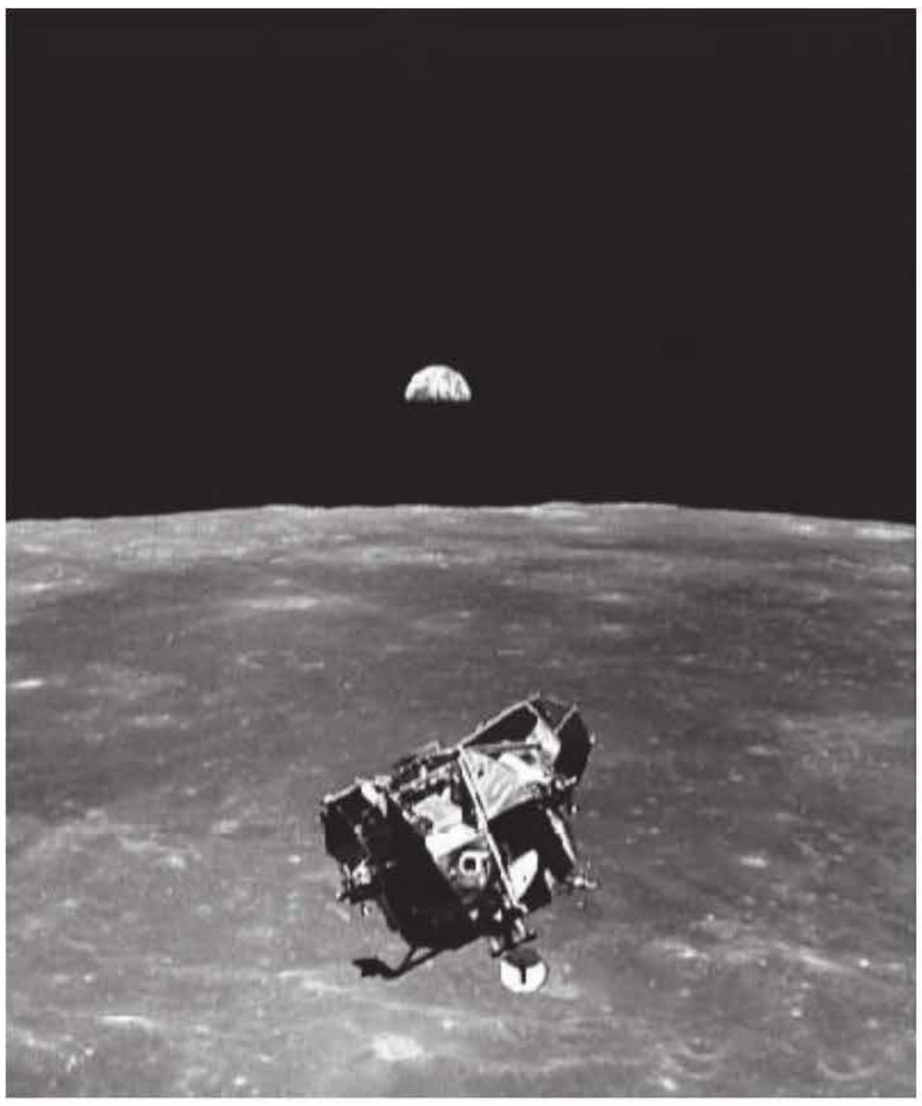


Рис. 5-3. Лунный модуль на окололунной орбите (фото НАСА)

Решение: Подставим в уравнение $F = ma$ вместо F выражение $GM_Л\, m/R^2$, где $M_Л$ — масса Луны, R — радиус орбиты и m — масса лунного модуля; для ускорения a используем выражение $(4\pi^2/T^2)\, R$. Таким образом,

$$GM_Л\, m/R^2 = m\,(4\pi^2/T^2)R,$$

$$T^2 = (4\pi^2/GM_Л)R^3, \qquad (5\text{-}3)$$

$$T = 2\pi\sqrt{R^3/GM_Л}.$$

Полагая $R \approx 1740$ км (радиус Луны), $M_Л = 7{,}35\cdot10^{22}$ кг, $G = 6{,}67\cdot10^{-11}$ Н·м^2·кг$^{-2}$, получаем $T = 6{,}5\cdot10^3$ с, или 108 мин.



Рис. 5-4. Луноход на поверхности Луны (фото НАСА)

Пример 4. Стационарным искусственным спутником Земли называется спутник, находящийся постоянно над одной и той же точкой экватора. Каково расстояние такого спутника до центра Земли?

Решение: Для того чтобы спутник «завис» над данной точкой экватора, он должен иметь тот же самый период обращения, что и Земля, т. е. 24 ч. По закону обратных квадратов ускорение свободного падения $g(R_3^2/r^2)$ должно совпадать с центростремительным ускорением спутника, т. е.

$$4\pi^2 r/T^2 = gR_3^2/r^2,\ r^3 = \left(gR_3^2/4\pi^2\right)T^2;$$

здесь r — расстояние до спутника. Полагая $R_3 = 6{,}37\cdot10^6$ м и $T = 24$ ч $= 86\,400$ с, имеем $r = 42\,000$ км.

§ 2. Опыт Кавендиша

При оценке значения G Ньютон использовал разумную догадку о значении средней плотности Земли. Если бы Земля, подобно звездам, имела сверхплотную сердцевину, полученное им значение G оказалось бы ошибочным. Поэтому стоило бы определить величину G независимо от массы Земли, поставив в лаборатории прямой эксперимент с использованием двух масс m_1 и m_2 (рис. 5-5).

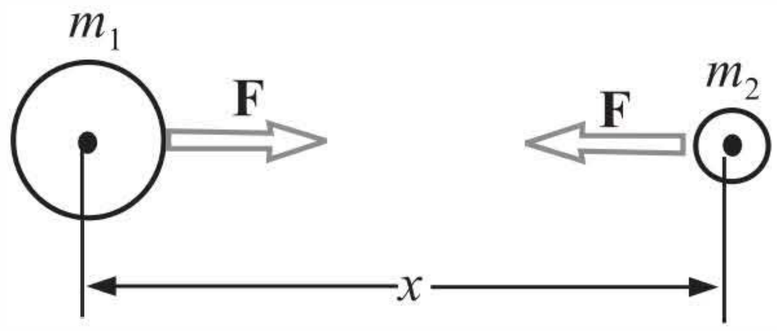


Рис. 5-5. Гравитационная сила **F**, действующая между массами m_1 и m_2

Пусть F — сила, с которой масса m_1 действует на массу m_2. Тогда $F = Gm_1m_2/x^2$, или

$$G = Fx^2/m_1m_2$$

(x — расстояние между центрами сфер). Но для двух тел массой 1 кг каждое, расположенных друг от друга на расстоянии 10 см, сила F равна $6{,}67\cdot10^{-9}$ Н, что составляет 10^{-9} силы тяжести, действующей на массу 1 кг; столь малую силу невозможно измерить обычными способами.

В 1797 г. Генри Кавендиш предложил удачный способ измерения столь малых сил. Он использовал факт, что для закручивания на несколько градусов длинной тонкой кварцевой нити требуется очень небольшая сила, соизмеримая

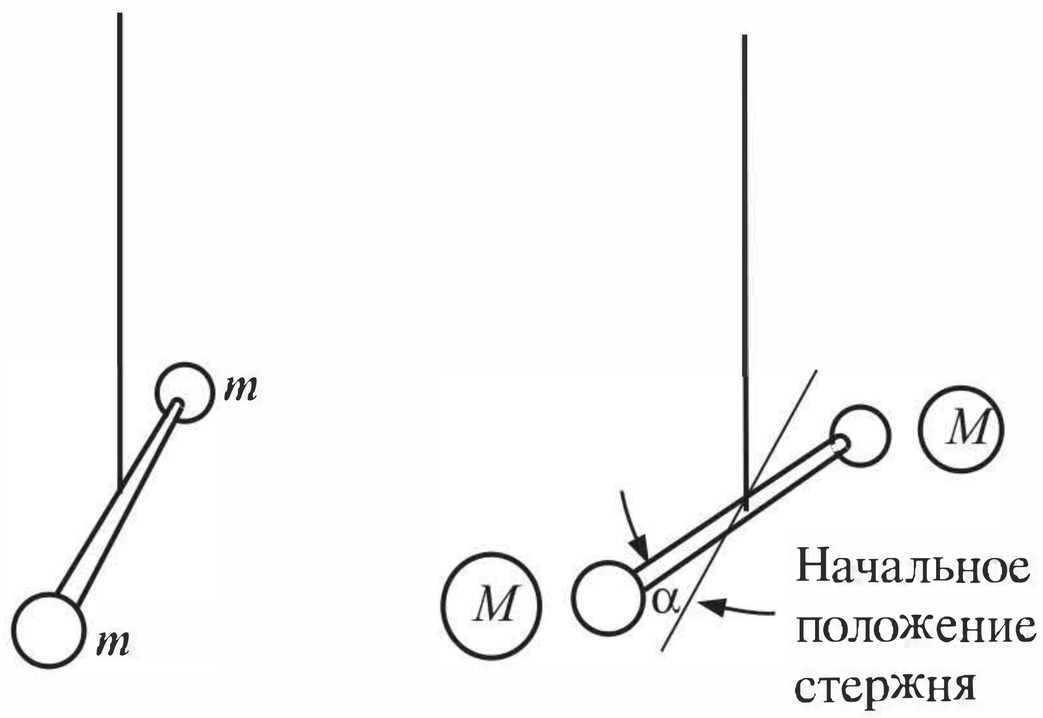


Рис. 5-6. *а* — стержень с небольшими шариками, имеющими массу m, подвешенный на кварцевой нити; *б* — два больших шара, каждый массой M, помещены вблизи небольших шариков, и нить закручивается на угол α

с гравитационной силой, действующей между двумя свинцовыми шарами, почти касающимися друг друга. Прежде всего Кавендиш откалибровал кварцевую нить, а затем подвесил к ней два небольших свинцовых шарика, укрепленных на концах легкого стержня, как показано на рис. 5-6, *а*. Пометив вблизи небольших шариков два более крупных свинцовых шара, он измерял угловое отклонение стержня на угол α (рис. 5-6, *б*). Тщательные измерения методом Кавендиша дали значение $G = 6{,}67 \cdot 10^{-11}$ Н·м^2·кг$^{-2}$.

«Взвешивание» Земли

Имея в руках надежное значение G, Кавендиш подставил его в формулу (5-2) и нашел

$$M_З = gR_З^2/G. \qquad (5\text{-}4)$$

Полученный им результат для массы Земли имел ту же точность, что и его измерение G. Кавендиш не только «взвесил» Землю, он определил с той же точностью массу Солнца, Юпитера и всех других планет с наблюдаемыми у них спутниками.

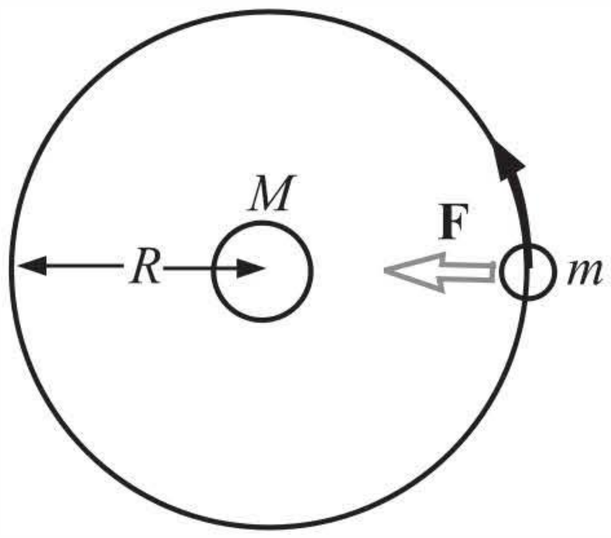


Рис. 5-7. Тело массой m движется по орбите вокруг тела массой M; **F** — гравитационная сила

Пусть на рис. 5-7 M — масса Солнца (или Юпитера), а m — масса планеты, обращающейся вокруг Солнца (или спутника Юпитера). Тогда $F = GMm/R^2$, а ускорение $a = 4\pi^2 R/T^2$. Подстановка этих выражений в уравнение $F = ma$ дает

$$GMm/R^2 = m(4\pi^2 R/T^2),$$

$$M = 4\pi^2 R^3/GT^2. \qquad (5\text{-}5)$$

Таким образом, если R — расстояние между Землей и Солнцем, T — период обращения (1 год), то M — масса Солнца. Аналогично в качестве R мы могли подставить расстояние от центра Юпитера до одного из его 13 спутников; тогда T — период обращения соответствующего спутника, и формула (5-5) дает массу Юпитера.

§ 3. Законы Кеплера для движения планет

Еще до того, как Ньютон сформулировал свой закон всемирного тяготения, Иоганн Кеплер обнаружил, что движения планет могут быть описаны тремя простыми законами. Законы Кеплера укрепили гипотезу Коперника о том, что планеты обращаются вокруг Солнца, а не вокруг Земли.

В 1600 г. это утверждение рассматривалось церковью как ересь. Известно, что в 1600 г. Джордано Бруно, открыто выступившего в поддержку гелиоцентрической системы Коперника, был осужден инквизицией и сожжен на костре. Даже великий Галилей был заключен в тюрьму, осужден инквизицией и вынужден был публично отречься от своих убеждений, несмотря на то что, как предполагают, он был близким другом папы римского.

Согласно принятой в то время догме, обожествлявшей учения Аристотеля и Птолемея, орбиты планет описывались внутри других, общим центром которых была Земля. Для описания орбиты Марса требовалось около дюжины окружностей различных размеров. Иоганн Кеплер пытался доказать, что Марс и Земля

обращаются вокруг Солнца. Он поставил цель найти простую геометрическую орбиту, которая точно описывала бы все известные из огромного числа измерений положения Марса. Лишь после нескольких лет кропотливого труда ему удалось открыть три простых закона, которые очень точно согласовались с известными данными для всех планет. Законы Кеплера применимы также к спутникам, обращающимся вокруг планеты.

Первый закон Кеплера. Каждая планета движется по эллиптической орбите, причем Солнце располагается в одном из фокусов эллипса.

Второй закон Кеплера (закон равных площадей). Прямая, соединяющая Солнце с планетой, покрывает равные площади за равные времена.

Третий закон Кеплера. Кубы больших полуосей орбит любых двух планет относятся друг к другу как квадраты периодов обращений этих планет. Для круговых орбит

$$R_1^3 / R_2^3 = T_1^2 / T_2^2.$$

Большая полуось эллипса — это половина максимального расстояния между двумя точками эллипса.

Формулируя закон всемирного тяготения, Ньютон применял его не только к падающим яблокам и Луне, но и к силам, действующим между Солнцем и планетами. Ему удалось доказать, что в том и только том случае, когда силы подчиняются закону обратных квадратов, орбита любой планеты является эллипсом, в одном из фокусов которого находится Солнце. При этом для любых двух планет, траектории которых представляют собой окружности, имеет место соотношение

$$R_1^3 / R_2^3 = T_1^2 / T_2^2$$

(для эллиптических орбит R — большая полуось). Ньютону удалось также вывести закон равных площадей Кеплера из своих трех законов движения. Тот факт, что все три закона Кеплера, в деталях описывающие движения планет, оказались следствиями законов Ньютона, рассматривается как окончательное подтверждение ньютоновской динамики.

Способ, которым Ньютон получил первый и третий законы Кеплера, слишком сложен, чтобы повторять его здесь. Однако можно дать вывод третьего закона Кеплера для частного случая движения планет по круговым орбитам (этому условию удовлетворяют почти все планеты, за исключением Плутона). Применяя выражение (5-5) к планете 1, имеем

$$M = 4\pi^2 R_1^3 / G T_1^2.$$

Аналогично для планеты 2

$$M = 4\pi^2 R_2^3 / G T_2^2.$$

Приравнивая друг к другу правые части этих равенств, находим

$$R_1^3 / T_1^2 = R_2^3 / T_2^2$$

или

$$R_1^3 / R_2^3 = T_1^2 / T_2^2.$$

Второй закон Кеплера следует непосредственно из закона сохранения момента импульса. В гл. 10 мы выведем этот закон с помощью законов Ньютона. Момент импульса L планеты на рис. 5-8 дается выражением

$L = r\, m v_\perp$ (момент импульса).

Таким образом,

$L/2m = (1/2)\, r v_\perp$.

Заметим, что $(1/2)\, r v_\perp$ (заштрихованная область на рис. 5-8) приближенно равна

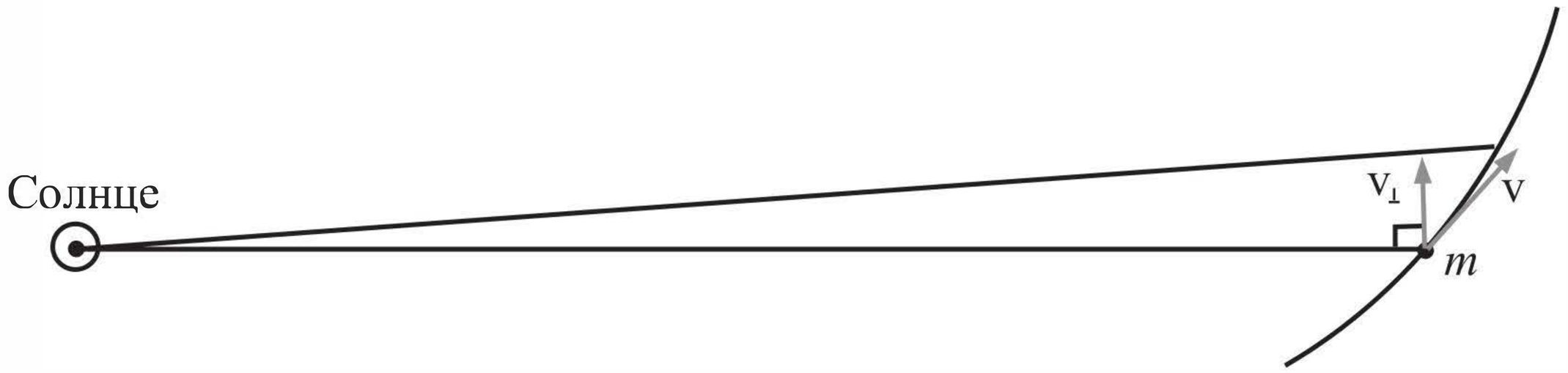


Рис. 5-8. В поле силы притяжения Солнца планета массой m движется со скоростью $\mathbf{v}$, причем $\mathbf{v}_\perp$ — составляющая скорости $\mathbf{v}$, перпендикулярная линии, соединяющей Солнце и планету

площади A, покрываемой за 1 с. Эта величина в точности равна dA/dt — скорости, с которой покрывает площадь прямая, соединяющая Солнце и планету. Следовательно,

$$L/2m = dA/dt.$$

В соответствии с законом сохранения момента импульса левая часть этого равенства является постоянной. Отсюда следует, что $dA/dt = \text{const}$.

§ 4. Вес

Вес тела связан с его массой; его иногда определяют как результирующую силу тяжести, действующую на тело (см., однако, примечание ред. на с. 60). Вблизи поверхности Земли вес тела массой m равен mg.

Пример 5. Во сколько раз уменьшится вес космонавта на Луне по сравнению с его весом на Земле? Используйте значения $M_Л/M_З = 0{,}0123$ и $R_Л/R_З = 0{,}273$.

Решение: Вес космонавта на Луне дается выражением

$$F_Л = G\left(M_Л m/R_Л^2\right),$$

а на Земле –

$$F_З = G\left(M_З m/R_З^2\right).$$

Запишем соотношение этих величин:

$$F_Л/F_З = (M_Л/M_З)\,(R_Л/R_З)^2 = 0{,}165.$$



Рис. 5-9. Астронавт, подпрыгивающий на поверхности Луны (фото НАСА)

На рис. 5-9 показан астронавт на Луне; его вес в шесть раз меньше, чем на Земле.

Данное выше определение веса может привести к ошибкам в случае ускоренно движущихся тел. Например, когда космонавт, находящийся внутри космической станции, свободно парит в пространстве, он считает себя невесомым, хотя на него продолжает действовать сила тяжести. Даже космонавта на рис. 5-9 можно счи-

тать невесомым, пока он вновь не коснется поверхности Луны. Физиологическое ощущение веса связано с тем, насколько трудно поднять руку или голову; давление внутренних органов человека на скелет пропорционально весу человека. Можно было бы определить физиологический вес как величину, пропорциональную силе, действующей со стороны жидкости в полукружных каналах внутреннего уха на нервные окончания. Ниже мы определим истинный вес, который позволяет измерять физиологический вес.

Истинный вес тела определяется как показание пружинных весов при взвешивании на них тела. Таким образом, истинный вес можно получить, пользуясь медицинскими весами. Это есть сила, с которой тело действует на весы. Разумеется, при этом весы должны быть перпендикулярны силе. Предположим, что на рис. 5-10 этой силой является $\mathbf{F}_w = -\mathbf{j}F_w$. Согласно третьему закону Ньютона, сила, действующая со стороны весов на человека, равна $+\mathbf{j}F_w$.

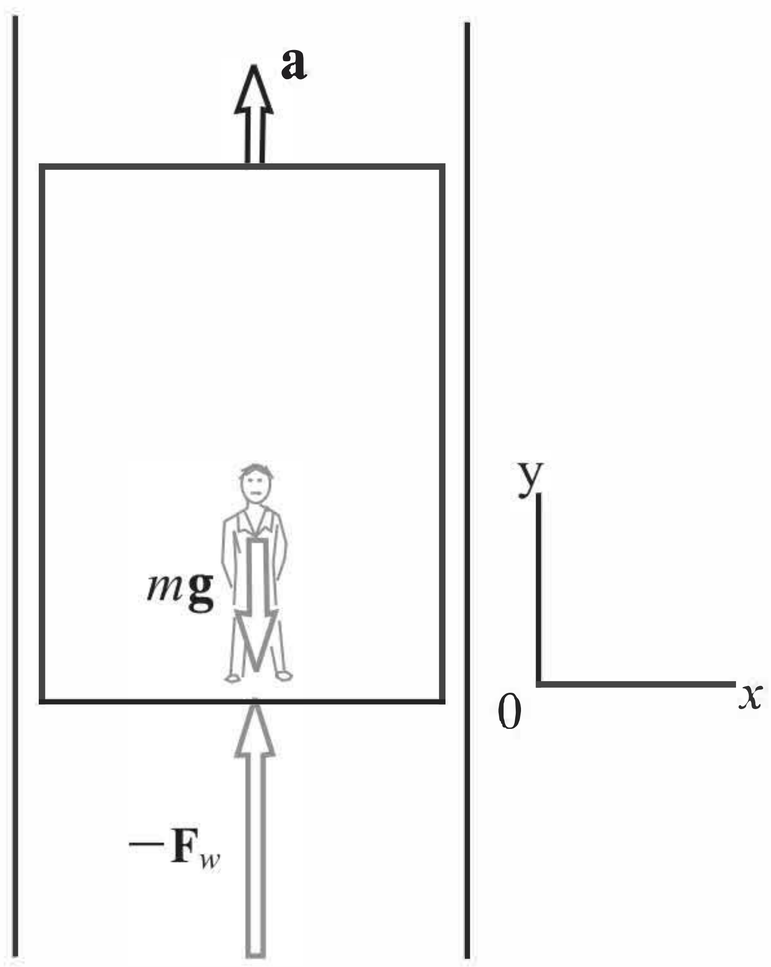


Рис. 5-10. Человек в лифте, движущемся с ускорением вверх. Действующая на человека сила реакции равна $-\mathbf{F}_w$

Рассмотрим случай, когда человек стоит на весах в лифте, движущемся с ускорением вверх. Результирующая сила, действующая на человека, складывается из силы тяжести $-\mathbf{j}mg$, направленной вниз, и силы реакции $\mathbf{j}F_w$, направленной вверх:

$$\mathbf{F}_{\text{рез.}} = -\mathbf{j}mg + \mathbf{j}F_w.$$

Заменяя $\mathbf{F}_{\text{рез.}}$ на $(\mathbf{j}ma)$, получаем

$$\mathbf{j}ma = -\mathbf{j}mg + \mathbf{j}F_w,$$

$$F_w = m(g + a).$$

Следовательно, истинный вес

$$\mathbf{F}_w = -\mathbf{j}F_w = -\mathbf{j}m\ (g + a):$$

он направлен вниз и равен по величине $m(g + a)$ (g всегда обозначает положительную величину).

Заметим, что если лифт движется с замедлением, то

$$\mathbf{F}_{\text{рез.}} = -\mathbf{j}ma,$$

и тогда

$$\mathbf{F}_w = -\mathbf{j}m\ (g - a)\ (\textit{для лифта, движущегося с замедлением}).$$

Если ввести векторы $\mathbf{g}$ и $\mathbf{a}$, то истинный вес дается выражением

$$\mathbf{F}_w = m\ (\mathbf{g} - \mathbf{a}). \qquad (5\text{-}6)$$

В случае свободного падения лифта $\mathbf{a} = \mathbf{g}$ и $\mathbf{F}_w = 0$; иными словами, человек оказывается «невесомым». Именно это и происходит с космонавтом внутри околоземной космической станции. Все космические корабли находятся в состоянии свободного падения, за исключением тех редких моментов, когда включаются реактивные двигатели. Искусственную «тяжесть» (или вес) можно создать за счет вращения космического корабля (см. пример 8).

Пример 6. Допустим, что специальный автомобиль с реактивным двигателем может двигаться в горизонтальном направлении с ускорением $a = 2g$. Чему будет равен кажущийся вес водителя?

Решение: В соответствии с (5-6) имеем

$$\mathbf{F}_w = m\mathbf{g} - m\mathbf{a}.$$

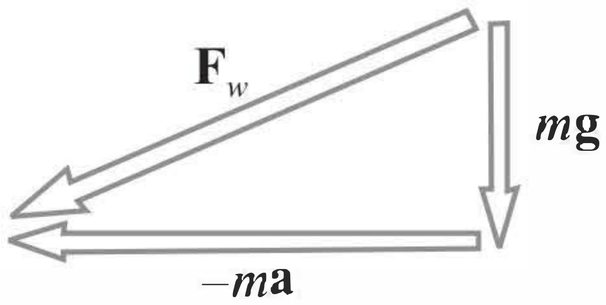


Рис. 5-11. Векторная диаграмма сил в примере 6

Эти векторы, расположенные под прямым углом друг к другу, вычитаются, как показано на рис. 5-11. Поскольку катеты прямоугольного треугольника относятся как 1:2, гипотенуза в $\sqrt{5}$ раз больше mg; таким образом, $F_w = 2{,}236mg$.

Пример 7. Наиболее острые ощущения автору довелось испытать на аттракционе, называемом «ракета». По существу, это огромный маятник, который качается со все возрастающей амплитудой, до тех пор пока он не достигнет вертикального положения (рис. 5-12). При обратном движении маятник-«ракета» достигает максимальной скорости $v = 2\sqrt{gL}$ (это показано в примере 3 гл. 7).

а) Чему равно ускорение маятника в нижней точке?
б) Какая результирующая сила действует на пассажира?
в) Чему равен истинный вес пассажира?

Решение: а) Очевидно, ускорение маятника в нижней точке равно $a = v^2/L = 4g$.
б) Результирующую силу можно найти с помощью второго закона Ньютона: достаточно умножить полученное ускорение на массу пассажира, откуда $F_{\text{рез.}} = 4mg$. Эта сила складывается из направленной вверх силы реакции кресла F_c и взятой со знаком минус (т. е. направленной вниз) силы тяжести:

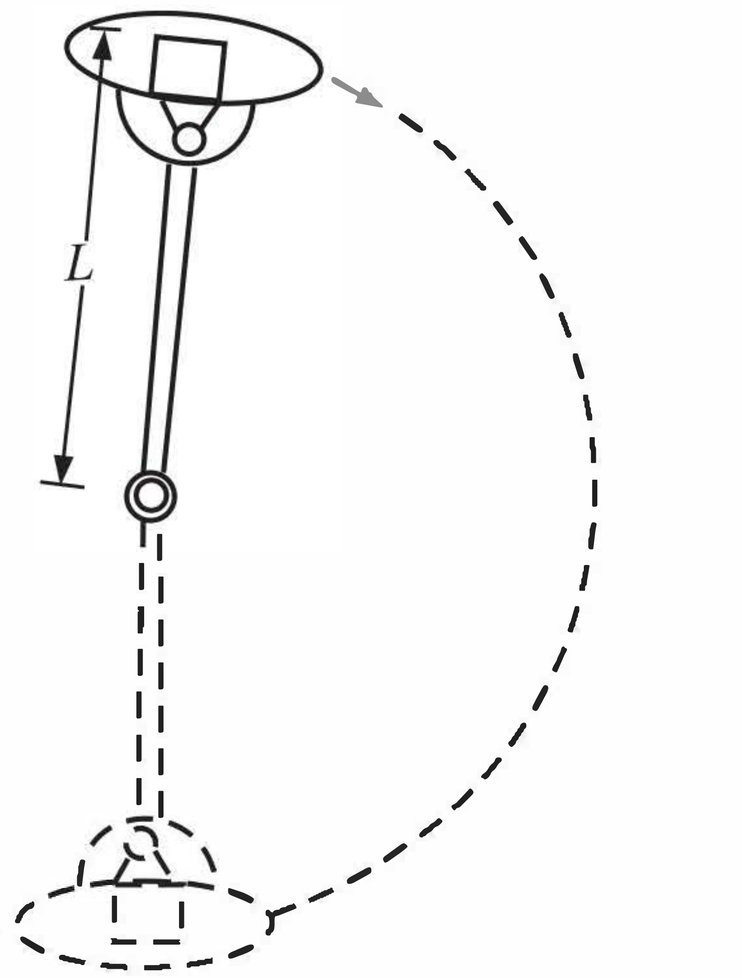


Рис. 5-12. Аттракцион «ракета»

$$F_c - mg = 4mg,$$

$$F_c = 5mg.$$

в) По определению истинный вес — это сила, с которой пассажир давит на кресло. В соответствии с третьим законом Ньютона она совпадает по величине с F_c. Следовательно, истинный вес пассажира равен $5mg$. Вес любой части тела такого пассажира в пять раз больше нормального.

Пример 8. Рассмотрим космической корабль, состоящий из двух отсеков, соединенных переходом длиной 20 м (рис. 5-13). Сколько оборотов в секунду должен совершать такой корабль для поддержания у пассажиров нормального веса?

Решение: Пусть T — время одного оборота, а f — число оборотов в секунду. Тогда их произведение должно быть равно 1:

$$fT = 1, \text{ или } T = 1/f.$$

Подставим теперь $1/f$ вместо T в выражение $a_c = 4\pi^2 R/T^2$:

$$a_c = 4\pi^2 f^2 R,$$

$$f = (1/2\pi)\sqrt{a_c/R}.$$

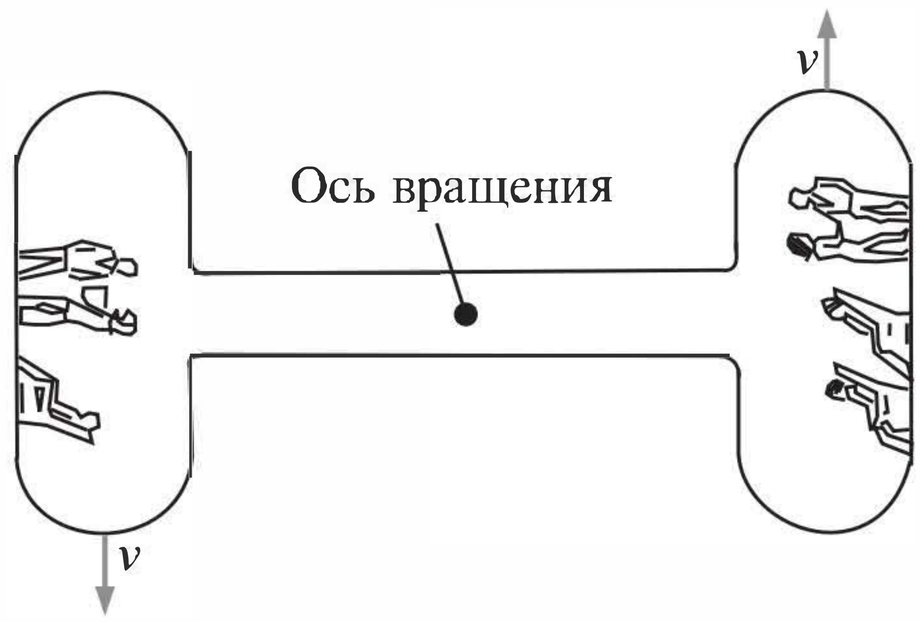


Рис. 5-13. Во вращающемся космическом корабле для пассажиров создается искусственная тяжесть. Их истинный вес такой же, как и на Земле

Если $a_c = g$, то истинный вес равен mg:

$$f = \frac{1}{2\pi}\sqrt{\frac{g}{R}} = \frac{1}{2\pi}\sqrt{\frac{9{,}8\ \text{м/с}^2}{10\ \text{м}}} = 0{,}158\ \text{об/с}.$$

Таким образом, пассажиры космического корабля, вращающегося с частотой всего 9,5 об/мин, находясь на расстоянии 10 м от оси вращения, будут чувствовать себя как на Земле.

§ 5. Принцип эквивалентности

Как упоминалось в гл. 2, опытным путем установлено, что вблизи поверхности Земли все тела независимо от их массы падают с одним и тем же ускорением. Этот экспериментальный факт привел Ньютона к утверждению, что сила тяготения, действующая на тело, пропорциональна его массе. Но насколько точен этот экспериментальный факт? Можно было бы выдвинуть другую гипотезу, например о том, что сила тяготения пропорциональна числу нуклонов (протонов и нейтронов) в данном теле, а не его инертной массе, как это утверждалось на с. 72. Тогда сила тяготения, действующая на атом гелия, была бы точно в четыре раза больше силы тяготения, действующей на атом водорода. Однако экспериментальные измерения показывают, что отношение масс атомов гелия и водорода не равно в точности четырем, а $m_{\text{He}}/m_{\text{H}} = 3{,}9715$. Для опровержения нашей гипотезы требуются измерения с погрешностью не хуже 1 %. Только эксперимент может дать ответ на вопрос о том, какая из гипотез верна.

Строго говоря, закон всемирного тяготения Ньютона определяет **гравитационную массу** тела. Насколько нам до сих пор было известно, гравитационная масса скорее пропорциональна числу нуклонов, нежели массе, определенной на с. 52 (которую называют также инертной массой, чтобы отличить ее от гравитационной). Обозначим гравитационную массу через m'. При этом сила гравитационного притяжения между двумя телами $F = G m_1' m_2' / r^2$. Масса, входящая в уравнение $F = ma$, — это инертная масса; она будет обозначаться буквой m без штриха. При свободном падении вблизи поверхности Земли инертная масса m_1 движется с ускорением a_1. Таким образом, можно записать

$$m_1 a_1 = G\frac{M_3' m_1'}{R_3^2}. \qquad (5\text{-}7)$$

Тело массой m_2 из другого вещества может иметь несколько иное уравнение a_2:

$$m_2 a_2 = G\frac{M_3' m_2'}{R_3^2}. \qquad (5\text{-}8)$$

Разделив (5-7) на (5-8), получим

$$\frac{m_1}{m_2}\frac{a_1}{a_2} = \frac{m_1'}{m_2'}.$$

Мы видим, что если все тела падают с одним и тем же ускорением $a_1 = a_2 = g$, то отношения инертных масс будут равны отношениям гравитационных масс. Таким образом, если у какого-либо тела

эти массы равны друг другу, то они будут равны и для всех других тел. Иными словами, если $m_1 = m_1'$, то $m_2 = m_2'$.

Ньютону удалось установить равенство $a_1 = a_2$ с точностью до 10^{-3}. В 1901 г. венгерский физик Этвеш получил такое совпадение с точность до 10^{-8}, а в 1964 г. Дикке из Принстонского университета улучшил точность измерения Этвеша еще в 300 раз. Эти результаты убедительно доказывают, что для всех веществ инертная и гравитационная массы *точно* совпадают. Этот факт называется принципом эквивалентности. Он является фундаментальным законом природы, подтверждаемым, как и другие законы, экспериментом.

Следствием принципа эквивалентности является то, что не существует способа отличить, движется ли сама лаборатория с ускорением или же на нее действует гравитационное поле. Если поместить физическую лабораторию внутри движущегося с ускорением большого лифта, то внутри лифта мы не можем осуществить эксперимент, который позволил бы ответить на следующий вопрос: движется лифт с ускорением или лифт покоится, но «включен» какой-то источник гравитационного поля. Позднее, в гл. 9, мы увидим, что принцип эквивалентности является основополагающим в общей теории относительности Эйнштейна.

§ 6. Гравитационное поле внутри сферы

Под гравитационным полем мы понимаем гравитационное ускорение (т. е. ускорение свободного падения) как функцию координат. Гравитационное поле полой сферической оболочки с массой m и радиусом R равно Gm/r^2 при $r > R$, где r измеряется от центра сферы. Именно это мы и имеем в виду, когда говорим, что сферическая оболочка ведет себя так, как если бы вся ее масса была сосредоточена в центре. Но каким будет гравитационное поле в любой точке внутри оболочки (рис. 5-14)?

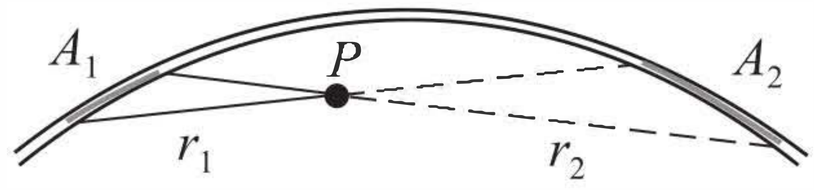


Рис. 5-14. Точка P внутри тонкой оболочки. Относительно точки P участки поверхности A_1 и A_2 расположены напротив друг друга

Рассмотрим прежде всего вклад области A_1; в точке P она создает силу $F_1 \sim A_1/r_1^2$, действующую влево. Проведем теперь из крайних точек области A_1 прямую, проходящую через некоторую точку P, к другой стороне оболочки. В результате мы получим область A_2 (r_1, r_2 — расстояния от наиболее удаленных от P точек областей A_1 и A_2). Область A_2 создает в точке P силу, действующую вправо, причем

$$\frac{F_1}{F_2} = \frac{A_1}{A_2}\frac{r_2^2}{r_1^2}.$$

Из простых геометрических соображений нетрудно показать, что

$$\frac{A_1}{A_2} = \frac{r_1^2}{r_2^2}.$$

Это соотношение следует из того, что площади оснований двух подобных конусов пропорциональны квадратам линейных размеров оснований. Подставляя его в предыдущее равенство, получаем

$$\frac{F_1}{F_2} = \left(\frac{r_1^2}{r_2^2}\right)\frac{r_2^2}{r_1^2} = 1.$$

Таким образом, вклады областей A_1 и A_2 в точности компенсируют друг друга.

Поверхность всей оболочки можно покрыть попарно такими областями, для

которых результирующая сила равна нулю. Следовательно, поле тяготения повсюду внутри полой оболочки равно нулю. Поле внутри полой сферической оболочки с толстыми стенками также равно нулю, так как эту оболочку можно рассматривать как набор концентрических тонких оболочек.

На рис. 5-15 изображен сплошной твердый шар радиусом R, причем через точку P, отстоящую на расстояние r от центра, проходит воображаемая сферическая поверхность. Выше мы показали, что поле в точке P, создаваемое внешней частью шара, равно нулю. Пусть масса внутренней части $m(r)$; создаваемое этой массой поле в точности совпадает с полем на поверхности сферы радиусом r. Следовательно,

$$a = G\frac{m(r)}{r^2}.$$

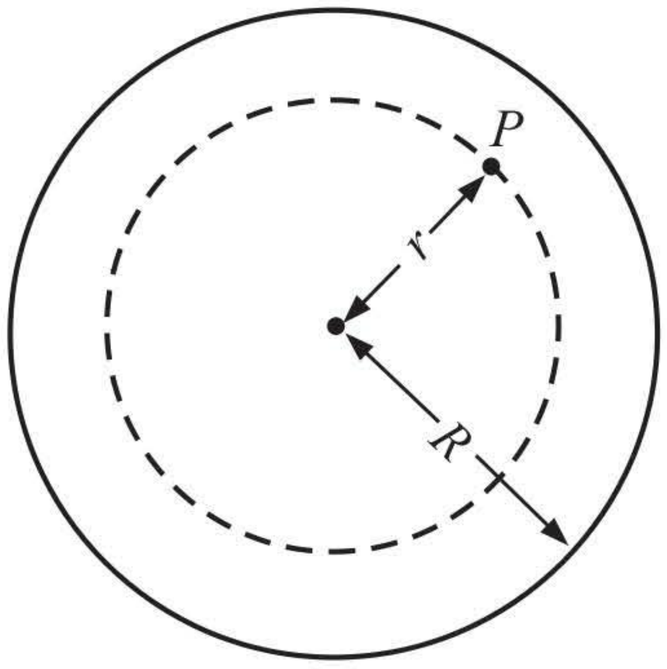


Рис 5-15. Твердый шар, в котором точка P находится на расстоянии r от центра. Через точку P проходит воображаемая сферическая поверхность (показана штриховой линией)

Масса внутренней сферы равна произведению ее плотности на объем: $m(r) = \rho\,(4/3)\pi r^3$. Таким образом, результирующее поле в точке P дается выражением

$$a = G\frac{(4/3)\pi\rho r^3}{r^2} = \frac{4}{3}\pi\rho G r. \qquad (5\text{-}9)$$

Следует заметить, что поле возрастает линейно по мере перехода от центра шара к его поверхности. Плотность равна полной массе m, деленной на полный объем:

$$\rho = m/(4/3)\pi R^3.$$

Подставляя это выражение в (5-9), находим

$$a = G\frac{m}{R^2}\frac{r}{R}.$$

Заметим, что этот результат связан с предположением об однородном распределении массы шара. Считая плотность Земли также постоянной и подставляя вместо m величину gR_3^2/G [см. выражение (5-4)], получаем

$$a = g\frac{r}{R_3} \text{ (внутри Земли)} \qquad (5\text{-}10)$$

и

$$a = g\frac{R_3^2}{r^2} \text{ (вне Земли)}.$$

На рис. 5-16 представлен соответствующий график.

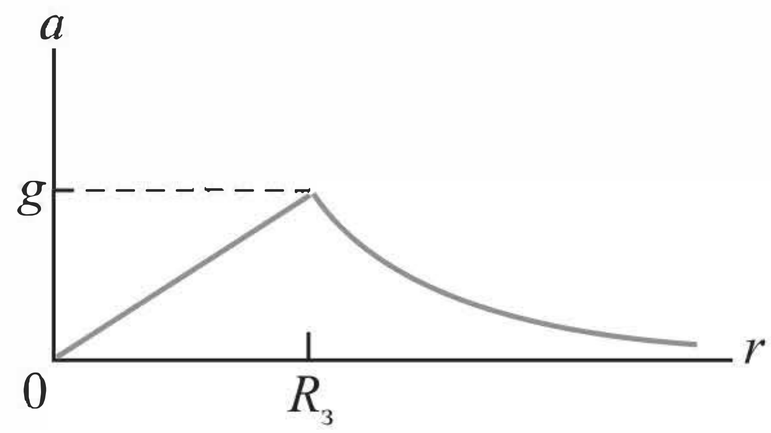


Рис. 5-16. Гравитационное поле Земли в зависимости от расстояния до ее центра (в предположении постоянной плотности). Ускорение a направлено к центру Земли

Основные выводы

Закон всемирного тяготения Ньютона $F = Gm_1m_2/r^2$ применим к любым массам.

Если m_1 — масса Земли, то m_2 может быть массой яблока или Луны; m_1 может быть также массой Солнца, а m_2 — массой планеты. Таким образом, ускорение планеты можно записать как $a = Gm_1/r^2$.

Ускорение планеты (или искусственного спутника), движущейся по круговой орбите, дается выражением $a_c = 4\pi^2 R/T^2$. Приравнивая это выражение к величине Gm_1/R^2, можно вычислить m_1. Именно такими способами определялись массы Солнца, Земли и планет, имеющих спутники. Постоянную G первоначально определили путем измерения сил, действующих между малыми сферами в опыте Кавендиша.

Ньютону с помощью закона всемирного тяготения удалось получить три закона Кеплера (эти законы основаны на экспериментальных наблюдениях).

1. Планета движется по эллиптической орбите.
2. Закон равных площадей.
3. Кубы расстояний до планет (большие полуоси) относятся как квадраты периодов обращения.

Истинный вес $\mathbf{F}_w$ совпадает с показанием медицинских весов, $\mathbf{F}_w = m\,(\mathbf{g} - \mathbf{a})$.

Гравитационная сила внутри полой сферы равна нулю. Вне сферы сила в точности такая же, как если бы вся масса была сосредоточена в центре сферы. Если шар равномерно (с постоянной плотностью) заполнен массой, то внутри него гравитационная сила линейно возрастает по мере удаления от центра.

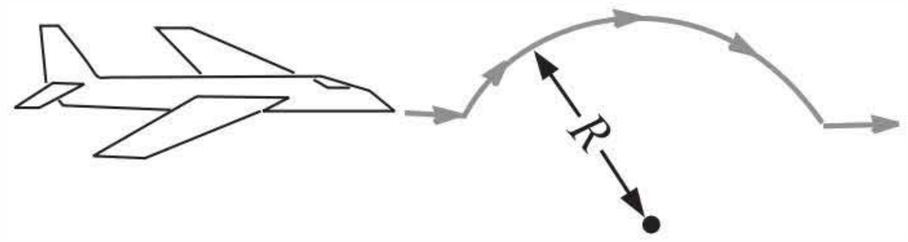
Упражнения

1. Студент, имеющий массу 60 кг, находится в лифте, движущемся вверх с ускорением $a_y = 9{,}8$ м/с^2. Чему равна (в ньютонах) результирующая сила, действующая на студента?

2. Тот же студент спускается в лифте с ускорением 9,8 м/с^2. Найдите результирующую силу (в ньютонах), действующую на студента.

3. Марс удален от Солнца на расстояние, которое на 52 % дальше, чем расстояние от Земли до Солнца. Определите длительность марсианского года.

4. Самолет движется вверх по дуге радиусом R с постоянной скоростью 300 км/ч. При каком радиусе R пассажиры испытывают состояние невесомости?



5. Можно ли с помощью третьего закона Кеплера сравнить периоды обращения Земли и Луны? Можно ли также сравнить периоды обращения Луны и спутника Юпитера? Тот же вопрос относительно всех спутников Юпитера.

6. Лифт начинает двигаться из состояния покоя с начальным ускорением 4,9 м/с^2.
   а) Увеличится, уменьшится или не изменится истинный вес пассажира?
   б) Увеличится, уменьшится или не изменится период колебаний маятника в таком лифте?
   в) Поднимаясь, лифт достигает скорости 9,8 м/с, а затем продолжает двигаться вверх с постоянной скоростью. Увеличится, уменьшится или не изменится по сравнению с весом в состоянии покоя истинный вес пассажира в этом случае?

7. Если бы Луна обладала вдвое большей массой, но двигалась по прежней орбите, чему был бы равен период ее обращения?

8. Лифт начинает двигаться с ускорением 4,9 м/с^2. Каков истинный вес пассажира, масса которого равна 60 кг, во время установившегося движения? Достигнув скорости 9,8 м/с, лифт продолжает подниматься с постоянной скоростью. Чему равен теперь истинный вес пассажира? Чему был бы равен его истинный вес, если бы канат лифта оборвался?

9. На 50-м этаже 100-этажного здания в лифт входит человек весом 600 Н и становится на весы. Когда лифт начинает двигаться, человек замечает, что в течение 5 с весы

показывают 720 Н, а следующие 5 с — 480 Н, после чего лифт останавливается на одном из концов шахты.

а) Где находится лифт: вверху или внизу шахты?

б) Какова высота здания? (Аналогичным способом космонавт может установить, на какое расстояние переместился космический корабль.)

10. Центры двух одинаковых сфер располагаются на расстоянии 1 м друг от друга. Какова должна быть масса каждой сферы, чтобы сила гравитационного притяжения между ними была равна 1 Н?

11. В некоторой точке между Землей и Луной результирующая сила тяготения, действующая со стороны Луны и Земли, равна нулю. На каком расстоянии от Земли (или Луны) расположена такая точка? Будут ли пассажиры космического корабля испытывать невесомость только в этой точке?

12. Чему равно значение g на высоте 200 км над поверхностью Земли?

13. Вычислите массу Солнца, используя значение G, расстояние от Земли до Солнца и период обращения Земли вокруг Солнца.

14. Космический корабль движется от Земли к Солнцу. На каком расстоянии от Земли результирующая гравитационная сила равна нулю?

15. Каково ускорение Земли относительно Солнца?

16. Чему равно ускорение свободного падения на поверхности Марса? Радиус Марса $3{,}43 \cdot 10^6$ м, его плотность $3{,}95 \cdot 10^3$ кг/м^3.

17. Две одинаковые сферы радиусом R имеют плотность ρ. Выразите гравитационную силу между ними (сферы плотно прижаты друг к другу) через G, R и ρ.

18. Пусть в упражнении 17 сферы сделаны из свинца, а сила тяготения равна 1 дине (10^{-5} Н). Чему равно R? Плотность свинца $11{,}3 \cdot 10^3$ кг/м^3.

19. Пусть автомобиль в примере 6 имеет горизонтальное ускорение $a = g$. Чему равен истинный вес водителя?

20. Рассмотрите пример 8 в гл. 2. Чему равен кажущийся вес пассажира на середине пути? (В этот момент горизонтальная компонента ускорения равна нулю.)

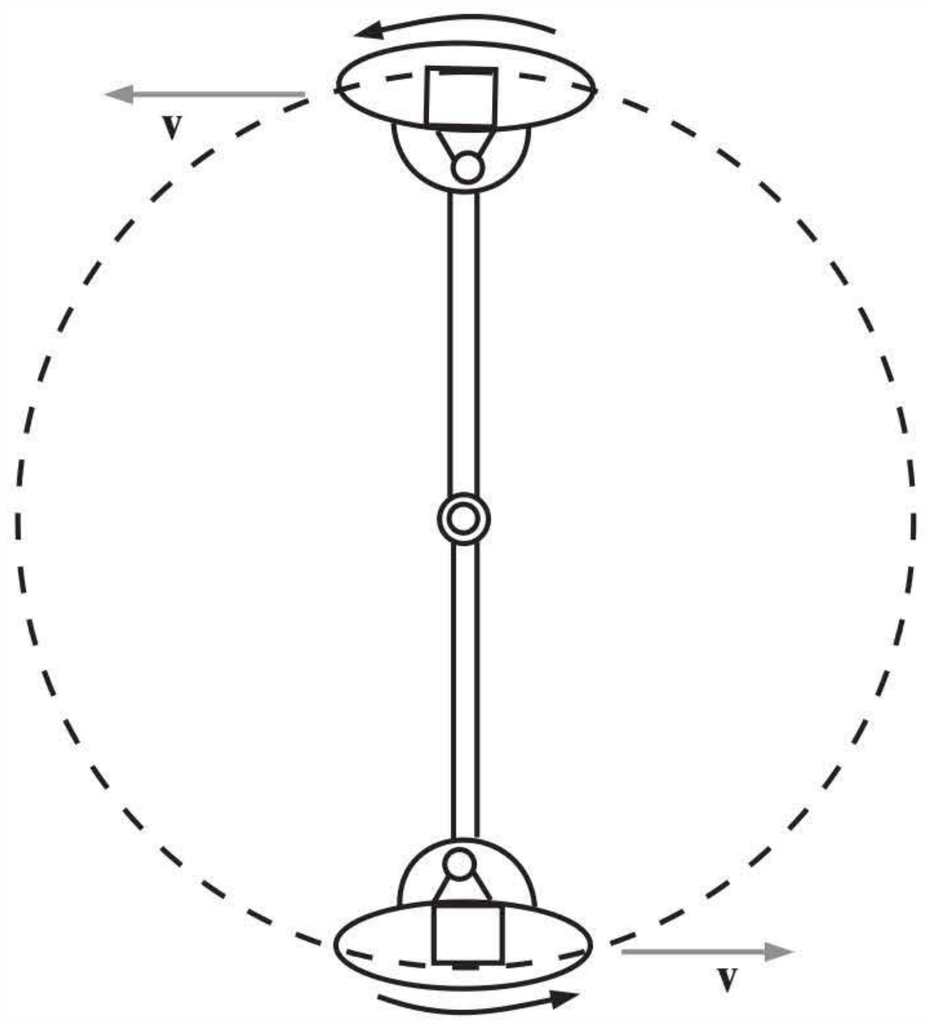
Задачи

21. Девочка массой 30 кг скользит вниз по канату с ускорением $0{,}1g$.

а) Каков ее истинный вес?

б) Чему равно натяжение каната?

22. В этой задаче предлагается схема устройства аттракциона «ракета» для создания на короткое время состояния невесомости. Две кабины разделены штангой длиной 20 м и вращаются со скоростью v в вертикальной плоскости, как показано на рисунке. Какой должна быть скорость v, чтобы пассажиры оказались в состоянии невесомости в верхней точке траектории? Чему равен их истинный вес, когда кабина достигает нижней точки?



23. Если бы скорость Луны удвоилась, то каким был бы радиус ее новой круговой орбиты? Каким был бы новый период обращения Луны?

24. Чему равна скорость v искусственного спутника Земли на круговой орбите, проходящей на высоте h над уровнем Земли? Выразите v через радиус Земли $R_З$, h и g. Увеличивается или уменьшается эта

скорость по мере того, как спутник подвергается воздействию очень слабого сопротивления воздуха?

25. Чему равна гравитационная сила, действующая на массу 1 кг на Луне со стороны:
а) Земли;
б) Солнца?
Не используйте значений G, а также масс Земли и Солнца.

26. Пусть космический корабль движется по орбите вокруг Марса на высоте 100 км. Чему равен период его обращения вокруг Марса? Радиус Марса $3{,}43 \cdot 10^6$ м, а его средняя плотность 3,95 г/см^3.

27. Повторите решение задачи 26 для искусственного спутника Луны, движущегося по орбите на той же высоте.

28. Предположим, что наша Галактика состоит из 10^{11} звезд со средней массой 10^{30} кг каждая. На краю Галактики звезда движется по круговой орбите с радиусом 50 тыс. световых лет. Каковы ее скорость и период обращения? Считайте, что звезда ведет себя так, как если бы вся масса Галактики была сосредоточена в центре Галактики.

29. Если вблизи горы поместить массивный отвес, то он слегка отклонится в сторону; пусть объем горы 1 км^3, а ее средняя плотность 2500 кг/м^3. Предположите, что масса горы сосредоточена в точке на расстоянии 600 м от отвеса. Чему будет равен угол отвеса с вертикалью?

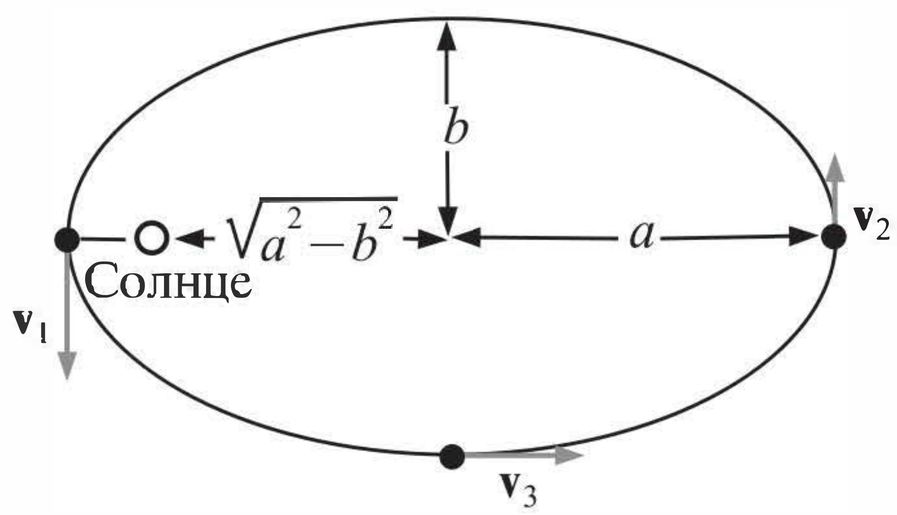
30. Каким должен быть период обращения Земли, чтобы она стала «разлетаться на части» (свободные предметы на экваторе могли бы покинуть ее и начать двигаться по круговой орбите вокруг Земли)? Выразите ответ через G, $M_З$ и $R_З$, а также приведите его в числах.

31. Повторите решение предыдущей задачи для Солнца.

32. После того как у звезды происходит выгорание термоядерного горючего, она испытывает гравитационный коллапс и сжимается. В силу закона сохранения момента импульса величина R^2/T (T — период обращения) должна оставаться постоянной. Каким будет минимальный радиус Солнца, прежде чем оно начнет «разлетаться на части»? Солнце совершает оборот вокруг своей оси за 27 суток. Сравните с результатами задач 30 и 31.

33. Отношение скоростей двух планет, движущихся вокруг Солнца, равно обратному отношению радиусов их орбит в некоторой степени. Чему равен показатель этой степени?

34. Пусть комета движется вокруг Солнца по эллиптической орбите, большая полуось которой равна a, а малая — b. Выразите отношение скоростей v_2/v_1 через a и b, а также через эксцентриситет эллипса $e \equiv \sqrt{1-b^2/a^2}$. Для эллипса расстояние от центра до фокуса равно $\sqrt{a^2-b^2}$.



35. Найдите в предыдущей задаче отношение v_3/v_1.

36. В примере 7 скорость «ракеты», когда она падает на половине пути, равна $\sqrt{2gL}$. Каким является при этом истинный вес пассажира?

37. Если в примере 7 «ракета» начинает сдвигаться, когда штанга находится в горизонтальном положении, то ее скорость при прохождении нижнего положения будет $\sqrt{2gL}$. Чему равен при этом истинный вес пассажира?

38. Предположите, что гравитационная масса m' тела не совпадает с его инертной массой m. Выведите снова формулу для периода колебаний конического маятника, рассмотренного в § 8 гл. 4. Покажите, что

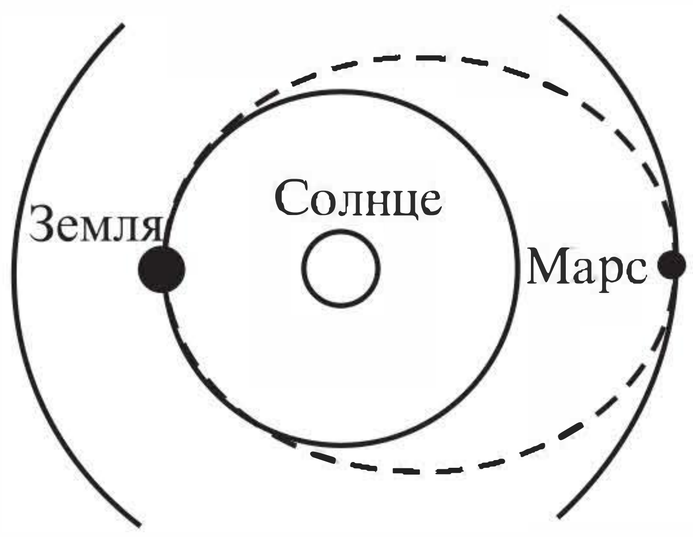
$$T = 2\pi\sqrt{\frac{m}{m'}\frac{R}{g\,\mathrm{tg}\,\theta}}.$$

39. Предположите, что для углерода $m'/m = 1$, тогда как для свинца $m'/m = 1{,}001$. Выве-

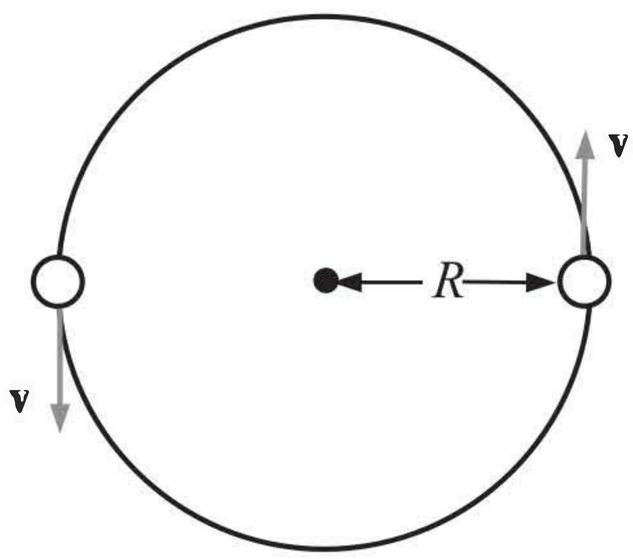
дите снова формулу (4-11) и найдите отношение периодов малых колебаний T_C / T_{Pb} для двух одинаковых конических маятников, один из которых изготовлен из углерода (C), а другой — из свинца (Pb).

40. Пусть имеется полая сферическая оболочка массой m с внешним радиусом R_2 и внутренним R_1, так что толщина оболочки равна $R_2 - R_1$. Чему равно поле тяготения внутри оболочки, т. е. при $R_1 < r < R_2$? Запишите ответ через G, m, R_1 и R_2, предполагая плотность оболочки однородной.

41. Космический корабль, запущенный на Марс, движется по эллиптической орбите, большая ось которой равна сумме расстояний от Земли и Марса до Солнца. На рисунке орбита корабля показана штриховой линией. Сколько времени понадобится космическому кораблю, чтобы достичь Марса? Расстояние между Солнцем и Марсом $2{,}28 \cdot 10^{11}$ м.



42. Две звезды с одинаковыми массами движутся по круговой орбите вокруг общего центра масс.



а) Выразите результирующую силу, действующую на каждую звезду, через m, G и R.

б) Выведите формулу, связывающую период обращения с m, G и R.

6

Работа и энергия

§ 1. Введение

Проблема энергии стала предметом заботы каждого гражданина. Энергия, которую удается без особого труда получать на Земле, имеет свой предел, и мы почти достигли его. Благосостояние людей непосредственно связано с потреблением энергии. Например, объем валового национального продукта страны почти пропорционален потребляемой энергии. Производство и распределение энергии при ограниченных ресурсах и очень высоких запросах становится социальной и экономической проблемой, затрагивающей множество технологических вопросов. Вряд ли можно принимать мудрые и справедливые решения без ясного понимания того, что такое энергия; необходимо также четко представлять себе, как производится и распределяется энергия. В следующем параграфе мы рассмотрим различные формы энергии и преобразование их друг в друга. Определим, что такое работа, кинетическая и потенциальная энергии, тепловая и химическая энергии, а также дадим понятие мощности. Затем мы изучим вопрос об эффективности превращения теплоты в механическую и электрическую энергии. Исследуем также вопрос об обратном преобразовании энергии, а именно вопрос об использовании механической и электрической энергий для извлечения теплоты (кондиционирование воздуха, охлаждение и тепловые насосы). Наконец, рассмотрим электромоторы и генераторы, электромагнитное излучение, деление и синтез ядер, ядерные реакторы, термоядерную энергию и энергию звезд.

По-видимому, наиболее важным принципом с точки зрения всех физических применений энергии является закон сохранения энергии. Этот закон налагает строгие ограничения на возможности преобразования и использования энергии. В большей части остальных глав этот закон занимает центральное место независимо от того, рассматриваем ли мы механику, теорию относительности, гравитацию, термодинамику, электромагнетизм, электромагнитное излучение, атомную физику или ядерную физику и физику элементарных частиц. В механике закон сохранения энергии позволяет успешно описывать движение тел под действием различных типов взаимодействий. Во многих случаях благодаря этому закону мы можем обойтись без применения закона Ньютона и провести простым и быстрым способом анализ движения тел.

§ 2. Работа

Сила, действующая на движущееся тело, совершает над ним работу. Работа измеряется в единицах произведения силы на расстояние. Количественно **совершаемая**

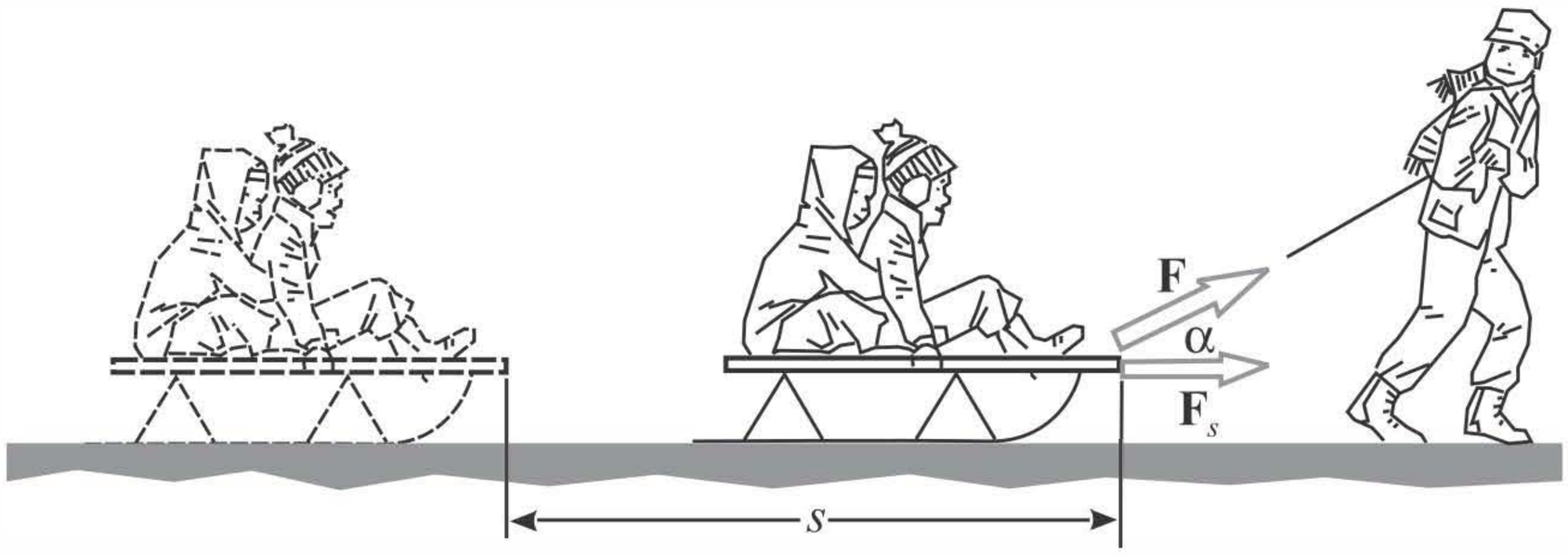


Рис. 6-1. Человек тянет санки с силой **F** на пути *s*

силой работа равна произведению составляющей силы в направлении движения на пройденное расстояние. Например, на рис. 6-1 человек перемещает санки с детьми на расстояние *s*, прилагая к веревке постоянную силу **F**. Работа, которую производит человек над санками, равна

$$W = F_s s \text{ (}\textit{работа, совершаемая постоянной силой}\text{)}.$$

Заметим, что работа равна произведению $F_s s$, а не Fs, где F_s — составляющая силы F в направлении s. Поскольку $F_s = F\cos\alpha$, приведенное выше выражение можно записать в виде

$$W = Fs\cos\alpha \text{ (}\textit{работа, совершаемая постоянной силой}\text{)}. \quad (6\text{-}1)$$

Если сила не остается постоянной, то следует взять ее значение, усредненное по расстоянию:

$$W = \bar{F}_s s.$$

(Следует заметить, что по определению работа равна интегралу от F_s по s; таким образом, $W = \int F_s\, ds$.)

Выражение (6-1) справедливо для всех сил, действующих на санки. Помимо силы **F**, с которой человек тянет веревку, имеется препятствующая движению сила трения $\mathbf{F}_f$ (рис. 6-2). Составляющая силы $\mathbf{F}_f$ в направлении s равна $|\mathbf{F}_f|$, однако она отрицательна. Следовательно, $W = -|F_s|s$ — работа, совершаемая силой трения.

Если человек движется с постоянной скоростью, то санки не имеют ускорения и результирующая сила $F_{\text{рез.}} = 0$. В горизонтальном направлении $F_{\text{рез.}} = F_s - F_f = 0$. Таким образом, в этом случае работа, совершаемая силой трения, равна по величине и противоположна по знаку работе, совершаемой человеком.



Рис. 6-2. Приложенная к санкам сила **F** и сила трения $\mathbf{F}_f$

Чему равна работа, совершаемая результирующей силой? В случае когда $F_{\text{рез.}} = 0$, работа должна быть равна нулю. Если человек ускоряет движение, то $F_{\text{рез.}}$ становится положительной; в этом случае и работа, совершаемая силой $F_{\text{рез.}}$, оказывается положительной. Санки ускоряются, и их кинетическая энергия (мы ее определим в § 5) будет возрастать. В § 5 мы покажем, что работа, совершаемая силой $F_{\text{рез.}}$, равна приращению кинетической энергии.

Энергия

Здесь мы обсудим различные формы энергии; одной из них является работа. Говорят, что работа, совершаемая силой F, приложенной к телу или системе тел,

увеличивает энергию этой системы на величину, численно равную работе. В предыдущем примере с санками, когда $F_{рез.} = 0$, мы видели, что приложенная внешняя сила увеличивает энергию санок, тогда как сила трения уменьшает ее на ту же величину. Поэтому суммарная энергия санок не возрастает. В дальнейшем новый вид энергии будет определяться по мере необходимости. Мы познакомимся с возможностями преобразования энергии из одной формы в другую, когда полное количество энергии в замкнутой системе сохраняется неизменным.

Единицы измерения

Работа и энергия измеряются в единицах произведения силы на расстояние, т. е. в ньютонах на метр (Н·м); размерность этой величины ML^2T^{-2}. Эта единица нашла довольно широкое употребление и называется джоулем (Дж). Ежесекундно электрическая лампочка мощностью 100 Вт расходует 100 Дж энергии. Одна лошадиная сила (л. с.) определяется как ежесекундный расход энергии, равной 746 Дж. В системе СГС работа и энергия измеряются в динах на сантиметр. Эта единица называется эргом:

$$1\ \text{Дж} = 1\ \text{Н}\cdot 1\ \text{м} = (10^5\ \text{дин})\ (10^2\ \text{см}) = 10^7\ \text{дин}\cdot\text{см} = 10^7\ \text{эрг}.$$

В атомной и ядерной физике в качестве единицы измерения энергии широко используется электронвольт (эВ):

$1\ \text{эВ} = 1{,}6\cdot 10^{-19}$ Дж (*определение электронвольта*).

Пример 1. Предположите, что на рис. 6-1 угол a = 30° и человек идет с постоянной скоростью 1,5 м/с. Если человек производит ежесекундно работу 100 Дж, то чему равна сила F? (Эта работа составляет около 1/7 л. с. и, очевидно, является для человека нелегкой.)

Решение: Человек проходит ежесекундно путь $s = 1{,}5$ м. Используя (6-1), получаем

$$F s \cos\alpha = W,$$

$$F = \frac{W}{s\cos\alpha} = \frac{100\ \text{Дж}}{(1{,}5\ \text{м})(0{,}866)} = 77\ \text{Н}.$$

Такая сила, равная 77 Н, достаточна для подъема тела массой 7,9 кг. В данном примере работа совершается со скоростью, соответствующей ежесекундному поднятию тела массой 10 кг на высоту около 1 м. Это, безусловно, тяжелая работа.

---

§ 3. Мощность

В процессе использования энергии $\mathscr{E}$, т. е. когда энергия передается от одной системы к другой либо сообщается телу или системе с помощью внешней силы, скорость передачи энергии называется мощностью и обозначается P. Согласно определению,

$$P \equiv d\mathscr{E}/dt\ (\textit{определение мощности}). \quad (6\text{-}2)$$

Величина P характеризует мгновенное значение скорости передачи энергии. В системе СИ единицей измерения мощности является джоуль в секунду (Дж/с). Эта единица имеет размерность ML^2T^{-3} и называется ваттом (Вт). Электрическая лампочка мощностью 100 Вт расходует 100 Дж/с. В примере 1 производимая человеком мощность также равна 100 Вт.

Произведение мощности на время дает энергию. Широко используется единица энергии киловатт-час (кВт·ч):

$$1\ \text{кВт}\cdot\text{ч} = 10^3\ \text{Вт} \times 3600\ \text{с} = 3{,}6\cdot 10^6\ \text{Дж}.$$

В США ежедневно потребляется около $5\cdot 10^{13}$ кВт·ч энергии.

Пусть тело под действием силы **F** движется со скоростью **v**. Тогда приращение

энергии обусловленное действием этой силы, запишется в виде

$d\mathscr{E} = F\,ds\cos\alpha$,

$d\mathscr{E}/dt = F\,(ds/dt)\cos\alpha$;

таким образом,

$P = Fv\cos\alpha$. (6.3)

Лошадиная сила

Лошадиная сила (л.с.) в качестве единицы мощности использовалась давно. Она характеризует мощность, которую может обеспечить усиленно работающая лошадь, и появилась задолго до создания системы СИ, причем

1 л.с. = 746 Вт (*определение лошадиной силы*).

§ 4. Скалярное произведение

Мы показали, что работа, совершаемая силой на рис. 6-1, дается выражением

$W = Fs\cos\alpha$,

где α — угол между векторами силы **F** и перемещения **s**. Определим теперь скалярное произведение двух векторов; эта величина является скаляром. Рассмотрим два произвольных вектора **A** и **B** с углом α между ними (рис. 6-3). Скалярное произведение этих векторов записывается следующим образом:

$\mathbf{A}\cdot\mathbf{B} \equiv |\mathbf{A}|\cdot|\mathbf{B}|\cos\alpha$ (*определение скалярного произведения*). (6-4)

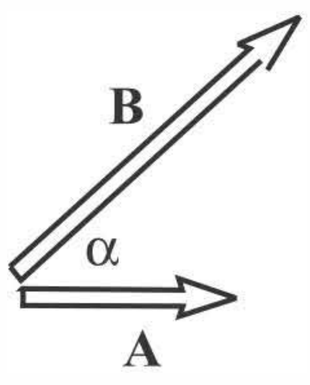


Рис. 6-3. Два вектора **A** и **B**

Скалярное произведение двух векторов равно произведению длин этих векторов на косинус угла между ними. Следует заметить, что в любом случае скалярное произведение содержит косинус угла между векторами. Например, скалярное произведение двух единичных векторов, направленных вдоль оси y, запишется в виде $\mathbf{j}\cdot\mathbf{j} = |1|\cdot|1|\cos 0° = 1$. Скалярное произведение $\mathbf{i}\cdot\mathbf{j} = |1|\cdot|1|\cos 90° = 0$. Заметим также, что

$\mathbf{A}\cdot\mathbf{B} = \mathbf{B}\cdot\mathbf{A}$, $\mathbf{A}\cdot(\mathbf{B}+\mathbf{C}) = \mathbf{A}\cdot\mathbf{B} + \mathbf{A}\cdot\mathbf{C}$.

В общем случае скалярное произведение двух векторов имеет вид

$$\mathbf{A}\cdot\mathbf{B} = (\mathbf{i}A_x + \mathbf{j}A_y + \mathbf{k}A_z)\cdot(\mathbf{i}B_x + \mathbf{j}B_y + \mathbf{k}B_z) = A_xB_x + A_yB_y + A_zB_z. \quad (6\text{-}5)$$

---

* **Пример 2.** Покажите, что если вектор **A** представляет собой функцию от t, то

$$A\frac{dA}{dt} = \mathbf{A}\cdot\frac{d\mathbf{A}}{dt}. \quad (6\text{-}6)$$

Решение:

$$A^2 = A_x^2 + A_y^2 + A_z^2,$$

$$\frac{d\left(A^2\right)}{dt} = \frac{dA_x^2}{dt} + \frac{dA_y^2}{dt} + \frac{dA_z^2}{dt},$$

$$A\frac{dA}{dt} = A_x\frac{dA_x}{dt} + A_y\frac{dA_y}{dt} + A_z\frac{dA_z}{dt}.$$

Пусть $\mathbf{B} \equiv d\mathbf{A}/dt$, $B_x \equiv dA_x/dt$ и т. п. Тогда в соответствии с выражением (6-5) правая часть последнего равенства равна скалярному произведению $\mathbf{A}\cdot\mathbf{B}$, или $\mathbf{A}\cdot(d\mathbf{A}/dt)$, что и требовалось доказать.

Чтобы проиллюстрировать, насколько полезными являются векторные обозначения, приведем доказательство теоремы косинусов (в тригонометрии доказательство оказывается значительно длиннее).

На рис. 6-4 сторону треугольника **C** можно записать через стороны **A** и **B** следующим образом: $\mathbf{C} = \mathbf{B} - \mathbf{A}$. Возводя в квадрат обе части, имеем

$\mathbf{C}\cdot\mathbf{C} = (\mathbf{B} - \mathbf{A})\cdot(\mathbf{B} - \mathbf{F})$,

откуда

$$C^2 = B^2 - 2\mathbf{A}\cdot\mathbf{B} + A^2 = \\ = A^2 + B^2 - 2AB\cos\alpha.$$

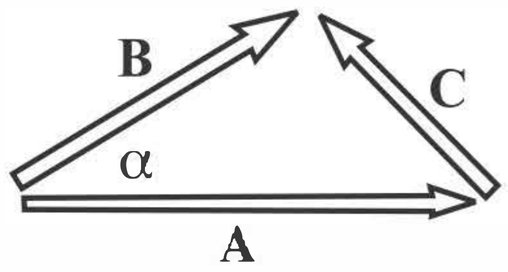


Рис. 6-4

Определим теперь работу с помощью скалярного произведения. Если **s** — перемещение тела, то работа, произведенная действующей на это тело постоянной силой **F**, дается выражением

$$W = \mathbf{F}\cdot\mathbf{s}.$$

Если сила не постоянна, то производимое при движении приращение работы на бесконечно малом отрезке пути $d\mathbf{s}$ запишется в виде

$$dW = \mathbf{F}\cdot d\mathbf{s}. \qquad (6\text{-}7)$$

Полная работа, производимая при перемещении тела из точки A в точку B (рис. 6-5), равна

$$W = \Sigma\mathbf{F}_j\cdot d\mathbf{s}_j = \Sigma(F_s)_j\, ds_j.$$

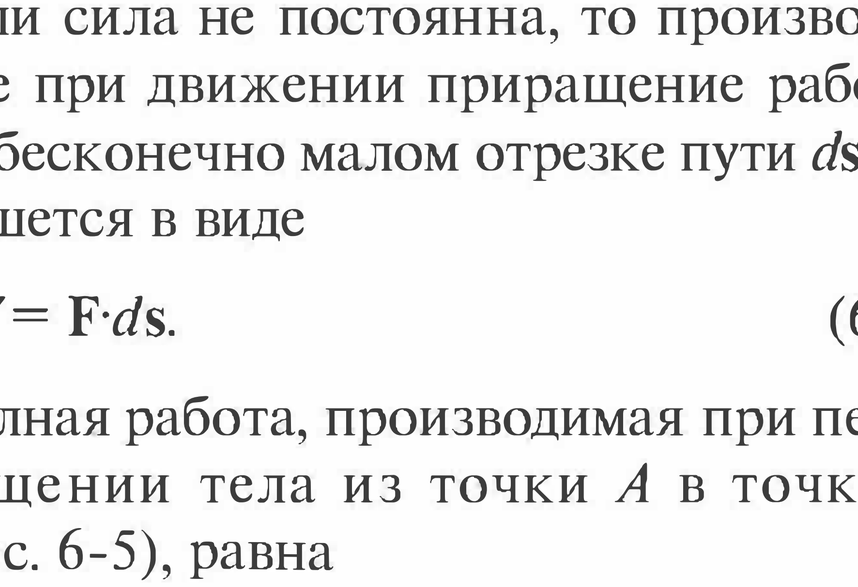


Рис. 6-5. Путь из точки A в точку B состоит из отдельных приращений $d\mathbf{s}_j$

Для бесконечно малых ds_j сумма превращается в определенный интеграл от ds_j в пределах от A до B. (Знак интегрирования можно понимать как видоизмененный знак суммы.) Таким образом, имеем

$$W = \int_A^B F_s\, ds.$$

Это выражение можно записать в виде

$$W = \int_A^B \mathbf{F}\cdot d\mathbf{s} \quad (\textit{работа, произведенная силой } \mathbf{F}). \qquad (6\text{-}8)$$

Пример 3. Для того чтобы растянуть пружину на длину x, требуется приложить силу $F = kx$. (Эта линейная зависимость силы от x называется законом Гука.) Какая работа совершается при растяжении пружины на длину x_0?

Решение: Подставим в выражение (6-8) вместо силы F величину kx и заменим ds на dx. Таким образом,

$$W = \int_0^{x_0} kx\,dx = k\int_0^{x_0} x\,dx = k\left[\frac{x^2}{2}\right]_0^{x_0} = \frac{1}{2}kx_0^2.$$

При интегрировании мы использовали табличный интеграл

$$\int x^N dx = \frac{1}{N+1}x^{N+1}.$$

(Следует заметить, что до сих пор нам не требовалось интегральное исчисление.)

Пример 4. Снаряд летит со скоростью $\mathbf{v}_A$ параллельно поверхности Земли на высоте h. В точке B он падает на Землю (рис. 6-6). Какую работу совершает сила тяжести?

Решение: Вычислим интеграл $W = \int_A^B \mathbf{F}\cdot d\mathbf{s}$ в случае, когда угол α между векторами непрерывно меняется. Заметим, что элементарная работа дается выражением

$\mathbf{F} \cdot d\mathbf{s} = mg\,(ds\cos\alpha)$.

Из рис. 6-6 имеем $(ds\cos\alpha) = dy$. Совершив эту подстановку и вычислив интеграл, получим

$$\int_A^B \mathbf{F}\cdot d\mathbf{s} = \int_A^B (-mg)\,dy = -mg\int_A^B dy = mgh.$$

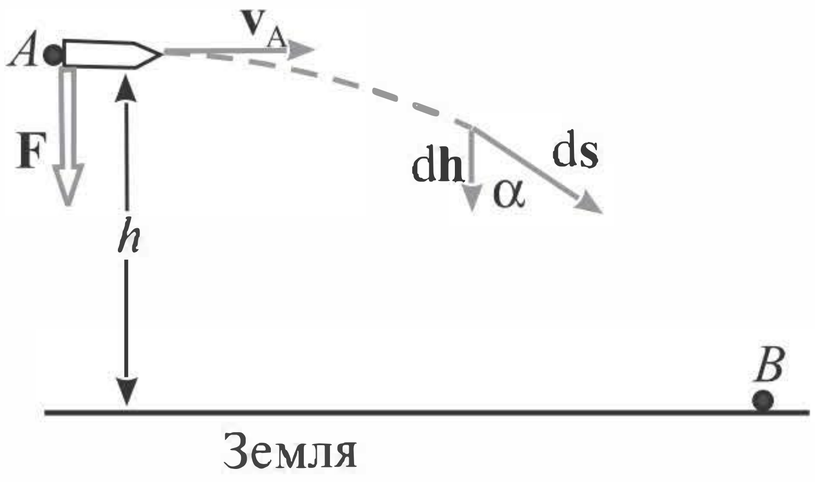


Рис. 6-6. Траектория снаряда в примере 4

Следовательно, $W = mgh$ — работа, которую совершает сила тяжести (h — начальная высота).

§ 5. Кинетическая энергия

Определим кинетическую энергию тела массой m следующим образом:

$$K \equiv \frac{1}{2}mv^2 \quad (\textit{определение кинетической энергии}). \qquad (6\text{-}9)$$

Она имеет размерность ML^2T^{-2}, совпадающую с размерностью энергии. Покажем теперь, что кинетическая энергия тела увеличивается точно на величину работы, которую совершает действующая на нее результирующая сила. Эта работа при перемещении тела из точки A в точку B записывается в виде

$$W = \int_A^B \mathbf{F}_{\text{рез.}}\cdot d\mathbf{s}.$$

Заменим теперь $\mathbf{F}_{\text{рез.}}$ на $m(d\mathbf{v}/dt)$, а $d\mathbf{s}$ — на $\mathbf{v}\,dt$:

$$\int_A^B \mathbf{F}_{\text{рез.}}\cdot d\mathbf{s} = \int_A^B \left(m\frac{d\mathbf{v}}{dt}\right)(\mathbf{v}\,dt).$$

В соответствии с выражением (6-6) заменим $(d\mathbf{v}/dt)\cdot\mathbf{v}$ на $v(dv/dt)$:

$$\int_A^B \mathbf{F}_{\text{рез.}}\cdot d\mathbf{s} = m\int_A^B \left(v\frac{dv}{dt}\right)dt = m\int_A^B v\left(\frac{dv}{dt}\right)dt.$$

Величина $(dv/dt)\,dt$ равна dv, поскольку для малого интервала времени Δt мы имеем $(\Delta v/\Delta t)\,\Delta t = \Delta v$. Таким образом,

$$\int_A^B \mathbf{F}_{\text{рез.}}\cdot d\mathbf{s} = m\int_A^B v(dv)\,dt = m\left[\frac{1}{2}v^2\right]_A^B =$$

$$= \frac{1}{2}mv_B^2 - \frac{1}{2}mv_A^2.$$

В окончательном виде получаем

$$\int_A^B \mathbf{F}_{\text{рез.}}\cdot d\mathbf{s} = K_B - K_A \quad (\textit{теорема о связи энергии и работы}). \qquad (6\text{-}10)$$

Эта теорема утверждает, что работа, совершаемая результирующей силой при перемещении тела из точки A в точку B, равна разности кинетических энергий в точках B и A. Иными словами, кинетическая энергия возрастает на величину работы, совершаемой результирующей силой. Это общее соотношение между $\mathbf{F}_{\text{рез.}}$ и кинетической энергией называется **теоремой о связи энергии и работы**.

Пример 5. Чему равна скорость снаряда на рис. 6-6 в момент, когда он падает на Землю в точке B?

Решение: Заметим, что сила $F = mg$ является результирующей. Поэтому интеграл $\int_A^B \mathbf{F}_{\text{рез.}}\cdot d\mathbf{s}$

совпадает со случаем, рассмотренным в примере 4; следовательно, он равен mgh. Подставляя в левую часть соотношения (6-10) эту величину, получаем

$$(mgh)=\frac{1}{2}mv_B^2-\frac{1}{2}mv_A^2,$$

$$v_B^2=2gh+v_A^2.$$

Отметим преимущества использования понятия «энергия» при решении задач такого типа. В примере 5 не было необходимости вычислять траекторию или скорость как функцию времени.

Пример 6. 30-метровый водопад расходует 10 кг воды в секунду. С какой скоростью увеличивается кинетическая энергия падающей воды?

Решение: Подставим в левую часть соотношения (6-10) величину mgh. Тогда можно записать

$$mgh = \Delta K.$$

Поток падающей воды ежесекундно приобретает кинетическую энергию

$$\Delta K = (10\text{ кг})\,(9{,}8\text{ м/с}^2)\,(30\text{ м}) = 2{,}9\text{ кДж}.$$

Если эти 2,9 кДж/с преобразовать в электричество с КПД 100 %, то мы могли бы получить 2,9 кВт электроэнергии.

Таким образом, из примера 6 следует, что приличный водопад мог бы обеспечить 2 или 3 кВт мощности для домашних нужд. Однако в современном городском доме обычно потребляется не 2–3, а 10–20 кВт! Здесь как в капле воды отразилось то, что становится одной из крупнейших мировых проблем; а именно: потребности общества в энергии растут столь сильно, что обычные источники на Земле уже не могут их обеспечить. Так, в США большая часть ГЭС работает с полной отдачей; между тем они удовлетворяют потребности в энергии лишь на 4 %.

Пример 7. Первоначально тело массой m находится на высоте h над поверхностью Земли, причем тело и Земля покоятся. Каково соотношение между кинетическими энергиями тела и Земли в момент их столкновения?

Решение: Из примера 4 следует, что работа, совершаемая силой тяжести над телом массой m, равна $W = mgh$; с другой стороны, в соответствии с (6-10) эта работа равна также кинетической энергии этого тела. Чтобы вычислить кинетическую энергию Земли, воспользуемся законом сохранения импульса. Поскольку полный импульс всей системы равен нулю, импульс Земли должен быть равен по величине и направлен противоположно импульсу тела:

$$M_3v_3 = -mv, \text{ или } v_3 = -\frac{m}{M_3}v,$$

$$v_3^2 = \frac{m^2}{M_3^2}v^2,$$

$$\frac{1}{2}M_3v_3^2 = \frac{m}{M_3}\left(\frac{1}{2}mv^2\right).$$

Таким образом,

$$K_3 = \frac{m}{M_3}K.$$

Из этого примера следует, что кинетическая энергия Земли в M_3/m раз меньше кинетической энергии тела массой m. Если $m = 6$ кг, то $m/M_3 = 10^{-24}$; эта величина настолько мала, что можно полностью пренебречь передачей энергии Земле. Однако нельзя пренебрегать передачей импульса. В примере 7 Земля имеет такой же импульс, что и тело массой m. В общем случае, если тело взаимодействует с Землей благодаря любым

типам сил (кроме сил трения), то можно полностью пренебречь передачей энергии от тела к Земле; эта энергия столь мала, что практически не поддается измерениям. Однако если не учитывать импульса Земли, то будет нарушаться закон сохранения импульса.

§ 6. Потенциальная энергия

В следующей главе мы будем широко пользоваться теоремой (6-10) о связи работы и энергии, включая получение закона сохранения энергии. Поскольку левая часть этого соотношения равна $\int \mathbf{F} \cdot d\mathbf{s}$, удобно вычислить этот интеграл для некоторых сил и называть его потенциальной энергией (точнее, этот интеграл равен уменьшению потенциальной энергии). Многие задачи, в которых встречается энергия, значительно упрощаются, если заранее вычислить указанный интеграл (потенциальную энергию). Потенциальную энергию можно представлять себе как энергию, запасенную для дальнейшего использования. Во многих случаях при желании ее можно преобразовать в другие полезные формы энергии.

Мы начнем с вычисления потенциальной энергии взаимодействия двух тел (рис. 6-7), между которыми действует либо гравитационная, либо электромагнитная сила F. Изменение потенциальной энергии при переходе тела массой m_1 из точки A в точку B запишется в виде

$$\Delta U_1 = -\int_A^B \mathbf{F}_1 \cdot d\mathbf{s}_1, \qquad (6\text{-}11)$$

а изменение потенциальной энергии тела m_2 из точки C в точку D —

$$\Delta U_2 = -\int_C^D \mathbf{F}_2 \cdot d\mathbf{s}_2,$$

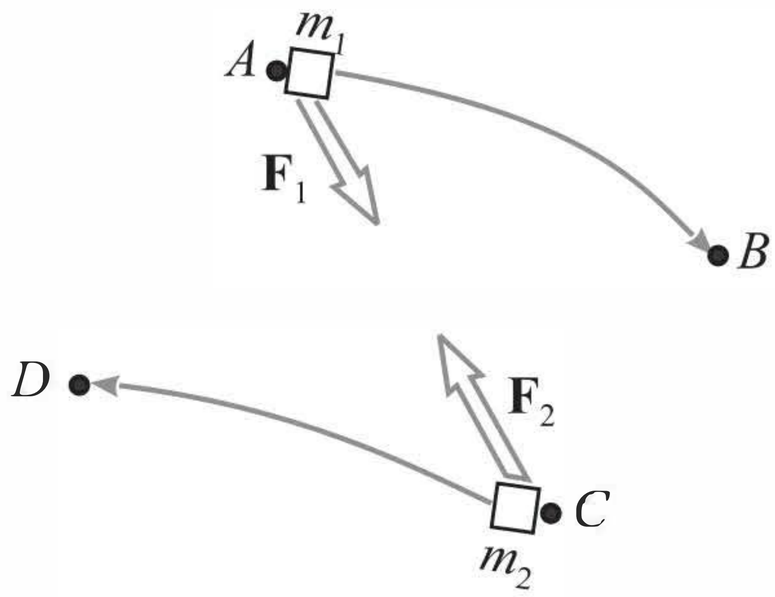


Рис. 6-7. Система двух взаимодействующих масс m_1 и m_2

причем в силу третьего закона Ньютона $\mathbf{F}_1 = -\mathbf{F}_2$. Если тело массой m_2 — Земля, то смещение столь мало, что ΔU_2 практически равно нулю. Из примера 7 видно, что в случае с Землей отношение $\Delta U_2/\Delta U_1$ составляет обычно около 10^{-24}. Таким образом, если в систему входит только тело массой m и Земля, то можно записать

$$U_B - U_A = -\int_A^B \mathbf{F} \cdot d\mathbf{s} \ (\textit{изменение потенциальной энергии}); \qquad (6\text{-}12)$$

здесь $\mathbf{F}$ — сила, действующая между телом и Землей. Мы видим, что потенциальная энергия определяется как взятая с обратным знаком работа сил взаимодействия. **Изменение потенциальной энергии равно положительной работе, которую следует совершить над телом, чтобы медленно переместить его из точки A в точку B при наличии сил взаимодействия.** (При медленном перемещении тела приложенная сила должна быть равна по величине и направлена противоположно силе взаимодействия.)

Консервативные силы

В формуле (6-12) могут быть использованы лишь силы определенного типа, а именно консервативные силы. Рисунок 6-8 иллюстрирует определение

консервативных сил. Если $\mathbf{F}$ — консервативная сила, то

$$\int_{\text{Путь 1}}^{B} \mathbf{F}\cdot d\mathbf{s} = \int_{\text{Путь 2}}^{B} \mathbf{F}\cdot d\mathbf{s}$$ (*определение консервативной силы*).

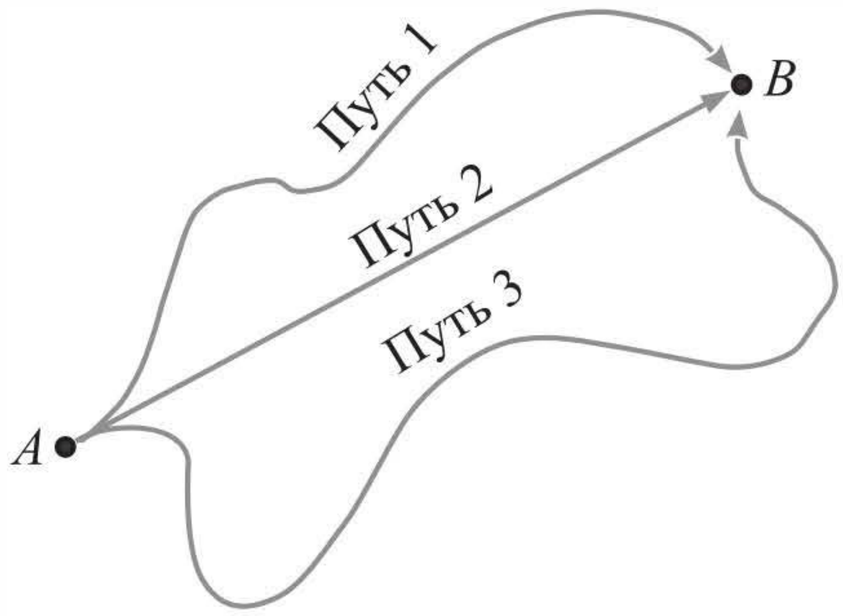


Рис. 6-8. Возможные пути между точками A и B. В случае с консервативной силой интеграл $\int \mathbf{F}\cdot d\mathbf{s}$ имеет одно и то же значение для любого пути.

Работа, совершаемая действующей на тело консервативной силой, не зависит от пути, по которому тело перемещается из произвольной точки A в точку B. Математически эквивалентно следующее утверждение: интеграл $\int \mathbf{F}\cdot d\mathbf{s}$, вычисленный по любому замкнутому пути, должен быть равен нулю. Следовательно, в случае с консервативными силами нельзя непрерывно приобретать (или терять) энергию, повторяя один и тот же замкнутый путь.

Оказывается, что все четыре типа фундаментальных сил, действующих между элементарными частицами, консервативные. То же должно быть верно в отношении силы, которую можно свести к одной из фундаментальных сил, например к силе, действующей на массу, прикрепленную к растянутой пружине. Когда пружина растягивается, атомы удаляются друг от друга и между ними возникает электрическое притяжение, пропорциональное растяжению.

Примером неконсервативной силы является трение. В этом случае $\mathbf{F}$ и $d\mathbf{s}$ всегда направлены в противоположные стороны, так что интеграл $\int \mathbf{F}\cdot d\mathbf{s}$ по замкнутому контуру всегда отрицателен (тело непрерывно теряет энергию). Здесь уместно было бы спросить, как вообще может возникнуть неконсервативная сила, если все силы построены из фундаментальных, а те в свою очередь являются консервативными. Ответ в том, что если мы рассматриваем потенциальную и кинетическую энергии каждой элементарной частицы, то неконсервативных сил не существует. Такой подход называется микроскопическим. Однако трение — это макроскопическое явление, при котором можно полностью пренебречь тем, что происходит с отдельными частицами. Сила трения обусловлена происходящей в среднем передачей импульса частицам тела, что проявляется в возрастании его температуры. Таким образом, по мере уменьшения кинетической энергии испытывающего трение тела возрастает кинетическая энергия входящих в его состав частиц (тело нагревается). Любая сила, действие которой приводит к возникновению теплоты, оказывается неконсервативной. Мы увидим в гл. 12, что теплота (или, точнее, внутренняя энергия. — *Прим. ред.*) — это кинетическая и потенциальная энергии отдельных частиц.

В данном параграфе мы узнали, как найти потенциальную энергию, если известна сила взаимодействия. Решим теперь обратную задачу: как найти силу, если известна потенциальная энергия. Рассмотрим выражение (6-12) и выберем точки A и B расположенными очень близко друг от друга на пути s. Тогда

$$dU = -F_s\, ds.$$

Разделив обе части этого равенства на ds, получим

$$F_s = -\frac{dU}{ds} \quad (dU \text{ в направлении } s). \qquad (6\text{-}13)$$

Например, если известна потенциальная энергия U как функция координат x, y и z, то

$$F_x = -\frac{dU}{dx}, \quad F_y = -\frac{dU}{dy}, \quad F_z = -\frac{dU}{dz};$$

здесь dU — приращения U в направлениях x, y и z.

§ 7. Гравитационная потенциальная энергия

Определим потенциальную энергию массы m, находящейся на расстоянии h над поверхностью Земли (рис. 6-9).

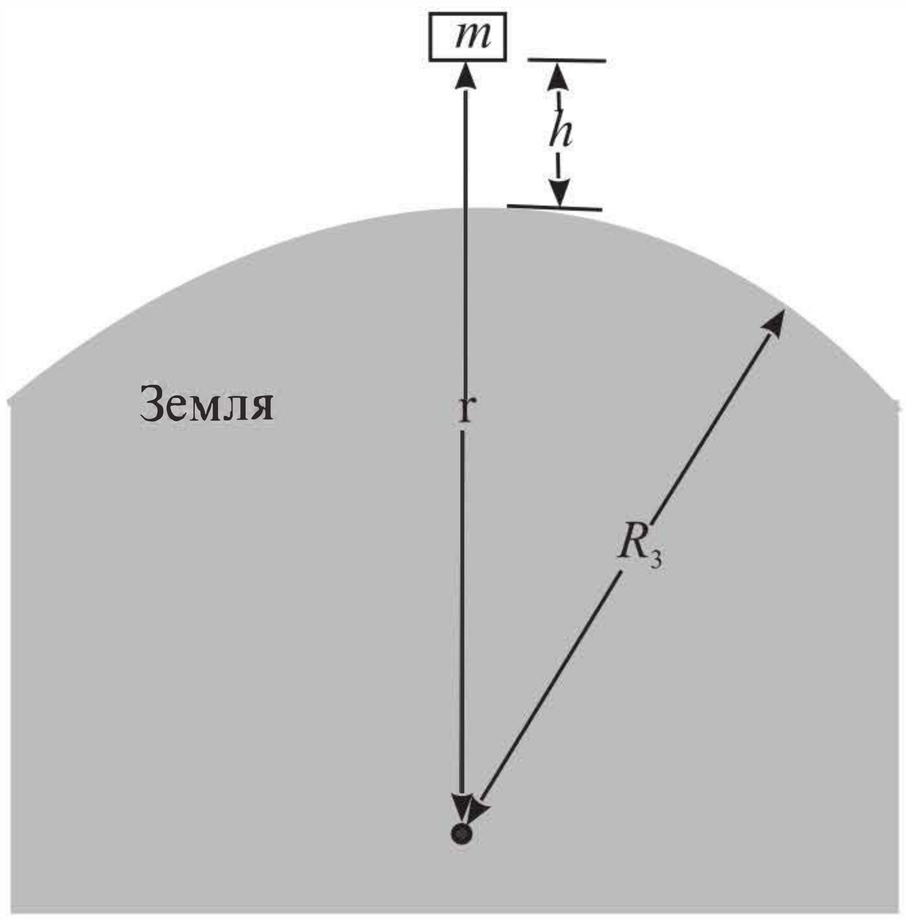


Рис. 6-9. Тело массой m на высоте h над поверхностью Земли

В гл. 5 мы выяснили, что, согласно закону всемирного тяготения Ньютона, сила, действующая на массу m на расстоянии r от центра Земли, равна $F = -mg(R_3^2/r^2)$, где R_3 — радиус Земли. (Знак «минус» указывает направление силы.) Подстановка этого выражения в (6-12) дает

$$U - U_3 = -\int_{R_3}^{r} \left(\frac{-mgR_3^2}{r^2}\right) dr;$$

здесь U_3 — потенциальная энергия тела на поверхности Земли. Проводя интегрирование, получаем

$$U - U_3 = mgR_3^2 \int_{R_3}^{r} r^{-2}\, dr = mgR_3^2 \left[-\frac{1}{r}\right]_{R_3}^{r},$$

$$U - U_3 = mgR_3^2 \left(\frac{1}{R_3} - \frac{1}{r}\right) \quad (\textit{гравитационная потенциальная энергия на расстоянии } r \textit{ от поверхности Земли}). \qquad (6\text{-}14)$$

Выражение (6-14) описывает работу, необходимую для перемещения тела массой m на высоту h над поверхностью Земли, причем $h = r - R_3$. Заметим, что для перемещения такого тела на бесконечно большое расстояние от Земли потребуется работа

$$U - U_3 = mgR_3^2 \left(\frac{1}{R_3} - \frac{1}{\infty}\right) = mgR_3.$$

Этот результат иллюстрируется рис. 6-10. Вблизи поверхности Земли $R_3/r \approx 1$, и в этом случае мы имеем выражение

$$U - U_3 = mgR_3^2 \left(\frac{r - R_3}{R_3 r}\right) = mg\frac{R_3}{r}h,$$

$$U - U_3 \approx mgh. \qquad (6\text{-}15)$$

Пример 8. Какизменяется гравитационная потенциальная энергия тела внутри Земли и чему она равна в ее центре?

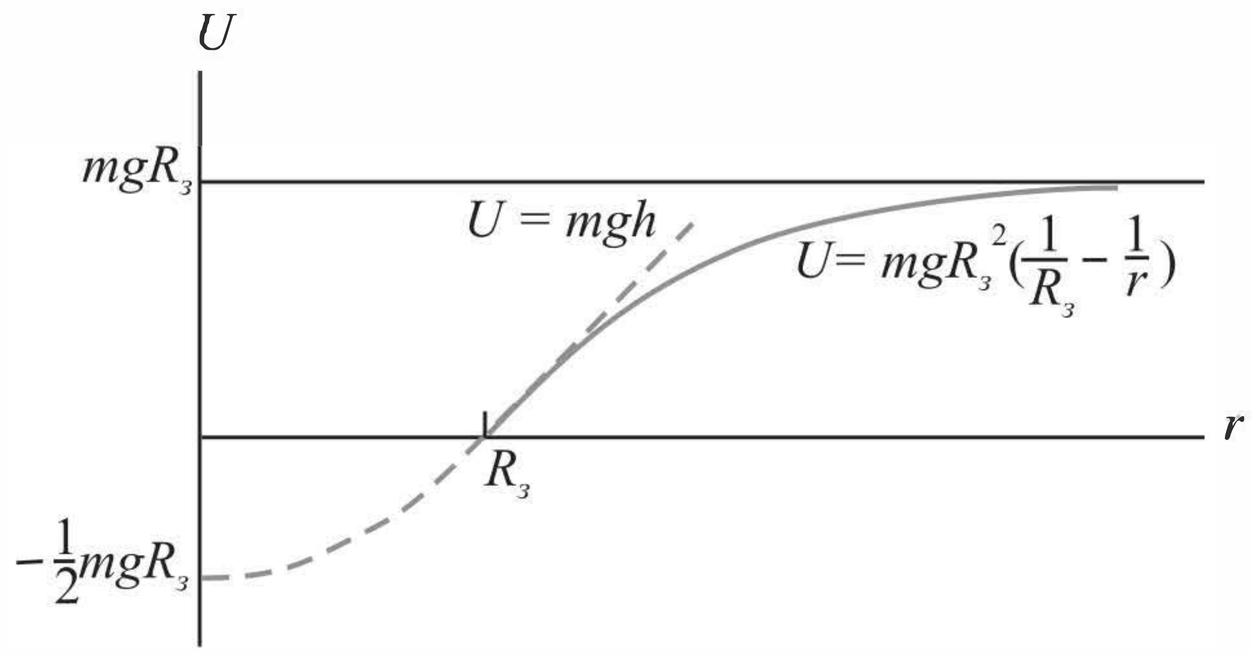


Рис. 6-10. Зависимость гравитационной потенциальной энергии от расстояния до центра Земли (энергия отсчитывается от поверхности Земли). Штриховой линией показана потенциальная энергия внутри Земли

Решение: В соответствии с выражением (5-10) внутри Земли $F = -mgr/R_З$. Тогда

$$U - U_З = -\int_{R_З}^{r}\left(-mg\frac{r}{R_З}\right)dr = \frac{mg}{R_З}\int_{R_З}^{r} r\,dr =$$

$$= \frac{mg}{R_З}\left[\frac{r^2}{2}\right]_{R_З}^{r},$$

$$U - U_З = -\frac{mg}{2R_З}\left(R_З^2 - r^2\right).$$

На рис. 6-10 штриховой линией показана кривая, построенная в соответствии с этим выражением. При $r = 0$

$$U - U_З = -\frac{1}{2}mgR_З.$$

На рис. 6-10 потенциальная энергия тела на поверхности Земли принята равной нулю. Однако с тем же основанием можно выбрать за нулевую потенциальную энергию в центре Земли или при $r = \infty$, как мы и поступим в следующем параграфе. Положение в пространстве, в котором потенциальная энергия полагается равной нулю, является произвольным. В следующей главе мы покажем, что физический смысл имеет только изменение потенциальной энергии.

§ 8. Потенциальная энергия пружины

На рис. 6-11 показана свободная (нерастянутая) пружина. Поместим в конце пружины начало координат. Согласно закону Гука, создаваемая пружиной консервативная сила равна $F = -kx$, где k — коэффициент упругости пружины. Знак «минус» указывает на то, что при растяжении пружина тянет влево. Если же пружину сжать, то x окажется отрицательной величиной и пружина будет давить вправо. Положим $U = 0$ при $x = 0$ и используем формулу (6-12):

$$U = -\int_0^x (-kx)dx = k\int_0^x x\,dx,$$

$$U = \frac{kx^2}{2} \quad (\textit{потенциальная энергия пружины}). \qquad (6\text{-}16)$$

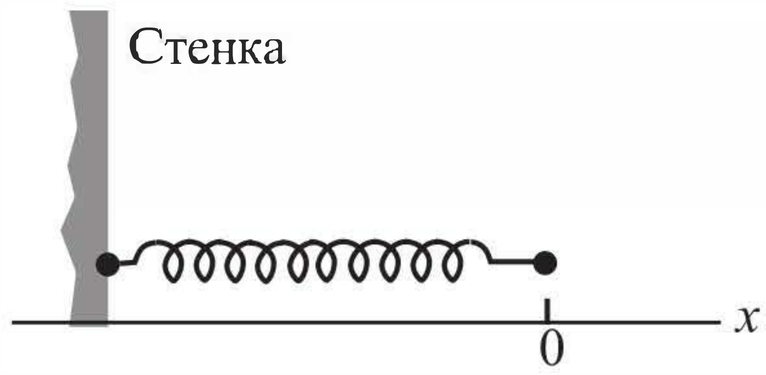
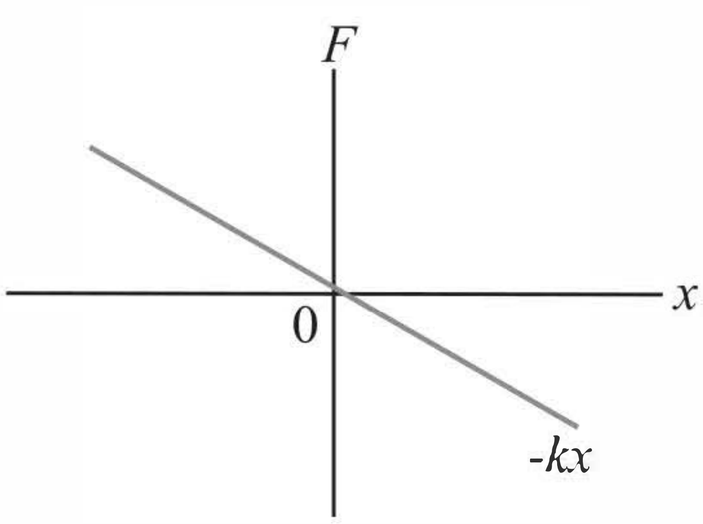
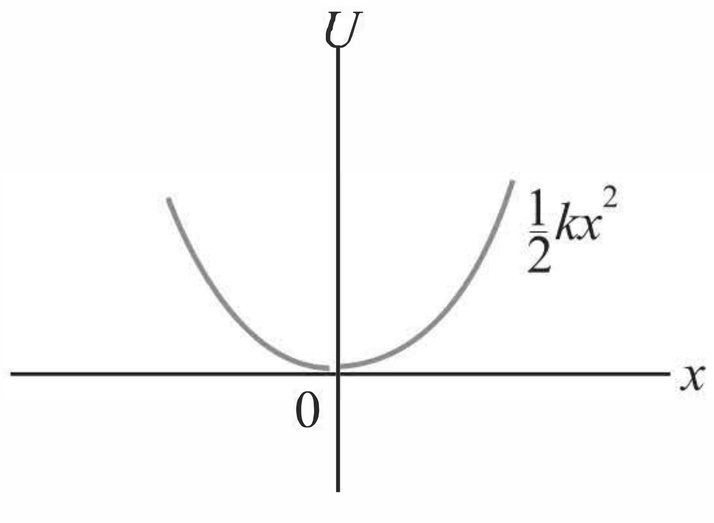


Рис. 6-11. Свободная пружина

На рис. 6-12, *б* приведена зависимость, построенная в соответствии с этим выражением, а на рис. 6-12, *а* приведен график соответствующей силы.



(а)



(б)

Рис. 6-12. *а* — зависимость силы от координаты *x* для пружины на рис. 6-11; *б* — соответствующая потенциальная энергия

Основные выводы

Работа *W*, совершаемая силой *F* при перемещении тела из точки *A* в точку *B*, дается выражением

$$W \equiv \int_A^B \mathbf{F} \cdot d\mathbf{s}.$$

Она измеряется в ньютонах на метр или джоулях; действующая на тело сила в 1 Н при перемещении тела на 1 м в направлении действия силы совершает работу в 1 Дж. Мощность — это скорость, с которой производится работа или передается энергия:

$$P = dW/dt.$$

Скалярное произведение двух векторов определяется следующим образом:

$$\mathbf{A} \cdot \mathbf{B} \equiv AB \cos \alpha,$$

где α — угол между этими векторами.

Кинетическая энергия:

$$K \equiv \frac{1}{2} mv^2.$$

Теорема о связи работы и энергии:

$$\int_A^B \mathbf{F}_{\text{рез.}} \cdot d\mathbf{s} = K_B - K_A.$$

Если **F** — консервативная сила (или векторная сумма консервативных сил), то приращение потенциальной энергии

$$U_B - U_A = -\int_A^B \mathbf{F} \cdot d\mathbf{s}.$$

Для консервативных сил этот интеграл не зависит от пути. Сила трения является неконсервативной. Действующие на тело неконсервативные силы приводят к возникновению тепловой энергии.

Гравитационная потенциальная энергия массы *m*, взаимодействующей со сферической массой *M*, записывается в виде

$$U = GMm\left(\frac{1}{R} - \frac{1}{r}\right),$$

где *R* — радиус сферы, причем $U = 0$ при $r = R$. Положение в пространстве, в котором *U* полагается равной нулю, можно выбирать произвольно.

Упражнения

1. В 1980 г. в США в год потреблялось около $7{,}5 \cdot 10^{15}$ Btu энергии (Btu — британская тепловая единица, 1 Btu = 1055,8 Дж, 1 Btu/ч = 0,293 Вт). В солнечный день на Землю падает в среднем около 1000 Вт/м^2 солнечной энергии. Если территория США равна $8 \cdot 10^6$ км^2, то какую часть вся потребляемая энергия составляет от энергии, приходящей от Солнца?

2. Человек медленно передвигает тело массой 10 кг в горизонтальном направлении на расстояние 5 м. Какую работу совершает человек над этой массой?

3. Искусственный спутник Земли массой 100 кг находится на круговой орбите радиусом $R = 7000$ км.
   а) Какую работу производит сила притяжения Земли, когда спутник проходит половину орбиты?
   б) Пусть орбита слегка эллиптична и на половине орбиты ее радиус возрастает на 10 км. Какова совершаемая теперь работа? Отрицательна она или положительна?

4. Автомобиль массой 1 т начинает движение из состояния покоя с постоянным ускорением 100 м/с^2. Какую мощность должен развивать двигатель
   а) в момент старта?
   б) спустя 1 с?
   в) спустя 10 с?
   г) Чему равна скорость через 10 с?

5. Ежегодно США потребляет около $7{,}5\cdot10^{15}$ Btu энергии (1 Btu/ч = 0,293 Вт). Если бы эта энергия потреблялась равномерно, то какую бы мощность это составило в мегаваттах (МВт)?

6. Пусть длина свободной пружины x_0. Сила F_1 растягивает пружину до длины $x_1 > x_0$. Затем происходит дальнейшее растяжение до $x_2 > x_1$. Какая работа совершается при растяжении пружины от x_1 до x_2? Ответ выразите через F_1, x_0, x_1 и x_2.

7. Потенциальная энергия тела $U = Ax^2$. Найдите силу, которая действует на тело.

8. Предполагая, что плотность Земли постоянна, определите, чему равна потенциальная энергия массы m на поверхности Земли по отношению к ее центру (положительная она или отрицательная и равна ли она GM_3m/R_3, $mgR_3/2$, mgR_3 или ни одному из этих выражений). Чему равна потенциальная энергия массы m на поверхности Земли по отношению к бесконечности (положительна она или отрицательна, описывается ли одним из этих выражений: $mgR_3/2$, mgR_3, $2mgR_3$ и каким именно)? Какова потенциальная энергия массы m в центре Земли по отношению к бесконечности? На какой из множителей нужно умножить mgR_3: 1/2, 1, 1,5, 2 или 3?

9. Спальня размерами 4×4×2,5 м наглухо закрыта. Два человека спят в ней в течение 8 ч. Израсходуют ли они весь кислород? Если нет, то какой процент? Первоначальная плотность кислорода 0,26 кг/м^3. Каждый человек в процессе сна генерирует 90 Вт тепловой энергии, причем на каждые 10^4 Дж расходуется 1 г кислорода. Необходима ли в этих условиях вентиляция?

10. Свободная пружина длиной x_0 растягивается до длины x_1, при которой развиваемая пружиной сила равна F_1. Какая работа совершается над пружиной?

11. Заряженное тело массой 5 г перемещается вправо из точки A в точку B. Пусть на тело действует постоянная электростатическая сила $2\cdot10^{-5}$ Н, направленная влево. Какую работу следует совершить для перемещения тела, если расстояние между точками A и B равно 1,5 м? Возрастает или убывает потенциальная энергия тела?

12. Ракета для фейерверка движется со скоростью 5 м/с. Предположим, что при взрыве она разделяется на два осколка с одинаковыми массами. Если скорость одного осколка непосредственно после взрыва равна нулю, то каково отношение конечной кинетической энергии к начальной?

13. Игрушечный поезд массой 1,2 кг тянут с постоянной силой 10^{-3} Н. Поезд трогается и идет вначале с ускорением, а затем достигает постоянной скорости v_0. Чему равна величина v_0, если ежесекундно совершается работа $5\cdot10^{-4}$ Дж?

14. При движении двигатель автомобиля развивает механическую мощность 50 л. с.; энергия потребляемого ежесекундно горючего в 5 раз больше. Предположим, что то же количество энергии горючего приводит в действие электрогенератор с КПД = 90 %. Сколько киловатт электроэнергии было бы произведено? Если в типичном доме расходуется в среднем около 3 кВт электроэнергии, то скольким

домам эквивалентен автомобиль по расходу энергии?

Задачи

15. Пусть действующая на частицу сила возрастает пропорционально квадрату расстояния от начальной точки (т. е. $F = kx^2$). Насколько увеличится потенциальная энергия частицы при ее перемещении из точки $x = 0$ в точку $x = x_1$?

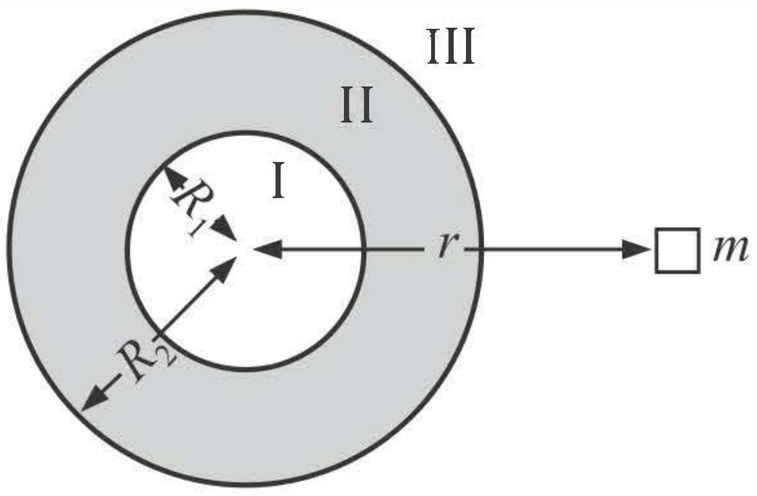
16. Потенциальная энергия частицы равна $U = A/r = A\,(x^2 + y^2 + z^2)^{-1/2}$. Чему равны действующие на эту частицу составляющие силы F_x, F_y и F_z?

17. Рассмотрим полую сферу с внутренним радиусом R_1 и внешним R_2. Потенциальная энергия массы m, помещенной в центре сферы, равна нулю, а масса полой сферы M.

а) Чему равна потенциальная энергия U массы m, расположенной на расстоянии r от центра в области I?

б) То же для области II.

в) То же для области III.



18. Если $U = A/r^2 = A/(x^2 + y^2 + z^2)$, то чему равны F_x, F_y и F_z?

19. На какое расстояние должна опуститься масса 1 кг, чтобы ее кинетическая энергия увеличилась на 100 Дж? Сколько времени потребуется для этого? Зависят ли ответы на оба вопроса от начальной скорости?

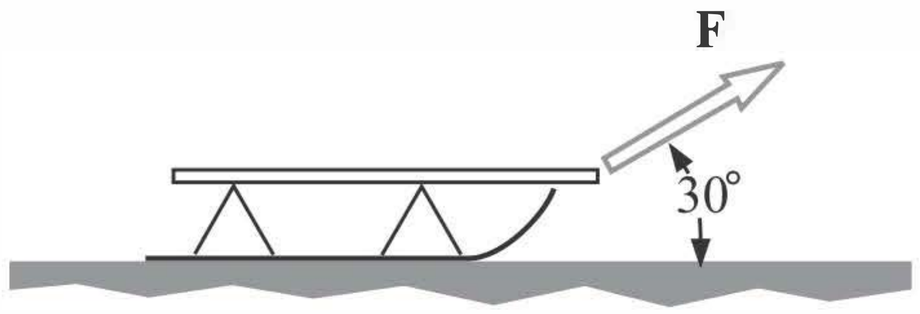
20. Мальчик тянет санки, имеющие массу 5 кг, с постоянной скоростью 0,5 м/с и силой 10 Н под углом 30° к горизонту.

а) Какова (в Н) сила трения?

б) Какова (в Н) вертикальная составляющая силы, действующей на санки со стороны Земли?

в) Чему равен динамический коэффициент трения?

г) Чему равна скорость потери энергии за счет трения?



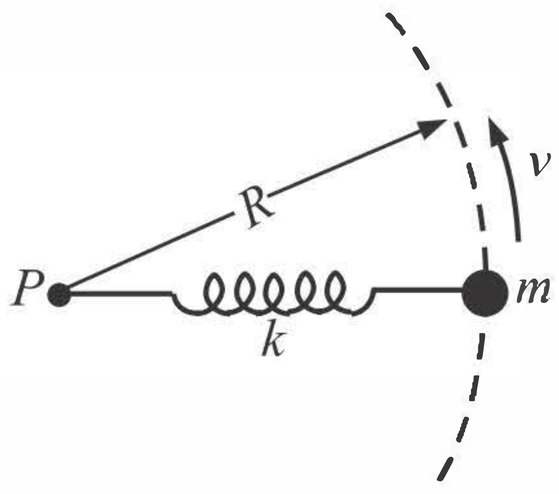
21. Автомобиль массой 1500 кг движется со скоростью 32 м/с по ровному шоссе. Водитель сбрасывает газ, и за 3 с автомобиль тормозится до скорости 28 м/с.

а) Какова результирующая сила трения, действующая на автомобиль?

б) Какую мощность (в Вт) должен развивать двигатель, чтобы автомобиль двигался со скоростью 30 м/с?

в) Если бензиновое горючее обеспечивает $8 \cdot 10^6$ Дж/л механической энергии, то какое расстояние может пройти автомобиль на одном литре такого горючего со скоростью 30 м/с?

22. Мяч массой m прикреплен к пружине, которая другим концом неподвижно закреплена в точке P, как показано ниже на рисунке, причем пружина не может изгибаться.

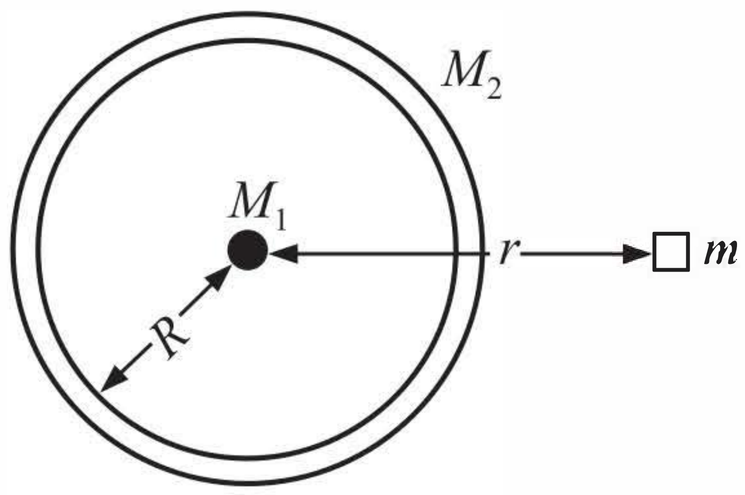


Мяч движется по окружности радиусом R в горизонтальной плоскости с угловой скоростью ω (рад/с). Коэффициент упругости пружины равен k. Считая пружину не имеющей массы, а плоскость, по которой движется мяч, идеально гладкой (без трения), вычислите

а) натяжение пружины в точке прикрепления к массе m, если $m = 1$ кг, $\omega = 1$ рад/с и $R = 1{,}0$ м;

б) коэффициент упругости пружины k, если длина сжавшейся пружины 0,9 м;
в) новый радиус движения мяча (с точностью до 1 %), если мяч и пружина вращаются с угловой скоростью $\omega = 2$ рад/с;
г) работу, которую необходимо совершить над мячом и пружиной, чтобы увеличить ω с 1 до 2 рад/с.

23. Материальная точка M_1 расположена в центре тонкой сферической оболочки, имеющей массу M_2 и радиус R. Масса m перемещается из бесконечности на расстояние r от центра.



а) Чему равна потенциальная энергия этой массы (по отношению к бесконечности), если $r > R$?
б) Тот же вопрос, если $r < R$.

24. Твердая сфера с плотностью ρ и радиусом r имеет массу $m = (4/3)\,\pi r^3\rho$. Если добавить к ней массу $dm = 4\pi r^2\rho dr$ в виде оболочки толщиной dr, то изменение потенциальной энергии запишется в виде

$$dU = -G\frac{m\,dm}{r} = -G\frac{(4/3)\left(\pi r^3\rho\right)\left(4\pi r^2\rho\,dr\right)}{r}.$$

Покажите, что гравитационная потенциальная энергия твердой сферы радиусом R и массой M равна $U = -(3/5)\,GM^2/R$. (Величина $-U$ равна работе, которую необходимо совершить, чтобы разделить сферу на элементы dm и удалить их на бесконечное расстояние.)

7

Закон сохранения энергии

Закон сохранения энергии — один из центральных принципов всей физики и техники. Этот закон налагает строгие ограничения на возможности извлечения энергии и ее преобразования из одной формы в другую.

Закон сохранения энергии запрещает существование вечных двигателей типа водяного колеса, изображенного на рис. 7-1, в которых замкнутая система непрерывно «поставляет» механическую энергию наружу. Веками люди пытались изобрести подобные машины. И по сей день предпринимаются попытки создать «вечные двигатели»; «не верующие» в закон сохранения энергии предлагают различные сложные комбинации шкивов, блоков, падающих и плавающих грузов



Рис. 7-1. «Водопад» М. К. Эшера (литография, 1961). По словам художника, «падающая вода приводит в движение мельничное колесо, затем протекает по наклонному каналу между двумя башнями и после нескольких зигзагов вновь подходит к началу водопада. Мельнику необходимо лишь время от времени добавлять ведерко воды, чтобы покрыть затраты на испарение». Затем Эшер переходит к анализу зрительной иллюзии, на которой основан рисунок. [*Печатается с разрешения Эшеровского фонда Гементемузеума в Гааге.*]

и т. п. Как видно из рис. 7-1, вечное движение проще осуществить на бумаге, чем в действительности.

§ 1. Сохранение механической энергии

Рассмотрим прежде всего случай, когда на тело действует единственная консервативная сила F. Тогда эта консервативная сила является результирующей, и мы можем применить формулу (6-10):

$$\int_A^B \mathbf{F}_{\text{рез.}}\, d\mathbf{s} = K_B - K_A.$$

В соответствии с определением потенциальной энергии (6-12) левая часть этого выражения равна $-(U_B - U_A)$, т. е. равна изменению (со знаком «минус») потенциальной энергии. Подставляя это выражение, имеем

$$-(U_B - U_A) = K_B - K_A,$$

или

$$K_A + U_A = K_B + U_B \text{ (}\textit{сохранение механической энергии}\text{).} \quad (7\text{-}1)$$

Уравнение (7-1) выражает закон сохранения механической энергии применительно к телу, находящемуся под действием консервативной силы, которой соответствует потенциальная энергия U. Из него следует, что сумма кинетической и потенциальной энергий такого тела остается постоянной, если на тело не действуют другие силы.

Пример 1. Масса m прикреплена к концу не имеющей массы* пружины с коэффициентом упругости k (рис. 7-2). Пружина растянута до длины x_0. Если пружину отпустить, то какой будет максимальная скорость массы?

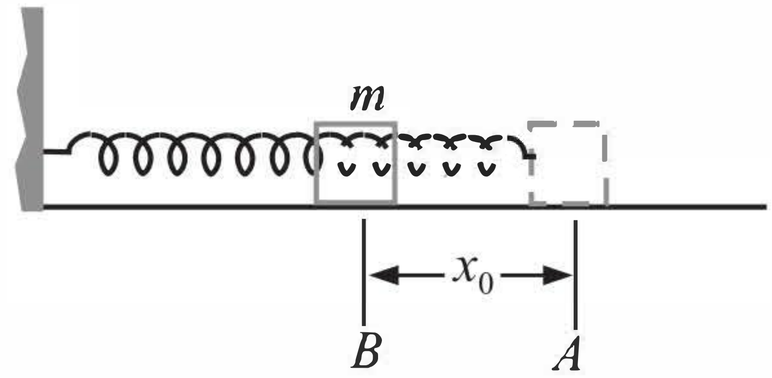


Рис. 7-2. Пружина удлиняется из точки B до точки A и затем освобождается

Решение: До того как пружину отпустили, кинетическая энергия массы m была равна нулю, а потенциальная энергия $U_A = (1/2)k x_0^2$ [см. выражение (6-16)]. Пусть точка A соответствует растянутому положению; тогда $K_A = 0$, и из выражения (7-1) мы имеем

$$0 + (1/2)kx_0^2 = (1/2)mv_B^2 + U_B.$$

Максимальную скорость масса m приобретает, когда $U_B = 0$. В этом случае $v_B = v_{\text{макс.}}$, и написанное выше выражение принимает вид

$$0 + (1/2)kx_0^2 = (1/2)mv_{\text{макс.}}^2 + 0,$$

откуда

$$v_{\text{макс.}}^2 = \sqrt{k/m}\, x_0.$$

Закон сохранения механической энергии можно использовать для нахождения конечных (или начальных) скоростей в системах, где зависимость силы от времени оказывается сложной или ее трудно вычислить. Рассмотрим два примера.

Пример 2. Масса m подвешена на нити длиной l (рис. 7-3, a). Какую скорость нужно сообщить этой массе, чтобы она смогла только-только достичь верхней точки траектории?

Решение: Обозначим верхнюю точку траектории B. При прохождении этой точки цент-

---

* Здесь и далее слова «не имеющий массы» по отношению к пружине, стержню, блоку, нити и т. п. следует понимать как пренебрежение этой массой по сравнению с другими массами в данной задаче. — *Прим. ред.*

ростремительное ускорение должно быть равно ускорению свободного падения g:

$$v_B^2/l = g, \quad \text{или} \quad v_B^2 = gl.$$

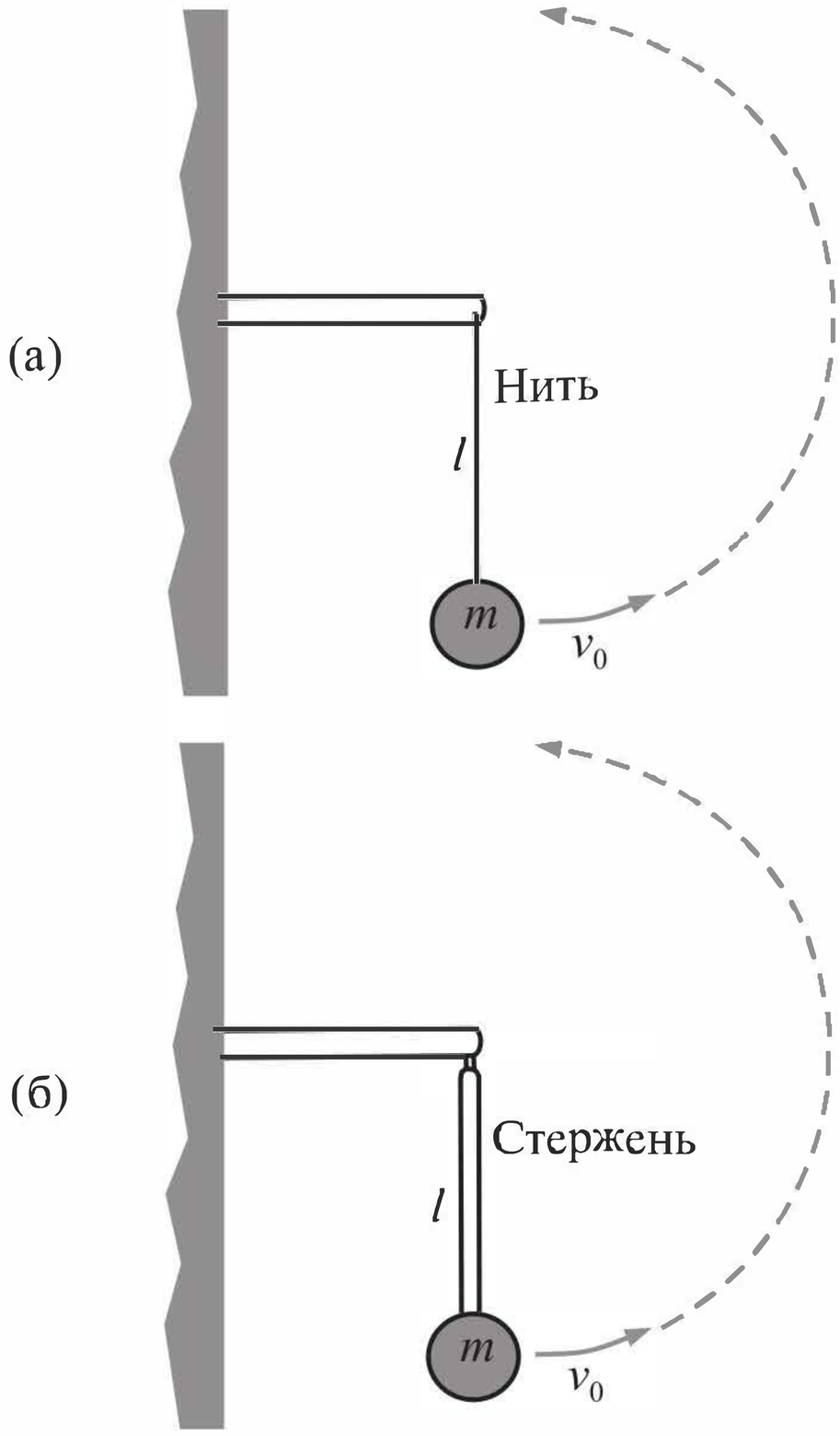


Рис. 7-3. *а* — масса m подвешена на нити длиной l; *б* — масса m подвешена на не имеющем массы стержне длиной l

Тогда $K_B = (1/2)mv_B^2 = (1/2)m(gl)$ и $U_B = mg(2l)$. Сумма этих энергий должна быть равна начальной кинетической энергии $(1/2)mv_0^2$. (Начальная потенциальная энергия равна нулю.) Таким образом,

$$(1/2)mv_0^2 = (1/2)mgl + 2mgl,$$

откуда

$$v_0^2 = 5mgl, \quad \text{или} \quad v_0 = \sqrt{5gl}.$$

Пример 3. Повторите решение примера 2 для случая, когда масса m подвешена не на нити, а на жестком и не имеющем массы стержне (рис. 7-3, *б*).

Решение: В этом случае стержень обеспечивает опору массы против силы тяжести, так что скорость v_B может быть равна нулю в верхней точке траектории. Тогда в точке B имеем $K_B = 0$, $U_B = 2mgl$ и

$$(1/2)mv_0^2 = 0 + 2mgl, \text{ или } v_0 = 2\sqrt{gl}.$$

Заметим, что если в верхней точке отпустить массу m, то мы получим в обратном порядке тот же результат. Скорость в нижней точке окажется равной $2\sqrt{gl}$. Поэтому этот результат применим и к аттракциону «ракета», описанному в примере 7 гл. 5.

Может существовать несколько источников потенциальной энергии тела. В этом случае полная потенциальная энергия представляет собой сумму отдельных вкладов. Например, в случае с телом массой m, подвешенным на пружине, имеем

$$U = mgy + (1/2)\,k\,(y - y_0)^2;$$

здесь y — высота тела над поверхностью Земли, y_0 — высота, при которой сила, действующая со стороны пружины, обращается в нуль. Этот случай мы рассмотрим в следующем примере.

---

* **Пример 4.** Покажите, что благодаря страховочной веревке альпинист может уцелеть при падении с любой высоты; иными словами, наибольшее мгновенное ускорение альпиниста не превысит $25g$. Мы будем рассматривать нейлоновую веревку как пружину, подчиняющуюся закону Гука, пока растяжение веревки не превышает 25 % ее длины (после этого веревка рвется). Альпинист выбирает веревку, у которой максимальное натяжение до разрыва в 25 раз превышает его собственный вес ($F_B = 25mg$).

Решение: Поскольку $F_B = k(0{,}25l)$, коэффициент упругости k можно вычислить следующим образом:

$$k = \frac{F_B}{0{,}25l} = \frac{25mg}{0{,}25l} = 100\frac{mg}{l}.$$

Пусть альпинист начинает падать, когда расстояние над ближайшим местом закрепления веревки равно l, как показано на рис. 7-4. Тогда длина свободного падения альпиниста составит $2l$. Пусть $y_{\text{макс.}}$ — максимальное растяжение веревки, при котором скорость альпиниста обратится в нуль. В этой точке потенциальная энергия альпиниста дается выражением

$$U_B = mg\left(h - l - y_{\text{макс.}}\right) + \frac{1}{2}ky_{\text{макс.}}^2.$$

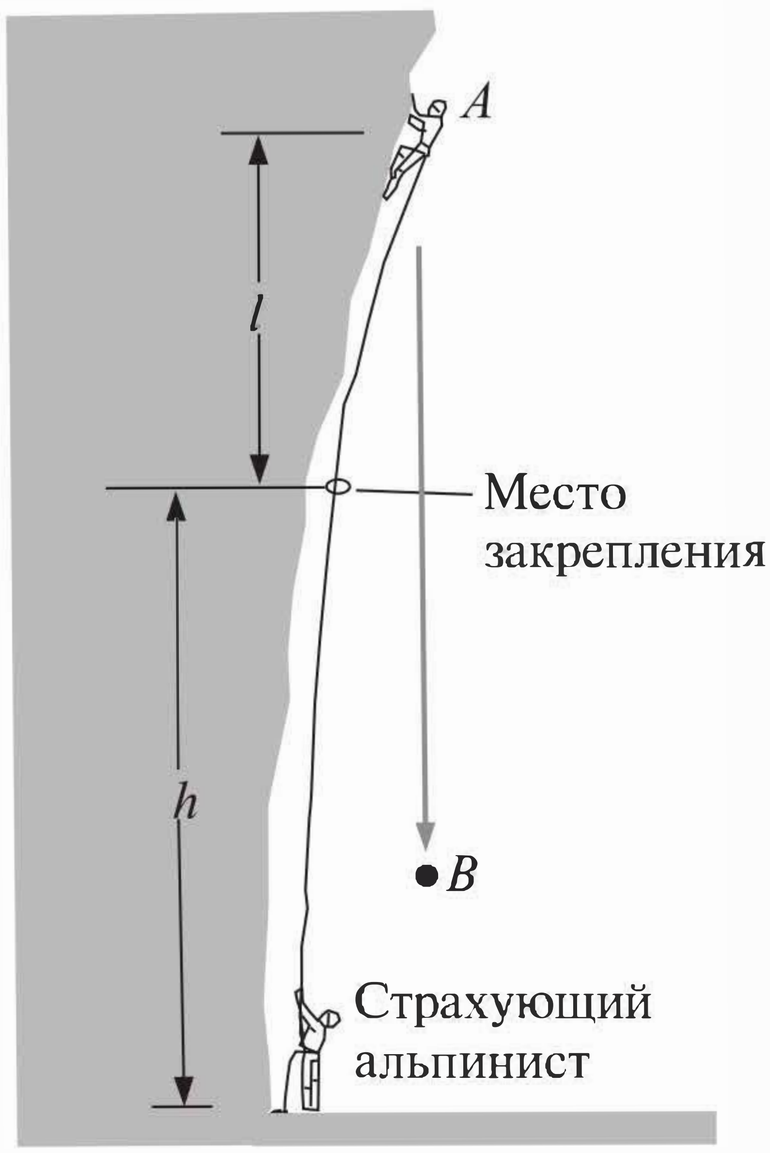


Рис. 7-4. Альпинист пролетает из точки A расстояние $2l$, после чего веревка растягивается и альпинист пролетает расстояние $y_{\text{макс.}}$, достигая точки B. Веревку держит страхующий альпинист, и она неподвижна в месте закрепления

Непосредственно перед падением потенциальная энергия альпиниста была

$$U_A = mg(h + l).$$

Поскольку в точках A и B кинетическая энергия равна нулю, имеем

$$U_A = U_B,$$

т. е.

$$mg(h+l) = mg\left(h - l - y_{\text{макс.}}\right) + \frac{1}{2}ky_{\text{макс.}}^2.$$

Подставим теперь вместо k величину $100mg/l$:

$$mgl = -mgl - mgy_{\text{макс.}} + \frac{1}{2}\left(100\frac{mg}{l}\right)y_{\text{макс.}}^2,$$

$$0 = 50y_{\text{макс.}}^2 - ly_{\text{макс.}} - 2l^2.$$

Решение последнего уравнения дает $y_{\text{макс}} = 0{,}21l$, что не выходит за границы, отвечающие разрыву $(0{,}25l)$. Используя второй закон Ньютона и полагая $F_{\text{рез.}} = ky_{\text{макс.}} - mg$, можно найти максимальное ускорение:

$$ma_{\text{макс.}} = ky_{\text{макс.}} - mg,$$

откуда

$$a_{\text{макс.}} = \frac{ky_{\text{макс.}}}{m} - g = \frac{(100mg/l)(0{,}21l)}{m} - g = 20g.$$

Заметим, что результат не зависит от высоты падения. Таким образом, если альпинист сорвется с выступа, то он, по всей вероятности, останется жив (хотя, возможно, переломает ребра). Более серьезная опасность в том, что при падении он может задеть за выступы скал.

Закон сохранения механической энергии был получен нами для системы, содержащей только одно тело или одно тело и «неподвижную» Землю. Однако этот закон носит гораздо более общий характер и применим для всех замкнутых консервативных сил. Под замкнутой мы понимаем систему, в которой отсутствуют любые внешние силы, тогда как консервативность означает, что все силы взаимодействия в системе консервативны

и могут быть, следовательно, выражены через потенциальную энергию.

Пусть $K_t \equiv \sum_{j=1}^{N} K_j$ — полная кинетическая энергия всех частиц в замкнутой системе. Как показано в приложении к этой главе,

$(K_t)_1 + U_1 = (K_t)_2 + U_2$ (*сохранение механической энергии в замкнутой системе*);

здесь U_1 и U_2 — потенциальная энергия системы в моменты времени t_1 и t_2 соответственно.

Предыдущее уравнение утверждает, что сумма кинетической и потенциальной энергий в момент времени t_1 равна сумме тех же величин в другой момент времени t_2. Обычно это постоянное значение энергии обозначается символом E:

$$E = \sum K_j + U = \text{const} \quad (\textit{сохранение энергии замкнутой системы частиц}). \qquad (7\text{-}2)$$

Согласно этому соотношению, сумма кинетической и потенциальной энергий всех тел в Солнечной системе (или в любой другой замкнутой системе) остается постоянной независимо от типа взаимодействий и столкновений, происходящих между телами в системе.

§ 2. Соударения

При соударении двух твердых тел в точке соприкосновения очень быстро возникают огромные силы реакции. Обычно эти силы столь велики, что в точке соприкосновения оба тела испытывают мгновенную деформацию. Большие, но кратковременные силы реакции приводят к изменению направлений и величин скоростей тел.

Импульс силы

Величину сил реакции, возникающих при соударении, можно вычислить с помощью импульса силы I. Сообщаемый телу за время от t_1 до t_2 импульс силы определяется как

$$\mathbf{I} \equiv \int_{t_1}^{t_2} \mathbf{F}\,dt \quad (\textit{определение импульса силы}). \qquad (7\text{-}3)$$

Импульс силы можно связать с изменением импульса (количества движения) тела, заменив силу $\mathbf{F}$ на $d\mathbf{P}/dt$:

$$\mathbf{I} = \int \left(\frac{d\mathbf{P}}{dt}\right) dt = \int d\mathbf{P} = \mathbf{P}_2 - \mathbf{P}_1.$$

Следовательно,

$$\int_{t_1}^{t_2} \mathbf{F}\,dt = \mathbf{P}_2 - \mathbf{P}_1. \qquad (7\text{-}4)$$

Пример 5. Движущийся со скоростью 72 км/ч (120 м/с) автомобиль массой 1,5 т сталкивается с деревом. За время 0,03 с он полностью останавливается и при этом получает вмятину глубиной 30 см. Чему равна средняя сила, действующая на автомобиль в течение этого времени?

Решение: По определению произведение средней силы $\bar{F}$ на время соударения Δt есть импульс силы. Таким образом,

$$\bar{F}\Delta t = P_2 - P_1 = mv,$$

$$\bar{F} = \frac{mv}{\Delta t} = \frac{\left(1{,}5\cdot 10^3\right)(20)}{3\cdot 10^{-2}}\ \text{Н} = 1{,}0\cdot 10^6\ \text{Н}.$$

Найденное значение силы в 70 раз превышает вес автомобиля.

Пример 6. Во время соударения, описанного в примере 5, пассажир массой 80 кг удерживается ремнями безопасности шириной 5 см и толщиной 2 мм. Прочность материала ремней на разрыв составляет $5 \cdot 10^8$ Н/м^2. Не разорвутся ли ремни при соударении?

Решение: Средняя сила, действующая на ремни безопасности во время соударения, связана с изменением импульса пассажира:

$$\bar{F}\Delta t = 0 - mv,$$

откуда

$$\bar{F} = -\frac{mv}{\Delta t} = -\frac{(80)(20)}{3 \cdot 10^{-2}}\ \text{Н} = -5{,}33 \cdot 10^4\ \text{Н}.$$

Средняя сила, действующая с каждой стороны ремня безопасности, примерно вдвое меньше, т. е. равна $2{,}67 \cdot 10^4$ Н/м^2.

Площадь поперечного сечения ремней составляет 5 см $\times$ 0,2 см = 1 см^2; таким образом, приходящаяся на единицу площади сила равна $2{,}67 \cdot 10^8$ Н/м^2. Это лишь немногим больше половины прочности ремней на разрыв, так что при таком соударении ремни безопасности выдержат.

Если бы при столкновении, описанном в примерах 5 и 6, не использовались ремни безопасности, то пассажир ударился бы головой о ветровое стекло. Время этого столкновения было бы, по-видимому, в 100 раз меньше, чем время остановки автомобиля. Поскольку средняя сила пропорциональна $1/\Delta t$, пассажир получил бы серьезную травму.

Обсуждение понятия импульса силы мы завершим замечанием о том, что во время соударения двух тел импульсы силы должны быть равны по величине и противоположны по направлению в соответствии с третьим законом Ньютона. Тогда в соответствии с (7-4) изменение импульса одного тела будет равно по величине изменению импульса второго тела. По существу, это лишь иная формулировка закона сохранения импульса.

Упругие соударения

Соударения между телами могут быть как упругими, так и неупругими. **При упругом соударении полная кинетическая энергия после соударения остается той же, что и до него.** При неупругом соударении происходит потеря кинетической энергии; обсуждение этого случая мы отложим до § 5, где будет введено понятие тепловой энергии.

Мы рассмотрим два типа упругих соударений: 1) лобовое и 2) соударение между телами равной массы в двух измерениях.

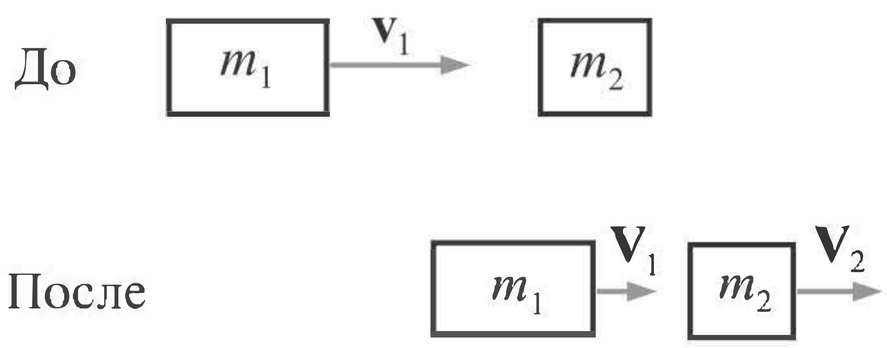


Рис. 7-5. Лобовое упругое соударение двух тел: m_1 и m_2 — массы, а V_1 и V_2 — скорости тел после соударения

Лобовое соударение иллюстрируется рис. 7-5. Начальные скорости масс m_1 и m_2 равны соответственно v_0 и нулю. Скорости сразу же после соударения равны V_1 и V_2. Необходимо выразить V_1 и V_2 через v_1. При наличии двух неизвестных нам потребуется система двух уравнений. Воспользуемся для этого условиями равенства кинетических энергий и полных импульсов до и после соударения:

$$(1/2)m_1 v_1^2 = (1/2)m_1 V_1^2 + (1/2)m_2 V_2^2$$
(*равенство кинетических энергий*), (7-5)

$$m_1 v_1 = m_1 V_1 + m_2 V_2 \text{ (}\textit{равенство импульсов}\text{)}. \quad (7\text{-}6)$$

Скорость V_2 мы получим, решая уравнение (7-6) относительно V_1 и подставляя результат в уравнение (7-5). Это дает

$$V_2 = \frac{2m_1}{m_1 + m_2} v_1. \qquad (7\text{-}7)$$

Подставив выражение (7-7) в (7-6), получим

$$V_1 = \frac{m_1 - m_2}{m_1 + m_2} v_1.$$

Заметим, что в случае с одинаковыми массами $V_1 = 0$ и $V_2 = v_1$, т. е. массы обмениваются скоростями. Явление обмена скоростями объясняет поведение системы шаров, изображенной на рис. 7-6.

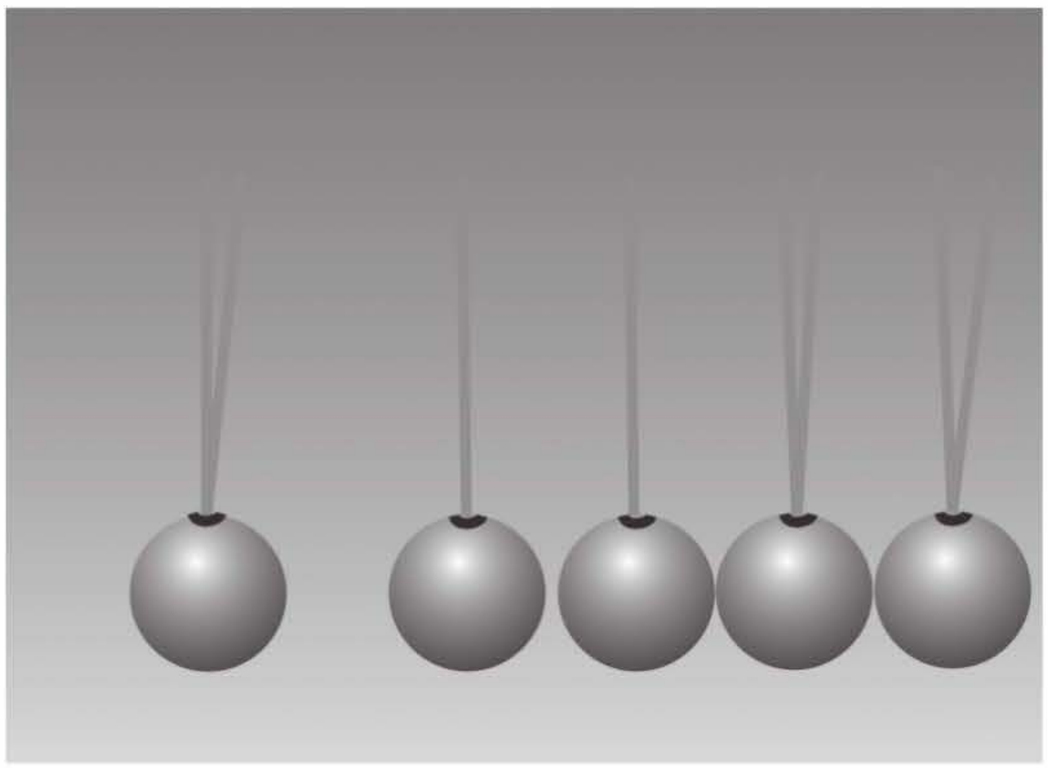
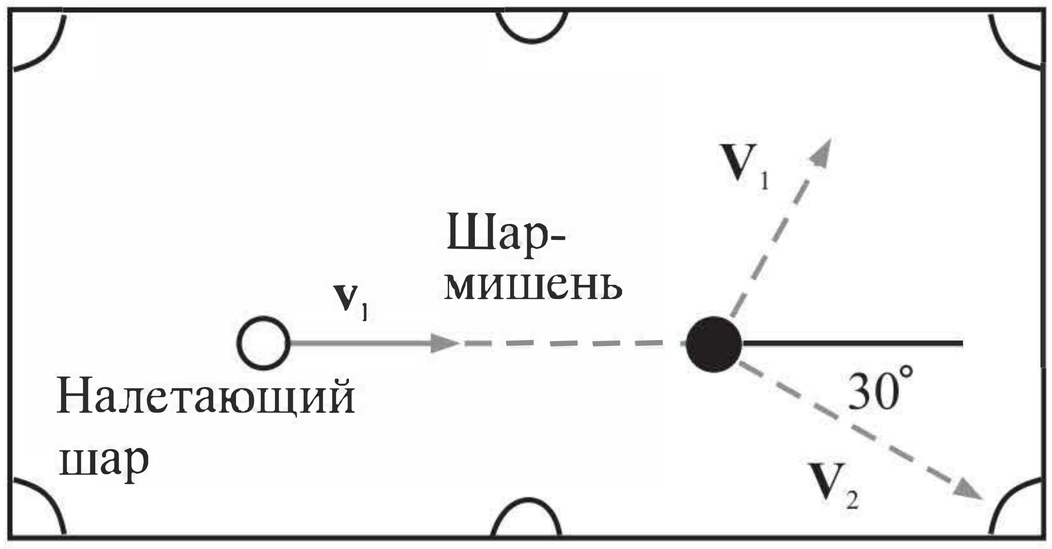
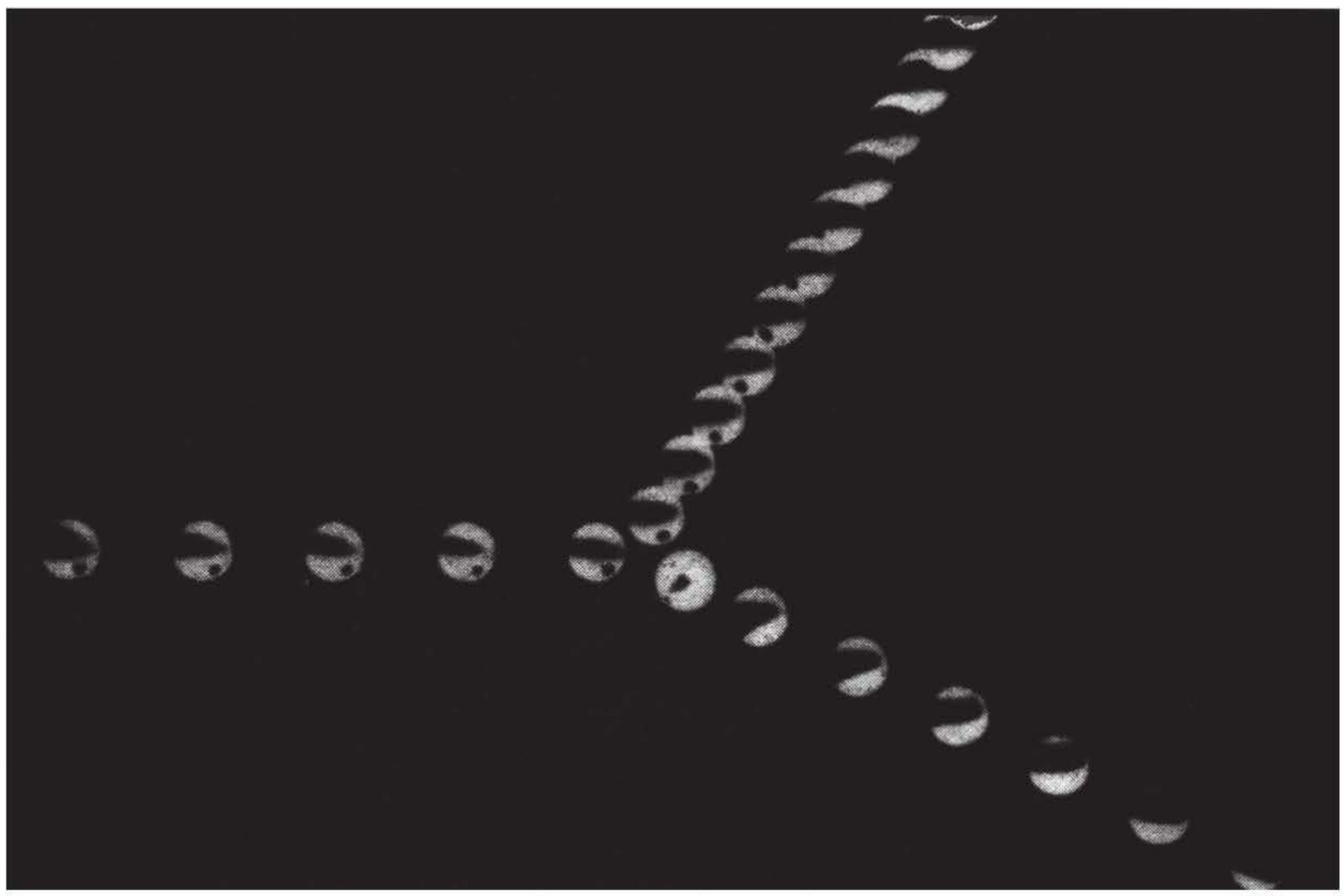


Рис. 7-6. Налетающий шар, ударяя по одному из шаров, обменивается скоростью последовательно со всеми шарами, пока его скорость не приобретает последний шар

В качестве второго примера упругих соударений рассмотрим задачу о бильярде (рис. 7-7). Задача в том, чтобы загнать



(а)



(б)

Рис. 7-7. *а* — бильярдный стол с двумя шарами. Под каким углом θ должен отлететь налетающий шар, чтобы шар-мишень попал в угловую лузу? *б* — стробоскопическая фотография такого соударения [*Фото печатается с разрешения Центра по развитию образования.*]

шар-мишень в боковую лузу. Если, как показано на рисунке, направление на лузу составляет 30° с направлением скорости налетающего шара $\mathbf{v}_1$, то каким будет угол θ отклонения этого шара? Мы пренебрежем трением шаров о поверхность бильярдного стола, а также возможным вращением шаров. Как и прежде, приравняем друг к другу кинетические энергии и разделим обе части полученного равенства на $(1/2)m$:

$$v_1^2 = V_1^2 + V_2^2. \qquad (7\text{-}8)$$

Закон сохранения импульса дает

$$\mathbf{v}_1 = \mathbf{V}_1 + \mathbf{V}_2.$$

Возводя в квадрат обе части этого равенства, получаем

$$v_1^2 = (\mathbf{V}_1 + \mathbf{V}_2)\cdot(\mathbf{V}_1 + \mathbf{V}_2) = \\ = \mathbf{V}_1^2 + 2\mathbf{V}_1\cdot\mathbf{V}_2 + \mathbf{V}_2^2,$$

или

$$v_1^2 = V_1^2 + V_2^2 + 2V_1V_2\cos\alpha; \qquad (7\text{-}9)$$

здесь α — угол между векторами $\mathbf{V}_1$ и $\mathbf{V}_2$. Вычитая (7-8) из (7-9), находим

$\cos\alpha = 0$ или $\alpha = 90°$.

Таким образом, мы доказали, что при любом упругом соударении двух одинаковых масс угол их разлета всегда будет составлять 90°. Следовательно, в обсуждаемой задаче (см. рис. 7-7) $\theta = 60°$.

§ 3. Сохранение гравитационной энергии

Вторая космическая скорость

Пусть снарядом, масса которого m, произведен выстрел вертикально вверх со скоростью v_1. На какую высоту поднимется снаряд? Сможет ли он покинуть Землю и уйти к $r = \infty$? Пусть на максимальной высоте расстояние снаряда до центра Земли равно r_2; при этом его кинетическая энергия обратится в нуль, т. е. $K_2 = 0$. Но в любой момент времени сумма $K + U$ должна оставаться постоянной. Таким образом, можно записать

$$(1/2)mv_1^2 + U_1 = 0 + U_2,$$

$$(1/2)mv_1^2 = U_2 - U_1.$$

Используя выражение (6-14) для U, получаем

$$(1/2)mv_1^2 = mgR_3^2\left(\frac{1}{R_3} - \frac{1}{r_2}\right). \qquad (7\text{-}10)$$

Отсюда находим максимальное расстояние, на которое улетит снаряд от центра Земли:

$$r_2 = \left(\frac{1}{R_3} - \frac{v_1^2}{2gR_3^2}\right)^{-1}$$

(напомним, что R_3 — радиус Земли). Из формулы (7-10) следует, что если скорость v_1 достаточно велика, то r_2 может стать бесконечным. Минимальная скорость, при которой тело массой m достигает бесконечности, называется второй космической скоростью v_0. Полагая в (7-10) $r_2 = \infty$, находим

$$\frac{v_0^2}{2} = gR_3^2\left(\frac{1}{R_3} - 0\right),$$

$v_0 = \sqrt{2}\sqrt{gR_3}$ (*вторая космическая скорость*). (7-11)

Напомним, что в соответствии с (3-11) величина $\sqrt{gR_3} = v_c$ характеризует первую космическую скорость, необходимую для выхода на низкую круговую орбиту. Из формулы (7-11) видно, что v_0 в $\sqrt{2}$ раз превышает v_c. Поскольку $v_c = 8$ км/с, вторая

космическая скорость $v_0 = 11{,}2$ км/с. Вычисляя ее, мы совсем не учитывали гравитационное поле Солнца (см. пример 7).

Пример 7. Чему должна быть равна вторая космическая скорость, чтобы тело вышло из Солнечной системы с расстояния $R_0 = 155$ млн км от Солнца (расстояние между Землей и Солнцем)? Выразите ответ через R_0 и T_0 (T_0 — время обращения Земли вокруг Солнца).

Решение: Скорость, с которой спутник движется вокруг Солнца на расстоянии R_0 от него, равна $v_c = 2\pi R_0/T_0$. Земля также является одним из спутников Солнца, причем $T_0 =$ $= 1$ год $= 3{,}15\cdot10^7$ с. Таким образом,

$$v_c = \frac{2\pi\cdot155\cdot10^6}{3{,}15\cdot10^7}\ \text{км/с} \approx 30\ \text{км/с}.$$

Вторая космическая скорость должна быть в $\sqrt{2}$ раз больше, т. е.

$$v_0 = \sqrt{2}\,\frac{2\pi R_0}{T_0} \approx 42\ \text{км/с}.$$

Пример 8. Какую скорость должна иметь ракета, чтобы она смогла попасть на Луну? Какую часть составляет эта скорость от v_0?

Решение: Расстояние от Земли до Луны составляет 60 земных радиусов R_3. Подставляя в формулу (7-10) $r_2 = 60R_3$, получаем

$$(1/2)v_1^2 = gR_3^2\,(1/R_3 - 1/60\,R_3),$$

$$v_1^2 = 2gR_3\,(59/60),$$

$$v_1 = \sqrt{59/60}\,\sqrt{2gR_3} = 0{,}992v_0.$$

Оказывается, что для удаления от Земли на расстояние 384 тыс. км необходима скорость, достигающая 99 % второй космической скорости.

Энергия движения по круговой орбите

В § 7 гл. 6 гравитационная потенциальная энергия измерялась относительно поверхности Земли. Это не очень удобно, если речь идет о других планетах или о Солнце. Для отсчета гравитационной потенциальной энергии необходимо найти общую точку в пространстве. Поэтому условились заменить в формуле (6-14) величину R_3 на ∞. Тогда гравитационная потенциальная энергия тела массой m, расположенного на расстоянии r от тела массой M, принимает вид

$$U = -\int_{\infty}^{r}\mathbf{F}\,d\mathbf{s} = -\int_{\infty}^{r}\left(-G\frac{Mm}{r^2}\right)dr =$$

$$= GMm\int_{\infty}^{r}\left(r^{-2}\right)dr = GMm\left[-\frac{1}{r}\right]_{\infty}^{r}.$$

Таким образом,

$$U = \frac{GMm}{r}\ (\textit{гравитационная потенциальная энергия относительно бесконечности}). \qquad (7\text{-}12)$$

Это и есть работа по перемещению тела m из бесконечности на расстояние r от M. С другой стороны, она равна взятой с обратным знаком работе по перемещению тела m из точки r на бесконечность.

В случае, когда тело малой массы m движется вокруг тела с большей массой M по круговой орбите радиусом R, потенциальная энергия $U = -GMm/R$. Для центростремительного ускорения имеем

$$v^2/R = F/m = GM/R^2,$$

откуда

$$v^2 = GM/R. \qquad (7\text{-}13)$$

Умножая обе части последнего равенства на $m/2$, получаем кинетическую энергию

$mv^2/2 = GMm/2R.$

Заметим, что в этом случае кинетическая энергия по абсолютной величине составляет половину потенциальной. Полная механическая энергия дается выражением

$$E = K + U = \frac{GMm}{2R} + \left(-\frac{GMm}{R}\right) = -G\frac{Mm}{2R}.$$

Таким образом, полная энергия E равна по величине кинетической, но противоположна ей по знаку. С аналогичной ситуацией мы встретимся при изучении боровской модели атома водорода.

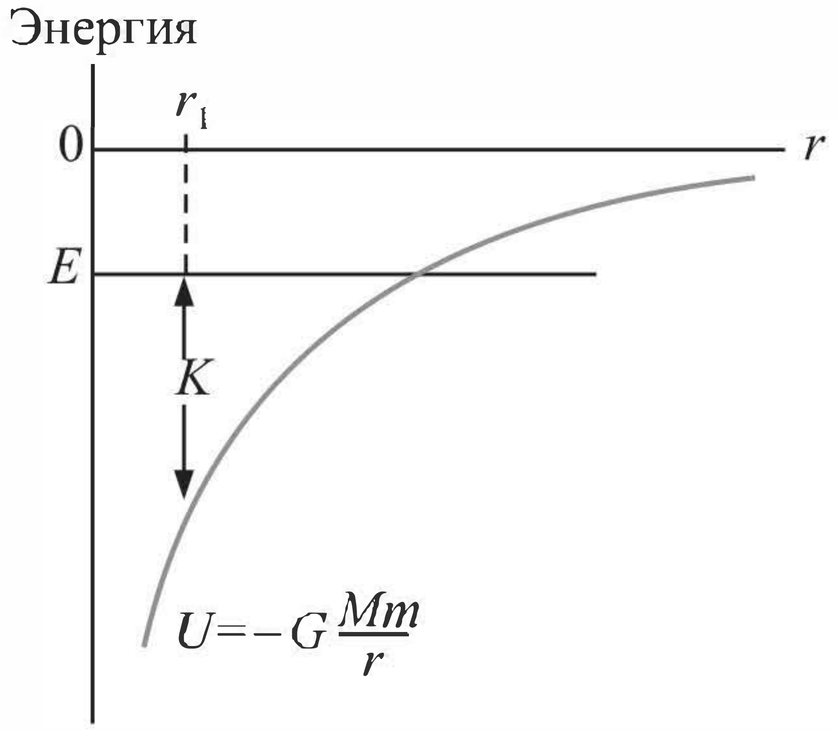


Рис. 7-8. Диаграмма потенциальной энергии для случая гравитационного притяжения между массами m и M

§ 4. Диаграммы потенциальной энергии

Поскольку для замкнутой системы сумма $K + U$ всегда постоянна, значение K удобно находить с помощью так называемых диаграмм потенциальной энергии*. На рис. 7-8 кривая представляет собой зависимость от r гравитационной потенциальной энергии U двух тел с массами m и M. Горизонтальная линия соответствует энергии системы $E = K + U$. Поскольку $K = E - U$, мы без особого труда можем найти значение K. Графически K всегда дается вертикальным отрезком между горизонтальной линией и кривой. На рис. 7-8 этот отрезок изображен при $r = r_1$.

На рис. 7-9 показана диаграмма потенциальной энергии пружины. При $x = x_1$ величины E, K и U можно записать через a и b. Если a и b — положительные величины, то $E = a + b$, $K = a$ и $U = b$.

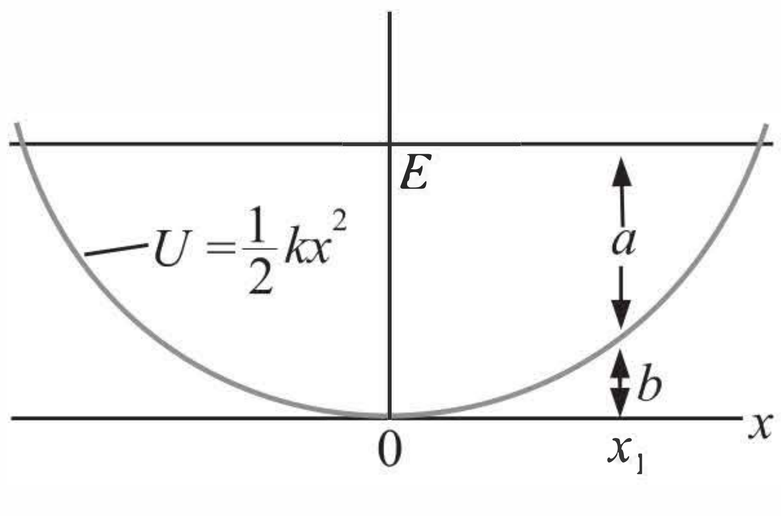


Рис. 7-9. Диаграмма потенциальной энергии для пружины с коэффициентом упругости k

В физике часто оказывается, что силу не удается описать простой аналитической функцией. В таких случаях диаграмму потенциальной энергии можно получить численными методами или рассчитать на ЭВМ. Поэтому такие диаграммы имеют большое значение.

Пример 9. На рис. 7-10 построена типичная кривая потенциальной энергии $U(r)$ для взаимодействия двух атомов в молекуле (r — расстояние между центрами атомов).

а) Чему равны E, K и U при $r = r_1$?
б) Чему равны E, K и U при $r = r_2$?
в) Какова результирующая сила при $r = r_1$?
г) Если $r = r_1$, а кинетическая энергия равна нулю, то чему равно E? (Значение E будет отличаться от приведенного на рисунке.)

---

* Их называют также потенциальными кривыми. — *Прим. перев.*

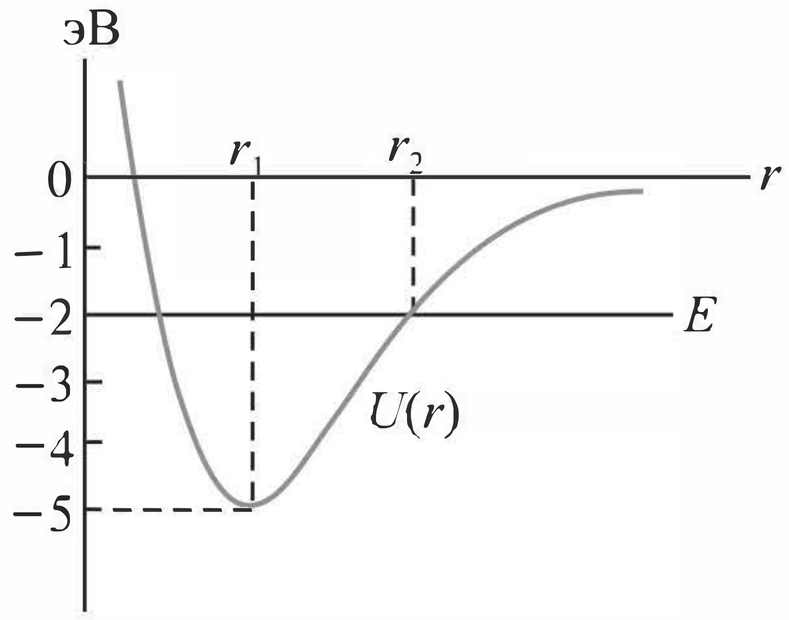


Рис. 7-10. Зависимость потенциальной энергии двух атомов от расстояния r между их центрами

Решение: Как указано белой горизонтальной линией на рисунке, $E = -2$ эВ при всех r. С помощью кривой можно определить значения $U(r)$. При $r = r_1$ имеем $U(r) = -5$ эВ, а при $r = r_2$ $U(r) = -2$ эВ. Кинетическую энергию находим из соотношения $K = E - U$:

при $r = r_1$ $K = (-2\text{ эВ}) - (-5\text{ эВ}) = 3$ эВ,

при $r = r_2$ $K = (-2\text{ эВ}) - (-2\text{ эВ}) = 0$.

Силу можно найти с помощью (6-13):

$F = -dU/dr$.

При $r = r_1$ эта производная равна нулю; следовательно, $F(r_1) = 0$.
Теперь определим полную энергию E при $r = r_1$:

$E = K + U = 0 + (-5\text{ эВ}) = -5$ эВ.

В этом случае мы имели бы устойчивую молекулу, в которой отсутствовали бы движение атомов и колебания.

Равновесие

Тело находится в равновесии, если оно покоится и результирующая сила, действующая на тело, равна нулю. Когда положение тела соответствует точке локального минимума или локального максимума на диаграмме потенциальной энергии, результирующая сила равна нулю. В первом случае равновесие является устойчивым, а во втором — неустойчивым (небольшая дополнительная сила приведет тело в движение).

§ 5. Сохранение полной энергии

Рассмотрим более общий случай, когда помимо консервативной силы, зависящей только от положения тела, могут действовать сила трения F_f и внешняя сила $\mathbf{F}_{\text{внеш.}}$. Обозначим консервативную силу через $\mathbf{F}_c$. При этом результирующая сила записывается в виде

$$\mathbf{F}_{\text{рез.}} = \mathbf{F}_c + \mathbf{F}_f + \mathbf{F}_{\text{внеш.}}.$$

Применение теоремы о связи работы и энергии [выражение (6-10)] определяет приращение кинетической энергии ΔK:

$$\int_B^A \left(\mathbf{F}_c + \mathbf{F}_f + \mathbf{F}_{\text{внеш.}}\right) \cdot d\mathbf{s} = \Delta K,$$

$$\int_A^B \mathbf{F}_{\text{внеш.}} \cdot d\mathbf{s} = \Delta K + \left(-\int_A^B \mathbf{F}_c \cdot d\mathbf{s}\right) + \int_A^B \left(-\mathbf{F}_f\right) \cdot d\mathbf{s}.$$

В правой части последнего равенства второе слагаемое по определению равно изменению потенциальной энергии ΔU. Таким образом,

$$\int_A^B \mathbf{F}_{\text{внеш.}} \cdot d\mathbf{s} = \Delta K + \Delta U + \int_A^B \mathbf{F}'_f \cdot d\mathbf{s};$$

здесь $\mathbf{F}'_f$ — сила, обусловленная трением, т. е. сила, с которой тело действует на шероховатую поверхность. Заметим, что $\int \mathbf{F}'_f \cdot d\mathbf{s}$ — работа тела, идущая на нагрев самого себя и окружающей среды, т. е. выделение тепла. Физически это тепло представляет собой работу, совершаемую при передаче дополнительных кинетической и потенциальной энергий отдельным частицам тела (атомам и молекулам).

С макроскопической точки зрения это внутренняя энергия тела $U_{\text{внутр.}}$, которая представляет собой сумму кинетической и потенциальной энергий, сообщаемых составляющим тело частицам и не входящих в энергии K и U тела как целого. Следовательно,

$$\int_A^B \mathbf{F}_{\text{внеш.}} \cdot d\mathbf{s} = \Delta K + \Delta U + \Delta U_{\text{внутр.}}$$

(*закон сохранения энергии*). (7-14)

Согласно (7-14), любая работа, совершаемая над телом извне, равна сумме приращений кинетической, потенциальной и внутренней энергий. В этом уравнении учтены все виды энергии — ничто не потеряно! Оно выражает закон сохранения полной энергии.

Пример 10. Пусть масса санок (вместе с седоками) равна 50 кг, а сила трения 20 Н (рис. 7-11).

а) Какую работу нужно совершить человеку, чтобы втащить эти санки на гору высотой 10 м и длиной склона 100 м?

б) Если пустить санки с вершины, то какую кинетическую энергию они приобретут у подножия горы? Какова при этом будет их скорость?

Решение: а) В соответствии с (7-14) совершаемую человеком работу можно вычислить следующим образом:

$$\int_A^B \mathbf{F}_{\text{внеш.}} \cdot d\mathbf{s} = \Delta K + \Delta U + \Delta U_{\text{внутр.}} =$$

$$= 0 + mgh + |F_f| s =$$

$$= 0 + (50)(9{,}8)(10) +$$

$$+ (20)(100) = 6900 \text{ Дж}.$$

б) Для случая спуска с горы из (7-14) имеем

$$0 = \Delta K + \Delta U + \Delta U_{\text{внутр.}} = \Delta K + (-mgh) + |F_f| s,$$

откуда

$$\Delta K = mgh - |F_f| s =$$
$$= (50)(9{,}8)(10) - (20)(100) = 2900 \text{ Дж}.$$

Полагая

$$mv^2/2 = 2900 \text{ Дж},$$

находим

$$v = \sqrt{\frac{5800}{50}} \text{ м/с} = 10{,}8 \text{ м/с}.$$

Неупругие соударения

До сих пор мы изучали лишь упругие соударения, при которых полная кинетическая энергия до и после соударения оставалась одной и той же. Однако при соударении большинства макроскопических тел часть кинетической энергии теряется и превращается в тепловую, или внутреннюю, энергию. Рассмотрим пре-

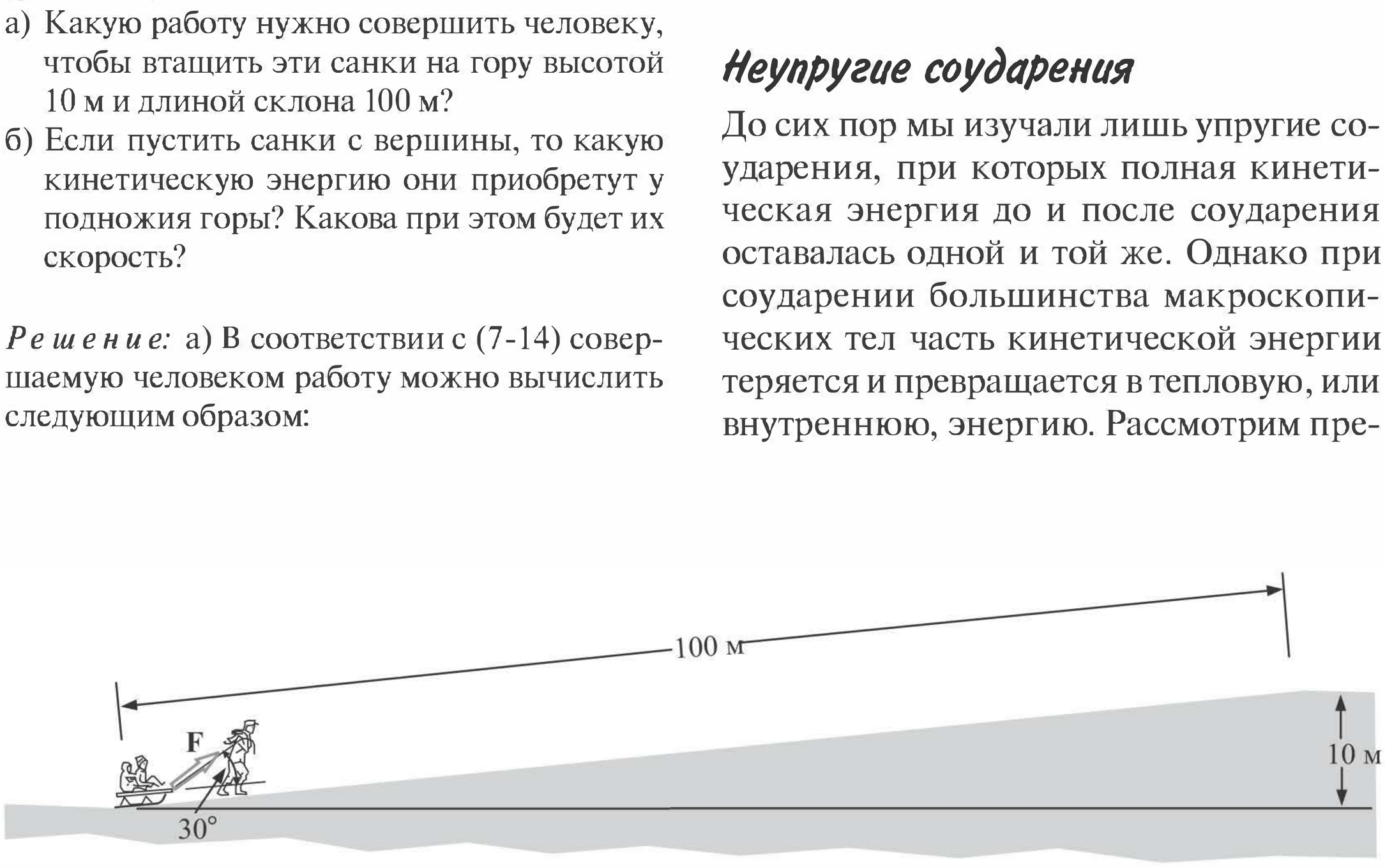


Рис. 7-11

дельный случай, когда в результате соударения два тела слипаются. Это может произойти, например, при столкновении бильярдных шаров, если к шару-мишени прилепить жевательную резинку, либо при лобовом соударении грузовика и легкового автомобиля, как показано на рис. 7-12.

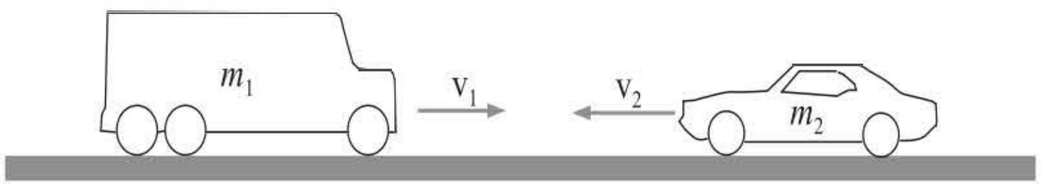


Рис. 7-12. Столкновение легкового автомобиля с грузовиком

Если начальные скорости v_1 и v_2 тел известны, то надо вычислить конечную скорость V и количество выделившейся тепловой энергии. При любом соударении — упругом или неупругом — всегда сохраняется полный импульс, так что

$$m_1 v_1 + m_2 v_2 = (m_1 + m_2) V,$$

$$V = \frac{m_1 v_1 + m_2 v_2}{m_1 + m_2}.$$

Например, если $v_1 = -v_2 = 100$ км/ч, $m_1 = 15$ т, $m_2 = 1{,}5$ т, то

$$V = \frac{\left(15 \cdot 10^3\right)(100) + \left(1{,}5 \cdot 10^3\right)(-100)}{16{,}5 \cdot 10^3} \text{ км/ч} =$$

$$= 81{,}8 \text{ км/ч}.$$

Грузовик теряет лишь около 20 % своей скорости, тогда как легковой автомобиль меняет направление движения и сминается вдоль оси. Это одна из причин, по которой столкновение обычно оказывается относительно безопасным для более тяжелой машины.

Если грузовик и легковой автомобиль не «слипаются» и известна конечная скорость одного из них, то конечную скорость другого можно найти, используя закон сохранения импульса:

$$m_1 v_1 + m_2 v_2 = m_1 V_1 + m_2 V_2.$$

Пример 11. Какая кинетическая энергия теряется при столкновении грузовика с легковым автомобилем?

Решение:

$$\Delta K = m_1 v_1^2/2 + m_2 v_2^2/2 - mV^2/2 =$$

$$= \frac{1}{2}\left[m_1 v_1^2 + m_2 v_2^2 - \left(m_1 + m_2\right)\left(\frac{m_1 v_1 + m_2 v_2}{m_1 + m_2} \right)^2 \right] =$$

$$= \frac{1}{2} \frac{m_1 m_2}{m_1 + m_2} \left(v_1 - v_2\right)^2.$$

Относительная скорость $v_1 - v_2 = 200$ км/ч, или 55,5 м/с. Таким образом,

$$\Delta K = \frac{1}{2} \frac{\left(15 \cdot 10^3\right)\left(1{,}5 \cdot 10^3\right)}{16{,}5 \cdot 10^3} (55{,}5)^2 \text{ Дж} =$$

$$= 2{,}1 \cdot 10^6 \text{ Дж}.$$

Пример 12. Дульную (начальную) скорость пули можно определить с помощью так называемого баллистического маятника. Пуля выстреливается в деревянный брусок (рис. 7-13), в результате чего брусок с застрявшей в нем пулей поднимается на высоту h.

а) Найдите выражение для начальной скорости пули v через m, M, h.

б) Какая доля кинетической энергии теряется при этом?

Решение: а) Запишем закон сохранения импульса

$$mv + 0 = (m + M) V,$$

откуда

$$v = \frac{m + M}{m} V \qquad (7\text{-}15)$$

(V — скорость бруска вместе с пулей сразу после столкновения). Приравняем кинетическую энергию бруска сразу после столкновения к потенциальной энергии $(m + M)\,gh$ на высоте максимального подъема:

$$\frac{1}{2}(m+M)V^2 = (m+M)gh.$$

Отсюда находим

$$V = \sqrt{2gh}.$$

Следовательно,

$$v = \frac{m+M}{m}\sqrt{2gh}.$$

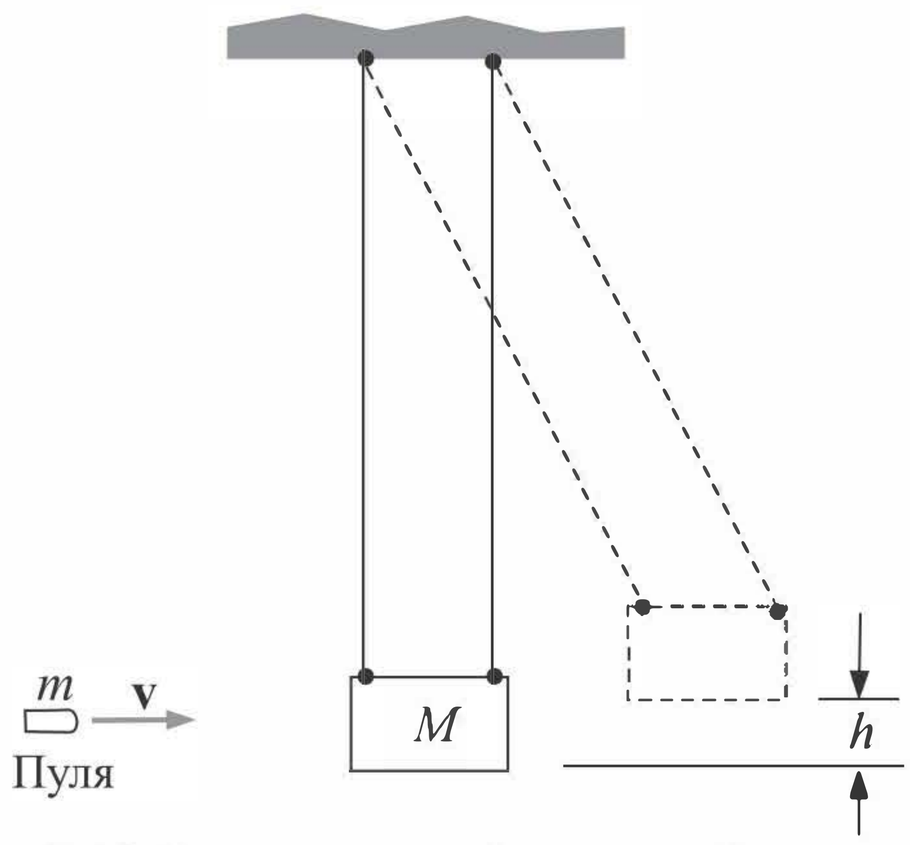


Рис. 7-13. Баллистический маятник. Брусок поднимается на высоту h, после того как в него попадает пуля

б) Кинетическая энергия после столкновения равна $K' = (1/2)\,(m + M)\,V^2$. Используя (7-15), можно записать

$$K' = \frac{1}{2}(m+M)\left(\frac{m}{m+M}v\right)^2,$$

$$K' = \frac{m}{m+M}\left(\frac{1}{2}mv^2\right) = \frac{m}{m+M}K,$$

$$\frac{K'}{K} = \frac{m}{m+M}.$$

Относительная потеря кинетической энергии составляет $1 - K'/K = M/(m + M)$. Таким образом, почти вся кинетическая энергия теряется при таком столкновении.

Внутренняя энергия

Как мы видели, внутренняя энергия — это дополнительная энергия отдельных частиц системы, которая не учитывается в общем балансе при макроскопическом рассмотрении системы. Если происходит превращение отдельных частиц (например, при химической реакции молекулы одного типа превращаются в молекулы другого типа), то в конечном состоянии они могут обладать большей энергией, нежели вначале. Это увеличение микроскопической энергии должно учитываться в $U_{\text{внутр.}}$, когда систему рассматривают с макроскопической точки зрения.

Превращаться из одного вида в другой могут не только молекулы; подобные превращения могут происходить с атомными ядрами и даже с элементарными частицами. Изменения внутриядерной энергии также должны учитываться в $\Delta U_{\text{внутр.}}$. Как мы покажем в гл. 9, все элементарные частицы обладают запасом собственной энергии, равным m_0c^2, где m_0 — масса покоя частицы. При превращении одного вида элементарных частиц в другой высвобождается энергия $(\Delta m)\,c^2$, где Δm — уменьшение полной массы покоя, происходящее в результате перехода. Соответствующий вклад также следует учесть в $\Delta U_{\text{внутр.}}$.

Внутреннюю и тепловую энергии мы будем подробно обсуждать в гл. 12.

§ 6. Энергия в биологии

Химическая энергия — одна из форм потенциальной энергии. Когда из атомов образуется молекула, то существующая между атомами сила притяжения совершает работу и высвобождает энергию, которая, как правило, выделяется в виде

тепла. В живых организмах источниками химической энергии служат углеводы (молекулы различных соединений углерода с водородом). Соединяясь с кислородом, углеводы образуют H_2O и CO_2 с высвобождением энергии. Типичное количество высвобождающейся энергии составляет 20 000 Дж на 1 г углеводов. Почти вдвое больше химической энергии на 1 г запасено в жире животных. При сжигании углеводного «топлива» в клетках мышц около 25 % энергии может перейти в механическую работу. У лошади «топливо» сгорает со скоростью 2000 Вт, что позволяет ей в течение продолжительного времени совершать механическую работу, причем с мощностью 500 Вт. В течение более коротких промежутков времени лошадь способна вырабатывать 700–800 Вт мощности. Эти данные и привели к «лошадиной силе», равной мощности 746 Вт.

Организм человека слабее и в лучшем случае может совершать в единицу времени механическую работу около 100 Вт. Даже во время сна лишь для поддержания нормальных функций организма у взрослого человека «топливо» сгорает со скоростью около 80 Вт. Эта величина называется основной скоростью обмена веществ. Такую же мощность потребляет электрическая лампочка средней величины. В бодрствующем состоянии, например на лекции по физике, студент расходует около 150 Вт, в том числе 80 Вт плюс около 40 Вт затрачиваются на работу мозга и 15 Вт на работу сердца. При умеренных физических нагрузках, например во время езды на велосипеде со скоростью около 20 км/ч или во время плавания со скоростью 2 км/ч, человек затрачивает около 500 Вт. Более тяжелые нагрузки, например игра в баскетбол, требуют затраты до 700 Вт. Наконец, при еще большем возрастании нагрузок (скажем, во время скоростной велосипедной гонки) человек в хорошей физической форме может расходовать свыше 1000 Вт, однако лишь 100 Вт из них приходится на внешнюю механическую работу.

Пример 13. На сколько хватит 450 г жира для поддержания умеренных нагрузок (500 Вт)? Иными словами, сколько времени должен выполнять физические упражнения человек с избытком веса, чтобы избавиться от 450 г жира?

Решение: В одном грамме жира, как «топливе», запасено около 40 000 Дж энергии. Таким образом, 450 г жира имеют энергию $450 \cdot 40\,000$ Дж, или $1{,}8 \cdot 10^6$ Дж. Поскольку мощность P связана с энергией соотношением $P = E/t$, находим

$$t = \frac{E}{P} = \frac{18 \cdot 10^6 \text{ Дж}}{500 \text{ Вт}} = 3{,}6 \cdot 10^4 \text{ с} = 10 \text{ ч}.$$

Следовательно, проделывая в течение 10 ч физические упражнения, можно сбросить 450 г жира, но при этом появляется сильный аппетит. Другой способ уменьшить избыточный вес состоит в полном отказе от пищи. Тогда для поддержания жизни человеку придется ежедневно расходовать около 300 г своего жирового запаса.

Пример 14. Сколько пищевых калорий следует потреблять ежедневно для поддержания жизни? Одна пищевая калория (1 ккал) соответствует 4180 Дж химической энергии.

Решение: Расходуемая человеком ежедневно минимальная мощность составляет что-то среднее между 80 Вт в состоянии сна и 150 Вт в состоянии бодрствования; будем считать ее равной 110 Вт. Тогда человеку ежедневно необходима энергия

$$E = PT = (110 \text{ Вт})(8{,}6 \cdot 10^4 \text{ с}) = 9{,}5 \cdot 10^6 \text{ Дж};$$

она содержится в пище калорийностью 2260 ккал.

§ 7. Энергия и автомобиль

В данном параграфе основные принципы, с которыми мы познакомились выше, будут использованы для оценок потребностей мощности и расхода топлива автомобилем. Мы получим общее представление о различных факторах, влияющих на работу автомобиля, и это поможет читателю усовершенствовать свое управление автомобилем и научит его экономить горючее.

При отсутствии трения для движения автомобиля по ровному шоссе с постоянной скоростью не требовалось бы затрат мощности. Разумеется, затраты мощности необходимы всякий раз при ускорении автомобиля, например когда он трогается с места или обгоняет другой транспорт. Прежде всего вычислим мощность (в лошадиных силах), необходимую для ускорения автомобиля с места до скорости 100 км/ч; затем обсудим основные источники сопротивления при движении с большими скоростями и оценим дополнительные затраты топлива на это.

Хорошим показателем легкового автомобиля считается, если с места его можно разогнать до скорости 100 км/ч за 10 с. Это соответствует постоянному ускорению

$$a = \frac{v}{t}\frac{100\ \text{км/ч}}{10\ \text{с}} \approx 2{,}8\ \text{м/с}^2 \approx g/4.$$

Оценим прежде всего, достаточно ли силы трения между покрытием шоссе и шинами автомобиля для достижения этого ускорения. Необходимая сила трения $F_f = ma = mg/4$. При этом на задние шины действует сила реакции $\sim mg/2$, так что отношение силы трения к силе реакции составляет примерно 1/2. Следовательно, коэффициент трения должен быть не менее 0,5. Это близко к максимально достижимому значению коэффициента трения шин, применяемых в легковых автомобилях. Поэтому у легковых автомобилей практически нельзя рассчитывать на то, чтобы время разгона стало значительно меньше 10 с. Большего ускорения удается достичь в гоночных и спортивных автомобилях за счет специальных шин и большей нагрузки на задние (ведущие) колеса.

Мы подошли к вопросу о том, какую мощность должен развивать двигатель, для того чтобы использовать предельную силу трения. Автомобилю массой $m = 10^3$ кг нужно преодолеть силу $F_f = ma = (10^3\ \text{кг})(g/4) \approx 2{,}5\cdot 10^3$ Н. Если достигнута скорость 100 км/ч, то в соответствии с (6-3) развиваемая двигателем мощность должна составлять

$$P = Fv = (2{,}5\cdot 10^3\ \text{Н})(28\ \text{м/с}) = 70\cdot 10^3\ \text{Вт} \approx 90\ \text{л.с.}$$

Таким образом, двигатель автомобиля, имеющего массу 10^3 кг, должен развивать на скорости 100 км/ч мощность 90 л. с., чтобы можно было обеспечить его «предельные» характеристики. Дополнительные лошадиные силы бесполезны, так как они приведут лишь к более быстрому вращению колес без какого-либо улучшения характеристик. Заметим, что, когда автомобиль трогается с места, $Fv = 0$; в этот момент времени необходима нулевая мощность и не следует раскручивать колеса при старте*.

Сопротивление воздуха

Исходя из основных принципов, вычислим теперь мощность, необходимую для преодоления сопротивления воздуха при движении автомобиля с постоянной скоростью. Сила сопротивления воздуха воз-

---

* Именно поэтому водителям рекомендуется трогаться с места на низшей передаче и лишь затем переключаться на более высокую. — *Прим. ред.*

растает пропорционально квадрату скорости и, следовательно, преобладает при высоких скоростях. Другие источники трения, такие как трение в подшипниках или тепловые потери в шинах, зависят главным образом от числа оборотов двигателя; эти потери остаются примерно постоянными (в расчете на километр пути) при любой скорости. Мы будем вычислять мощность, которую необходимо затрачивать для преодоления сопротивления воздуха при высоких скоростях. Определим также, какое количество горючего потребуется при этом, чтобы двигатель мог обеспечить такую мощность. Заметим, что большую часть его можно сэкономить, двигаясь с меньшей скоростью.

Воздух, находящийся непосредственно перед автомобилем, приобретает кинетическую энергию $(1/2)(\Delta m)v^2$, где Δm — масса воздуха, увлекаемого за интервал Δt, и v — скорость автомобиля. Как видно из рис. 7-14,

$$\Delta m = \rho_{\text{возд.}} A v \Delta t,$$

где $\rho_{\text{возд.}} = 1{,}3$ кг/м^3 и A — среднее значение площади поперечного сечения автомобиля. Потеря энергии за интервал времени Δt дается выражением

$$\Delta E = (1/2)\,(\Delta m)\,v^2 = (1/2)\,(\rho_{\text{возд.}} A v \Delta t)\,v^2,$$

а потеря мощности, обусловленная сопротивлением воздуха, равна

$$\frac{\Delta E}{\Delta t} = \frac{1}{2}\rho_{\text{возд.}} A v^3. \qquad (7\text{-}16)$$

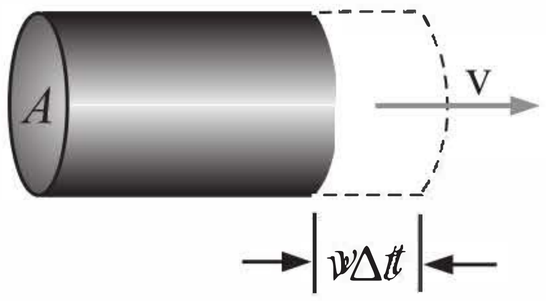


Рис. 7-14. Перемещение воздушного столба на расстояние $v\Delta t$

Поскольку $P = Fv$, сила сопротивления воздуха записывается в виде

$$F_{\text{сопр.}} = (1/2)\rho_{\text{возд.}} A v^2. \qquad (7\text{-}17)$$

Заметим, что A — среднее значение площади поперечного сечения воздушной массы, которая движется со скоростью, равной или близкой скорости автомобиля. На рис. 7-15 показано, насколько точно подтверждается экспериментом формула (7-16). Воздух над крышей и у боковых дверей автомобиля «проскальзывает» мимо, приобретая лишь незначительную скорость. Предположим, что для автомобиля $A \approx 1$ м^2. Все дальнейшие численные оценки нельзя считать строгими, однако в пределах множителя 2 они, по-видимому, все же правильные. Для автомобиля, движущегося со скоростью $v = 100$ км/ч (28 м/с), формула (7-16) дает

$$P = (1/2)(1{,}3)(1)(28)^3 = 14\,300 \text{ Вт} = 19 \text{ л. с.}$$

Заметим, что требуемая мощность возрастает пропорционально кубу скорости. В случае когда автомобиль движется со скоростью 145 км/ч, его двигатель должен развить мощность в 3,05 раза больше. Иными словами, для преодоления сопротивления воздуха при такой скорости требуется 57 л. с.

Оценим теперь количество горючего, необходимое для преодоления сопротивления воздуха при скорости 100 км/ч. Для поездки на 100 км, чтобы преодолеть сопротивление воздуха, потребуется энергия

$$\Delta E = P\Delta t = (14\,300 \text{ Вт})(3600 \text{ с}) = 52 \cdot 10^6 \text{ Дж}.$$

Энергосодержание бензина — $3{,}1 \cdot 10^4$ Дж/см^3, это соответствует $3{,}1 \cdot 10^7$ Дж/л. Хороший автомобильный двигатель имеет КПД = 25 %, так что каждый литр обеспечивает около $8 \cdot 10^6$ Дж механической энергии. Таким образом,

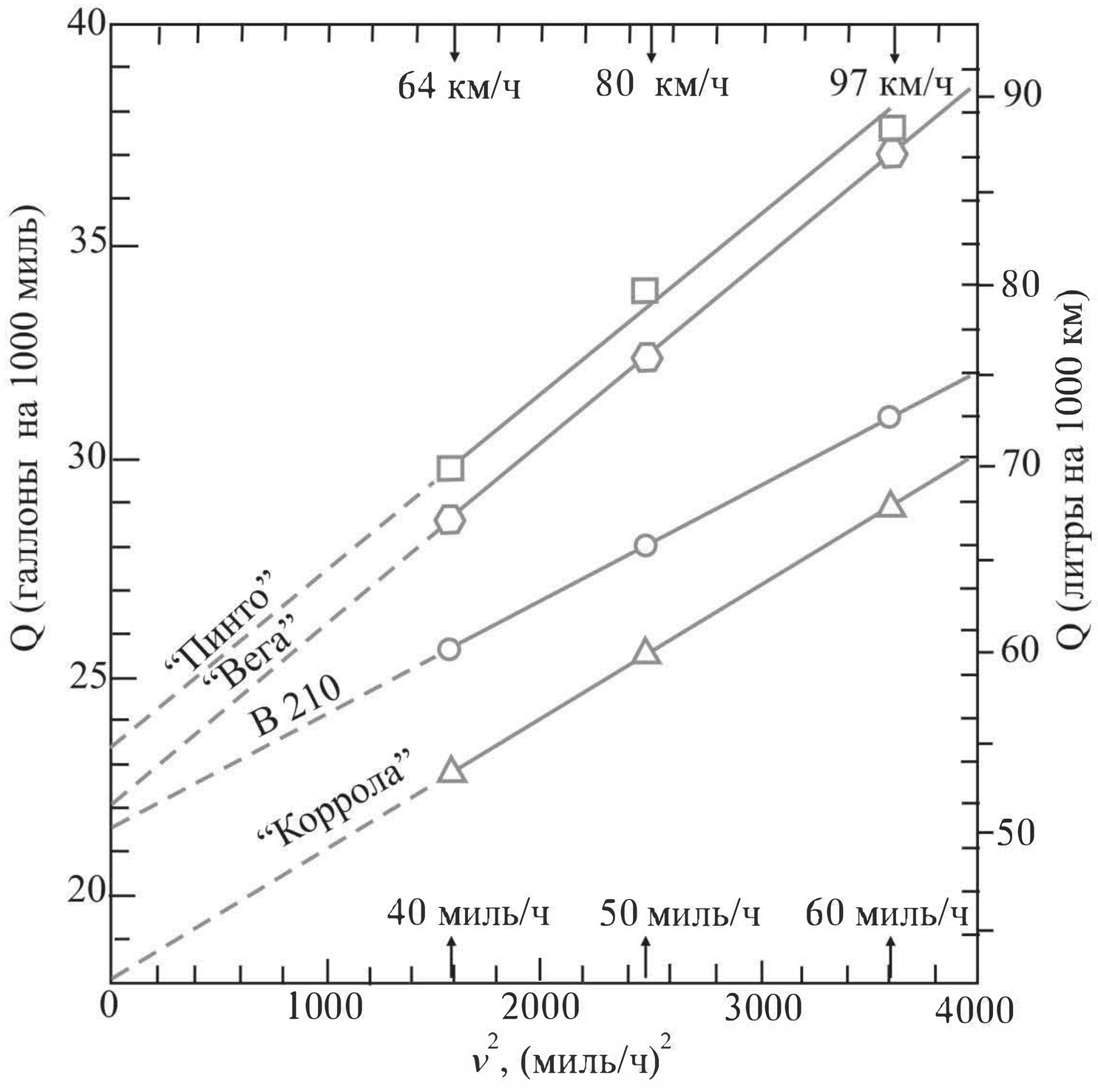


Рис. 7-15. Вертикальный масштаб пропорционален силе. Экспериментальные точки лежат на прямых линиях, следовательно, $F = K_1 + K_2 v^2$. Слагаемое $K_2 v^2$ обусловлено сопротивлением воздуха. [Из статьи Баркера (*R.E. Barker*, Amer. Journ. Phys., Jan., 1976).]

автомобиль расходует около 6 л горючего на 100 км пути, что соответствует приблизительно 17 км/л. Ни один автомобиль с такой же площадью поперечного сечения не будет более экономичным при скорости 100 км/ч. Действительный расход топлива может оказаться еще больше из-за других потерь.

Пример 15. Автомобиль движется со скоростью 100 км/ч, расходуя горючее из расчета 8 км/л. Какая мощность расходуется на поддержание движения с постоянной скоростью?

Решение: В час автомобиль расходует 12 л бензина. Поскольку каждый литр бензина содержит около $3 \cdot 10^7$ Дж энергии, фактически расходуется мощность

$$P = \frac{12 \cdot 3 \cdot 10^7 \text{ Дж}}{1 \text{ ч}} = \frac{3{,}6 \cdot 10^8 \text{ Дж}}{3{,}6 \cdot 10^3 \text{ с}} = 10^5 \text{ Вт} =$$

$$= 100 \text{ кВт}.$$

Таким образом, расход энергии стандартным автомобилем эквивалентен потребности в электричестве примерно 50 квартир. Именно поэтому автомобили заслуживают упрека в расточительстве энергии.

Пример 16. Предположим, что пловец, неудачно прыгнув и шлепнувшись в воду, не должен испытывать ускорения свыше $a = 50g$. Какова высота прыжка, при которой пловец будет испытывать это ускорение, если средняя площадь его поперечного сечения 0,2 м^2?

Решение: Скорость пловца при вхождении в воду

$$v = \sqrt{2gh}.$$

Тогда в соответствии с (7-17) сила сопротивления воды запишется в виде

$$F \approx \rho A (2gh)/2,$$

или

$$ma \approx \rho Agh,$$

откуда находим

$$h \approx \frac{m}{\rho A}\frac{a}{g} = 50\frac{m}{\rho A} \text{ при } a = 50g.$$

Для воды $\rho = 10^3$ кг/м^3. Предположим, что $m = 60$ кг. Тогда

$$h = 50\frac{60\text{ кг}}{\left(10^3\text{ кг/м}^3\right)\left(1{,}2\text{ м}^2\right)} = 15\text{ м}.$$

Во избежание серьезных травм при прыжках с еще большей высоты необходимо уменьшать площадь поперечного сечения (скажем, в воду следует входить ногами или головой).

Основные выводы

Если на тело не действуют внешние силы или силы трения, то при любом положении тела справедлив закон сохранения механической энергии: $K + U = \text{const}$. То же справедливо и для замкнутой системы, содержащей N тел, когда

$$K = \sum_{j=1}^{N} K_j.$$

Импульс силы $\mathbf{I} = \int \mathbf{F}\,dt = \mathbf{P}_2 - \mathbf{P}_1$. При упругом соударении кинетическая энергия сохраняется.

Если тело массой m покинуло поверхность сферического тела массой M, то можно написать

$$\frac{1}{2}mv_0^2 + \left(-G\frac{Mm}{R}\right) = 0 + 0.$$

Отсюда находим вторую космическую скорость:

$$v_0 = \sqrt{\frac{2GM}{R}}.$$

При наличии внешней силы $\mathbf{F}_{\text{внеш}}$ и трения закон сохранения энергии принимает вид

$$\int_A^B \mathbf{F}_{\text{внеш.}} \cdot d\mathbf{s} = \Delta K + \Delta U + \Delta U_{\text{внутр.}},$$

где $\Delta U_{\text{внутр.}}$ — приращение тепловой, химической и собственной энергии.

Если тело со средней площадью поперечного сечения A движется в газе или жидкости со скоростью v, то возникает сила сопротивления, равная $F \approx \rho A v^2/2$, где ρ — плотность газа или жидкости.

Приложение. Закон сохранения энергии для системы N частиц

По определению изменение полной потенциальной энергии дается выражением

$$dU = -\sum_j \mathbf{F}_j\,d\mathbf{s}_j.$$

Заменим теперь каждую силу $\mathbf{F}_j$ на $m_j(d\mathbf{v}_j/dt)$, а величину $d\mathbf{s}_j$ на $\mathbf{v}_j\,dt$. Таким образом, можно записать

$$dU = -\sum_j m_j \frac{d\mathbf{v}_j}{dt}\mathbf{v}_j\,dt.$$

Используя (6-3) и заменяя скалярное произведение $(d\mathbf{v}_j/dt)\mathbf{v}_j$ на $v_j(dv_j/dt)$, получаем

$$dU = -\sum_j m_j\left(v_j\frac{dv_j}{dt}\right)dt.$$

Заменим теперь величину $(dv_j/dt)dt$ на dv_j:

$$dU = -\sum_j m_j v_j\,dv_j = -\sum_j d\left(m_j v_j^2/2\right).$$

Следовательно,

$$\Delta U = -\sum \Delta K_j.$$

Для двух различных моментов времени t_1 и t_2 имеем $\Delta U = U_2 - U_1$ и $\Delta K_j = (K_j)_2 - (K_j)_1$, так что

$$U_2 - U_1 = -\sum\left(K_j\right)_2 + \sum\left(K_j\right)_1,$$

$$(K_t)_1 + U_1 = (K_t)_2 + U_2,$$

где учтено определение полной кинетической энергии системы частиц, данное на с. 107.

Упражнения

1. Чему равна скорость тела массой m в примере 1, когда оно проходит положение $x = x_0/2$? Запишите ответ через k, m и x_0.
2. Какую скорость следует сообщить телу массой m в примере 2, для того чтобы оно смогло только достичь той же высоты, что и его опора? Зависит ли результат от того, подвешено тело на нити или укреплено на стержне?
3. Пусть в примере 5 голова пассажира находится в 60 см от ветрового стекла.
   а) Сколько времени пройдет от первого удара о дерево до того момента, когда пассажир ударится головой о ветровое стекло?
   б) Допустим, что ветровое стекло может деформироваться на 3 мм. Предполагая, что деформации черепа нет, найдите, какое среднее ускорение испытывает голова пассажира.
4. Чему равно отношение K_1'/K_1 на рис. 7-5, если K_1' — кинетическая энергия массы m_1 после соударения? Запишите ответ через m_1 и m_2.
5. Если на рис. 7-5 $m_2/m_1 = 2$, то чему равна относительная потеря энергии массой m_1 при соударении?
6. Какова вторая космическая скорость в случае с Луной и Марсом? Численные значения можно получить, используя данные, представленные в приложении A (см. т. 2 настоящей книги).
7. Какую долю второй космической скорости следует сообщить ракете, чтобы она прошла полпути до Луны?
8. Рассмотрите снова пример 11 для случая, когда сила трения $F_f = 30$ Н.
9. Чему равна относительная потеря кинетической энергии системы в примере 12?
10. На рис. 7-13 пуля массой 2 г попадает в деревянный брусок массой 2 кг, который поднимается на высоту 10 см. Какова начальная (дульная) скорость пули?
11. Человек голодает 1 неделю. Средняя скорость обмена веществ составляет 100 Вт. Оцените потерю массы человеком.
12. Автомобиль массой 1,5 т и с 50%-ной нагрузкой на заднюю ось может с места развить скорость 80 км/ч за 5 с. Чему равен коэффициент трения задних колес? Какую мощность развивает двигатель автомобиля в момент времени, когда достигается указанная скорость?

Задачи

13. Предполагая, что в примере 3 масса m освобождается в верхнем положении, а θ — угол между начальным и мгновенным положениями стержня, запишите соотношение между v и θ.
14. Повторите пример 4 в случае, когда $F_B = 20mg$. Порвется ли веревка?
15. Какой должна быть в примере 4 прочность веревки на разрыв F_B, чтобы обеспечить $y_{\text{макс.}} = 0{,}25l$?
16. Пусть в примере 4 $l = 20$ м и запас длины провисающей веревки составляет 2 м. Чему будут равны $y_{\text{макс.}}$ и $a_{\text{макс.}}$?
17. Покажите, что в примере 5 деформация на 30 см и время торможения $3 \cdot 10^{-2}$ с до полной остановки согласуются друг с другом при условии постоянства замедления (отрицательного ускорения).
18. В этой задаче мы спроектируем воздушный «мешок» безопасности для автомобиля. Допустим, что череп человека не получает травмы, если ускорение не превышает $30g$. Предположите, что в худшем случае авария происходит при скорости 100 км/ч (28 м/с) с остановкой за $2 \cdot 10^{-2}$ с.

Какой толщины должен быть воздушный мешок?

19. Пусть на рис. 7-7 масса бильярдного шара вдвое превосходит массу налетающего на него шара. Чему равен угол θ, если, как показано на рисунке, первый шар отлетает под углом 30°?

20. а) Чему равно отношение энергии, которую необходимо сообщить массе m, для того чтобы покинуть Землю (но не Солнечную систему), к энергии, необходимой для вывода тела на круговую орбиту?

б) Повторите расчет для случая выхода за пределы Солнечной системы.

21. Предположим, что Вселенная состоит лишь из одного нейтрона и одного электрона. Пусть электрон движется вокруг нейтрона по круговой орбите радиусом R. Между ними действует только гравитационная сила. Будем считать также, что $m_e vR = 1{,}05 \cdot 10^{-34}$ Дж·с.

а) Какова скорость электрона на орбите?

б) Чему равен радиус орбиты?

22. Рассмотрим движение автомобиля массой 1000 кг по ровному шоссе. Чтобы он двигался с постоянной скоростью, необходима сила, равная 500 Н.

а) Чему равна (в ньютонах) сила трения?

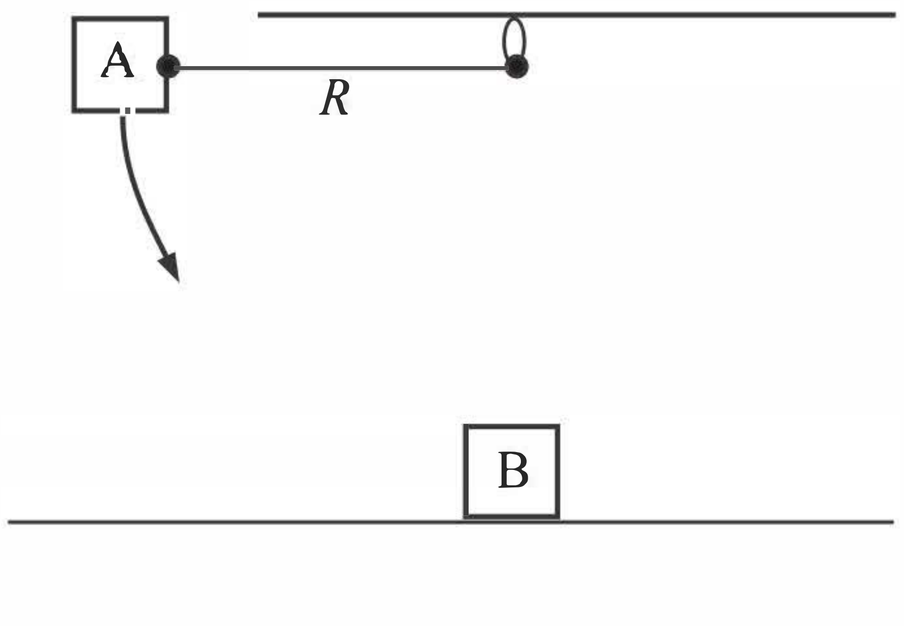
б) Какое ускорение приобретет автомобиль, если приложить к нему силу 1000 Н?

в) Если на стоянке на склоне холма у автомобиля откажут тормоза, то как далеко он проедет до полной остановки при условии, что высота холма над поверхностью Земли 10 м?

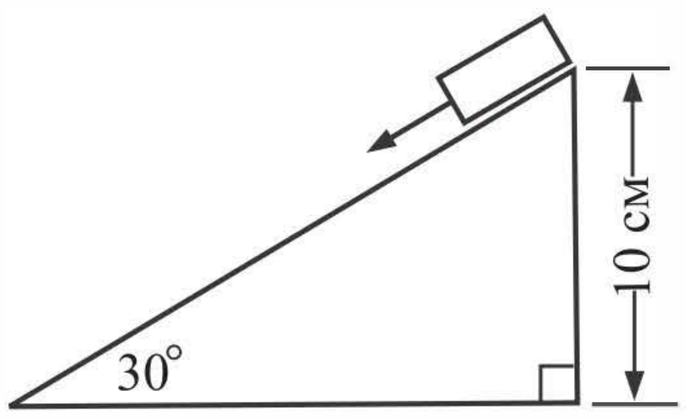
23. Брусок B покоится на абсолютно гладкой (без трения) горизонтальной поверхности. Точной такой же брусок A укреплен на нити длиной R. Затем брусок A отпускают в горизонтальном положении, и он сталкивается с B. При соударении оба бруска слипаются и после соударения движутся как одно целое.

а) Чему равна скорость обоих брусков непосредственно после соударения?

б) Как высоко они смогут подняться над поверхностью?



24. Брусок массой 1 кг скользит по наклонной плоскости; в начальный момент на вершине его скорость равна нулю. У основания наклонной плоскости скорость бруска равна 100 см/с.



а) Какую работу совершает сила трения?

б) Чему равна постоянная сила трения?

в) Если покрыть наклонную плоскость масляной пленкой и уменьшить силу трения в 10 раз, то каким будет значение скорости бруска у основания наклонной плоскости?

25. Автомобиль на рис. 7-12 останавливается ($v_2 = 0$). Выведите формулу для потерь энергии грузовика: $\Delta K_1/K_1 = ?$

26. Чему равна кинетическая энергия легкового автомобиля (на рис. 7-12) после столкновения?

27. а) Какая работа требуется для поднятия массы 10 т по наклонной плоскости без трения длиной 3 м и высотой 0,5 м?

б) Предположим, что теперь между телом и наклонной плоскостью существует сила трения 700 дин. Какая работа необходима в этом случае?

в) Пусть сила трения имеет то же значение, что и в п. «б», а к телу приложена сила 3000 дин. Какова скорость тела в верхней точке наклонной плоскости?

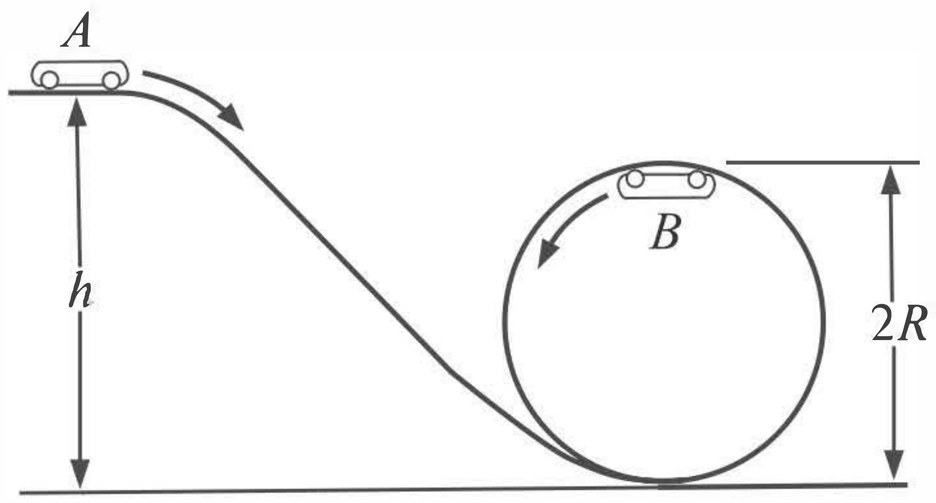
28. Используя рис. 7-15, вычислите среднюю площадь поперечного сечения автомобиля марки «Вега». Считайте КПД двигателя равным 20 %.

29. С помощью рис. 7-15 найдите результирующую силу трения F_f, действующую на «Вегу», когда она движется с малой скоростью. КПД положите равным 20 %.

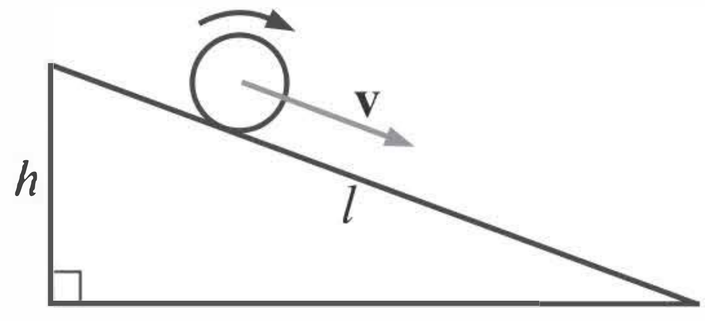
30. При какой скорости движения потери энергии из-за сопротивления воздуха у автомобиля «Вега» превысят потери энергии на трение (используйте рис. 7-15)?

31. Считая в примере 4 массу альпиниста 60 кг, $l = 50$ м и $F_B = 1{,}1 \cdot 10^4$ Н, найдите $y_{\text{макс.}}$ и $a_{\text{макс.}}$.

32. На рисунке показан игрушечный автомобильный аттракцион. Автомобиль получает легкий толчок в положении A и начинает движение фактически с нулевой скоростью. Затем он скользит по гладкому желобу и взмывает по внутренней поверхности круглой петли радиусом R. Высота h такова, что автомобиль совершает «мертвую петлю», не теряя соприкосновения с желобом. Выразите высоту h через R. Какова сила реакции желоба на автомобиль в точке B?



33. Рассмотрим твердый шар, скатывающийся без начальной скорости с вершины наклонной плоскости. Пусть в любой момент времени кинетическая энергия вращения равна кинетической энергии поступательного движения $mv^2/2$, где v — скорость центра масс. Можно показать, что полная кинетическая энергия в любой момент времени равна сумме этих энергий.

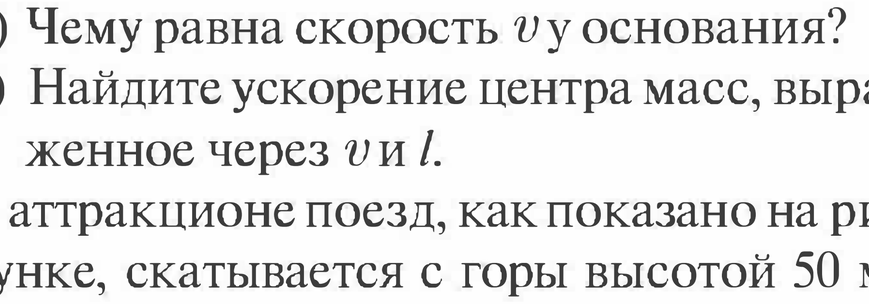


а) Чему равна полная кинетическая энергия шара у основания наклонной плоскости? Ответ выразите через m, g и h.

б) Чему равна скорость v у основания?

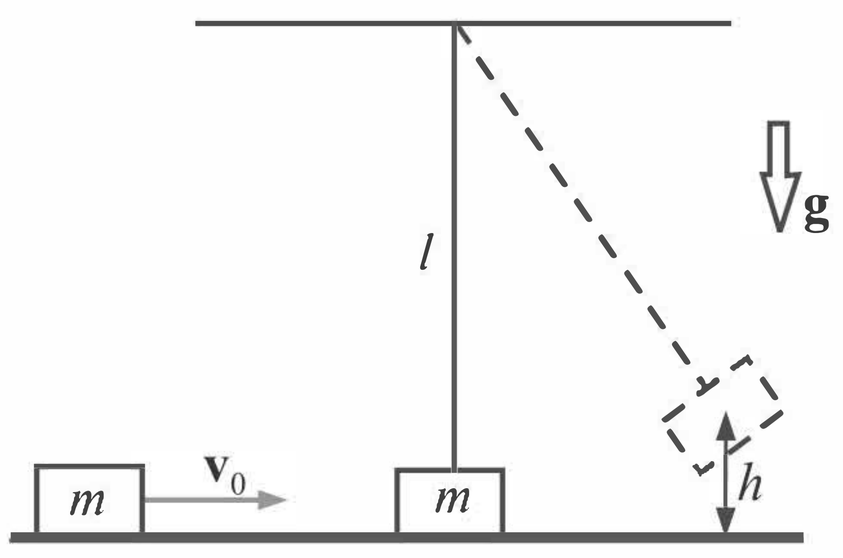
в) Найдите ускорение центра масс, выраженное через v и l.

34. В аттракционе поезд, как показано на рисунке, скатывается с горы высотой 50 м, проходит по склону расстояние 120 м и затем вновь поднимается на высоту 40 м. Какова при этом максимальная сила трения, действующая на поезд массой 500 кг? (Если бы F_f была больше, то поезд не смог бы достичь второй вершины. Силу F_f считайте постоянной.)



35. Сколько литров в час нужно расходовать, чтобы скорость автомобиля «Вега» оставалась равной 100 км/ч? Найдите скорость выделения тепловой энергии в киловаттах. Используйте рис. 7-15.

36. Тело массой m подвешено на нити длиной l. Такое же тело скользит вдоль поверхности без трения со скоростью v_0.

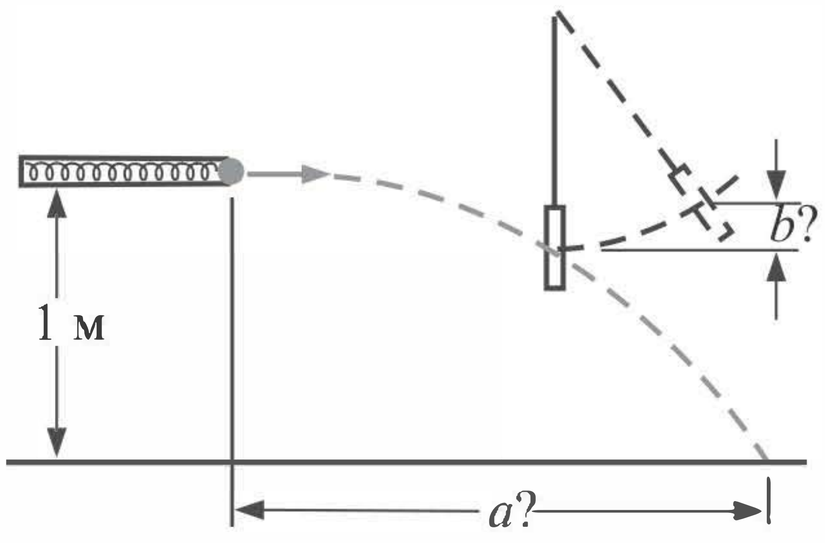


а) Если эти два тела испытывают упругое соударение, то на какую высоту h поднимется первое тело?

б) Если соударение полностью неупругое, то на какую высоту h поднимутся оба тела?

в) Сколько тепловой энергии выделится в случае «б»? Ответ выразите через m и v_0.

37. Игрушечное ружье устроено, как показано на рисунке: шарик массой 10 г покоится вблизи не имеющей массы пружины с коэффициентом упругости $k = 400$ Н/м, которая сжата до 5 см внутри ствола. Мальчик стреляет из ружья, держа его горизонтально на высоте 1 м над поверхностью Земли.



а) Считая поверхность Земли горизонтальной и пренебрегая сопротивлением воздуха, определите место падения шарика.

б) Пусть шарик попадает в центр висящей на дереве мишени массой 40 г. Шарик прилипает к мишени и начинает качаться вместе с ней. На какую высоту могут они подняться? Мишень можно считать точечной массой, укрепленной на конце твердого стержня.

38. а) Шар массой $m = 2$ кг, насаженный на вертикальный стержень (см. рис. *а*), скользит по нему без трения (сопротивлением воздуха можно пренебречь). Если шар отпустить из состояния покоя в точке A, то какой будет его скорость в положении B после проскальзывания расстояния $d = 4$ м?

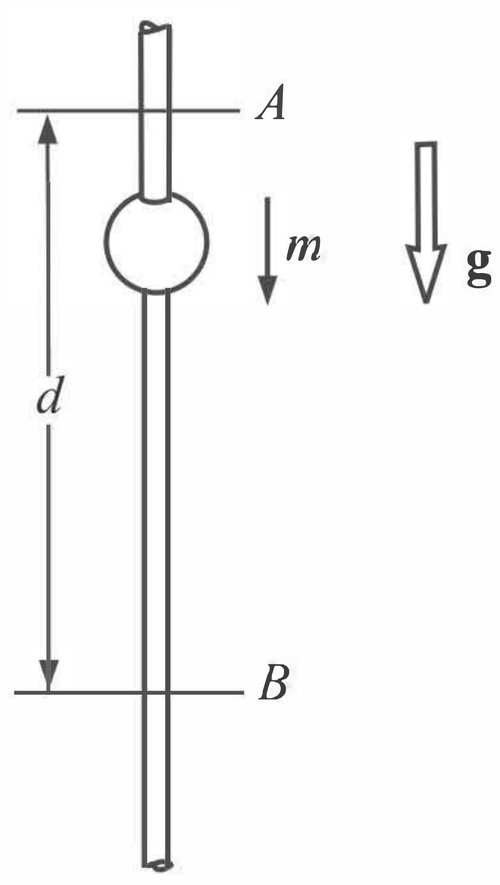
б) Длина свободной пружины 3 м и коэффициентупругости $k = 22$ Н/м. Пружина прикреплена к шару, как показано на рис. *б*. Какой будет скорость шара, когда он достигнет положения B, если его отпустить без начальной скорости в положении A? (Замечание: шар достаточно массивен, а пружина достаточно слаба, и шар действительно достигает положения B!)

39. Предположите, что столкновение легкового автомобиля с грузовиком на рис. 7-12 является упругим. Чему равна скорость легкового автомобиля после столкновения?

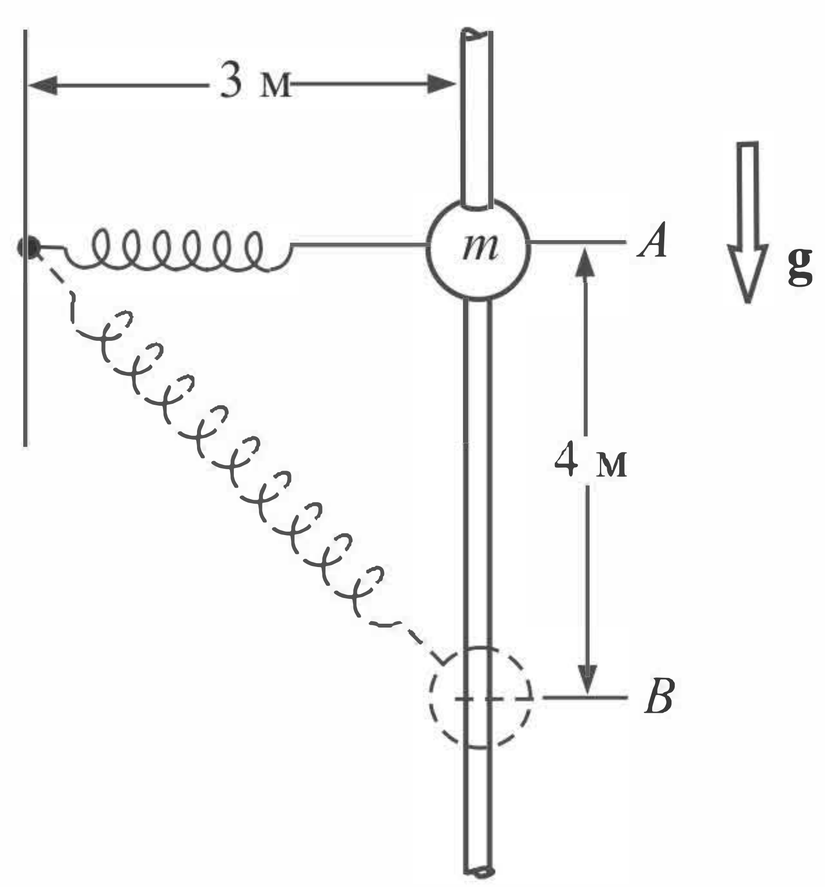
40. Пусть в результате столкновения легкового автомобиля с грузовиком конечная скорость грузовика равна 70 км/ч.

а) Чему равна конечная скорость легкового автомобиля?

б) Какая кинетическая энергия теряется при столкновении?



(а)



(б)

8

Релятивистская кинематика

§ 1. Введение

До сих пор при изложении механики мы предполагали, что все скорости значительно меньше скорости света, которая была обозначена нами через c. Теперь, после того как мы достаточно подробно осветили содержание механики, настало время объяснить причину ограничения скоростями $v \ll c$. Попросту говоря, причина эта в том, что механика Ньютона (называемая также классической) неверна. Правильная теория называется релятивистской механикой. Ее также называют **специальной теорией относительности**. Механика Ньютона оказалась лишь приближением к релятивистской механике, справедливым в области $v \ll c$. По существу, уравнения классической механики оказываются точными при $v \to 0$ и, как мы видели, могут объяснить значительную часть явлений физического мира.

Иногда спрашивают, стоит ли заниматься релятивистской механикой, если большинство встречающихся в повседневной жизни скоростей значительно меньше скорости света. Для этого существует несколько причин.

1. Одной из главных задач физики является изучение свойств света, для которого $v = c$.
2. Теория света выводится из теории электромагнетизма. Такие важные понятия этой теории, как магнитное поле и электромагнитная индукция, существенно связаны со скоростью света. Правильнее было бы сказать, что электромагнетизм — это релятивистская теория. Поэтому, прежде чем по-настоящему понять явление магнетизма, следует разобраться в теории относительности.
3. В ядерной физике и физике элементарных частиц мы встречаемся с частицами, которые движутся со скоростями, близкими или равными скорости света. Например, фотоны и нейтрино всегда имеют скорость $v = c$.
4. В современной астрономии приходится непрерывно иметь дело с релятивизмом. Удаленные галактики движутся со скоростями, близкими к скорости света. Природа таких астрофизических объектов, как нейтронные звезды, пульсары и черные дыры, существенно связана с релятивистскими эффектами.
5. Для углубления нашего понимания квантовой механики необходимо рассмотреть такие явления, как фотоэффект и эффект Комптона, а для этого нужны релятивистские соотношения между энергией, массой и импульсом.
6. Мы увидим, что теория относительности противоречит здравому смыслу и повседневному опыту. Поэтому при первом знакомстве с

ней трудно поверить, что она может оказаться правильной. Однако с философской точки зрения важно тщательно исследовать данную ситуацию. Даже сегодня можно встретить образованных людей, не признающих всех выводов теории относительности. Это — первый пример явлений природы, очевидным образом противоречащих здравому смыслу.

7. Большинство людей знакомо с такими вещами, как соотношение $E = mc^2$, замедление времени, лоренцево сокращение, парадокс близнецов, а также с тем, что ни одна частица или сигнал не могут распространяться быстрее света. В эпоху научно-технической революции эти факты уже стали частью нашей общей культуры. Их следует понимать тому, кто хочет считаться образованным человеком.

§ 2. Постоянство скорости света

Главный парадокс теории относительности заключается в том, что скорость света должна быть одной и той же для всех наблюдателей. Рисунком 8-1 иллюстрируется соответствующий пример, противоречащий здравому смыслу и повседневному опыту. Стоящий на Земле наблюдатель A видит один световой импульс (или вспышку), распространяющийся со скоростью $v_{\text{имп.}}$. В то же самое время эти световые импульсы регистрирует наблюдатель B, летящий в космической корабле со скоростью v_B. Согласно всему тому, что мы изучили до сих пор, наблюдатель B должен видеть световой импульс, распространяющийся с меньшей скоростью: $v'_{\text{имп.}} = v_{\text{имп.}} - v_B$. Однако в реальном эксперименте не только наблюдатель A измерит $v_{\text{имп.}} = c$, где $c = 2{,}998 \cdot 10^8$ м/с, но и наблюдатель B также измерит $v'_{\text{имп.}} = c$, и это для одного и того же импульса в один и тот же момент времени!

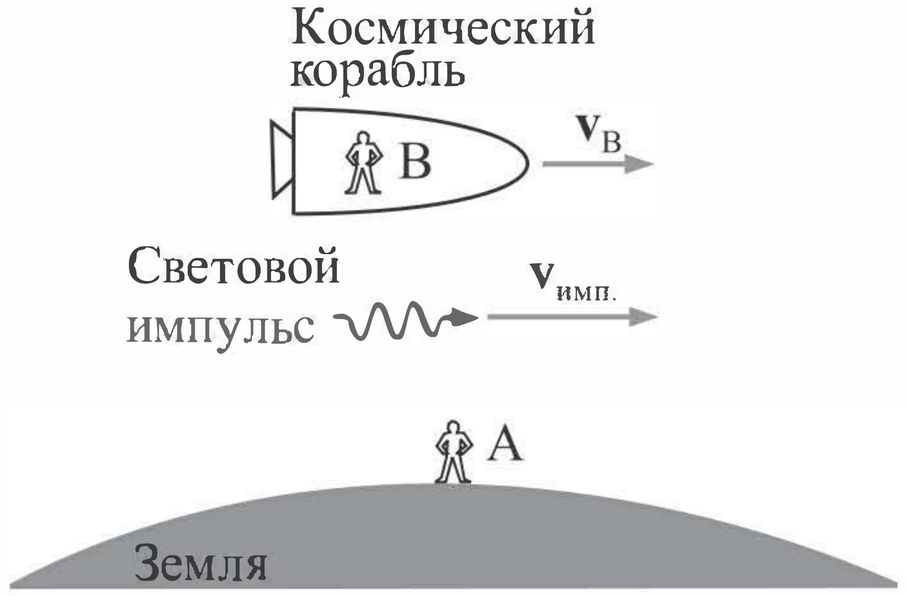


Рис. 8-1. Наблюдатель A на Земле и наблюдатель B в космическом корабле, одновременно измеряющие скорость одного и того же светового импульса

Рассмотрим другой пример: два наблюдателя, один из которых покоится по отношению к удаленной звезде, а другой движется к ней с большой скоростью. Если каждый из них измерит скорость света от звезды, то оба получат одинаковый результат: $v_{\text{света}} = c$. Главным исходным моментом теории относительности Эйнштейна является то, что скорость света всегда равна $c = 2{,}998 \cdot 10^8$ м/с независимо от скорости движения источника света или наблюдателя. Эйнштейн объяснил этот «странный» результат «странными» свойствами пространства и времени. Он предположил, что с точки зрения движущегося наблюдателя пространство «сокращается» в направлении движения в $\sqrt{1 - v^2/c^2}$ раз, а время по измерениям того же движущегося наблюдателя во столько же раз «замедляется». Иными словами, Эйнштейн «подправил» пространство и время, причем так, чтобы получить правильный результат $\Delta x'/\Delta t' = c$ для любого светового импульса и для

любого наблюдателя, движущегося с постоянной скоростью (x' и t' — координата и время, измеренные движущимся наблюдателем). В следующих разделах мы увидим, как это можно сделать количественно. Рассмотрим теперь опыт, который впервые установил независимость скорости света как от скорости источника, так и от скорости наблюдателя.

Опыт Майкельсона–Морли

До того как в 1905 г. была опубликована теория относительности Эйнштейна, большинство физиков считало, что световые волны должны распространяться в особой среде, точно такой же, какой в случае распространения звуковых волн является воздух. Эту гипотетическую среду назвали эфиром. Если бы эфир существовал, то покоящаяся по отношению к нему система отсчета была бы выделенной. Только в этой системе отсчета скорость света $v_{\text{света}}$ действительно была бы равна c. Для наблюдателя, движущегося со скоростью v относительно эфира, скорость света была бы равна $(c + v)$, если бы наблюдатель двигался по направлению к источнику света. Эфир мыслился как «физическая», но лишенная массы среда. Представить себе такой объект было довольно трудно.

В 80-х гг. XX века были выполнены опыты, результаты которых свидетельствовали о независимости скорости распространения света от скорости источника или наблюдателя. Эти опыты продемонстрировали, что во всех случаях $v_{\text{света}} = c$, и тем самым противоречили гипотезе эфира. Сторонники теории эфира утверждали, что, поскольку Земля движется вокруг Солнца со скоростью $v = 30$ км/с, в течение года должны существовать периоды, когда Земля и эфир будут двигаться друг относительно друга со скоростью не менее 30 км/с (рис. 8-2). Тогда для наблюдателя на Земле свет, распространяющийся в том же направлении, что и движущийся эфир, должен иметь скорость $c + v$ относительно Земли, а свет, распространяющийся в противоположном направлении, — скорость $c - v$, где v составляет по крайней мере 30 км/с.

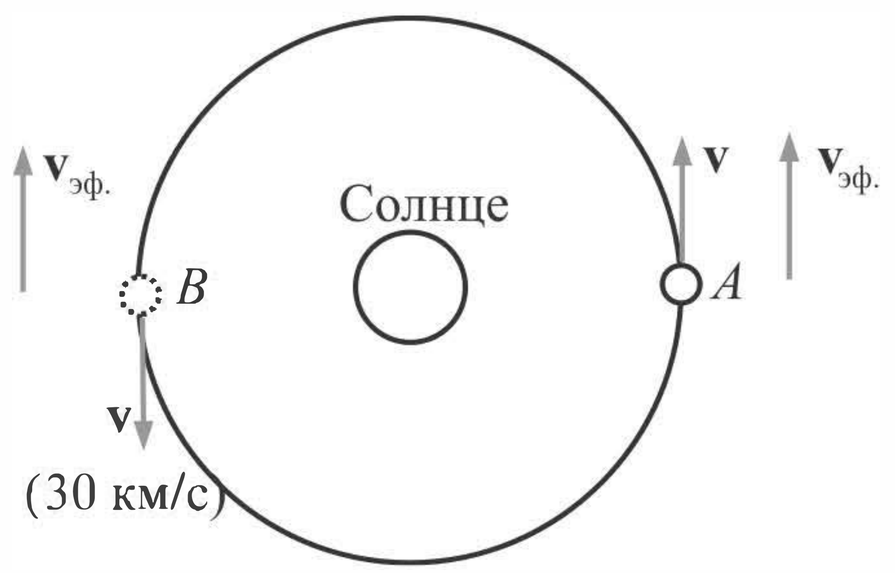


Рис. 8-2. Движение Земли вокруг Солнца. Если бы в точке A скорость эфира была такой же, как и скорость Земли, то относительно Земли эфир имел бы нулевую скорость. С другой стороны, в точке B Земля двигалась бы относительно эфира со скоростью 60 км/с

Предположим, что на жестком основании длиной D установлены источник света и зеркало, причем эфир движется относительно установки, как показано на рис. 8-3. Тогда время распространения света от источника до зеркала будет равно $t_1 = D/(c - v)$, а в обратном направлении $t_2 = D/(c + v)$. Полное время распространения света от источника к зеркалу и обратно запишется в виде

$$t = \frac{D}{c-v} + \frac{D}{c+v} = \frac{2Dc}{c^2 - v^2},$$

или

$$t = \frac{2D}{c}\left(1 - \frac{v^2}{c^2}\right)^{-1}. \qquad (8\text{-}1)$$

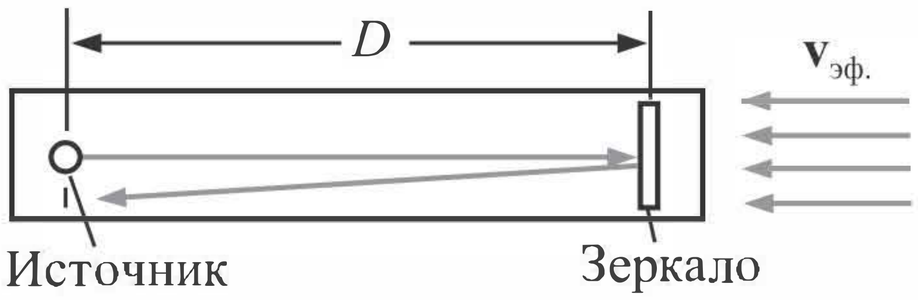


Рис. 8-3. Источник и зеркало, укрепленные на жестком основании. Эфир движется справа налево со скоростью v

Формула (8-1) характеризует полное время распространения света от источника к зеркалу и обратно при условии, что установка ориентирована параллельно скорости эфира $\mathbf{v}_{эф.}$. Если повернуть установку на 90°, так что она окажется перпендикулярной скорости $\mathbf{v}_{эф.}$, то с точки зрения наблюдателя, покоящегося относительно эфира, свету предстоит пройти пусть $2D'$ (рис. 8-4). В этом случае полное время распространения света от источника к зеркалу и обратно было бы

$$t' = 2D'/c,$$

откуда находим

$$D' = ct'/2. \qquad (8\text{-}2)$$

Из прямоугольного треугольника на рис. 8-4 имеем

$$D'^2 = D^2 + (vt'/2)^2.$$

Подставляя теперь сюда вместо D' его выражение (8-2), получаем

$$c^2t'^2/4 = D^2 + v^2t'^2/4,$$

откуда находим

$$t' = \frac{2D}{c}\left(1-\frac{v^2}{c^2}\right)^{-1/2}. \qquad (8\text{-}3)$$

Таким образом, разница во времени распространения света при параллельной и перпендикулярной ориентациях установки равна

$$t - t' = \frac{2D}{c}\left[\left(1-\frac{v^2}{c^2}\right)^{-1} - \left(1-\frac{v^2}{c^2}\right)^{-1/2}\right].$$

Это выражение можно упростить, ограничиваясь первыми двумя членами биномиального разложения: $(1 - \varepsilon)^n \approx 1 - n\varepsilon$. В этом случае

$$t - t' = \frac{2D}{c}\left[\frac{v^2}{c^2} - \frac{v^2}{2c^2}\right] = \frac{Dv^2}{c^3}. \qquad (8\text{-}4)$$

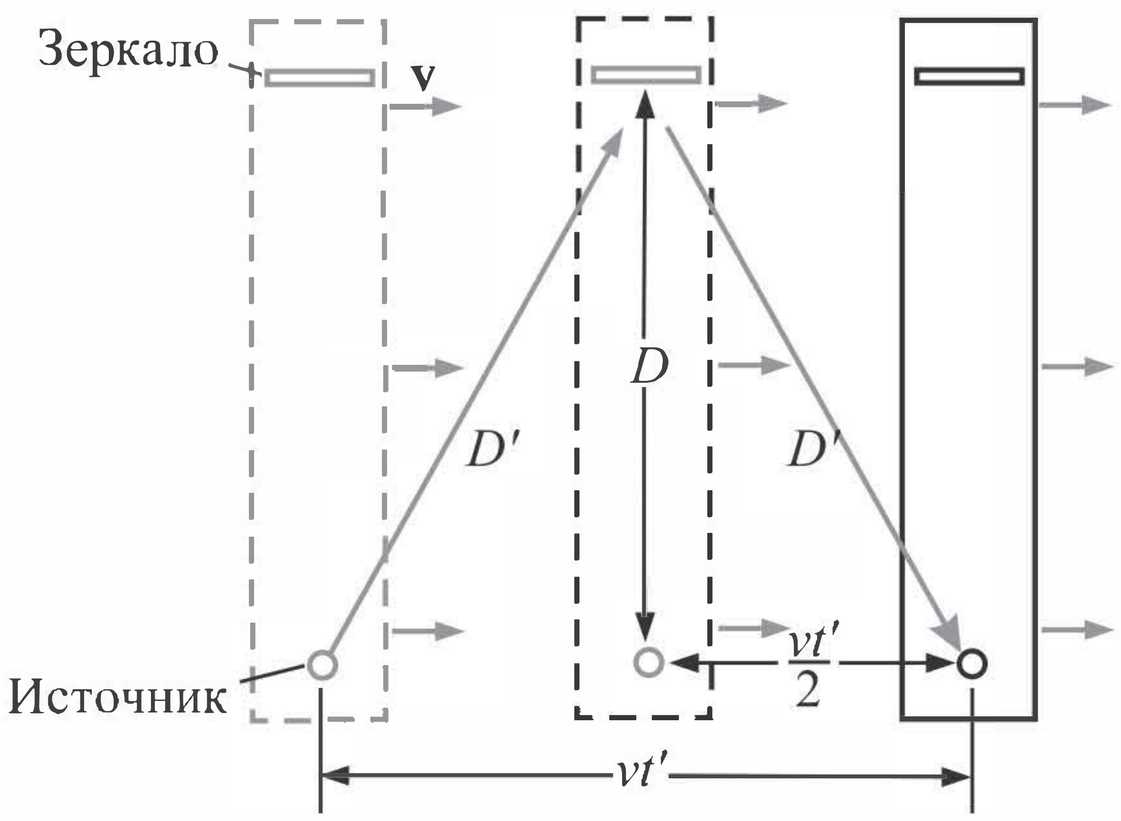


Рис. 8-4. Три последовательных положения жесткого основания, движущегося в эфире. На этом рисунке эфир покоится

Пример 1. Полагая длину основания установки равной 1 м, найдите разницу во времени распространения света при продольной и поперечной ориентациях установки, если скорость эфира 30 км/с.

Решение:

$$\frac{v}{c}=\frac{30\ \text{км/с}}{3\cdot10^{5}\ \text{км/с}}=10^{-4},$$

$$(t-t')=\frac{D\left(10^{-4}\right)^{2}}{c}=\frac{D\left(10^{-8}\right)}{c}=3{,}3\cdot10^{-17}\ \text{с}.$$

За этот промежуток времени свет проходит расстояние около 1/40 длины световой волны.

Майкельсон и Морли пришли к выводу, что столь малую разность времен удастся наблюдать, если использовать интерферометр с двумя основаниями («плечами»), расположенными под углом 90° друг к другу. На рис. 8-5 показан такой интерферометр. Свет от источника S расщепляется с помощью полупрозрачного (посеребренного) зеркала M_1. Затем два световых луча вновь совмещаются на экране. Если оба луча проходят одну и ту же оптическую длину пути, то при интерференции на экране свет усилится (амплитуды обеих волн сложатся). Эксперимент состоит в том, чтобы подобрать положения зеркал, обеспечивающие конструктивную (с усилением) интерференцию. Затем в процессе вращения Земли вся установка поворачивается на 90°, и вновь наблюдается интерференционная картина. За счет скорости эфира разница во времени прохождения светом длин оснований должна была бы изменить интерференционную картину (амплитуды волн вычитались бы, и наблюдалось бы ослабление интенсивности). Даже столь малая скорость v, как 30 км/с, должна была бы дать значительный эффект.

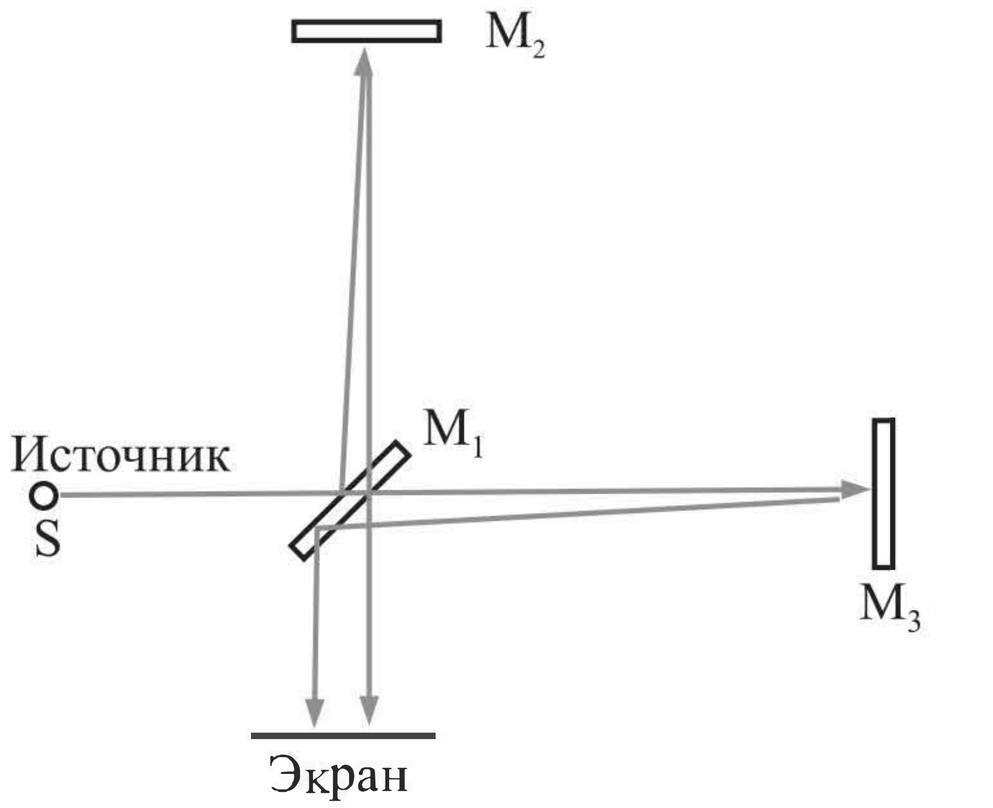


Рис. 8-5. Интерферометр Майкельсона. Свет от источника S расщепляется полупрозрачным зеркалом M_1 и вновь собирается на экране

Но самые тщательные попытки Майкельсона и Морли обнаружить эффект успеха не имели. Одно из объяснений состояло в том, что эфир случайно обладает той же скоростью 30 км/с относительно Солнечной системы и движется в том же направлении, что и Земля. Однако Майкельсон и Морли повторили свой эксперимент шесть месяцев спустя, когда скорость движения Земли вокруг Солнца сменила свое направление на обратное. Если бы теория эфира была справедлива, то они должны были бы наблюдать вдвое больший эффект (рис. 8-2), но эксперимент снова обнаружил отсутствие эффекта (нулевой результат).

Другое объяснение состояло в том, что Земля частично увлекает эфир вместе с собой. Однако тогда мы имели бы ежегодное смещение положений звезд, что не соответствует наблюдениям. Таким образом, это объяснение было отвергнуто на основании астрономических наблюдений.

Опыты Майкельсона и Морли привели к выводу о том, что свет от источника в интерферометре всегда распространяется со скоростью c относительно ис-

точника и зеркал. Последняя попытка объяснить отрицательный результат опыта Майкельсона и Морли могла быть связана с пересмотром законов электромагнетизма, с тем чтобы свет всегда излучался со скоростью c относительно источника электромагнитных волн. Это объяснение в свою очередь противоречит астрономическим наблюдениям. Если бы эта теория был справедлива, то движение двойных звезд казалось бы искаженным и противоречило законам Кеплера. Действительно, когда одна из звезд движется в направлении к Земле со скоростью v, свет от нее должен распространяться на всем пути со скоростью $c + v$ и прибыть раньше, тогда как свет, испущенный той же звездой, удаляющейся от Земли, должен прибыть позднее.

Можно было бы ожидать, что эта серия экспериментов окажет существенное влияние на Альберта Эйнштейна при формулировке решения проблемы.

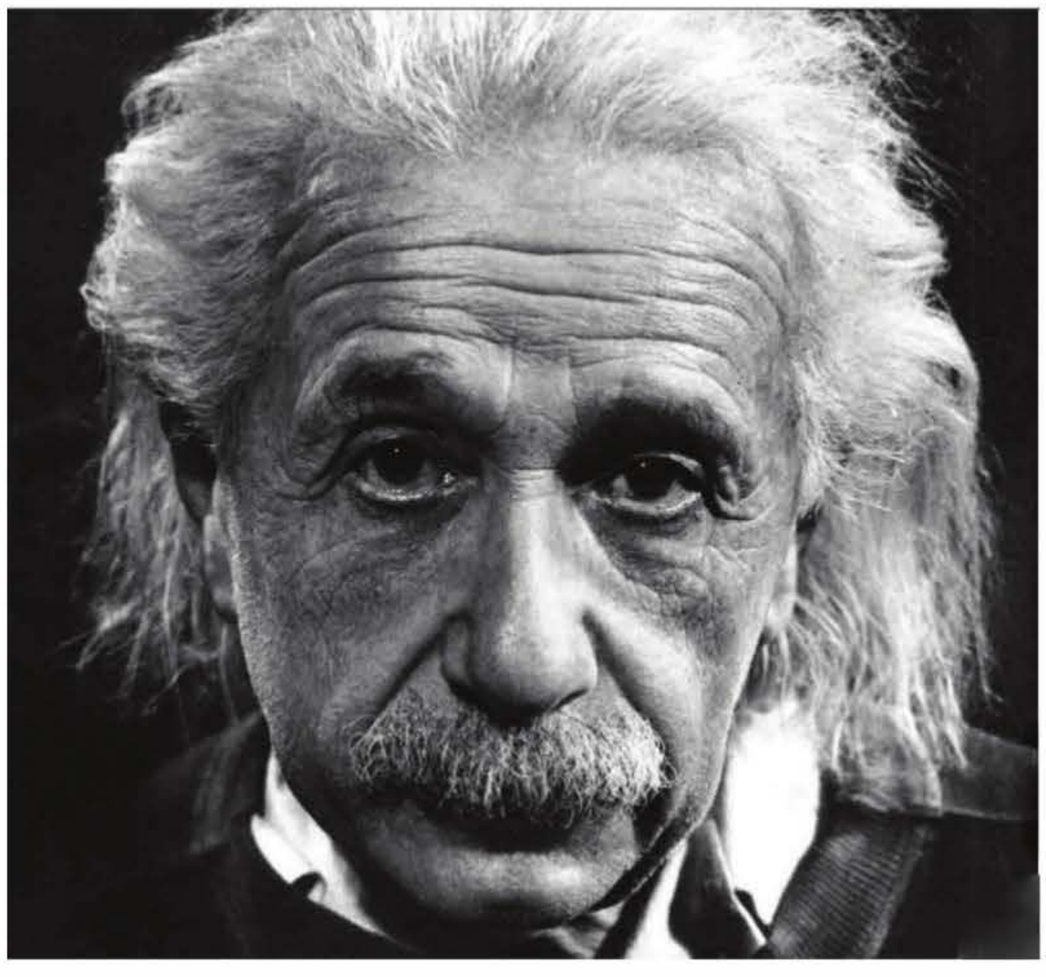


Рис. 8-6. Альберт Эйнштейн (1879–1955)

Однако в действительности опыты Майкельсона и Морли мало повлияли на рассуждения Эйнштейна. Его гораздо больше беспокоили противоречия между уравнениями теории электромагнетизма и классической механики. Одной из его любимых задач была мысленная «погоня» за световым лучом: что произойдет, если «уцепиться» за луч и двигаться со скоростью $v \approx c$? С этих позиций Эйнштейн пытался решить вопрос о том, какие именно нужно сделать изменения в классических представлениях о пространстве и времени, чтобы скорость света казалась одинаковой всем наблюдателям, а уравнения теории электромагнетизма имели бы одну и ту же форму для всех наблюдателей, движущихся друг относительно друга с постоянной скоростью.

Принцип относительности

Как мы увидим, проведенный Эйнштейном пересмотр понятий пространства и времени вытекал непосредственно из двух основных принципов. Первый из них — это постоянство скорости света для всех наблюдателей. (В более общей формулировке этот принцип предполагает существование предельной скорости $c = 2{,}998 \cdot 10^8$ м/с, больше которой не может иметь ни одна частица. Не имеющие массы, или безмассивные, частицы, такие как фотоны и нейтрино, должны всегда двигаться относительно всех наблюдателей со скоростью $v = c$). В наших рассуждениях неявно подразумевался и второй принцип, а именно принцип относительности, впервые сформулированный Галилеем. Галилей предположил, что *законы физики должны быть одинаковы для всех наблюдателей, движущихся с постоянной скоростью относительно друг друга независимо от величин и направлений скоростей*. В иной формулировке принцип относительности утверждает,

что не должно существовать выделенной (привилегированной) системы отсчета, равно как и способа определения абсолютной скорости. Действительно, если при полете с постоянной скоростью на реактивном авиалайнере закрыть глаза, все ощущения будут такими же, как и в состоянии покоя. Принцип относительности утверждает, что не существует таких физических экспериментов, с помощью которых можно было бы, находясь внутри самолета, определить его скорость; разумеется, при этом предполагается отсутствие всякой связи с внешней средой.

§ 3. Замедление времени

Начнем изложение теории относительности с простого примера применения двух принципов (постоянства скорости света и принципа относительности). Этот пример наглядно показывает, почему Эйнштейн счел необходимым изменить понятие времени. Применим оба принципа к простой разновидности часов, называемой «световыми часами». Их устройство очень просто: это два обычных зеркала, установленных параллельно друг другу на расстоянии D (рис. 8-7, *а*).

Такое устройство может служить своего рода часами, если поверхности зеркал абсолютно отражающие и короткий световой импульс «бегает» между ними в прямом и обратном направлениях. Пусть τ — время, за которое импульс света, отразившись от нижнего зеркала, достигает верхнего. Часы «тикают» всякий раз, когда свет отражается от зеркала. Допустим, что имеются две пары вполне идентичных часов A и B, причем частота их хода синхронизована и период «тиканья» $\tau = D/c$. Пусть часы B движутся вправо со скоростью v (рис. 8-7, *б*). Прежде всего зададимся вопросом, останется ли длина

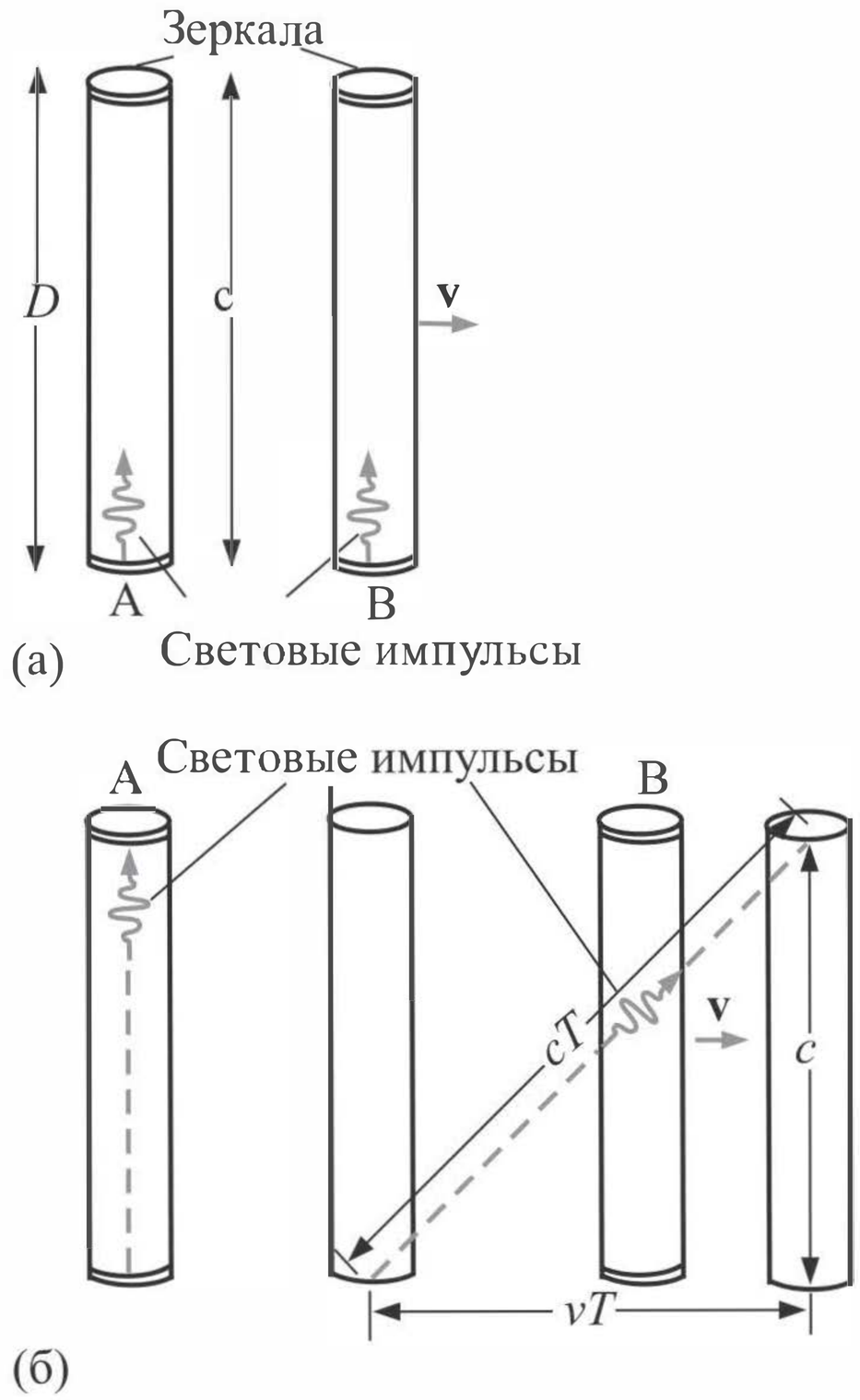


Рис. 8-7. *а* — двое одинаковых световых часов в момент времени $t = 0$; часы B движутся вправо со скоростью v; *б* — световые часы спустя τ секунд с точки зрения наблюдателя A; оба световых импульса прошли расстояние $c\tau$; импульс в часах A достиг зеркала, тогда как импульс в часах B лишь на пути к зеркалу

движущихся часов B такой же, как у часов A. Чтобы ответить на этот вопрос, представим себе, что на конце часов B имеется небольшая кисточка с краской. Когда часы B проходят мимо часов A, эта кисточка оставляет на часах A метку, и если метка приходится на край часов A, то это означает, что длина часов B не изменилась. Если же метка окажется ниже края часов A, то длина часов B при движении сократилась. Предположим, что именно последний случай и реализуется в действительности. Тогда наблюдатель A (движущийся вместе с часами A) увидит,

что движущиеся световые часы (или любой отрезок, перпендикулярный направлению движения) стали короче. С другой стороны, с точки зрения наблюдателя B движущиеся (относительно него) световые часы окажутся длиннее. Однако, согласно принципу относительности, оба наблюдателя совершенно равноправны и оба должны наблюдать один и тот же эффект. Это возможно лишь в том случае, когда обоим наблюдателям обе пары часов кажутся одной и той же длины.

Дальнейшее рассмотрение мы проведем с точки зрения наблюдателя, покоящегося относительно часов A. Такому наблюдателю путь светового луча от одного края часов B до другого будет представляться более длинным, чем в часах A. Действительно, как видно из рис. 8-7, *б*, световой импульс в часах B должен двигаться по диагонали, а в соответствии с принципом постоянства скорости света это движение должно происходить с той же скоростью, что и движение светового импульса в часах A. Следовательно, с точки зрения наблюдателя A световому импульсу в часах B понадобится больше времени для того, чтобы достичь верхнего зеркала, чем световому импульсу в часах A. Обозначим этот (больший) промежуток времени через T; тогда длина диагонали равна cT. Применяя теорему Пифагора к чертежу на рис. 8-7, *б*, имеем

$$(cT)^2 = (vT)^2 + (c\tau)^2,$$

откуда получаем

$$T = \frac{1}{\sqrt{1 - v^2/c^2}}\tau. \qquad (8\text{-}5)$$

В теории относительности множитель $(1 - v^2/c^2)^{-1/2}$ встречается столь часто, что его принято обозначать специальным символом γ:

$$\gamma = \frac{1}{\sqrt{1 - v^2/c^2}} \quad (\textit{определение } \gamma).$$

Покоящийся наблюдатель видит, что промежуток времени между «тиканьями» движущихся часов равен величине T, которая больше τ — промежутка времени между «тиканьями» любых часов. Отсюда следует, что любой наблюдатель обнаружит замедление хода движущихся часов в γ раз по сравнению с точно такими же, но находящимися в покое часами.

Величина τ в соотношении (8-5) называется собственным временем. Это измеренный наблюдателем промежуток времени между двумя событиями, которые наблюдатель видит в одной и той же точке пространства. Тогда T — промежуток времени между теми же двумя событиями, но измеренный движущимся наблюдателем (по его собственным часам):

$$\tau = \frac{1}{\gamma}T \ (\textit{собственное время}). \qquad (8\text{-}6)$$

Собственное время данных часов — это время, измеренное наблюдателем, движущимся вместе с часами. Движущийся относительно данных часов наблюдатель зафиксирует, что часы отмеряют интервал времени $T = \gamma\tau$ (по часам, покоящимся относительно самого наблюдателя).

Но, может быть, световые часы ведут себя так благодаря особым свойствам света? Будут ли обычные механические часы, части которых движутся значительно медленнее по сравнению со светом, замедляться в те же γ раз? Эйнштейн ответил на этот вопрос утвердительно, поскольку эффект замедления не имеет ничего общего с устройством конкретных часов, а обязан свойствам самого времени. Чтобы продемонстрировать это, представим себе световые часы, прочно соединенные с обычными карманными

часами, причем обе пары показывают одно и то же время. Допустим, что часы начинают двигаться со скоростью v, причем световые часы, как им и положено, замедляются, а карманные — нет. Тогда мы получили бы в свое распоряжение простой детектор абсолютного движения: если показания обоих часов совпадают, то они покоятся, если же световые часы отстают, то можно сказать, что они движутся. Последнее, разумеется, нарушает принцип относительности, на котором основано наше рассмотрение.

Поскольку замедление времени — это свойство самого времени, то замедляют свой ход не только движущиеся часы, но и все физические процессы (в том числе химические реакции) замедляются при движении. Жизнь включает комплекс химических реакций, поэтому течение жизни при движении также замедляется в соответствующее число раз. Действительно, если бы биологический процесс старения не замедлялся в такой же пропорции, то, прикрепив к движущимся световым часам биологический объект, способный отсчитывать время (например, по числу ударов сердца), мы могли бы провести те же рассуждения, что и выше; и если бы биологические и световые часы отсчитывали разное время, то мы вновь получили бы детектор абсолютного движения и, таким образом, вновь пришли бы к нарушению принципа относительности. Разумеется, человек, любое живое существо или растение в быстро движущемся космическом корабле не почувствуют и вообще не заметят, находясь внутри этого корабля, никакого замедления жизненного ритма. В § 7 мы более подробно обсудим старение во время космического путешествия.

Замедление физических процессов при движении должно сказываться и на периоде полураспада радиоактивного вещества. Этот эффект наблюдался с точностью 10^{-4} на пучке нестабильных частиц, движущихся со скоростью, близкой к световой. Период полураспада таких частиц возрастает в γ раз. Одна из самых распространенных нестабильных частиц называется пионом (см. гл. 31). Пион имеет период полураспада около $1{,}8 \cdot 10^{-8}$ с и легко образуется при бомбардировке любого материала пучком от ускорителя на высокие энергии. Пучок пионов с одинаковыми скоростями можно получить, отбирая траектории с одним и тем же углом отклонения в магнитном поле (рис. 8-8).

Пример 2. Рассмотрим пучок пионов, движущихся со скоростью $v = 0{,}99c$.

а) Во сколько раз увеличивается время жизни пионов (измеренное в лабораторной системе отсчета)?

б) За какое время половина пионов распадается?

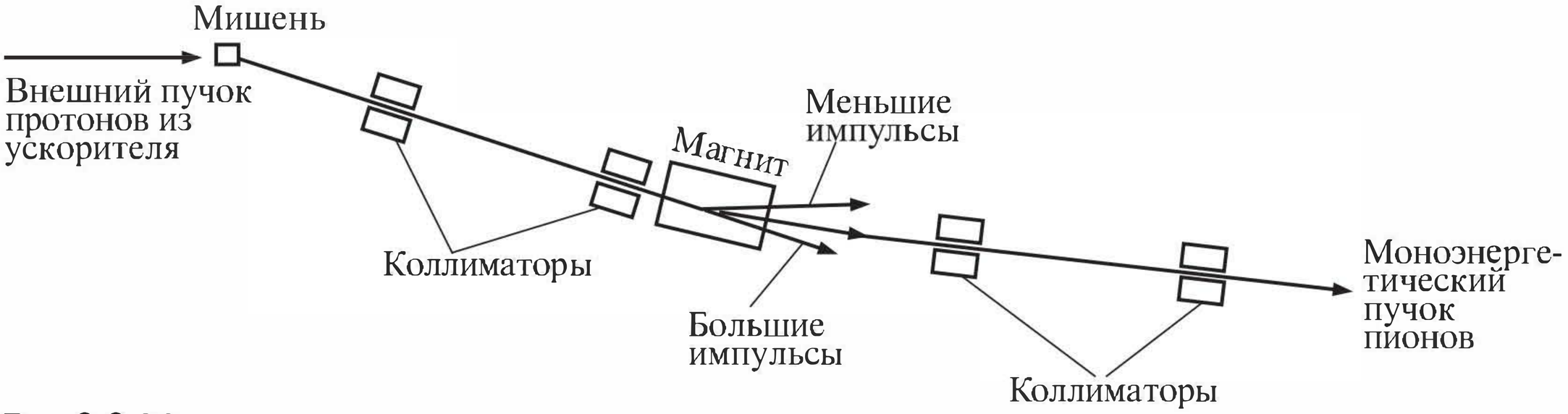


Рис. 8-8. Метод получения пучка пионов, движущихся с одной и той же скоростью

в) Как далеко они переместятся за это время?

Решение:
Множитель $\gamma = (1 - 0{,}99^2)^{-1/2} = 7{,}09$. Период полураспада пионов увеличивается в 7,09 раза; таким образом, он станет равным $t = 7{,}09 \times (1{,}8 \cdot 10^{-8}\ \text{с}) = 12{,}7 \cdot 10^{-8}$ с. За это время пионы проходят путь $x = vt = 0{,}99c\ (12{,}7 \cdot 10^{-8}\ \text{с}) = 37{,}9$ м.

Замедление времени наблюдалось не только с помощью микроскопических «часов» в виде нестабильных частиц. В 1960 г. это явление впервые наблюдалось с использованием так называемых мёссбауэровских часов. Наиболее стабильное устройство отсчета времени, которое можно создать на современном уровне, основано на эффекте Мёссбауэра. В таких «часах» используются фотоны, испускаемые ядрами радиоактивного изотопа железа, внедренными в монокристалл железа. Двое идентичных мёссбауэровских часов показывают одно и то же время с точностью до 10^{-16}. Сдвиг по времени проявляется в увеличении скорости счета фотонов, причем этот сдвиг может быть измерен количественно. В эксперименте по замедлению времени на мёссбауэровских часах вся установка быстро вращалась, и было обнаружено замедление в точности в $(1 - v^2/c^2)^{-1/2}$ раз по сравнению с абсолютно такими же покоящимися мёссбауэровскими часами.

§ 4. Преобразования Лоренца

«Я едва передвигаюсь, однако чувствую, что зашел уже далеко».
«Видишь, сын мой, здесь время превращается в пространство».

(*Сцена превращения из «Парсифаля» Р. Вагнера, 1877*)

В этом параграфе мы увидим, что мечта поэта оказалась близкой к истине. Преобразования Лоренца [уравнения (8-9)] показывают, что время может превращаться в пространство и наоборот. Рассмотрим двух наблюдателей, движущихся с относительной скоростью v. Назовем одного м-ром X, а другого — м-ром X′. М-р X измеряет события в системе координат (x, y, z, t). Систему отсчета, используемую м-ром X′, назовем штрихованной (рис. 8-9). В классической механике соотношения между двумя системами отсчета записываются в виде

$$\begin{cases} x' = x + vt, \\ y' = y, \\ z' = z, \\ t' = t. \end{cases}$$

при условии, что начала обеих систем совпадают в момент времени $t = t' = 0$. В силу этих преобразований пучок света, распространяющийся вправо со скоростью c в нештрихованной системе, будет иметь скорость $c + v$ в штрихованной.

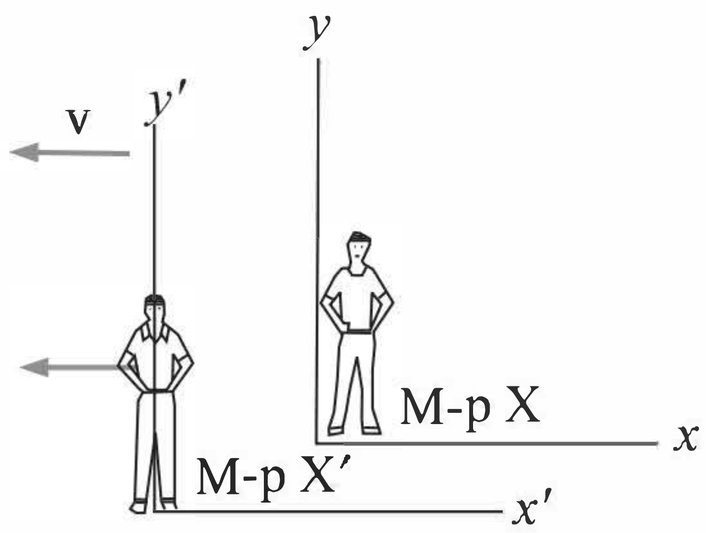


Рис. 8-9. Два наблюдателя, движущиеся с относительной скоростью v

Нам нужно найти другие уравнения преобразований координат, а именно такие, чтобы тело, движущееся со скоростью $v = c$ в нештрихованной системе, двигалось с такой же скоростью $v' = c$ и в штрихованной системе; иными словами, если $x = ct$, то $x' = ct'$. Общий вид преобразования координат запишется следующим образом:

$$x' = Ax + Bt, \tag{8-7}$$

$$t' = Et + Fx; \tag{8-8}$$

здесь A, B, E и F могут быть функциями от v. (Вновь предполагается, что начала систем координат совпадают при $t = t' = 0$.) Мы уже видели, что $y' = y$, $z' = z$ в силу полученного выше результата о равенстве поперечных длин, измеренных двумя наблюдателями. Для нахождения четырех величин A, B, E и F требуются четыре уравнения. Рассмотрим прежде всего часы, расположенные неподвижно в точке $x = 0$, и пусть время между их «тиканьями» составляет τ. В соответствии с формулой (8-5) м-р X′ наблюдает движущиеся часы, время между «тиканьями» которых составляет $\gamma\tau$. Поскольку уравнение (8-8) справедливо для первого отсчета, то этому уравнению должны удовлетворять значения $x = 0$, $t = \tau$ и $t' = \gamma\tau$:

$$\gamma\tau = E\tau + 0.$$

Таким образом, $E = \gamma$.

Согласно наблюдениям м-ра X′, часы движутся вправо со скоростью v; иными словами, он видит их при $x' = vt'$. Подставив в уравнение (8-7) это соотношение, а также $x = 0$, имеем

$$vt' = 0 + Bt,$$

откуда находим

$$B = vt'/t = v\gamma.$$

Последнее равенство мы получили благодаря тому, что, как уже было показано в (8-6), $t' = \gamma\tau$.

Чтобы найти коэффициент A, поместим часы в начало системы координат м-ра X′. В соответствии с принципом относительности м-р X должен видеть их удаляющимися влево со скоростью $-v$. Таким образом, $x = -vt$ при $x' = 0$. Подставляя эти значения в уравнение (8-7), имеем

$$0 = A(-vt) + (v\gamma)t,$$

откуда находим

$$A = \gamma.$$

Таким образом, уравнения (8-7) и (8-8) принимают вид

$$\begin{cases} x' = \gamma x + \gamma vt, \\ t' = \gamma t + Ex. \end{cases}$$

Используем, наконец, тот факт, что если $x = ct$, то $x' = ct'$. Подставив эти соотношения в последние два уравнения и разделив верхнее на нижнее, получим

$$\frac{ct'}{t'} = \frac{\gamma ct + \gamma vt}{\gamma t + Fct},$$

или

$$c = \frac{\gamma c + \gamma v}{\gamma + cF}.$$

Отсюда находим, что

$$F = \frac{v}{c^2}\gamma.$$

Таким образом, мы получили все четыре коэффициента, и в окончательном виде уравнения (8-7) и (8-8) запишутся следующим образом:

$$\begin{cases} x' = \gamma x + \gamma v t, \\ t' = \gamma t + \gamma \dfrac{v}{c^2} x \end{cases}$$

(*преобразования Лоренца*). (8-9)

В теории относительности время иногда называют четвертым измерением. Точнее говоря, величина ct, имеющая ту же размерность, что и x, y, z, ведет себя как четвертая пространственная координата. Мы видим, что величины ct и x могут перемешиваться в зависимости от скорости наблюдателя. В теории относительности ct и x проявляют себя с математической точки зрения сходным образом.

Уравнения (8-9) выражают штрихованные координаты и время через нештрихованные. Полезно также иметь и обратные преобразования; их можно получить, решая систему уравнений относительно неизвестных x и t. Простые алгебраические выкладки дают

$$\begin{cases} x' = \gamma x' - \gamma v t', \\ t' = \gamma t' - \gamma \dfrac{v}{c^2} x'. \end{cases}$$

Заметим, что эти уравнения имеют такой же вид, как и (8-9), за исключением лишь того, что v заменяется на $-v$. Но этого и следовало ожидать, поскольку м-р X видит м-ра X′ движущимся относительно него со скоростью $-v$, тогда как м-р X′ видит м-ра X движущимся со скоростью v.

Лоренцево сокращение

Предположим, что м-р X решил измерить длину метровой линейкой, покоящейся относительно штрихованной системы отсчета, причем концы этой линейки закреплены в точках x'_1 и x'_2 (рис. 8-10). Тогда в соответствии с (8-9) мы может записать

$$x'_2 = \gamma x_2 + \gamma v t_2,$$
$$x'_1 = \gamma x_1 + \gamma v t_1.$$

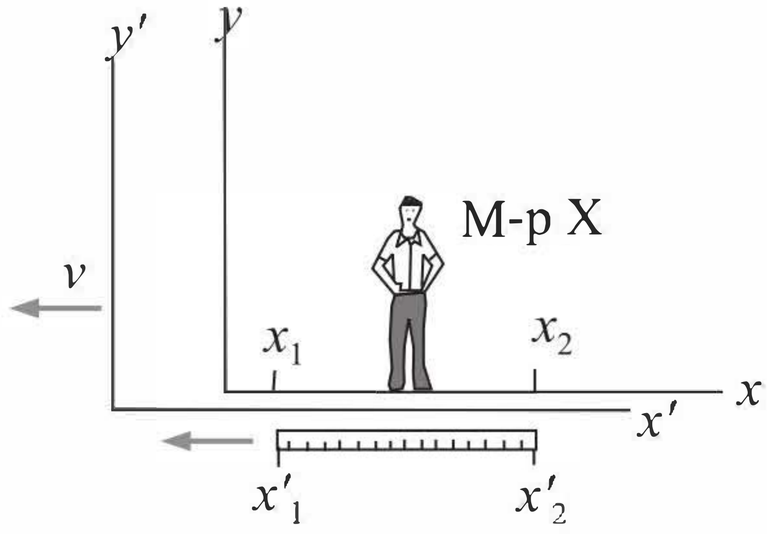


Рис. 8-10. Движущаяся метровая линейка неподвижна в штрихованной системе

Вычитая второе уравнение из первого, получаем

$$x'_2 - x'_1 = \gamma(x_2 - x_1) + \gamma v(t_2 - t_1).$$

Чтобы м-р X правильно измерил в своей системе отсчета длину движущегося предмета, он должен постараться отметить положения концов линейки в моменты времени, которые он считает совпадающими, т. е. при $t_1 = t_2$. Тогда последнее уравнение примет вид

$$x'_2 - x'_1 = \gamma(x_2 - x_1),$$

или

$$x_2 - x_1 = \frac{1}{\gamma}(x'_2 - x'_1).$$

Таким образом, длина движущейся линейки равна умноженной на $\sqrt{1 - v^2/c^2}$ длине той же самой линейки в покое:

$$l_{\text{движ.}} = \sqrt{1 - v^2/c^2} \cdot l_{\text{пок.}} \quad (\textit{лоренцево сокращение}). \qquad (8\text{-}10)$$

Если бы двум наблюдателям пришлось двигаться друг относительно друга и оба они держали бы в руках совершенно одинаковые метровые линейки, расположенные вдоль направления движения, то каждый наблюдатель «увидел» бы метровую линейку другого укороченной в одно и то же число раз. Мы ставим слово «увидел» в кавычки, поскольку важно, чтобы положения концов линейки измерялись одновременно. Однако если просто смотреть на оба конца, то произойдет определенная временная задержка из-за конечного времени распространения света. Нужно выполнить весьма сложные вычисления, чтобы узнать, как будет выглядеть фотография быстро движущегося предмета вследствие различия во времени распространения света по разным путям.

Пример 3. Метровая линейка движется мимо наблюдателя со скоростью, составляющей 60 % скорости света. Какой покажется наблюдателю ее длина?

Решение: В соответствии с (8-10) имеем

$$l = \sqrt{1-(0{,}6)^2}\,(100\text{ см}) = \sqrt{0{,}64}\,(100\text{ см}) = 80\text{ см}.$$

§ 5. Одновременность

То, что один наблюдатель считает метровую линейку короче, чем другой, с точки зрения физики объясняется несовпадением для них понятия одновременности, т. е. события, одновременные для одного наблюдателя, не являются таковыми для другого. При этом следует помнить, что для измерения длины метровой линейки положения обоих ее концов нужно отмечать одновременно.

Используя в качестве примера движущийся вагон, мы покажем, что два события, одновременные с точки зрения неподвижного наблюдателя, не будут одновременными для наблюдателя внутри вагона. Длина вагона в состоянии покоя равна l по измерениям м-ра X, который стоит в его центре (рис. 8-11). Предположим, что в момент времени $t = t_0$ м-р X проезжает мимо м-ра X′, который стоит рядом с железнодорожным полотном. В это время (по часам м-ра X′) две молнии ударяют в концы вагона и оставляют следы на рельсах. М-ру X′ это дает прекрасную возможность измерить длину вагона. При желании он может измерить расстояние между отметками и обнаружить, что

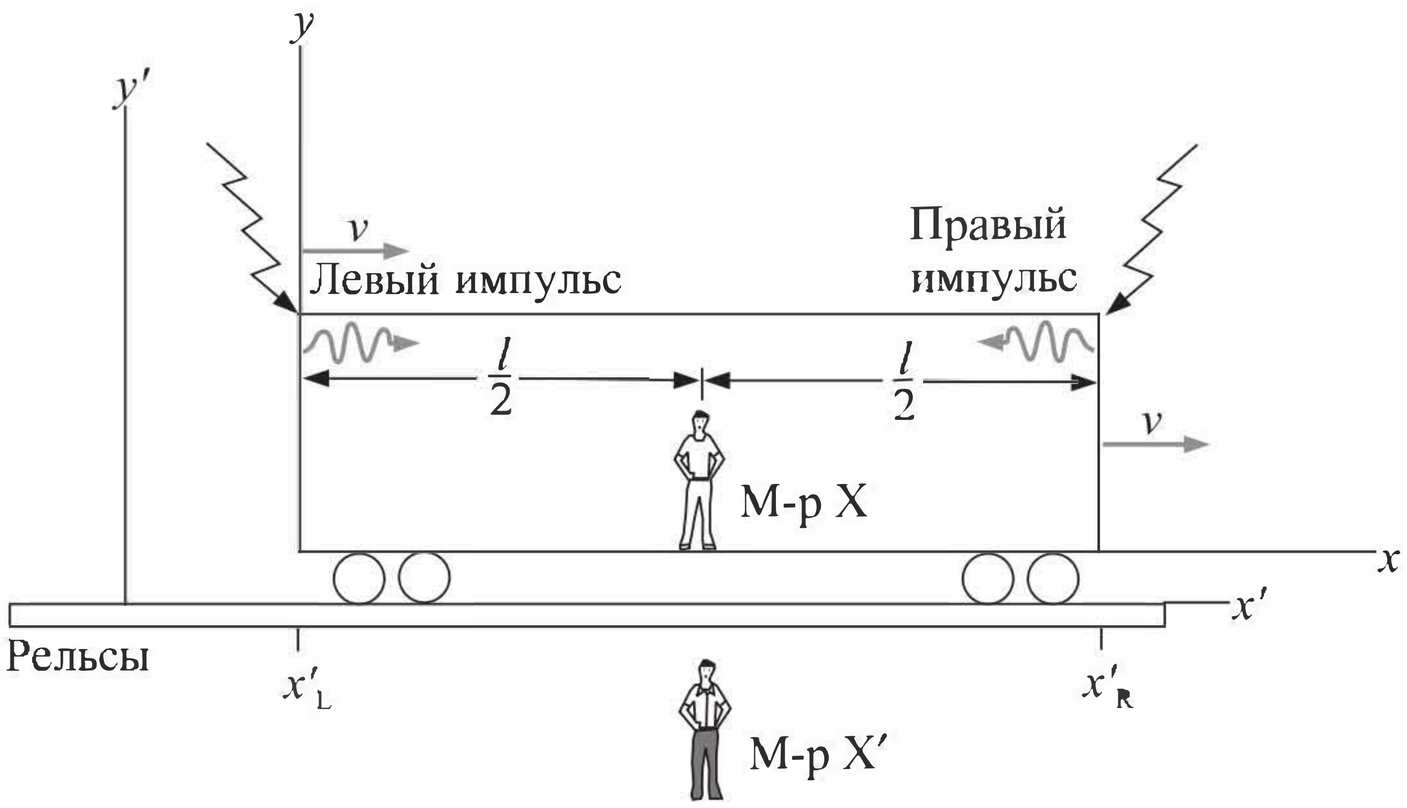


Рис. 8-11. М-р X′ видит, что обе молнии ударяют в концы вагона одновременно. М-р X движется вправо навстречу световому импульсу и видит его первым, так что, по мнению м-ра X, молния сначала ударяет в правый конец вагона

$$l' = \sqrt{1 - v^2/c^2}\cdot l,$$

где l — длина вагона, находящегося в покое.

Однако не менее удивительно то, что м-р X утверждает, будто молния ударила сначала в правый конец. Разумеется, с точки зрения м-ра X′ наблюдатель в вагоне движется навстречу свету от правой молнии и, таким образом, раньше видит этот свет. Если лицо м-ра X раньше освещается светом справа, то это означает, что свет достиг его раньше, и этот факт не зависит от наблюдателя. Но по мнению м-ра X, обе вспышки молнии произошли на одинаковых расстояниях от него, и если он видел сначала вспышку справа, то он считает, что она и произошла раньше. Еще один наблюдатель, м-р X″, начавший двигаться из той же точки, но не вправо, а влево, утверждал бы, что раньше произошла левая вспышка.

Отсюда можно заключить, что если промежуток времени между двумя событиями короче того времени, которое необходимо для распространения света между ними, то порядок следования этих событий остается неопределенным: точнее, он зависит от скорости наблюдателя. В таких случаях может оказаться, что будущие события опередят прошедшие, если выбрать подходящего (движущегося) наблюдателя.

Пример 4. В оба конца 20-метрового вагона, движущегося вдоль оси x со скоростью 200 км/ч ≈ 55,6 м/с, ударяют молнии. Наблюдатель, стоящий на земле (м-р X′), видит, что молнии ударили в оба конца одновременно. Какую же разницу во времени между двумя ударами отметили пассажиры вагона (в нештрихованной системе отсчета)?

Решение: Обратимся к рис. 8-11. Нам нужно найти разность $t_R - t_L$. Запишем уравнение преобразования Лоренца для t'_R:

$$t'_R = \gamma t_R + \gamma \frac{v}{c^2} x_R$$

и для t'_L:

$$t'_L = \gamma t_L + \gamma \frac{v}{c^2} x_L.$$

Вычитая одно уравнение из другого, имеем

$$(t'_R - t'_L) = \gamma(t_R - t_L) + \frac{\gamma v}{c^2}(x_R - x_L).$$

М-р X′ утверждает, что $t'_R - t'_L = 0$; однако, по мнению любого пассажира, длина вагона $l = x_R - x_L$. Подставляя в предыдущее уравнение вместо разности $x_R - x_L$ величину l, получаем

$$t'_R - t'_L = -\frac{v}{c^2} l = -\frac{55{,}6}{\left(3\cdot 10^8\right)^2}(20)\,\text{с} = -1{,}24\cdot 10^{-14}\,\text{с}.$$

Столь малый отрезок времени не поддается измерению. Знак «минус» указывает, что t_R меньше, чем t_L; иными словами, событие в точке x_R произошло раньше события в точке x_L.

---

§ 6. Оптический эффект Доплера

Если наблюдатель движется к источнику звука, то частота воспринимаемого им звука увеличивается, а при удалении уменьшается. Это изменение частоты, обусловленное движением, называется эффектом Доплера. Обычным примером служит гудок приближающегося поезда. По мере того как поезд проходит мимо, частота (высота тона) понижается. Аналогичное происходит и со световыми волнами. Если источник движется к наблюдателю (или, что эквивалентно, наблюдатель движется к источнику), то частота света увеличивается (свет испытывает «синее смещение»). Если же источник и наблюдатель удаляются друг от друга, частота света уменьшается (это

называется «красным смещением»). Звуковой эффект Доплера вычисляют, используя классическую механику, а для расчета оптического эффекта Доплера требуется теория относительности.

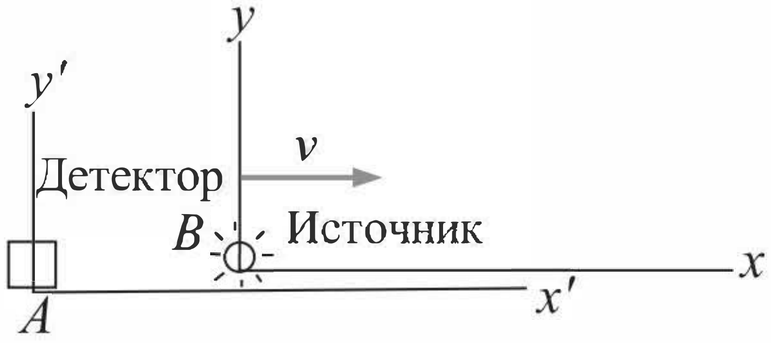


Рис. 8-12. По мнению наблюдателя в штрихованной системе, источник света B движется вправо со скоростью v

На рис. 8-12 показан источник света B, регистрируемого детектором A. Пусть A и B удаляются друг от друга с относительной скоростью v. Предположим, что с A и B связаны одинаковые часы, которые в момент времени, когда они проходят один мимо другого, показывают нулевое время. Пусть в момент времени T_B (по часам B) источник B испускает импульс света. Нужно вычислить время T_A, когда этот свет достигнет детектора A. По мнению наблюдателя в штрихованной системе отсчета, покоящиеся часы A идут быстрее движущихся часов B. Согласно наблюдателю A, его часы показывают

$$t_A = \gamma T_B,$$

когда движущиеся часы B показывают время T_B. Однако нас интересует время, когда свет из B достигает A. В системе отсчета, связанной с A, время распространения света равно x'/c. Момент появления импульса света в A (по часам A)

$$T_A = t_A + \text{время распространения} = t_A + x'/c.$$

Заменим теперь t_A на γT_A и исключим x', заметив, что расстояние, пройденное источником B за время t_A, составляет $x' = v t_A = v(\gamma T_B)$. Таким образом,

$$T_A = \gamma T_B + \frac{v\gamma T_B}{c},$$

или

$$T_A = \gamma(1 + \beta) T_B, \text{ где } \beta \equiv v/c.$$

Интервал времени (или период повторения) между двумя последовательными импульсами света в A дается выражением

$$\tau_A = \gamma\,(1 + \beta)\tau_B, \qquad (8\text{-}11)$$

где τ_B — интервал между теми же импульсами, измеренный у источника B. Частота (или число импульсов в секунду) связана с периодом повторения τ соотношением $f = 1/\tau$. Записывая обратные величины от обеих частей равенства (8-11) и учитывая, что $\gamma = (1 - \beta^2)^{-1/2}$, получаем

$$f_A = f_B\sqrt{1-\beta^2}\,/(1+\beta),$$

или

$$f_A = f_B\sqrt{(1-\beta)/(1+\beta)} \quad (\textit{источник удаляется}); \qquad (8\text{-}12)$$

здесь f_A — число импульсов, принимаемых в секунду детектором A.

Это соотношение остается неизменным, считаем ли мы «тиканье» часов B, число колебаний генератора B или число импульсов света (электромагнитных волн), испускаемых источником B. В последнем случае f_B — число волн, излучаемых ежесекундно источником, а f_A — число волн, регистрируемых в секунду детектором, удаляющимся от источника. Поскольку $f_A < f_B$, регистрируемая («ка-

жущаяся») частота уменьшается, т. е. при удалении от источника наблюдается «красное смещение». Если бы источник приближался к детектору, то знак величины $\beta = v/c$ следовало бы сменить на обратный и в этом случае результат имел бы вид

$$f_A = f_B\sqrt{(1+\beta)/(1-\beta)} \quad (\textit{источник приближается}); \qquad (8\text{-}13)$$

Пример 5. В спектральных линиях, излучаемых астрономическими объектами — квазарами, — наблюдалось красное смещение, отвечающее трехкратному уменьшению частоты. С какой скоростью при этом должен был удаляться квазар?

Решение: Используя соотношение (8-12), имеем

$$f_A = \frac{1}{3}f_B \quad \text{или} \quad \frac{1}{3} = \sqrt{\frac{1-\beta}{1+\beta}},$$

откуда

$$1 + \beta = 9\,(1 - \beta), \quad 10\beta = 8,$$

$$v = 0{,}8c.$$

По-видимому, далекие галактики и квазары убегают от нашей Галактики со скоростью, пропорциональной расстоянию до этих объектов. Если эта линейная связь между скоростью и расстоянием справедлива для квазаров в данном примере, то расстояние до них должно быть порядка $12\cdot10^9$ световых лет.

---

§ 7. Парадокс близнецов

Те, кто следит за программой исследований космоса, могли обратить внимание на то, что космические путешественники будут стареть не так быстро, как их собратья на Земле. Но поскольку реальная скорость космического путешественника $v/c \ll 1$, этот эффект будет пренебрежимо мал. Однако если бы космический путешественник мог двигаться со скоростью света, то он не старел бы вообще. С точки зрения наблюдателя на Земле, ход часов и всех физических процессов (включая саму жизнь) в космическом корабле, движущемся со скоростью v, замедлился бы в $\sqrt{1 - v^2/c^2}$ раз [см. соотношение (8-5)].

Пример 6. Рассмотрим близнецов A и B в ситуации, изображенной на рис. 8-13. Близнец B совершает космическое путешествие по замкнутому маршруту — к звезде Арктур и обратно — со скоростью $v = 0{,}99c$. Для наблюдателей на Земле расстояние до этой звезды 40 световых лет. Каким будет возраст каждого из близнецов, когда B закончит свое путешествие (вернется обратно на Землю), если до начала путешествия им было по 20 лет?

Решение: Согласно измерениям A, путешествие займет на 1 % больше времени, чем требуется свету для преодоления расстояния до Арктура и обратно (80 лет). Поэтому возраст близнеца A к моменту возвращения B составит $20 + 80{,}8 = 100{,}8$ лет. Близнец A считает, что часы на космическом корабле идут

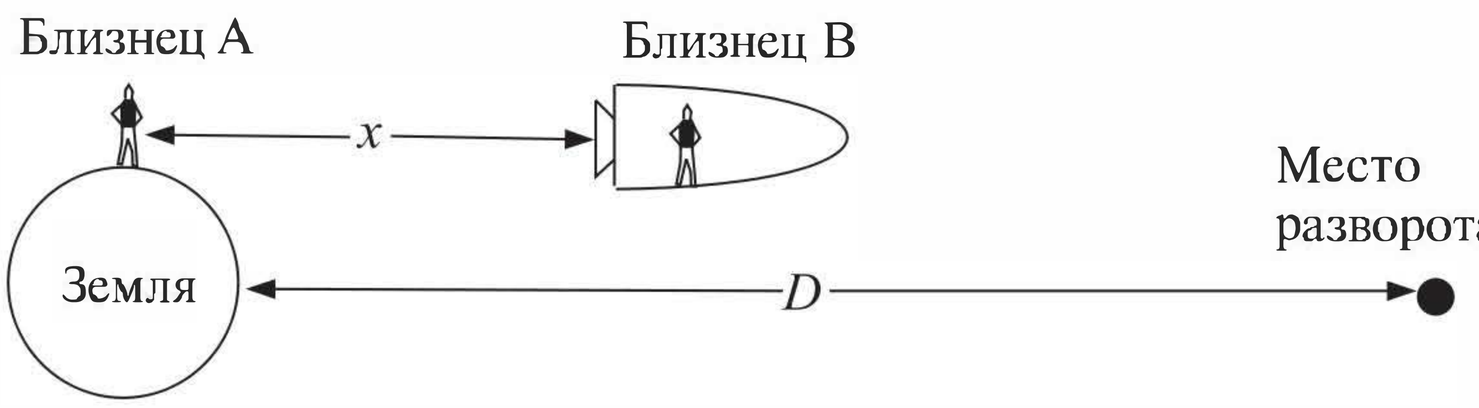


Рис. 8-13. Близнец B совершает путешествие в космическом корабле с возвращением на Землю, а близнец A остается на Земле

в $\sqrt{1-0{,}99^2} = 0{,}141$ раз медленнее, чем на Земле. Поэтому для B время космического путешествия составит всего лишь $80{,}8 \cdot 0{,}141 = 11{,}4$ года, так что к моменту окончания путешествия близнецу B будет $20 + 11{,}4 = 31{,}4$ года, и он окажется на 69,4 года моложе близнеца, оставшегося на Земле.

Космический путешественник не чувствует замедления своего времени. В примере 6 расстояние от Земли до Арктура, измеренное близнецом B, испытывает лоренцево сокращение. По его измерениям, это расстояние составляет $40\sqrt{1-0{,}99^2} = 5{,}64$ светового года. Близнец B наблюдает также, что Земля удаляется от него с той же относительной скоростью $v = 0{,}99c$. Поэтому, согласно расчетам близнеца, путешествующего в космическом корабле, он достигнет Арктура через 5,7 года, а все путешествие туда и обратно займет 11,4 года. Этот результат совпадает с результатом, полученным близнецом A на Земле.

Однако мы сталкиваемся с кажущимся парадоксом, когда космический путешественник, глядя на Землю, замечает отставание земных часов по сравнению с его собственными. На первый взгляд B должен был бы получить результат, согласно которому A будет моложе B, что противоречит предшествующему рассуждению. Действительно, если движение и скорость в самом деле относительны, то как вообще мы могли прийти к несимметричному результату для A и B? Разве из соображений симметрии не ясно, что оба близнеца должны иметь один возраст в конце путешествия? На первый взгляд кажется, что теория Эйнштейна приводит к противоречию. Парадокс устраняется, если заметить, что проблеме присуща внутренняя асимметрия. Близнец на Земле всегда остается в одной и той же инерциальной системе отсчета, тогда как космонавт, поворачивая обратно к Земле, меняет ее. В конце данного параграфа мы проведем подробное вычисление, основанное на точке зрения космического путешественника, которое вновь приведет нас к прежнему результату: близнец на Земле постареет больше, несмотря даже на то что, с точки зрения космонавта, часы на Земле идут медленнее.

Эффекты замедления времени пренебрежимо малы, если космический корабль не достиг кинетической энергии, соизмеримой с его энергией покоя. Даже энергия, высвобождающаяся при реакциях деления или синтеза ядер, все еще в 1000 раз меньше необходимой для проявления этого эффекта. Человечество пока не имеет возможности использовать эффект замедления времени в практическом плане для совершения далеких путешествий к звездам.

Парадокс близнецов был подтвержден в ряде экспериментов. В одном из них кристалл железа в мёссбауэровских часах (см. в конце § 3) нагревался и проводилось сравнение с холодными часами. Атомы железа в нагретом кристалле движутся значительно быстрее, чем в холодном образце, где атомы практически покоятся. Два тождественных ядра железа, находящиеся при одинаковых температурах, испускают излучение одной и той же частоты. Однако быстро движущиеся туда и обратно ядра (в полной аналогии с близнецом B) испускают излучение с меньшей средней частотой. Этот эксперимент впервые был проведен в 1960 г. и обнаружил относительное уменьшение частоты $\Delta f/f = -2{,}4 \cdot 10^{-15}$ при повышении температуры на 1К. Это значение согласуется с изменением множителя γ, обусловленным увеличением среднеквадратичной скорости теплового движения с ростом температуры.

Второе подтверждение было получено в эксперименте с использованием макроскопических часов вместо отдельных атомов железа. Наиболее точные макроскопические часы — это атомные часы на пучке цезия. Действительно, эти часы «тикают» 9 192 631 770 раз в секунду. Экспериментально было проведено сравнение двух таких часов, причем одни из них находились в полете вокруг Земли на обычных реактивных лайнерах, а другие оставались в военно-морской обсерватории США. В соответствии с предсказаниями теории относительности путешествующие в авиалайнерах часы должны были отстать от покоящихся на (184 ± 23) нс. Наблюдаемое отставание составило (203 ± 10) нс. Очевидно, эксперимент согласуется с теорией в пределах ошибок измерения.

Мы завершим этот параграф подробным вычислением отставания покоящихся (земных) часов с точки зрения космического путешественника (близнеца B). Допустим, что каждое «тиканье» обоих часов сопровождается испусканием светового импульса. Посмотрим, подтвердит ли космический путешественник, что на Земле прошло больше времени, чем на его корабле. Именно в этом состоит сущность «парадокса»: если, по мнению B, часы наблюдателя A идут медленнее, то B вряд ли может зарегистрировать больше импульсов от этих «медленных» часов, нежели от своих собственных «быстрых». Тем не менее это происходит, как мы увидим, из-за того, что на обратном пути к Земле вследствие «синего смещения», связанного с эффектом Доплера, увеличение частоты оказывается сильнее эффекта замедления времени.

Сосчитаем полное число импульсов, регистрируемых наблюдателем B от своих часов и от часов земного наблюдателя A. Пусть N_B — общее число импульсов, испущенных часами B, а N_A — общее число импульсов, испущенных земными часами. Тогда мы можем написать

$$N_B = f_0 t_B,$$

где f_0 — частота импульсов, испускаемых часами в состоянии покоя, t_B — полное время путешествия по часам B:

$$t_B = \frac{\text{Полное расстояние}}{v}.$$

Как отмечалось выше, для наблюдателя B расстояние D является сокращенным по Лоренцу, т. е., согласно его измерениям, полное расстояние равно $2D/\gamma$. Таким образом,

$$N_B = f_0\left(\frac{2D}{\gamma v}\right) \tag{8-14}$$

— это полное число импульсов от часов космического корабля, которое зарегистрирует наблюдатель B.

Число импульсов от часов на Земле, которое зарегистрирует наблюдатель B, дается выражением

$$N_A = f_1 t_1 + f_2 t_2,$$

где f_1 и f_2 — частоты импульсов, измеренные соответственно, когда космический корабль удаляется от Земли и приближается к ней. Время путешествия в прямом и обратном направлениях является одним и тем же. Следовательно,

$$t_1 = t_2 = t_B/2 = D/\gamma v,$$

так что

$$N_A = (f_1 + f_2)\, D/\gamma v.$$

Используя для f_1 и f_2 выражения (8-12) и (8-13), можно написать следующее выражение:

$$N_A = \left(\sqrt{\frac{1-\beta}{1+\beta}} f_0 + \sqrt{\frac{1+\beta}{1-\beta}} f_0\right)\frac{D}{\gamma v} =$$

$$= \left(\sqrt{\frac{1-\beta}{1+\beta}} + \sqrt{\frac{1+\beta}{1-\beta}}\right)\sqrt{1-\beta^2}\,\frac{D}{v} f_0 =$$

$$= [(1-\beta)+(1+\beta)] f_0 \frac{D}{v} = \frac{2D}{v} f_0.$$

Этот результат в точности совпадает с тем, что видит близнец A, оставшийся на Земле, наблюдая за своими часами. Следовательно, теория не имеет противоречий. Кроме того, и близнец B в соответствии с (8-14) видит, что по часам на космическом корабле прошло в $\sqrt{1-v^2/c^2}$ раз меньше времени, чем по часам на Земле; отношение $N_A/N_B = \gamma$.

Во всех предшествующих рассуждениях мы принимали, что время разворота космического корабля значительно меньше времени путешествия и им можно пренебречь. Поэтому число импульсов, регистрируемых близнецом B за время разворота, значительно меньше, чем в течение долгого путешествия с постоянной скоростью.

Основные выводы

Все результаты релятивистской кинематики можно получить математически, исходя из двух основных постулатов: 1) принципа относительности (невозможности обнаружить абсолютное движение) и 2) инвариантности скорости света (скорость света имеет одно и то же значение для всех наблюдателей).

Эти два постулата определяют преобразования Лоренца, связывающие координаты x и t какого-либо события, измеренные одним наблюдателем, с координатами того же события x' и t', измеренными другим наблюдателем. Оба наблюдателя имеют относительную скорость v вдоль оси x. Таким образом, преобразования Лоренца записываются в виде

$$x' = \gamma x + \gamma v t, \quad t' = \gamma t + \gamma \frac{v}{c^2} x,$$

где $\gamma = \left(1 - v^2/c^2\right)^{-1/2}$.

Из этих уравнений непосредственно следует, что движущаяся линейка оказывается короче в γ раз (лоренцево сокращение), а движущиеся часы замедляются в γ раз (замедление времени). Если два события, разделенные расстоянием l по оси x, происходят одновременно по часам одного наблюдателя, то для движущегося наблюдателя они будут разделены промежутком времени $\Delta t = -vl/c^2$ (относительность одновременности).

Регистрируемая неподвижным наблюдателем частота движущегося источника смещается в $\gamma(1+\beta)$ раз, где $v = \beta c$ — скорость движения источника (релятивистский эффект Доплера). Не только ход движущихся часов замедляется в γ раз, но и космический путешественник, совершающий полет по замкнутому маршруту в течение времени t, по земным часам постареет на $t(1 - v^2/c^2)^{1/2}$, где v — скорость космонавта относительно Земли (парадокс близнецов).

Упражнения

1. Допустим, что жесткая опора на рис. 8-4 движется в воздухе со скоростью $v = 30$ м/с. Источник звука (но не света) испускает импульс. Пусть $D = 2$ м и $v_{\text{звука}} = 330$ м/с.
   а) Через какое время звуковой импульс, отразившись от зеркала, вернется к источнику?
   б) Повторите вычисления для случая, когда опора перпендикулярна скорости **v**.
   в) Вычислите в случае «а» время прохождения импульса от источника до зеркала.

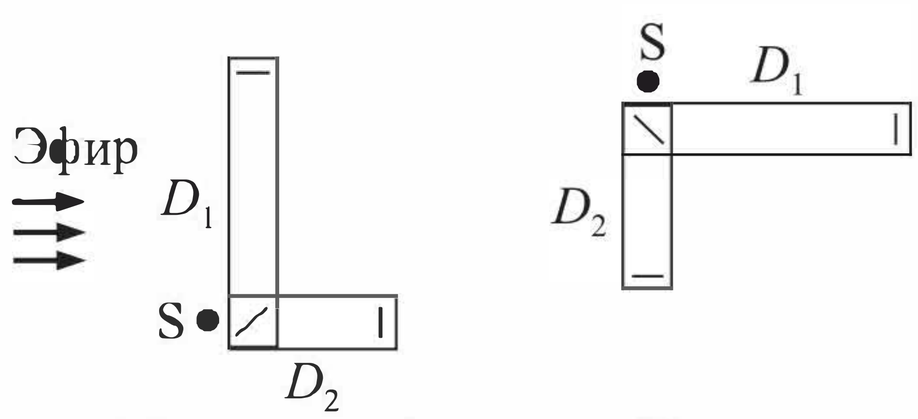
2. Предположите, что в упражнении 1 опора неподвижна, а вдоль нее вентилятор гонит воздух со скоростью 20 км/ч. Сколько времени понадобится звуковому импульсу для прохождения замкнутого пути «источник – зеркало – источник»?
3. Плечи интерферометра Майкельсона имеют длину 2 м. Используя представление об эфире, рассчитайте скорость его движения, при которой поворот интерферометра на 90° приводит к сдвигу картины на одну интерференционную полосу (Δt — время, необходимое для прохождения светом расстояния, равного одной длине волны 0,4 мкм).
4. Безмассовая частица удаляется от наблюдателя со скоростью $v = c$. Наблюдатель преследует ее со скоростью $v = 0{,}9c$. Какую скорость частицы измерит движущийся наблюдатель?
5. Стержень длиной l движется поступательно и прямолинейно, так что по измерениям неподвижного наблюдателя его длина равна l'. Какова скорость стержня относительно этого наблюдателя?
6. Покажите, что при $v \ll c$ формула для доплеровского сдвига частоты имеет вид
$$\Delta f = f_A - f_B \approx -\beta f_B.$$
7. Повторите вычисления в примере 2, когда пучок пионов имеет скорость $v = 0{,}999c$.
8. Удаленные галактики и квазары характеризуют параметром красного смещения $Z \equiv \Delta\lambda/\lambda_0$, где λ_0 — длина волны данной спектральной линии, испускаемой покоящимся источником, а $\Delta\lambda$ — смещение длины волны этой линии, наблюдаемое в световом излучении от удаляющегося источника. Используя (8-12), напишите выражение для v/c через параметр Z.
9. Если бы вспышки молнии в примере 4 оставили следы на земле, то каким было бы расстояние между следами?
10. Наблюдаемая длина волны хорошо известной спектральной линии в излучении далекой галактики составляет 0,5 мкм. Стандартная длина волны этой линии 0,4 мкм. С какой скоростью удаляется галактика?
11. Повторите решение в случае примера 6, когда $v = 0{,}999c$.
12. Близнец B отправляется в космическое путешествие, а близнец A остается на Земле, причем B путешествует в течение 30 лет (по земным часам) со скоростью $v = 0{,}1c$. Насколько моложе окажется B по сравнению с A?
13. Соотношение (8-13) можно записать в виде
$$\frac{f}{f_0} = \left(\frac{1+\beta}{1-\beta}\right)^{1/2},$$
где f — частота с учетом эффекта Доплера. Найдите выражение для df/f_0 через β и $d\beta$.
14. На сколько наносекунд отстанут от часов, покоившихся на Земле, часы, пролетевшие 40 000 км со скоростью 800 км/ч?
15. Плотность заряда — это электрический заряд, приходящийся на единицу объема. Если величина электрического заряда не зависит от скорости наблюдателя, будет ли плотность заряда тела казаться движущемуся наблюдателю больше или меньше? Если ρ_0 — плотность заряда в состоянии покоя, то каким будет отношение ρ'/ρ_0?
16. Допустим, что граница видимой Вселенной расположена от нас на расстоянии 10^{10} световых лет (по измерениям с Земли) и космический путешественник движется со скоростью такой, что $(1 - v^2/c^2)^{-1} = 10^8$. Как далеко в световых годах отстоит граница видимой Вселенной, по измерениям космического путешественника?

Задачи

17. Допустим, что интерферометр Майкельсона, имеющий разные длины плеч ($D_1 > D_2$), находится в эфире и в положении A разность между временем распространения света в обоих плечах в ту и другую сторону равна Δt_A. После установки интерферометра в положение B (причем плечо 1 параллельно скорости эфира) эта разность составляет Δt_B. Опираясь на дорелятивистскую теорию эфира, покажите, что

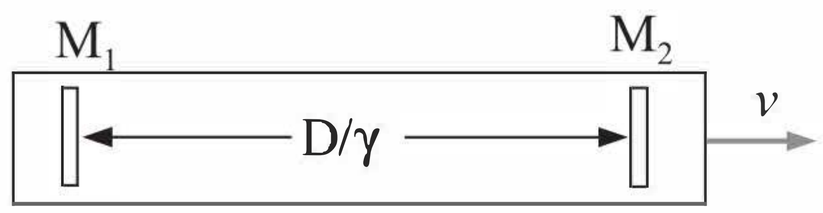
$$(\Delta t_B - \Delta t_A) \approx \frac{v^2}{c^3}(D_1 + D_2).$$

Майкельсон и Морли считали, что измеряют именно эту величину.



Положение A Положение B

18. Предположим, что световые часы на рис. 8-5 ориентированы вдоль направления движения. Тогда неподвижный наблюдатель обнаружил бы сокращенную длину D/γ. Пусть t_1 — время распространения светового импульса из точки M_1 в точку M_2 (по измерениям неподвижного наблюдателя); заметим, что за это время точка M_2 перемещается на расстояние vt_1.



а) Какое расстояние, по мнению неподвижного наблюдателя, проходит световой импульс на пути от M_1 к M_2?
б) Покажите, что $t_1 = D/\gamma\,(c - v)$.
в) Сколько времени понадобится отраженному импульсу, чтобы вернуться в точку M_1, по измерениям неподвижного наблюдателя?
г) Покажите, что полное время распространения светового импульса в оба конца $t_1 + t_2 = \gamma 2D/c$.

19. Предположим, что верна классическая теория эфира, но при этом все тела испытывают лоренцево сокращение в направлении своего движения относительно эфира. Тогда длина плеча интерферометра D_1 из задачи 17 в положении B станет равной $\sqrt{1 - v^2/c^2} \cdot D_1$. Решите снова задачу 17, т. е. вычислите $\Delta t_A - \Delta t_B$ в этих предположениях.

20. Решите задачу 19 без поворота интерферометра на 90°, предполагая, что измеренная разность времени составляет Δt_A, а скорость эфира равна v. Изменим теперь положение интерферометра так, чтобы скорость эфира оказалась равной v'. Поскольку линейная скорость, обусловленная вращением Земли, складывается со скоростью эфира, этого можно добиться, подождав, пока Земля повернется вокруг своей оси на 180° (этого можно также добиться, меняя географическую широту места расположения интерферометра). Покажите, что в этом случае

$$(\Delta t_A - \Delta t_{A'}) \approx (v^2 - v'^2)\frac{(D_1 - D_2)}{c^3}.$$

Такие эксперименты проводились и неизменно давали отрицательный результат, следовательно, лоренцева сокращения недостаточно для объяснения отрицательного результата. Наряду с лоренцевым сокращением необходимо также учитывать замедление времени.

21. Предполагая, что в системе уравнений (8-9) известны величины x' и t', найдите ее решение относительно x и t.

22. Пусть в ситуации на рис. 8-9 имеется третий наблюдатель, а именно м-р X″, который движется влево со скоростью v'. В системе отсчета x и t его координаты равны x'' и t''. В соответствии с преобразованиями Лоренца связь между координатами (x'', t'') и (x', t') записывается в виде

$$x'' = \frac{x' + v't'}{\sqrt{1 - v'^2/c^2}}, \qquad t'' = \frac{t' + v'x'/c^2}{\sqrt{1 - v'^2/c^2}}.$$

Используя уравнения преобразования Лоренца (8-9), исключите x' и t' из этих двух уравнений. После некоторых алгебраических выкладок вы получите следующие уравнения:

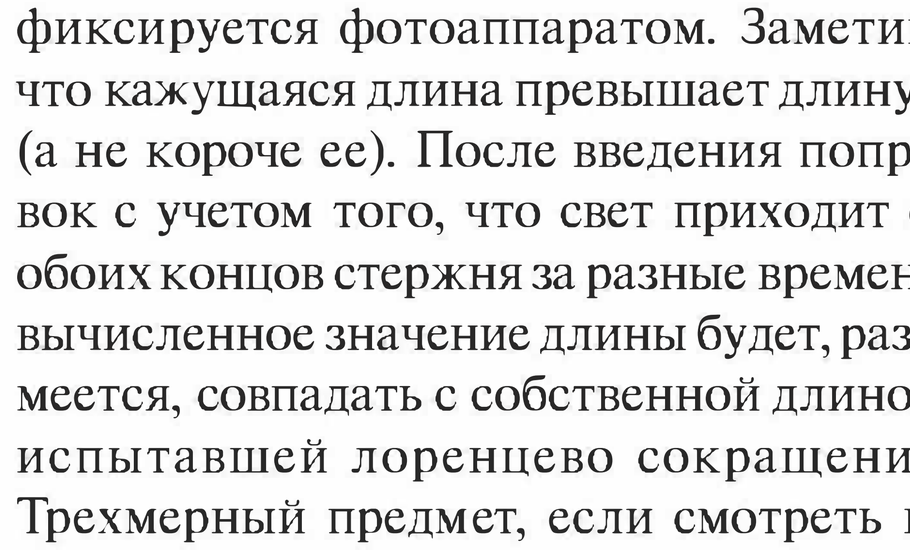
$$x'' = \frac{t' + v''t}{\sqrt{1 - v''^2/c^2}}, \qquad t'' = \frac{t' + v''x/c^2}{\sqrt{1 - v''^2/c^2}},$$

где

$$v'' = \frac{v + v'}{1 + vv'/c^2}.$$

Важность этого результата состоит в том, что повторное применение преобразований Лоренца эквивалентно одному преобразованию Лоренца, в котором скорость определяется по релятивистской формуле сложения скоростей.

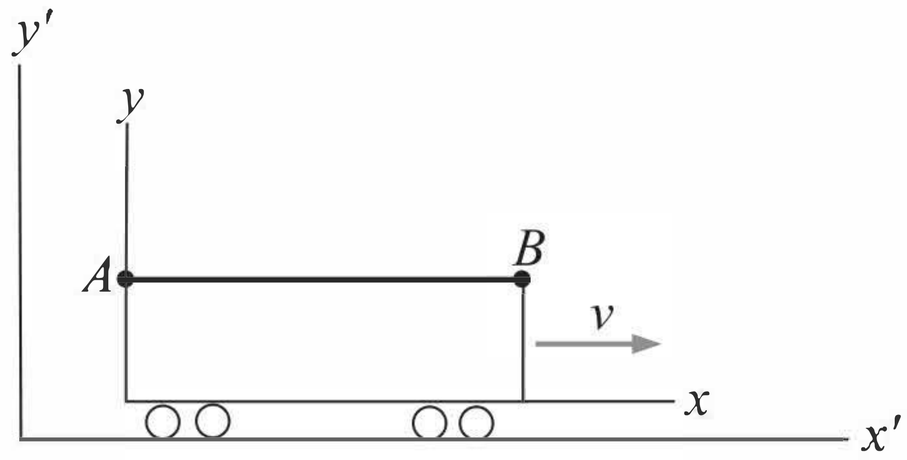
23. На концах стержня, имеющего в состоянии покоя длину l_0, укреплены две мигающие лампы S_1 и S_2. Стержень движется вправо со скоростью v. Лампа S_1 испускает свет раньше, чем S_2, так что обе вспышки света достигают м-ра X одновременно. В моменты испускания света лампы S_1 и S_2 находились соответственно в точках x_1 и x_2. Какое расстояние $x_1 - x_2$ измерит м-р X? Это и будет кажущаяся длина стержня, как она воспринимается глазом или фиксируется фотоаппаратом. Заметим, что кажущаяся длина превышает длину l_0 (а не короче ее). После введения поправок с учетом того, что свет приходит от обоих концов стержня за разные времена, вычисленное значение длины будет, разумеется, совпадать с собственной длиной, испытавшей лоренцево сокращение. Трехмерный предмет, если смотреть на него глазом или фотографировать под прямым углом к направлению его движения, будет казаться повернутым.



24. Получите формулу для эффекта Доплера в случае со звуком, когда источник движется, а приемник (детектор) неподвижен. На рис. 8-12 штрихованная система отсчета покоится относительно воздуха.

25. Повторите задачу 24 для случая движущегося приемника и неподвижного источника. На рис. 8-12 воздух будет двигаться вправо со скоростью v.

26. Вагон длиной l движется вправо со скоростью v согласно измерениям в штрихованной системе отсчета. Связанная с этой системой отсчета удаленная звезда излучает световой импульс, находясь точно в зените над вагоном; импульс регистрируется одновременно (по данным штрихованной системы) в точках A и B. Наблюдатель, находящийся в вагоне, считает, что по сравнению с точкой B импульс приходит в точку A раньше (позже) или регистрируется одновременно в обеих точках. Учитывая, что $\Delta t' = \gamma \Delta t + \gamma (v/c^2) \Delta x$, получаем $t_B - t_A = [vl/c^2; -vl/c^2; \gamma vl/c^2; -\gamma vl/c^2; 0]$. Согласно измерениям наблюдателя в вагоне, звезда будет казаться сдвинутой на угол $\theta = [0; \arcsin(v/c); \operatorname{arctg}(v/c); \arcsin(\gamma v/c); \operatorname{arctg}(\gamma v/c)]$. Лучи, идущие от звезды, можно считать параллельными. Указать правильный ответ.



27. Ракета, имеющая в покое длину 200 м, движется относительно нас, причем $v/c = 3/5$. В ракете установлены двое часов — одни на носу, а другие в хвосте. Часы были синхронизованы друг с другом в своей системе покоя. На Земле также имеется набор часов, синхронизованных между собой. Как только нос ракеты поравняется с нами, наши часы и часы на носу ракеты будут показывать $t = 0$.

а) Что в этот момент времени показывают часы в хвосте ракеты?

б) Сколько времени понадобится (по нашим измерениям), чтобы хвост ракеты достиг нас?

в) В тот момент, когда хвост ракеты поравняется с нами, что будут показывать там часы?

28. Секундомер расположен в точке $x = 0$. В штрихованной системе отсчета он движется вправо вдоль оси x' со скоростью $v = 0{,}6c$. Через промежуток времени $t = 10$ с секундомер останавливается. (В момент $t' = t = 0$ он находился в точке $x' = x = 0$.)

а) Где в штрихованной системе находился секундомер, когда его остановили?

б) В какой момент времени по часам штрихованной системы остановился секундомер?

в) Если м-р X′ покоится в точке $x' = 0$, то чему равна его скорость с точки зрения наблюдателя, движущегося относительно него с секундомером?

г) Предположим, что второй секундомер расположен в точке $x = l$ и пущен в тот же момент $t = 0$, что и первый секундомер, расположенный в точке $x = 0$. Что покажет второй секундомер, когда первый остановится, по измерениям м-ра X′, покоящегося в штрихованной системе? (Это означает, что момент t' тот же, что и в условии «б».)

29. Из кинетической теории следует, что $(1/2)\overline{mv^2} = (3/2)kT$ для частиц массой m при абсолютной температуре T ($k = 1{,}38 \cdot 10^{-23}$ в системе единиц СИ). Масса атома железа $m = 9{,}3 \cdot 10^{-26}$ кг.

а) Вычислите $\overline{\beta^2}$ для атомов железа при комнатной температуре (300 К).

б) Чему равна величина $\overline{\gamma} = \left(1 - \overline{\beta^2}\right)^{-1/2}$ для этих атомов?

в) Вследствие замедления времени образец с нагретыми атомами железа будет излучать частоту $f' = (1/\gamma) f_0$, где f_0 – частота, излучаемая покоящимся атомом при абсолютном нуле температуры. Чему равно отношение $(f' - f_0)/f_0$ для атомов железа при 300 К? Каково относительное изменение $\Delta f/f$ частоты в эффекте Мёссбауэра при изменении температуры на один кельвин?

9 Релятивистская динамика

До сих пор мы обсуждали общие свойства времени и пространства. Теперь рассмотрим материальные частицы, обладающие массой, импульсом и энергией. Мы увидим, что законы сохранения импульса и энергии по-прежнему остаются в силе, однако классические определения импульса и энергии придется видоизменить. Разумеется, при $v \to 0$ новые релятивистские определения импульса и энергии в точности совпадут с классическими. Один из новых неожиданных результатов состоит в том, что любой массе m соответствует энергия $E = mc^2$. Эйнштейн предположил, что в каждом килограмме массы заключена энергия $9 \cdot 10^{16}$ Дж. Столь большого количества энергии хватило бы для того, чтобы 100-ваттная электрическая лампочка светила в течение 30 млн лет.

Прежде чем иметь дело непосредственно с массой, импульсом и энергией, нам надо выяснить, как различные наблюдатели видят один и тот же движущийся предмет, иными словами, как преобразуется скорость в теории относительности.

§ 1. Релятивистское сложение скоростей

До сих пор мы считали, что предметы или частицы покоятся в одной системе отсчета и движутся со скоростью v в другой. Рассмотрим теперь случай, когда в одной из систем отсчета предмет имеет скорость u_x, а в другой u'_x. На рис. 9-1 приведен пример ситуации такого типа, в которой по измерениям м-ра X скорость автомобиля u_x, а по измерениям м-ра X′ он движется быстрее — со скоростью u'_x. В классической механике $u'_x = u_x + v$. Релятивистское правило сложения скоростей получается с помощью уравнений (8-9), записанных в дифференциальной форме:

$$dx' = \gamma\, dx + \gamma v\, dx, \qquad dt' = \gamma\, dt + \frac{\gamma v}{c^2} dx.$$

Разделим первое уравнение на второе:

$$\frac{dx'}{dt'} = \frac{dx + v\, dt}{dt + \left(v/c^2\right) dx} = \frac{dx/dt + v}{1 + \left(v/c^2\right)(dx/dt)}.$$

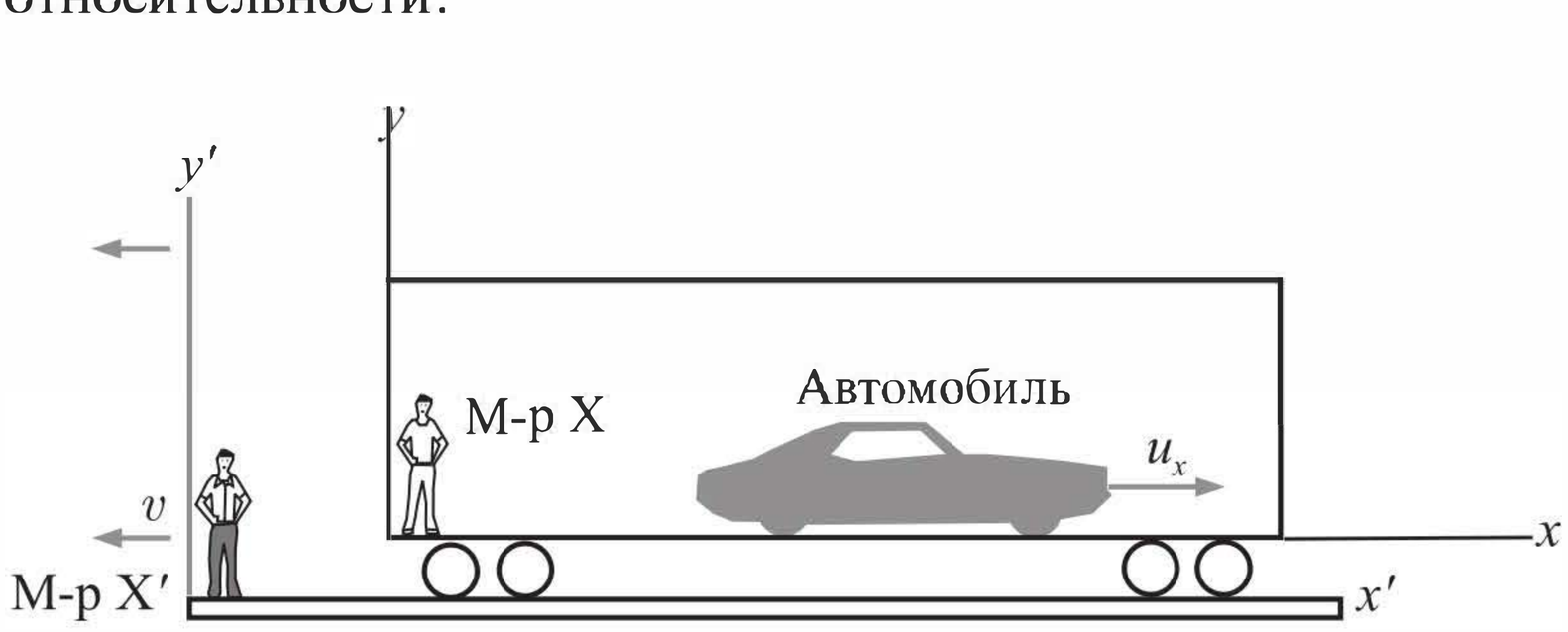


Рис. 9-1. М-р X′ видит, что вагон движется вправо со скоростью v. Внутри вагона находится автомобиль, движущийся со скоростью u_x относительно вагона

Обозначая dx/dt и dx'/dt' соответственно через u_x и u'_x, получаем

$$u'_x = \frac{u_x + v}{1 + v u_x / c^2} \quad (\textit{релятивистское сложение скоростей}). \qquad (9\text{-}1)$$

Это соотношение называется релятивистским (или эйнштейновским) правилом сложения скоростей. Очевидно, результирующая скорость меньше суммы двух скоростей u_x и v. Однако если обе скорости малы по сравнению со скоростью света, то результирующая скорость очень близка к сумме скоростей.

Если теория непротиворечива, то уравнение (9-1) должно запрещать скорости больше, чем c. Допустим, что в нештрихованной системе отсчета частица движется уже со скоростью света (это может быть частица света — фотон или нейтрино); таким образом, $u_x = c$. При этом наблюдатель в штрихованной системе обнаружит, что

$$u' = \frac{(c) + v}{1 + v(c)/c^2} = \frac{c + v}{(c + v)/c} = c.$$

Мы видим, что свет (или что-то другое), распространяющийся со скоростью c, должен казаться имеющим эту же скорость всем наблюдателям — независимо от того, сколь быстро они движутся. Как указывалось выше, уравнения Лоренца преобразуют время и пространство таким образом, что свет распространяется с одинаковой скоростью c с точки зрения всех наблюдателей.

Пример 1. Два сверхзвуковых реактивных самолета идут на встречных курсах (рис. 9-2). Пусть их скорости относительно Земли равны соответственно 1500 и 3000 км/ч. Какой будет скорость первого самолета, измеренная пассажиром второго самолета?

Решение: В этом случае м-р X (нештрихованная система) стоит на Земле, а м-р X′ — наблюдатель, движущийся со скоростью $v = 3000$ км/ч. Скорость первого самолета, согласно м-ру X, равна $u_x = 1500$ км/ч. Тогда соотношение (9-1) дает

$$u'_x = \frac{1500 + 3000}{1 + (1{,}5 \cdot 3) \cdot 10^6 / c^2} \text{ км/ч} =$$

$$= \frac{4500}{1 + 4{,}5 \cdot 10^{-12}} \text{ км/ч} =$$

$$= 4\,499{,}999\,999\,986 \text{ км/ч}.$$

Мы видим, что классическая физика обеспечивает очень хорошее приближение даже в случае со сверхзвуковыми самолетами.

Пример 2. Нейтрон является нестабильной частицей и распадается на протон, электрон и антинейтрино: $n \to p + e^- + \bar{\nu}$. Пусть электрон распада имеет скорость $0{,}8c$ при условии, что нейтрон до распада находился в покое. Какой будет скорость электрона, если нейтрон распадается, двигаясь со скоростью $0{,}9c$ в том же направлении, что и электрон?

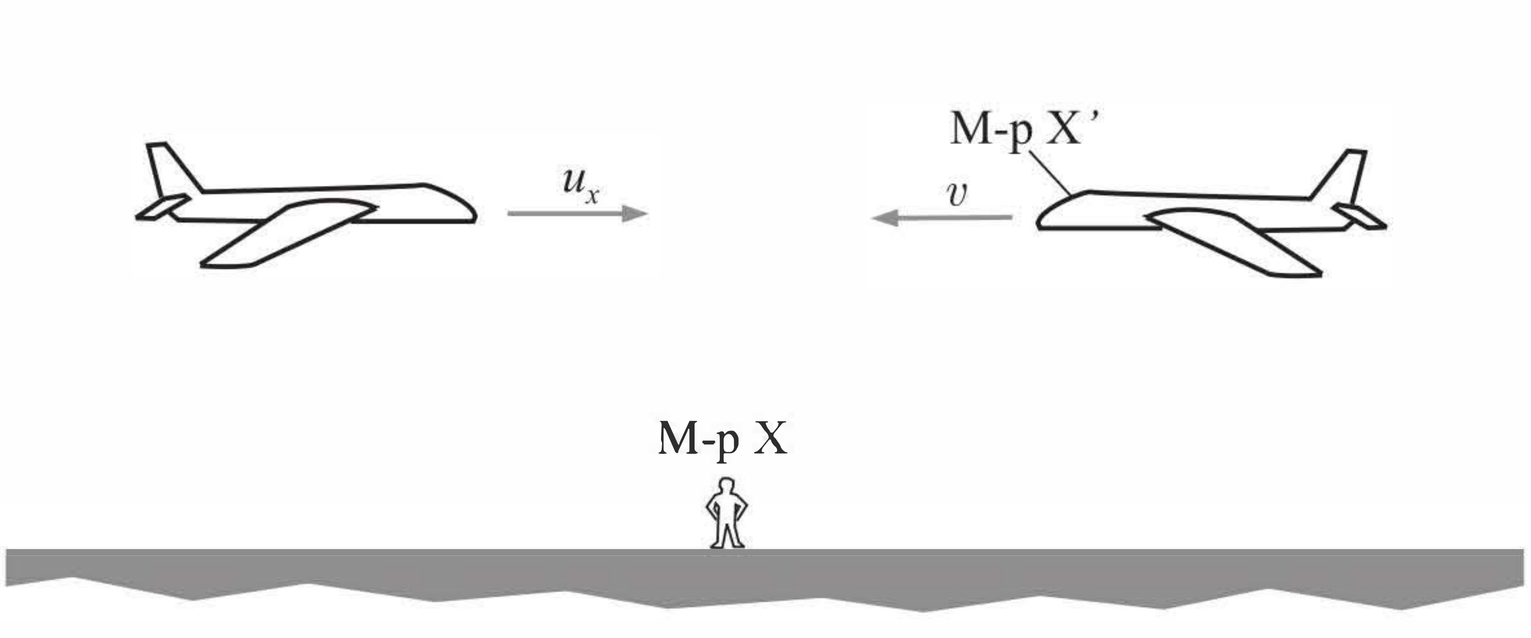


Рис. 9-2. Два реактивных самолета летят со скоростями u_x и v относительно Земли. Наблюдатель на правом самолете видит, что слева к нему приближается самолет со скоростью u'_x, которая меньше $u_x + v$

Решение: Наша система отсчета движется со скоростью $v = 0{,}9\,c$, а электрон — со скоростью $u_x = 0{,}8\,c$. Из соотношения (9-1) находим

$$u'_x = \frac{0{,}8c + 0{,}9c}{1 + 0{,}72\,c^2/c^2} = \frac{1{,}7}{1{,}72}c = 0{,}988\,c.$$

Пример 3. Предположим, что автомобиль на рис. 9-1 движется влево со скоростью, равной по величине u. Чему равна скорость автомобиля в штрихованной системе отсчета?

Решение: В данном случае $u_x = -u$. Подстановка этого значения в (9-1) дает

$$u'_x = \frac{v - u}{1 - uv/c^2}.$$

Результат примера 3 относится к случаю, когда скорости u_x и v в штрихованной системе отсчета имеют противоположные знаки.

§ 2. Определение релятивистского импульса

В классической физике импульс определяется как $\mathbf{p} \equiv m\mathbf{u}$, где m — масса частицы, а $\mathbf{u}$ — ее скорость. Полная составляющая импульса вдоль оси x в замкнутой системе получается суммированием по всем частицам:

$$(p_x)_{\text{полн.}} = \sum_j m_j u_{jx};$$

здесь u_{jx} — составляющая по оси x скорости j-й частицы. Согласно классическому закону сохранения импульса,

$$\sum_j m_j u_{jx} = \sum_j m_j U_{jx}, \qquad (9\text{-}2)$$

где U_j означает скорость j-й частицы в более поздний момент времени. Это может быть момент времени после столкновения, как показано на рис. 9-3. Прибавим теперь к обеим частям уравнения (9-2) величину $\sum_j m_j v$:

$$\sum_j m_j (u_{jx} + v) = \sum m_j (U_{jx} + v). \qquad (9\text{-}3)$$

До



После

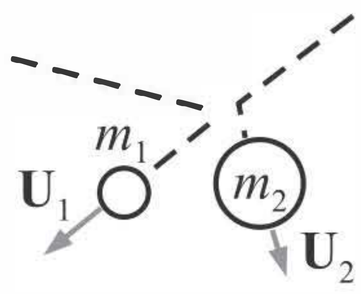


Рис. 9-3. Упругое соударение масс m_1 и m_2

В классической механике наблюдатель, движущийся со скоростью v влево, измеряет скорости $u'_{jx} = u_{jx} + v$ и $U'_{jx} = U_{jx} + v$. Подставляя эти соотношения в (9-3), получаем

$$\sum m_j u'_{jx} = \sum m_j U'_{jx}.$$

Отсюда следует, что если импульс сохраняется в одной системе отсчета, то он будет сохраняться и во всех остальных. Однако в теории относительности импульс, если его определить как произведение $m\mathbf{u}$, будет сохраняться в штрихованной системе отсчета только при условии, что

$$\sum_j m_j \frac{u_{jx} + v}{1 + v u_{jx}/c^2} = \sum m_j \frac{U_{jx} + v}{1 + v U_{jx}/c^2}.$$

Вообще говоря, это условие не выполняется, если справедливо равенство (9-2) [или (9-3)].

Таким образом, перед Эйнштейном возникла проблема нового математического

определения импульса, который сохранялся бы при переходе к другой системе отсчета. Эйнштейн нашел, что если определить импульс как

$$\mathbf{p} \equiv m\gamma(u)\mathbf{u} \ (\textit{релятивистский импульс}), \tag{9-4}$$

где $\gamma(u) \equiv (1 - u^2/c^2)^{-1/2}$,

то он будет сохраняться для различных наблюдателей, если сохраняется хотя бы в одной из систем отсчета. Для того, чтобы доказать, что импульс, определенный в соответствии с (9-4), обладает этим свойством, мы должны прежде всего выяснить, как преобразуется релятивистский импульс при переходе из одной системы отсчета в другую. Вычисления, выполненные в приложении к настоящей главе, приводят нас к следующим выражениям:

$$\begin{cases} p'_x = \gamma p_x + \gamma\beta(E/c), \quad p'_y = p_y, \quad p'_z = p_z, \\ E'/c = \gamma(E/c) + \gamma\beta p_x, \end{cases} \tag{9-5}$$

где $E \equiv m\gamma(u)c^2$, $E^2 \equiv m\gamma(u')c^2$ и $\beta \equiv v/c$.

Отсюда видно, что четыре величины $p_x, p_y, p_z, E/c$ преобразуются в точности по тем же формулам, что и четыре величины x, y, x, ct, т. е. с помощью преобразований Лоренца. Эйнштейн отождествил величину $\mathbf{p}$ с импульсом частицы, а E — с ее энергией. В следующем параграфе мы это обоснуем. Мы покажем, что если релятивистский импульс сохраняется в нештрихованной системе, то он будет сохраняться и в штрихованной.

§ 3. Закон сохранения импульса и энергии

Когда скорость частицы u значительно меньше скорости света, релятивистский импульс превращается в обычный, т. е. $p_x = m\gamma(u)u_x \to mu_x$, поскольку $\gamma(u) \to 1$ при $u \to 0$. Таким образом, определение импульса, данное Эйнштейном, в классическом пределе согласуется с классической механикой. Посмотрим теперь, к чему приводит новое определение энергии:

$$E \equiv m\gamma(u)c^2 = m\left(1 - \frac{u^2}{c^2}\right)^{-1/2} c^2 \approx$$
$$\approx m\left(1 + \frac{u^2}{2c^2}\right)c^2 \quad \text{для} \quad u/c \ll 1. \tag{9-6}$$

Здесь мы использовали биномиальное разложение и получили $(1 - u^2/c^2)^{-1/2} \approx \approx (1 + u^2/2c^2)$. Таким образом, в пределе малых скоростей эйнштейновская энергия принимает вид

$$E \approx mc^2 + mu^2/2.$$

Заметим, что слагаемое $mu^2/2$ — это классическая энергия свободной частицы с массой m и скоростью u. Следовательно, данное Эйнштейном определение энергии согласуется с классической механикой, если к кинетической энергии прибавить постоянную величину mc^2. В классической механике аддитивная постоянная в выражении для энергии может быть выбрана совершенно произвольно, однако в теории Эйнштейна это уже не так. В 1905 г. Эйнштейн пришел к выводу о том, что частица в состоянии покоя обладает запасом энергии $E_0 = mc^2$; он назвал эту величину энергией покоя (или собственной энергией). С тех пор получено огромное число подтверждений такого смелого вывода, и одно из них — возможность использования внутриядерной энергии. Некоторые из подтверждений мы обсудим в следующем параграфе.

Основная цель этого параграфа — показать, что если в релятивистском случае

величины p_x, p_y, p_z и E сохраняются в нештрихованной системе, то они будут сохраняться и в штрихованной системе отсчета. Рассмотрим систему n взаимодействующих частиц, для которой полные начальные значения импульса и энергии (обозначаемые строчными буквами) равны соответственно

$$(p_x)_{\text{полн.}} = \sum_j p_{jx} \quad \text{и} \quad e_{\text{полн.}} = \sum_j e_j.$$

Конечные значения, которые принимают эти величины по прошествии некоторого промежутка времени, обозначим прописными буквами. Для получения импульсов и энергий каждой частицы в штрихованной системе координат воспользуемся выражениями (9-5):

$$p'_{jx} = \gamma p_{jx} + \gamma\beta\left(\frac{e_j}{c}\right),$$

$$\frac{e'_j}{c} = \gamma\frac{e_j}{c} + \gamma\beta p_{jx}.$$

Сложим теперь p'_{jx} для всех n частиц

$$\sum p'_{jx} = \gamma\sum p_{jx} + \gamma\beta\sum\frac{e_j}{c}. \qquad (9\text{-}7)$$

Затем воспользуемся сохранением импульса и энергии в нештрихованной системе, а именно запишем

$$\sum p_{jx} = \sum P_{jx} \quad \text{и} \quad \sum e_j = \sum E_j.$$

Подстановка этих равенств в (9-7) дает

$$\sum p'_{jx} = \gamma\sum P_{jx} + \gamma\beta\left(\sum\frac{E_j}{c}\right) =$$
$$= \sum\left[\gamma P_{jx} + \gamma\beta\frac{E_j}{c}\right] = \sum\left[P'_{jx}\right].$$

Отсюда следует, что в штрихованной системе отсчета полный начальный импульс равен полному конечному импульсу. Таким образом, импульс в этой системе отсчета сохраняется. Этим мы завершили доказательство сохранения импульса.

Аналогичный результат для энергии можно получить, сложив n соответствующих выражений:

$$\sum e'_j = \gamma\sum e_j + \gamma v\sum p_{jx}.$$

Используем теперь тот факт, что в нештрихованной системе отсчета импульс и энергия сохраняются:

$$\sum e'_j = \gamma\left(\sum E_j\right) + \gamma v\left(\sum P_{jx}\right) =$$
$$= \sum\left[\gamma E_j + \gamma v P_{jx}\right] = \sum E'_j.$$

Отсюда мы заключаем, что, если импульс и энергия, определенные согласно Эйнштейну, сохраняются в нештрихованной системе отсчета, они будут сохраняться и в штрихованной.

Из классической физики известно, что релятивистские определения импульса и энергии обеспечивают сохранение этих величин, когда скорости всех частиц значительно меньше скорости света. Мы только что показали, что релятивистские импульс и энергия будут сохраняться и в том случае, когда их измеряет наблюдатель, движущийся со скоростью, близкой к скорости света. Однако, сколь убедительной ни была бы теория, ее действительной проверкой является эксперимент. Нет необходимости говорить, что выполнение законов сохранения релятивистских импульса и энергии было проверено чрезвычайно тщательно. В следующем параграфе мы приведем некоторые примеры.

§ 4. Эквивалентность массы и энергии

Согласно полученному Эйнштейном соотношению (9-6), находящаяся в покое масса m содержит огромный запас энергии $E_0 = mc^2$. Это утверждение было, бесспорно, чрезвычайно смелым. Оно получило разнообразные практические применения, включая использование ядерной энергии. Эйнштейн предположил, что если массу покоя частицы или системы частиц уменьшить на величину Δm, то при этом выделится энергия $\Delta E = (\Delta m)c^2$.

Пример 4. Какая энергия содержится в 1 г песка? Сравните ее с 7000 калориями, получаемыми при сгорании 1 г угля (1 кал = = 4,18 Дж).

Решение:

$E_0 = (10^{-3}\ \text{кг})(3\cdot10^8\ \text{м/с})^2 = 9\cdot10^{13}$ Дж.

Энергия, получаемая при сгорании 1 г угля, составляет 7000 кал $\times$ 4,18 Дж/кал $= 2{,}9\cdot10^4$ Дж. Таким образом, собственная энергия в $3{,}1\cdot10^9$ раз превышает химическую энергию.

Из примера 4 мы видим, что если высвобождается лишь одна тысячная доля собственной энергии, то и это количество в миллионы раз больше того, что могут дать обычные источники энергии.

Пример 5. Если взрыв 1 т тринитротолуола (ТНТ) высвобождает 10^9 кал, то какую массу надо преобразовать в энергию для получения эффекта мегатонной бомбы?

Решение: При взрыве одной мегатонны ТНТ выделяется 10^{15} кал, или $4{,}18\cdot10^{15}$ Дж. Соответствующая этой энергии масса равна

$$m = \frac{E}{c^2} = \frac{4{,}18\cdot10^{15}\ \text{кг}}{9\cdot10^{16}} = 0{,}046\ \text{кг} = 46\ \text{г}.$$

При взрыве мегатонной бомбы масса ядерной «взрывчатки» должна уменьшиться на 46 г. Полная масса ядерной «взрывчатки», необходимой для такой бомбы (основанной на реакциях деления и синтеза), примерно в 1000 раз больше. Следовательно, масса водородной бомбы, эквивалентной по мощности 1 мегатонне ТНТ, будет немногим более 50 кг.

Первое экспериментальное подтверждение правильности соотношения Эйнштейна между массой и энергией было получено при сравнении энергии, высвобождающейся при радиоактивном распаде, с разностью масс исходного ядра и конечных продуктов. Чтобы показать, как можно проверить соотношение $E_0 = mc^2$ в лабораторных условиях, рассмотрим простейший пример распада, а именно бета-распад свободного нейтрона. Свободный нейтрон распадается на протон, электрон и антинейтрино (с нулевой массой покоя):

$$n \to p + e^- + \bar{\nu}.$$

При этом суммарная кинетическая энергия конечных продуктов равна $1{,}25\cdot10^{-13}$ Дж. Масса покоя нейтрона превышает суммарную массу протона и электрона на $13{,}9\cdot10^{-31}$ кг. Этому уменьшению массы должна соответствовать энергия $\Delta E = (13{,}9\cdot10^{-31})(3\cdot10^8)^2 = = 1{,}25\cdot10^{-13}$ Дж. Она совпадает с наблюдаемой кинетической энергией продуктов распада в пределах ошибок эксперимента.

Другой пример огромной энергии, заключенной в массе покоя, представляет собой аннигиляция электрона и позитрона (рис. 9-4). Позитрон — это электрон с положительным зарядом (см. гл. 31). При столкновении электрона и позитрона они аннигилируют друг с другом и превращаются в два фотона. (Фотон — это квант электромагнитного излучения.) В этом случае энергия покоя

$2m_e c^2$ полностью переходит в энергию электромагнитного излучения (m_e — масса покоя электрона).

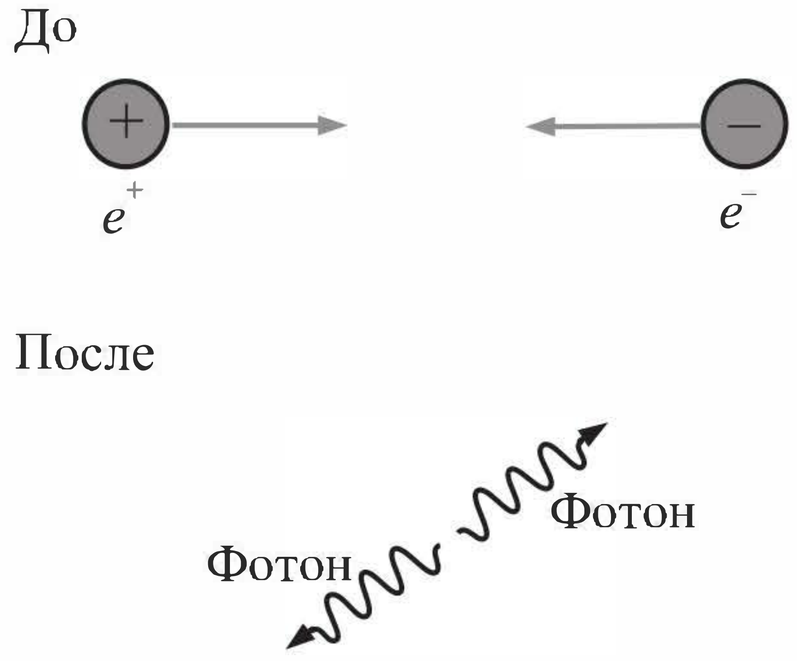


Рис. 9-4. Аннигиляция электрона с позитроном на два фотона

Третий пример относится к элементарной частице, называемой мюоном, которая распадается на электрон и два нейтрино:

$$\mu^- \rightarrow e^- + 2\nu.$$

Масса покоя мюона в 208 раз превышает массу покоя электрона; оба нейтрино имеют нулевую массу покоя. В этом примере около 99,5 % массы покоя мюона превращается в кинетическую энергию электрона и двух нейтрино.

Верно и обратное — кинетическая энергия может превращаться в массу покоя. Обычно при столкновении частицы, имеющей высокую кинетическую энергию, с ядром атома или отдельным протоном рождаются новые частицы; при этом часть кинетической энергии переходит в энергию (массу) покоя новых частиц. Примером этого может служить фотография на рис. 9-5. Протон с кинетической энергией 300 ГэВ (или $3 \cdot 10^{11}$ эВ) сталкивается с протоном, покоящимся в пузырьковой камере, наполненной жидким водородом. При этом рождаются 24 новые частицы, главным образом пионы.

Однако существуют строгие ограничения на величину энергии, которая может быть извлечена из массы покоя. В гл. 31 (т. 2) мы рассмотрим один из основных законов природы, называемый законом сохранения барионов. Согласно этому закону, полное число протонов и нейтронов в данном образце обычного вещества

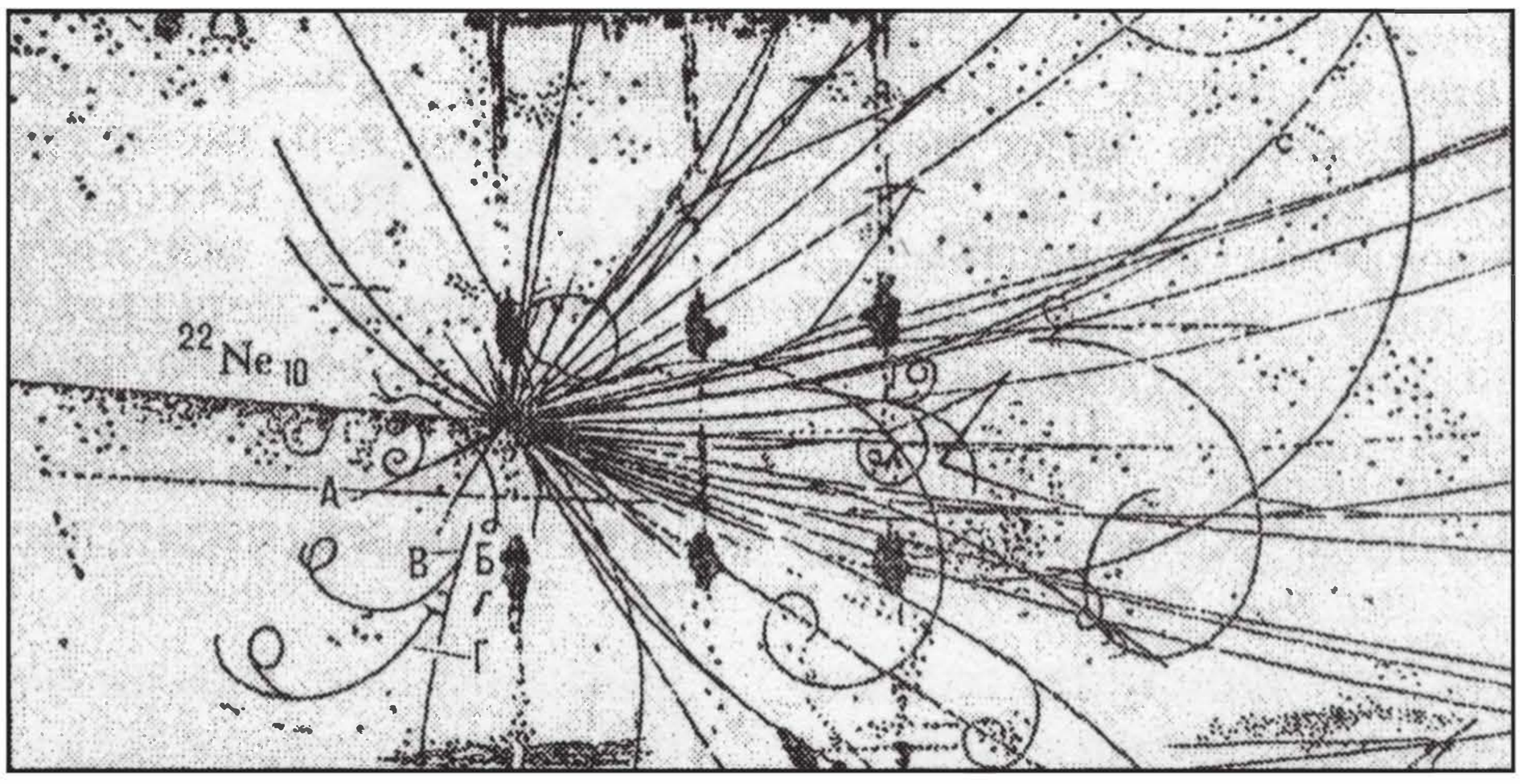


Рис. 9-5. В пузырьковой камере, наполненной жидким водородом, протон с энергией 300 ГэВ сталкивается с ядром водорода. В точке, где произошло столкновение, возникают треки 24 заряженных частиц. [Физическая энциклопедия: В 5 т. / Под ред. А.М. Прохорова. Т. 4. М., 1988. С. 178.]

должно оставаться постоянным. Именно поэтому не существует способов, с помощью которых мы могли бы извлечь из грамма песка энергию $9 \cdot 10^{13}$ Дж. Однако в случае с тяжелыми ядрами, такими, как уран, может происходить перераспределение протонов и нейтронов, при котором масса покоя уменьшается примерно на 0,1 %. В таком процессе, называемом делением ядер, ядро (например, урана) спонтанно расщепляется на два примерно одинаковых ядра и, кроме того, испускается несколько нейтронов. Полная масса покоя конечных продуктов приблизительно на 0,1 % меньше начальной массы покоя ядра. При неупругом соударении двух частиц или распаде одной частицы масса покоя, очевидно, не сохраняется; сохраняется полная энергия

$$E = \sum m_j \left(1 - u_j^2/c^2\right)^{-1/2} c^2.$$

§ 5. Кинетическая энергия

В теории относительности определение кинетической энергии является тем же самым, что и в классической механике: кинетическая энергия — это энергия, обусловленная движением частицы. Для свободной частицы ее можно получить, вычитая из полной энергии [см. (9-6)] энергию покоя:

$$K \equiv E - mc^2 = mc^2 \left(1 - u^2/c^2\right)^{-1/2} - 1] \quad (\textit{кинетическая энергия}).$$

Как указывалось выше, если использовать биномиальное разложение $(1 - \varepsilon)^n \to 1 - n\varepsilon$ при $\varepsilon \to 0$, то мы придем к классическому выражению $K = mu^2/2$.

Пример 6. Кинетическая энергия частицы оказалась равной ее энергии покоя. Какова скорость частицы?

Решение:

$$K = mc^2 \left(1 - u^2/c^2\right)^{-1/2} - 1] = mc^2,$$

$$\left(1 - u^2/c^2\right)^{-1/2} = 2,$$

$$\left(1 - u^2/c^2\right) = 1/4,$$

$$u/c = \sqrt{3/4}, \quad \text{или} \quad u = 0{,}866c.$$

Теперь полезно напомнить релятивистские выражения для импульса, энергии и скорости:

$$p = m \left(1 - u^2/c^2\right)^{-1/2} u, \tag{9-8}$$

$$E = m \left(1 - u^2/c^2\right)^{-1/2} c^2, \tag{9-9}$$

$$E = K + mc^2.$$

Если разделить выражение (9-8) на (9-9), то скорость можно записать через p и E:

$$p/E = u/c^2,$$

$$u = pc^2/E. \tag{9-10}$$

Заметим, что выражения (9-8) и (9-9) не противоречат тому, что массивная ($m \neq 0$) материальная частица не может достичь скорости света. Если в указанных выражениях положить $u = c$, то для импульса и энергии получаются бесконечные значения, а это невозможно.

Возводя в квадрат обе части выражения (9-9),

$$E^2 \left(1 - u^2/c^2\right) = (mc^2)^2,$$

$$E^2 - E^2u^2/c^2 = m^2c^4,$$

и затем подставив вместо u выражение (9-10), можно получить очень полезное соотношение между E, p и m:

$$E^2 - p^2c^2 = m^2c^4. \tag{9-11}$$

Пример 7. В ускорителе Национальной лаборатории им. Э. Ферми близ Чикаго (США, шт. Иллинойс) протоны достигают энергии, в 400 раз превышающей их энергию покоя.
а) Какова скорость этих протонов?
б) Чему равно отношение E к pc?

Р е ш е н и е: а) В выражении (9-9) положим $E = 400mc^2$ и обозначим $\beta = u/c$. Таким образом, имеем

$$400mc^2 = mc^2 (1 - \beta^2)^{-1/2},$$

$$1 - \beta^2 = 1/400^2,$$

$$\beta = u/c = \sqrt{1 - \frac{1}{160\,000}} \approx 1 - \frac{1}{320\,000},$$

откуда

$u = 0{,}999997c$.

б) Отношение E/pc вычисляем из (9-10):

$$\frac{E}{pc} = \frac{c}{u} = \frac{1}{\beta} \approx 1 + \frac{1}{320\,000}.$$

§ 6. Масса и сила

Релятивистская масса

Иногда релятивистский импульс записывают в виде $p = m(u)u$, где

$$m(u) \equiv \frac{m}{\sqrt{1 - u^2/c^2}} \quad (\textit{релятивистская масса}) \qquad (9\text{-}12)$$

называется релятивистской массой (см. примечание редактора в сноске 2 гл. 4). В этой книге мы обозначаем символом m массу покоя. Если речь идет о релятивистской массе, то будем использовать обозначение $m(u)$. Из формулы (9-12) видно, что релятивистская масса увеличивается со скоростью по такому же закону, что и энергия E, причем для свободной частицы $m(u) = (1/c^2)E$. Релятивистская масса — это релятивистская энергия, умноженная на коэффициент пропорциональности $1/c^2$. Поэтому релятивистская масса замкнутой системы сохраняется, тогда как полная масса покоя отдельных частиц может изменяться.

Гравитационная масса

Если в сосуде с идеально отражающими стенками находится несколько частиц и если кинетическая энергия этих частиц увеличивается, то насколько возрастет действующая на них сила тяжести? При этом частицами могут быть, если угодно, даже фотоны с нулевой массой покоя. Тогда гравитационная масса сосуда, определяемая как сила тяжести, деленная на g, будет равна $E_{\text{полн.}}/c^2$. Этот результат следует из общей теории относительности и подтверждается на опыте. Заметим, что масса *системы* фотонов не равна сумме масс покоя отдельных фотонов. Если поместить фотоны в сосуд, то гравитационная масса увеличится на $\Delta m = \Delta E/c^2$, где ΔE — полная энергия фотонов.

Релятивистская сила

Полезно определить силу таким образом, чтобы для двух взаимодействующих частиц по-прежнему выполнялся третий закон Ньютона. Согласно закону сохранения импульса, $d\mathbf{p}_1 = -d\mathbf{p}_2$ и $d\mathbf{p}_1/dt = -d\mathbf{p}_2/dt$. Таким образом, в теории относительности сила определяется выражением

$$\mathbf{F} \equiv d\mathbf{p}/dt.$$

Следует заметить, что при таком определении величина и направление силы (а следовательно, и релятивистской массы. — *Прим. ред.*) будут зависеть от скорости движущегося наблюдателя, тогда как в классической механике сила (и масса. — *Прим. ред.*) не зависела от скорости наблюдателя. Эта зависимость приводит к интересным эффектам, например к возникновению магнитной силы в электромагнитных взаимодействиях. В гл. 17 мы обсудим релятивистские эффекты в теории электромагнетизма.

§ 7. Общая теория относительности

Строго говоря, то, что мы называли до сих пор теорией относительности, следовало бы называть специальной теорией относительности в отличие от общей теории относительности. Первая из этих теорий была полностью развита Эйнштейном в 1905 г., а вторая — главным образом в 1911 г. Общая теория относительности, по существу, представляет собой современную релятивистскую теорию гравитации.

В теории тяготения Ньютона сила $F = Gm_1m_2/r^2$ действует мгновенно. Но если сила может действовать мгновенно, то это означает, что сигнал, или энергия, мгновенно передается от массы m_1 массе m_2. Тем самым нарушается одно из основных положений теории относительности: ни один сигнал, так же как и ни один из видов энергии, не может распространяться со скоростью, превышающей скорость света. Таким образом, Эйнштейн столкнулся с проблемой формулировки релятивистской теории тяготения. Он считал, что его новая теория должна удовлетворять принципу относительности и автоматически приводить к эквивалентности гравитационной и инертной масс. Это убеждение позволило Эйнштейну постулировать так называемый принцип эквивалентности (см. § 5 гл. 5). Этот принцип гласит, что действие гравитационного поля эквивалентно ускоренно движущейся системе отсчета. Например, в самолете, набирающем высоту с ускорением, пассажир испытывает ощущение, что внезапно увеличилась сила тяжести. В ракете, стартующей с поверхности Земли с ускорением $a = 2g$, на пассажиров и все предметы действует сила тяжести, втрое превышающая обычное значение. Эта сила «псевдогравитации» в точности пропорциональна инертной массе. Ни один физический эксперимент на ракете не может ответить на вопрос, возросла ли втрое сила тяжести за счет внезапного увеличения земного притяжения, или же ракета стала ускоренно двигаться относительно Земли.

В общей теории относительности Эйнштейна принцип эквивалентности формулируется с использованием достаточно сложного математического аппарата, что выходит за рамки нашей книги. В этой теории любая масса «возмущает» пространство вокруг себя, в результате чего все тела будут двигаться по траекториям, искривленным в окрестности возмущающей массы, таким образом, что они приближаются к ней. Уравнения Эйнштейна связывают величину кривизны траекторий с интенсивностью (или массой) источника гравитации.

На классическом языке мы должны были бы сказать, что любое тело, движущееся по искривленной траектории, будет ускоряться и, следовательно, испытывать действие некоторой силы. В общей же теории относительности это ускорение — свойство пространства, которым объясняется явление гравитации. Поскольку «возмущено» само пространство, все инертные массы будут подвержены одному и тому же воздействию и принцип эквивалентности удовлетворяется автоматически.

Одно из следствий общей теории относительности связано с увеличением длины волны при излучении света массивным телом. Этот эффект называется гравитационным красным смещением. Он наблюдается в спектральных линиях Солнца и массивных звезд. Таким образом, атомные часы на поверхности Солнца должны идти медленнее («тикать» реже), чем такие же часы на поверхности Земли. Как и следовало ожидать, общая теория относительности предсказывает

замедление любых часов в гравитационном поле. Например, если пара одинаковых часов на Земле расположена на различной высоте на расстоянии друг от друга по вертикали, скажем, 1 м, то нижние часы будут идти медленнее, причем это различие составляет 10^{-16}. Впервые стандарты частоты такой точности были созданы в 60-х годах; в них используются фотоны, излучаемые радиоактивными ядрами железа, внедренными в кристалл. Столь высокую точность измерения частоты обеспечивает эффект Мёссбауэра (см. в конце § 3 гл. 8).

Экспериментальная проверка общей теории относительности всегда вызывала затруднения. Однако благодаря появлению новых стандартов частоты удалось в лабораторных экспериментах продемонстрировать замедление времени, обусловленное гравитацией. Впервые такие эксперименты были выполнены в 1960 г. в Гарвардском университете на 20-метровой башне.

Еще один эффект, предсказываемый общей теорией относительности, — искривление в направлении центра Солнца светового луча, проходящего вблизи его поверхности. Теория позволяет вычислить гравитационную силу, действующую между Солнцем и фотоном, движущимся со скоростью света. Лишь во время солнечных затмений можно видеть звезды, чье кажущееся расположение на небосводе близко к краю Солнца. Наблюдаемые положения этих звезд действительно сдвинуты на величину, предсказываемую теорией Эйнштейна.

Еще одно явление, предсказываемое общей теорией относительности, которое вплоть до 1970 г. казалось совершенно немыслимым, — это то, что при вполне обычных условиях звезда, израсходовавшая свой запас термоядерного горючего, должна испытывать коллапс, превращаясь в конечном счете в черную дыру. Под черной дырой понимается такой звездный объект, поверхность которого не может покинуть ни свет, ни какой-либо другой сигнал. Такая звезда должна внезапно полностью и навсегда исчезнуть из поля зрения. Теория черных дыр и экспериментальные попытки их обнаружить составляют одну из главных тем, рассматриваемых в гл. 30. Согласно общей теории относительности, ускоряющаяся масса (например, коллапсирующая звезда или объект, образовавшийся после столкновения звезд) должна излучать гравитационные волны — в полной аналогии с тем, как ускоряющийся электрический заряд испускает электромагнитное излучение. Существуют детекторы гравитационных волн, достаточно чувствительные для обнаружения эффекта, связанного со сверхновыми (см. гл. 30).

Космология

Общая теория относительности играет важную роль в разделе астрофизики, называемом космологией. Космология изучает вопросы, связанные с происхождением, размерами и строением Вселенной. К этим вопросам относятся и следующие: конечны или бесконечны размеры Вселенной? Увеличиваются ли они, т. е. расширяется ли Вселенная? Как и когда сформировались наша Солнечная система и Галактика? Много ли имеется галактик и как они распределены во Вселенной? Откуда они взялись и что представляла собой Вселенная, до того как эти галактики образовались? Для того, чтобы изучать космологию, нужно познакомиться помимо теории относительности также и с ядерной физикой. Ряд таких вопросов мы обсудим в гл. 30 после того, как получим некоторые представления о ядерной физике.

Основные выводы

Правило релятивистского сложения скоростей можно вывести из преобразований Лоренца. Таким образом, получаем

$$u'_x = \frac{u_x \pm v}{1 \pm u_x v/c^2},$$

в то время как классическое выражение записывается в виде $u'_x = u_x \pm v$.

Если импульс определить как $\mathbf{p} = m\gamma(u)\mathbf{u}$, а энергию — как $E = m\gamma(u)c^2$, то они будут сохраняться во всех системах отсчета при условии, что они сохраняются хотя бы в одной системе.

Массе покоя соответствует энергия покоя $E = mc^2$, и в тех случаях, когда масса покоя уменьшается (например, при электрон-позитронной аннигиляции), энергия покоя преобразуется в другие формы энергии, например в кинетическую.

Кинетическая энергия свободной частицы имеет вид

$$K = E - mc^2 = mc^2\,[\gamma(u) - 1].$$

Энергия и импульс связаны между собой соотношением

$$E^2 = p^2c^2 + (mc^2)^2.$$

Релятивистская масса тела, движущегося со скоростью u, дается выражением

$$m(u) = \frac{m}{\sqrt{1 - u^2/c^2}}.$$

Релятивистская масса замкнутой системы сохраняется, поскольку сохраняется энергия этой системы. На релятивистскую массу действуют гравитационные силы. Релятивистская теория гравитации, которую называют общей теорией относительности, основана на принципе эквивалентности.

Приложение. Преобразование энергии и импульса

Для того чтобы показать, как преобразуются составляющие импульса $\mathbf{p} = m\gamma(u)\mathbf{u}$, необходимо прежде всего рассмотреть преобразование составляющих вектора $\gamma(u)\mathbf{u}$ при переходе из одной системы координат в другую. Начнем с использования дифференциальной формы преобразований Лоренца [уравнения (8-9)], в которых обе части разделены на $d\tau$, где τ — собственное время, измеряемое наблюдателем, связанным с движущейся частицей:

$$\begin{cases} \dfrac{dx'}{d\tau} = \dfrac{\gamma\,dx}{d\tau} + \gamma v \dfrac{dt}{d\tau}, \\ \dfrac{dy'}{d\tau} = \dfrac{dy}{d\tau}, \\ \dfrac{dz'}{d\tau} = \dfrac{dz}{d\tau}, \\ \dfrac{dt'}{d\tau} = \dfrac{\gamma\,dt}{d\tau} + \dfrac{\gamma v}{c^2}\dfrac{dx}{d\tau}. \end{cases} \tag{9-13}$$

На рис. 9-1 собственное время τ — это время, измеренное наблюдателем, находящимся внутри автомобиля, движущегося со скоростью u_x (в нештрихованной системе отсчета). Связь между t и τ, а также между t' и τ дается соотношением (8-6):

$$d\tau = \frac{1}{\gamma(u)}dt \quad \text{и} \quad d\tau = \frac{1}{\gamma(u')}dt'.$$

Подставим эти выражения для $d\tau$ в уравнения (9-13) и воспользуемся также следующими тождествами:

$$dx'/dt' \equiv u'_x,\ dx/dt \equiv u_x,\ \ldots\ .$$

Тогда мы получим

$$\gamma(u')u'_x = \gamma\gamma(u)u_x + \gamma v\gamma(u),$$
$$\gamma(u')u'_y = \gamma(u)u_y,$$
$$\gamma(u')u'_z = \gamma(u)u_z,$$
$$\gamma(u') = \gamma\gamma(u) + \left(\gamma v/c^2\right)\gamma(u)u_x, \qquad (9\text{-}14)$$

где

$$\gamma(u) \equiv \left(1 - \frac{u^2}{c^2}\right)^{-1/2},$$

$$\gamma(u') \equiv \left(1 - \frac{u'^2}{c^2}\right)^{-1/2},$$

$$\gamma \equiv \left(1 - \frac{v^2}{c^2}\right)^{-1/2}.$$

Эта система четырех уравнений показывает, как преобразуются все три составляющие скорости **u** в нештрихованной системе отсчета к составляющим скорости **u′** в системе отсчета, движущейся со скоростью v влево (см. рис. 9-1).

Из уравнений (9-14) можно получить формулы преобразования релятивистского импульса: для этого достаточно умножить обе части уравнений на m. В дальнейшем мы будем использовать обозначения $p_x \equiv m\gamma(u)u_x$, $p'_x \equiv m\gamma(u')u'_x$ и т. п. При этом уравнения (9-14) принимают вид

$$\begin{cases} p'_x = \gamma p_x + \gamma v m\gamma(u), \quad p'_y = p_y, \quad p'_z = p_z, \\ m\gamma(u') = \gamma m\gamma(u) + \left(\gamma v/c^2\right)p_x. \end{cases}$$

Наконец, введем обозначения $E \equiv m\gamma(u)c^2$, $E' \equiv m\gamma(u')c^2$ и $\beta \equiv v/c$. Тогда написанные выше уравнения примут вид

$$\begin{cases} p'_x = \gamma p_x + \gamma\beta(E/c), \; p'_y = p_y, \; p'_z = p_z, \\ E'/c = \gamma(E/c) + \gamma\beta p_x. \end{cases} \qquad (9\text{-}5)$$

Упражнения

1. Напишите с помощью (9-1) выражение для u'_x через u и v.
2. Рассмотрите пример 2 для случая, когда электрон распада и нейтрон движутся в противоположные стороны.
3. При сгорании угля или нефти образуются соединения, суммарная масса покоя которых меньше исходной. Пусть обычный автомобиль с мощностью двигателя 50 л. с. постоянно движется в течение года. (Считайте, что при сгорании горючего высвобождается мощность 250 л. с.) Насколько при этом уменьшится масса продуктов сгорания горючего?
4. Какую нужно иметь массу покоя (при условии ее полной реализации), чтобы обеспечить годовую потребность США в энергии (около 10^{13} кВт·ч)? Если бы эта энергия полностью получалась за счет ядерного деления, то сколько грамм продуктов деления образовалось бы за год?
5. Протону с энергией покоя 938 МэВ сообщена кинетическая энергия 47 МэВ. На сколько процентов возросла его релятивистская масса?
6. К чему приводит отклонение световых лучей вблизи Солнца: к кажущемуся удалению звезд от Солнца или к их приближению?
7. Сколько микрограмм излучает 100-ваттная лампочка за год?
8. Скорость тела такова, что его релятивистская масса возрастает на 10 %.
   а) Во сколько раз уменьшается длина тела?
   б) Если энергия покоя тела равна E_0, то какова его кинетическая энергия?
9. Энергия покоя протона 938 МэВ. Пусть протон движется со скоростью, равной половине скорости света.
   а) Какова кинетическая энергия протона (в МэВ) согласно классической механике?
   б) Тот же вопрос, но согласно релятивистской механике.
10. Поток мощности от Солнца на Землю составляет около 1 кВт/м^2. Сколько грамм вещества Солнца переносится на Землю в течение года?

11. Наблюдатель, покоящийся относительно частицы A, видит, что частица A распадается и испускает частицу B, движущуюся вправо со скоростью $v = 0{,}5c$. Предположим, что это же событие наблюдается в системе отсчета, по отношению к которой частица A движется вправо со скоростью $v_A = 0{,}4c$. Какую скорость в этом случае мы измерим для частицы B? (Мы видим, что A в момент распада движется вправо.)

12. Какая масса делящегося ядерного вещества необходима для создания ядерной бомбы мощностью 20 килотонн?

13. Кинетическая энергия пиона 35 МэВ. Во сколько раз возрастает период полураспада пиона, если его энергия покоя 140 МэВ?

14. Полная энергия протона $E = 100m_p c^2$. Чему равна его скорость?

15. Какая из величин больше для частицы с массой покоя m_0 и скоростью v: $m_0 v^2/2$, p^2/m_0 или ее кинетическая энергия?

16. Если определить плотность как отношение релятивистской массы к объему, то во сколько раз возрастает плотность тела при его движении со скоростью v?

17. Кинетическая энергия свободного протона равна K_0.
а) Чему равна его полная релятивистская энергия E, выраженная через K_0 и массу покоя m_p?
б) Чему равен его релятивистский импульс P, выраженный через K_0 и массу покоя m_p?
в) Чему равна его скорость, выраженная через E и P?

18. Плотность заряда — это электрический заряд единицы объема. Электрический заряд — релятивистская инвариантная величина. Во сколько раз возрастает плотность заряда, движущегося со скоростью v?

Задачи

19. Используя формулы преобразований Лоренца для x и t через x' и t', получите выражение для u_x через u'_x (скорость v направлена так, как показано на рис. 9-1).

20. а) Пусть $x_1 = x$, $x_2 = y$, $x_3 = z$ и $x_4 = ct$. Запишите преобразования Лоренца через x_1, x_2, x_3 и x_4.
б) Пусть $p_1 = p_x$, $p_2 = p_y$, $p_3 = p_z$, $p_4 = E/c$. Запишите уравнения (9-5) через p_1, p_2, p_3, p_4.
в) Докажите, что $x_1^2 - x_4^2 = x_1'^2 - x_4'^2$.
г) Докажите, что $x_1' p_1' - x_4' p_4' = x_1 p_1 - x_4 p_4$.

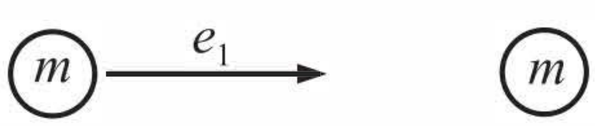
21. Предположим, что величина A, имеющая четыре компоненты A_1, A_2, A_3, A_4 (величина A называется четырехвектором), преобразуется по тем же самым формулам, что и четыре компоненты величин x или p в задаче 20, т. е. $A_1' = \gamma A_1 + \gamma\text{в} A_4$, $A_4' = \gamma A_4 + \gamma\text{в} A_1$.
а) Докажите, что $A_1'^2 - A_4'^2 = A_1^2 - A_4^2$.
б) Докажите, что для двух различных четырехвекторов справедливо равенство $A_1'B_1' - A_4'B_4' = A_1B_1 - A_4B_4$.
в) Докажите, что $(A_1' + B_1')^2 - (A_4' + B_4')^2 = (A_1 + B_1)^2 - (A_4 + B_4)^2$.

22. Энергия покоя K-мезона равна 495 МэВ. Рассмотрим пучок K-мезонов с энергией 330 МэВ (это значит, что каждый из K-мезонов имеет кинетическую энергию 330 МэВ).
а) Чему равна полная энергия каждого K-мезона?
б) Чему равна масса покоя каждого K-мезона в граммах?
в) Какова скорость таких K-мезонов?
г) Найдите отношение их релятивистской массы к массе покоя.
д) Если собственный период полураспада K-мезонов $1{,}0 \cdot 10^{-8}$ с, то какой период их полураспада будет наблюдаться в рассматриваемом пучке?

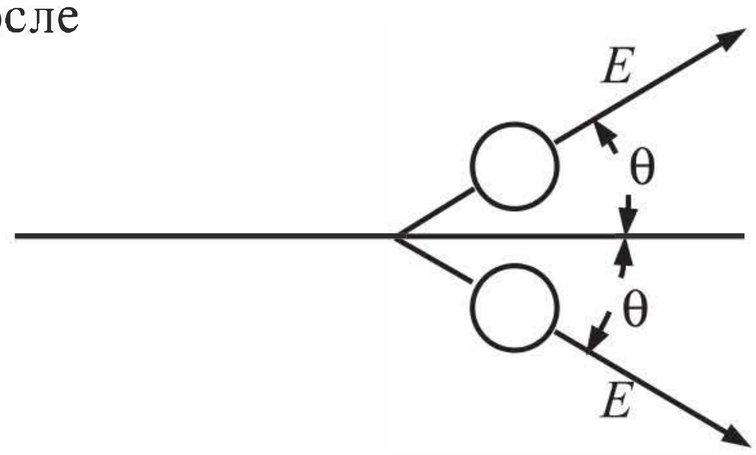
23. Пусть имеется пучок пионов, движущихся с одной и той же скоростью. Измеряемый период полураспада пионов в этом пучке на 67 % превышает их собственный период полураспада. Если энергия покоя пиона составляет 140 МэВ, то чему равны
а) кинетическая энергия каждого пиона в пучке?
б) скорость каждого пиона в пучке?
в) отношение релятивистской массы к массе покоя?
г) отношение p/mc для отдельного пиона (m — масса покоя)?

24. а) Рассмотрите столкновение биллиардных шаров, имеющих одинаковые массы покоя m. После столкновения шары приобретают одну и ту же энергию $E_1 = E_2 = E$. Чему равен релятивистский импульс p каждого шара после столкновения, выраженный через энергию e_1 налетающего шара?

До



После



б) Используя законы сохранения энергии и импульса, выведите соотношение

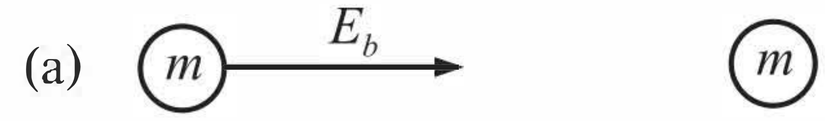
$$\sin\theta = \sqrt{\frac{2mc^2}{e_1 + 3mc^2}}.$$

25. Получите соотношение, связывающее импульс p с кинетической энергией K и массой покоя m.

26. Обычно ускорители на высокие энергии ускоряют частицы массой m до полной энергии E_b. Затем эти частицы используются для бомбардировки неподвижной мишени, которая на рис. *а* имеет ту же самую массу покоя, что и налетающая частица. Однако в точности тот же результат может быть достигнут при взаимном столкновении двух пучков с более низкой энергией E'. Получите формулу для E' через эквивалентную энергию E_b. С точки зрения наблюдателя, движущегося вправо на рис. *а*, обе частицы имеют одну и ту же энергию E'. Используя соотношение $E' = \gamma E + \gamma\beta pc$, покажите, что

а) $\text{в} = \dfrac{E_b - mc^2}{p_b c} = \dfrac{p_b c}{E_b + mc^2}$;

б) $E' = \sqrt{\dfrac{mc^2}{2}\left(E_b + mc^2\right)}$.



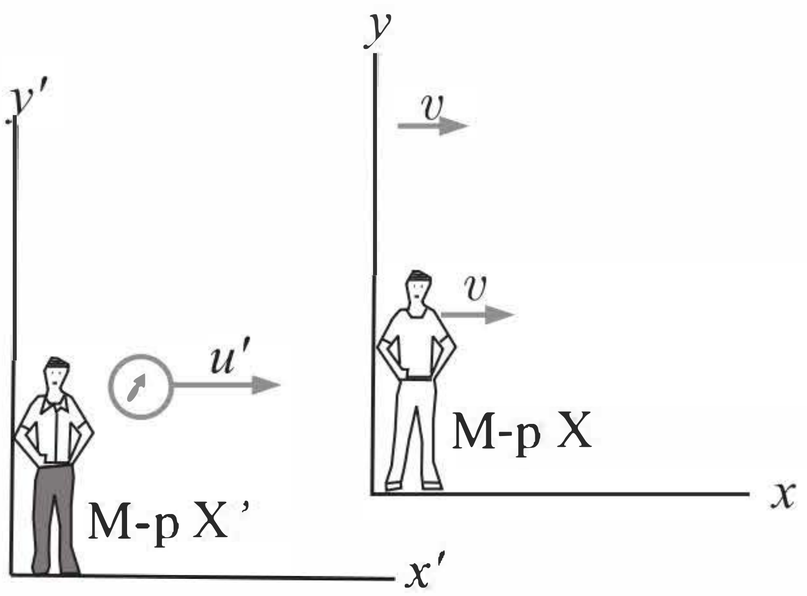
27. В ЦЕРНе (Центр ядерных исследований близ Женевы, Швейцария) действует ускоритель встречных протон-протонных пучков с энергией по 30 ГэВ каждый. Какой должна быть эквивалентная энергия пучка у обычных ускорителей? Используйте соотношение, полученное в задаче 26,*б* ($m_p c^2 = 0{,}938$ ГэВ).

28. Если ускоритель встречных электрон-позитронных пучков рассчитан на энергию $E' = 16$ Гэв, то какой должна быть эквивалентная энергия у обычных ускорителей? ($m_p c^2 = 5{,}1 \cdot 10^{-4}$ ГэВ.)

29. Используя правило сложения скоростей, покажите, что

$u'_x \approx v + (1 - v^2/c^2)u_x$, где $u_x \ll c$.

30. М-р X′, находящийся в состоянии покоя, видит, что вправо со скоростью u' движутся часы. Наблюдатель, движущийся также вправо с той же скоростью u', измеряет время между «тиканьями»; оно оказывается равным Δt. М-р Уилкинс, движущийся вправо со скоростью v, считает, что часы движутся со скоростью u.



а) Напишите выражение для u через u' и v (обе последние величины положительны).

б) Пусть, по измерениям м-ра Уилкинса, время между двумя «тиканьями» равно Δt. Чему равно отношение $\Delta t/\Delta\tau$?

31. Чему равно предельное значение u в задаче 37 при малых t ($a_0 t \ll c$) и при больших t ($a_0 t \gg c$)?

32. Масса покоя мюона $m_0 = 105$ МэВ/c^2, а время жизни покоящегося мюона $2\cdot10^{-6}$ с. Пусть в Национальной лаборатории им. Э. Ферми в момент времени $t = 0$ на мишени рождается мюон с кинетической энергией 10 395 МэВ. Вычислите следующие величины:

а) полную энергию мюона;

б) величину γ;

в) скорость v и импульс p;

г) время жизни в лабораторной системе;

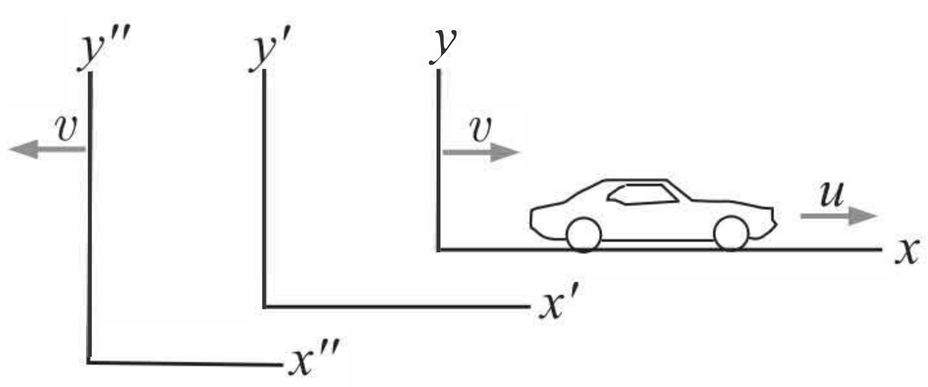
д) расстояние, которое мюон пройдет, прежде чем распадется.

33. Тело с массой покоя m движется со скоростью u и ускорением $a = du/dt$. Направление скорости u не меняется.

а) Найдите выражение для силы F, действующей на тело в нештрихованной системе отсчета, через m, u и a.

б) Какова составляющая силы по оси u, $F'_y = dp'_y/dt'$, измеренная м-ром X′, движущимся влево со скоростью v? Запишите ответ через нештрихованные величины.

34. В нештрихованной системе отсчета автомобиль движется вправо со скоростью u. Нештрихованная система движется относительно штрихованной вправо со скоростью v. Кроме того, относительно последней влево со скоростью v движется дважды штрихованная система отсчета.



а) Какова скорость нештрихованной системы относительно дважды штрихованной?

б) Найдите скорость автомобиля u'', измеренную наблюдателем в дважды штрихованной системе.

35. а) Кинетическая энергия фотона равна E. Какова его релятивистская или гравитационная масса?

б) Пусть фотон принадлежит световому пучку, направленному с вершины к основанию башни высотой h. Найдите относительное изменение кинетической энергии фотона. Ответ запишите через g, h и c.

36. Покажите, что при $\gamma \ll 1$ импульс имеет вид

$$p \approx \left(1 - \frac{1}{2\gamma^2}\right)\frac{E}{c}.$$

37. Пусть в направлении оси x действует постоянная сила величиной $m_0 a_0$. Эта сила приложена к первоначально покоящейся частице с массой покоя m_0. (Можно сказать, что a_0 — это ускорение, измеряемое наблюдателем, который имеет такую же мгновенную скорость, как и частица.)

а) Исходя из уравнения

$$\frac{dp_x}{dt} = m_0 a_0 \quad \text{или} \quad \frac{d}{dt}\left[u\left(1 - \frac{u^2}{c^2}\right)^{-1/2}\right] = a_0,$$

покажите, что

$$u = \frac{a_0 t}{\sqrt{1 + a_0^2 t^2/c^2}}.$$

б) Согласно классической механике, частица могла бы достичь скорости $u = c$ к некоторому моменту времени t_0. Какой будет в действительности скорость частицы в этот момент времени?

10

Вращательное движение

Изучение систем взаимодействующих частиц значительно упрощается, если рассматривать вращательное и поступательное (или трансляционное) движения порознь. Для этого необходимо ввести определение двух новых величин: момента импульса и момента силы. Мы увидим, что в замкнутых системах момент импульса, подобно импульсу и энергии, сохраняется. Закон сохранения момента импульса — это закон того же ранга, что и законы сохранения импульса и энергии. Он позволяет относительно просто вычислять необходимые величины, не имея детальных сведений о силах и движении отдельных частиц. В двух последних параграфах настоящей главы мы изучим особый случай системы частиц, в которой все частицы сохраняют постоянное относительное расположение. Такая система называется твердым телом. Поскольку твердые тела повсеместно встречаются в окружающем нас мире, их изучение имеет большое значение.

§ 1. Кинематика вращательного движения

Прежде чем обсуждать динамику вращательного движения (силы вращения и вызываемые ими эффекты), необходимо сначала разработать математический аппарат для описания этого движения. Мы введем кинематические уравнения в угловых переменных по аналогии со случаем одномерного движения (см. гл. 2).

Угловым аналогом линейного перемещения x является угловое перемещение θ, а аналогом линейной скорости $v = dx/dt$ — угловая скорость $d\theta/dt$. Обычно величину $d\theta/dt$, представляющую собой мгновенную угловую скорость, обозначают греческой буквой ω (омега):

$$\omega \equiv d\theta/dt \ (\textit{угловая скорость}). \qquad (10\text{-}1)$$

В случае движения по окружности между угловой ω и линейной v скоростями существует простое соотношение. Рассмотрим частицу, движущуюся по окружности радиусом R (рис. 10-1). Согласно определению радианной меры, расстояние, пройденное частицей вдоль окружности, равно

$$s = R\theta.$$

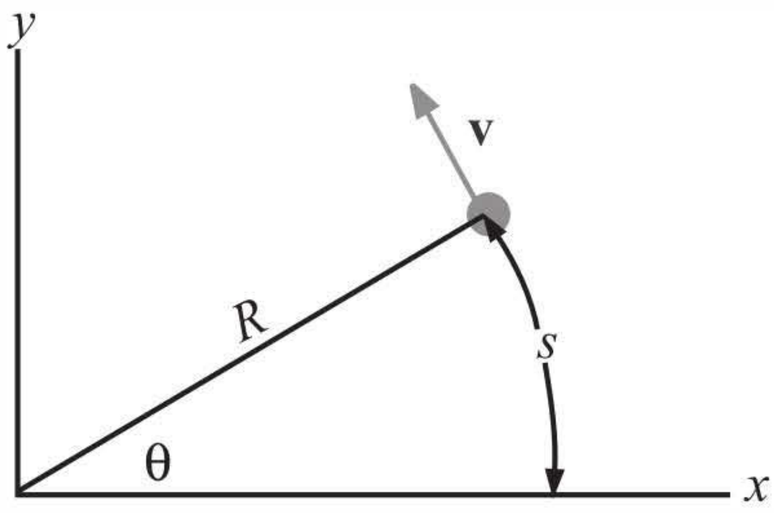


Рис. 10-1. Движущаяся по окружности частица проходит путь $s = R\theta$

Продифференцируем обе части этого равенства по t:

$ds/dt = Rd\theta/dt$.

Таким образом, мы можем записать

$$v = R\omega \text{ (}движение\ по\ окружности\text{)}. \quad (10\text{-}2)$$

Величины v и ω могут меняться со временем, тогда как R остается постоянным.

В случае равномерного движения по окружности величина ω называется также циклической, или круговой, частотой. Скорость v — это расстояние, которое частица проходит за 1 с и которое равно длине окружности $2\pi R$, умноженной на число оборотов в секунду f. Подставляя в (10-2) $v = 2\pi Rf$, имеем

$2\pi Rf = R\omega$,

$$\omega = 2\pi f \text{ (}равномерное\ движение\ по\ окружности\text{)}. \quad (10\text{-}3)$$

Символом f обозначается частота, измеряемая числом оборотов в секунду, а ω — частота, измеряемая числом радианов в секунду.

Угловое ускорение

По аналогии с линейным ускорением d^2x/dt^2 определим угловое ускорение

$$\alpha \equiv \frac{d^2\theta}{dt^2} \text{ (}угловое\ ускорение\text{)}. \quad (10\text{-}4)$$

Соотношение между линейным и угловым ускорениями можно получить, дифференцируя обе части выражения (10-2):

$$\frac{dv}{dt} = R\frac{d\omega}{dt},$$

$$a = R\alpha \text{ (}движение\ по\ окружности\text{)}; \quad (10\text{-}5)$$

здесь a — линейное ускорение частицы при движении по окружности. Если a постоянно, то из уравнения (2-9) имеем

$s = s_0 + v_0 t + at^2/2$.

Заменим теперь s на $R\theta$, v_0 на $R\omega_0$ и a на $R\alpha$; тогда

$$\theta = \theta_0 + \omega_0 t + \alpha t^2/2 \text{ (}постоянное\ угловое\ ускорение\text{)}. \quad (10\text{-}6)$$

Аналогично из (2-10) при постоянных α и R получаем соотношение

$$2\alpha(\theta - \theta_0) = \omega^2 - \omega_0^2.$$

§ 2. Векторное произведение

В определениях момента импульса и момента силы используется операция, называемая в векторном анализе векторным произведением. В § 3 гл. 6 мы определили скалярное произведение двух векторов следующим образом:

$$\mathbf{A}\cdot\mathbf{B} = AB\cos\alpha,$$

где точка как бы «заменяет» множитель $\cos\alpha$. В векторное произведение входит множитель $\sin\alpha$, который в векторной записи заменяется крестиком*:

$$\mathbf{A}\times\mathbf{B} \equiv \hat{\mathbf{n}}\,AB\sin\alpha \text{ (}векторное\ произведение\text{)}; \quad (10\text{-}7)$$

здесь $\hat{\mathbf{n}}$ — единичный вектор, нормальный плоскости, содержащей векторы **A** и **B**. Однако такая плоскость имеет два возможных направления нормали. Поэтому, чтобы однозначно выбрать направление нормали, принято использовать «правило правой руки»**. Это правило иллюстрируется рис. 10-2. Используют пальцы правой руки, сгибая их в направлении от первого вектора ко второму; при этом большой палец указывает направление векторного произведения, т. е. нормали $\hat{\mathbf{n}}$. Из (10-7) следует, что вектор-

---

* В литературе часто используются и другие обозначения: круглые скобкидля скалярного произведения и квадратные для векторного, так что $(\mathbf{AB}) \equiv \mathbf{A}\cdot\mathbf{B}$, $\mathbf{A}\times\mathbf{B} \equiv [\mathbf{AB}]$. — *Прим. ред.*

** Его еще называют правилом правого винта (или буравчика). — *Прим. перев.*

ное произведение обладает следующими очевидными свойствами:

$$\mathbf{A}\times\mathbf{A}=0,$$

$$\mathbf{A}\times(\mathbf{B}+\mathbf{C})=\mathbf{A}\times\mathbf{B}+\mathbf{A}\times\mathbf{C},$$

$$\mathbf{A}\times\mathbf{B}=-\mathbf{B}\times\mathbf{A},$$

$$\mathbf{i}\times\mathbf{i}=\mathbf{j}\times\mathbf{j}=\mathbf{k}\times\mathbf{k}=0,$$

$$\mathbf{i}\times\mathbf{j}=\mathbf{k};\quad \mathbf{j}\times\mathbf{k}=\mathbf{i};\quad \mathbf{k}\times\mathbf{i}=\mathbf{j};$$

здесь **i**, **j** и **k** — единичные векторы соответственно вдоль осей x, y и z.



Рис. 10-2. Иллюстрация правила правой руки. Большой палец правой руки указывает направление $\hat{\mathbf{n}}$ нормали к плоскости, проведенной через векторы **A** и **B**. Остальные пальцы согнуты в направлении от вектора **A** к **B**. При этом большой палец руки указывает направление вектора $\mathbf{A}\times\mathbf{B}$

Пример 1. Чему равно $\mathbf{A}\times\mathbf{B}$, если $\mathbf{A}=\mathbf{i}A_x+\mathbf{j}A_y$ и $\mathbf{B}=\mathbf{i}B_x+\mathbf{j}B_y$? Чему равен синус угла между **A** и **B**?

Решение:

$$\begin{aligned}\mathbf{A}\times\mathbf{B}&=(\mathbf{i}A_x+\mathbf{j}A_y)\times(\mathbf{i}B_x+\mathbf{j}B_y)=\\&=\mathbf{i}\times\mathbf{j}A_xB_y+\mathbf{j}\times\mathbf{i}A_yB_x=\\&=\mathbf{k}\,(A_xB_y-A_yB_x),\end{aligned}$$

$$\sin\alpha=\frac{|\mathbf{A}\times\mathbf{B}|}{|\mathbf{A}||\mathbf{B}|}=\frac{A_xB_y-A_yB_x}{\sqrt{\left(A_x^2+A_y^2\right)\left(B_x^2+B_y^2\right)}}.$$

Векторное произведение участвует не только в определении момента импульса и момента силы; оно используется также в электромагнетизме для описания силы, действующей на движущийся заряд, а также при вычислении магнитного поля, создаваемого током.

§ 3. Момент импульса

Частица может иметь момент импульса даже при движении по прямой. По определению момент импульса **L** дается выражением

$$\mathbf{L}\equiv\mathbf{r}\times\mathbf{p}\ (\textit{момент импульса}),\qquad (10\text{-}8)$$

где **p** — импульс частицы, а **r** — радиус-вектор, проведенный из начала системы координат к частице. Например, на рис. 10-3 частица массой m имеет величину момента импульса $L=rmv\sin\alpha$. Согласно правилу правой руки, вектор

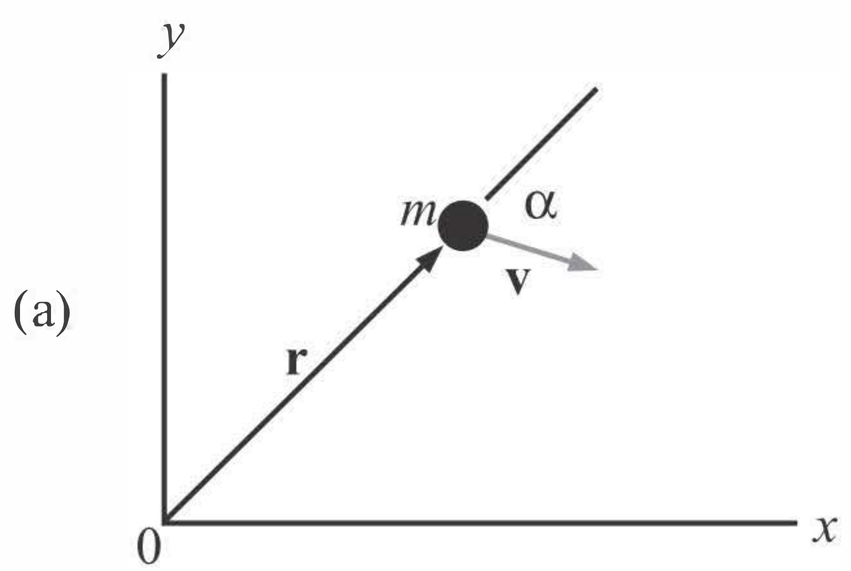


Рис. 10-3. *а* — частица m движется в плоскости xy со скоростью **v**; *б* — относительная ориентация векторов **r** и **p** (искривленной стрелкой показано направление, в котором согнуты четыре пальца по правилу правой руки)

L направлен от читателя, или в отрицательном направлении оси z. На рис. 10-3,*б* черной стрелкой указано направление ориентации пальцев правой руки.

Соотношение (10-8) сохраняет смысл и в релятивистском случае, если используется релятивистский импульс **p**. Заметим, что величина L зависит от выбора начала системы координат. Из рис. 10-4 можно видеть, что

$$L = rp_\perp \text{ и } L = r_\perp p,$$

где $p_\perp = p \sin \alpha$, а $r_\perp = r \sin \alpha$.

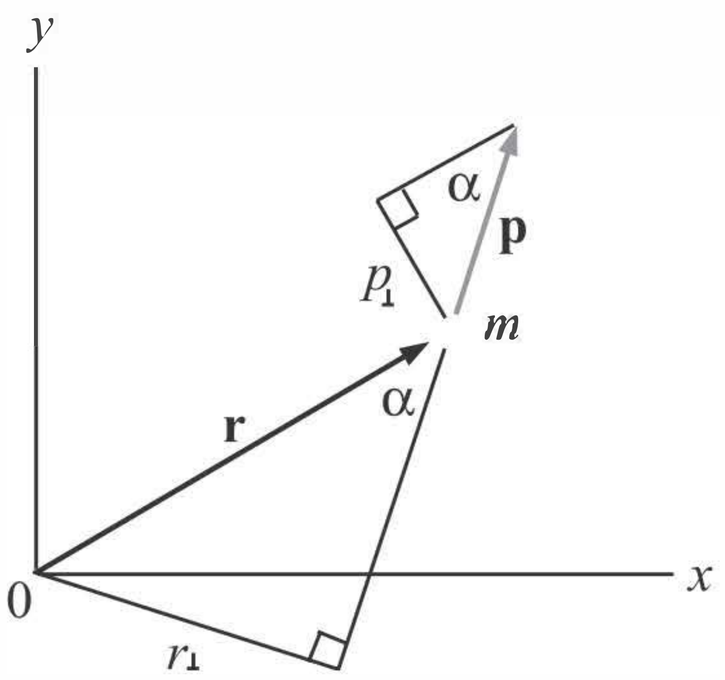


Рис. 10-4. Движение в плоскости xy частицы с массой m и импульсом **p**; $r_\perp$ — плечо импульса; $p_\perp$ — составляющая импульса, перпендикулярная **r**

Величина $p_\perp$ — составляющая вектора **p**, перпендикулярная **r**; $r_\perp$ — расстояние по нормали, опущенной из начала координат на траекторию частицы (его иногда называют плечом импульса).

* **Пример 2.** Приливные силы вызывают замедление вращения Земли, а следовательно, уменьшение ее момента импульса. Покажем, что, согласно закону сохранения момента импульса, расстояние между Землей и Луной должно медленно увеличиваться. Иными словами, нам нужно показать, что момент импульса Луны возрастает с увеличением радиуса ее орбиты.

Решение: По определению, момент импульса Луны равен $L = Rmv$, где R — радиус ее орбиты вокруг Земли, а m — масса. Чтобы решить данную задачу, нужно выразить скорость v через R. Это можно сделать, приравняв силу, действующую на Луну, к величине ma:

$$G\frac{M_З m}{R^2} = m\left(\frac{v^2}{R}\right),$$

или

$$v = \sqrt{\frac{GM_З}{R}}.$$

Подставим последнее выражение в формулу для момента импульса:

$$L = Rm\sqrt{\frac{GM_З}{R}} = m\sqrt{GM_З}\cdot R^{1/2}.$$

Отсюда мы видим, что момент импульса возрастает пропорционально квадратному корню из радиуса орбиты. (В то же время благодаря действию приливных сил со стороны Луны Земля теряет свой момент импульса, а также кинетическую энергию вращения.)

Сохранение момента импульса отдельной частицы

Прежде чем рассматривать общий случай замкнутой системы n взаимодействующих частиц, обратимся к случаю с одной частицей, находящейся под действием центральной силы, направленной в начало координат (или от него). Примером такой ситуации может служить движение планеты по орбите вокруг Солнца:

$$\mathbf{L} = \mathbf{r} \times \mathbf{p},$$

$$\frac{d\mathbf{L}}{dt} = \frac{d\mathbf{r}}{dt} \times \mathbf{p} + \mathbf{r} \times \frac{d\mathbf{p}}{dt} = \mathbf{v} \times \mathbf{p} + \mathbf{r} \times \mathbf{F}.$$

Член $\mathbf{v} \times \mathbf{p}$ равен нулю, поскольку векторы **v** и **p** параллельны друг другу. Аналогично обращается в нуль и член $\mathbf{r} \times \mathbf{F}$, так

как **F** — центральная сила, параллельная (или антипараллельная) вектору **r**. Таким образом,

$$\frac{d\mathbf{L}}{dt} = 0, \text{ или } \mathbf{L} = \text{const}.$$

Мы доказали, что если на тело действует центральная сила любого происхождения, то момент импульса этого тела будет сохраняться. Этот результат мы использовали в § 3 гл. 5 при выводе второго закона Кеплера (закона равных площадей).

§ 4. Динамика вращательного движения

В данном параграфе мы будем изучать уравнение, аналогичное уравнению $\mathbf{F} = m\mathbf{a}$ в случае вращательного движения, а также рассмотрим сохранение момента импульса для произвольных систем частиц.

Момент силы

Выведем определение физической величины, представляющей собой вращательный аналог силы. Такой величиной является момент силы **T**, определяемый по аналогии с моментом импульса **L**. Если на частицу действует сила **F**, то по определению соответствующий момент силы можно записать в виде

$$\mathbf{T} \equiv \mathbf{r} \times \mathbf{F} \text{ (момент силы)}, \qquad (10\text{-}9)$$

где **r** — радиус-вектор, проведенный из некоторой начальной точки. Для получения в случае вращательного движения уравнения, аналогичного уравнению $\mathbf{F} = m\mathbf{a}$, продифференцируем обе части выражения (10-8):

$$\frac{d\mathbf{L}}{dt} = \frac{d}{dt}(\mathbf{r}\times\mathbf{p}) = \frac{d\mathbf{r}}{dt}\times\mathbf{p} + \mathbf{r}\times\frac{d\mathbf{p}}{dt} = \mathbf{v}\times\mathbf{p} + \mathbf{r}\times\mathbf{F}_{\text{рез.}}.$$

Первый член равен нулю в силу параллельности векторов **v** и **p**. Второй член представляет собой по определению результирующий момент сил. Таким образом,

$$\mathbf{T}_{\text{рез.}} = d\mathbf{L}/dt. \qquad (10\text{-}10)$$

Отсюда следует, что результирующий момент силы равен скорости изменения момента импульса аналогично тому, как результирующая сила, действующая на частицу, равна скорости изменения импульса.

Сохранение момента импульса

В случае системы из n частиц выражение (10-10) можно просуммировать по всем частицам:

$$\sum_{j=1}^{n}\mathbf{T}_j = \frac{d}{dt}\left(\sum_{j=1}^{n}\mathbf{L}_j\right) = \frac{d}{dt}\mathbf{L}_{\text{полн.}}, \qquad (10\text{-}11)$$

где $\mathbf{L}_{\text{полн.}}$ — полный момент импульса всей системы. В случае с замкнутой системой отсутствуют какие бы то ни было моменты внешних сил, так что в левой части выражения (10-11) стоит сумма всех моментов внутренних сил, обусловленных силами взаимодействия между n частицами. Согласно третьему закону Ньютона, силы взаимодействия каждой пары частиц равны по величине и противоположны по направлению. (Релятивистские эффекты могут привести к появлению нецентральных сил, однако усредненный по времени результат будет тем же, что и для центральных сил.) Поскольку для сил взаимодействия пары частиц величина $\mathbf{r}_\perp$ имеет одно и то же значение, их моменты равны по величине и противоположно направлены. Поэтому левая часть выражения (10-11), представляющая собой сумму по всем парам частиц, обратится в нуль. Таким образом, выражение (10-11) принимает вид

$$0 = \frac{d}{dt}\mathbf{L}_{\text{полн.}},$$

откуда

$$\mathbf{L}_{\text{полн.}} = \text{const} \quad (\textit{сохранение момента импульса}). \qquad (10\text{-}12)$$

Мы вывели закон сохранения момента импульса для *замкнутой системы*. Он является прямым следствием законов Ньютона. Существует множество различных задач, в которых конечные скорости или моменты импульса можно вычислить с помощью закона сохранения момента импульса, даже если неизвестны силы взаимодействия.

---

* **Пример 3.** Студент на вращающейся скамье держит на вытянутых в стороны руках пару гантелей. Его подталкивают, пока он не начнет вращаться со скоростью $f_1 = 0{,}5$ об/с. Затем студент сгибает руки и прижимает гантели к груди (рис. 10-5). Сколько при этом он станет совершать оборотов в секунду? Можно считать, что первоначально гантели находились на расстоянии 60 см от оси вращения, а после того, как они были прижаты к груди, — на расстоянии 10 см. Масса гантелей такова, что моменты импульса студента и гантелей в первоначальном положении одинаковы.

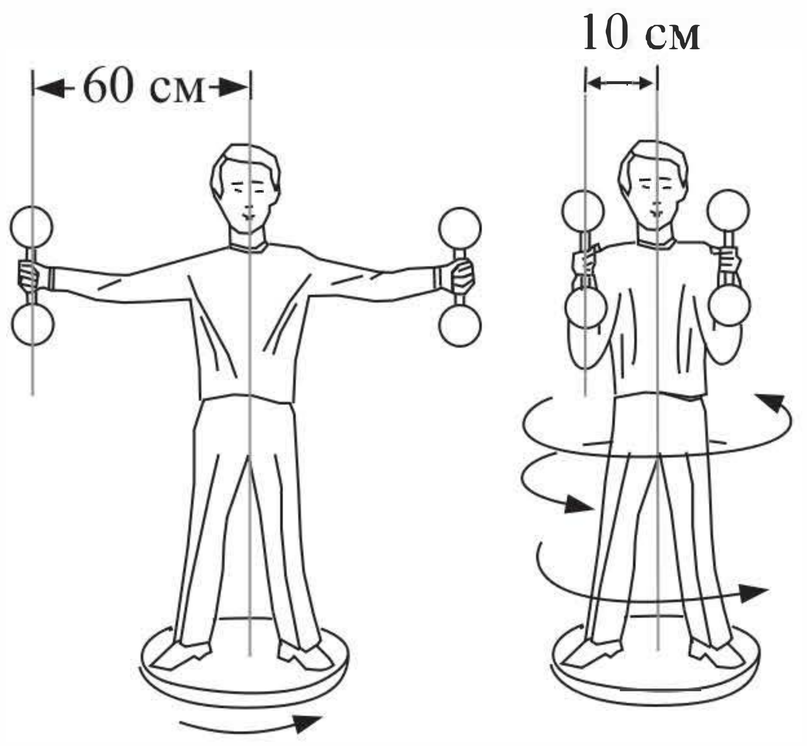


Рис. 10-5. Студент, прижимая к себе гантели, начинает вращаться быстрее

Решение: Начальный момент импульса гантелей дается выражением

$$L_{d1} = R_1 m v_1 = R_1 m(\omega_1 R_1) = m\omega_1 R_1^2,$$

где m — масса двух гантелей. Начальный момент импульса системы равен

$$L_1 = L_{s1} + m\omega_1 R_1^2;$$

здесь L_{s1} — начальный момент импульса студента.

Поскольку по условию $L_{s1} = L_{d1}$, имеем $L_{s1} = m\omega_1 R_1^2$. Запишем момент импульса системы, когда гантели находятся на расстоянии R_2:

$$L_2 = L_{s2} + m\omega_2 R_2^2.$$

Применяя закон сохранения импульса системы, имеем

$$L_{s2} + m\omega_2 R_2^2 = L_{s1} + m\omega_1 R_1^2.$$

Момент импульса студента пропорционален скорости его вращения, поэтому

$$L_{s2} = \frac{\omega_2}{\omega_1} L_{s1}.$$

Подставляя этот результат в предшествующее равенство, получаем

$$\left(\frac{\omega_2}{\omega_1} L_{s1}\right) + m\omega_2 R_2^2 = L_{s1} + m\omega_1 R_1^2.$$

Подставим теперь сюда выражение $L_{s1} = m\omega_1 R_1^2$. В результате находим

$$\omega_2 = \omega_1 \frac{2R_1^2}{R_1^2 + R_2^2},$$

$$f_2 = (0{,}5)\frac{2(0{,}6)^2}{(0{,}6)^2 + (0{,}1)^2}\,\text{с}^{-1} = 0{,}97\ \text{об/с}.$$

Мы увидим, что угловая скорость вращения почти удваивается.

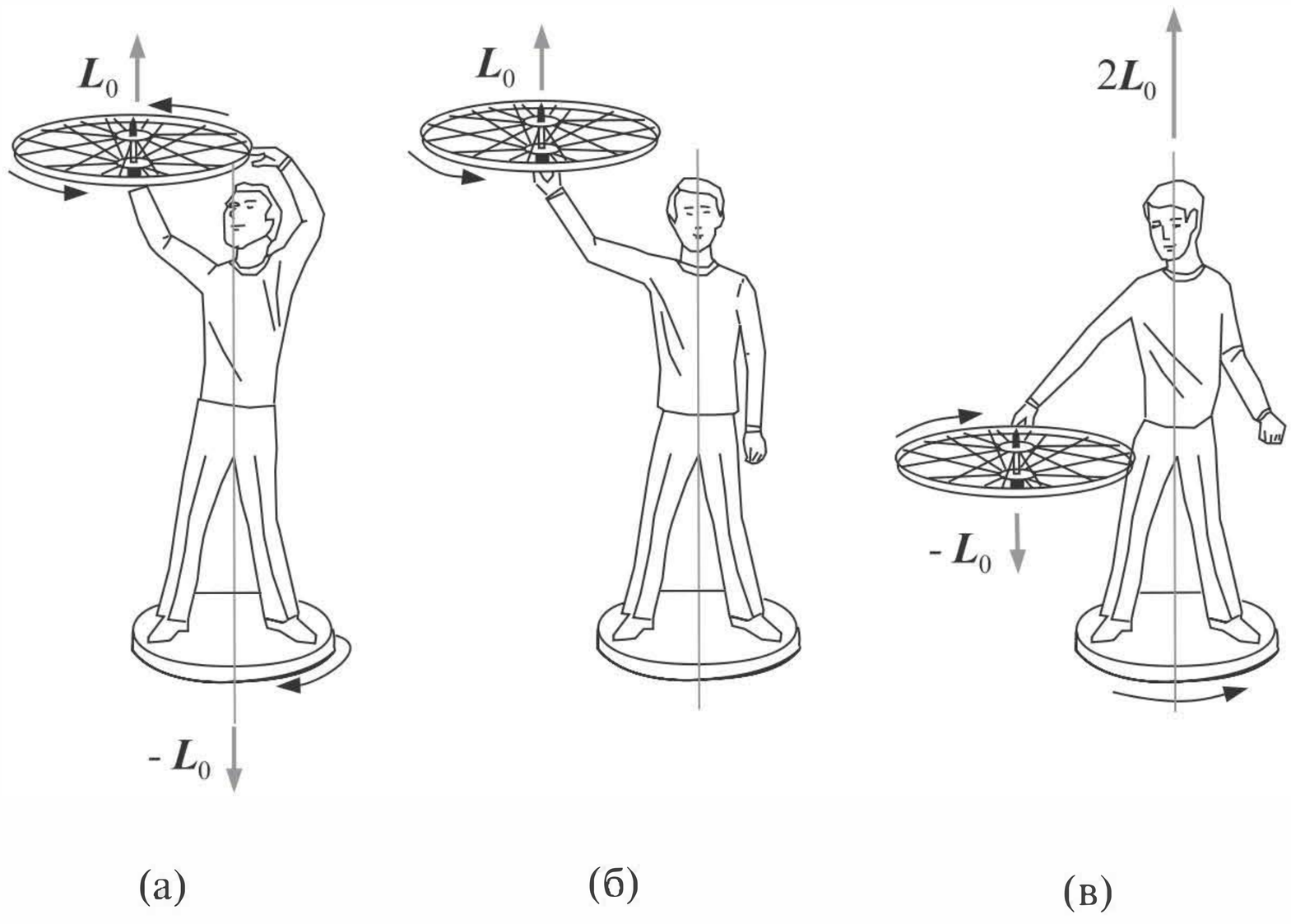


Рис. 10-6. *а* — студент раскручивает колесо; *б* — студент вновь на вращающейся скамье; *в* — студент поворачивает колесо вниз

Аналогичный принцип работает, когда вращающийся на коньках фигурист прижимает к себе руки и группируется.

Пример 4. Студент, стоя на вращающейся скамье, держит над головой велосипедное колесо. Он раскручивает его до тех пор, пока колесо не приобретает угловую скорость $\omega_1 = 5\ с^{-1}$. Затем студент сходит с вращающейся скамьи и вновь вступает на нее и при этом поворачивает ось вращения колеса вниз, как показано на рис. 10-6. Какова будет теперь угловая скорость вращения студента?

Решение: Поскольку начальный момент импульса системы равен нулю, можно написать равенство

$$0 = L_{s1} + L_{●},$$

или

$$L_{s1} = -L_{●},$$

где $L_{●}$ — момент импульса, сообщаемый колесу.

Когда студент сходит со скамьи, L_s обращается в нуль (соответствующий момент импульса передается Земле). Таким образом, момент импульса студента и колеса при возвращении студента на скамью равен $L_{●}$. Когда колесо переворачивается вниз, его момент импульса становится равным $-L_{●}$. А так как момент импульса всей системы должен остаться равным $L_{●}$, имеем

$$L_{●} = L_{s2} + (-L_{●}),$$

или

$$L_{s2} = 2L_0.$$

Следовательно, студент начнет вращаться вдвое быстрее, чем первоначально, причем в противоположном направлении, так что $\omega_2 = 10\ с^{-1}$.

Выражение (10-11) применимо как к системе, находящейся под действием моментов внешних сил, так и к замкнутой системе. При наличии моментов внешних сил моменты внутренних сил по-прежнему взаимно сокращаются, так что суммирование $\sum_{j=1}^{n} \mathbf{T}_j$ дает $\mathbf{T}_{\text{внеш.}}$, где $\mathbf{T}_{\text{внеш.}}$ — векторная сумма всех моментов внешних сил, действующих на систему. В следующих двух примерах рассматривается велосипедное колесо, масса которого сосредоточена на его ободе.

Пример 5. Велосипед может катиться под уклон с постоянной скоростью, если сила, действующая на заднее колесо со стороны дороги, равна $F_2 = 4$ Н (рис. 10-7). С какой силой F_1 должна действовать велосипедная цепь на зубчатое колесо, если $R_2/R_1 = 6$?

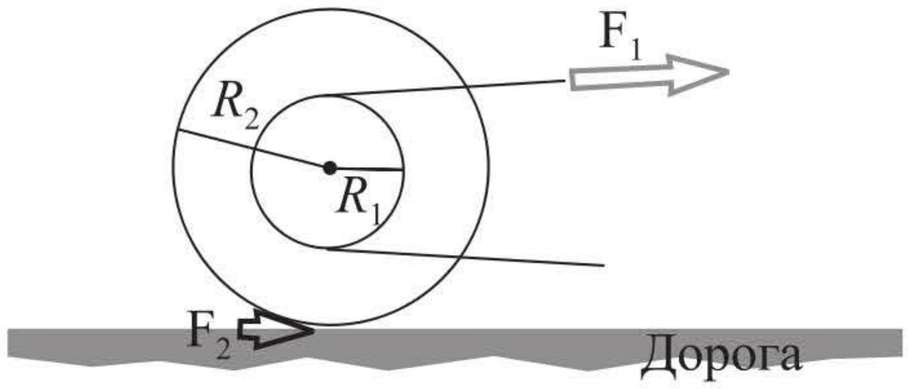


Рис. 10-7. Цепь тянет велосипедное колесо с силой $\mathbf{F}_1$. Дорога действует на это колесо с силой $\mathbf{F}_2$

Решение: Поскольку угловая скорость колеса остается постоянной, $dL/dt = 0$ и

$$\mathbf{T}_{\text{рез.}} = \mathbf{T}_2 + \mathbf{T}_1 = 0,$$

откуда следует

$$|T_1| = |T_2|.$$

Используя соотношение (10-9), имеем

$$R_1F_1 = R_2F_2,$$

$$F_1 = \left(\frac{R_2}{R_1}\right)F_2 = (6)(4\text{ Н}) = 24\text{ Н}.$$

Пример 6. Пусть велосипедное колесо из предыдущего примера не касается земли. Если к цепи приложена постоянная сила 20 Н, то сколько времени понадобится для того, чтобы линейная скорость обода стала равной 30 км/ч (8,33 м/с)? Пусть $R_2 = 30$ см, а полная масса обода колеса равна 2 кг.

Решение: Используя формулу (10-10), имеем

$$R_1F_1 = \Delta L/\Delta t,$$

откуда

$$\Delta t = \Delta L/R_1F_1.$$

Величина $\Delta L = R_2mu$, т. е. конечному значению момента импульса. Таким образом,

$$\Delta L = R_2mv = (0{,}3\text{ м})(2\text{ кг})(8{,}33\text{ м/с}) \approx 5\text{ кг}\cdot\text{м}^2/\text{с},$$

$$\Delta t = \frac{5\text{ кг}\cdot\text{м}^2/\text{с}}{(0{,}05\text{ м})(20\text{ Н})} = 5\text{ с}.$$

§ 5. Центр масс

Движение замкнутой системы взаимодействующих частиц оказывается, вообще говоря, достаточно сложным. Однако в такой системе имеется точка, которая движется по прямой линии с постоянной скоростью. Эта точка называется центром масс $R_{\text{ц.м.}}$ и определяется выражением

$$\mathbf{R}_{\text{ц.м.}} \equiv \frac{\sum m_j\mathbf{r}_j}{\sum m_j} \text{ (}\textit{положение центра масс}\text{).} \qquad (10\text{-}13)$$

По существу, центр масс — это среднее положение системы, причем масса используется как весовой множитель при вычислении среднего. Если наблюдатель покоится по отношению к $\mathbf{R}_{\text{ц.м.}}$, то говорят, что он находится в системе центра масс (ц.м.). Продифференцируем обе части выражения (10-13) по времени:

$$\frac{d\mathbf{R}_{\text{ц.м.}}}{dt} = \frac{\sum m_j\, d\mathbf{r}_j/dt}{\sum m_j}.$$

Левая часть этого равенства по определению представляет собой скорость $\mathbf{v}_{\text{ц.м.}}$ центра масс. Таким образом,

$$\mathbf{v}_{\text{ц.м.}} = \frac{\sum m_j\mathbf{v}_j}{M} = \frac{\sum \mathbf{p}_j}{M} = \frac{\mathbf{P}_{\text{полн.}}}{M}; \qquad (10\text{-}14)$$

здесь M — полная масса системы.

Поскольку в замкнутой системе импульс $\mathbf{P}_{\text{полн.}}$ является постоянным, мы фактически доказали, что скорость центра масс замкнутой системы сохраняется постоянной по величине и направлению.

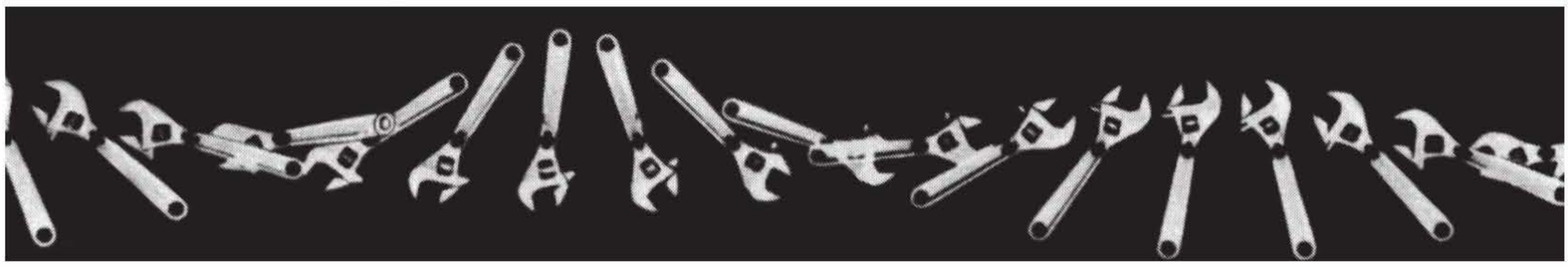


Рис. 10-8. Свободно движущийся гаечный ключ. Действующая на него результирующая внешняя сила равна нулю. Заметим, что ключ равномерно вращается относительно своего центра масс, который отмечен на рисунке темной меткой. [*С любезного разрешения Комитета по изучению физики.*]

На рис. 10-8 движущийся гаечный ключ представляет собой пример такой замкнутой системы. Заметим, что все точки этого ключа движутся по винтовым линиям, кроме одной точки — центра масс, который равномерно движется по прямой.

Другое полезное свойство центра масс связано с вычислением полной кинетической энергии. Докажем, что полная кинетическая энергия системы равна сумме кинетической энергии, измеренной в системе ц.м., и величины $Mv_{\text{ц.м.}}^2/2$:

$$K_{\text{полн.}} = (1/2)\sum m_j v_j^2 = \\ = (1/2)\sum m_j \left(\mathbf{v}_{\text{ц.м.}} + \mathbf{v}'_j\right)\left(\mathbf{v}_{\text{ц.м.}} + \mathbf{v}'_j\right);$$

здесь $\mathbf{v}'_j$ — скорость массы m_j, измеренная в системе центра масс.

Используя определение скалярного произведения, получаем

$$K_{\text{полн.}} = (1/2)\left(\sum m_j\right)v_{\text{ц.м.}}^2 + \mathbf{v}_{\text{ц.м.}}\sum\left(m_j\mathbf{v}'_j\right) + \\ + (1/2)\sum m_j v_j'^2. \qquad (10\text{-}15)$$

Второй член здесь обращается в нуль, поскольку сумма $\sum m_j\mathbf{v}'_j$ равна M, умноженной на скорость центра масс в системе ц.м., т. е. на величину, которая равна нулю. Следовательно,

$$K_{\text{полн.}} = (1/2)Mv_{\text{ц.м.}}^2 + K', \qquad (10\text{-}16)$$

где K' — полная кинетическая энергия, измеренная в системе ц.м. В следующем параграфе мы воспользуемся этим соотношением при рассмотрении динамики твердых тел. В системе ц.м. твердое тело может обладать лишь вращательной кинетической энергией. При этом выражение (10-16) можно записать в виде

$$K_{\text{полн.}} = (1/2)Mv_{\text{ц.м.}}^2 + K'_{\text{вр.}} \quad (\textit{для твердых тел}), \qquad (10\text{-}17)$$

где $K'_{\text{вр.}}$ — вращательная кинетическая энергия, измеренная в системе ц.м.

Пример 7. Обруч массой m катится по плоскости, как показано на рис. 10-9. Скорость центра обруча равна v. Чему равна кинетическая энергия обруча?

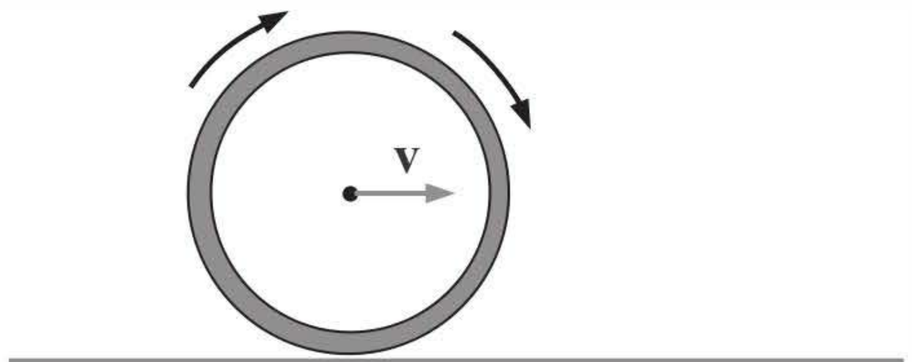


Рис. 10-9. Обруч, катящийся по плоскости

Решение: Из (10-17) имеем

$$K_{\text{полн.}} = (1/2)mv^2 + (1/2)mv_{\text{обод.}}'^2,$$

где $v'_{\text{обод.}}$ — линейная скорость обода в системе ц.м. Для наблюдателя, движущегося вместе с центром обруча, скорость точки

соприкосновения обруча с плоскостью равна v. Поэтому $v'^2_{\text{обод.}} = v$. Таким образом,

$$K_{\text{полн.}} = (1/2)mv^2 + (1/2)m(v)^2 = mv^2.$$

Следует заметить, что энергия катящегося обруча вдвое превышает энергию тела с той же массой m, движущегося с той же скоростью, но без вращения, т. е. только поступательно.

---

*__Пример 8.__ Тело массой m сталкивается с одним из шаров гантели, как показано на рис. 10-10. Если первоначально гантель находилась в покое, то какая доля переданной ей кинетической энергии пошла на вращение?

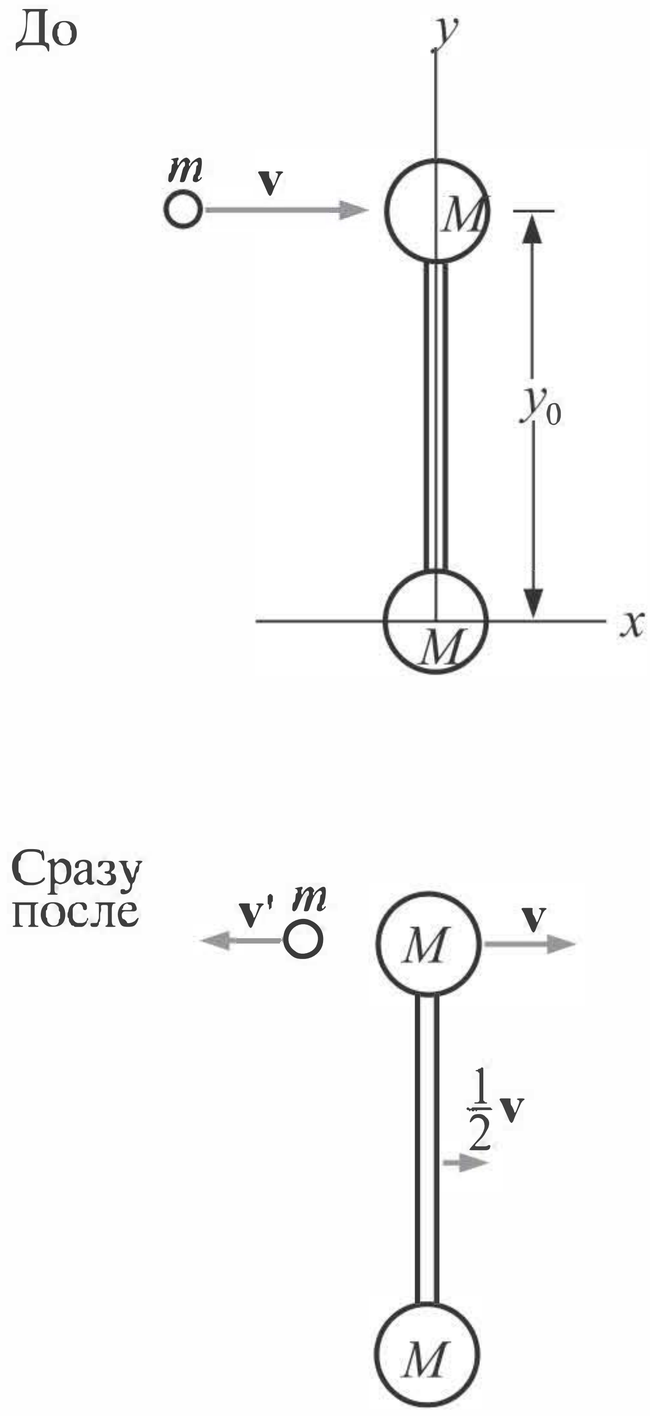


Рис. 10-10. Тело массой m передает импульс одному из шаров жесткой гантели. Сразу после соударения скорости верхнего шара, нижнего шара и центра масс равны соответственно V, 0 и $V/2$

Решение: Перед столкновением полный момент импульса (относительно начала координат) был $y_0 mv$. После столкновения он стал равным $y_0 MV - y_0 mv'$. Согласно закону сохранения момента импульса, эти две величины равны друг другу. Следовательно,

$$y_0 mv = y_0 MV - y_0 mv',$$

или

$$mv = y_0 MV - mv'.$$

Последнее соотношение показывает, что весь переданный массой m импульс приходится на верхний шар (нижнему ничего не остается). Поэтому после столкновения полная кинетическая энергия гантели равна

$$K_{\text{полн.}} = (1/2)\, MV^2,$$

где V — скорость верхнего шара после соударения. Используя выражение (10-17), имеем

$$K'_{\text{вр.}} = K_{\text{полн.}} - (1/2)\, M_{\text{полн.}} V^2_{\text{ц.м.}} = \left[(1/2)\, MV^2\right] - \left[(1/2)(2M)\left[(1/2)V\right]^2 = (1/4)\, MV^2.\right.$$

Таким образом, на вращение идет половина кинетической энергии, переданной гантели. В гл. 12 мы покажем, что при соударении гантелеобразной молекулы с другими частицами она приобретает вращательную и поступательную кинетическую энергии в среднем в соотношении 2:3.

---

§ 6. Твердые тела и момент инерции

До сих пор мы имели дело преимущественно с частицами или точечными массами. Однако большинство тел в природе представляют собой протяженные твердые тела, которые могут не только перемещаться, но и вращаться. Твердое тело можно разделить на элементы массы Δm_j. Мы называем тело твердым, если расстояние между любой парой элементов тела остается неименным по величине.

Рассмотрим твердое тело, вращающееся с угловой скоростью w вокруг фиксированной оси в системе ц.м. (рис. 10-11). Если элемент массы Δm_j расположен на

расстоянии r_j от оси вращения, то его скорость $v_j = \omega r_j$, а момент импульса дается выражением

$$L = \sum r_j \Delta m_j v_j = \sum r_j \Delta m_j (r_j \omega) = \left(\sum r_j^2 \Delta m_j\right)\omega.$$

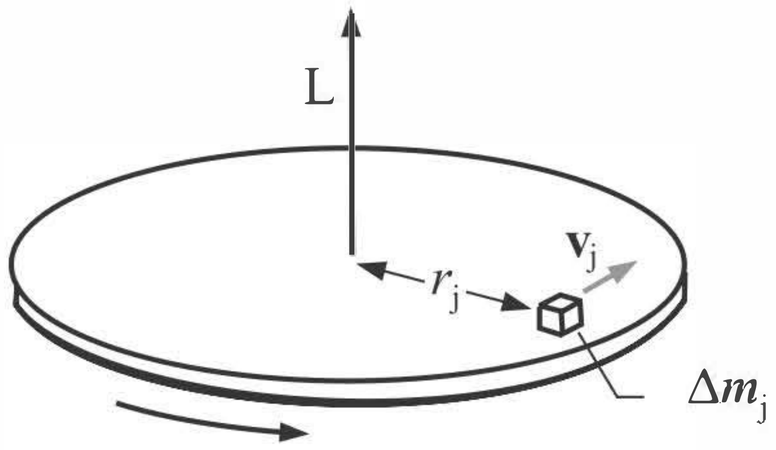


Рис. 10-11. Вращающийся диск (показан элемент массы Δm_j)

Величина, стоящая в скобках, называется моментом инерции I:

$$I = \sum r_j^2 \Delta m_j .$$

В случае непрерывного распределения масс

$$I \equiv \int r^2 dm \ (\textit{момент инерции}). \qquad (10\text{-}18)$$

При этом мы имеем

$$L = I\omega. \qquad (10\text{-}19)$$

Поскольку момент силы дается выражением

$$T = dL/dt,$$

мы можем написать

$$T = I\frac{d\omega}{dt} = I\alpha. \qquad (10\text{-}20)$$

В системе ц.м. кинетическая энергия тела равна

$$K = (1/2)\sum \Delta m_j v_j^2 = (1/2)\sum \Delta m_j (r_j\omega)^2 = (1/2)\left(\sum \Delta m_j r_j^2\right)\omega^2.$$

Следовательно,

$$K = (1/2)I\omega^2,$$

или, иначе,

$$K = (1/2)(I\omega)^2/I = (1/2)L^2/I. \qquad (10\text{-}21)$$

Пример 9. Каковы моменты инерции относительно оси симметрии обруча и твердого диска, масса каждого из которых M, а радиус R?

Решение: Все элементы массы обруча расположены на его ободе при $r = R$, так что

$$I_{\text{обр.}} = MR^2.$$

В случае с диском, как показано на рис. 10-12, площадь кольца, заключенного между r и $r + dr$, равна $dA = 2\pi r\,dr$. Полная площадь диска πR^2. Следовательно,

$$\frac{dm}{M} = \frac{dA}{A} = \frac{2\pi r\,dr}{\pi R^2}, \quad dm = M\frac{2r\,dr}{R^2}.$$

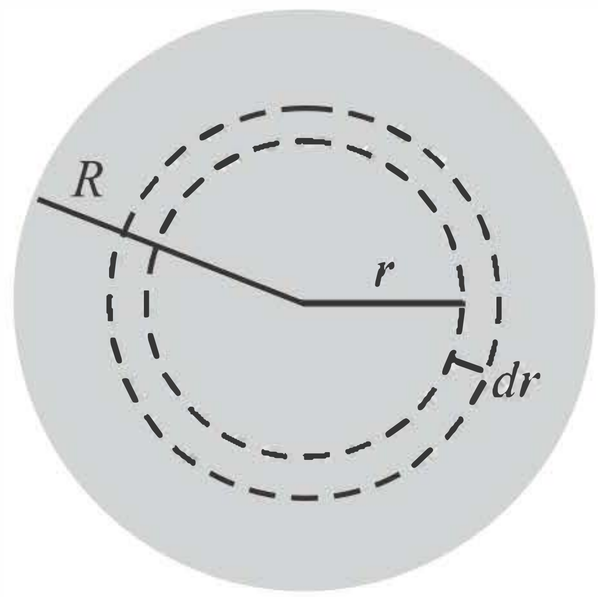


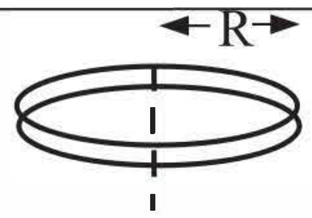
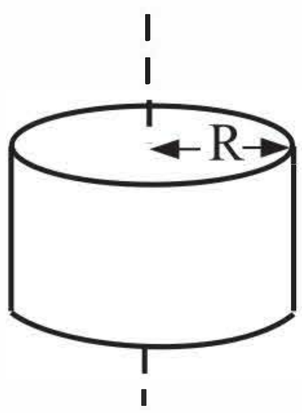
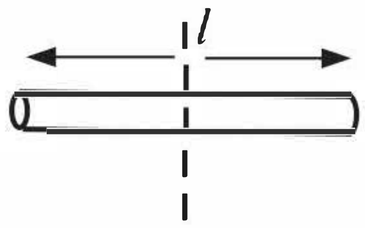
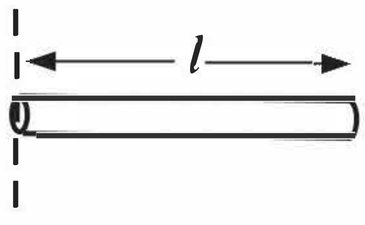
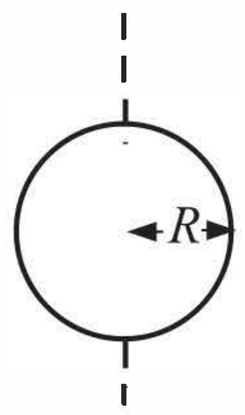
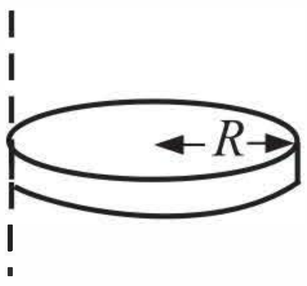
Рис. 10-12. Внутри твердого диска радиусом R на расстоянии r от центра выделено кольцо толщиной dr

Вычислим теперь момент инерции диска:

$$I_{\text{диск.}} = \int_0^R r^2 dm = \int_0^R r^2\left(\frac{2Mr\,dr}{R^2}\right) = \frac{2M}{R^2}\int_0^R r^3 dr = \frac{2M}{R^2}\left[\frac{r^4}{4}\right]_0^R = (1/2)MR^2.$$

Таблица 10-1

Моменты инерции некоторых распространенных тел (относительно указанных на рисунках осей)

Тело	I	
Обруч или кольцо	mR^2	
Диск или цилиндр	$\frac{1}{2}mR^2$	
Стержень (относительно середины)	$\frac{ml^2}{12}$	
Стержень (относительно конца)	$\frac{ml^2}{3}$	
Твердый шар	$\frac{2}{5}mR^2$	
Сферическая оболочка	$\frac{2}{3}mR^2$	
Диск (относительно края)	$\frac{3}{2}mR^2$	

В табл. 10-1 представлены моменты инерции некоторых тел простой формы.

Пример 10. Сначала обруч, а затем диск скатываются по наклонной плоскости, составляющей угол θ с горизонтом (рис. 10-13). Чему равны их ускорения?

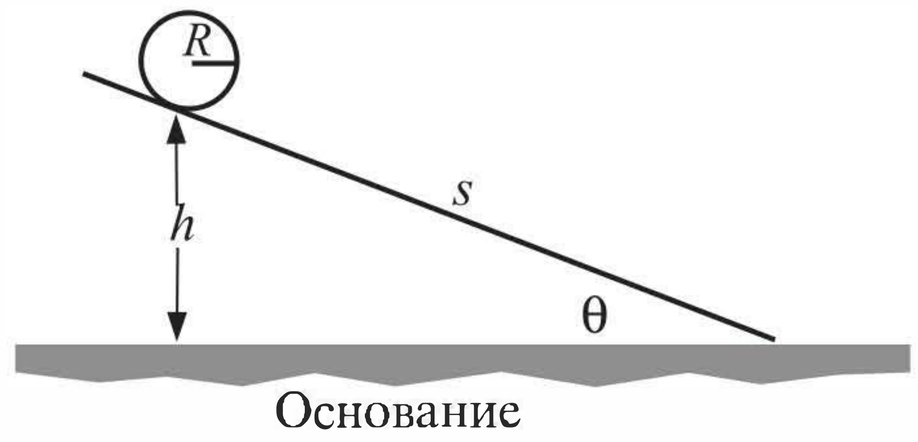


Рис. 10-13. Обруч или диск на наклонной плоскости

Решение: Когда обруч (или диск) достигает основания, его потенциальная энергия mgh превращается в кинетическую энергию поступательного и вращательного движения. Используя выражение (10-17), имеем

$$mgh = (1/2)mv^2 + (1/2)I\omega^2,$$

здесь $\omega = v/R$. Заменяя ω на v/R, получаем

$$mgh = (1/2)mv^2 + (1/2)I(v/R)^2.$$

Отсюда находим

$$v^2 = \frac{2mgh}{m + I/R^2}.$$

В случае равноускоренного движения $v^2 = 2as$. Следовательно,

$$2as = \frac{2mgh}{m + I/R^2},$$

$$a = \frac{m}{m + I/R^2} g \sin\theta.$$

Для обруча

$$\frac{I}{R^2} = m \quad \text{и} \quad a_{\text{обр.}} = (1/2)g \sin\theta.$$

Для диска

$$\frac{I}{R^2} = (1/2)m \quad \text{и} \quad a_{\text{диск.}} = (2/3)g \sin\theta.$$

Заметим, что ответ не содержит ни массу, ни радиус; величина ускорения определяется только формой тела. Напомним, что для тела, скользящего вдоль наклонной плоскости, $a = g \sin\theta$.

§ 7. Статика

В данном параграфе мы изучим условия возникновения и отсутствия вращения.

Существует целая область инженерной науки, изучающая условия равновесия твердых тел, находящихся в покое под действием сил (напряжений). Важно знать, какие требуется приложить силы, чтобы удержать тело от движения или предотвратить его разрушение. Изучение статики необходимо для конструирования крыш и мостов, выдерживающих максимальные нагрузки. Обычно эти знания студенты технических вузов получают в специальных курсах; здесь мы дадим лишь краткое рассмотрение основных принципов подобных расчетов.

Чтобы удержать тело в покое (в равновесии), необходимо выполнение двух условий.

Условие I. Векторная сумма всех сил должна быть равна нулю:

$$\sum \mathbf{F}_j = 0. \qquad (10\text{-}22)$$

Условие II. Векторная сумма всех моментов сил должна быть равна нулю:

$$\sum \mathbf{T}_j = 0.$$

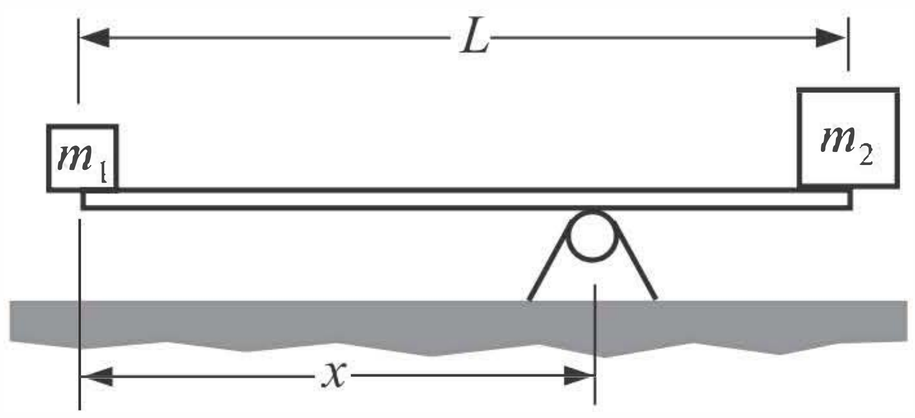
Первое условие является следствием первого закона Ньютона. Второе следует из соотношения $\mathbf{T}_{\text{рез.}} = d\mathbf{L}/dt$. (Если $\mathbf{L}$ равно нулю, то и $d\mathbf{L}/dt$ будет равно нулю.)

Во многих задачах статики рассматривают твердые тела в плоскости, которую мы назовем плоскостью xy. Тогда из условия I получаем два уравнения:

$$\sum \left(F_j\right)_x = 0 \quad \text{и} \quad \sum \left(F_j\right)_y = 0.$$

Условие II дает уравнение $\Sigma T_z = 0$. Величина T_z положительна при вращении против часовой стрелки и отрицательна, если вращение происходит по часовой стрелке. Таким образом, у нас имеется система трех уравнений, с помощью которой можно найти три неизвестные величины. Рассмотрим теперь некоторые примеры.

Пример 11. На концах стержня длиной l расположены массы m_1 и m_2 (рис. 10-14). На каком расстоянии от m_1 следует поместить опору, чтобы обе массы были уравновешены, т. е. стержень не вращался?



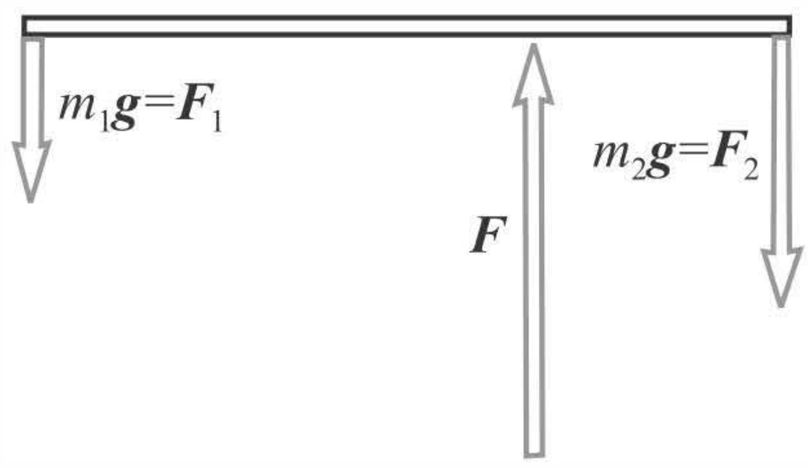


Рис. 10-14. Расстояние x выбрано так, чтобы уравновесить массы m_1 и m_2

Решение: Решение задачи можно получить, воспользовавшись только условием II. Чтобы можно было применить это условие, мы должны выбрать начало отсчета, относительно которого вычисляются моменты сил. Вычисления упростятся, если за начало отсчета принять точку приложения одной (или нескольких) сил. Выбрав в качестве начала отсчета точку опоры, мы обратим в нуль момент, обусловленный силой F. Момент силы, действующей на массу m_1, вызывает вращение в положительном направлении, а на m_2 — в отрицательном; поэтому

$$T_1 + T_2 = (m_1 g x) + \left[-m_2 g (1 - x)\right] = 0,$$

$$(m_1 g x + m_2 g) x = m_2 g l,$$

$$x = \frac{m_2}{m_1 + m_2} l.$$

Этот пример иллюстрирует принцип действия рычага. Следует заметить, что для уравновешивания (или медленного подъема) тела, на которое действует большая сила, можно использовать малую силу F_1. Отношение

$$\frac{F_2}{F_1} = \frac{x}{l - x}$$

представляет собой выигрыш в силе.

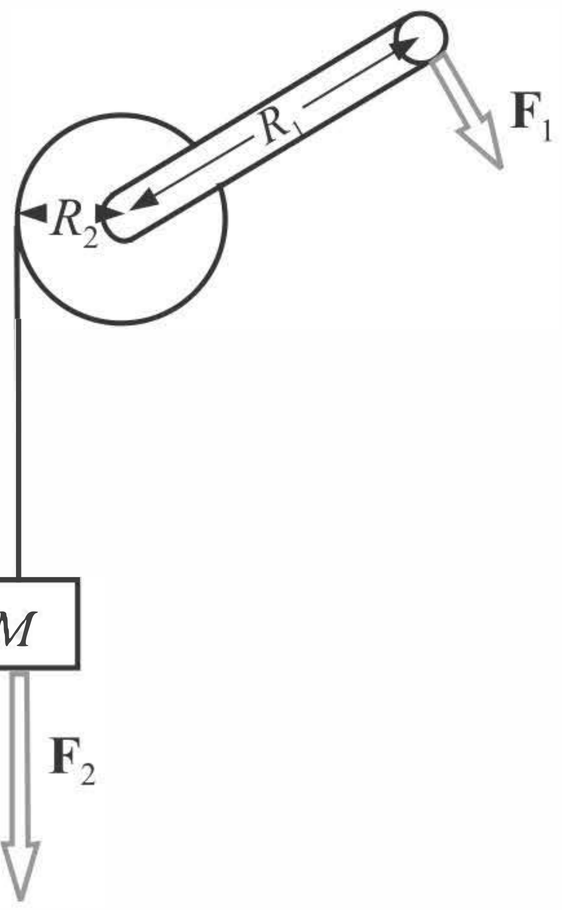


Рис. 10-15. С помощью рукоятки можно поднимать тело массой M, прилагая силу $\mathbf{F}_1$ на расстоянии R_1 от оси вращения

Другим примером выигрыша в силе может служить ручная лебедка (рис. 10-15). В этом случае из условия II имеем

$$|T_1| = |T_2|, \quad R_1 F_1 = R_2 F_2,$$

или

$$F_1 = \left(\frac{R_2}{R_1}\right) F_2.$$

Сделав отношение R_2/R_1 достаточно малым, можно поднимать тяжелые грузы. Заметим, что последний пример, когда масса поднимается с постоянной скоростью, полностью аналогичен примеру 3 с велосипедным колесом, вращающимся также с постоянной скоростью.

Пример 12. Твердое тело произвольной формы закреплено в точке опоры и может вращаться без трения. Докажем, что в состоянии равновесия центр масс этого тела расположен под точкой опоры на одной вертикали с ним.

Решение: Момент силы, действующей на каждый элемент массы Δm_j относительно точки опоры (рис. 10-16), можно записать в виде

$$T_z = -x_j \, \Delta m_j \, g.$$

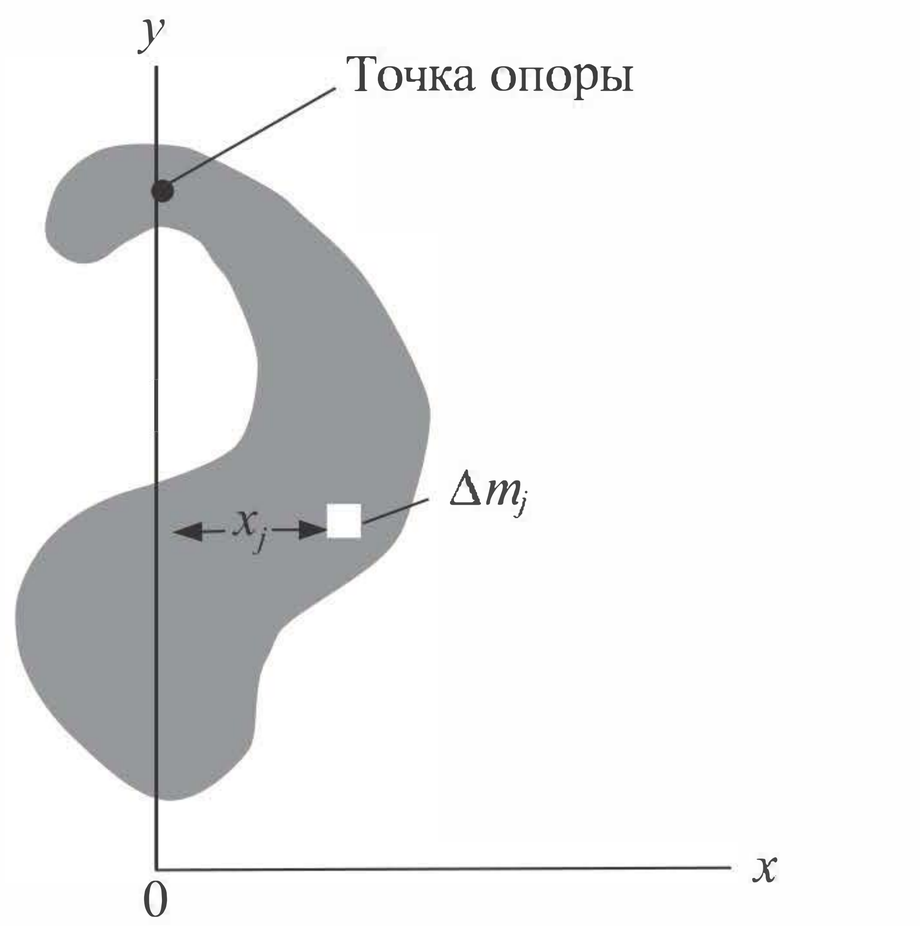


Рис. 10-16. Тело неправильной формы, подвешенное в точке (точке опоры на оси вращения)

Сумма всех моментов сил

$$(T_z)_{\text{полн.}} = -\sum x_j \, \Delta m_j \, g.$$

Согласно условию II, эта величина равна нулю. Таким образом,

$$\sum x_j \, \Delta m_j = 0, \quad \frac{\sum x_j \, \Delta m_j}{\sum \Delta m_j} = 0.$$

По определению левая часть последнего равенства является координатой x центра масс. Таким образом, и центр масс, и точка опоры имеют одну и ту же координату x.

Пример 13. Пусть коэффициент трения между лестницей и полом (рис. 10-17) равен $\mu = 0{,}4$. Как высоко может взобраться по этой лестнице человек, прежде чем она начнет падать? Можно считать, что в точке опоры на стену трения нет и что масса человека значительно превосходит массу лестницы.

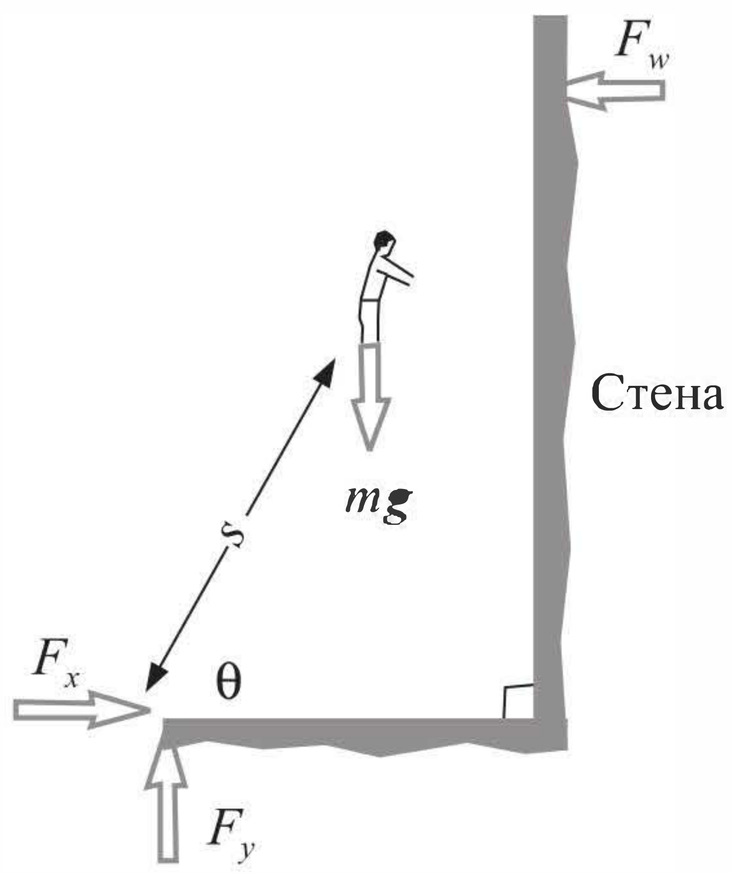


Рис. 10-17. Человекна лестнице длиной l на расстоянии s от пола

Решение: В этой задаче имеются три неизвестные: F_x, F_y и F_w. Из условия I следует

$$F_x + (-F_w) = 0,\ F_y + (-mg) = 0.$$

Для того чтобы использовать условие II, поместим начало отсчета в точку опоры лестницы на полу; тогда

$$F_w l \sin\theta + (-mgs\cos\theta) = 0,$$

откуда находим

$$F_w = \frac{mgs}{l}\operatorname{ctg}\theta. \qquad (10\text{-}23)$$

Если человек достигает точки, в которой лестница начинает скользить, то

$$F_w = \mu F_y.$$

Запишем теперь составляющие F_x и F_y через F_w и mg, пользуясь условием I, согласно которому

$$F_w = \mu mg.$$

Приравнивая последнее выражение и соотношение (10-23), получаем

$$\frac{mgs}{l}\operatorname{ctg}\theta = \mu mg\ ,\ s = \mu l \operatorname{tg}\theta.$$

При $\mu = 0{,}4$ и $\theta = 60^\circ$ имеем $s = 0{,}69l$. При указанных условиях не следует взбираться по лестнице выше, чем на две трети ее длины.

---

§ 8. Маховики

Как мы видели, с вращением твердого тела связан запас энергии $(1/2)I\omega^2$. В частности, у вращающегося диска радиусом R эта энергия равна $(1/4)mR^2\omega^2$.

Рассмотрим теперь автомобиль с маховиком вместо двигателя. Во время стоянки автомобиля маховик мог бы накапливать энергию с помощью небольшого высокоэффективного двигателя, например электромотора. Таким образом, автомобиль мог бы «ходить» на таком более эффективном топливе, как уголь, а не на дефицитном бензине. Рассмотрим вкратце, какую энергию можно запасти с помощью маховика, и проведем сравнение с обычным двигателем внутреннего сгорания.

В случае маховика предельное значение угловой скорости ω определяется прочностью материала маховика на разрыв. Нетрудно показать, что для вращающегося диска справедливо равенство

$$\frac{1}{2}I\omega^2_{\text{макс.}} = \frac{V}{4}S_{\text{макс.}},$$

где $S_{\text{макс.}}$ — предел прочности на разрыв (сила, приходящаяся на единицу площади), а V — объем диска. Для стали,

плавленого кварца и еще некоторых прочных материалов предел прочности $S_{\text{макс.}}$ составляет около $3\cdot10^9$ Н/м^2. Маховик объемом 0,1 м^3 с размерами, показанными на рис. 10-18, может запасти кинетическую энергию

$$\frac{1}{2}I\omega^2 = \frac{\left(0{,}1\ \text{м}^3\right)}{4}\left(3\cdot10^9\ \text{Н/м}^2\right) \approx 8\cdot10^7\ \text{Дж}.$$

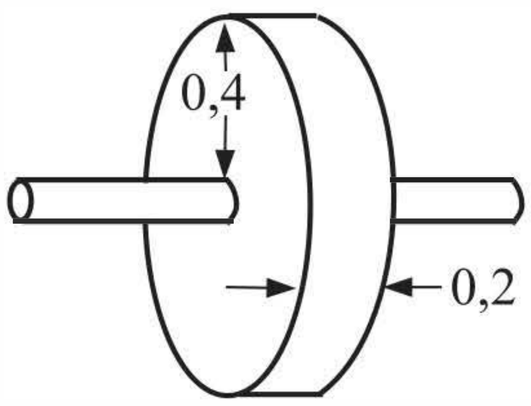


Рис. 10-18. Маховик, используемый вместо двигателя в автомобиле

Если изготовить маховик из плавленого кварца или другого материала плотностью порядка $2\cdot10^3$ кг/м^3, то его масса будет около 200 кг, т. е. значительно меньше полной массы небольшого автомобиля (около 1000 кг). Такой автомобиль с обычным двигателем должен возить с собой около 40 л бензина с запасом энергии ~$3\cdot10^7$ Дж/л, т. е. полный запас энергии $1{,}2\cdot10^9$ Дж. Однако (см. гл. 13) в механическую энергию можно превратить лишь около 20 % этой энергии. Таким образом, по сравнению с запасом энергии маховика $8\cdot10^7$ Дж запас энергии у обычного автомобиля составляет $24\cdot10^7$ Дж. Автомобиль, использующий энергию маховика, мог бы пробежать примерно 1/3 расстояния, которое пробегает обычный автомобиль с указанным выше запасом бензина (около 100 км).

До сих пор большая часть изложенных соображений носила чисто умозрительный характер. Маховики, изготовленные из материала иного типа или имеющие другую форму, могут оказаться более эффективными и экономичными. В настоящее время вопросы безопасности движения, уменьшения стоимости, а также улучшения экологии являются злободневными, что стимулирует всестороннее изучение таких методов создания тяги*.

Пример 14. Сколько оборотов в секунду делает описанный выше маховик?

Решение: Поскольку

$$(1/2)I\omega^2 = 8\cdot10^7\ \text{Дж},$$

$$\omega^2 = \frac{16\cdot10^7\ \text{Дж}}{\left(mR^2/2\right)} = \frac{16\cdot10^7\ \text{Дж}}{(200\ \text{кг})(0{,}4\ \text{м})^2/2} = 10^7\ \text{с}^{-2}.$$

$$\omega = 3{,}16\cdot10^3\ \text{с}^{-1}, \quad f = 503\ \text{об/с}.$$

Пример 15. Пусть автомобиль массой 1000 кг движется со скоростью 80 км/ч (22,2 м/с) и испытывает полную силу трения $F_f = 0{,}07mg = = 686$ Н. Какова длина его пробега, если запас его энергии равен $8\cdot10^7$ Дж?

Решение:

$$P = F_f v = (686)(22{,}2)\ \text{Вт} = 1{,}54\cdot10^4\ \text{Дж/с}.$$

Если K — начальная кинетическая энергия, а T — продолжительность пробега, то $P = K/T$. Таким образом,

$$T = \frac{K}{P} = \frac{8\cdot10^7\ \text{Дж}}{1{,}54\cdot10^4\ \text{Дж/с}} = 5{,}2\cdot10^3\ \text{с} = 1{,}44\ \text{ч}.$$

Соответствующее расстояние равно $x = vT \approx$ ≈115 км.

---

* К ним следует отнести и успешные попытки создания автомобильных двигателей на водородном горючем (для которого продуктом сгорания является вода), а также электромобилей (в том числе на солнечных батареях). — *Прим. ред.*

Основные выводы

Угловая скорость определяется как $\omega = d\theta/dt$, а угловое ускорение — как $\alpha = d\omega/dt = d^2\theta/dt^2$.

В случае кругового движения $v = R\omega$, а тангенциальная компонента ускорения (вдоль окружности) $a = R\alpha$. При равномерном круговом движении $\omega = 2\pi f$ и $\theta = \theta_0 + \omega_0 t + \alpha t^2/2$.

Векторное произведение $\mathbf{A} \times \mathbf{B}$ — это вектор, величина которого равна $|A||B|\sin\alpha$, а направление нормали к плоскости векторов **A** и **B** определяется правилом правой руки.

Момент импульса дается выражением $\mathbf{L} = \mathbf{r} \times \mathbf{P}$, а момент силы $\mathbf{T} = \mathbf{r} \times \mathbf{F}$. Благодаря законам Ньютона они связаны соотношением $\mathbf{T}_{\text{рез.}} = d\mathbf{L}/dt$.

В случае, когда на тело действует центральная сила, вектор **L** сохраняется постоянным. Согласно закону сохранения момента импульса, векторная сумма моментов импульса всех частиц замкнутой системы остается неизменной, т. е. $\sum \mathbf{L}_j = \text{const}$.

Полный импульс системы $\mathbf{P}_{\text{полн.}} = \mathrm{M}_{\text{полн.}}\mathbf{v}_{\text{ц.м.}}$, где $\mathbf{v}_{\text{ц.м.}} = d\mathbf{R}_{\text{ц.м.}}/dt$, а $\mathbf{R}_{\text{ц.м.}} = \sum m_j \mathbf{r}_j / \sum m_j$ — радиус-вектор, определяющий положение центра масс.

Момент инерции твердого тела дается выражением $I = \sum r_j^2 \Delta m_j = \int r^2 dm$, где r — расстояние до оси вращения. Твердое тело, вращающееся с угловой скоростью ω, имеет $L = I\omega$ относительно оси вращения.

Если твердое тело покоится (или вращается вокруг фиксированной оси с постоянной угловой скоростью ω), то должны выполняться следующие два условия:

I $\quad \sum \mathbf{F}_j = 0,$

II $\quad \sum \mathbf{T}_j = 0.$

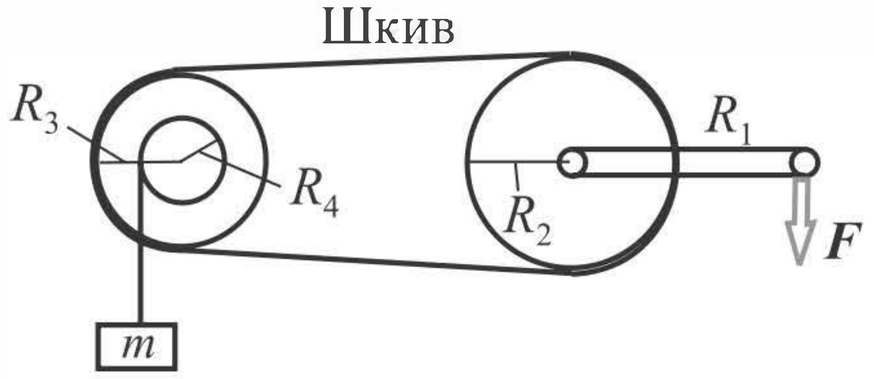
С помощью этих условий можно определить точку приложения, величину и направление неизвестной силы, необходимой для уравновешенного тела.

Упражнения

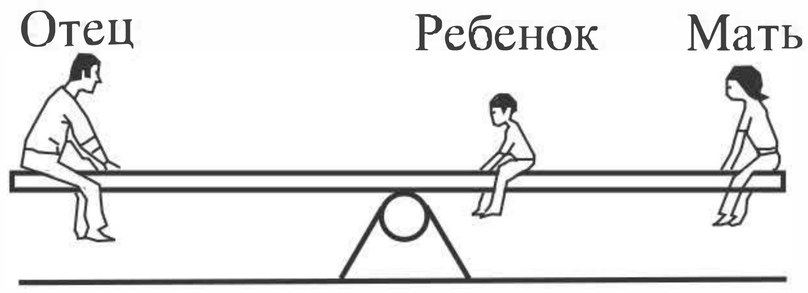
1. Угловое положение частицы описывается функцией $\theta = a + bt + ct^2$. Чему равны угловая скорость и угловое ускорение в момент времени $t = t_0$?
2. Если частица (см. предыдущее упражнение) движется по окружности радиусом R, то каковы будут ее линейная скорость и ускорение в направлении, касательном к окружности? Чему равна составляющая ускорения, направленная к центру?
3. Пусть $\theta = \theta_0 + \omega_0 t + \alpha t^2/2$.
   а) Чему равна средняя угловая скорость ω за время t?
   б) Выразите через θ, θ_0 и t.
4. Масса m велосипедного колеса распределена по его ободу на расстоянии R от центра. Пусть угловая скорость колеса относительно оси, перпендикулярной плоскости колеса и проходящей через его центр, равна ω. Вычислите момент импульса этого колеса через m, R и ω.
5. Повторите вычисления в примере 3, считая приближенно, что момент импульса студента значительно меньше момента импульса гантелей. Сравните затем начальную и конечную кинетические энергии гантелей.
6. Пусть в примере 4 студент остается на вращающейся скамье. Чему будет равна по величине и куда направлена его угловая скорость после поворота колеса вниз?
7. Проделайте вычисления в примере 6 для случая, когда сила, действующая со стороны цепи, равна 10 Н.
8. Рассмотрите пример 10 в случае, когда по наклонной плоскости катится твердый шар.
9. Твердое тело с моментом инерции I вращается вокруг своей оси с угловым ускорением α и мгновенной угловой скоростью ω. Чему равна мощность, сообщенная телу?

10. Найдите в примере 10 отношение кинетической энергии вращения к кинетической энергии поступательного движения обруча. Повторите решение для случая диска.

11. Какую силу следует приложить к рукоятке (см. рисунок), чтобы поднять тело массой m?



12. Где следует посадить ребенка массой 20 кг, чтобы уравновесить 4-метровые качели (масса отца 70 кг, а матери 60 кг)?

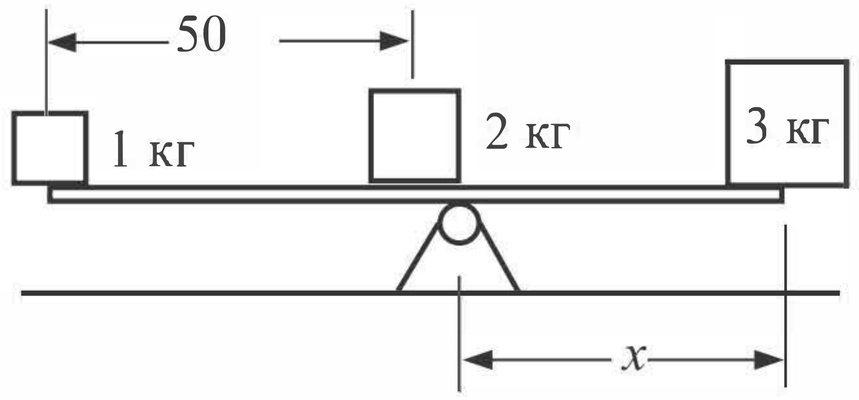


13. Плотность железного маховика $\rho = 8 \cdot 10^3$ кг/м^3, а маховика из плавленого кварца $2{,}4 \cdot 10^3$ кг/м^3. Оба маховика имеют одинаковый предел прочности на разрыв и одинаковую массу. Каково отношение максимальных запасов энергии для этих маховиков?

14. Обод велосипедного колеса диаметром 0,8 м имеет массу 1,5 кг. Чему равен момент импульса колеса, если скорость велосипеда 3 м/с? Массой спиц можно пренебречь.

15. Масса однородного метрового стержня 100 г. К отметке 100 см прикреплено тело массой 50 г. На какой отметке будет находиться центр масс?

16. Три массы находятся в равновесии на метровом стержне под действием силы тяжести (см. рисунок). Чему равна длина x в сантиметрах?



17. Лестница массой 10 кг прислонена под углом 45° к гладкой стене. С какой силой действует лестница на стену?

18. Покажите, что $\mathbf{A} \times \mathbf{B} = \mathbf{i}\,(A_y B_z - A_z B_y)$, если векторы $\mathbf{A}$ и $\mathbf{B}$ расположены в плоскости yz.

Задачи

19. Покажите, что

$$\mathbf{A} \times \mathbf{B} = \begin{vmatrix} \mathbf{i} & \mathbf{j} & \mathbf{k} \\ A_x & A_y & A_z \\ B_x & B_y & B_z \end{vmatrix}.$$

20. Покажите, что $(\mathbf{A} \times \mathbf{B})\mathbf{C} = \mathbf{A}(\mathbf{B} \times \mathbf{C})$.

21. Выполните вычисления в примере 1, если $\mathbf{A} = \mathbf{i}A_x + \mathbf{j}A_y + \mathbf{k}A_z$, а $\mathbf{B} = \mathbf{i}B_x + \mathbf{j}B_y + \mathbf{k}B_z$.

22. Повторите пример 3, считая, что момент импульса студента вдвое больше момента импульса гантелей, когда последние находятся на расстоянии 60 см от оси вращения.

23. Нейтрон и протон, имеющие одинаковые массы m_0, притягиваются друг к другу под действием гравитационной силы и движутся по круговой орбите вокруг своего общего центра масс.



а) Если R_0 — радиус круговой орбиты, а v_0 — линейная скорость движения по

ней, то чему равен полный момент импульса системы относительно ее центра масс? Запишите ответ через m_0, R_0, v_0.

б) Чему равна сила, действующая на нейтрон, выраженная через G, m_0, R_0?

в) Чему равна эта же сила, но выраженная через m_0, R_0 и v_0?

г) Пусть полный момент импульса $L = h$, где h — постоянная Планка. Вычислите R_0 через h, m_0 и G.

24. Два небольших искусственных спутника равной массы m находятся на круговой орбите на расстоянии R_1 и R_2 от поверхности Земли.

а) Чему равен момент импульса спутника 1, выраженный через m, M_3, G и R_1?

б) Найдите отношение R_2/R_1, если момент импульса спутника 2 вдвое больше момента импульса спутника 1.

в) Каково отношение кинетических энергий этих спутников?

25. Твердый диск массой m катится по поверхности. Скорость центра диска равна v. Вычислите кинетическую энергию диска.

26. Твердый шар массой m катится по поверхности. Скорость центра шара равна v. Какова его кинетическая энергия?

27. Повторите вычисления в примере 8 для случая, когда масса m ударяется о гантель на расстоянии y от начала координат, причем $y < y_0$.

28. Каково отношение момента импульса, связанного с вращением Земли, к моменту импульса, связанному с орбитальным движением Луны? Дайте численный ответ.

29. а) Чему равен полный момент импульса системы Земля – Луна?

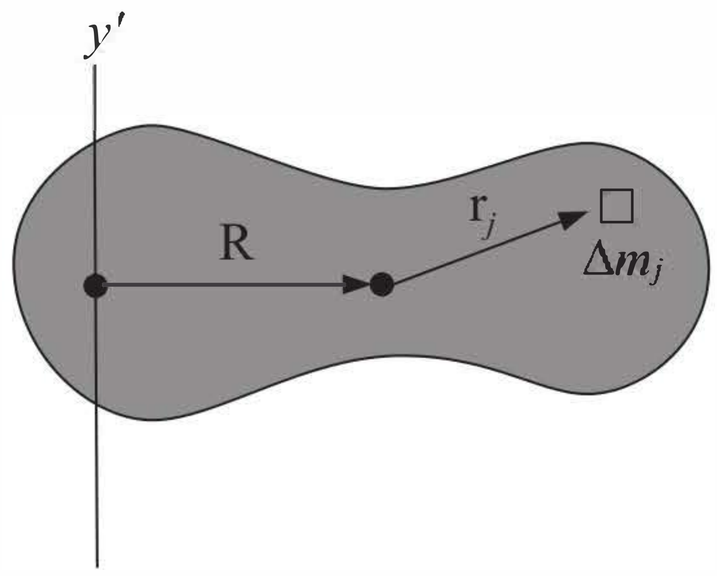
б) Если Земля перестанет вращаться, то на каком максимальном расстоянии от Земли будет находиться Луна? (См. пример 2.)

в) Каким будет в этом случае время полного оборота Луны?

30. Период обращения Солнца 27 суток. После того как полностью выгорит ядерное горючее, Солнце испытает гравитационный коллапс; момент импульса при этом сохранится. Каким будет минимальный радиус Солнца, прежде чем оно разлетится на части? (Последнее произойдет, когда центростремительное ускорение превысит гравитационное на его поверхности.)

31. Стержень массой m и длиной l вращается вокруг оси, расположенной на расстоянии x от конца стержня. Чему равен момент инерции стержня?

32. Пусть момент инерции тела относительно оси, проходящей через центр масс, равен I. Каким будет момент инерции тела относительно оси y', находящейся на расстоянии R от центра масс? (Результат записывается в виде $I' = I + mR^2$ и называется теоремой о параллельных осях*.) [Указание: $I' = \sum \Delta m_j \left(\mathbf{R} + \mathbf{r}_j\right)^2$.]



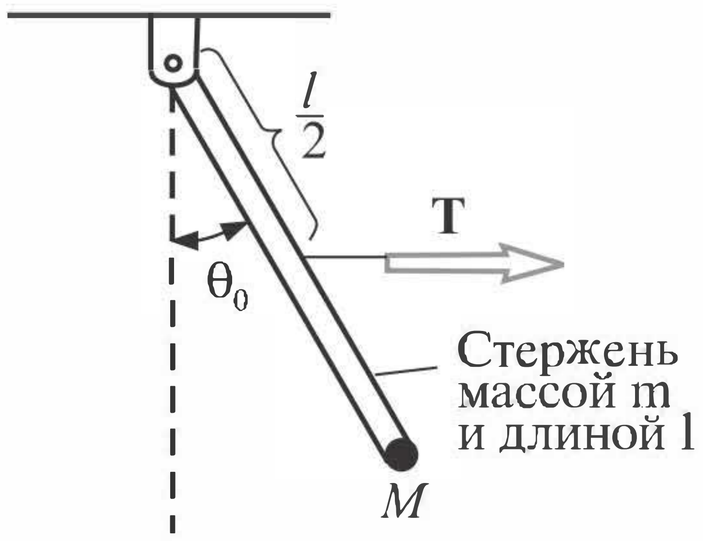
33. Рассмотрите соударение двух одинаковых однородных цилиндрических шайб радиусом r_0 и массой m, происходящее на абсолютно гладком столе, как показано на рисунке. Шайба A имеет линейную скорость v_A и угловую скорость ω_A относительно центра масс. Линейная скорость v_A направлена к центру шайбы B, которая первоначально находилась в покое. В момент соударения шайбы слипаются и образуют единое твердое тело.



* Эта теорема называется также теоремой Штейнера. — *Прим. ред.*

г) Чему равна полная механическая энергия системы до соударения?
д) Какая энергия теряется при соударении?

34. Маятник представляет собой точечную массу M, расположенную на конце однородного стержня массой m и длиной l. Маятник подвешен к потолку, как показано на рисунке, причем трением в точке опоры можно пренебречь. С помощью горизонтальной нити, прикрепленной к середине стержня, маятник сдерживается под углом θ_0; нить натянута с силой **T**. В момент времени $t = 0$ нить обрывается и маятник совершает свободные колебания, описываемые значениями угла $\theta \le \theta_0$.



а) Нарисуйте диаграмму сил, действующих на маятник до того, как нить будет оборвана. Сила F, действующая со стороны опоры, не обязательно направлена вдоль стержня.
б) Найдите выражение для T через M, m, g и θ_0.
в) Найдите результирующий момент сил, действующих на маятник после обрыва нити относительно точки опоры, как функцию от θ. Чему равен момент инерции маятника относительно этой оси?
г) Считая угол θ малым, запишите уравнение движения маятника. Чему равен период его колебаний?
д) Изменяется ли во времени момент импульса маятника относительно неподвижной точки опоры? Если да, то почему это происходит?

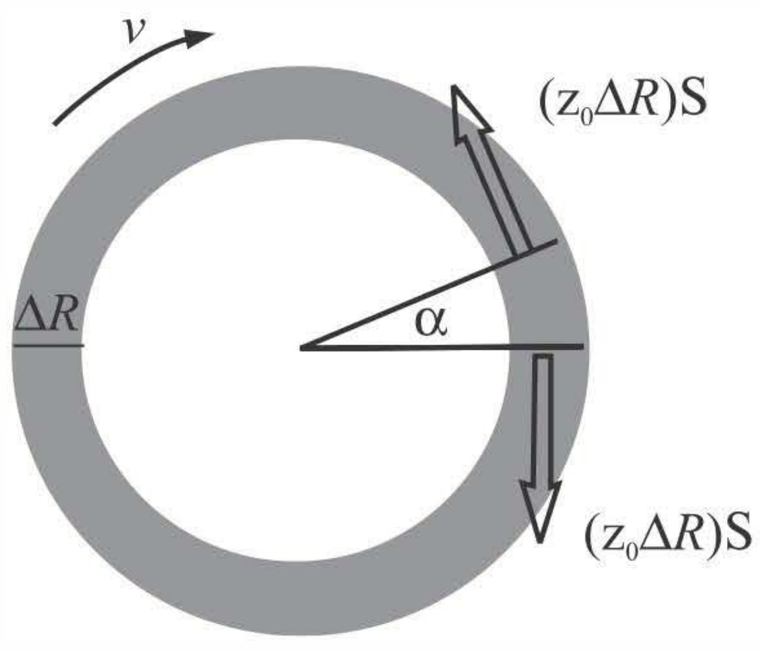
35. Выведите формулу $I = ml^2/3$ для стержня, вращающегося вокруг оси, проходящей через его конец.

36. Выведите формулу $I = ml^2/12$ для стержня, вращающегося вокруг оси, проходящей через его середину.

37. Повторите пример 13 для случая, когда масса лестницы равна одной четверти массы человека, считая при этом $\theta = 60°$.

38. Угол, который составляет покоящаяся лестница с полом, медленно уменьшается. Если коэффициент трения $\mu = 0{,}25$, то при каком угле лестница начнет скользить?

39. Рассмотрите вращающийся обруч шириной z_0 и толщиной ΔR (в радиальном направлении). На небольшой участок обруча действуют в разные стороны две одинаковые силы, как показано на рисунке. Максимальная величина этих сил равна пределу прочности на разрыв $S_{\text{макс.}}$, умноженной на площадь $z_0\Delta R$. Векторная сумма этих сил должна быть равна центростремительной силе. Покажите, что $(1/2)I\omega^2_{\text{макс.}} = vS_{\text{макс.}}/2$.

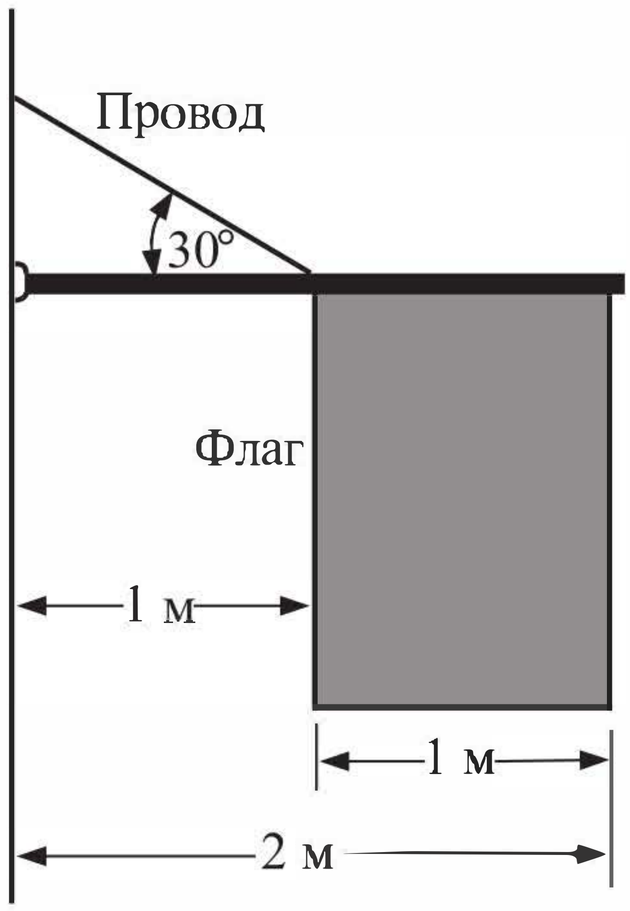


40. а) Маховик диаметром 40 см и массой 25 кг может накопить 10 кВт·ч энергии. С какой угловой скоростью он должен вращаться?

б) Чему равно центростремительное ускорение точек обода маховика?

в) На автомобиле, полная масса которого 1000 кг, установлен описанный в п. «а» маховик. Считая, что вся энергия расходуется на подъем автомобиля по горной дороге, определите максимальную высоту, на которую поднимается автомобиль.

41. Флаг массой m прикреплен к зданию и поддерживается проводом, как показано на рисунке. Масса полотнища флага M, а его размеры указаны на рисунке. Считая флаг твердым телом, определите силу натяжения провода.



11

Колебательное движение

До сих пор мы рассматривали поступательное и вращательное движение, как правило, с постоянным ускорением. Мы изучали также одно- и двумерное движение, возникающее под действием силы, подчиняющейся закону обратных квадратов (тяготение). В данной главе речь пойдет о движении, при котором тело движется во времени по синусоидальному закону. (Такое движение может описываться во времени как синусом, так и косинусом.) Прежде всего покажем, что под действием силы, подчиняющейся закону Гука, тело должно совершать синусоидальные колебания. Мы подробно изучим такое колебательное движение и приведем типичные примеры. Далее мы покажем, что, если тело, находящееся в положении устойчивого равновесия, приобретает небольшое смещение, оно должно колебаться по синусоидальному закону. Вообще, синусоидальные колебания — наиболее распространенная форма движения в окружающем мире, и потому их рассмотрение представляет собой один из важных разделов физики.

§ 1. Гармоническая сила

Если сила, действующая на тело, пропорциональна его смещению относительно начала координат и всегда направлена к началу координат, то такая сила называется гармонической. Выбирая в качестве направления смещения ось x, мы получаем для гармонической силы выражение

$$F = -kx,$$

где x — смещение тела из положения равновесия. Как указывалось на с. 94, сила, действующая со стороны растянутой (или сжатой) пружины, обладает именно таким свойством, если только пружина не деформируется за пределы области упругости.

Закон Гука получен из опыта, и его содержание состоит в том, что сжатая или растянутая пружина создает гармоническую силу (если сжатие или растяжение не слишком велики):

$$F = -k(x - x_1) \text{ (}\textit{закон Гука}\text{)}, \qquad (11\text{-}1)$$

где x_1 — положение равновесия. На рис. 11-1 в качестве положения равновесия выбрано начало координат ($x_1 = 0$). Покажем, что если пружина была растянута на величину x_0 и масса m отпущена в момент времени $t = 0$, то зависимость положения тела от времени дается выражением

$$x = x_0 \cos \omega t, \quad \text{где} \quad \omega = \sqrt{k/m}, \qquad (11\text{-}2)$$

а $k = -F/x$ — коэффициент упругости пружины. Такое движение называют простым гармоническим движением (ПГД). Используем уравнение $F_{\text{рез.}} = ma$, где

$F_{\text{рез.}} = -kx$ — сила, действующая со стороны пружины:

$$-kx = ma,$$

$$-kx = m\left(\frac{d^2x}{dt^2}\right),$$

$$\frac{d^2x}{dt^2} = -\frac{k}{m}x. \qquad (11\text{-}3)$$

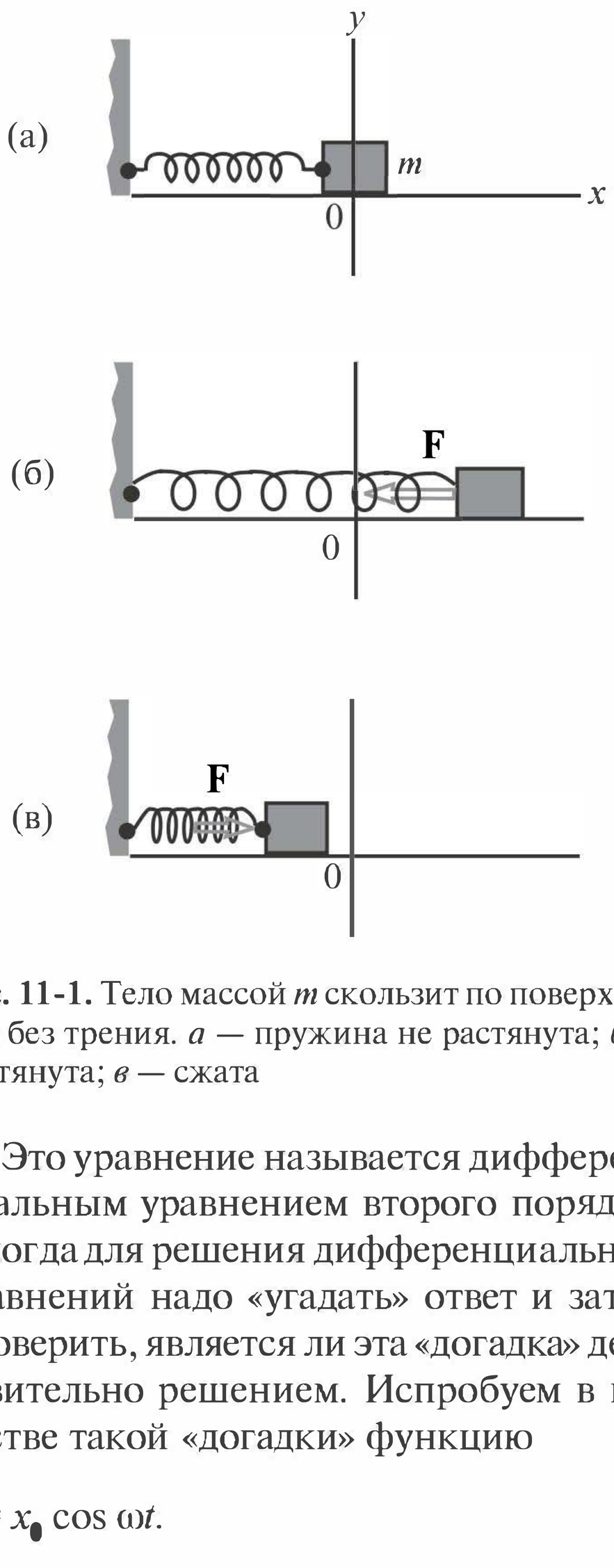


Рис. 11-1. Тело массой m скользит по поверхности без трения. *а* — пружина не растянута; *б* — растянута; *в* — сжата

Это уравнение называется дифференциальным уравнением второго порядка. Иногда для решения дифференциальных уравнений надо «угадать» ответ и затем проверить, является ли эта «догадка» действительно решением. Испробуем в качестве такой «догадки» функцию

$$x = x_0 \cos \omega t.$$

Таким образом, мы можем написать

$$\frac{dx}{dt} = -x_0 \omega \sin \omega t \text{ (}\textit{скорость в случае ПГД}\text{)} \qquad (11\text{-}4)$$

и

$$\frac{d^2x}{dt^2} = -x_0 \omega^2 \cos \omega t \text{ (}\textit{ускорение в случае ПГД}\text{).} \qquad (11\text{-}5)$$

Подставим эти выражения в левую часть уравнения (11-3), а в правой части вместо x запишем выражение $x_0 \cos \omega t$:

$$(-x_0 \omega^2 \cos \omega t) = -(k/m)\ (x_0 \cos \omega t),$$

$$\omega^2 = k/m.$$

Отсюда видно, что выражение $x = x_0 \cos \omega t$ действительно является решением при условии, что $\omega = \sqrt{k/m}$. Функция $x = x_0 \sin \omega t$ — также допустимое с математической точки зрения решение. Однако оно не удовлетворяет начальному условию $x = x_0$ при $t = 0$. Наиболее общее решение имеет вид $x = x_0 \cos(\omega t + \varphi)$, где φ — произвольная фаза. Постоянные x_0 и φ определяются из начальных условий.

Скорость как функция времени дается уравнением (11-4), а ускорение — уравнением (11-5). Эти функции изображены на рис. 11-2. Из уравнения (11-4) видно, в частности, что максимальная скорость равна

$$v_{\text{макс.}} = \omega x_0, \qquad (11\text{-}6)$$

причем это значение достигается при $x = 0$.

Из уравнения (11-3) следует, что ускорение равно смещению, умноженному на $-\omega^2$:

$$\frac{d^2x}{dt^2} = -\omega^2 x.$$

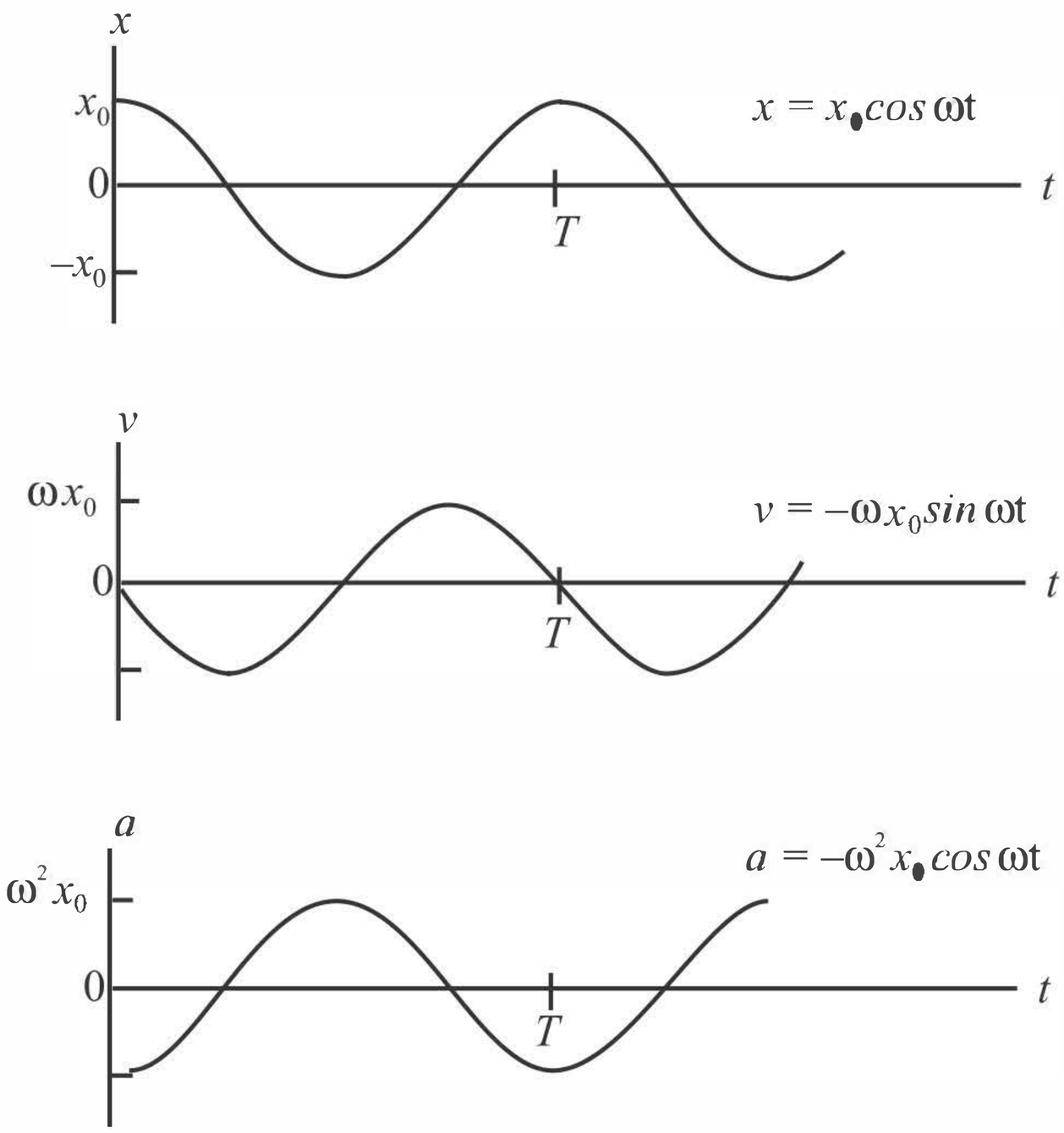


Рис. 11-2. Графики зависимостей x, v и a от времени для простого гармонического колебания. Период $T = 2\pi/\omega$

Это очень полезное соотношение: если уравнение движения тела можно записать в виде $d^2x/dt^2 = -Cx$, где C — постоянная, то $x = x_0 \cos \omega t$, причем $\omega = \sqrt{C}$.

Если

$$\frac{d^2u}{dt^2} = -Cu,$$

то

$$\omega = \sqrt{C} \quad \text{и} \quad u = u_0 \cos \omega t; \qquad (11\text{-}7)$$

здесь u — смещение. Это можно доказать, дифференцируя функцию $u = u_0 \cos \omega t$. Действительно, $d^2u/dt^2 = -\omega^2 u$, что также равно $-Cu$. Таким образом,

$$-\omega^2 u = -Cu, \quad \omega = \sqrt{C}.$$

§ 2. Период колебаний

Нетрудно показать, что $\omega = 2\pi/T$, где T — период колебаний. Функция $\cos \omega t$ или $\sin \omega t$ полностью повторяется, когда аргумент принимает значение $\omega T = 2\pi$ или $T = 2\pi/\omega$. Этот промежуток времени t называется периодом и обозначается T:

$$T = 2\pi/\omega \ (\textit{период колебаний}). \qquad (11\text{-}8)$$

Число колебаний за время t равно

$$n = t/T.$$

Разделив обе части этого равенства на t, получим число колебаний в единицу времени:

$$n/t = 1/T.$$

Левая часть называется частотой колебаний и обычно обозначается символом f:

$$f = 1/T \ (\textit{частота колебаний}). \qquad (11\text{-}9)$$

Сравнивая выражения (11-8) и (11-2), получаем

$$\omega = \sqrt{k/m}. \qquad (11\text{-}10)$$

Это период колебаний тела массой m, укрепленного на конце пружины с коэффициентом упругости k.

Пример 1. Предположим, что удалось прорыть сквозной туннель через центр Земли, как показано на рис. 11-3. Если бросить в этот туннель тело массой m, то сколько времени понадобится ему, чтобы достичь противоположной точки Земли? Плотность Земли можно считать постоянной, а сопротивлением воздуха можно пренебречь (воздух в туннеле можно откачать). Какой будет скорость тела в момент, когда оно пролетает центр Земли?

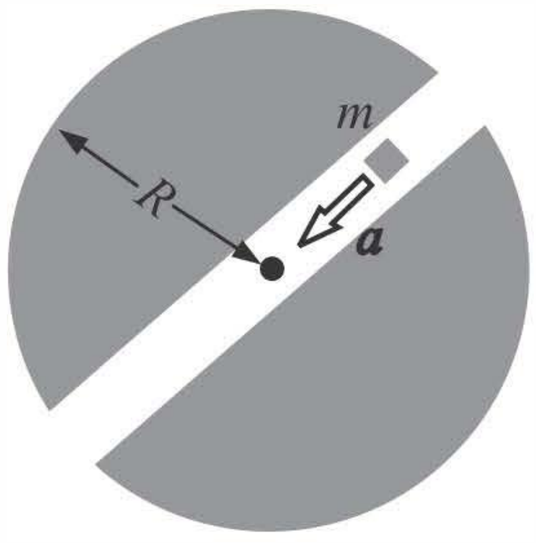


Рис. 11-3. Движение тела массой m в туннеле, проходящем через центр Земли

Решение: В гл. 5 было установлено, что гравитационная сила внутри твердого шара пропорциональна расстоянию от центра. В соответствии с выражением (5-10) ускорение тела за счет силы тяжести внутри Земли равно

$$a = -\frac{g}{R}r, \quad \text{или} \quad \frac{d^2r}{dt^2} = -\left(\frac{g}{R}\right)r.$$

По виду это совпадает с уравнением (11-7), причем r здесь играет роль смещения u, а величина g/R — постоянной C. Поскольку ω всегда равна корню квадратному из коэффициента пропорциональности между ускорением и смещением, то

$$\omega = \sqrt{C} = \sqrt{g/R}, \quad T = 2\pi/\omega.$$

Таким образом,

$$T = 2\pi\sqrt{\frac{R}{g}} = 2\pi\sqrt{\frac{6{,}37\cdot10^6\ \text{м}}{9{,}8\ \text{м/с}^2}} = 5{,}06\cdot10^3\ \text{с} = 84\ \text{мин}.$$

Это время, необходимое телу массой m, для того, чтобы, попав в туннель с одной стороны Земли, достичь другой стороны и вернуться в начальное положение, т. е. совершить полное колебание. Соответственно, время для достижения противоположного конца туннеля вдвое меньше и составляет 42 мин. Для определения скорости в момент прохождения центра Земли воспользуемся выражением (11-6):

$$v_{\text{макс.}} = \omega R = \sqrt{gR} = 7{,}9\cdot10^3\ \text{м/с}.$$

Обратим внимание на интересное совпадение: значения периода и $v_{\text{макс.}}$ в этом случае такие же, как и для искусственного спутника Земли, движущегося по околоземной орбите [см. формулу (3-11)].

***Пример 2.** На противоположных концах пружины укреплены две массы: m_1 и m_2. Если растянуть пружину, то каким будет период колебаний? Коэффициент упругости пружины равен k.

Решение: Пусть x_1 — смещение массы m_1 из положения равновесия, а x_2 — такое же смещение массы m_2. Заметим, что центр масс системы должен оставаться на месте; поэтому

$$m_1x_1 = -m_2x_2, \quad \text{или} \quad x_1 = -(m_2/m_1)\,x_2.$$

Применим теперь к массе m_2 уравнение $F_{\text{рез.}} = ma$. Результирующая сила F, действующая на массу m_2 (рис. 11-4), равна $F = -k\,(x_2 - x_1)$, где $(x_2 - x_1)$ — результирующее растяжение пружины:

$$-k(x_2 - x_1) = m_2\frac{d^2x_2}{dt^2}.$$

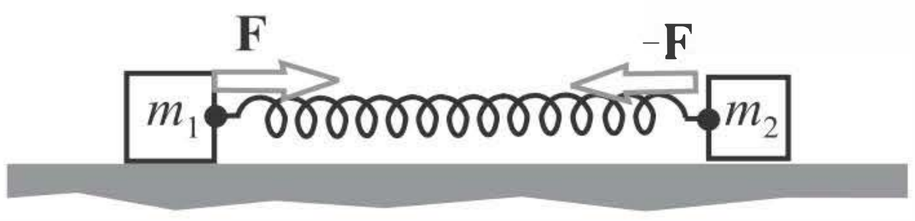


Рис. 11-4. К концам растянутой пружины прикреплены тела с массами m_1 и m_2

Подставим теперь в левую часть этого уравнения вместо x_1 величину $-(m_2/m_1)\,x_2$:

$$-k\left[x_2 - \left(-\frac{m_2}{m_1}x_2\right)\right] = m_2\frac{d^2x_2}{dt^2}.$$

Отсюда получаем уравнение

$$\frac{d^2x_2}{dt^2} = -\frac{k(m_1+m_2)}{m_1m_2}x_2,$$

или

$$\frac{d^2x_2}{dt^2} = -\left(\frac{k}{\text{м}}\right)x_2,$$

где $\mu \equiv m_1m_2/(m_1 + m_2)$ — приведенная масса. Последнее из полученных уравнений совпадает по виду с (11-7), причем x_2 соответствует u, а (k/μ) — постоянной C. Следовательно,

$$\omega = \sqrt{k/\mu},$$

откуда

$$T = 2\pi\sqrt{\mu/k}. \qquad (11\text{-}11)$$

Заметим, что во всех перечисленных примерах простого гармонического движения (до тех пор пока выполняется закон Гука), период T не зависит от амплитуды колебаний x_0 (или u_0). Это свойство простого гармонического движения заметил еще Галилей и положил его в основу устройства маятниковых часов.

§ 3. Маятник

В § 8 гл. 4 было показано, что период колебаний простого (математического) маятника при малых отклонениях равен $T = 2\pi\sqrt{l/g}$. В данном параграфе мы получим тот же результат более общим методом, а также найдем выражения для положения и скорости маятника в зависимости от времени.

Для общности рассмотрим в качестве маятника произвольное твердое тело, закрепленное в точке O, как показано на рис. 11-5, *а*. Центр масс тела находится в точке O' на расстоянии l от точки опоры. Для вычисления периода колебаний необходимо знать момент инерции I относительно оси, проходящей через O. Момент сил, действующий на тело, равен $T = -mgl \sin\theta$. Используя соотношение $T = I\alpha$ [см. (10-20)], имеем

$$(-mgl\sin\theta) = I\frac{d^2\theta}{dt^2},$$

$$\frac{d^2\theta}{dt^2} = -\frac{mgl}{I}\sin\theta.$$

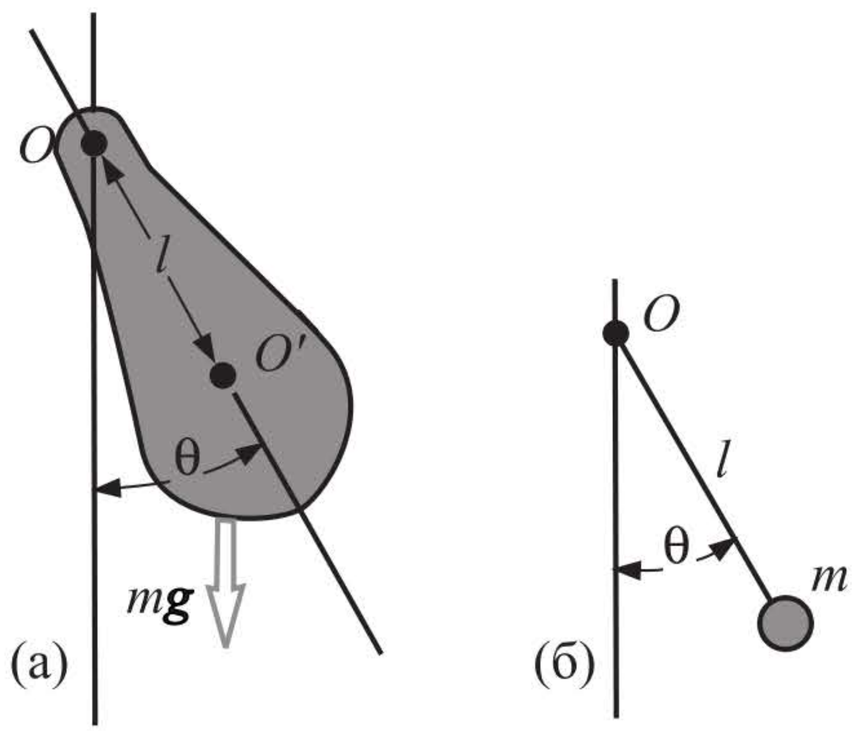


Рис. 11-5. *а* — физический маятник, закрепленный в точке O; *б* — математический маятник

Для малых колебаний $\sin\theta \approx \theta$, и тогда

$$\frac{d^2\theta}{dt^2} = -\left(\frac{mgl}{I}\right)\theta.$$

Это уравнение имеет такой же вид, как и (11-7), с той лишь разницей, что величина u заменена на θ, а $C = mgl/I$. Следовательно,

$$\theta = \theta_0 \cos\omega t$$

и

$$\omega = \sqrt{\frac{mgl}{I}}, \quad \text{или} \quad T = 2\pi\sqrt{\frac{I}{mgl}}. \qquad (11\text{-}12)$$

Вся масса математического маятника сосредоточена в точке O' на расстоянии l от

оси, так что $I = ml^2$. Подставляя это значение в (11-12), получаем

$$T = 2\pi\sqrt{\frac{ml^2}{mgl}}.$$

Таким образом,

$$T = 2\pi\sqrt{l/g} \quad (\textit{период колебаний математического маятника}). \tag{11-13}$$

Заметим, что период колебаний не зависит не только от амплитуды, но и от массы маятника. Однако если θ_0 — большой угол, то приближение $\sin\theta \approx \theta$ неверно. Но даже при таких больших углах θ_0, как 20°, выражение (11-13) справедливо с точностью до 1 %. На рис. 11-6 приведена стробоскопическая фотография колебаний математического маятника.

Пример 3. Предположим, что маятник старинных часов — это математический маятник, отклоняющийся за секунду на 10 см; полный период колебаний $T = 2$ с.

а) Какова длина маятника?

б) Чему равна максимальная скорость маятника?

Решение: а) Решая (11-13) относительно l, получаем

$$l = g\left(\frac{T}{2\pi}\right)^2 = 9{,}8\ \frac{\text{м}}{\text{с}^2}\left(\frac{2\ \text{с}}{2\pi}\right)^2 = 0{,}99\ \text{м}.$$

б) Согласно уравнению (11-6),

$$v_{\text{макс.}} = \omega x_0 = \frac{2\pi}{T}x_0, \text{ где } x_0 = \frac{10\ \text{см}}{2} = 5\ \text{см},$$

$$v_{\text{макс.}} = \frac{2\pi}{2\ \text{с}}(5\ \text{см}) = 15{,}7\ \text{см/с}.$$

Пример 4. Чему равен период колебаний стержня массой m, закрепленного на одном из концов (рис. 11-7)?

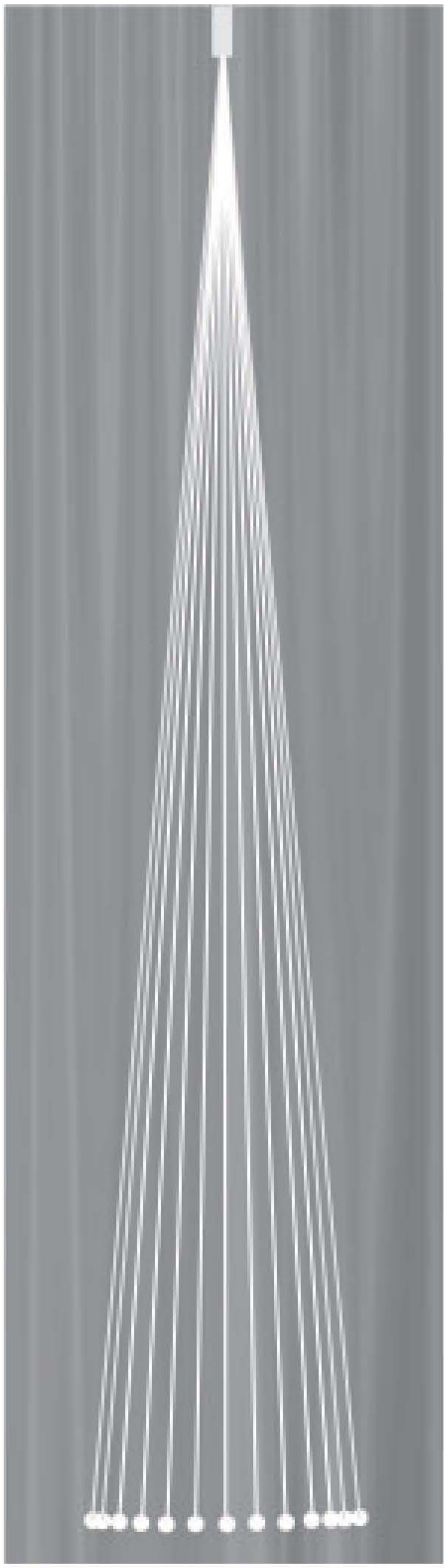


Рис. 11-6. Стробоскопическая фотография математического маятника. [*С разрешения Центра по развитию образования.*]

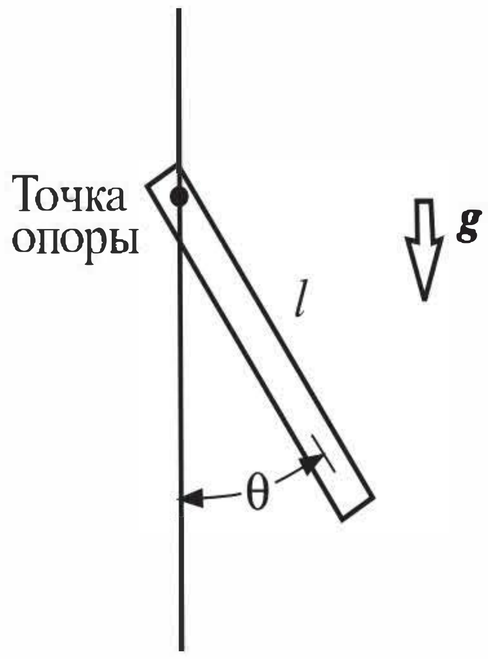


Рис. 11-7. Стержень массой m, подвешенный за один из концов

Решение: Как видно из табл. 10-1, момент инерции стержня длиной l относительно оси, проходящей через один из его концов, равен $I = ml^2/3$. Подставляя это значение в выражение (11-12), имеем

$$T = 2\pi\sqrt{\frac{(1/3)ml^2}{mgl}} = 2\pi\sqrt{\frac{l}{3g}},$$

что составляет $1/\sqrt{3}$ периода математического маятника той же длины.

§ 4. Энергия простого гармонического движения

Потенциальная энергия массы, прикрепленной к одному из концов пружины, обсуждалась в гл. 6 и 7 (см. стр. 97 и 104). При деформации пружины на величину x ее потенциальная энергия $U = kx^2/2$. Если массе сообщают начальное смещение x_0, а затем отпускают, то начальная энергия системы равна $kx_0^2/2$. Заметим, что энергия простого гармонического движения пропорциональна квадрату амплитуды x_0. Если пренебречь силами трения, то сумма кинетической и потенциальной энергий должна все время оставаться равной $kx_0^2/2$. В любой момент времени

$$\frac{1}{2}mv^2 + \frac{1}{2}kx^2 = \frac{1}{2}kx_0^2,$$

откуда

$$v^2 = \frac{k}{m}\left(x_0^2 - x^2\right).$$

Поскольку $k/m = \omega^2$, имеем

$$v = \omega\sqrt{x_0^2 - x^2}\ . \qquad (11\text{-}14)$$

Среднее по времени значение потенциальной энергии дается выражением

$$\bar{U} = k\overline{x^2}/2.$$

Заменяя x на $x_0 \cos \omega t$, получаем

$$\bar{U} = \left(kx_0^2/2\right)\overline{\cos^2 \omega t}\,.$$

Среднее по времени значение кинетической энергии равно $\bar{K} = m\overline{v^2}/2$. Заменим здесь m на k/ω^2, а v — на $-\omega x_0 \sin \omega t$. Тогда можно написать

$$\bar{K} = \frac{1}{2}\left(\frac{k}{\omega^2}\right)\overline{\left(-\omega x_0 \sin\omega t\right)^2} = \left(kx_0^2/2\right)\overline{\sin^2 \omega t}\,.$$

Отсюда видно, что $\bar{U} = \bar{K}$. Это следует из совпадения графиков функций $\sin^2\omega t$ и $\cos^2\omega t$, отличающихся лишь сдвигом фазы на $T/4$. Средние высоты обеих кривых одинаковы и равны 1/2; поэтому

$$\bar{K} = \bar{U} = kx_0^2/4.$$

Среднее значение функции $\sin^2\omega t$ равно 1/2 вследствие того, что

$$\sin^2\omega t + \cos^2\omega t = 1$$

и средние значения обоих слагаемых одинаковы.

При изучении теплоемкости в гл. 13 мы используем тот факт, что колеблющиеся молекулы или атомы твердого тела обладают одинаковыми (в среднем) запасами потенциальной и кинетической энергий.

§ 5. Малые колебания

Большинство твердых тел в окружающем нас мире покоится, т. е. находится в состоянии устойчивого равновесия. Для тела, находящегося в устойчивом равновесии, действующая на него результирующая сила должна быть равна нулю, а при малом смещении x из этого положения сила F должна иметь знак, противоположный x. Вообще говоря, сила записывается в виде

$$F = a_1 x + a_2 x^2 + a_3 x^3 + \ldots,$$

где a_1 — отрицательная величина. График такой функции общего вида приведен на рис. 11-8. Ее производная в начале координат равна

$$\left(\frac{dF}{dx}\right)_0 = a_1.$$

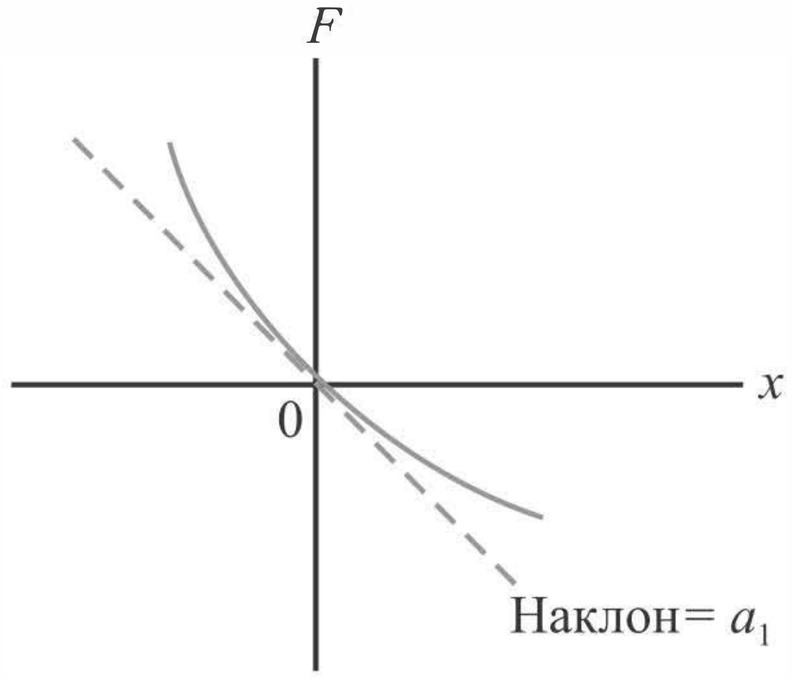


Рис. 11-8. Сила, действующая на тело, выведенное из состояния устойчивого равновесия, как функция смещения x из этого состояния

При малых колебаниях в окрестности начала координат любую из таких кривых можно рассматривать как прямую линию:

$$F = a_1 x$$

или

$$\frac{d^2x}{dt^2} = -\left(-\frac{a_1}{m}\right)x, \quad \text{где} \quad a_1 = \left(\frac{dF}{dx}\right)_0.$$

Это уравнение совпадает по виду с (11-7), если $C = -a_1/m$; отсюда

$$\omega = \sqrt{-a_1/m},$$

или

$$T = 2\pi\sqrt{-\frac{m}{(dF/dx)_0}} \quad (\textit{период малых колебаний}). \qquad (11\text{-}15)$$

По этой формуле можно вычислить период малых колебаний любого тела относительно его положения равновесия, если известна производная силы в начале координат.

Период колебаний тела можно также определить, исходя из потенциальной энергии как функции смещения тела. Поскольку $F = -dU/dx$, для коэффициента упругости эквивалентной пружины имеем

$$k = -\left(\frac{dF}{dx}\right)_0 = -\left[\frac{d(-dU/dx)}{dx}\right]_0 = \left(\frac{d^2U}{dx^2}\right)_0. \qquad (11\text{-}16)$$

Вторую производную от U следует вычислять в точке равновесия, в которой U достигает минимума.

Пример 5. Кубик льда немного смещается на дне сферического сосуда радиусом 10 см. Предполагая, что трение отсутствует, найдите период колебаний кубика.

Решение: В соответствии с (6-13) составляющая силы по оси x равна $F_x = -dU/dx$, где $U = mgy$. Координатные оси выбраны так, что движение происходит в плоскости xy (рис. 11-9). В этих осях уравнение окружности записывается в виде

$$x^2 + (R - y)^2 = R^2,$$

откуда для y получаем

$$y = R - \sqrt{R^2 - x^2}.$$

Тогда

$$\frac{dU}{dx} = mg\frac{d}{dx}\left(R - \sqrt{R^2 - x^2}\right) = \frac{mgx}{\sqrt{R^2 - x^2}}.$$

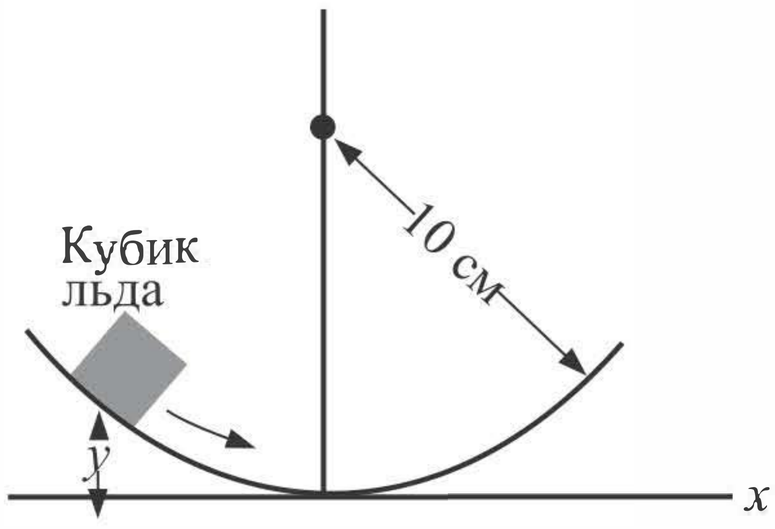


Рис. 11-9. Кубик льда, скользящий без трения, освобождается в положении, указанном на рисунке

В случае $x \ll R$ имеем $-dU/dx \approx mgx/R$ и

$$F_x = -\frac{mg}{R}x, \text{ откуда } \frac{dF_x}{dx} = -\frac{mg}{R}.$$

Подставляя последнее выражение в (11-15), получаем

$$T = 2\pi\sqrt{-\frac{m}{(-mg/R)}} = 2\pi\sqrt{\frac{R}{g}} = 2\pi\sqrt{\frac{0{,}1\text{ м}}{9{,}8\text{ м/с}^2}} = 0{,}635\text{ с}.$$

***Пример 6.** Предположим, что потенциальная энергия двухатомной молекулы может быть представлена как сумма энергий притяжения $-b/r^3$ и короткодействующего отталкивания a/r^5, так что $U = (a/r^5) - (b/r^3)$ (рис. 11-10). Каково положение равновесия r_0 и чему равен коэффициент упругости k для силы взаимодействия двух атомов? Какова частота колебаний такой двухатомной молекулы, если масса каждого атома равна m?

Решение: Положение равновесия можно найти, решив относительно r уравнение $dU/dr = 0$. Поскольку

$$\frac{dU}{dr} = -\frac{5a}{r^6} + \frac{3b}{r^4},$$

то, полагая эту величину равной нулю, имеем

$$-\frac{5a}{r_0^6} + \frac{3b}{r_0^4} = 0, \quad r_0 = \sqrt{\frac{5a}{3b}}.$$

Коэффициент упругости находим из выражения (11-16):

$$k = \left(\frac{d^2U}{dr^2}\right)_{r_0}, \quad \frac{d^2U}{dr^2} = \frac{30a}{r_0^7} - \frac{12b}{r_0^5},$$

$$\left(\frac{d^2U}{dr^2}\right)_{r_0} = \frac{1}{r_0^5}\left(\frac{30a}{r_0^2} - 12b\right) = \left(\frac{3b}{5a}\right)^{5/2}\left(\frac{30a}{5a/3b} - 12b\right),$$

$$k = 6b\left(\frac{3b}{5a}\right)^{5/2}.$$

Подставляя в (11-11) вместо μ величину $m/2$, находим

$$f = \frac{1}{2\pi}\sqrt{\frac{k}{m/2}} = \frac{1}{2\pi}\sqrt{\frac{12b}{m}\left(\frac{3b}{5a}\right)^{5/2}}.$$

Для типичных значений a, b и массы атома m величина $f \sim 10^{14}$ Гц. Два атома, колеблющиеся вдоль какого-либо направления с такой частотой, излучают электромагнитные волны той же частоты. Она составляет около одной пятой частоты красного света, и соответствующее излучение называется инфракрасным.

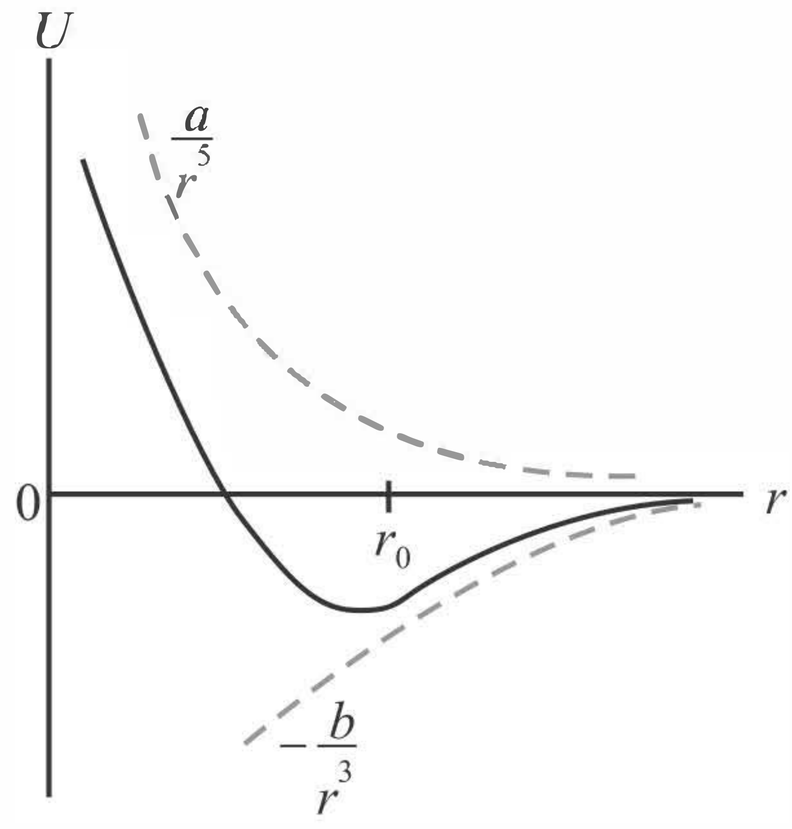


Рис. 11-10. Потенциальная энергия взаимодействия двух атомов, обусловленная притяжением $-b/r^3$ и отталкиванием a/r^5

Любое твердое тело построено из атомов, связанных силами притяжения. Однако если попытаться еще больше сблизить атомы, то между ними возникнет отталкивание. Подробно эти силы взаимодействия между атомами рассмотрены в гл. 27 (т. 2). Из примера 6 видно, что межатомные силы при малых смещениях атомов ведут себя как гармонические. Поэтому у большинства твердых тел при малых возмущениях их равновесных положений возникает простое гармоническое движение. Это движение описывается законом $\cos \omega t$, где ω определяется массой атомов и коэффициентом упругости твердого тела. Разумеется, такое гармоническое движение не продолжается бесконечно долго. Это происходит потому, что кроме рассмотренных упругих сил имеются также различные виды сил трения, которые преобразуют энергию колебаний в тепло. Некоторые твердые тела, например рояльная струна или колеблющийся кристалл, характеризуются небольшой силой трения, и энергия колебаний медленно затухает на протяжении сотен периодов колебаний. В то же время растянутая пружина потеряет половину колебательной энергии уже за несколько периодов.

Гармонически колебаться могут не только малые тела, но и тела довольно значительных размеров, такие как мосты или небоскребы. Многие из этих колебаний таковы, что их частоты может уловить ухо человека. Под действием порывов ветра верхняя часть небоскреба приходит в колебательное движение. В обычный ветреный день Эйфелева башня раскачивается более чем на метр с периодом в несколько секунд. Природа малых колебаний тесно связана с природой большинства источников звука. Из (11-15) следует, что характеристические частоты колебаний твердого тела не зависят от амплитуды колебаний. Именно так обстоит дело в большинстве случаев, когда речь идет о звуках, которые мы воспринимаем.

Пример 7. Тело массой $m = 10$ г подвешено между двумя растянутыми пружинами, каждая из которых действует на него с силой $F_0 = 15$ Н (рис. 11-11). Тело получает небольшое смещение в поперечном направлении, как показано на рис. 11-11, *б*. Чему равен период его колебаний, если длина пружины $l = 10$ см? Дополнительное растяжение пружины можно считать пренебрежимо малым.

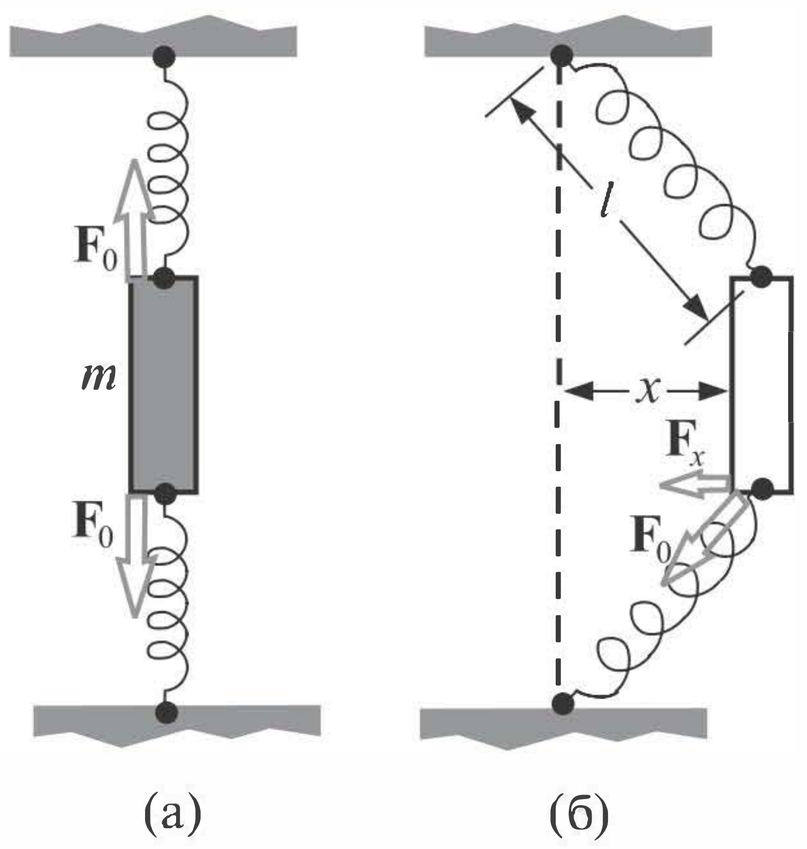


Рис. 11-11. *а* — тело массой m подвешено между двумя растянутыми пружинами; *б* — тело смещено на расстояние x в сторону

Решение: Как видно из рис. 11-11,*б*, $F_x = -F_0 x/l$. Поскольку имеются две пружины, действующая на m результирующая сила равна

$$F = -\frac{2F_0}{l}x, \quad \frac{dF}{dx} = -\frac{2F_0}{l}.$$

Подставляя это значение в (11-15), получаем

$$T = 2\pi\sqrt{-\frac{m}{(-2F_0/l)}} = 2\pi\sqrt{-\frac{ml}{2F_0}} = 0{,}0363\,\text{с}$$

и

$f = 1/T = 27{,}6$ Гц.

Из этого примера нам становится понятным, почему растянутая пружина (провод либо струна) совершает колебания при прикосновении к ней. Очевидно, частота колебаний примерно равна $\sqrt{F_0/ml}$, где F_0 — натяжение, m — эффективная масса, а l — длина. Нетрудно показать, что при разумных значениях натяжения частота колебаний лежит в диапазоне, воспринимаемом человеческим ухом (от ~20 до 15 000 Гц). Пример 7 обнаруживает аналогию и с типичным громкоговорителем, который представляет собой конус с прикрепленной к нему катушкой массой около 10 г. При этом $2F_0 = 30$ Н — полное натяжение, удерживающее катушку в подвешенном состоянии. Если слегка нажать на этот конус, а затем его отпустить, то у него возникнут колебания с собственной частотой порядка 30 Гц.

§ 6. Интенсивность звука

Бегущие волны

Если на каком-либо участке сплошной среды, например на конце струны (или в слое воздуха), возбудить простое гармоническое движение, то оно будет передаваться соседним участкам этой среды, от них в свою очередь к другим участкам и т. д. В результате возмущение от источника будет распространяться в среде. Результирующее движение называется бегущей волной. Бегущая вдоль струны волна изображена на рис. 20-10. Сейчас как раз было бы уместно заняться изучением бегущих волн на струне. Желающие могут это сделать, обратившись к § 6 и 7 гл. 20, и затем вернуться к данному параграфу. Изучать ли бегущие волны в данный момент или отложить до гл. 20 — дело читателя.

Звуковые волны

Колеблющаяся плоская пластинка возбуждает бегущую волну в окружающем воздухе — волна будет распространяться от источника со скоростью u. Такая волна называется звуковой. Пусть на рис. 11-11 тело представляет собой тонкую плоскую пластинку площадью A, которая колеблется вправо и влево, совершая простое гармоническое движение с амплитудой x_0 и частотой $\omega/2\pi$. Пластинка передает энергию слою воздуха массой Δm, как показано на рис. 11-12. Максимальная кинетическая энергия этого слоя воздуха записывается в виде

$$\frac{1}{2}\Delta m\, v_0^2 = \frac{1}{2}\Delta m\omega^2 x_0^2,$$

$$\Delta E = \frac{1}{2}(\rho A\Delta x)\omega^2 x_0^2, \qquad (11\text{-}17)$$

где ρ — плотность воздуха.

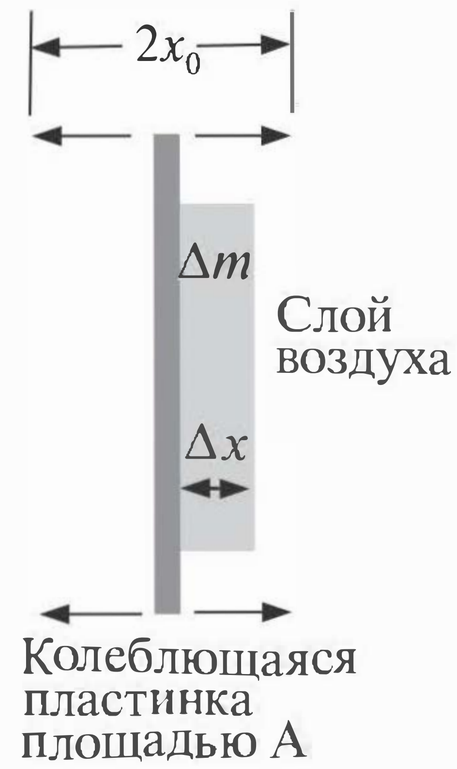


Рис. 11-12. Колеблющаяся пластинка вызывает колебания воздуха с той же амплитудой x_0

Поскольку при простом гармоническом движении средняя потенциальная энергия равна средней кинетической энергии, выражение (11-17) описывает запас энергии в слое воздуха площадью A и толщиной Δx. Если колебания начинаются в момент времени $t = 0$, то они

распространяются в воздухе (вправо на рис. 11-12) со скоростью $u = \Delta x/\Delta t$, где Δx — расстояние, на которое возмущение распространяется за время Δt. Разделив выражение (11-17) на Δt, можно получить скорость передачи энергии каждому следующему слою толщиной Δx:

$$\frac{\Delta E}{\Delta t} = \frac{1}{2}\rho A \frac{\Delta x}{\Delta t}\omega^2 x_0^2.$$

Таким образом, мощность P, излучаемая колеблющейся пластинкой в положительном направлении оси x, запишется в виде

$$P = \frac{1}{2}\rho A\omega^2 x_0^2 u.$$

Интенсивность I любой бегущей волны определяется как мощность, приходящаяся на единицу площади. Если мы поделим обе части последнего выражения на A, то получим

$$I = \frac{1}{2}\rho\omega^2 x_0^2 u \quad (\textit{интенсивность звуковой волны}). \qquad (11\text{-}18)$$

В системе СИ интенсивность измеряется в ваттах на квадратный метр. Интенсивность — это поток энергии в джоулях в секунду через поперечное сечение площадью 1 м^2. Заметим, что интенсивность пропорциональна квадрату амплитуды. Этот вывод справедлив для всех видов бегущих волн, включая волны в воде, волны на струне, электромагнитные волны и т. п.

Наименьшая интенсивность звука, улавливаемая ухом человека, $I_0 \approx$ $\approx 10^{-12}$ Вт/м^2; эта величина называется порогом слышимости. В следующем примере мы покажем, что эта величина не намного превосходит предельно возможную с точки зрения физических законов. Биологическая эффективность человеческого уха близка к максимально возможной с точки зрения физики.

---

*__Пример 8.__ Согласно кинетической теории тепла (см. следующую главу), любая частица или тело, например барабанная перепонка, из-за соударений с молекулами обладает при комнатной температуре кинетической энергией порядка $6\cdot10^{-21}$ Дж (иногда называемой «тепловой»). Какой становится кинетическая энергия барабанной перепонки под действием звуковой волны на пороге слышимости? Сравните это значение с тепловой энергией $6\cdot10^{-21}$ Дж. Скорость звука 330 м/с, а плотность воздуха $\rho = 1{,}3$ кг/м^3. Массу барабанной перепонки m_e можно считать равной 0,1 г.

Решение: Допустим, что барабанная перепонка совершает в воздухе свободные колебания. Тогда она будет иметь ту же скорость простого гармонического движения, что и воздух. Поэтому средняя кинетическая энергия, передаваемая перепонке, равна

$$K = \frac{1}{2}m_e\overline{v_{\text{возд.}}^2}.$$

Поскольку $v_{\text{возд.}} = \omega x_0 \sin\omega t$, имеем

$$\overline{v_{\text{возд.}}^2} = \frac{1}{2}\omega^2 x_0^2$$

и

$$K = \frac{1}{2}m_e\left(\frac{1}{2}\omega^2 x_0^2\right).$$

Получая с помощью (11-18) выражение для $\omega^2 x_0^2$ и подставляя его в выражение для K, имеем

$$K = \frac{1}{4}m_e\left(\frac{2I_0}{\rho u}\right),$$

$$K = \frac{1}{4}\left(10^{-4}\text{ кг}\right)\left(\frac{2\cdot10^{-12}\text{ Вт/м}^2}{1{,}3\text{ кг/м}^3\cdot 330\text{ м/с}}\right) =$$

$$= 1{,}16\cdot10^{-19}\text{ Дж}.$$

Данное значение с точностью до множителя 20 совпадает с тепловой энергией. Это тем более замечательно, что у большинства обычных звуков интенсивность порядка $10^{10} I_0$.

Шкала децибел

Реактивный самолет, поднимающийся в воздух недалеко от нас, может создать интенсивность звука $\sim 10^{15} I_0$. Проходящий неподалеку поезд метро создает интенсивность звука около $10^{10} I_0$. Постоянное воздействие такого звука подвергает опасности слух человека. На концертах рок-музыки с электронным усилением типичные значения интенсивности звука достигают $10^{12} I_0$. Это близко к болевому порогу и также может ухудшить слух. Многие муниципальные власти борются с шумовым загрязнением окружающей среды и запрещают производить внешние шумы, интенсивность которых превосходит $10^{10} I_0$.

Рассмотренные выше показатели степени, умноженные на 10, дают так называемую децибельную шкалу интенсивности звука. Если говорят, что интенсивность звука в децибелах равна β, то это означает, что

$$\beta = 10 \lg \frac{I}{I_0} \quad (\textit{интенсивность } I \textit{ в децибелах}). \qquad (11\text{-}19)$$

Сокращенно децибелы обозначаются дБ. Таким образом, порог слышимости соответствует 0 дБ, а типичный концерт рок-музыки дает 120 дБ. В некоторых городах запрещены уличные шумы, превосходящие 100 дБ. Тем, кто при работе подвергается воздействию шума свыше 100 дБ, следует пользоваться наушниками. Например, рок-музыканту, оператору лесопилки или клепальщику опасно работать без наушников.

Основные выводы

Если $F = -kx$, то F — гармоническая сила, которая приводит к возникновению гармонического движения вида

$x = x_0 \cos \omega t$, где $\omega = 2\pi/T = \sqrt{k/m}$.

При этом средняя потенциальная энергия $\bar{U} = k\overline{x^2}/2$ равна средней кинетической энергии $\bar{K} = m\overline{v^2}/2$.

Если для любой физической величины $u(t)$ ее вторая производная по времени пропорциональна $-u$, то $u = u_0 \cos \omega t$. Иными словами, если $d^2u/dt^2 = -Cu$, то $u = u_0 \cos \omega t$ и $\omega = \sqrt{C}$. (Такие задачи, как сформулированная ниже в упражнении 3, могут быть решены сразу с использованием соотношения $2\pi/T = \sqrt{C}$.)

Частота $f = 1/T = \omega/2\pi$.

Для математического маятника $\omega = \sqrt{g/l}$, или $T = 2\pi\sqrt{l/g}$.

Любое тело, получив небольшое смещение из состояния устойчивого равновесия, будет колебаться по простому гармоническому закону с периодом

$$T = 2\pi\sqrt{m/k_{эф.}},$$

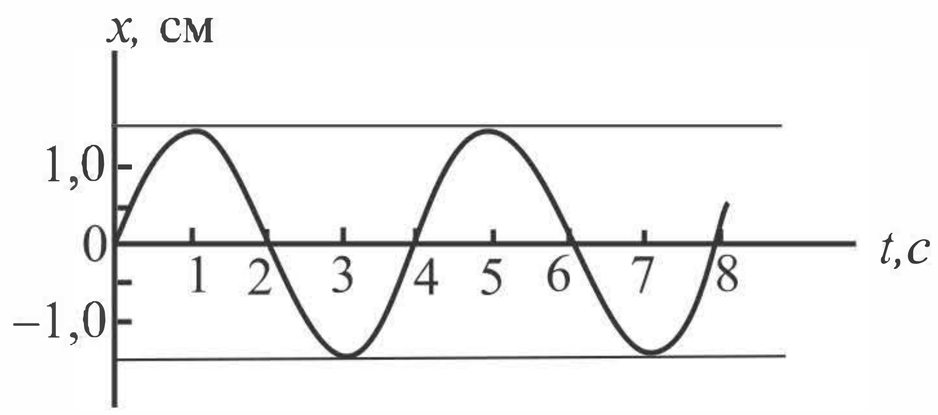
где $k_{эф.} = -(dF/dx)_0 = (d^2U/dx^2)_0$.
Эти соотношения полезны, если известна одна из функций $F(x)$ или $U(x)$. Точка устойчивого равновесия соответствует значению x, при котором $U(x)$ имеет минимум.

Интенсивность звуковой волны пропорциональна квадрату амплитуды и определяется как скорость потока энергии через единичное поперечное сечение. Интенсивность звука равна $I = \rho\omega^2 x_0^2 u/2$, где ρ — плотность воздуха, а u — скорость распространения волны. Интенсивность в децибелах равна $\beta = 10 \lg(I/I_0)$.

Упражнения

1. Частица совершает простое гармоническое движение. Смещение x как функция

времени показано на рисунке. Чему равны амплитуда, период, максимальная скорость и максимальное ускорение в этом движении?



2. Тело массой m движется по простому гармоническому закону, описываемому уравнением $d^2x/dt^2 = -Kx$.
   а) Чему равен период колебания тела?
   б) Если амплитуда x_0, то какова мгновенная скорость, выраженная через x, x_0 и K?

3. Координата x частицы удовлетворяет уравнению

$$A^2\frac{d^2x}{dt^2}+x=0.$$

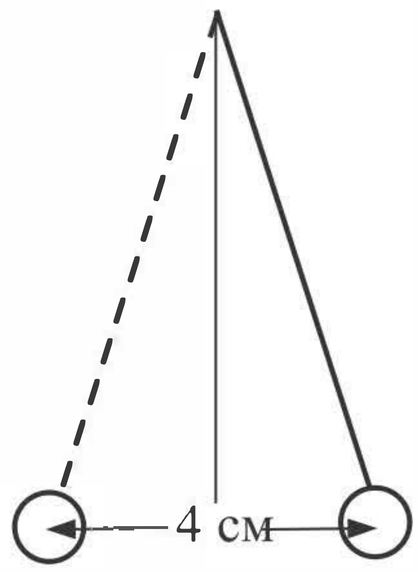
Найдите период колебания.

4. Мяч падает с высоты 1 м и затем многократно подпрыгивает вверх в результате абсолютно упругих соударений.
   а) Найдите период колебаний.
   б) Будет ли это движение простым гармоническим?

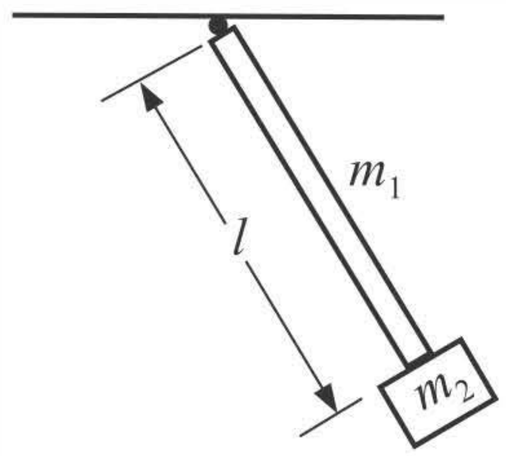
5. Период колебаний маятника старинных настенных часов $T = 1$ с. Какова длина маятника?

6. Координата x частицы описывается уравнением $d^2x/dt^2 = -\omega^2x$, а координата y — уравнением $d^2y/dt^2 = -\omega^2y$. Максимальные значения x и y равны R_0. При $t = 0$ мы также имеем $x = y = R_0$.
   а) Найдите зависимость x, y и r от t.
   б) Найдите зависимость v от t.
   в) Какова траектория частицы?

7. Качаясь, маятник проходит расстояние 4 см от одного крайнего положения до другого и достигает скорости 10 см/с в средней точке. Считая колебания малыми, найдите их период в секундах.



8. Маятник представляет собой стержень массой m_1, к концу которого прикреплен груз массой m_2. Найдите период малых колебаний такого маятника через m_1, m_2, l и g.



9. В молекуле водорода на каждый атом действует сила $F = -A(r - r_0)$, где $A = 0{,}057$ Н/м, а $r_0 = 7{,}4\cdot10^{-11}$ м — равновесное расстояние между центрами атомов водорода. Какова частота колебаний атомов?

10. Если положение частицы описывается функцией $x = x_0 \sin \omega t$, то чему равно ее ускорение, выраженное через x_0, ω и t?

11. Амплитуда звуковой волны возросла вдвое. Чему это соответствует в децибелах?

12. Интенсивность звука от громкоговорителя пропорциональна квадрату приложенного напряжения. Если напряжение увеличивается в 10 раз, то на сколько децибел возрастает громкость звука?

Задачи

13. Прикрепленное к концу пружины тело массой m смещается на расстояние x_0 и отпускается в момент времени t_1. Коэффициент упругости пружины k.
   а) Запишите x через k, m, x_0, t_1 и t.
   б) Найдите v как функцию этих же величин.

14. В задаче 13 скорость положительна и максимальна при $t = 0$.
а) Выразите x через k, m, x_0 и t.
б) Выразите v через эти же величины.

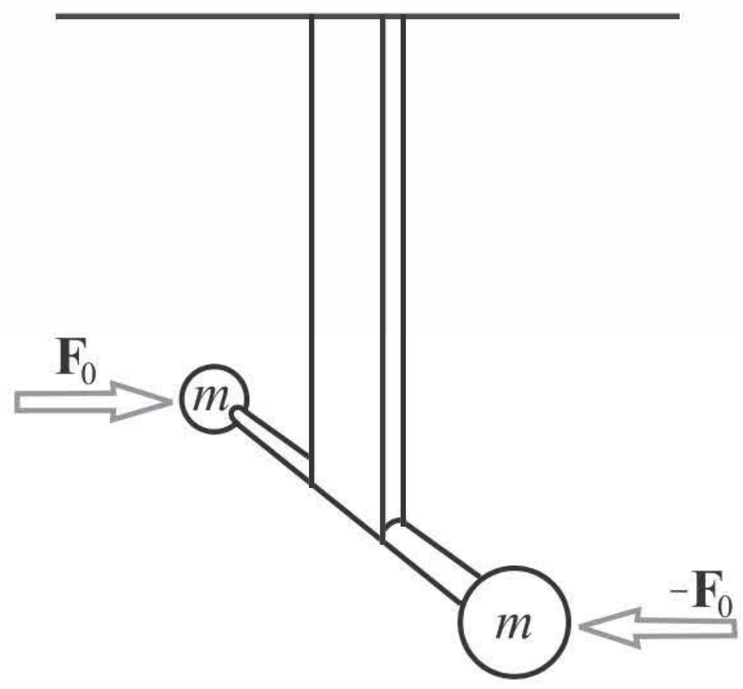
15. Решите задачу 14 для случая, когда скорость при $t = 0$ максимальна, но ее знак отрицателен.

16. Повторите упражнение 6 для случая, когда при $t = 0$ $x = 0$, $y = R_0$, а скорость v_x положительна.

17. Повторите упражнение 6 для случая, когда при $t = 0$ $x = R_0/\sqrt{2}$, $y = R_0/\sqrt{2}$, а v_x и v_y отрицательны.

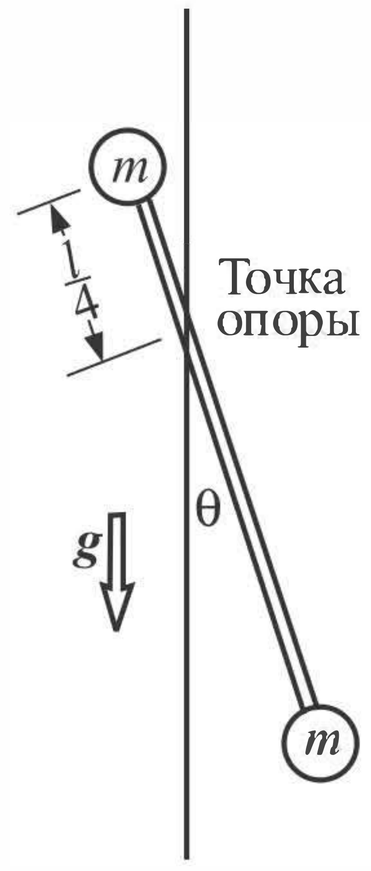
18. К пружине с неизвестным коэффициентом упругости прикреплено тело массой m, положение которого колеблется от $x = -x_0$ до $x = +x_0$. Пусть в момент времени t_1 смещение тела будет x_1, а ускорение a_1. Найдите
а) период колебаний как функцию от x_1 и a_1;
б) коэффициент упругости k как функцию от x_1, a_1 и m;
в) максимальную скорость тела как функцию от x_0, x_1 и a_1.

19. К не обладающему массой стержню длиной l с обоих концов прикреплены два тела с одинаковыми массами m. Стержень крепится к точке опоры с помощью жесткой металлической ленты, как показано на рисунке.



а) Пренебрегая массой металлической ленты, найдите момент инерции системы относительно вертикальной оси, проходящей через центр стержня. (Запишите ответ через m, l, F_0 и θ_0.)
б) Если к каждому телу приложить силу F_0 в направлении, перпендикулярном стержню, то металлическая лента закрутится на угол θ_0. На ленту действует возвращающий момент сил $T = -k\theta$. Выразите k через величины, указанные в пункте «а».
в) Сколько колебаний в секунду будет совершать свободный стержень?

20. Пусть два тела с одинаковыми массами m прикреплены к лишенному массы стержню длиной l. Стержень закреплен на расстоянии $l/4$ от верхнего конца и колеблется с малой амплитудой относительно этой точки.

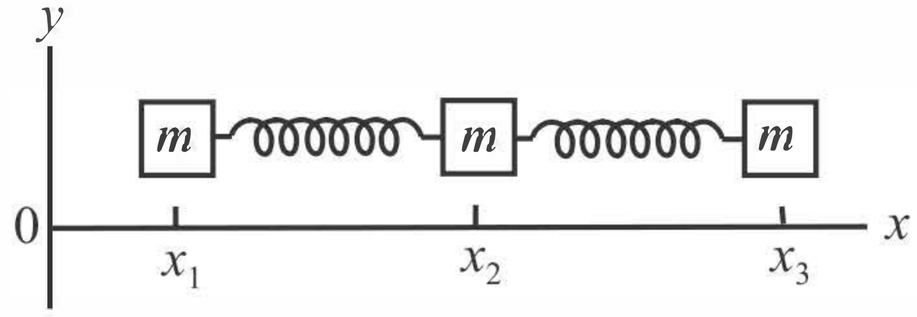


Найдите
а) момент инерции такой системы относительно вертикальной оси, проходящей через точку опоры;
б) момент силы T относительно точки опоры, если угол θ стержня относительно вертикали мал;
в) $d^2\theta/dt^2$ как функцию от I и T;
г) период колебаний в зависимости от l и g;
д) период колебаний в случае, когда верхнее тело отсутствует.

21. Решите заново пример 2, применяя к телу массой m_1 уравнение $F_{\text{рез.}} = ma$. Найдите d^2x_1/dt^2 как функцию от x_1, а также период колебаний тела.

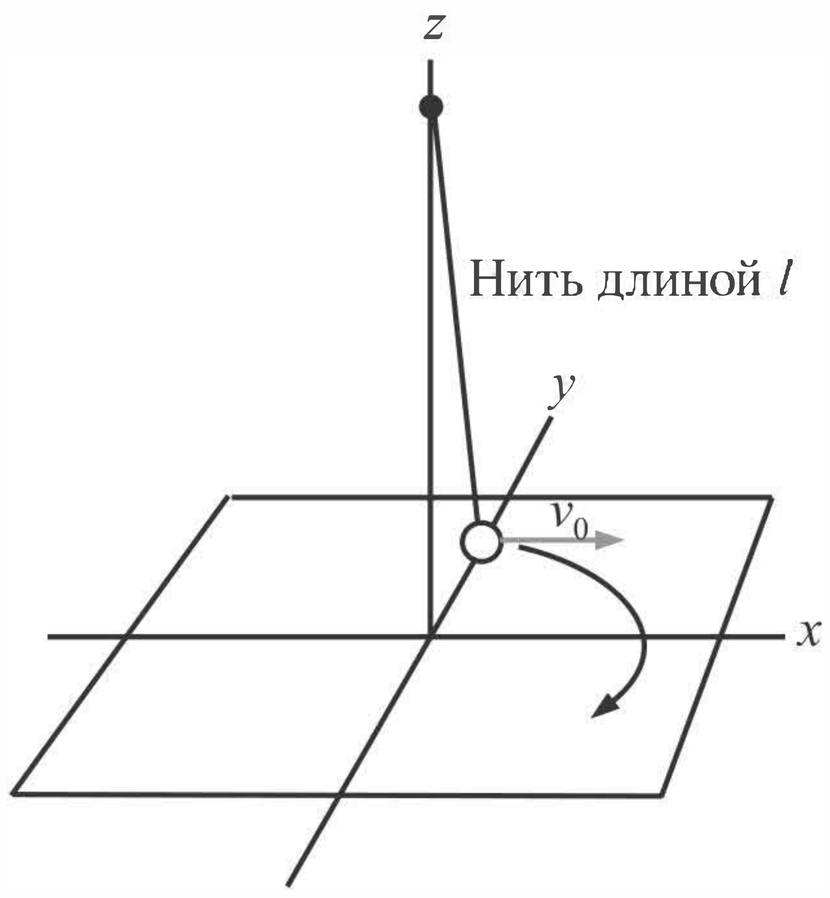
22. Три одинаковых тела массой m соединены двумя одинаковыми пружинами, как

показано на рисунке. Коэффициент упругости каждой пружины k_0. Пусть Δx_1, Δx_2 и Δx_3 — смещения тел относительно своих положений равновесия. Два крайних тела отталкивают в разные стороны на одинаковые расстояния и затем отпускают, так что при этом $\Delta x_1 = -\Delta x_3$, а $\Delta x_2 = 0$. Найдите выражение для периода колебаний через m и k_0.



23. В задаче 22 крайние тела удерживаются на местах, а центральное тело толкают вправо. Затем все три тела одновременно отпускаются. Поскольку положение центра масс системы остается неизменным, мы имеем $\Delta x_1 + \Delta x_2 + \Delta x_3 = 0$. Используя уравнение $(F_2)_{\text{рез.}} = ma_2$, найдите d^2x_2/dt^2 как функцию от x_2. Покажите, что $T = 2\pi\sqrt{m/3k_0}$.

24. Скорость конического маятника в момент времени $t = 0$, когда $x = 0$ и $y = y_0$, равна $\mathbf{v}_0 = \mathbf{i}v_0$, как показано на рисунке. Пусть $x \ll l$ и $y \ll l$ для всех значений t. (Маятник движется по эллипсу.)



Найдите

а) x как функцию от t с параметрами l, y_0, g и v_0;

б) y как функцию от t;

в) скорость $v = \sqrt{v_x^2 + v_y^2}$ как функцию от t.

г) При каком значении v_0 величина v не зависит от t?

25. Пусть потенциальная энергия взаимодействия двух ионов, масса каждого из которых равна m, имеет вид

$$U = \frac{a}{r^5} - \frac{b}{r}.$$

а) Найдите положение равновесия ионов в зависимости от a и b.

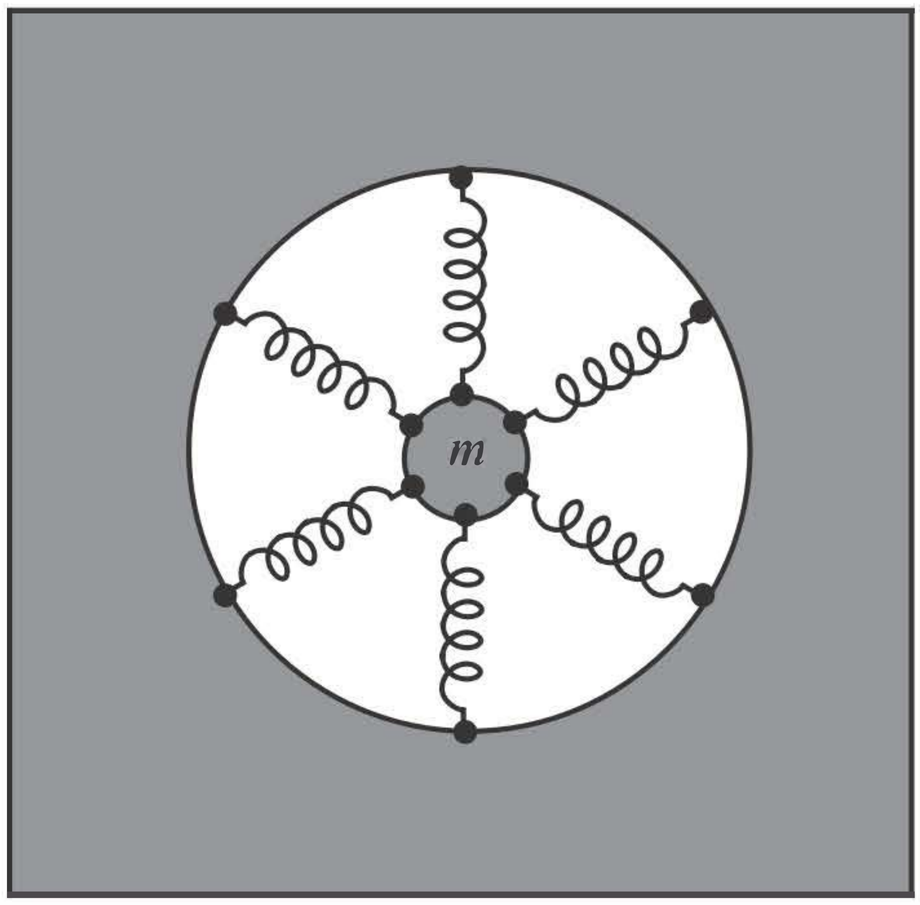
б) Покажите, что частота колебаний

$$\omega = \sqrt{\frac{8b}{m}\left(\frac{3b}{5a}\right)^{1/4}}.$$

в) Сравните с результатом на с. 194.

26. Потенциальная энергия взаимодействия двух атомов $U(r) = B\{1 - \exp[-A(r - r_0)^2]\}$. Пусть масса каждого атома m и атомы колеблются относительно своих положений равновесия с малой амплитудой. Найдите частоту этих колебаний в зависимости от m, A и B.

27. Пусть в примере 7 тело массой 10 г подвешено на шести растянутых пружинах длиной 10 м, как показано на рисунке, причем для каждой пружины $F_0 = 5$ Н. Если тело слегка вывести из плоскости листа и затем отпустить, то каким будет частота его колебаний?



28. Амплитуда звуковой волны в 1000 раз превышает порог слышимости. Какова интенсивность этой волны в децибелах?

29. Интенсивность звука, излучаемого громкоговорителем, пропорциональна квадрату напряжения звукового сигнала. Чему равна в децибелах разность уровней громкости звука для двух значений напряжения V_1 и V_2?

30. Пусть при одной и той же толщине барабанной перепонки ее площадь у кролика в 10 раз больше, чем у человека. Будем также считать, что на пороге слышимости кинетическая энергия барабанной перепонки у них одинакова. Какой интенсивности в децибелах соответствует порог слышимости у кролика?

12 Кинетическая теория

До сих пор мы рассматривали простые механические системы, состоящие, как правило, из одного или двух тел (частиц). Типичный объем газа, однако, содержит огромное число частиц. Было бы совершенно бессмысленно пытаться проследить движение каждой частицы газа или молекулы. Тем не менее существует ряд макроскопических величин, которые мы можем вычислить: это плотность, давление, температура, теплота, энтропия, внутренняя и механическая энергии. Рассмотрением этих величин мы займемся в настоящей и следующей главах. Применив законы ньютоновской механики к частицам такой большой системы, мы выведем полезные соотношения между макроскопическими величинами. Раздел физики, в котором изучаются соотношения между этими величинами, называется термодинамикой. Здесь и в следующей главе мы покажем, как можно вывести «законы» термодинамики из ньютоновской механики*. Микроскопическим, или молекулярным, подходом к термодинамике занимается кинетическая теория. В гл. 13 и 14 законы термодинамики будут применены к конкретным системам: тепловым машинам, холодильникам и нагревателям. И, как мы увидим, законы термодинамики указывают на то, что большинство таких систем (даже достаточно современной конструкции) значительную энергию «выбрасывают на ветер».

§ 1. Давление и гидростатика

Находящиеся под давлением газ или жидкость действуют с некоторой силой на любую поверхность, ограничивающую их объем. Рассмотрим случай, когда жидкость (или газ) покоится (гидростатика). В этом случае сила действует по нормали к ограничивающей объем поверхности. Давление на поверхность дается выражением

$$P \equiv \Delta F/\Delta A \ (\textit{давление}), \qquad (12\text{-}1)$$

где ΔF — сила, действующая на поверхность площадью ΔA.

Можно также говорить о давлении внутри газа или жидкости. Его можно было бы измерить, помещая в газ или жидкость, как показано на рис. 12-1, небольшой куб с тонкими стенками, наполненный той же средой. Поскольку среда покоится, на каждую грань куба со стороны среды действует одна и та же сила ΔF. В окрестности куба давление равно $\Delta F/\Delta A$, где ΔA — площадь грани куба. Таким образом, мы убеждаемся в том, что внутреннее давление является одним и тем же во всех направлениях и, если не учитывать силу тяжести, оно должно

---

* Это утверждение не следует понимать слишком буквально, поскольку подобный вывод без дополнительных (не содержащихся в рамках механики) предположений в принципе невозможен. — *Прим. ред.*

быть одним и тем же во всем объеме независимо от формы сосуда. То, что мы сейчас получили, называется **законом Паскаля: Если к некоторой части поверхности, ограничивающей газ или жидкость, приложено давление P_0, то оно одинаково передается любой части этой поверхности.**

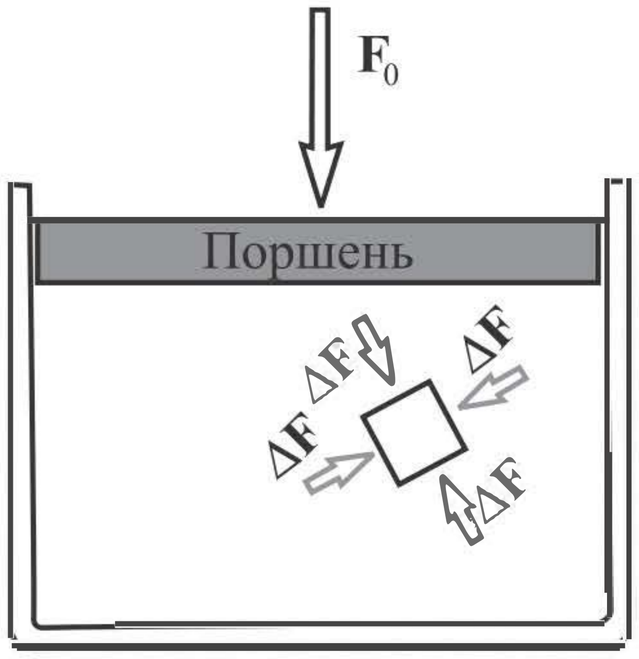


Рис. 12-1. Силы, действующие на куб, помещенный в газ или жидкость, находящиеся под давлением

Пример 1. Автомобиль поднимается гидравлическим домкратом, состоящим, как показано на рис. 12-2, из двух соединенных трубкой цилиндров с поршнями. Диаметр большого цилиндра равен 1 м, а диаметр малого — 10 см. Пусть автомобиль обладает весом F_2. С какой силой нужно давить на поршень малого цилиндра, чтобы поднять автомобиль?

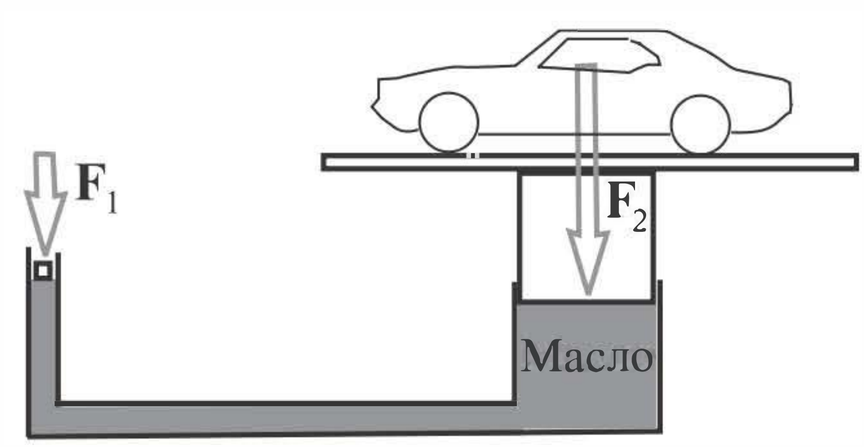


Рис. 12-2. Гидравлический домкрат для подъема автомобилей

Решение: Оба поршня являются стенками одного и того же сосуда. Поэтому в соответствии с законом Паскаля они испытывают одинаковое давление. Пусть $P_1 = F_1/A_1$ — давление на малый поршень, а $P_2 = F_2/A_2$ — давление на большой поршень. Тогда

$$F_1/A_1 = F_2/A_2,$$

откуда $F_1 = F_2\,(A_1/A_2) = 0{,}01\ F_2$.
Таким образом, для подъема автомобиля достаточно давить на малый поршень с силой, составляющей лишь 1 % веса автомобиля.

При наличии силы тяжести закон Паскаля для несжимаемой жидкости принимает вид

$$P = P_0 + \rho g h, \qquad (12\text{-}2)$$

где P_0 — внешнее давление, приложенное к верхней стенке сосуда, ρ — плотность жидкости и h — расстояние от верхней стенки. Рассмотрим, например, столб жидкости, изображенный на рис. 12-3. Помимо силы внешнего давления P_0A, на дно действует сила тяжести столба жидкости:

$$mg = (\rho A h)\, g.$$

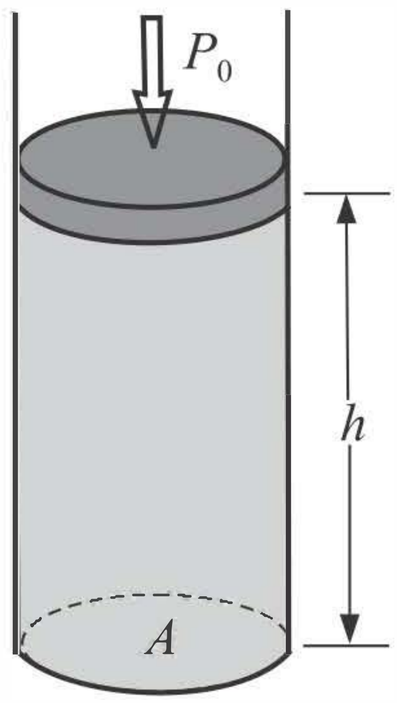


Рис. 12-3. Столб жидкости высотой h. Сверху приложено внешнее давление P_0

Следовательно, полная сила

$$F = P_0A + \rho g h A.$$

Разделим обе части этого выражения на A; тогда

$$P = P_0 + \rho g h.$$

Это и есть полное давление на дно сосуда. Полученное соотношение не зависит от формы сосуда.

Барометр

Высота земной атмосферы составляет несколько сотен километров. Так как $P = \rho g h$, то давление P_0 на поверхности Земли должно быть равно высоте атмосферы, умноженной на g и на плотность воздуха, усредненную по высоте атмосферы. Численное значение атмосферного давления равно

$P_0 = 1{,}01 \cdot 10^5$ Н/м^2 (*атмосферное давление*).

Это значение давления называют атмосферой (атм). Таким образом,

1 атм $= 1{,}01 \cdot 10^5$ Н/м^2.

Пусть запаянная с одного конца трубка, наполненная ртутью (плотность ртути $\rho = 13{,}6 \cdot 10^3$ кг/м^3), помещена вертикально открытым концом в широкий сосуд с ртутью (рис. 12-4). Давления в точках A и B должны быть одинаковыми, поскольку обе точки расположены на одной и той же высоте. В соответствии с (12-2) $P_A = \rho g h$, где h — высота ртутного столба, а давление на поверхности

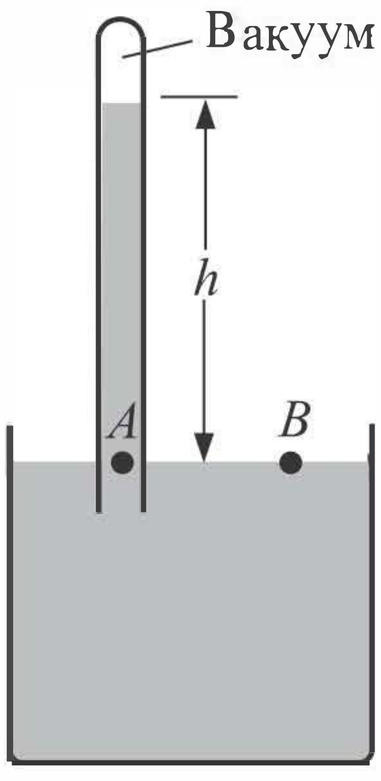


Рис. 12-4. Ртутный барометр

«ртуть – воздух» должно быть равно атмосферному, т. е. $P_B = P_{\text{атм.}}$. Следовательно,

$$\rho g h = P_{\text{атм.}},$$

$$h = \left(\frac{1}{\rho g}\right) P_{\text{атм.}} = \frac{1{,}01 \cdot 10^5}{13{,}6 \cdot 10^3 \cdot 9{,}8}\ \text{м} = 0{,}76\ \text{м}. \qquad (12\text{-}3)$$

Отсюда мы видим, что высота ртутного столба пропорциональна атмосферному давлению. Поэтому устройство, изображенное на рис. 12-4, используют для измерения атмосферного давления. Такие приборы называются барометрами.

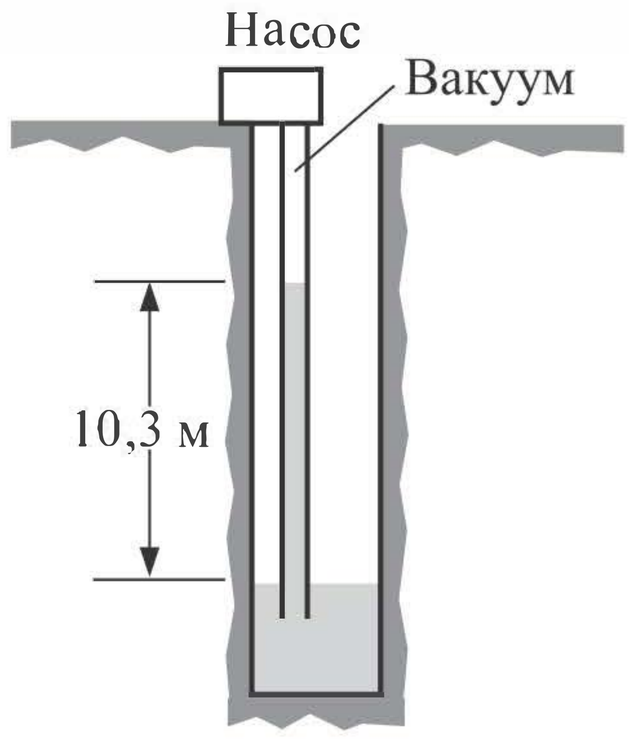


Рис. 12-5. Безнадежная попытка поднять воду из колодца. Однако это устройство можно использовать как барометр

В соответствии с формулой (12-3) высота столба в водяном барометре будет в 13,6 раза больше, чем в ртутном, поскольку плотность воды в 13,6 раза меньше, чем у ртути. Высота столба в водяной трубке составляла бы 10,3 м. Если бы трубку, сначала наполненную воздухом, затем откачать установленным вверху насосом, как показано на рис. 12-5, то воду можно было бы поднять лишь на высоту 10,3 м. Но глубина многих колодцев превышает 10 м. Как же выкачивать из них воду? Для этого надо использовать насос, расположенный на дне колодца.

Пример 2. Дом подключен к магистрали городского водопровода, проходящей на 100 м выше дома (рис. 12-6). Давление в городском водопроводе 4 атм. Под каким давлением будет поступать вода в дом?

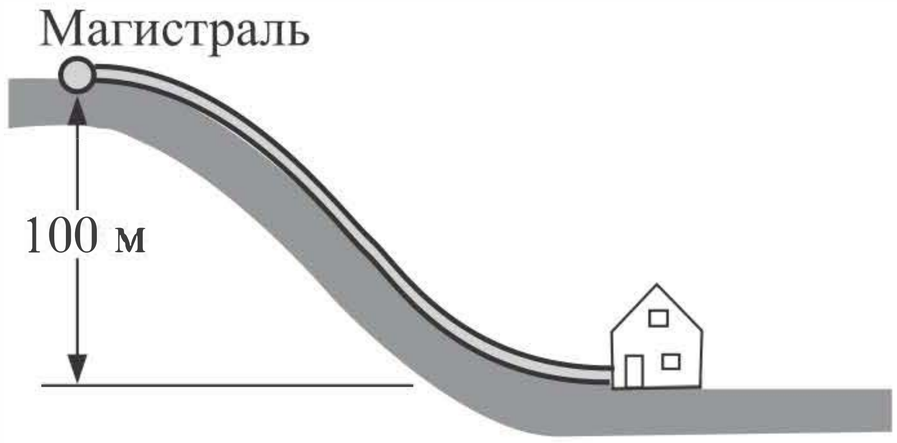


Рис. 12-6. Если дом расположен ниже водопроводной магистрали, то давление воды в нем выше, чем в магистрали

Решение: Из (12-2) имеем $P = P_0 + \rho gh$, где $P_0 = 4$ атм, $\rho gh = (10^3 \text{ кг/м}^3)(9{,}8 \text{ м/с}^2)(100 \text{ м}) = 9{,}8 \cdot 10^5 \text{ Н/м}^2 = 9{,}8$ атм. Отсюда получаем, что полное статическое давление равно

(4 + 9,8) атм = 13,8 атм.

Это слишком высокое давление для домашнего водопровода, поэтому в том месте, где вода подается непосредственно в дом, необходимо поставить понижающий давление редуктор.

Пример 3. Чему равно давление в центре Земли и в центре Солнца? Можно считать, что они имеют шарообразную форму и постоянную плотность: $R_З = 6{,}36 \cdot 10^6$ м, $R_С = 6{,}95 \cdot 10^8$ м, $\rho_З = 5{,}52 \cdot 10^3$ кг/м^3, $\rho_С = 1{,}42 \cdot 10^3$ кг/м^3. На поверхности Солнца ускорение свободного падения равно 274 м/с^2.

Решение: По формуле (12-2) давление на глубине h равно $P = \rho \bar{g} h$, где $\bar{g}$ — среднее ускорение свободного падения. На глубине $h = R$ $P = \rho \bar{g} h$. В гл. 5 мы видели, что g возрастает линейно при удалении от центра однородного шара, поэтому $\bar{g} = g/2$ и $P = \rho g R/2$.
Для Земли

$$P = \frac{1}{2}\left(5{,}52 \cdot 10^3\right)(9{,}8)\left(6{,}36 \cdot 10^6\right) = 1{,}72 \cdot 10^{11} \text{ Н/м}^2.$$

Для Солнца

$$P = \frac{1}{2}\left(1{,}42 \cdot 10^3\right)(274)\left(6{,}95 \cdot 10^8\right) = 1{,}35 \cdot 10^{14} \text{ Н/м}^2.$$

Закон Архимеда

Предположим, что брусок высотой l и площадью основания A погружен на глубину h в жидкость с плотностью ρ (рис. 12-7). На нижнюю поверхность бруска будет действовать сила

$$F_{\text{вверх}} = PA = \rho g (h + l) A,$$

а на верхнюю — сила

$$F_{\text{вниз}} = (\rho g h) A.$$

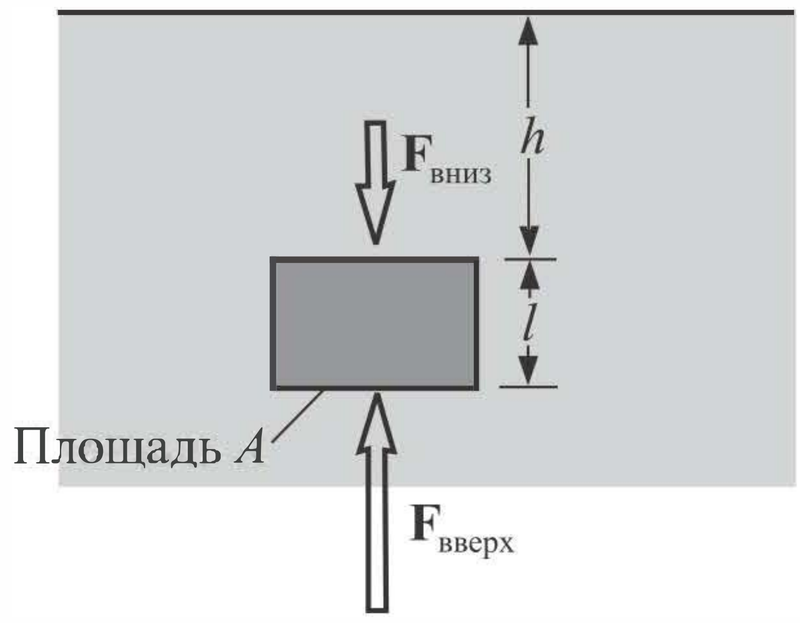


Рис. 12-7. Брусок объемом lA погружен в жидкость плотностью ρ. Со стороны жидкости на брусок действуют силы $F_{\text{вверх}}$ и $F_{\text{вниз}}$

Результирующая сила, действующая на брусок со стороны жидкости, запишется в виде

$$F_{\text{вверх}} - F_{\text{вниз}} = \rho g l A = m_{\text{жидк.}} g,$$

где $m_{\text{жидк.}} = \rho l A$ — масса жидкости, вытесненной из объема, занятого бруском. Таким образом, на брусок действует сила, направленная вверх и равная по величине весу вытесненной воды. **Закон Архимеда** гласит: **Любое погруженное в газ или жидкость тело выталкивается из нее с силой, равной весу вытесненного газа или жидкости.** Таким образом, мы имеем:

$$F_b = m_{\text{жидк.}}\, g, \qquad (12\text{-}4)$$

где F_b — выталкивающая сила.

Для тела, плавающего на поверхности воды, этот закон гласит, что вес вытесненной этим телом воды равен весу тела.

Нередко спрашивают: как изменится уровень воды в стакане с плавающим льдом, после того как лед в нем растает? Повысится он или понизится? На самом деле уровень не изменится при условии, что первоначально лед плавал. Действительно, поскольку плавающий кубик льда вытесняет количество воды, равное своему весу, то при таянии, превращаясь в воду, он целиком заполняет свой собственный объем. Аналогичный вопрос связан с движением судна по каналу, который нескольких местах идет по акведукам, пересекая проложенные под ним дороги. Спрашивается, возрастает ли нагрузка на акведук при движении по нему судна. Ответ гласит, что, когда судно находится в канале, нагрузка на акведук не зависит от того, проходит по нему судно или нет.

Пример 4. Рассмотрим воздушный шар диаметром 10 м, наполненный горячим воздухом. Сколько пассажиров сможет он поднять, если плотность воздуха внутри шара составляет 75 % плотности окружающего воздуха, равной 1,3 кг/м^3?

Решение: Закон Архимеда справедлив для тел, погруженных как в жидкость, так и в газ. Масса вытесненного газа

$$M_{\text{газ.}} = \rho_{\text{возд.}}(4\pi R^3/3) = (1{,}3)(4\pi/3)(5)^3 \text{ кг} = 680 \text{ кг}.$$

В соответствии с (12-4) выталкивающая сила равна

$$F_b = M_{\text{газ.}}\, g = 680(9{,}8) \text{ Н} = 6664 \text{ Н}.$$

Следовательно, для того чтобы уравновесить эту силу, шар вместе с нагрузкой должен иметь массу 680 кг. Поскольку масса воздуха внутри баллона равна 510 кг, масса дополнительной нагрузки должна быть равна 170 кг. Это значит, что шар мог бы поднять двоих взрослых пассажиров с небольшим багажом.

---

§ 2. Уравнение состояния идеального газа

Идеальный газ удовлетворяет следующим двум условиям: 1) объем, приходящийся на молекулы газа, много меньше объема, занятого газом, и 2) радиус взаимодействия двух молекул значительно меньше среднего расстояния между ними. В данном параграфе мы покажем, что для такого газа

$$PV = NkT \ (\textit{уравнение состояния идеального газа}), \qquad (12\text{-}5)$$

где P — давление газа, N — число молекул газа в объеме V, T — абсолютная температура и k — универсальная физическая постоянная. Уравнение состояния идеального газа позволяет вычислить давление, объем, плотность и температуру ограниченного объема газа любого сорта. Понятие температуры мы дадим в следующем параграфе.

Пример 5. При подъеме воздушного пузырька со дна озера на поверхность его объем увеличивается в три раза. Какова глубина озера?

Решение: Пусть P_1 — давление и V_1 — объем пузырька на дне озера. Тогда $P_2 = P_0$ (где P_0 — атмосферное давление), а $V_2 = 3V_1$. Считая, что температура пузырька при подъеме не меняется, из (12-4) находим

$$P_1V_1 = P_2V_2 = (P_0)(3V_1).$$

Отсюда следует, что на дне озера $P_1 = 3P_0$. Разность давлений на поверхности и на дне равно $2P_0$. В соответствии с (12-2) эта разность должна составлять ρgh. Следовательно, глубина озера равна удвоенной высоте столба воды в водяном барометре, т. е. 20,6 м.

При выводе уравнения состояния идеального газа будем считать молекулы маленькими твердыми шарами, заключенными в ящик объемом V. Предположение о твердых шарах означает, что между молекулами происходят упругие соударения. Рассмотрим сначала одну такую молекулу, отражающуюся от левой стенки ящика (рис. 12-8). Средняя сила, действующая на стенку на протяжении времени Δt, равна

$$\overline{F} = \Delta p_x / \Delta t.$$

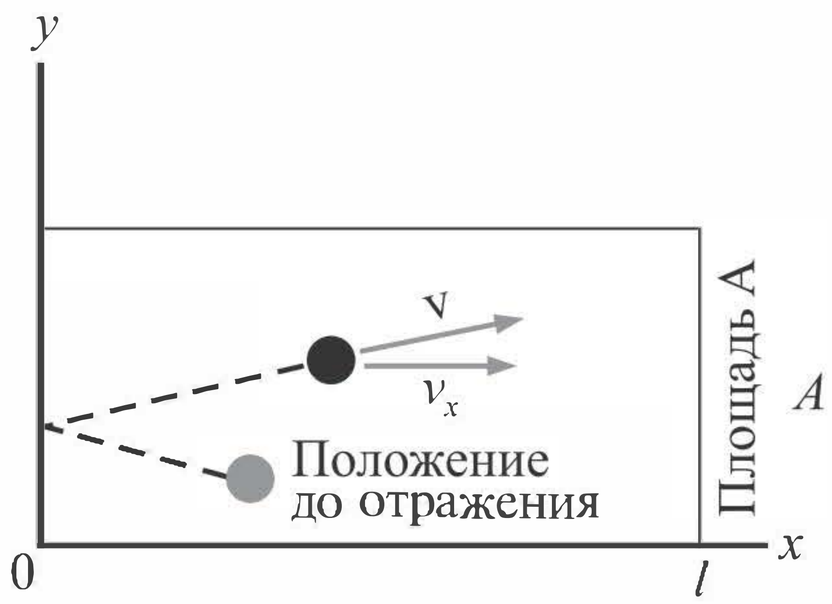


Рис. 12-8. Частица в сосуде объемом lA после отражения от левой стенки

В результате соударения импульс изменяется на величину

$$\Delta p_x = mv_x - (-mv_x) = 2mv_x.$$

Поскольку время между соударениями молекулы с этой стенкой

$$\Delta t = 2l/v_x,$$

то на стенку со стороны одной молекулы действует средняя сила

$$\overline{F} = \frac{2mv_x}{2l/v_x} = \frac{mv_x^2}{l}.$$

Полная сила, с которой все N молекул в ящике действуют на стенку, дается выражением

$$F = N\frac{m\overline{v_x^2}}{l},$$

где $\overline{v_x^2}$ — усредненный по всем частицам квадрат скорости (v_x^2). Эта величина называется среднеквадратичной скоростью в направлении оси x. Разделив обе части этого соотношения на площадь стенки A, получим давление

$$P = Nm\overline{v_x^2}/Al.$$

Заменим Al на объем V; тогда

$$P = Nm\overline{v_x^2}/V,$$

откуда

$$PV = Nm\overline{v_x^2}. \qquad (12\text{-}6)$$

Уже отсюда видно, что для данного количества газа произведение PV остается постоянным при условии, что кинетическая энергия частиц сохраняется без изменения. Это называется **законом Бойля** (или, как принято в отечественной литературе, Бойля–Мариотта. — *Прим. ред.*). Пример 5 мы решили с помощью закона Бойля. Правую часть формулы (12-6) можно записать через v. Действительно,

$$\overline{v^2} = \overline{v_x^2} + \overline{v_y^2} + \overline{v_z^2}.$$

Поскольку молекулы совершенно одинаково отражаются от всех шести граней, то

$$\overline{v_x^2} = \overline{v_y^2} = \overline{v_z^2}.$$

Тогда

$\overline{v^2} = 3\overline{v_x^2}$, или $\overline{v_x^2} = \overline{v^2}/3$.

Подставим теперь в (12-6) вместо $\overline{v_x^2}$ величину $\overline{v^2}/3$:

$$PV = Nm\left(\overline{v^2}/3\right). \qquad (12\text{-}7)$$

В следующем параграфе мы покажем, что правая часть этого уравнения по

определению равна NkT, где T — абсолютная температура. При этом уравнение (12-7) принимает вид, совпадающий с уравнением состояния идеального газа: $PV = NkT$. Таким образом, применив уравнения ньютоновской механики к отдельным молекулам, т. е. использовав их на микроскопическом уровне, мы вывели* важное соотношение между макроскопическими величинами P, V и T.

§ 3. Температура

Мы будем определять абсолютную температуру как величину, прямо пропорциональную средней кинетической энергии молекул в сосуде**:

$$T \equiv \left(\frac{2}{3k}\right)\frac{m\overline{v^2}}{2} = \left(\frac{2}{3k}\right)\overline{K}$$

(*определение температуры*), (12-8)

где $\overline{K}$ — средняя кинетическая энергия, приходящаяся на одну частицу. Коэффициент пропорциональности $(2/3k)$ представляет собой константу. Значение постоянной k зависит от выбора шкалы температуры. Один из способов выбора шкалы основан на том, что интервал температур между точками кипения и замерзания воды при давлении 1 атм полагается равным 100 градусам. Таким образом, величина k, которая называется **постоянной Больцмана*****, определяется путем измерения свойств воды. Экспериментально найдено, что

$k = 1{,}38\cdot10^{-23}$ Дж/град (*постоянная Больцмана*).

Если с помощью (12-8) исключить величину $\overline{v^2}$ из (12-7), то получим

$PV = NkT$ (*уравнение состояния идеального газа*).

Термометры

Наиболее естественно было бы использовать для измерения температуры определение (12-8), т. е. измерять кинетическую энергию поступательного движения молекул газа. Однако чрезвычайно трудно проследить за молекулой газа и еще сложнее измерить ее кинетическую энергию. Поэтому для определения температуры идеального газа используется уравнение (12-5). Действительно, произведение PV легко поддается измерению. В качестве примера рассмотрим изображенный на рис. 12-9 простейший газовый термометр с постоянным давлением. Объем газа в трубке

$$V = \left(\frac{Nk}{P_0}\right)T, \qquad (12\text{-}9)$$

как мы видим, пропорционален температуре, а поскольку высота нахождения ртутной капли пропорциональна V, то она пропорциональная и T. Существенно то, что в газовом термометре необходимо использовать идеальный газ. Если же в трубку вместо идеального газа поместить фиксированное количество жидкой ртути, то мы получим обычный ртутный термометр. Хотя ртуть далеко не идеальный газ, вблизи комнатной температуры ее объем изменяется почти пропорционально температуре. Термометры, в которых вместо идеального газа используются

---

* При этом следует учесть, что «по дороге» мы ввели чуждое ньютоновской механике понятие *усреднения* и основанное на нем понятие *температуры*. — *Прим. ред.*

** Следует отметить, что подобное определение отнюдь не является наиболее общим и имеет ограниченную применимость. — *Прим. ред.*

*** Постоянная Больцмана входит в число *фундаментальных* физических постоянных; указанная здесь ее роль является второстепенной. — *Прим. ред.*

какие-либо другие вещества, приходится калибровать по показаниям точных газовых термометров.

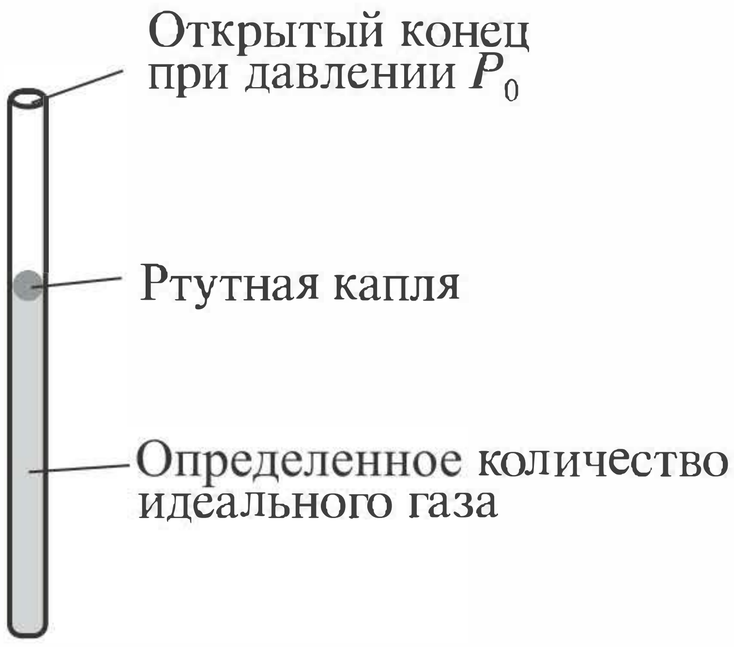


Рис. 12-9. Газовый термометр с постоянным давлением

Используя идеальный газ, можно построить также термометр с постоянным объемом. Действительно, $P = (Nk/V_0)T$ [см. (12-5)], откуда видно, что если давление P менять таким образом, чтобы объем поддерживался постоянным и равным V_0, то при этом давление будет пропорционально T. При достаточно высоких температурах, начиная, скажем, с обычных температур на улице, многие газы ведут себя как идеальные. Даже при очень низких температурах, когда воздух и даже водород становятся жидкими, гелий все еще остается идеальным газом. Однако при 4° выше абсолютного нуля гелий сжижается и уже не имеет свойств идеального газа.

Пример 6. При температуре замерзания воды плотность воздуха (в основном состоящего из азота) на уровне моря равна 1,255 кг/м^3. Масса молекулы азота $4{,}68\cdot10^{-26}$ кг. Какой абсолютной температуре (по шкале Кельвина) соответствует температура замерзания воды, а именно ноль градусов по шкале Цельсия?

Решение: Из формулы (12-5) имеем $N = PV/kT$. Умножим обе части этого равенства на m/V:

$$\frac{Nm}{V} = \frac{mP}{kT}.$$

Поскольку Nm — это полная масса газа, занимающего объем V, то левая часть равна плотности газа ρ:

$$\rho = \frac{mP}{kT} \quad (\textit{плотность идеального газа}). \qquad (12\text{-}10)$$

Следовательно,

$$T = \frac{mP}{k\rho} = \frac{\left(4{,}68\cdot10^{-26}\right)\left(1{,}01\cdot10^{5}\right)}{\left(1{,}38\cdot10^{-23}\right)\left(1{,}255\right)} =$$

$$= 273 \text{ град} \quad (\textit{абсолютная шкала}).$$

Таким образом, в соответствии с нашим определением температуры вода замерзает при 273 градусах по абсолютной шкале. Абсолютную шкалу называют также шкалой Кельвина. Эта шкала принята за основную в Международной системе единиц измерения СИ. Один градус по этой шкале принят за единицу температуры и обозначается буквой К (называется кельвином), например температура замерзания воды или плавления льда должна записываться как 273 К. По шкале Цельсия, которая широко использовалась во всех странах (в США она не признана официально), температура замерзания воды принята за нуль (обозначается как 0 °С). Как в шкале Кельвина, так и в шкале Цельсия разность температур замерзания и кипения воды равна 100 градусам, поэтому в обеих шкалах масштаб одного градуса одинаков. На рис. 12-10 дается сравнение этих шкал. На этом же рисунке приведена и шкала Фаренгейта, до сих пор широко используемая в США. Один градус по Фаренгейту равен 5/9 градуса по Цельсию.

Пример 7. Вычислите температуру в центре Солнца, считая, что оно имеет шарообразную форму и постоянную плотность, соответ-

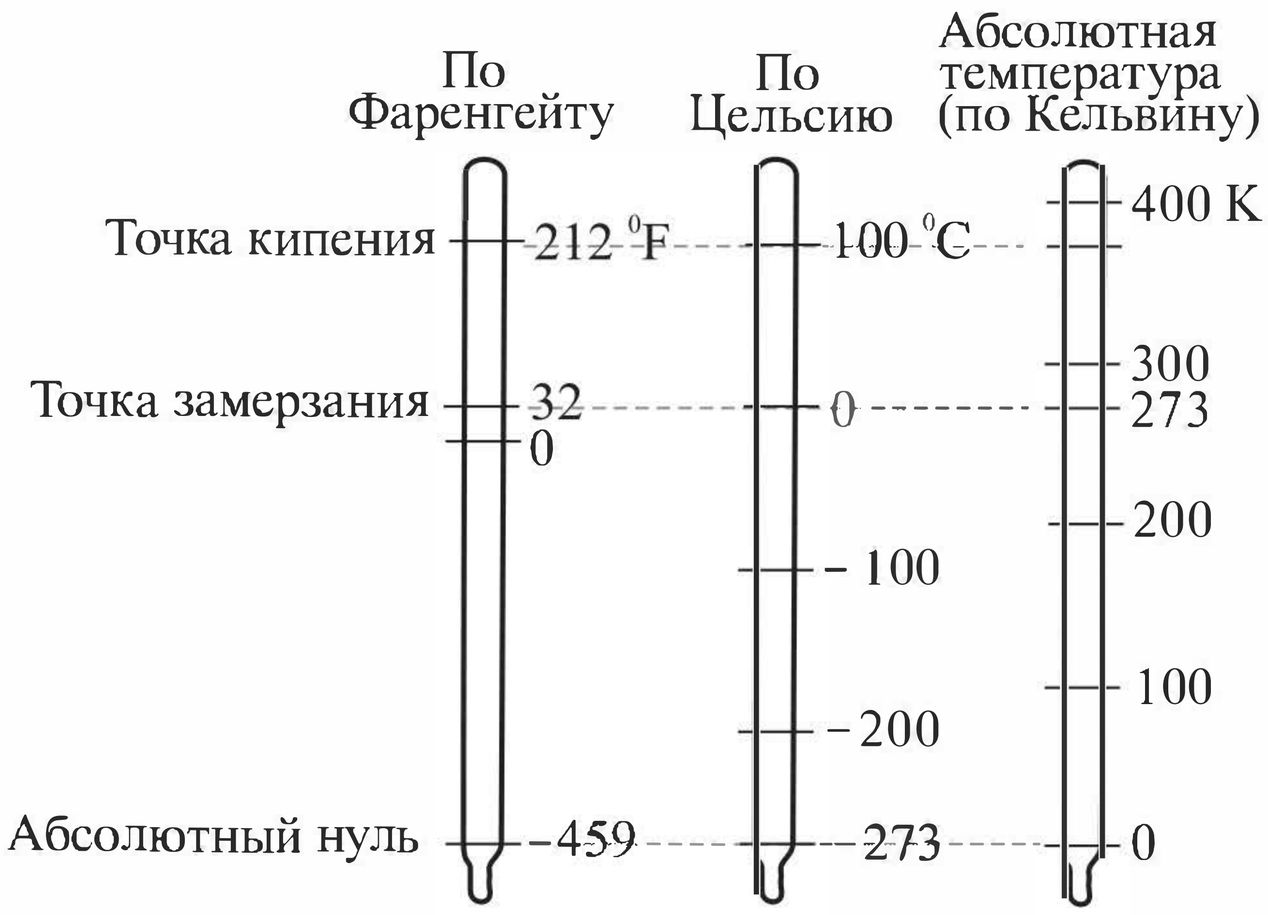


Рис. 12-10. Сравнение температурных шкал Фаренгейта, Цельсия и Кельвина

ствующую идеальному газу атомов водорода. Общая масса Солнца $M = 2{,}00 \cdot 10^{30}$ кг, $R = 6{,}96 \cdot 10^{8}$ м, масса молекулы водорода $m_{\text{Н}} = 1{,}67 \cdot 10^{-27}$ кг.

Решение: Решая (12-10) относительно T, получаем

$$T = \frac{m_{\text{Н}} P}{k\rho}, \text{ где } \rho = \frac{M}{(4/3)\pi R^3} = 1{,}41 \cdot 10^{3} \text{ кг/м}^3.$$

Для давления в центре Солнца можно использовать значение P, полученное в примере 3, а именно $P = 1{,}35 \cdot 10^{14}$ Н/м^2. Тогда

$$T = \frac{\left(1{,}67 \cdot 10^{-27}\right)\left(1{,}35 \cdot 10^{14}\right)}{\left(1{,}38 \cdot 10^{-23}\right)\left(1{,}41 \cdot 10^{3}\right)} \text{K} = 1{,}16 \cdot 10^{7} \text{K}.$$

В гл. 30 мы покажем, что столь высокой температуры достаточно для поддержания медленной, но устойчивой термоядерной реакции.

Согласно формуле (12-8), при $T = 0$ K всякое движение молекул прекращается*. Такую температуру называют абсолютным нулем, она соответствует −273 °C.

* Это утверждение также справедливо лишь приближенно — в рамках классической механики. В квантовой механике при $T = 0$ имеют место т. н. нулевые колебания (см. гл. 24 и 25). — *Прим. ред.*

В заключении данного параграфа приведем два примера, помогающих уяснить смысл введенного нами понятия температуры. В качестве первого примера рассмотрим ящик объемом V_1, в котором имеются N_1 частиц со среднеквадратичной скоростью $\overline{v_1^2}$. Удвоим затем количество частиц в ящике, сохранив неизменными V_1 и $\overline{v_1^2}$. Что при этом произойдет с температурой? Поскольку по определению температура пропорциональна кинетической энергии, приходящейся на одну частицу, т. е. $T \sim m\overline{v^2}/2$, она останется неизменной. В другом примере мы рассмотрим свободное расширение этого газа в соседнюю пустую камеру такого же объема. Этого можно достичь, внезапно удалив перегородку (рис. 12-11). Тогда конечный объем газа будет в два раза больше первоначального. А какой будет конечная температура? Здесь также $\overline{v_1^2}$ остается без изменения. Но раз не меняется средняя кинетическая энергия, приходящаяся на одну частицу, то не меняется и температура. Из этого примера мы видим, что при свободном расширении идеального газа температура сохраняется постоянной.

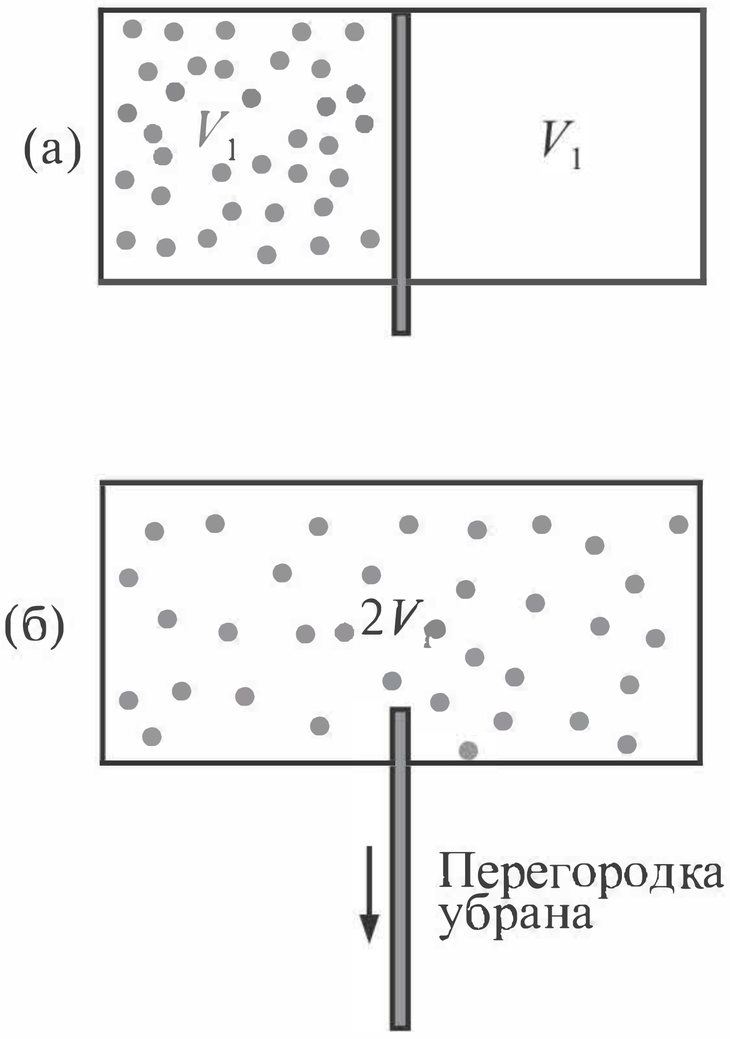


Рис. 12-11. Свободное расширение газа (перегородка на рис. *б* удалена)

§ 4. Равномерное распределение энергии

Примем как постулат утверждение о том, что если два тела или более, имеющие различные температуры, приведены в соприкосновение друг с другом и изолированы от остальных предметов, то по истечении достаточного времени их температуры окажутся одинаковыми. Тела могут быть твердыми, жидкими или газообразными. Это настолько естественно с точки зрения повседневной жизни, что такой факт не рассматривался как один из основных «законов» физики, до тех пор пока не были сформулированы первый и второй законы термодинамики. Поэтому, чтобы не перенумеровывать первый и второй законы, закон об установлении теплового равновесия между изолированными телами, приведенными в соприкосновение друг с другом, был назван нулевым законом термодинамики.

Нулевой закон термодинамики

Если два тела находятся в тепловом равновесии и одно из этих тел находится в тепловом равновесии с третьим, то первое тело будет находиться в таком же тепловом равновесии с третьим, как если бы между ними был контакт. Пусть три тела на рис. 12-12 представляют собой сосуды с тремя различными сортами идеального газа. Мы утверждаем, что во всех трех сосудах средняя кинетическая энергия поступательного движения, приходящаяся на одну молекулу, будет одной и той же. Если игнорировать повседневный опыт, то совсем не очевидно, что при контакте двух различных газов (или их смешивании в одном сосуде) будет выполняться равенство $m_1\overline{v_1^2}/2 = m_2\overline{v_1^2}/2$. В качестве одного из этапов нашей программы, состоящей в получении законов термодинамики из ньютоновской механики, докажем справедливость этого равенства для частиц с различными массами m_1 и m_2, находящихся в одном сосуде. В следующем разделе мы попытаемся проверить этот результат.

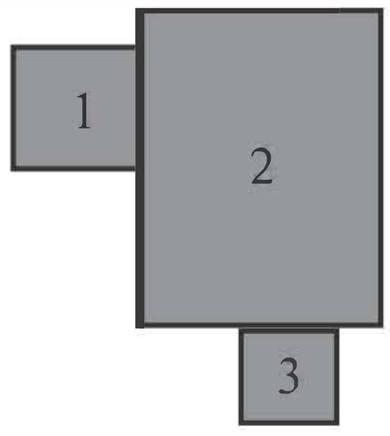


Рис. 12-12. Три тела, находящиеся в тепловом равновесии

Рассмотрим частицу массой m_2 в сосуде, содержащем N_1 частиц, каждая из которых имеет массу m_1. Относительная скорость движения отдельной частицы m_1 и частицы m_2 равна $\mathbf{v}_{\text{отн.}} = \mathbf{v}_1 - \mathbf{v}_2$. Величина и направление этой скорости не меняются при переходе из лабораторной в другую систему отсчета. Направление движения центра масс двух частиц совпадает с направлением вектора $\mathbf{p}_1 + \mathbf{p}_2$. Поскольку это направление не зависит от направления вектора $\mathbf{v}_{\text{отн.}}$, то

$$\overline{(\mathbf{p}_1+\mathbf{p}_2)\cdot\mathbf{v}_{\text{отн.}}}=0,$$

$$\overline{(\mathbf{p}_1+\mathbf{p}_2)\cdot(\mathbf{v}_1-\mathbf{v}_2)}=0,$$

$$\overline{\mathbf{p}_1\cdot\mathbf{v}_1}-\overline{\mathbf{p}_1\cdot\mathbf{v}_2}+\overline{\mathbf{p}_2\cdot\mathbf{v}_1}-\overline{\mathbf{p}_2\cdot\mathbf{v}_2}=0.$$

Величина $\overline{\mathbf{p}_1\mathbf{v}_2}=0$, поскольку при фиксированном $\mathbf{p}_1$ любая компонента вектора $\mathbf{v}_2$ с равной вероятностью может быть как положительной, так и отрицательной. По той же причине $\overline{\mathbf{p}_2\cdot\mathbf{v}_1}=0$. Таким образом,

$$\overline{\mathbf{p}_1\cdot\mathbf{v}_1}-\overline{\mathbf{p}_2\cdot\mathbf{v}_2}=0,$$

$$\overline{\mathbf{p}_1\cdot\mathbf{v}_1}=\overline{\mathbf{p}_2\cdot\mathbf{v}_2},$$

$$m_1\overline{v_1^2}/2=m_2\overline{v_1^2}/2,$$

что и завершает «доказательство».

Закон равнораспределения энергия

Выше мы показали, что в состоянии теплового равновесия средняя кинетическая энергия поступательного движения, приходящаяся на одну частицу, одинакова у всех частиц независимо от их массы. А что можно сказать относительно кинетической энергии вращательного и колебательного движений? Две гантелеобразные молекулы после столкновения наверняка начнут вращаться, как показано на рис. 12-13. В примере 8 гл. 10 было показано, что при соударении с отдельной частицей гантелеобразная молекула приобретает равные количества поступательной и вращательной кинетической энергии. Соответствующее обобщение доказательства, приведенного в предыдущем разделе, свидетельствует о том, что у всех частиц кинетическая энергия, приходящаяся на каждую степень свободы, будет одной и той же. Это называется законом равнораспределения энергии. Общий вывод закона слишком сложен, чтобы приводить его здесь. Число степеней свободы тела равно числу независимых координат, необходимых для однозначного задания его положения в пространстве.

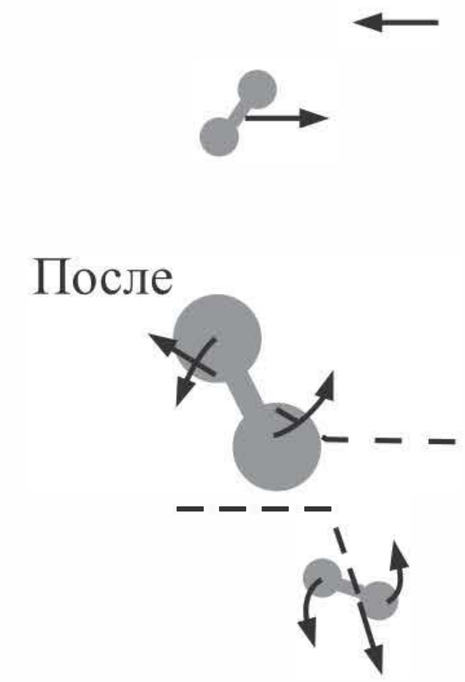


Рис. 12-13. После соударения две молекулы приходят во вращение

В соответствии с (12-8) средняя кинетическая энергия поступательного движения равна

$$\frac{1}{2}m\overline{v^2}=\frac{3}{2}kT,$$

что соответствует трем степеням свободы, поскольку для задания положения центра молекулы необходимы три координаты (x, y, z). Таким образом, средняя кинетическая энергия, приходящаяся на одну степень свободы, равна (1/2) kT:

Средняя энергия на одну степень свободы $=\frac{1}{2}kT$ (*закон равнораспределения энергии*). (12-11)

Имеются еще три степени свободы, определяющие ориентацию твердого тела относительно его центра. Например,

для случая гантели необходимо, как видно из рис. 12-14, задать полярный угол θ и азимутальный угол φ, определяющие ориентацию оси гантели. Кроме того, чтобы задать угловое положение гантели относительно собственной оси, нужен угол ψ. Таким образом, если молекулы подобны твердым гантелям, то помимо поступательной кинетической энергии $3kT/2$ каждая молекула будет иметь вращательную кинетическую энергию, в среднем равную $3kT/2$. Поэтому полная кинетическая энергия N таких молекул в сосуде будет равна $3NkT$.

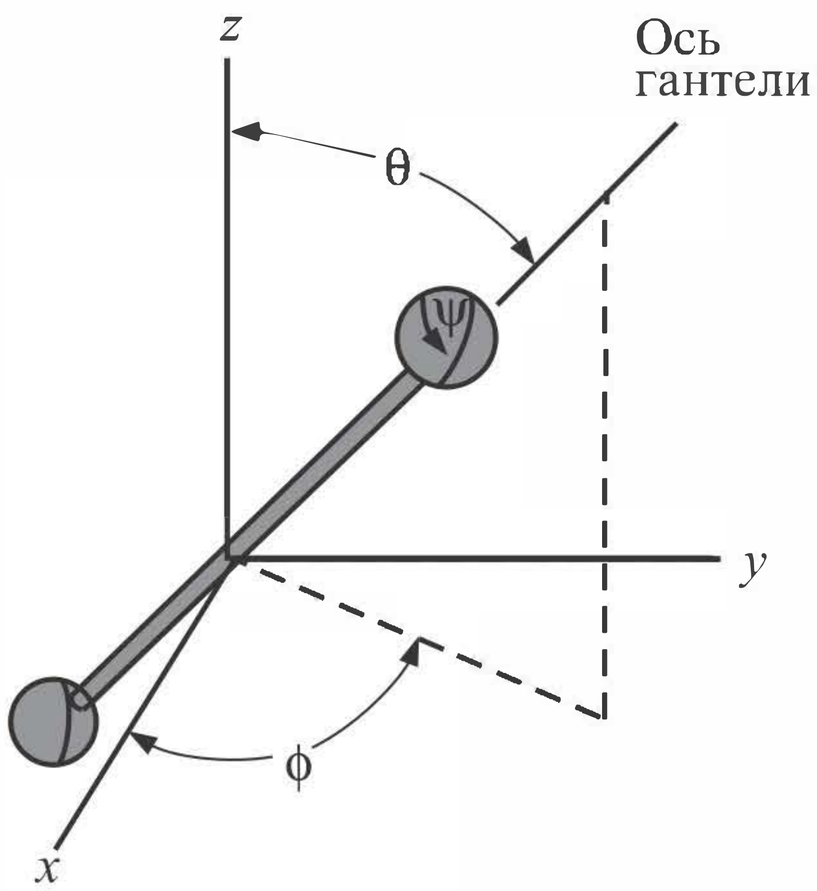


Рис. 12-14. Ориентация гантели определяется заданием трех углов: θ, φ и ψ

На самом деле обычно предполагается, что у молекул отсутствует поверхностное трение, т. е. они достаточно гладкие. В этом случае невозможно заставить молекулу вращаться вокруг ее собственной оси, так что остаются лишь две эффективные вращательные степени свободы. Таким образом, средняя кинетическая энергия двухатомной молекулы должна быть $5kT/2$. В экспериментах наблюдались отклонения от закона равнораспределения энергии. Подробнее мы остановимся на этом в § 3 следующей главы.

§ 5. Кинетическая теория тепла

В § 5 гл. 7 внутренняя энергия определялась как сумма кинетической и потенциальной энергий отдельных частиц за вычетом энергии макроскопического движения тела как целого. Внутренняя энергия представляет собой дополнительную энергию движения отдельных частиц, не учитываемую при макроскопическом рассмотрении системы. Для системы, состоящей из N невращающихся частиц, полная внутренняя энергия просто равна поступательной кинетической энергии, т. е. $U = 3NkT/2$. Обычно для обозначения внутренней энергии тела или системы частиц используется символ U. К сожалению, этим же символом обозначают потенциальную энергию, что может привести к недоразумениям. Если система состоит из частиц типа молекул H_2O, которые могут вращаться во всех трех направлениях, то

$$U = K_{\text{пост.}} + K_{\text{вр.}},$$

$$U = (3/2)\,NkT + (3/2)\,NkT = 3NkT. \tag{12-12}$$

Предполагают, что внутренняя энергия двухатомных молекул (гладких гантелей) равна

$$U = (3/2)\,NkT + (2/2)\,NkT = (5/2)\,NkT.$$

До сих пор мы ограничивались примерами для случая идеального газа. Ясно, что и более сложные системы обладают вполне определенной внутренней энергией. Если внутренняя энергия системы увеличивается, то ее температура возрастает. Внутренняя энергия системы или некоторого объема газа зависит от ее массы, температуры и давления (или объема). Она является функцией этих переменных.

Тепловая энергия*

Если натирать стенки сосуда с водой, то при этом будет совершаться работа против диссипативной силы, или силы трения. Температура (или внутренняя энергия) воды будет возрастать. При натирании производится тепловая энергия, которая передается воде. Наряду с джоулем существует единица тепловой энергии, именуемая калорией (кал) и равная количеству энергии, необходимой для нагрева 1 г воды на 1 °С (или на 1 К). Собственно говоря,

1 кал ≡ Количество тепла для нагрева 1 г воды от 14,5 до 15,5 °С (*определение калории*).

В системе СИ используется 1 ккал, равная количеству тепла для нагрева 1 кг воды на 1 °С (или 1 К). Третьей единицей тепла является пищевая калория, которую иногда пишут с заглавной буквы:

1 пищевая калория = 1 Калория = = 1 ккал.

Это устаревшая единица, и, чтобы не вызывать недоразумений, ее не следует использовать. При окислении одного грамма животных жиров освобождается около 10 ккал тепловой энергии. И наоборот, 1000 Калорий (= 1000 ккал) пищи могли бы привести к отложению 100 г жира, если бы вся пища усваивалась и накапливалась в виде жировых отложений. В следующем разделе мы покажем, что 1000 ккал достаточно для того, чтобы поднять тело человека на высоту 7 км.

Механический эквивалент тепла

Чтобы избежать недоразумений, связанных с использованием различных единиц, лучше в качестве единицы тепловой энергии вместо калории пользоваться джоулем. Соотношение между этими единицами носит название механического эквивалента тепла. Его нетрудно измерить, производя определенное количество работы $F\Delta s$ над некоторым количеством воды. Стандартная демонстрационная установка представляет собой тонкостенный медный сосуд, наполненный водой. На стенки сосуда действует сила трения известной величины. Измеряется приращение температуры, обусловленное известным количеством работы, произведенной силой трения. При этом оказывается, что 4,185 Дж работы преобразуются в 1 кал тепла, т. е.

1 кал = 4,185 Дж (*механический эквивалент тепла*).

Тепло представляет собой «скрытую» энергию частиц. Внутреннюю энергию (т. е. энергию частиц) тела можно увеличить, совершая над ним механическую работу либо приведя его в соприкосновение с другим, более горячим телом. Во втором случае тепловая энергия передается данному телу от другого. Механизм передачи тепла основан на выравнивании распределения энергии благодаря молекулярным соударениям. Молекулы первого тела приобретают энергию в результате соударений с более быстрыми молекулами второго тела.

Пример 8. Предположим, что для поддержания жизни человеку необходимо расходовать мощность в среднем 120 Вт.

а) Сколько килокалорий должен ежедневно потреблять человек, чтобы не умереть?

б) Если масса человека 60 кг, то на какую высоту он мог бы подняться, используя энергетический эквивалент своего минимального дневного рациона килокалорий? (Будем считать, что в гравитационную потенциальную энергию преобразуется 10 % энергии.)

---

* Более предпочтительно использовать здесь термин «внутренняя энергия», поскольку теплота является не видом энергии, а способом ее передачи. — *Прим. ред.*

Решение: а) За сутки человек тратит энергию, равную (120 Вт)(86 400 с) = $1{,}04\cdot10^7$ Дж. Следовательно, эквивалентное количество калорий, расходуемых человеком за сутки, равно

$$\frac{1{,}04\cdot10^7\ \text{Дж}}{4{,}185\ \text{Дж/кал}} = 2{,}48\cdot10^6\ \text{кал} = 2480\ \text{ккал}.$$

б) Найдем 10 % энергии, полученной в пункте «а», и приравняем найденное количество к mgh:

$mgh = 1{,}04\cdot10^6$ Дж,

откуда

$$h = \frac{1{,}04\cdot10^6\ \text{Дж}}{(60\ \text{кг})\cdot(9{,}8\ \text{м/с}^2)} = 1{,}76\ \text{км}.$$

Следовательно, человек, поднимающийся ежедневно на такую высоту, должен удвоить ежедневный рацион, чтобы сохранить свой вес. Если же рацион останется неизменным, то эти 2480 ккал будут потрачены за счет жировых отложений тела. А это значит, что в сутки человек будет терять около 250 г веса, поскольку 1 г жира соответствует 10 ккал.

Основные выводы

Давление на поверхность — это отношение силы ΔF к площади поверхности ΔA: $P \equiv \Delta F/\Delta A$.

При наличии силы тяжести давление в газе или жидкости с постоянной плотностью ρ имеет вид $P = P_0 + \rho gh$, где P_0 — давление на поверхности и h — глубина, т. е. расстояние от поверхности.

Давление земной атмосферы на поверхности Земли $P_{\text{атм.}} = 1{,}01\cdot10^5$ Н/м^2.

На погруженное в газ или жидкость тело действует выталкивающая сила, равная весу вытесненного им количества газа или жидкости.

Идеальный газ, состоящий из N маленьких твердых шариков (массой m каждый) и заключенный в сосуд объемом V, оказывает на стенки сосуда давление P, удовлетворяющее соотношению

$$PV = Nm\left(\overline{v^2}/3\right).$$

В кинетической теории дается следующее определение абсолютной температуры T идеального газа:

$$T = (2/3k)\left(m\overline{v^2}/2\right),$$

где $k \equiv 1{,}38\cdot10^{-23}$ Дж/град — постоянная Больцмана. Исключая $\overline{v^2}$ из этих двух формул, получаем уравнение состояния идеального газа:

$PV = NkT$ (*уравнение состояния идеального газа*).

Температуру можно измерять высотой столба идеального газа при постоянном давлении или давлением в постоянном объеме идеального газа.

Можно доказать, что температуры двух тел, находящихся достаточно долго в контакте друг с другом, являются одинаковыми. Это утверждение называется нулевым законом термодинамики. Аналогично доказывается закон равнораспределения энергии, а именно тот факт, что в состоянии теплового равновесия на любую степень свободы приходится одно и то же количество энергии.

«Скрытая» энергия отдельных частиц называется внутренней, или тепловой, энергией. Эта энергия создается благодаря работе, производимой силами трения; 1 калория тепла увеличивает температуру 1 г воды на 1 °C (или на 1 K).

Упражнения

1. Острие иглы звукоснимателя (применявшегося для воспроизведения звукозаписи до изобретения магнитной записи и лазерного считывания) имеет радиус $R = 10^{-2}$ мм. Сила mg, с которой она действует на пластинку, соответствует массе $m = 2$ г. Какое давление оказывает игла на

дорожку звукозаписи, если площадь контакта πR^2?

2. Объем воздушного пузырька удваивается при подъеме со дна озера на поверхность. Какова глубина озера?

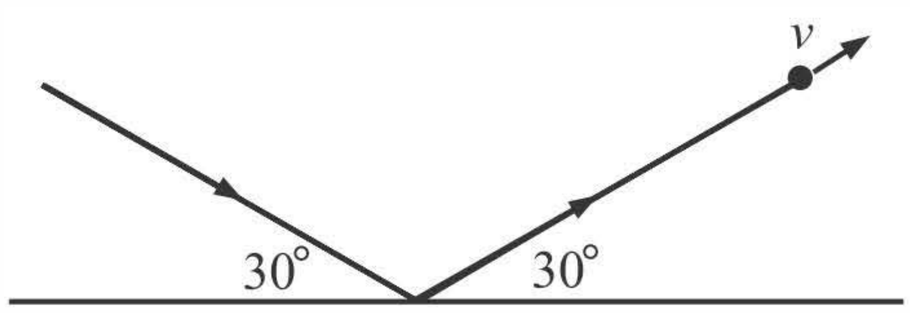
3. Какой была бы толщина земной атмосферы при постоянной плотности ($\rho = 1{,}25$ кг/м^3)?

4. Предположим, что насос на рис. 12-5 может откачать воздух лишь до давления 0,1 атм. Какой в этом случае будет высота водяного столба?

5. Плотность льда 0,9 г/см^3. Какая часть объема ледяного кубика находится над водой?

6. Как глубоко нужно нырнуть в озеро, чтобы давление на 50 % превысило давление на поверхности?

7. Частица с массой m и скоростью v падает на поверхность под углом 30°, как показано на рисунке. Она отскакивает с той же скоростью также под углом 30°. Насколько изменится импульс частицы?



8. Полная масса воздушного шара объемом 110 м^3 равна 50 кг. Он привязан к земле веревкой.
   а) С какой силой натянута веревка, если она вертикальна?
   б) Как изменится сила натяжения, если под действием ветра веревка на 30° отклонится от вертикали? (Подъемную силу считайте неизменной.)

9. Под водой тело весит 200 Н. Его нормальный вес 300 Н. Каковы плотность и объем этого тела?

10. Свинцовый брусок плотностью 11,5 г/см^3 плавает на поверхности жидкой ртути (плотность ртути 13,6 г/см^3).
   а) Какая часть бруска погружена в ртуть?
   б) Если масса бруска 2 кг, то какую силу нужно приложить, чтобы полностью погрузить его в ртуть?

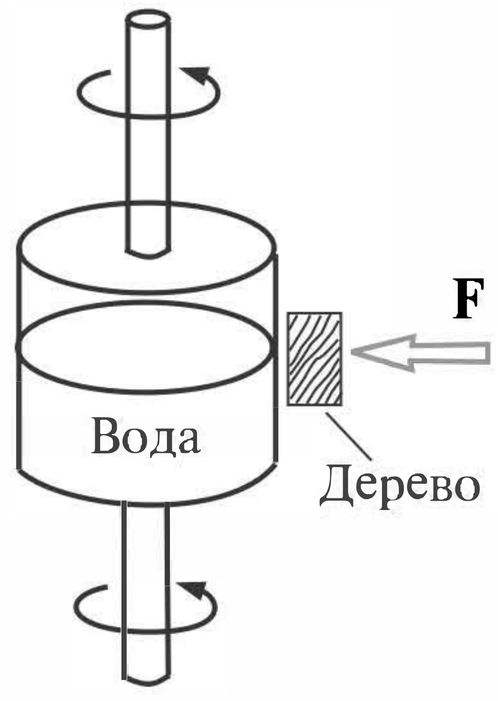
11. Кусок дерева плотностью 0,8 г/см^3 плавает в жидкости, плотность которой равна 1,2 г/см^3. Полный объем куска дерева 36 см^3. Вычислите
   а) массу дерева;
   б) массу вытесненной жидкости;
   в) объем дерева, находящегося над поверхностью жидкости.

12. Некто желает сбросить свой лишний вес с помощью диеты. Он уменьшает рацион таким образом, чтобы необходимые ему ежедневно 1000 ккал поступали лишь за счет жировых отложений. Какой вес он потеряет за неделю?

13. Тучный человек, чтобы похудеть, ежедневно в течение 1 ч занимается физическими упражнениями, во время которых он затрачивает дополнительную мощность 400 Вт. Если его диета не изменилась, то какой вес он потеряет за неделю?

14. Студент в течение 10 мин пользуется душем, расходующим 15 л горячей воды в минуту. Температура горячей воды 60 °С, а холодной 20 °С. Чему равен (в джоулях) полный расход тепловой энергии при пользовании душем? Если киловатт энергии стоит 10 центов, то какова стоимость душа? Чему равна (в ваттах) скорость расхода тепловой энергии?

15. В тонкостенном медном цилиндрическом сосуде радиусом 1 см содержится 100 см^3 воды. Сосуд вращается со скоростью 2 об/с. К его медной стенке с силой 10 Н прижимается деревянный брусок, как показано на рисунке. Предполагая, что все тепло передается воде, вычислите, на сколько градусов возрастет температура воды через 2 мин.



16. Насколько возрастает температура воды у подножия 50-метрового водопада?

17. Перепад высот на длине потока 2 км составляет 200 м. Насколько возрастает температура потока, если считать, что он не обменивается теплом с окружающей средой?

18. а) Небольшие твердые диски сталкиваются между собой внутри сосуда. Пусть поверхностное трение дисков не равно нулю. Каким будет отношение средних вращательной и поступательной энергий?

б) Эти же диски парят на тонкой воздушной подушке и сталкиваются между собой. Каким будет теперь отношение средних вращательной и поступательной энергий?

19. В ящике объемом V имеется N частиц, причем средняя кинетическая энергия одной частицы равна ε. Найдите следующие величины, записав ответ через V, N, ε и k:

а) полную кинетическую энергию системы;

б) температуру;

в) давление системы.

Что произойдет с давлением и температурой, если удвоить объем системы, соединив ящик с другим пустым ящиком такого же объема?

20. В сосуде определенного объема находится идеальный газ при 0 °C и давлении 1 атм.

а) Какой станет температура, если средняя скорость каждой молекулы удвоится?

б) Каким при этом будет давление?

в) Если объем сосуда 1 л, то сколько в нем молекул?

21. В сосуде с идеальным газом содержится N молекул. Удвоим в сосуде число молекул, сохраняя неизменной полную кинетическую или тепловую энергию газа (полная энергия нового количества газа равна полной энергии исходного его количества). Чему равно отношение

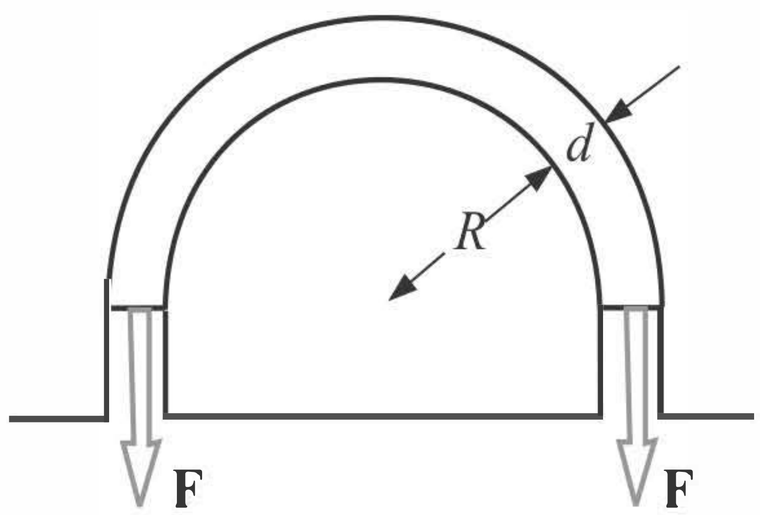
а) нового давления к первоначальному;

б) новой температуры к первоначальной?

22. Оцените давление и температуру в центре Юпитера. Его масса $1{,}9 \cdot 10^{27}$ кг, радиус $7{,}2 \cdot 10^4$ км.

Задачи

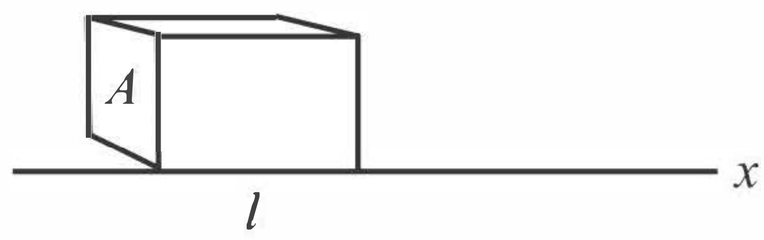
23. Требуется спроектировать строение, предназначенное для поверхности Луны и способное поддерживать внутри давление воздуха 0,5 атм. Его крыша представляет собой цилиндрическую поверхность радиусом 2 м (см. рисунок). Чему равна приходящаяся на единицу длины сила F, с которой придется удерживать крышу? Если стены и крыша будут изготовлены из материала с прочностью на разрыв $2 \cdot 10^9$ Н/м^2, то какова минимально допустимая их толщина d? (Прочность на разрыв характеризует максимальное значение силы, приходящейся на единицу поверхности, при которой стержень из данного материала еще не разрушается.)



24. Стальной цилиндрический баллон для газа имеет диаметр 0,5 м. Какой должна быть толщина его стенок, если он предназначен для давлений до 150 атм? Для стали прочность на разрыв равна $1 \cdot 10^9$ Н/м^2. (*Указание:* см. задачу 23.)

25. Сфера радиусом R должна выдерживать внутреннее давление P. Стенки сделаны из материала с прочностью на разрыв S. Как выражается через R, P и S минимальная толщина стенок d? (*Указание:* см. задачу 24.)

26. Рассмотрим фотон в объеме $V = Al$ (см. рисунок). Пусть фотон движется параллельно оси x, а стенки объема идеально отражающие. Энергия фотона равна E, а импульс $p = E/c$.



а) Какой импульс получает стенка при отражении от нее фотона?
б) Чему равно среднее давление на стенку, обусловленное отражениями фотона?
в) Предположим, что имеется N фотонов, каждый с энергией E, так что параллельно каждой из осей движется $N/3$ фотонов. Как выражается произведение PV через N и E?

27. Предположим, что плотность земной атмосферы пропорциональна давлению, т. е. $\rho/\rho_0 = P/P_0$, где ρ_0 и P_0 — соответственно плотность и давление на поверхности Земли. Тогда в соответствии с (12-2) приращение давления при увеличении высоты на dh будет равно $dP = -\rho g\, dh$.
а) Докажите, что давление $P(h) = P_0 \exp(-h/h_0)$, где $P_0 = \rho_0 g h_0$.
б) На какой высоте давление воздуха равно $P_0/2$?
в) Чему равно давление на вершине Эвереста (высота 8,8 км)?

28. Предположите, что все частицы в ящике на рис. 12-8 являются ультрарелятивистскими. Это означает, что их импульс $p \approx E/c$, где E — энергия частицы. Используя соотношение $\overline{p_x v_x} = \overline{pv}/3$, докажите, что $PV = E_t/3$, где E_t — полная энергия частиц, находящихся в ящике. Чем отличается это выражение от соответствующего нерелятивистского соотношения, в которое вместо E_t входит полная кинетическая энергия частиц в ящике?

29. Докажите, что в релятивистском случае выражение (12-7) принимает вид

$$PV = \frac{N}{3}\overline{pv}.$$

30. Мегатонная бомба взрывается в подземной полости диаметром 200 м.
а) Каким будет давление в полости, если при взрыве мегатонной бомбы выделяется $4 \cdot 10^{15}$ Дж?
б) Полость прорвется наружу, если давление в ней окажется выше давления окружающей породы. Если плотность породы $3 \cdot 10^3$ кг/м^3, то на какой глубине должна находиться эта полость?

31. Найдите численное соотношение между радиусом R полости, описанной в предыдущей задаче, и глубиной ее положения под землей y.

32. Пусть имеется звезда радиусом R, состоящая из N атомов водорода массой m_H каждый. Предположим, что плотность звезды однородна.
а) Выразите через m_H, N, R и G давление в ее центре.
б) Выразите через m_H, N, R и G температуру в ее центре.

33. Как убывает плотность атмосферы с высотой h? Считая температуру атмосферы постоянной, выведите формулу

$$\rho = \rho_0 \exp\left(-\frac{mgh}{kT}\right).$$

13

Термодинамика

В данной главе мы будем иметь дело с макроскопическими величинами, такими как давление, объем, температура, тепло и энергия. В качестве практического приложения мы рассмотрим бензиновые двигатели и их коэффициент полезного действия (КПД).

§ 1. Первый закон термодинамики

Первый закон термодинамики — это лишь иная формулировка закона сохранения энергии. После введения понятий внутренней, или тепловой, энергии мы можем всю энергию тела считать состоящей из двух частей: макроскопической и микроскопической. Макроскопическая энергия представляет собой энергию движения массы тела как целого — это то, что мы называем механической энергией, а микроскопическая энергия включает в себя «скрытую» энергию частиц, т. е. внутреннюю энергию. Если два тела или системы с разными температурами привести в соприкосновение, то возникает поток тепла ΔQ от более горячего тела к более холодному. Согласно закону сохранения энергии, поступившее в систему тепло должно быть равно сумме приращения внутренней энергии системы и работы, совершенной системой над внешними предметами:

Поступившее в систему тепло =
= Приращение внутренней энергии +
+ Совершенная системой работа,

или

$$\Delta Q = \Delta U + \Delta W \ (\textit{первый закон термодинамики}). \qquad (13\text{-}1)$$

Этот закон справедлив и в обратном направлении: если над системой совершается работа, то тепло может отбираться от системы, однако в этом случае величины ΔW и ΔQ будут отрицательны. Следует заметить, что имеется некоторая непоследовательность в обозначениях: ΔQ и ΔU характеризуют изменения, происходящие в системе, тогда как ΔW — это не работа, совершаемая над системой, а работа, совершаемая *самой* системой. Возможно, было бы легче запомнить ΔW как работу, совершаемую над системой, но нам важно строго придерживаться общепринятых определений и обозначений. Нередко формулу (13-1) записывают в виде

$$dU = dQ - dW. \qquad (13\text{-}2)$$

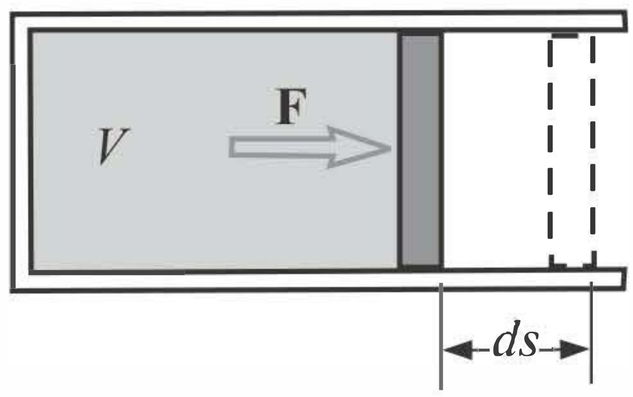


Рис. 13-1. Газ давит на поршень с силой **F**. При перемещении поршня на ds газ совершает работу $F\,ds$

Если изучаемая система представляет собой газ в цилиндре, толкающий пор-

шень с силой **F** (рис. 13-1), то производимая газом работа дается выражением

$$dW = F\,ds = \frac{F}{A}(A\,ds) = P\,dV.$$

Таким образом,

$$dU = dQ - P\,dV. \qquad (13\text{-}3)$$

§ 2. Гипотеза Авогадро

В термодинамике широко используют моли и число Авогадро. В настоящем параграфе мы дадим определения этих величин.

Моль

Моль — это стандартизованное количество любого вещества, находящегося в газообразном, жидком или твердом состоянии. Особенно часто этим понятием пользуются химики. **Моль химического элемента или соединения определяется как такое количество этого вещества, масса которого в граммах численно равна его молекулярной массе:**

1 моль ≡ Количество грамм вещества, равное его молекулярной массе (*определение моля*).

Молекулярная масса соединения представляет собой сумму атомных масс образующих его элементов. Таблица атомных масс приведена на с. 157, том 2. Атомная масса изотопа углерода ^{12}C принимается равной 12. При этом атомная масса водорода оказывается равной 1,008. Это означает, что отношение масс записывается в виде

$$\frac{M(^1\mathrm{H})}{M(^{12}\mathrm{C})} = \frac{1{,}008}{12}.$$

Следовательно, масса 1 моля ^{12}C равна 12 г, а масса одного моля газообразного водорода ($^1H_2$) равна (2·1,008) г = 2,016 г.

Число Авогадро

В последующих главах мы познакомимся с экспериментальными методами, позволяющими измерять массы элементарных частиц, таких как протон и электрон. В частности, масса атома водорода $m_H = 1{,}673\cdot10^{-24}$ г. Пусть N_0 — число атомов водорода в одном моле атомарного водорода ($M = 1{,}008$ г). Тогда

$$N_0 = \frac{M \text{ г/моль}}{m_H \text{ г/атом}} = \frac{1{,}008 \text{ г/моль}}{1{,}673\cdot10^{-24} \text{ г/атом}} = 6{,}02\cdot10^{23} \text{ атом/моль}.$$

Это число называется числом Авогадро и представляет собой число молекул любого химического соединения в одном моле этого соединения.

Пример 1. Какой объем занимает 1 моль идеального газа при атмосферном давлении и температуре $T = 273$ К (0 °С)?

Решение: Подставим в уравнение (12-5) $N = N_0$ и решим его относительно V:

$$V = \frac{N_0 kT}{P_0} = \frac{(6{,}02\cdot10^{23})(1{,}38\cdot10^{-23})(273)}{(1{,}01\cdot10^{5})}\ \text{м}^3 = 2{,}24\cdot10^{-2}\ \text{м}^3 = 22{,}4\ \text{л}$$

$(1\ \text{л} = 10^{-3}\ \text{м}^3 = 10^3\ \text{см}^3)$.

В 1811 г. Авогадро высказал предположение, что любые два газа при одинаковых температуре, давлении и объеме содержат одно и то же число частиц. Эта гипотеза была названа (и до сих пор называется) гипотезой Авогадро. С помощью формулы (12-5) находим

$$N_1 = \frac{P_1V_1}{kT_1} \text{ и } N_2 = \frac{P_2V_2}{kT_2}.$$

Таким образом, если $P_1 = P_2$, $V_1 = V_2$ и $T_1 = T_2$, то $N_1 = N_2$. Тем самым мы убеждаемся, что гипотеза Авогадро является прямым следствием уравнения состояния идеального газа.

Для одного моля газа уравнение состояния идеального газа записывается в виде

$PV = N_0kT$ (*для 1 моля идеального газа*).

Произведение N_0k принято называть газовой постоянной R:

$$R \equiv N_0k = (6{,}02\cdot10^{23})(1{,}38\cdot10^{-23}) = \\ = 8{,}31 \text{ Дж/(моль·К)} = \\ = 1{,}99 \text{ кал/(моль·К)}.$$

§ 3. Удельная теплоемкость

Удельной теплоемкостью называется величина dQ/dT, отнесенная к единице массы вещества. Молярная теплоемкость газа представляет собой количество тепла, необходимое для увеличения температуры 1 моля газа на 1 град.

Теплоемкость при постоянном объеме

Молярную теплоемкость газа при постоянном объеме принято обозначать символом C_v. Подставив в уравнение (13-3) $dV = 0$, получим $dQ = dU$. Следовательно,

$$C_v = \frac{dU}{dT}.$$

Из формулы (12-12) следует, что для 1 моля одноатомного идеального газа $U = 3N_0kT/2$. Поэтому $dU/dT = 3N_0k/2$, и мы имеем

$$C_v = \frac{3}{2}R = 3 \text{ кал/(моль·К)}.$$

Поскольку двухатомные молекулы сходны с гантелями, они должны иметь три дополнительные вращательные степени свободы. Таким образом, $U = 3N_0kT$, а $C_v = 3R$, т. е. величина C_v в два раза больше, чем у одноатомного газа. Однако для 1 моля двухатомного газа при комнатной температуре измерения дают $C_v \approx 5R/2$. Это можно было бы объяснить отсутствием одной из вращательных степеней свободы. При изучении квантовой механики мы убедимся, что в тех случаях, когда атомы в двухатомной молекуле находятся в своих основных состояниях, их момент импульса относительно любой оси должен быть равен нулю. Аналогичная ситуация соответствует классической модели гладких гантелей. С другой стороны, многоатомные молекулы обнаруживают все три предсказываемые вращательные степени свободы. В случае многоатомных молекул $C_v = 3R$.

Другая трудность классической механики связана с тем, что предсказываемая ею теплоемкость не должна зависеть от T. Однако у всех одноатомных газов C_v увеличивается с ростом температуры. На рис. 13-2 показана зависимость удельной теплоемкости водорода H_2 от температуры. При температурах ниже 100 К теплоемкость $C_v \approx 3R/2$, что свидетельствует об отсутствии вращательных степеней свободы при столь низких температурах. Чтобы объяснить, почему столкновения между медленными молекулами H_2 не приводят к вращательному движению, снова приходится обращаться к квантовой механике. В гл. 26 (т. 2), посвященной квантовой механике, мы покажем, что если молекула должна обладать моментом импульса, то он не может быть меньше $L_{\text{мин.}} = h/2\pi \approx 10^{-34}$ кг·м^2·с$^{-1}$, где h — постоянная Планка. Из (10-21) следует, что соответствующая кинетическая энергия вращения равна

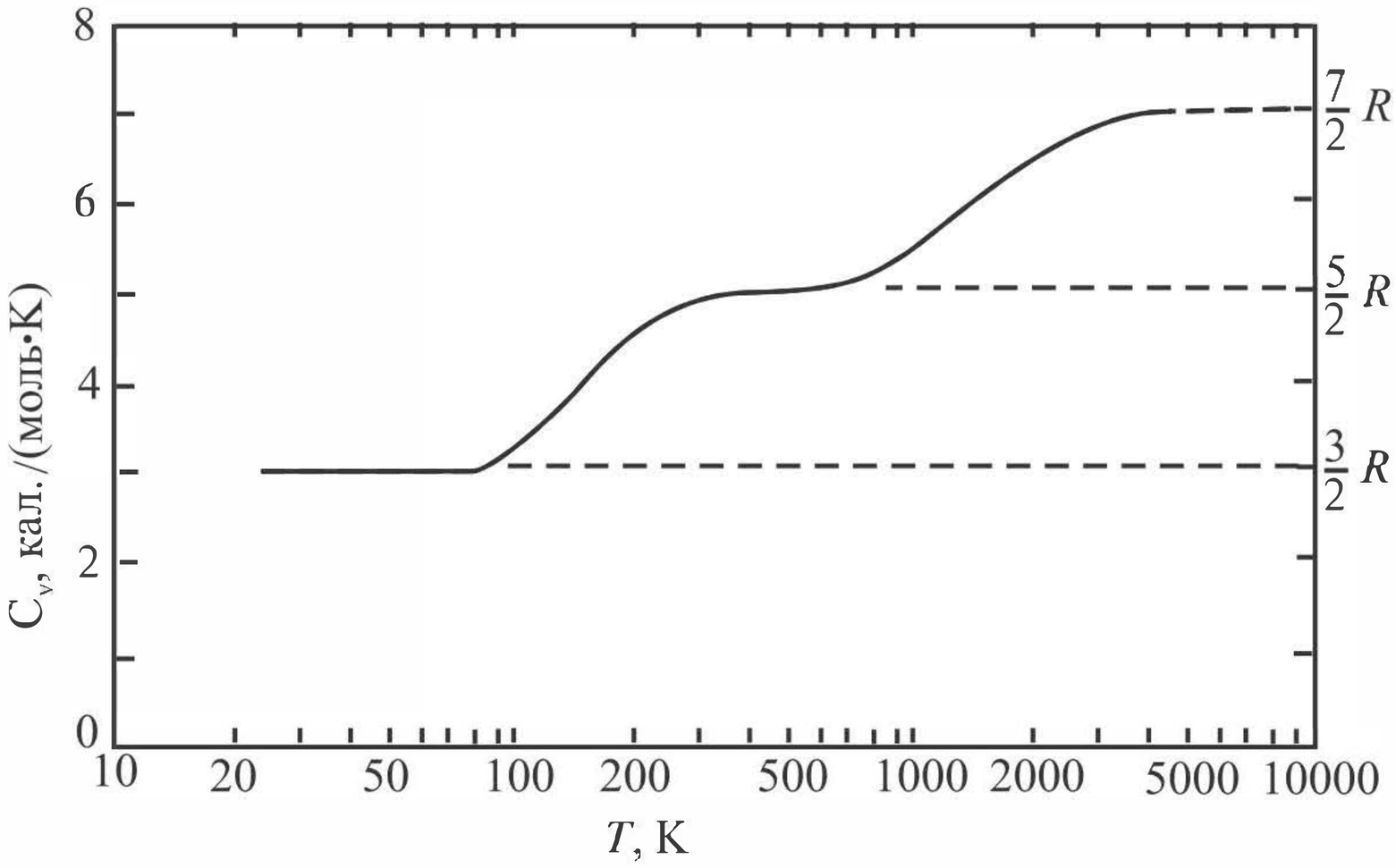


Рис. 13-2. Молярная теплоемкость газообразного водорода при постоянном объеме как функция температуры T

$(K_{\text{вр.}})_{\text{мин.}} = (1/2)L^2_{\text{мин.}}/I$, где I — момент инерции молекулы. Если $kT/2$ меньше этой величины, то энергия соударения обычно оказывается недостаточной для возбуждения вращательного движения.

Пример 2. При какой температуре значение $kT/2$ становится равно минимальной вращательной энергии молекулы водорода?

Решение: Если

$$kT/2 = L^2_{\text{мин.}}/2I,$$

то

$$T = L^2_{\text{мин.}}/kI; \qquad (13\text{-}4)$$

здесь $I = 2m\overline{R^2}$ — момент инерции. Молекула H_2 имеет $m = 1{,}67\cdot10^{-27}$ кг и $R \approx 5\cdot10^{-11}$ м. Тогда $I = 2(1{,}67\cdot10^{-27})(5\cdot10^{-11})^2 = 8{,}3\ 10^{-48}$ кг·м^2. Подставляя эту величину в (13-4), находим

$$T = \frac{\left(10^{-34}\right)^2}{\left(1{,}38\cdot10^{-23}\right)\left(8{,}3\cdot10^{-48}\right)} = 87\ \text{К}.$$

Из этого примера понятно, почему C_v водорода H_2 начинает увеличиваться вблизи температуры 100 К.

В случае с молекулой водорода при температурах свыше 2000 К теплоемкость C_v обнаруживает новое увеличение, на этот раз от ~$5R/2$ до ~$7R/2$. Этот результат свидетельствует о появлении еще двух степеней свободы. Рассмотрев малые колебания, проведенного в § 5 гл. 11, следует ожидать, что два атома водорода будут колебаться относительно друг друга с частотой, определяемой характером кривой потенциальной энергии их взаимодействия. Как показано в примере 6 гл. 11, частоты таких молекулярных колебаний располагаются обычно в инфракрасной области, т. е. имеют порядок 10^{14} Гц. В гл. 26 мы увидим, что колебательное движение также квантуется, причем его минимальная энергия $(E_{\text{кол.}})_{\text{мин.}} = hf$. При $f = 10^{14}$ Гц это соответствует $(E_{\text{кол.}})_{\text{мин.}} \approx 6\cdot10^{-20}$ Дж. Если средняя кинетическая энергия одной молекулы больше этой величины, то должно возбуждаться колебательное движение. Для этого нужно, чтобы

$$kT \approx 6\cdot10^{-20}\ \text{Дж}, \text{ или } T \approx 4\cdot10^3\ \text{К}.$$

Таким образом, при температурах выше ~4000 К из закона равнораспределения энергии следует, что приходящаяся на одну молекулу средняя кинетическая энергия колебательного движения $K_{\text{кол.}}$ будет составлять $kT/2$. Наряду с кинетической энергией должна существовать

Таблица 13-1

Молярные теплоемкости идеальных газов различных типов (вычисленные теоретически)

Тип газа	C_v	C_p	$C_p/C_v = \gamma$
Одноатомный	$(3/2)R$	$(5/2)R$	5/3
Двухатомный с вращательной степенью свободы	$(5/2)R$	$(7/2)R$	7/5
Двухатомный с вращательной и колебательной степенями свободы	$(7/2)R$	$(9/2)R$	9/7
Многоатомный с вращательной и колебательной степенями свободы	$(6/2)R$	$(8/2)R$	4/3

и потенциальная энергия колебаний. В § 4 гл. 11 показано, что средние кинетическая и потенциальная энергии колебательного движения равны друг другу. Поэтому средняя внутренняя энергия запишется в виде

$$U = \bar{K}_{\text{пост.}} + \bar{K}_{\text{вр.}} + \bar{K}_{\text{кол.}} + \bar{U}_{\text{кол.}},$$

причем

$$U = (3/2)kT + (2/2)kT + (1/2)kT + (1/2)kT \text{ (на 1 молекулу)},$$

$$U = (7/2)N_0kT = (7/2)RT \text{ (на 1 моль)},$$

а удельная теплоемкость

$$C_v = (7/2)R.$$

Полученные нами теоретические предсказания теплоемкостей различных газов приведены в первой колонке табл. 13-1. Они прекрасно согласуются с экспериментальными данными в табл. 13-2.

Таблица 13-2

Молярные теплоемкости при температуре 20 °С и давлении 1 атм

Вещество	C_v, кал/(моль·К)	C_p, кал/(моль·К)	C_p/C_v
Одноатомный газ			
He	2,98	4,97	1,67
Ar	2,98	4,97	1,67
Двухатомный газ			
H_2	4,88	6,87	1,41
N_2	4,96	6,95	1,40
Многоатомный газ			
CO_2	6,80	8,83	1,30
NH_3	6,65	8,80	1,31
Твердое тело*			
Al		5,82	
Cu		5,85	
Ag		6,09	

Таким образом, задолго до квантовой механики из измерений зависимости C_v от T была хорошо известна зависимость вращательных и колебательных степеней свободы от температуры. Естественно, что до появления квантовой механики столь «странное» поведение оставалось непонятным.

***Пример 3.** Какова молярная теплоемкость кристаллического твердого тела?

Решение: В твердом теле каждый атом «закреплен» в кристаллической решетке и может колебаться во всех трех направлениях со средней кинетической энергией $3kT/2$. Такую же величину имеет средняя потенциальная энергия колебаний, такчто внутренняя энергия $U = 6kT/2$ в расчете на один атом и $U = 3N_0kT$ на моль; следовательно, $C_v = 3R = 6$ кал/(моль·К)

* В случае с твердыми телами вследствие малости их коэффициентов расширения теплоемкости C_v и C_p оказываются примерно одинаковыми. — *Прим. ред.*

Теплоемкость при постоянном давлении

Если поддерживать давление газа постоянным, как показано на рис. 13-3, и одновременно нагревать его, то объем газа будет увеличиваться и часть тепла, равная $P\Delta V$, будет преобразовываться в механическую работу. В соответствии с (13-3) имеем

$$dQ = dU + P\,dV.$$



Рис. 13-3. Газ в цилиндре находится под постоянным давлением. При нагревании или охлаждении газа поршень может свободно перемещаться

Поскольку U является функцией лишь температуры, то $dU = C_v\,dT$ и

$$dQ = C_v\,dT + P\,dV. \qquad (13\text{-}5)$$

В случае с идеальным газом

$$dV = RT/P$$

и

$$dV = (R/P)\,dT.$$

Подставляя это соотношение в (13-5), получаем

$$dQ = C_v\,dT + P\,(R/P)\,dT.$$

Разделим обе части на dT:

$$\frac{dQ}{dT} = C_v + R.$$

По определению величина, стоящая слева, — это теплоемкость при постоянном давлении C_p. Следовательно,

$$C_p - C_v = R \text{ (}\textit{для идеального газа}\text{)}. \qquad (13\text{-}6)$$

Соотношение (13-6) хорошо подтверждается экспериментальными данными; некоторые из них приведены в табл. 13-2.

§ 4. Изотермическое расширение

Основой большинства тепловых машин является цилиндр с газом, одна из стенок которого представляет собой поршень (рис. 13-3). В качестве газа можно использовать, например, смесь углеводорода и воздуха. При воспламенении этой смеси давление возрастает и толкает поршень, который в свою очередь можно соединить с коленчатым валом, преобразующим механическую энергию $P\,dV$ в энергию вращения.

Вычислим механическую работу, совершаемую газом над внешней средой при движении поршня в процессе увеличения объема газа от V_1 до V_2. Мы рассмотрим два наиболее типичных случая: 1) изотермическое расширение (температура газа поддерживается постоянной) и 2) адиабатическое расширение (газ изолирован от окружающей среды).

Для осуществления изотермического расширения (рис. 13-4) температура стенок цилиндра должна поддерживаться постоянной, а поршень должен перемещаться столь медленно, чтобы газ все время оставался в состоянии теплового равновесия со стенками. Если газ будет расширяться слишком быстро, он при этом охладится, так как часть его внутренней энергии перейдет в механическую энергию $W = \int P\,dV$. Ясно, что для поддержания постоянной температуры газа при изотермическом расширении необходим приток тепла к расширяющемуся

газу от теплового резервуара, имеющего постоянную температуру. Этот приток тепла должен быть равен механической работе, совершаемой газом. Такое утверждение следует также и из первого закона термодинамики $dQ = dU + P\,dV$. Поскольку при изотермическом расширении $dU = 0$, мы имеем

$$dQ = P\,dV = dW,$$

$$\Delta Q = \Delta W = \int_{V_1}^{V_2} P\,dV.$$

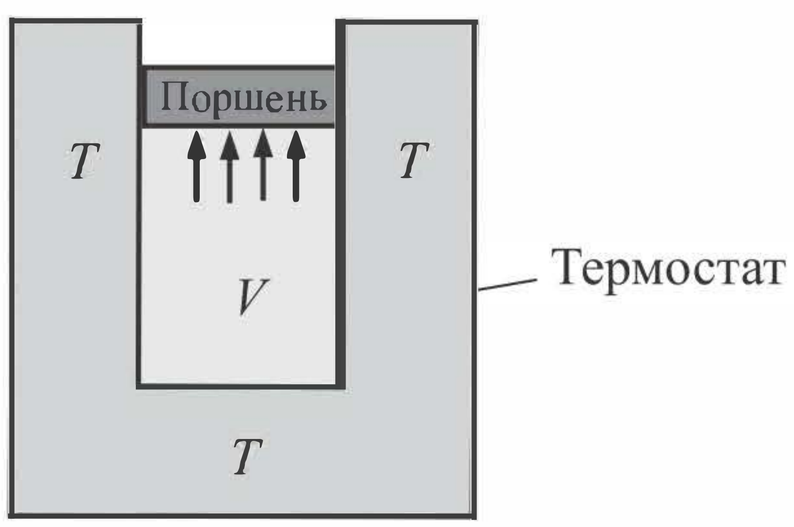


Рис. 13-4. Изотермическое расширение. Газ в цилиндре пребывает в состоянии теплового равновесия с термостатом

В случае с идеальным газом, подставляя в подынтегральное выражение соотношение $P = NkT/V$, находим

$$\Delta Q = \Delta W = \int \frac{NkT}{V}\,dV = NkT \int \frac{dV}{V},$$

$$\Delta Q = \Delta W = NkT \ln (V_2/V_1)\ (\textit{изотермическое расширение идеального газа}). \qquad (13\text{-}7)$$

§ 5. Адиабатическое расширение

Естественно, что если быстро увеличивать объем находящегося под давлением газа, то времени для установления теплового равновесия газа со стенками цилиндра будет недостаточно; однако (если только расширение не происходит чрезмерно быстро) сам газ будет термодинамически равновесным. Именно так и происходит расширение в большинстве тепловых машин, когда времени для передачи тепла от стенок цилиндра к газу недостаточно, благодаря чему в уравнении $dQ = dU + P\,dV$ можно положить $dQ = 0$:

$$dU + P\,dV = 0.$$

Подставив вместо dU величину $C_v\,dT$, получим

$$C_v\,dT + P\,dV = 0 \text{ (на моль)}. \qquad (13\text{-}8)$$

Продифференцируем уравнение $RT = PV$:

$$R\,dT = P\,dV + V\,dP.$$

Найдем отсюда выражение для dT и подставим его в (13-8):

$$C_v = \left(\frac{P\,dV}{R} + \frac{V\,dP}{R}\right) + P\,dV = 0,$$

$$\left(\frac{C_v + R}{R}\right) P\,dV + \frac{C_v V}{R} dP = 0.$$

Теперь можно воспользоваться формулой (13-6), чтобы заменить $C_v + R$ на C_p:

$$C_p P\,dV + C_v V\,dP = 0,$$

$$\gamma \frac{dV}{V} + \frac{dP}{P} = 0, \text{ где } \gamma \equiv C_p/C_v.$$

Интегрируя это уравнение,

$$\gamma \int \frac{dV}{V} + \int \frac{dP}{P} = 0,$$

находим

$$\gamma \ln V + \ln P = \ln K,$$

где $\ln K$ — постоянная интегрирования. Таким образом, имеем

$$\ln\left(PV^{\gamma}\right) = \ln K,$$

откуда

$$PV^{\gamma} = K.$$

Мы показали, что при адиабатическом расширении идеального газа произведение PV^{γ} должно оставаться постоянным, т. е.

$$P_1 V_1^{\gamma} = P_2 V_2^{\gamma} \text{ (}\textit{адиабатическое расширение идеального газа}\text{).} \quad (13\text{-}9)$$

Полезно построить графики зависимостей давления от объема фиксированного количества газа. На рис. 13-5 представлены такие графики для случаев с изотермическим и адиабатическим расширениями, когда объем изменился от V_1 до V_2. Для адиабаты $P \sim 1/V^{\gamma}$, причем γ всегда больше единицы, поэтому P убывает быстрее, чем $1/V$, и адиабата идет ниже изотермы.

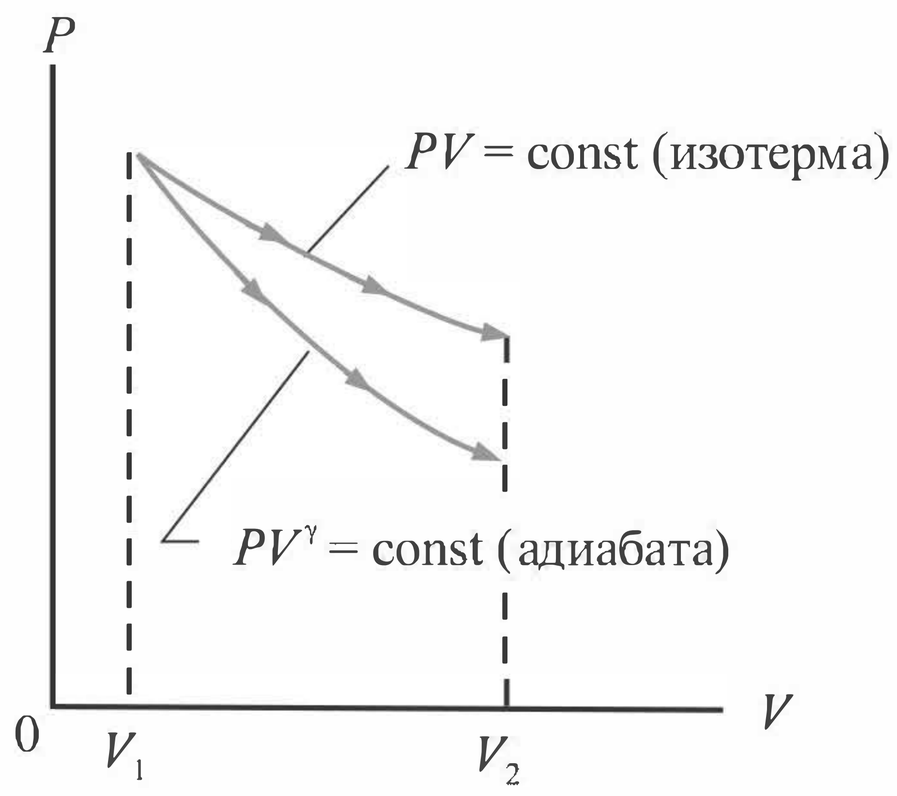


Рис. 13-5. Сравнение изотермического и адиабатического расширения при одинаковых начальных условиях

При изотермическом расширении, как мы видели, тепло преобразуется в механическую работу. Действительно, в соответствии с (13-7) количество работы, совершаемой при увеличении объема 1 моля идеального газа от V_1 до V_2, дается выражением

$$\Delta W = RT \ln (V_2/V_1) \text{ (}\textit{изотермическое расширение 1 моля}\text{).} \quad (13\text{-}10)$$

При адиабатическом расширении часть внутренней энергии газа преобразуется в механическую работу. Если объем 1 моля газа увеличивается от V_1 до V_2, то совершаемая им работа

$$\Delta W = \int_{V_1}^{V_2} P\,dV. \quad (13\text{-}11)$$

На рис. 13-6 она соответствует затемненной площади под кривой. Поскольку $PV^{\gamma} = P_1 V_1^{\gamma}$, мы можем написать

$$P = \left(P_1 V_1^{\gamma}\right) V^{-\gamma}.$$

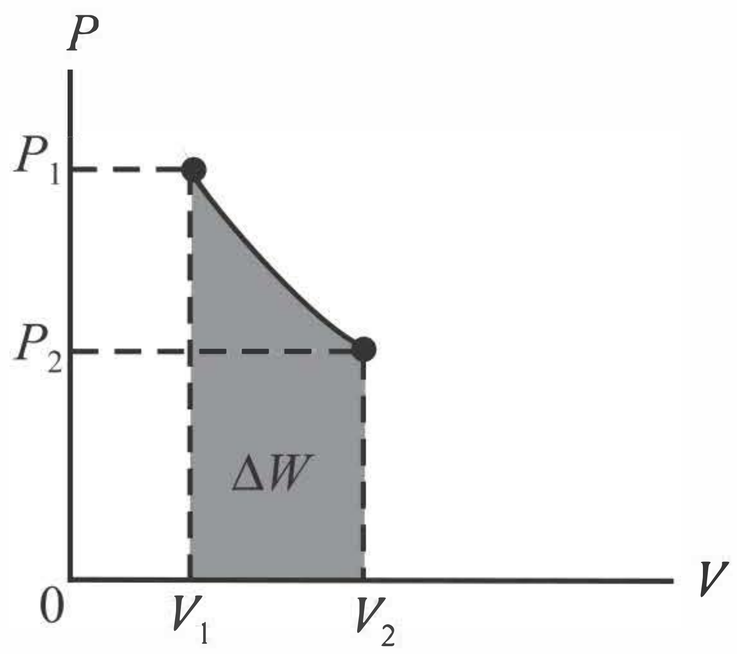


Рис. 13-6. Затемненная область представляет собой работу, совершаемую газом при адиабатическом расширении от объема V_1 до V_2

Подстановка этого выражения для P в (13-11) дает

$$\Delta W = \int_{V_1}^{V_2} \left[\left(P_1 V_1^{\gamma}\right) V^{-\gamma}\right] dV =$$

$$= P_1 V_1^{\gamma} \left[\frac{1}{-\gamma+1} V^{-\gamma+1}\right]_{V_1}^{V_2},$$

$$\Delta W = \frac{P_1 V_1^{\gamma}}{\gamma - 1}\left[\frac{1}{V_1^{\gamma}} - \frac{1}{V_2^{\gamma}}\right],$$

$$\Delta W = \frac{P_1 V_1^{\gamma}}{\gamma - 1}\left[1 - \left(\frac{V_1}{V_2}\right)^{\gamma-1}\right]$$ (*адиабатическое расширение идеального газа*). (13-12)

Пример 4. Степень сжатия (отношение максимального и минимального объемов) бензинового двигателя равна 8, т. е. $V_2/V_1 = 8$. Найдите отношение температуры выхлопа к температуре горения.

Решение: Будем считать, что происходит адиабатическое расширение идеального газа. Тогда

$$P_2 V_2^{\gamma} = P_1 V_1^{\gamma},$$

$$P_2 / P_1 = (V_1 / V_2)^{\gamma}.$$

Согласно уравнению состояния идеального газа, находим

$$P_2/P_1 = V_1 T_2 / V_2 T_1.$$

Приравнивая это отношение к $(V_1/V_2)^{\gamma}$, получаем

$$T_2 / T_1 = (V_1 / V_2)^{\gamma-1}.$$ (13-13)

Будем считать, что газ в основном состоит из воздуха, т. е. представляет собой двухатомный газ, поэтому из табл. 13-1 находим $\gamma = 1{,}4$. Следовательно,
$T_2/T_1 = (1/8)^{0{,}4} = 0{,}435$.

Пример 5. Одноцилиндровый двигатель мотоцикла объемом 200 см^3 имеет степень сжатия 6. Какую мощность он развивает при работе на частоте 3000 об/мин (50 Гц)? Предположим, что происходит адиабатическое расширение идеального газа и $P_1 = 20$ атм $\approx$ $\approx 2 \cdot 10^6$ Н/м^2.

Решение: С помощью (13-12) находим

$$\Delta W = \frac{\left(2 \cdot 10^6 \text{ Н/м}^2\right)\left(200 \cdot 10^{-6} \text{ м}^3\right)}{1{,}4 - 1}\left[1 - \left(\frac{1}{6}\right)^{0{,}4}\right] = 511 \text{ Дж}.$$

Эта работа совершается за время $\Delta t = 10^{-2}$ с. Поэтому мощность, развиваемая в процессе расширения газа,

$$P = \frac{\Delta W}{\Delta t} = \frac{511}{0{,}01} = 5{,}1 \cdot 10^4 \text{ Вт} = 68 \text{ л. с.}$$

Если не производить работу по сжатию газа, то средняя мощность составит 34 л. с. Однако, как будет показано в следующем разделе, часть мощности расходуется на сжатие новой холодной порции воздушно-бензиновой смеси. Таким образом, окончательная средняя мощность может быть порядка 10 л. с.

Мы видим, что с помощью такой простой теории можно предсказывать характеристики конкретных двигателей. Теперь мы не только знаем, какие параметры следует изменять, чтобы увеличить отдаваемую мощность, но и почему нужно изменять эти параметры. Такое представление необходимо инженерам, занимающимся поисками путей усовершенствования двигателей.

Сжатие газа

Как изотермическое, так и адиабатическое расширение газа — это обратимый процесс. Поэтому если заснять на кинопленку расширение газа, а затем пустить пленку в обратном направлении, то с точки зрения физики развитие событий на экране будет выглядеть вполне разумным. Ясно, что если давить на поршень, то над газом совершается работа, и в случае адиабатического сжатия это приращение энергии проявляется в росте температуры. Соотношения (13-7)–(13-13) справедливы независимо от того, происходит ли сжатие или расширение.

§ 6. Бензиновый двигатель

В данном параграфе мы изучим работу и КПД обычного четырехтактного бензи-

нового автомобильного двигателя. Четырехтактным он называется в связи с тем, что в течение каждого полного цикла поршень дважды находится в крайнем нижнем и дважды в крайнем верхнем положениях. На рис. 13-7 изображены различные стадии одного цикла:

a сжатая воздушно-горючая смесь поджигается свечой зажигания;

$a \to b$ после воспламенения давление резко возрастает;

c адиабатическое расширение закончено, и открывается выпускной клапан;

$c \to d$ нагретый сжатый газ быстро вытекает через выпускной клапан;

e поршень выталкивает остатки отработанной смеси, выпускной клапан закрывается, а впускной открывается;

f свежая порция воздушно-горючей смеси наполняет цилиндр, и впускной клапан закрывается;

$f \to a$ свежая порция смеси сжимается адиабатически.

При сжигании воздушно-бензиновой смеси выделяется 7,4 ккал тепловой энергии на грамм горючего. Важно знать, какая доля этой энергии преобразуется в полезную механическую энергию. Эта доля называется коэффициентом полезного действия (КПД) ε двигателя:

$$\varepsilon \equiv \frac{\Delta W}{\Delta Q_{ab}},$$

где ΔW — полная механическая работа, совершаемая двигателем за один цикл; а ΔQ_{ab} — теплота сгорания топлива, по-

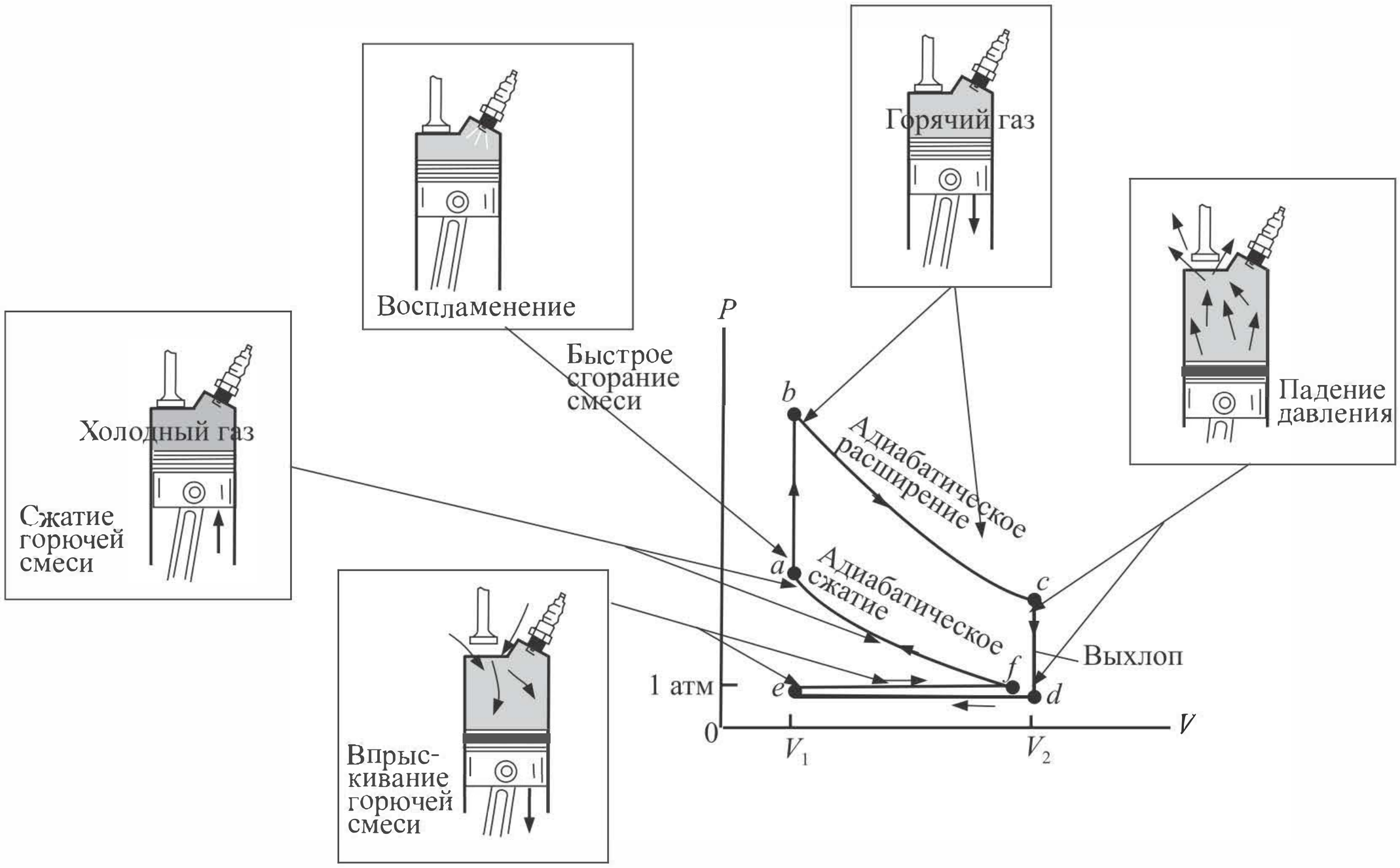


Рис. 13-7. *PV*-диаграмма цикла Отто (четырехтактного бензинового двигателя). На вставках показаны положения поршня и впускного, и выпускного клапанов

требляемого за один цикл. Используя выражение (13-12), запишем полную работу в виде

$$\Delta W = \frac{P_b V_1^{\gamma}}{\gamma - 1}\left[1 - \left(\frac{V_1}{V_2}\right)^{\gamma-1}\right] - \frac{P_a V_1^{\gamma}}{\gamma - 1}\left[1 - \left(\frac{V_1}{V_2}\right)^{\gamma-1}\right] = \frac{(P_b - P_a)V_1^{\gamma}}{\gamma - 1}\left[1 - \left(\frac{V_1}{V_2}\right)^{\gamma-1}\right].$$

Для каждого моля газа $(P_b - P_a)V_1 = R(T_b - T_a)$, поэтому

$$\Delta W = \frac{R(T_b - T_a)}{(C_p - C_v)/C_v}\left[1 - \left(\frac{V_1}{V_2}\right)^{\gamma-1}\right],$$

$$\Delta W = C_v(T_b - T_a)\left[1 - \left(\frac{V_1}{V_2}\right)^{\gamma-1}\right]; \qquad (13\text{-}14)$$

здесь мы использовали соотношение $R = (C_p - C_v)$, вытекающее из (13-6). Тепло, затрачиваемое на нагрев моля газа от температуры T_a до T_b, равно

$$\Delta Q_{ab} = C_u (T_b - T_a).$$

Разделив выражение (13-14) на эту величину, получим КПД:

$$\varepsilon = 1 - \left(\frac{V_1}{V_2}\right)^{\gamma-1}. \qquad (13\text{-}15)$$

Пример 6. Вычислите КПД бензинового двигателя, имеющего степень сжатия 8.

Решение: Подставляя в (13-15) $V_1/V_2 = 1/8$ и $\gamma = 1{,}4$, находим теоретическое значение КПД:

$$\varepsilon = 1 - (1/8)^{0{,}4} = 0{,}56.$$

Необходимо подчеркнуть, что полученное в этом примере значение 56 % представляет собой *теоретический* верхний предел. КПД существующих бензиновых двигателей, как правило, не превышает половины этого значения. Тому существует несколько причин. Горючее сгорает не полностью. Стенки цилиндра охлаждаются, следовательно, часть тепла уходит в систему охлаждения. Кроме того, существует трение и турбулентность. КПД обогревательных систем, в которых сжигается бензин или мазут, а выделенное тепло идет на нагрев здания, может достигать почти 100 %, но двигатели внутреннего сгорания имеют КПД преобразования энергии топлива в механическую энергию лишь ~25 %. Большая часть энергии расходуется на нагрев окружающей среды.

Основные выводы

Первый закон термодинамики — это случай закона сохранения энергии, учитывающий внутреннюю энергию системы. Согласно ему, $\Delta Q = \Delta U + \Delta W$, где ΔQ — тепло, поступающее в систему, ΔU — приращение внутренней энергии системы и ΔW — работа, совершаемая системой. Для газа, приводящего в движение поршень, $dW = P\,dV$.

Один моль вещества — это молекулярная масса вещества, выраженная в граммах. Один моль любого химического соединения содержит $N_0 = 6{,}02 \cdot 10^{23}$ молекул (число Авогадро).

Теплоемкость определяется как dQ/dT, где dQ — приток тепла к веществу. C_v — молярная теплоемкость (теплоемкость одного моля вещества) при постоянном объеме, а C_p — молярная теплоемкость при постоянном давлении. В случае с идеальным газом $C_p - C_v = N_0 k \equiv R = 1{,}99$ кал/К. Для одноатомного газа

$C_v = 3R/2$, а для двухатомного $C_v = 5R/2$. Согласно квантовой механике, при очень низких температурах двухатомные молекулы не могут ни вращаться, ни колебаться; следовательно, C_v является функцией температуры.

Если идеальный газ расширяется при постоянной температуре, то он получает количество тепла

$$\Delta Q = NkT \ln (V_2/V_1) \text{ (}\textit{изотермическое расширение}\text{)}.$$

Если тот же газ расширяется без притока тепла извне или отдачи наружу, то имеет место следующее равенство:

$$P_1 V_1^{\gamma} = P_2 V_2^{\gamma} \text{ (}\textit{адиабатическое расширение}\text{)},$$

где $\gamma \equiv C_p / C_v$.

Упражнения

1. Воздушный шар диаметром 20 см находится под водой на глубине 10 м. Затем он погружается еще глубже, и его диаметр становится 19,8 см. Используя определение, данное после формулы (13-1), найдите, чему равно ΔW. Положительна эта величина или отрицательна?
2. Если в предыдущем упражнении внутренняя энергия шара при погружении увеличилась на 10 Дж, то каким был приток тепла ΔQ?
3. Сколько молекул содержится в одном грамме
   а) газообразного водорода;
   б) воды;
   в) глюкозы ($C_6H_{12}O_6$)?
4. а) Хороший вакуумный насос может откачать газ из 10-литрового сосуда до давления 10^{-12} атм. Сколько при этом в сосуде останется молекул, если температура равна комнатной?
   б) Литр неизвестного газа при 0 °C и давлении 1 атм имеет массу 0,0894 г. Какой это газ?
5. Наилучший достигнутый вакуум в земных условиях соответствует давлению около 10^{-14} см рт. ст. Сколько молекул остается в 1 см^3 такого «вакуума» при температуре 300 К? Вакуум межзвездного пространства отвечает примерно одному протону в одном кубическом сантиметре.
6. Атомная масса кислорода равна 16. В 8-литровом сосуде находится 8 г кислорода под давлением 1 атм.
   а) Сколько молей O_2 находится в сосуде?
   б) Сколько молекул O_2 в сосуде?
   в) Каковы температура и полная кинетическая энергия молекул в сосуде?
7. Найдите удельную теплоемкость гелия, водорода и азота при постоянном объеме.
8. Сравните минимальные вращательную и колебательную энергии молекулы H_2, допускаемые квантовой механикой.
9. Чему равна молярная теплоемкость C_v газа, состоящего из многоатомных молекул с двумя независимыми типами (модами) колебаний?
10. Найдите удельную теплоемкость меди.
11. Повторите решение примера 4 в случае, когда степень сжатия равна 6.
12. Вычислите теоретический выигрыш в КПД при увеличении степени сжатия бензинового двигателя от 6 до 8?
13. Пусть 1 моль идеального одноатомного и 1 моль идеального двухатомного газов по отдельности сжимаются адиабатически, причем у обоих газов отношение объемов до и после сжатия одно и то же. Если первоначальные температуры обоих газов были одинаковыми, то какими они станут после сжатия?
14. Докажите, что при адиабатическом расширении $T_1^{\gamma} P_1^{1-\gamma} = T_2^{\gamma} P_2^{1-\gamma}$.

Задачи

15. а) Моль газообразного кислорода смешивается с двумя молями водорода. Чему будет равна теплоемкость 18 г полученной смеси при постоянном объеме?
    б) Если эта смесь воспламеняется и образует 18 г водяных паров, то какова ее

удельная теплоемкость при постоянном объеме?

16. Пусть уравнение состояния 1 моля неидеального газа имеет вид $P(V - V_0) = RT$, где V_0 — объем N_0 молекул. Какова разность $C_p - C_v$ для этого газа?

17. Каким должен быть приток тепла ΔQ, если газ в предыдущей задаче изотермически расширяется от V_1 до V_2?

18. Покажите, что при адиабатическом расширении газа из задачи 16 соотношение между P и V записывается в виде $P(V - V_0)^\gamma = \text{const}$.

19. Один моль газа N_2, занимающий при атмосферном давлении объем $V_1 = 22{,}4$ л, адиабатически расширяется до объема $V_2 = 2V_1$. Затем он изотермически сжимается до первоначального объема. Найдите

а) P_2 и T_2;

б) работу ΔW_{12}, совершаемую при адиабатическом расширении;

в) работу ΔW_{23}, совершаемую при изотермическом сжатии;

г) суммарную работу, совершенную над внешней средой;

д) конечную температуру T_3;

е) $C_v(T_1 - T_3)$.

20. Один моль газа N_2, занимавший при атмосферном давлении объем $V_1 = 22{,}4$ л, адиабатически сжимается до объема $V_2 = V_1/2$, а затем изотермически расширяется до первоначального объема. Вычислите

а) P_2 и T_2;

б) суммарную работу, совершенную над внешней средой;

в) конечную температуру T_3;

г) $C_v(T_3 - T_1)$.

21. Рассмотрите газ, состоящий из маленьких, но не гладких, а шероховатых шаров. (Они могут вращаться.) Масса каждого из шаров m.

а) Сколько степеней свободы имеет одна такая частица?

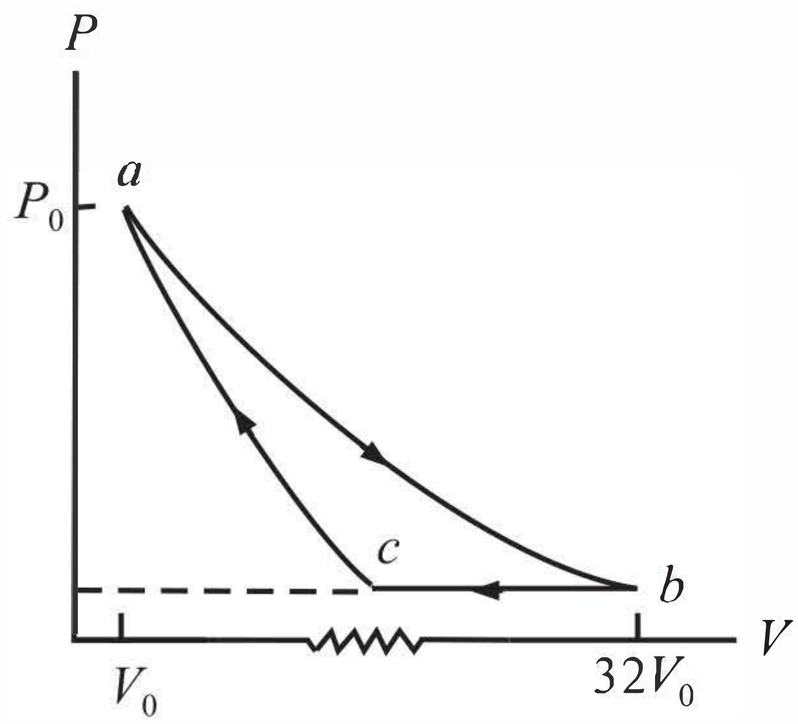
б) Чему равно в состоянии равновесия отношение средних кинетических энергий вращательного и поступательного движения?

в) Чему равна C_v (молярная теплоемкость при постоянном объеме)? Запишите ответ таким образом, чтобы в него входила газовая постоянная R.

г) Напишите выражение для C_v через R.

д) Средний квадрат скорости равен v_0^2. Как выражается через v_0 температура газа и какие еще константы при этом требуются?

22. Состояние 1 моля идеального газа изменяется по обратимому циклу, как показано на рисунке. Первоначально газ находился в точке a с параметрами P_0, V_0 и T_0. В точке b объем газа $V = 32V_0$.



$a \to b$ процесс с постоянной T,
$b \to c$ процесс с постоянным P,
$c \to a$ адиабатическое сжатие.

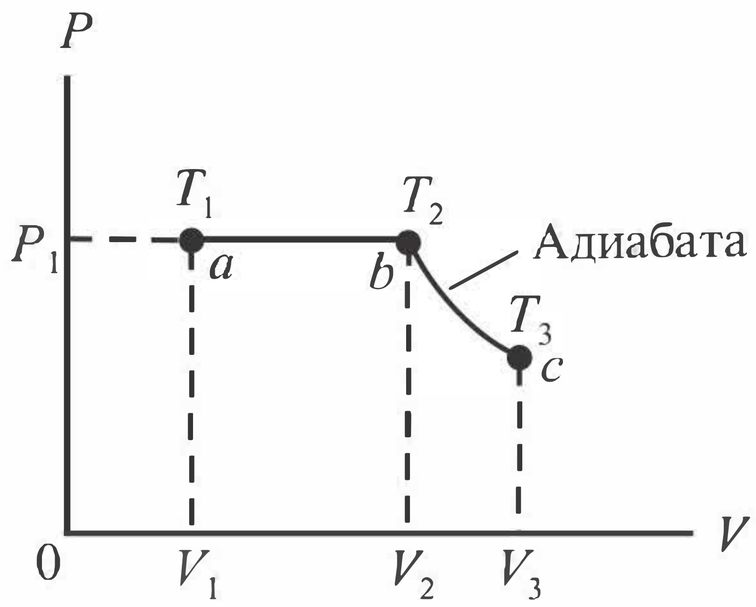
а) Заполните следующую таблицу, выражая соответствующие величины через P_0, V_0, R и T_0:

	ΔU	ΔQ	ΔW
$a \to b$			
$b \to c$			
$c \to a$			
$a \to b \to c \to a$			

б) Заполните следующую таблицу, используя дополнительно результаты из таблицы, приведенной в пункте «а»:

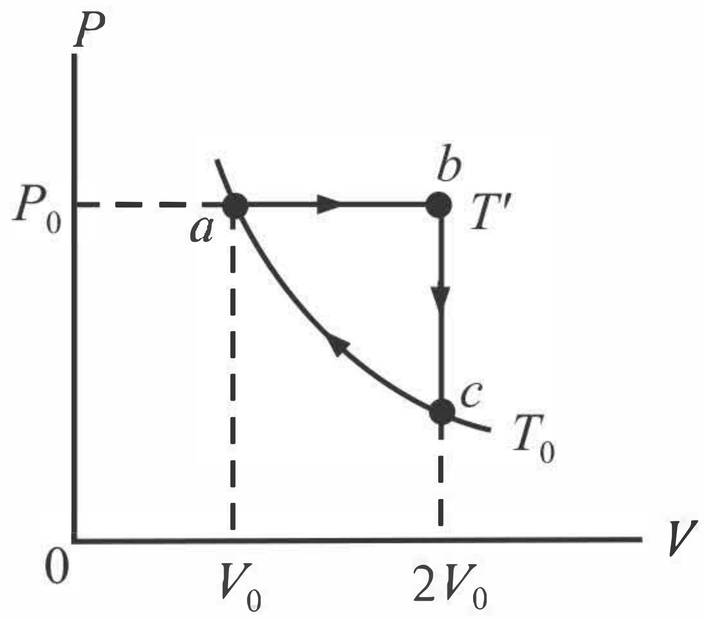
	P	V	T
a	P_0	V_0	T_0
b		$32V_0$	
c			

23. Один моль идеального одноатомного газа расширяется при постоянном давлении P_1, как показано на рисунке, от точки a до точки b.



а) Как выражается T_2 через T_1, V_1 и V_2?
б) Какую работу совершает газ при расширении от точки a до точки b?
в) Сколько тепла передается газу при переходе на диаграмме состояния от точки a к точке b? Запишите ответ через R, T_1 и T_2.
г) Напишите выражение для V_3 через V_2, T_2 и T_3.

24. На рисунке показан рабочий цикл тепловой машины по пути $a \to b \to c \to a$.

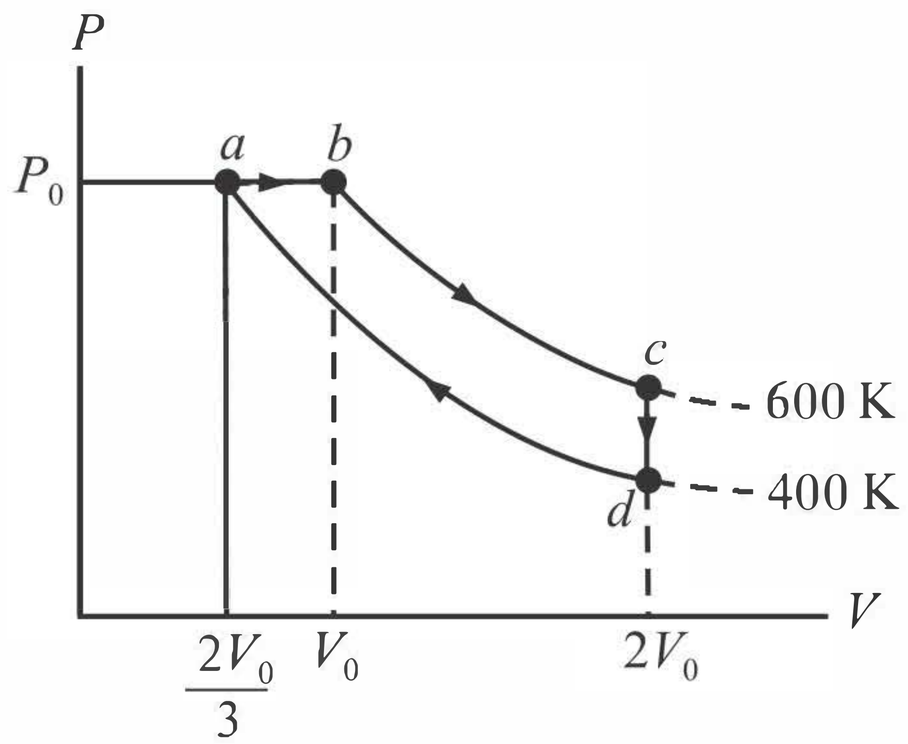


Пусть процесс вдоль $c \to a$ идет изотермически. В точке c давление равно P_0, умноженному на [1/2; $1/\sqrt{2}$; ln 2 или $1 - \ln 2$]. В точке b температура T' равна T_0, умноженной на [ln 2; $\sqrt{2}$; 2 или $2/\sqrt{2}$]. Тепло, поступившее в машину на участке $a \to b$, равно $\left[C_p\,(T' - T_0);\ C_v\,(T' - T_0);\ \int_a^b P\,dV\right.$ или чему-то еще]. Механическая работа, совершаемая за один цикл, равна P_0V_0, умноженному на величину [1; ln 2; $1/\sqrt{2}$; 1/2; $1 - \ln 2$ или какую-то иную]. Газ можно считать идеальным. В квадратных скобках представлены величины, одна из которых является правильной и которую нужно указать в ответе.

25. Какова средняя выходная мощность бензинового двигателя в примере 5, работающего по полному циклу Отто? Запишите ответ в лошадиных силах.

26. Чему в примере 5 равна температура T_1? (См. рис. 13-7.)

27. Исследуйте обратимый цикл идеального одноатомного газа, PV-диаграмма которого приведена на рисунке.



Здесь $V_0 = 100$ л, $P_0 = 1$ атм; $R = 0{,}082$ л·атм/(моль·К). Цикл состоит из следующих этапов:

1. Изобарическое (при постоянном давлении) расширение ($a \to b$) при $P = P_0$.
2. Изотермическое (при постоянной температуре) расширение ($b \to c$) при $T = 600$ К.
3. Изохорическое (при постоянном объеме) охлаждение ($c \to d$) при $V = 2V_0$.
4. Изотермическое (при постоянной температуре) сжатие ($d \to a$) при $T = 400$ К.

а) Найдите W_{ab}, W_{bc} и W_{cd}.
б) При условии, что $W_{da} = -(200/3) \times \ln 3$ л·атм, найдите Q_{ab}, Q_{bc}, Q_{cd} и Q_{da} (рассматриваемые как положительные величины) и укажите, поглощается или выделяется тепло системой в каждом из этих случаев.
в) Напишите выражение для КПД через Q_{ab}, Q_{bc}, Q_{cd} и Q_{da}. Приведите его численное значение.

14

Второй закон термодинамики

Второй закон термодинамики является фундаментальным законом природы; он охватывает многочисленные явления окружающего мира и имеет глубокие практические и философские последствия. В § 5 мы увидим, что его можно получить на основе уравнений классической (или квантовой) механики, используя микроскопический, а не макроскопический подход*. На примере второго закона термодинамики Ч. Сноу в книге «Две культуры»** демонстрирует разрыв в культурном отношении между специалистами и неспециалистами в области естественных наук. Он замечает, что как те, так и другие могут участвовать в обсуждении произведений Шекспира, но, как только спор коснется каких-либо аспектов второго закона термодинамики, дискуссию могут поддержать только имеющие естественнонаучное образование.

Чтобы конструировать оптимальные системы, потребляющие горючее и производящие энергию, необходимо уяснить некоторые ограничения, налагаемые вторым законом термодинамики. Эти ограничения четко проявляются в цикле Карно, к рассмотрению которого мы и переходим.

§ 1. Машина Карно

В данном параграфе мы изучим машину, теоретический КПД которой не только значительно выше, чем у двигателя внутреннего сгорания, но в действительности она и самая эффективная среди всех возможных типов тепловых машин. Ее называют машиной (двигателем) Карно, а проходимый ею рабочий цикл — циклом Карно. На рис. 14-1 приведена PV-диаграмма этого цикла. В машине Карно используется цилиндр с поршнем; однако она не имеет клапанов, так что во всех циклах многократно используется одно и то же рабочее вещество. Источник энергии (которым может быть бензин или мазут) используется для поддержания постоянной температуры T_1 теплового резервуара. Для этой машины необходим еще один резервуар с более низкой температурой T_2. Например, машину Карно можно установить на берегу озера, которое будет служить холодным резервуаром с температурой около 290 K, а в качестве горячего резервуара можно использовать кипящую воду.

Предположим, что вокруг наполненного газом цилиндра поочередно циркулирует вода то из горячего, то из холодного резервуаров. Как видно из рис. 14-1, при изотермическом расширении газа в

---

* Заметим, что вполне последовательный вывод второго закона термодинамики, описывающего *необратимые* макропроцессы, из *обратимых* уравнений макро- или микромеханики в настоящее время отсутствует. — *Прим. ред.*

***C.P. Snow*, The Two Cultures, Macmillan Publishing, 1971. (Имеется перевод: *Ч. Сноу*. Две культуры. — М.: Прогресс, 1973.)

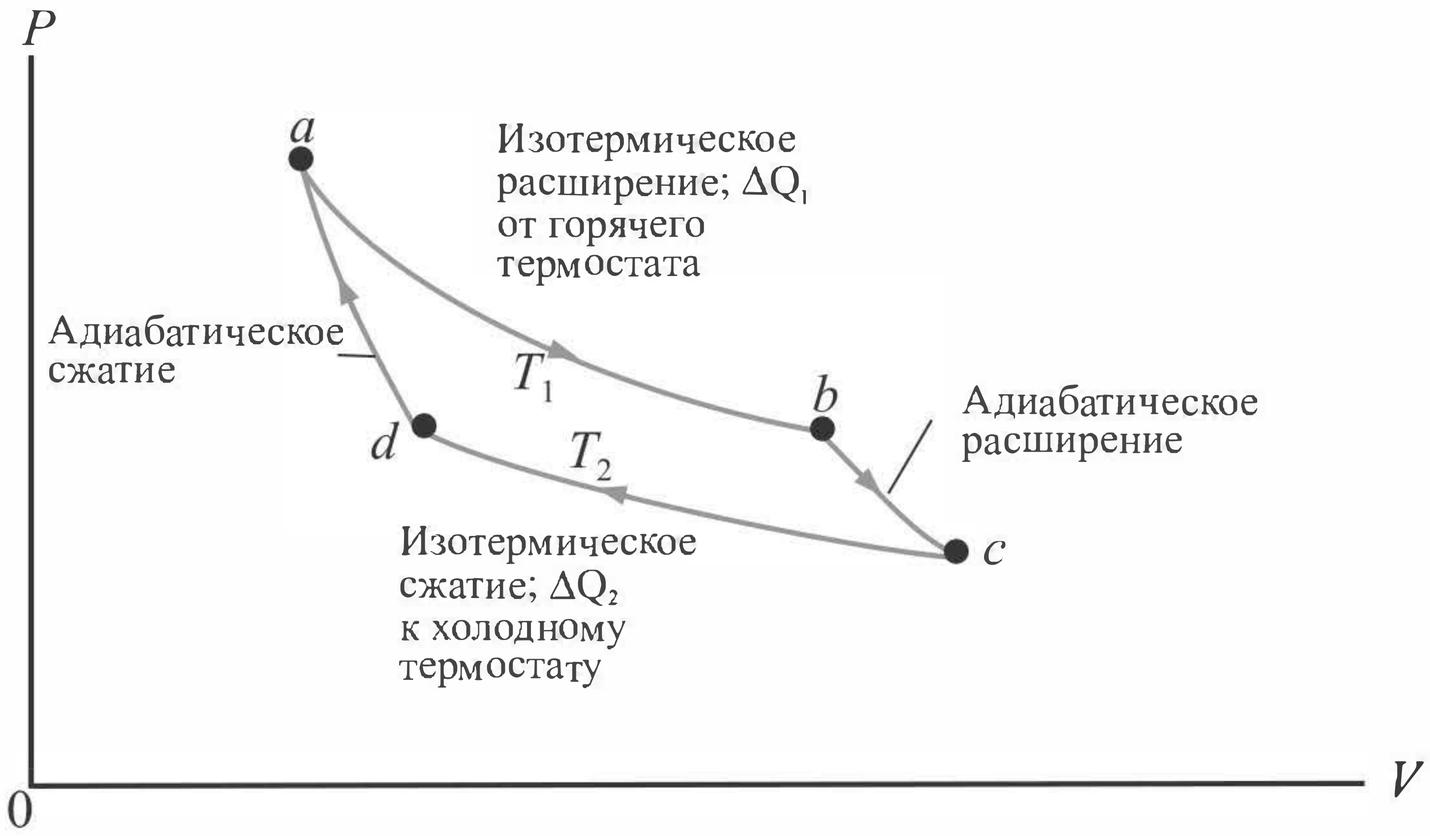


Рис. 14-1. Цикл Карно. От резервуара T_1 отбирается тепло ΔQ_1. Резервуару T_2 передается тепло ΔQ_2. Площадь, заключенная внутри замкнутой линии, равна работе, проделанной газом за цикл

цилиндре из горячего резервуара отбирается тепло ΔQ_1, а при изотермическом сжатии холодному резервуару передается меньшее количество тепла ΔQ_2. Этот процесс схематически иллюстрируется рис. 14-2. Следует заметить, что мы считаем положительным тепло ΔQ_2, передаваемое холодному резервуару.

Согласно первому закону термодинамики, потеря тепла за один цикл $(\Delta Q_1 - \Delta Q_2)$ должна перейти в механическую работу (энергию) ΔW:

$$\Delta Q_1 - \Delta Q_2 = \Delta W.$$

КПД — это относительное количество тепла, отобранное из горячего резервуара и превращенное в механическую энергию:

$$\varepsilon = \frac{\Delta W}{\Delta Q_1} = \frac{\Delta Q_1 - \Delta Q_2}{\Delta Q_1} = 1 - \frac{\Delta Q_2}{\Delta Q_1}.$$

Для идеального газа в соответствии с формулой (13-7)

$\Delta Q_1 = NkT_1 \ln (V_b / V_a)$ (*тепло, полученное машиной от горячего резервуара*),

$\Delta Q_2 = NkT_2 \ln (V_c / V_d)$ (*тепло, отданное машиной холодному резервуару*).

Таким образом,

$$\varepsilon = 1 - \frac{T_2}{T_1} \frac{\ln(V_c/V_d)}{\ln(V_b/V_a)}. \qquad (14\text{-}1)$$

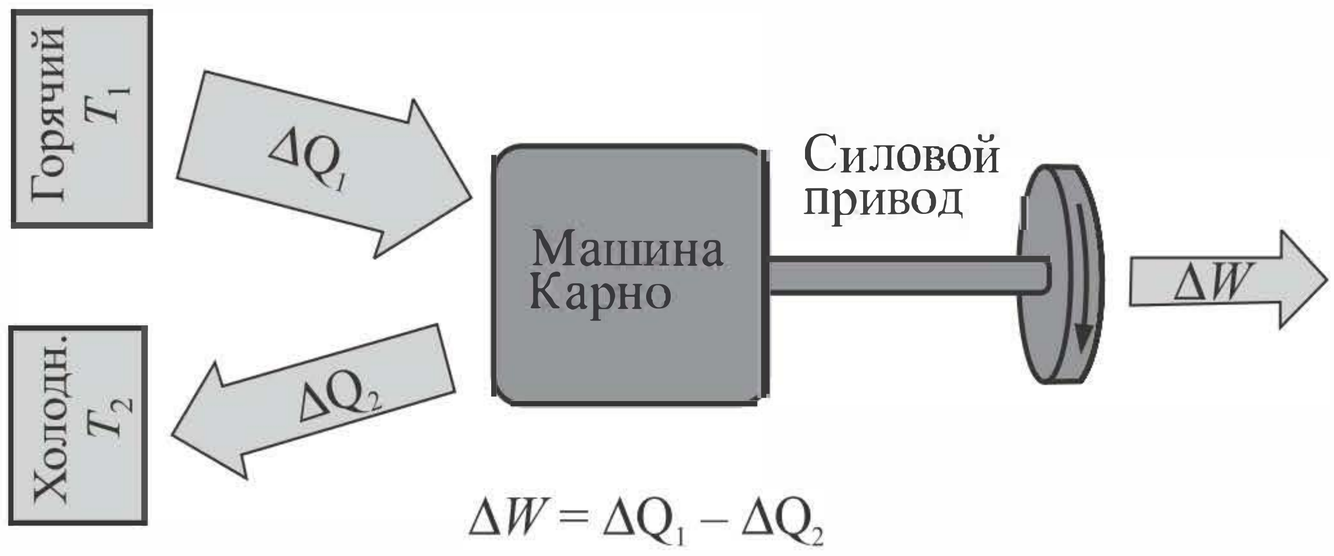


Рис. 14-2. Схема действия машины Карно. Количество тепла и работа пропорциональны ширине соответствующих стрелок

Чтобы вычислить отношения объемов в этой формуле, выпишем уравнения состояния для всех четырех участков цикла:

$P_a V_a = P_b V_b$ *изотермическое расширение*,

$P_b V_b^{\gamma} = P_c V_c^{\gamma}$ *адиабатическое расширение*,

$P_c V_c = P_d V_d$ *изотермическое сжатие*,

$P_d V_d^{\gamma} = P_a V_a^{\gamma}$ *адиабатическое сжатие*.

Перемножим эти четыре уравнения:

$$P_a P_b P_c P_d V_a V_b^{\gamma} V_c V_d^{\gamma} = P_a P_b P_c P_d V_b V_c^{\gamma} V_d V_a^{\gamma},$$

откуда находим

$$V_b^{\gamma-1} V_d^{\gamma-1} = V_c^{\gamma-1} V_a^{\gamma-1}$$

и, следовательно,

$$V_b/V_a = V_c/V_d.$$

Использование этого равенства в (14-1) дает

$$\varepsilon = 1 - \frac{T_2}{T_1} = \frac{T_1 - T_2}{T_1} = \frac{\Delta W}{\Delta Q_1} \quad (\textit{КПД цикла Карно}). \qquad (14\text{-}2)$$

Если резервуарами машины Карно являются кипящая и замерзающая вода, то

$$\varepsilon = \frac{373\,\text{К} - 273\,\text{К}}{373\,\text{К}} = 0{,}27.$$

Сравним машину Карно с двигателем внутреннего сгорания. Заметим, что при горении бензина горячий резервуар может быть нагрет до температуры ~2700 К, а холодным резервуаром может служить окружающий воздух (T_2 ~ 300 К). При этом КПД машины Карно

$$\varepsilon = \frac{2700 - 300}{2700} = 0{,}89, \qquad (14\text{-}3)$$

что существенно выше теоретического максимального значения КПД = 0,56 для двигателя внутреннего сгорания, вычисленного по формуле (13-15). В данном случае мы видим, что КПД цикла Карно на 59 % выше КПД цикла Отто. Однако в действительности столь высокие КПД практически недостижимы из-за потерь на трение, утечку тепла, а также вследствие необратимости происходящих процессов. Действительно, адиабатическое и изотермическое расширение и сжатие являются обратимыми лишь при чрезвычайно медленном изменении объема.

§ 2. Тепловое загрязнение окружающей среды

В §4 будет показано, что среди всех возможных типов тепловых машин, использующих различные циклы, цикл Карно наиболее эффективен. Почти все тепловые электростанции в качестве источника высокой температуры используют кипящую воду. Поэтому на основе результатов предыдущего параграфа их КПД не должен превышать 27 %. Однако если воду нагревать под давлением, то она будет закипать при значительно более высокой температуре. На тепловых электростанциях, работающих на минеральном топливе, используется перегретый пар под давлением с температурой порядка 500 К и выше. При этом добиваются КПД ≥ 40 %. Атомные электростанции, которые используют ядерное топливо, из соображений безопасности работают при более низких давлениях и температурах, поэтому их КПД обычно ~30 %, в то время как у тепловых электростанций он ~40 %.

В любом случае бóльшая часть получаемой из топлива энергии возвращается низкотемпературному резервуару в форме тепла. Эта энергия в конечном итоге полностью рассеивается и приводит к нагреву окружающей среды вблизи электростанции, т. е. прилегающих водо-

емов или атмосферы (если используются градирни). Такой нагрев окружающей среды — нежелательное явление, и его называют тепловым загрязнением.

Следует заметить, что электрообогрев зданий представляет собой расточительную трату топлива. Действительно, если топливо использовать непосредственно для обогрева здания, то можно достичь КПД почти 100 %, в то время как в соответствии с формулой (14-2) КПД электростанции, вырабатывающей электрическую энергию для обогрева, составляет лишь ~30 %. Поэтому при электрообогреве то же самое количество тепла в конечном итоге дает лишь одну треть тепла. Однако вопрос о применении электрообогрева выходит за рамки чисто физической проблемы. Он находится в компетенции общественных и государственных учреждений. При этом учитывается целый комплекс таких факторов, как загрязнение окружающей среды или истощение ограниченных естественных топливных ресурсов. Например, запасы угля могут значительно превосходить запасы нефти или газа, но непосредственное использование угля для отопления домов может оказаться неприемлемым из-за загрязнения атмосферы.

§ 3. Холодильники и тепловые насосы

Холодильники

Поскольку все процессы расширения и сжатия в цикле Карно обратимы, машину Карно можно заставить работать в обратном направлении. Пусть, например, в точке *a* цикла (рис. 14-3) вместо изотермического начинается адиабатическое расширение, в результате которого мы придем в точку *b*. Затем происходит изотермическое расширение из точки *b* в точку *c*. После этого следуют адиабатическое и изотермическое сжатия вплоть до точки *a*, и обратный цикл завершается. Поскольку все этапы обратимы, остается в силе соотношение (14-2):

$$\frac{\Delta W}{\Delta Q_1} = \frac{\Delta W}{\Delta W + \Delta Q_2} = \frac{T_1 - T_2}{T_1}.$$

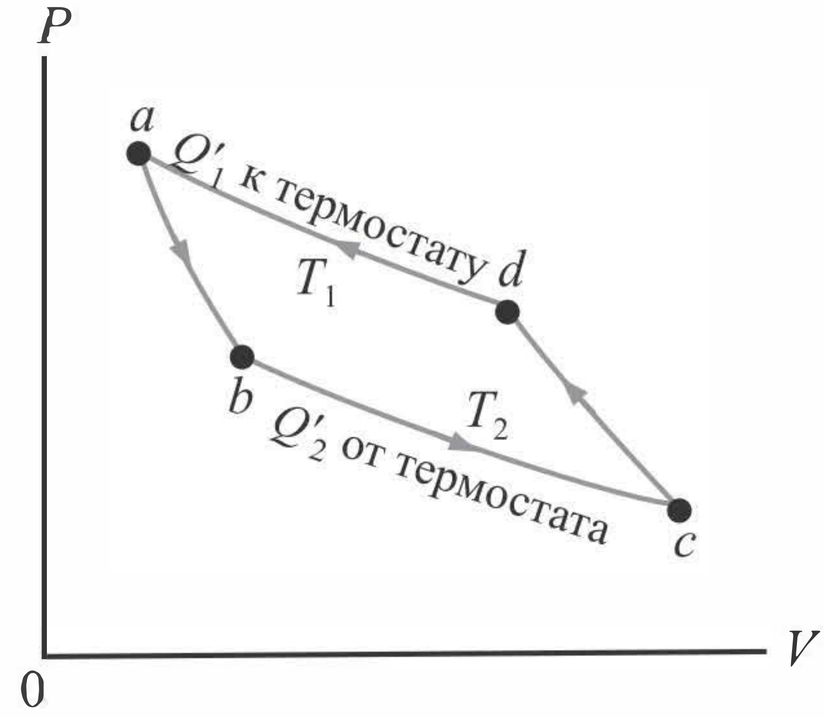


Рис. 14-3. Обращенный цикл Карно (холодильник). От резервуара T_2 отбирается тепло Q'_2. Резервуару T_1 передается тепло Q'_1

Однако величины ΔQ и ΔW теперь отрицательны. Введем следующие обозначения: W' — работа, совершенная над машиной, Q'_1 — тепло, переданное горячему резервуару, и Q'_2 — тепло, полученное от холодного резервуара. Тогда $W' = -\Delta W$, $Q'_1 = -\Delta Q_1$ и $Q'_2 = -\Delta Q_2$. Подставим эти соотношения в предыдущее равенство:

$$\frac{(-W')}{(-W') + (-Q'_2)} = \frac{T_1 - T_2}{T_1}.$$

Таким образом,

$$\frac{Q'_2}{W'} = \frac{T_2}{T_1 - T_2} \quad (\textit{коэффициент преобразования холодильника}). \qquad (14\text{-}4)$$

Отношение Q'_2/W' представляет собой важный параметр в холодильной технике. Он равен отношению тепла, отобранного от холодного образца, к затраченной

на это механической работе. Важно отметить, что это отношение (которое не следует путать с КПД) обычно больше единицы.

В домашнем холодильнике температура T_2 резервуара холода (включая лоток для приготовления льда и морозильную камеру) порядка 250 К (−23 °С). Горячим резервуаром служит комнатный воздух, температура которого вблизи теплообменника $T_1 \approx 310$ К. При этом формула (14-4) дает следующее значение коэффициента преобразования:

$$\frac{Q_2'}{W'} = \frac{250}{310 - 250} = 4{,}17.$$

Таким образом, мы видим, что на каждый джоуль электроэнергии, затраченной на работу компрессора, приходится 4,17 Дж тепла, отнятого от холодильной камеры, при условии, что используется эффективный цикл Карно.

Кондиционеры воздуха

В случае с кондиционерами холодный теплообменник выносится наружу, и все помещение охлаждается. В технике отношение Q_2'/W' обычно называют коэффициентом использования энергии, или сокращенно КИЭ. К сожалению, иногда пользуются смешанной системой единиц: британской для тепла (Btu, или Б.е.т.*) и метрической для работы. КИЭ определяют следующим образом:

$$\text{КИЭ} = \frac{dQ_2'/dt\ [\text{Б.е.т./ч}]}{dW'/dt\ [\text{Вт}]}$$

(1 Б.е.т./ч = 0,293 Вт).

Значение КИЭ у реально существующих бытовых кондиционеров воздуха не превышает 3,5. Из формулы (14-4) можно получить наибольшее теоретически возможное значение КИЭ, определяемое отношением $T_2/(T_1 - T_2)$. Предполагая, что нужно получить охлаждение на температуру $T_1 - T_2 \approx 20$ К, находим

$$\frac{T_2}{T_1 - T_2} \approx \frac{300\ \text{K}}{20\ \text{K}} \approx 15.$$

Это значение существенно больше, чем 3,5. Частично это объясняется тем, что внутри кондиционера температура T_2 значительно ниже той, которая требуется для создания комфортной температуры в комнате.

Тепловые насосы

Тепловой насос — это просто другое название холодильника, который, как мы убедились, представляет собой машину Карно, работающую в обратном направлении. Холодильник перекачивает тепло из охлаждаемого объема в окружающий воздух. Поместив холодильник на улице, извлекая тепло Q_2' из наружного воздуха и передавая тепло Q_1' внутрь дома, можно обогревать его. Коэффициент передачи тепла записывается в виде

$$\frac{Q_1'}{W'} = \frac{1}{\varepsilon} = \frac{T_1}{T_1 - T_2}. \qquad \text{(14-4а)}$$

Предположим, например, что температура воздуха снаружи 250 К, а внутри дома 300 К; тогда

$$\frac{Q_1'}{W'} = \frac{300}{300 - 250} = 6.$$

Это означает, что при подаче в дом 6 Дж тепла 5 Дж тепла отбирается от холодного наружного воздуха и 1 Дж механической энергии расходуется для приведения в действие компрессора. В действительности эффективность бытовых тепловых насосов не достигает и половины этого

* Британская единица количества тепла 1 Б.е.т. = 1055,06 Дж. — *Прим. ред.*

значения. Мы убедились, что тепловой насос представляет собой кондиционер воздуха, установленный «задом наперед»: в его тепловой машине используется обратный цикл, а «задом наперед» означает, что холодильник вынесен из помещения наружу. На рис. 14-4 изображен типичный бытовой прибор этого типа.

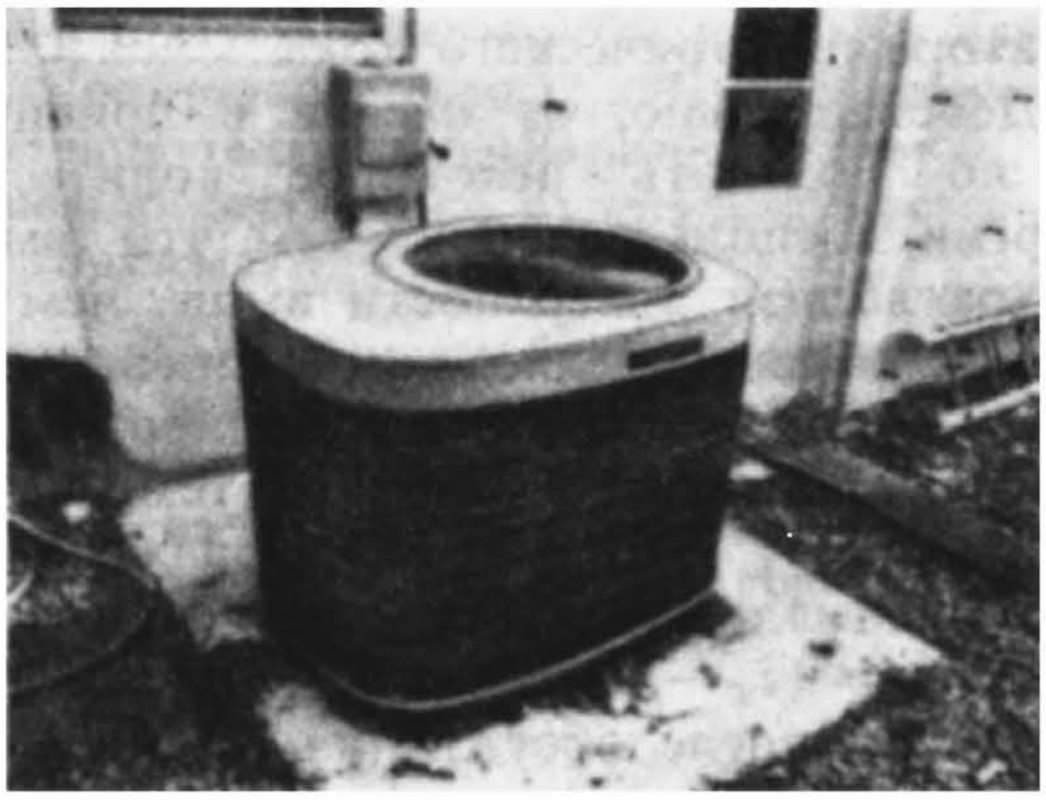


Рис. 14-4. Тепловой насос, обогревающий жилой дом

Обычно для обогрева здания используется нефть или уголь, которые сжигаются на месте (преобразуя около 70 % химической энергии в полезное тепло) или на электростанции (с преобразованием около 30 % химической энергии в тепло, идущее на обогрев здания). В этом отношении КПД домашней котельной более чем вдвое превышает КПД электрической системы обогрева. Однако мы убедились, что с помощью идеального теплового насоса можно значительно более эффективно обогревать здание, используя химическую энергию. Действительно, поскольку температуры горения нефти и угля довольно высоки, около 85 % химической энергии топлива могут быть преобразованы в механическую [см. (14-3)]. Эту механическую энергию W' можно затем использовать в идеальном тепловом насосе, подающем тепло в обогреваемое здание.

Если комнатная температура $T_1 = 300$ K, а наружная температура $T_2 = 273$ K, то из формулы (14-4а) получаем

$$\frac{Q_1'}{W'} = \frac{300\ \text{K}}{300\ \text{K} - 273\ \text{K}} = 11.$$

Таким образом, 1 Дж химической энергии исходного горючего позволяет получить 11·0,85 Дж = 9,4 Дж тепла, в то время как при сжигании горючего получается лишь 0,7 Дж. Отношение второго числа к первому равно 0,075. В этом смысле можно сказать, что КПД непосредственного сжигания топлива составляет около 7,5 %, а КПД электрообогрева ~3 %. Американское физическое общество предложило определять КПД энергетических систем именно таким способом, т. е. путем сравнения получаемой энергии или тепла с верхним теоретическим пределом, который можно получить с помощью идеальной машины Карно или теплового насоса. Этот новый способ оценки эффективности получил название КПД по второму закону термодинамики, а прежний способ предлагается называть КПД по первому закону термодинамики.

§ 4. Второй закон термодинамики

Мы видели, что можно построить тепловые машины, преобразующие тепло ΔQ в механическую работу ΔW. Почему бы нам тогда не попробовать преобразовать в работу ΔW тепло, запасенное в океане? Даже при КПД этого процесса 1 % мы получили бы ~10^{24} Дж, в то время как годовое потребление электроэнергии в США ~10^{18} Дж. Столь незначительное уменьшение тепловой энергии океана было бы восстановлено солнечной радиацией. Однако существует фундаментальный закон, который препятствует

использованию огромного количества тепла, запасенного в Мировом океане. Как мы сейчас убедимся, второй закон термодинамики запрещает прямое преобразование тепловой энергии в механическую.

Приведем четыре формулировки второго закона термодинамики, которые являются математически и физически эквивалентными.

1. Не существует вечного двигателя второго рода.

2. Если два тела с различными температурами приведены в тепловой контакт, то тепло переходит от более горячего к более холодному телу.

3. Никакая тепловая машина периодического действия не может иметь КПД, превышающий $(T_1 - T_2)/T_1$, где T_1 — верхняя, T_2 — нижняя температура цикла.

4. Энтропия замкнутой системы не может убывать.

Обсуждение нового понятия энтропии мы отложим до следующего параграфа. На рис. 14-5 схематически показаны вечные двигатели первого и второго рода. Вечный двигатель первого рода представляет собой машину, которая работает сама по себе (т. е. изолированно от окружающей среды) и передает энергию наружу. Согласно закону сохранения энергии, для этого машина конечных размеров должна располагать неограниченным внутренним источником энергии. Ясно, что вечные двигатели первого рода прямо противоречат закону сохранения энергии.

Вечные двигатели второго рода не противоречат закону сохранения энергии и поэтому выглядят более заманчиво. Подобные машины могли бы преобразовывать тепловую энергию в механическую. При этом по мере передачи механической энергии вовне происходило бы постепенное охлаждение источника тепловой энергии. Если бы удалось сконструировать такой двигатель, он мог бы быть использован для получения механической энергии из тепловой энергии океана, составляющей примерно 10^{26} Дж. Это количество энергии значительно превышает потребление энергии за всю историю человечества. Однако второй закон термодинамики утверждает, что невозможно прямое преобразование хаотического теплового движения молекул в упорядоченное движение машины или генератора электрического тока.

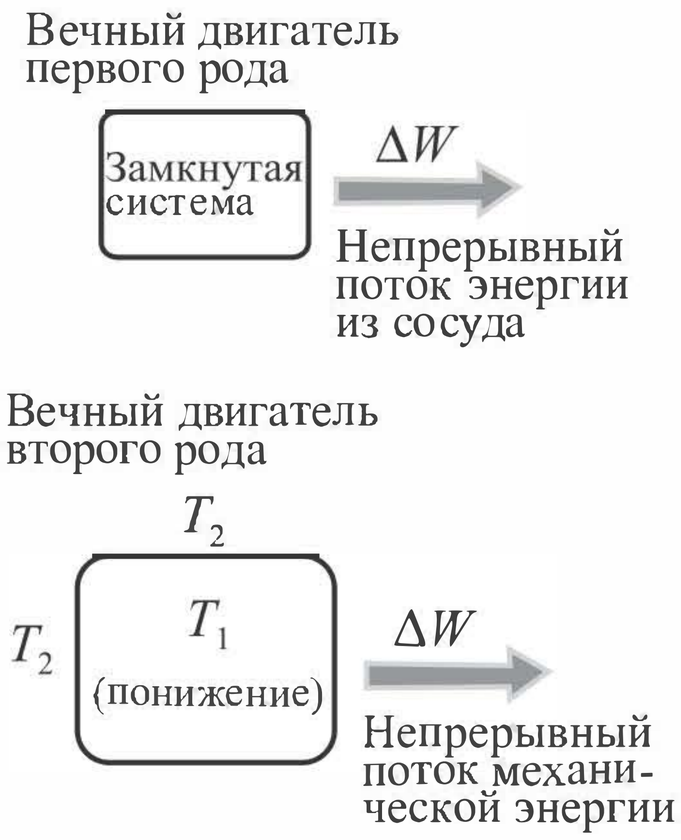


Рис. 14-5. Схематическое представление вечных двигателей первого и второго рода

Действительно, от океана в принципе можно получить некоторое количество энергии, воспользовавшись тем, что температура вблизи поверхности выше, чем на глубине. Были предложены тепловые машины, работающие на этой разности температур. Поскольку разность температур составляет $T_1 - T_2 \sim 10$ К или даже меньше, максимально возможный КПД в этом случае $\varepsilon = (T_1 - T_2)/T_1$, т. е. порядка 1/30.

Теперь, после обсуждения первой формулировки второго закона термодинамики, покажем, что три другие логически эквивалентны. Если бы вторая

формулировка нарушалась, тепло могло бы переходить от холодного резервуара к горячему. Используя это тепло в тепловой машине, мы смогли бы осуществить вечный двигатель, что противоречит первой формулировке.

Покажем теперь, что если бы удалось создать тепловую машину периодического действия с более высоким КПД, чем у машины Карно, то удалось бы передавать тепло от холодного резервуара к горячему, т. е. нарушение третьей формулировки привело бы к нарушению второй. Предположим, что сделана супермашина с КПД $\varepsilon_s > \varepsilon$, где $\varepsilon = (T_1 - T_2)/T_1$ — КПД цикла Карно. Если соединить механический привод супермашины с приводом машины Карно, а затем с помощью супермашины заставить машину Карно работать в режиме холодильника с теми же самыми двумя резервуарами, то в результате будет происходить передача тепла от холодного резервуара к горячему (рис. 14-6).

Пример 1. Пусть супермашина извлекает из горячего резервуара тепло Q_1. Чему будет равно суммарное тепло, передаваемое системой, состоящей из двух машин, от холодного резервуара к горячему?

Решение: Супермашина будет производить работу $W = \varepsilon_s Q_1$ над холодильником Карно, который в свою очередь будет перекачивать тепло $Q_1' = W/\varepsilon$ из холодного резервуара в горячий. Суммарное приращение тепла в горячем резервуаре

$$Q_1' - Q_1 = \frac{W}{\varepsilon} - Q_1 = \frac{\varepsilon_s Q_1}{\varepsilon} - Q_1 = \left(\frac{\varepsilon_s - \varepsilon}{\varepsilon}\right) Q_1.$$

Такое же суммарное количество тепла должно при этом извлекаться из холодного резервуара, так как в целом эта система не производит никакой работы.

Из этого примера видно, что в случае с $\varepsilon_s - \varepsilon > 0$ вторая формулировка нарушается.

Эквивалентность четвертой формулировки первым трем мы рассмотрим в § 5. Из предыдущих рассуждений нетрудно прийти к выводу, что любые две обратимые машины должны иметь одинаковые КПД. Будем, как и ранее, рассуждать

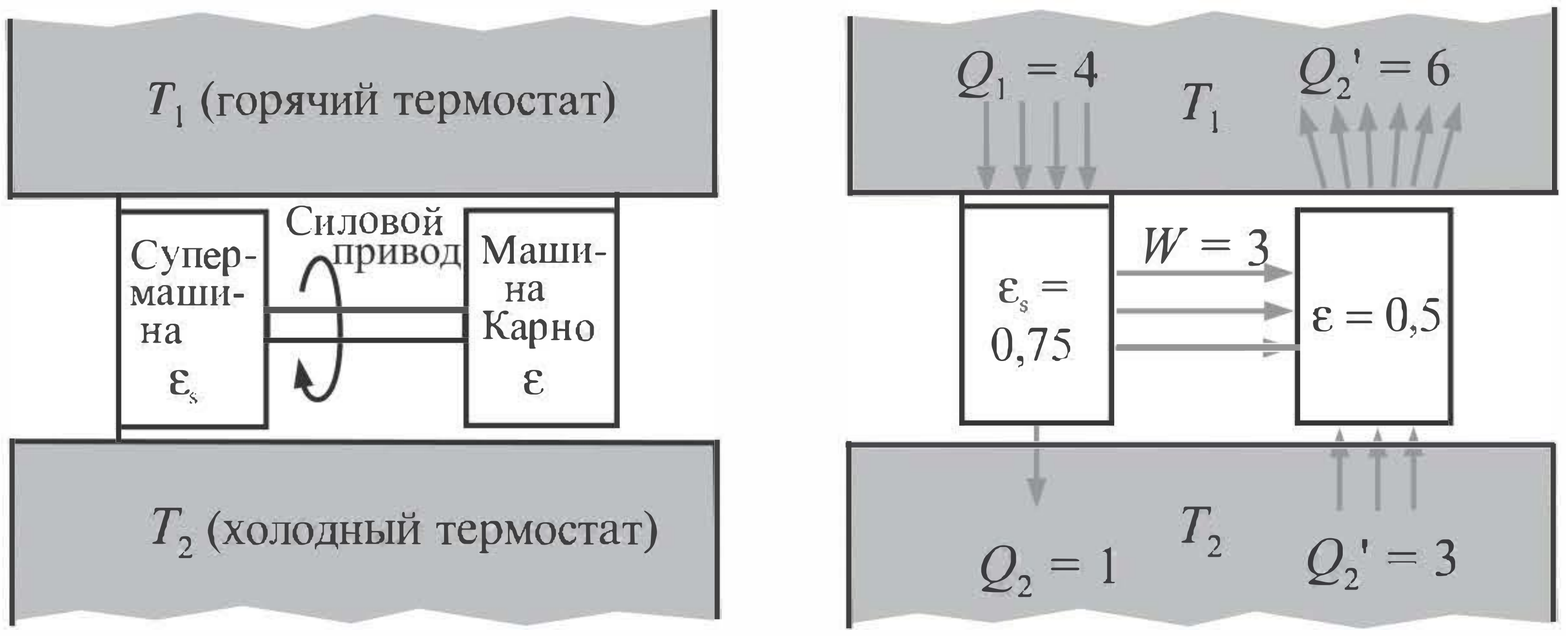


Рис. 14-6. *а* — супермашина с $\varepsilon_s = 0{,}75$ обеспечивает обратный ход машины Карно, имеющей $\varepsilon = 0{,}5$; *б* — супермашина, потребляя четыре единицы тепловой энергии, передает холодильнику, работающему по циклу Карно, три единицы механической энергии. Суммарный результат действия обеих машин сводится к передаче двух единиц тепла от резервуара с температурой T_2 к резервуару с температурой T_1

«от противного». Соединим просто две машины, как показано на рис. 14-6, используя машину с меньшим КПД как холодильник, а машину с большим КПД в прямом направлении. Тогда суммарным их действием будет перенос тепла от холодного резервуара к горячему.

Термодинамическая шкала температур

В основу нашего первоначального определения температуры положена энергия частиц [см. формулу (12-8)]. Существует эквивалентное макроскопическое определение. Мы только что доказали, что *независимо* от природы рабочего вещества КПД машины Карно дается выражением

$$\frac{W}{Q_1} = \frac{T_1 - T_2}{T_1}.$$

Поскольку, согласно первому закону термодинамики, $W = Q_1 - Q_2$, мы имеем

$$\frac{Q_1 - Q_2}{Q_1} = \frac{T_1 - T_2}{T_1},$$

или

$$\frac{T_1}{T_2} = \frac{Q_1}{Q_2}. \qquad (14\text{-}5)$$

Таким образом, отношение температур любых двух тепловых резервуаров можно найти, измерив количество тепла, передаваемое за один цикл машины Карно. Действительно, соотношение (14-5) определяет так называемую термодинамическую шкалу температур. Поскольку это соотношение получено нами на базе введенного ранее микроскопического определения температуры, можно считать доказанной эквивалентность двух определений температуры.

§ 5. Энтропия

Энтропия является мерой неупорядоченности системы многих частиц. Чем выше степень беспорядка в координатах и скоростях частиц системы, тем больше вероятность p того, что система будет находиться в состоянии беспорядка. Энтропия S системы определяется как

$$S \equiv k \ln p \ (\textit{определение энтропии}), \qquad (14\text{-}6)$$

где k — постоянная Больцмана*. В соответствии с определением вероятности система будет находиться в состоянии с большей вероятностью чаще, чем в состоянии с меньшей вероятностью. Система, первоначально находившаяся в состоянии, характеризуемом малой вероятностью, будет стремиться к состоянию, характеризуемому большей вероятностью. Поскольку S возрастает с ростом p, то

$$\Delta S \geq 0. \qquad (14\text{-}7)$$

Всего этого вполне достаточно для доказательства четвертой формулировки второго закона термодинамики. Но нам еще нужно показать, что она эквивалентна другим формулировкам. Этим мы займемся в конце параграфа.

Используя определение энтропии, можно записать следующие выражения:

$$\Delta S = S_2 - S_1 = k \ln p_2 - k \ln p_1,$$

$$\Delta S = k \ln (p_2/p_1). \qquad (14\text{-}8)$$

Таким образом, для того чтобы вычислить изменение энтропии, достаточно знать отношения вероятностей или относительные вероятности.

---

* Строго говоря, в формуле (14-6) под знаком логарифма должна стоять не обычная вероятность $0 \leq p \leq 1$ (для которой $S \leq 0$), а т. н. *термодинамическая вероятность* $W \geq 1$ (для которой $S \geq 0$), измеряемая числом *микро*состояний, соответствующих одному *макро*состоянию. — *Прим. ред.*

Воспользуемся этой формулой для вычисления изменения энтропии при расширении газа от начального объема V_1 к конечному объему V_2 (рис. 14-7). Запишем относительную вероятность того, что частица находится в объеме V_1, а не V_2:

$$\left(\frac{p_1}{p_2}\right)_{\text{одна частица}} = \frac{V_1}{V_2}.$$

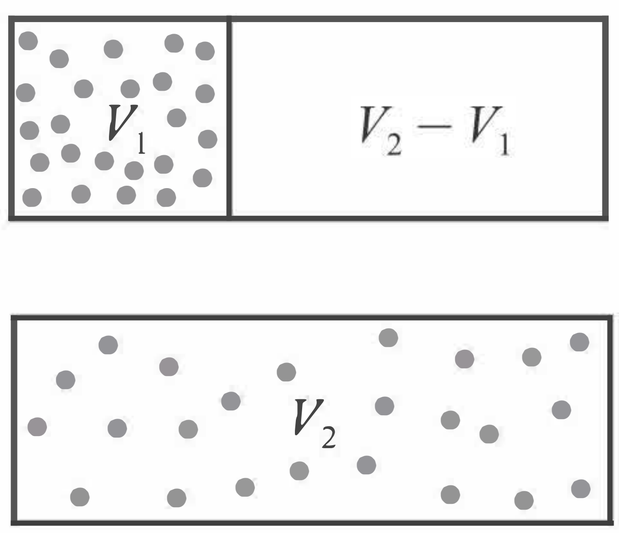


Рис. 14-7. После удаления перегородки газ свободно расширяется от первоначального объема V_1 до V_2

В случае N частиц мы имеем

$$\frac{p_1}{p_2} = \left(\frac{V_1}{V_2}\right)^N.$$

Подставляя это выражение в (14-8), получаем

$$\Delta S = Nk \ln (V_2/V_1). \qquad (14\text{-}9)$$

Пример 2. Двухлитровый сосуд разделен перегородкой на две равные части, как показано на рис. 14-8.

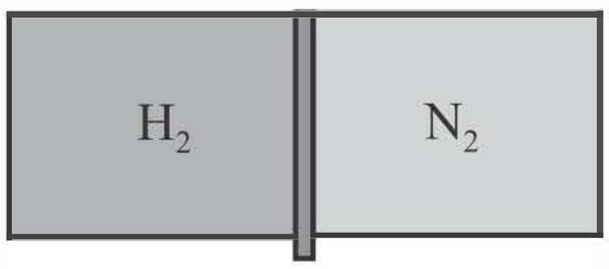


Рис. 14-8. Сосуд с газом двух сортов

Одна его часть заполнена водородом, а другая — азотом. Оба газа находятся при одинаковых температурах и атмосферном давлении. Перегородка убирается, и газы перемешиваются. Насколько возрастает энтропия при перемешивании?

Решение: Увеличение энтропии каждого газа определяется по формуле (14-9):

$$\Delta S = Nk \ln (V_2/V_1) = Nk \ln 2.$$

Общее увеличение энтропии в два раза больше, т. е.

$$\Delta S = 2Nk \ln 2.$$

При нормальном давлении и температуре 1 моль газа занимает объем 22,4 л (см. пример 1 в гл. 13). Следовательно, в одном литре газа содержится (1/22,4) N_0 молекул. Таким образом,

$$\Delta S = 2\left(\frac{N_0}{22{,}4}\right) k \ln 2 = 0{,}062R = 0{,}124 \text{ кал}/K.$$

Умножим и разделим правую часть выражения (14-9) на T:

$$\Delta S = \frac{NkT \ln(V_2/V_1)}{T}.$$

Можно заметить, что числитель совпадает с выражением (13-7) для ΔQ. Это тепло, которое необходимо подвести к системе в исходном состоянии, чтобы обратимо перевести ее в конечное состояние (путем изотермического расширения). Подставляя в числитель последнего выражения эту величину, имеем

$$\Delta S = \frac{\Delta Q}{T},$$

или

$$dS = \frac{dQ}{T}, \qquad (14\text{-}10)$$

где dQ — тепло, подводимое к системе обратимым способом. Соотношение

(14-10) получено нами для частного случая свободного расширения идеального газа. Общее его доказательство требует применения более сложного математического аппарата, включая математическую статистику. Такой статистический подход к термодинамике носит название статистической механики.

Теперь, когда мы получили макроскопическую формулу для изменения энтропии, можно доказать, что тепло переходит лишь от горячего тела к холодному, а не от холодного к горячему. Рассмотрим два одинаковых тела, первоначально находившихся при температурах T_1 и T_2 (рис. 14-9). Между этими телами устанавливается тепловой контакт. Через небольшой отрезок времени их температуры станут $T_1 - dT_1$ и $T_2 + dT_2$ вследствие перехода тепла $dQ_1 = -mcdT_1$ и $dQ_2 = +mcdT_2$, где c — удельная теплоемкость. Поскольку $dQ_1 = -dQ_2$, мы имеем $dT_1 = -dT_2 = dT$. В соответствии с (14-10) изменения энтропии каждого тела запишутся в виде

$$dS_1 = -\frac{mcdT}{T_1} \quad \text{и} \quad dS_2 = \frac{mcdT}{T_2}.$$

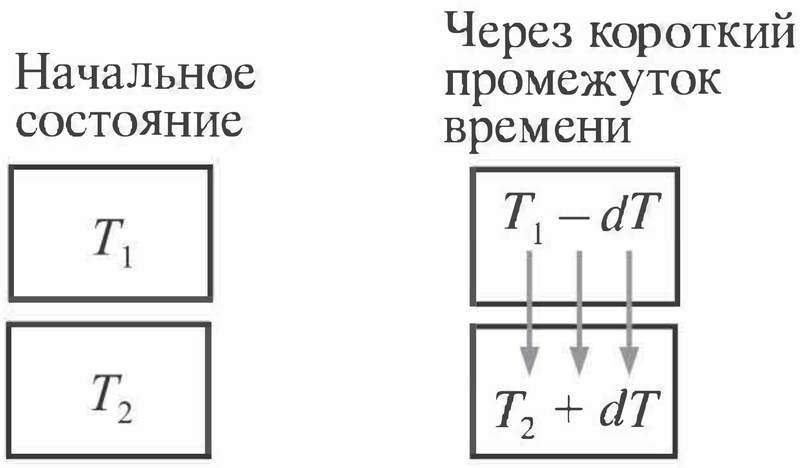


Рис. 14-9. Между двумя одинаковыми телами устанавливается тепловой контакт, после чего тепло от одного тела переходит к другому

Следовательно, суммарное изменение энтропии

$$dS = mcdT\left(\frac{1}{T_2} - \frac{1}{T_1}\right), \qquad (14\text{-}11)$$

а изменение температуры

$$dT = \frac{T_1 T_2}{mc}\left(\frac{dS}{T_1 - T_2}\right).$$

Поскольку, как мы уже показали, dS положительно, dT будет иметь тот же знак, что и разность $T_1 - T_2$. Это означает, что при $T_1 > T_2$ тепло будет перетекать от тела с температурой T_1 к телу с температурой T_2.

Пример 3. Предположим, что вместо обычного теплообмена между телами с температурами T_1 и T_2, как показано на рис. 14-9, работает машина Карно. Сколько механической энергии она может произвести?

Решение: Из (14-2) имеем

$$dW = dQ_1\left(\frac{T_1 - T_2}{T_1}\right) = T_2\, dQ_1\left(\frac{1}{T_2} - \frac{1}{T_1}\right).$$

Используя в правой части выражение (14-11), получаем

$$dW = T_2\, dS.$$

Мы видим, что при возрастании энтропии системы на рис. 14-9 теряется механическая энергия, равная приросту энтропии, умноженному на T_2.

Можно показать, что полученный в этом примере результат представляет собой лишь частный случай более общей теоремы: при увеличении энтропии замкнутой системы, содержащей тела с различными температурами, возрастание энтропии dS сопровождается потерями полезной механической энергии в количестве, равном величине dS, умноженной на температуру наиболее холодного тела. Таким образом, мы имеем еще одну физическую интерпретацию возрастания энтропии — это количество полезной энергии, которое теряется в расчете на

единицу температуры. Все это вытекает из нашего первоначального определения возрастания энтропии как увеличения вероятности (или усиления хаотичности движения составляющих систему частиц).

Пример 4. Допустим, что 1 кг железа при температуре 100 °С находится в тепловом контакте с таким же куском железа при 0 °С. Чему будет равно изменение энтропии при достижении равновесной температуры 50 °С?

Решение: Обозначим через T_1 начальную температуру холодного куска железа, а через c — его теплоемкость. Тогда

$$dS_1 = mc\frac{dT}{T},$$

$$\Delta S_1 = mc\int_{T_1}^{T_f}\frac{dT}{T} = mc\ln\left(\frac{T_f}{T_1}\right);$$

здесь T_f — конечная температура. Если начальную температуру горячего куска обозначить T_2, то изменение его энтропии запишется в виде

$$\Delta S_2 = mc\ln(T_f/T_2).$$

Суммарное изменение энтропии при этом равно

$$\Delta S_1 = mc\left(\ln\frac{T_f}{T_1}+\ln\frac{T_f}{T_2}\right) = mc\ln\left(\frac{T_f^2}{T_1T_2}\right) =$$

$$= mc\ln\frac{323^2}{(273)(373)} = 0{,}024mc.$$

Для приближенной оценки теплоемкости железа можно воспользоваться законом Дюлонга–Пти (см. с. 224), откуда находим, что молярная теплоемкость железа равна 6 кал/К. Тогда для одного килограмма $mc = 107$ кал/К, откуда $\Delta S = 2{,}57$ кал/К.

Пример 5. Мотор сообщает 1 Дж механической энергии холодильнику Карно, поглощающему тепло из морозильной камеры при температуре 0 °С и передающему его окружающему воздуху при 27 °С.

а) Насколько изменится энтропия морозильной камеры?

б) А всей системы?

Решение: а) С помощью (14-4) вычисляем количество тепла, поглощаемое из морозильной камеры:

$$Q_2' = \frac{T_2}{T_1 - T_2}W' = \frac{273}{27}(1\text{ Дж}) = 10{,}1\text{ Дж}.$$

При этом изменение энтропии

$$\Delta S_2 = \frac{\Delta Q_2}{T_2},$$

где $\Delta Q_2 = -Q_2' = -10{,}1$ Дж — тепло, переданное морозильной камере. Следовательно, изменение энтропии морозильной камеры равно

$$\Delta S_2 = -\frac{10{,}1}{273}\text{ Дж/К} = -3{,}7\cdot10^{-2}\text{ Дж/К}.$$

Заметим, что энтропия убывает, а не возрастает.

б) Для вычисления изменения энтропии всей системы можно воспользоваться соотношением (14-5), откуда имеем

$$\frac{\Delta Q_1}{T_1}+\frac{\Delta Q_2}{T_2} = 0.$$

Следовательно, полное изменение энтропии системы, состоящей из морозильной камеры и комнаты, равно нулю.

Из этого примера мы видим, что энтропия тела может уменьшаться. Такое уменьшение не противоречит второму закону термодинамики, поскольку он применим лишь к замкнутым системам: при совместном рассмотрении всех частей системы полное изменение энтропии либо равно нулю, либо положительно. Деятельность человека на Земле приводит к локальному уменьшению энтропии. Холодильники и тепловые насосы способны перекачивать тепло от холодного

тела к горячему. Человек может вручную или с помощью машины отделить хорошие орехи от плохих. Жизнь как биологическое явление характеризуется процессами, уменьшающими локальную энтропию (см. прим.* на с. 9). Всюду, где наблюдается локальное возрастание упорядоченности, противостоящее беспорядку, происходит локальное убывание энтропии. Однако полная система, включающая в себя первоисточник энергии — Солнце, характеризуется возрастанием суммарной энтропии.

§ 6. Обращение времени

Второй закон термодинамики, по-видимому, выделяет определенное направление хода времени. Действительно, если обратить время, то полная энтропия замкнутой системы стала бы убывать, тепло потекло бы от холодного тела к горячему и т. п. Рассмотрим подробнее, как будет выглядеть свободное расширение газа при обращении времени. Мы будем изучать систему, которая состоит из двух сосудов, разделенных перегородкой (рис. 14-10).

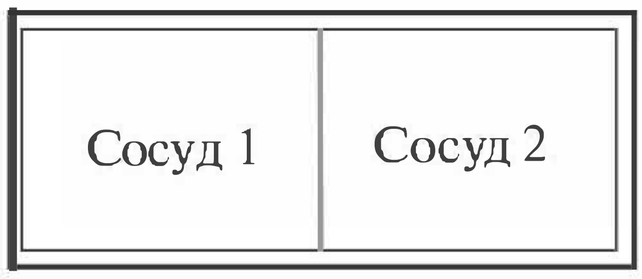


Рис. 14-10. Необратимый процесс. Первоначально газ находится в сосуде 1. После удаления перегородки газ расширяется и заполняет пустой сосуд 2

Объем каждого сосуда 1 см^3. Число частиц, находящихся в сосуде 1 при давлении 1 атм, равно числу Авогадро ($6{,}02\cdot10^{23}$), деленному на количество кубических сантиметров в 22,4 л, т. е. равно $2{,}7\cdot10^{19}$ частиц/см^3 (так называемое число Лошмидта. — *Прим. ред.*). Вначале сосуд 2 был пустым. Затем перегородка убирается, и через небольшой промежуток времени примерно половина всех частиц оказывается в сосуде 2. Иными словами, газ расширяется в вакуум. Сколько бы мы ни ждали, обратного процесса не произойдет. Число частиц в сосуде 2 будет лишь незначительно флуктуировать. Согласно математической статистике, в течение примерно 70 % времени в данном объеме количество частиц находится в интервале от $N-\sqrt{N}$ до $N+\sqrt{N}$, где N — среднее число частиц. В нашем случае эти предельные значения равны

$$1{,}35\cdot10^{19}\pm\sqrt{1{,}35\cdot10^{19}}=$$
$$=(1{,}35\pm0{,}00000000037)\cdot10^{19}.$$

Таким образом, флуктуации настолько малы, что обнаружить их практически невозможно, и уж совершенно невозможна столь крупная флуктуация, когда в сосуде 2 не останется ни одной частицы.

А теперь предположим, что после того, как в результате удаления перегородки половина частиц перешла из сосуда 1 в сосуд 2, время внезапно остановилось, а затем пошло в обратном направлении. Физически время никогда не идет вспять, но мы можем искусственно создать такую картину, например засняв весь эксперимент на кинопленку и запустив фильм задом наперед. При этом сосуд 2 самопроизвольно опустеет и в нем создастся вакуум. Перед нами парадокс. Мы хорошо знаем, что в природе так не бывает, чтобы открытый сосуд внезапно самопроизвольно опустел и в нем возник вакуум; однако при демонстрации фильма задом наперед мы не обнаружили нарушения ни одного из законов Ньютона. Фактически фильм продемонстрирует нам специфическую конфигурацию координат частиц и их

скоростей в сосуде 2, которая вынуждала бы частицы двигаться и сталкиваться таким образом, чтобы все они в конечном счете вылетали из сосуда 2. При этом ни один физический закон не нарушается. Парадокс устраняется тем, что кроме этой частной конфигурации частиц в сосуде 2 существует бесчисленное множество других конфигураций, при которых частицы распределены в обоих сосудах почти поровну. Поэтому на практике подобная начальная конфигурация, приводящая к вакууму в сосуде 2, хотя и допустима, но никогда не случается. Следовательно, процесс расширения газа в вакуум необратим, несмотря на то что в принципе возможно «спонтанное образование» вакуума.

Предположим, что кому-то удалось приготовить начальное состояние, обеспечивающее после некоторого числа соударений вылет всех частиц из одной половины сосуда, т. е. ее опустошение. Рисунком 14-11 иллюстрируется такое невероятное начальное состояние для системы из 40 твердых шариков. Однако при дальнейшем продолжении численного моделирования на компьютере нам пришлось бы просмотреть около 10^{12} картинок, прежде чем удалось бы снова обнаружить все 40 частиц в левой половине. Если бы компьютер выдавал по одной картинке в секунду, то на это потребовалось бы около 10^5 лет.

Вероятность того, что все N частиц окажутся в левой половине, равна $(1/2)^N$. Поэтому, если для системы из 10^{19} частиц выбрать в качестве начального искусственно приготовленное состояние, обеспечивающее образование вакуума в правой части сосуда, то мы обнаружим, что все частицы вновь быстро заполняют весь сосуд, после чего уже «никогда» больше не окажутся все в одной половине. В этом смысле второй закон термодинамики действует независимо от изменения направления времени. Запустим снова в обратном направлении фильм о расширении газа в вакуум после снятия перегородки между двумя половинами сосуда. Мы увидим, как половина сосуда становится пустой. Это явление можно интерпретировать как редкую флуктуацию или кратковременное уменьшение энтропии. Однако если продолжать прокручивать фильм назад (т. е. компьютер будет продолжать вычислять столкновения и движение частиц в «прошлом»), то энтропия начнет возрастать и второй закон термодинамики будет выполняться, несмотря на то что время направлено в прошлое.

Все действительно фундаментальные физические законы, с которыми мы до сих пор встречались, симметричны относительно обращения времени. Подобная симметрия (обратимость во времени) означает, что при обращении направления движения всех частиц (включая их вращательное движение) справедливы те же уравнения или законы. Этот фундаментальный принцип симметрии природы был подвергнут проверке в серии специальных экспериментов, поставленных с целью поиска возможных нарушений. В 1964 г. такое нарушение было обнаружено в слабых взаимодействиях (см. гл. 31). Если оно ограничивается слабым взаимодействием, то не будет влиять на сильное и электромагнитное взаимодействия, лежащие в основе ядерной и атомной физики. Кроме того, были обнаружены нарушения двух других фундаментальных принципов симметрии (сохранение четности и симметрии античастиц), проверка которых проводилась из тех же соображений, что и обратимость во времени. Ниспровержение трех этих принципов симметрии будет рассмотрено в гл. 31.

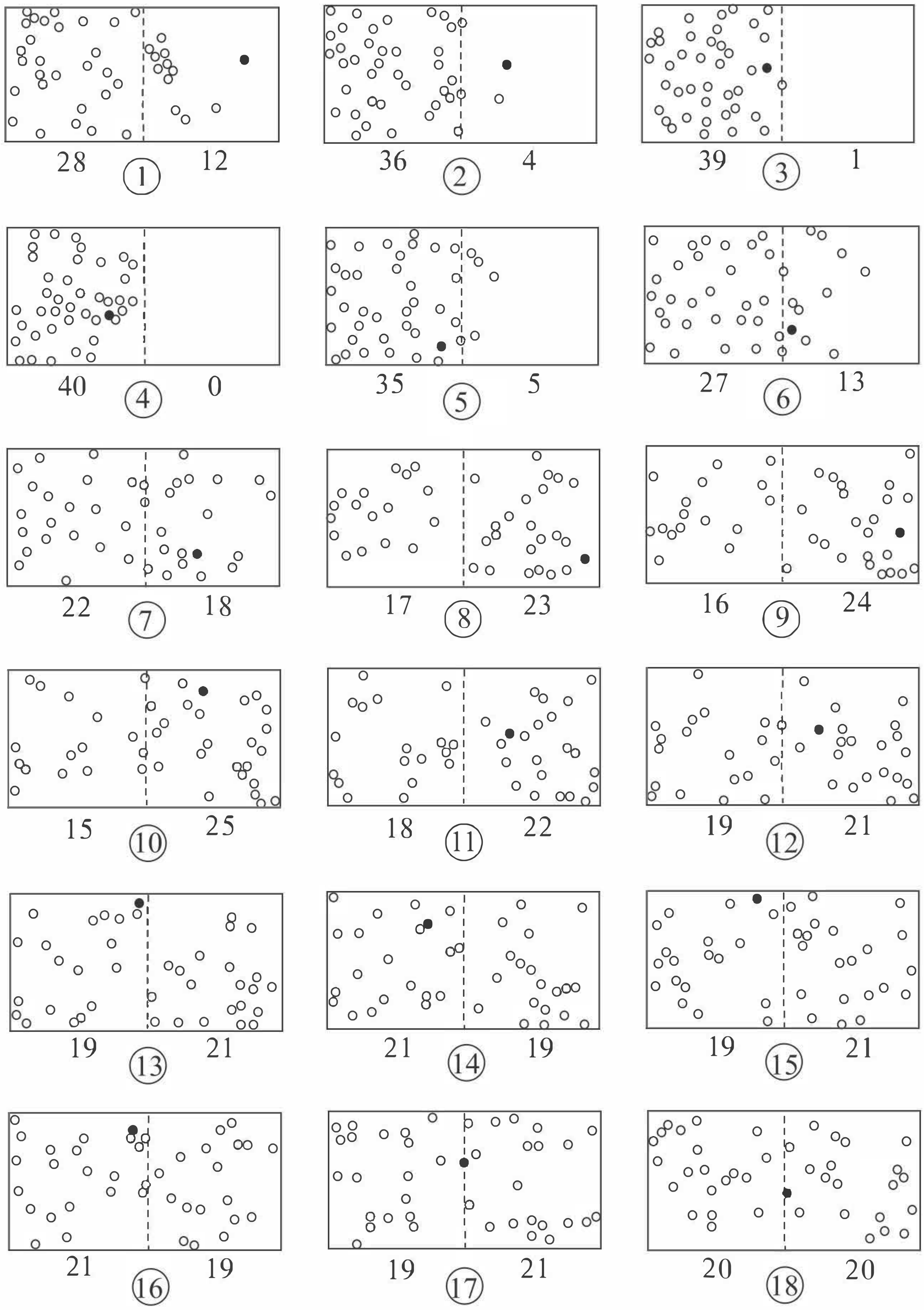


Рис. 14-11. Полученные с помощью компьютера конфигурации сталкивающихся между собой 40 твердых шариков. Конфигурация 1 весьма маловероятна, поскольку спустя три конфигурации все частицы оказываются в левой половине ящика. Повторение такого события возможно лишь через $\sim 10^{12}$ конфигураций. Между любыми соседними конфигурациями проходит один и тот же промежуток времени. Один из шариков изображен цветным кружком, так что можно проследить за его перемещением. [Воспроизводится из Берклеевского курса физики (Berkeley Physics Course, V. 5, by F. Reif.) Copyright © 1965 by McGraw-Hill, Inc. (См. русский перевод *Ф. Рейф* Статистическая физика. — М.: Наука, 1977.) Используется с разрешения McGraw-Hill Book Company.]

Основные выводы

Машина Карно работает с двумя тепловыми резервуарами, один из которых имеет температуру T_1, а другой T_2. При работе в прямом направлении она за один цикл извлекает тепло Q_1 из резервуара с T_1 и передает тепло Q_2 резервуару с T_2. При этом совершается работа $W = Q_1 - Q_2$.

Коэффициент полезного действия (КПД) $\varepsilon \equiv W/Q_1 = 1 - T_2/T_1$. Кроме того, имеет место соотношение $T_2/T_1 = Q_2/Q_1$, которое может быть положено в основу метода измерения температур (термодинамическая шкала температур).

Если машина Карно работает в обратном направлении, то из более холодного резервуара извлекается тепло Q_2', а более горячему резервуару передается тепло Q_1'. При этом внешние источники механической энергии должны совершить работу W', так что

$$\frac{Q_2'}{W'} = \frac{T_2}{T_1 - T_2}.$$

Второй закон термодинамики можно вывести, применяя методы математической статистики к уравнениям классической механики, в результате чего оказывается, что тепло не может самопроизвольно переходить от холодного тела к горячему. Эквивалентное утверждение состоит в том, что ни одна тепловая машина не может иметь КПД выше, чем машина Карно. Другая эквивалентная формулировка второго закона: «Полная энтропия замкнутой системы не может убывать». Энтропия определяется как

$$S \equiv k \ln p,$$

где p — вероятность обнаружить систему в данном состоянии. Эквивалентным этому является соотношение $dS = dQ/T$, где dQ — тепло, подводимое в систему обратимым способом. Еще одно эквивалентное утверждение: при возрастании энтропии замкнутой системы теряется полезная механическая энергия $\Delta W = T'\Delta S$, где T' — наиболее низкая температура в системе.

Упражнения

1. Обратите направления всех стрелок на рис. 14-2. Какие из приращений ΔW, ΔQ_1, ΔQ_2 станут при этом отрицательными? Останется ли справедливо соотношение $\Delta W = \Delta Q_1 - \Delta Q_2$?
2. Пусть величины на рис. 14-1 ΔQ_{ab} и ΔQ_{cd} обозначают количество тепла, поступающее к рабочему веществу на участках $a \to b$ и $c \to d$ соответственно. Найдите выражения для ΔQ_1 и ΔQ_2 через ΔQ_{ab} и ΔQ_{cd}. Что представляет собой ΔQ_{bc}?
3. Машина Карно получает энергию от океана, используя разность температур 5° между поверхностью и более холодными глубинными слоями воды. Пусть ежесекундно от этой машины на поверхность поступает 10^6 кал тепловой энергии. Какова в ваттах максимальная мощность этой машины?
4. Для случая, приведенного на рис. 14-3, запишите величины ΔQ_{cd} и ΔR_{bc} через и Q_2.
5. Холодильник Карно предназначен для охлаждения газообразного гелия до температуры 4 К. Сколько джоулей механической энергии требуется для того, чтобы изъять 1 Дж тепла из гелия, находящегося при этой температуре? (Температура горячего резервуара комнатная.)
6. Решите предыдущее упражнение для случая, когда температура образца гелия не 4 К, а 0,1 К.
7. Холодильник, основанный на цикле Карно, извлекает из охлаждаемого тела 140 Дж тепла. Это тепло передается теплообменнику, имеющемутемпературу 27 °С. Среднюю температуру охлаждаемого тела в процессе охлаждения можно считать равной 7 °С. Сколько работы в джоулях нужно затратить на этот процесс?

8. Предположим, что на рис. 14-6 $\varepsilon_s = 0{,}55$, а не 0,75. Чему равен полный перенос тепла от T_2 к T_1, если $Q_1 = 4$?

9. В примере 2 будем считать, что имеется 0,5 л H_2 и 1,5 л N_2, а не по одному литру каждого. Чему в таком случае будет равно приращение энтропии при смешивании?

10. Какова вероятность того, что все 40 частиц на рис. 14-11 окажутся в левой части сосуда?

11. Предположим, что в сосуде на рис. 14-11 содержится всего пять частиц. Какова вероятность того, что все пять частиц окажутся в левой части сосуда?

12. Пусть в приведенном на рис. 14-1 цикле Карно в качестве рабочего вещества используется идеальный газ. Докажите, что в этом случае КПД $\varepsilon = 1 - (V_b/V_c)^{\gamma-1}$.

13. Покажите, что для машины Карно $\Delta W = \Delta Q_2\,[(T_1/T_2) - 1]$.

14. Для обогрева дома используется тепловой насос с КИЭ = 12, потребляющий мощность 100 Вт. Сколько ватт тепла подает он в дом?

Задачи

15. Покажите, что КПД цикла Отто на рис. 13-7 равен $\varepsilon = 1 - (T_a/T_b)$.

16. При сжигании топлива на силовой станции вырабатывается 10^8 Вт механической мощности. Полный КПД станции равен 0,4.

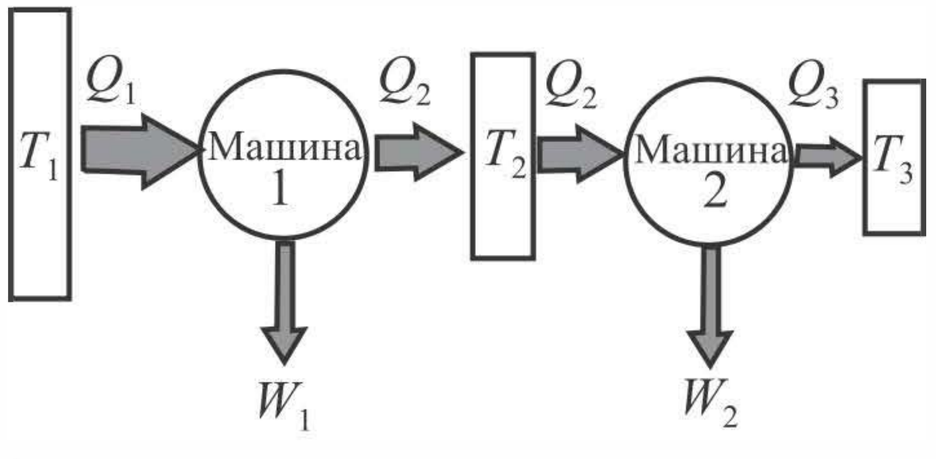
а) С какой скоростью производится балластное (неиспользуемое) тепло?

б) Это тепло удаляется системой водяного охлаждения. Чему должна быть равна скорость потока воды, чтобы ее температура возрастала на 5 °С?

17. Для приготовления кубиков льда домашний холодильник должен извлечь из морозильной камеры с температурой 260 К 50 ккал тепла. В комнате температура 300 К. Чему равна минимальная механическая энергия, необходимая для получения льда? (Считайте, что мы имеем дело с идеальным холодильником Карно.) Чему равна в ваттах потребляемая холодильником мощность электрического тока, если он извлекает тепло со скоростью 3 ккал/мин?

18. Один моль воздуха при давлении 1 атм и температуре 300 К адиабатически сжимается до давления 2 атм. Каковы его конечные объем и температура? Чему равно изменение энтропии?

19. Две машины Карно работают последовательно, как показано на рисунке. Машина 1 получает тепло Q_1 от резервуара T_1 и передает тепло Q_2 резервуару T_2, которое затем поступает в машину 2. Машина 2 передает тепло Q_3 резервуару T_3. Найдите общий КПД этой системы, т. е. отношение полной работы, деленной на величину Q_1 — тепло, обеспечивающее работу обеих машин.



20. С помощью идеального холодильника Карно нужно понизить температуру 1 моля газообразного гелия от комнатной (300 К) до 100 К. Какое количество работы в джоулях необходимо совершить для этого, если считать теплоемкость гелия постоянной и равной $5R/2$?

21. Решите еще раз предыдущую задачу, заменив конечную температуру 100 К на 10 К.

22. Вычислите, сколько джоулей тепла нужно забрать из воздуха в комнате размерами 10×5×3 м, чтобы уменьшить температуру на 20 К. Сколько при этом ватт электрической мощности потребит кондиционер воздуха с КИЭ = 6 Б.е.т./(ч·Вт), если мы хотим, чтобы он охладил воздух за 30 мин? Начальная температура комнаты 35 °С.

23. Предположим, что идеализированный тепловой насос работает не от тепловой машины, а от электродвигателя. Температура внутри помещения 300 К, а снаружи 273 К. Чему равен КПД такой системы в соответствии со вторым законом термодинамики?

24. При скорости 80 км/ч автомобиль испытывает сопротивление 500 Н. На такой скорости он затрачивает 4 л топлива на 60 км пути. Найдите КПД этой системы в соответствии со вторым законом термодинамики.

25. Пусть в примере 4 один кусок железа, находящийся при температуре 100 °С, имеет массу 2 кг, а другой, как и прежде, имеет массу 1 кг и температуру 0 °С. После того как между ними установится контакт, какой станет окончательная температура и насколько изменится энтропия этой системы?

26. Насколько понизится энтропия гелия в задаче 20?

27. Для измерения теплоемкости образца металлического сплава производится следующий эксперимент. Образец массой 200 г погружается на длительное время в кипящую воду. Затем он быстро переносится из кипящей воды в теплоизолированный калориметр, содержащий 300 г холодной воды с первоначальной температурой 20 °С (комнатная температура). Обнаружено, что температура калориметра возросла на 30 °С, после чего рост ее прекратился.

а) Найдите теплоемкость образца. Теплоемкостью калориметра можно пренебречь. [Удельная теплоемкость воды 1 кал/(г·К).]

б) Считая теплоемкости сплава и воды постоянными в рассматриваемых интервалах температур, определите изменение энтропии сплава ΔS_A, воды ΔS_W, а также всей системы.

15

Электростатическая сила

В следующих шести главах мы займемся изучением, возможно, самого важного раздела физики — электромагнитных взаимодействий. Эти взаимодействия не только объясняют все электрические явления, но и обеспечивают силы, благодаря которым вещество на атомном и молекулярном уровне существует как целое. Даже главы, посвященные излучению и оптике и расположенные вслед за этими шестью главами, также, в сущности, имеют дело с электромагнитными взаимодействиями, поскольку свет представляет собой электромагнитное излучение. В последующих главах электромагнитные взаимодействия изучаются на основе квантовой механики: это позволяет объяснить существование и свойства атомов, молекул и твердых тел. Таким образом, в некотором смысле вся оставшаяся часть книги посвящена изучению теории электричества и ее приложениям.

§ 1. Электрический заряд

До сих пор мы имели дело лишь с одним фундаментальным взаимодействием — гравитационным. Если вычислить силу гравитационного притяжения между электроном и протоном, находящимися на расстоянии, равном радиусу атома водорода, то мы получим следующий результат:

$$F = G\frac{m_p m_e}{R_H^2} = 3{,}61\cdot 10^{-47}\ \text{Н}.$$

Однако между электроном и протоном действует еще одна сила притяжения, равная $8{,}19\cdot 10^{-8}$ Н, т. е. в $2{,}27\cdot 10^{39}$ раз большая! Эта *намного* бóльшая сила также подчиняется закону обратных квадратов. Она называется электростатической или электрической силой.

Мы знаем, что обычные вещества построены из электронов, протонов и нейтронов. Но если силы, действующие между электронами и протонами, а также между электронами, значительно больше гравитационных сил, то как гравитационное взаимодействие больших объектов может оказаться сильнее электростатического? Это объясняется тем, что электростатическое отталкивание двух электронов (или двух протонов) в точности совпадает по величине с притяжением между электроном и протоном, расположенными на таком же расстоянии друг от друга. В больших объемах количество электронов и протонов одинаково, и поэтому огромные силы электростатического притяжения и отталкивания взаимно компенсируются и остается лишь очень слабая гравитационная сила.

Источником гравитационной силы является так называемая гравитационная масса (см. с. 81), своего рода гравитационный заряд. Аналогично электростатическая сила порождается электрическим зарядом. (Часто его называют просто «зарядом», опуская прилагательное «электрический».) Масса и заряд частицы имеют определенные численные значения,

которые свидетельствуют о том, насколько сильно на частицу действуют соответственно гравитационная и электростатическая силы. Эти силы действуют независимо друг от друга, и между зарядом тела и его массой не существует определенного соотношения. В отличие от массы электрический заряд может быть как положительным, так и отрицательным. Два заряда противоположных знаков притягиваются, а два заряда, имеющие одинаковые знаки, отталкиваются (рис. 15-1).

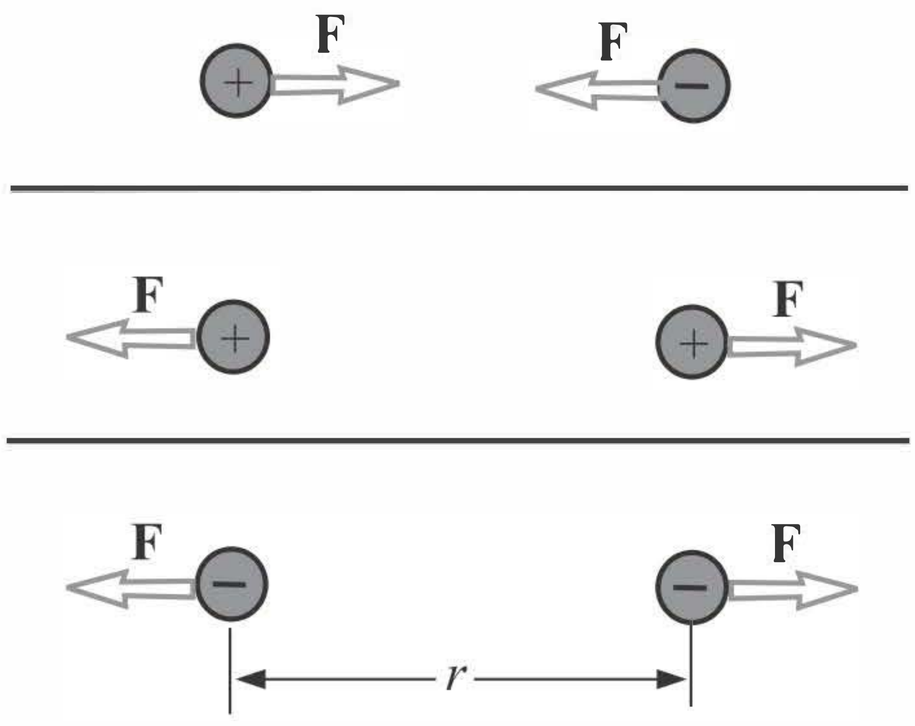


Рис. 15-1. Зависимость ориентации электростатической силы от знака зарядов

Отталкивание зарядов одинаковых знаков можно продемонстрировать, потерев два воздушных шарика шерстяной тканью. Некоторое число внешних электронов атомов шерсти перейдет к атомам воздушных шариков, и оба шарика будут заряжены отрицательно. Если один из шариков приближать к другому, то они будут отталкиваться, даже не коснувшись друг друга, демонстрируя пример силы, действующей на расстоянии.

Квантование заряда

Эксперименты показывают, что ни у одной из заряженных частиц не встречается заряд, который был бы меньше заряда протона или электрона. Этот элементарный заряд равен $1{,}60 \cdot 10^{-19}$ кулона и обозначается символом e. Некоторые элементарные частицы, такие как нейтрон, фотон и нейтрино, имеют нулевой электрический заряд. Заряженные тела могут иметь лишь заряд, равный целому кратному* e.

Сохранение заряда

Один из самых фундаментальных физических законов — закон сохранения заряда — был впервые сформулирован Франклином в 1747 г. Этот закон утверждает, что в замкнутой системе полный заряд (разность величин положительного и отрицательного зарядов) остается постоянным. Этот закон не нарушается даже при аннигиляции заряженных частиц. При аннигиляции электрона с позитроном исчезает как положительный, так и отрицательный заряд, однако полный заряд остается нулевым как до, так и после аннигиляции. Закон сохранения заряда надежно проверен в многочисленных точных экспериментах.

§ 2. Закон Кулона

Подобно гравитационной силе, описываемой законом всемирного тяготения, сила, действующая между двумя заряженными частицами, пропорциональна произведению зарядов q_1 и q_2 и обратно пропорциональна квадрату расстояния r между ними:

$$F = k_0 \frac{q_1 q_2}{r^2} \ (\textit{закон Кулона}), \qquad (15\text{-}1)$$

где k_0 — коэффициент пропорциональности, определяемый из эксперимента.

---

* Это утверждение не выполняется для кварков, которые, правда, не наблюдаются в свободном состоянии (подробнее см. § 6 гл. 31). — *Прим. ред.*

Зависимость F от q и r проверена с высокой степенью точности.

В системе единиц СГС для определения единицы заряда используется выражение (15-1), в котором k_0 полагается равным единице; единичный заряд по определению взаимодействует с равным ему электрическим зарядом, расположенным от него на расстоянии 1 см, с силой в одну дину. Это абсолютная электростатическая единица количества электричества и обозначается СГСЭ. Таким образом, в системе СГС

$$F = \frac{q_1 q_2}{r^2}$$

(q измеряется в единицах СГСЭ).

В системе МКС или СИ заряд определяется через магнитную силу, действующую между двумя одинаковыми элементами токов. Как мы увидим в гл. 17, это приводит к значительно большей величине единичного заряда, которая связана с единицей СГС через скорость света. Единица заряда в системе СИ называется кулоном и обозначается Кл. Кулон и единица СГСЭ связаны следующим соотношением:

$1\ \text{Кл} = 2{,}998 \cdot 10^9$ СГСЭ.

Коэффициент перехода $2{,}998 \cdot 10^9$ в точности равен скорости света, умноженной на 10.

Постоянную k_0 в системе СИ можно найти с помощью уравнения (15-1):

$$k_0 = \frac{Fr^2}{q_1 q_2}.$$

Полагая $q_1 = q_2 = 1$ СГСЭ, $r = 1$ см и $F = 1$ дина, получаем

$$k_0 = \frac{(1\ \text{дина})(1\ \text{см})^2}{[1\ \text{СГСЭ}]^2} = \frac{\left(10^{-5}\ \text{Н}\right)\left(10^{-2}\ \text{м}\right)^2}{\left[1\ \text{Кл}/\left(2{,}998 \cdot 10^9\right)\right]^2},$$

$k_0 = 8{,}988 \cdot 10^9\ \text{Н}\cdot\text{м}^2/\text{Кл}^2 \approx 9 \cdot 10^9\ \text{Н}\cdot\text{м}^2/\text{Кл}^2$.

Коэффициент $9 \cdot 10^9$ не только обеспечивает надлежащую точность, но и легко запоминается. В системе СИ постоянную k_0 обычно записывают в виде $1/4\pi\varepsilon_0$. Тогда

$$F = \frac{1}{4\pi\varepsilon_0}\frac{q_1 q_2}{r^2},$$

где

$$\varepsilon_0 \equiv 1/4\pi k_0 = 8{,}854 \cdot 10^{-12}\ \text{Кл}^2/(\text{Н}\cdot\text{м}^2). \qquad (15\text{-}2)$$

Эта величина называется электрической постоянной.

В настоящей книге мы будем записывать уравнения теории электричества, используя k_0, а не ε_0. Это не только упрощает некоторые вычисления, но и придает одинаковый вид уравнениям в системах СИ и СГС. Для перехода из системы СИ в СГС достаточно просто положить $k_0 = 1$. Для углубленного изучения физики необходимо помнить уравнения электромагнетизма как в обозначениях системы СГС (называемой также гауссовой), так и в обозначениях системы СИ. Мы будем пользоваться в изложении в равной степени системами СИ и СГС.

---

* **Пример 1.** Два шара из углерода имеют небольшой избыток электронов. Каково должно быть отношение числа электронов к числу протонов, чтобы электростатическое отталкивание в точности компенсировало силу гравитационного притяжения?

Решение: По условию

$$F_E = F_G,$$

т. е.

$$k_0 \frac{q_1 q_2}{r^2} = G\frac{m_1 m_2}{r^2}$$

(здесь q_1 и q_2 — заряды, а m_1 и m_2 — массы шаров). Таким образом, можно записать

$$\left(\frac{q_1}{m_1}\right)\left(\frac{q_2}{m_2}\right)=\frac{G}{k_0}.$$

Если у обоих шаров отношения числа электронов к числу протонов одинаковы, то

$$\frac{q_1}{m_1}=\sqrt{\frac{G}{k_0}}.$$

Кроме того,

$$q_1=(N_e-N_p)\,e,$$

где N_e — число электронов, а N_p — число протонов. Масса первого шара

$$m_1=N_p m_p+N_n m_n+N_e m_e,$$

где m_p, m_n и m_e — массы протона, нейтрона и электрона соответственно. Учитывая, что $m_p \approx m_n \gg m_e$ и $N_p = N_n$, получаем $m_1 \approx 2N_p m_p$. Тогда

$$\frac{q_1}{m_1}=\frac{\left(N_e-N_p\right)e}{2N_p m_p}=\sqrt{\frac{G}{k_0}},$$

$$\frac{\left(N_e-N_p\right)}{N_p}=\frac{2m_p}{e}\sqrt{\frac{G}{k_0}}=1{,}8\cdot10^{-18}.$$

Таким образом, для компенсации гравитационного притяжения необходим лишь один дополнительный электрон на каждые $5\cdot10^{17}$ протонов.

Принцип суперпозиции

До сих пор мы рассматривали силу, действующую на одно заряженное тело со стороны другого заряженного тела. Предположим теперь, что, кроме рассматриваемого тела, присутствует еще несколько заряженных тел. Какой будет в этом случае электростатическая сила, действующая на первое тело? Мы решим эту задачу способом, аналогичным рассмотрению гравитационной силы, а именно, для получения результирующей силы сложим векторно силы, действующие между каждой парой тел. На рис. 15-2 на заряд q действует сила $\mathbf{F} = \mathbf{F}_1 + \mathbf{F}_2 + \mathbf{F}_3$. Это утверждение кажется очевидным, однако мы не можем вывести его из каких-либо более фундаментальных соображений. Принцип суперпозиции для случая с электростатическими силами следует проверять экспериментально. К счастью, он подтверждается.

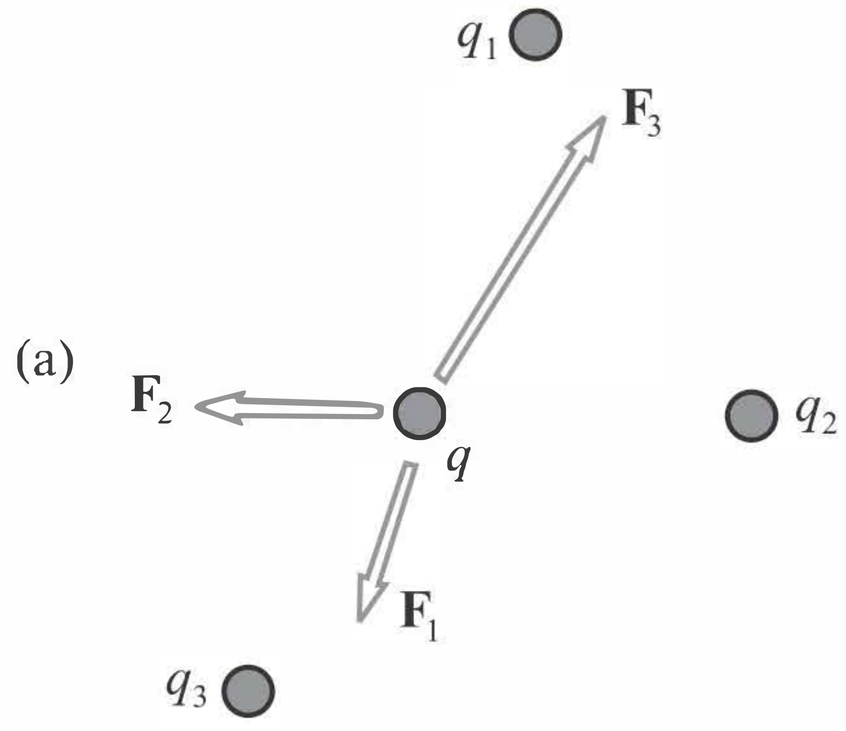


Рис. 15-2. *а* — силы, действующие на заряд q со стороны зарядов q_1, q_2 и q_3 (здесь – одноименных с q); *б* — результирующая сила $\mathbf{F}$ получается векторным сложением сил, действующих на заряд

Нам встретятся задачи, в которых источником электростатических сил будут протяженные тела с равномерным распределением заряда, такие как заряженный проводник или заряженная прямоугольная пластинка. В этом случае $\mathbf{F} = \int d\mathbf{F}$, где $d\mathbf{F}$ — сила, действующая со стороны отдельного элемента заряда. Мы будем иметь дело со следующими величинами:

линейной плотностью заряда λ, измеряемой в кулонах на метр (Кл/м), поверхностной плотностью заряда σ, измеряемой в кулонах на квадратный метр (Кл/м^2), и объемной плотностью заряда ρ, измеряемой в кулонах на кубический метр (Кл/м^3).

Пример 2. Электрический диполь представляет собой два заряда $+Q$ и $-Q$, расположенные на расстоянии l друг от друга; он характеризуется величиной электрического дипольного момента $p \equiv Ql$. Какую силу испытывает заряд q, расположенный, как показано на рис. 15-3?

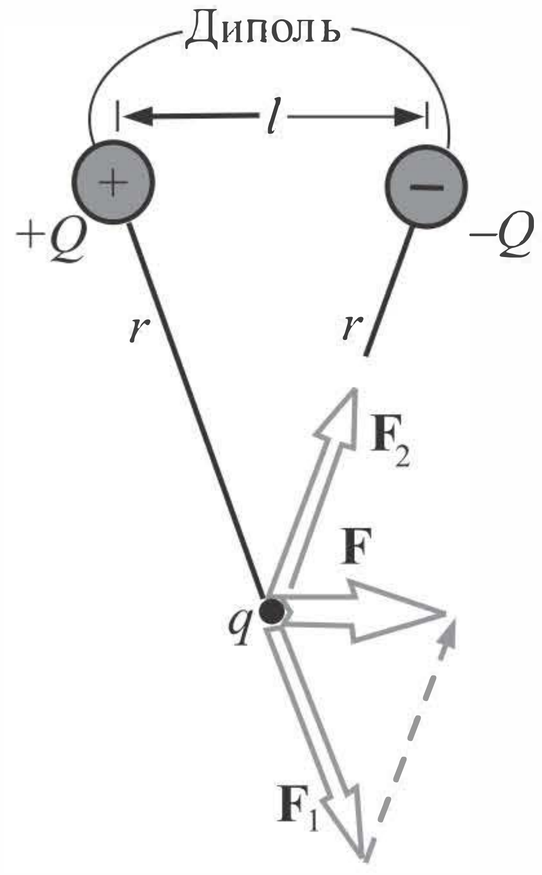


Рис. 15-3. Силы, действующие на заряд q со стороны диполя с $p = Ql$

Решение: Из рис. 15-3 видно, что треугольник сил, действующих на заряд q, подобен треугольнику, в вершинах которого расположены заряды q, $+Q$ и $-Q$. Поэтому
$F/F_1 = l/r$,

$$F = \frac{l}{r}F_1 = \frac{l}{r}\left(k_0\frac{Qq}{r^2}\right) = qk_0\frac{Ql}{r^3} = qk_0\frac{p}{r^3}.$$

Таким образом, сила, действующая со стороны диполя на заряд q, обратно пропорциональна кубу расстояния между ними. Общий случай, когда заряд q расположен под произвольным углом к оси диполя, мы рассмотрим в примере 6 гл. 16.

§ 3. Электрическое поле

В § 6 гл. 5 мы ввели понятие гравитационного поля. Гравитационное поле в любой точке пространства можно найти, поместив в эту точку массу m и измерив результирующую гравитационную силу F_G, действующую на эту массу. По определению напряженность гравитационного поля равна F_G/m. По аналогии напряженность электрического поля можно определить как отношение электрической силы, действующей на пробный заряд, к величине этого заряда. Чтобы измерить напряженность электрического поля E в некоторой точке P, нужно поместить в эту точку пробный заряд q и измерить действующую на него силу **F**. При этом нужно убедиться, что присутствие заряда q не меняет положения остальных зарядов. Таким образом,

$$\mathbf{E} \equiv \frac{\mathbf{F}}{q} \quad (\textit{определение электрического поля}). \tag{15-3}$$

Направление электрического поля совпадает с направлением силы, действующей на положительный заряд. Величина E измеряется в ньютонах на кулон (Н/Кл) или, как будет показано в следующей главе, в вольтах на метр (В/м), что то же самое.

Для примера рассмотрим электрическое поле в точке P для случая, изображенного на рис. 15-4. Точка P лежит на перпендикуляре, восстановленном из середины отрезка, соединяющего заряды $+Q$ и $-Q$. Если в (15-3) подставить выражение для силы из примера 2, то мы получим

$$E = \frac{qk_0\left(p/r^3\right)}{q} = k_0\frac{p}{r^3}.$$

Поле E в точке P направлено вправо.

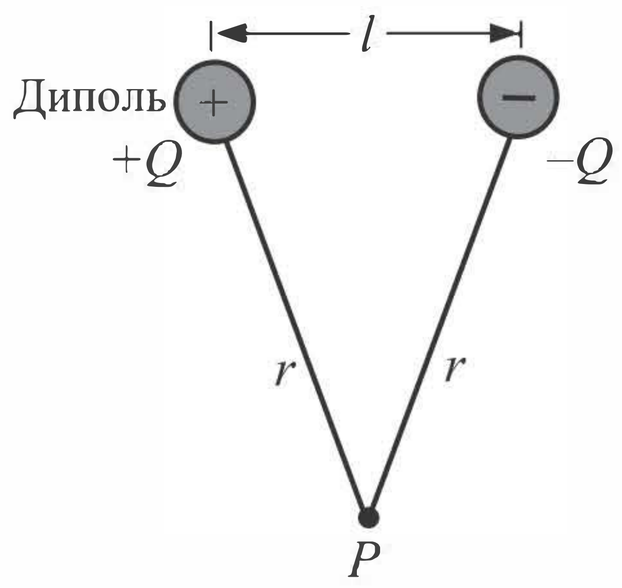


Рис. 15-4. То же, что на рис. 15-3, но при отсутствии заряда в точке P.

Электрическое поле точечного заряда Q на расстоянии r от него дается выражением

$$\mathbf{E} = \frac{1}{q}\mathbf{F} = \frac{1}{q}\left(k_0 \frac{Qq}{r^2}\hat{\mathbf{r}}\right),$$

$$\mathbf{E} = k_0 \frac{Qq}{r^2}\hat{\mathbf{r}} \quad (\textit{электрическое поле точечного заряда}), \qquad (15\text{-}4)$$

где $\hat{\mathbf{r}}$ — единичный вектор, направленный от Q к P.

Электрическое поле, создаваемое n точечными зарядами, дается следующей векторной суммой:

$$E = k_0 \sum_{j=1}^{n} \frac{Q_j}{r_j^2}\hat{\mathbf{r}}_j .6$$

Пример 3. По кольцу радиусом R распределен равномерно заряд Q. Найдите составляющую электрического поля вдоль оси кольца на расстоянии x_0 от его центра.

Решение: Из рис. 15-5 видно, что поле

$$dE_x = dE\,(\cos\alpha)$$

создается элементом dl кольца, где $\cos\alpha = x_0/r$. Если $\lambda = Q/2\pi R$ — линейная плотность заряда, то

$$dE = k_0 \frac{\lambda\, dl}{r^2}$$

и

$$dE_x = k_0 \frac{\lambda\, dl}{r^2}\frac{x_0}{r}.$$

Таким образом,

$$E = E_x = \frac{k_0 \lambda x_0}{r^2}\int dl = \frac{k_0 \lambda x_0}{r^2}(2\pi R) =$$

$$= \frac{k_0 x_0 Q}{\left(x_0^2 + R^2\right)^{3/2}}.$$

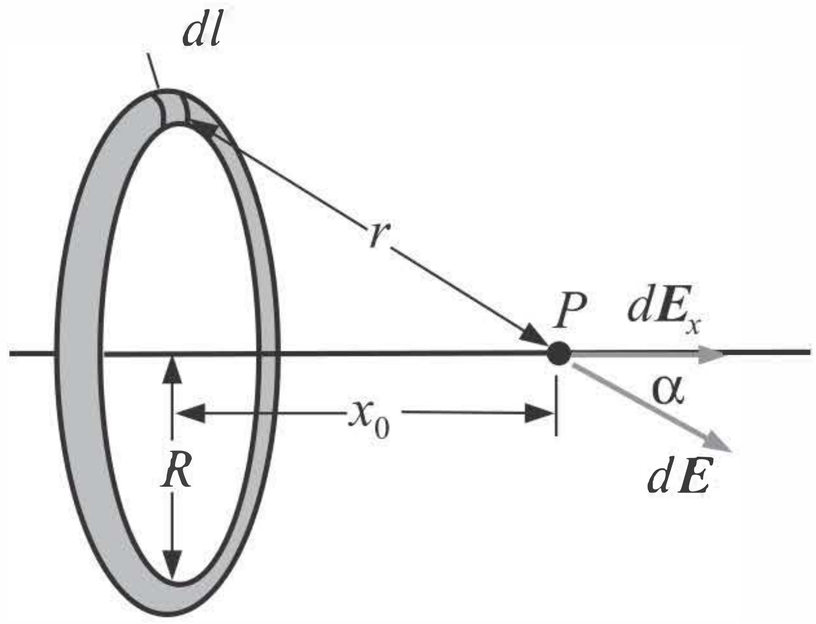
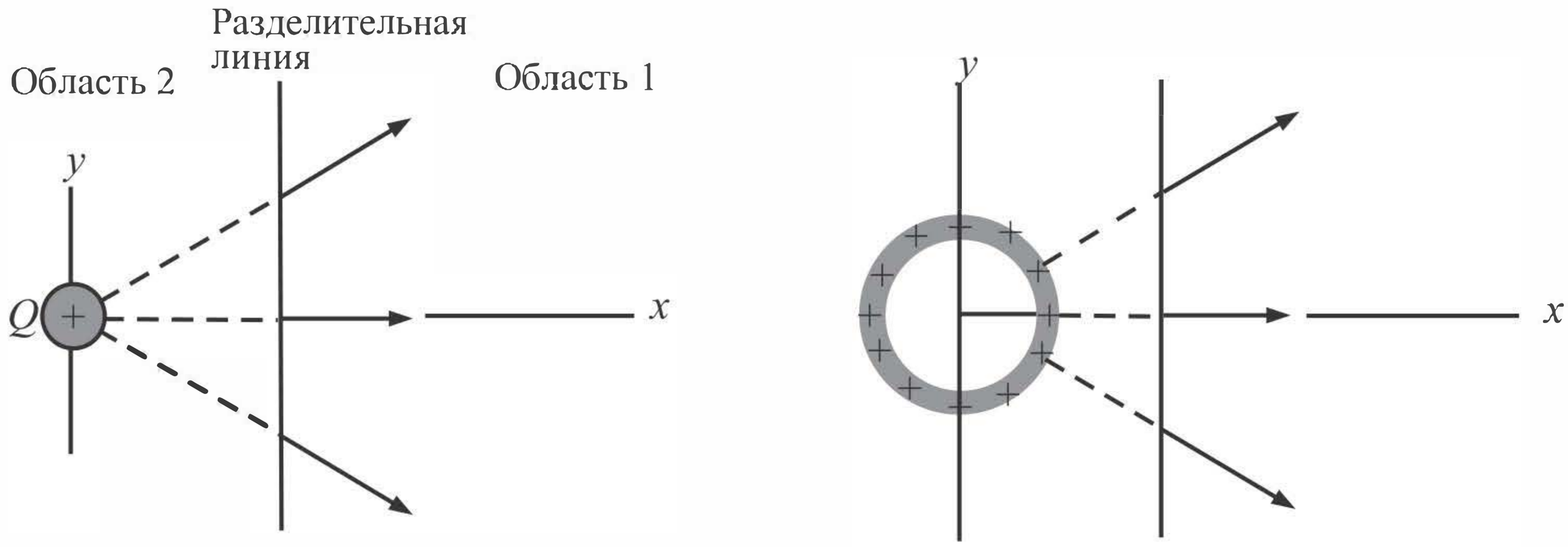


Рис. 15-5. Поле, создаваемое равномерно заряженным кольцом с полным зарядом Q

В центре кольца $x_0 = 0$ и $E = 0$. При $x_0 \gg R$ имеем $E \to k_0 Q/x_0^2$, что совпадает с электрическим полем точечного заряда Q на том же расстоянии.

Одно из преимуществ использования понятия электрического поля заключается в том, что при этом мы избегаем необходимости касаться детальной природы источника поля. Например, на рис. 15-6, *а* и *б* поле в области I в обоих случаях равно $E = k_0 Q/r^2$. Тем не менее поле такой конфигурации может быть создано самыми разнообразными источниками. Это может быть либо точечный заряд, как на рис. 15-6, *а*, либо равномерно заряженная сфера (рис. 15-6, *б*). Никакими измерениями в интересующей нас области (например, в области I) нельзя установить истинное распределение заряда источника поля. Кроме того, источник поля



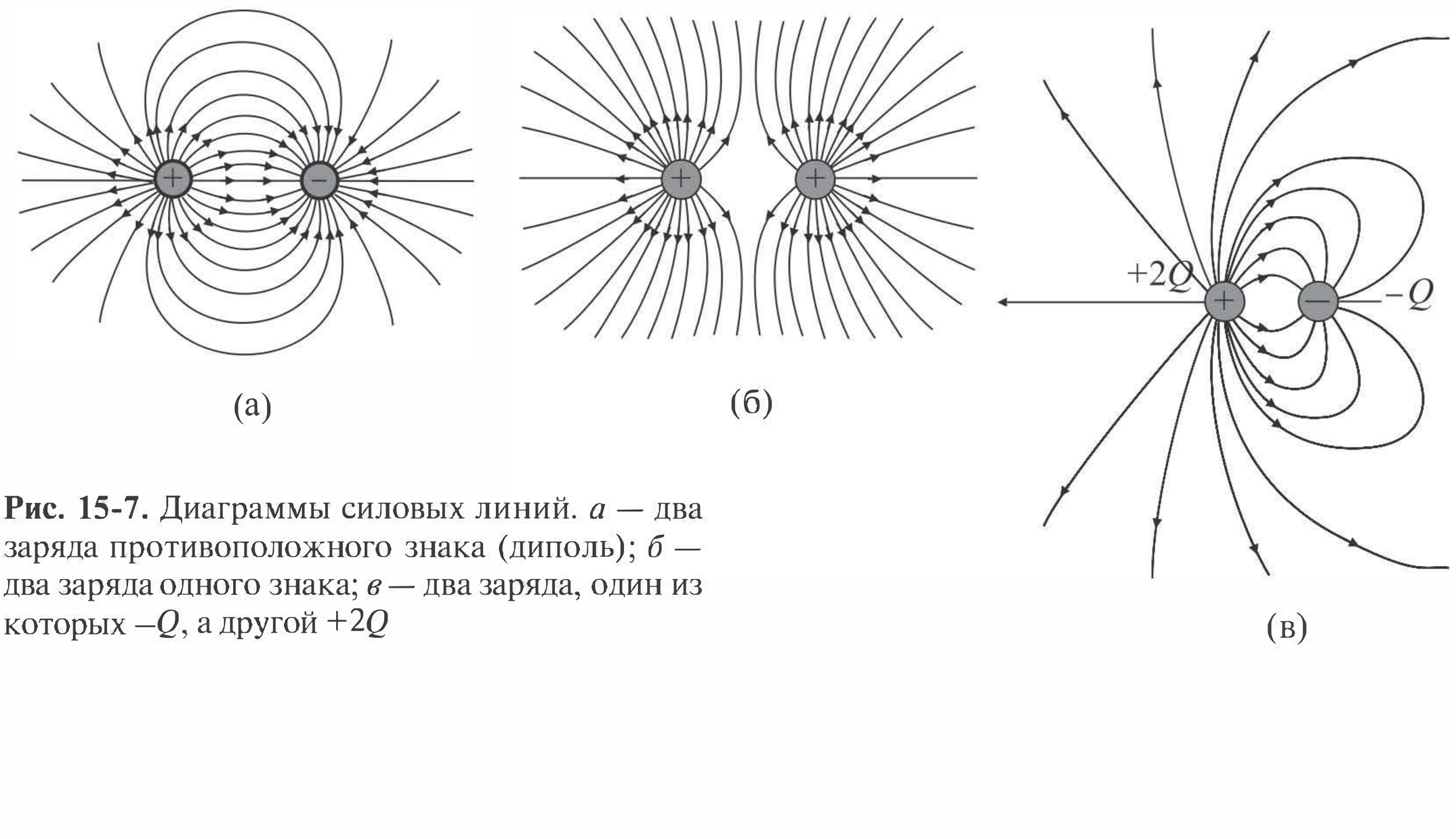
(а) (б)

Рис. 15-6. В обоих случаях *а* и *б* напряженности поля одинаковы в каждой точке области I. Никаким способом нельзя определить распределение заряда в области II по измерениям поля в области I

может перемещаться. В этом случае использование представления об электрическом поле позволяет учитывать релятивистские эффекты, такие, как невозможность распространения сигнала со скоростью, превышающей скорость света. Мы увидим, что электрическое поле — реальный физический объект, который характеризуется своими значениями локальной энергии и импульса. В рамках представления о поле все силы оказываются локальными, и тем самым удается избежать действия сил на расстоянии.

§ 4. Электрические силовые линии

Направление напряженности поля **E** в пространстве можно изобразить непрерывными линиями (рис. 15-7). Направление этих линий в каждой точке совпадает с направлением поля; они называются силовыми линиями электрического поля. Силовые линии полезны не только тем, что наглядно демонстрируют направление поля, но и тем, что с их помощью можно охарактеризовать величину поля **E** в любой области пространства. Для этого плотность силовых линий численно должна быть равна величине напряженности электрического поля. На рис. 15-8 мы выбрали площадку ΔA, перпендикулярную направлению поля **E**. *Вектор* $\Delta\mathbf{A}$



(а) (б) (в)

Рис. 15-7. Диаграммы силовых линий. *а* — два заряда противоположного знака (диполь); *б* — два заряда одного знака; *в* — два заряда, один из которых $-Q$, а другой $+2Q$

по определению перпендикулярен площадке и, следовательно, параллелен **E**. Длина вектора $\Delta\mathbf{A}$ численно равна площади ΔA.

Пусть $\Delta\Phi$ — число линий, пересекающих ΔA. Тогда

$$E = \Delta\Phi/\Delta A,$$

или

$$\Delta\Phi = E\,\Delta A.$$

Рассмотрим теперь показанную штриховыми линиями на рис. 15-8 площадку $\Delta A'$, которая повернута относительно ΔA на угол a и через которую проходит такое же число силовых линий $\Delta\Phi$. Таким образом,

$$\Delta A' = \frac{\Delta A}{\cos\alpha}.$$

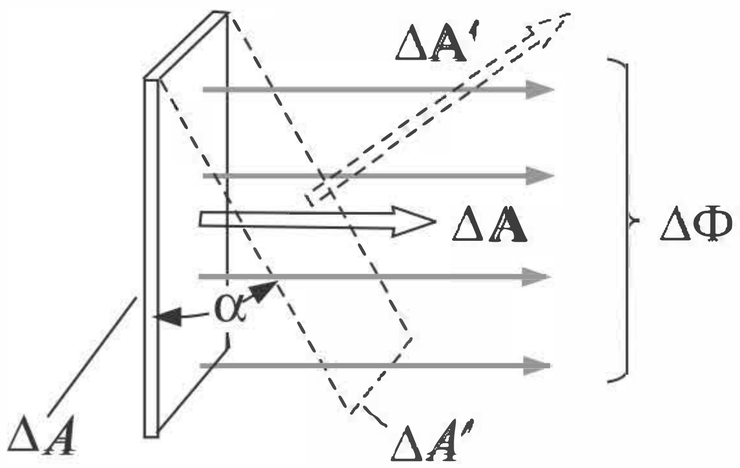


Рис. 15-8. Четыре силовые линии пересекают площадки ΔA и $\Delta A'$, расположенные под углом a друг относительно друга. Площадка ΔA перпендикулярна силовым линиям.

С другой стороны, скалярное произведение векторов

$$\mathbf{E}\cdot\Delta\mathbf{A}' = E(\Delta A')\cos\alpha = E\left(\frac{\Delta A}{\cos\alpha}\right)\cos\alpha =$$

$$= E\Delta A = \Delta\Phi.$$

Отсюда мы видим, что в общем случае число силовых линий равно

$d\Phi = \mathbf{E}\,d\mathbf{A}$ (*поток электрического поля, или число силовых линий*). (15-5)

Полный поток через поверхность S равен величине $\mathbf{E}\cdot d\mathbf{A}$, просуммированной по всей поверхности:

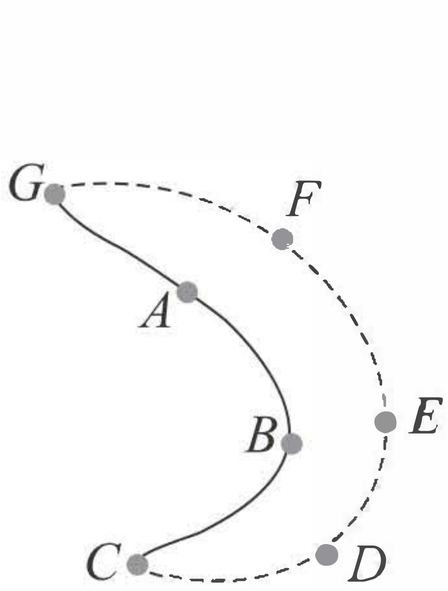
$$\Phi = \sum_{\text{По поверхности}} \mathbf{E}\cdot\Delta\mathbf{A}.$$

Это выражение можно написать в виде поверхностного интеграла:

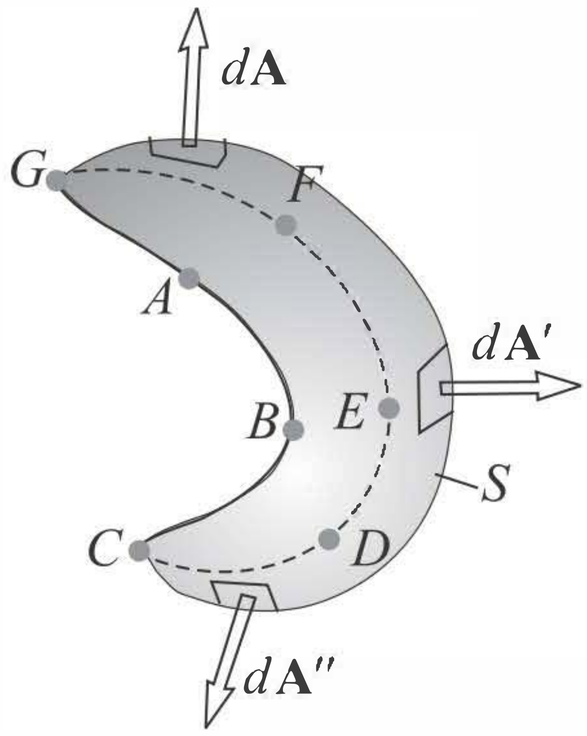
$$\Phi = \int_S \mathbf{E}\cdot d\mathbf{A}.$$

На рис. 15-9 изображена поверхность S, на которой выделены три произвольные площадки. Величина Ф, равная числу силовых линий, пересекающих поверхность S, называется потоком через поверхность S. Поток — это просто другое название для числа силовых линий.

Может показаться, что для выполнения условия (15-5) при удалении от источника должны возникать новые (или



(а)



(б)

Рис. 15-9. *а* — кривая, проходящая через точки от A до G, ограничивает поверхность S; *б* — на поверхности S показаны три элементарные площадки. Поверхность не обязательно должна быть плоской, и мы выбрали поверхность, обращенную выпуклостью к нам

исчезать старые) линии. Однако сейчас мы покажем, что в случае с точечным зарядом число силовых линий остается постоянным при любых значениях r. Окружим заряд Q воображаемой сферой радиусом r_1, как показано на рис. 15-10. Поскольку площадь сферы равна $4\pi r_1^2$, число силовых линий, пересекающих эту сферу, равно произведению E на площадь:

$$\Phi = E\left(4\pi r_1^2\right) = \left(k_0 \frac{Q}{r_1^2}\right)\left(4\pi r_1^2\right) = 4\pi k_0 Q.$$

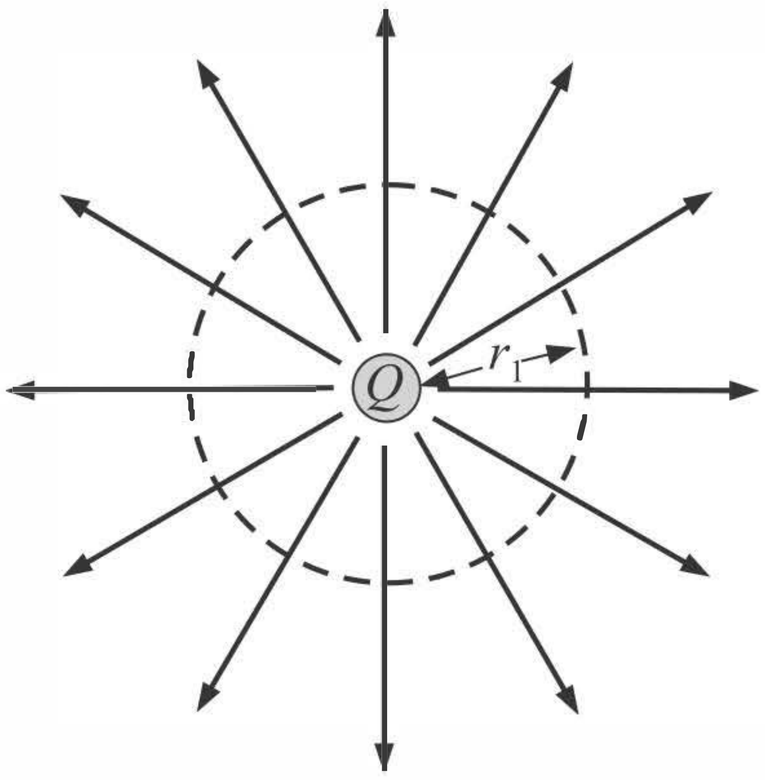


Рис. 15-10. Силовые линии точечного заряда пересекают воображаемую сферу радиусом r_1

Следует заметить, что полученный результат не зависит от r_1 и поэтому справедлив для всех значений r. Таким образом, полное число силовых линий, выходящих из точечного заряда Q, равно $4\pi k_0 Q$, и эти линии непрерывны на всем пути до бесконечности.

Теперь покажем, что число силовых линий равно $\Phi = 4\pi k_0 Q$, даже если замкнутая поверхность не является сферой. Мы уже знаем, что $\mathbf{E}\cdot d\mathbf{A} = \mathbf{E}\cdot d\mathbf{A}'$, если поверхности $d\mathbf{A}$ и $d\mathbf{A}'$ пересекает одно и то же число линий; следовательно,

$$\Phi = \sum_{\text{По сфере}} \mathbf{E}\cdot d\mathbf{A} = \int_{S'} \mathbf{E}\cdot d\mathbf{A}',$$

где S' — замкнутая поверхность любой формы, охватывающая заряд Q. Пусть $\oint \mathbf{E}\cdot d\mathbf{A}$ — это интеграл от $\mathbf{E}$ по замкнутой поверхности любой формы. Тогда

$$\oint \mathbf{E}\cdot d\mathbf{A} = 4\pi k_0 Q \qquad (15\text{-}6)$$

при условии, что поверхность охватывает изолированный точечный заряд. Такая замкнутая поверхность называется гауссовой поверхностью.

§ 5. Теорема Гаусса

Чтобы вывести теорему Гаусса, предположим, что замкнутая поверхность охватывает два точечных заряда Q_1 и Q_2 (рис. 15-11). Полное число линий, пересекающих эту поверхность, равно

$$\Phi_{\text{полн.}} = \oint \mathbf{E}\cdot d\mathbf{A} = \oint \left(\mathbf{E}_1 + \mathbf{E}_2\right)\cdot d\mathbf{A} = \oint \mathbf{E}_1\cdot d\mathbf{A} + \oint \mathbf{E}_2\cdot d\mathbf{A},$$

где $\mathbf{E}_1$ — поле, создаваемое зарядом Q_1, а $\mathbf{E}_2$ — поле, создаваемое зарядом Q_2. В соответствии с (15-6) имеем $\oint \mathbf{E}_1\cdot d\mathbf{A} = 4\pi k_0 Q_1$ и $\oint \mathbf{E}_2\cdot d\mathbf{A} = 4\pi k_0 Q_2$. Следовательно,

$$\Phi_{\text{полн.}} = 4\pi k_0 Q_1 + 4\pi k_0 Q_2 = 4\pi k_0 (Q_1 + Q_2).$$

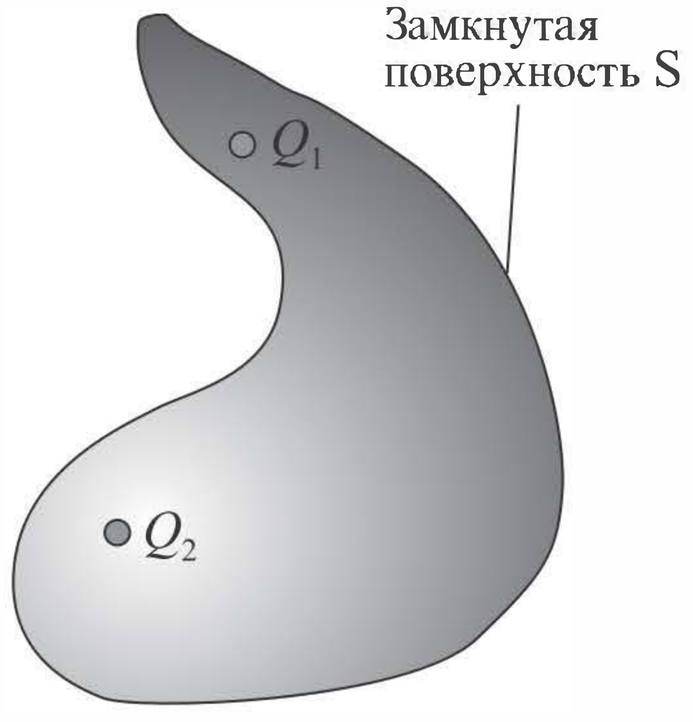


Рис. 15-11. Два точечных заряда в объеме, ограниченном поверхностью S

Мы показали, что в случае с двумя точечными зарядами полное число силовых линий, пересекающих замкнутую поверхность, равно произведению $4\pi k_0$ на величину полного заряда внутри этой поверхности. Проведенное нами рассуждение можно обобщить на случай, когда внутри замкнутой поверхности имеется n точечных зарядов. Тогда

$$\oint \mathbf{E} \cdot d\mathbf{A} = 4\pi k_0 Q_{\text{внутр.}} \ (\textit{теорема Гаусса}), \tag{15-7}$$

где $Q_{\text{внутр.}}$ — полный заряд внутри замкнутой поверхности. В общем случае полное число силовых линий, выходящих из заряженного тела, равно произведению $4\pi k_0$ на величину заряда этого тела. Если заряд Q отрицателен, то линии направлены внутрь тела. Силовые линии могут начинаться либо оканчиваться только на зарядах; в остальном пространстве они непрерывны. Если $4\pi k_0 Q_{\text{внутр.}}$ мало, то можно начертить микролинии, например, из условия, что одной линии соответствует 10^6 микролиний.

Теорема Гаусса справедлива независимо от присутствия зарядов вне замкнутой поверхности. Для примера рассмотрим замкнутую поверхность (рис. 15-12), внутри которой $Q_{\text{внутр.}} = 0$. Из рисунка видно, что должно присутствовать несколько внешних зарядов, создающих силовые линии, которые пронизывают замкнутую поверхность. Полный поток можно записать в виде суммы отдельных составляющих:

$$\Phi_{\text{полн.}} = \Phi_{ab} + \Phi_{bc} + \Phi_{cd} + \Phi_{da}.$$

Мы видим, что на рис. 15-12 из участка ab выходят три силовые линии; следовательно, $\Phi_{ab} = +3$. На участке bc внутрь поверхности входят пять линий, и, следовательно, $\Phi_{bc} = -5$. На участке cd из поверхности выходят шесть линий,

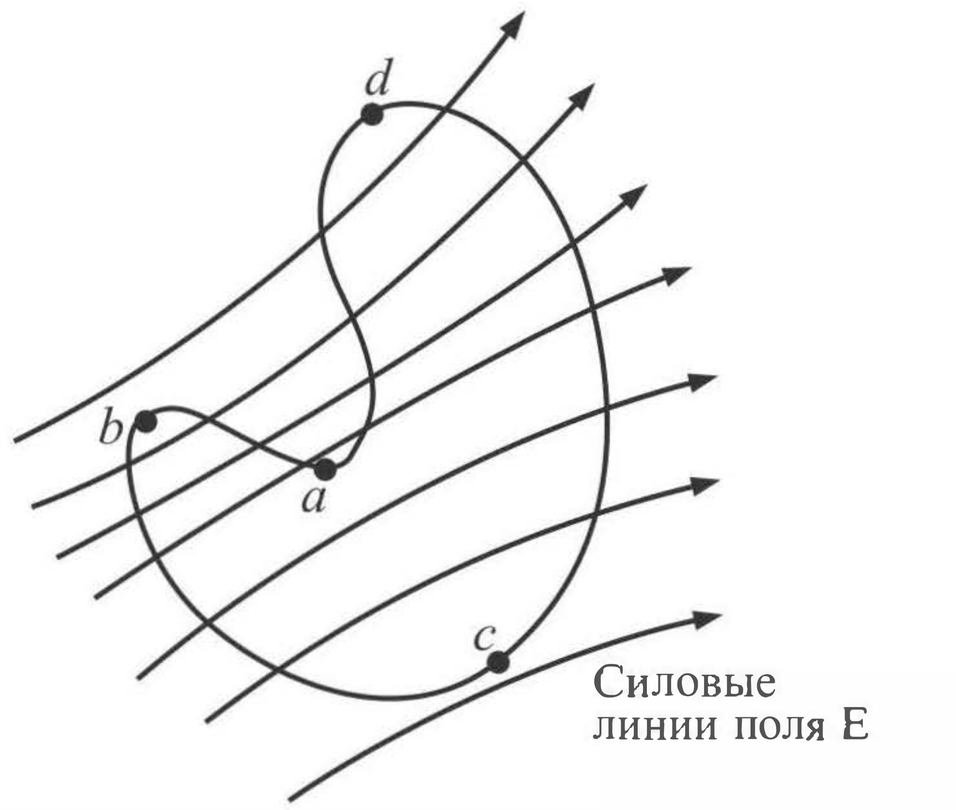


Рис. 15-12. Двумерное представление замкнутой поверхности в поле **E**, создаваемом внешним источником

и $\Phi_{cd} = +6$, а на участке da входят четыре линии, и $\Phi_{da} = -4$. Складывая эти четыре потока, получаем

$$\Phi_{\text{полн.}} = (+3) + (-5) + (+6) + (-4) = 0,$$

что согласуется с теоремой Гаусса (15-7). Очевидно, любая вошедшая внутрь поверхности линия должна выйти наружу, и, следовательно, полный поток равен нулю. (Входящая линия соответствует отрицательному потоку, а выходящая — положительному.)

Поскольку левая часть формулы (15-7) характеризует полное число силовых линий, пересекающих замкнутую поверхность, можно написать

$$\Phi = 4\pi k_0 Q_{\text{внутр.}},$$

или

(Число силовых линий, пересекающих замкнутую поверхность) $= 4\pi k_0$ (Полный заряд внутри поверхности).

Это иная формулировка теоремы Гаусса. Теорему Гаусса можно записать также с помощью ε_0, заменив k_0 на $1/4\pi\varepsilon_0$:

$$\oint \mathbf{E} \cdot d\mathbf{A} = \frac{1}{\varepsilon_0} Q_{\text{внутр.}}. \tag{15-8}$$

Формулы (15-7) и (15-8) представляют собой одно из четырех основных уравнений Максвелла, содержащих всю теорию электромагнетизма. Хотя теорема Гаусса математически эквивалентна закону Кулона, ее часто удобнее использовать для расчетов электрических полей или распределений заряда. В этом мы убедимся в гл. 16 при использовании теоремы Гаусса для вычисления электрического поля в следующих случаях: 1) вне заряженной сферы, 2) внутри и вне равномерно заряженного шара; 3) вне заряженного проводника; 4) внутри равномерно заряженного цилиндра; 5) вне заряженной пластины; 6) между двумя заряженными плоскостями; 7) внутри равномерно заряженной пластины.

Если с помощью закона Кулона пытаться найти поле вне равномерно заряженного шара, то для этого пришлось бы вычислить довольно сложный тройной интеграл. Именно таким способом Ньютон доказал, что поле тяготения Земли ведет себя так, как будто вся ее масса сосредоточена в центре Земли. Если бы Ньютону была известна теорема Гаусса, он мог бы провести доказательство в две строки, не занимая громоздкими расчетами многие страницы.

Большинство твердых тел можно разделить на два класса: проводники и изоляторы, или диэлектрики. Дополнительный заряд, помещенный на поверхности или внутри диэлектрика, остается неподвижным. Проводники, напротив, содержат большое число свободных электронов, не связанных с какими-либо конкретными атомами. Поэтому в проводнике электрическое поле может существовать лишь в течение короткого промежутка времени, пока свободные электроны не соберутся под действием внешнего поля на поверхности проводника и не создадут противоположно направленное поле.

В заключении этого параграфа с помощью теоремы Гаусса мы покажем, что сообщенный проводнику заряд должен оказаться на поверхности проводника, даже если этот заряд был введен внутрь проводника. На рис. 15-13 изображен проводник произвольной формы (он может быть даже пустотелым). Выберем непосредственно под поверхностью проводника замкнутую поверхность S, показанную на рисунке штриховой линией.

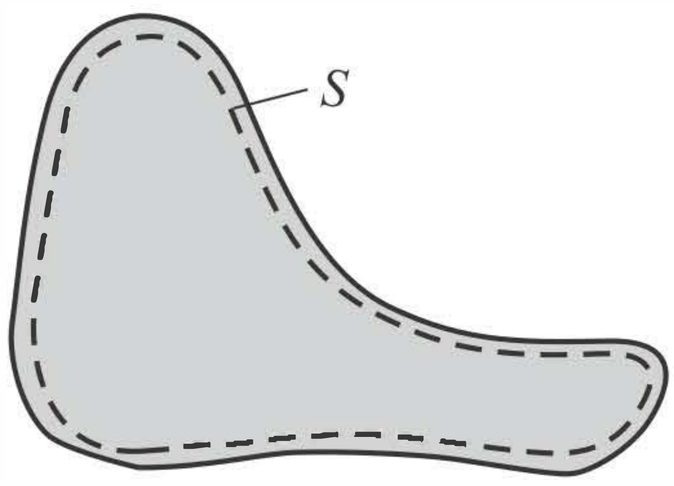


Рис. 15-13. Замкнутая поверхность, показанная штриховой линией, расположена сразу же под поверхностью тела

Применим к этой поверхности теорему Гаусса:

$$\oint \mathbf{E} \cdot d\mathbf{A} = 4\pi k_0 Q_{\text{внутр.}}$$

В любой точке проводящей поверхности S поле должно быть равно нулю, — иначе электроны проводимости пришли бы в движение. (Электроны неподвижны, ибо мы дождались, когда закончится перераспределение зарядов и свободных электронов.) Неподвижность зарядов в проводнике означает, что внутри проводника на них не действуют электрические силы, т. е. $E = 0$ на поверхности S. В этом случае

$$\oint \mathbf{E} \cdot d\mathbf{A} = 0.$$

Таким образом, левая часть выражения (15-7) равна нулю:

$$0 = 4\pi k_0 Q_{\text{внутр.}}.$$

Отсюда $Q_{\text{внутр.}} = 0$. Полный заряд внутри замкнутой поверхности должен равняться нулю. Можно брать всевозможные замкнутые поверхности, и при этом всякий раз мы будем иметь $Q_{\text{внутр.}} = 0$. Тем самым мы доказали, что полный заряд в любой небольшой области внутри проводника должен быть равен нулю.

Пример 4. Земля обладает небольшим электрическим полем, напряженность которого непосредственно над ее поверхностью составляет около 100 Н/Кл.

а) Какова напряженность электрического поля непосредственно под поверхностью Земли?

б) Чему равен поверхностный заряд, создающий вблизи поверхности Земли напряженность $E = 100$ Н/Кл? Сколько для этого требуется избыточных электронов на каждый квадратный сантиметр поверхности?

Решение: а) Поскольку Земля — это проводник, а не изолятор, то под поверхностью Земли, как внутри всякого проводника, постоянное поле существовать не может.

б) Применим теорему Гаусса к сфере, которая окружает Землю и имеет радиус несколько больше радиуса Земли R_3. Поскольку E постоянно по сфере, то интеграл равен произведению E на площадь поверхности Земли A_3:

$$\oint \mathbf{E} \cdot d\mathbf{A} = EA_3.$$

Теорема Гаусса принимает вид

$$EA_3 = 4\pi k_0 Q_3,$$

где Q_3 — полный поверхностный заряд.

Поверхностная плотность заряда

$$\sigma = \frac{Q_3}{A_3} = \frac{E}{4\pi k_0} = \frac{100}{4\pi\left(9\cdot 10^9\right)} \text{ Кл}/\text{м}^2 =$$

$$= 8{,}84\cdot 10^{-14} \text{ Кл}/\text{см}^2.$$

Поскольку заряд электрона $e = 1{,}6\cdot 10^{-19}$ Кл, то, подставляя вместо 1 Кл величину $e/(1{,}6\cdot 10^{-19})$, получаем

$$\sigma = 8{,}84\cdot 10^{-14}\,\frac{e/\left(1{,}6\cdot 10^{-19}\right)}{\text{см}^2} = 5{,}52\cdot 10^5\,\frac{e}{\text{см}^2}.$$

Пример 5. Если напряженность электрического поля больше 10^6 Н/Кл, то в сухом воздухе происходит образование ионов и возникают искровые заряды (воздух становится проводником). Какой максимальный заряд можно сообщить сферам радиусами 1 см и 1 м?

Решение: Применим теорему Гаусса к сфере, радиус которой несколько больше радиуса заряженной сферы. Поскольку величина E постоянна, поверхностный интеграл равен $E(4\pi r^2)$. Согласно теореме Гаусса, этот интеграл должен быть равен $4\pi k_0 Q$:

$$E(4\pi r^2) = 4\pi k_0 Q, \quad Q = \frac{ER^2}{k_0}.$$

В случае $R = 1$ см

$$Q = \frac{\left(1\cdot 10^6\right)\left(10^{-2}\right)}{9\cdot 10^9} \text{ Кл} = 1{,}1\cdot 10^{-8} \text{ Кл}.$$

В случае $R = 1$ м Q в 10^4 раз больше, т. е. $Q = 1{,}1\cdot 10^{-4}$ Кл.

Мы видим, что кулон оказывается настолько большим зарядом, что его не удается «удержать» на проводящей сфере, находящейся в воздухе.

Электрическая индукция

Если в электрически нейтральном проводнике имеется полость, то полный заряд внутри проводника по-прежнему должен равняться нулю. Однако внутри полости можно поместить некоторый заряд. Тогда, согласно теореме Гаусса, на поверхности полости появится заряд равной величины, но противоположного знака (рис. 15-14). При этом полный заряд внутри гауссовой поверхности, показанной на рисунке штриховой линией, будет равен нулю, что соответствует отсутствию электрического поля в проводнике.

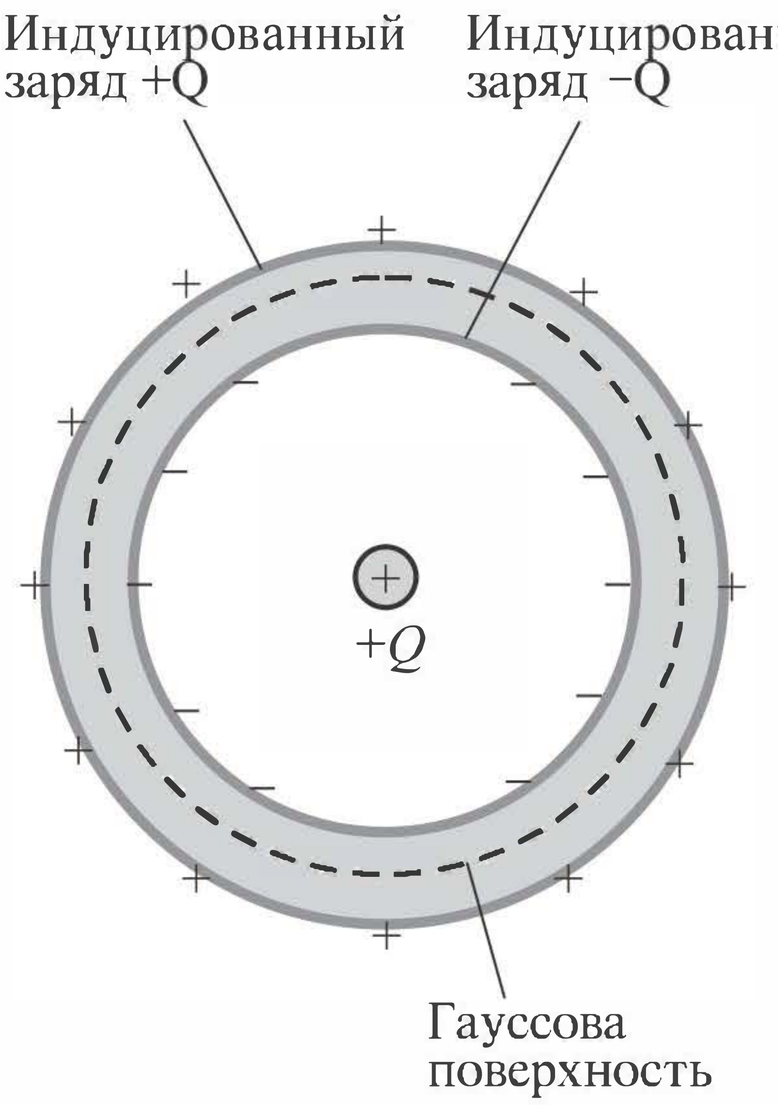


Рис. 15-14. Внутри полости в сферическом проводнике помещен заряд $+Q$. Показаны заряды, индуцированные на внутренней и внешней поверхностях проводника

Следует заметить, что, поскольку проводник электрически нейтрален, на его внешней поверхности должен возникнуть заряд, равный по величине и противоположный по знаку заряду, индуцированному на поверхности полости. Это пример электрической индукции. Если электрически нейтральное тело поместить в область, в которой имеется электрическое поле, то на поверхности тела возникнут индуцированные заряды, полностью компенсирующие поле внутри тела при условии, что речь идет о проводнике (даже плохом проводнике). На поверхности идеального изолятора также возникают индуцированные заряды, но они не полностью компенсируют поле внутри тела. Такие изоляторы называются диэлектриками (см. § 6 гл. 16).

Посредством электрической индукции электрически нейтральному проводнику можно сообщить заряд. На рис. 15-15 показано, как это можно сделать. К двум первоначально не заряженным проводящим сферам подносится заряженный стеклянный стержень. При этом электроны проводимости притягиваются положительными зарядами стержня и перемещаются с дальней сферы на ближайшую (рис. 15-15, *а*). Если теперь сферы разъединить, то, как показано на рис. 15-15, *б*, на каждой из них останется заряд только одного знака. Если затем убрать стержень, то первоначально незаряженные проводящие сферы оказываются заряженными так, как показано на рис. 15-15, *в*. Используя заряженный изолятор, такой процесс можно повторять, заряжая сколько угодно проводников и ничуть не уменьшая при этом первоначальный заряд стержня из изолятора.

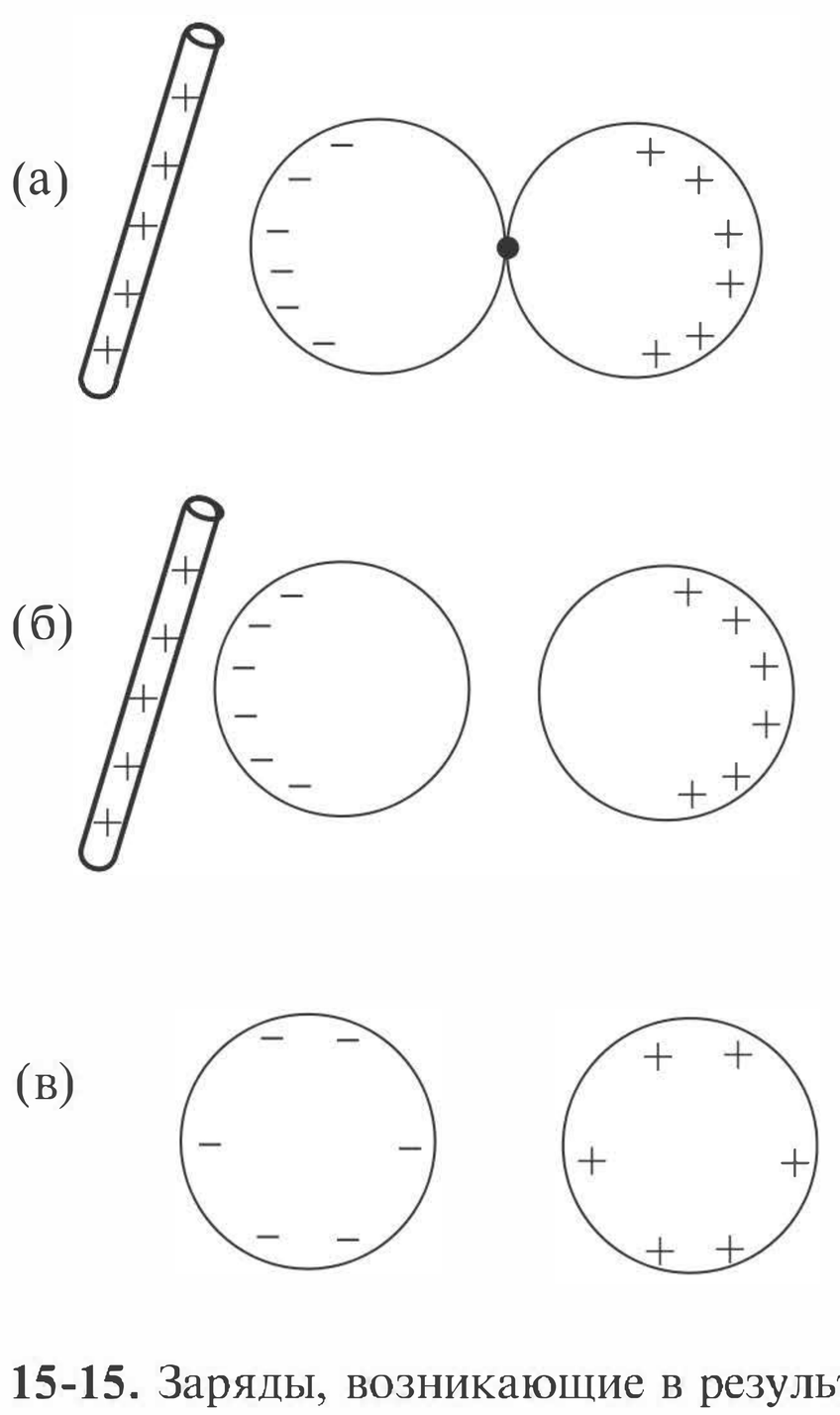


Рис. 15-15. Заряды, возникающие в результате индукции. *а* — заряженный стержень вблизи двух сомкнутых незаряженных проводников; *б* — проводники, отодвинутые друг от друга; *в* — заряженный стержень удален, при этом обе сферы остаются с зарядами одной и той же величины, но противоположного знака

Основные выводы

Элементарные частицы обладают собственным электрическим зарядом, который может быть равен нулю, $+e$, $-e$ или целому кратному элементарного заряда $\pm e$ (см. сноску на с. 253), причем $e = 1{,}60 \cdot 10^{-19}$ Кл. Согласно закону Кулона, сила, действующая между двумя заряженными частицами,

$$\mathbf{F} = k_0 \frac{q_1 q_2}{r^2} \hat{\mathbf{r}}, \text{ где } k_0 = 9 \cdot 10^9 \text{ Н} \cdot \text{м}^2/\text{Кл}^2.$$

Напряженность электрического поля — это электрическая сила, действующая на единичный электрический заряд, т. е. $\mathbf{E} = \mathbf{F}/q$. Вектор напряженности Q равен $\mathbf{E} = k_0 \left(Q/r^2\right)\hat{\mathbf{r}}$. Напряженность электрического поля, создаваемая элементом объема dV с плотностью заряда ρ, равна $d\mathbf{E} = k_0 \left(\hat{\mathbf{r}}/r^2\right)\rho V$. Электрическое поле протяженного тела можно вычислить, интегрируя последнее выражение по объему этого тела.

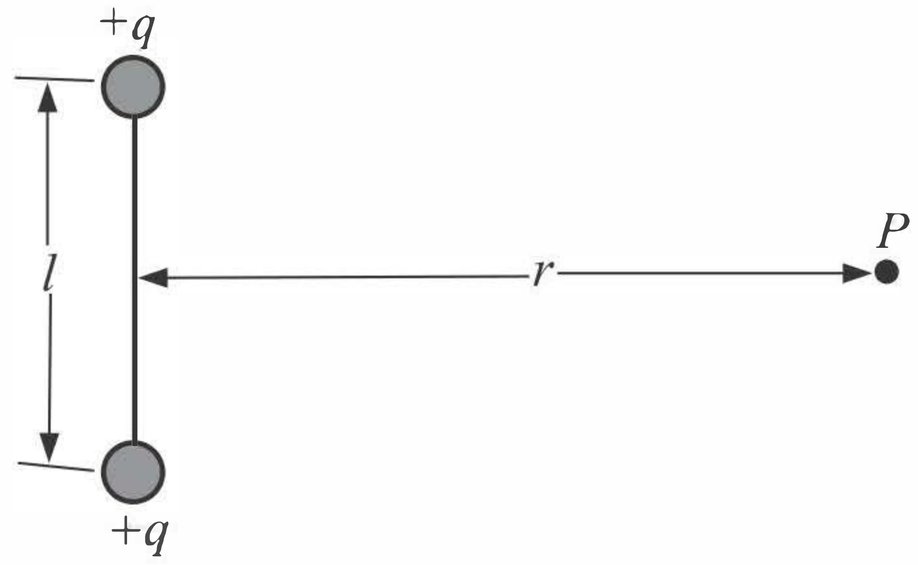
Поток электрического поля (т. е. число силовых линий электрического поля) равен $d\Phi = \mathbf{E} \cdot d\mathbf{A}$. Полный поток, выходящий из заряженного тела, $\Phi = \oint \mathbf{E} \cdot d\mathbf{A}$. Интегрирование ведется по поверхности, которая полностью охватывает тело. Теорема Гаусса утверждает, что величина этого интеграла по замкнутой поверхности равна умноженной на $4\pi k_0$ величине полного заряда, находящегося внутри поверхности:

$$\oint \mathbf{E} \cdot d\mathbf{A} = 4\pi k_0 Q_{\text{внутр.}}.$$

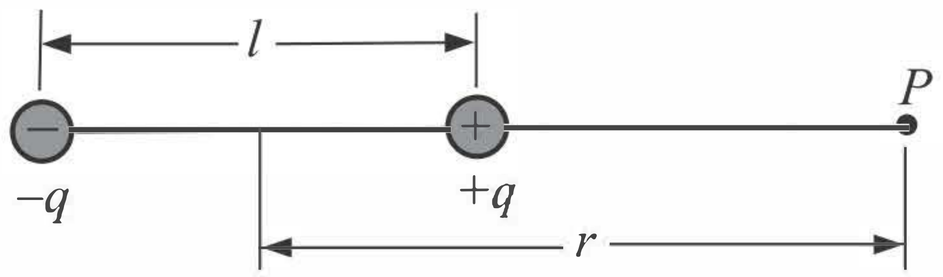
Одно из следствий теоремы Гаусса состоит в том, что полный заряд внутри проводника равен нулю.

Упражнения

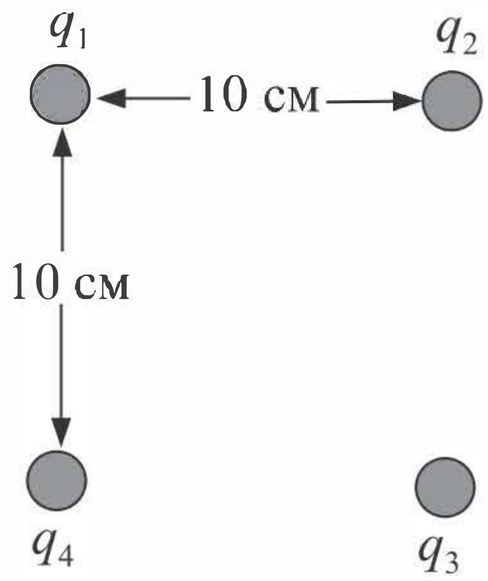
1. Найдите отношение электростатической и гравитационной сил для двух электронов.
2. Решите пример 1 в случае с двумя сферами из твердого водорода.
3. Найдите выражение для напряженности электрического поля в точке P через q, l и r.



4. Чему равно E в точке P в зависимости от q, r и l?



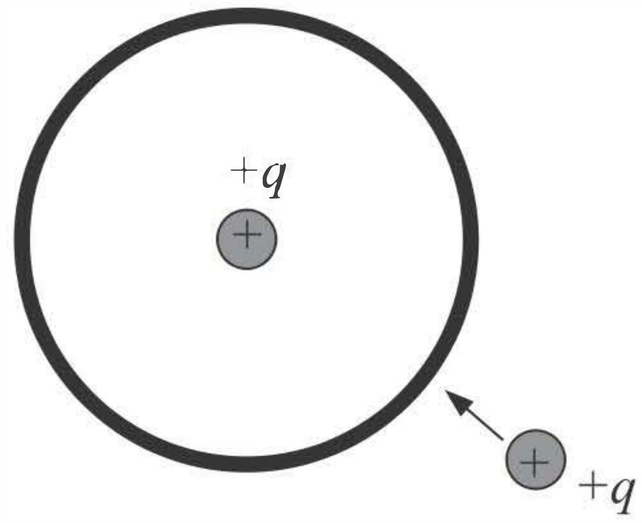
5. Металлической сфере сообщен положительный заряд. Что произойдет при этом с массой сферы: увеличится, уменьшится или останется прежней?
6. Заряд $-4 \cdot 10^{-5}$ Кл помещен на расстоянии 10 см от заряда $+5 \cdot 10^{-5}$ Кл. Чему равна электростатическая сила? Какое число силовых линий уходит на бесконечность, если предположить, что других зарядов нет?
7. Заряд $-1 \cdot 10^{-6}$ Кл находится в центре полой металлической сферы, внешняя поверхность которой несет положительный заряд $+1{,}5 \cdot 10^{-6}$ Кл.
   а) Изобразите с помощью диаграммы силовых линий результирующее электрическое поле.
   б) Чему равен полный поток, выходящий из сферы?
   в) Какова величина избыточного заряда на сфере?
8. В вершинах квадрата со стороной 10 см расположены четыре заряда по 10^{-8} Кл.



Найдите величину и направление напряженности поля E в центре квадрата, если знаки зарядов q_1, q_2, q_3 и q_4 таковы:
а) +, +, +, +;
б) +, −, +, −;
в) +, +, −, −.

9. Найдите отношение гравитационной и электростатической сил для двух протонов.

10. Предположим, что плотность избыточного электрического заряда на поверхности Земли составляет один электрон на квадратный сантиметр.



а) Чему равно электрическое поле непосредственно под поверхностью Земли?
б) Чему равно электрическое поле непосредственно над поверхностью Земли?

11. Начертите диаграмму силовых линий для случая, показанного на рис. 15-14.

12. Заряд, равный $+q$, помещен в центре полой проводящей сферы. Внешней поверхности сферы сообщен заряд $+q$. После того как заряды придут в равновесие, чему будет равен полный заряд:
а) на внутренней поверхности сферы;
б) на внешней поверхности сферы?

13. Повторите упражнение 4 для случая, когда оба заряда q положительны.

14. Какого размера должна быть проводящая сфера, чтобы удержать в воздушной среде заряд 1 Кл?

Задачи

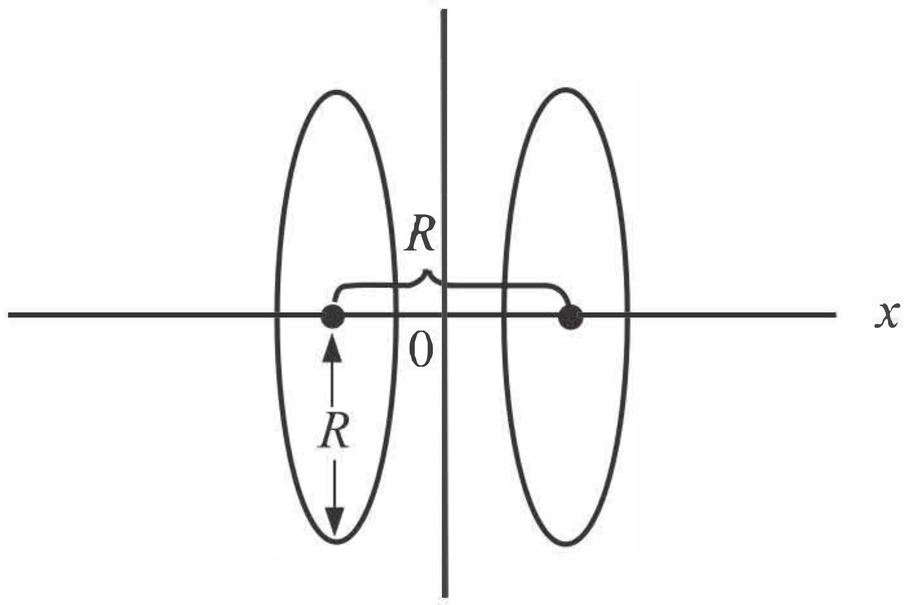
15. Предположим, что сила притяжения двух зарядов противоположных знаков незначительно превышает силу отталкивания зарядов одного знака. Пусть относительное избыточное притяжение равно $4{,}04\cdot10^{-37}$, т. е.

$$F=\begin{cases}-\left(1+4{,}04\cdot10^{37}\right)k_0\dfrac{Q_1Q_2}{r^2}, \\ \qquad\text{если } Q_1 \text{ и } Q_2 \text{ имеют противоположные знаки,} \\ +k_0\dfrac{Q_1Q_2}{r^2}, \text{ если } Q_1 \text{ и } Q_2 \text{ одного знака.}\end{cases}$$

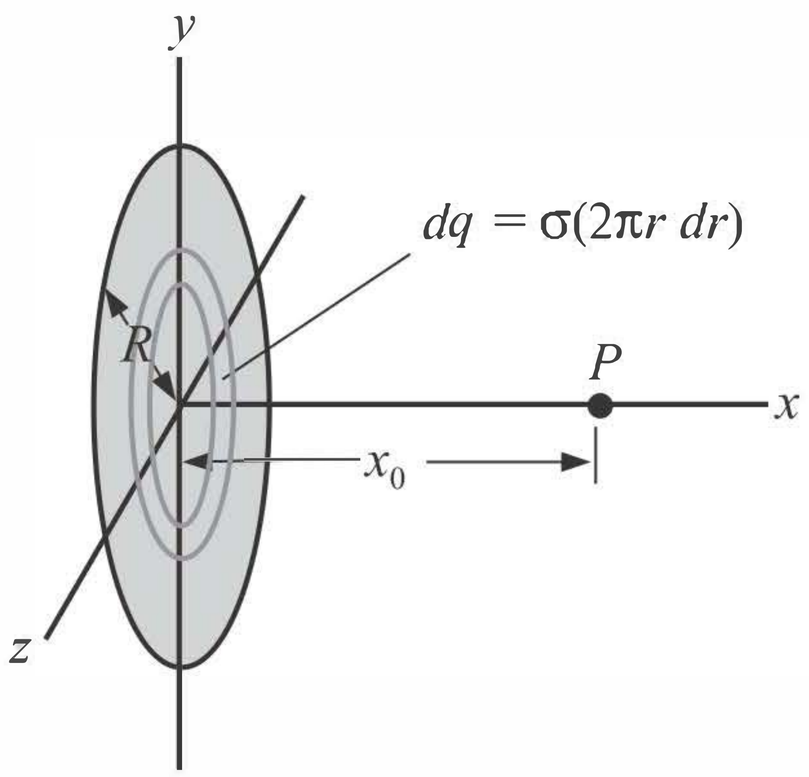
Какова в этом случае результирующая сила взаимодействия двух атомов водорода, находящихся на расстоянии 1 м друг от друга? Почему это предположение нельзя использовать для объяснения гравитационного взаимодействия? Приведите пример, в котором сделанное нами предположение приведет к неверному результату в случае с гравитационной силой.

16. Предположим, что в атоме водорода электрон с зарядом $-e$ движется по круговой орбите вокруг протона с зарядом $+e$. Радиус орбиты $0{,}53\cdot10^{-10}$ м.
а) Чему равно отношение скорости света к скорости электрона?
б) Сколько оборотов в секунду совершает электрон?

17. Два заряженных кольца радиусом R расположены на расстоянии R друг от друга, как показано на рисунке. Чему равно поле E на оси x в зависимости от x, Q и R (Q — заряд каждого из колец)?

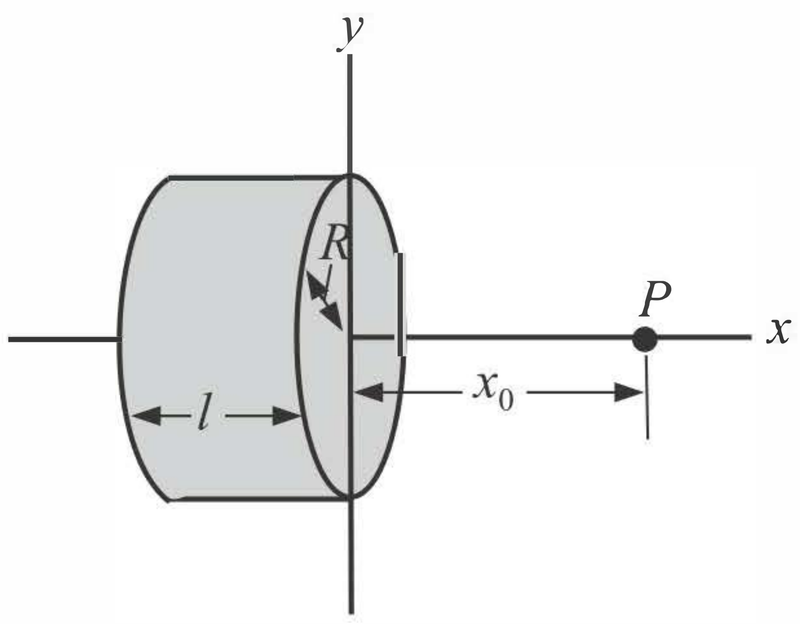


18. Чему равна величина электрического поля в точке P, создаваемая равномерно заряженным диском радиусом R с поверхностной плотностью заряда $\sigma = Q/\pi R^2$? (*Указание:* Заряд кольца толщиной dr и радиусом r равен $dq = 2\pi r\sigma\, dr$.)



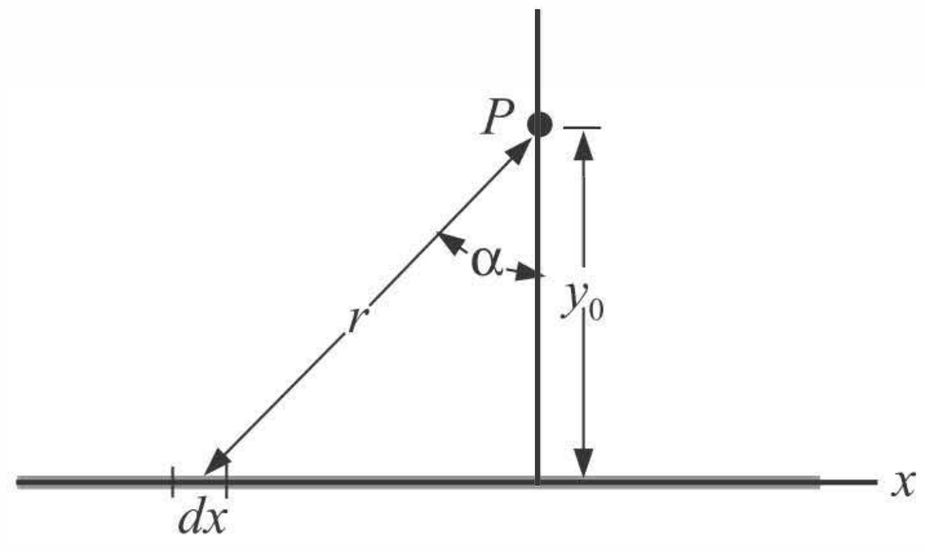
19. Решите задачу 18 в случае, когда $R \to \infty$, т. е. поле создается бесконечной плоскостью с поверхностной плотностью заряда σ.

20. Чему равно электрическое поле в точке P, создаваемое заряженной цилиндрической поверхностью радиусом R и длиной l? Полный заряд поверхности равен Q.

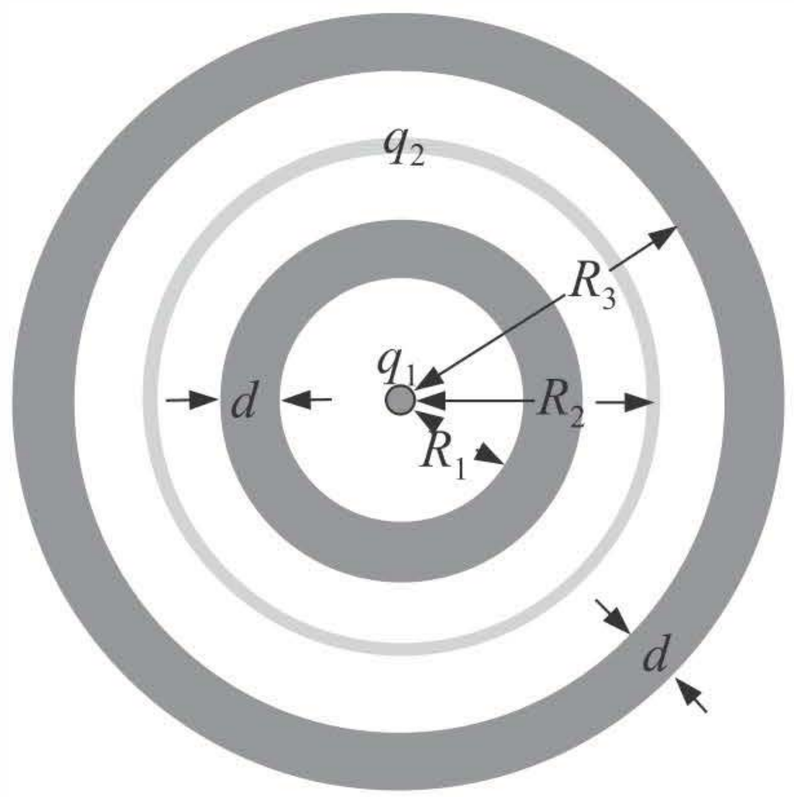


21. Какова напряженность электрического поля на расстоянии y_0 от бесконечного прямолинейного провода с линейной плотностью заряда λ? Следует заметить, что вклад элемента dx равен

$$dE_y = k_0 \frac{\lambda\, dx}{r^2}\cos\alpha = \frac{k_0\lambda}{y_0}\cos\alpha\, d\alpha.$$

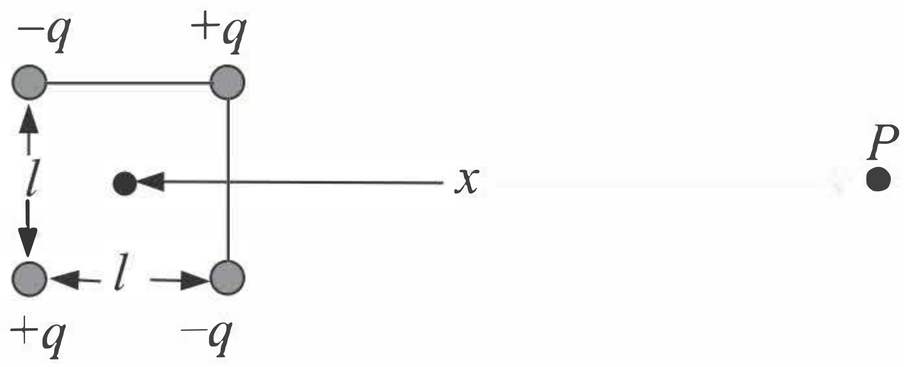


22. Рассмотрим два концентрических проводящих сферических слоя, каждый толщиной d. Внутренние радиусы этих слоев R_1 и R_3. В центр помещен точечный заряд q_1. Между слоями находится тонкая сферическая оболочка радиусом R_2, несущая полный заряд q_2.

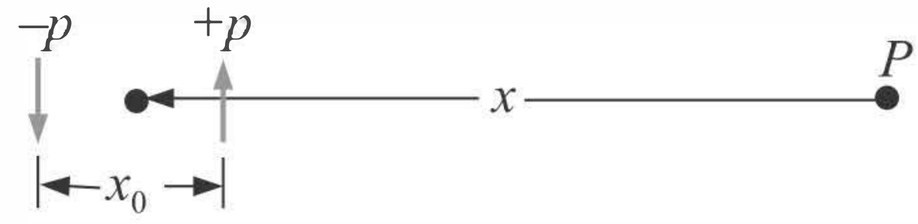


Чему равны заряды на поверхностях радиусами
а) R_1;
б) R_3;
в) $R_1 + d$;
г) $R_3 + d$?

23. В вершинах квадрата (см. рисунок) находятся заряды q. Точка P расположена на расстоянии x от центра квадрата. Найдите E в точке P при условии, что $x \gg L$.



24. Два диполя, каждый с моментом p, расположены на расстоянии x_0 друг от друга и ориентированы в противоположные стороны. Покажите, что при $x \gg x_0$ результирующее электрическое поле $E = 3k_0 p x_0 / x^4$. (Такое распределение зарядов называется электрическим квадруполем. Заметьте, что электрическое поле обратно пропорционально четвертой степени расстояния.)



25. Решите задачу 17 при условии, что расстояние между кольцами равно $\sqrt{2}R$. Вычислите $\partial E/\partial x$ и $\partial^2 E/\partial x^2$ в точке $x = y = 0$.

26. На каком расстоянии x_0 в пример 3 поле E достигнет максимального значения?

16

Электростатика

В теории электромагнетизма мы постоянно имеем дело с заряженными поверхностями. Они непременно входят в устройства типа электрических конденсаторов, антенн, линий передач, волноводов, полупроводниковых приборов и т. п. Чтобы вычислить величину заряда и создаваемого им потенциала, нужно прежде всего уметь вычислять электрические поля, создаваемые типичными распределениями зарядов. В этой главе мы вычислим электрические поля, создаваемые сферическим, цилиндрическим и плоским распределениями зарядов. Затем мы введем определение электрического потенциала и покажем, как найти потенциал, если известно распределение зарядов. Глава завершается рассмотрением понятий емкости и диэлектрической проницаемости.

§ 1. Сферическое распределение заряда

Вначале рассмотрим заряженную сферическую поверхность (рис. 16-1) с полным зарядом Q. Найдем электрическое поле $\mathbf{E}$ как внутри, так и вне этой сферы. Вследствие симметрии силовые линии электрического поля $\mathbf{E}$ должны расходиться радиально от центра. (Выходя из поверхности, линия не может отклоняться в сторону, поскольку нет причины для предпочтения левого над правым.) В качестве поверхности интегрирования (гауссовой поверхности) мы выберем сферу радиусом r, обозначенную на рис. 16-1 штриховой линией.

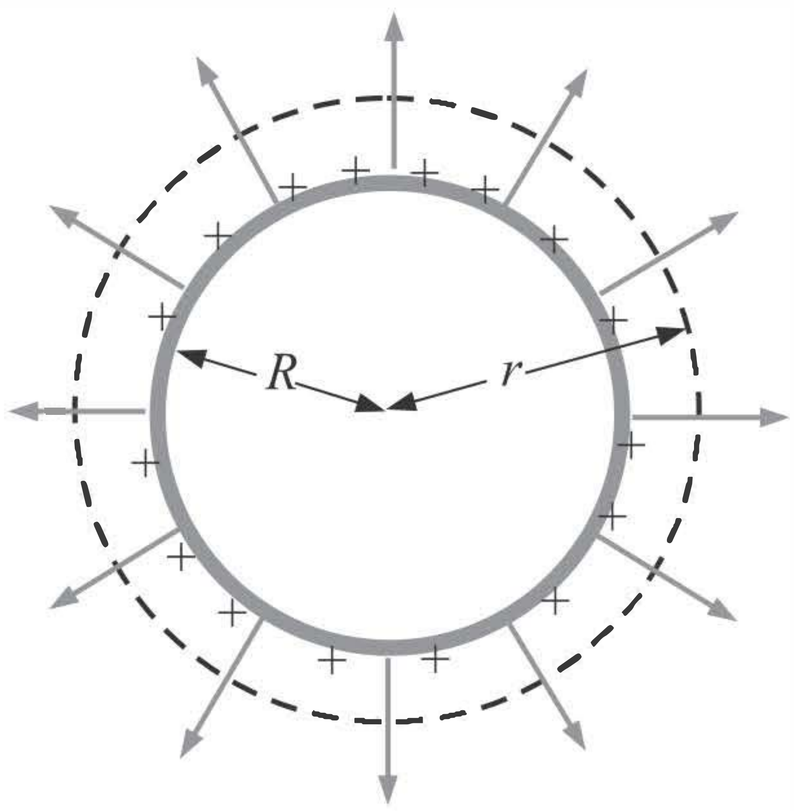


Рис. 16-1. Равномерно заряженная сфера радиусом R. Штриховой линией показана воображаемая сфера радиусом r, а цветными линиями — силовые линии электрического поля

В любой точке этой сферы $\mathbf{E}\cdot d\mathbf{A} = E\,dA$ и

$$\oint \mathbf{E}\cdot d\mathbf{A} = E\oint dA = E\left(4\pi R^2\right).$$

Используя теорему Гаусса, приравняем последнее выражение к величине $4\pi k_e Q$:

$$E(4\pi r^2) = 4\pi k_e Q,$$

$$E = k_e \frac{Q}{r^2}, \quad r > R. \tag{16-1}$$

Следует заметить, что мы получили тот же результат, что и в случае, когда весь заряд сосредоточен в точке $r = 0$.

Поле внутри сферы:

$$\oint \mathbf{E}_{\text{внутр.}} \cdot d\mathbf{A} = 0,$$

$$E_{\text{внутр.}}\,(4\pi r^2) = 0,$$

$$E_{\text{внутр.}} = 0, \quad r < R.$$

Этот результат совпадает с полученным нами в § 5 гл. 5 для гравитационного поля внутри полой сферы.

Равномерно заряженный шар

Поскольку равномерно заряженный шар можно представить в виде последовательности концентрических сферических слоев, при вычислении поля вне шара можно пользоваться формулой (16-1). Заметим, что, полагая $r = R$ в (16-1), мы имеем

$$E = k_0 \frac{Q}{R^2} \quad (\textit{на поверхности заряженного шара}); \qquad (16\text{-}2)$$

здесь Q — полный заряд шара. Этот результат можно использовать для доказательства того, что шар создает такое гравитационное поле, как если бы вся его масса была сосредоточена в центре шара. Поскольку гравитационная сила также подчиняется закону обратных квадратов, с помощью теоремы Гаусса мы снова получили бы формулу (16-2), в которой k_0 заменено на G, а Q — на массу шара M. Таким образом,

$$\text{Гравитационное поле} = G\frac{M}{R^2}.$$

Определяя гравитационное поле как силу, действующую на единичный гравитационный заряд (массу), мы получим

$$\frac{F}{m} = G\frac{M}{R^2},$$

или

$$F = G\frac{Mm}{R^2},$$

где m — небольшая масса, расположенная на поверхности тела массой M. Итак, мы решили задачу, которая причинила Ньютону много беспокойства. Если m — масса яблока, то Земля притягивает его так, как если бы вся масса Земли была сосредоточена в ее центре. Но довольно о гравитации. Пора вернуться к электростатике.

Теперь нам надо вычислить поле E в точке P внутри равномерно заряженного шара. Выберем в качестве гауссовой поверхности воображаемую сферу, проходящую через точку P внутри шара, как показано на рис. 16-2.

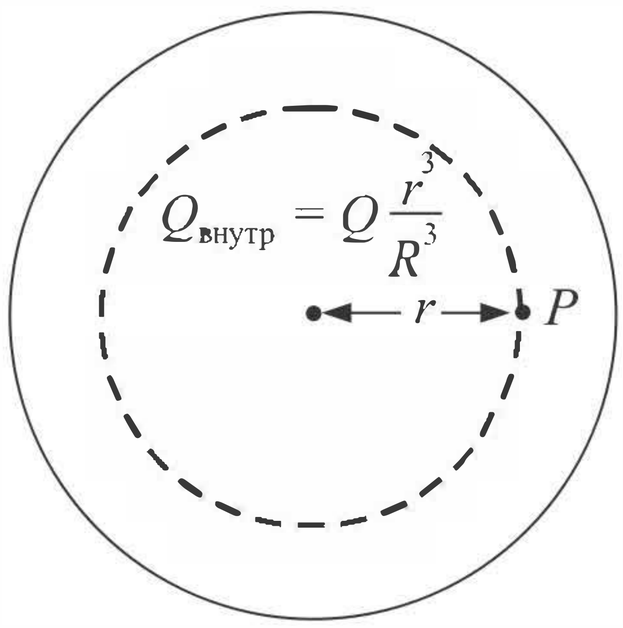


Рис. 16-2. Воображаемая сфера, проходящая через точку P и содержащая внутри электрический заряд $Q_{\text{внутр.}}$

Эта сфера ограничивает объем $4\pi r^3/3$, который составляет $(r/R)^3$ от полного объема шара. Следовательно, заряд внутри воображаемой сферы равен $Q_{\text{внутр.}} = Q\,(r/R)^3$. Применяя теорему Гаусса,

$$\oint \mathbf{E} \cdot d\mathbf{A} = 4\pi k_0 \left(Q\frac{r^3}{R^3} \right),$$

$$E\left(4\pi r^2\right) = 4\pi k_0 Q\frac{r^3}{R^3},$$

получаем поле внутри равномерно заряженного шара радиусом R, полный заряд которого Q:

$$E = k_0 \frac{Q}{R^3} r. \qquad (16\text{-}3)$$

На рис. 16-3 показана зависимость этого поля от r.

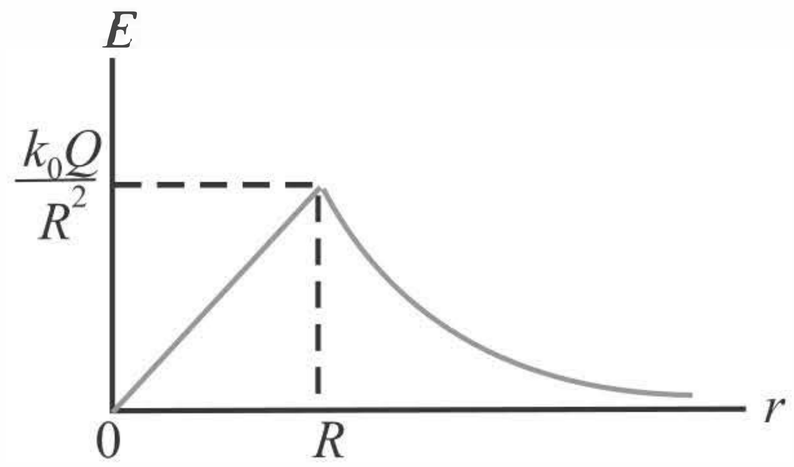


Рис. 16-3. Зависимость напряженности электрического поля E от расстояния до центра однородно заряженного шара

---

* **Пример 1.** В гл. 25 мы увидим, что вполне разумна модель атома водорода, в которой электрон представляется в виде равномерно заряженного шара радиусом $R \sim 10^{-10}$ м с полным зарядом $Q = -e = -1{,}6 \cdot 10^{-19}$ Кл и массой $m_e = 9{,}1 \cdot 10^{-31}$ кг. В нормальном состоянии протон с зарядом $+e$ находится в центре электронного облака. Предположим, что протон смещен относительно центра электронного облака на небольшое расстояние x_0, как показано на рис. 16-4. Если теперь электрон и протон предоставить самим себе, то они начнут колебаться около положения равновесия с амплитудой x_0. Какова при этом частота колебаний?

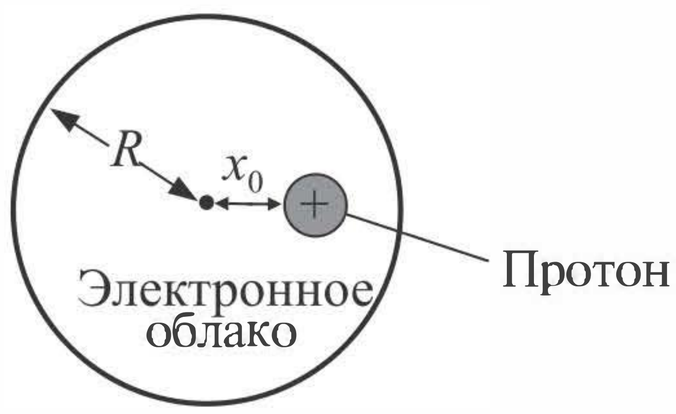


Рис. 16-4. Электрон, рассматриваемый как однородно заряженный шар, смещен на расстояние x_0 относительно протона

Решение: Используя выражение (16-3), найдем действующую на протон возвращающую силу F:

$$F = eE = e\left[k_0 \frac{(-e)}{R^3} x\right] = -k_0 \frac{e^2}{R^3} x.$$

По третьему закону Ньютона точно такая же сила действует на электрон, и мы можем записать уравнение

$$m_e \frac{d^2x}{dt^2} = -\frac{k_0 e^2}{R^3} x.$$

[Строго говоря, мы должны были бы использовать приведенную массу $\mu = M_p m_e/(M_p + m_e)$, а не массу электрона m_e.] Однако в нашем случае $\mu \approx \mu_e$ (см. с. 190). Разделив обе части уравнения на m_e, получим

$$\frac{d^2x}{dt^2} = -\left(\frac{k_0 e^2}{m_e R^3}\right) x.$$

Из выражения (11-7) имеем

$$\omega = \sqrt{\frac{k_0 e^2}{m_e R^3}}. \qquad (16\text{-}3а)$$

Таким образом, частота колебаний

$$f = \frac{1}{2\pi}\sqrt{\frac{\left(9 \cdot 10^9\right)\left(1{,}6 \cdot 10^{-19}\right)^2}{\left(9{,}1 \cdot 10^{-31}\right)\left(10^{-10}\right)^3}}\, c^{-1} = 2{,}5 \cdot 10^{15} \text{ Гц}.$$

Это значение почти совпадает с частотой электромагнитного излучения, испускаемого атомом водорода в первом возбужденном состоянии, что подтверждает разумность принятой модели атома водорода.

---

* **Пример 2.** Чему равен индуцированный дипольный момент атома в электрическом поле E_0? Предположите, что внешний электрон представляет собой равномерно заряженное шарообразное облако радиусом R.

Решение: Если нейтральный атом поместить в электрическое поле E_0 (рис. 16-5), то под действием силы $F = -eE_0$ центр внешнего электронного облака сместится относительно остова атома (с зарядом $Q = +e$) на расстояние x_0. У атома появляется индуцированный дипольный момент $p = ex_0$. Если внешний электрон представить в виде равномерно

заряженного шара радиусом R, то дипольный момент можно выразить через R, e и E_0.



Рис. 16-5. Смещение электронного облака атома на расстояние x_0 относительно атомного остова под действием внешнего электрического поля E_0

В соответствии с (16-3) поле, создаваемое электронным облаком в центре остова, равно

$$E_{\text{обл.}} = -\frac{k_0 e}{R^3} x_0.$$

Результирующая напряженность поля, в котором находится остов атома, равна

$$E_{\text{рез.}} = E_0 + E_{\text{обл.}} = E_0 - \frac{k_0 e}{R^3} x_0.$$

Поскольку остов атома покоится, результирующая сила (или результирующее поле), действующая на него, должна равняться нулю; следовательно,

$$0 = E_0 - \frac{k_0 e}{R^3} x_0, \text{ откуда } x_0 = \frac{R^3}{e k_0} E_0.$$

Дипольный момент

$$p = e x_0 = \frac{R^3}{k_0} E_0. \qquad (16\text{-}4)$$

§ 2. Линейное распределение заряда

Рассмотрим сначала электрическое поле, создаваемое на расстоянии r равномерно заряженным прямолинейным проводом или стержнем, длина которого намного превышает расстояние r. Пусть λ — заряд, приходящийся на единицу длины стержня. В качестве гауссовой поверхности выберем цилиндр длиной L (рис. 16-6). Внутри цилиндрической поверхности находится заряд $Q_{\text{внутр.}} = \lambda L$. Согласно теореме Гаусса (15-7),

$$\oint \mathbf{E} \cdot d\mathbf{A} = 4\pi k_0 (\lambda L).$$

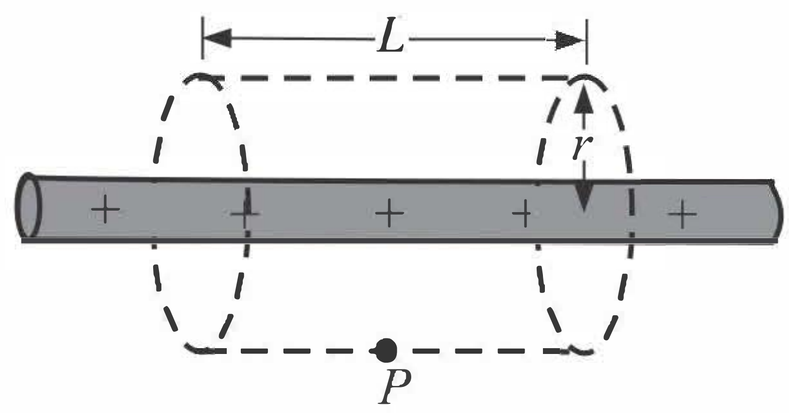


Рис. 16-6. Отрезок длинного заряженного стержня. Гауссовой поверхностью является воображаемый цилиндр длиной L и радиусом r

На основании тех же соображений симметрии, что и прежде, мы заключаем, что силовые линии могут расходиться лишь в радиальном направлении. Поэтому векторы $\mathbf{E}$ и $d\mathbf{A}$ взаимно перпендикулярны на торцах воображаемого цилиндра и параллельны друг другу на боковой поверхности. Поскольку на торцах $\mathbf{E} \cdot d\mathbf{A} = 0$, можно записать

$$\oint \mathbf{E} \cdot d\mathbf{A} = E(2\pi r L).$$

Приравнивая это выражение к величине $4\pi k_0 \lambda L$, получаем

$$2\pi r L E = 4\pi k_0 \lambda L,$$

или

$$E = \frac{2k_0\lambda}{r} \quad (\textit{линейное распределение заряда}). \qquad (16\text{-}5)$$

Чтобы вычислить поле внутри равномерно заряженного стержня, в качестве поверхности интегрирования (гауссовой поверхности) выберем снова цилиндр длиной L, но на этот раз радиусом $r < R$. Пусть ρ — заряд единицы объема стержня; тогда внутри цилиндрической поверхности, показанной на рис. 16-7 штриховой линией, заряд $Q_{\text{внутр.}} = \rho\pi r^2 L$.

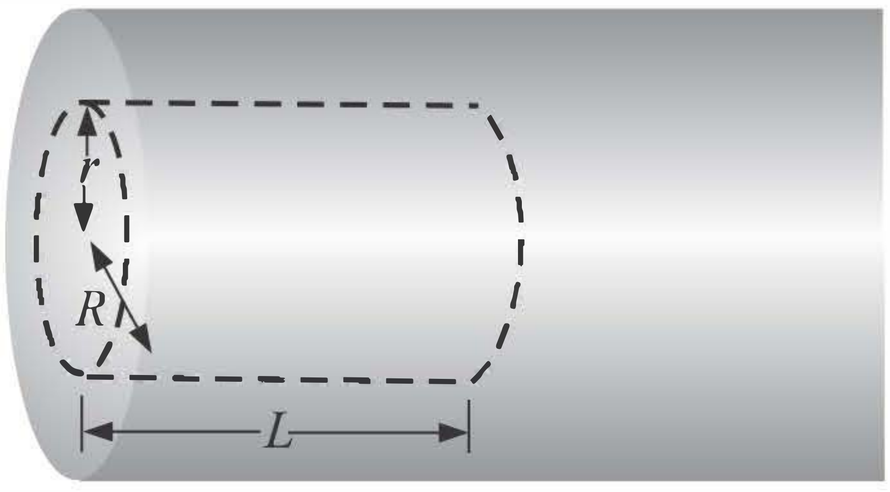


Рис. 16-7. Отрезок равномерно заряженного стержня. Поверхность интегрирования — цилиндр длиной L и радиусом основания r

Согласно теореме Гаусса,

$$\oint \mathbf{E} \cdot d\mathbf{A} = 4\pi k_0 \left(\rho \pi r^2 L\right),$$

$$E\,(2\pi rL) = 4\pi k_0 \rho \pi r^2 L,$$

$$E = 2k_0 \rho \pi r \ (\textit{внутри стержня}). \qquad (16\text{-}6)$$

Используя равенство $\lambda = \rho\pi R^2$, выражение (16-6) можно записать также с помощью λ:

$$E = \frac{2k_0\lambda}{R^2} r. \qquad (16\text{-}6а)$$

Пример 3. Коаксиальный кабель состоит из внутреннего провода, окруженного полым цилиндрическим проводником. Пусть линейные плотности зарядов этих проводников равны соответственно λ и $-\lambda$ (рис. 16-8). Чему равны значения напряженности поля E а) в области I и б) в области II?

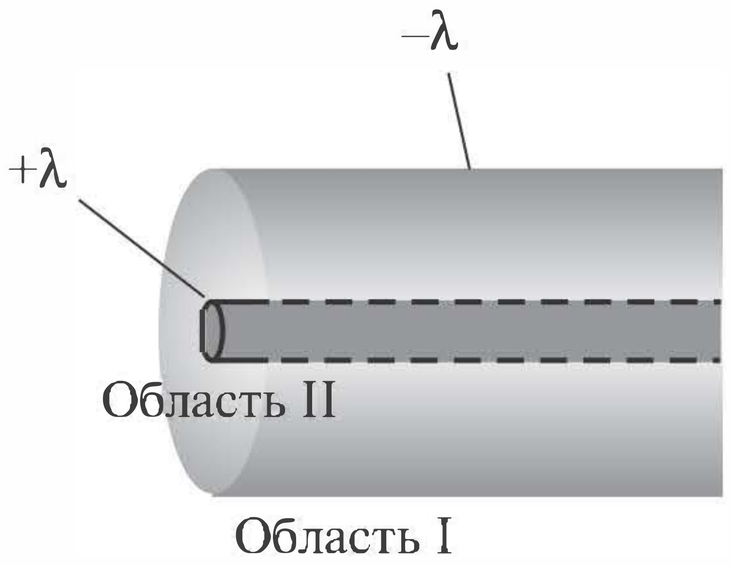


Рис. 16-8. Коаксиальные проводники с равными по величине и противоположными по знаку зарядами

Решение: в случае (а) в качестве поверхности интегрирования можно выбрать цилиндр, охватывающий оба проводника. Поскольку полный заряд внутри этой поверхности равен нулю, то $E_1 = 0$.

В области II [случай (б)], для которой $r < R$, поле, создаваемое внешним проводником, равно нулю по тем же причинам, что и поле внутри полого шара. Поле, создаваемое внутренним проводником, дается формулой (16-5):

$$E_{\text{II}} = \frac{2k_0\lambda}{r}. \qquad (16\text{-}7)$$

---

§ 3. Плоское распределение заряда

Рассмотрим электрическое поле, создаваемое равномерно заряженной бесконечной плоскостью, поверхностная плотность заряда которой равна σ (в реальных условиях это может быть тонкий металлический лист конечных размеров при условии, что расстояние от точки наблюдения до листа значительно меньше его размеров). Выберем поверхность интегрирования в виде параллелепипеда или цилиндра с плоскими торцами площадью A_0, расположенными на расстоянии a от плоскости, как показано на рис. 16-9.

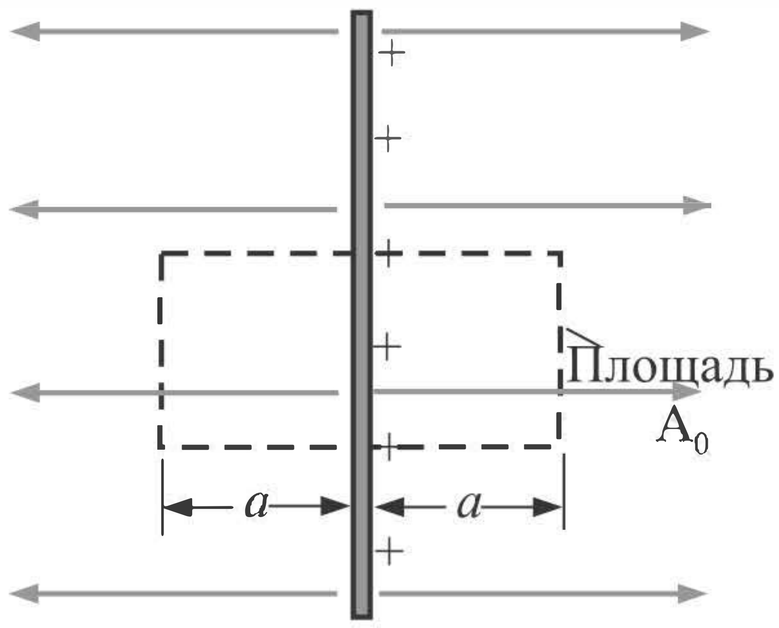


Рис. 16-9. Бесконечная металлическая плоскость с плотностью заряда σ Кл/м^2 (вид сбоку). Штриховой линией показан прямоугольный цилиндр длиной $2a$ и площадью основания A_0 (вид с торца)

Заряд, находящийся внутри поверхности интегрирования, равен $Q_{\text{внутр.}} = \sigma A_0$. Число силовых линий, выходящих в обе стороны от плоскости, должно быть одинаково, поскольку ни одна из сторон не имеет преимущества по сравнению с другой. Поверхностный интеграл по каждому из торцов равен EA_0. У цилиндра два торца, поэтому

$$\oint \mathbf{E} \cdot d\mathbf{A} = 2EA_0.$$

Согласно теореме Гаусса,

$$\oint \mathbf{E} \cdot d\mathbf{A} = 4\pi k_0 \sigma A_0,$$

$$2EA_0 = 4\pi k_0 \sigma A_0,$$

$$E = 2\pi k_0 \sigma \text{ (}\textit{заряженная плоскость}\text{)}. \quad (16\text{-}8)$$

На практике часто встречаются устройства, в которые входят две параллельные пластины, имеющие одинаковые по величине, но противоположные по знаку заряды (рис. 16-10). Напряженность поля, создаваемого только пластиной a, равна $E_a = 2\pi k_0 \sigma$ и имеет направление к этой пластине. Поле, создаваемое только пластиной b, равно $E_b = 2\pi k_0 \sigma$ и направлено от этой пластины.

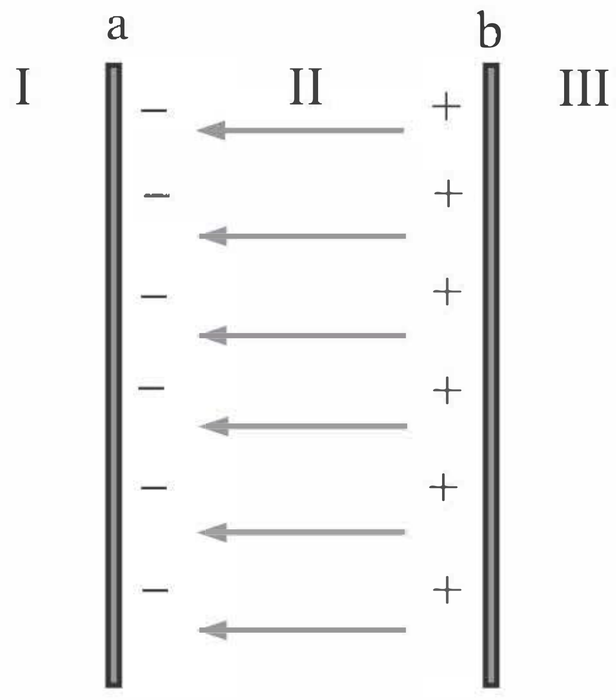


Рис. 16-10. Электрическое поле между двумя пластинами с равными по величине и противоположными по знаку зарядами

В области I:

$$E_{\text{I}} = E_{a\text{I}} + E_{b\text{I}} = 2\pi k_0 \sigma + (-2\pi k_0 \sigma) = 0.$$

В области II:

$$E_{\text{II}} = E_{a\text{II}} + E_{b\text{II}} = (-2\pi k_0 \sigma) + (-2\pi k_0 \sigma),$$

$$E_{\text{II}} = -4\pi k_0 \sigma. \quad (16\text{-}9)$$

В области III:

$$E_{\text{III}} = E_{a\text{III}} + E_{b\text{III}} = (-2\pi k_0 \sigma) + 2\pi k_0 \sigma = 0.$$

Мы видим, что во внешней по отношению к пластинам области поле отсутствует, а между пластинами оно всюду равно $4\pi k_0 \sigma$.

Поверхность проводника

В предыдущей главе мы показали, что весь заряд проводника расположен на его поверхности и всюду внутри проводника поле равно нулю. Кроме того, у поверхности проводника силовые линии должны быть направлены перпендикулярно поверхности. Это обусловливается тем, что составляющая поля **E** вдоль поверхности отсутствует (в противном случае возник бы ток). Выделим на поверхности (рис. 16-11) небольшой прямоугольный участок в форме параллелепипеда с площадью поверхности ΔA.

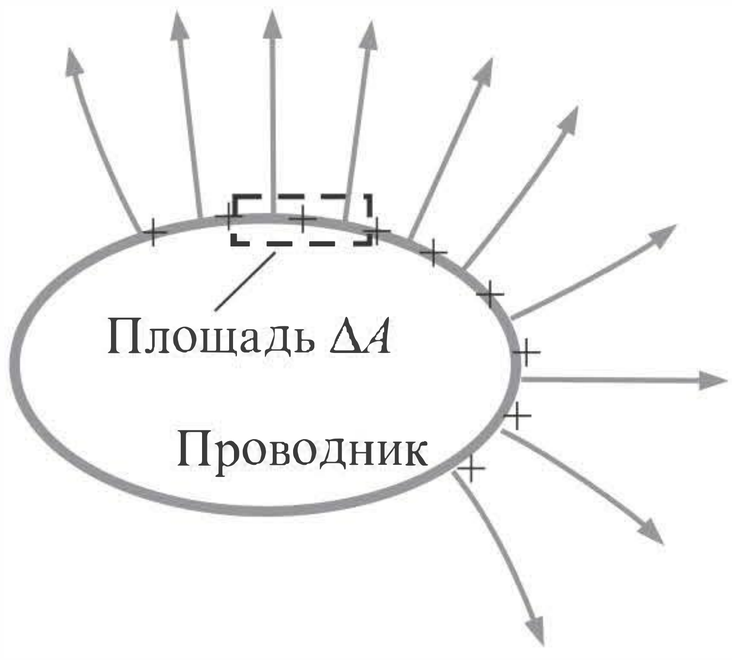


Рис. 16-11. Внутри небольшого параллелепипеда с площадью основания ΔA (показан штриховой линией) находится заряд $\sigma \Delta A$

Запишем интеграл по поверхности этого параллелепипеда:

$$\oint \mathbf{E} \cdot d\mathbf{A} = E\Delta A.$$

Внутри поверхности интегрирования заряд $Q_{\text{внутр.}} = \sigma\Delta A$. Таким образом, согласно теореме Гаусса,

$$E\Delta A = 4\pi k_0 (\sigma\Delta A)$$

и

$$E = 4\pi k_0 \sigma \ (\textit{на поверхности проводника}).$$

Однородно заряженная пластина

Вычислим напряженность поля E на расстоянии x_0 от центра равномерно заряженной пластины, неограниченной в двух измерениях. Гауссову поверхность выберем в форме параллелепипеда (рис. 16-12), длина которого вдоль оси x равна x_0, а площадь грани в плоскости yz равна A_0.

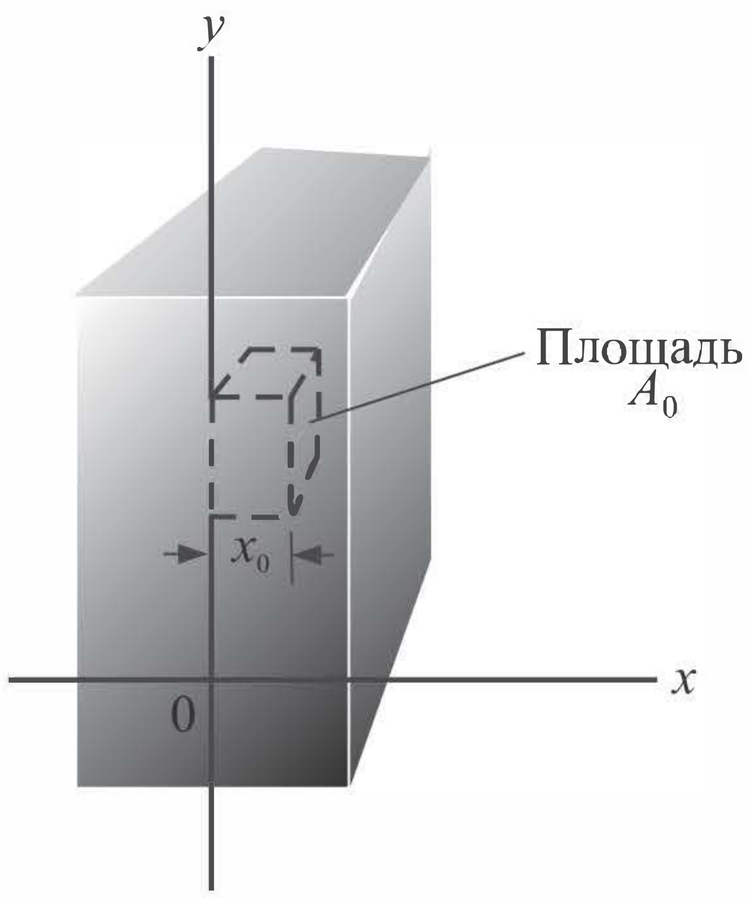


Рис. 16-12. Однородно заряженная пластина. Левая грань параллелепипеда (показан штриховой линией) расположена в плоскости yz при $x = 0$

Следовательно, объем параллелепипеда есть $x_0 A_0$ и заключенный в нем заряд $Q_{\text{внутр.}} = \rho x_0 A_0$. При интегрировании вклад в $\oint \mathbf{E} \cdot d\mathbf{A}$ дает лишь правая грань, поскольку вследствие симметрии $E = 0$ при $x = 0$. Следовательно,

$$\oint \mathbf{E} \cdot d\mathbf{A} = E\Delta A_0.$$

Приравнивая это выражение к величине $4\pi k_0 Q_{\text{внутр.}}$, получаем

$$EA_0 = 4\pi k_0 (\rho x_0 A_0),$$

откуда

$$E = 4\pi k_0 \rho x_0. \qquad (16\text{-}10)$$

Пример 4. Предположим, что внутри равномерно заряженной пластины в точке $x = x_0$ помещен электрон, который может свободно перемещаться. Опишем движение электрона, пренебрегая силами трения.

Решение: С помощью (16-12) вычислим силу, действующую на электрон в точке x:

$$F = (-e)E = -4\pi k_0 e\rho x.$$

Тогда уравнение движения электрона запишется в виде

$$\frac{d^2x}{dt^2} = -\left(\frac{4\pi k_0 e\rho}{m_e}\right)x.$$

Это пример движения по гармоническому закону. В соответствии с (11-7) уравнение движения имеет решение $x = x_0 \cos \omega t$, причем

$$\omega = \sqrt{4\pi k_0 e\rho / m_e}\ .$$

Следует заметить, что частота колебаний в примере 4 не зависит от толщины пластины. Роль такой «пластины» или слоя с положительным зарядом играет плазменный слой, подобный ионосфере в верхней части земной атмосферы. При этом плотность положительного заряда $\rho = \mathfrak{N}_+ e$, где $\mathfrak{N}_+$ — число ионов в единице объема. Следовательно, частота колебаний отдельного электрона внутри заряженного слоя

$$f = \frac{1}{2\pi}\sqrt{\frac{4\pi k_0 \mathfrak{N}_+ e^2}{m_e}}.$$

Можно показать, что это выражение справедливо и в том случае, когда число электронов равно числу ионов. При возмущении электроны в плазме начинают колебаться с указанной частотой (ее называют плазменной частотой).

Радиоволны с частотой ниже плазменной отражаются от ионосферы. В этом случае ионосфера ведет себя как проводник. Такое отражение делает возможной дальнюю радиосвязь по всей поверхности Земли. Однако для связи с космическими кораблями нужно использовать частоты, превышающие плазменную частоту.

Формулы для вычисления электрических полей, создаваемых различными заряженными телами, сведены в табл. 16-1.

§ 4. Электрический потенциал

Приступая к чтению данной главы, было бы полезно еще раз изучить материал, рассмотренный в § 6—8 гл. 6 и § 3 гл. 7.

В соответствии с формулой (6-12) изменение электрической потенциальной

Таблица 16-1

Электрические поля, создаваемые различными заряженными телами (предполагается, что твердые тела заряжены однородно)

Тело	Точка в пространстве	E (с использованием k_0)	E (с использованием ε_0)
Сплошной шар или полая сфера	Вне тела	$k_0 \frac{Q}{r^2}$	$\frac{1}{4\pi\varepsilon_0}\frac{Q}{r^2}$
Полая сфера	Внутри тела	0	0
Сплошной шар	Внутри тела	$k_0 \frac{Q}{R^3} r$	$\frac{1}{4\pi\varepsilon_0}\frac{Q}{R^3} r$
Проводник или стержень	Вне тела	$2k_0 \frac{\lambda}{r}$	$\frac{1}{2\pi\varepsilon_0}\frac{\lambda}{r}$
Сплошной стержень	Внутри тела	$2k_0 \frac{\lambda}{R^2} r$	$\frac{1}{2\pi\varepsilon_0}\frac{\lambda}{R^2} r$
Одна плоскость (слой)	С любой стороны	$2\pi k_0 \sigma$	$\frac{1}{2\varepsilon_0}\sigma$
Две плоскости (два слоя) (σ и $-\sigma$)	Между плоскостями	$4\pi k_0 \sigma$	$\frac{1}{\varepsilon_0}\sigma$
Пластина	Внутри, на расстоянии x от центра	$4\pi k_0 \rho x$	$\frac{1}{\varepsilon_0}\rho x$
Проводник	Вблизи поверхности	$4\pi k_0 \sigma$	$\frac{1}{\varepsilon_0}\sigma$

энергии при перенесении заряда q из точки a в точку b записывается в виде

$$U_b - U_a = \int_a^b \mathbf{F}\cdot d\mathbf{s} = -q\int_a^b \mathbf{F}\cdot d\mathbf{s} \quad (\textit{электрическая потенциальная энергия}), \quad (16\text{-}11)$$

где $\mathbf{F}$ — электростатическая сила, действующая на заряд q. По аналогии с потенциальной энергией в гравитационном поле положим $U = 0$ в случае, когда тело удалено на бесконечность. Тогда

$$U(r) = -q\int_\infty^r \mathbf{E}\cdot d\mathbf{s}.$$

Если мы перенесем заряд q из бесконечности в точку, расположенную на некотором расстоянии r от точечного заряда Q, то потенциальная энергия будет равна работе, совершаемой против электрической силы, т. е.

$$U = -q\int_\infty^r k_0\frac{Q}{r^2}dr = -qQk_0\left[-\frac{1}{r}\right]_\infty^r.$$

Таким образом,

$$U = k_0\frac{qQ}{r} \quad (\textit{потенциальная энергия точечных зарядов } Q \textit{ и } q). \quad (16\text{-}12)$$

Электрический потенциал V определяется как электрическая потенциальная энергия единицы заряда:

$$V \equiv \frac{U}{q} \quad (\textit{определение электрического потенциала}).$$

Единицей измерения электрического потенциала является джоуль на кулон; она называется *вольтом* и в СИ обозначается В. Деля обе части выражения (16-12) на q, мы получим формулу для потенциала точечного заряда Q:

$$V = \frac{k_0 Q}{r} \quad (\textit{потенциал точечного заряда}).$$

(16-13)

Электрический потенциал — это работа, которую необходимо затратить, чтобы переместить единичный заряд из бесконечности на расстояние r от точечного заряда Q. Электрический потенциал равен потенциальной энергии, приходящейся на единицу заряда, подобно тому как электрическое поле равно силе, действующей на единицу заряда.

Разность потенциалов между двумя точками представляет собой работу, которую необходимо затратить для перемещения единичного заряда из одной точки в другую*. Общее выражение для разности потенциалов можно получить, разделив обе части выражения (16-11) на q:

$$V_b - V_a = -\int_a^b \mathbf{E}\cdot d\mathbf{s} \quad (\textit{разность потенциалов}).$$

(16-14)

Рассмотрим в качестве примера разность потенциалов между поверхностью однородно заряженной сферы и ее центром. Поскольку по пути интегрирования $E = 0$, имеем $V_b - V_a = 0$; иными словами, потенциал в центре является тем же самым, что и на поверхности. На рис. 16-13, *а* приведен график зависимости V от r. Заметим, что величина электрического поля (рис. 16-13, *б*) равна взятой с обратным знаком производной от электрического потенциала (рис. 16-13, *а*). Это следует из формулы (16-14), согласно которой $dV = -E\,dr$, или $E = -dV/dr$. В более общем виде

$$dV = -\mathbf{E}\cdot d\mathbf{s}.$$

---

* Величину разности потенциалов принято также называть электрическим напряжением или просто напряжением. — *Прим. ред.*

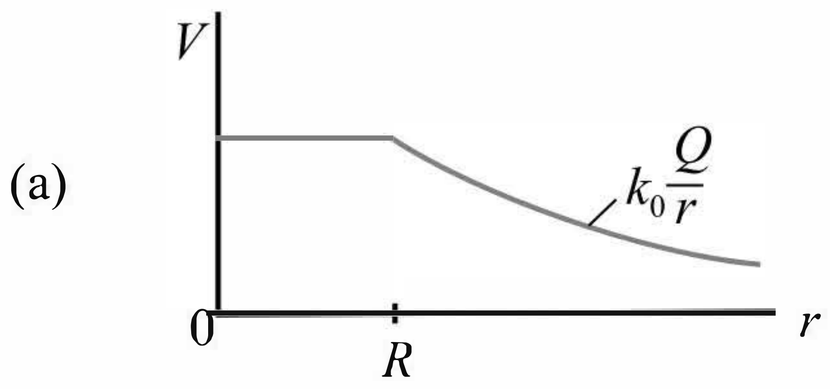


Рис. 16-13. Потенциал (*а*) и напряженность электрического поля (*б*), создаваемые сферой радиусом R

Если вектор $d\mathbf{s}$ направлен вдоль оси x, то

$$dV = -E_x\, dx.$$

Таким образом,

$$E_x = -\frac{\partial V}{\partial x}, \quad E_y = -\frac{\partial V}{\partial y}, \quad E_z = -\frac{\partial V}{\partial z}. \quad (16\text{-}15)$$

Мы видим, что электрическое поле можно измерять либо в вольтах на метр (В/м), либо в ньютонах на кулон (Н/Кл) и что поле $\mathbf{E}$ направлено в сторону уменьшения потенциала V.

Установлено, что наибольшее электрическое поле в воздухе при атмосферном давлении достигает около 10^6 В/м. В более сильных полях происходит электрический пробой — лавинный процесс, при котором каждый ион образует новые ионы, и возникает искровой или коронный разряд. На рис. 16-14, *а* показано проявление эффектов коронного разряда. Преподаватель касается рукой электрода генератора ван де Граафа. Такой генератор может создавать потенциал до ~10^5 В (см. пример 5). На кончиках волос преподавателя возникают искровые разряды. Заряженные волосы отталкиваются друг от друга и располагаются вдоль силовых линий вокруг заряженной головы. На рис. 16-14, *б* видно, что в случае с длинными волосами картина производит значительно более сильное впечатление.

Пример 5. Найдем наибольшее напряжение и заряд, которые можно сообщить находящейся в воздухе сфере. Диаметр сферы 30 см.

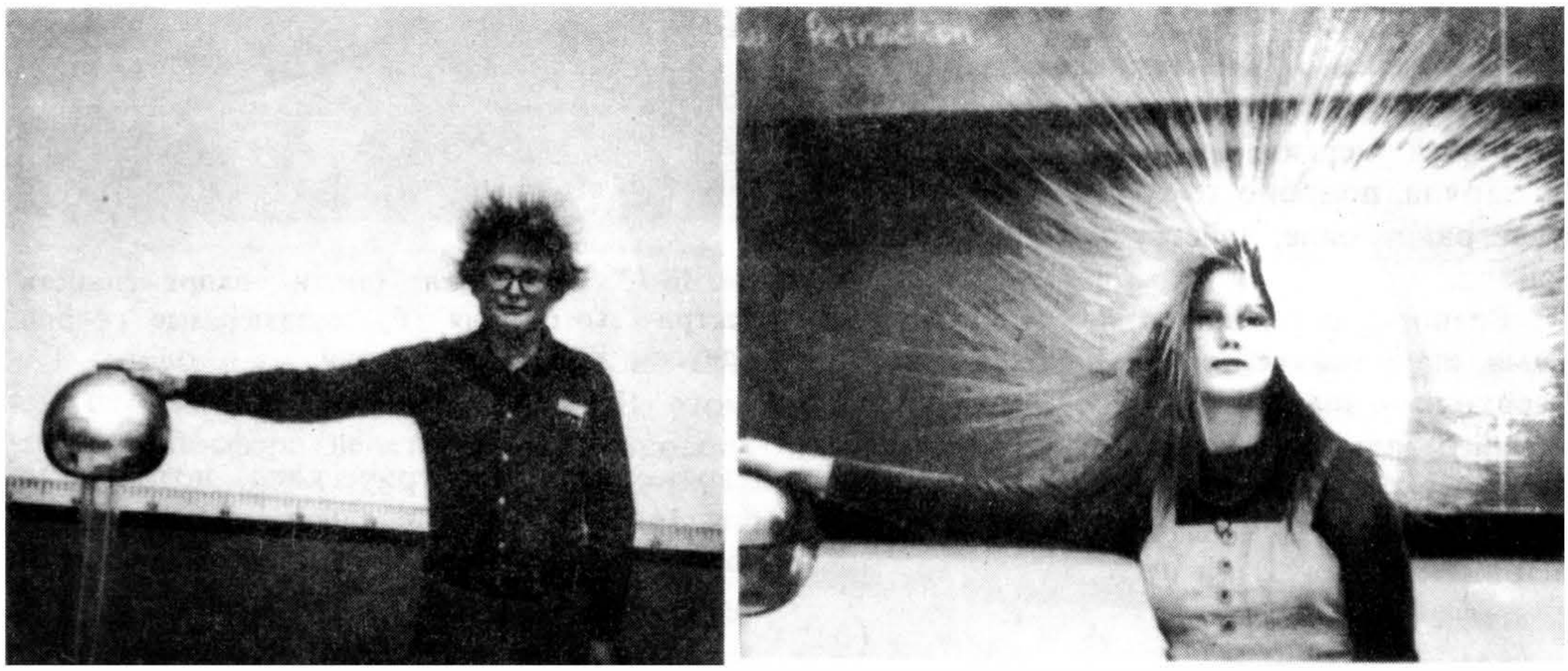


Рис. 16-14. *а* — касаясь электрода генератора ван де Граафа, преподаватель сообщает своему телу потенциал ~10^5 В; *б* — этот же опыт повторяет студентка с длинными волосами. Волосы вытягиваются вдоль электрических силовых линий

Решение: Поле сферы совпадает с полем точечного заряда. Поэтому для вычисления потенциала на поверхности сферы можно воспользоваться формулой (16-13):

$$V = \frac{k_0 Q}{R} = \left(\frac{k_0 Q}{R^2}\right) R.$$

Величина в скобках — это напряженность электрического поля E; следовательно,

$$V = ER.$$

Поскольку в воздухе максимальное значение $E = 10^6$ В/м, то

$$V_{\text{макс.}} = (10^6 \text{ В/м})(0{,}15 \text{ м}) = 1{,}5 \cdot 10^5 \text{ В}.$$

Находя Q из формулы $V = k_0 Q/R$, получаем

$$Q_{\text{макс.}} = \frac{V_{\text{макс.}} R}{k_0} = \frac{\left(1{,}5 \cdot 10^5\right)(0{,}15)}{9 \cdot 10^9} \text{ Кл} =$$
$$= 2{,}5 \cdot 10^{-6} \text{ Кл}.$$

---

* **Пример 6.** Электрический диполь $p = qL$ расположен вдоль оси x, как показано на рис. 16-15. Найдем V, E_x и E_y в точке P в случае, когда $r \gg L$.

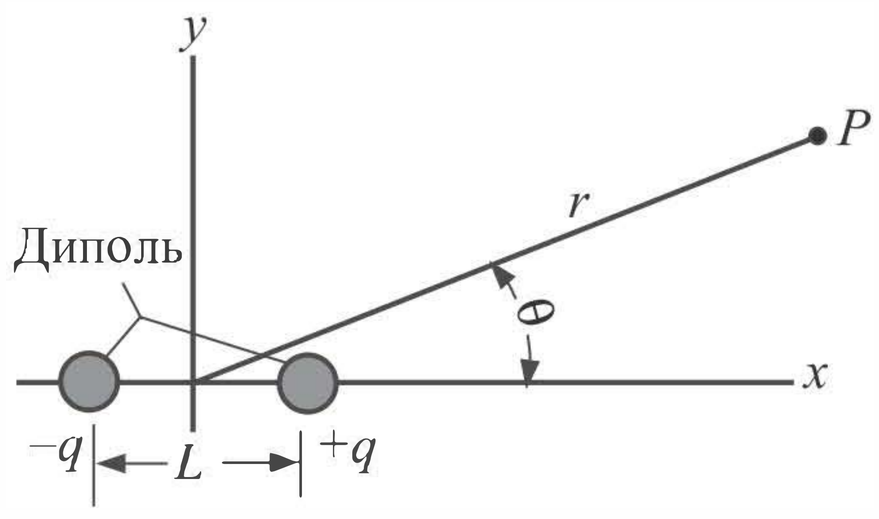


Рис. 16-15. Электрический диполь, ориентированный вдоль оси x

Решение: В случае когда точка P находится от диполя на расстоянии r, значительно превышающем L, можно считать, что расстояние от точки P до заряда $+q$ равно $[r - (L/2)\cos\theta]$, а до заряда $-q$ оно будет $[r + (L/2)\cos\theta]$. Тогда потенциал в точке P равен сумме потенциалов, создаваемых отдельными зарядами:

$$V = k_0 \frac{q}{r - (L/2)\cos\theta} + k_0 \frac{(-q)}{r + (L/2)\cos\theta} =$$
$$= k_0 \frac{qL\cos\theta}{r^2 - \left(L^2/4\right)\cos^2\theta}.$$

При $r \gg L$ мы имеем

$$V \approx k_0 \frac{p\cos\theta}{r^2} = k_0 p \frac{x}{r^3},$$

$$E_y = -\frac{\partial V}{\partial y} = -k_0 px \frac{\partial\left(r^{-3}\right)}{\partial y} = -k_0 px(-3) r^{-4} \frac{\partial r}{\partial y} =$$
$$= 3k_0 p \frac{x}{r} \frac{1}{r^3} \frac{\partial}{\partial y}\left(x^2 + y^2 + z^2\right)^{1/2} =$$
$$= 3\frac{k_0 p\cos\theta}{r^3}\left(\frac{y}{r}\right) = \frac{3k_0 p\cos\theta\sin\theta}{r^3},$$

$$E_x = -\frac{\partial V}{\partial x} = -\frac{k_0 p}{r^3} - k_0 px \frac{\partial\left(r^{-3}\right)}{\partial x} =$$
$$= \frac{k_0 p}{r^3}\left(-1 + \frac{3x}{r}\frac{\partial r}{\partial x}\right) = \frac{k_0 p}{r^3}\left(-1 + 3\cos^2\theta\right) =$$
$$= \frac{k_0 p}{r^3}\left(3\cos^2\theta - 1\right).$$

Мы видим, что при данном угле θ поле убывает обратно пропорционально кубу расстояния. Диаграмма силовых линий диполя приведена на рис. 15-7, *а*.

Рассмотрим теперь электрическое поле и разность потенциалов между двумя противоположно заряженными параллельными пластинами, каждая площадью A, и расположенными на расстоянии x_0 одна от другой (рис. 16-16). Если полный заряд одной пластины $+Q$, а другой $-Q$, то и плотности зарядов σ соответственно равны Q/A и $-Q/A$.

В соответствии с (16-14) разность потенциалов

$$\Delta V = -Ex_0.$$

Поскольку силовые линии электрического поля E идут от положительных зарядов к отрицательным, то знак «минус»

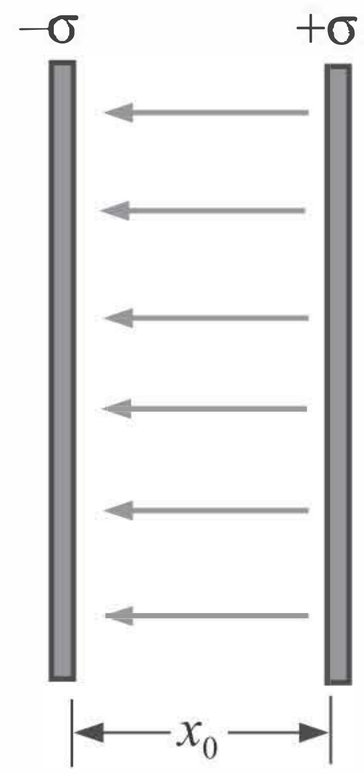


Рис. 16-16. Две параллельные пластины с равными по величине и противоположными по знаку плотностями заряда σ

свидетельствует о том, что положительная пластина обладает более высоким потенциалом. Из формулы (16-9) имеем $E = -4\pi k_0\sigma$; следовательно,

$$\Delta V = 4\pi k_0 \sigma x_0.$$

Поскольку площадь каждой пластины равна A, а заряды соответственно $+Q$ и $-Q$, то $\sigma = Q/A$ и

$$\Delta V = \frac{4\pi k_0 x_0}{A} Q. \qquad (16\text{-}16)$$

В качестве следующего примера рассмотрим коаксиальный кабель, в котором линейная плотность заряда центрального проводника равна λ, а внешнего $-\lambda$. Радиус центрального проводника равен a, а внешнего b (рис. 16-17).

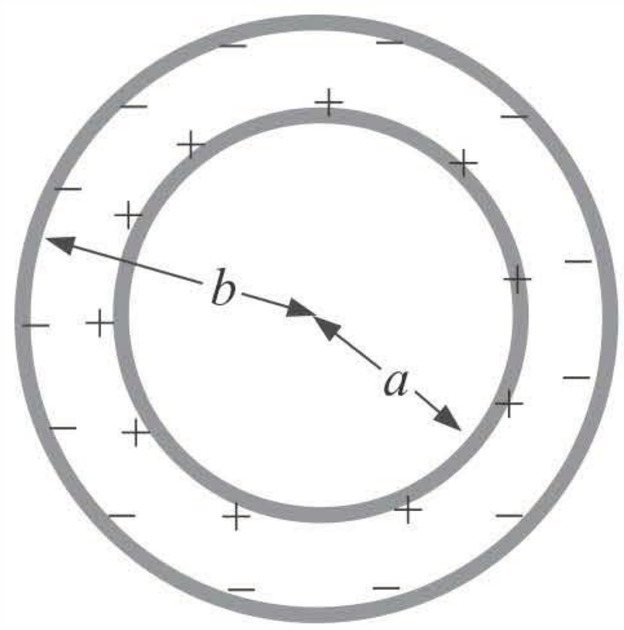


Рис. 16-17. Коаксиальные проводники с равными по величине и противоположными по знаку зарядами

Найдем, чему равна разность потенциалов между этими двумя проводниками. В соответствии с (16-14) разность потенциалов записывается в виде

$$\Delta V = \int_a^b E\, dr.$$

Используя для E выражение (16-7), получаем

$$\Delta V = \int_a^b \left(\frac{2k_0\lambda}{r}\right) dr = 2k_0\lambda\left[\ln r\right]_a^b,$$

$$\Delta V = 2k_0\lambda \ln (b/a). \qquad (16\text{-}17)$$

Если несколько заряженных тел расположены соответственно на расстояниях $r_1, r_2, \ldots, r_n$ от точки P, то электрический потенциал в этой точке равен сумме потенциалов, создаваемых отдельными телами. Это следствие принципа суперпозиции:

$$V = -\int \mathbf{E}\cdot d\mathbf{s} = \int \left(\mathbf{E}_1 + \mathbf{E}_2 + \ldots + \mathbf{E}_n\right)\cdot d\mathbf{s} =$$
$$= \left(-\int \mathbf{E}_1 \cdot d\mathbf{s}\right) + \left(-\int \mathbf{E}_2 \cdot d\mathbf{s}\right) + \ldots +$$
$$+ \left(-\int \mathbf{E}_2 \cdot d\mathbf{s}\right) = V_1 + V_2 + \ldots + V_n.$$

Разность потенциалов между двумя точками определена однозначно, поскольку электростатические силы консервативны. В гл. 6 мы показали, что интеграл $\int \mathbf{E}\cdot d\mathbf{s}$ по замкнутому контуру равен нулю. Следовательно,

$$\oint \mathbf{E}\cdot d\mathbf{A} = 0 \ (\textit{в электростатике}). \qquad (16\text{-}18)$$

Электронвольт

Удобной единицей измерения энергии оказывается количество энергии, сообщаемой электрону (или другой частице с тем же зарядом) в электрическом поле с разностью потенциалов 1 В. Действующее на частицу электрическое поле увеличивает ее кинетическую энергию на величину, называемую электронвольтом:

$\Delta K = -\Delta U = e\,\Delta V = (1{,}60\cdot10^{-19}$ Кл) (1 В) = $= 1{,}60\cdot10^{-19}$ Дж.

Электронвольт имеет сокращенное обозначение эВ.

1 эВ = $1{,}60\cdot10^{-19}$ Дж.

Производными единицами являются:

1 МэВ = 10^6 эВ = $1{,}6\cdot10^{-13}$ Дж,
1 ГэВ = 10^9 эВ = $1{,}6\cdot10^{-10}$ Дж,
1 ТэВ = 10^{12} эВ = $1{,}6\cdot10^{-7}$ Дж. — *Прим. ред.*

Пример 7. В боровской модели атома водорода электрон движется по круговой орбите радиусом $R = 0{,}53\cdot10^{-10}$ м, в центре которой расположен протон.

а) Какова скорость электрона?

б) Чему равны электрическая потенциальная энергия и полная энергия электрона в электронвольтах?

Решение: а) Чтобы найти скорость, запишем применительно к электрону соотношение $F = ma$, в котором $F = k_0 e^2/R^2$ — электростатическая сила, а $a = v^2/R$ — ускорение. Тогда

$$k_0 \frac{e^2}{R^2} = m\frac{v^2}{R}, \qquad (16\text{-}19)$$

$$v = \sqrt{\frac{k_0 e^2}{mR}} = \sqrt{\frac{\left(9\cdot10^9\right)\left(1{,}6\cdot10^{-19}\right)^2}{\left(9{,}11\cdot10^{-31}\right)\left(0{,}53\cdot10^{-10}\right)}}\ \text{м/с} =$$

$= 2{,}18\cdot10^6$ м/с $= c/137$.

б) Для вычисления потенциальной энергии воспользуемся формулой (16-12), в котором положим $q_p = e$, а $q_e = -e$:

$$U = -k_0\frac{e^2}{R} = -\left(9\cdot10^9\right)\frac{\left(1{,}6\cdot10^{-19}\right)^2}{0{,}53\cdot10^{-10}}\ \text{Дж} =$$

$= -27{,}2$ эВ.

Умножив обе части выражения (16-19) на $R/2$, найдем кинетическую энергию

$$\frac{1}{2}mv^2 = \frac{1}{2}k_0\frac{e^2}{R} = -\frac{1}{2}U.$$

Мы видим, что кинетическая энергия равна половине потенциальной энергии. Полная энергия равна

$$E = K + U = (-U/2) + U = U/2 = -13{,}6\ \text{эВ}.$$

Абсолютное значение этой величины равно той энергии, которую нужно сообщить электрону, чтобы удалить его на бесконечность. Эта величина называется энергией ионизации.

В заключении данного параграфа следует заметить, что поверхность любого проводника представляет собой эквипотенциальную поверхность. Если бы поверхность проводника не была эквипотенциальной, то на ней можно было бы найти такие две точки на расстоянии Δs, между которыми существовала бы разность потенциалов ΔV. Тогда составляющая электрического поля вдоль поверхности проводника E_s оказалась бы равной $-\Delta V/\Delta s$ и в направлении, противоположном полю E_s, стали бы перемещаться электроны проводимости.

Электрические силовые линии всегда перпендикулярны эквипотенциальным поверхностям и направлены в сторону уменьшения потенциала.

Мы могли бы продолжить вычисления потенциалов и электрических полей для проводников и изоляторов различной формы с разным распределением электрических зарядов. Однако нас главным образом интересует развитие фундаментальных идей и физических понятий, и поэтому мы не будем более подробно останавливаться на этом разделе электростатики.

§ 5. Электрическая емкость

Почти ни одно электрическое устройство не обходится без конденсатора. Конденсатор состоит из двух пластин и обладает

свойством удерживать и накапливать электрический заряд, если к его пластинам прикладывается разность потенциалов. Отношение накопленного заряда Q к разности потенциалов ΔV называется емкостью C:

$$C \equiv \frac{Q}{\Delta V} \text{ (емкость).}$$

Единицей измерения емкости является кулон на вольт. Этой единице присвоено специальное наименование — *фарад* (Ф). Фарад — слишком большая емкость для конденсатора обычных размеров, поэтому принято пользоваться меньшей единицей, а именно микрофарадом (мкФ).

Конденсатор обычно состоит из двух проводящих поверхностей, разделенных тонким слоем изолятора. Заряды поверхностей равны по величине и противоположны по знаку. У конденсатора, схематически изображенного на рис. 16-18, заряженными поверхностями являются параллельные пластины, разделенные расстоянием x_0. Из формулы (16-16) находим, что разность потенциалов между этими двумя пластинами равна

$$\Delta V = \frac{4\pi k_0 x_0}{A} Q.$$

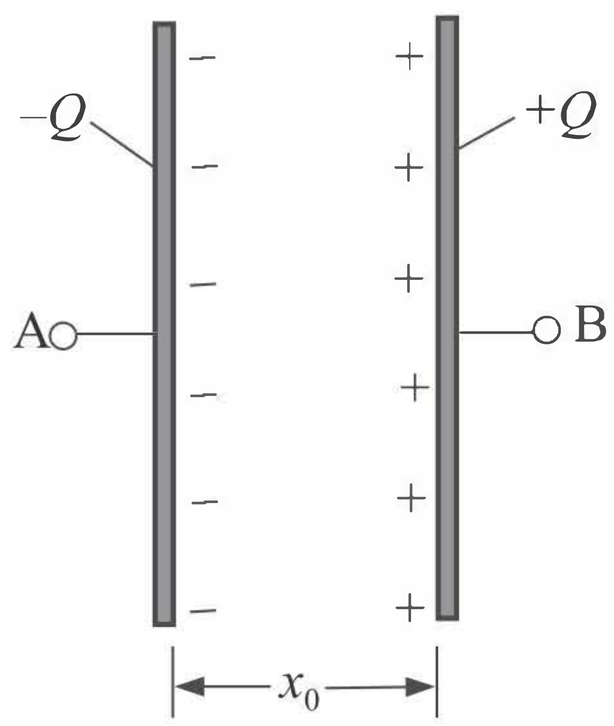


Рис. 16-18. Плоский конденсатор. К клеммам A и B приложена разность потенциалов V

Отсюда можно записать отношение

$$\frac{Q}{\Delta V} = \frac{A}{4\pi k_0 x_0},$$

которое является емкостью C. Таким образом, емкость конденсатора с плоскопараллельными пластинами, между которыми находится вакуум, дается выражением

$$C = \frac{A}{4\pi k_0 x_0}. \qquad (16\text{-}20)$$

Вычислим теперь емкость отрезка коаксиального кабеля единичной длины. Емкость, приходящаяся на единицу длины кабеля, равна отношению λ к ΔV:

$$C_l = \frac{\lambda}{\Delta V};$$

здесь знаменатель представляет собой разность потенциалов, определяемую выражением (16-17):

$$\Delta V = 2k_0 \lambda \ln (b/a).$$

Таким образом,

$$C_l = \frac{1}{2k_0 \ln(b/a)}. \qquad (16\text{-}21)$$

Пример 8. Найдем емкость в пикофарадах (1 пФ = 10^{-12} Ф) метрового отрезка коаксиального кабеля с диаметром центрального проводника 1 мм и диаметром оплетки 5 мм.

Решение: Записывая выражение (16-21)

$$C_l = \frac{1}{2k_0 \ln(b/a)}$$

и подставляя в него $b/a = 5$, получаем

$$C_l = \frac{1}{2\left(9\cdot 10^9\right)\ln 5} \text{Ф/м} = 34{,}5\cdot 10^{-12} \text{ Ф/м} =$$

$$= 34{,}5 \text{ пФ/м}.$$

Таким образом, метровый отрезок кабеля, если между его центральным проводником и оплеткой находится вакуум, имеет емкость

34,5 пФ. Обычно в кабелях между проводниками имеется полиэтиленовая прослойка. В таком случае, как мы покажем в следующем параграфе, полученный выше результат нужно умножить на диэлектрическую проницаемость полиэтилена, которая равна 2,3.

Накопление энергии

Предположим, что первоначально незаряженный конденсатор постепенно заряжается, причем разность его потенциалов увеличивается от 0 до V_0. При этом заряд на обкладках конденсатора будет возрастать от 0 до Q_0, где $Q_0 = CV_0$. Работа по перемещению заряда dq от отрицательно заряженной пластины к положительно заряженной записывается в виде

$$dU = V\,dq.$$

Полная работа, или энергия, запасенная в конденсаторе

$$U = \int_0^{Q_0} V\,dq = \int \left(\frac{q}{C}\right) dq,$$

$$U = \frac{1}{2}\frac{Q_0^2}{C} \quad (\textit{энергия, запасенная в конденсаторе}). \qquad (16\text{-}22)$$

Пример 9. Какую работу нужно совершить, чтобы сфере радиусом R сообщить заряд Q?

Решение: Если сфере уже сообщен заряд q, то работа по перемещению из бесконечности дополнительного заряда dq равна

$$dU = Vdq = \left(k_0 \frac{q}{r}\right) dq.$$

Интегрируя это выражение, получаем полную работу, которую нужно совершить, чтобы сообщить сфере заряд Q:

$$U = \int \frac{k_0}{R} q\,dq = \frac{k_0}{R}\left[\frac{q^2}{2}\right]_0^Q = \frac{k_0 Q^2}{2R}. \qquad (16\text{-}23)$$

Пример 10. Предположим, что радиус электрона равен радиусу протона, 10^{-15} м, и что заряд электрона ($q_e = -1{,}6\cdot10^{-19}$ Кл) сосредоточен на его поверхности.
а) Какова потенциальная энергия системы?
б) Какой релятивистской массе соответствует эта энергия?

Решение: а) Используя выражение (16-23), находим

$$U = \frac{k_0 q_e^2}{2R} = \frac{\left(9\cdot10^9\right)\left(1{,}6\cdot10^{-19}\right)^2}{2\cdot10^{-15}}\ \text{Дж} =$$
$$= 1{,}15\cdot10^{-13}\ \text{Дж} = 0{,}72\ \text{МэВ}.$$

б) Эквивалентная масса равна

$$m = \frac{U}{c^2} = \frac{1{,}15\cdot10^{-13}}{\left(3\cdot10^8\right)^2}\ \text{кг} = 1{,}28\cdot10^{-30}\ \text{кг}.$$

Заметим, что даже эта величина превышает значение полученной из опыта массы: $0{,}91\cdot10^{-30}$ кг. Эксперименты показывают, что радиус электрона по крайней мере в 10 раз меньше, чем 10^{-15} м. Следовательно, масса покоя электрона должна быть в 10 раз больше измеренной на опыте. Это серьезное расхождение является одной из нерешенных фундаментальных проблем, на которые физика пока не может дать ответа.

Полезно преобразовать формулу (16-22) и записать запасенную в конденсаторе энергию не через заряд, а через напряженность электрического поля. Это нетрудно сделать для плоскопараллельного конденсатора (рис. 16-16). В этом случае

$$E = 4\pi k_0 \frac{Q_0}{A}, \quad \text{или} \quad Q_0 = \frac{EA}{4\pi k_0}.$$

Подставляя это выражение в (16-22), получаем

$$U = \frac{1}{2C}\left(\frac{EA}{4\pi k_0}\right)^2.$$

Воспользуемся формулой (16-20), чтобы исключить C:

$$U = \frac{1}{2\left(A/4\pi k_0 x_0\right)}\left(\frac{EA}{4\pi k_0}\right)^2 = \frac{E^2}{8\pi k_0} A x_0.$$

Теперь разделим обе части на объем $\mathcal{V} = Ax_0$, занятый полем E:

$$\frac{U}{\mathcal{V}} = \frac{E^2}{8\pi k_0} \quad (\textit{плотность энергии электрического поля}). \qquad (16\text{-}24)$$

Допустим, что энергия, затраченная на перемещение заряда в его окончательное положение, запасается в электрическом поле и что плотность электрического поля равна $E^2/8\pi k_0$ (Дж/м^3). Тогда этим можно воспользоваться при вычислении энергии, запасенной в плоском конденсаторе. Из более общего, но более сложного рассмотрения следует, что полная энергия, необходимая для создания *произвольного* распределения зарядов, в точности равна интегралу от $E^2/8\pi k_0$, взятому по всему пространству; здесь E — поле, создаваемое этим распределением зарядов. Таким образом, формула (16-24) имеет совершенно общий характер и позволяет с уверенностью принять физическое толкование энергии, запасенной в единице объема электрического поля и равной $E^2/8\pi k_0$. Таким образом, используя формулу (16-24), мы лишь другим способом вычисляем энергию, идущую на создание нужной конфигурации системы зарядов. Однако физическая интерпретация энергии, запасенной в поле, приобретает еще большее значение, когда изучается вопрос об излучении энергии движущимся с ускорением электрическим зарядом. Эта энергия излучается в виде электрического и магнитного полей, распространяющихся со скоростью света. Как мы увидим в гл. 20, излучаемая энергия согласуется с формулой (16-24).

§ 6. Диэлектрики

В предыдущих параграфах мы рассматривали поля, создаваемые зарядами на проводниках, находящихся в вакууме. Известно, что если между пластинами конденсатора поместить вещество, то емкость конденсатора увеличивается. Обозначим эту новую емкость C'. Тогда, беря отношение C' к C, мы можем определить диэлектрическую проницаемость вещества $\varkappa$:

$$\varkappa \equiv \frac{C'}{C} \quad (\textit{определение диэлектрической проницаемости}) \qquad (16\text{-}25)$$

(C — емкость конденсатора при отсутствии вещества между его пластинами).

Это вещество между пластинами конденсатора называют диэлектриком. Из рис. 16-19 видно, почему емкость конденсатора увеличивается, когда между его пластинами находится диэлектрик. Если диэлектрик помещен во внешнее электрическое поле, то на его границах индуцируются заряды (рис. 16-20).

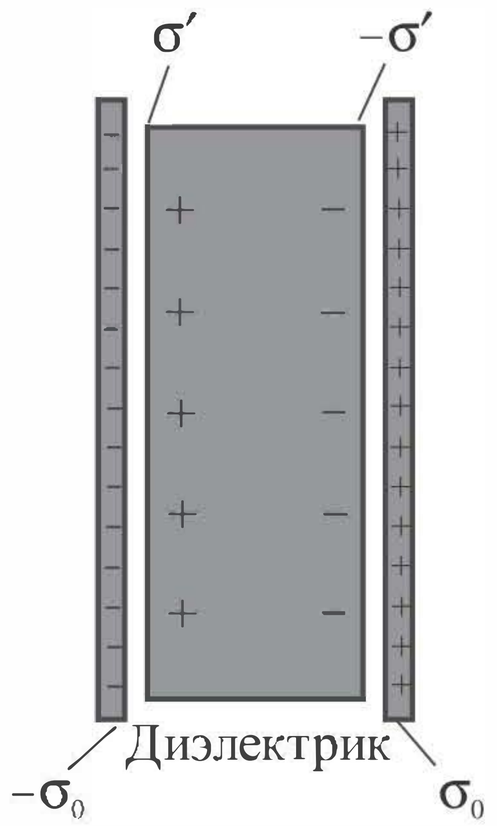
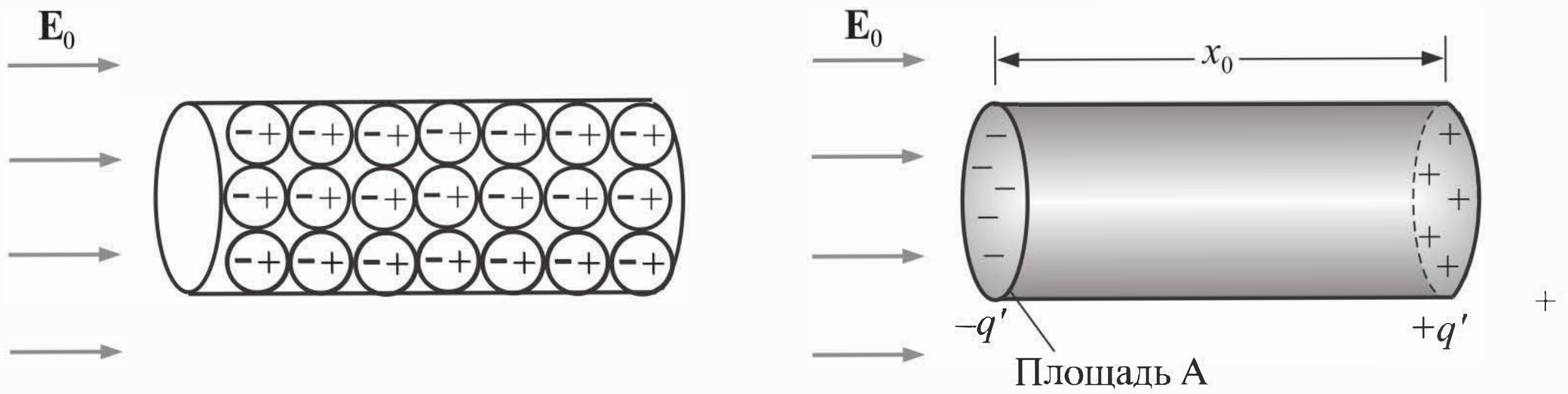


Рис. 16-19. Возникновение индуцированного заряда $q' = \sigma' A$ на диэлектрической пластине, помещенной между обкладками конденсатора Заряд q' приводит к уменьшению поля E и разности потенциалов между обкладками



(а) (б)

Рис. 16-20. *а* — в цилиндре из диэлектрика, находящемся во внешнем электрическом поле E_0, дипольные моменты атомов ориентируются вдоль направления поля; *б* — результирующее распределение заряда

Почему возникают индуцированные заряды, мы объясним позже, когда найдем связь диэлектрической проницаемости с основными атомными характеристиками. Сначала найдем выражения для $\varkappa$ через индуцированный заряд q'. Емкость конденсатора на рис. 16-19 записывается в виде

$$C' = q_0/V = q_0/Ex_0,$$

где

$$E = 4\pi k_0\sigma = 4\pi k_0\left(\frac{q_0}{A} - \frac{q'}{A}\right).$$

Таким образом,

$$C' = \frac{q_0}{4\pi k_0\left(q_0/A - q'/A\right)x_0} = \frac{1}{1-q'/q_0}\frac{A}{4\pi k_0 x_0} = \frac{1}{1-q'/q_0}C.$$

Беря отношение C'/C, получаем

$$\varkappa = \frac{1}{1-q'/q_0}. \qquad (16\text{-}26)$$

Теперь объясним, почему на границах диэлектрика, помещенного во внешнее электрическое поле, должен появиться индуцированный заряд q'. Это происходит потому, что отдельные молекулы и атомы обладают дипольными моментами. У некоторых молекул дипольные моменты постоянны. Такие молекулы называются полярными. Но даже те молекулы и атомы, у которых дипольный момент равен нулю, в электрическом поле приобретают индуцированный дипольный момент, как было показано в примере 2. Если дипольный момент каждой частицы в среднем равен $\bar{p}$ и направлен вдоль вектора электрического поля **E**, то в случае с цилиндром на рис. 16-20, содержащего N частиц, полный дипольный момент равен

$$p_{\text{полн.}} = N\bar{p}.$$

Поскольку частицы или атомы электрически нейтральны, средний заряд любого объема внутри цилиндра равен нулю. Однако на торцах цилиндра появляются эффективные заряды q', благодаря которым возникает электрический дипольный момент:

$$p_{\text{полн.}} = q'x_0.$$

Приравнивая друг к другу оба выражения для $p_{\text{полн.}}$, получаем

$$q'x_0 = N\bar{p} = \left(\mathfrak{N}Ax_0\right)\bar{p},$$

где $\mathfrak{N}$ — число частиц в единице объема. Таким образом,

$$q' = \mathfrak{N}A\bar{p}.$$

Подставляя это выражение в (16-26), получаем

$$\varkappa = \frac{1}{1 - \mathfrak{N}(q'/q_0)\bar{p}}. \qquad (16\text{-}27)$$

Большинство веществ имеет постоянное отношение $\bar{p}/q_0$, и поэтому $\varkappa$ не зависит от внешнего поля. Для веществ, состоящих из полярных молекул, $\bar{p}$ уменьшается с ростом температуры. Дипольные моменты атомов и неполярных молекул равны нулю; однако в электрическом поле у них появляется индуцированный дипольный момент, определяемый выражением (16-4):

$$p \approx \frac{R^3}{k_0} E.$$

Используя равенство $E = 4\pi k_0 [(q_0 - q')/A]$, находим

$$p \approx 4\pi R^3 \left(\frac{q_0 - q'}{A} \right).$$

Подставляя это выражение в (16-27) вместо $\bar{p}$, имеем

$$\varkappa \approx \frac{1}{1 - 4\pi\mathfrak{N}R^3(1 - q'/q_0)}.$$

С помощью (16-26) выражение, стоящее в знаменателе в скобках, можно заменить на $1/\varkappa$:

$$\varkappa \approx \frac{1}{1 - 4\pi\mathfrak{N}R^3(1/\varkappa)}.$$

Отсюда находим следующее соотношение:

$$\varkappa \approx 1 + 4\pi\mathfrak{N}R^3.$$

Это соотношение между диэлектрической проницаемостью, радиусом атомов (или частиц) и их концентрацией не является точным, потому что мы приближенно приняли, что внешние электроны представляют собой однородно заряженные шары. Кроме того, атомы не должны быть расположены слишком близко друг к другу. Однако это соотношение хорошо выполняется в случае с атомарными газами, а также объясняет, почему диэлектрическая проницаемость веществ, состоящих из неполярных молекул или атомов, больше единицы.

Основные выводы

Простое применение теоремы Гаусса показывает, что поле вне сферического заряда (или массы) оказывается таким же, как если бы весь заряд (или масса) был сосредоточен в его (ее) центре: $E = k_0 Q_{\text{полн.}}/r^2$. Поскольку электрическое поле внутри однородно заряженного облака увеличивается линейно с расстоянием от центра, точечный заряд внутри такого облака будет совершать простые гармонические колебания. По той же причине в атоме, помещенном во внешнее электрическое поле E_0, шарообразное электронное облако смещается относительно центра атома на расстояние, пропорциональное E_0. При этом появляется индуцированный дипольный момент $p = (R^3/k_0)E_0$, где R — радиус электронного облака.

Поле, создаваемое линейным распределением заряда, спадает как $1/r$, т. е. $E = 2k_0\lambda/r$, в то время как поле бесконечной заряженной плоскости постоянно в пространстве и равно $E = 2\pi k_0\sigma$.

Электрическая потенциальная энергия заряда q дается выражением $U = -q\int_{\infty}^{r} \mathbf{E}\,d\mathbf{s}$, причем на бесконечности величина U полагается равной нулю. Электрический потенциал в данной точке пространства представляет собой потенциальную энергию, приходящуюся на единицу заряда (т. е. $V = U/q$), и, таким образом, равен работе по переносу единичного заряда из бесконечности в данную точку

пространства. Электрический потенциал точечного заряда равен $V = k_0 Q/r$.

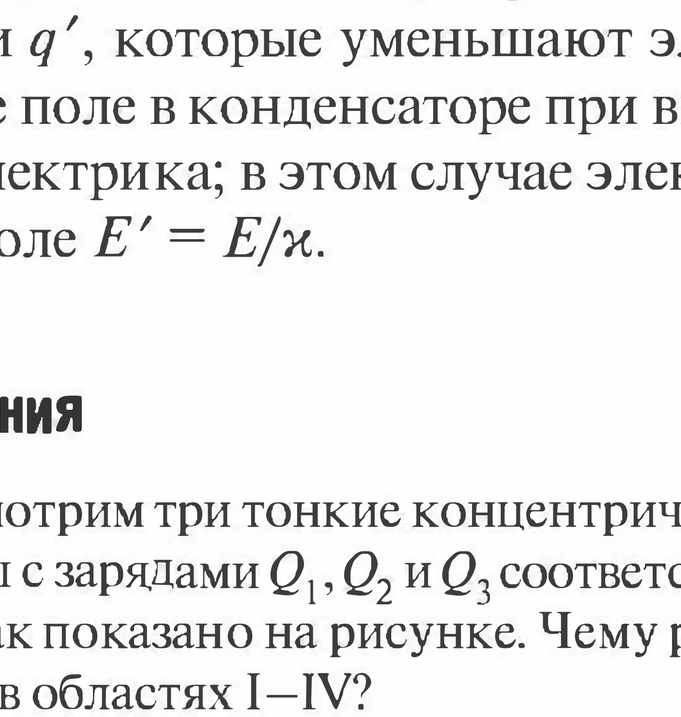
Разность потенциалов между пластинами конденсатора с равными по величине и противоположными по знаку зарядами Q записывается в виде $\Delta V = 4\pi k_0 x_0 (Q/A)$. Поскольку по определению емкость $C = Q/\Delta V$, для плоского конденсатора имеем $C = A/(4\pi k_0 x_0)$.

Ускоряясь в поле с разностью потенциалов 1 В, электрон приобретает кинетическую энергию, равную одному электронвольту (1 эВ), причем 1 эВ = $= 1{,}6 \cdot 10^{-19}$ Дж.

Запасенная в конденсаторе энергия равна $U = (1/2)Q^2/C$. Она равна также интегралу от $E^2/(8\pi k_0)$ по всему пространству. Плотность энергии электрического поля $dU/dV = E^2/(8\pi k_0)$. Диэлектрическая проницаемость вещества определяется как отношение емкости конденсатора с диэлектриком к емкости того же конденсатора без диэлектрика. Увеличение емкости обусловлено индуцированными зарядами q', которые уменьшают электрическое поле в конденсаторе при введении диэлектрика; в этом случае электрическое поле $E' = E/\varkappa$.

Упражнения

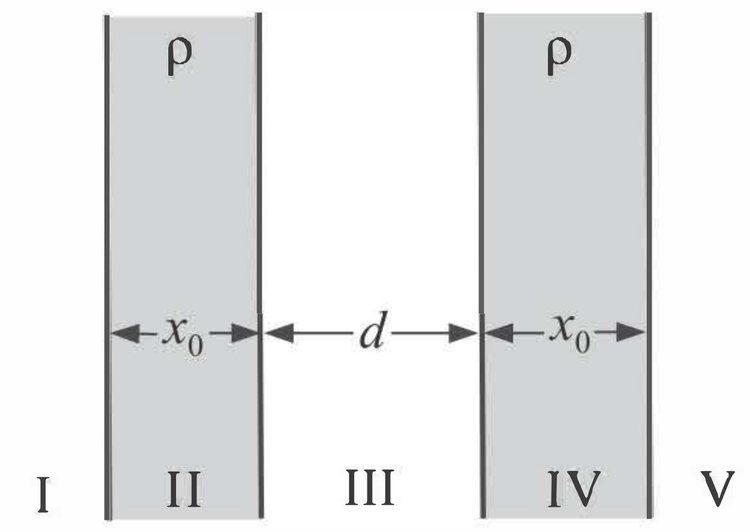
1. Рассмотрим три тонкие концентрические сферы с зарядами Q_1, Q_2 и Q_3 соответственно, как показано на рисунке. Чему равны E и V в областях I–IV?



2. Предположим, что в ионосфере давление $P = 10^{-3}$ атм, а температура $T = 300$ К, причем из общего числа атомов ионизована одна десятитысячная часть. Чему равна плазменная частота ионосферы при таких условиях?

3. Определите размер сферы, способной удержать в воздухе потенциал в полмиллиона вольт. Чему равен электрический заряд этой сферы?

4. Имеются две бесконечные пластины, каждая из которых несет заряд плотностью r. Толщина пластин x_0, расстояние между ними d. Какова напряженность электрического поля в каждой из областей I–V?



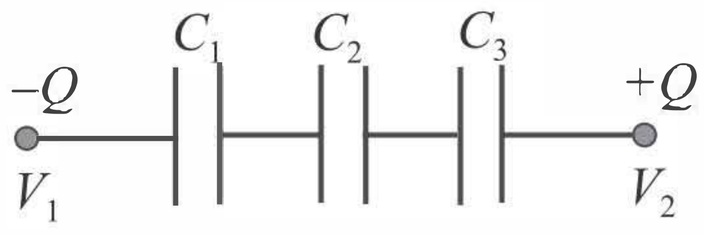
5. Повторите упражнение 4 для случая, когда заряды пластин имеют противоположные знаки.

6. Воспользовавшись результатами примера 6, покажите, что электрический потенциал на расстоянии r от диполя p равен $V = k_0 \mathbf{p}\hat{\mathbf{r}}/r^2$, где $\hat{\mathbf{r}}$ — единичный вектор в направлении $\mathbf{r}$.

7. Расстояние между пластинами плоского конденсатора 0,1 мм. Какой должна быть площадь пластин, чтобы емкость конденсатора достигла 1 Ф?

8. Емкость отдельного проводника определяется как $C = Q/V$, где V — электрический потенциал проводника относительно бесконечно удаленной точки. Найдите емкость сферы радиусом R. Чему равно значение емкости в пикофарадах, когда $R = 1$ см?

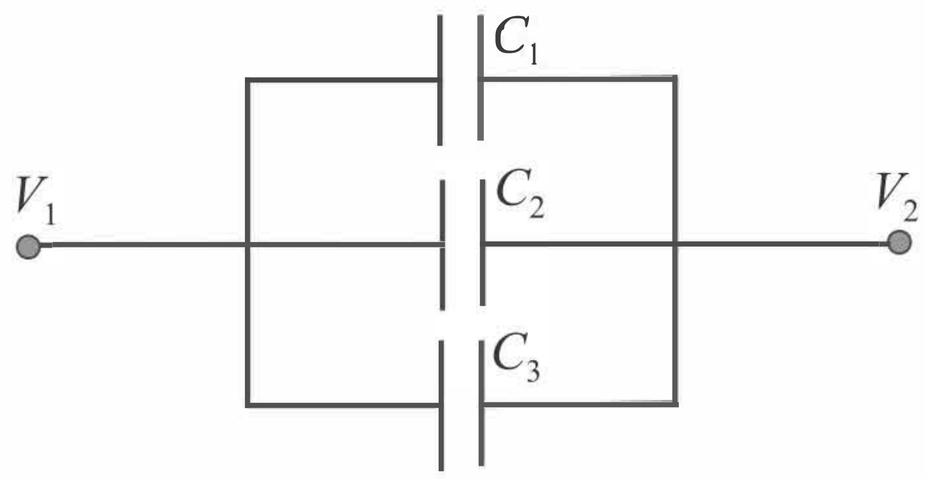
9. Полная емкость последовательно соединенных конденсаторов равна $C = Q/(V_2 - V_1)$. Найдите выражение для C через C_1, C_2 и C_3.



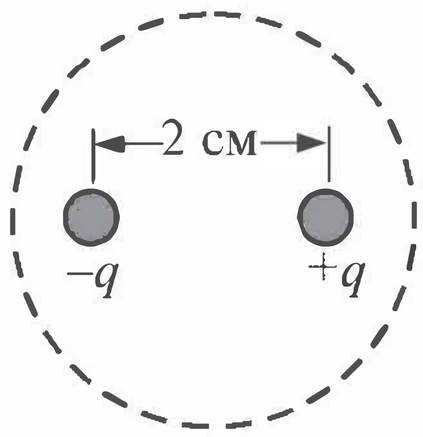
10. Полная емкость параллельно соединенных конденсаторов записывается в виде

$$C = \frac{Q_1 + Q_2 + Q_3}{V_2 - V_1}.$$

Найдите выражение для C через C_1, C_2 и C_3.



11. Электрический диполь состоит из двух зарядов q и $-q$ по 10^{-7} Кл каждый. Расстояние между зарядами 2 см.



а) Вычислите полный поток или полное число силовых линий, выходящих из сферической поверхности радиусом 2 см (эта поверхность на рисунке показана штриховой линией).
б) Каков электрический потенциал в центре сферы?
в) Чему равна величина электрического поля в центре сферы?

12. Предположим, что два протона в ядре гелия расположены на расстоянии $1{,}5 \cdot 10^{-15}$ м друг от друга. Вычислите
а) электростатическую силу, действующую между ними;
б) работу, которую нужно совершить, чтобы сблизить протоны на указанное расстояние.

13. Электрон находится на расстоянии $5{,}3 \cdot 10^{-11}$ м от протона. Какой должна быть скорость электрона, чтобы он мог улететь в бесконечность?

14. Пусть электрон с зарядом $-e$ и массой m и нейтрон с нулевым зарядом и массой M находятся на расстоянии R друг от друга.
а) Чему равна действующая между ними сила? Ответ запишите через расстояние и универсальные физические константы.
б) Пусть электрон движется вокруг нейтрона по круговой орбите. Какова действующая между ними сила? Ответ запишите через m, R и v (v — линейная скорость электрона).
в) Чему равна кинетическая энергия электрона? Ответ запишите через G, m, M и R.
г) Чему равна потенциальная энергия электрона?

15. Расстояние между двумя параллельными пластинами 2 см. Электрическое поле между пластинами 20 000 Н/Кл. Какова разность потенциалов между пластинами?

16. Пусть имеются две бесконечные параллельные плоскости и расстояние между ними 8 см. Каждая из них заряжена положительно с плотностью заряда 10^{-6} Кл/м^2. Чему равна напряженность электрического поля между плоскостями?

17. Пусть в шарике диаметром 1 см, изготовленном из угля, на каждый миллион протонов приходится один избыточный электрон.
а) Чему равен заряд шарика, если плотность шарика 1,7 г/см^3?
б) Каковы напряженность электрического поля и потенциал на поверхности шарика?

18. Электрон движется вокруг протона по круговой орбите. Каково отношение потенциальной энергии электрона к его кинетической энергии? Положительно или отрицательно это отношение? Чему равно отношение энергии связи к кинетической энергии электрона?

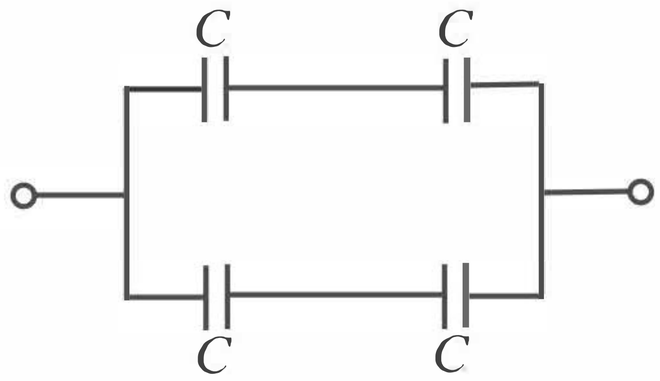
19. Предполагая, что на каждый квадратный сантиметр поверхности Земли приходит-

ся один избыточный электрон, определите электрический потенциал Земли.

20. Вычислите диэлектрическую проницаемость газообразного гелия при давлении 1 атм и температуре 300 К, считая радиус атома гелия равным $R = 10^{-10}$ м.

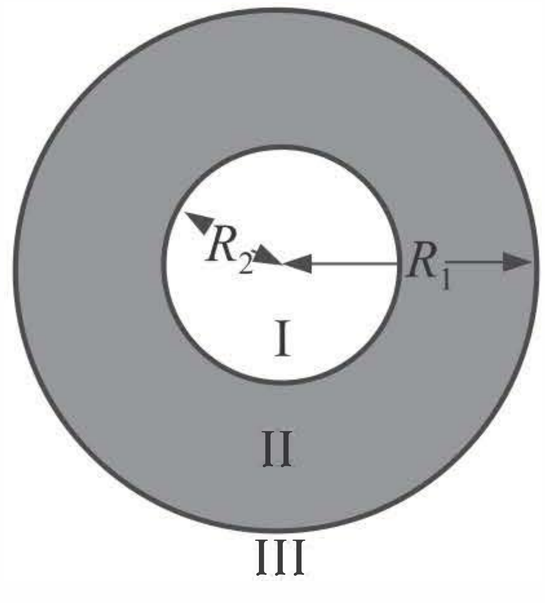
21. Вычислите диэлектрическую проницаемость жидкого гелия, считая $R = 10^{-10}$ м и $\rho = 150$ кг/м^3.

22. Чему равна емкость четырех одинаковых конденсаторов, соединенных, как показано на рисунке?

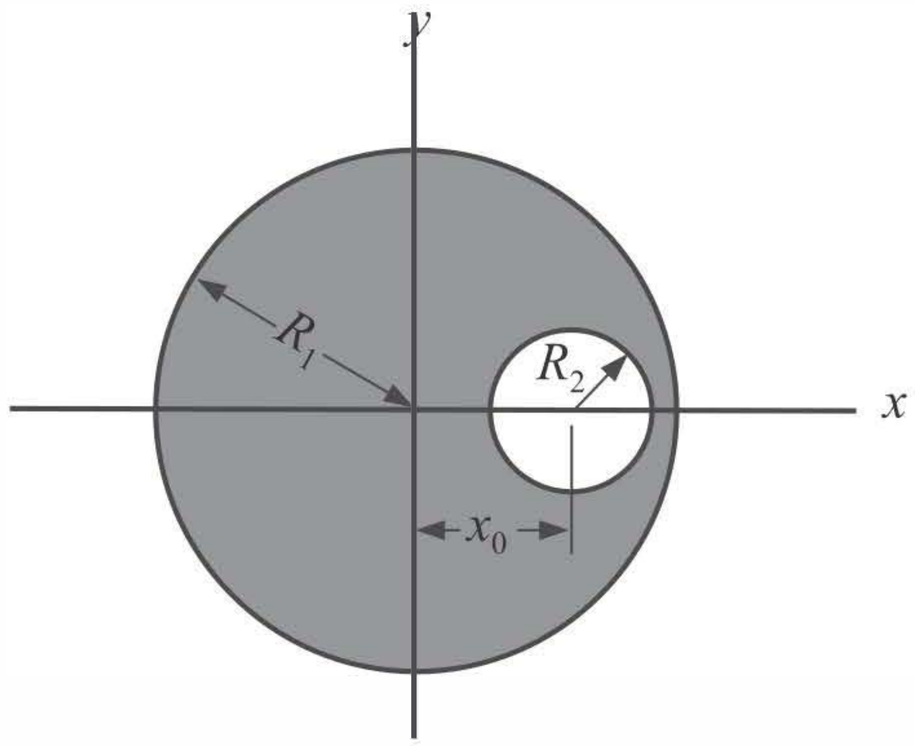


Задачи

23. В центре равномерно заряженного шара радиусом R_1 имеется сферическая полость радиусом R_2. Полный заряд шара равен Q. Какова напряженность электрического поля E в областях I–III, указанных на рисунке?



24. Сферическая полость радиусом R_2 смещена на расстояние x_0 от центра равномерно заряженного шара радиусом R_1 (плотность заряда r). Какова напряженность электрического поля E на оси x в зависимости от x? (*Указание:* Искомое электрическое поле равно суперпозиции электрических полей, создаваемыхдвумя шарами с радиусами R_1 и R_2. Плотности зарядов этих шаров равны по величине и противоположны по знаку.)



25. В условиях задачи 24 найдите поле E на оси y. Определите направление и величину поля.

26. Чему равен электрический потенциал в зависимости от r и θ в любой точке внутри шара в задаче 24?

27. В условиях задачи 23 найдите потенциал $V(r)$ во всех трех областях.

28. Допустим, что линия электропередачи состоит из голого проводника диаметром 1 см. Пусть на расстоянии 20 см от проводника электрический потенциал обращается в нуль. Каков максимальный потенциал линии, который еще не приводит к пробою в воздухе? А какую максимальную линейную плотность заряда можно сообщить проводнику?

29. Две металлические пластины площадью 100 см^2 каждая расположены на расстоянии 2 см друг от друга. Заряд левой пластины $-2\cdot10^{-9}$ Кл, а правой $-4\cdot10^{-9}$ Кл. Вычислите электрическое поле

а) слева от левой пластины;

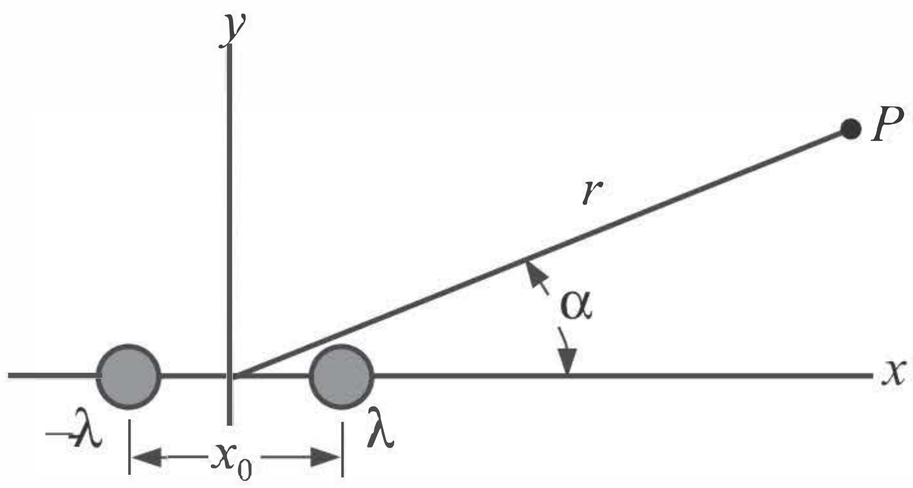
б) между пластинами;

в) справа от правой пластины.

Чему равна разность потенциалов между пластинами?

30. Однородно заряженный цилиндр радиусом R_1 имеет цилиндрическое отверстие радиусом R_2. Какова напряженность электрического поля E внутри и вне цилиндра, если плотность заряда ρ?

31. Два бесконечных противоположно заряженных проводника расположены на расстоянии x_0 друг от друга (см. рисунок). Линейные плотности зарядов λ и $-\lambda$.



Покажите, что в случае, когда $r \gg x_0$,

$$V(r,\alpha) = 2k_0 \frac{\lambda x_0}{r^2}\cos\alpha.$$

32. В условиях задачи 31 найдите точные выражения для E_x и E_y.

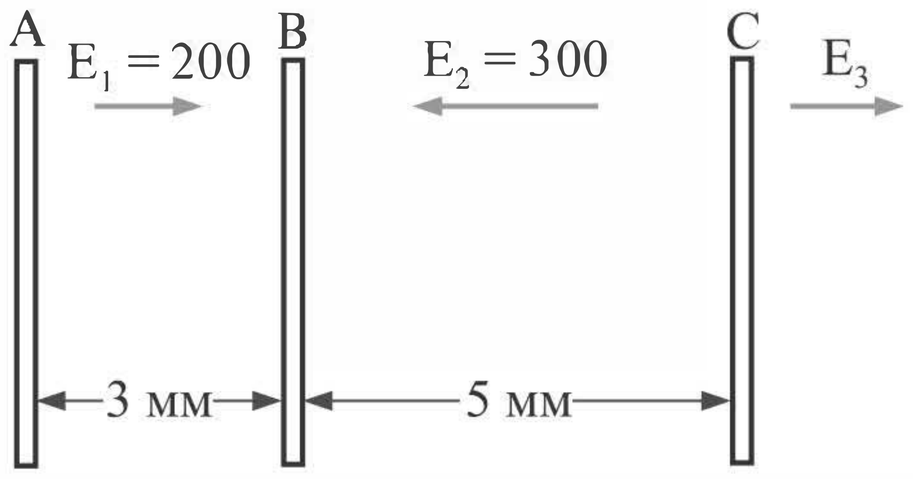
33. Пучок протонов с кинетической энергией 1 МэВ от ускорителя попадает в газообразный водород.

а) Какова общая кинетическая энергия налетающего протона и протона мишени в с.ц.м. (определение системы центра масс — с.ц.м. см. в гл. 10)?

б) Чему равна электрическая потенциальная энергия (в джоулях) взаимодействия налетающего протона с ядром атома водорода при их наибольшем сближении?

в) Каково расстояние наибольшего сближения двух протонов?

34. Пусть имеются три заряженные пластины, которые расположены, как показано на рисунке. Потенциал пластины A равен нулю, $E_3 = 0$.

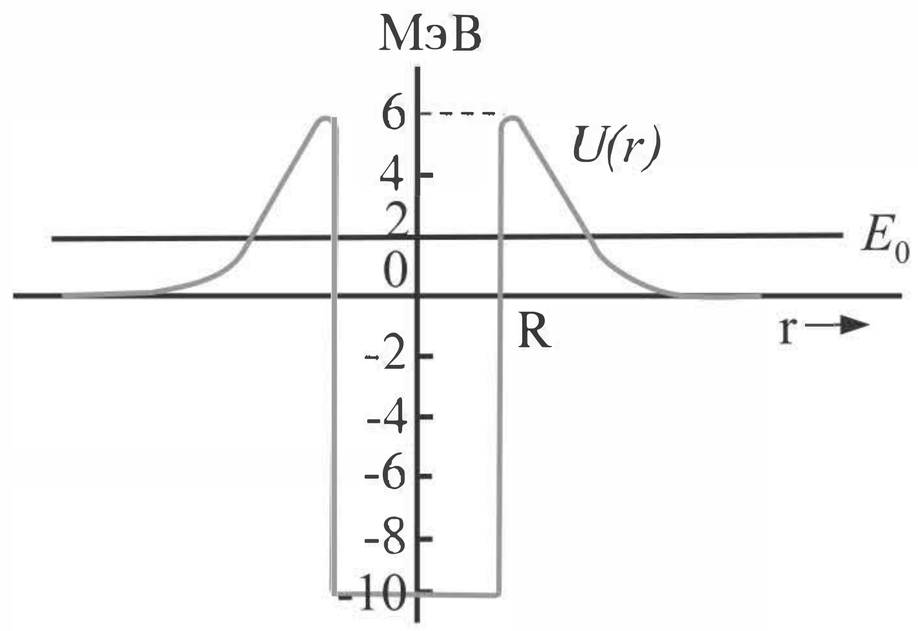


а) Найдите V_B.

б) Найдите V_C.

в) Определите плотности зарядов на каждой из трех пластин.

35. Предположим, что протон с полной энергией $E_0 = 2$ МэВ приближается к ядру, двигаясь в поле, потенциал которого $U(r)$ изменяется так, как показано на рисунке, и попадает в ядро радиусом R.



А. Найдите кинетическую энергию протона в ядре.

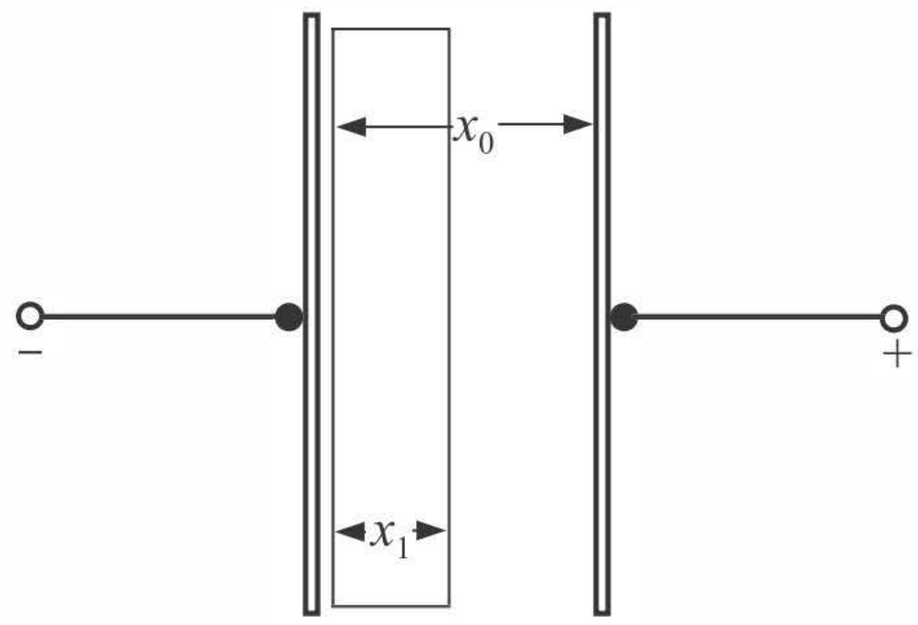
Б. Найдите потенциальную энергию протона в ядре.

В. Какая дополнительная энергия необходима протону с точки зрения классической физики, чтобы он мог покинуть ядро?

Г. Предполагая, что ядро обстреливается протонами извне, укажите, какой должна быть их кинетическая энергия с точки зрения классической физики, чтобы они смогли проникнуть в ядро. Протоны движутся из бесконечности.

36. Промежуток между пластинами плоского конденсатора заполнен полиэтиленом ($\varkappa = 2{,}3$). Чему равна поверхностная плотность индуцированного на полиэтилене заряда, если толщина промежутка 1 мм, а напряжение на пластинах конденсатора 1000 В?

37. Между пластинами плоского конденсатора помещен брусок из диэлектрика толщиной x_1 (диэлектрическая проницаемость). Какова емкость конденсатора C', если $x_0 > x_1$?



38. Две проводящие сферы соединены проводником длиной L, причем $L \gg R_1 > R_2$.



Этой системе сообщили электрический заряд, и ее потенциал стал равен V_0.

а) Чему равно отношение E_1 (на поверхности сферы радиусом R_1) к E_2 (на поверхности сферы радиусом R_2)? (Из решения этой задачи видно, почему величина E больше вблизи острых углов и краев проводника.)

б) Чему равно отношение σ_1 к σ_2?

39. В условиях задачи 38 найдите выражение для зарядов Q_1 и Q_2 через V_0, R_1 и R_2.

40. Полный заряд равномерно заряженного шара радиусом R равен Q. Какую потенциальную энергию имеет такое распределение заряда? При решении задачи воспользуйтесь соотношением $dU = V\,dq$ и представьте себе, что шар состоит из концентрических сферических слоев с зарядами $dq = (4\pi r^2\,dr)\rho$.

41. В условиях задачи 40 покажите, что электрическая потенциальная энергия, вычисленная путем интегрирования величины $E^2/8\pi k_0$ по всему пространству, равна $U = (3/5)k_0Q^2/R$.

42. Чему равен в задаче 40 электрический потенциал в центре шара?

17 Электрический ток и магнитная сила

В электромагнитной теории магнетизм и представление о магнитном поле играют такую же важную роль, как электростатика и электрическое поле. В гл. 18 мы увидим, что действующая на магнит сила — это сила, которая действует на движущиеся электроны атомов магнита. В данной же главе будет показано, что существование магнитной силы является простым следствием специальной теории относительности. Согласно закону Кулона и специальной теории относительности, помимо электростатической силы на заряд должна действовать «новая» сила, которая пропорциональна скорости заряда v. Эта сила называется магнитной. Отношение магнитной силы к qv определяет величину магнитного поля. В двух последующих главах мы рассмотрим вопросы практического применения магнитных явлений.

§ 1. Электрический ток

Магнитные явления возникают при движении зарядов, или наличии токов. Прежде чем изучать магнетизм, нужно дать понятие электрического тока. Протекающий в проводнике ток определяется как количество заряда, проходящего через данное сечение проводника в единицу времени:

$$I \equiv \frac{Q}{R} \quad (\textit{определение электрического тока}). \tag{17-1}$$

Единица измерения тока (кулон в секунду) называется ампером (А).

С током непосредственно связана плотность тока, которая определяется как произведение плотности заряда ρ на его скорость $\mathbf{v}$:

$$\mathbf{j} \equiv \rho\mathbf{v} \quad (\textit{определение плотности тока}). \tag{17-2}$$

Плотность тока — это ток, протекающий через единичную площадку; она измеряется в $Кл \cdot м^{-2} \cdot с^{-1}$ или $А/м^2$.

Если плотность тока умножить на величину площадки, перпендикулярной вектору $\mathbf{j}$, то мы получим ток

$$I = \mathbf{j} \cdot \mathbf{A},$$

где вектор $\mathbf{A}$ — это нормаль к площадке, численно равная величине площадки. Если в пределах площадки A плотность тока $\mathbf{j}$ меняется, то

$$I = \int \mathbf{j} \cdot d\mathbf{A}.$$

В металлическом проводнике положительные заряды (ядра атомов) не могут перемещаться; они образуют кристаллическую решетку. Однако внешние электроны, или электроны проводимости, не связаны с определенными атомами. Они могут свободно перемещаться по проводнику. (Это противоречит всем представлениям классической физики и получает объяснение лишь в квантовой механике, что мы рассмотрим в гл. 28.) При отсутствии внешнего электрическо-

го поля электроны проводимости движутся хаотически во всех направлениях и их средняя скорость равна нулю. Пусть $\mathfrak{N}$ — число электронов проводимости в единице объема. Тогда плотность заряда равна $\rho = \mathfrak{N}e$, а плотность тока $j = \mathfrak{N}e\bar{v}_d$, где $\bar{v}_d$ — скорость дрейфа электронов проводимости. Сила тока равна произведению плотности тока на площадь A:

$$I = \mathfrak{N}e\bar{v}_d A. \qquad (17\text{-}3)$$

Установим теперь направление тока. По предложению Бенджамина Франклина в XVIII в. условились считать, что ток, текущий к пластине конденсатора, передает ей положительный заряд. Теперь мы знаем, что пластина конденсатора приобретает положительный заряд, поскольку ее покидают электроны проводимости. Следовательно, электроны проводимости всегда движутся в направлении, противоположном направлению тока. Такого несоответствия не возникло бы, если бы электрону был приписан положительный, а не отрицательный знак заряда. В этой книге, как и в большинстве других книг, стрелка, обозначающая ток, указывает направление, в котором двигались бы положительные заряды. Если ток в действительности обусловлен движением электронов, то электроны движутся в направлении, противоположном указанному стрелкой.

Пример 1. По медному проводу сечением 1 мм^2 течет ток силой 1 А. Какова средняя скорость дрейфа электронов проводимости?

Решение: Среднюю скорость дрейфа $\bar{v}_d$ находим из выражения (17-3):

$$\bar{v}_d = \frac{I}{\mathfrak{N}eA}.$$

Предположим, что на каждый атом приходится один электрон проводимости, $\mathfrak{N} = DN_0/M$, где $D = 8{,}9$ г/см^3 — плотность меди, $N_0 = 6{,}02\cdot10^{23}$ моль$^{-1}$, а $M = 63{,}6$ г/моль. Тогда число атомов в единице объема равно

$$\mathfrak{N} = \frac{\left(8{,}9\ \text{см}^{-3}\right)\left(6{,}02\cdot10^{23}\ \text{моль}^{-1}\right)}{63{,}6\ \text{г}\cdot\text{моль}^{-1}} =$$

$$= 8{,}42\cdot10^{22}\ \text{см}^{-3} = 8{,}42\cdot10^{28}\ \text{м}^{-3}.$$

Следовательно,

$$\bar{v}_d = \frac{1\ \text{А}}{\left(8{,}42\cdot10^{28}\ \text{м}^{-3}\right)\left(1{,}6\cdot10^{-19}\ \text{Кл}\right)\left(10^{-6}\ \text{м}^2\right)} =$$

$$= 7{,}4\cdot10^{-5}\ \text{м/с} = 0{,}074\ \text{мм/с}.$$

Мы видим, что типичная скорость дрейфа электронов проводимости порядка 0,1 мм/с. Токи могут также течь в газах и жидкостях. Примером тока, протекающего через газ, является ток в неоновых лампах. Он обусловлен движением как положительных ионов, так и электронов. Но поскольку электроны — более легкие частицы, их подвижность более высокая и поэтому они дают больший вклад в величину тока. Электрон при столкновении с ионом или атомом в газе передает часть своей кинетической энергии атому, которая затем испускается в форме видимого электромагнитного излучения.

§ 2. Закон Ома

Если к проводнику приложить разность потенциалов V, то по нему потечет ток I. В начале XIX в. Георг Ом открыл закон, согласно которому ток в металлах пропорционален приложенному напряжению при условии, что температура проводника остается постоянной. Ом определил сопротивление проводника как напряжение, деленное на ток:

$$R \equiv \frac{V}{I} \ (\textit{определение сопротивления}).$$

Закон Ома формулируется следующим образом:

Отношение $R = \dfrac{V}{I}$ *не зависит от силы тока* I *для металлов при постоянной температуре* T (*закон Ома*).

В системе СИ величина V измеряется в вольтах (В), I — в амперах (А) и, следовательно, сопротивление в вольтах на ампер (В/А). Этой единице присвоено (но не самим Георгом Омом) специальное наименование *Ом*.

Насколько фундаментален закон Ома? Является ли он новым основным законом природы или просто следствием фундаментальных законов взаимодействия и строения вещества? К счастью, в данном случае имеет место последнее. Сопротивление различных материалов в разных условиях (см. гл. 28) хорошо объясняется квантовой теорией твердого тела. В следующем пункте мы выведем закон Ома, опираясь на два положения физики металлов.

Вывод закона Ома

Согласно квантовой теории металлов, внешние электроны атомов благодаря волновой природе не связаны с определенными атомами решетки. Квантовая теория утверждает, что электроны проводимости могут проходить в веществе расстояния, во много раз превышающие размеры атома, прежде чем испытают столкновение с атомом. Пусть L — средний путь между столкновениями, называемый средней длиной свободного пробега. Тогда среднее время между столкновениями $\Delta t = L/u$, где u — средняя скорость электронов проводимости (направление u меняется хаотически, и это движение не приводит к появлению результирующего тока). Если к участку проводника приложено напряжение (разность потенциалов), то на каждый электрон проводимости в металле будет действовать сила eE. Под действием этой силы за время Δt каждый из электронов проводимости приобретает скорость дрейфа $v_d = \Delta u$, которая определяется следующим выражением:

$$m = \frac{\Delta u}{\Delta t} = eE \quad (\textit{второй закон Ньютона}),$$

$$\Delta u = v_d = \frac{eE\Delta t}{m}.$$

Заменяя Δu на среднее время L/u и усредняя по времени, получаем

$$\overline{v}_d = \frac{eLE}{2mu}.$$

Направление скорости дрейфа у всех электронов одинаково (оно совпадает с направлением поля — E), и поэтому возникает результирующий ток. При каждом столкновении скорость дрейфа уменьшается. Средняя длина свободного пробега L столь мала, что $v_d \ll u$. В примере 1 было показано, что скорость дрейфа меньше, чем 1 мм/с.

Подставляя в формулу (17-3) выражение для $\overline{v}_d$, мы получаем силу тока в проводнике с поперечным сечением A:

$$I = \frac{\mathfrak{N}e^2 LA}{2mu}E. \qquad (17\text{-}4)$$

Теперь можно вычислить сопротивление проводника длиной x_0 (рис. 17-1). Разность потенциалов на этом проводнике равна Ex_0. Подставляя в (17-4) вместо E величину V/x_0, имеем

$$I = \left(\frac{\mathfrak{N}e^2 LA}{2mux_0}\right)V,$$

откуда

$$R = \frac{V}{I} = \frac{2mux_0}{\mathfrak{N}e^2 LA}.$$

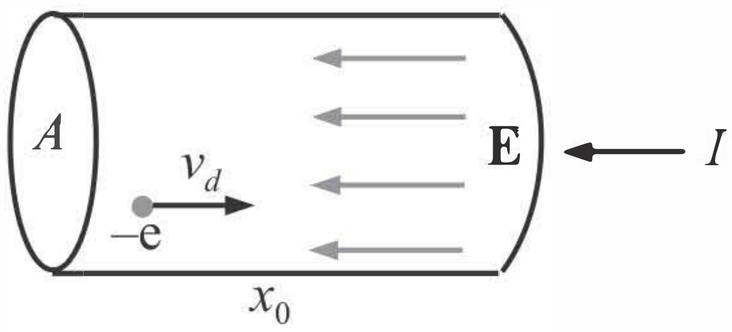


Рис. 17-1. Отрезок проводника длиной x_0 (показан электрон проводимости, движущийся со скоростью дрейфа v_d)

Из этого выражения следует, что сопротивление пропорционально длине проводника и обратно пропорционально площади его поперечного сечения. Кроме того, мы видим, что если постоянна скорость u, то R остается постоянным. В свою очередь средняя скорость электронов постоянна при условии, что температура сохраняется неизменной. Таким образом, выражение для сопротивления можно записать в виде

$$R = \rho \frac{x_0}{A},$$

где коэффициент пропорциональности ρ называется удельным сопротивлением.

Пример 2. Электропроводность σ определяется выражением $j = \sigma E$. Запишем σ через $\mathfrak{N}$, e, m и u.

Решение: Рассмотрим проводник длиной x_0 и площадью поперечного сечения A. Умножим обе части выражения для электропроводности на A:

$$jA = \sigma EA.$$

Левая часть по определению есть величина тока I, поэтому

$$\sigma = I/AE.$$

Подставим сюда выражение (17-4) для тока I:

$$\sigma = \frac{\dfrac{\mathfrak{N}e^2 LAE}{2mu}}{AE} = \frac{\mathfrak{N}e^2 L}{2mu} = \frac{1}{\rho}. \qquad (17\text{-}5)$$

Потери на джоулево тепло

Каждый раз при столкновении электрона проводимости с атомом он теряет энергию, приобретенную от электрического поля. Эта энергия переходит в хаотическое движение атомов, т. е. в тепло. Поскольку кинетическая энергия электронов не возрастает, потери энергии вследствие столкновений при прохождении зарядом dq разности потенциалов V записываются в виде

$$dE_{\text{тепл.}} = V\,dq.$$

Разделим теперь обе части этого выражения на dt:

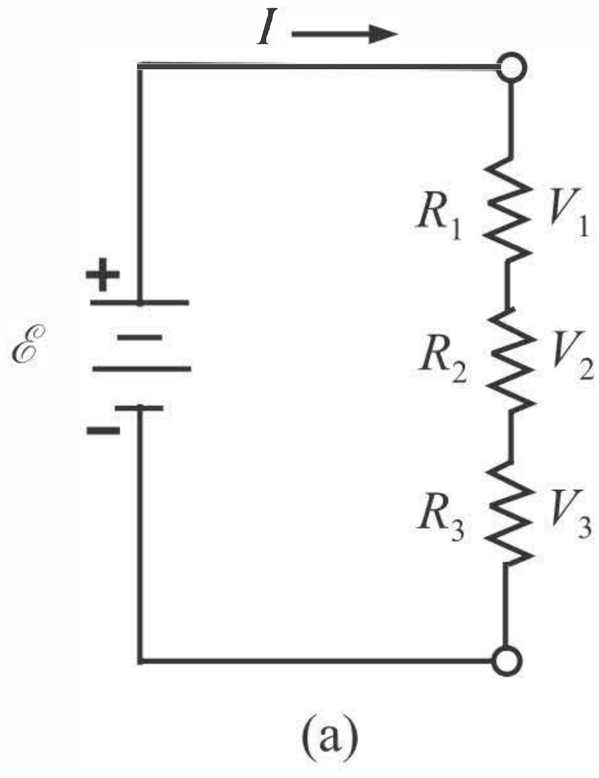
$$\frac{dE_{\text{тепл.}}}{dt} = V\frac{dq}{dt} = VI.$$

$P = VI$ (*потери электрической мощности, или джоулевы потери*). (17-6)

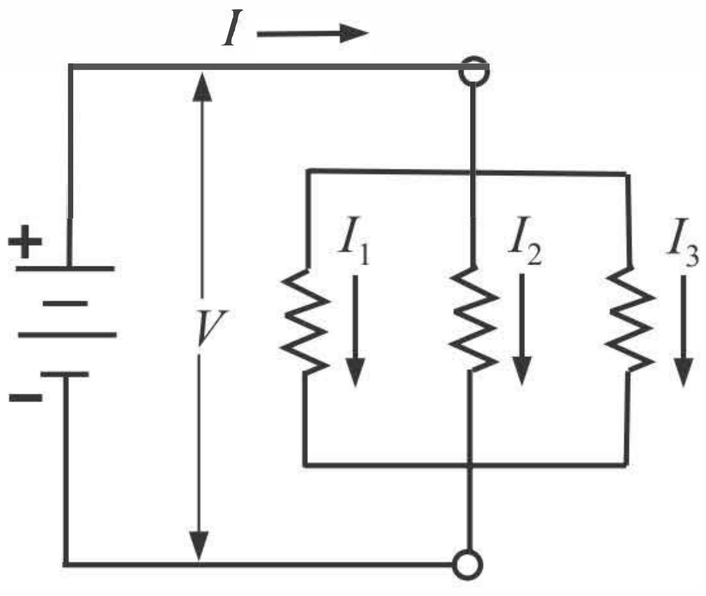
Выражение (17-6) можно записать как $P = I^2R$, заменив V на IR, или как $P = V^2/R$, заменив I на V/R. Величина P представляет собой электрическую мощность, которая преобразуется в тепло. Заметим, что мощность измеряется не только в ваттах, но и в единицах вольт-ампер. Через электролампу мощностью 100 Вт, подключенную к электросети напряжением 120 В, течет ток $I = P/V$ = 100 Вт/120 В = = 0,83 А. Электрическая энергия превращается в тепло и свет. В домашних условиях почти весь свет поглощается предметами обстановки и превращается в тепло. Таким образом, электролампы столь же эффективны для обогрева жилища, как и электрические обогреватели.

Пример 3. Найдите сопротивление лампы мощностью 60 Вт, рассчитанной на напряжение 120 В.

Решение: Вычислим сначала ток: I = = 60 Вт/120 В = 0,5 А. По определению, сопротивление $R = V/I$. Таким образом,



(а)



(б)

Рис. 17-2. Последовательное (*а*) и параллельное (*б*) соединения сопротивлений R_1, R_2 и R_3

$$R = \frac{120\ \text{В}}{0{,}5\ \text{А}} = 240\ \text{Ом}.$$

Этот же результат можно получить непосредственно из выражения $P = V^2/R$.

Электродвижущая сила (ЭДС)

Для поддержания в проводнике постоянного тока необходим постоянный источник электрической энергии. Распространенными типами источников являются электрические батареи и электрические генераторы. Они называются источниками электродвижущей силы, которая сокращенно обозначается ЭДС. В этих источниках электрическая энергия получается путем преобразования из других форм энергии. В батареях используется химическая энергия, а в электрических генераторах — механическая энергия. В солнечных батареях в электрическую превращается энергия видимого света. Для обозначения ЭДС мы будем пользоваться символом $\mathscr{E}$:

$$\mathscr{E} = \frac{\Delta W}{\Delta q}\ (\textit{определение ЭДС});$$

здесь ΔW — энергия, сообщаемая заряду Δq, когда он проходит через источник ЭДС. Мы будем также обозначать символом $\mathscr{E}$ батареи в электрической схеме (рис. 17-2). Заряд Δq, проходя от отрицательного полюса батареи к положительному, приобретает энергию $\Delta q\mathscr{E}$.

§ 3. Цепи постоянного тока

Хотя теория цепей является предметом рассмотрения прикладной физики и техники, мы приведем здесь некоторые ее результаты. Краткое введение в теорию цепей переменного тока дается в § 6 гл. 19. Простые электрические цепи имеют столь большое практическое применение, что небесполезно было бы рассмотреть их в книге по общей физике. Более подробно об этом см. в приложении к гл. 28. В повседневной жизни полезно, например, знать, как подсоединить сигнализацию для охраны, зарядить аккумуляторы, осветить новогоднюю елку и т. п.

Большинство электрических цепей содержит комбинации последовательно или параллельно включенных резисторов*. Полное сопротивление цепи R_t мы получим, если разделим приложенное к ней напряжение на величину тока в цепи. Полное сопротивление цепей на рис. 17-2 определяется выражением

* Резистор — это элемент цепи, обладающий только сопротивлением. — *Прим. ред.*

$$R_t = \frac{V}{I}.$$

При последовательном соединении через все резисторы течет один и тот же ток. При параллельном соединении полный ток равен сумме токов, текущих в отдельных резисторах. При последовательном соединении, показанном на рис. 17-2, *а*, полная разность потенциалов

$$V = V_1 + V_2 + V_3.$$

Разделив обе части этого выражения на I, получим

$$V/I = V_1/I + V_2/I + V_3/I,$$

или

$$R_t = R_1 + R_2 + R_3 \text{ (}\textit{последовательное соединение}\text{).} \qquad (17\text{-}7)$$

Мы видим, что при последовательном соединении полное сопротивление цепи равно сумме отдельных сопротивлений.

При параллельном соединении (рис. 17-2, *б*) мы имеем

$$I = I_1 + I_2 + I_3.$$

Разделим обе части этого выражения на V:

$$I/V = I_1/V + I_2/V + I_3/V,$$

или

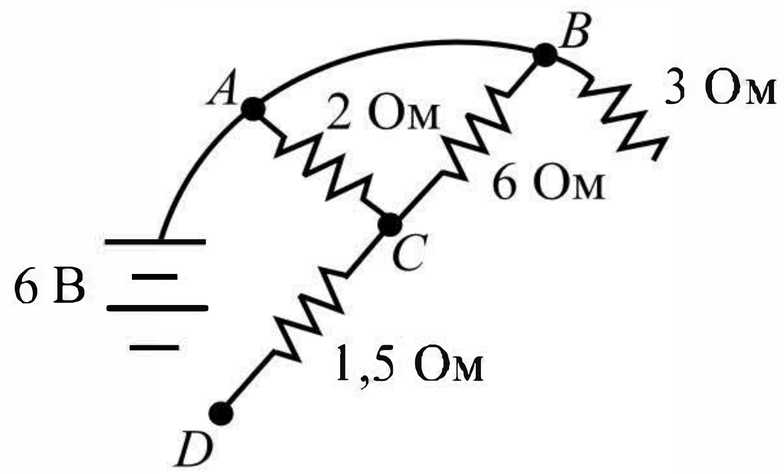
$$1/R_t = 1/R_1 + 1/R_2 + 1/R_3 \text{ (}\textit{параллельное соединение}\text{).} \qquad (17\text{-}8)$$

При параллельном соединении складываются величины, обратные отдельным сопротивлениям цепи.

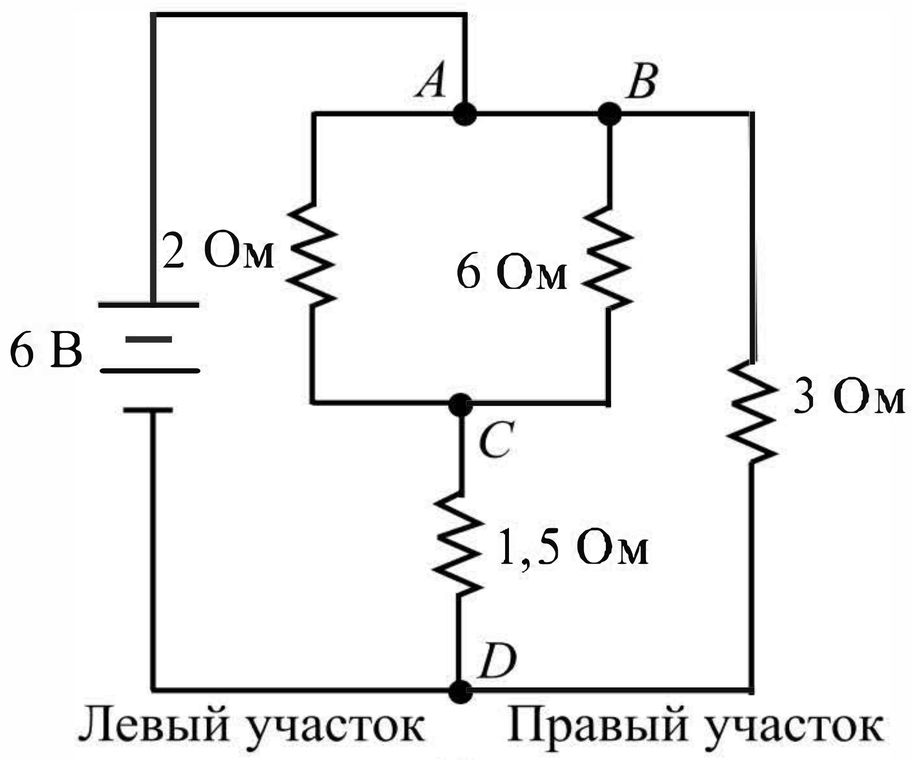
Многие сложные цепи можно рассчитать, разбив их на последовательные и параллельные соединения. Этот способ мы проиллюстрируем следующим примером.

Пример 4. Для цепи, показанной на рис. 17-3, *а*, вычислите

а) полный ток, текущий через батарею;
б) ток, текущий через резистор сопротивлением 6 Ом.



(а)



(б)

Рис. 17-3. *а* — сложная цепь, состоящая из резисторов; *б* — та же цепь, но с четким представлением ее в виде последовательного и параллельного соединений

Решение: Чтобы найти ток I, нужно вначале вычислить полное сопротивление R_t. Для этого начертим ту же цепь в виде, показанном на рис. 17-3, *б*, на котором более отчетливо выделены участки цепи с параллельным и последовательным соединениями. Рассмотрим сначала параллельное соединение резисторов с сопротивлениями 2 и 6 Ом. Пусть R — сопротивление этой части цепи. Тогда

$$1/R = 1/2 + 1/6 = 2/3 \text{ Ом}^{-1},$$

или $R = 1{,}5$ Ом.

Далее это сопротивление включено последовательно с сопротивлением 1,5 Ом. Поэтому полное сопротивление левой части цепи равно

$R' = R + 1{,}5$ Ом $= 3$ Ом.

Наконец, мы имеем цепь, в которой резистор сопротивлением R' соединен параллельно с 3-омным резистором. Таким образом,

$1/R_t = 1/R' + 1/3 = 2/3$ Ом$^{-1}$,

откуда

$R_t = 1{,}5$ Ом.

Полный ток, потребляемый от батареи,

$I = V/R_t = 6/1{,}5$ А $= 4$ А.

Чтобы вычислить ток, текущий через резистор сопротивлением 6 Ом, сначала нужно найти ток, текущий в левой части цепи:

$I' = (6\text{ В})/R' = 2$ А.

Этот ток распределяется таким образом, что на сопротивлениях 2 и 6 Ом падает одно и то же напряжение. Поэтому 75 % тока I' течет в резисторе с сопротивлением 2 Ом и 25 %, т. е. 0,5 А, в резисторе с сопротивлением 6 Ом.

Закороченные цепи

В цепи, показанной на рис. 17-4, один из полюсов источника напряжения заземлен (имеет потенциал земли). В теории цепей потенциал земли принимается за нуль. Если с землей соединена только одна точка цепи, то через это соединение ток не потечет. Чему равен потенциал точки A на рис. 17-4? Заметим, что имеется зигзагообразный контур, соединяющий точку A с землей и минующий все резисторы. Мы полагаем, что сопротивление соединительных проводов этой цепи равно нулю. Согласно закону Ома, падение напряжения, или разность потенциалов, на соединительных проводах

$V = IR_{\text{пр.}} = I \times 0 = 0$ В.

Таким образом, потенциал точки A также равен нулю. Потенциалы всех точек, соединенных проводами с нулевым сопротивлением, одинаковы. Поэтому падение напряжения на сопротивлениях 2 и 4 Ом равно нулю. Через эти сопротивления не течет ток. В этом случае говорят, что сопротивления закорочены. Если закоротить сеть с напряжением 120 В, то ток был бы равен

$$I = \frac{V}{R} = \frac{120\text{ В}}{0\text{ Ом}} = \infty.$$

Практически ток не достигнет бесконечно большой величины, поскольку провода обладают некоторым сопротивлением. Однако ток будет достаточно велик, чтобы полетели искры и расплавились предохранители.

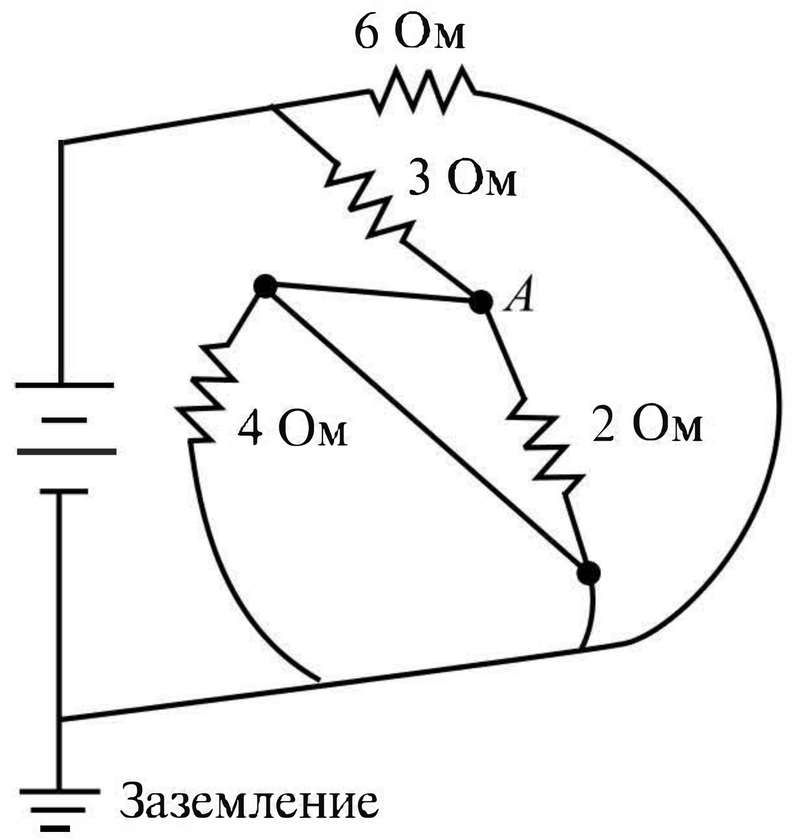
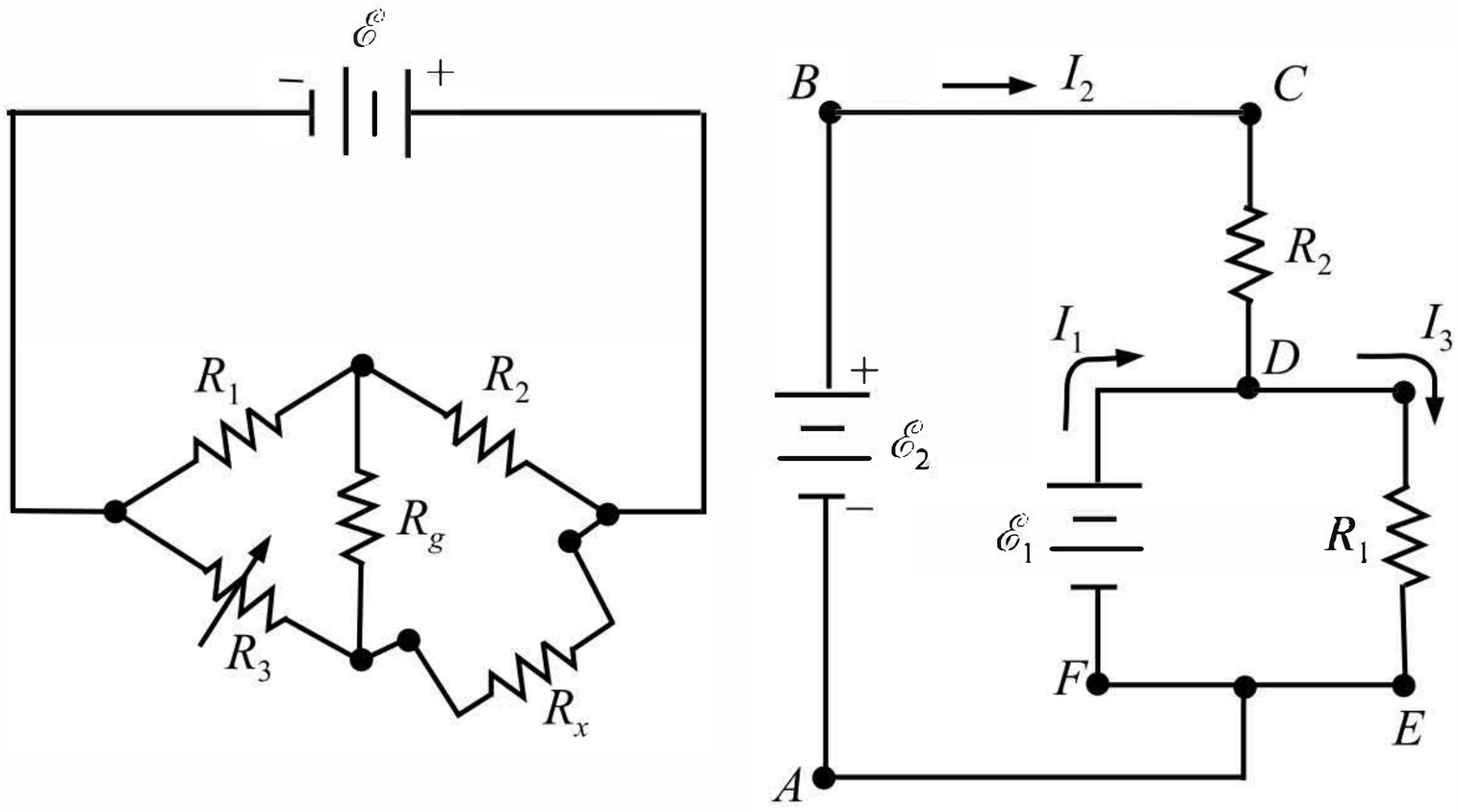


Рис. 17-4. Цепь, в которой некоторые сопротивления закорочены. Точка A соединена с землей

Правила Кирхгофа

В более сложных цепях резисторы могут оказаться включенными так, что их не удается свести к параллельному и последовательному соединениям. Пример такой цепи показан на рис. 17-5, *а*. Более сложные цепи могут содержать несколько батарей или источников тока (рис. 17-5, *б*). Существует общий способ расчета сложных цепей, использующий правила Кирхгофа, которые состоят в следующем



(а) (б)

Рис. 17-5. *а* — схема моста Уитстона, используемого для измерения R_x; *б* — стабилизатор напряжения. Напряжение на сопротивлении R_1 определяется величиной $\mathscr{E}_1$, а ток через него — величиной $\mathscr{E}_2$

Правило для контура. Алгебраическая сумма падений напряжений, подсчитанных вдоль любого замкнутого контура*, равна нулю.

Правило для узла. Алгебраическая сумма всех токов, сходящихся в любом узле (точке разветвления проводников), равна нулю.

Каждому участку цепи приписываются величина и направление тока. Применяя первое правило, условимся считать падение напряжения положительным, если направление обхода замкнутого контура совпадает с направлением тока, и отрицательным, если направление обхода противоположно направлению тока. Положительным будем считать ЭДС, проходимые от «+» к «—». Если при решении задачи величина тока получится отрицательной, это значит, что истинное направление тока противоположно выбранному.

В качестве примера найдем токи в схеме на рис. 17-5, *б*. Применим правило контура к участку цепи *ABCDEA*:

$$\mathscr{E}_2 - I_2R_2 - I_3R_1 = 0$$

и к контуру *EFDE*:

$$\mathscr{E}_1 - I_3R_1 = 0.$$

Вычитая второе выражение из первого, имеем

$$\mathscr{E}_2 - \mathscr{E}_1 - I_2R_2 = 0,$$

$$I_2 = (\mathscr{E}_2 - \mathscr{E}_1)/R_2.$$

Ток I_1 можно определить, применив правило для узлов к разветвлению токов в точке *D*:

$$I_1 + I_2 - I_3 = 0,$$

$$I_1 = I_3 - I_2 = \frac{\mathscr{E}_1}{R_1} - \frac{\mathscr{E}_2 - \mathscr{E}_1}{R_2} =$$

$$= \mathscr{E}_1\left(\frac{1}{R_1} + \frac{1}{R_2}\right) - \frac{\mathscr{E}_2}{R_2}.$$

Заметим, что если $\mathscr{E}_1(1/R_1 + 1/R_2) = \mathscr{E}_2/R_2$, то $I_1 = 0$, т. е. ток от батареи $\mathscr{E}_1$ не потребляется. Схема, в которой $I_1 \approx 0$, имеет важное практическое применение. Предположим, что на сопротивлении R_1 требуется создать падение напряжения, точно равное $\mathscr{E}_1$, хотя через R_1 течет большой ток I_3. Схема, приведенная на рис. 17-5, *б*, действует в этом случае как стабилизатор

* Включая и все сторонние ЭДС, входящие в этот контур. — *Прим. ред.*

напряжения. Небольшие изменения напряжения мощного источника $\mathscr{E}_2$ не скажутся на напряжении $\mathscr{E}_1$, приложенном к R_1. $\mathscr{E}_1$ может быть маломощным источником, хотя через R_1 течет большой ток. (Этот ток берется в основном от источника $\mathscr{E}_2$, а напряжение определяется источником $\mathscr{E}$.) Если пользоваться только одной батареей $\mathscr{E}_1$, то она скоро истощится.

Цепь, схема которой показана на рис. 17-5, *а*, используется на практике для измерения неизвестного сопротивления R_x с высокой точностью. Если в этой схеме R_g — сопротивление гальванометра (чувствительного прибора для измерения силы тока), то мы имеем схему, называемую мостом Уитстона. Для неизвестного сопротивления R_x подбирается такое сопротивление R_3, чтобы ток через R_g был равен нулю. Тогда $R_2/R_1 = R_x/R_3$, или $R_x = R_3\,(R_2/R_1)$.

§ 4. Эмпирические данные о магнитной силе

В повседневной практике мы сталкиваемся с магнитной силой, когда имеем дело с постоянными магнитами, электромагнитами, катушками индуктивности, электрическими реле, электромоторами, отклоняющими системами в электронных трубках и т. п. Все эти проявления магнитной силы могут быть сведены к фундаментальному взаимодействию между движущимися зарядами или между токами (поскольку движущийся заряд представляет собой ток). В гл. 18 мы покажем, что с точки зрения атомного строения вещества в магните существуют постоянные замкнутые токи и что сила, действующая на магнит, обусловлена фундаментальным взаимодействием движущихся зарядов. Вначале рассмотрим силу, действующую на отдельный заряд q.

Независимо от того, движется заряд или нет, на него всегда действует сила $\mathbf{F}_E = q\mathbf{F}$. Однако если заряд движется со скоростью v, то на него действует *дополнительная* сила $\mathbf{F}_{\text{маг.}}$, которая, как показывают измерения, пропорциональна произведению qv. В некоторых популярных книгах по физике эта дополнительная сила (называемая магнитной) вводится как результат экспериментальных наблюдений и считается отдельной фундаментальной силой природы. Такое представление ошибочно. В следующем параграфе мы покажем, что существование этой «дополнительной» силы, пропорциональной qv, с необходимостью следует из принципа относительности (отсутствие этой силы привело бы к нарушению принципа относительности). В магнитной силе нет ничего фундаментального — она представляет собой просто релятивистское следствие закона Кулона. Таким образом, если $\mathbf{F}$ — результирующая электромагнитная сила (сила Лоренца), действующая на заряд q, то мы можем записать

$$\mathbf{F} = q\mathbf{F} + \mathbf{F}_{\text{маг.}}.$$

Поскольку $\mathbf{F}_{\text{маг.}}$ пропорциональна qv, можно определить такую векторную величину $\mathfrak{B}$, что

$$\mathbf{F}_{\text{маг.}} = q\mathbf{v} \times \mathfrak{B}.$$

В следующем параграфе мы покажем, что это выражение используется для определения магнитного поля $\mathscr{B}$, и научимся вычислять величину $\mathscr{B}$ через токи, которые ее создают.

Интересно заметить, что магнитная сила может существовать даже в том случае, когда электростатическая сила равна нулю (полный заряд проводника равен нулю). Такие случаи иллюстрируются на рис. 17-6—17-8. Из рис. 17-6 следует, что электроны, движущиеся в вакууме

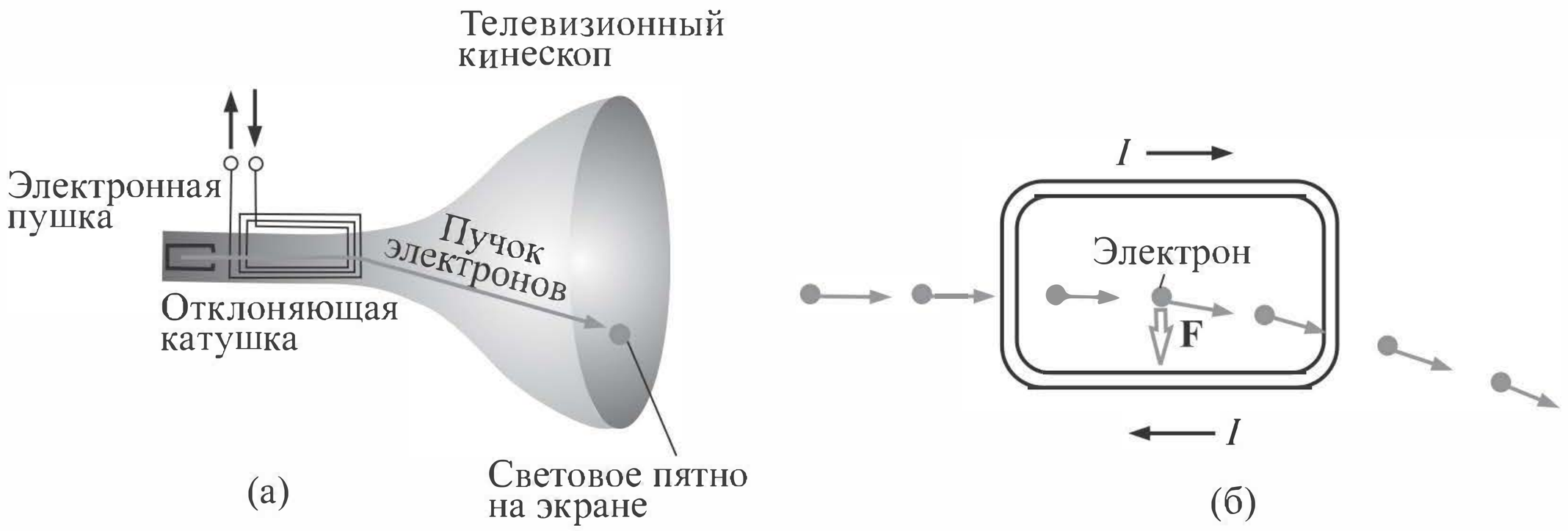


Рис. 17-6. *а* — телевизионный кинескоп; показана катушка, отклоняющая пучок в вертикальном направлении (с другой стороны имеется точно такая же катушка); *б* — один из витков отклоняющей катушки (в увеличенном виде); между движущимся электроном и током, протекающим по нижней части витка, действует сила притяжения; между электроном и током, протекающим по верхней части витка, действует сила отталкивания

в телевизионном кинескопе, притягиваются электронами проводимости, движущимися в том же направлении, и отталкиваются электронами проводимости, движущимися в обратном направлении. На рис. 17-7 приведена простая схема, которая иллюстрирует эксперимент по наблюдению силы взаимодействия двух параллельных токов. Если ток в нижнем проводнике на рис. 17-7, *а* заменить движущимся зарядом q, то заряд притягивается к проводнику, как показано на рис. 17-8. Согласно наблюдениям, эта сила притяжения пропорциональна I и обратно пропорциональна расстоянию y:

$$F_{\text{маг.}} = (10^{-7})(2I/y)qv. \qquad (17\text{-}9)$$

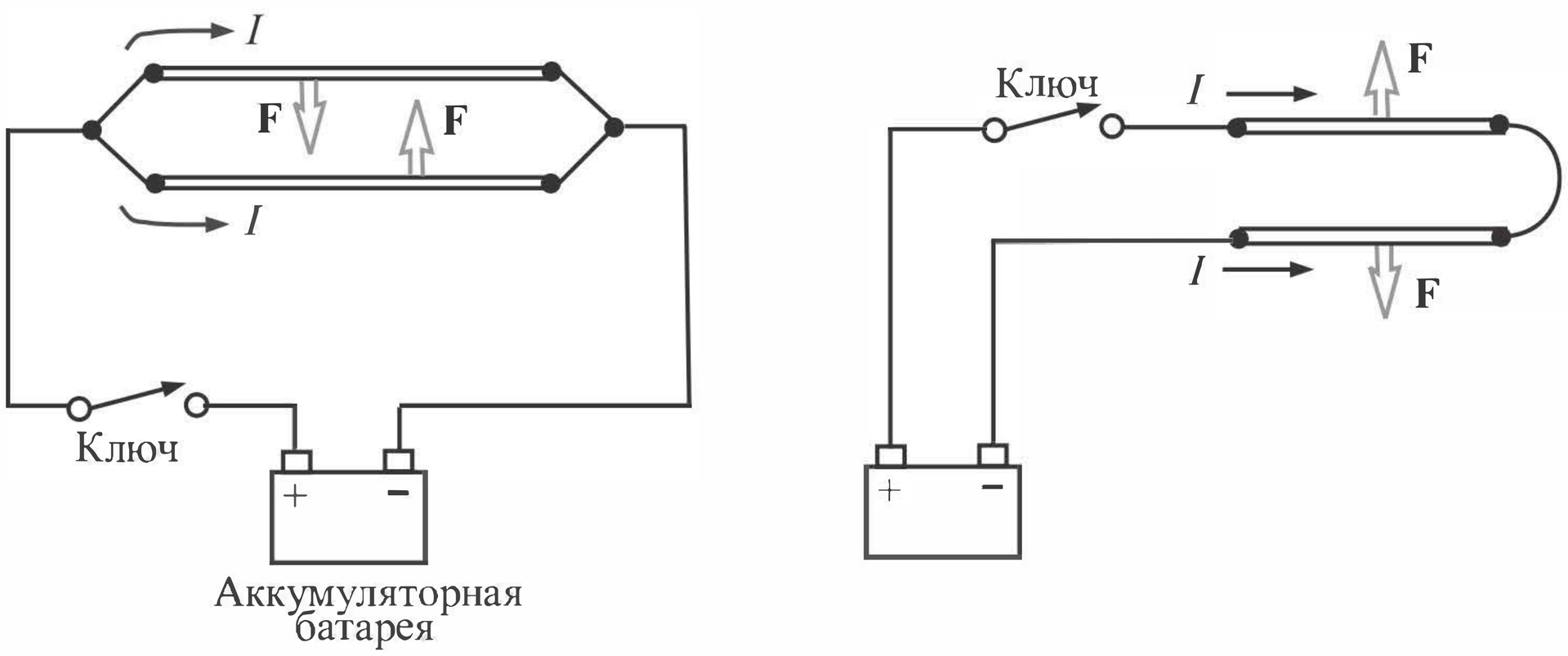


Рис. 17-7. Расположенные на расстоянии нескольких сантиметров два незаряженных проводника при включении батареи притягиваются (*а*) или отталкиваются (*б*) в зависимости от того, текут ли в них токи в одном или противоположном направлении. Опыт следует проводить быстро, чтобы проводники не успели сильно нагреться. (Это пример короткозамкнутой, или закороченной, цепи.)

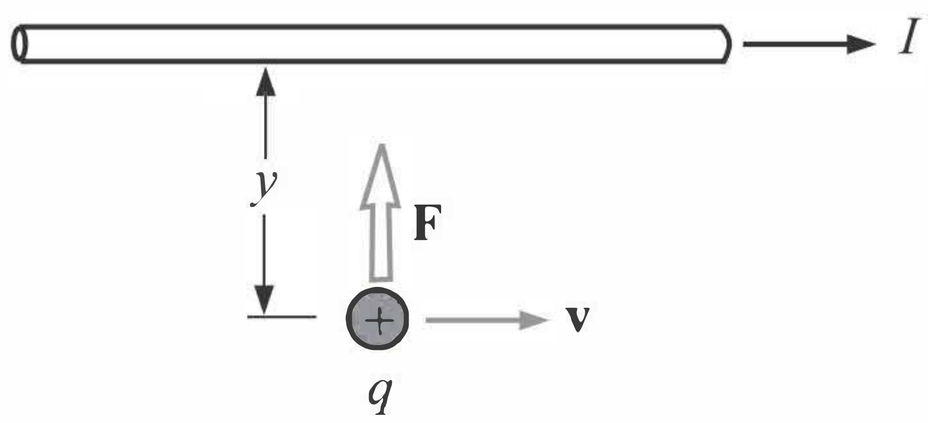


Рис. 17-8. Точечный заряд q, движущийся со скоростью **v** параллельно проводу с током I, притягивается к нему

Коэффициент пропорциональности равен 10^{-7}, если все величины выражены в системе СИ. Это соотношение или эквивалентное ему выражение для силы, действующей между двумя токами, используется при определении единицы силы тока в системе СИ. Величина заряда в кулонах находится путем подбора такой величины тока, чтобы измеренная сила совпала с вычисленной по формуле (17-9). Если теперь два таких заряда, каждый величиной 1 Кл, расположить на расстоянии 1 м друг от друга, то, согласно закону Кулона, сила взаимодействия $F = k_0 (Q^2/R^2)$ и можно определить константу k_0. Полученное из измерений значение оказывается равным $c^2/10^7$, где $c = 2{,}998 \cdot 10^8$. Эта величина совпадает со скоростью света. В следующем параграфе мы приведем вывод формулы (17-9) и докажем, что k_0 действительно должна быть равна $c^2/10^7$.

§ 5. Вывод формулы для магнитной силы

Рассмотрим более подробно ситуацию, иллюстрируемую рис. 17-8. Ток I обусловлен электронами проводимости, которые движутся влево со скоростью дрейфа v_d. Чтобы проводник был электрически нейтрален, в нем должна существовать цепочка положительно заряженных ионов, несущая равный по величине и противоположный по знаку заряд (рис. 17-9). Пусть λ_- — линейная плотность заряда электронов проводимости, а λ_+ — линейная плотность заряда положительных ионов, причем $\lambda_+ = -\lambda_-$. Нужно вычислить полную силу, действующую на заряд q, если такая сила в действительности существует. Пока мы умеем только вычислять электрические силы, действующие на покоящиеся заряды.

Однако наблюдатель может считать заряд q покоящимся, если он будет двигаться вместе с зарядом. С точки зрения такого наблюдателя, заряд q неподвижен, а электроны проводимости и положительные ионы движутся влево. Воспользуемся теперь известным результатом теории относительности, называемым лоренцевым сокращением. Расстояние между положительными ионами сократится при этом в $1/\sqrt{1-v^2/c^2}$ раз. Читателя, который опустил при чтении гла́вы,

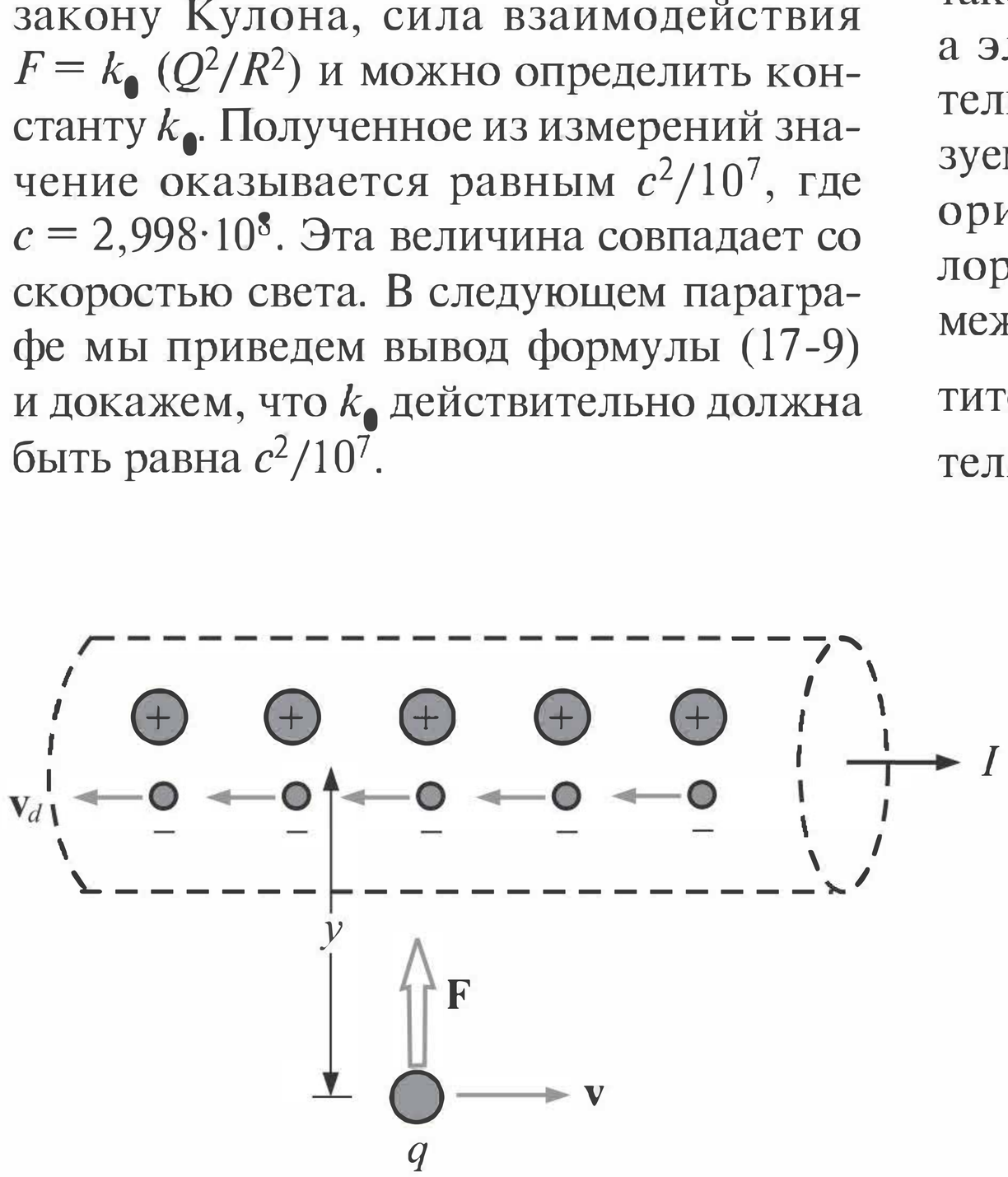


Рис. 17-9. Увеличенное изображение проводника, показанного на рис. 17-8. Текущий вправо ток обусловлен электронами проводимости, которые движутся влево

посвященные теории относительности, мы просим принять это утверждение на веру. (Чтобы проследить за дальнейшими выкладками, необязательно читать гл. 8 и 9.) Так как электроны движутся быстрее положительных ионов, расстояние между ними сократится еще больше, чем между ионами. Таким образом, с точки зрения движущегося наблюдателя, λ_- окажется по своей величине больше λ_+, и результирующая плотность заряда будет отрицательна, а не равна нулю. В приложении 1 показано, что, с точки зрения движущегося наблюдателя, результирующая плотность заряда проводника равна

$$\lambda' = -\frac{1}{\sqrt{1-v^2/c^2}}\left(\frac{v}{c^2}\right)I, \qquad (17\text{-}10)$$

где $I = \lambda_- v_d$ — ток, текущий по проводнику, см. (17-25). Таким образом, с точки зрения движущегося наблюдателя, отрицательно заряженный проводник притягивает заряд q с силой [см. (16-5)]

$$F' = qE' = q\left(\frac{2k_0\lambda'}{y}\right).$$

Подставляя сюда выражение для λ' из (17-10), находим силу, которую регистрирует движущийся наблюдатель:

$$F' = \frac{qv}{\sqrt{1-v^2/c^2}}\left(\frac{2k_0}{c^2}\frac{I}{y}\right). \qquad (17\text{-}11)$$

Мы показали, что с точки зрения теории относительности на заряд q должна действовать сила. Если эту силу регистрирует движущийся наблюдатель, то ее должен регистрировать и любой другой наблюдатель, движущийся без ускорения. (Согласно теории относительности, покоящийся наблюдатель измерит силу $F = \sqrt{1-v^2/c^2}\,F'$.) Таким образом, покоящийся наблюдатель измеряет силу

$$F = \frac{k_0}{c^2}\left(\frac{2I}{y}\right)qv. \qquad (17\text{-}12)$$

В заключение можно сказать, что, применяя закон Кулона (16-5) без каких-либо приближений и используя результаты теории относительности, мы получили формулу (17-12), определяющую силу на рис. 17-8. Эта сила прямо пропорциональна q, v и I и обратно пропорциональна y. Величина этой силы согласуется, как и должно быть, с результатами наблюдений, которые описываются выражением (17-9). Сопоставляя (17-9) и (17-12), мы видим, что $k_0/c^2 = 10^{-7}$ Н/А^2; следовательно,

$$k_0 = 10^{-7}c^2 \text{ Н/А}^2 = 8{,}988\cdot 10^9 \text{ Н}\cdot\text{м}^2/\text{Кл}^2.$$

Разумеется, это число получено с точностью до ошибок эксперимента.

§ 6. Магнитное поле

Аналогично тому как мы определяли электрическое поле как отношение электростатической силы к величине заряда, можно определить магнитное поле $\mathscr{B}$ как отношение магнитной силы к величине qv. Таким образом,

$$\mathscr{B} \equiv F_{\text{маг.}}/qv.$$

Величина $\mathscr{B}$ измеряется в Н/(А·м); этой единице присвоено специальное наименование *тесла*, которая в СИ обозначается Т.

Разделив обе части выражения (17-12) на qv, мы получим величину магнитного поля на расстоянии y от изолированного проводника с током:

$$\mathscr{B} = \frac{k_0}{c^2}\frac{2I}{y}. \qquad (17\text{-}13)$$

При таком определении $\mathscr{B}$ в некоторые распространенные уравнения, содержащие величину $\mathscr{B}$, должен входить

множитель 4π. Этот множитель можно исключить, если использовать иную запись, а именно

$$\mathscr{B} = \frac{\mu_0}{4\pi}\frac{2I}{y}, \qquad (17\text{-}14)$$

где $\frac{\mu_0}{4\pi} \equiv \frac{k_0}{c^2} = 10^{-7}\ \text{Н/А}^2$, μ_0 называется *магнитной постоянной*. Поскольку $k_0 \equiv 1/4\pi\varepsilon_0$, где ε_0 — *электрическая постоянная*, то

$$\mu_0\varepsilon_0 = 1/c^2. \qquad (17\text{-}15)$$

Какую из величин использовать, k_0/c^2 или $\mu_0/4\pi$, дело вкуса. Мы будем обычно рассматривать k_0/c^2, а не $\mu_0/4\pi$. При этом вместо двух величин (k_0 и μ_0) нам придется иметь дело с одним коэффициентом пропорциональности k_0. Кроме того, непосредственно можно видеть, в какие из уравнений электромагнитной теории входит скорость света.

До сих пор мы рассматривали только силу, действующую на заряд q, который движется параллельно току I. Если заряд q движется в ином направлении, то теория относительности позволяет и в этом случае определить направление магнитной силы, действующей на заряд (рис. 17-10).

В общем случае зависимость $\mathbf{F}_{\text{маг.}}$ от направления скорости $\mathbf{v}$ можно записать в виде векторного произведения

$$\mathbf{F}_{\text{маг.}} = q\mathbf{v} \times \mathfrak{B}. \qquad (17\text{-}16)$$

Направление вектора $\mathfrak{B}$ можно определить с помощью правила правой руки, к описанию которого мы сейчас переходим.

Правило правой руки

Это правило иллюстрируется рис. 17-11. Большой палец правой руки ориентируют в направлении тока, тогда остальные пальцы в согнутом положении укажут направление силовых линий магнитного поля $\mathfrak{B}$. Силовые линии магнитного поля представляют собой концентрические окружности, в центре которых находится проводник с током. Из рис. 17-8 видно, что поле $\mathfrak{B}$ в точке, в которой находится заряд q, направлено за плоскость чертежа, а векторное произведение $\mathbf{v} \times \mathfrak{B}$ направлено вверх и указывает направление силы $\mathbf{F}$.

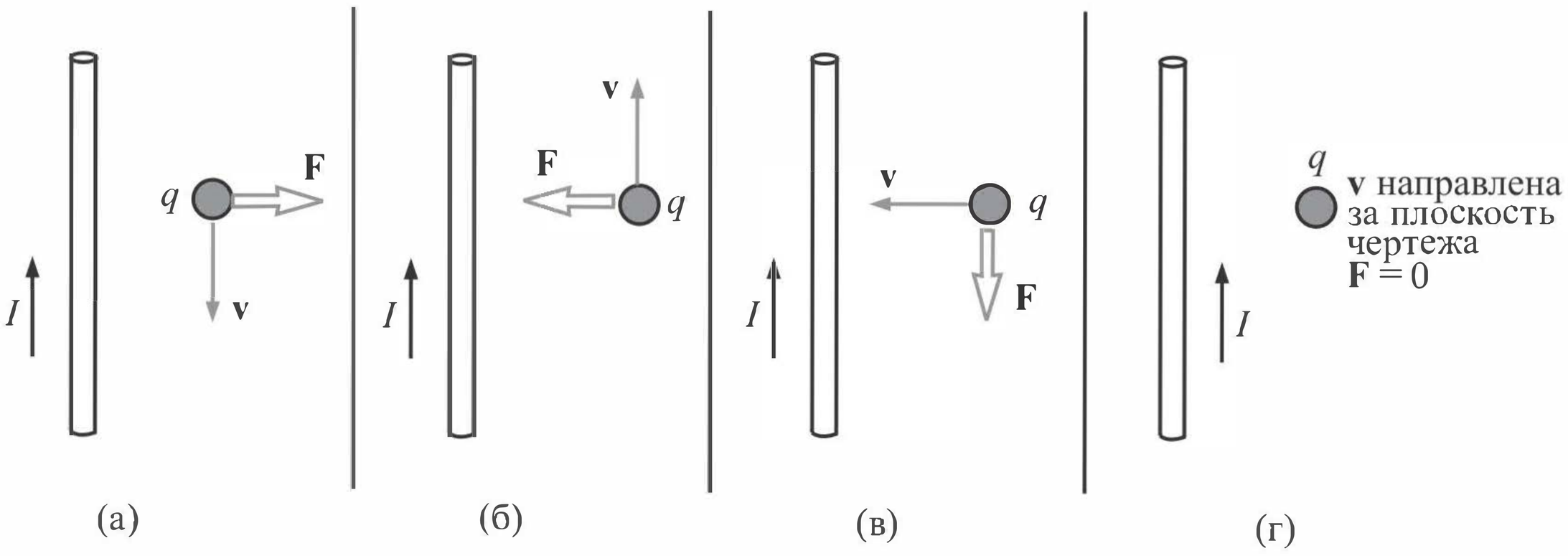
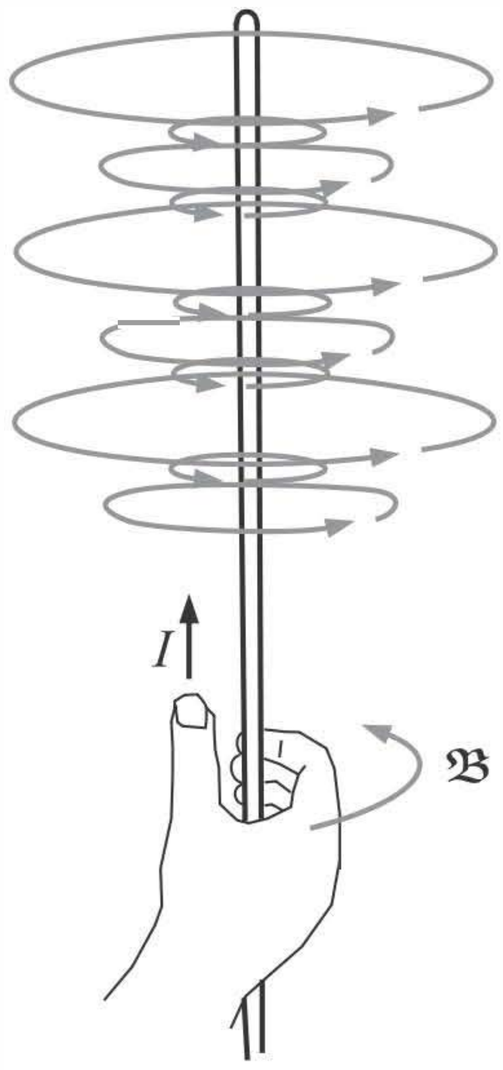
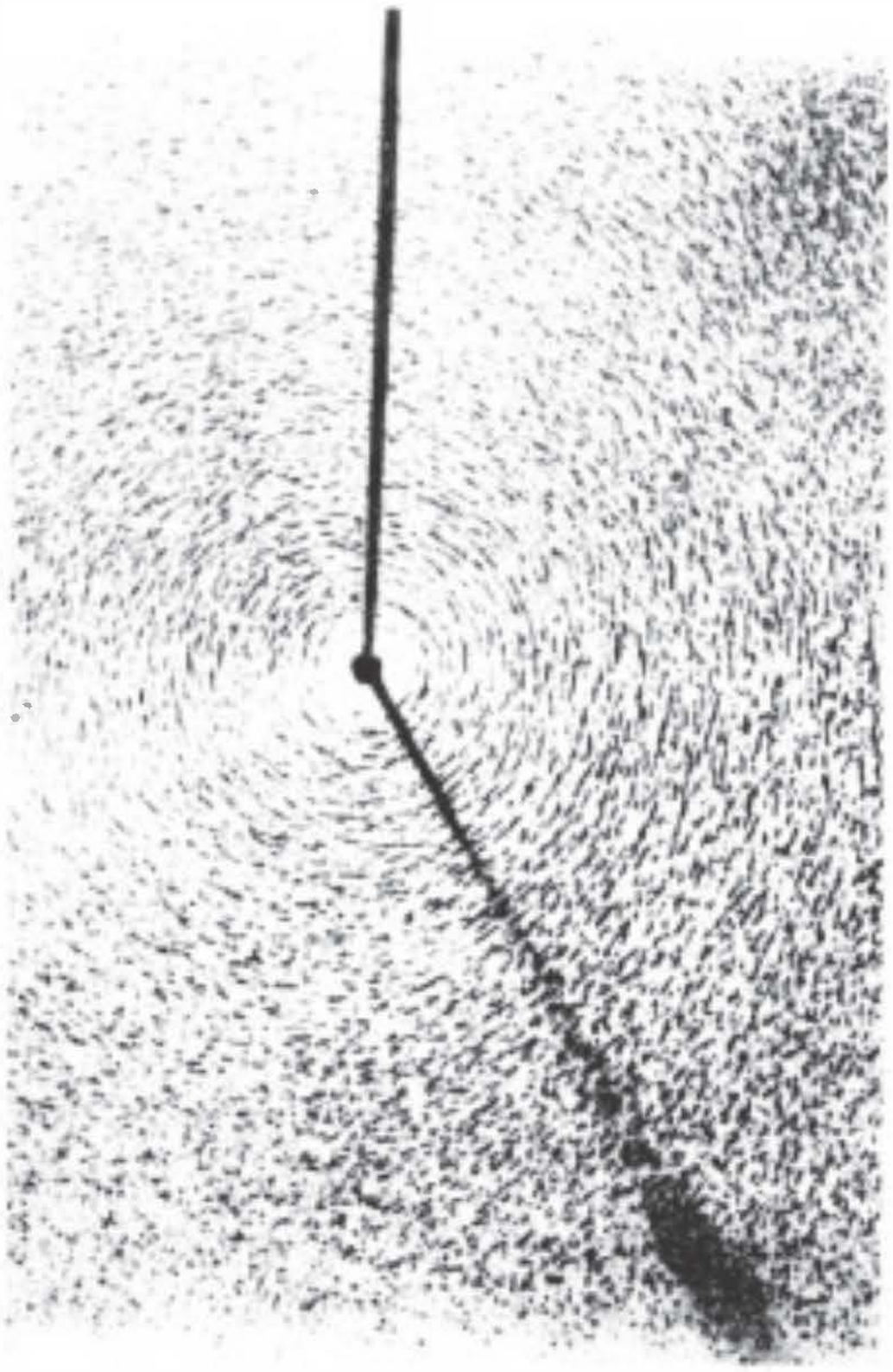


Рис. 17-10. Направление магнитной силы $\mathbf{F}$ в четырех случаях, различающихся направлением скорости $\mathbf{v}$. *а* — скорость $\mathbf{v}$ направлена вниз; *б* — $\mathbf{v}$ направлена вверх; *в* — $\mathbf{v}$ направлена влево; *г* — $\mathbf{v}$ направлена за плоскость рисунка



(*а*)



(*б*)

Рис. 17-11. *а* — иллюстрация правила правой руки; показаны силовые линии магнитного поля $\mathfrak{B}$, создаваемого прямолинейным током; *б* — фото железных опилок, рассыпанных вблизи длинного прямолинейного проводника с током; при включении тока железные опилки ведут себя подобно маленьким магнитикам, располагаясь вдоль силовых линий магнитного поля. [*С любезного разрешения Центра по развитию образования.*]

В следующей главе мы рассмотрим два уравнения (закон Ампера и закон Био—Савара), которые позволяют вычислить напряженности магнитного поля не только для прямолинейного тока, но и для других конфигураций токов. Следует заметить, что $\mathbf{F}_{\text{маг.}}$ всегда перпендикулярна $\mathbf{v}$. Поэтому в соответствии с (6-10) магнитное поле не может ни увеличить, ни уменьшить кинетической энергии движущегося заряда. В однородном магнитном поле заряд движется по окружности. В этом случае ускорение равно v^2/R, а сила

$$mv^2/R = qv\mathfrak{B}.$$

Отсюда находим

$$R = mv/q\mathfrak{B} \text{ (радиус окружности)}.$$

На рис. 31-3 показано, какую траекторию описывает электрон в водородной пузырьковой камере, находящейся в однородном магнитном поле.

Пример 5. Чему равен период обращения заряженной частицы, движущейся со скоростью v в однородном магнитном поле $\mathfrak{B}$?

Решение: Пусть T — время одного оборота. Тогда

$$T = \frac{2\pi R}{v}.$$

Подставим в это выражение $R = mv/q\mathfrak{B}$:

$$T = \frac{2\pi}{v}\left(\frac{mv}{q\mathscr{B}}\right) = \frac{2\pi m}{q\mathscr{B}}.$$

Отсюда следует, что период обращения не зависит ни от R, ни от v.

Пример 6. Ускоритель элементарных частиц, расположенный в Батавии, шт. Иллинойс (США), представляет собой кольцевой магнит диаметром 2 км, создающий поле до 1,8 Т; между полюсами этого магнита расположена тороидальная вакуумная камера. Если смотреть на ускоритель сверху (рис. 17-12), то пучок протонов движется по часовой стрелке со скоростью v, очень близкой к скорости света.

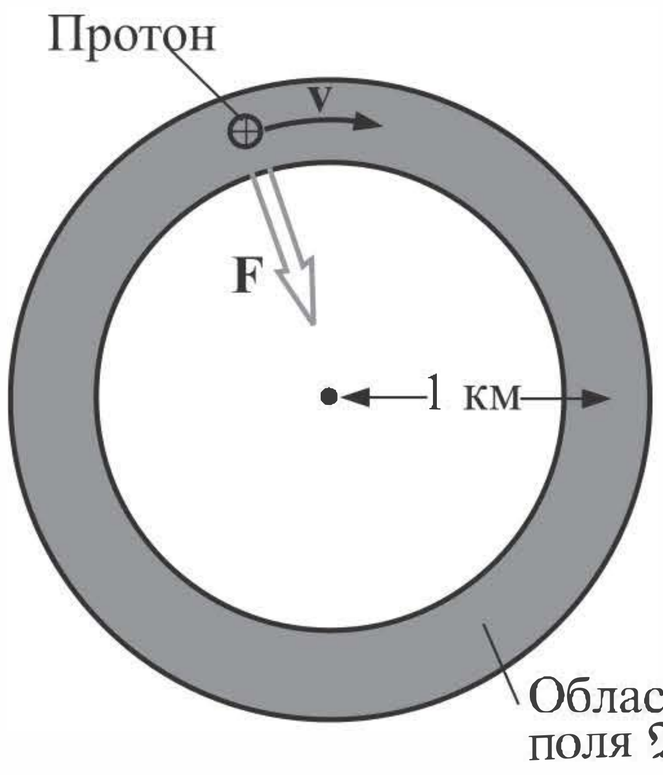


Рис. 17-12. Главное кольцо протонного синхротрона на энергию 500 ГэВ (вид сверху). Протоны движутся по часовой стрелке между полюсами магнита (магнит на рисунке не показан). Поле $\mathfrak{B}$ направлено из плоскости чертежа. Вектор **F** указывает направление $\mathbf{v} \times \mathfrak{B}$

а) Определите направление магнитного поля $\mathfrak{B}$.
б) Чему равна энергия протонов, когда $\mathscr{B}$ достигает значения 1,8 Т?

Решение: а) На протон действует центростремительная сила, направленная к центру. Если поле $\mathfrak{B}$ направлено из плоскости чертежа, то вектор $\mathbf{v} \times \mathfrak{B}$ всегда направлен к центру. б) Центростремительная сила равна $F_{\text{ц}} = m_r (v^2/R)$, где m_r — релятивистская масса протона. Так как эта сила обусловлена действием магнитного поля, она равна $(ev\mathscr{B})$. Таким образом,

$$m_r (v^2/R) = ev\mathscr{B}.$$

Заменим скорость v на скорость света c; тогда

$$m_r c^2 = ec\mathscr{B}R.$$

Левая часть этого равенства представляет собой полную релятивистскую энергию E; тогда, подставляя в правую часть численные значения, находим

$$E = (1{,}6\cdot10^{-19})(3\cdot10^{8})(1{,}8)(10^{3})\ \text{Дж} = \\ = 8{,}64\cdot10^{-8}\ \text{Дж} = 540\ \text{ГэВ}.$$

Заметим, что магнитное поле не меняет значений скорости или энергии частиц. Ускорение протонов осуществляется при каждом их обороте в кольце за счет электрического поля, которое действует на коротком участке кольца.

§ 7. Единицы измерения магнитного поля

Если заряд q движется, то на него помимо электростатической силы $q\mathbf{E}$ действует магнитная сила; поэтому полная электромагнитная сила, действующая на движущийся заряд, запишется в виде

$$\mathbf{F} = q\mathbf{E} + q\mathbf{v} \times \mathfrak{B}. \qquad (17\text{-}17)$$

Из формулы (17-17) непосредственно видно, что электрическое и магнитное поля измеряются в различных единицах. Мы видим, что единицы измерения $[v\mathscr{B}]$ совпадают с единицами измерения $[E]$. Таким образом, $\mathscr{B}$ измеряется в единицах E, деленных на м/с; следовательно, $[\mathscr{B}] = \text{В}\cdot\text{с}\cdot\text{м}^{-2}$. Как уже отмечалось, единицей измерения $\mathscr{B}$ в системе СИ является тесла. Ранее вместо теслы использовалась эквивалентная единица измерения вебер/м^2. По причинам исторического характера величину $\mathscr{B}$ называют магнитной индукцией. Однако теперь ее предпочитают именовать просто магнитным полем.

В системе СГС (называемой также гауссовой) магнитное поле определяется уравнением

$$\mathbf{F}_{\text{маг.}} = \frac{q\mathbf{v}}{c} \times \mathbf{B}_{\text{СГС}} \ (\textit{система СГС}). \qquad (17\text{-}18)$$

В системе СГС величина B измеряется в гауссах (Гс):

1 тесла = 10^4 гаусс.

В системе СГС единицы измерения полей B и E одинаковы. В следующем параграфе мы покажем, что система, в которой B и E измеряются в одних и тех же единицах, имеет некоторые преимущества. Из сравнения (17-17) и (17-18) следует соотношение

$$\mathfrak{B}_{\text{СИ}} \rightleftarrows \mathbf{B}_{\text{СГС}}/c \ .$$

Таким образом, любое уравнение теории электромагнетизма, приводимое в данной книге, можно записать в системе СГС путем замены величины $\mathfrak{B}$ на $\mathbf{B}/c$.

Мы будем пользоваться обеими системами единиц. Все уравнения теории электромагнетизма справедливы в обеих системах единиц. Единственная разница состоит в том, что в системе СГС k_0 полагается равным 1, а $\mathfrak{B}$ заменяется на $\mathbf{B}/c$. Уравнения мы будем записывать главным образом в системе МКС, считая, что магнитное поле $\mathfrak{B}$ измеряется в теслах, а $k_0 = 9{,}0 \cdot 10^9$. При этом остальные единицы будут соответствовать системе СИ: вольт, ампер, ом и т. д. Более того, записывая все уравнения в системе СИ через k_0 и c (но не через μ_0), мы имеем ряд преимуществ методологического и физического характера, свойственных системе СГС или гауссовой системе и очевидных для тех, кто пользуется системой СИ.

Пример 7. Пучок протонов проходит через область скрещенных электрического и магнитного полей со скоростью $0{,}1c$ (рис. 17-13). Протоны движутся перпендикулярно силовым линиям за плоскость чертежа. На протоны действует электростатическая сила величиной $3 \cdot 10^{-13}$ Н.

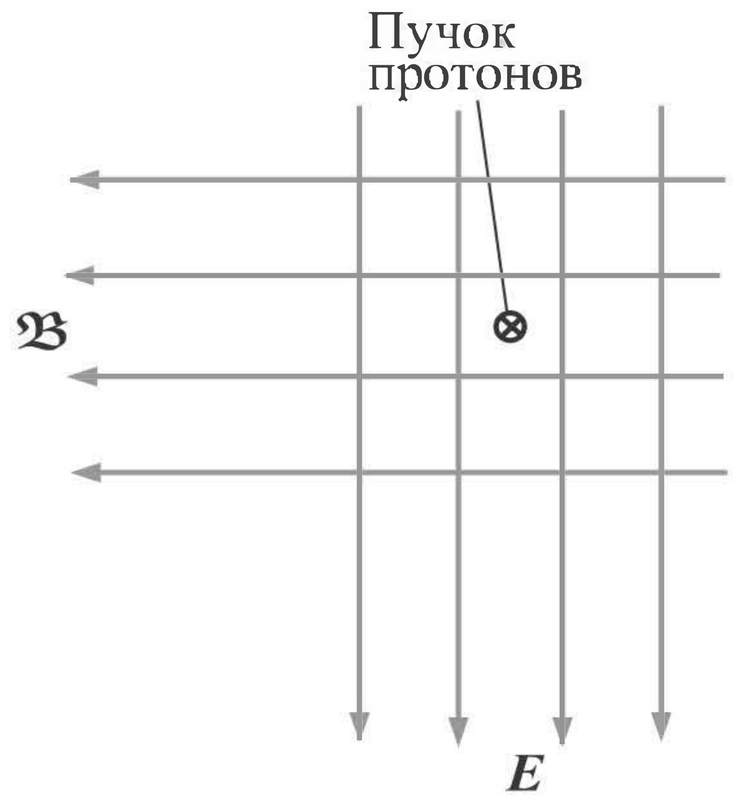


Рис. 17-13. Взаимно перпендикулярные электрическое и магнитное поля (протоны движутся в направлении за плоскость чертежа)

а) Каково должно быть отношение E/B, чтобы результирующая сила, действующая на протоны, равнялась нулю? Ответ запишите как в системе СГС, так и в системе СИ.

б) Чему равна величина поля B в гауссах?

в) Предположим, что E/B соответствует значению, полученному в ответе на вопрос (а). Определим для этого случая направление и величину результирующей силы, действующей на частицы с зарядом $+e$, которые движутся со скоростью $0{,}2c$. (Устройства со скрещенными полями используются для селекции частиц, имеющих определенную скорость. Только такие частицы не будут отклоняться.)

Решение:

а) $\mathbf{F}_{\text{рез.}} = 0 = e\mathbf{E} + e\mathbf{v} \times \mathfrak{B}$,

$$\mathbf{E} = -\mathbf{v} \times \mathfrak{B}.$$

Поскольку $\mathbf{v}$ и $\mathfrak{B}$ взаимно перпендикулярны, $E = v\mathscr{B}$, откуда получаем $E/\mathscr{B} = v$ в системе СИ. В системе СГС, заменив $\mathscr{B}$ на B/c, имеем $E/B = v/c$.

б) $$E = \frac{F}{e} = \frac{3 \cdot 10^{-13}\ \text{Н}}{1{,}6 \cdot 10^{-19}\ \text{Кл}} = 1{,}875 \cdot 10^6\ \text{Н/Кл},$$

$$\mathscr{B} = \frac{E}{v} = \frac{1{,}875\cdot 10^6}{3\cdot 10^7}\,\text{Т} = 0{,}625\,\text{Т} = 625\,\text{Гс}.$$

в) Положим $v = 2v_1$; $v_1 = 0{,}1c$; тогда

$$\begin{aligned}\mathbf{F}_{\text{рез.}} &= e\mathbf{E} + 2e\mathbf{v}_1 \times \mathfrak{B} = \\ &= e\mathbf{E} + e\mathbf{v}_1 \times \mathfrak{B} + e\mathbf{v}_1 \times \mathfrak{B} = (0) + (-e\mathbf{E}).\end{aligned}$$

Таким образом, результирующая сила направлена вверх и равна

$$F_{\text{рез.}} = 3\cdot 10^{-13}\ \text{Н}.$$

§ 8. Релятивистское преобразование величин $\mathfrak{B}$ и E

В этом параграфе мы покажем, что с точки зрения движущихся наблюдателей поля $\mathfrak{B}$ и $\mathbf{E}$ переходят друг в друга. Физически их следует рассматривать как единое поле, которое называется электромагнитным. Электромагнитное поле имеет шесть компонент: E_x, E_y, E_z, B_x, B_y и B_z, которые «перемешиваются» между собой при измерении движущимся наблюдателем. С этой точки зрения система единиц СГС более разумна, поскольку компоненты единого физического поля должны по меньшей мере измеряться в одних и тех же единицах.

Мы рассмотрим только два простых примера преобразования полей. В качестве первого примера рассмотрим случай, когда в лабораторной системе всюду $\mathfrak{B} = 0$. При этом могут существовать покоящиеся заряды и электрическое поле $\mathbf{E}$. Мы покажем, что движущийся наблюдатель «видит» поле $\mathfrak{B}' = (\mathbf{v}'/c^2) \times \mathbf{E}'$, где $\mathbf{v}'$ — скорость движения зарядов в штрихованной системе отсчета. Прежде всего рассмотрим заряженный проводник, который покоится в лабораторной системе. При этом в любой точке пространства $\mathfrak{B} = 0$, а $E = 2k_0\lambda/y$ в некоторой точке P (рис. 17-14).

Теперь предположим, что м-р X′ движется со скоростью $\mathbf{v}$, как показано на рисунке. Он измерит ток $I' = \lambda' v$, текущий влево, где λ' — плотность заряда в проводнике в штрихованной системе отсчета. В соответствии с (17-13) м-р X′ обнаружит, что магнитное поле

$$\mathscr{B}' = \frac{k_0}{c^2}\frac{2(\lambda' v)}{y}.$$

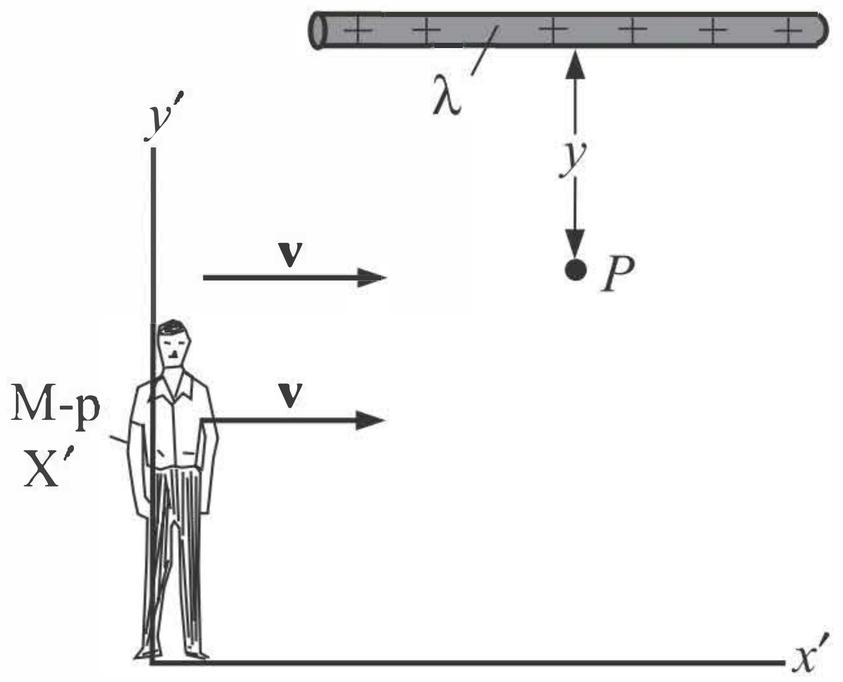


Рис. 17-14. Заряженный проводник неподвижен в лабораторной (нештрихованной) системе отсчета

Поскольку $2k_0\lambda'/y = E'$, из этого выражения мы получаем, что магнитное поле в штрихованной системе отсчета можно записать в виде

$$\mathscr{B}' = (1/c^2)vE'$$

или в векторной форме

$$\mathfrak{B}' = \frac{1}{c^2}\mathbf{v}' \times \mathbf{E}',$$

где $\mathbf{v}'$ — скорость источника в штрихованной системе отсчета. Этот результат не должен зависеть от природы источника, если преобразованное локальное поле в точке P определяется однозначно. В общем случае справедливо утверждение, что если система зарядов движется как целое со скоростью $\mathbf{v}$, то возникает магнитное поле

$$\mathfrak{B} = \frac{1}{c^2}\mathbf{v}\times\mathbf{E}$$ (*все заряды движутся с одинаковыми скоростями*). (17-19)

Мы опустили здесь все штрихи, поскольку речь идет о движущихся зарядах в нештрихованной системе отсчета. Уравнение (17-19) будет нами использовано в начале следующей главы при выводе закона Био—Савара. Следует заметить, что в системе СГС при наличии движущихся зарядов $B/E = v/c$ и, если заряды движутся со скоростью, близкой к скорости света, электрическое и магнитное поля почти совпадают друг с другом.

Пример 8. Пусть на каждый метр длины стержня радиусом R приходится поверхностный заряд Q_l. Стержень движется вправо со скоростью v_0 (рис. 17-15). Чему равны E и $\mathscr{B}$ вблизи поверхности стержня?

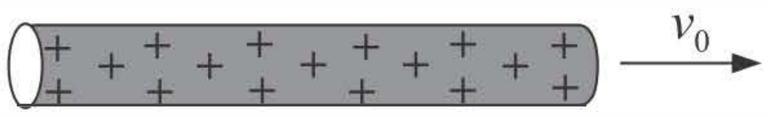


Рис. 17-15. Стержень с поверхностным зарядом, движущийся вправо со скоростью v_0. Когда стержень покоится, заряд на единицу длины стержня равен Q_l

Решение: При движении стержня линейная плотность заряда равна $\lambda = \gamma Q_l$, где $\gamma = 1\Big/\sqrt{1-v^2/c^2}$. Из формулы (16-5) имеем

$$E = k_0\frac{2\lambda}{R} = 2k_0\frac{\gamma Q_l}{R}.$$

Используя (17-19), находим

$$\mathscr{B} = \frac{v_0}{c^2}E = 2\frac{k_0}{c^2}\gamma\frac{v_0 Q_l}{R}.$$

В качестве второго примера рассмотрим противоположную ситуацию, когда в лабораторной системе отсчета в любой точке пространства $\mathbf{E} = 0$. Пусть источником поля является незаряженный проводник, в котором течет ток I (рис. 17-16). В § 5 мы показали, что движущийся наблюдатель м-р X′ обнаружил бы у проводника отрицательный заряд. Если в его руке находится заряд q, то в соответствии с (17-11) сила, действующая на этот заряд, дается выражением

$$F' = qv(2k_0\gamma I/c^2 y),$$

где

$$\gamma = 1\Big/\sqrt{1-v^2/c^2}\,.$$

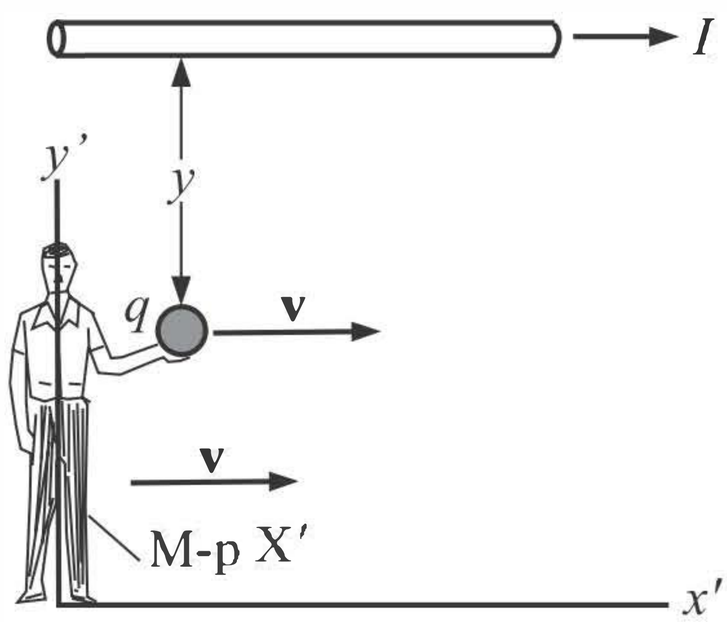


Рис. 17-16. По неподвижному незаряженному проводнику течет ток I, за которым наблюдает м-р X′, движущийся со скоростью **v**

Разделим обе части выражения для F' на q; мы имеем

$$E' = v\left(\frac{2k_0}{c^2}\frac{\gamma I}{y}\right).$$

В соответствии с (17-13) м-р X′ обнаружит также магнитное поле

$$\mathscr{B}' = 2\frac{k_0}{c^2}\frac{I'}{y},$$

направленное за плоскость чертежа. Используя выражение (17-26) (см. приложение к настоящей главе), заменим I' на γI; тогда

$$\mathscr{B}' = 2\frac{k_0\gamma I}{c^2 y}.$$

Таким образом, мы можем записать

$$\mathbf{E}' = -\mathbf{v}' \times \mathfrak{B}',$$

где $\mathbf{v}'$ — скорость проводника с током, измеренная в штрихованной системе отсчета. Поскольку локальные преобразования поля должны быть однозначными, мы снова получаем общее соотношение, справедливое для любого тока:

$$\mathbf{E} = -\mathbf{v} \times \mathfrak{B} \text{ (\textit{проводник с током движется со скоростью } } v). \quad (17\text{-}20)$$

Это уравнение определяет электрическое поле, создаваемое током, движущимся со скоростью $\mathbf{v}$. Как и раньше, мы опустили штрихи, так как рассматриваем движущийся источник в нештрихованной системе отсчета. В этом случае электрическое поле есть результат проявления электромагнитной индукции, которую мы рассмотрим более подробно в гл. 19. Полученный результат непосредственно приводит к закону Фарадея для электрического поля, индуцированного изменяющимся магнитным полем.

Пример 9. Реактивный самолет летит к северу на широте, где вертикальная составляющая магнитного поля Земли равна 0,6 Гс и направлена вниз. Скорость самолета 278 м/с.

а) Чему равна величина измеряемого пилотом электрического поля?

б) Будут ли на крыльях самолета электрические заряды?

Решение: а) Воспользуемся формулой (17-20), поскольку пилот движется относительно источника магнитного поля Земли. Тогда

$$E = v\mathscr{B} = (278 \text{ м/с})(0{,}6 \cdot 10^{-4} \text{ Т}) = 0{,}0167 \text{ В/м}.$$

б) В соответствии с (17-20) поле $\mathbf{E}$ направлено вдоль вектора $-\mathbf{v} \times \mathfrak{B}$, т. е. на восток. Поэтому положительные заряды будут скапливаться на восточном крыле самолета, а отрицательные — на западном. С точки зрения наблюдателя на земле, между концами возникает разность потенциалов. При размахе крыльев 20 м разность потенциалов составит

$$V = Ex = (0{,}0167 \text{ В/м})\ (20 \text{ м}) = 0{,}334 \text{ В}.$$

Основные выводы

Электрический ток $I = Q/t = \int \mathbf{j}\, d\mathbf{A}$, где $\mathbf{j} = \rho\mathbf{v}$ — плотность тока, измеряемая в амперах на квадратный метр. Следовательно, $I = \rho v A = \mathfrak{N} e v A$, где $\mathfrak{N}$ — число электронов проводимости в кубическом метре.

Закон Ома гласит, что в металлах при постоянной температуре сила тока пропорциональна приложенному напряжению: $I \sim V$. Сопротивление проводника определяется выражением $R = V/I$. Рассеиваемая в проводнике электрическая мощность равна $P = VI$.

Измерения показывают, что магнитная сила, действующая со стороны тока I на заряд, движущийся параллельно току на расстоянии y от него, описывается выражением

$$F_{\text{маг.}} = qv\left(\frac{\mu_0}{4\pi}\right)\frac{2I}{y},$$

где константа $\mu_0/4\pi$ полагается равной 10^{-7} Н/А^2.

Применяя теорию относительности к закону Кулона, можно получить следующее выражение:

$$F_{\text{маг.}} = qv\left(\frac{k_0}{c^2}\right)\frac{2I}{y}.$$

Следовательно, $k_0/c^2 = 10^{-7}$ Н/А^2 $= (\mu_0/4\pi)$ или $\mu_0\varepsilon_0 = 1/c^2$. Магнитное поле $\mathscr{B}$ по определению равно $F_{\text{маг.}}/qv$. Отсюда и из предыдущего выражения мы видим, что магнитное поле прямолинейного тока I

$$\mathscr{B} = \frac{k_0 2I}{c^2 y}.$$

Направление поля $\mathfrak{B}$ определяется положением пальцев правой руки, если при этом большой палец указывает в направлении тока I. Направление силы $\mathbf{F}_{\text{маг.}}$ определяется с помощью соотношения $\mathbf{F}_{\text{маг.}} = q\mathbf{v}\times\mathfrak{B}$. Магнитная сила всегда перпендикулярна скорости. Если скорость $\mathbf{v}$ перпендикулярна $\mathfrak{B}$, то в однородном магнитном поле частица движется по окружности радиусом $R = mv/q\mathfrak{B}$.

Чтобы переписать уравнения электромагнитного поля в системе СГС (или гауссовой системе), нужно положить $k_e = 1$ и заменить $\mathfrak{B}$ на $\mathbf{B}/c$.

В системе отсчета, в которой имеются только токи, движущиеся со скоростью $\mathbf{v}$, электрическое поле $\mathbf{E} = -\mathbf{v}\times\mathfrak{B}$. В системе отсчета, в которой отсутствуют токи, а заряды движутся с одной и той же скоростью $\mathbf{v}$, магнитное поле $\mathfrak{B} = (\mathbf{v}/c^2)\times\mathbf{E}$.

Приложение. Релятивистские преобразования тока и заряда

Покажем, что в системе отсчета движущегося заряда q незаряженный проводник, как показано на рис. 17-8, приобретает заряд с линейной плотностью

$$\lambda' = \frac{-1}{\sqrt{1-v^2/c^2}}\frac{v}{c^2}I.$$

Пусть с движущимся наблюдателем связана штрихованная система отсчета. Из рис. 17-17 мы видим, что в этой системе отсчета положительные ионы движутся влево со скоростью v и в том же направлении, но с большей скоростью v'_- движутся электроны проводимости. Плотность заряда в проводнике равна

$$\lambda' = \lambda'_+ + \lambda'_-. \tag{17-21}$$

Вследствие лоренцева сокращения

$$\lambda'_+ = \frac{1}{\sqrt{1-v^2/c^2}}\lambda_+ \tag{17-22}$$

и

$$\lambda'_+ = \frac{1}{\sqrt{1-v'^2/c^2}}(\lambda_-)_0; \tag{17-23}$$

здесь $(\lambda_-)_0$ — плотность заряда электронов проводимости в покоящейся системе, причем в силу лоренцева сокращения мы имеем

$$\lambda_- = \frac{1}{\sqrt{1-v_d^2/c^2}}(\lambda_-)_0,$$

или $(\lambda_-)_0 = \sqrt{1-v_d^2/c^2}\,\lambda_-$.

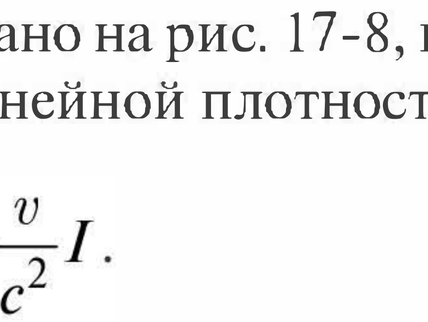
Подставляя это выражение для $(\lambda_-)_0$ в формулу (17-23), получаем

$$\lambda'_- = \frac{\sqrt{1-v'^2_d/c^2}}{\sqrt{1-v_d^2/c^2}}\lambda_-.$$

Пусть $\beta \equiv v/c$, $\beta_d \equiv v_d/c$ и $\beta' \equiv v'_-/c$. Тогда

$$\lambda'_- = \frac{\sqrt{1-\beta^2_d}}{\sqrt{1-\beta'^2}}\lambda_-.$$





$$v'_- = \frac{v + v_d}{1 + vv_d/c^2}$$

Рис. 17-17. Проводник с током, показанный на рис. 17-8, как его видит наблюдатель, движущийся вместе с зарядом q

Чтобы исключить β', воспользуемся релятивистским правилом сложения скоростей (9-1):

$$\beta' = \frac{\beta_d + \beta}{1 + \beta_d \beta}.$$

Тогда

$$\lambda'_- = \frac{\sqrt{1-\beta_d^2}}{\sqrt{1-\left(\frac{\beta_d+\beta}{1+\beta_d\beta}\right)^2}}\lambda_- = \frac{(1+\beta_d\beta)\sqrt{1-\beta_d^2}}{\sqrt{(1-\beta^2)(1-\beta_d^2)}}\lambda_-;$$

$$\lambda'_- = \frac{(1+\beta_d\beta)}{\sqrt{(1-\beta^2)}}\lambda_-. \qquad (17\text{-}24)$$

Подставим (17-22) и (17-24) в (17-21):

$$\lambda' = \frac{1}{\sqrt{(1-\beta^2)}}\lambda_+ + \frac{1+\beta_d\beta}{\sqrt{(1-\beta^2)}}\lambda_-.$$

Заменим λ_+ на $-\lambda_-$:

$$\lambda' = \frac{\beta_d\beta}{\sqrt{(1-\beta^2)}}\lambda_- = \frac{1}{\sqrt{(1-\beta^2)}}\frac{v}{c^2}\lambda_- v_d.$$

Подставляя сюда выражение $I = -\lambda_- v_d$, получаем

$$\lambda' = -\frac{1}{\sqrt{1-v^2/c^2}}\frac{vI}{c^2}. \qquad (17\text{-}25)$$

Преобразование тока

Ток $I' = \lambda'_+ v + \lambda'_- v'_-$. Подставим в это выражение соотношения (17-22) и (17-24):

$$I' = \left(\frac{1}{\sqrt{(1-\beta^2)}}\lambda_+\right)v + \left(\frac{1+\beta_d\beta}{\sqrt{(1-\beta^2)}}\lambda_-\right)v'_-.$$

Заменяя λ_+ на $(-\lambda_-)$ и на $(v+v_d)/(1+\beta_d\beta)$, окончательно получаем

$$I' = \frac{\lambda_- v}{\sqrt{(1-\beta^2)}} + \left(\frac{1+\beta_d\beta}{\sqrt{(1-\beta^2)}}\lambda_-\right)\times \left(\frac{v_d+v}{1+\beta_d\beta}\right) = \frac{\lambda_- v_d}{\sqrt{(1-\beta^2)}}.$$

Таким образом,

$$I' = \gamma I, \qquad (17\text{-}26)$$

где $\gamma = 1/\sqrt{1-\beta^2}$.

Упражнения

1. Пусть скорость дрейфа электронов проводимости в медном проводнике сечением 2 мм^2 равна 0,1 мм/с. Каким будет ток в проводнике?
2. Удельная проводимость меди $5{,}9\cdot10^7$ (Ом·м)$^{-1}$, а средняя скорость электронов $u = 1{,}3\cdot10^6$ м/с. Чему равна средняя длина свободного пробега?
3. Пусть ρ — удельное сопротивление. Тогда сопротивление стержня длиной x_0 и площадью поперечного сечения A равно $R = \rho(x_0/A)$. Выразите удельное сопротивление через $\mathfrak{N}$, e, L, m и u.
4. По проводнику, рассчитанному на ток 100 А, к дому подведено напряжение 120 В.
   а) Какую максимальную мощность можно передать по этому проводнику?
   б) Сколько за месяц при максимальном расходе мощности потребляется энергии и какова ее стоимость (если известен тариф за киловатт/час)?
5. Внутреннее сопротивление батареи напряжением 12 В равно 0,05 Ом. Предположим, что по ошибке между полюсами батареи включен закорачивающий проводник с сопротивлением 0,1 Ом.
   а) Какой ток протекает через батарею?

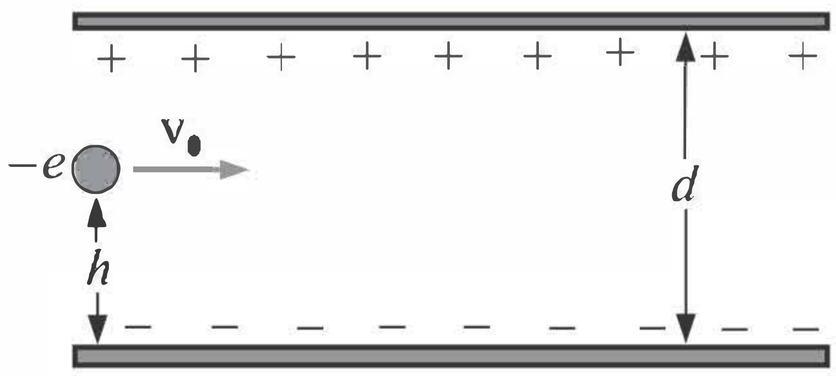
б) Сколько мощности выделится в закорачивающем проводнике? Где выделяется больше тепла — в проводнике или в лампе мощностью 100 Вт?

6. Пусть сопротивление каждого из стержней на рис. 17-7 равно 0,2 Ом, а сопротивление остальной цепи 0,1 Ом. Какая сила действует на метр длины каждого стержня, если расстояние между стержнями 1 см, а напряжение батареи 12 В?

7. По каждому из двух длинных параллельных прямолинейных проводников, расположенных на расстоянии 16 см один от другого, течет ток 4 А. Определите величину магнитного поля $\mathfrak{B}$ в точке, расположенной посередине между проводниками в случаях, когда токи текут
а) в одном направлении;
б) в противоположных направлениях.

8. Двигаясь горизонтально с востока на запад, электрон попадает в область магнитного поля и отклоняется вниз. Найдите направление магнитного поля.

9. Электрон с массой m и скоростью v_0 ($v_0 \ll c$) попадает в область между двумя параллельными заряженными пластинами.



а) Куда направлено ускорение электрона? Найдите выражение для ускорения через e, E и m.
б) Сколько понадобится электрону времени, чтобы достичь одной из пластин? Ответ запишите через e, E, m, h, d и v_0.
в) Предположим, что силовые линии E изображают не электрическое, а магнитное поле, направленное в ту же сторону, что и E. Какая и в каком направлении при этом действует на электрон сила? Ответ запишите через e, v_0 и $\mathscr{B}$.

10. Вычислите период обращения электрона, движущегося со скоростью $\mathbf{v}$ в однородном магнитном поле $\mathfrak{B}$, причем скорость $\mathbf{v}$ перпендикулярна $\mathfrak{B}$.

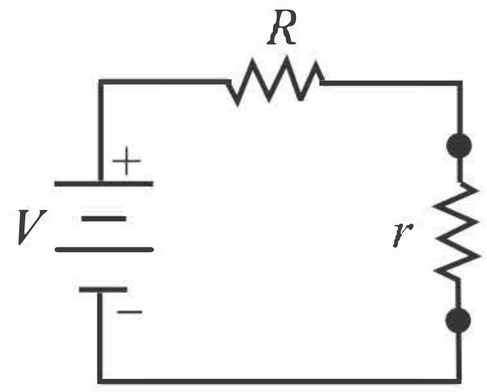
Задачи

11. Предположим, что в атоме водорода электрон движется вокруг протона по круговой орбите $R = 5{,}3 \cdot 10^{-11}$ м. Чему равен ток, обусловленный движением электрона вокруг протона?

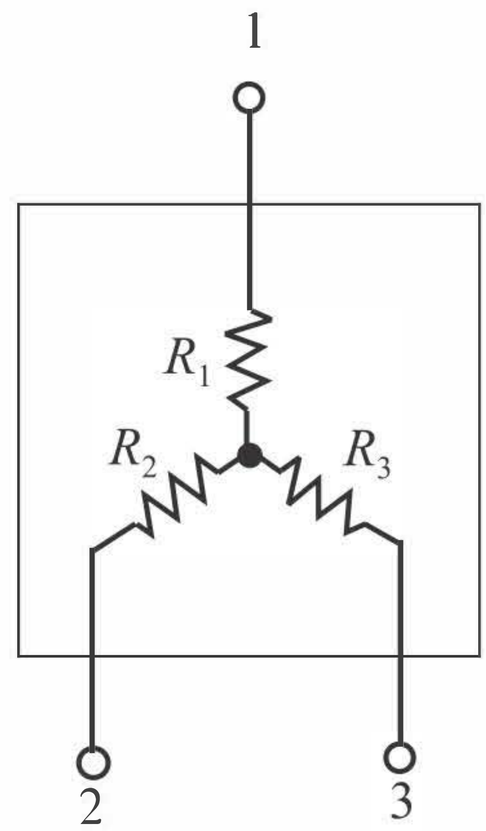
12. Однородно заряженный шар радиусом R вращается вокруг своей оси. Полный заряд шара Q, а период вращения T. Плотность заряда $\rho = Q/(4\pi R^3/3)$.
а) Какой будет плотность тока на экваторе шара?
б) Чему равен полный ток, циркулирующий вокруг оси?

13. Решите задачу 12 для сферы с равномерным распределением поверхностного заряда $\sigma = Q/4\pi R^2$. В этом случае величина j на экваторе бесконечна, но полный ток конечен.

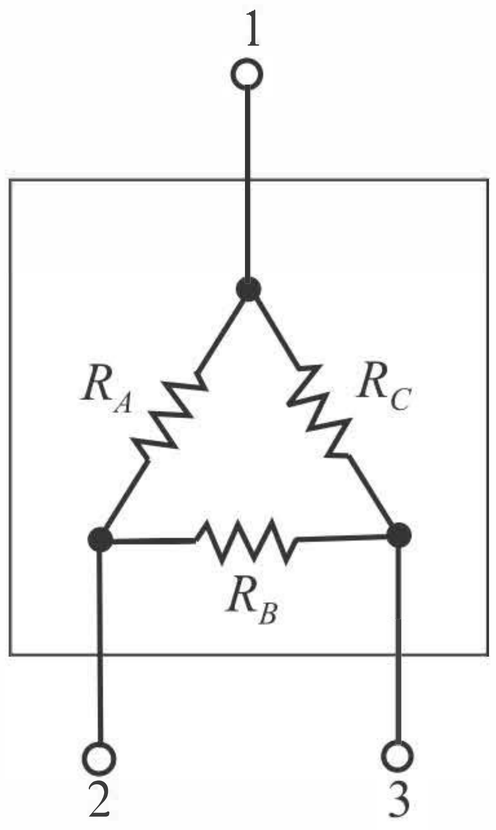
14. Каким должно быть сопротивление цепи r (см. рисунок), чтобы в нем выделялась максимальная мощность?



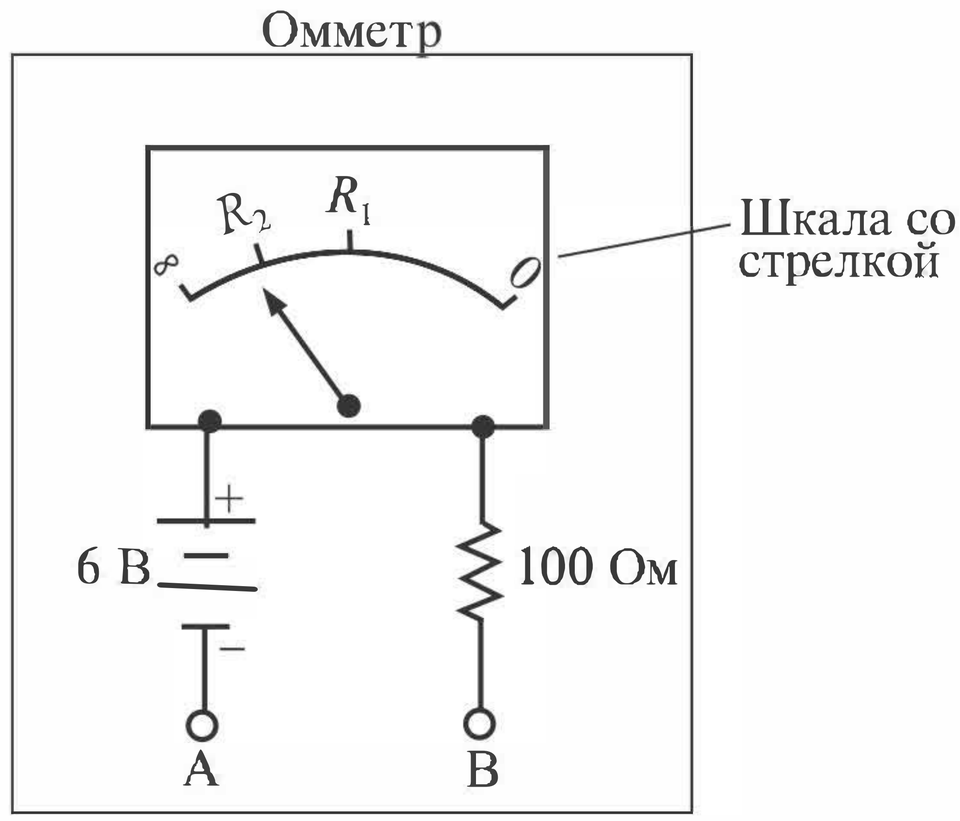
15. Предположим, что внутри черного ящика имеется три резистора, подключенных к клеммам, как показано на рисунке. Сопротивление между клеммами 1 и 2 равно R_{12}, между 1 и 3 имеем R_{13}, а между 2 и 3 — R_{23}. Найдите R_1, R_2 и R_3.



16. Пусть резисторы внутри черного ящика соединены, как показано на рисунке. Найдите выражение для R_A через R_{12}, R_{13} и R_{23} (см. задачу 15). Чему равны R_B и R_C?



17. Прибор для измерения сопротивлений называется омметром. В его схеме используются батарея напряжением 6 В и 100-омный резистор. Максимальное отклонение стрелки прибора соответствует току 60 мА. Шкала прибора отградуирована от бесконечности до нуля (см. рисунок).

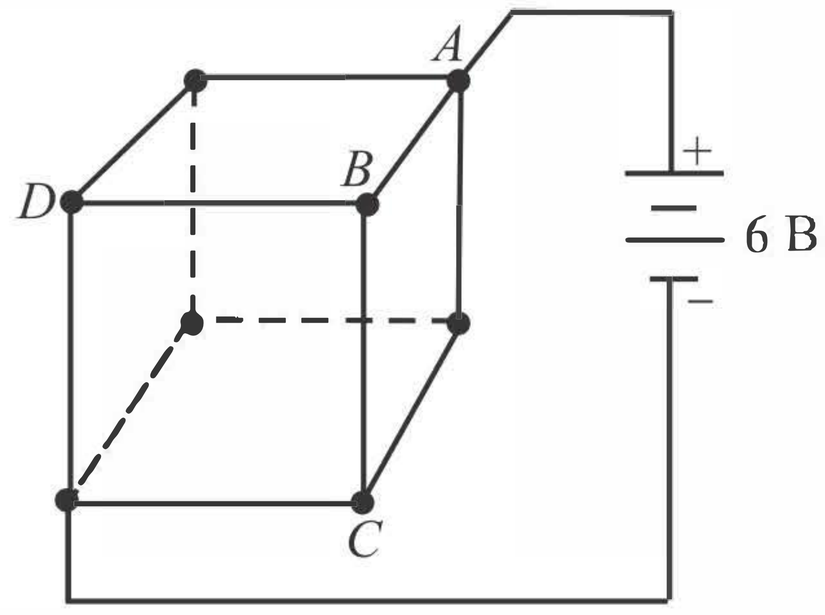


(Если клеммы A и B омметра замкнуты накоротко, то $I = 60$ мА и отклонение стрелки на всю шкалу соответствует сопротивлению, равному нулю.) Какомусопротивлению соответствует отклонение стрелки прибора:

а) на половину шкалы?

б) на 1/4 шкалы?

18. Пусть сопротивление каждого из ребер куба, изображенного на рисунке, равно 10 Ом. Какой ток отбирается от 6-вольтовой батареи? (*Указание:* в точке A ток разветвляется на три одинаковых тока, а в точке B — на два одинаковых тока.)

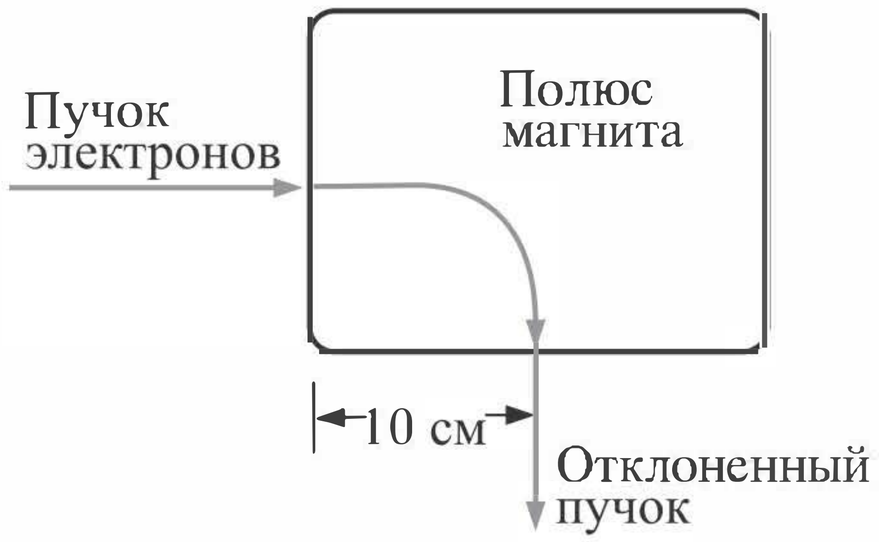


19. Радиус Корнеллского электронного синхротрона 100 м. Если смотреть сверху, то электроны движутся между полюсами магнита против часовой стрелки со скоростью, почти равной скорости света. Энергия электронов равна 12 ГэВ.

а) Каково направление поля $\mathfrak{B}$?

б) Чему равна величина $\mathscr{B}$ в предположении, что она постоянна вдоль всего кольца?

20. Пучок электронов, движущихся со скоростью 10^6 м/с, нужно повернуть на 90° с помощью магнита, как показано на рисунке.



а) Каким должно быть направление поля $\mathfrak{B}$, чтобы пучок отклонился вниз?

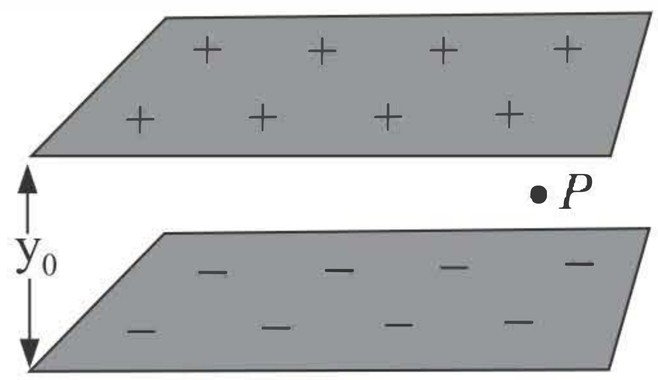
б) Чему равен радиус кривизны траектории электронов между полюсами магнита? (Считайте поле постоянным в области между полюсами и равным нулю вне полюсов.)

в) Какая сила в ньютонах действует на электрон в магнитном поле?
г) Вычислите величину $\mathscr{B}$.

21. Найдите релятивистскую массу электрона, который движется в магнитном поле $\mathscr{B} = 1$ Т по окружности радиусом $R = 10$ см. Найдите отношение этой массы к массе покоя электрона.

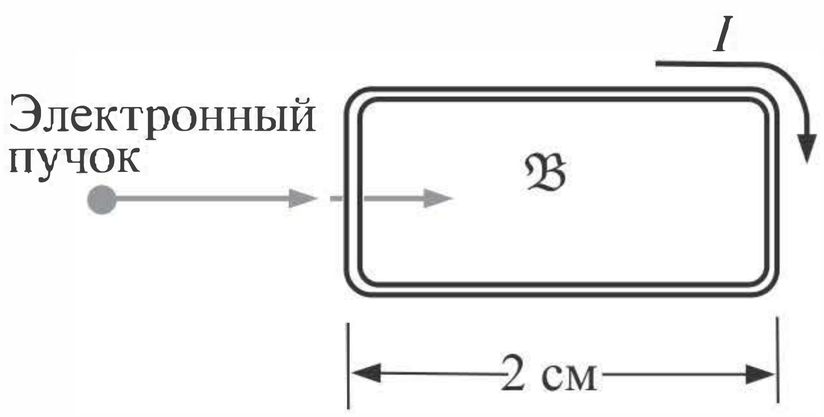
22. Релятивистская масса протонов, ускоряемых бевatроном в Беркли, в семь раз превосходит их массу покоя, а скорость их $v = 0{,}99c$. Каким должен быть диаметр магнита бевatрона, если создаваемое им магнитное поле равно 1,8 Т?

23. Две бесконечные плоскости с плотностями зарядов $+\sigma$ и $-\sigma$ расположены на расстоянии $y_0 = 2$ см друг от друга; $\sigma = 10^{-5}$ Кл/м^2.



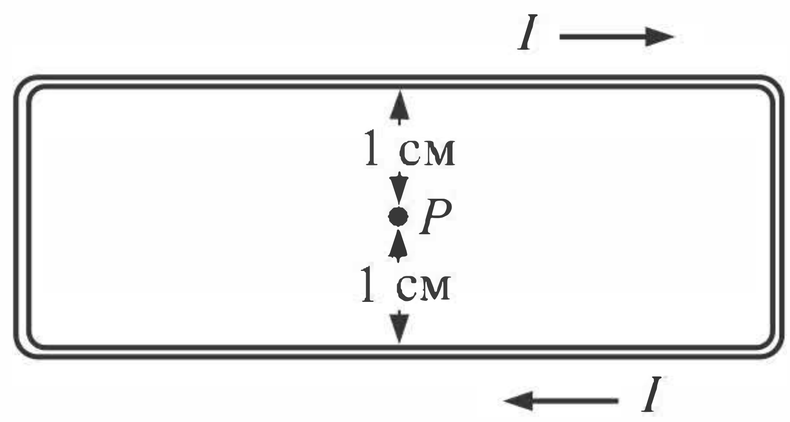
Вычислите:
а) поле E в точке P, когда обе плоскости покоятся;
б) поле E в точке P, когда обе плоскости движутся вправо со скоростью $v = 0{,}6c$;
в) поле $\mathfrak{B}$ в точке P, когда обе плоскости движутся вправо со скоростью $v = 0{,}6c$. Определите величину и направление поля.

24. Предположим, что в телевизионном кинескопе катушки вертикального отклонения пучка создают однородное магнитное поле 50 Гс. Внутри катушек магнитное поле, как показано на рисунке, направлено за плоскость чертежа. Вне катушек $\mathscr{B} = 0$. Кинетическая энергия электронов равна 20 000 эВ.



а) Куда отклонится пучок: вверх или вниз?
б) На какой угол он отклонится?

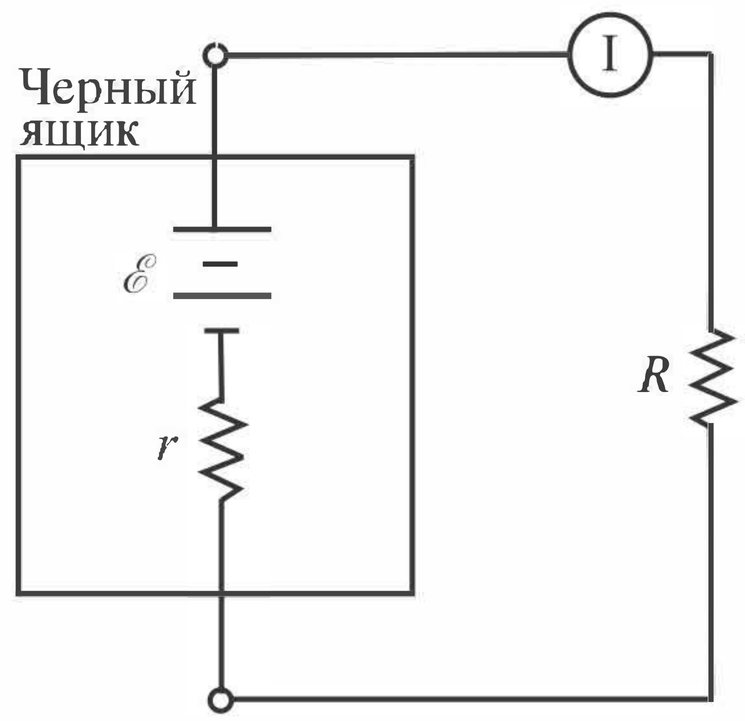
25. По длинной прямоугольной рамке течет ток 10 А (см. рисунок). Будем считать катушку достаточно длинной, чтобы можно быть пренебречь краевыми эффектами.



а) Найдите величину и направление поля в точке P на расстоянии 1 см от каждого проводника.
б) Рамка движется вправо со скоростью v; при этом ток возрастает в $\gamma = (1 - v^2/c^2)^{-1/2}$ раз. Чему тогда равно $\mathfrak{B}$ в точке P, если $v = 0{,}6c$?
в) Определите величину и направление поля $\mathbf{E}$ в точке P для случая (б).

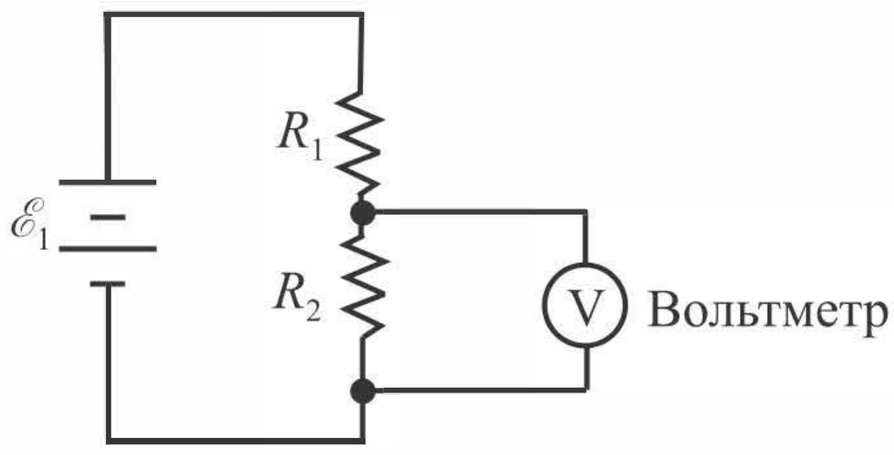
26. Внутреннее сопротивление 3-вольтовой батареи 0,2 Ом. К полюсам батареи подключены параллельно три лампочки, каждая сопротивлением 1,5 Ом. Каким будет напряжение на клеммах батареи?

27. В черном ящике имеются резистор r и батарея $\mathscr{E}$, соединенные последовательно, как показано на рисунке. Когда к клеммам подсоединяют сопротивление $R = 20$ Ом, амперметр показывает 250 мА. При подключении $R = 80$ Ом амперметр показывает 100 мА. Чему равны напряжение батареи $\mathscr{E}$ и сопротивление r?



28. Пусть в схеме на рис. 17-5, *а* $\mathscr{E}$ = 6 В, $R_1 = R_2 = R_3 = 3$ Ом, R_x = 3,01 Ом и R_g = 0,1 Ом. Какой ток протекает через сопротивление R_g?

29. Внутреннее сопротивление вольтметра равно *r*.



а) Что покажет вольтметр, если его подключить к сопротивлению R_2, как показано на рисунке?

б) Каково падение напряжения на сопротивлении R_2, когда вольтметр не подключен?

30. Пусть в задаче 29 при подключении вольтметра к сопротивлению R_2 падение напряжения на R_2 уменьшается в два раза. Чему равно *r*? Ответ запишите через R_1 и R_2.

18

Магнитные поля

§ 1. Закон Ампера

В предыдущей главе мы установили, что ток I, протекающий по бесконечному прямолинейному проводнику, создает магнитное поле

$$\mathscr{B} = \frac{2k_0 I}{c^2 r} \quad (\textit{на расстоянии } r \textit{ от проводника}).$$

Найдем теперь магнитные поля, создаваемые другими типичными конфигурациями токов, такими, как соленоиды, катушки, стержни и плоские токи. Для этого нам понадобится уравнение, которое в случае с магнитным полем играло бы такую же роль, как и теорема Гаусса в случае с электрическим полем. Такое общее уравнение для поля $\mathfrak{B}$, создаваемого любым током, существует и называется законом Ампера. В законе Ампера вместо интеграла от $\mathbf{E}$ по замкнутой поверхности берется интеграл от $\mathfrak{B}$ по замкнутому контуру. Такой интеграл называют контурным и записывают в виде

$$\oint \mathfrak{B} \cdot d\mathbf{s}.$$

Прежде всего вычислим контурный интеграл для длинного прямолинейного проводника, где ответ нам известен. На рис. 18-1 в качестве замкнутого контура выбрана окружность радиусом r. Поскольку $\mathfrak{B}$ и $d\mathbf{s}$ всюду параллельны,

$$\underset{\text{По окружности}}{\oint \mathfrak{B} \cdot d\mathbf{s}} = \oint \mathscr{B} \cdot ds = \mathscr{B} \oint ds =$$

$$= \left(\frac{2k_0 I}{c^2 r}\right)(2\pi R) = \frac{4\pi k_0}{c^2} I.$$

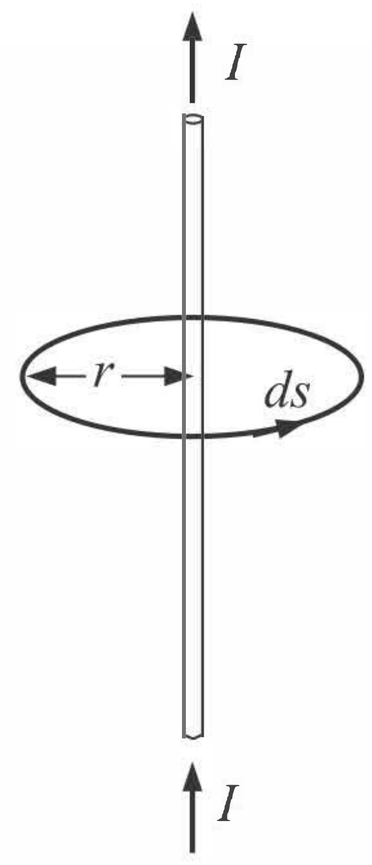


Рис. 18-1. Контурный интеграл берется по воображаемой окружности радиусом r. Показан элемент контура интегрирования $d\mathbf{s}$

Этот результат не зависит от r и справедлив для любой окружности, если проводник проходит через ее центр.

Можно показать, что это соотношение справедливо для контура любой формы, охватывающего проводник, т. е.

$$\underset{\text{По окружности}}{\oint \mathfrak{B} \cdot d\mathbf{s}} = \underset{\text{По любому контуру}}{\oint \mathfrak{B} \cdot d\mathbf{s}}.$$

Обратимся теперь к рис. 18-2. Из этого рисунка видно, что

$$\mathfrak{B}_1 \cdot d\mathbf{s}_1 = \mathfrak{B}_1 \cdot \left(d\mathbf{s}_1' + d\mathbf{s}_1''\right).$$

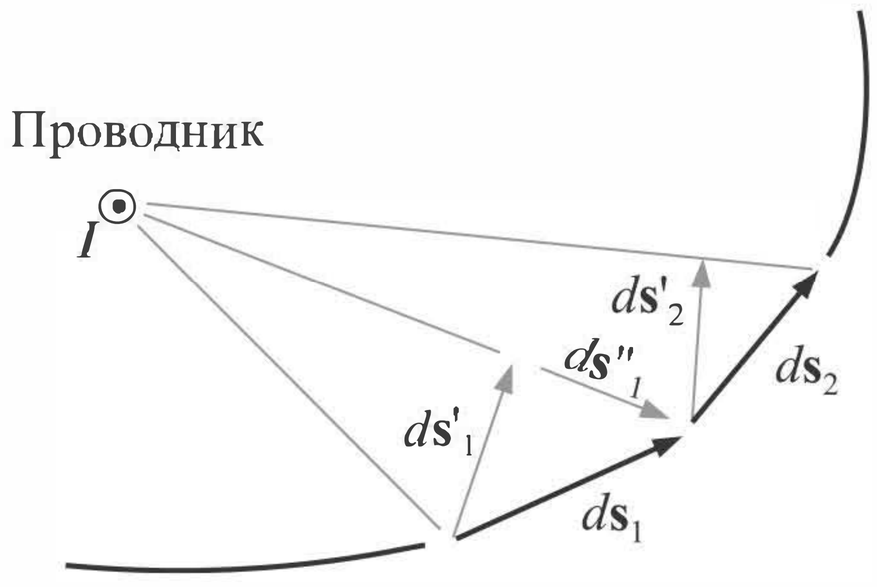


Рис. 18-2. Ток I направлен из плоскости чертежа. Показаны элементы произвольного контура $d\mathbf{s}_1$ и $d\mathbf{s}_2$. $d\mathbf{s}'_1$ и $d\mathbf{s}''_1$ перпендикулярны радиус-вектору, выходящему из проводника

Поскольку векторы $\mathfrak{B}$ и $d\mathbf{s}''_1$ взаимно перпендикулярны, мы имеем $\mathfrak{B}\cdot d\mathbf{s}''_1 = 0$. Следовательно,

$$\mathfrak{B}_1 \cdot d\mathbf{s}_1 = \mathfrak{B}_1 \cdot d\mathbf{s}'.$$

Таким образом,

$$\mathfrak{B}_1 \cdot d\mathbf{s}_1 + \mathfrak{B}_2 \cdot d\mathbf{s}_2 = \mathfrak{B}_1 \cdot d\mathbf{s}'_1 + \mathfrak{B}_2 \cdot d\mathbf{s}'_2.$$

Слева записана часть интеграла по дуге произвольного контура, а справа — соответствующие части интегралов по дугам окружностей. Элементы $d\mathbf{s}_1$ и $d\mathbf{s}_2$ произвольного контура и элементы $d\mathbf{s}'_1$ и $d\mathbf{s}'_2$ соответствующих окружностей стягивают одинаковые углы с вершинами на проводнике. Поскольку для всех дуг окружностей, составляющих одинаковые углы, величины $\mathfrak{B}\cdot d\mathbf{s}$ равны друг другу, то

$$\underbrace{\oint \mathfrak{B}\cdot d\mathbf{s}}_{\text{По любому контуру}} = \underbrace{\oint \mathfrak{B}\cdot d\mathbf{s} = 4\pi\frac{k_0}{c^2}I}_{\text{По окружности}}.$$

Если произвольный контур охватывает n проводников с различными токами $I_1, \ldots, I_n$, то

$$\oint \mathfrak{B}_1\cdot d\mathbf{s}_1 + \ldots + \oint \mathfrak{B}_n \cdot d\mathbf{s}_n = \frac{4\pi k_0}{c^2}\left(I_1 + \ldots + I_n\right);$$

здесь $\mathfrak{B}_n$ — поле, создаваемое током I_n. Таким образом,

$$\oint\left(\mathfrak{B}_1 + \ldots + \mathfrak{B}_n\right)\cdot d\mathbf{s}_1 = \frac{4\pi k_0}{c^2} I_{\text{поли.}},$$

или

$$\oint_C \mathfrak{B}\cdot d\mathbf{s} = \frac{4\pi k_0}{c^2} I_{\text{поли.}} \text{ (}\textit{закон Ампера}\text{).} \quad (18\text{-}1)$$

где $I_{\text{поли.}}$ — полный ток, охватываемый замкнутым контуром C, а $\mathfrak{B} = \mathfrak{B}_1 + \ldots + \mathfrak{B}_n$. Поскольку $I = \int \mathbf{j}\cdot d\mathbf{A}$, закон Ампера можно записать также в виде

$$\oint_C \mathfrak{B}\cdot d\mathbf{s} = \frac{4\pi k_0}{c^2}\int \mathbf{j}\cdot d\mathbf{A}, \quad (18\text{-}2)$$

где $\mathbf{j}$ — плотность тока, а S — любая поверхность, ограниченная контуром C. Заменяя величину k_0/c^2 на $\mu_0/4\pi$, мы можем записать закон Ампера следующим образом:

$$\oint \mathfrak{B}\cdot d\mathbf{s} = \mu_0 I_{\text{поли.}}.$$

Мы видим, что использование μ_0 приводит к исчезновению коэффициента 4π.

Хотя при выводе закона Ампера мы рассматривали лишь прямолинейные токи, этот закон можно вывести и для любых постоянных токов, как прямолинейных, так и криволинейных. В следующем параграфе мы применим закон Ампера к нескольким часто встречающимся конфигурациям токов.

Магнитный поток

Аналогично определению электрического потока, или числа силовых линий электрического поля $\mathbf{E}$, пересекающих поверхность S:

$$\Phi_{\mathbf{E}} = \int_S \mathbf{E}\cdot d\mathbf{A},$$

определим величину

$$\Phi_B = \oint_S \mathfrak{B} \cdot d\mathbf{A},$$

которая представляет собой магнитный поток, или число силовых линий магнитного поля $\mathfrak{B}$, пересекающих поверхность S. Тогда количественно величина магнитного поля равна числу силовых линий, проходящих через единицу площади. Из рис. 17-11 мы видели, что силовые линии магнитного поля $\mathscr{B}$ замыкаются вокруг тока. Поэтому интеграл $\oint \mathfrak{B} \cdot d\mathbf{A}$ по любой замкнутой поверхности должен быть равен нулю (внутрь поверхности входит в точности тот же поток, что и выходит из нее). Если имеется n токов, то создаваемый ими магнитный поток равен

$$\oint \mathfrak{B} \cdot d\mathbf{A} = \oint \mathfrak{B}_1 \cdot d\mathbf{A} + \ldots + \oint \mathfrak{B}_n \cdot d\mathbf{A},$$

где $\mathfrak{B}_k$ ($k = 1, 2, \ldots, n$) — магнитное поле, создаваемое k-м током. Поскольку каждый член в правой части этого равенства равен нулю, мы имеем

$$\oint \mathfrak{B} \cdot d\mathbf{A} = 0. \qquad (18\text{-}3)$$

Как и в случае закона Ампера, можно доказать, что эта формула справедлива для криволинейных токов любой конфигурации.

§ 2. Некоторые конфигурации токов

Стержень

Предположим, что в стержне радиусом R течет ток с равномерно распределенной по сечению плотностью $\mathbf{j}$. Тогда полный ток $I = j\pi R^2$. Вычислим магнитное поле как внутри, так и снаружи стержня. Выполняя интегрирование по контуру, показанному на рис. 18-3 штриховой линией, мы получаем

$$\oint \mathfrak{B} \cdot d\mathbf{s} = (4\pi k_0 / c^2) I,$$

$$\mathscr{B}(2\pi r) = (4\pi k_0/c^2) I,$$

$$\mathscr{B} = (2\pi k_0/c^2) I/r \ (r > R).$$

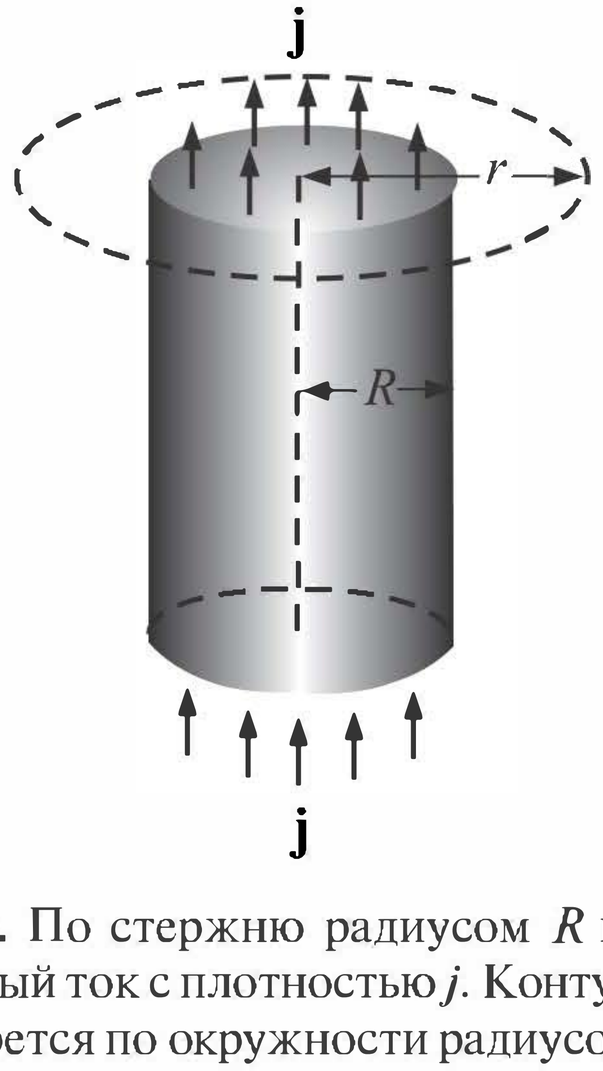


Рис. 18-3. По стержню радиусом R протекает однородный ток с плотностью j. Контурный интеграл берется по окружности радиусом r (показана штриховой линией)

Мы видим, что вне стержня магнитное поле оказывается таким, как если бы полный ток протекал по оси стержня. Если рассмотреть другой контур интегрирования, для которого $r < R$, то можно записать

$$\oint \mathfrak{B} \cdot d\mathbf{s} = \frac{4\pi k_0}{c^2} \int \mathbf{j} \cdot d\mathbf{A},$$

$$\mathscr{B}(2\pi R) = \frac{4\pi k_0}{c^2} j\left(\pi r^2\right),$$

$$\mathscr{B} = \frac{2\pi k_0}{c^2} jr = \frac{2k_0}{c^2}\frac{I}{R^2} r \quad (r < R). \qquad (18\text{-}4)$$

Таким образом, внутри стержня магнитное поле увеличивается с расстоянием от центра по линейному закону.

Следует отметить, что формулы для расчета $\mathscr{B}$ как внутри, так и снаружи

стержня по виду аналогичны соответствующим выражениям для E. Этот результат можно предвидеть, если воспользоваться формулой (17-19)

$$\mathfrak{B} = \mathbf{v} \times \mathbf{E}/c^2,$$

которая связывает магнитное поле, создаваемое движущимся заряженным телом, с электрическим полем $\mathbf{E}$. Уравнение (18-4) для магнитного поля $\mathscr{B}$ внутри стержня можно получить, если рассмотреть движущийся равномерно заряженный стержень с плотностью заряда ρ. Из табл. 16-1 следует, что электрическое поле заряженного стержня равно $E = 2\pi k_0 \rho r$. Следовательно, магнитное поле должно быть равным

$$\mathscr{B} = \frac{v}{c^2}(2\pi k_0 \rho r) = \frac{2\pi k_0}{c^2}(\rho v) r.$$

Уравнение (18-4) получается из этого выражения простой заменой ρv на j.

В табл. 18-1 приведены формулы для расчета электрического и магнитного полей, создаваемых различными заряженными телами, движущимися вдоль собственных осей. Во всех случаях заменой ρ, λ, σ соответственно на j, I, $\mathscr{I}$ и умножением на $1/c^2$ из формул для E можно получить формулы для $\mathscr{B}$. В последней колонке таблицы коэффициент k_0 заменен на равную ему величину $\mu_0 c^2/4\pi$.

Плоские токи

Плоский ток можно получить, перемещая заряженную плоскость со скоростью u вдоль ее поверхности. При этом возникает поверхностный ток $\mathscr{I} \equiv \sigma v$ А/м. На рис. 18-4 поверхностный ток течет снизу вверх, в направлении оси y. Через

Таблица 18-1

Электрические и магнитные поля, создаваемые заряженными телами, движущимися вдоль собственных осей со скоростью v

Тело	Точка в пространстве	E	$\mathscr{B}$ (с использованием k_0)	$\mathscr{B}$ (с использованием μ_0)
Стержень или проводник	Снаружи	$\frac{2k_0\lambda}{r}$	$\frac{v}{c^2}\frac{2k_0\lambda}{r} = \frac{2k_0}{c^2}\frac{I}{r}$	$\frac{\mu_0}{2\pi}\frac{I}{r}$
Стержень	Внутри	$\frac{2k_0\lambda}{R^2}r$	$\frac{v}{c^2}\frac{2k_0\lambda}{R^2}r = \frac{2k_0}{c^2}\frac{I}{R^2}r$	$\frac{\mu_0}{2\pi}\frac{I}{R^2}r$
Плоскость с $\mathscr{I} = \sigma v$	С любой стороны	$2\pi k_0 \sigma$	$\frac{v}{c^2}2\pi k_0\sigma = \frac{2\pi k_0}{c^2}\mathscr{I}$	$\frac{\mu_0}{2}\mathscr{I}$
Две плоскости с $\mathscr{I}$ и $-\mathscr{I}$	Между плоскостями	$4\pi k_0 \sigma$	$\frac{v}{c^2}4\pi k_0\sigma = \frac{4\pi k_0}{c^2}$	$\mu_0\mathscr{I}$
Пластина	На расстоянии x от середины	$4\pi k_0 \rho x$	$\frac{v}{c^2}4\pi k_0\rho x = \frac{4\pi k_0}{c^2}jx$	$\mu_0 jx$
Точечный заряд q ($v \ll c$)	На расстоянии r от заряда	$\frac{k_0 q\hat{\mathbf{r}}}{r^2}$	$\frac{\mathbf{v}}{c^2}\times\frac{k_0 q\hat{\mathbf{r}}}{r^2} = \frac{k_0}{c^2}\frac{q\mathbf{v}\times\hat{\mathbf{r}}}{r^2}$	$\frac{\mu}{4\pi}\frac{q\mathbf{v}\times\hat{\mathbf{r}}}{r^2}$

каждый метр плоскости вдоль оси x течет ток $\mathscr{J}$А.

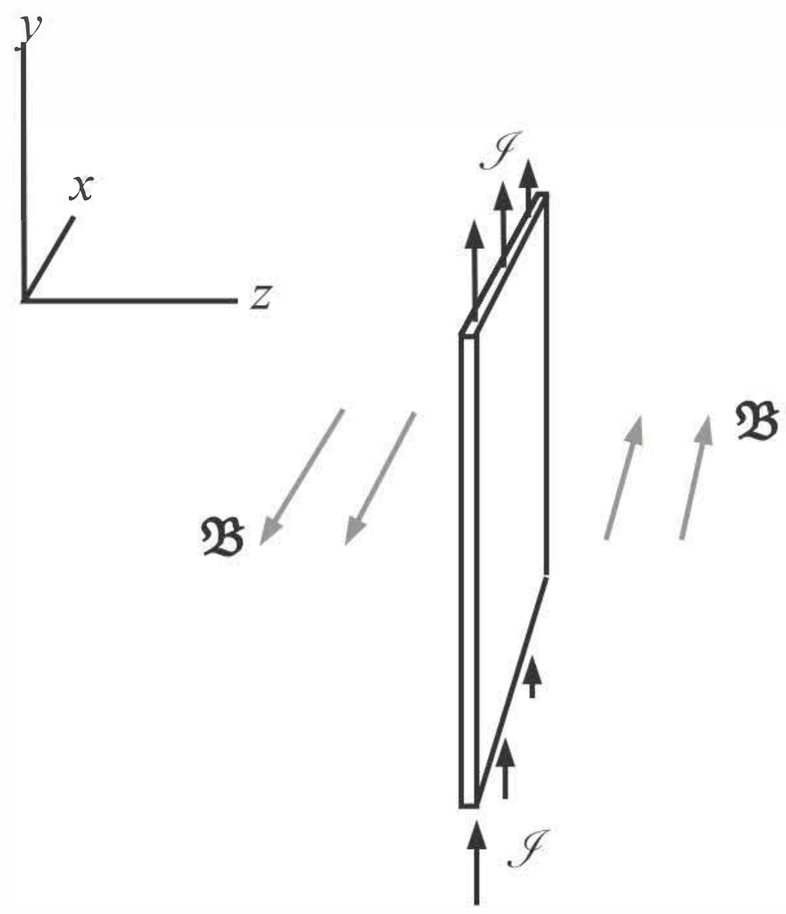


Рис. 18-4. Плоскость с поверхностным током $\mathscr{J}$, текущим снизу вверх. Силовые линии магнитного поля $\mathfrak{B}$ справа от плоскости направлены от читателя, а слева от нее — на читателя

Чтобы найти магнитное поле, воспользуемся выражением

$$\mathfrak{B} = \frac{\mathbf{v}}{c^2} \times \mathbf{E}.$$

В этом случае, как видно из табл. 18-1, мы получим

$$\mathscr{B} = \frac{2\pi k_0}{c^2} \mathscr{J} \quad (\textit{плоский ток}). \qquad (18\text{-}5)$$

Пример 1. Найдем магнитное поле внутри длинной катушки прямоугольного сечения (рис. 18-5). Длина катушки L, и на ней намотано N витков провода, по которым течет ток I.

Решение: Катушку можно представить в виде двух вертикальных и двух горизонтальных плоскостей, по которым течет поверхностный ток

$$\mathscr{J} = I\frac{N}{L} \text{ А/м}.$$

Относительно точки P, расположенной внутри катушки, стороны a и b можно рассматривать как две «бесконечные» плоскости с поверхностными токами соответственно $\mathscr{J}$ и $-\mathscr{J}$. Магнитное поле, создаваемое плоскостями a и b, в соответствии с формулой, приведенной в четвертой строке табл. 18-1, запишется в виде

$$\mathscr{B} = \frac{4\pi k_0}{c^2}\mathscr{J} = \frac{4\pi k_0}{c^2}\frac{IN}{L}.$$

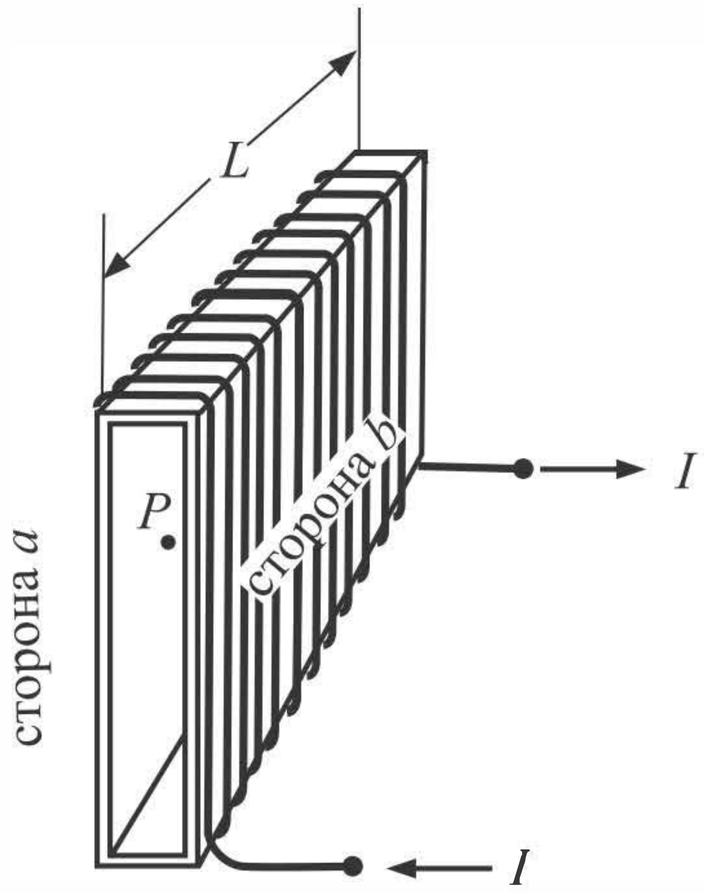


Рис. 18-5. Катушка прямоугольного сечения длиной L с N витками, в каждом из которых течет ток I

Вклад в величину магнитного поля от верхней и нижней плоскостей мал, потому что расстояние от них до точки P много больше, чем их ширина. (Оказывается, что этот вклад в точности компенсирует погрешность, допущенную при замене сторон a и b бесконечными плоскостями, поэтому приведенное выше выражение оказывается точным.) Рассмотренная катушка прямоугольного сечения представляет собой частный случай соленоида, к обсуждению которого мы переходим.

Соленоид

Формула $\mathfrak{B} = \mathbf{v} \times \mathbf{E}/c^2$, которой мы пользовались для расчета магнитного поля прямолинейного тока, неприменима, если ток течет по окружности. Примером устройства с круговым током служит соленоид. В соленоиде ток обтекает

поверхность цилиндра, как показано на рис. 18-6.

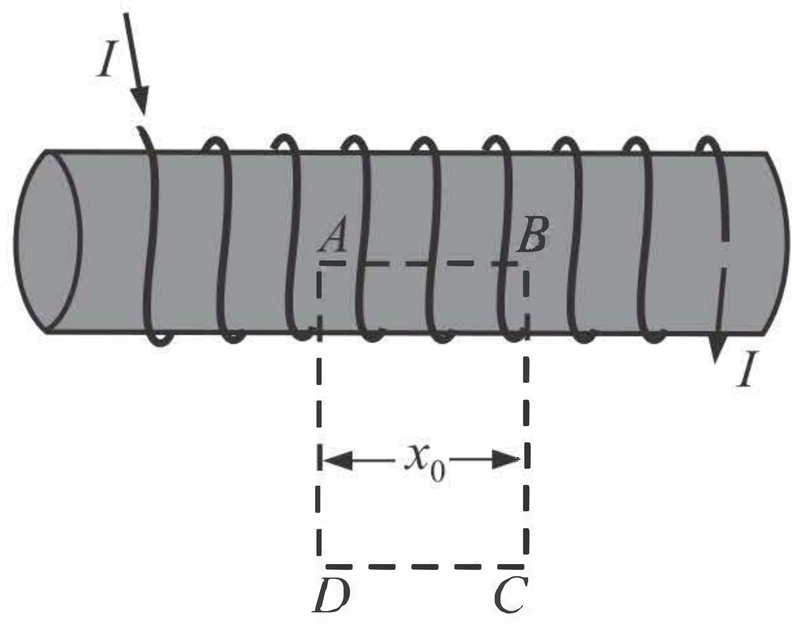


Рис. 18-6. Соленоид. Штриховой прямоугольной линией показан контур интегрирования в законе Ампера

Пусть n_t — число витков на единицу длины соленоида. При этом поверхностный ток $\mathcal{I} = n_t I$. Чтобы вычислить магнитное поле соленоида, запишем закон Ампера для прямоугольного замкнутого контура $ABCD$:

$$\oint_{ABCD} \mathfrak{B} \cdot d\mathbf{s} = \frac{4\pi k_0}{c^2} I_{\text{полн.}},$$

$$\mathfrak{B}_{\text{внутр.}} \int_{AB} d\mathbf{s} + \int_{BC} \mathfrak{B} \cdot d\mathbf{s} + \mathfrak{B}_{\text{внеш.}} \int_{CD} d\mathbf{s} + \int_{DA} \mathfrak{B} \cdot d\mathbf{s} = 4\pi \frac{k_0}{c^2} (\mathcal{I} x_0).$$

В этом выражении первый интеграл равен $\mathscr{B} x_0$, поскольку $\mathfrak{B}$ и $d\mathbf{s}$ параллельны. Второй и четвертый интегралы равны нулю в силу взаимной перпендикулярности векторов и $d\mathbf{s}$. Третий интеграл можно положить равным нулю, поскольку $\mathscr{B}_{\text{внеш.}}$ близко к нулю, о чем также свидетельствует низкая плотность силовых линий магнитного поля на рис. 18-7, *б*. (Для соленоида бесконечной длины $\mathscr{B}_{\text{внеш.}}$ было бы в точности равно нулю.) Следовательно,

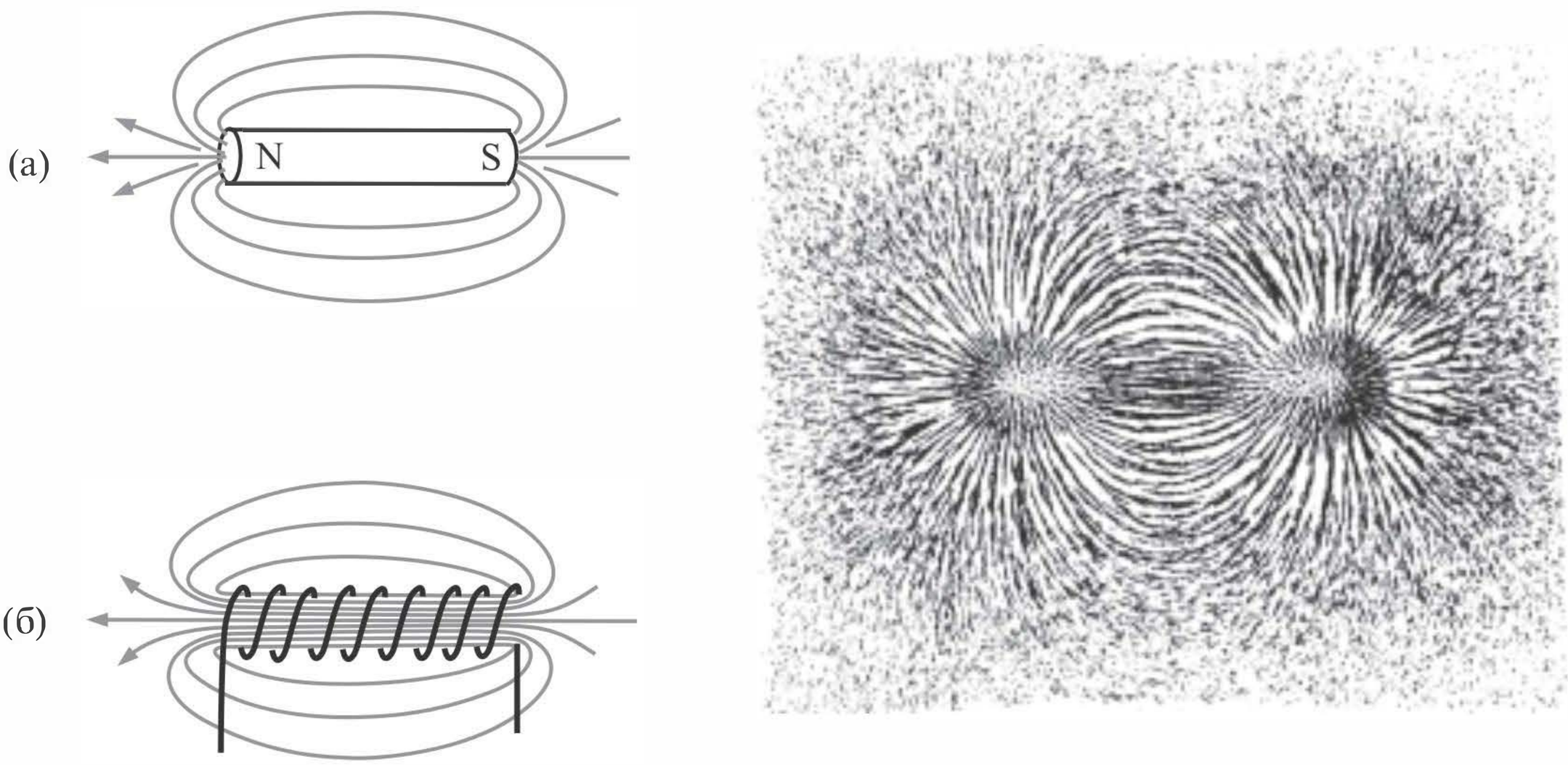


Рис. 18-7. *а* — силовые линии поля $\mathfrak{B}$ для намагниченного стержня; *б* — силовые линии поля $\mathfrak{B}$ для соленоида той же формы; *в* — магнитные силовые линии можно «видеть», рассыпав железные опилки на листе бумаги, помещенном над магнитом. Опилки стремятся вытянуться вдоль силовых линий

$$\mathscr{B}_{\text{внутр.}}(x_0)+0+0+0=\frac{4\pi k_0}{c^2}\mathscr{I}\,x_0$$

и

$$\mathscr{B}_{\text{внутр.}}=\frac{4\pi k_0}{c^2}\mathscr{I}\ (\textit{поле внутри длинного соленоида}). \qquad (18\text{-}6)$$

Подставляя сюда $\mathscr{I}=n_l I$, получаем следующее выражение:

$$\mathscr{B}=\frac{4\pi k_0}{c^2}n_l I=\frac{4\ k_0}{c^2}\frac{N}{L}I, \qquad (18\text{-}7)$$

где N — полное число витков, а L — длина соленоида. Следует заметить, что величина магнитного поля не зависит от положения точки внутри соленоида, так как отрезок AB не обязательно должен лежать на оси соленоида. Отметим также, что формула (18-7) совпадает с выражением для магнитного поля, создаваемого катушкой прямоугольного сечения, рассмотренного нами в примере 1. Поле внутри соленоида однородно и не зависит от формы витков, если длина соленоида достаточно велика.

§ 3. Закон Био–Савара

Магнитное поле $\mathscr{B}$, создаваемое каким-либо распределением токов, можно вычислить с помощью уравнения, называемого законом Био–Савара. Математически это уравнение эквивалентно закону Ампера, хотя в некоторых случаях удобнее пользоваться законом Био–Савара.

Последняя строка в табл. 18-1, по существу, содержит «вывод» закона Био–Савара. Если заряд q движется со скоростью v, причем $v \ll c$, то электрическое поле $E=k_0 q\hat{\mathbf{r}}/r^2$, а магнитное поле в соответствии с (17-1) записывается в виде

$$\mathfrak{B}=\frac{\mathbf{v}}{c^2}\times\left(\frac{k_0 q\hat{\mathbf{r}}}{r^2}\right)=\frac{k_0}{c^2}\frac{q\mathbf{v}\times\hat{\mathbf{r}}}{r^2}.$$

Если заряд q заменить на элемент движущегося заряда dq в отрезке проводника dl, то мы имеем

$$d\mathfrak{B}=\frac{k_0}{c^2}dq\frac{(d\mathbf{l}/dt)\times\hat{\mathbf{r}}}{r^2}=\frac{k_0}{c^2}\frac{dq}{dt}\frac{d\mathbf{l}\times\hat{\mathbf{r}}}{r^2},$$

$$d\mathfrak{B}=\frac{k_0}{c^2}I\frac{d\mathbf{l}\times\hat{\mathbf{r}}}{r^2}\ (\textit{закон Био–Савара}); \qquad (18\text{-}8)$$

здесь $d\mathbf{l}$ — векторная длина элемента тока. Наш «вывод» формулы (18-8) не является строгим, поскольку мы полагали, что $v \ll c$. Однако существует общий вывод, при котором формула (18-8) получается как точный результат, с учетом того, что ток всегда образует замкнутый контур и поле $\mathfrak{B}$ в каждой точке получается интегрированием выражения (18-8) по этому контуру. В реальных условиях невозможно установить вклад в $d\mathfrak{B}$ от некоторого элемента тока $Id\mathbf{l}$, поскольку этот элемент нельзя изолировать от других элементов тока.

Пример 2. Найдем магнитное поле вдоль оси кольца с током.

Решение: Из рис. 18-8 мы видим, что векторы $\hat{\mathbf{r}}$ и $d\mathbf{l}$ взаимно перпендикулярны. Поэтому в соответствии с (18-8) имеем

$$d\mathscr{B}=\frac{k_0}{c^2}I\frac{dl}{r^2}.$$

Составляющая этого магнитного поля вдоль оси кольца равна

$$d\mathscr{B}_x=\frac{k_0}{c^2}I\frac{dl}{r^2}\sin\alpha=\frac{k_0}{c^2}I\frac{R}{r^3}dl.$$

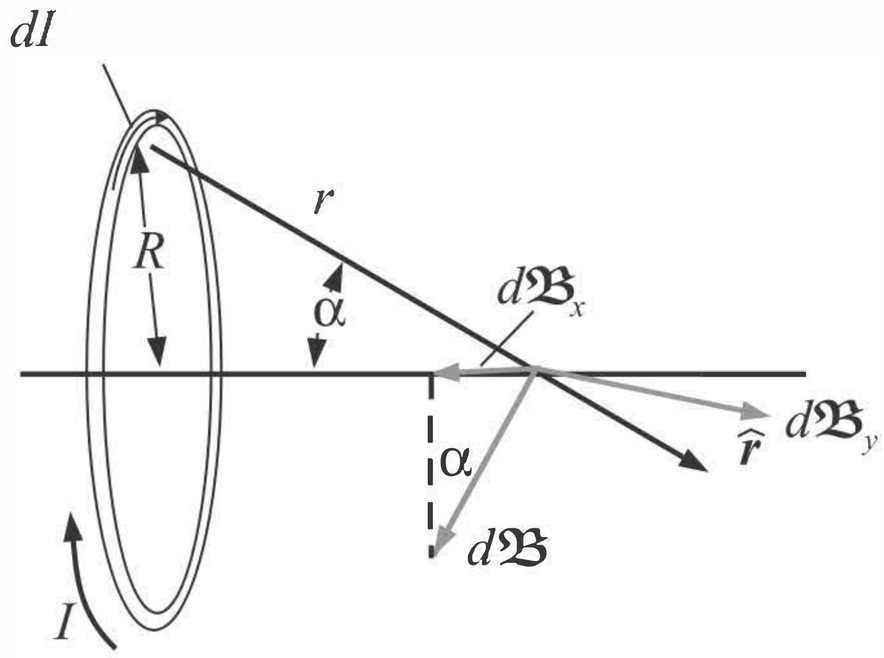


Рис. 18-8. Магнитное поле $d\mathcal{B}$, создаваемое элементом кольцевого тока $I\,dl$ радиусом R

Интегрирование по кольцу дает

$$\mathcal{B}_x = \frac{k_0}{c^2} I \frac{R}{r^3}(2\pi R) = \frac{k_0}{c^2}\frac{2I}{r^3}\pi R^2,$$

$$\mathcal{B} = \frac{k_0}{c^2}\frac{2IA}{r^3} \qquad (18\text{-}9)$$

(A — площадь кольца с током).

Мы видим, что магнитное поле обратно пропорционально кубу расстояния. Оно ведет себя аналогично полю электрического диполя, рассмотренного нами в гл. 15 в примере 2. На больших расстояниях от источника силовые линии поля E электрического диполя и силовые линии поля $\mathcal{B}$, создаваемого замкнутой петлей с током, имеют одинаковую форму. Петля с током ведет себя подобно магнитному диполю. В § 4 настоящей главы мы остановимся на этом более подробно.

Пример 3. Магнитное поле Земли представляет собой поле магнитного диполя. Предположим, что оно создается кольцевым током, текущим в плоскости экватора на расстоянии 5000 км от центра Земли. Какова величина этого тока, если вблизи магнитного полюса Земли $\mathcal{B} \sim 1$ Гс?

Решение: Разрешая (18-9) относительно I, получаем

$$I = \frac{\mathcal{B}r^3}{2A\left(k_0/c^2\right)}.$$

Расстояние от кольцевого тока до магнитного полюса равно $r = 8100$ км. Площадь $A = \pi(5\cdot10^6)^2$ м^2 и $k_0/c^2 = 10^{-7}$ Н/А^2. Подставляя эти величины в приведенную выше формулу, получаем

$$I = \frac{\left(10^{-4}\right)\left(8{,}1\cdot10^6\right)^3}{2\pi\left(5\cdot10^6\right)^2\left(10^{-7}\right)} = 3{,}38\cdot10^9 \text{ А}.$$

Таким образом, в недрах Земли в плоскости экватора должен протекать ток, превышающий миллиард ампер. У геофизиков есть объяснение возможности существования такого тока*.

Пример 4. Повторим вычисления, проведенные в примере 3, используя систему единиц СГС.

Решение: Чтобы получить правильные выражения в системе СГС, заменим $\mathcal{B}$ на B/c и положим $k_0 = 1$:

$B/c = (1/c^2)\,(2IA/r^3)$,

откуда

$I = Bcr^3/2A$.

Поскольку вблизи магнитного полюса Земли $B = 1$ Гс, а $c = 3\cdot10^{10}$ см/с, $r = 8{,}1\cdot10^8$ см и $A = \pi\,(5\cdot10^8)^2$ м^2, то

$$I = \frac{(1)\left(3\cdot10^{10}\right)\left(8{,}1\cdot10^8\right)^3}{2\pi\left(5\cdot10^8\right)^2} =$$

$$= 1{,}01\cdot10^{19} \text{ СГС}/\text{с} =$$

$$= \left(1{,}01\cdot10^{19}\right)(1/3)\cdot10^{-9} \text{ Кл}/\text{с} = 3{,}38\cdot10^9 \text{ А}.$$

* Имеется в виду общепринятая гипотеза генерации магнитного поля Земли (и других планет) конвективными движениями электропроводящего вещества в жидком ядре планеты (т. н. теория гидромагнитного динамо). — *Прим. ред.*

Продолжая разговор об элементах тока, найдем выражение для силы $d\mathbf{F}$, действующей на элемент тока $I\,d\mathbf{l}$, помещенный в магнитное поле $\mathfrak{B}$. Используя выражение (17-16), находим, что

$$d\mathbf{F} = dq\mathbf{v}\times\mathfrak{B} = dq\frac{d\mathbf{l}}{dt}\times\mathfrak{B} = \frac{dq}{dt}d\mathbf{l}\times\mathfrak{B},$$

$$d\mathbf{F} = Id\mathbf{l}\times\mathfrak{B}\ (\textit{сила, действующая на элемент тока}). \qquad (18\text{-}10)$$

Это выражение позволяет определить физический смысл единицы тока — ампера. Если в двух параллельных прямолинейных проводниках, находящихся на расстоянии 1 м друг от друга, подбирается такой (одинаковый) ток, чтобы на каждый метр длины проводника действовала сила $2\cdot10^{-7}$ Н, то в этом случае ток равен 1 А.

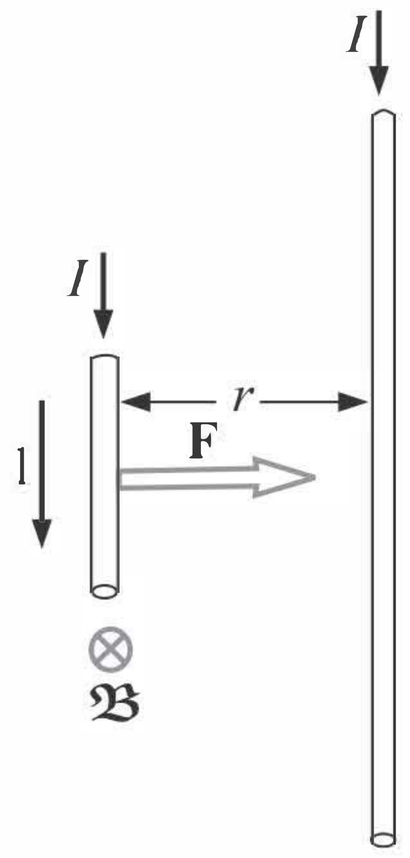


Рис. 18-9. Сила притяжения двух одинаковых параллельных токов I. Поле $\mathfrak{B}$ направлено от читателя (перпендикулярно плоскости листа)

Таким образом, если по каждому проводнику течет ток 1 ампер, то сила в точности равна $2\cdot10^{-7}$ Н/м.

Пример 5. Чему равна магнитная сила на единицу длины, возникающая между двумя параллельными токами равной величины $I = 1$ А, расположенными на расстоянии $r = 1$ м друг от друга?

Решение: Используя (18-10), можно записать

$$\mathbf{F} = I\,\mathbf{l}\times\mathfrak{B}.$$

Из рис. 18-9 мы видим, что силовые линии магнитного поля направлены за плоскость чертежа и, следовательно, перпендикулярны $\mathbf{l}$. Вектор $\mathbf{l}\times\mathfrak{B}$ направлен вправо. Подставим вместо выражение (17-13):

$$\frac{F}{l} = I\left(\frac{2k_0}{c^2}\frac{I}{r}\right) = \frac{2k_0}{c^2}\frac{I^2}{r}.$$

В случае $r = 1$ м и $I = 1$ А имеем

$$\frac{F}{l} = 2\left(10^{-7}\,\frac{\text{Н}}{\text{А}^2}\right)\frac{(1\,\text{А})^2}{1\,\text{м}} = 2\cdot10^{-7}\ \text{Н/м}.$$

Действительно, именно так и определяется ампер. Константа k_0/c^2, или $\mu_0/4\pi$, равна 10^{-7}.

Пример 6. Прямоугольная рамка на рис. 18-10 помещена в однородное магнитное поле. Чему равен момент сил, действующих на рамку?

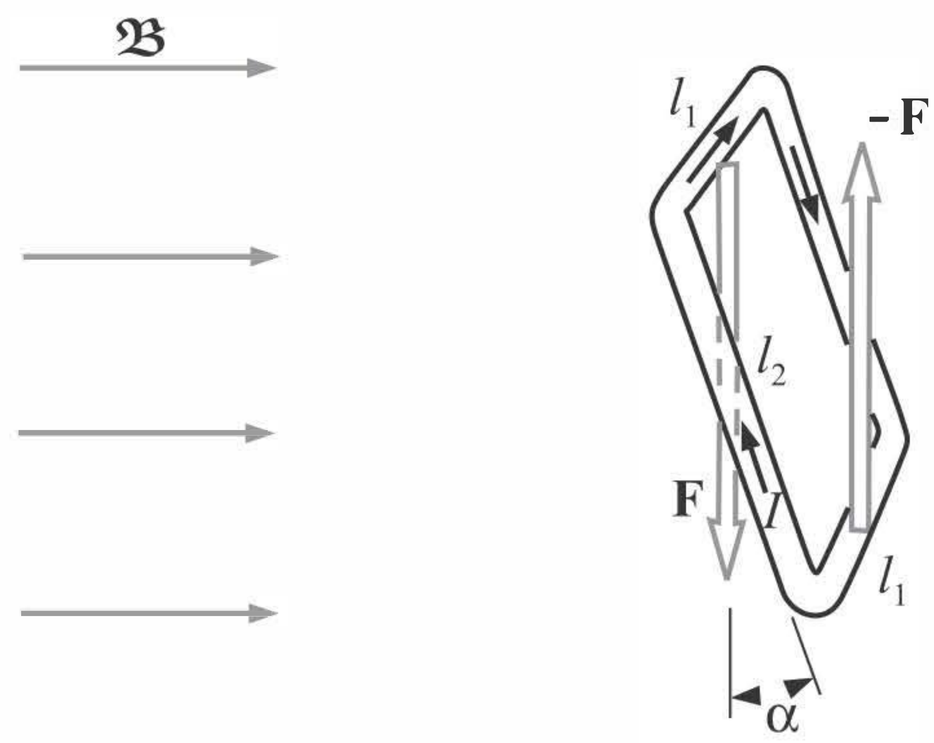


Рис. 18-10. Прямоугольная рамка площадью l_1l_2 находится в однородном магнитном поле. Показаны силы, действующие на противоположные стороны рамки длиной l_1

Решение: Рассмотрим векторное произведение $\mathbf{l}\times\mathfrak{B}$ для каждой из четырех сторон рамки. Магнитные силы, приложенные к двум противоположным сторонам длиной l_1, создают вращательный момент

$T = F(l_2 \sin \alpha)$.

Сила, действующая со стороны магнитного поля на проводник с током,

$F = Il_1\mathscr{B}$.

Следовательно,

$$T = (Il_1\mathscr{B})\,(l_2 \sin \alpha) = Il_1l_2\mathscr{B} \sin \alpha = IA\mathscr{B} \sin \alpha. \quad (18\text{-}11)$$

Силы, приложенные к двум сторонам рамки длиной l_2, действуют в противоположных направлениях вдоль одной оси и поэтому взаимно компенсируются.

§ 4. Магнетизм

Намагниченный стержень в однородном магнитном поле стремится расположиться вдоль силовых линий поля (рис. 18-11). Магнитный компас также представляет собой небольшой намагниченный стержень, который ориентируется вдоль силовых линий магнитного поля Земли. Поведение магнита можно описать, предположив, что на одном конце стержня имеется магнитный заряд q_m, а на другом конце — магнитный заряд $-q_m$. Если бы магнитный заряд существовал, то в магнитном поле на него действовала бы сила $\mathbf{F} = q_m\mathfrak{B}$, аналогичная силе, действующей на электрический заряд в электрическом поле. Хотя магнитных зарядов в природе нет (см. дискуссию ниже), их часто используют в качестве удобного математического приема для описания свойств магнитов.

На рис. 18-11 на магнит действует момент сил

$T = FL \sin \alpha$,

$$T = q_m\mathscr{B}L \sin \alpha. \quad (18\text{-}12)$$

Произведение q_mL определяется как магнитный момент μ. Таким образом,

$T = \mu\mathscr{B} \sin \alpha$.

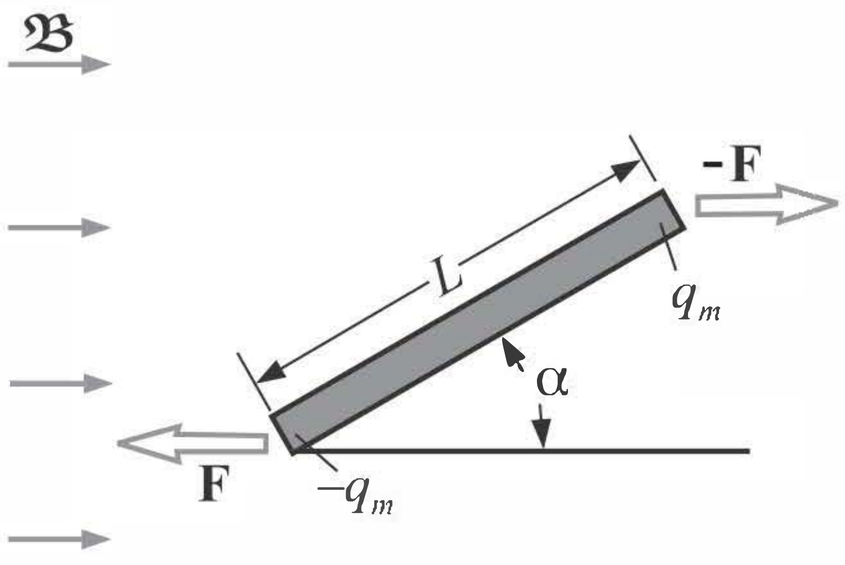


Рис. 18-11. Намагниченный образец длиной L расположен под углом α к силовым линиям внешнего магнитного поля $\mathfrak{B}$. На полюсах магнита сосредоточены магнитные заряды q_m и $-q_m$. На магнитные полюсы действуют силы $\mathbf{F}$, направленные в противоположные стороны

В векторных обозначениях имеем $\mathbf{T} = \boldsymbol{\mu} \times \mathfrak{B}$.

Следует заметить, что аналогичным образом ведет себя петля с током согласно формуле (18-11) и, как мы видели в примере 1, создает такое же магнитное поле. Приравняв правые части выражений (18-11) и (18-12), мы можем найти эффективный магнитный момент петли с током:

$\mu\mathscr{B} \sin \alpha = IA\mathscr{B} \sin \alpha$,

$$\mu = IA \ (\textit{магнитный момент петли с током}). \quad (18\text{-}13)$$

До открытия электронов и электронных токов в атомах поведение магнитов в магнитных полях объяснялось на основе гипотезы магнитных зарядов. Но если бы магнитный заряд существовал наравне с электрическим, можно было бы выделить изолированный магнитный полюс положительной или отрицательной полярности. Казалось бы, это можно сделать, отломав один из концов магнита. Однако при этом на другом конце возникает новый противоположный полюс (рис. 18-12). До сих пор изолированный магнитный полюс не удавалось обнаружить в природе. Попытки найти магнит-

ный заряд были столь интенсивными, что к настоящему времени большинство физиков уже не верит в его существование*. Все согласны с тем, что свойства магнитов объясняются замкнутыми внутриатомными токами, которые называют токами Ампера.

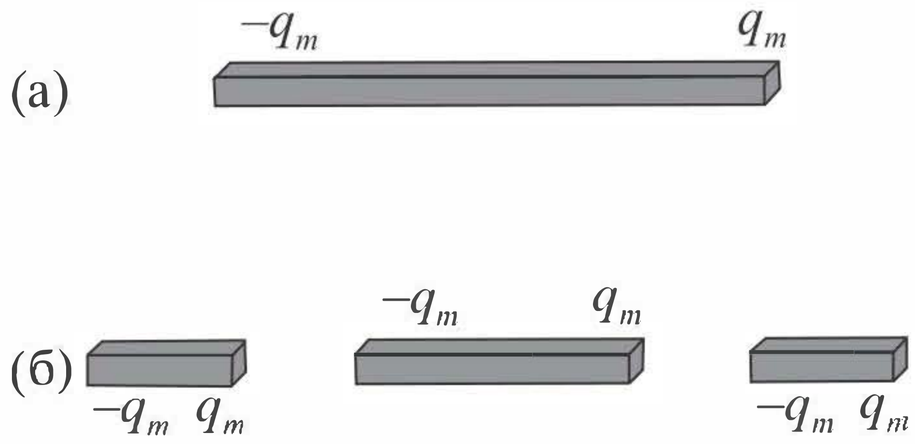


Рис. 18-12. *а* — магнит; *б* — магнит, разрезанный на три части

В действительности любой магнит представляет собой соленоид, по поверхности которого циркулирует ток Ампера $\mathscr{I}'$ (рис. 18-13). Вычислим величину тока $\mathscr{I}'$ для магнита с магнитным зарядом q_m. В примере 6 было показано, что на каждый виток соленоида действует момент сил $T_1 = I\mathscr{A}\mathscr{B}\sin\alpha$. На соленоид из N витков будет действовать момент сил $T = NI\mathscr{A}\mathscr{B}\sin\alpha$. Поскольку поверхностный ток $\mathscr{I}' = NI/L$, мы имеем $T = \mathscr{I}'L\mathscr{A}\mathscr{B}\sin\alpha$. Приравняем правые части этого выражения и (18-12):

$$q_m\mathscr{B}L\sin\alpha = \mathscr{I}'L\mathscr{A}\mathscr{B}\sin\alpha,$$

$$q_m = \mathscr{I}'A. \qquad (18\text{-}14)$$

Мы видим, что магнит, несущий магнитные заряды q_m, можно рассматривать как металлический стержень, по которому циркулирует постоянный поверхностный ток $\mathscr{I}' = q_m/A$. Формула (18-14) утверждает, что соленоид с поверхностным током $\mathscr{I}'$ ведет себя подобно магниту с зарядами $q_m = \mathscr{I}'A$.

Посмотрим, можно ли внутриатомными токами объяснить величину поля $\mathscr{B} \approx 2$ Т, которая достигается в полностью намагниченном куске железа. Если магнитный момент каждого атома μ_a, а в единице объема железа содержится атомов, то магнитный момент железного образца с площадью поперечного сечения A и длиной L равен $\mu = \mathfrak{N}AL\mu_a$ в предположении, что магнитные моменты всех атомов параллельны. Магнитный момент атома можно вычислить, и это мы сделаем в следующем пункте. По определению полный магнитный момент равен q_mL, поэтому

$$q_mL = \mathfrak{N}AL\mu_a,$$

$$q_m = \mathfrak{N}A\mu_a.$$

Заменим здесь q_m на $\mathscr{I}'A$ согласно (18-14), тогда

$$\mathscr{I}'A = \mathfrak{N}A\mu_a, \qquad (18\text{-}15)$$

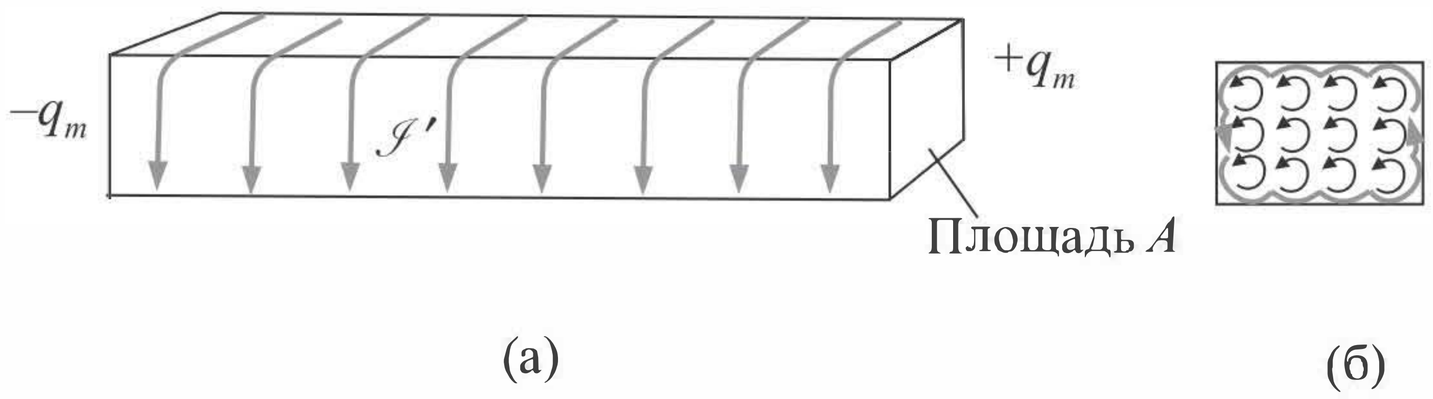


Рис. 18-13. *а* — магнит, по поверхности которого циркулируют токи Ампера; *б* — вид магнита с торца; показаны атомные токи; результирующий ток изображен цветной линией

---

* Гипотеза о существовании магнитного монополя (или магнитного заряда) была выдвинута в 1931 году английским физиком П. Дираком. Эта гипотеза не противоречит никаким физическим принципам, однако пока не получила экспериментального подтверждения. — *Прим. ред.*

откуда

$$\mathscr{I}' = \mathfrak{N}\mu_a.$$

Для железа $\mathfrak{N} = 8{,}51\cdot10^{22}$ см$^{-3}$ и $\mu_a = 1{,}86\cdot10^{-23}$ А·м^2. Подставим эти значения в последнее выражение:

$$\mathscr{I}' = (8{,}51\cdot10^{28}\ \text{м}^{-3})(1{,}86\cdot10^{-23}\ \text{А}\cdot\text{м}^2) = 1{,}58\cdot10^6\ \text{А/м}.$$

Эта величина значительно превышает ток, которого удается достичь в обычных соленоидах. Поэтому введение в соленоид железного сердечника значительно увеличивает магнитное поле. В соответствии с (18-6) найдем поле внутри соленоида (с намагниченным сердечником):

$$\mathscr{B} = \frac{4\pi k_0}{c^2}\mathscr{I}' = \frac{4\pi\left(9\cdot10^9\right)}{\left(3\cdot10^8\right)^2}\left(1{,}58\cdot10^6\right)\text{Т} = 1{,}99\ \text{Т}.$$

В случае с полностью намагниченным железом этот результат согласуется с измерениями.

Магнитный момент электрона

Если прибегнуть к квантовой механике, то нам не понадобится измерять магнитный момент атома железа μ_a, его можно вычислить из основных принципов. Опишем в общих чертах, как это делается. Предположим, что электрон движется по круговой орбите радиусом r. Создаваемый им электрический ток равен произведению заряда на частоту вращения по орбите: $I = e(v/2\pi r)$. Соответствующий магнитный момент, согласно (18-13), запишется в виде

$$\mu_e = I\left(\pi r^2\right) = \left(\frac{ev}{2\pi r}\right)\left(\pi r^2\right) = \frac{evr}{2} = \frac{e}{2m}(mvr).$$

Заметим, что mvr — это момент импульса L. Таким образом,

$$\mu_e = (e/2m)\,L. \qquad (18\text{-}16)$$

Из квантовой механики мы узнаем, что орбитальный момент импульса электрона L может принимать только дискретные значения, кратный $h/2\text{p}$, где h — постоянная Планка, $h = 6{,}63\cdot10^{-34}$ Дж·с. Поэтому минимальное (не равное нулю) значение магнитного момента в соответствии с (18-16) равно

$$\mu_e = \frac{e}{2m}\frac{h}{2\pi} = 9{,}3\cdot10^{-24}\ \text{А}\cdot\text{м}^2.$$

Полученный результат не зависит от расстояния до оси вращения. Поэтому можно ожидать, что такой же магнитный момент будет и у электрона, вращающегося вокруг собственной оси. Согласно квантовой механике, все электроны обладают собственным магнитным моментом $\mu_e = 9{,}3\cdot10^{-24}$ А·м^2. У атома железа магнитные моменты всех 26 орбитальных электронов, кроме двух, взаимно компенсируют друг друга. Поэтому магнитный момент атома железа равен $\mu_{\text{Fe}} = 2\mu_e = 1{,}86\cdot10^{-23}$ А·м^2, что согласуется с экспериментальным значением.

Остается объяснить, почему все магнитные моменты атомов железа ориентируются в одном направлении. Строгое объяснение опирается на квантовую механику и физику твердого тела, согласно которым железо, кобальт и никель (ферромагнитные материалы) состоят из макроскопических доменов размером в сотые доли миллиметра. Внутри доменов магнитные моменты всех атомов параллельны. В ненамагниченном веществе домены ориентированы хаотически. По мере намагничивания границы между доменами сдвигаются так, что число доменов, ориентация которых ближе к направлению поля, растет за счет остальных доменов.

§ 5. Уравнения Максвелла для постоянных токов

Таким образом, у нас теперь имеется четыре уравнения для $\mathfrak{B}$ и $\mathbf{E}$ в интегральной форме. Эти уравнения, как мы уже подчеркивали, можно получить с помощью закона Кулона и специальной теории относительности. В совокупности эти четыре уравнения называют уравнениями Максвелла. В табл. 18-2 мы перечислим их в следующем порядке: I) уравнение (15-7) — теорема Гаусса; II) уравнение (16-7), которое утверждает независимость разности потенциалов от пути интегрирования; III) уравнение (18-3), выражающее непрерывность силовых линий магнитного поля $\mathfrak{B}$, и IV) уравнение (18-1) — закон Ампера. Ради полноты изложения эти фундаментальные уравнения приведены как в системе МКС, так и в системе СГС. Уравнения в системе СГС получены за счет $k_0 = 1$ и замены $\mathfrak{B}$ на $\mathfrak{B}/c$. В системе МКС приведена также запись этих уравнений через ε_0 и μ_0, которая получается в результате замены k_0 на $1/4\pi\varepsilon_0$ и k_0/c^2 на $\mu_0/4\pi$. В уравнениях I и III интегралы вычисляются по замкнутым поверхностям. Левые части этих уравнений представляют собой электрический и магнитный потоки, выходящие из замкнутых поверхностей. В уравнениях II и IV интегралы берутся по замкнутым контурам.

До сих пор мы имели дело лишь с постоянными токами. Начиная со следующей главы, мы будем рассматривать более общий случай, когда ток может меняться во времени. В этом случае в правых частях уравнений II и IV появится дополнительный член.

Таблица 18-2

Уравнения Максвелла для постоянных токов

	Система единиц МКС с использованием k_0	Система единиц МКС с использованием ε_0 и μ_0 (система СИ)	Система единиц СГС
I	$\oint \mathbf{E}\cdot d\mathbf{A} = 4\pi k_0 Q_{\text{полн.}}$	$\oint \mathbf{E}\cdot d\mathbf{A} = \frac{1}{\varepsilon_0} Q_{\text{полн.}}$	$\oint \mathbf{E}\cdot d\mathbf{A} = 4\pi Q_{\text{полн.}}$
II	$\oint \mathbf{E}\cdot d\mathbf{s} = 0$	$\oint \mathbf{E}\cdot d\mathbf{s} = 0$	$\oint \mathbf{E}\cdot d\mathbf{s} = 0$
III	$\oint \mathfrak{B}\cdot d\mathbf{A} = 0$	$\oint \mathfrak{B}\cdot d\mathbf{A} = 0$	$\oint \mathfrak{B}\cdot d\mathbf{A} = 0$
IV	$\oint \mathfrak{B}\cdot d\mathbf{s} = \frac{4\pi k_0}{c^2} I_{\text{полн.}}$	$\oint \mathfrak{B}\cdot d\mathbf{s} = \mu_0 I_{\text{полн.}}$	$\oint \mathfrak{B}\cdot d\mathbf{s} = \frac{4\pi}{c} I_{\text{полн.}}$

Основные выводы

Магнитное поле, создаваемое постоянным током, можно вычислить, используя закон Ампера, который дает магнитное поле, проинтегрированное по замкнутому контуру:

$$\oint \mathfrak{B}\cdot d\mathbf{s} = 4\pi\left(k_0/c^2\right) I_{\text{полн.}},$$

где $I_{\text{полн.}}$ — ток, охватываемый этим контуром и равный $\int \mathbf{j}\cdot d\mathbf{A}$ — интегралу от плотности тока по поверхности, ограниченной данным контуром. Согласно второму основному соотношению, полный магнитный поток через любую замкнутую поверхность равен нулю:

$$\oint \mathfrak{B}\cdot d\mathbf{A} = 0.$$

В некоторых случаях для вычисления магнитного поля удобно воспользоваться законом Био–Савара:

$$d\mathfrak{B} = \frac{k_0}{c^2} I \frac{d\mathbf{l} \times \hat{\mathbf{r}}}{r^2}.$$

С помощью этих уравнений можно найти поле внутри соленоида с n_l витками на единицу длины:

$$\mathscr{B} = 4\pi(k_0/c^2) I n_l.$$

Магнитное поле, создаваемое прямолинейным током, дается выражением

$$\mathscr{B} = (2k_0/c^2)(I/r),$$

а магнитное поле плоского тока $\mathscr{I}$ записывается в виде

$$\mathscr{B} = 2\pi(k_0/c^2)\mathscr{I}.$$

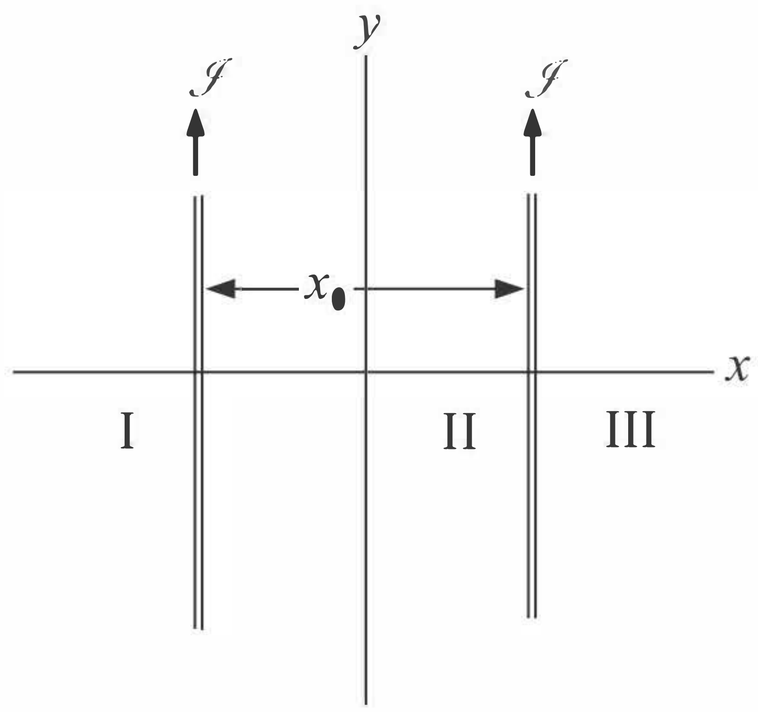
Наличие у намагниченного стержня постоянного магнитного поля объясняется замкнутыми атомными токами. Их эффект приводит к появлению поверхностного тока $\mathscr{I}'$, который циркулирует по поверхности стержня, так что магнит фактически представляет собой соленоид. При этом эффективный магнитный заряд (если бы он существовал) выражается через поверхностный ток: $q_m = \mathscr{I}' A$. Магнитный момент петли с током, охватывающей площадь A, равен $\mu = IA$. Магнитный момент электрона

$$\mu_e = \frac{e}{2m}\frac{h}{2\pi},$$

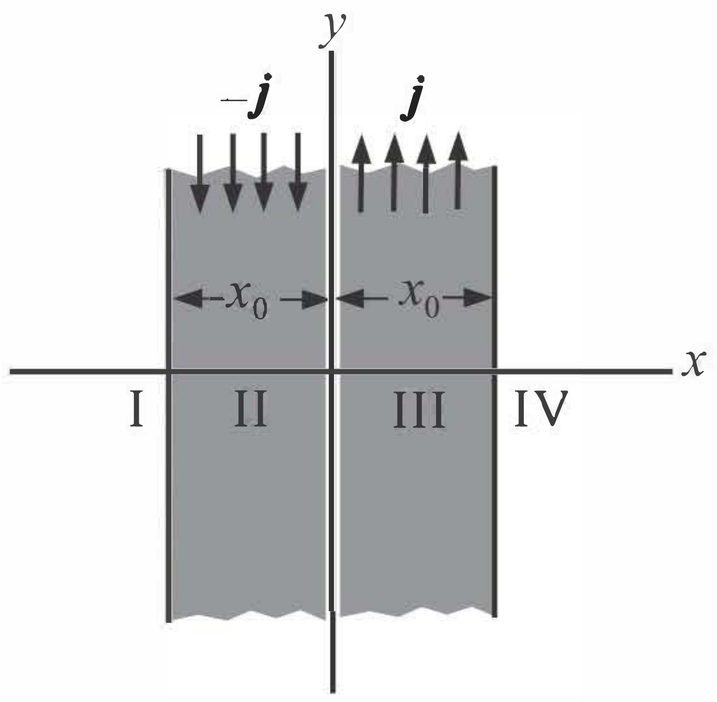
где h — постоянная Планка.

Упражнения

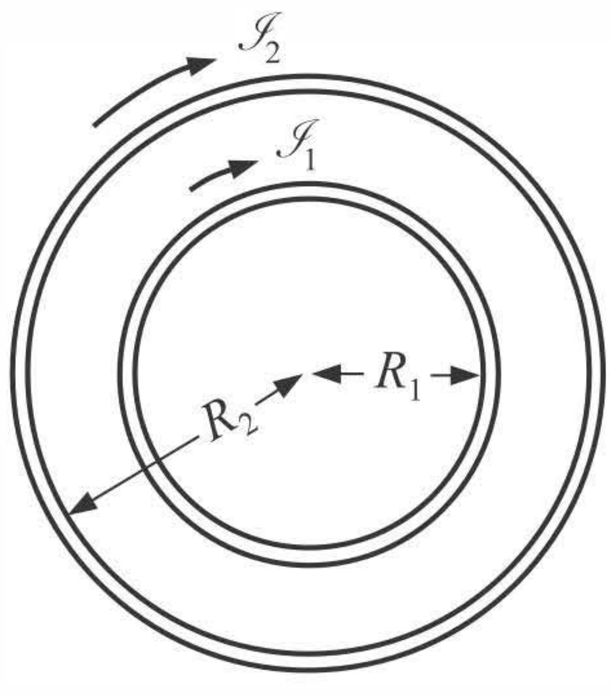
1. Рассмотрим две параллельные плоскости, по каждой из которых течет поверхностный ток $\mathscr{I}$. Каковы величина и направление магнитного поля $\mathfrak{B}$ в областях I–III (см. рисунок)?



2. Рассмотрим две соседние пластины, каждая толщиной x_0, по которым в противоположных направлениях текут токи с плотностью j. Каковы величина и направление магнитного поля $\mathfrak{B}$ в областях I–IV?



3. Рассмотрим два длинных коаксиальных соленоида, радиусы которых соответственно R_1 и R_2 и по которым текут поверхностные токи $\mathscr{I}_1$ и $\mathscr{I}_2$. Каковы величина и направление магнитного поля $\mathfrak{B}$ в областях $r < R_1$, $R_1 < r < R_2$ и $r > R_2$?



4. На соленоид длиной 1 м и диаметром 8 см намотано 500 витков.

а) Чему равно поле $\mathscr{B}$ внутри соленоида, если ток равен 5 А?
б) Сколько всего магнитных силовых линий создается этим током?

5. Вдоль оси соленоида пролетает электрон. Опишите его движение.

6. Коаксиальный кабель состоит из внутреннего и внешнего цилиндров с радиусами соответственно R_1 и R_2. Вдоль поверхностей этих цилиндров в противоположных направлениях течет ток I. Найдите магнитное поле $\mathscr{B}$ на расстоянии r от оси кабеля в случаях, когда
а) $R_1 < r < R_2$;
б) $r > R_2$.

7. В коаксиальном кабеле по внутреннему цилиндрическому проводнику диаметром 0,4 см течет ток $I_1 = 3$ А, а по внешнему цилиндрическому проводнику диаметром 3 см в противоположном направлении течет ток $I_2 = 2$ А. Чему равно поле $\mathscr{B}$
а) на расстоянии 5 см от оси;
б) внутри кабеля на расстоянии 0,5 см от оси?

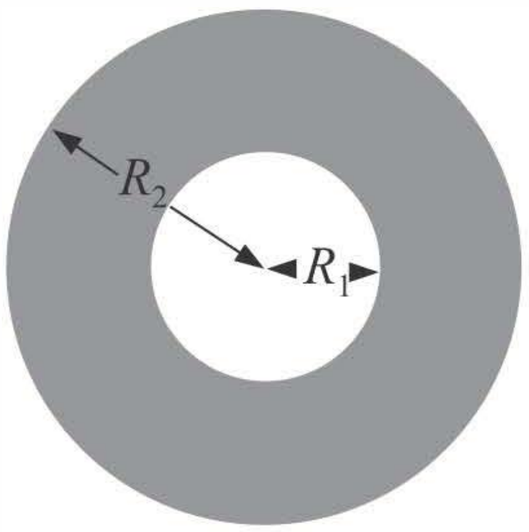
8. Предположим, что в примере 3 ток течет через площадку, площадь которой составляет 1/4 поперечного сечения Земли.
а) Чему равна плотность тока j?
б) Полагая, что ток создается электронами, движущимися со скоростью 10^{-4} м/с, найдите число электронов в 1 см^3.

9. Чему равна в динах на сантиметр сила, действующая между двумя параллельными токами, каждый из которых имеет величину 1 А? Расстояние между токами 1 см.

10. Найдите магнитное поле $\mathscr{B}$ на концах соленоида. (*Указание:* Рассмотрите еще один соленоид, приставленный к концу первого и образующий с ним единый длинный соленоид.)

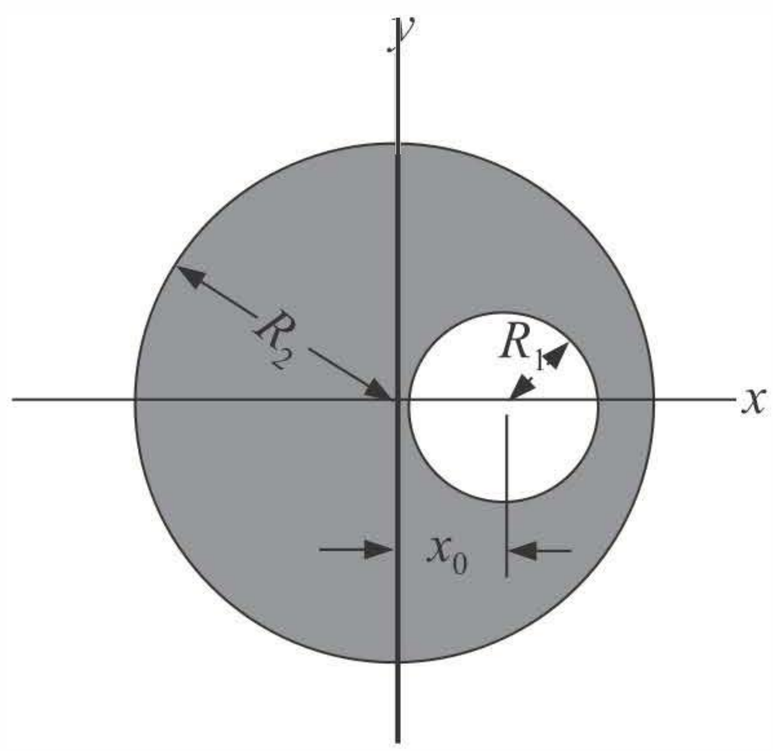
Задачи

11. Имеется полый проводящий цилиндр с внутренним радиусом R_1 и внешним R_2. Вдоль оси цилиндра через проводник течет постоянный ток I в направлении от читателя (см. рисунок). Чему равно магнитное поле $\mathscr{B}$ в областях $r < R_1$, $R_1 < r < R_2$ и $r > R_2$?



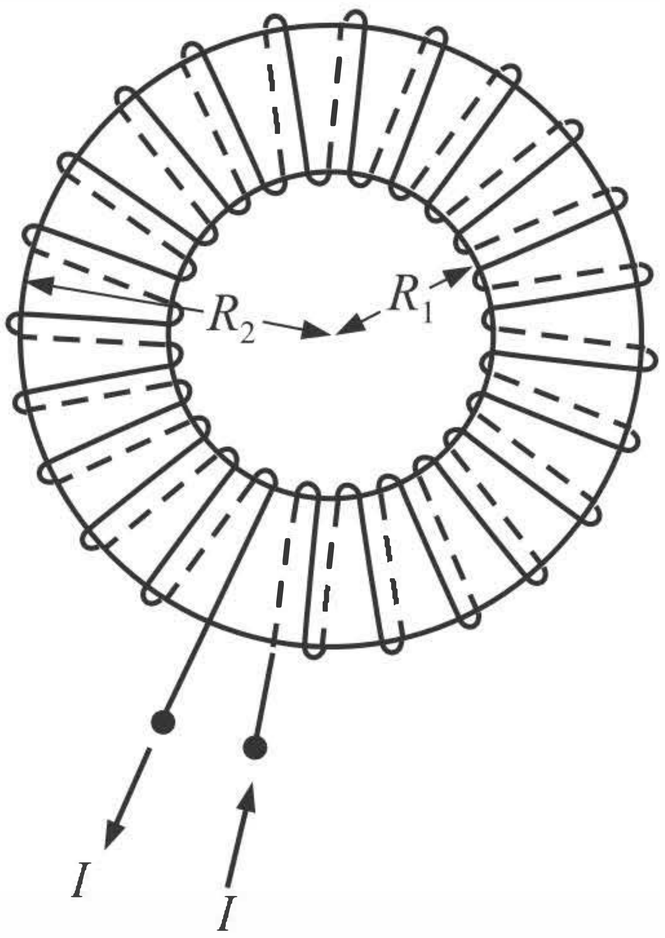
Вид с торца

12. Пусть в задаче 11 цилиндрическая полость смещена от оси на расстояние x_0. Чему равно поле $\mathscr{B}$ в любой точке на оси x? Ответ запишите через полный ток I, текущий по проводнику. (*Указание:* Решение этой задачи совпадает с решением в случае с двумя сплошными цилиндрическими проводниками радиусами R_1 и R_2, оси которых смещены на расстояние x_0 и по которым в противоположных направлениях текут токи с одинаковой плотностью.)



13. В условиях задачи 12 найдите магнитное поле $\mathscr{B}$ на оси y.

14. Выведите формулу для $\mathscr{B}$ внутри тороидального соленоида (см. рисунок). Внутренний радиус R_1, а внешний R_2. Число витков равно N.



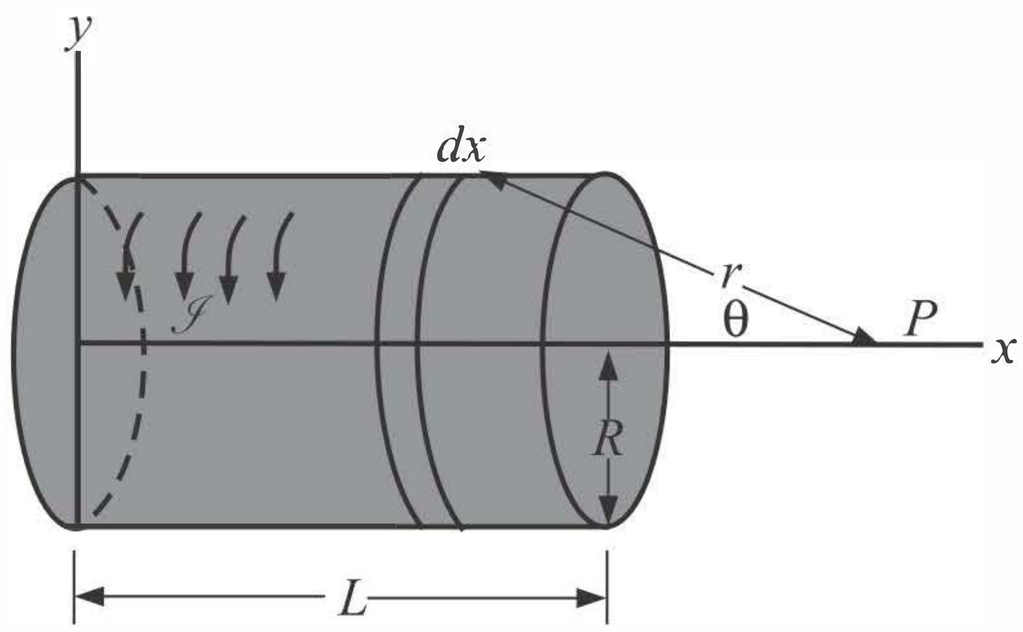
15. По соленоиду длиной L течет поверхностный ток $\mathscr{I}$. Согласно (18-9),

$$d\mathscr{B} = \frac{k_0}{c^2}\frac{2A\mathscr{I}}{r^3}dx.$$

Проинтегрируйте это выражение по dx, чтобы получить магнитное поле $\mathscr{B}$ в точке P на оси соленоида. Приведите решение к виду

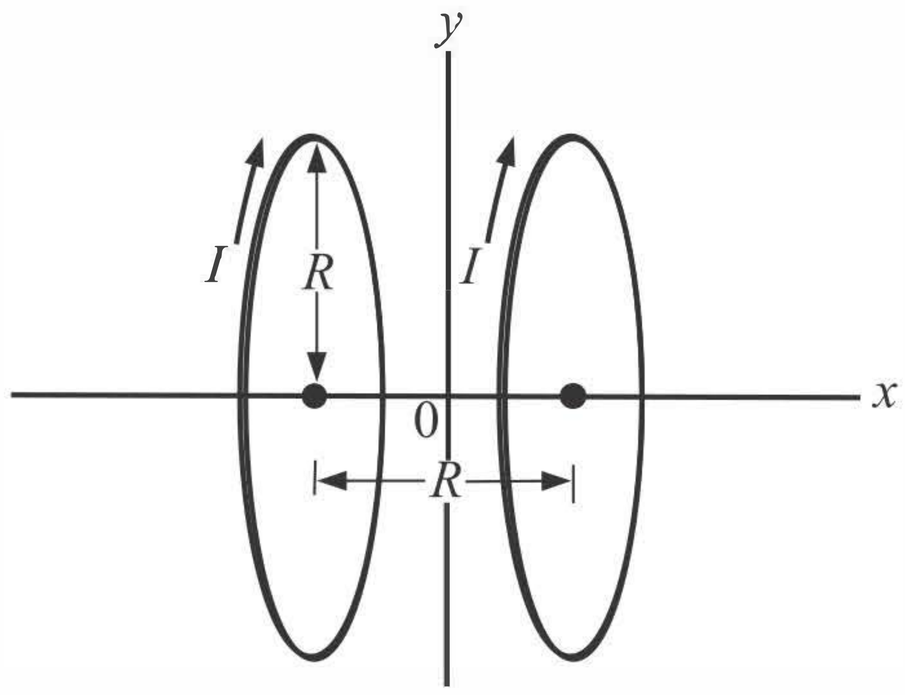
$$\mathscr{B} = \frac{2\pi k_0}{c^2}\mathscr{I}\left(\cos\theta_2 - \cos\theta_1\right),$$

где θ_1 и θ_2 — углы, под которыми из точки P видны торцы соленоида.



16. Решите задачу 15 в случае, когда точка P находится внутри соленоида.

17. По каждому из двух параллельных колец с одинаковыми радиусами R протекает ток I. Расстояние между кольцами R. Используя уравнение (18-9), найдите магнитное поле на оси x.



18. В условиях задачи 17 найдите в точке $x = 0$ магнитное поле $\mathscr{B}$ и его первые три производные по x. Обратите внимание на то, что устройство из двух колец с токами создает весьма однородное магнитное поле в центральной области между кольцами. Такое устройство называется катушками Гельмгольца.

19. По прямоугольной рамке на рис. 18-10 в направлении, противоположном указанному на рисунке, течет ток I. Момент инерции рамки I_0. Рамку отклоняют на небольшой угол α и отпускают. Какой при этом будет период колебания рамки? Ответ запишите через I_0, I, A и $\mathscr{B}$.

20. Если бы существовали свободные магнитные заряды, то теорему Гаусса для них следовало бы записать в виде

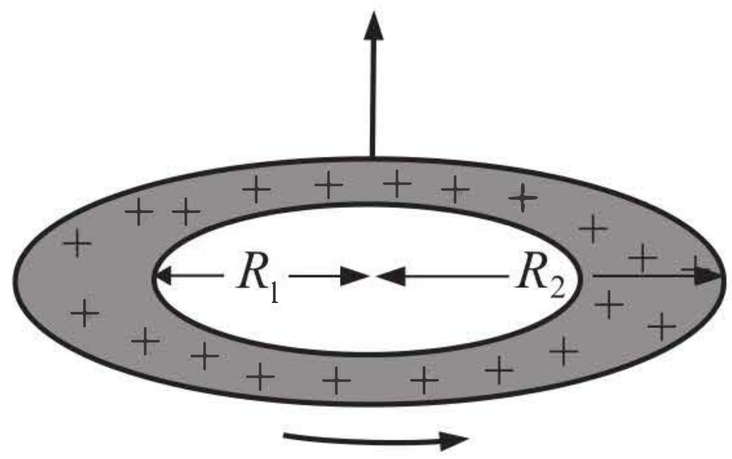
$$\int_S \mathfrak{B}\cdot\mathbf{A} = KQ_m,$$

где Q_m — магнитный заряд, находящийся внутри замкнутой поверхности S, а K — коэффициент пропорциональности. Чему равна величина K? (См. упражнение 4.)

21. Пусть металлический сплав содержит $8\cdot10^{22}$ атомов/см^3. В среднем на каждые два атома приходится магнитный момент, равный магнитному моменту одного электрона. Чему равно магнитное поле в таком намагниченном сплаве?

22. Равномерно заряженное кольцо массой M с полным зарядом Q вращается вокруг своей оси с угловой скоростью ω. Внутрен-

ний и внешний радиусы кольца соответственно R_1 и R_2.



Вычислите

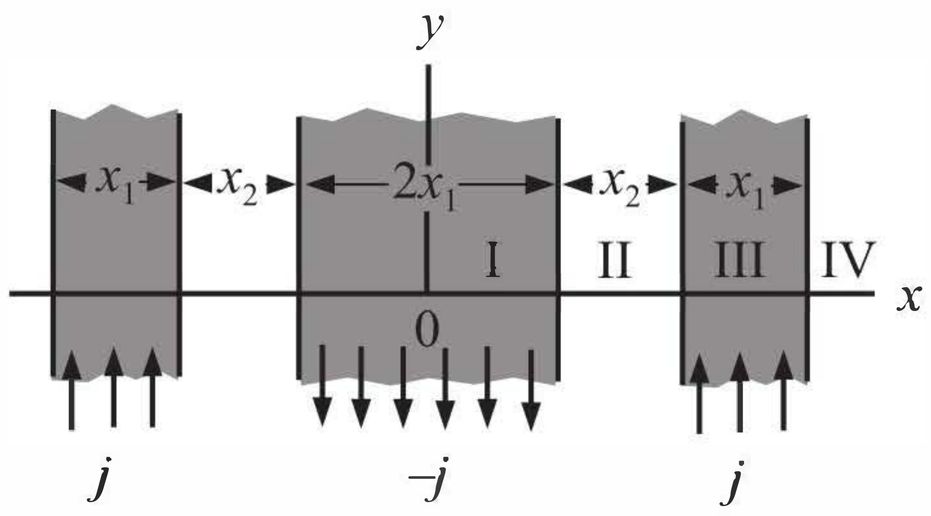
а) момент импульса L (ответ запишите через M, R_1, R_2 и ω);

б) магнитный момент μ (ответ запишите через Q, R_1, R_2 и ω);

в) отношение μ/L. Совпадает ли оно с соответствующим отношением для электрона на круговой орбите?

23. Решите задачу 22 в случае с равномерно заряженным диском радиусом R.

24. Рассмотрим три бесконечные пластины с плотностью тока j, как показано на рисунке. Каковы величина и направление магнитного поля $\mathfrak{B}$ в областях I–IV?



25. Повторите упражнение 2 для случая, когда пластины разделены зазором шириной x_1.

26. Чему равен полный магнитный поток, выходящий из магнитного заряда q_m на рис. 18-11?

19 Электромагнитная индукция

Главная тема настоящей главы — рассмотрение закона Фарадея, который записывается довольно просто: ЭДС = $= -d\Phi/dt$, где ЭДС — работа по перемещению единичного заряда вдоль замкнутого контура, а Φ — магнитный поток, пронизывающий этот контур. Мы покажем, что закон Фарадея применяется в трех различных физических ситуациях:

1. Проводящий контур движется в магнитном поле. В этом случае говорят о магнитной ЭДС.
2. Проводящий контур (иногда воображаемый) покоится, но движется источник магнитного поля. В этом случае говорят об электрической ЭДС.
3. Проводящий контур и источник магнитного поля неподвижны, но меняется во времени ток, создающий поле. В этом случае также говорят об электрической ЭДС.

В первом случае ЭДС равна $(1/q)\times$ $\times\oint \mathbf{F}_m \cdot d\mathbf{s}$ — интегралу от действующей на заряд магнитной силы, взятому по замкнутому контуру. Во втором и третьем случаях ЭДС равна $\oint \mathbf{F} \cdot d\mathbf{s}$ — интегралу от $\mathbf{E}$ по замкнутому контуру. В третьем случае меняющееся магнитное поле индуцирует связанное с ним электрическое поле.

§ 1. Двигатели и генераторы

Рисунок 19-1 иллюстрирует принцип действия электрического генератора. Прямоугольная рамка помещена в однородное магнитное поле. Если рамка вращается вокруг своей оси, то между точками P_1 и P_2 возникает разность потенциалов. Мы увидим, что это переменное напряжение, полярность которого меняется с частотой, равной частоте

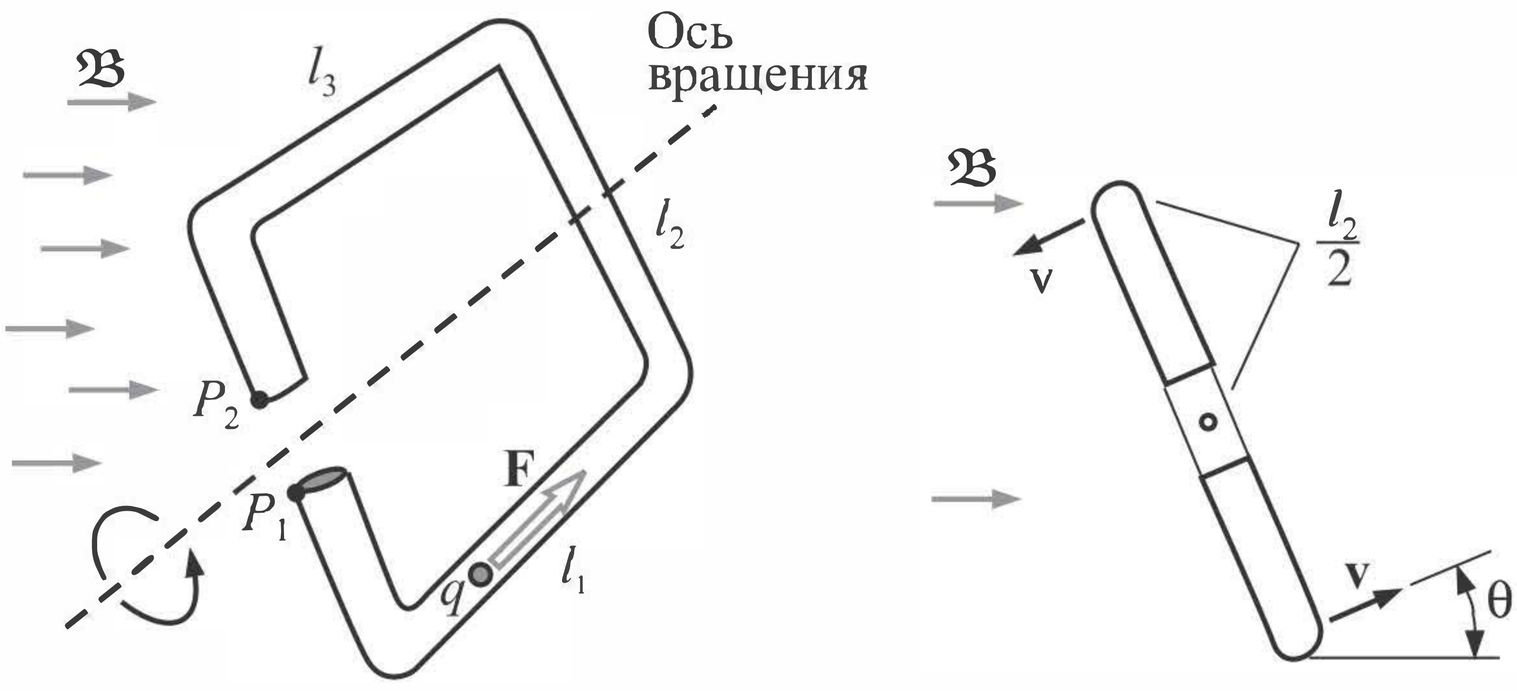


Рис. 19-1. *а* — прямоугольная рамка площадью $A = l_1 l_2$ вращается в однородном магнитном поле против часовой стрелки; на заряд q в нижнем плече рамки действует сила $\mathbf{F} = q\mathbf{v} \times \mathfrak{B}$; *б* — вид рамки сбоку

вращения рамки. Выведем соотношение, которое связывает выходное напряжение с размерами рамки, магнитным полем $\mathscr{B}$ и угловой скоростью ω.

Для этого рассмотрим силу, действующую на небольшой заряд q, расположенный в нижнем плече рамки l_1. Поскольку $E = 0$, то на заряд действует только магнитная сила $\mathbf{F}_1 = q\mathbf{v} \times \mathfrak{B}$, или

$$F_1 = q\left(\frac{\omega l_2}{2}\right)\mathscr{B}\sin\theta;$$

здесь мы записали вместо v величину $\omega l_2/2$. Работа, совершаемая при перемещении заряда q по участку l_1, записывается в виде

$$W_1 = \mathbf{F}_1 \cdot \mathbf{l}_1 = \left(q\frac{\omega l_2}{2}\mathscr{B}\sin\theta\right)l_1.$$

При перемещении заряда q по участку l_2 работа равна нулю, поскольку $\mathbf{F}$ и $\mathbf{l}_2$ взаимно перпендикулярны. При перемещении заряда q по участку l_3 мы имеем $W_3 = W_1$. Следовательно, полная работа магнитных сил при перемещении заряда q из точки P_1 в точку P_2 равна

$$W = ql_1l_2\mathscr{B}\omega \sin\theta.$$

Электродвижущая сила (ЭДС) определяется как работа, затраченная на перемещение единичного заряда из точки P_1 в точку P_2:

$$\text{ЭДС} = W/q = \mathscr{B}l_1l_2\omega \sin\theta.$$

Используя в этом выражении для обозначения площади рамки величину $A = l_1l_2$ и заменяя θ на ωt, получаем

$$\text{ЭДС} = \mathscr{B}A\omega \sin\omega t. \qquad (19\text{-}1)$$

Разумеется, электродвижущая сила не является силой в буквальном смысле. Она измеряется в джоулях на кулон или в вольтах и, следовательно, представляет собой энергию, приходящуюся на единицу заряда, которая сообщается электрону проводимости при обходе цепи (предполагается, что клеммы P_1 и P_2 подключены к внешней цепи). ЭДС — это источник напряжения, в том же смысле, что и электрическая батарея. Всякий раз, совершая обход вращающейся рамки генератора, электрон проводимости приобретает энергию, равную ЭДС. Этадополнительная энергия электронов может быть передана при столкновениях атомам внешней цепи и может выделиться в виде джоулева тепла.

Найдем теперь соотношение между ЭДС и магнитным потоком, проходящим через рамку. Запишем магнитный поток:

$$\Phi_B = \int \mathfrak{B} \cdot d\mathbf{A} = \mathscr{B}l_1l_2\cos\theta = \mathscr{B}A\cos\omega t$$

и его производную по времени:

$$d\Phi_B/dt = -\mathscr{B}A\omega \sin\omega t.$$

Используя (19-1), получаем

$$\text{ЭДС} = -d\Phi_B/dt.$$

Это соотношение представляет собой первую форму записи закона Фарадея. До сих пор мы применяли закон Фарадея к прямоугольной рамке, вращающейся в однородном постоянном магнитном поле.

Если рамка содержит n последовательно соединенных витков, то величина ЭДС будет в n раз больше. Предположим, что к клеммам рамки P_1 и P_2 подключен конденсатор. Тогда в ситуации на рис. 19-1 на контакте P_2 будут быстро накапливаться положительные заряды. Когда полный заряд достигает такой величины, что $\int_{P_1}^{P_2} \mathbf{E} \cdot d\mathbf{s}$ вдоль контура станет равен по величине и противоположен по знаку ЭДС, приток заряда прекратится. Таким образом, напряжение между P_1 и P_2 равно ЭДС.

Пример 1. Катушка размером 5×6 см^2 с 200 витками вращается со скоростью 60 об/с в магнитном поле величиной 5000 Гс (0,5 Т). Постройте график зависимости выходного напряжения от времени.

Решение: Напряжение в каждом витке вычисляется по формуле (19-1). Подставляя в нее $\mathscr{B} = 0{,}5$ Т, $A = 30\cdot10^{-4}$ м^2 и $\omega = 120\pi$ с$^{-1}$, находим

ЭДС/виток $= (0{,}5)(30\cdot10^{-4})(120\pi)\sin\omega t$ В $=$
$= 0{,}565\sin\omega t$ В.

Для катушки, содержащей 200 витков, имеем ЭДС $= 113\sin\omega t$ В.

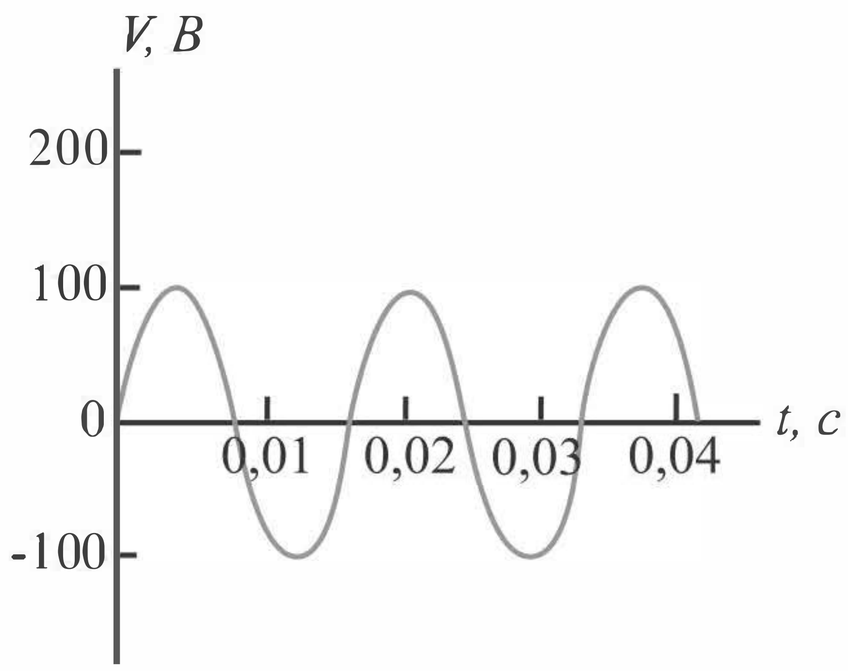


Рис. 19-2. Переменное напряжение, создаваемое генератором в примере 1

На рис. 19-2 построена зависимость напряжения от времени. Ток и напряжение, синусоидально меняющиеся во времени, называются переменными. В США* используется напряжение $V = 170\sin(120\pi t)$ В; его среднеквадратичное значение равно $\sqrt{\overline{V^2}} = 120$ В.

Электродвигатели

Если прямоугольную рамку (рис. 19-1) вращать вручную или каким-либо механическим способом, то мы получаем электрический генератор. Если же, наоборот, через рамку пропускать ток I, то на рамку будет действовать момент сил в соответствии с (18-11):

$$T = IA\mathscr{B}\sin\theta.$$

Если ток в рамке протекает от P_1 к P_2, то момент сил будет вращать рамку по часовой стрелке.

Пример 2. Пусть катушка в примере 1 вращается со скоростью 60 об/с под действием протекающего по ней переменного тока с амплитудой 2 А. Какова максимальная мгновенная мощность, потребляемая этим двигателем?

Решение: При равномерном движении мощность $P = Fv$. При движении по кругу с радиусом R имеем $P = (RF)(v/R) = T\omega$. Для катушки с n витками момент сил запишется в виде $T = nIA\mathscr{B}\sin\theta$. Таким образом,

$$P = (nIA\mathscr{B}\sin\theta)\,\omega.$$

Максимальное значение мощности равно

$$P_\text{м} = nIA\mathscr{B}\omega.$$

Подставляя в это соотношение $n = 200$, $I = 2$ А, $A = 30\cdot10^{-4}$ м^2, $\mathscr{B} = 0{,}5$ Т и $\omega = 120\pi$ с$^{-1}$, получаем

$$P_\text{м} = 226\text{ Вт} = 0{,}30\text{ л. с.}$$

Чтобы при вращении катушки в примерах 1 и 2 не происходило перекручивания проводов, клеммы P_1 и P_2 следует соединить с контактными кольцами.

§ 2. Закон Фарадея

Мы рассмотрели закон Фарадея в частном случае, когда прямоугольная катушка вращается в однородном магнитном поле. В приложении мы покажем, что в катушке произвольной формы, движущейся в неоднородном магнитном

* В России в быту обычно используется переменное напряжение с частотой $f = \omega/2\pi = 50$ Гц и значением $\sqrt{\overline{V^2}} = 220$ В, так что $V(t) = 310\sin(50\pi t)$. — *Прим. ред.*

поле, индуцированная ЭДС также равна $-d\Phi_B/dt$.

В этом приложении показано, что в случае с катушкой, движущейся в неоднородном магнитном поле, работа, совершаемая при перемещении единичного заряда по цепи, записывается в виде

$$\text{ЭДС} = -d\Phi_B/dt. \qquad (19\text{-}2)$$

Если катушка неподвижна, то магнитная сила отсутствует, поскольку $v = 0$. Однако если источник магнитного поля движется, то в области, где находится катушка, возникает электрическое поле, которое описывается уравнением

$$\oint \mathbf{E}\cdot d\mathbf{s} = -\frac{d\Phi_B}{dt} \text{ (}\textit{закон Фарадея}\text{)}. \qquad (19\text{-}3)$$

Эту формулу можно непосредственно получить из (19-2), применив принцип относительности к катушке и источнику магнитного поля. Ясно, что ЭДС может зависеть только от относительной скорости катушки и источника магнитного поля. Поэтому наблюдатель, неподвижный относительно катушки, должен зафиксировать ту же силу, действующую на заряд q, что и наблюдатель, движущийся вместе с источником магнитного поля. Для неподвижного наблюдателя сила, действующая на единичный заряд, по определению представляет собой электрическое поле. Этот результат математически согласуется с выражением (17-20), в соответствии с которым $\mathbf{E} = -\mathbf{v}\times\mathfrak{B}$, где $\mathbf{v}$ — скорость движущегося источника.

Таким образом, если катушка движется в магнитном поле, то электрическая ЭДС не возникает, но магнитная сила индуцирует ЭДС, равную $-d\Phi_B/dt$. Этот случай иллюстрируется рис. 19-3, *а*.

Однако если катушка покоится относительно наблюдателя, а источник магнитного поля движется, то появляется электрическое поле, которое можно вычислить с помощью (19-3). Этот случай приведен на рис. 19-3, *б*. Согласно принципу относительности, показания обоих приборов должны быть одинаковыми. Изменение магнитного поля в катушке B создает силу, действующую на электроны проводимости, что приводит к отклонению стрелки прибора. Эта сила, приходящаяся на единицу заряда, представляет собой по определению электрическое поле.

Рассмотрим теперь случай на рис. 19-3, *в*, когда обе катушки неподвижны. Магнитный поток в катушке B можно, например, уменьшить по тому же закону, что и в случае с рис. 19-3, *б*,

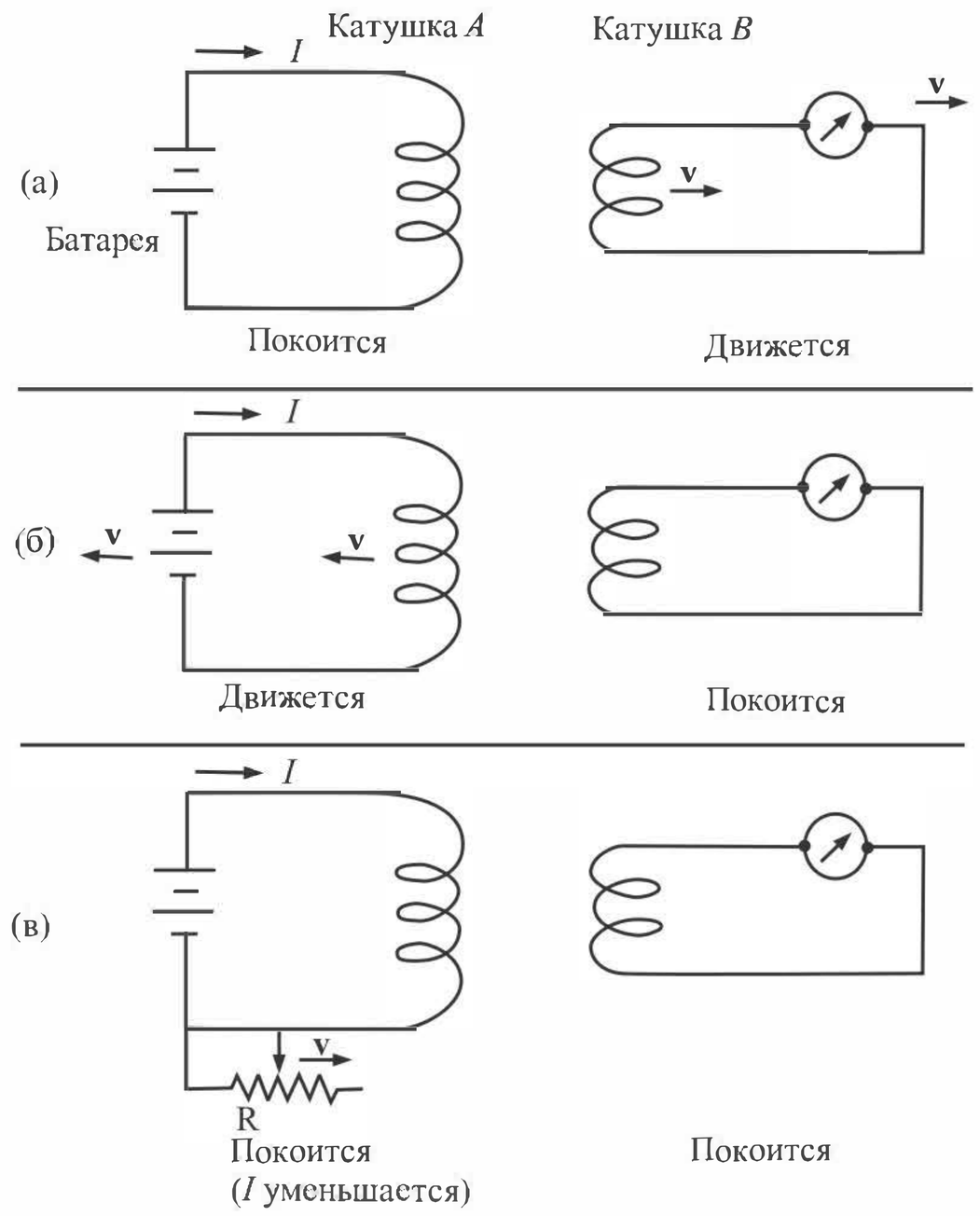


Рис. 19-3. *а* — катушка B движется в магнитном поле, создаваемом катушкой A; прибор показывает ЭДС индукции; *б* — катушка A движется, а катушка B покоится. Скорость относительного движения катушек прежняя, и прибор показывает ту же ЭДС индукции; *в* — сопротивление R увеличивается таким образом, чтобы изменение магнитного потока через катушку B совпадало со случаями *а* и *б*

увеличивая надлежащим образом сопротивление R. В обоих случаях магнитное поле и его производная по времени в катушке В будут одинаковыми. Рассматривая случай (*б*), мы приходим к выводу, что изменение магнитного поля создает силу, действующую на электроны проводимости. Поскольку в этом случае изменение магнитного поля в точности совпадает со случаем (*в*), то оно должно приводить к появлению такой же силы, действующей на заряды в катушке В. Таким образом, показания приборов в случаях (*б*) и (*в*) должны совпадать. В противном случае одинаковые условия в катушке В приводили бы к неоднозначным результатам. Первоначально задача нахождения полей E и $\mathscr{B}$ была связана с необходимостью вычисления сил, действующих на заряженные частицы. Если такой подход оправдан, то конкретные значения $\mathbf{E}$, $\mathfrak{B}$ и их производных явятся источником определенных сил, действующих на заряженные частицы. При этом изменения, происходящие с «удаленным» источником магнитного поля $\mathscr{B}$, не могут повлиять на обстановку в данной точке. Таким образом, мы вынуждены заключить, что уравнение

$$\oint \mathbf{E} \cdot d\mathbf{s} = -\frac{d\Phi_B}{dt}$$

применимо к случаю (*в*) аналогично случаю (*б*).

Мы только что показали, что формула (19-3) (закон Фарадея) применима также в случае с неподвижными контурами. Изменение тока в одном контуре индуцирует ЭДС в другом. В действительности наличие второго контура вовсе не обязательно. Электрическое поле создается вне зависимости от того, есть контур или его нет. Уравнение

$$\oint \mathbf{E} \cdot d\mathbf{s} = -\frac{d\Phi_B}{dt}$$

носит общий характер и справедливо для любого воображаемого замкнутого контура в пространстве. Его можно переписать в виде

$$\oint_C \mathbf{E} \cdot d\mathbf{s} = -\frac{d}{dt}\left(\int_S \mathfrak{B} \cdot d\mathbf{A} \right),$$

или

$$\oint_C \mathbf{E} \cdot d\mathbf{s} = -\int_S \frac{\partial \mathfrak{B}}{dt} \cdot d\mathbf{A}, \qquad (19\text{-}4)$$

где S — любая поверхность, ограниченная контуром C. Поскольку границы интегрирования по $d\mathbf{A}$ не меняются во времени, мы перешли к $\partial\mathfrak{B}/dt$ под знаком интеграла.

§ 3. Закон Ленца

Чтобы выяснить смысл знака «минус» в уравнении (19-4), в поверхностном интеграле важно установить правильное направление $d\mathbf{A}$. Это делается с помощью правила правой руки, как показано на рис. 19-4. Нужно согнуть пальцы правой руки по контуру интегрирования, т. е. в направлении $d\mathbf{s}$. Тогда отогнутый большой палец укажет положительное направление нормали к замкнутой поверхности S. Из уравнения (19-4) и рис. 19-4 следует, что если поток возрастает в направлении $d\mathbf{A}$, то индуцированная ЭДС будет отрицательна. Обусловленный ею ток течет в направлении, противоположном направлению $d\mathbf{s}$ на рис. 19-4. Этот ток создает собственный магнитный поток, направленный навстречу возрастающему внешнему потоку. **Утверждение, что индуцируемый ток создает магнитный поток, который противоположен изменению исходного магнитного потока, называется законом Ленца.**

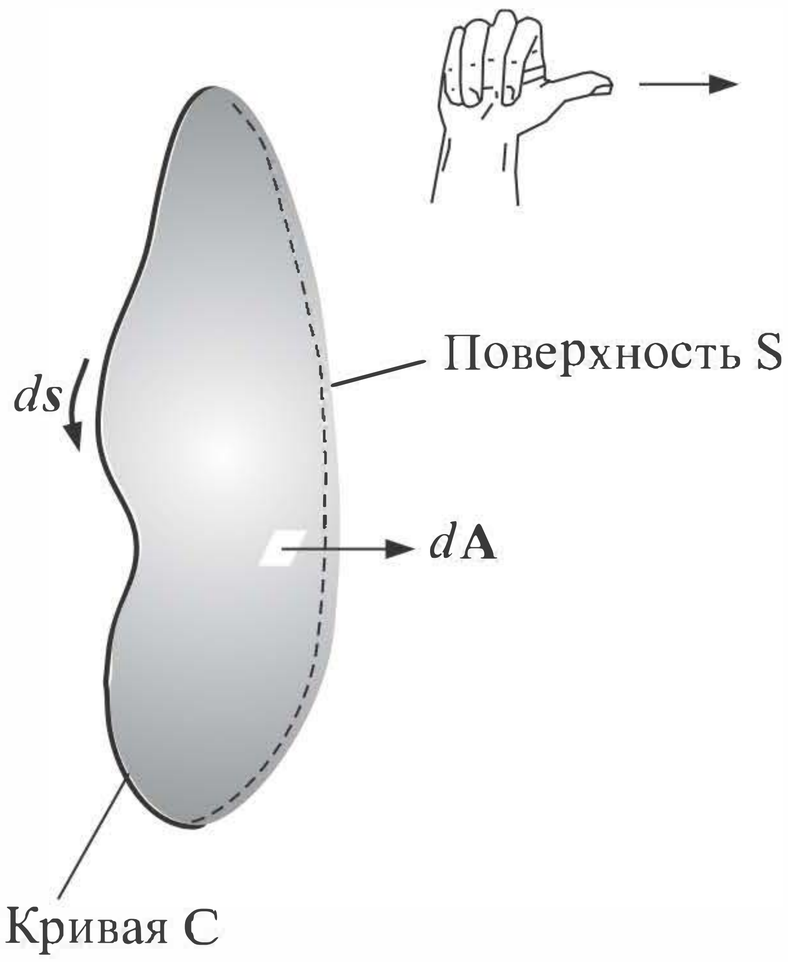


Рис. 19-4. Определение положительного направления поверхности *S* с помощью правила правой руки

Наглядной иллюстрацией закона Ленца может служить поведение замкнутого сверхпроводящего кольца. Как бы ни менялось внешнее магнитное поле, ток через сверхпроводящее кольцо остается постоянным. (Если предположить, что полный поток через сверхпроводящее кольцо меняется, то возникла бы отличная от нуля ЭДС или бесконечно большой ток, что невозможно.) Если сверхпроводящее кольцо поднести к магниту, то в кольце индуцируется ток конечной величины, магнитный поток которого в точности компенсирует поток от магнита (рис. 19-5). Кроме того, на каждый элемент кольца будет действовать сила $Id\mathbf{l}\times\mathfrak{B}$, отталкивающая его от магнита. Эта сила может превзойти вес кольца. Действительно, кольцо из хорошего проводника, помещенное над полюсом магнита, будет на высоте «парúть» над ним в течение нескольких мгновений. Еще одно проявление закона Ленца можно наблюдать, поместив намагниченный стержень над сверхпроводящей чашей. Магнит будет «парúть» над ней. В ряде стран (США, Германия, Япония) реализованы проекты сверхскоростных поездов, в которых сверхпроводящие катушки заставят поезд парить над специальным ложем или полотном дороги. [Подобная магнитная «подвеска» (на высоте около 30 см) в сочетании с линейным электродвигателем позволяет достигать скорости поезда (соответствующей аэродинамически обтекаемой формы) до 500 км/ч. — *Прим. ред.*]

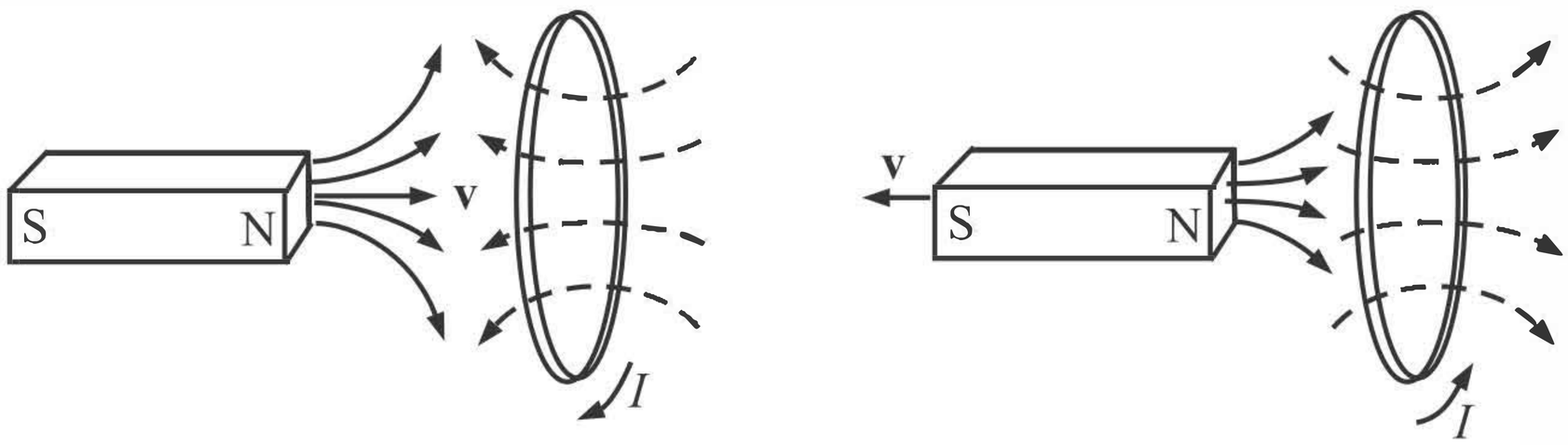


Рис. 19-5. *а* — постоянный магнит движется вправо, увеличивая магнитный поток через замкнутую проволочную петлю; ток индукции *I* создает поле, направленное противоположно первоначальному магнитному потоку (силовые линии поля $\mathscr{B}$ тока индукции показаны штриховыми линиями); *б* — неподвижный вначале магнит начинает двигаться влево, что приводит к уменьшению магнитного потока через петлю; ток индукции *I* создает поле $\mathscr{B}$ (штриховые линии), препятствующее изменению первичного магнитного потока, иными словами, это поле стремится сохранить первоначальную величину магнитного потока; в случае с (*а*) сила, действующая на петлю, направлена вправо, а в случае с (*б*) — влево

Необязательно иметь дело со сверхпроводником. Согласно закону Ленца, любой проводник при внесении его в магнитное поле будет испытывать противодействие. Индуцированные в этом случае токи называют вихревыми.

§ 4. Индуктивность

Трансформаторы

Если на общий сердечник намотаны две катушки, то изменение тока в одной из них будет индуцировать в другой катушке ЭДС, величину которой можно вычислить по закону Фарадея. Такое устройство называется трансформатором. В большинстве трансформаторов первичная и вторичная обмотки наматываются одна поверх другой, так что они охватывают одно и то же число магнитных силовых линий (рис. 19-6).

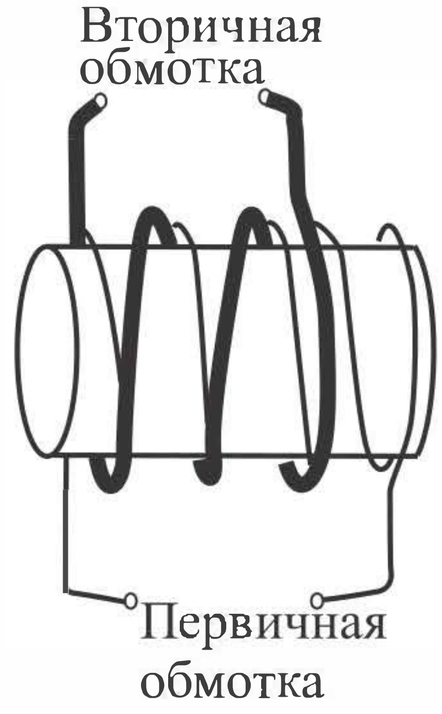


Рис. 19-6. Трансформатор

Таким образом, величина $d\Phi_B/dt$ одинакова для обеих обмоток. Пусть число витков первичной обмотки n_1, а вторичной n_2. Тогда в соответствии с (19-3) ЭДС, или индуцированное напряжение во вторичной обмотке, запишется в виде

$$V_2 = -n_2 \frac{d\Phi_B}{dt}.$$

Аналогично ЭДС в первичной обмотке

$$V_1 = -n_1 \frac{d\Phi_B}{dt}.$$

Отношение этих напряжений

$$V_2/V_1 = n_2/n_1.$$

Когда к первичной обмотке приложено переменное напряжение $V_{\text{пер.}}$, ток в ней возрастает до тех пор, пока $n_1 d\Phi_B/dt$ не достигнет значения $V_{\text{пер.}}$. Следовательно, $V_{\text{пер.}} \approx V_1$.

Мы видим, что если к первичной обмотке приложено переменное напряжение, то напряжение, индуцированное во вторичной обмотке, можно менять, выбирая соответствующее отношение числа витков. Это удобный способ преобразования (трансформации) низких напряжений в высокие или наоборот. Он обеспечивает одно из преимуществ использования переменного тока по сравнению с постоянным. Это преимущество имеет большое значение при производстве и передаче электроэнергии на расстояние. Наиболее экономичные генераторы вырабатывают сравнительно низкое переменное напряжение. В примере 3 мы покажем, что для того, чтобы уменьшить потери энергии в линиях электропередачи на большие расстояния, необходимо использовать высокие напряжения. Трансформатор позволяет повышать напряжение с незначительной потерей мощности. На противоположном конце линии с целью понижения напряжения до безопасного и более удобного уровня нужно использовать другой трансформатор.

Чтобы показать, для чего требуются высокие напряжения, рассмотрим частный случай передачи электрической мощности 10 МВт по линии с сопротивлением 10 Ом.

Пример 3. Вычислим потери при передаче мощности 10 МВт в линии электропередачи сопротивлением 10 Ом. Рассмотрим два случая, когда генератор вырабатывает напряжение а) $1{,}4 \cdot 10^4$ В и б) 10^5 В.

Решение: $P = IV$, поэтому ток в линии $I = P/V$. Потери мощности в линии электропередачи

$$P_{\text{потери}} = I^2R = (P/V)^2\,R = RP^2/V^2 = \\ = (10)\,(10^7)^2/V^2 = (10^{15})/V^2.$$

Мы видим, что потери мощности обратно пропорциональны квадрату выходного напряжения. Таким образом,

а) $P_{\text{потери}} = 10^{15}/(1{,}4 \cdot 10^4)^2$ Вт $= 5$ МВт,

т. е. в этом случае теряется половина исходной мощности,

б) $P_{\text{потери}} = 10^{15}/(10^5)^2$ Вт $= 10^5$ Вт,

т. е. в этом случае теряется 1 % исходной мощности.

Ясно, что в нашем случае для передачи электрической мощности следует использовать напряжение, превышающее ~ 20 кВ.

Самоиндукция

Если ток в обмотке катушки или соленоида меняется, то меняется и магнитный поток, пронизывающий каждый виток. Согласно закону Фарадея, в каждом витке обмотки индуцируется ЭДС:

$$\text{ЭДС/виток} = -d\Phi/dt,$$

где $d\Phi/dt$ — скорость изменения магнитного потока через виток. Эта ЭДС называется ЭДС самоиндукции. Если один и тот же магнитный поток пронизывает все N витков, то полная ЭДС самоиндукции

$$\text{ЭДС} = -N\,(d\Phi\,/dt).$$

Величина $N\Phi$ представляет собой полный магнитный поток, охватываемый обмоткой катушки, и называется полным потоком самоиндукции. Поток самоиндукции должен быть пропорционален току в катушке:

$$N\Phi = LI.$$

Отсюда находим величину L:

$$L \equiv N\Phi/I \ (\textit{определение индуктивности}). \qquad (19\text{-}5)$$

Величина L называется индуктивностью. Дифференцируя выражение (19-5), можно получить другое эквивалентное определение индуктивности L:

$$N\frac{d\Phi}{dt} = L\frac{dI}{dt}.$$

Следовательно,

$$\text{ЭДС} = -L\frac{dI}{dt} \ (\textit{ЭДС самоиндукции}). \qquad (19\text{-}6)$$

Отсюда мы видим, что индуктивность L имеет размерность вольт-секунда на ампер или ом-секунда. В системе СИ ей присвоено специальное наименование *генри* (Гн).

В качестве примера вычислим индуктивность соленоида длиной x_0, имеющего N витков (рис. 19-7).

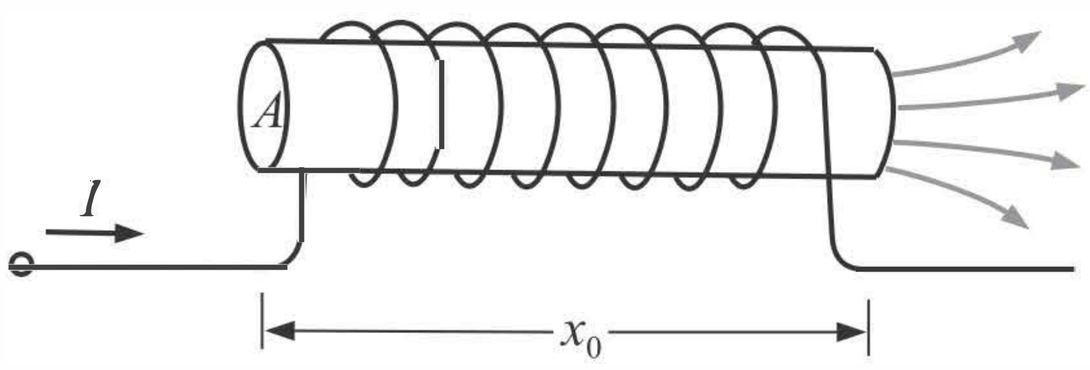


Рис. 19-7. Магнитный поток Φ_1, создаваемый в соленоиде длиной x_0, когда по нему течет ток I

Из (19-5) имеем

$L = N\Phi_1/I.$

Поток через любой виток

$\Phi_1 = \mathscr{B}A,$

где $\mathscr{B}$ дается выражением (18-7):

$$\mathscr{B} = \frac{4\pi k_0}{c^2}\frac{NI}{x_0}.$$

Таким образом,

$$\Phi_1 = \frac{4\pi k_0 NA}{c^2 x_0} I.$$

Умножая эту величину на N/I, находим индуктивность L:

$$L = \frac{4\pi k_0 N^2 A}{c^2 x_0} \quad (\textit{индуктивность соленоида}). \tag{19-7}$$

Пример 4. Сверхпроводящий соленоид длиной 10 см и площадью сечения сердечника $A = 2{,}0$ см^2 имеет 1000 витков и подключен к батарее с напряжением 12 В (рис. 19-8). Чему равен ток спустя 0,01 с после замыкания ключа?

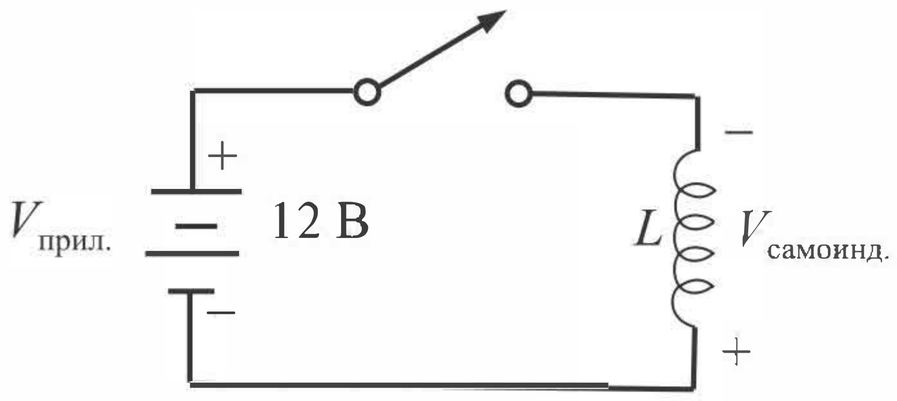


Рис. 19-8. Ключ замыкается при $t = 0$

Решение: Вычислим индуктивность по формуле (19-7):

$$L = 4\pi\left(\frac{k_0}{c^2}\right)\frac{N^2 A}{x_0} =$$

$$= 4\pi\left(10^{-7}\right)\frac{(1000)^2\left(2{,}0\cdot 10^{-4}\right)}{0{,}1}\ \text{Гн} =$$

$$= 2{,}51\cdot 10^{-3}\ \text{Гн}.$$

Согласно закону Ома, полная ЭДС равна $V_{\text{прил.}} + V_{\text{самоинд.}} = IR$. Для сверхпроводника $R = 0$, поэтому

$V_{\text{самоинд.}} = -V_{\text{прил.}}.$

Заменим $V_{\text{самоинд.}}$ на $-L\,dI/dt$:

$-L\,dI/dt = -V_{\text{прил.}},$

$L\,dI/dt = V_{\text{прил.}},$

$dI = (12\ \text{В}/L)\,dt,$

$$I = \frac{12}{2{,}51\cdot 10^{-3}}t = 4780t.$$

Спустя $t = 0{,}01$ с получаем $I = 47{,}8$ А. Ток будет продолжать линейно возрастать до тех пор, пока его величина не достигнет предельного значения, при котором сверхпроводимость исчезает. В этот момент времени сопротивление скачком увеличится от нуля до нормального значения.

§ 5. Энергия магнитного поля

Колебательный LC-контур

Конденсаторы используются не только для накопления электрического заряда; в комбинации с индуктивностями они применяются для генерации переменного тока и напряжения. Мы рассмотрим простейший случай параллельного включения емкости и индуктивности (рис. 19-9). Предположим, что сопротивление цепи равно нулю. Пусть в момент $t = 0$ заряженный конденсатор замыкается на индуктивность. Напряжение на конденсаторе

$V_{ab} = q/C.$

В соответствии с (19-6) напряжение на индуктивности

$$V_{cd} = -L\frac{dI}{dt}.$$

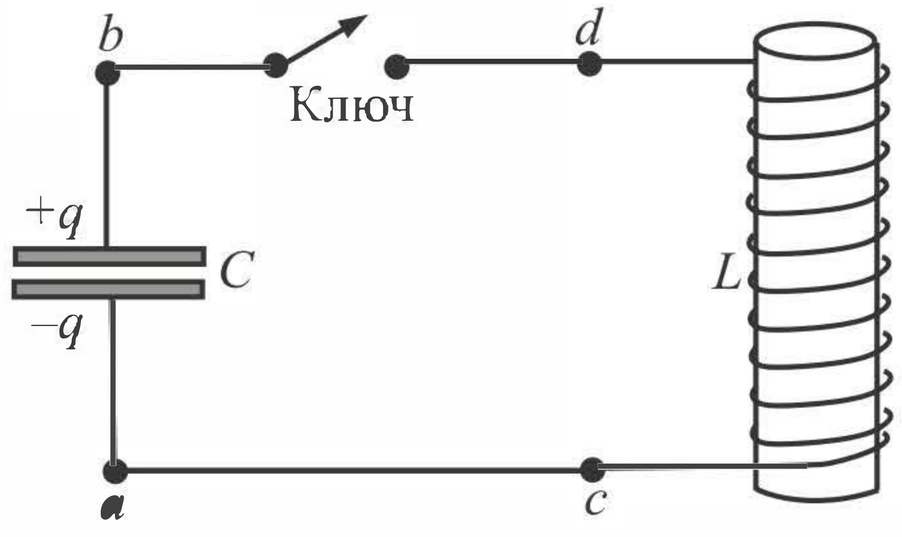


Рис. 19-9. Ключ замыкается при $t = 0$, и конденсатор C разряжается через катушку индуктивности L

Спустя некоторое время t после замыкания ключа эти два напряжения должны стать равными друг другу:

$$\frac{q}{C} = -L\frac{dI}{dt}.$$

Подставляя dq/dt вместо I, получаем

$$\frac{d^2q}{dt^2} = -\frac{1}{LC}q.$$

Это дифференциальное уравнение совпадает с уравнением для простого гармонического колебания. Его решение дается формулой (11-7):

$$q = q_0 \cos \omega t, \text{ где } \omega = \frac{1}{\sqrt{LC}}.$$

В конденсаторе напряжение

$$V = \frac{q}{C} = \frac{q_0}{C}\cos\omega t = V_0 \cos\omega t$$

изменяется с частотой

$$f = \frac{1}{2\pi\sqrt{LC}}.$$

Дифференцируя величину $q = q_0 \cos \omega t$, мы получаем выражение для переменного тока

$I = dq/dt = -q_0 \omega \sin \omega t$.

Знак «минус» указывает на то, что в начальный момент времени ток течет от пластины конденсатора, которая первоначально имела заряд q_0. Такой же ток должен подводиться к другой пластине конденсатора, поскольку в индуктивности заряд не накапливается. Мы видим, что переменный ток ведет себя так, словно он протекает через конденсатор. При этом относительно напряжения на конденсаторе ток сдвинут по фазе на 90° (см. ниже § 6 и рис. 19-11).

Пример 5. Чему равна резонансная частота контура на рис. 19-10, составленного из катушки индуктивности и конденсатора?

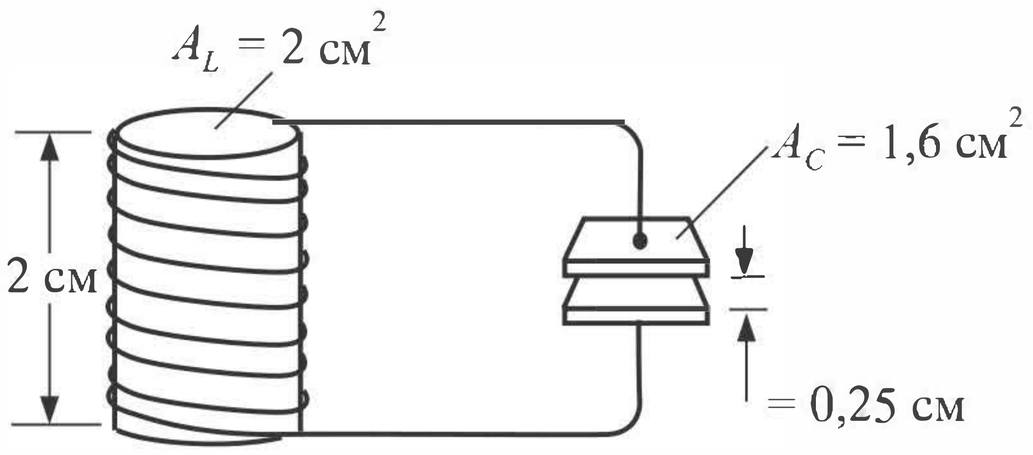


Рис. 19-10. Катушка индуктивности и конденсатор. Число витков провода в катушке $N = 10$

Решение: Используя (19-7), вычисляем

$$L = \frac{4\pi k_0 N^2 A_L}{c^2 x_L} = 1{,}26 \cdot 10^{-6} \text{ Гн}.$$

Из (16-20) определим C:

$$C = \frac{A_C}{4\pi k_0 x_0} = 5{,}67 \cdot 10^{-13} \text{ Ф}.$$

Таким образом,

$$\sqrt{LC} = \sqrt{\left(1{,}26 \cdot 10^{-6}\right)\left(5{,}67 \cdot 10^{-13}\right)} = 8{,}43 \cdot 10^{-10} \text{ с}$$

и

$$f = \frac{1}{2\pi\sqrt{LC}} = 1{,}88 \cdot 10^{8} \text{ с}^{-1} = 188 \text{ МГц}.$$

Эта частота соответствует одному из каналов телевидения. Аналогичные колебательные контуры используются для настройки телевизоров.

Энергия магнитного поля

В примерах 4 и 5 начальная энергия системы запасалась в конденсаторе. В соответствии с (16-22) эта энергия равна

$$U=\frac{1}{2}\frac{q_0^2}{C}=\frac{1}{2}CV_0^2.$$

Чем меньше V, тем меньше энергия, запасенная в электрическом поле конденсатора. Согласно закону сохранения энергии, эта первоначальная энергия не может исчезнуть — она должна где-то накапливаться. Мы покажем, что она накапливается в магнитном поле катушки индуктивности.

Заряд dq, протекая через индуктивность, приобретает энергию $V\,dq$, где $V=-L\,dI/dt$. Таким образом, энергия, теряемая зарядом и приобретаемая катушкой индуктивности, запишется в виде

$$dU=\left(L\frac{dI}{dt}\right)dq=L\frac{dI\,dq}{dt}=LdI\frac{dq}{dt}=LI\,dI.$$

Если ток увеличивается от нуля до I_0, то энергия, запасенная в катушке индуктивности,

$$U=\int_0^{I_0}LI\,dI=\frac{1}{2}LI_0^2. \qquad (19\text{-}8)$$

Пример 6. Какова энергия, запасенная к моменту времени t в катушке индуктивности и конденсаторе на рис. 19-9?

Решение: Энергия, запасенная в конденсаторе,

$$U_C=\frac{1}{2}CV^2=\frac{1}{2}C\left(V_0\cos\omega t\right)^2=$$
$$=\frac{1}{2}CV_0^2\cos^2\omega t.$$

Из (19-8) находим энергию, запасенную в катушке индуктивности:

$$U_L=\frac{1}{2}LI^2=\frac{1}{2}L\left(-q_0\omega\sin\omega t\right)^2=$$
$$=\frac{1}{2}Lq_0^2\omega^2\sin^2\omega t.$$

Подставляя сюда вместо q_0 величину CV_0, получаем

$$U_L=(1/2)\,L\,(CV_0)^2\,\omega^2\sin^2\omega t.$$

Заменим ω^2 на $1/LC$; тогда

$$U_L=(1/2)CV_0^2\sin^2\omega t.$$

Сумма

$$U_C+U_L=(1/2)CV_0^2\cos^2\omega t+$$
$$+(1/2)CV_0^2\sin^2\omega t=(1/2)CV_0^2$$

равна начальной энергии системы.

Полезно преобразовать формулу (19-8), выразив ее правую часть через величину магнитного поля в катушке индуктивности. Это нетрудно сделать в случае с длинным соленоидом. Заменим в (19-8) величину L ее выражением (19-7):

$$U=\frac{1}{2}\left(\frac{4\pi k_0N^2A}{c^2x_0}\right)I^2.$$

Теперь воспользуемся соотношением $\mathscr{B}=4\pi k_0NI/(c^2x_0)$ [см. (18-7)] и исключим I. Тогда

$$U=\frac{1}{2}\left(\frac{4\pi k_0N^2A}{c^2x_0}\right)\left(\frac{\mathscr{B}}{4\pi k_0N/c^2x_0}\right)^2=$$
$$=\frac{c^2Ax_0\mathscr{B}^2}{8\pi k_0}.$$

Разделим левую и правую части этого выражения на объем соленоида $\mathscr{V}=Ax_0$; тогда

$$\frac{U}{\mathscr{V}}=\frac{c^2\mathscr{B}^2}{8\pi k_0}\ (\textit{плотность энергии магнитного поля}). \qquad (19\text{-}9)$$

Хотя этот расчет плотности энергии магнитного поля относится к соленоиду, существует общее доказательство того, что для катушки любой формы интеграл от $c^2\mathscr{B}^2/8\pi k_0$ по всему пространству равен $LI^2/2$, где L — индуктивность катушки.

Аналогично тому, что величина $E^2/8\pi k_0$ интерпретируется как энергия, запасенная в единице объема электрического поля, мы можем сказать, что $c^2\mathscr{B}^2/8\pi k_0$ — это энергия, запасенная в магнитном поле. В общем случае электрическое и магнитное поля могут одновременно присутствовать в пространстве, и полная плотность энергии электромагнитного поля записывается в виде

$$\frac{dU}{d\mathscr{V}} = \frac{1}{8\pi k_0}\left(E^2 + c^2\mathscr{B}^2\right). \qquad (19\text{-}10)$$

В следующей главе мы увидим, что в случае с электромагнитной волной, излучаемой переменным током, $E = c\mathscr{B}$. Следовательно, энергия излучения, заключенная в электрическом поле, равна энергии магнитного поля.

§ 6. Цепи переменного тока

При анализе работы схемы на рис. 19-9 мы установили, что существует определенное соотношение между переменным током и напряжением в конденсаторе и катушке индуктивности. В данной главе мы будем учиться вычислять токи в цепях, состоящих из конденсаторов, катушек индуктивности и резисторов, когда к ним прикладывается переменное напряжение.

Емкостное сопротивление

Вычислим сначала переменный ток для случая, когда переменное напряжение $V = V_0 \sin \omega t$ на конденсаторе. Мгновенное значение напряжения равно $V = q/C$. Следовательно, мы можем записать равенство

$$\frac{dV}{dt} = \frac{1}{C}\frac{dq}{dt}.$$

Подставим в это равенство $V = V_0 \sin \omega t$ и $I = dq/dt$; тогда

$$\omega V_0 \cos \omega t = I/C,$$

откуда

$$I = \omega C V_0 \cos \omega t = \omega C V_0 \sin (\omega t + \pi/2),$$

или

$$I = I_0 \sin (\omega t + \pi/2);$$

здесь $I_0 = \omega C V_0$ — амплитуда тока. Заметим, что ток в конденсаторе опережает по фазе напряжение на нем на $\pi/2$ (или, переходя от радианной меры к градусной, на 90°), т. е. ток достигает максимального значения на четверть периода раньше, чем напряжение (рис. 19-11). С помощью последнего выражения соотношение между амплитудами напряжения и тока можно записать в виде

$$V_0 = \frac{1}{\omega C} I_0.$$

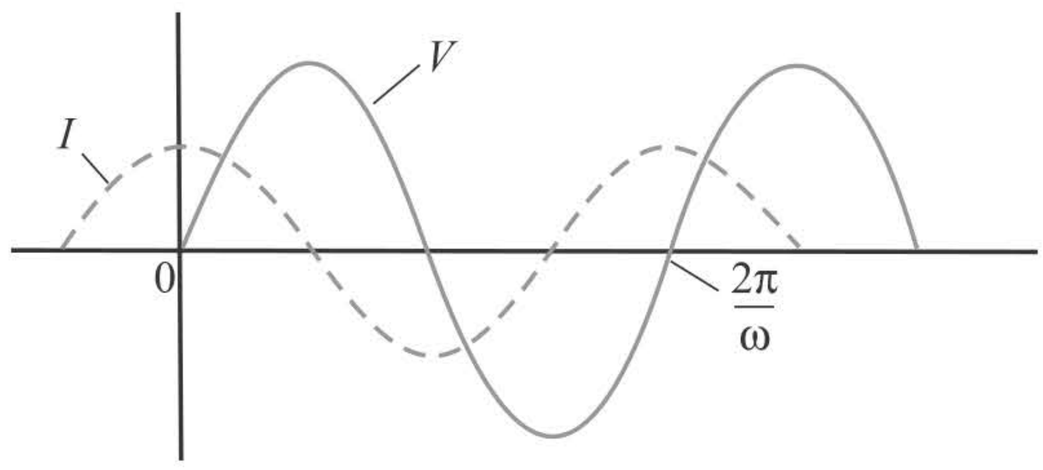


Рис. 19-11. Графики тока и напряжения в конденсаторе. Ток опережает напряжение по фазе на $\pi/2$

Коэффициент пропорциональности $1/(\omega C)$ называется емкостным сопротивлением X_C:

$$X_C \equiv \frac{1}{\omega C} \text{ (}\textit{емкостное сопротивление}\text{)}. \qquad (19\text{-}11)$$

При этом соотношение между амплитудами запишется в виде

$$V_0 = I_0 X_C. \qquad (19\text{-}12)$$

Следует заметить, что (19-12) совпадает по виду с законом Ома $V = IR$. Емкостное сопротивление X_C играет в цепях переменного тока ту же роль, что и активное сопротивление R в цепях постоянного тока. Оно попросту является множителем пропорциональности между амплитудами тока и напряжения.

Пример 7. Чему равен ток через конденсатор емкостью 1 мкФ, к которому приложено переменное напряжение с амплитудой 100 В и частотой а) 60 Гц, б) 1 кГц и в) 1 МГц?

Решение: Поскольку $\omega = 4\pi f$, мы имеем а) $\omega = 2\pi \cdot 60 \approx 377$, б) $\omega = 2\pi \cdot 10^3 \approx 6283$ и в) $\omega = 2\pi \cdot 10^6 \approx 6{,}283 \cdot 10^6$ с$^{-1}$. Соответствующие им значения $X_C = 1/\omega C$ равны а) 2653, б) 159 и в) 0,159 Ом. Вычислим амплитуды токов по формуле $I_0 = V_0/X_C$. Тогда а) $I_0 = 37{,}7$ мА, б) $I_0 = 629$ мА и в) $I_0 = 629$ А.

Индуктивное сопротивление

На рис. 19-12 показан генератор, вырабатывающий напряжение $V_{\text{прил.}} = V_0 \sin \omega t$ и подключенный к катушке индуктивности.

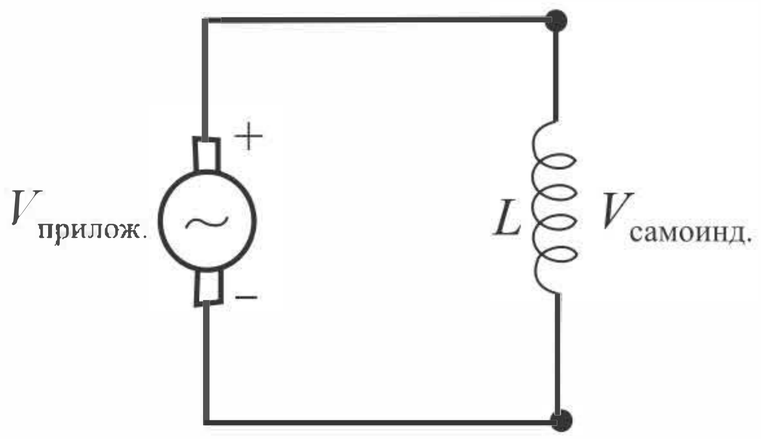


Рис. 19-12. Генератор переменного тока, подключенный к индуктивности

Из примера 4 мы знаем, что $V_{\text{прил.}} = L\, dI/dt$. Таким образом,

$$\frac{dI}{dt} = \frac{1}{L} V_0 \sin \omega t,$$

$$I = \frac{V_0}{L} \int \sin \omega t\, dt = -\frac{V_0}{\omega L} \cos \omega t = \frac{V_0}{\omega L} \sin\left(\omega t - \frac{\pi}{2}\right).$$

Постоянная интегрирования равна нулю, так как в цепи нет постоянного тока. В цепи с индуктивностью ток отстает от приложенного напряжения по фазе на $\pi/2$ (иными словами, напряжение опережает ток на $\pi/2$). Поскольку $V_0 = I_0 \omega L$, индуктивное сопротивление

$$X_L = \omega L \text{ (}\textit{индуктивное сопротивление}\text{)}. \qquad (19\text{-}13)$$

Последовательное соединение

Предположим, что генератор переменного тока подключен к цепи, состоящей из последовательно соединенных резистора R, катушки индуктивности L и конденсатора C (рис. 19-13). Пусть ток $I = I_0 \sin \omega t$. Тогда мгновенные значения напряжений определяются следующими выражениями:

$$V_R = I_0 R \sin \omega t,$$

$V_L = X_L I_0 \sin(\omega t + \pi/2)$, (напряжение на L опережает ток по фазе на $\pi/2$),

$V_C = X_C I_0 \sin(\omega t - \pi/2)$, (напряжение на C отстает от тока по фазе на $\pi/2$).

Мгновенное значение полного напряжения

$$V = V_R + V_L + V_C = I_0 R \sin \omega t + X_L I_0 \cos \omega t - X_C I_0 \cos \omega t,$$

$$\frac{V}{I_0} = R \sin \omega t + (X_L - X_C) \cos \omega t. \qquad (19\text{-}14)$$

Синус и косинус можно сложить графически, как показано на рис. 19-14, и определить фазовый угол φ:

$$\varphi \equiv \operatorname{arctg} \frac{X_L - X_C}{R}.$$

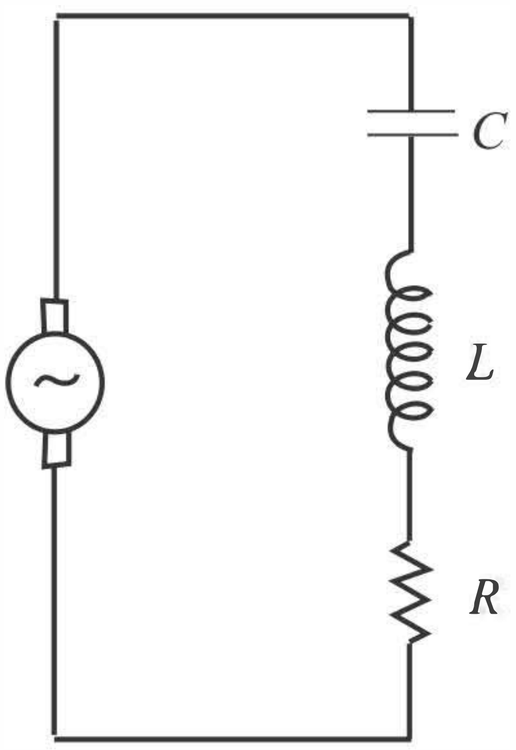


Рис. 19-13. Последовательно соединенная *LCR*-цепь с подключенным к ней генератором переменного напряжения

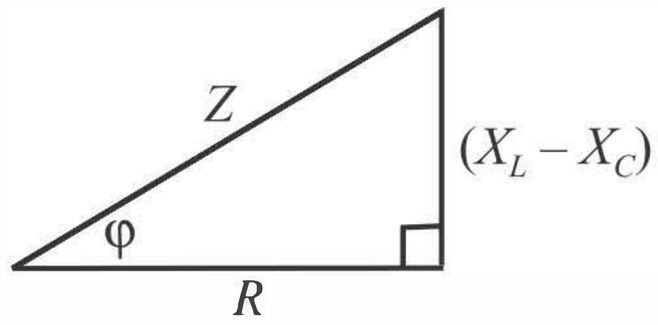


Рис. 19-14. Соотношение между фазовым углом φ, активным сопротивлением *R*, реактивными сопротивлениями X_L и X_C и импедансом *Z*

Гипотенуза треугольника на рис. 19-14 равна

$$Z = \sqrt{R^2 + \left(X_L - X_C\right)^2}\,.$$

Разделим обе части выражения (19-14) на *Z*:

$$\frac{1}{Z}\frac{V}{I_0} = \frac{R}{Z}\sin\omega t + \frac{X_L - X_C}{Z}\cos\omega t =$$

$$= \cos\varphi\sin\omega t + \sin\varphi\cos\omega t =$$

$$= \sin\left(\omega t + \varphi\right),$$

$$V = ZI_0 \sin(\omega t + \varphi). \qquad (19\text{-}15)$$

Мы видим, что $V_0 = ZI_0$ и что напряжение опережает ток по фазе на величину φ (или соответственно на часть периода $(\varphi/2\pi)T$ по времени). Коэффициент пропорциональности *Z* между V_0 и I_0 называется *импедансом*. Он играет ту же роль, что и *R* в законе Ома.

$$\frac{V_0}{I_0} = Z = \sqrt{R^2 + \left(\omega L - \frac{1}{\omega C}\right)^2}$$ (*импеданс последовательного соединения*). (19-16)

Резонанс

Заметим, что импеданс цепи из последовательно соединенных *R*, *L* и *C* имеет минимум, когда

$$\omega L - \frac{1}{\omega C} = 0$$

или

$$\omega = \frac{1}{\sqrt{LC}}.$$

Эта частота называется резонансной и обозначается ω_0:

$$\omega_0 = \frac{1}{\sqrt{LC}},$$

или

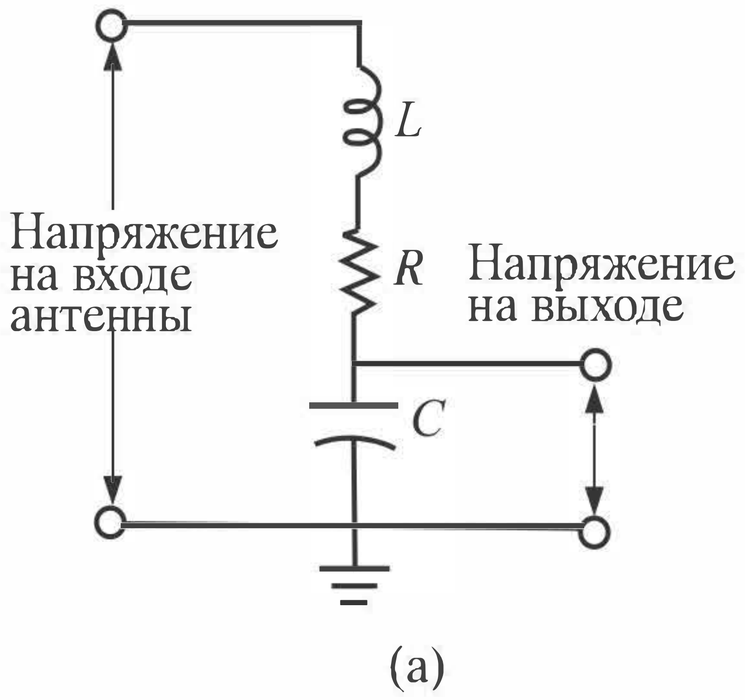
$$f_0 = \frac{1}{2\pi\sqrt{LC}}.$$

Пример 8. Пусть в примере 5 конденсатор и катушка индуктивности телевизионного контура подключены к антенне, как показано на рис. 19-15, *а*. В любом из телевизионных каналов амплитуда входного переменного напряжения от антенны равна 100 мкВ. Индуктивность катушки 1,26 мкГн, а ее сопротивление 20 Ом. Емкость конденсатора $C = 0{,}567$ пФ.

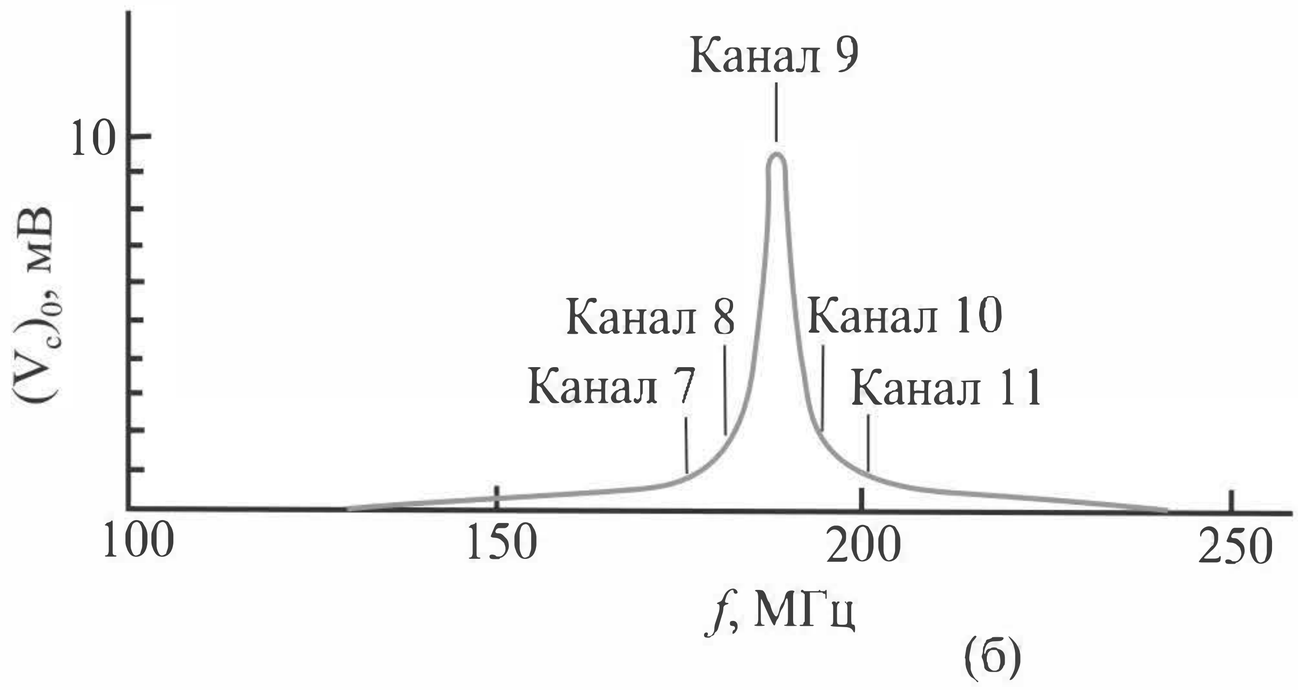
а) Чему равны ток и напряжение на конденсаторе при резонансной частоте $f_0 = 188$ МГц?

б) Построим зависимость выходного напряжения от частоты при фиксированной амплитуде входного напряжения 100 мкВ.

в) Во сколько раз будет подавлен сигнал от второго телевизионного канала, если контур настроен на частоту первого канала, которая выше частоты второго канала на 6 МГц?



(а)



(б)

Рис. 19-15. *а* — последовательный резонансный контур в примере 8; *б* — выходное напряжение на конденсаторе в зависимости от частоты

Решение: а) На резонансной частоте $Z = \sqrt{R^2 + 0} = R = 20$ Ом. Поэтому

$$I_0 = \frac{V_0}{Z} = \frac{10^{-4}\ \text{В}}{20\ \text{Ом}} = 5\ \text{мкА}.$$

Амплитуда напряжения на конденсаторе $(V_C)_0 = I_0 X_C = I_0\,(1/\omega C) = 7{,}46$ мВ. Следует заметить, что эта простая схема обеспечивает выигрыш в напряжении в 74,6 раза.

б) Зависимость выходного напряжения от частоты построена на рис. 19-15, *б*.

в) Выходное напряжение на частоте f вычисляется следующим образом:

$$(V_C)_0 = I_0 X_C = \frac{V_0}{\sqrt{R^2 + (\omega L - 1/\omega C)^2}} \frac{1}{\omega C} = \frac{V_0}{\sqrt{(2\pi f RC)^2 + \left(f^2/f_0^2 - 1\right)^2}}.$$

При $f = 194$ МГц имеем $(V_C)_0 = 1{,}54$ мВ, что в 4,84 раза меньше значения 7,46 мВ на резонансной частоте. Таким образом, фактор подавления соседнего канала равен 4,84.

Мощность

Мгновенная мощность, рассеиваемая в цепи, изображенной на рис. 19-13, равна $P(t) = V(t)\ I(t)$. Если $I = I_0 \sin \omega t$, то из (19-15) имеем $V(t) = V_0 \sin(\omega t + \varphi)$. Таким образом,

$$P(t) = V_0 I_0 \sin(\omega t + \varphi) \sin \omega t = V_0 I_0 (\sin \omega t \cos \varphi - \cos \omega t \sin \varphi) \sin \omega t.$$

Поскольку $\cos \omega t \sin \varphi = (\sin 2\omega t)/2$, среднее значение рассеиваемой мощности запишется в виде

$$\overline{P} = V_0 I_0 \left(\overline{\sin^2 \omega t} \cos \varphi - (1/2)\overline{\sin 2\omega t} \sin \varphi\right).$$

Среднее значение $\overline{\sin^2 \omega t} = 1/2$, так как $\sin^2 \omega t + \cos^2 \omega t = 1$ и $\overline{\sin^2 \omega t} = \overline{\cos^2 \omega t}$. (Дело в том, что синус и косинус изображаются одинаковыми кривыми, которые лишь сдвинуты по фазе на $\pi/2$ относительно друг друга.) Среднее значение $\overline{\sin 2\omega t} = 0$, поскольку вклад положительных и отрицательных полуволн одинаков. В силу всех этих соображений получаем

$$P = (V_0 I_0 \cos \varphi)/2. \qquad (19\text{-}17)$$

Множитель $\cos \varphi$ называется фактором мощности, и из рис. 19-14 мы видим, что $\cos \varphi = R/Z$. Следовательно,

$$P = \frac{(ZI_0) I_0}{2} \frac{R}{Z} = I_0^2 R/2.$$

Далее мы покажем, что вся мощность рассеивается в резисторе, а не в катушке индуктивности или конденсаторе. Пока-

жем теперь, что $I_0^2/2 = I_{\text{ср.кв.}}^2$, где $I_{\text{ср.кв.}}$ — среднеквадратичное значение тока. По определению

$$I_{\text{ср.кв.}} \equiv \sqrt{\overline{I^2}}.$$

Средний квадрат тока равен

$$\overline{I^2} = I_0^2 \overline{\sin^2 \omega t} = (1/2) I_0^2.$$

Таким образом,

$$I_{\text{ср.кв.}} = I_0/\sqrt{2}.$$

Мы показали, что среднее значение рассеиваемой мощности для всей цепи составляет $I_{\text{ср.кв.}}^2 R$. Но нам известно, что мощность, рассеиваемая только в резисторе, равна $\overline{I^2} R$. Таким образом, мощность теряется лишь в резисторе; в катушке индуктивности и конденсаторе потерь мощности нет (см. пример 9).

Принято считать, что амперметры и вольтметры переменного тока показывают соответственно $I_{\text{ср.кв.}}$ и $V_{\text{ср.кв.}}$. Это означает, что в сети с напряжением 120 В амплитуда напряжения достигает $120\sqrt{2} = 170$ В. В США напряжение в сети меняется с частотой 60 Гц, т. е. 120 раз в секунду оно изменяется от +170 В до −170 В (в России соответственно 50 Гц, т. е. 100 раз в секунду от +310 В до −310 В. — *Прим. ред.*). Удобно пользоваться приборами, которые измеряют среднеквадратичные значения, поскольку тогда потери мощности в резистивных элементах определяются просто как показания вольтметра, умноженные на показания амперметра.

Пример 9. Конденсатор емкостью 10 мкФ включен в сеть переменного тока.

а) Что показывает амперметр переменного тока?

б) Чему равно среднее значение рассеиваемой мощности?

в) Каково максимальное значение мгновенной мощности?

Решение: а) $I_{\text{ср.кв.}} = \dfrac{V_{\text{ср.кв.}}}{X_C}$,

где $X_C = \dfrac{1}{2\pi f C} = \dfrac{1}{2\pi(60)\left(10^{-5}\right)} = 265$ Ом.

Следовательно, амперметр покажет

$$I_{\text{ср.кв.}} = \frac{120 \text{ В}}{265 \text{ Ом}} = 0{,}452 \text{ А}.$$

б) Среднее значение рассеиваемой мощности

$$\bar{P} = V_{\text{ср.кв.}} I_{\text{ср.кв.}} \cos\varphi,$$

где $\varphi = -\pi/2$ — фазовый сдвиг (напряжение отстает по фазе от тока на $-\pi/2$). Поскольку $\cos\varphi = 0$, мы имеем $\bar{P} = 0$.

в) Мгновенная мощность

$$P(t) = V_0 I_0 \sin(\omega t - \pi/2) \sin \omega t = -(1/2) V_0 I_0 \sin 2\omega t;$$

ее максимальное значение равно $(1/2) V_0 I_0 = 54{,}2$ Вт. Заметим, что мгновенная мощность принимает как положительные, так и отрицательные значения и в среднем равна нулю. Когда мгновенная мощность отрицательна, энергия, запасенная в конденсаторе, возвращается обратно в сеть.

---

§ 7. Цепи *RC* и *RL*

Если к цепи, состоящей из конденсатора и резистора (или резистора и катушки индуктивности), мгновенно прикладывается напряжение, то возникает ток, экспоненциально меняющийся во времени. Такой непериодический процесс называется неустановившимся, или переходным. Рассмотрим следующие три примера.

RC-цепи

В качестве первого примера рассмотрим цепь, аналогичную изображенной на рис. 19-9, где заряженный конденсатор

разряжается через катушку индуктивности. В схеме на рис. 19-16, когда в момент $t = 0$ замыкается ключ, конденсатор разряжается через резистор сопротивлением R. В любой момент времени напряжение на конденсаторе равно падению напряжения IR на резисторе:

$$q/C = IR.$$

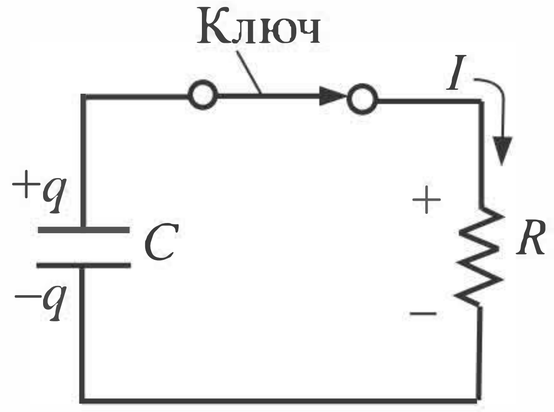


Рис. 19-16. При замыкании ключа в момент времени $t = 0$ конденсатор разряжается через резистор R

На рис. 19-16 стрелкой указано положительное направление тока, так что $I = -dq/dt$. Следовательно,

$$\frac{q}{C} = -R\frac{dq}{dt}, \quad \frac{dq}{q} = -\frac{dt}{RC}.$$

Интегрируя обе части, находим

$$\ln q = -\frac{t}{RC} + \text{const},$$

откуда

$$q = q_0 \exp\left(-\frac{t}{RC}\right).$$

Следует заметить, что конденсатор разряжается не мгновенно. Его заряд уменьшается в e раз по сравнению с первоначальным за время $\tau = RC$.

В следующем примере мы рассмотрим последовательное соединение батареи (с ЭДС, равной $\mathscr{E}$), конденсатора и резистора.

В момент $t = 0$ замыкается ключ в схеме на рис. 19-17. Покажем, что в начальный момент $t = 0$ все напряжение $\mathscr{E}$ падает только на резисторе и с течением времени это падение напряжения экспоненциально уменьшается, т. е.

$$V_R = \mathscr{E}\exp(-t/RC).$$

Как видно из рис. 19-17, разность потенциалов между точками B и A равна $\mathscr{E}$. В то же время она равна сумме падений напряжений на резисторе и конденсаторе:

$$\mathscr{E} = IR + q/C. \qquad (19\text{-}18)$$

Продифференцируем обе части этого равенства по времени:

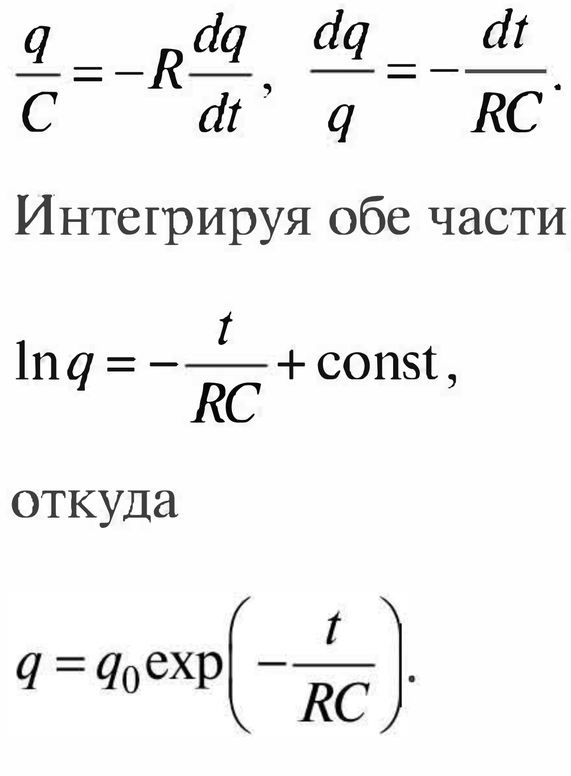
$$0 = R\frac{dI}{dt} + \frac{1}{C}\frac{dq}{dt} = R\frac{dI}{dt} + \frac{1}{C}I.$$

Таким образом,

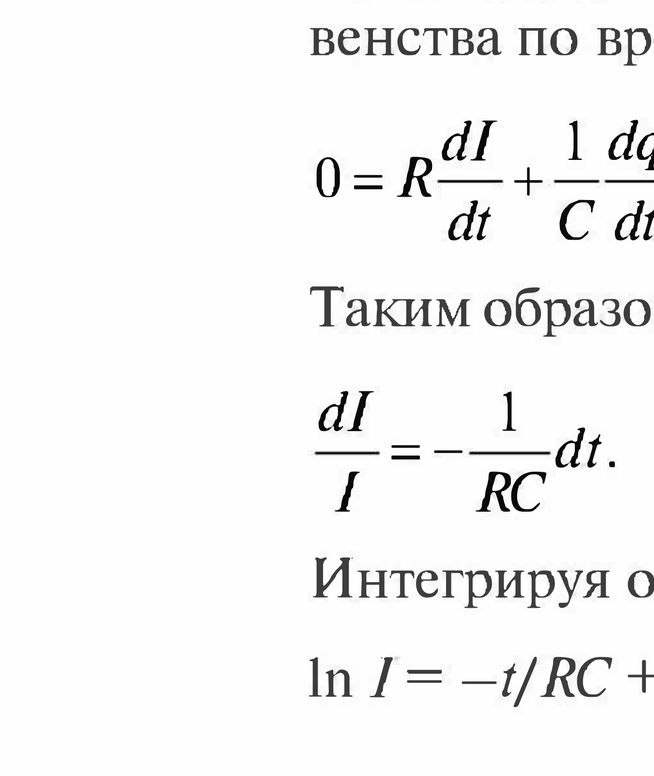
$$\frac{dI}{I} = -\frac{1}{RC}dt.$$

Интегрируя обе части, получаем

$$\ln I = -t/RC + \text{const}.$$



(а)



(б)

Рис. 19-17. *а* — состояние схемы при $t < 0$; *б* — состояние схемы при $t > 0$; в этом случае через резистор проходит тот же заряд, который был запасен в конденсаторе

Потенцируя, находим

$$I = I_0 \exp(-t/RC). \qquad (19\text{-}19)$$

Постоянную интегрирования I_0 можно найти подстановкой этого выражения в (19-18):

$$\mathscr{E} = R\,[I_0 \exp(-t/RC)] + q/C.$$

При $t = 0$ имеем $q = 0$, и это выражение принимает вид

$$\mathscr{E} = RI_0 \exp(-0) + 0 = RI_0.$$

Следовательно,

$$I_0 = \mathscr{E}/R.$$

Падение напряжения на резисторе:

$$V_R = RI = RI_0 \exp(-t/RC).$$

Заменяя I_0 на $\mathscr{E}/R$, получаем

$$V_R = \mathscr{E} \exp(-t/RC). \qquad (19\text{-}20)$$

Произведение RC имеет размерность времени и называется постоянной времени. Пусть, например, $R = 1$ МОм и $C = 10$ мкФ, тогда

$$RC = (10^6 \text{ Ом})(10 \cdot 10^{-6} \text{ Ф}) = 10 \text{ с}.$$

В этом случае через 10 с после замыкания ключа напряжение на резисторе уменьшится в e раз по сравнению с первоначальным значением.

RL-цепи

В качестве последнего примера рассмотрим цепь, состоящую из катушки индуктивности и резистора (рис. 19-18). Пусть при $t = 0$ ток равен I_0. Повторяя проделанные выше математические выкладки, можно показать, что

$$I = I_0 \exp(-Rt/L).$$

В данном случае напряжение на катушке индуктивности равно падению напряжения на резисторе:

$$-L\frac{dI}{dt} = IR, \text{ откуда } \frac{dI}{I} = -\frac{R}{L}dt.$$

Следовательно,

$$I = I_0 \exp\left(-\frac{Rt}{L}\right).$$

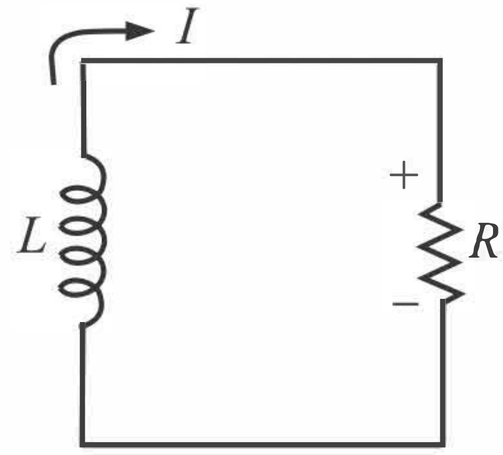


Рис. 19-18. В цепи при $t = 0$ течет ток I_0

Начальный ток I_0 можно установить, используя схему, показанную на рис. 19-19, где R_L — внутреннее сопротивление катушки индуктивности L.

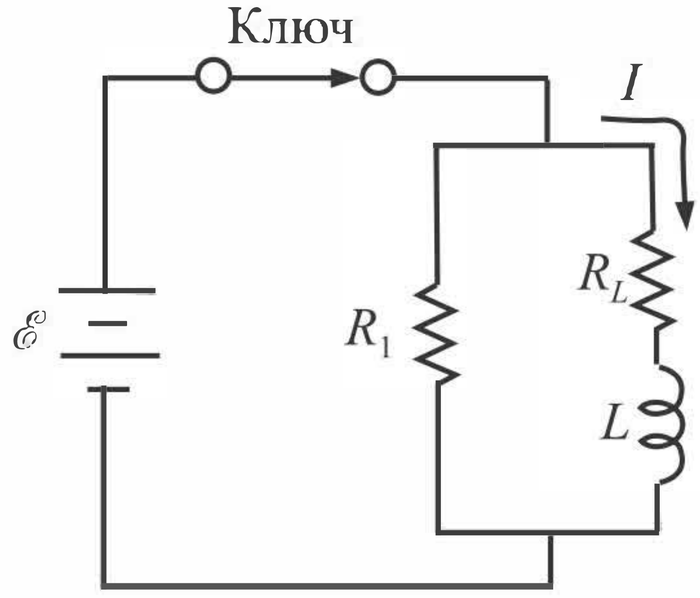


Рис. 19-19. В момент размыкания ключа на его контактах появляется очень большое напряжение, если $R_1 \gg R_L$

Если ключ замкнут в течение времени, значительно превышающего величину L/R_L, то в катушке индуктивности течет ток $\mathscr{E}/R_L$. Непосредственно после размыкания ключа ток I_0 должен протекать как через R_1, так и через R_L. (В противном случае $\Delta I/\Delta t$ обратилось бы в бесконечность при $\Delta t \to 0$.) Следовательно, после размыкания ключа напряжение на сопротивлении R_1 запишется в виде

$V_1 = I_● R_1 = \mathscr{E} R_1 / R_L.$

Падение напряжения на контактах ключа, когда он разомкнут, равно

$$\left(V_1 + \mathscr{E}\right) = \mathscr{E}\left[\frac{R_1}{R_L} + 1\right].$$

Следует заметить, что если $R_1 \gg R_L$, то напряжение на контактах ключа будет также значительно больше напряжения батареи. При этом может возникнуть искра и ключ будет выведен из строя. Поэтому на практике, прежде чем отключать катушку индуктивности от источника напряжения, ее нужно шунтировать резистором R_1. Мы видим, что при резких изменениях в цепи катушки индуктивности способствуют поддержанию прежнего тока, тогда как конденсаторы создают короткое замыкание для быстропротекающих процессов.

Основные выводы

Закон Фарадея гласит, что в замкнутом контуре индуцируется ЭДС, пропорциональная скорости изменения магнитного потока через этот контур:

$$\oint \mathbf{E} \cdot d\mathbf{s} = -\frac{d\Phi_B}{dt}.$$

Магнитный поток можно менять, двигая катушки и магниты или изменяя силу тока в неподвижных катушках. При движении замкнутого проводящего контура в магнитном поле мы имеем такое же выражение для ЭДС. Хорошо известный пример — вращение рамки площадью A в однородном магнитном поле $\mathscr{B}$ с угловой скоростью ω. В рамке наводится ЭДС

ЭДС $= \mathscr{B} A \omega \sin \omega t.$

Таким способом создается ЭДС в электрических генераторах.

Знак «минус» в законе Фарадея означает, что индуцированное напряжение вызывает ток, магнитный поток которого препятствует изменению первоначального магнитного потока Φ_B. Это называется законом Ленца.

В трансформаторе, в котором на общем сердечнике имеются первичная и вторичная обмотки, отношение напряжений на обмотках равно отношению числа их витков:

$$\frac{V_{\text{втор.}}}{V_{\text{перв.}}} = \frac{N_{\text{втор.}}}{N_{\text{перв.}}}.$$

ЭДС самоиндукции дается выражением

$$V_{\text{самоинд.}} = -L\frac{dI}{dt},$$

где L — индуктивность катушки. В случае с протяженным соленоидом длиной x_0

$$L = 4\pi \frac{k_●}{c^2} \frac{N^2 A}{x_0}.$$

Если заряженный конденсатор C замыкается на катушку индуктивности L, то напряжение на его пластинах будет колебаться с частотой $f = 1\Big/\left(2\pi\sqrt{LC}\right)$.

Энергия, запасенная в катушке индуктивности, через которую течет ток I,

$U = LI^2/2.$

Это выражение совпадает с результатом интегрирования величины

$$\frac{dU}{d\mathscr{V}} = \frac{c^2 \mathscr{B}^2}{8\pi k_0}$$

по всему пространству. В общем случае плотность энергии электромагнитного поля в любой точке пространства записывается в виде

$$\frac{dU}{d\mathscr{V}} = \frac{1}{8\pi k_0}\left(E^2 + c^2 \mathscr{B}^2\right).$$

Если к конденсатору приложено переменное напряжение $V = V_0 \sin \omega t$, то через него течет ток

$$I = \frac{V_0}{X_C}\sin\left(\omega t + \frac{\pi}{2}\right), \text{ где } X_C = \frac{1}{\omega C}.$$

Если такое напряжение приложено к катушке индуктивности, то в ней течет ток

$$I = \frac{V_0}{X_L}\sin\left(\omega t + \frac{\pi}{2}\right), \text{ где } X_L = \omega L.$$

Если в цепи, состоящей из последовательно соединенных L, C и R, ток $I = I_0 \sin \omega t$, то мгновенное значение напряжения определяется выражением

$$V = ZI_0 \sin(\omega t + \mathrm{j}),$$

в котором импеданс

$$Z = \sqrt{R^2 + \left(\omega L - \frac{1}{\omega C}\right)^2},$$

а

$$\operatorname{tg}\varphi = \frac{\omega L - 1/\omega C}{R}.$$

Среднее значение рассеиваемой мощности $V_{\text{ср.кв.}} I_{\text{ср.кв.}} \cos\varphi = I^2_{\text{ср.кв.}} R$, причем

$$I_{\text{ср.кв.}} = \sqrt{\overline{I^2}} = I_0/\sqrt{2}.$$

Если ЭДС $\mathscr{E}$ приложена к последовательно соединенным R и C, то ток в цепи $I = (\mathscr{E}/R)\exp(-t/RC)$.

Приложение. Контур произвольной формы

Мы покажем, что в замкнутом проводящем контуре произвольной формы (рис. 19-20), движущемся в магнитном поле, возникает ЭДС, равная $-d\Phi/dt$. Магнитное поле $\mathfrak{B}$ может быть любой

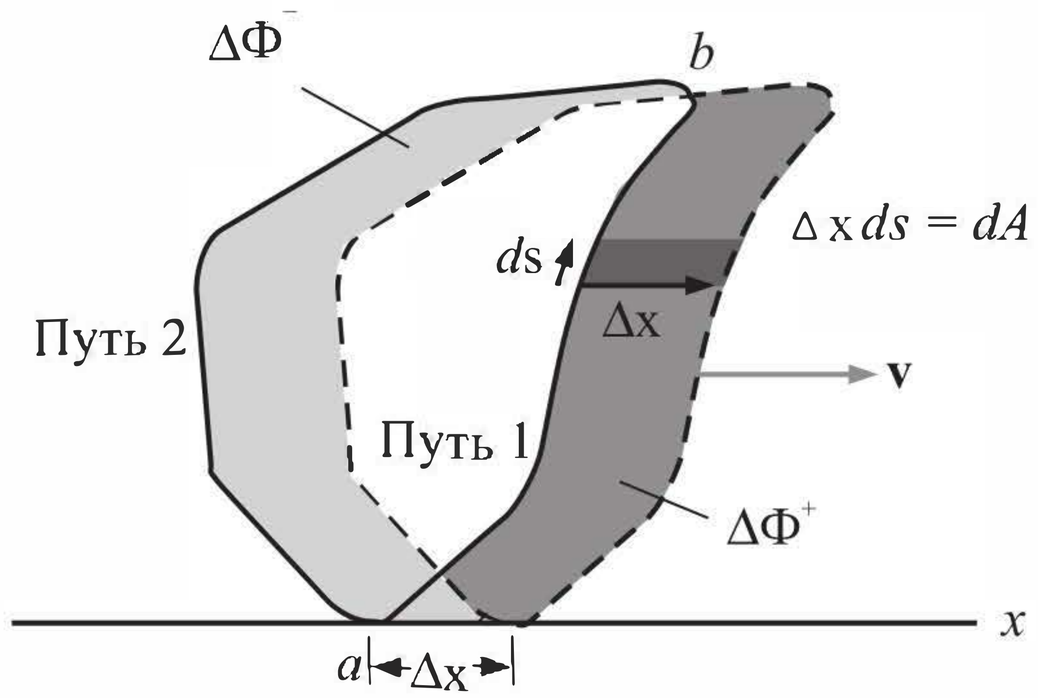


Рис. 19-20. Замкнутый контур, разделенный на пути 1 и 2, движется со скоростью **v** вдоль оси x. Штриховой линией показано положение контура спустя время Δt. При этом магнитный поток увеличивается на $\Delta\Phi^+$ в одной области и уменьшается на $\Delta\Phi^-$ в другой. Элемент площади $d\mathbf{A} = \Delta\mathbf{x}\times d\mathbf{s}$

функцией координат. Работа, совершаемая против магнитных сил при перемещении заряда q на расстояние $d\mathbf{s}$ (см. рис. 19-20), записывается в виде

$$dW = \mathbf{F}_{\text{маг.}} \cdot d\mathbf{s} = \left[q\mathbf{v}\times\mathfrak{B}\right]\cdot d\mathbf{s} = q\left[\frac{\Delta x}{\Delta t}\times\mathfrak{B}\right]\cdot d\mathbf{s}.$$

где $\Delta\mathbf{x}$ — вектор длиной Δx, направленный по оси x. Используя векторное тождество $\mathbf{A}\times\mathbf{B}\cdot\mathbf{C} = \mathbf{A}\cdot\mathbf{B}\times\mathbf{C}$, перепишем выражение для работы следующим образом:

$$dW = -q\frac{\left[\Delta\mathbf{x}\times\mathfrak{B}\right]\cdot d\mathbf{s}}{\Delta t} = -q\frac{\mathfrak{B}\cdot\left[\Delta\mathbf{x}\times d\mathbf{s}\right]}{\Delta t}.$$

Из рис. 19-20 видно, что $\Delta\mathbf{x}\times d\mathbf{s}$ можно заменить элементом площади $d\mathbf{A}$; тогда

$$dW = -q\frac{\mathfrak{B}\cdot d\mathbf{A}}{\Delta t}.$$

Полная работа, совершаемая при перемещении заряда q из точки a в точку b по пути 1 контура (рис. 19-20), записывается в виде

$$W_{ab1} = \int_a^b dW = -q\frac{\int_a^b \mathfrak{B}\cdot d\mathbf{A}}{\Delta t} = -q\frac{\Delta\Phi^+}{\Delta t}.$$

Путь 1

Аналогично работа, совершаемая при перемещении заряда по пути 2 из точки b в точку a,

$$W_{ba2} = \int_a^b dW = -q\frac{\Delta\Phi^-}{\Delta t}.$$

Путь 2

ЭДС равна работе, затраченной на перемещение единичного заряда по всему контуру:

$$\text{ЭДС} = \frac{W_{ab1} + W_{ba2}}{q} = -\frac{\Delta\Phi^+}{\Delta t} + \frac{\Delta\Phi^-}{\Delta t} =$$

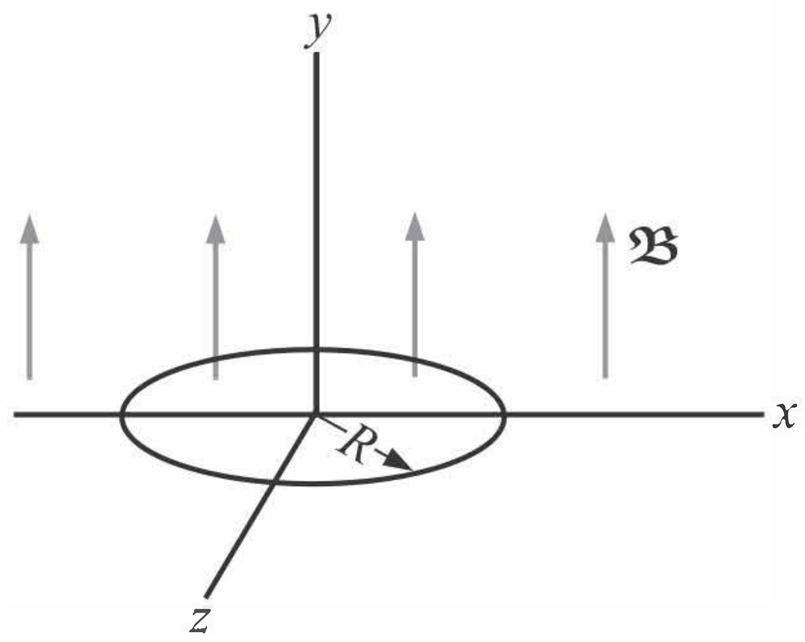
$$= -\frac{\Delta\Phi^+ - \Delta\Phi^-}{\Delta t} = -\frac{\Delta\Phi_B}{\Delta t} =$$

$$= -\frac{d\Phi_B}{dt}.$$

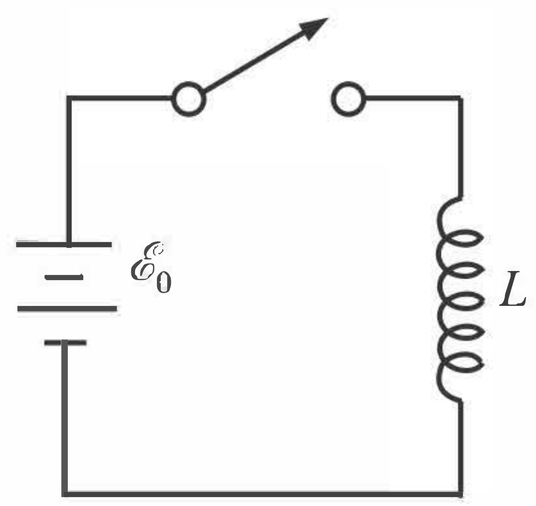
Это закон Фарадея для произвольного контура, движущегося в магнитном поле.

Упражнения

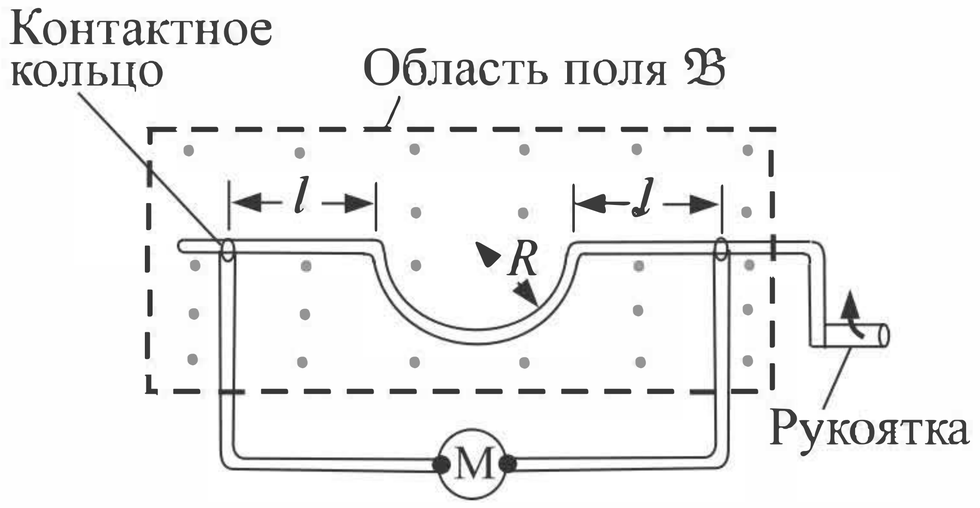
1. Круглая рамка радиусом R находится в однородном магнитном поле $\mathfrak{B}$, направленном вдоль оси y. Первоначально она располагалась в плоскости xz, как показано на рисунке. Чему будет равно среднее значение индуцированной ЭДС, если рамка повернется на 180° вокруг оси z за 0,5 с?



2. Если бы рамка в упражнении 1 не вращалась, а двигалась в однородном магнитном поле со скоростью v вдоль оси x, то чему была бы равна индуцированная ЭДС?
3. Если бы рамка в упражнении 1 была закреплена неподвижно, а внешнее магнитное поле $\mathfrak{B}$ уменьшалось бы со временем, то каким было бы направление индуцированного тока при наблюдении рамки сверху?
4. На рисунке показана идеальная цепь, состоящая из источника ЭДС $\mathscr{E}_0$ и катушки индуктивности L. Пусть полное сопротивление цепи равно нулю. Какой ток будет в цепи спустя 1 с после замыкания ключа, если $L = 0{,}1$ Гн, а $\mathscr{E}_0 = 1{,}5$ В?

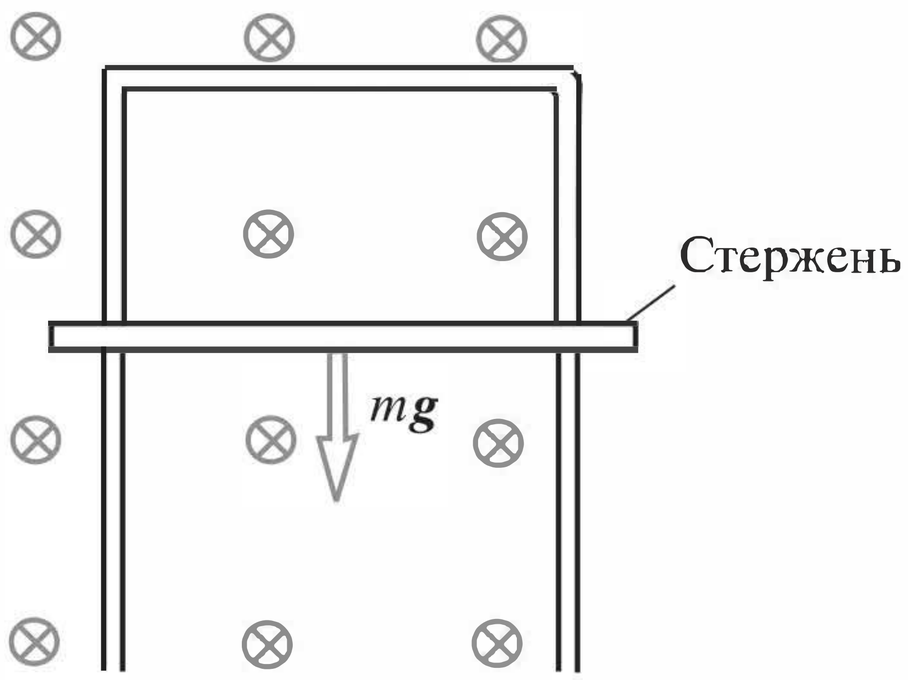


5. Проводник в виде полуокружности радиусом R с помощью рукоятки вращается с частотой f в однородном магнитном поле $\mathfrak{B}$. Поле $\mathfrak{B}$ направлено на читателя. Электрический контакт с прибором М осуществляется через контактные кольца. Каковы амплитуды индуцированного тока и напряжения, если внутреннее сопротивление прибора М равно R_m, а сопротивлением остальной части цепи можно пренебречь?



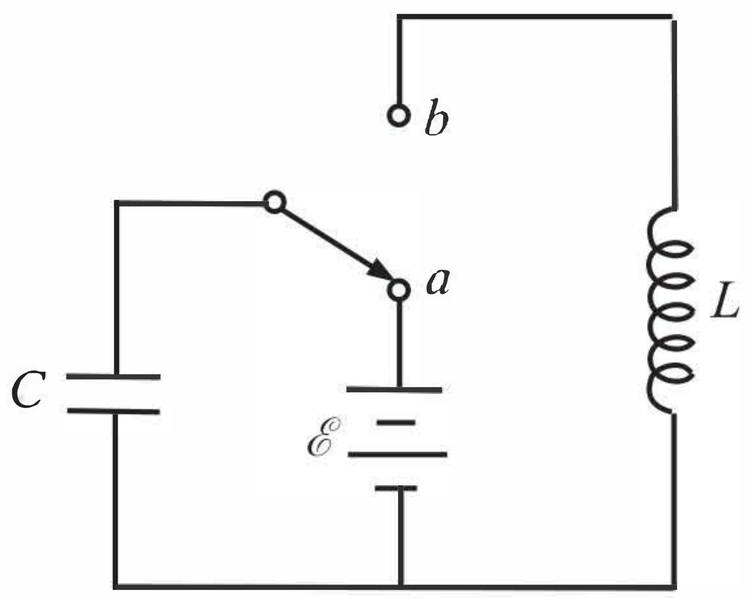
6. Проводник в виде стержня длиной 1 м, весом $mg = 1$ Н и сопротивлением 10 Ом падает, сохраняя контакт с вертикальными стойками и образуя с ними замкнутый

контур. Сопротивление всех деталей, кроме стержня, ничтожно мало. Магнитное поле $\mathfrak{B}$, как видно из рисунка, направлено за плоскость чертежа перпендикулярно этой плоскости и равно 2 Т. Пренебрегая трением, найдите установившуюся скорость падения стержня, а также направление индуцированного тока.



7. Квадратная рамка со стороной 1 м и сопротивлением 0,5 Ом закреплена в однородном магнитном поле $\mathfrak{B}$, величина которого линейно растет со временем со скоростью 0,1 Т/с. Направление магнитного поля образует с плоскостью рамки угол 45°. Найдите мощность, рассеиваемую в рамке.

8. В момент времени $t = 0$ ключ перебрасывается из положения a в положение b (см. рисунок). Выведите формулу для величины заряда конденсатора в зависимости от времени, считая величины $\mathscr{E}$, C и L известными.



9. Катушка индуктивности L обладает внутренним сопротивлением R. При какой частоте переменного напряжения ток будет отставать по фазе от напряжения на $\pi/4$?

10. Катушка из 300 витков с площадью поперечного сечения 100 см^2 вращается в магнитном поле величиной 0,5 Т со скоростью 1800 об/мин. Чему равна амплитуда индуцированной ЭДС?

11. Катушка из 1000 витков с площадью поперечного сечения 100 см^2, расположенная перпендикулярно магнитному полю Земли, поворачивается за 1 с на угол 90°. В катушке за 1 с наводится ЭДС со средним значением 0,6 мВ. Найдите величину магнитного поля Земли.

12. Пусть первичная обмотка трансформатора содержит 10 витков, а вторичная — 25 витков. Если к первичной обмотке приложено переменное напряжение с частотой 60 Гц, то через обе обмотки проходит максимум четыре силовые линии магнитного поля. Чему равны амплитуды напряжения в каждой обмотке?

13. Обобщая теорему о равнораспределении энергии, можно показать, что средняя плотность энергии магнитного поля в межзвездном пространстве равна средней плотности кинетической энергии частиц, главным образом атомов водорода, которые движутся с тепловой скоростью около 10^3 м/с. Плотность частиц равна примерно 1 см$^{-3}$. Вычислите среднюю величину магнитного поля.

14. В примере 1 выходное напряжение в вольтах записывается в виде $V = 113 \sin \omega t$. Чему равно $V_{\text{ср.кв.}}$? (*Указание:* $V_{\text{ср.кв.}} = \sqrt{\overline{V^2}}$; $\overline{V^2} \equiv \frac{1}{T}\int_0^T V^2 dt$.)

15. Рамка на рис. 19-1 поворачивается за 0,5 с на угол от $\theta = 0$ до $\theta = 180°$. Чему равно среднее значение напряжения между точками P_1 и P_2? Ответ запишите через величины I_1, I_2 и $\mathscr{B}$.

16. Повторите упражнение 15 для случая, когда рамка поворачивается от $q = 90°$ до $\theta = 270°$.

17. Пусть рамка на рис. 19-1 закреплена в положении, указанном на этом рисунке, а магнитное поле $\mathscr{B}$ уменьшается во времени. В какой из точек, P_1 или P_2, потенциал выше?

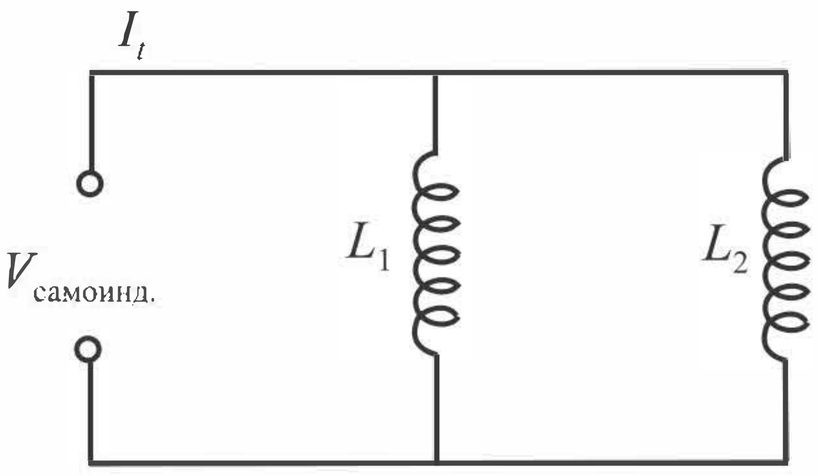
18. Со вторичной обмотки трансформатора на двигатель, который потребляет ток 10 А, подается напряжение 12 В. Используя закон сохранения энергии и считая, что потерь энергии нет, найдите
а) мощность двигателя в л. с.;
б) ток, который отбирается от линии передачи с напряжением 120 В.

19. Генератор переменного тока мощностью 100 МВт питает линию передачи сопротивлением 5 Ом. Каким должно быть переменное напряжение, чтобы потери в линии передачи составляли не более 2 %?

20. Выразите в примере 5 индуктивность в микрогенри, а емкость в пикофарадах.

21. Пусть два соленоида с индуктивностями L_1 и L_2 соединены параллельно, как показано на рисунке. Докажите, что

$$\frac{1}{L_t}=\frac{1}{L_1}+\frac{1}{L_2}, \text{ где } V_{\text{самоинд.}}=-L_t\frac{dI_t}{dt}.$$



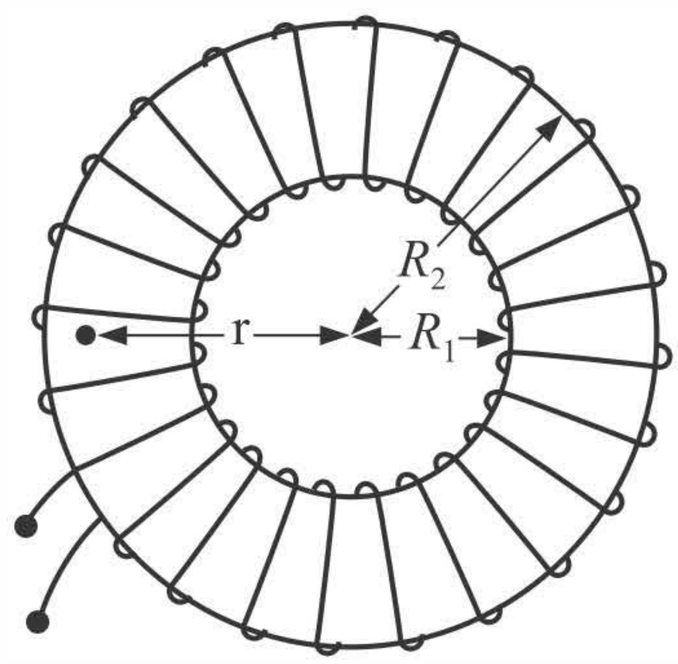
22. Запишите импеданс $Z=\sqrt{R^2+(\omega L-1/\omega C)^2}$ через резонансную частоту ω_0, R, L и ω.

23. Запишите импеданс Z в упражнении 22 через величины ω_0, R, Q и ω, где $Q\equiv\omega_0 L/R$.

24. Катушка индуктивности в 1 Гн с сопротивлением $R = 0$ включена в бытовую сеть переменного тока. Чему равны ток и рассеиваемая мощность?

Задачи

25. Тороидальный соленоид (на рисунке показан вид с торца) с внутренним радиусом R_1 и внешним радиусом R_2 содержит N витков (это катушка, намотанная на бублик). Найдите магнитное поле $\mathscr{B}$ внутри соленоида в зависимости от r и индуктивность этого тороида (считайте поперечное сечение соленоида квадратным.)



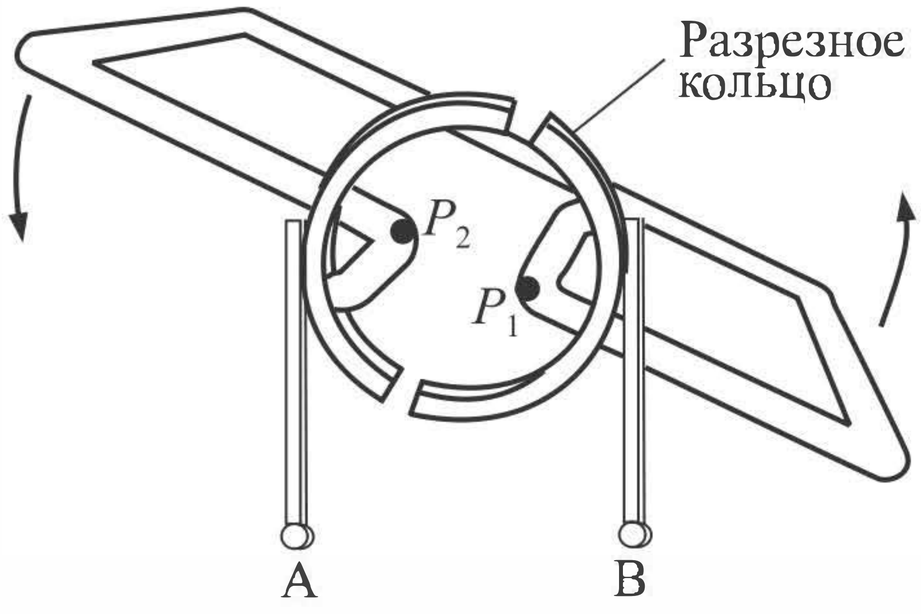
26. В условиях задачи 25 проинтегрируйте выражение $c^2\mathscr{B}^2/8\pi k_0$ по всему пространству и сравните полученный результат с $LI^2/2$.

27. Пусть в схеме на рис. 19-1 между точками P_1 и P_2 подключен резистор с сопротивлением 10 Ом. Какой величины заряд проходит через резистор, когда рамка поворачивается от 0 до 180°? Считайте $l_1 = l_2 = 0{,}1$ м и $\mathscr{B} = 1{,}5$ Т. (*Указание:* Используя формулу $I = (1/R)\,V$, покажите, что $dq = (1/R)\,d\Phi$.)

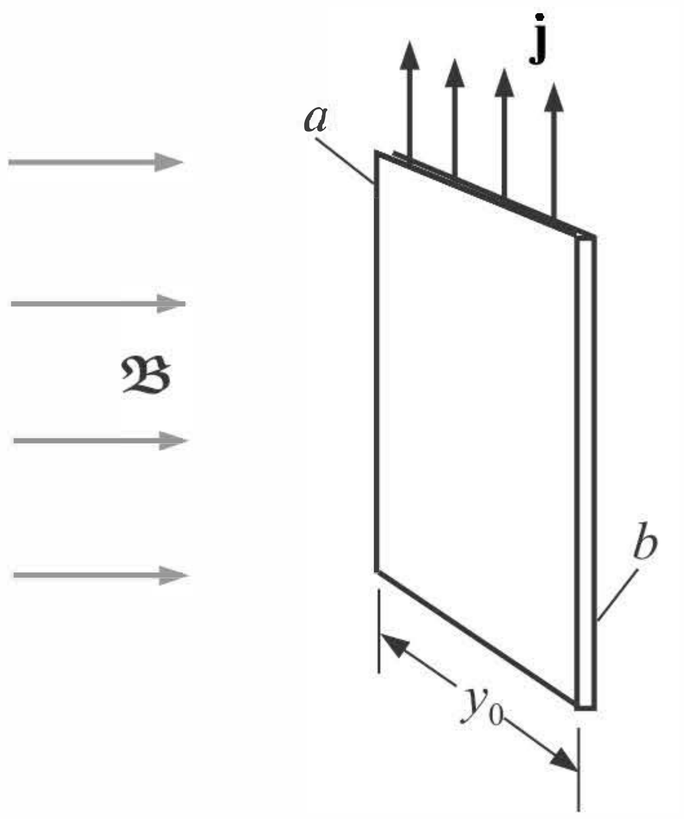
28. Пусть в примере 1 один конец катушки подключен к одной части разрезанного пополам медного кольца, а другой конец катушки — к другой (см. рисунок). Это разрезанное коллекторное кольцо находится в электрическом контакте с двумя медными щетками. Постройте зависимость выходного напряжения между точками A и B от времени. Чему равна величина

$$\bar{V}=\frac{1}{T}\int_0^T V dt?$$

(На этом принципе построены генераторы постоянного тока.)



29. В однородном магнитном поле $\mathfrak{B}$ помещена проводящая пластина с плотностью тока **j**, как показано на рисунке.



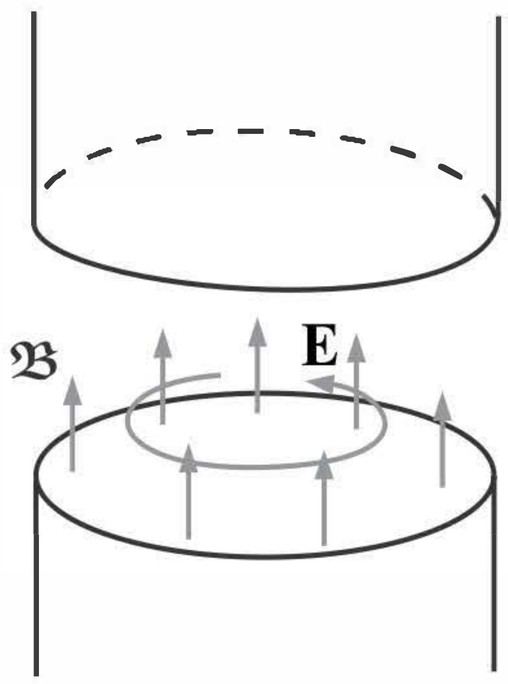
а) Ток обусловлен электронами проводимости, на каждый из которых в поперечном направлении действует магнитная сила. Какая из сторон, a или b, приобретет положительный заряд?

б) Пусть пластина — полупроводник p-типа, в котором носителями тока служат положительные заряды. Какая сторона приобретет положительный заряд в этом случае?

(Это явление называется эффектом Холла, который используется для определения знака заряда носителя тока.)

30. Пусть концентрация электронов проводимости в задаче 29 равна . Выразите разность потенциалов между сторонами a и b через j, $\mathscr{B}$, $\mathfrak{N}$, y_0 и e. (*Указание:* Действующая на электрон проводимости в поперечном направлении результирующая сила должна равняться нулю.)

31. В циклотроне используется магнит с полюсами круглой формы радиусом 50 см.



Вследствие большой индуктивности катушки ток в магните после включения линейно возрастает в течение 2 с и магнитное поле достигает за это время максимального значения 2 Т. В течение этого времени между полюсами индуцируется поле **E** (на рисунке показано круговой линией).

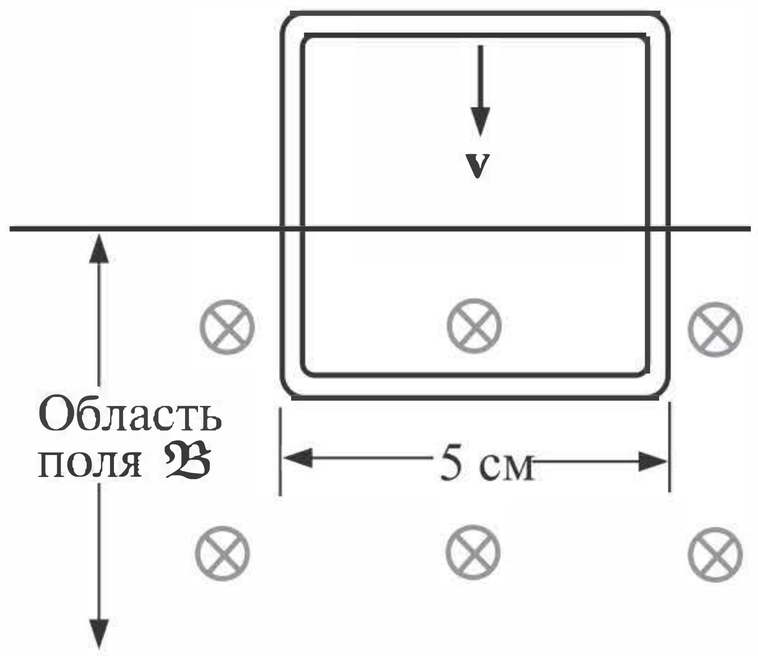
а) Найдите выражение для величины поля E через $\partial\mathscr{B}/\partial t$ и r.

б) Какова величина поля E в точке $r = 40$ см?

32. Повторите решение задачи 31(а) для случая, когда r превышает радиус магнита R.

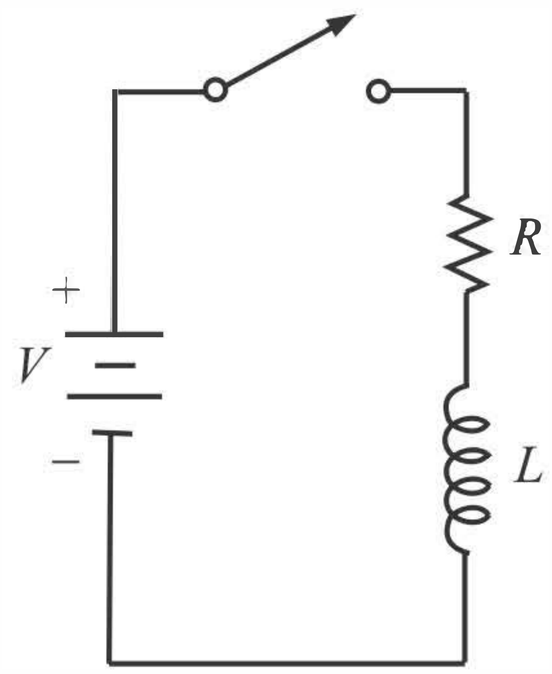
33. Коснувшись клемм батареи низкого напряжения языком, можно буквально попробовать электричество на вкус. Например, довольно сильное ощущение вызывают 1,5 В при расстоянии между клеммами 6 см. С какой скоростью нужно трясти головой между полюсами магнита циклотрона в задаче 31, чтобы ощутить то же самое? ($\mathscr{B} = 2$ Т.)

34. Квадратная медная рамка с сопротивлением $R = 0{,}5$ Ом падает в область магнитного поля $\mathscr{B} = 1{,}6$ Т (см. рисунок). Масса единицы длины провода равна 2 г/см. Действующая на рамку магнитная сила противоположна силе тяжести. Найдите скорость установившегося движения рамки и направление индуцированного в ней тока.

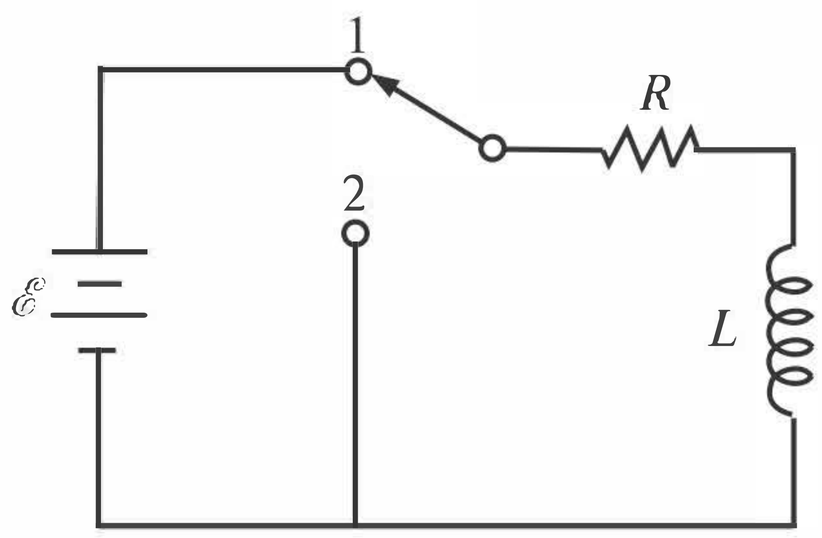


35. Катушка индуктивности и резистор соединены последовательно, как показано на рисунке. В момент времени $t = 0$ замыкается ключ. Докажите, что зависимость тока от времени имеет следующий вид:

$$I = \frac{V}{R}\left[1 - \exp\left(-\frac{Rt}{L}\right)\right].$$



36. Пусть в схеме, показанной на рисунке, ключ находится в положении 1 и в цепи течет постоянный ток.



а) Какая энергия запасается в индуктивности L?

б) Найдите зависимость падения напряжения на сопротивлении R от времени, после того как ключ переброшен из положения 1 в положение 2.

в) Найдите полную энергию, рассеиваемую в резисторе в виде джоулева тепла за время от $t = 0$ до $t = \infty$, после того как ключ переброшен из положения 1 в положение 2.

37. Рассчитайте элементы схемы, описанной в примере 8, при условии, что $f_0 = 1$ МГц и что V_C уменьшается вдвое при $f = f_0 + \Delta f$, где $\Delta f = 5$ кГц. (Такую частотную характеристику мог бы иметь радиоприемник с амплитудной модуляцией.)

38. Катушка индуктивности 1 Гн с сопротивлением 1 Ом включена в сеть переменного тока. Найдите ток и рассеиваемую мощность.

39. Рассмотрим пример 9 для случая, когда последовательно с конденсатором включен 100-омный резистор.

а) Чему равен ток в этой цепи?

б) Каково среднее значение рассеиваемой мощности?

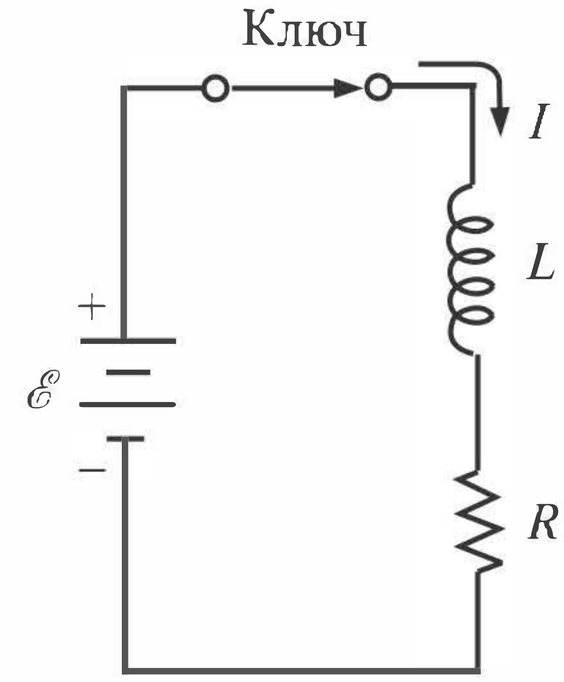
в) Какая максимальная мгновенная мощность поступает в конденсатор?

40. Внутреннее сопротивление недоброкачественного (обладающего утечкой заряда) конденсатора емкостью 1 мкФ составляет 100 МОм. В момент $t = 0$ конденсатор заряжается до напряжения 100 В. За какое время напряжение уменьшится до 10 В?

41. Через какое время напряжение на сопротивлении в схеме на рис. 19-17 будет равно $\mathscr{E}/2$? Ответ запишите через R и C.

42. Выразите напряжение на конденсаторе на рис. 19-17 через $\mathscr{E}$, R, C и t.

43. Пусть в схеме, показанной на рисунке, ключ замыкается в момент $t = 0$.



Найдите зависимость падения напряжения на сопротивлении от времени, полагая, что величины $\mathscr{E}$, L и R известны. (Сумма падений напряжений на элементах этой цепи равна $\mathscr{E} - L\,(dI/dt) - IR = 0$.)

20 Электромагнитное излучение и волны

Эта и три последующие главы посвящены электромагнитным волнам и оптике. Настоящую главу мы начнем с рассмотрения бегущих электгромагнитных волн, а затем перейдем к бегущим волнам на струне.

В табл. 18-2 представлена система четырех уравнений, на которых основано описание всех электрических явлений, происходящих с постоянными токами, покоящимися или равномерно движущимися зарядами. Совокупность этих четырех уравнений называется уравнениями Максвелла (для электростатики и магнитостатики).

§ 1. Ток смещения

Перейдем теперь к рассмотрению более общего случая меняющихся во времени токов и движущихся с ускорением зарядов. Приведенные в табл. 18-2 уравнения следует видоизменить таким образом, чтобы они учитывали изменение электрического и магнитного полей. Эта задача наполовину решена в предыдущей главе. Мы показали там, что если магнитное поле меняется, то, согласно закону Фарадея, возникает электрическое поле:

$$\oint \mathbf{E} \cdot d\mathbf{s} = -\frac{d}{dt}\Phi_B,$$

где $\Phi_B = \int \mathfrak{B} \cdot d\mathbf{A}$ — магнитный поток, охватываемый замкнутым контуром. В следующем параграфе мы увидим, что в случае с меняющимся электрическим полем в правой части уравнения, выражающего закон Ампера, должен присутствовать аналогичный член $(1/c^2)(d/dt)\Phi_E$. Добавляя этот член соответственно к уравнениям II и IV в табл. 18-2, мы получаем уравнения Максвелла, записанные в наиболее общем виде. Именно в этом виде они используются для описания любых электромагнитных явлений. Мы увидим далее в этой главе, что при включении, выключении, а также любом изменении тока во времени уравнения Максвелла предсказывают испускание электрического и магнитного полей, распространяющихся в пространстве со скоростью $v = c$.

На рис. 20-1 приведен пример, который показывает, почему в закон Ампера нужно добавить дополнительное выражение $(1/c^2)(d/dt)\Phi_E$. Конденсатор с пластинами круглой формы заряжается током I, который переносит заряды с левой пластины на правую. Магнитное поле в точке P можно вычислить, проведя через нее окружность радиусом r и воспользовавшись законом Ампера. На рис. 20-1, *а* через ограниченную этой окружностью плоскость протекает ток I. Согласно закону Ампера (18-2),

$$\oint_{\text{По окружности}} \mathfrak{B} \cdot d\mathbf{A} = 4\pi \frac{k_0}{c^2} \int_S \mathbf{j} \cdot d\mathbf{A}.$$

Из рис. 20-1, *а* следует, что $\int \mathbf{j} \cdot d\mathbf{A} = I$. Таким образом,

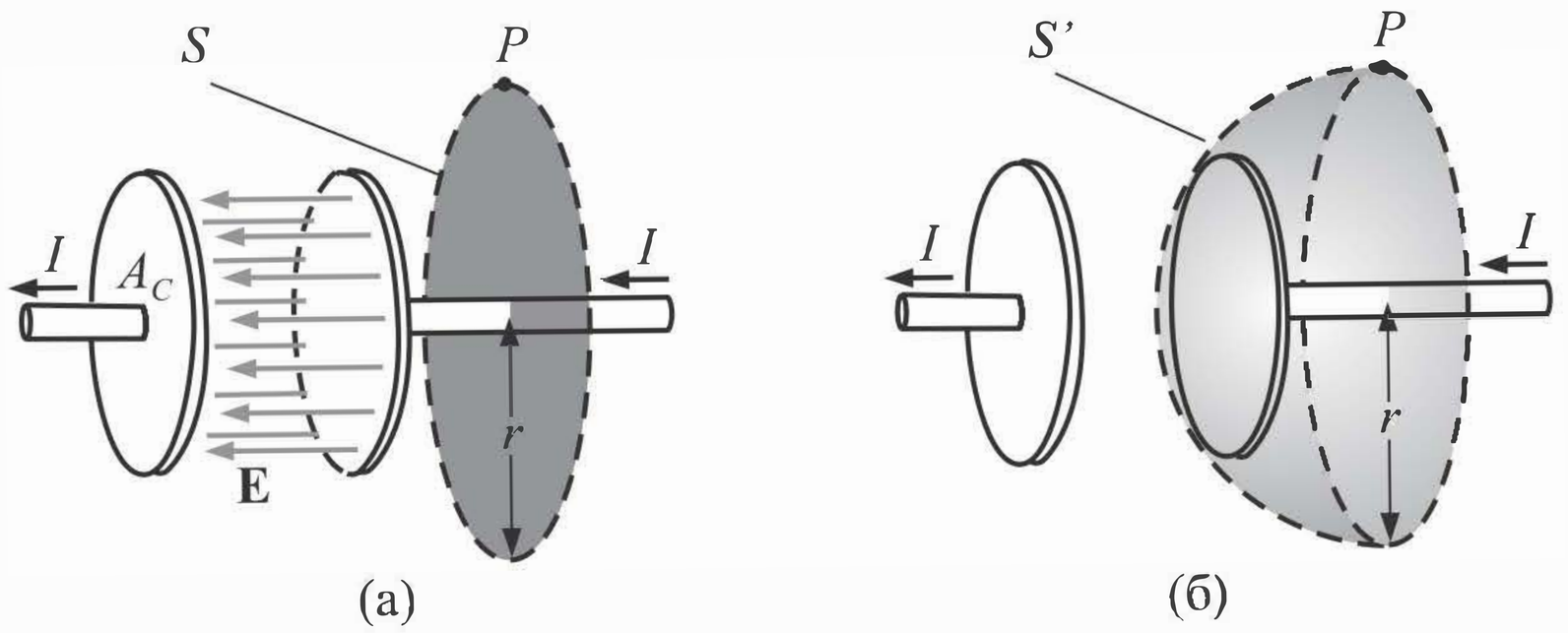


Рис. 20-1. Через конденсатор с круглыми пластинами течет ток I: *а* — электрическое поле между пластинами конденсатора; ток I пересекает плоскую поверхность S, ограниченную штриховой линией; *б* — изогнутая поверхность S', опирающаяся на ту же линию, не пересекается током I

$$\mathscr{B}\cdot 2\pi R = 4\pi\frac{k_0}{c^2}I,$$

$$\mathscr{B} = \frac{2k_0}{c^2}\frac{I}{r} \text{ (в точке } P\text{)}.$$

Однако закон Ампера должен выполняться для любой поверхности, опирающейся на ту же окружность, в частности и для такой поверхности, как S' на рис. 20-1, *б*. Но в этом случае мы имеем $\int_{S'}\mathbf{j}\cdot d\mathbf{A} = 0$ (поскольку через поверхность S' ток не проходит); тогда, согласно закону Ампера, $\oint\mathfrak{B}\cdot d\mathbf{s} = 0$, а это противоречит предыдущему результату, справедливость которого доказана. Опираясь на аналогичные примеры, Максвелл в 1860 г. пришел к выводу, что выражение для закона Ампера, приведенное в гл. 18, некорректно в случае с переменным электрическим полем. Вместе с тем Максвелл обнаружил, что некорректность записи можно устранить, добавив к первой части уравнения выражение $(1/c^2)\int(\partial\mathbf{E}/\partial t)d\mathbf{A}$. В корректной форме закон Ампера запишется следующим образом:

$$\oint\mathfrak{B}\cdot d\mathbf{s} = 4\pi\frac{k_0}{c^2}\int\mathbf{j}\cdot d\mathbf{A} + \frac{1}{c^2}\int\frac{\partial\mathbf{E}}{\partial t}\cdot d\mathbf{A}.$$

Теперь мы покажем, что это уравнение приводит к одному и тому же значению поля $\mathscr{B}$ в точке P независимо от вида поверхности интегрирования: S или S'. Для участка поверхности S', расположенного между пластинами конденсатора,

$$E = 4\pi k_0 Q/A_C.$$

Таким образом, дифференцируя это выражение по t, имеем

$$\frac{\partial E}{\partial t} = \frac{4\pi k_0}{A_C}\frac{\partial Q}{\partial t} = \frac{4\pi k_0}{A_C}I. \qquad (20\text{-}1)$$

Интегрирование по поверхности S' дает

$$\int_{S'}\frac{\partial\mathbf{E}}{\partial t}\cdot d\mathbf{A} = 4\pi k_0 I,$$

и, следовательно, добавленное Максвеллом выражение принимает вид

$$\frac{1}{c^2}\int_{S'}\frac{\partial\mathbf{E}}{\partial t}\cdot d\mathbf{A} = \frac{1}{c^2}(4\pi k_0 I),$$

приравнивая которое к интегралу $\oint\mathfrak{B}\cdot d\mathbf{s}$, мы получаем правильный результат. Итак, записанный Максвеллом в корректной форме закон Ампера имеет вид

$$\oint\mathfrak{B}\cdot d\mathbf{s} = \frac{4\pi k_0}{c^2}\int\mathbf{j}\cdot d\mathbf{A} + \frac{1}{c^2}\int\frac{\partial\mathbf{E}}{\partial t}\cdot d\mathbf{A}. \qquad (20\text{-}2)$$

Первый член в правой части представляет собой реальный ток, протекающий через поверхность, ограниченную замкнутым контуром. Второй член также можно интерпретировать как ток. Максвелл назвал его током смещения.

Пример 1. Определим поле $\mathscr{B}$ как функцию r между пластинами конденсатора (рис. 20-2).

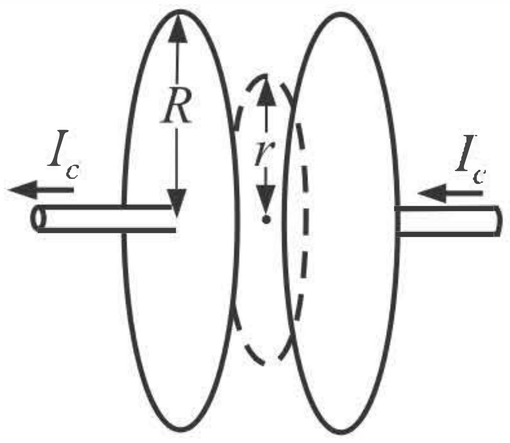


Рис. 20-2. Конденсатор с круглыми параллельными пластинами, через который «протекает» ток I_c. Силовые линии магнитного поля $\mathscr{B}$ представляют собой окружности с центром на оси конденсатора.

Решение: Запишем уравнение (20-2) для контура, показанного на рис. 20-2 штриховой линией:

$$\mathscr{B}\cdot(2\pi R)=0+\frac{1}{c^2}\left(\frac{\partial E}{\partial t}\right)(\pi r^2), \qquad \mathscr{B}=\frac{r}{2c^2}\frac{\partial E}{\partial t}.$$

Подставляя вместо $\partial E/\partial t$ его выражение (20-1), находим

$$\mathscr{B}=\frac{r}{2c^2}\left(\frac{4\pi k_0 I_c}{\pi r^2}\right)=\frac{2k_0 I_c}{c^2 R^2}r.$$

Следует заметить, что этот результат совпадает с выражением (18-4) для магнитного поля внутри сплошного стержня радиусом R, по которому течет ток I_c. Магнитное поле $\mathscr{B}$ то же, что и в случае, когда зазор между пластинами конденсатора заполнен проводником.

§ 2. Уравнения Максвелла в общем виде

Получив выражения для закона Фарадея и тока смещения в законе Ампера, мы можем записать четыре уравнения Максвелла в наиболее общем виде, как это сделано в табл. 20-1. С помощью этих уравнений можно найти поля $\mathbf{E}$ и $\mathfrak{B}$ для любых точек пространства и любого момента времени, если известны координаты и скорости создающих поля зарядов. Таким образом, известны поля $\mathbf{E}$ и $\mathfrak{B}$ в месте расположения каждой частицы и соответственно силы, действующие на каждую из частиц: $\mathbf{F}=q\mathbf{E}+q\mathbf{v}\times\mathfrak{B}$. В свою очередь это позволяет вычислить координаты и скорости взаимодействующих

Таблица 20-1

Уравнения Максвелла

Система единиц МКС с использованием k_0	Система единиц МКС с использованием ε_0 и μ_0 (система СИ)	Система единиц СГС (или гауссова)
I. Теорема Гаусса		
$\oint \mathbf{E}\cdot d\mathbf{A}=4\pi k_0\int\rho\,dV$	$\oint \mathbf{E}\cdot d\mathbf{A}=\frac{1}{\varepsilon_0}\int\rho\,dV$	$\oint \mathbf{E}\cdot d\mathbf{A}=4\pi\int\rho\,dV$
II. Закон Фарадея		
$\oint \mathbf{E}\cdot d\mathbf{s}=-\int\frac{\partial\mathfrak{B}}{\partial t}\cdot d\mathbf{A}$	$\oint \mathbf{E}\cdot d\mathbf{s}=-\int\frac{\partial\mathfrak{B}}{\partial t}\cdot d\mathbf{A}$	$\oint \mathbf{E}\cdot d\mathbf{s}=-\frac{1}{c}\int\frac{\partial\mathfrak{B}}{\partial t}\cdot d\mathbf{A}$
III. Отсутствие магнитных зарядов		
$\oint \mathfrak{B}\cdot d\mathbf{A}=0$	$\oint \mathfrak{B}\cdot d\mathbf{A}=0$	$\oint \mathfrak{B}\cdot d\mathbf{A}=0$
IV. Модифицированный закон Ампера		
$\oint \mathfrak{B}\cdot d\mathbf{s}=\frac{4\pi k_0}{c^2}\int\mathbf{j}\cdot d\mathbf{A}+$ $+\frac{1}{c^2}\int\frac{\partial\mathbf{E}}{\partial t}\cdot d\mathbf{A}$	$\oint \mathfrak{B}\cdot d\mathbf{s}=\mu_0\int\mathbf{j}\cdot d\mathbf{A}+$ $+\mu_0\varepsilon_0\int\frac{\partial\mathbf{E}}{\partial t}\cdot d\mathbf{A}$	$\oint \mathfrak{B}\cdot d\mathbf{s}=\frac{4\pi}{c}\int\mathbf{j}\cdot d\mathbf{A}+$ $+\frac{1}{c}\int\frac{\partial\mathbf{E}}{\partial t}\cdot d\mathbf{A}$

заряженных частиц в будущем. Тем самым электромагнитная теория в принципе достигает поставленной цели, а именно позволяет вычислить координаты и скорости для любой системы взаимодействующих заряженных частиц. Максвелл обнаружил также, что излучаемое поле обладает энергией и импульсом.

Напомним, что эти уравнения были получены в гл. 16–19 (т. 1) с помощью закона Кулона и специальной теории относительности. Поэтому систему этих четырех уравнений можно рассматривать как релятивистскую форму записи закона Кулона. Действительно, использование высшей математики позволяет переписать все четыре уравнения Максвелла в виде единого тензорного уравнения.

Уравнения Максвелла справедливы как в вакууме, так и в среде при условии, что выражения для ρ и $\mathbf{j}$ включают внутриатомные заряды и токи (а также магнитные моменты). Эти уравнения справедливы для поверхностей и контуров любой формы и имеют единственное решение для $\mathbf{E}$ и $\mathfrak{B}$ при данном распределении заряда и тока (ρ и $\mathbf{j}$). Свойство единственности позволяет отыскивать решение, угадывая его вид. Подставляя затем это решение в уравнения Максвелла, можно убедиться, что угаданное решение действительно удовлетворяет им. Если выбранное математическое выражение удовлетворяет уравнениям Максвелла, каковы бы ни были поверхности и контуры интегрирования, то оно представляет собой искомое решение. В следующем параграфе мы применим теорему единственности в задаче о плоском синусоидальном токе.

Максвелл не только сумел описать все электрические явления с помощью четырех простых уравнений, но и предсказал такие следствия этих уравнений, которые прежде вряд ли связали бы со свойствами электричества. В 1864 г. он показал, что ускоренно движущийся заряд должен испускать электрическое и магнитное поля, распространяющиеся в пространстве со скоростью $u = 1/\sqrt{\mu_0 \varepsilon_0} = c$. Эти электрическое и магнитное поля излучения взаимно перпендикулярны, а также перпендикулярны направлению распространения волны. Он также показал, что в излучаемой волне $E = c\mathscr{B}$ (в системе единиц СГС $E = B$) и что поле, излучаемое ускоряющимся зарядом, обладает энергией и импульсом. Если заряд совершает колебания, то частота волны совпадает с частотой его колебаний. Максвелл предположил, что свет представляет собой электромагнитные волны определенного диапазона частот [$(4...7)\cdot 10^{14}$ Гц] и что должны существовать электромагнитные волны с более высокими и более низкими частотами во всем диапазоне значений. На рис. 20-3 приведен спектр электромагнитных волн.

Мы видим, что Максвелл не только раскрыл великую тайну природы света, но и предсказал, что колебания заряда в резонансном контуре будут приводить

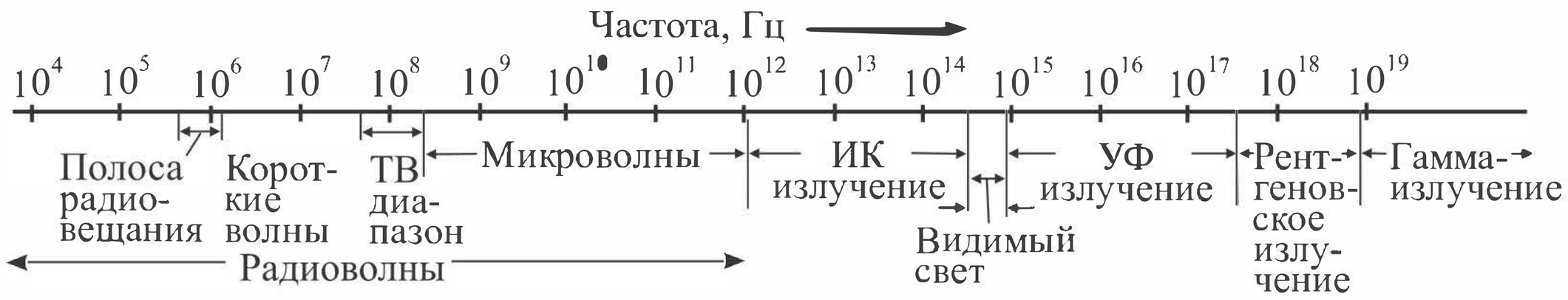


Рис. 20-3. Шкала спектра электромагнитных волн

к испусканию электромагнитных волн, которые можно обнаружить. Таким образом, он предсказал возможность радиосвязи до того, как были открыты радиоволны. Благодаря столь замечательному синтезу разнообразных физических явлений эта работа Максвелла считается величайшим достижением классической физики. Несомненно, Максвеллу удалось достичь в электромагнетизме того же, что сделал Ньютон в теории тяготения. Однако значение работы Максвелла еще выше, поскольку в большинстве физических явлений преобладают электромагнитные, а не гравитационные взаимодействия. Максвелл разработал законченную релятивистскую теорию электромагнитных взаимодействий, не отдавая себе полного отчета в этом. По существу, он впервые создал теорию поля, которая устраняет проблемы, обусловленные взаимодействием на расстоянии.

§ 3. Электромагнитное излучение

Уже из простого рассмотрения уравнений Максвелла видно, что электрическое и магнитное поля могут существовать и после того, как источники будут выключены. Разумеется, покоящиеся заряды или постоянные токи создают постоянные поля (поле $\mathbf{E}$ описывается законом Кулона, а поле $\mathfrak{B}$ — законом Ампера). Однако переменный ток или движущийся с ускорением заряд создают меняющееся магнитное поле; иными словами, $\partial\mathbf{E}/\partial t \neq 0$. В этом случае в соответствии с уравнением II (см. табл. 20-1) электрическое поле возникает, даже если повсюду $\rho = 0$. При этом производная $\partial\mathbf{E}/\partial t$ отлична от нуля, вследствие чего в соответствии с уравнением IV она должна давать вклад в поле $\mathfrak{B}$ *даже после выключения источника тока*. Естественно, что этот вклад в $\mathfrak{B}$ имеет $\partial\mathfrak{B}/\partial t \neq 0$, в результате чего появляется дополнительный вклад в поле $\mathbf{E}$, и т.д. Образно говоря, это выглядит так, как будто собака гоняется за собственным хвостом. Если энергия электромагнитного поля не расходуется, то процесс продолжается бесконечно, а электромагнитное возмущение, как мы вскоре увидим, распространяется в пространстве со скоростью, определяемой коэффициентами пропорциональности в уравнениях Максвелла. Собака беспрестанно гонится за своим хвостом, и граница области, в которой она кружится, раздвигается со скоростью $u = c$.

Излучение плоского тока

Рассмотрим поверхностный ток $\mathscr{I}$, текущий по бесконечной плоскости yz в отрицательном направлении оси y (рис. 20-4). Величина $\mathscr{I}$ — это поверхностный ток на единицу длины (в данном случае вдоль оси z). Даже в случае с переменным током магнитное поле вблизи плоскости можно вычислить, интегрируя по прямоугольному контуру, охватывающему ток, как показано на рис. 20-5.

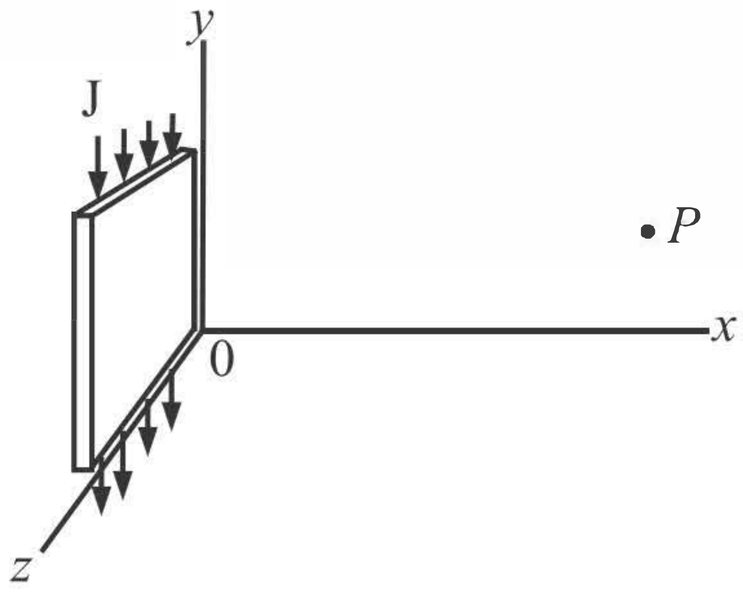


Рис. 20-4. Прямоугольный элемент бесконечной пластинки с поверхностным током $\mathscr{I}$

Пусть a — ширина, а b — высота прямоугольника. Нас интересует поле $\mathfrak{B}$ на расстоянии $a/2$ от плоскости. Если a стремится к нулю, то к нулю стремится и площадь прямоугольника; тогда в уравнении (20-2) можно пренебречь членом

$\int(\partial\mathbf{E}/\partial t)\cdot d\mathbf{A}$. Поскольку ток $\mathscr{I}$ направлен за плоскость чертежа, обход контура совершается по часовой стрелке. При этом уравнение (20-2) запишется в виде

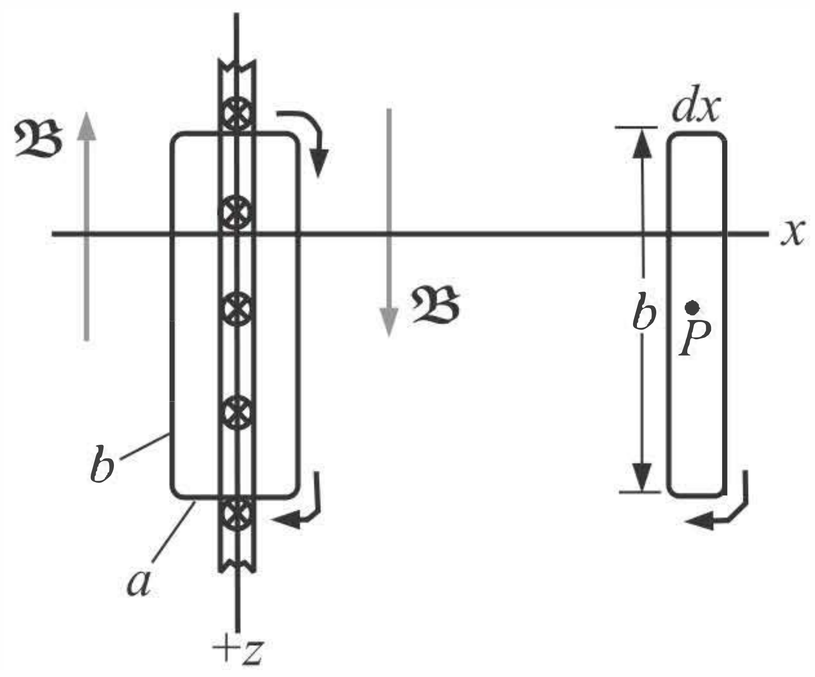
$$\oint \mathfrak{B}\cdot d\mathbf{s} = \frac{4\pi k_0}{c^2} I = \frac{4\pi k_0}{c^2}\mathscr{I} b,$$

или

$$2\mathscr{B} b = \frac{4\pi k_0}{c^2}\mathscr{I} b.$$

Отсюда находим

$$\mathscr{B} = \frac{2\pi k_0}{c^2}\mathscr{I} \quad (\textit{поле вблизи плоского тока}). \tag{20-3}$$



Вид сверху

Рис. 20-5. Вид сверху элемента тока, изображенного на рис. 20-4. Контурные интегралы берутся соответственно по часовой стрелке вокруг тока и вокруг точки P

Это выражение совпадает с (18-5) для постоянного тока $\mathscr{I}$. Однако теперь ток $\mathscr{I}$ может изменяться во времени и полученный результат справедлив лишь в непосредственной близости от источника.

Поле в точке P, расположенной на некотором расстоянии от источника, можно вычислить, интегрируя по двум взаимно перпендикулярным прямоугольным контурам, включающим точку P (один из этих контуров показан на рис. 20-5). Поскольку математические выкладки в этом случае довольно громоздки, мы вынесли их в приложение к настоящей главе. Запишем лишь окончательные результаты:

$$\frac{\partial E_y}{\partial x} = -\frac{\partial \mathscr{B}_z}{\partial t} \tag{20-4}$$

и

$$\frac{\partial^2 \mathscr{B}_z}{\partial x^2} = \frac{1}{c^2}\frac{\partial^2 \mathscr{B}_z}{\partial t^2} \quad (\textit{волновое уравнение}). \tag{20-5}$$

Равенство (20-5) — это знаменитое дифференциальное уравнение, называемое волновым уравнением. В § 6 мы изучим его более подробно. Решение этого уравнения представляет собой бегущую волну, которая распространяется от источника со скоростью $u = c$. Уравнение (20-4) содержит дополнительную информацию, которая состоит в том, что величина сопутствующего электрического поля равна $E = c\mathscr{B}$ и что поля $\mathbf{E}$ и $\mathfrak{B}$ взаимно перпендикулярны. Эти решения подробно анализируются в следующих двух параграфах.

§ 4. Излучение плоского синусоидального тока

Предположим, что поверхностный ток на рис. 20-4 имеет вид

$$\mathscr{I} = \mathscr{I}_0 \cos\omega t,$$

причем ток $\mathscr{I}_0$ течет в направлении, противоположном оси y. Такой синусоидальный ток легко возбудить с помощью электрической схемы, описанной в § 5 гл. 19. Определим $\mathscr{B}(x, t)$ для всех значений x и t. При малых x решение дается выражением (20-3):

$$\mathscr{B}_z(x, t) = \frac{2\pi k_0}{c^2}\mathscr{I}_0 \cos\omega t.$$

При больших значениях x мы попытаемся «угадать» решение, которое совпадало бы при малых x с уже известным решением, и покажем, что оно удовлетворяет волновому уравнению (20-5). В этом случае «угаданное» решение будет единственным для рассматриваемого источника тока. Такое решение, совпадающее при малых x с уже известным решением, имеет следующий вид:

$$\mathscr{B}_z(x,t)=\frac{2\pi k_0}{c^2}\mathscr{I}_0\cos\omega\left(t-\frac{x}{c}\right). \qquad (20\text{-}6)$$

Подставляя это решение в левую часть уравнения (20-5), имеем

$$\frac{\partial^2\mathscr{B}_z}{\partial x^2}=-\left(\frac{\omega}{c}\right)^2\frac{2\pi k_0}{c^2}\mathscr{I}_0\cos\left(\omega t-\frac{\omega}{c}x\right)=$$
$$=-\frac{\omega^2}{c^2}\mathscr{B}_z,$$

а в правой части

$$\frac{1}{c^2}\frac{\partial^2\mathscr{B}_z}{\partial t^2}=\frac{1}{c^2}\left(-\omega^2\right)\frac{2\pi k_0}{c^2}\times$$
$$\times\mathscr{I}_0\cos\left(\omega t-\frac{\omega}{c}x\right)=-\frac{\omega^2}{c^2}\mathscr{B}_z.$$

Мы видим, что при использовании выражения (20-6) обе части уравнения совпадают. Кроме того, при $x\to 0$ это выражение дает $\mathscr{B}_z=(2\pi k_0/c^2)\mathscr{I}_0\cos\omega t$. Таким образом, это решение удовлетворяет так называемым граничным условиям и, следовательно, является единственным решением данной задачи.

В § 6 мы покажем, что функция $\cos\omega(t-x/c)$ описывает монохроматическую волну, распространяющуюся вдоль оси x со скоростью c, причем длина этой волны $\lambda=2\pi c/\omega$.

Электрическое поле излучения

Теперь, зная $\mathscr{B}$, мы можем вычислить E, подставив решение для $\mathscr{B}$ в уравнение (20-4):

$$\frac{\partial E_y}{\partial x}=-\frac{\partial}{\partial t}\left[\mathscr{B}_0\cos\omega\left(t-\frac{x}{c}\right)\right]=$$
$$=\omega\mathscr{B}_0\sin\omega\left(t-\frac{x}{c}\right),$$

$$E_y=\omega\mathscr{B}_0\int\sin\omega\left(t-\frac{x}{c}\right)dx=$$
$$=c\mathscr{B}_0\cos\omega\left(t-\frac{x}{c}\right)+\text{const}.$$

Постоянная интегрирования равна нулю, поскольку заряды, создающие постоянное электрическое поле, отсутствуют. Следовательно,

$$E_y=c\mathscr{B}_z=\frac{2\pi k_0}{c}\mathscr{I}_0\cos\omega\left(t-\frac{x}{c}\right)$$

(*поле излучения*). (20-7)

За положительное направление тока $\mathscr{I}_0$ выбрано направление, противоположное оси y. Поэтому положительные знаки величин E_y и $\mathscr{B}_z$ означают, что вблизи источника поле E_y направлено противоположно току $\mathscr{I}$. Удобно запомнить это следующим образом. Посмотрим, что происходит на верхнем и нижнем «краях» элемента плоского тока. Положительные заряды будут накапливаться на нижнем «крае», а отрицательные на верхнем. Силовые линии поля идут снизу вверх, т. е. противоположно направлению тока*.

* Если бы направление поля совпадало с направлением тока, электрическое поле совершало бы над зарядами положительную работу. Энергия тогда передавалась бы от поля току, и происходило бы поглощение, а не излучение электромагнитной волны. В нашем случае наоборот: направления поля и тока противоположны, т. е. происходит излучение электромагнитной волны. — *Прим. перев.*

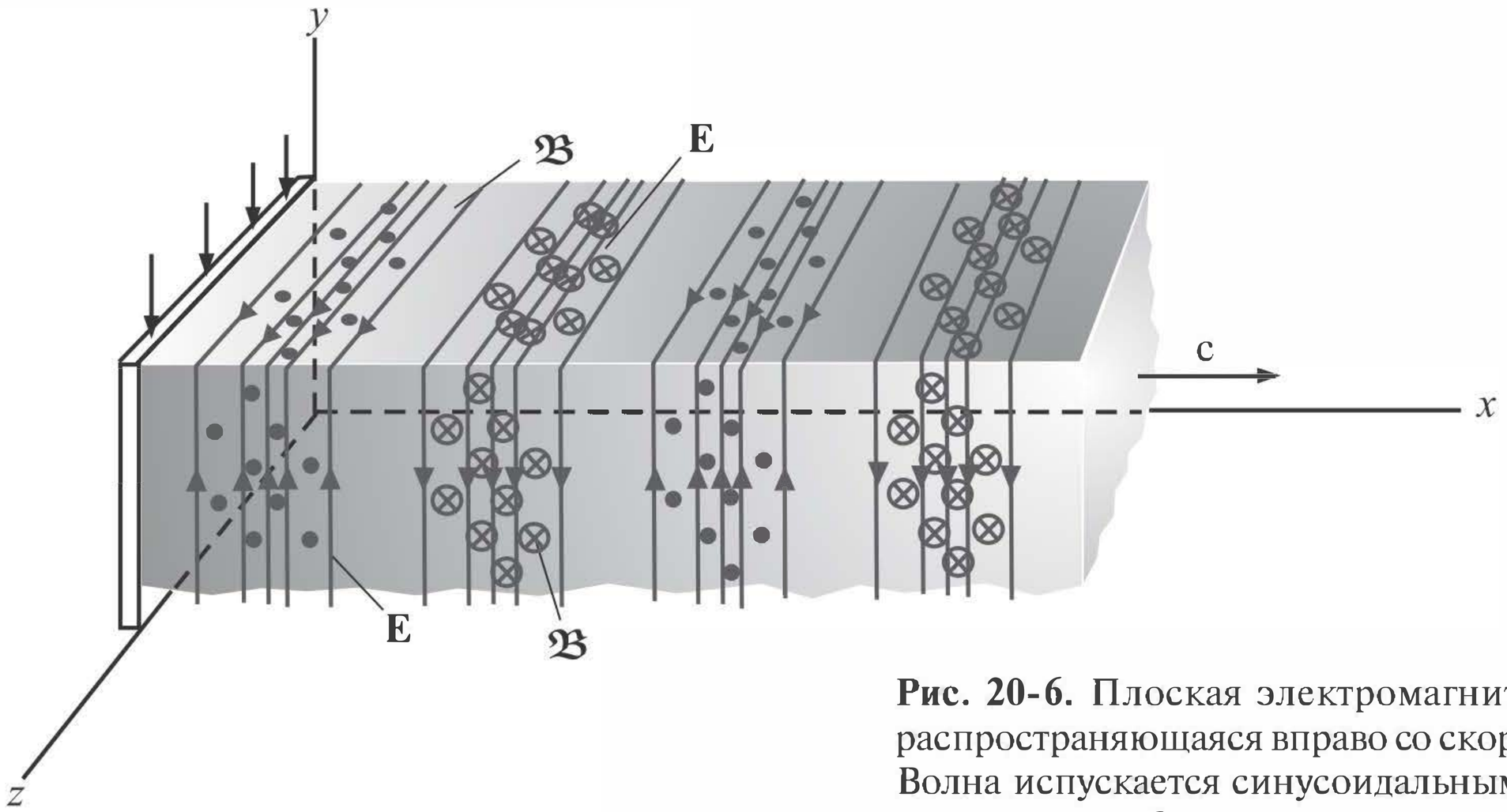


Рис. 20-6. Плоская электромагнитная волна, распространяющаяся вправо со скоростью $u = c$. Волна испускается синусоидальным поверхностным током $\mathscr{J}$, текущим в плоскости yz.

Мы показали, что $E = c\mathscr{B}$ (в системе единиц СГС $E = B$), а также что электрическое и магнитное поля взаимно перпендикулярны. (Чтобы продемонстрировать, что $E_z = 0$, можно вычислить интеграл $\oint \mathbf{E} \cdot d\mathbf{s}$ по прямоугольному контуру на рис. 20-5.) Полученное решение для $\mathbf{E}$ и $\mathfrak{B}$ справедливо для любого контура интегрирования и является единственным. На рис. 20-6 показаны силовые линии электрического и магнитного полей для синусоидального плоского тока.

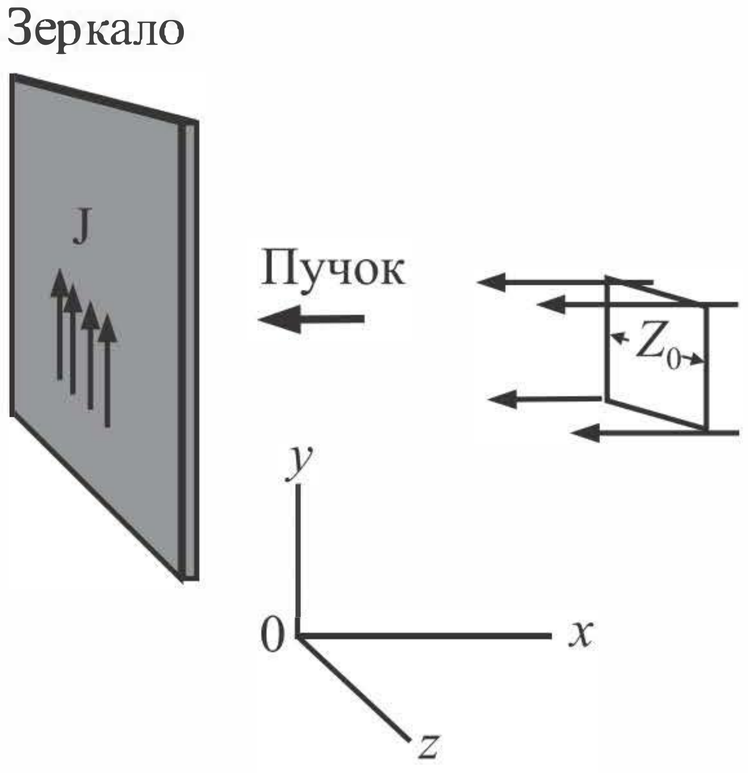


Рис. 20-7. Световой пучок квадратного сечения, падающий на зеркало справа и отражающийся от него. Отраженный пучок создается индуцированным током $\mathscr{J}$.

---

* **Пример 2.** Лампа-вспышка мощностью 3 Вт дает пучок света квадратного сечения размером 10×10 см^2 (рис. 20-7). Этот пучок падает на полированную металлическую пластину и отражается от нее. Отраженный свет мощностью 3 Вт излучается поверхностным током

$$\mathscr{J} = \frac{I_0}{z_0} \cos \omega t,$$

где z_0 — ширина пучка по оси z. Найдем ток I_0 в амперах (I_0 — полный ток, текущий по поверхности пластины), E_0 в вольтах на метр и B_0 в гауссах.

Решение: Пучок сечением 10^{-2} м^2 распространяется ежесекундно на $3 \cdot 10^8$ м. Следовательно, энергия пучка 3 Дж заключена в объеме, равном $3 \cdot 10^6$ м^3. Тогда

$$\frac{dU}{dV} = \frac{3 \text{ Дж}}{3 \cdot 10^6 \text{ м}^3} = 10^{-6} \text{ Дж/м}^3.$$

Из формулы (19-10) видно, что эта энергия распределяется поровну между электрическим и магнитным полями; поэтому

$$\frac{\overline{E^2}}{8\pi k_0} = \frac{1}{2}\cdot 10^{-6}\ \text{Дж}/\text{м}^3.$$

Поскольку $\overline{E^2} = E_0^2/2$, то

$$E_0^2 = 8\pi k_0 \cdot 10^{-6}\ \text{Дж}/\text{м}^3,$$

$$E_0 = \sqrt{8\pi\left(9\cdot 10^9\right)\cdot 10^{-6}}\ \text{В}/\text{м} = 475\ \text{В}/\text{м},$$

$$\mathscr{B}_0 = \frac{E_0}{c} = \frac{475}{3\cdot 10^8}\ \text{Т} = 1{,}58\cdot 10^{-6}\ \text{Т},$$

откуда получаем

$B_0 = 1{,}58\cdot 10^{-2}$ Гс.

Используя формулу (20-7), находим

$$\mathscr{I}_0 = \frac{cE_0}{2\pi k_0} = \frac{\left(3\cdot 10^8\right)(475)}{2\pi\left(9\cdot 10^9\right)}\ \text{А}/\text{м} = 2{,}52\ \text{А}/\text{м}$$

и

$I_0 = z_0\mathscr{I}_0 = (0{,}1\ \text{м})(2{,}52\ \text{А}/\text{м}) = 0{,}252$ А.

---

* **Пример 3.** Генератор переменного тока подключен к большой металлической пластине и создает в ней поверхностный ток $\mathscr{I}_0\cos\omega t$. Вследствие непрерывности электрического поля излучения $E_{\text{изл.}}$ в пластине на каждый электрон проводимости действует сила $eE_{\text{изл.}}$. Эта сила обеспечивает передачу энергии от генератора электронам проводимости. Пренебрегая омическими потерями, вычислим мощность, потребляемую от генератора участком пластины площадью 1 м^2.

Решение: Выделим участок пластины размером y_0z_0. Электрическая мощность, приходящаяся на единицу площади,

$$\frac{P}{A} = \frac{VI}{y_0z_0} = \frac{\left(E_{\text{изл.}}y_0\right)\left(\mathscr{I}z_0\right)}{y_0z_0} = E_{\text{изл.}}\mathscr{I}.$$

Используя выражение $\mathscr{B}_{\text{изл.}} = (2\omega k_0/c^2)\mathscr{I}$, получаем

$$\frac{P}{A} = \frac{c^2}{2\pi k_0}E_{\text{изл.}}\mathscr{B}_{\text{изл.}}.$$

Эта энергия излучается в виде электрического и магнитного полей (см. § 1 гл. 21). Усредняя полученное выражение по времени, находим, что для бегущей электромагнитной волны

$$\text{Мощность на единицу площади} = \frac{c^2}{2\pi k_0}E\mathscr{B}.$$

---

* **Пример 4.** Найдем эффективное сопротивление участка пластины размером 1×1 м^2 в примере 3.

Решение:

$$R = \frac{V}{I} = \frac{Ey_0}{\mathscr{I}z_0}.$$

Поскольку $y_0 = z_0 = 1$ м, то

$$R = \frac{E_0}{\mathscr{I}} = \frac{2\pi k_0}{c} = 2\pi\frac{9\cdot 10^9}{3\cdot 10^8}\ \text{Ом} = 188{,}5\ \text{Ом}.$$

В реальных случаях ток, текущий по каждой поверхности металлической пластины, равен $\mathscr{I}/2$. Поэтому эффективное сопротивление участка каждой поверхности вдвое превышает вычисленное нами значение, а именно

$$4\pi\frac{k_0}{c} = \frac{1}{\varepsilon_0 c} = \sqrt{\frac{\mu_0}{\varepsilon_0}} = 377\ \text{Ом}.$$

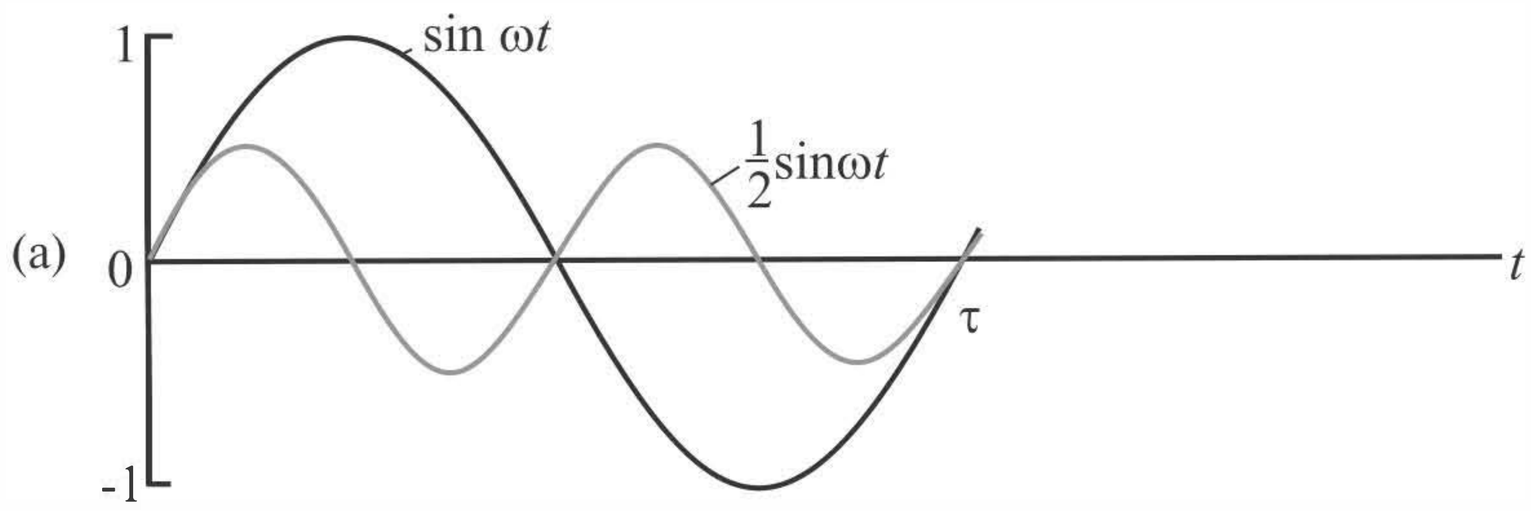
Эта величина называется импедансом свободного пространства.

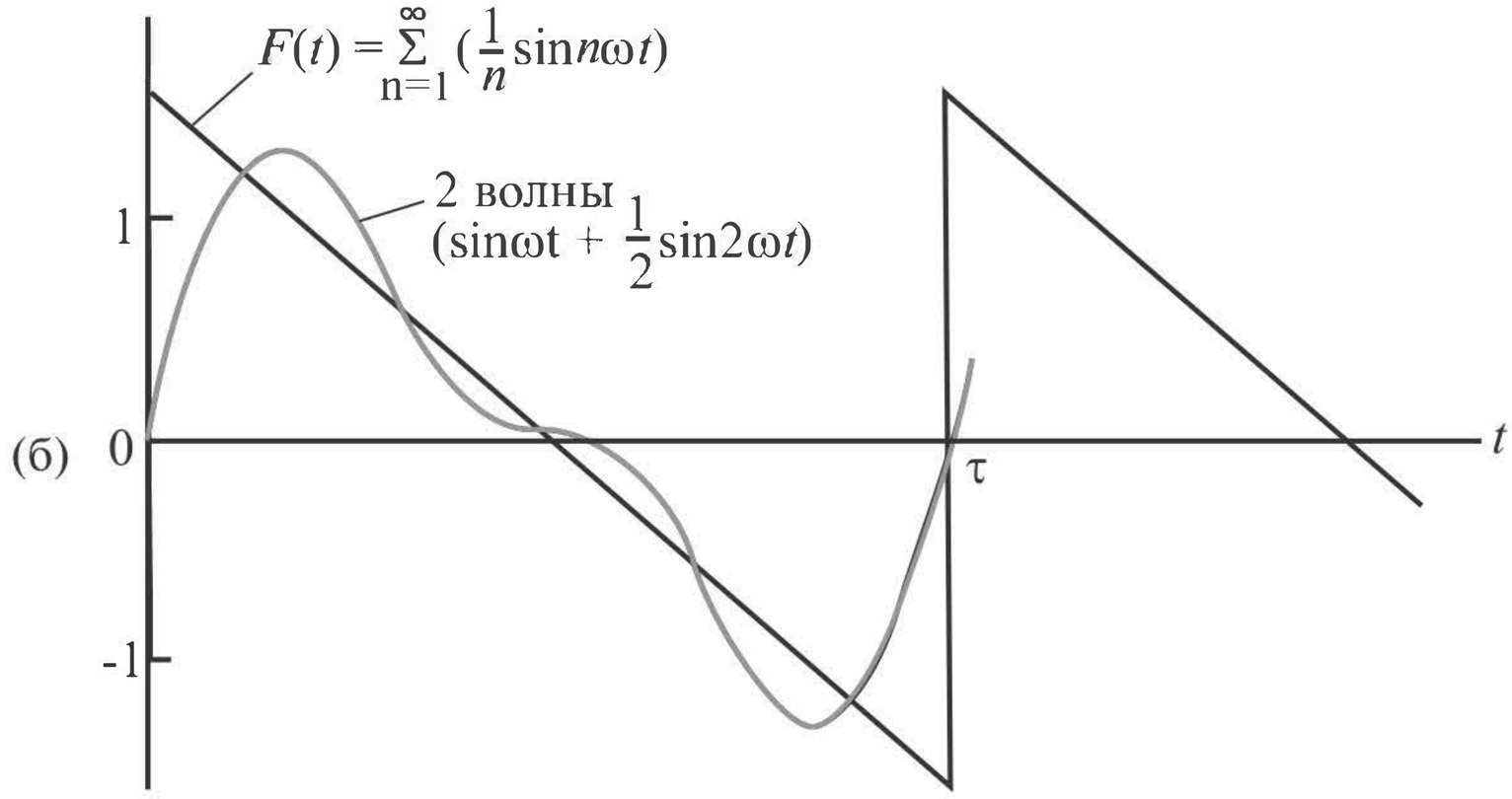
---

§ 5. Несинусоидальный ток; разложение Фурье

Рассмотрим теперь вместо синусоидального ток, представляющий собой произвольную функцию времени. Такой же функцией будет описываться изменение во времени электрического и магнитного полей, испускаемых этим током. Рассмотрим, например, случай, когда поверхностный ток описывается пилообразной функцией с периодом τ. При этом $\omega = 2\pi/\tau$. На рис. 20-8 показано, каким образом пилообразную функцию можно представить в виде суммы бесконечного числа синусоидальных волн:

$$F(t) = \sum_{n=1}^{\infty}\left(\frac{1}{n}\sin n\omega t\right)$$





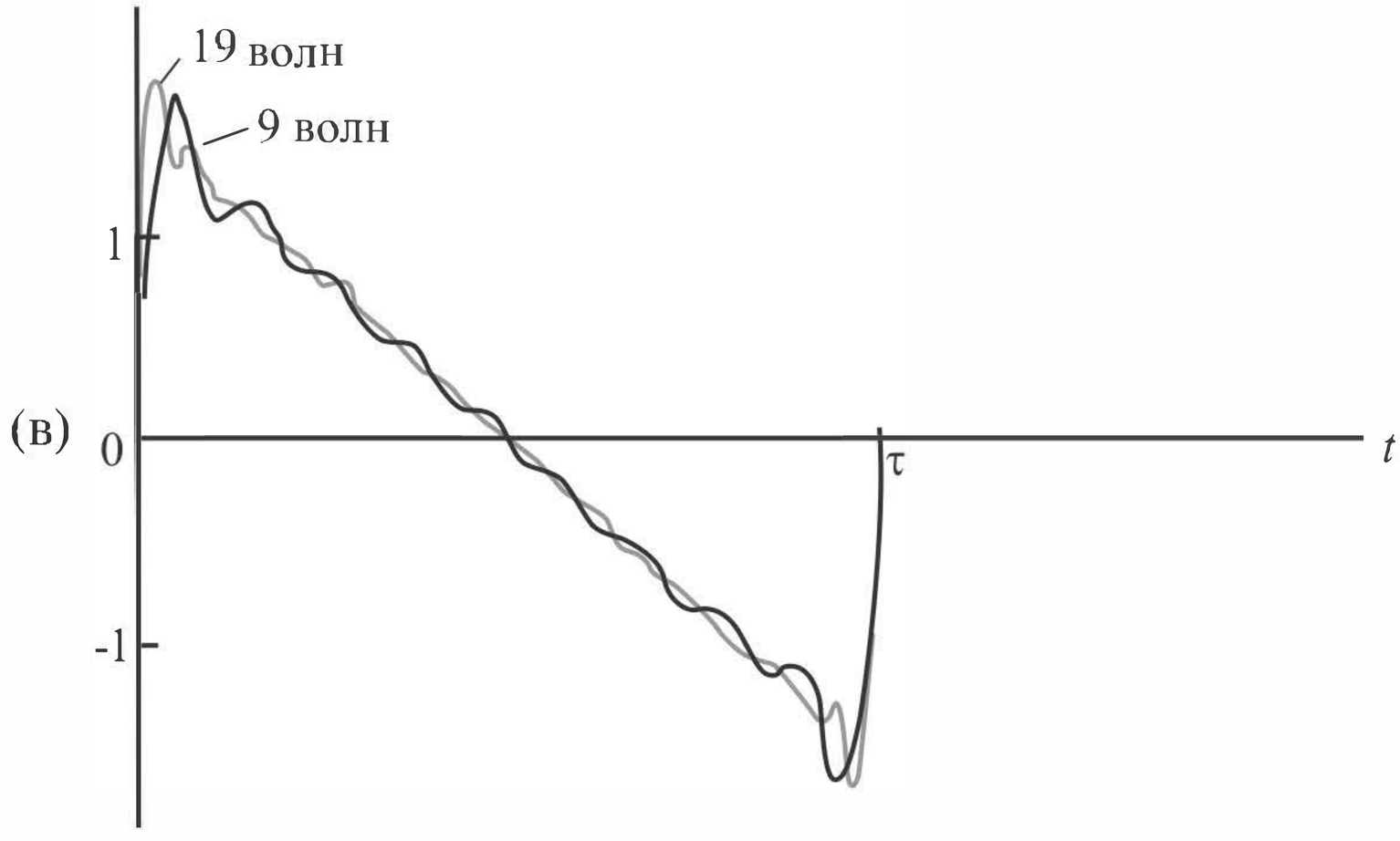


Рис. 20-8. Представление пилообразной функции, показанной тёмной линией на рис. *б*, в виде суммы бесконечного числа синусоидальных волн. *а* — первые две синусоидальные волны; *б* — результат сложения двух синусоидальных волн, показанных на рис. *а*; *в* — сумма первых девяти (а также первых 19) синусоидальных волн

Написанное выражение называется разложением Фурье периодической функции $F(t)$. В общем случае любую периодическую функцию с частотой $1/\tau$ можно записать в виде суммы монохроматических волн с частотами $n\,(1/\tau)$, где n пробегает целочисленные значения от 1 до ∞. Складывая чистые синусоиды с плавным изгибом, лишенные прямолинейных участков, можно получить абсолютно прямые линии с резкими изломами. Разумеется, чтобы получить строго прямые линии с резкими изломами, требуется бесконечное число синусоид.

Для генерации пилообразной электромагнитной волны поверхностный ток должен иметь вид

$$\mathscr{I} = \mathscr{I}_0 \sum_{n=1}^{\infty} \left(\frac{1}{n} \sin n\omega t \right), \text{ где } \omega = \frac{2\pi}{\tau}.$$

Каждому члену этой суммы отвечает решение, определяемое выражениями (20-6) и (20-7). Поскольку уравнения Максвелла линейны относительно E, $\mathscr{B}$ и $\mathscr{I}$, полное решение равно сумме отдельных решений. Это называется принципом суперпозиции. Полное решение записывается в виде

$$E = c\mathscr{B} = \frac{2\pi k_0}{c} \mathscr{I}_0 \sum \frac{1}{n} \left[\sin n\omega \left(t - \frac{x}{c} \right) \right].$$

Поскольку все волны, отвечающие отдельным членам суммы, распространяются вдоль оси x с одной и той же скоростью $u = c$, они всегда будут суммироваться так, как показано на рис. 20-8. Таким образом, поле в любой точке пространства повторяет пилообразную зависимость тока от времени и лишь запаздывает относительно него на время x/c.

В общем случае любую периодическую функцию, описывающую ток, можно записать в виде*

$$\mathscr{I} = \sum_{n=1}^{\infty} A_n \sin\left(n\omega t + \varphi_n \right).$$

Решение будет иметь ту же зависимость от времени:

$$E = c\mathscr{B} = \frac{2\pi k_0}{c} \sum A_n \sin \left[n\omega \left(t - \frac{x}{c} \right) + \varphi_n \right].$$

В качестве последнего примера рассмотрим поля, возникающие при резком включении и выключении тока (т. е. прямоугольные импульсы или волны). Этот случай иллюстрируется на рис. 20-9. Даже если источник генерирует единственный импульс, мы можем воспользоваться рассмотренным выше методом. В приложении 2 гл. 21 показано, что отдельный импульс можно записать в виде бесконечной суммы чисто монохроматических волн, или интеграла Фурье. Принцип суперпозиции по-прежнему выполняется, и решение сохраняет характерные особенности, а именно $E = c\mathscr{B}$, причем $\mathbf{E}$ и $\mathfrak{B}$ перпендикулярны друг другу и направлению распространения и удаляются от источника со скоростью $u = c$. Кроме того, в любой точке пространства, например на оси x, зависимость полей от времени такая же, как и у источника, но с запаздыванием по времени на величину x/c.

§ 6. Бегущие волны

Мы начнем рассмотрение с бегущих волн на струне, поскольку их легче наглядно представить, нежели электромагнитные волны. Для бегущих волн любого происхождения, включая электромагнитные, описываемые выражением (20-7), определения и математический аппарат одни и те же.

Если один из концов длинной натянутой струны совершает гармонические колебания, то по струне будет распространяться синусоидальная волна (рис. 20-10). Мы докажем, что скорость распространения волны по струне определяется натяжением T и массой струны μ, приходящейся на единицу ее длины. Скорость вертикального движения точки на струне мы обозначим через v, а скорость волны, т. е. скорость перемещения гребня волны по струне, обозначим через u.

---

* При условии, что среднее значение функции равно нулю. — *Прим. перев.*

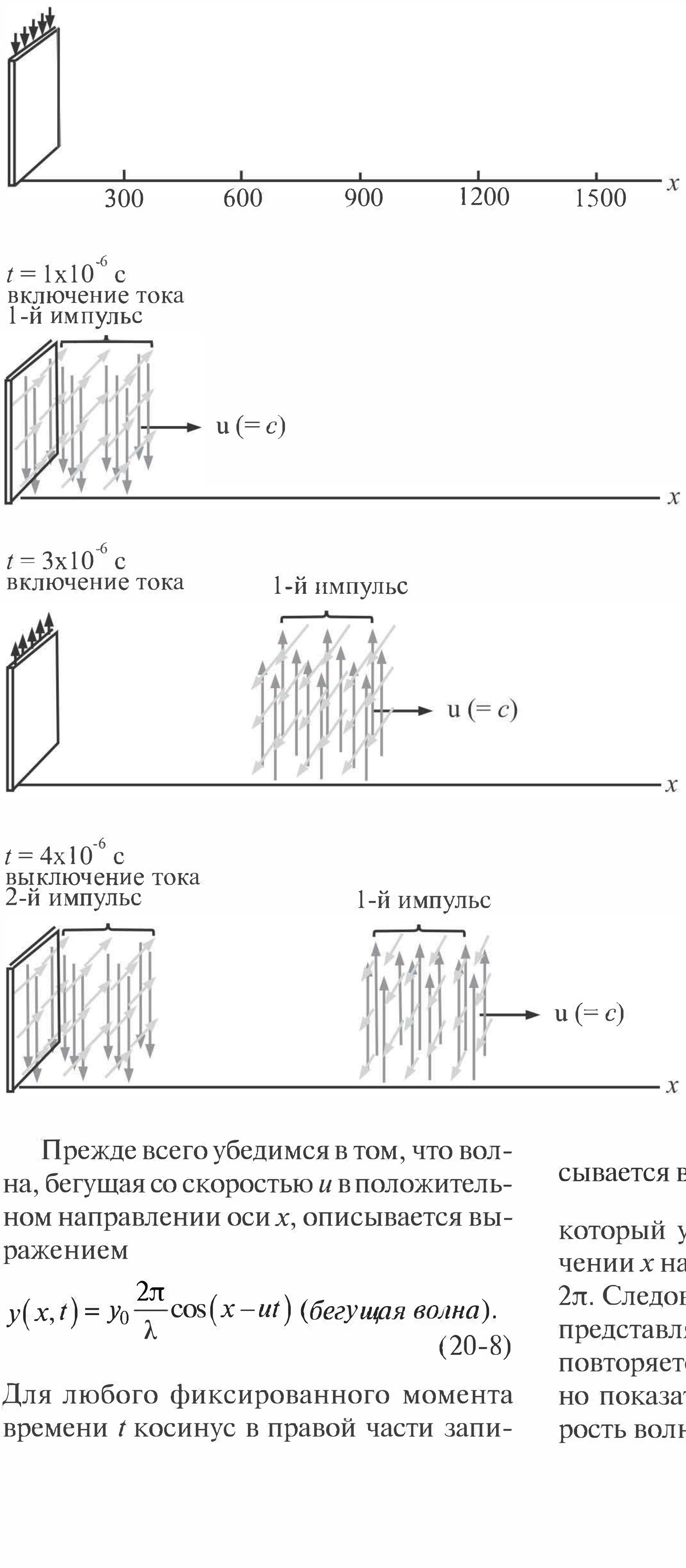


Рис. 20-9. Излучение импульсов электромагнитных волн длительностью 10^{-6} с при включении и выключении плоского тока. Показаны квадратный элемент тока и излучаемая им электромагнитная волна. Силовые линии электрического поля E отмечены стрелками насыщенного цвета, а силовые линии магнитного поля $\mathscr{B}$ — стрелками ненасыщенного цвета

Прежде всего убедимся в том, что волна, бегущая со скоростью u в положительном направлении оси x, описывается выражением

$$y(x,t) = y_0 \frac{2\pi}{\lambda}\cos(x - ut) \ (\textit{бегущая волна}). \qquad (20\text{-}8)$$

Для любого фиксированного момента времени t косинус в правой части записывается в виде $\cos\left(\frac{2\pi x}{\lambda} + \varphi\right)$, где φ — некоторый угол. Заметим, что при увеличении x на λ фаза $2\pi x/\lambda + \varphi$ возрастает на 2π. Следовательно, в выражении (20-8) λ представляет собой длину волны (волна повторяется через промежуток λ). Можно показать, что величина u — это скорость волны, соответствующая скорости



Рис. 20-10. Бегущая по струне волна. Смещение струны в точке $x = 0$ меняется по закону $y = y_0 \cos\omega t$. Показаны последовательные состояния струны через интервалы в 1/8 периода. Гребень волны сдвигается вправо на расстояние $(5/8)\lambda$

перемещения ее гребня. Когда в выражении (20-8) фаза $[(2\pi/\lambda)(x - ut)]$ обращается в нуль, $y(x, t)$ достигает максимума, т. е. мы имеем гребень волны (гребень λ на рис. 20-10). Условие того, чтобы волна имела в данной точке гребень, записывается в виде

$$\frac{2\pi}{\lambda}(x - ut) = 0.$$

В этом случае

$$x = ut \text{ или } u = x/t,$$

где x — положение гребня в момент времени t. По определению x/t характеризует скорость гребня, и она, как только что мы показали, равна u.

Скорость гребня волны и есть скорость распространения волны, или просто скорость волны*.

Теперь, когда мы убедились, что выражение (20-8) описывает синусоидальную волну, распространяющуюся со скоростью u, это выражение можно переписать, введя величину ω. Заметим прежде всего, что

$$\lambda f = u \ (\textit{скорость волны}), \qquad (20\text{-}9)$$

т. е. длина волны, умноженная на частоту, равна скорости волны. Действительно, произведение длины волны (λ) на число колебаний в секунду (f) есть путь, проходимый волной за одну секунду, т. е. u. Перепишем теперь соотношение (20-9) следующим образом:

$$\frac{\lambda}{2\pi}(2\pi f) = u \text{ или } \frac{\lambda}{2\pi}\omega = u.$$

Заменяя в выражении (20-8) скорость u на $(1/2\pi)\omega$, получаем

$$y(x, t) = y_0 \cos\left(\frac{2\pi}{\lambda}x - \omega t\right) = y_0 \cos\left(\omega t - \frac{2\pi}{\lambda}x\right).$$

Обычно используется обозначение $k = 2\pi/\lambda$. Величину k называют волновым числом. Тогда последнее выражение можно записать в виде

$$y(x, t) = y_0 \cos(\omega t - kx),$$

---

* Ее называют также фазовой скоростью. — *Прим. перев.*

где

$$k \equiv \frac{2\pi}{\lambda} \quad (\textit{волновое число}), \qquad (20\text{-}10)$$

$$\frac{\omega}{k} = u \quad (\textit{скорость волны}). \qquad (20\text{-}11)$$

Следует заметить, что для любого фиксированного значения x имеем $y = y_0 \cos(\omega t - \varphi)$, где φ — некоторый угол. Это значит, что каждая точка струны совершает в поперечном направлении простые гармонические колебания.

Пример 5. Бегущая волна имеет вид $y = \cos(Ax + Bt)$. Какова скорость волны?

Решение: Сравнивая вид волны с выражением (20-8), мы можем написать $A = 2\pi/\lambda$ и $B = -2\pi u/\lambda$. Следовательно, $B/A = -u$, т. е. скорость волны равна $-B/A$. Если A и B положительны, то волна распространяется в отрицательном направлении оси x.

Теперь мы можем выразить скорость волны на струне через T и μ. Рассмотрим элемент струны Δx, концы которого образуют малые углы α_1 и α_2 с осью x (рис. 20-11).

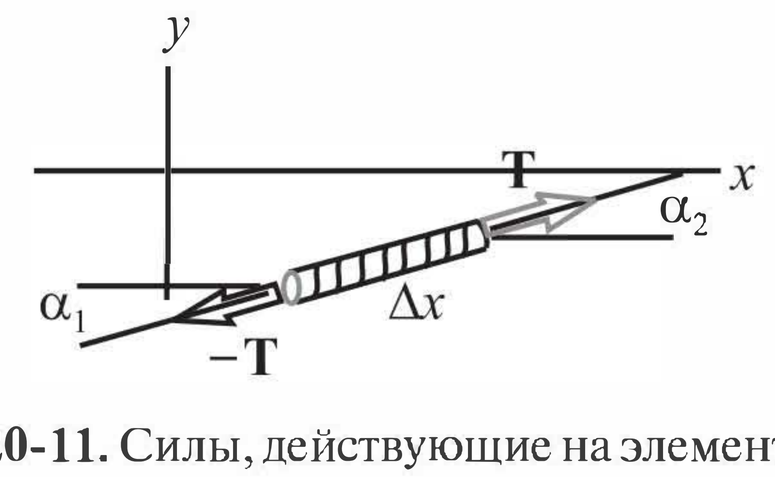


Рис. 20-11. Силы, действующие на элемент струны Δx

Под малыми мы понимаем углы, для которых справедливо приближенное равенство $\sin\alpha \approx \alpha \approx \partial y/\partial x$. Результирующая сила, действующая на элемент струны в вертикальном направлении, равна $F_{\text{рез.}} = T\alpha_1 - T\alpha_2$. Эта сила равна произведению массы элемента струны $\mu(\Delta x)$ на его вертикальное ускорение $\partial^2 y/\partial t^2$. (Запись $\partial y/\partial t$ означает, что при дифференцировании по времени независимая переменная x остается постоянной.) Таким образом,

$$F_{\text{рез.}} = T\alpha_1 - T\alpha_2 = (\mu\Delta x)\frac{\partial^2 y}{\partial t^2},$$

$$T\frac{\Delta\alpha}{\Delta x} = \mu\frac{\partial^2 y}{\partial t^2},$$

$$\frac{\partial\alpha}{\partial x} = \frac{\mu}{T}\frac{\partial^2 y}{\partial t^2}.$$

Подставив $\alpha = \partial y/\partial x$ в левую часть последнего выражения, получим

$$\frac{\partial^2 y}{\partial x^2} = \frac{\mu}{T}\frac{\partial^2 y}{\partial t^2} \quad (\textit{волновое уравнение для струны}). \qquad (20\text{-}12)$$

Это уравнение известно под названием волнового уравнения для струны. Скорость волны можно определить, подставив в (20-12) соответствующие производные функции $y(x, t)$, определяемой выражением (20-8):

$$\frac{\partial^2 y}{\partial x^2} = -y_0\left(\frac{2\pi}{\lambda}\right)^2 \cos\frac{2\pi}{\lambda}(x - ut), \qquad (20\text{-}13)$$

$$\frac{\partial^2 y}{\partial t^2} = -y_0\left(\frac{2\pi}{\lambda}u\right)^2 \cos\frac{2\pi}{\lambda}(x - ut). \qquad (20\text{-}14)$$

Подставим в левую часть уравнения (20-12) выражение (20-13), а в правую часть — выражение (20-14). Тогда

$$\left(\frac{2\pi}{\lambda}\right)^2 = \frac{\mu}{T}\left(\frac{2\pi u}{\lambda}\right)^2,$$

откуда находим

$$u = \sqrt{\frac{T}{\mu}} \quad (\textit{скорость волны на струне}). \qquad (20\text{-}15)$$

Мы не только вывели формулу для скорости волны, но и показали, что выраже-

ние (20-8) для бегущей волны является решением уравнения (20-12). Тем самым мы доказали, что монохроматическая волна распространяется по струне со скоростью, не зависящей от амплитуды и частоты волны.

Пример 6. На струне гитары длиной 30 см и массой 100 г укладывается ровно половина длины волны. Каким должно быть натяжение струны, настроенной на частоту 262 Гц (нота «до» первой октавы)?

Решение: Из формулы (20-15) находим T:

$T = \mu u^2$,

где $\mu = (0{,}1\ \text{кг})/(0{,}3\ \text{м}) = 0{,}333\ \text{кг/м}$. Скорость u можно определить из соотношения $u = \lambda f$:

$u = (0{,}6\ \text{м})(262\ \text{Гц}) = 157{,}2\ \text{м/с}$.

Таким образом,

$T = (0{,}333\ \text{кг/м})(157{,}2\ \text{м/с})^2 = 8{,}2\cdot 10^3\ \text{Н}$.

Это довольно сильное натяжение для такой легкой струны. Поэтому струны музыкальных инструментов обычно изготавливают из прочных металлических сплавов.

Подставив в уравнение (20-12) вместо μ/T отношение $1/u^2$, получим

$$\frac{\partial^2 y}{\partial x^2} = \frac{1}{u^2}\frac{\partial^2 y}{\partial t^2} \quad (\textit{волновое уравнение}). \tag{20-16}$$

Следует заметить, что по виду это уравнение совпадает с (20-5) с точностью до замены $\mathscr{B}_z$ на y, а c на u. Уравнение (20-16) известно как волновое уравнение, и оно справедливо для всех видов бегущих волн: электромагнитных, звуковых, крутильных, волн в жидкости, волн, распространяющихся по стержням, струнам и пружинам. Мы уже показали, что выражение

$$y = y_0\frac{2\pi}{\lambda}\cos(x - ut) = y_0\cos\omega\left(t - \frac{x}{u}\right) \tag{20-17}$$

является решением волнового уравнения и справедливо при любых значениях ω. Электрическое поле

$$E_y = \frac{2\pi k_0}{c}\mathscr{I}_0\cos\omega\left(t - \frac{x}{c}\right)$$

испускается синусоидальным поверхностным током с амплитудой $\mathscr{I}_0$. Оно представляет собой бегущую волну, которая распространяется вдоль оси x со скоростью $u = c$; длина этой волны $\lambda = 2\pi c/\omega$.

Изложенная в этом и следующем параграфе теория волн является совершенно общей и применима к любым видам волн.

§ 7. Перенос энергии волнами

Воздействуя рукой на конец длинной натянутой струны и заставляя ее вибрировать, мы совершаем работу, которая проявляется в виде кинетической и потенциальной энергии отдельных элементов струны. С течением времени начинают колебаться все более и более удаленные элементы струны. Энергия, сообщаемая одному концу струны, переносится со скоростью волны, и может быть принята и поглощена на другом ее конце. Скорость переноса энергии можно найти, вычислив силу с которой мы тянем струну вверх и вниз. Для этого запишем соотношение для мощности $P = \mathbf{F}\cdot\mathbf{v}$ [см. выражение (6-3), т. 1] и применим его к струне на рис. 20-12:

$$P = \mathbf{T}\cdot\mathbf{v} = T\left(\frac{\partial y}{\partial t}\right)\sin\alpha,$$

полагая $u = \partial y/\partial t$. Угол α всегда мал, поэтому $\sin\alpha \approx -\partial y/\partial x$. Следовательно,

$$P = -T\left(\frac{\partial y}{\partial t}\right)\left(\frac{\partial y}{\partial x}\right),$$

а поскольку $y = y_0 \cos\omega(t - x/u)$, то

$$\frac{\partial y}{\partial t} = -y_0 \omega \sin\omega\left(t - \frac{x}{u}\right),$$

$$\frac{\partial y}{\partial x} = y_0 \frac{\omega}{u} \sin\omega\left(t - \frac{x}{u}\right)$$

и мы можем записать выражение

$$P = T y_0^2 \frac{\omega^2}{u} \sin^2 \omega t$$

для мгновенного значения мощности P, передаваемой в момент времени t в точке $x = 0$. Среднее значение мощности должно быть вдвое меньше, так как $\overline{\sin^2 \omega t} = 1/2$:

$$\bar{P} = \frac{T\omega^2}{2u} y_0^2 \quad (\textit{средняя мощность, переносимая по струне}). \qquad (20\text{-}18)$$

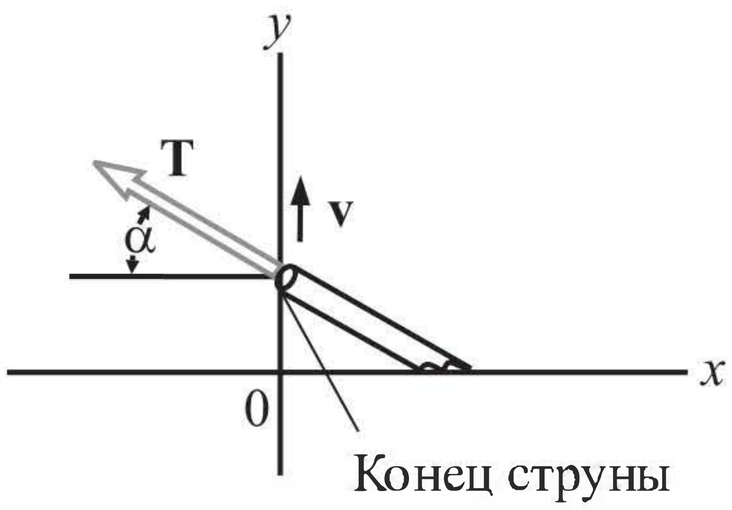


Рис. 20-12. Конец струны оттягивается вверх, чтобы возбудить бегущую волну

Среднее значение переносимой мощности называется интенсивностью волны (см. § 6 гл. 11, т. 1). Интенсивность волны пропорциональна квадрату ее амплитуды. Интенсивность волн в трехмерном пространстве, таких как звуковые и электромагнитные волны, равна средней мощности, переносимой через единицу поверхности фронта волны. То, что для волн любого вида интенсивность пропорциональна квадрату амплитуды, подтверждается предыдущим выводом о том, что энергия, переносимая электромагнитной волной, пропорциональна E^2. В следующей главе мы найдем коэффициент пропорциональности, связывающий ток $\mathcal{I}$ с излучаемой мощностью.

Пример 7. Длинный металлический провод с линейной плотностью массы $\mu = 4$ г/см характеризуется натяжением $T = 5 \cdot 10^3$ Н. К одному из его концов подключен вибратор мощностью 10 Вт, настроенный на «до» первой октавы (частота 262 Гц). К другому концу провода присоединен поглотитель энергии, от которого волна не отражается. Определим скорость и длину волны, а также величину максимального поперечного смещения точек провода.

Решение: Скорость волны

$$u = \sqrt{\frac{T}{\mu}} = \sqrt{\frac{5 \cdot 10^3 \text{ Н}}{0{,}4 \text{ кг/м}}} = 112 \text{ м/с}.$$

Длина волны

$$\lambda = \frac{u}{f} = \frac{112 \text{ м/с}}{262 \text{ с}^{-1}} = 0{,}427 \text{ м}.$$

Из (20-18) находим максимальное поперечное смещение y_0:

$$y_0 = \frac{1}{\omega}\sqrt{\frac{2uP}{T}} = \frac{1}{2\pi(262)}\sqrt{\frac{2(112)(10)}{5 \cdot 10^3}} \text{ м} =$$

$$= 4{,}06 \cdot 10^{-4} \text{ м} = 0{,}406 \text{ мм}.$$

Основные выводы

В случае с переменными токами в правую часть выражения для закона Ампера следует добавить еще один член. При этом закон Ампера приобретает вид

$$\oint \mathfrak{B} \cdot d\mathbf{s} = \frac{4\pi k_0}{c^2} I + \frac{1}{c^2}\frac{d\Phi_E}{dt}.$$

Поскольку I и Φ_E можно записать как интегралы по замкнутым поверхностям, мы имеем

$$\text{IV} \quad \oint \mathfrak{B} \cdot d\mathbf{s} = \frac{4\pi k_0}{c^2} \int \mathbf{j} \cdot d\mathbf{A} + \frac{1}{c^2} \int \frac{\partial \mathbf{E}}{\partial t} \cdot d\mathbf{A}.$$

Это уравнение и три других составляют систему четырех уравнений Максвелла:

$$\text{I} \quad \oint \mathbf{E} \cdot d\mathbf{A} = 4\pi k_0 \int \rho dV \text{ (теорема Гаусса)},$$

$$\text{II} \quad \oint \mathbf{E} \cdot d\mathbf{s} = -\int \frac{\partial \mathfrak{B}}{\partial t} \cdot d\mathbf{A} \text{ (закон Фарадея)},$$

$$\text{III} \quad \oint \mathfrak{B} \cdot d\mathbf{A} = 0 \text{ (}\textit{отсутствие магнитных зарядов}\text{)}.$$

Эти четыре уравнения полностью определяют поля, создаваемые системой движущихся (в том числе с ускорением) зарядов. Из них следует, что ускоренное движение зарядов приводит к излучению электромагнитного поля, распространяющегося со скоростью $c = 3 \cdot 10^8$ м/с, причем $E = c\mathscr{B}$ и поля $\mathbf{E}$ и $\mathscr{B}$ перпендикулярны друг другу и направлению распространения волны.

Мы рассмотрели конкретный пример вертикальных колебаний поверхностных зарядов на бесконечной плоскости и показали, что в этом случае поля E и $\mathscr{B}$ удовлетворяют волновому уравнению

$$\frac{\partial^2 y}{\partial x^2} = \frac{1}{c^2} \frac{\partial^2 y}{\partial t^2}, \text{ где } y = E_y \text{ или } \mathscr{B}_z.$$

Решение этого уравнения в случае с синусоидальным поверхностным током $\mathscr{I} = \mathscr{I}_0 \cos \omega t$, когда $\mathscr{I}_0$ течет в отрицательном направлении оси y, записывается в виде

$$E_y = c\mathscr{B}_z = \frac{2\pi k_0}{c} \mathscr{I}_0 \cos \omega \left(t - \frac{x}{c} \right).$$

Это бегущая волна, распространяющаяся от плоскости со скоростью $u = c$.

Если поверхностный ток оказывается периодическим, но не синусоидальным, то его можно разложить в ряд Фурье по синусоидальным волнам. Тогда в любой фиксированной точке поле излучения

$$E = c\mathscr{B} = \frac{2\pi k_0}{c} \mathscr{I}(t'),$$

где $t' = (t - x/c)$ — время запаздывания.

Между частотой f, длиной волны λ и скоростью u имеет место соотношение $\lambda f = u$, которое можно также записать в виде $\omega/k = u$.

Решением волнового уравнения

$$\frac{\partial^2 y}{\partial x^2} = \frac{1}{u^2} \frac{\partial^2 y}{\partial u^2} \text{ (}\textit{волновое уравнение}\text{)}$$

является смещение y (например, точек струны), которое записывается в виде следующей функции от x и t:

$$y = y_0 \cos(\omega t - kx) \text{ (}\textit{бегущая волна}\text{)}.$$

Скорость бегущей по струне волны равна $u = \sqrt{T/\mu}$, где T — натяжение, а μ — линейная плотность струны. Среднее значение мощности, переносимой по струне, равно

$$\bar{P} = \frac{T\omega^2}{2u} y_0^2.$$

Приложение. Вывод волнового уравнения

Чтобы найти магнитное поле $\mathscr{B}$ в точке P на рис. 20-5, мы воспользуемся прямоугольным контуром интегрирования вокруг точки P, показанным на том же рисунке. Если интегрировать по контуру в направлении против часовой стрелки, то вектор $d\mathbf{A}$ будет направлен за плоскость

чертежа в отрицательном направлении оси y. Тогда $\mathbf{E}\cdot d\mathbf{A} = -E_y dA = -E_y b\,dx$. В этом случае уравнение (20-2) принимает вид

$$\oint \mathfrak{B}\cdot d\mathbf{s} = 0 + \frac{1}{c^2}\int \frac{\partial \mathbf{E}}{\partial t}\cdot d\mathbf{A}$$

или

$$\left(\mathscr{B}+d\mathscr{B}_z\right)b - \mathscr{B}_z = -\frac{1}{c^2}\frac{\partial E_y}{\partial t}\left(b\,dx\right),$$

где $\mathscr{B} = \mathscr{B}_z$ на левой стороне и $\mathscr{B} = \mathscr{B}_z + d\mathscr{B}_z$ на правой стороне прямоугольного контура. (Верхняя и нижняя его стороны не дают вклада в $\oint \mathfrak{B}\cdot d\mathbf{s}$.) Таким образом,

$$d\mathscr{B}_z = -\frac{1}{c^2}\frac{\partial E_y}{\partial t}dx,$$

$$\left(\frac{d\mathscr{B}_z}{dx}\right)_{t=\text{const}} = -\frac{1}{c^2}\frac{\partial E_y}{\partial t},$$

$$\frac{\partial \mathscr{B}_z}{\partial x} = -\frac{1}{c^2}\frac{\partial E_y}{\partial t}. \qquad (20\text{-}19)$$

В левой части этого уравнения стоит частная производная, поскольку время t считается постоянным, а на рис. 20-5 дано мгновенное изображение, соответствующее этому моменту времени.

Из второго уравнения Максвелла можно получить еще одно соотношение между полями $\mathscr{B}$ и E. Возьмем уравнение II из табл. 20-1 и проинтегрируем в направлении против часовой стрелки по прямоугольному контуру вокруг точки P в плоскости xy (рис. 20-13):

$$\oint \mathbf{E}\cdot d\mathbf{s} = -\int \frac{\partial \mathfrak{B}}{\partial t}\cdot d\mathbf{A},$$

$$\left(E_y + dE_y\right)h - E_y h = -\frac{\partial \mathscr{B}}{\partial t}\left(h\,dx\right),$$

$$dE_y = -\frac{\partial \mathscr{B}_z}{\partial t}dx,$$

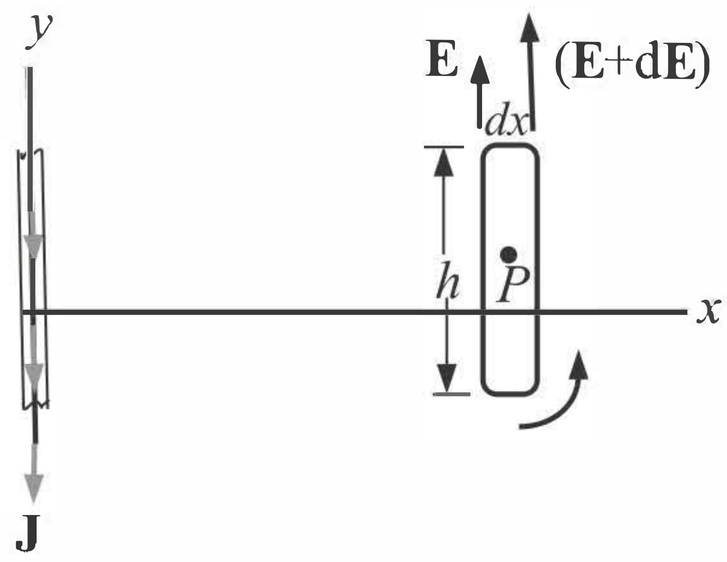


Рис. 20-13. Вид сбоку на элемент плоского тока, изображенный на рис. 20-4

$$\left(\frac{dE_y}{dx}\right)_{t=\text{const}} = -\frac{\partial \mathscr{B}_z}{\partial t},$$

$$\overline{P} = \frac{T\omega^2}{2u}y_0^2. \qquad (20\text{-}4)$$

Нам нужно вычислить поле $\mathscr{B}$ в точке P. Мы имеем два совместных уравнения с двумя неизвестными ($\mathscr{B}_z$ и E_y). Продифференцировав первое уравнение по x, а второе по t, можно исключить из них E_y. Дифференцируя уравнение (20-19) по x, получаем

$$\frac{\partial}{\partial x}\left(\frac{\partial \mathscr{B}_z}{\partial x}\right) = \frac{\partial}{\partial x}\left(-\frac{1}{c^2}\frac{\partial E_y}{\partial t}\right),$$

$$\frac{\partial^2 \mathscr{B}_z}{\partial x^2} = -\frac{1}{c^2}\frac{\partial^2 E_y}{\partial x\,\partial t}. \qquad (20\text{-}20)$$

Теперь продифференцируем уравнение (20-4) по t:

$$\frac{\partial}{\partial t}\left(\frac{\partial E_y}{\partial x}\right) = \frac{\partial}{\partial t}\left(-\frac{\partial \mathscr{B}_z}{\partial t}\right),$$

$$\frac{\partial^2 E_y}{\partial x\,\partial t} = -\frac{\partial^2 \mathscr{B}_z}{\partial t^2}.$$

Подставим это выражение в правую часть уравнения (20-20):

$$\frac{\partial^2 \mathscr{B}_z}{\partial x^2} = \frac{1}{c^2}\left[\frac{\partial^2 \mathscr{B}_z}{\partial t^2}\right],$$

$$\frac{\partial^2 \mathscr{B}_z}{\partial x^2} = \frac{1}{c^2}\frac{\partial^2 \mathscr{B}_z}{\partial t^2}. \qquad (20\text{-}5)$$

Упражнения

1. Запишите уравнения Максвелла в табл. 20-1 через магнитный поток Φ_B, электрический поток Φ_E, ток I и заряд Q.

2. Используя спектр электромагнитных волн на рис. 20-3, укажите, каким участкам соответствуют следующие длины волн: 1 м, 1 см, 1 мкм, 0,5 мкм и 1 А = 10^{-10} м.

3. Предположим, что поле E на рис. 20-5 изменяется по закону $E = E_0 \cos\omega t$ и направлено на читателя из плоскости чертежа. Вычислите $\int (\partial \mathbf{E}/\partial t)\cdot d\mathbf{A}$ по площади прямоугольника, пересекающего линии тока. Ответ запишите через a, b, E_0 и Ω.

4. Чему равен $\int \mathbf{E}\cdot d\mathbf{s}$ по прямоугольному контуру на рис. 20-5?

5. Постройте график функции

$$y = \sum_{\text{По нечетн. n}} \frac{1}{n}\sin nx = \sum_{j=0}^{\infty} \frac{1}{2j+1}\sin(2j+1)x.$$

6. Справедливо ли выражение (20-7) для отрицательных значений x, т. е. для электромагнитной волны, распространяющейся влево от плоскости на рис. 20-4? Если оно несправедливо, то какие нужны изменения, чтобы описать E_y и $\mathscr{B}_z$ для отрицательных значений x?

7. Определите направление вектора $\mathbf{E}\times\mathbf{B}$ для выражения (20-7).

8. Найдите скорость u бегущей волны $y = \sin(Ax - Bt)$.

9. Струна из материала с линейной плотностью 10 г/м колеблется с частотой 30 Гц. Каким должно быть натяжение струны, если длина волны равна 20 см?

10. По струне бежит волна $y = \sin(at - bx)$. Найдите выражения для a и b через λ и f.

11. Повторите решение примера 6 для случая с настройкой струны на ноту «до» второй октавы: $f = 2\,(262)$ Гц.

12. В темперированном музыкальном строе каждая октава имеет 12 полутонов, причем отношение частот двух соседних полутонов всегда одинаково. Найдите это отношение.

13. Синусоидальный поверхностный ток с частотой 100 МГц течет по большой плоскости. Амплитуда излучаемого электрического поля равна 5 В/см.
а) Чему равна амплитуда тока в амперах на метр?
б) Какова амплитуда поля $\mathscr{B}$ в теслах?

14. Найдите расстояние в длинах волн между соседними максимумами интенсивности в электромагнитной волне.

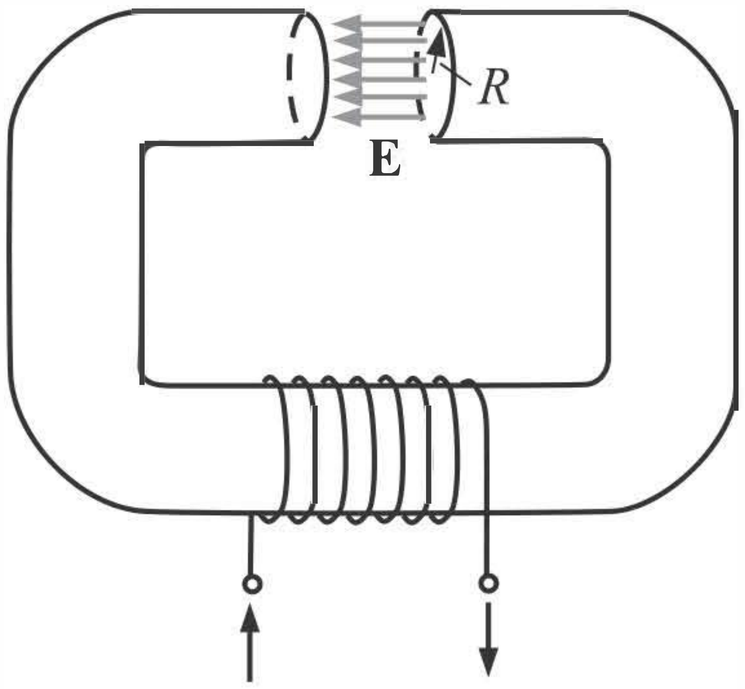
15. Чему равны граничные значения длин волн видимого света в ангстремах (1 Å = $= 10^{-10}$ м)? (*Указание:* используйте рис. 20-3.)

16. Минимальная и максимальная частоты, воспринимаемые человеческим ухом, равны соответственно ~20 Гц и ~15 000 Гц. Какие длины волн в воздухе соответствуют им? Скорость звука в воздухе 330 м/с.

Задачи

17. Через конденсатор на рис. 20-2 за время Δt протекает ток I_c. Вычислите в пространстве между пластинами конденсатора на расстоянии r от его оси
а) поле E и
б) поле $\mathscr{B}$.
Ответ запишите через R, r, E и Δt.

18. Подковообразный электромагнит включается в момент времени $t = 0$. Предположим, что магнитный поток линейно возрастает во времени, т. е. $\Phi = K_1 t$. Каковы величина и направление поля $\mathbf{E}$ между полюсами магнита (см. рис.)? Ответ запишите через K_1, t, r и R.



19. Предположим, что обмотка электромагнита в задаче 18 содержит N витков. Ток в ней изменяется во времени по линейному закону: $I = K_2 t$. Чему равна индуктивность обмотки? Ответ запишите через K_1, K_2 и N.

20. Подставьте в волновое уравнение (20-5) величину $B_z = B_0 \cos(kx - \omega t)$. Определите, чему должно быть равно отношение ω/k.

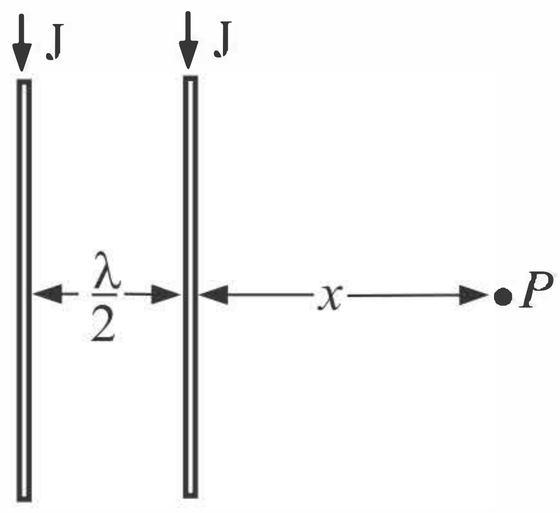
21. Подставьте в уравнение (20-5) выражение $B_z = f(x - ut)$. При каком значении u это выражение будет решением уравнения (20-5)?

22. Подставьте в уравнение (20-5) выражение $B_z = B_1 \cos\omega_1(t - x/c) + B_2 \cos\omega_2(t - x/u)$. При каком значении u это выражение будет решением уравнения?

23. Две параллельные пластины расположены на расстоянии $\lambda/2$ друг от друга, где $\lambda = 2\pi c/\omega$. По каждой пластине течет поверхностный ток $\mathcal{J} = \mathcal{J}_0 \cos\omega t$. Чему равно поле $\mathcal{B}$;

а) на расстоянии x от второй пластины;

б) посередине между пластинами?



24. Предположим, что на рис. 20-7 металлическое зеркало заменено решеткой из вертикальных проводников (каждый диаметром 0,1 см), находящихся на расстоянии 2 см друг от друга.

а) Если на решетку падает волна, описанная в примере 2, то чему равен индуцированный в каждом проводнике ток? Считайте, что $I_{\text{пров.}}$ равен произведению $\mathcal{J}$ на диаметр проводника.

б) Если проводники медные (удельное сопротивление меди $\rho = 1{,}72 \cdot 10^{-8}$ Ом·м), то каковы потери мощности в каждом проводнике?

в) Какая доля энергии светового пучка теряется в решетке?

25.* Внутри германиевой пластинки толщиной 1 мм от генератора переменного тока создается электрическое поле $E_{\text{внутр.}} = 400\cos\omega t$ В/м. Частота $\omega/2\pi = 10^9$ Гц. Найдите электрическое поле излучения, если удельное сопротивление германия $\rho = 0{,}5$ Ом·м. Чему равно отношение поля излучения к полю внутри пластинки?

26. Предположим, что $\mathcal{J} = \mathcal{J}_1 \sin\omega t + 2\mathcal{J}_1 \cos\omega t$. Нам нужно получить $\mathcal{J}$ в виде $\mathcal{J} = \mathcal{J}_0 \sin(\omega t + \varphi)$.

а) Найдите соотношение между $\mathcal{J}_0$ и $\mathcal{J}_1$.

б) Найдите фазу φ.

[*Указание*: $\mathcal{J}_0 \sin(\omega t + \varphi) = (\mathcal{J}_0 \cos\varphi) \sin\omega t + (\mathcal{J}_0 \sin\varphi) \cos\omega t$.]

27. Предположим, что $\mathcal{J} = A_1 \sin\omega t + A_2 \cos\omega t$. Требуется записать $\mathcal{J}$ в виде $\mathcal{J} = \mathcal{J}_0 \sin(\omega t + \varphi)$.

а) Найдите соотношение между $\mathcal{J}_0$ и A_1, A_2.

б) Найдите выражение для φ через A_1 и A_2.

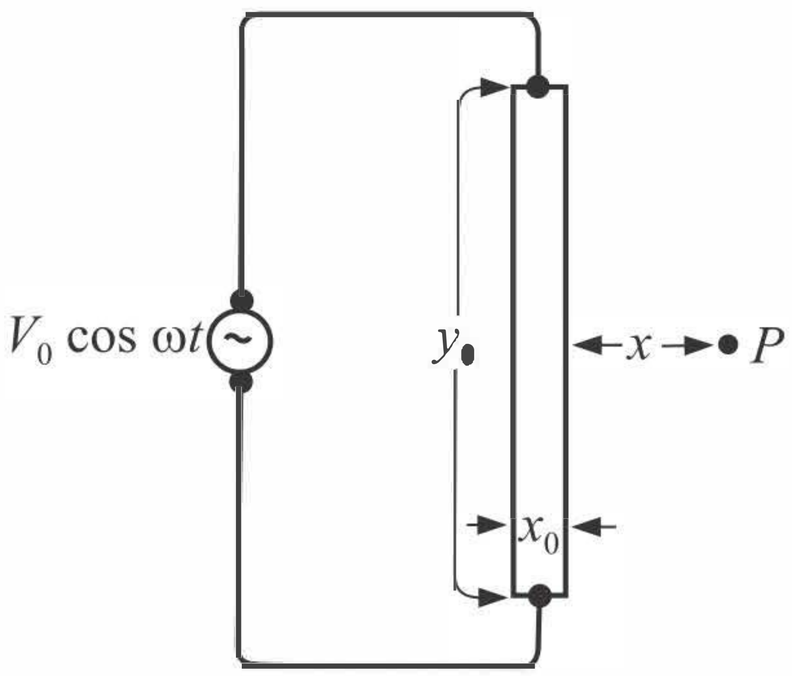
28. Тонкая пластинка толщиной x_0, длиной y_0 и шириной z_0 изготовлена из материала с удельным сопротивлением ρ. К пластинке приложено переменное напряжение $V_0 \cos\omega t$. Покажите, что в точке P электрическое поле излучения дается выражением

---

* Для решения задач 25, 28 и 29, строго говоря, необходимо найти решение уравнения (20-5) в виде двух волн с учетом граничных условий. Автор же, очевидно, предполагает использование просто соотношения между напряженностью поля и величиной тока в пластине. — *Прим. перев.*

$$E_{\text{изл.}} = \frac{2\pi k_0}{c}\frac{x_0}{cy_0}V_0\cos(\omega t - kx),$$

$x \ll y_0$ и $x_0 \ll \lambda$.



29. В условиях задачи 28 найдите среднюю мощность:

а) рассеиваемую единицей площади пластинки (*указание:* используйте выражение $P = V^2/R$.);

б) излучаемую единицей площади (*указание:* используйте уравнение

$$\frac{dU}{dV} = \frac{\overline{E^2}}{8\pi k_0} + \frac{c^2}{8\pi k_0}\overline{\mathscr{B}^2}\ .)$$

30. Чему равна скорость волны, представляющей собой решение уравнения

$$A\frac{\partial^2 y}{\partial t^2} = B\frac{\partial^2 y}{\partial x^2}?$$

21 Взаимодействие излучения с веществом

В этой главе мы займемся изучением взаимодействия электромагнитной волны с веществом. Мы рассмотрим четыре различных случая: плохой проводник, хороший проводник, диэлектрик и плазму. Оказывается, плохой проводник частично поглощает энергию и импульс волны, и это позволяет оценить количество энергии и импульса, переносимого электромагнитной волной. Хороший проводник отражает электромагнитную волну со 100%-ной эффективностью. Через диэлектрик, такой как газ, волна распространяется, не испытывая поглощения; однако распространение волны в этом случае происходит медленнее, нежели в пустоте. С другой стороны, в плазме существуют волны, распространяющиеся быстрее, чем в пустоте. Эти кажущиеся парадоксы разрешаются при микроскопическом подходе с учетом атомного строения вещества. Наконец, мы рассмотрим излучение колеблющегося точечного заряда.

§ 1. Энергия излучения

В примере 3 гл. 20 мы видели, что колебания тока приводят к потерям энергии, причем потери мощности, приходящиеся на единицу площади, составляют $c^2E\mathscr{B}/4\pi k_0$, где E и $\mathscr{B}$ — поля в излучаемой электромагнитной среде. Эта энергия должна куда-то деваться. Мы считаем, что она уносится излучаемыми электрическим и магнитным полями. Если бегущая электромагнитная волна уносит от источника некоторую энергию, то, поставив на пути плоской волны поглощающую пластинку, можно уловить эту энергию. Пусть материал пластинки обладает конечной электропроводностью; это позволит нам определить полное количество джоулева тепла, выделившегося в пластинке. Согласно закону сохранения энергии, полное количество выделившегося тепла соответствует энергии электромагнитной волны, прошедшей через пластинку. В гл. 16 мы показали, что поле само по себе обладает энергией, причем полная электростатическая энергия системы равна величине $E^2/8\pi k_0$, проинтегрированной по всему пространству. Точно так же в гл. 18 было установлено, что магнитная энергия, запасенная в единице объема, составляет $c^2\mathscr{B}^2/8\pi k_0$. Если эта энергия действительно заключена в самом поле, то джоулево тепло, выделившееся в поглощающей пластинке, должно быть равным сумме этих двух величин.

На рис. 21-1 изображена электромагнитная волна, падающая на прямоугольный элемент пластинки бесконечных размеров. Если плотность индуцированного тока равна j, то в прямоугольном элементе будет наводиться ток $I = jz_0\Delta x$. Разность потенциалов между верхним и нижним краями $V = Ey_0$. Следовательно, энергия, теряемая в единицу времени,

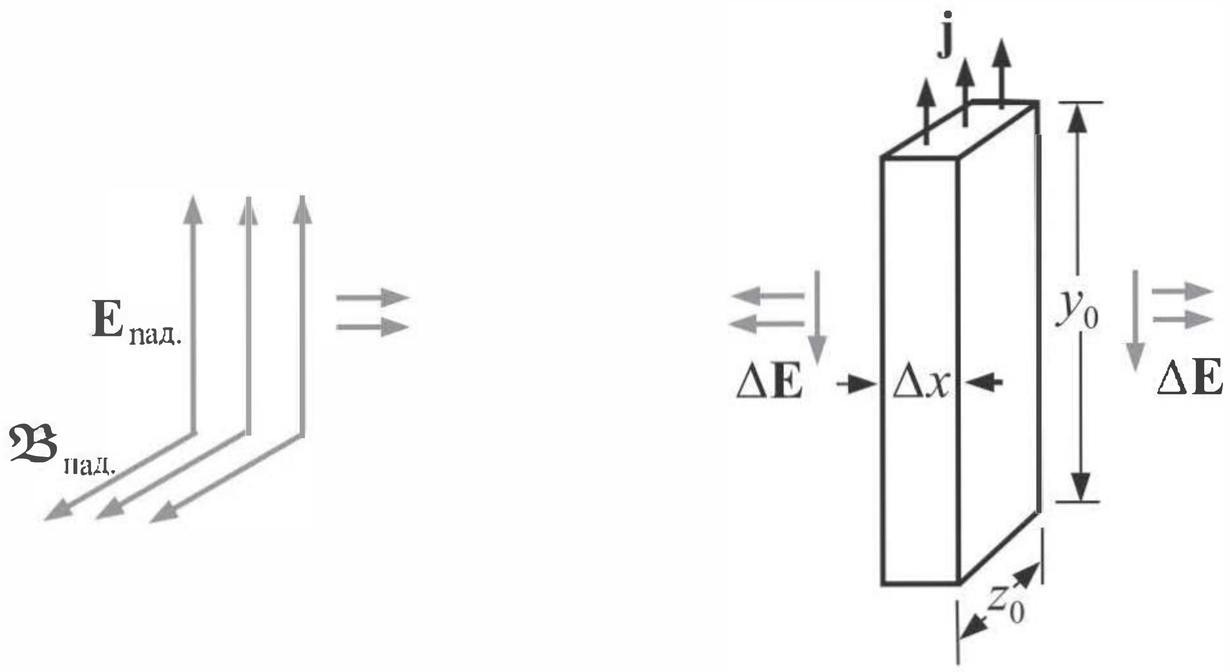


Рис. 21-1. Падающая волна $\mathbf{E}_{\text{пад.}}$ распространяется вправо и попадает на пластинку, индуцируя в ней ток, который в правую и левую стороны от пластинки излучает свое собственное поле $\Delta\mathbf{E}$

$$\frac{dU}{dt}IV = \left(jz_0\Delta x\right)\left(Ey_0\right) = jE\left(y_0z_0\Delta x\right),$$

где $y_0z_0\Delta x$ — объем элемента пластинки. Таким образом, мы показали, что теряемая в единице объема внутри проводника мощность равна jE. Если на проводящую пластинку падает монохроматическая плоская электромагнитная волна, то при этом не только выделяется тепло со скоростью jE Вт/м^3, но и в соответствии с формулой (20-7) индуцированный ток j сам излучает электромагнитные волны. Пусть ΔE — поле, излучаемое индуцированным током j. На рис. 21-1 показано поле излучения для тонкой пластинки толщиной Δx. Будем обозначать поле падающей плоской волны через $E_{\text{пад.}}$. Эквивалентный поверхностный ток $\mathscr{J} = j\Delta x$. Следовательно, в соответствии с (20-7) можно записать

$$\Delta E = -\frac{2\pi k_0}{c} j\Delta x. \qquad (21\text{-}1)$$

Знак «минус» указывает на то, что вне пластинки поле $\Delta\mathbf{E}$ направлено противоположно току $\mathbf{j}$. Пусть ΔS — потери мощности на единицу поверхности. В случае с тонкой пластинкой толщиной Δx

$$\Delta S = \frac{1}{y_0z_0}\frac{dU}{dt} = jE\Delta x.$$

Подставим сюда вместо величины Δx ее выражение, полученное из (21-1); тогда

$$\Delta S = -\frac{c}{2\pi k_0} E\,\Delta E. \qquad (21\text{-}2)$$

Рассмотрим теперь стопку таких тонких пластинок. Для каждой из них поле ΔE, излучаемое вправо, всегда направлено противоположно результирующему полю, которое порождает излучение, и таким образом оно уменьшает результирующее поле на величину ΔE. Излучаемое влево поле ΔE обусловлено слабым отражением волны. Если электропроводность σ достаточно низка, так что поле E на расстоянии в одну длину волны внутри проводника почти не уменьшается, то отраженные волны компенсируют друг друга. Эта компенсация объясняется тем, что для любой отраженной волны найдется волна, отраженная от более глубоких слоев, которая на обратном пути окажется сдвинутой по фазе на $\lambda/2$. (Горб одной из волн придется на впадину другой, и результирующая амплитуда окажется всюду равна нулю.) В целом отраженные волны погасят друг друга. Мы воспользовались условием, что проводник не очень хороший. Это может быть графит или ионизованный газ. Позже мы обсудим случай с хорошим проводником вроде серебра. Если стопка пластинок бесконечно толстая, то поле $E_{\text{пад.}}$ поглотится

целиком и полную мощность, излучаемую с единицы поверхности, можно найти, проинтегрировав выражение (21-2):

$$S = -\frac{c}{2\pi k_0}\int_{E_{\text{пад.}}}^{0} E\,dE = \frac{c}{4\pi k_0}E_{\text{пад.}}^2 = \frac{c^2}{4\pi k_0}E_{\text{пад.}}\mathscr{B}_{\text{пад.}}.$$

Излучаемая единицей поверхности мощность характеризуется вектором Пойнтинга. Его величина обозначается S. Поскольку направление потока энергии определяется векторным произведением $\mathbf{E}\times\mathfrak{B}$, то для вектора $\mathbf{S}$ мы имеем

$$\mathbf{S} = \frac{c^2}{4\pi k_0}\mathbf{E}\times\mathfrak{B}\ (\textit{вектор Пойнтинга}). \quad (21\text{-}3)$$

Пример 1. Рассмотрим ту же лампу-вспышку мощностью 3 Вт, что и в примере 2 гл. 20, дающую пучок света квадратного сечения $10\times10\ \text{см}^2$. Вычислим величину $\overline{S}$, а также поле E_0, для чего воспользуемся формулой (21-3) и соотношением $\mathscr{B} = E/c$.

Решение: Поскольку $\overline{S}$ — мощность, приходящаяся на единицу поверхности, то

$$\overline{S} = \frac{3\ \text{Вт}}{(0{,}1\ \text{м})^2} = 300\ \text{Вт/м}^2.$$

Заменяя в формуле (21-3) $\mathscr{B} = E/c$, получаем

$$\overline{S} = \frac{c^2}{4\pi k_0}E\frac{E}{c} = \frac{c}{4\pi k_0}\overline{E^2}.$$

Поскольку $\overline{E^2} = E_0^2/2$, мы имеем

$$\overline{S} = \frac{c}{8\pi k_0}E_0^2,$$

откуда

$$E_0 = \sqrt{\frac{8\pi k_0}{c}\overline{S}} = 475\ \text{В/м}.$$

Этот результат совпадает с полученным в примере 2 гл. 20.

Наконец, проверим, не противоречит ли наш результат для S полученному ранее выражению для энергии единицы объема поля. Рассмотрим плоскую волну, падающую на площадку A. Согласно определению S, поток энергии за время dt

$$dU = SA\,dt,$$

где dU — энергия, заключенная в объеме $dV = A\,dx$. Но $dt = dx/c$, поэтому

$$dU = SA\frac{dx}{c} = \frac{S}{c}dV$$

или

$$\frac{dU}{dV} = \frac{S}{c}.$$

Используя формулу (21-3), получаем

$$\frac{dU}{dV} = \frac{1}{c}\left(\frac{c^2}{4\pi k_0}E\mathscr{B}\right).$$

Заменим E на $c\mathscr{B}$:

$$\frac{dU}{dV} = \frac{c^2\mathscr{B}^2}{8\pi k_0} + \frac{(c\mathscr{B})^2}{8\pi k_0},$$

а затем $c\mathscr{B}$ на E:

$$\frac{dU}{dV} = \frac{E^2}{8\pi k_0} + \frac{c^2\mathscr{B}^2}{8\pi k_0}.$$

В правой части последнего равенства первое слагаемое — это плотность энергии электрического поля, а второе — плотность магнитного поля. Предшествующее рассмотрение показывает, что количество тепла, выделяющееся в рассмотренной нами поглощающей пластинке, численно равно полученным выше значениям для энергии электрического и магнитного полей. О взаимном гашении отраженных волн свидетельствует черный цвет графита (графит не отражает падающее на него электромагнитное из-

лучение). То, что падающая волна поглощается, следует из непрозрачности достаточно толстого слоя графита.

§ 2. Импульс излучения

Покажем теперь, что плоская волна на рис. 21-1 сообщает пластинке толщиной Δx не только энергию, но и импульс. Рассмотрим прямоугольный элемент бесконечной пластинки площадью $y_0 z_0$ (рис. 21-2).

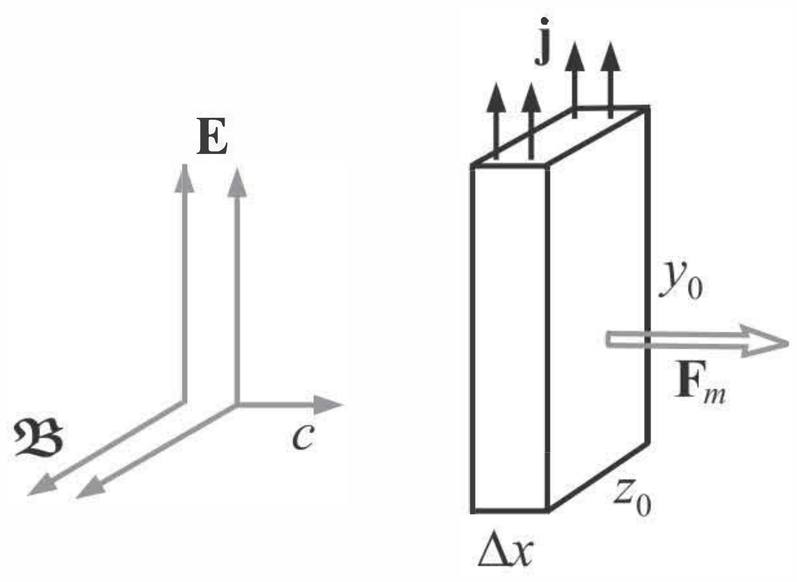


Рис. 21-2. Падающая волна наводит в пластинке ток $I = jz_0\Delta x$. На этот ток действует магнитная сила $\mathbf{F}_m = I\mathbf{y}_0 \times \mathfrak{B}$

Поскольку $jEdt$ — количество джоулева тепла, выделяющегося в единице объема за время dt, то количество тепла, выделяющегося в элементе пластинки объемом $y_0 z_0 \Delta x$, равно

$$dU = (jEdt)(y_0 z_0 \Delta x).$$

Заменим E на $c\mathscr{B}$:

$$dU = cjz_0 \Delta x y_0 \mathscr{B} dt.$$

Ток через рассматриваемый элемент пластинки

$$I = j(z_0 \Delta x),$$

поэтому

$$dU = cIy_0 \mathscr{B} dt.$$

На элемент тока длиной y_0, перпендикулярный падающему магнитному полю, действует сила $\mathbf{F}_m = I\mathbf{y}_0 \times \mathfrak{B}$ в направлении $\mathbf{E} \times \mathfrak{B}$, которое совпадает с направлением падающей волны. Заменяя $Iy_0\mathscr{B}$ на F_m, получаем

$$dU = cF_m\,dt.$$

Импульс, сообщаемый элементу пластинки, $dp = F_m\,dt$, или

$$dU = c\,dp, \tag{21-4}$$

$$dp = \frac{1}{c}dU.$$

Как и прежде, проинтегрировав по толщине пластинки x, мы получим $p = U/c$. Таким образом, сообщаемый пластинке импульс равен величине $1/c$, умноженной на энергию, рассеиваемую в пластинке.

Поле излучения обладает не только энергией, но и импульсом. В любом элементе объема dV поля излучения заключена энергия

$$dU = \frac{E^2}{8\pi k_0}dV,$$

а его импульс равен энергии, деленной на величину c. Иными словами, элемент объема dV характеризуется вектором импульса (с учетом соотношения $dU = S\,dV/c$)

$$d\mathbf{p} = \frac{1}{c}\left(\frac{\mathbf{S}}{c}dV\right).$$

Мы видим, что поле излучения, которое испускается движущимся с ускорением зарядом, представляет само по себе физическую реальность. В каждой точке пространства оно имеет энергию и импульс, и их можно измерить. Энергию вы можете измерить, поместив руку в пучок света. Большая часть света поглотится рукой и превратится в тепло. Из-за малости величины $1/c$ измерить импульс светового пучка довольно трудно (рис. 21-3).

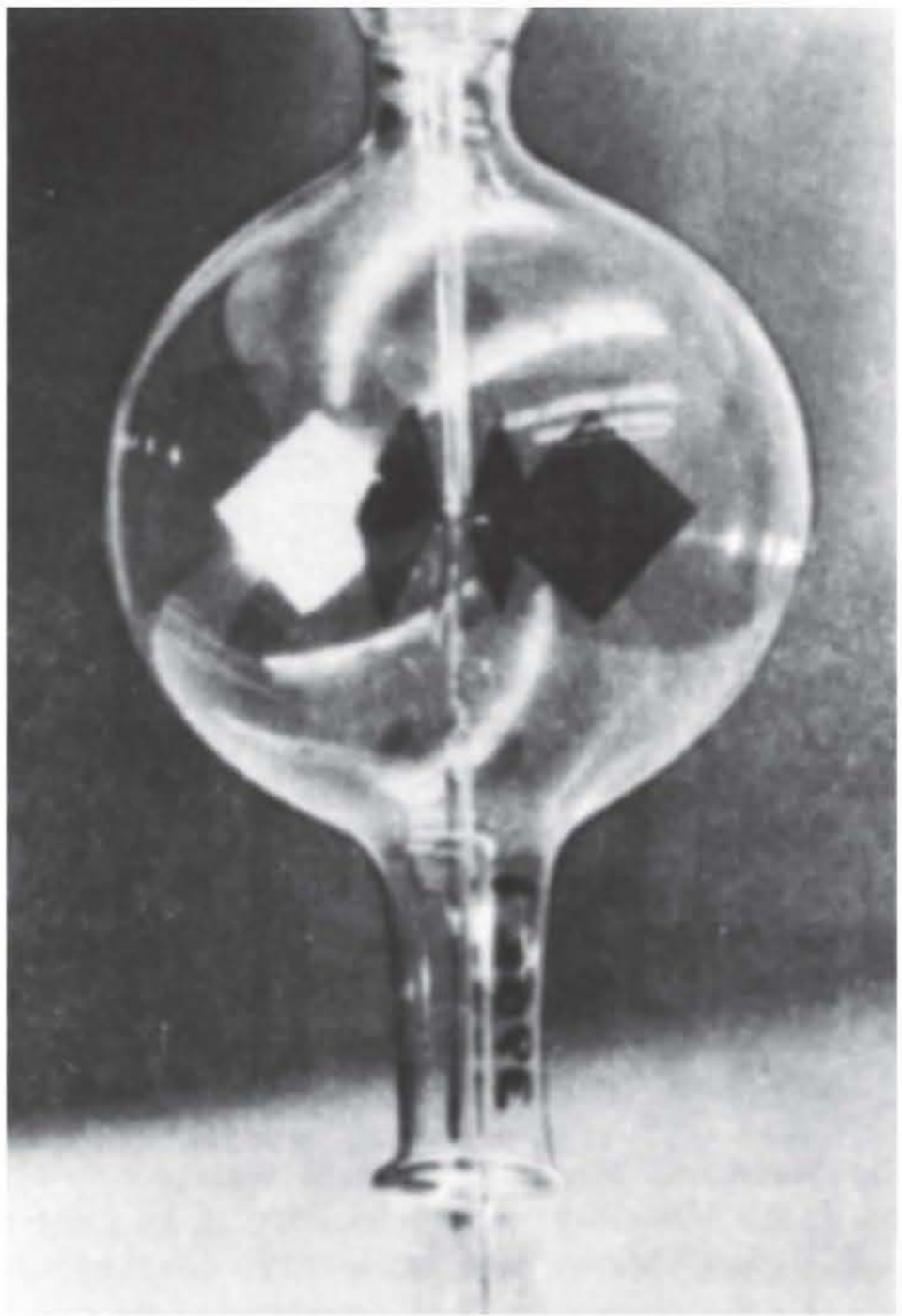


Рис. 21-3. Радиометр. Свет, отраженный посеребренной поверхностью каждой лопасти, передает вдвое больший импульс по сравнению со светом, поглощенным зачерненной поверхностью. Вследствие этого лопасти на снимке должны вращаться по часовой стрелке. Однако в действительности они вращаются в обратном направлении! Это объясняется наличием более сильного физического эффекта, а именно тем, что вблизи зачерненной поверхности остаточный газ нагревается больше, что приводит к более высокому давлению на эту поверхность. Если же сосуд откачать до более высокого вакуума, то направление вращения изменится на противоположное

Пример 2. Предположим, что свет от яркой лампы мощностью 100 Вт фокусируется на отражающей лопасти радиометра. С какой силой свет давит на лопасть?

Решение: Импульс пучка света дается выражением (21-4)

$$dp = \frac{1}{c} dU .$$

Поскольку при отражении направление света меняется, передаваемый лопасти импульс оказывается в два раза больше по величине:

$$dp_{\text{лоп.}} = \frac{2}{c} dU .$$

Таким образом, давление на лопасть

$$F = \frac{dp_{\text{лоп.}}}{dt} = \frac{2}{c}\frac{dU}{dt} = \frac{2}{3 \cdot 10^8}(100)\ \text{Н} = 6{,}67 \cdot 10^{-7}\ \text{Н}.$$

Столь малая сила даже при ничтожном трении с трудом приводит лопасть в движение*.

Физическая реальность поля станет еще более ощутимой при изучении квантовой теории и свойств фотонов в гл. 24. Мы увидим, что излучение состоит из физических частиц, называемых фотонами, которые столь же реальны, как электроны и протоны. Каждый фотон обладает энергией $U = hf$ и импульсом $p = hf/c$, где f — частота волны, а h — очень маленькое число, называемое постоянной Планка.

§ 3. Отражение излучения от хорошего проводника

Как уже отмечалось, в случае с высокой проводимостью σ электромагнитная волна поглощается не полностью, а частично отражается. В этом легко убедиться, рассматривая предельный случай $\sigma = \infty$ (сверхпроводник). Напомним, что электрическое поле внутри сверхпроводника должно всегда обращаться в нуль (в противном случае неограниченно возрастал бы ток). Следовательно, индуцированный поверхностный ток оказывается таким, что поле излучения $\Delta E = -E_{\text{пад.}}$. При этом внутри пластинки результирующее поле $E = E_{\text{пад.}} + \Delta E = 0$. Слева от плас-

---

* Существование светового давления было экспериментально доказано российским физиком П. Н. Лебедевым в 1899 г. — *Прим. перев.*

тинки оно не будет обращаться в нуль, поскольку его существование обусловлено двумя монохроматическими волнами одинаковой интенсивности, бегущими в противоположных направлениях. В этих условиях слева от пластинки на рис. 21-4 образуется стоячая волна с узлами и пучностями. Стоячие волны мы обсудим в § 1 гл. 22.

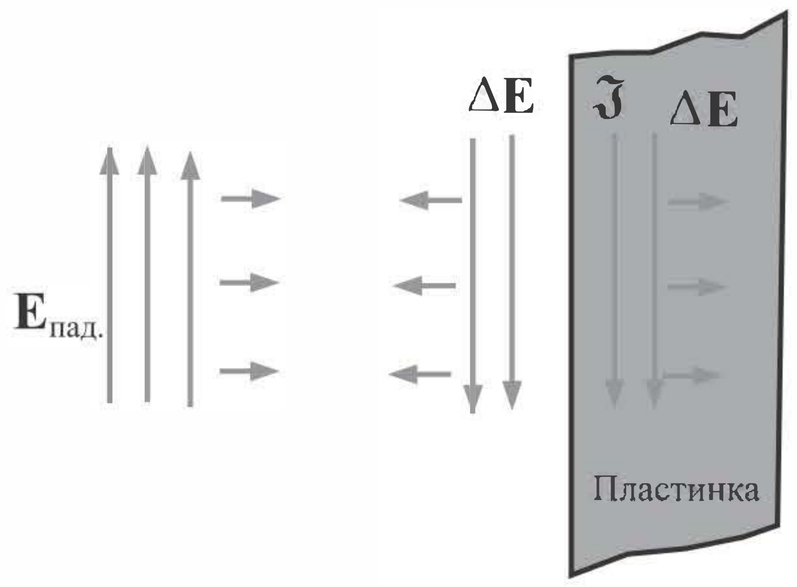


Рис. 21-4. Падающая волна наводит в сверхпроводящей пластинке ток $\mathscr{I}$, который излучает поле $\Delta\mathbf{E}$, равное по величине $E_{\text{пад.}}$

Пример 3. Какова на рис. 21-4 величина индуцированного поверхностного тока, а также величина и направление магнитного поля $\Delta\mathfrak{B}$, создаваемого этим током?

Решение: В соответствии с выражением (20-7) мы имеем

$$\Delta E = c\Delta\mathscr{B} = \frac{2\pi k_0}{c}\mathscr{I},$$

откуда

$$\mathscr{I} = \frac{c}{2\pi k_0}\Delta E = \frac{c}{2\pi k_0}E_{\text{пад.}}.$$

Мы записали индуцированный поверхностный ток через величину электрического поля падающей волны. Магнитное поле $\Delta\mathscr{B}$, создаваемое током $\mathscr{I}$, получаем из первого выражения:

$$\Delta\mathscr{B} = \frac{2\pi k_0}{c^2}\mathscr{I} = \frac{E_{\text{пад.}}}{c}.$$

Направление поля вблизи тока $\mathscr{I}$ определяется правилом правой руки и иллюстрируется рис. 20-5. Справа от тока поле направлено от читателя за плоскость чертежа, слева — на читателя. В обоих случаях векторное произведение $\Delta\mathbf{E}\times\Delta\mathfrak{B}$, характеризующее направление распространения волны, направлено от тока $\mathscr{I}$. Наконец, последний результат: величина $\mathscr{I}$ совпадает с током в источнике, генерирующем $E_{\text{пад.}}$.

Мы завершили рассмотрение взаимодействия излучения с веществом, содержащим свободные электроны. Излучение приводит к появлению электрического тока и связанных с ним эффектов. В следующем параграфе мы обсудим вещества, в которых не имеется свободных электронов. Такие вещества называются диэлектриками, или изоляторами.

§ 4. Взаимодействие излучения с диэлектриками

Внешние электроны атомов диэлектрика связаны с атомом не жестко и под влиянием внешнего поля испытывают смещение. Постараемся вычислить величину такого смещения.

Воспользуемся моделью атома, близкой к той, которая принята в современной квантовой теории. Согласно этой модели, внешний электрон рассматривается в виде шарового облака радиусом R. Мы будем предполагать плотность заряда постоянной. В соответствии с уравнением (16-3) при смещении подобного шарового заряда на расстояние y от центра атома возникает возвращающая сила, пропорциональная y. Вследствие этого электронное облако совершает гармонические колебания относительно центра атома [уравнение (16-3а)]. Центр атома представляет собой атомное ядро, окруженное облаком внутренних электронов, прочно связанных с ядром. Сила, действующая на внешнее электронное облако, дается выражением [см. (16-3а)]

$$F_{\text{атом.}} = -m\omega_0^2 y, \qquad (21\text{-}5)$$

где $\omega_0/2\pi$ — частота собственных колебаний атомного электрона.

Если на электронное облако действует поле $E_{\text{пад.}}$ падающей волны, то результирующая сила запишется в виде

$$F_{\text{рез.}} = F_{\text{атом.}} + (-e)\, E_{\text{пад.}},$$

откуда получаем следующее уравнение:

$$m\frac{d^2y}{dt^2} = -m\omega_0^2 y - eE_{\text{пад.}}.$$

Для обозначения смещения мы использовали здесь вместо x величину y, поскольку нами будет рассматриваться случай, когда $\mathbf{E}_{\text{пад.}}$ направлено вдоль оси y. Падающую волну на расстоянии x от источника мы обычно записывали как $E_{\text{пад.}} = \cos\omega(t - x/c)$. Поэтому написанное выше уравнение принимает вид

$$\frac{d^2y}{dt^2} = -\omega_0^2 y - \frac{eE_{\text{пад.}}}{m}\cos\omega\left(t - \frac{x}{c}\right).$$

Запишем решение этого дифференциального уравнения:

$$y = -\frac{eE_0}{m\left(\omega_0^2 - \omega^2\right)}\cos\omega\left(t - \frac{x}{c}\right). \qquad (21\text{-}6)$$

Данное решение можно проверить подстановкой в исходное уравнение.

Таким образом, мы показали, как взаимодействует отдельный атом с излучением. Теперь мы рассмотрим множество таких атомов, из которых состоит твердая пластинка или слой газа.

§ 5. Показатель преломления

Пусть на пластинку толщиной Δx, состоящую из атомов, модель которых мы рассмотрели в предыдущем параграфе, падает плоская волна. Попробуем догадаться, что при этом произойдет. В соответствии с формулой (21-6) электрическое поле падающей волны $E_{\text{пад.}}$ вынудит атомные электроны совершать гармонические колебания. Любой колеблющийся электрон должен сам по себе излучать электромагнитную волну. Как и в случае с пластинкой из проводника, возникают отраженная и прошедшая волны, но только теперь потери на джоулево тепло в пластинке отсутствуют. Вся энергия сохраняется в форме электромагнитного излучения; таким образом, пластинка оказывается прозрачной. Более того, если заимствовать известный из оптики результат, то окажется, что электромагнитная волна (или свет) распространяется внутри пластинки со скоростью $u < c$. Отношение $c/u = n$ называется показателем преломления. У большинства твердых сред показатель преломления равен приблизительно 1,5; это означает, что скорость света замедляется в них примерно на 33 %. В табл. 21-1 приведены показатели преломления некоторых широко используемых веществ.

Таблица 21-1

Некоторые показатели преломления ($\lambda = 5{,}9\cdot10^{-7}$ м — желтая линия натрия)

Вещество	Показатель преломления
Воздух	1,0003
Сероуглерод	1,63
Алмаз	2,42
Стекло (тяжелый флинт)	1,89
Стекло (легкий флинт)	1,58
Стекло (цинковый крон)	1,52
Полиэтилен	1,52
Плавленый кварц	1,46
Сапфир	1,77
Хлористый натрий	1,53
Вода	1,33

Как это может быть, чтобы электромагнитная волна распространялась со

скоростью $u < c$? Из уравнений (20-5) и (20-7) следует, что поля E и $\mathscr{B}$ должны описываться волновым уравнением, в которое входит скорость волны c. Это, безусловно, так с микроскопической точки зрения — поле излучения движущейся с ускорением заряженной частицы распространяется со скоростью $u = c$. Парадокс устраняется, если мы обратим внимание на то, что поле внутри пластинки не совпадает с полем излучения отдельной частицы (или плоского тока, генерирующего падающую волну). Поле внутри пластинки представляет собой суперпозицию поля падающей волны и полей излучения всех атомных электронов. Каждое из полей в отдельности будет распространяться со скоростью $u = c$, но результирующее поле, вероятно, может распространяться так, как если бы его скорость уменьшилась. Используя формулу (21-6), мы покажем, что поле излучения каждого из атомных электронов запаздывает по фазе на 90° относительно поля падающей волны, которая приводит в движение эти электроны. Можно ожидать, что в этом случае испущенная результирующая волна будет запаздывать по фазе относительно падающей. Оказывается, скорость результирующего волнового фронта меньше, чем $u = c$, хотя индивидуальные волны распространяются с $u = c$.

Выведем формулу для показателя преломления в случае с пластинкой на рис. 21-5. Этот вывод можно выполнить за пять этапов следующим образом.

1. Зададим электрическое поле падающей волны.
2. Вычислим скорость, приобретаемую атомными электронами в пластинке под действием электрического поля падающей волны.
3. Используя эту скорость (или плотность электронного тока), вычислим испускаемое электронами вторичное излучение.
4. Просуммируем падающую и вторичные волны для получения результирующей испускаемой волны.
5. Свяжем фазу испускаемой волны с показателем преломления.

1. Падающая волна

Электрическое поле падающей волны зададим в виде [см. (20-7)]

$$E_{\text{пад.}} = E_0 \cos\omega\left(t - \frac{x}{c}\right).$$

2. Скорость электронов

Дифференцируя (21-6) по времени, получаем выражение для скорости слабо связанных внешних электронов:

$$v_y = \frac{\partial y}{\partial t} = \frac{eE_0\omega}{m\left(\omega_0^2 - \omega^2\right)} \sin\omega\left(t - \frac{x}{c}\right),$$

где ω_0 — частота собственных колебаний электронов. Плотность тока в пластинке

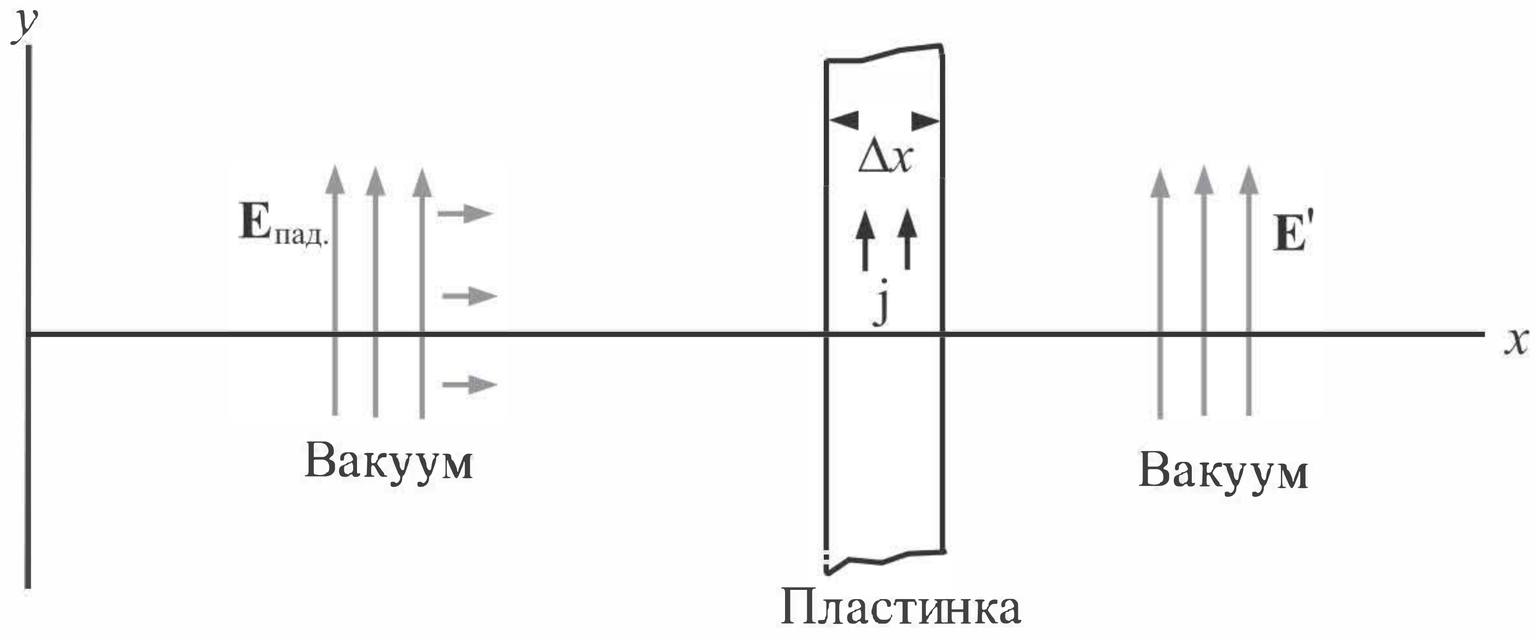


Рис. 21-5. Падающая волна $\mathbf{E}_{\text{пад.}}$ наводит в пластинке плотность тока j, излучение которого вносит вклад в результирующую волну $\mathbf{E}$

$j = \mathfrak{N}(-e)v_y$, где $\mathfrak{N}$ — число колеблющихся атомных электронов в единице объема. Используя приведенное выше выражение для v_y, находим

$$j = -\frac{\mathfrak{N}e^2\omega E_0}{m\left(\omega_0^2 - \omega^2\right)}\sin\omega\left(t - \frac{x}{c}\right).$$

3. Излучение, испускаемое атомными электронами

Поле излучения у пластинки, создаваемое электронами пластинки, в соответствии с (20-7) запишется в виде

$$\Delta E = -\frac{2\pi}{c}k_0 j\Delta x,$$

где знак «минус» указывает на то, что ток j и создаваемое им поле излучения имеют противоположные направления. Таким образом, подставляя сюда выражение для j, имеем

$$\Delta E = -\frac{2\pi k_0}{c}\left[-\frac{\mathfrak{N}e^2\omega E_0}{m\left(\omega_0^2 - \omega^2\right)}\sin\omega\left(t - \frac{x}{c}\right)\right]\Delta x.$$

Перепишем это выражение в виде

$$\Delta E = \Delta E_0 \cos\left(\omega t - kx - \frac{\pi}{2}\right), \qquad (21\text{-}7)$$

где

$$\Delta E_0 = \frac{2\pi k_0 \mathfrak{N}e^2\omega}{cm\left(\omega_0^2 - \omega^2\right)}E_0\Delta x. \qquad (21\text{-}8)$$

4. Результирующая волна

Результирующее электрическое поле испускаемой волны представляет собой суперпозицию поля падающей волны и поля, испускаемого атомными электронами:

$$E' = E_{\text{пад.}} + \Delta E.$$

Заменяя ΔE выражением (21-7), получаем

$$E' = E_0\cos\theta + \Delta E_0\cos\left(\theta - \frac{\pi}{2}\right),$$

где $\theta \equiv \omega(t - x/c)$. Хотя θ и увеличивается во времени, обе монохроматические волны сохраняют постоянную разность фаз, равную $\pi/2$ радиан. Используя метод фазовых диаграмм, описанный в приложении 1, эти две волны нетрудно сложить. В данный момент времени t первая волна представляет собой проекцию на ось x вектора $\mathbf{E}_0$ (рис. 21-6). Вторая волна является проекцией на ось x вектора $\Delta\mathbf{E}_0$, составляющего угол $-\pi/2$ с первым вектором. Из рис. 21-6, *а* видно, что результирующий вектор $\mathbf{E}'_0$ *сдвинут* по фазе относительно падающей волны на угол

$$\varphi = \Delta E_0/E_0.$$

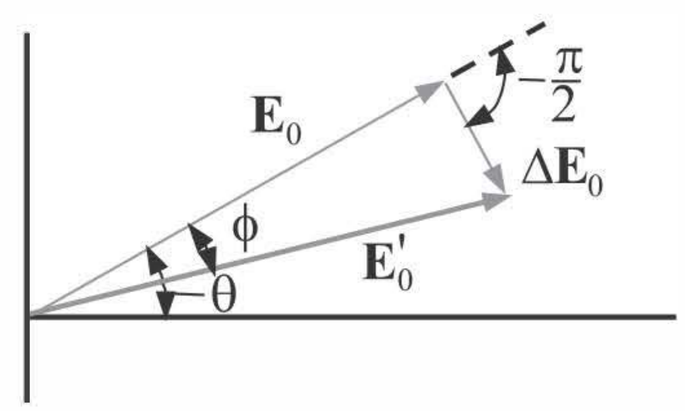


Рис. 21-6. *а* — фазовая диаграмма для сложения двух монохроматических волн $E_0\cos\theta$ и $\Delta E_0\cos(\theta - \pi/2)$; *б* — непосредственное сложение двух монохроматических волн, сдвинутых по фазе на 90°

При выводе этого выражения мы воспользовались малостью углов, предположив, что $\Delta E_0/E_0 \ll 1$.

5. *Соотношение между фазовым сдвигом и показателем преломления*

Падающая волна проходит через пластинку за время $t = \Delta x/c$, тогда как волна, распространяющаяся со скоростью $u = c/n$, затрачивает большее время $t' = n(\Delta x/c)$. Результирующий волновой фронт при прохождении пластинки задержится на $\Delta t = (n - 1)\Delta x/c$. Это соответствует фазовому сдвигу

$$\varphi = \omega\Delta t = \omega\left[(n-1)\frac{\Delta x}{c}\right].$$

Поскольку $\varphi = \Delta E_0/E_0$, то

$$\omega(n-1)\frac{\Delta x}{c} = \frac{\Delta E_0}{E_0}.$$

Подставляя выражение (21-8) для ΔE_0 и решая относительно n, находим

$$n = 1 + \frac{2\pi k_0 \mathfrak{N} e^2}{m\left(\omega_0^2 - \omega^2\right)} \quad (\textit{показатель преломления}). \qquad (21\text{-}9)$$

Это показатель преломления пластинки. Следует заметить, что Δx не входит в окончательный результат. Это не является неожиданным, поскольку толстую пластинку можно представлять в виде набора тонких, в каждой из которых повторяется один и тот же процесс. Напомним также, что мы использовали приближение, согласно которому поле падающей волны меняется слабо, т. е. $(n - 1) \ll 1$. В случае с большими n поле $E_{\text{пад.}}$ внутри пластинки следует заменить на результирующее поле. Это усложняет расчеты, и мы не приводим их здесь.

Дисперсия

Полученный нами результат обеспечивает правильную зависимость от частоты падающего света ω (рис. 21-7). В примере 1 гл. 16 мы показали, что для типичных атомов $\omega_0 > \omega$, причем ω относится к видимой области спектра. Этому соответствует показатель преломления больше 1 или скорость волны меньше c. Кроме того, при переходе частоты света из красной области спектра в фиолетовую показатель преломления увеличивается и возрастает отклонение светового луча призмой, т. е. имеет место нормальная дисперсия. Именно благодаря этому призма разлагает пучок белого света в спектр.

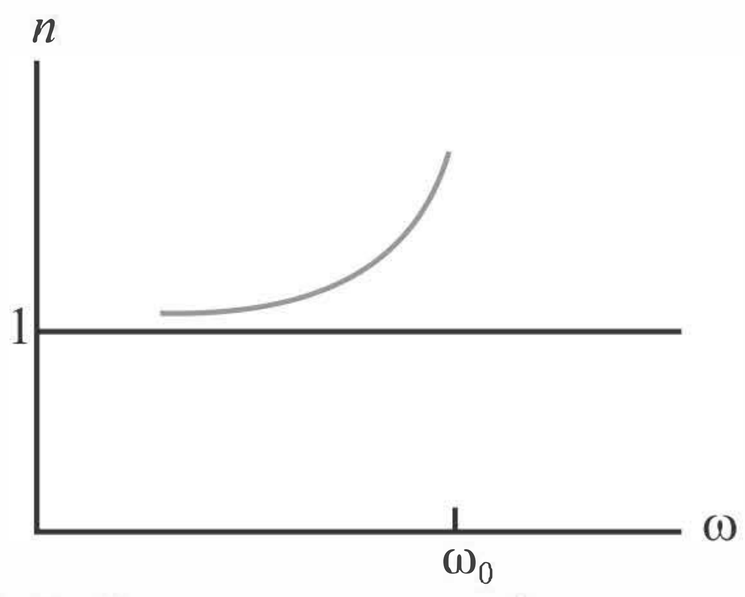


Рис. 21-7. Кривая нормальной дисперсии, построенная в соответствии с формулой (21-9)

Пример 4. Используя формулу (21-9) и данные табл. 21-1, вычислим показатель преломления воздуха для ультрафиолетового излучения с $\lambda = 3{,}0 \cdot 10^{-7}$ м в предположении, что $\omega_0 = 7{,}5 \cdot 10^{15}$ с$^{-1}$.

Решение: Перепишем формулу (21-9) в виде

$$\frac{n_2 - 1}{n_1 - 1} = \frac{\omega_0^2 - \omega_1^2}{\omega_0^2 - \omega_2^2}.$$

Из табл. 21-1 находим для воздуха $n_1 = 1{,}0003$, причем $\omega_1 = 2\pi c/\lambda_1 = 3{,}19 \cdot 10^{15}$ с$^{-1}$ (желтая линия натрия). Тогда

$$\omega_2 = \frac{2\pi c}{\lambda_2} = 6{,}28 \cdot 10^{15} \text{ с}^{-1}, \text{ где } \lambda_2 = 3{,}0 \cdot 10^{-7} \text{ м}.$$

Таким образом,

$$\frac{n_2 - 1}{1{,}0003 - 1} = \frac{\left(7{,}5 \cdot 10^{15}\right)^2 - \left(3{,}19 \cdot 10^{15}\right)^2}{\left(7{,}5 \cdot 10^{15}\right)^2 - \left(6{,}28 \cdot 10^{15}\right)^2} = 2{,}74,$$

$$n_2 = 1{,}00082.$$

Используя уравнения Максвелла и упрощенную атомную модель проводников и диэлектриков, мы смогли рассчитать

многие из наблюдаемых в природе общих свойств света и электромагнитного излучения.

§ 6. Электромагнитное излучение в ионизованной среде

В плазме или ионизованном газе электроны свободны и $\omega_0 = 0$. Полагая в (21-9) $\omega_0 = 0$, имеем

$$n = 1 - \frac{2\pi k_0 \mathfrak{N} e^2}{m\omega^2}.$$

Эта формула справедлива в случае, когда средний свободный пробег электрона превышает величину $y_{\text{макс.}} = eE_0/m\omega^2$. Такой случай реализуется при распространении радиоволн в ионосфере и космическом пространстве. Внимательный читатель должен обратить внимание на то, что здесь мы имеем $n < 1$, иными словами, скорость волны превышает скорость света c. Однако хорошо известно, что ни сигнал, ни частица не могут распространяться быстрее света. В действительности отдельные частицы света (фотоны) всегда движутся со скоростью $u = c$. Здесь же мы рассматриваем результирующее поле, обусловленное суперпозицией большого числа фотонов, испускаемых многочисленными электронами. Свойства фотонов мы обсудим в гл. 24.

Модуляция и групповая скорость

Решившийся ниспровергнуть Эйнштейна читатель мог бы предложить увеличивать и уменьшать амплитуду электромагнитной волны, распространяющейся в ионизованном газе, и создавать тем самым модуляцию электромагнитной волны. С помощью такой модуляции могла бы быть закодирована информация (например, с использованием азбуки Морзе), и тогда сигналы передавались бы быстрее света. Однако модулированная волна уже не будет монохроматической. Эту волну можно было бы разложить по Фурье на группы монохроматических волн с различными частотами. Каждая из монохроматических волн действительно распространяется со скоростью $u > c$, но в приложении 2 показано, что огибающая сигнала при этом распространяется со скоростью, называемой групповой скоростью v_g, которая может существенно отличаться от скоростей монохроматических составляющих, и в данном случае $v_g < c$. В приложении 2 получена формула

$$v_g = \frac{d\omega}{dk}, \text{ где } k = \frac{2\pi}{\lambda}.$$

---

* **Пример 5.** Какова групповая скорость в обычном диэлектрике, для которого имеет место формула (21-9)? Всегда ли она меньше c?

Решение: Запишем k как функцию от ω:

$$\frac{\omega}{k} = u = \frac{c}{n}, \text{ где } k = \frac{\omega}{c} n.$$

Формулу (21-9) можно представить в виде

$$n = 1 + \frac{A}{\omega_0^2 - \omega^2}, \text{ где } A \equiv \frac{2\pi k_0 \mathfrak{N} e^2}{m}.$$

Тогда мы имеем

$$k = \frac{\omega}{c}\left(1 + \frac{A}{\omega_0^2 - \omega^2}\right),$$

а дифференцируя, получаем

$$\frac{dk}{d\omega} = \frac{1}{c} + \frac{A}{c}\frac{\omega_0^2 + \omega^2}{\left(\omega_0^2 - \omega^2\right)^2}.$$

Используя соотношение

$dk/d\omega = 1/v_g$,

находим

$$\frac{1}{v_g} = \frac{1}{c}\left[1 + A\frac{\omega_0^2 + \omega^2}{\left(\omega_0^2 - \omega^2\right)^2}\right]. \qquad (21\text{-}10)$$

Таким образом, $v_g < c$.

Следовательно, в соответствии с формулой (21-10) v_g всегда меньше c, если только $\omega_0 > \omega$ или $\omega_0 < \omega$. Это справедливо и в случае, когда $\omega_0 = 0$, например при распространении радиоволн в ионосфере. Мы показали, что v_g меньше скорости света даже в том случае, когда фазовая скорость волны превышает c.

* **Пример 6.** Через каждые 3,6 с пульсар излучает импульс радиоволн. Этот импульс можно регистрировать только радиотелескопами. Если радиоприемник перестроить с частоты 150 МГц на частоту 240 МГц, то импульс будет появляться на 1,3 с раньше. Каково расстояние до этого пульсара, если в межзвездном пространстве плотность электронов $\mathfrak{N} = 0{,}03$ см$^{-3}$?

Решение: Обозначим расстояние до пульсара через D. Разница во времени

$$\Delta t = \frac{D}{v_{g_2}} - \frac{D}{v_{g_1}}.$$

Используя (21-10) при $\omega_0 = 0$, запишем выражение для величины $1/u_g$:

$$\frac{1}{v_g} = \frac{1}{c}\left[1 + \frac{A}{\omega^2}\right].$$

Тогда

$$\Delta t = \frac{DA}{c}\left(\frac{1}{\omega_2^2} - \frac{1}{\omega_1^2}\right).$$

Отсюда находим время, за которое радиоимпульс от пульсара дойдет до Земли:

$$\frac{D}{c} = \frac{m\Delta t 4\pi^2}{2\pi k_0 \mathfrak{N} e^2}\left(\frac{1}{f_2^2} - \frac{1}{f_1^2}\right)^{-1} =$$

$$= \frac{2\pi\left(9{,}1\cdot 10^{-31}\ \text{кг}\right)\left(1{,}3\ \text{с}\right)}{\left(9\cdot 10^{9}\ \text{Н}\cdot\text{м}^2/\text{Кл}^2\right)\left(0{,}03\cdot 10^{6}\ \text{м}^{-3}\right)\left(1{,}6\cdot 10^{-19}\ \text{Кл}\right)} \times$$

$$\times\left[\frac{1}{\left(150\cdot 10^{6}\right)^2\ \text{с}^{-2}} - \frac{1}{\left(240\cdot 10^{6}\right)^2\ \text{с}^{-2}}\right]^{-1} =$$

$$= 3{,}97\cdot 10^{10}\ \text{с} = 1260\ \text{лет}.$$

Таким образом, свет от пульсара доходит до Земли за 1260 лет, т. е. расстояние до пульсара составляет 1260 световых лет.

Этот пример иллюстрирует новый независимый метод определения астрономических расстояний, но он годится лишь для пульсаров (вращающихся нейтронных звезд). К счастью, этот новый метод астрономы могут проверить и откалибровать с помощью старого, поскольку один из пульсаров можно наблюдать визуально (см. рис. 30-8).

§ 7. Поле излучения точечных зарядов

До сих пор мы изучали поле излучения, испускаемого большим числом зарядов, которые совершают совместные колебания, образуя ток. Допустим, что в единице объема находится $\mathfrak{N}$ зарядов. Если каждый заряд q колеблется по закону $y = y_0 \sin\omega t$, то плотность тока $j = q\omega y_0 \cos\omega t$ и ток в слое толщиной Δx

$$\mathcal{J} = j\Delta x = \left(\mathfrak{N} q \omega y_0 \Delta x\right)\cos\omega t.$$

Тогда, используя выражение (20-7), поле излучения можно записать в виде

$$E_y = \frac{2\pi k_0}{c}\mathfrak{N} q \Delta x \omega y_0 \cos\left(\omega t - kx\right). \quad (21\text{-}11)$$

Но предположим теперь, что вместо распределения зарядов мы имеем отдельный заряд q, колеблющийся по закону $y = y_0 \sin\omega t$. С помощью уравнений Максвелла можно показать, что на расстоянии r от заряда q поле излучения дается выражением

$$E = k_0 \frac{q\omega^2 y_0}{c^2 r}\sin\omega\left(t - \frac{r}{c}\right)\sin\theta, \quad (21\text{-}12)$$

где θ — угол, который составляет вектор ускорения с радиусом-вектором $\mathbf{r}$

(рис. 21-8). Замечая, что ускорение $a = -\omega^2 y_0 \sin\omega t$, имеем

$$E = -k_0 \frac{q}{c^2 r} a\left(t - \frac{r}{c}\right)\sin\theta \quad (\textit{излучение точечного заряда}); \quad (21\text{-}13)$$

здесь $a\ (t - r/c)$ — ускорение в момент времени $t - r/c$. Вектор **E** направлен по нормали к радиус-вектору **r**. Формула (21-13) справедлива не только для колеблющегося заряда, но и для любого движущегося заряда при условии, что его скорость $v \ll c$.

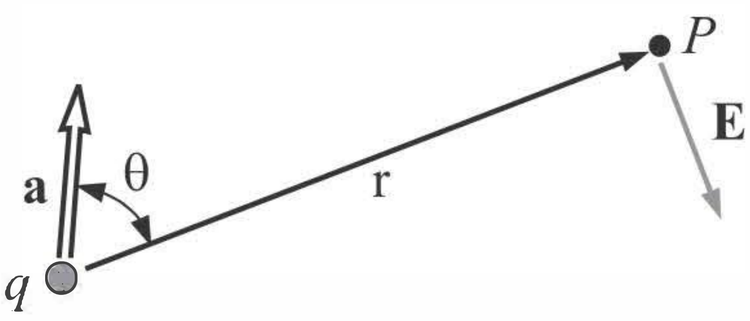


Рис. 21-8. Направление поля излучения **E**, создаваемого точечным зарядом q, движущимся с ускорением **a**

Направление поля $\mathscr{B}$ перпендикулярно **E** и **r**. Как и прежде, $\mathscr{B} = E/c$. Следует заметить, что при вычислении поля на расстоянии r от точечного заряда мы должны использовать значение ускорения в более ранний момент времени $t - r/c$. Это значение ускорения обозначается как $a\ (t - r/c)$. Если бы это было не так, то, измеряя поле в точке P, мы могли бы сказать, что происходит в этот же момент времени с зарядом. Однако это противоречило бы условию, согласно которому сигналы не могут распространяться со скоростью $v > c$. Мы можем судить лишь о состоянии заряда, в котором он находился в более ранний промежуток времени $t - r/c$.

---

* **Пример 7.** Какую мощность излучает заряд q, движущийся с ускорением a?

Решение: Излучаемая с единицы площади мощность характеризуется вектором Пойнтинга [см. (21-3)]. Полную мощность можно найти, проинтегрировав по поверхности сферы величину

$$S = \frac{c^2}{4\pi k_0} E\mathscr{B} = \frac{c^2}{4\pi k_0} E\left(\frac{E}{c}\right) = \frac{c}{4\pi k_0} E^2 =$$

$$= \frac{c}{4\pi k_0}\left(-\frac{k_0 q a}{c^2 r}\sin\theta\right)^2 = k_0 \frac{q^2 a^2}{4\pi c^3 r^2}\sin^2\theta.$$

Полная мощность излучения

$$\frac{dU}{dt} = P = \oint \mathbf{S}\cdot d\mathbf{A},$$

где элемент поверхности $dA = 2\pi r^2 \sin\theta\, d\theta$. Таким образом,

$$P = \oint\left(k_0 \frac{q^2 a^2}{4\pi c^3 r^2}\sin^2\theta\right) 2\pi r^2 \sin\theta\, d\theta =$$

$$= k_0 \frac{q^2 a^2}{2c^3}\int_0^{\pi}\sin^3\theta\, d\theta = \frac{2}{3} k_0 \frac{q^2}{c^3} a^2. \quad (21\text{-}14)$$

---

* **Пример 8.** Каково поле излучения электрического диполя $p = p_0 \sin\omega t$? Какую среднюю мощность излучает этот диполь?

Решение: Пусть отрицательный заряд диполя $-q$ расположен в начале системы координат, а положительный заряд q — на оси z, причем его координата меняется по закону $z = z_0 \sin\omega t$. Тогда $p_0 = qz_0$, а ускорение

$$a = -\omega^2 z_0 \sin\omega t = -\frac{\omega^2 p_0}{q}\sin\omega t.$$

Подставляя это выражение в (21-13), находим поле излучения

$$E = -k_0 \frac{q}{c^2 r}\left[-\frac{\omega^2 p_0}{q}\sin\omega\left(t - \frac{r}{c}\right)\right]\sin\theta =$$

$$= k_0 \frac{\omega^2 p_0 \sin\theta}{c^2 r}\sin\omega\left(t - \frac{r}{c}\right). \quad (21\text{-}15)$$

Отсюда мы видим, что поле излучающего диполя спадает с расстоянием по закону $1/r$, в то время как в случае со статическим диполем поле уменьшается как $1/r^3$.

Чтобы ответить на второй вопрос, запишем выражение (21-14):

$$\bar{P} = \frac{2}{3} k_0 \frac{q^2}{c^3} \overline{a^2},$$

где $\overline{a^2}$ обозначает среднее значение функции $\left(\omega^4 {p_0}^2 / q^2\right) \sin^2 \omega t$. Поскольку среднее значение $\sin^2 \omega t$ равно 1/2, то

$$\bar{P} = \frac{1}{3} k_0 \frac{{p_0}^2 \omega^4}{c^3}. \qquad (21\text{-}16)$$

Следует заметить, что при постоянной амплитуде колебаний мощность излучения возрастает пропорционально четвертой степени частоты.

Пример 9. Пусть в точке расположения свободного электрона радиопередатчик, работающий на частоте 500 кГц, создает поле электромагнитного излучения $E_0 = 10$ мВ/см. Каковы будут амплитуда колебаний и максимальная скорость электрона? Какую среднюю мощность излучает электрон?

Решение: Полагая в выражении (21-6) $\omega_0 = 0$, находим амплитуду:

$$y_0 = \frac{eE_0}{m\omega^2} = \frac{\left(1{,}6 \cdot 10^{-19}\ \text{Кл}\right)\left(1{,}0\ \text{В/м}\right)}{\left(9{,}11 \cdot 10^{-31}\ \text{кг}\right)\left(2\pi \cdot 5 \cdot 10^5\ \text{с}^{-1}\right)^2} =$$
$$= 1{,}78 \cdot 10^{-2}\ \text{м}.$$

В случае с простыми гармоническими колебаниями максимальная скорость электрона

$$v_0 = \omega y_0 = (2\pi \cdot 5 \cdot 10^5\ \text{с}^{-1})(1{,}78 \cdot 10^{-2}\ \text{м}) =$$
$$= 5{,}58 \cdot 10^4\ \text{м/с}.$$

Для того чтобы найти среднюю мощность излучения $\bar{P}$, вычислим дипольный момент p_0 и подставим его в (21-16):

$$p_0 = ey_0 = (1{,}6 \cdot 10^{-19}\ \text{Кл})(1{,}78 \cdot 10^{-2}\ \text{м}) =$$
$$= 2{,}85 \cdot 10^{-21}\ \text{Кл} \cdot \text{м},$$

$$\bar{P} = \frac{1}{3} k_0 \frac{{p_0}^2 \omega^4}{c^3} = 8{,}79 \cdot 10^{-32}\ \text{Вт}.$$

Атомные переходы

Если проанализировать спектр излучения атома с помощью идеального спектрометра, обладающего бесконечно большим разрешением, то окажется, что излучение сосредоточено при определенных дискретных значениях частот или в определенных «линиях». Каждая из этих линий обладает естественной шириной Δf.

С помощью формулы (21-16) можно оценить время жизни возбужденного состояния атома, которое связано с естественной шириной линии атомного спектра. Воспользуемся приближением, согласно которому сила, связывающая излучающий электрон с центром атома, аналогична силе, действующей со стороны пружины с коэффициентом упругости $k = m\omega_0^2$. При этом частота излучения $f_0 = \omega_0/2\pi$ и $p = ex_0$. В § 4 гл. 11 мы установили, что полная механическая энергия колебательной системы $E = kx_0^2/2 = m\omega_0^2 x_0^2/2$, где x_0 — амплитуда колебаний. В соответствии с (21-16) скорость, с которой излучается энергия,

$$\frac{dE}{dt} = \frac{1}{3} k_0 (ex_0)^2 \frac{\omega_0^4}{c^3}.$$

В этом случае

$$\frac{dE}{E} = \frac{2}{3} k_0 \frac{e^2}{c^3} \frac{\omega_0^2}{m} dt.$$

Интегрируя обе части этого выражения, получаем

$$E = E_0 e^{-t/\tau}, \text{ где } \tau = \frac{3mc^3}{2k_0 e^2 \omega_0^2}.$$

Вычислим среднее время жизни τ атомного перехода, при котором испускается желтый свет ($f = 6 \cdot 10^{14}$ Гц):

$$\tau = \frac{3}{2}\frac{\left(9{,}11\cdot 10^{-31}\right)\left(3\cdot 10^{8}\right)^{3}}{\left(9\cdot 10^{9}\right)\left(1{,}6\cdot 10^{-19}\right)^{2}(2\pi)^{2}\left(6\cdot 10^{14}\right)^{2}}\ \text{с} =$$

$$= 1{,}13\cdot 10^{-8}\ \text{с}.$$

Несмотря на то, что при вычислениях мы пользовались классическим приближением, полученный результат почти совпадает с правильным результатом, даваемым квантовой механикой. Ширину желтой спектральной линии можно получить из формулы (21-17), приведенной в приложении 2:

$$\Delta\omega \approx \frac{1}{\tau} \text{ или } \Delta f \approx \frac{1}{2\pi\tau}.$$

Относительная ширина линии

$$\frac{\Delta f}{f_0} \approx \frac{1}{2\pi f_0 \tau} \approx 2{,}35\cdot 10^{-8}.$$

В следующем примере в аналогичных расчетах мы используем боровскую модель атома водорода и оценим, сколько времени потребуется электрону, чтобы излучить энергию, сравнимую с его энергией связи.

Пример 10. В боровской модели атома водорода электрон движется по круговой орбите радиусом $R = 0{,}53\cdot 10^{-10}$ м. С какой скоростью электрон излучает энергию (в единицах эВ/с)? За какое время в этих условиях будет испущена энергия 7 эВ, составляющая примерно половину энергии связи электрона?

Решение: Ускорение электрона можно найти с помощью закона Кулона:

$$ma = k_0\frac{e^2}{R^2},$$

$$a = k_0\frac{e^2}{mR^2}.$$

Подставляя это выражение в (21-14), находим скорость излучения энергии:

$$\frac{dU}{dt} = \frac{2}{3}k_0\frac{e^2}{c^3}\left(k_0\frac{e^2}{mR^2}\right)^2 = \frac{2}{3}{k_0}^3\frac{e^6}{c^3m^2R^2} =$$

$$= \frac{2}{3}\left(9\cdot 10^{9}\right)^3 \times$$

$$\times\frac{\left(1{,}6\cdot 10^{-19}\right)^6}{\left(3\cdot 10^{-8}\right)^3\left(9{,}11\cdot 10^{-31}\right)^2\left(0{,}53\cdot 10^{-10}\right)^4}\ \text{Дж/с} =$$

$$= 4{,}61\cdot 10^{-8}\ \text{Дж/с} = 2{,}88\cdot 10^{11}\ \text{эВ/с}.$$

Время, за которое излучается 7 эВ энергии, равно

$$\Delta t = \frac{\Delta U}{dU/dt} = \frac{7}{2{,}88\cdot 10^{11}}\ \text{с} = 2{,}43\cdot 10^{-11}\ \text{с}.$$

Мы видим, что согласно классической физике электрон, движущийся по круговой орбите вокруг протона, быстро излучит значительную часть имеющейся у него энергии. Более детальный расчет показывает, что электрон будет двигаться по спирали и через $\sim 10^{-11}$ с упадет на протон (см. задачу 21). Современная квантовая механика свободна от этой трудности, поскольку электронное облако стационарно; его ускорение равно нулю.

Основные выводы

Плотность энергии электромагнитной волны дается выражением

$$\frac{E^2 + \left(c\mathscr{B}\right)^2}{8\pi k_0}.$$

Поток энергии через единицу площади в единицу времени равен

$$\mathbf{S} = \frac{c^2}{4\pi k_0}\mathbf{E}\times\mathfrak{B}.$$

Эта величина называется вектором Пойнтинга и характеризует потери мощности, приходящиеся на единицу площади в среде, поглощающей волну.

Бегущая электромагнитная волна, попадая на поверхность проводника, инду-

цирует в нем поверхностный ток, благодаря которому происходит отражение падающей волны.

Если электромагнитная волна с частотой ω проникает в диэлектрик, то внешние электроны атомов колеблются с той же частотой и испускают вторичные электромагнитные волны, сдвинутые по фазе на 90° относительно падающей волны. Вследствие этого скорость волны u оказывается меньше, чем c. Показатель преломления определяется как $n \equiv c/u$ и в непроводящей среде (не слишком плотной) дается выражением

$$n = 1 + \frac{2\pi k_0 \mathfrak{N} e^2}{m\left(\omega_0^2 - \omega^2\right)},$$

где ω_0 — частота собственных колебаний атома. Увеличение n с ростом частоты ω называется нормальной дисперсией. Волновой пакет распространяется с эффективной скоростью

$$v_g = \frac{d\omega}{dk},$$

называемой групповой. В среде, обладающей дисперсией, поскольку n зависит от ω, v_g отличается от u. Групповая скорость v_g остается меньше c даже в том случае, когда $u > c$.

Отдельный точечный заряд q, движущийся с ускорением $a(t)$, испускает электромагнитную волну

$$E = -k_0 \frac{q}{c^2 r} a\left(t - \frac{r}{c}\right) \sin\theta.$$

Приложение 1. Метод фазовых диаграмм

В этом приложении мы изложим метод суммирования двух или нескольких монохроматических волн, сдвинутых по фазе относительно друг друга. Разумеется, для того, чтобы разность фаз сохранялась постоянной, частоты этих волн должны быть одинаковыми. Таким образом, нужно вычислить сумму

$$S(t) = A_1 \cos(\omega t + \varphi_1) + A_2 \cos(\omega t + \varphi_2).$$

Она также представляет собой монохроматическую волну, имеющую ту же частоту ω:

$$S(t) = S_0 \cos(\omega t + \varphi_s).$$

Теперь нам остается записать величины S_0 и φ_s через A_1, A_2, φ_1 и φ_2.

Это нетрудно сделать, если заметить, что на рис. 21-9 проекция вектора на ось x равна $A_1 \cos(\omega t + \varphi_1)$, т. е. первой из двух волн.

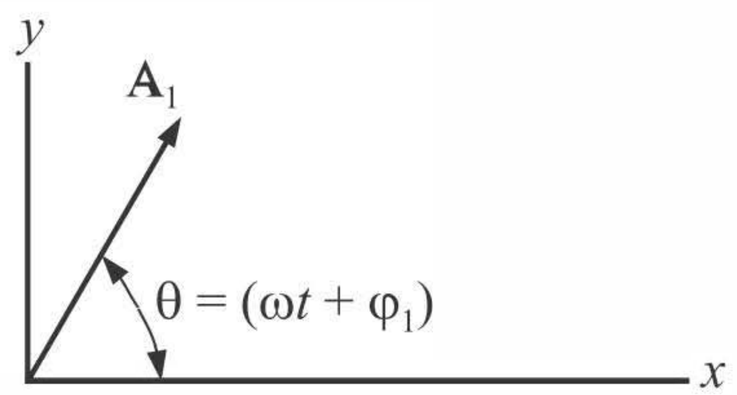


Рис. 21-9. Проекция вращающегося вектора $\mathbf{A}_1$ на ось x представляет собой одну из двух монохроматических волн, которые образуют сумму **S**

На этом рисунке вектор длиной A_1 составляет угол $\theta = \omega t + \varphi_1$ с осью x. С увеличением времени t вектор вращается против часовой стрелки, и в любом случае нас интересует его проекция на ось x. Построим теперь второй вектор длиной A_2 под углом $q_2 = \omega t + \varphi_2$. Угол между вторым и первым векторами всегда равен $\varphi_2 - \varphi_1$. Таким образом, у нас имеется сумма двух проекций на ось x. Чтобы найти решение, заметим, что сумма проекций на ось x равна проекции на эту ось вектора суммы. Длина этого вектора $\mathbf{A}_1 + \mathbf{A}_2$ определяет амплитуду S_0 результирующей монохроматической волны. На рис. 21-10 показано, как все получается: нужно построить векторы $\mathbf{A}_1$ и $\mathbf{A}_2$,

один из которых составляет с осью x угол φ_1, а другой — угол φ_2. Тогда длина их векторной суммы равна S_0, а угол между $\mathbf{S}$ и осью x будет φ_s.

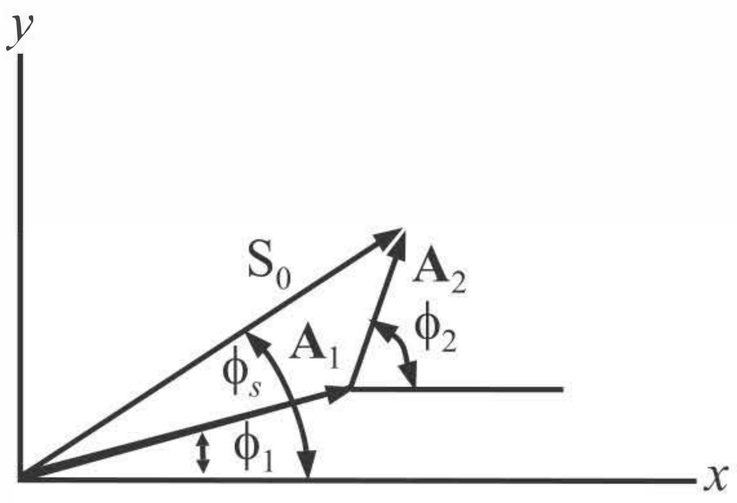


Рис. 21-10. Векторная сумма $\mathbf{S} = \mathbf{A}_1 + \mathbf{A}_2$, определяемая длиной S_0 и углом φ_s

Приложение 2. Волновые пакеты и групповая скорость

Волновые пакеты

В предыдущем приложении мы занимались сложением монохроматических волн, имеющих одинаковые частоты. В настоящем приложении мы будем складывать монохроматические волны с различными, но близкими частотами. В этом случае с течением времени волны будут все больше «разбегаться» по фазе относительно друг друга. Рассмотрим простейший случай сложения двух одинаковых монохроматических волн, частота одной из которых равна ω_1, а другой — ω_2 (рис. 21-11). Используем обозначения $\bar{\omega} \equiv (\omega_1 + \omega_2)/2$ и $\Delta\omega = (\omega_2 - \omega_1)/2$. Тогда сумма

$$S(t) = \cos(\bar{\omega} + \Delta\omega)t + \cos(\bar{\omega} - \Delta\omega)t.$$

Это выражение можно преобразовать с помощью известного в тригонометрии правила сложения косинусов:

$$\cos A + \cos B = 2\cos\left(\frac{A-B}{2}\right)\cos\left(\frac{A+B}{2}\right).$$

Таким образом,

$$S(t) = 2\cos\Delta\omega t\cos\bar{\omega}t = A(t)\cos\bar{\omega}t,$$

где $A(t) = 2\cos(\Delta\omega)t$ — огибающая или функция модуляции (белая кривая на рис. 21-11). В данном случае огибающей является монохроматическая волна с меньшей частотой.

Складывая большое число монохроматических волн с несколько различными частотами, можно получить функцию модуляции любой формы. В качестве примера можно рассмотреть отдельный импульс, который играет важную роль в волновых процессах. Такой импульс выглядит наподобие центрального всплеска на рис. 21-11 и называется волновым

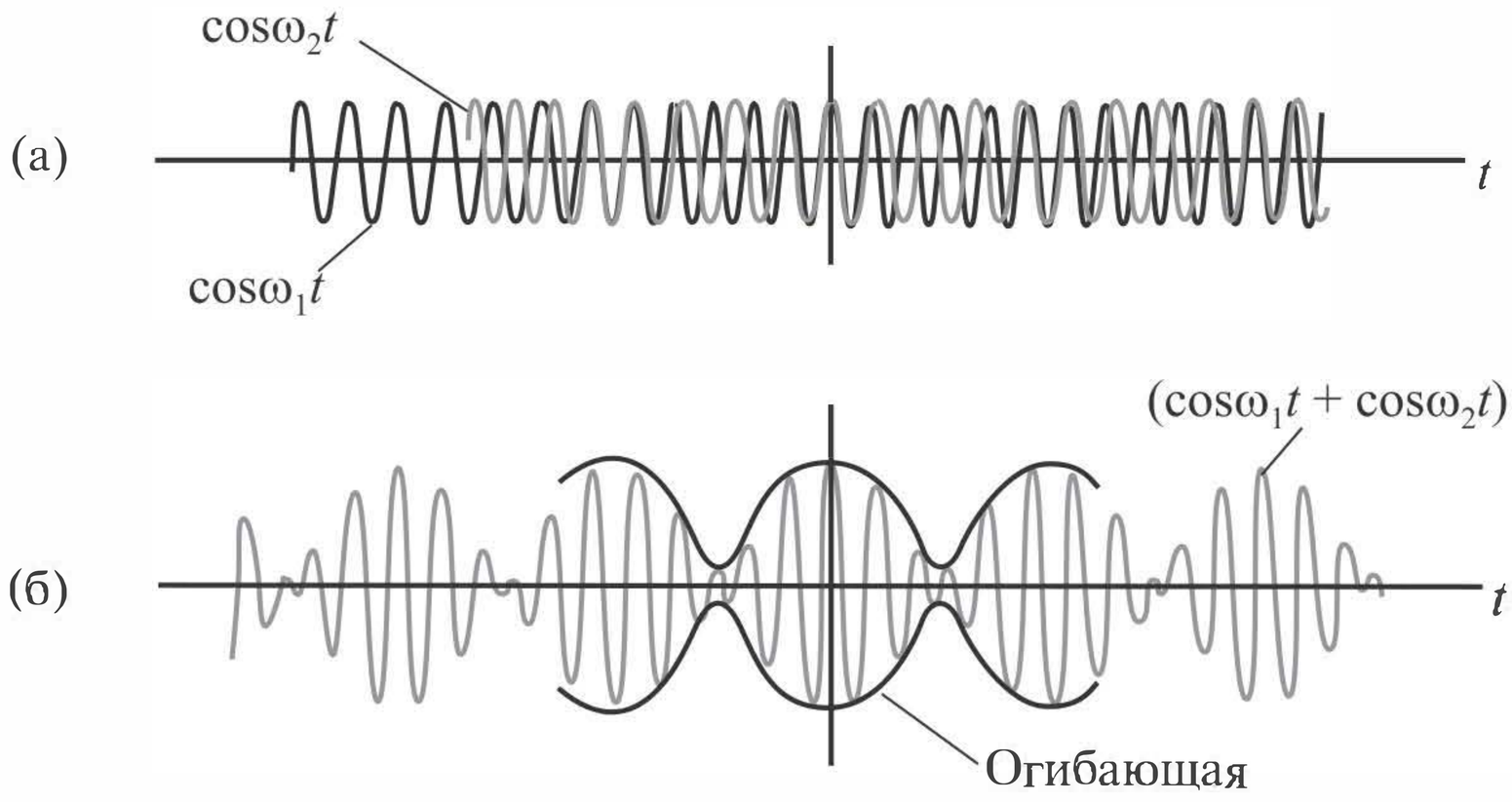


Рис. 21-11. *а* — две монохроматические волны с несколько различными частотами, находившиеся в фазе в начале координат, по мере того как они удаляются от начала координат, оказываются последовательно то в противофазе, то снова в фазе; *б* — сумма двух монохроматических волн

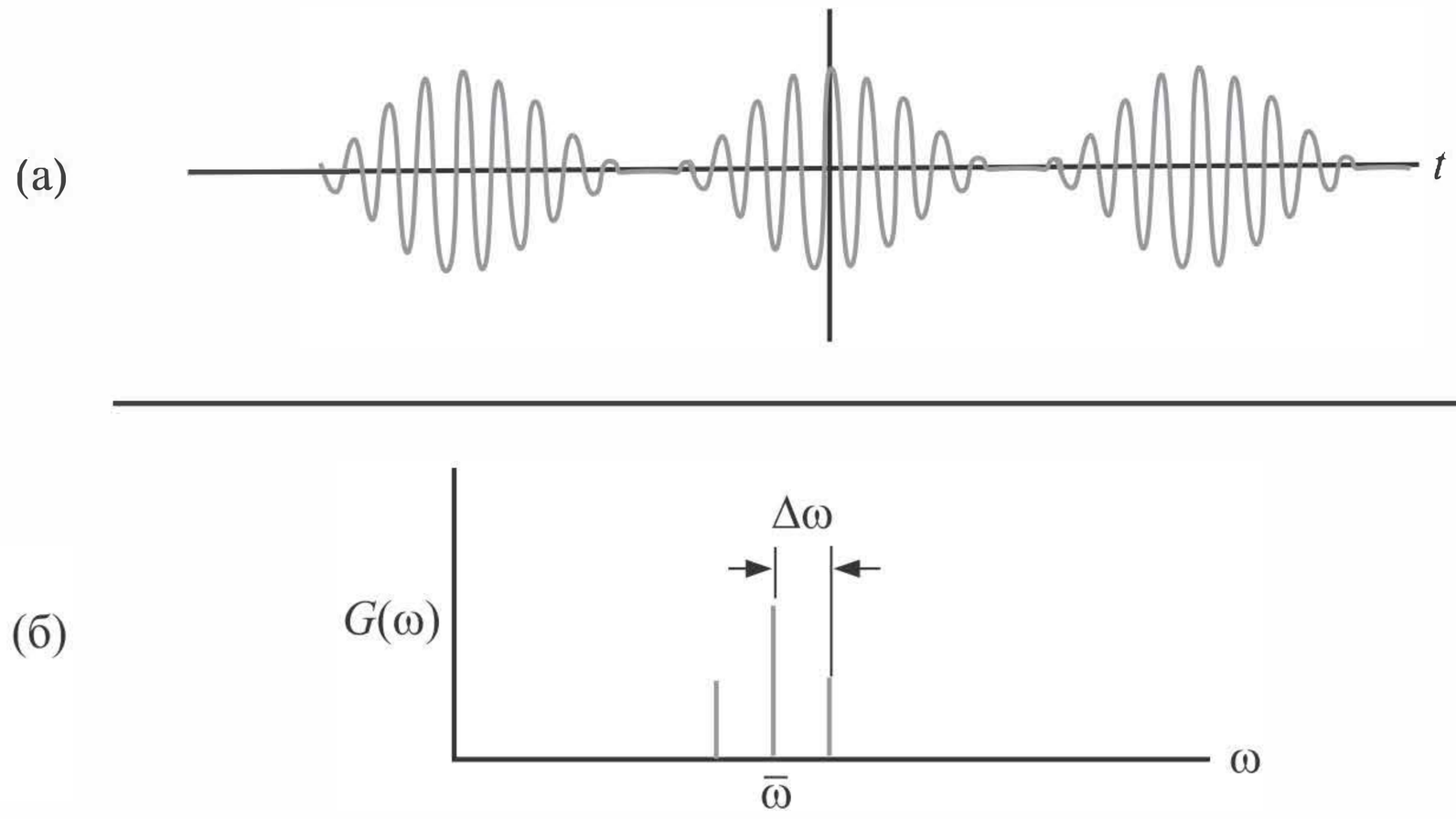


Рис. 21-12. *а* — сумма трех монохроматических волн; *б* — относительное распределение амплитуд

пакетом. Посмотрим, как с помощью набора близких по частоте монохроматических волн можно построить волновой пакет. Используя представленную на рис. 21-11, *б* картину, можно подавить соседние всплески колебаний, добавив третью монохроматическую волну с частотой и амплитудой, равной высоте всплеска [отметим, что $A(t)$ меняет знак у чередующихся всплесков]. Такая монохроматическая волна добавится к центральному всплеску и окажется сдвинутой по фазе на 180° в области соседних всплесков (рис. 21-12). Функция $G(\omega)$ характеризует относительные интенсивности трех суммируемых монохроматических волн. Для того чтобы подавить следующий набор всплесков, можно добавить две монохроматические волны $\cos(\bar{\omega} - \Delta\omega/2)t$ и $\cos(\bar{\omega} + \Delta\omega/2)t$ с соответствующими амплитудами, как показано на рис. 21-13. Добавление еще двух монохроматических волн вряд ли повлияет на центральный всплеск, но их сумма будет сдвинута по фазе на 180° относительно следующих всплесков.

В действительности для формирования отдельного волнового пакета, не сопровождающегося дополнительными всплесками, приходится складывать бесконечно большое число монохроматических волн с близкими частотами. Соответствующая ситуация иллюстрируется рис. 21-14; на этом рисунке функция $G(\omega)$

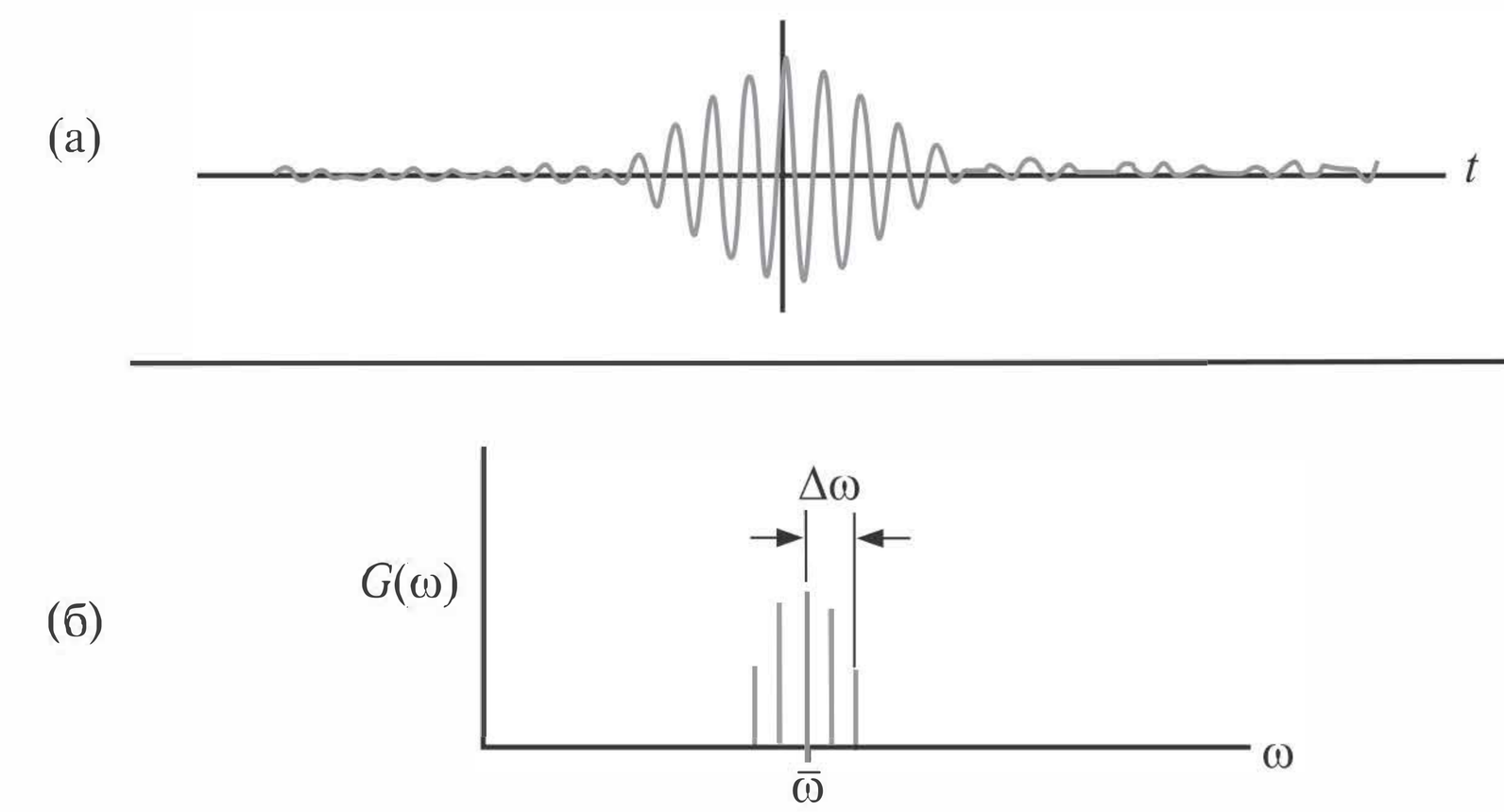


Рис. 21-13. *а* — сумма пяти монохроматических волн; *б* — относительное распределение амплитуд

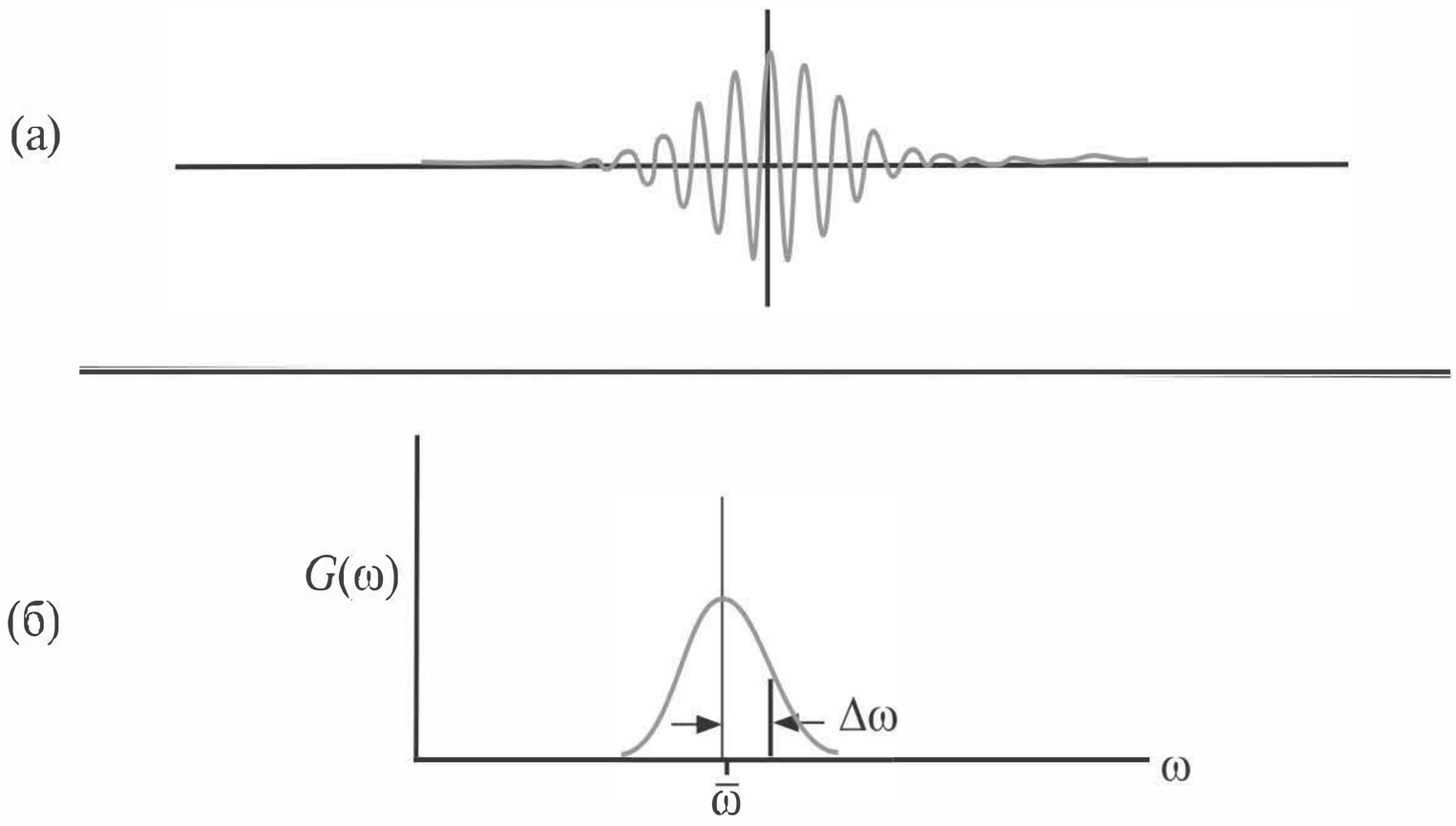


Рис. 21-14. *а* — сумма бесконечного числа монохроматических волн; *б* — относительное распределение амплитуд; $G(\omega)$ — гауссова функция со средним значением, равным $\bar{\omega}$, и среднеквадратичным отклонением $\Delta\omega$

характеризует относительные амплитуды отдельных монохроматических компонент. Такая функция $G(\omega)$ называется гауссовой и записывается в виде

$$G(\omega) = e^{-(\omega-\bar{\omega})^2/2(\Delta\omega)^2},$$

где $\Delta\omega$ — среднеквадратичное (или стандартное) отклонение величины ω относительно $\bar{\omega}$. Мы будем называть $\Delta\omega$ разбросом частот. Для того чтобы найти сумму бесконечно большого числа монохроматических волн, необходимо вычислить интеграл

$$\int G(\omega)\cos\omega t\, d\omega.$$

Этот интеграл можно вычислить, используя следующий табличный интеграл:

$$\int e^{-(\omega-\bar{\omega})^2/2(\Delta\omega)^2}\cos\omega t\, d\omega =$$

$$= \sqrt{2\pi}\,\Delta\omega\, e^{-(t^2/2)(\Delta\omega)^2}\cos\bar{\omega}t.$$

Мы видим, что в правой части этого равенства записана монохроматическая волна, промодулированная гауссовой огибающей $e^{-(t^2/2)(\Delta\omega)^2}$. Среднеквадратичное отклонение для этой функции равно $\Delta t = 1/\Delta\omega$ и называется шириной волнового пакета:

$$\Delta t = \frac{1}{\Delta\omega} \quad (\textit{ширина волнового пакета}). \tag{21-17}$$

Таким образом, разброс частот монохроматических компонент в точности равен обратной величине ширины волнового пакета. Функция $G(\omega)$ называется фурье-образом волнового пакета.

Групповая скорость

Можно также просуммировать бегущие волны с различными частотами. При этом мы получим интересный результат, заключающийся в том, что скорость распространения огибающей может значительно отличаться от скорости волны, с которой распространяются монохроматические компоненты. Вследствие этого скорость перемещения волнового пакета как целого может существенно отличаться от скорости распространения входящих в его состав монохроматических волн. Скорость волнового пакета, или огибающей, называется групповой скоростью. Почему огибающая может распространяться с иной скоростью, можно показать на примере двух монохроматических волн, показанных на рис. 21-11, с близкими частотами и длинами волн.

Суперпозицию двух таких бегущих волн можно записать в виде

$$y(x,t)=\cos\left[(\bar{\omega}+\Delta\omega)t-(\bar{k}+\Delta k)x\right]+$$
$$+\cos\left[(\bar{\omega}-\Delta\omega)t-(\bar{k}-\Delta k)x\right],$$

где $\bar{k}=2\pi/\lambda$ — среднее волновое число. На рис. 21-15 представлены две такие волны в зависимости от x для четырех последовательных моментов времени t. В данном случае огибающая перемещается вправо вдвое быстрее каждой из монохроматических компонент. Применяя для $\cos A+\cos B$ тригонометрическую формулу сложения, получаем

$$y(x,t)=2\cos\left[(\Delta\omega)t-(\Delta k)x\right]\cos(\bar{\omega}t-\bar{k}x).$$

Мы видим, что огибающая записывается в виде $A(x,\ t)=2\cos[(\Delta\omega)t-(\Delta k)x]$. Она имеет максимум при

$$(\Delta\omega)t-(\Delta k)x=0,$$

т. е. при

$$\frac{x}{t}=\frac{\Delta\omega}{\Delta k}.$$

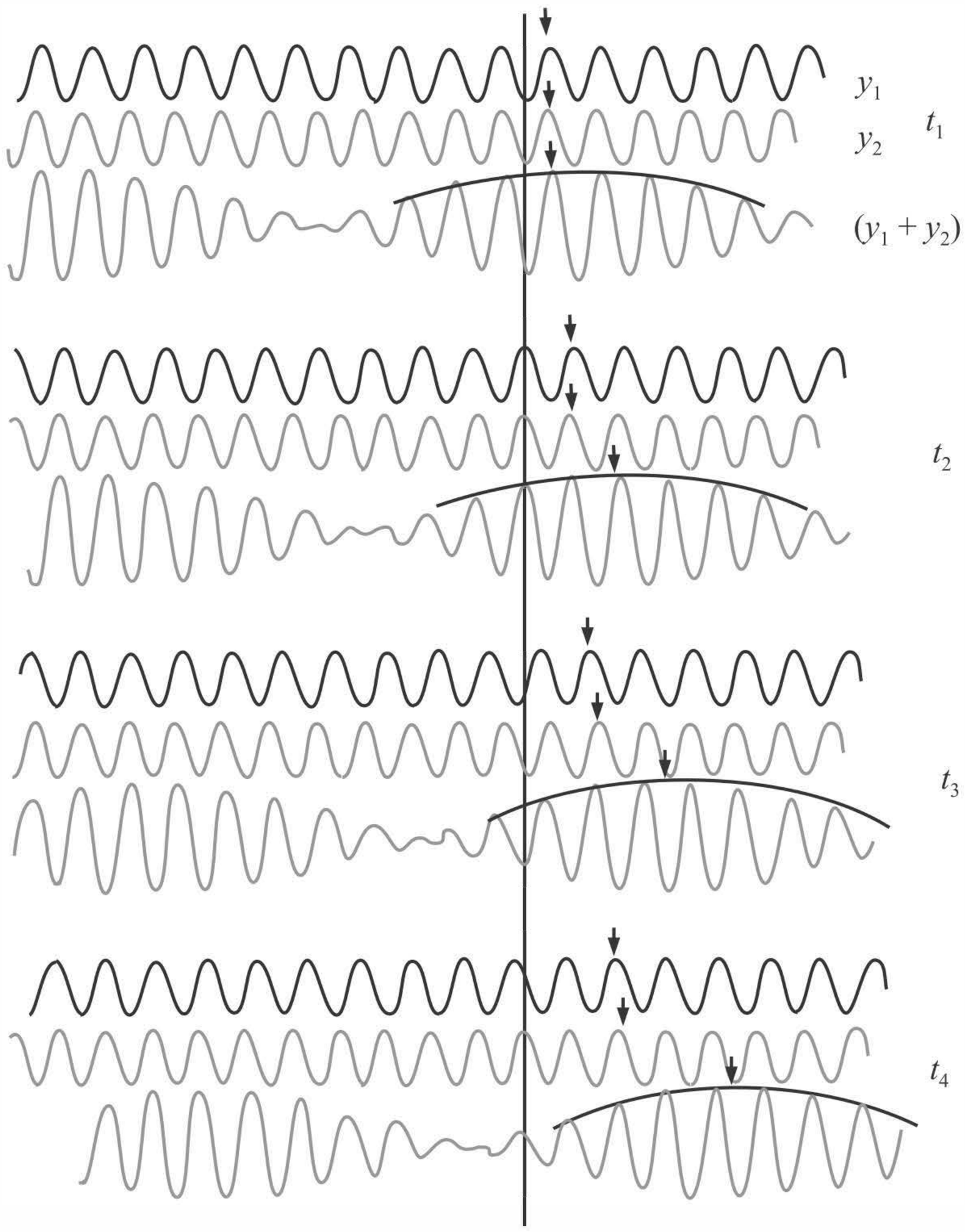


Рис. 21-15. Две монохроматические волны y_1 и y_2, движущиеся вправо с несколько отличающимися скоростями. В этом случае огибающая суммы y_1+y_2 распространяется вправо с удвоенной скоростью. Приведены четыре последовательных положения (см. сверху вниз), соответствующие моментам времени t_1, ..., t_4. Стрелками показаны положения горбов в разные моменты времени

Эта величина представляет собой скорость перемещения горба огибающей: именно так определяется групповая скорость.

Если мы имеем набор монохроматических волн с близкими частотами, причем ω является функцией от k, так что $\omega = \omega(k)$, то групповая скорость определяется следующим образом:

$$v_g = \frac{d\omega}{dk} \text{ (}\textit{групповая скорость}\text{).} \qquad (21\text{-}18)$$

Наиболее характерный пример распространения с групповой скоростью — это прохождение света через диэлектрик (см. пример 5). Другое весьма важное применение понятия групповой скорости связано с квантовой механикой, в которой частицам сопоставляются волновые пакеты. Скорость частицы совпадает с групповой скоростью волнового пакета, а не со скоростями отдельных компонент; эти скорости обычно сильно различаются.

Упражнения

1. Напишите выражение для величины вектора Пойнтинга сначала через $\mathscr{B}$, k_0 и c, а затем через ε_0, μ_0, E и $\mathscr{B}$.
2. Космический корабль массой 1 т приводится в движение с помощью пучка света. Насколько увеличится скорость корабля после работы двигателя в течение суток, если мощность пучка 10 кВт (влиянием гравитационных сил можно пренебречь)?
3. Космический корабль можно заставить двигаться с помощью давления солнечных лучей. Предположим, что для этого на корабле имеется парус, изготовленный из алюминированного майлара плотностью 2 г/см^3. Если поток солнечного излучения, падающего на Землю, составляет 1,35 кВт/м^2, то какую толщину должен иметь парус, чтобы сила светового давления уравновесила силу гравитационного притяжения Солнца?
4. Падающий на Землю солнечный свет обеспечивает S = 1,35 кВт/м^2. Чему равны соответствующие среднеквадратичные значения E и $\mathscr{B}$?
5. Максимальное значение магнитного поля, создаваемое колеблющимся диполем на расстоянии 1 км, равно 10^{-15} Т. Найдите
   а) максимальное значение электрического поля;
   б) максимальное значение вектора Пойнтинга;
   в) среднюю мощность, излучаемую диполем.
6. Свободный электрон находится в переменном электрическом поле, амплитуда которого равна 0,1 В/м. Чему равна амплитуда колебаний электрона
   а) при f = 1 кГц?
   б) при f = 100 МГц?
7. В упражнении 6 вычислите соответствующие скорости электрона.
8. Чему равен угол φ в градусах на рис. 21-6, *б*?
9. Чему равен показатель преломления воздуха для ИК-излучения с λ = 2 мкм (см. пример 4)?
10. Предположим, что молекулы воздуха при действии на них света с частотами f_1 и f_2 начинают колебаться, причем молекулы приобретают дипольный момент $p = p_0(\sin\omega_1 t + \sin\omega_2 t)$. Если f_2 соответствует голубому свету, а f_1 — красному, то каково отношение соответствующих энергий излучаемого света? Приведите численный ответ.

Задачи

11. На космическом корабле массой 1 т установлен парус из алюминированного майлара площадью 100×100 м^2. Парус может ориентироваться в любом направлении. Космический корабль первоначально движется по круговой орбите радиусом 10^5 км. Поток мощности солнечного излучения равен 1,35 кВт/м^2.
    а) Какой примерно выигрыш в энергии за один оборот космического корабля можно было бы получить за счет светового давления?

б) Сколько приблизительно времени понадобится космическому кораблю, чтобы добраться до Луны за счет светового давления, создаваемого Солнцем?

12. Допустим, что плохо проводящая пластинка на рис. 21-1 имеет удельное сопротивление ρ. На какой толщине пластинки поле падающей волны $E_{\text{пад.}}$ уменьшится вдвое? Запишите ответ через ρ, k_0 и c (плохая проводимость означает, что эта толщина эквивалентна большому числу длин волн).

13. Все излучение от дуговой лампы мощностью 1 кВт собирается в пучок кругового сечения радиусом 10 см.

а) Если пучок направить на зеркало, то с какой силой он будет давить на зеркало?

б) Чему равен индуцированный поверхностный ток $\mathcal{J}$ (в А/м)?

в) Какова плотность энергии в пучке (в Дж/м^3)?

14. Частица с массой m колеблется под действием внешней силы $F_0 \cos\omega t$ вдоль оси y.

а) Найдите зависимость y от t.

б) Запишите выражение для амплитуды в зависимости от F_0, ω и m.

15. На частицу массой m действует результирующая сила вида $F_{\text{рез.}} = -ky + F_{\text{внеш.}}$.

а) Определите зависимость y от t, если $F_{\text{внеш.}} = F_0 \sin\omega t$.

б) Определите зависимость y от t, если $F_{\text{внеш.}} = F_0 \cos\omega t$.

в) Какова частота собственных колебаний ω_0 в отсутствие внешней силы $F_{\text{внеш.}}$?

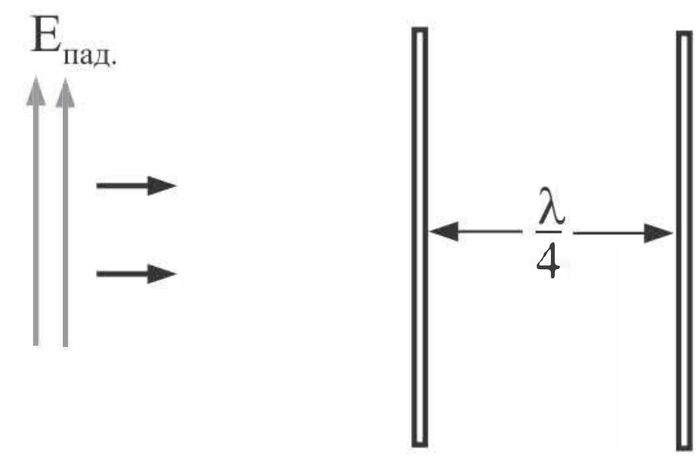
г) Если частота вынуждающей силы ω больше ω_0, будет ли внешняя сила в фазе или противофазе относительно смещения?

16. Каков в примере 6 сдвиг во времени прихода сигнала при перестройке приемника с частоты 150 МГц на частоту 160 МГц?

17. Предположим, что в примере 6 расстояние до пульсара известно и составляет 1500 световых лет. Какой должна быть средняя плотность электронов в межзвездном пространстве, чтобы получился наблюдаемый сдвиг во времени?

18. Предположим, что электрон проводимости находится в электрическом поле $E = E_0 \cos\omega t$, где $E_0 = 100$ В/м и $f = 100$ Гц. Какова амплитуда его колебаний?

19. Электромагнитная волна $E_{\text{пад.}}$ падает на тонкую плохо проводящую пластинку, которая излучает поле $\Delta E = -0{,}01E_{\text{пад.}}$. В этом случае амплитуда прошедшей волны равна $(1 - 0{,}01)\ E_{\text{пад.}}$, а амплитуда отраженной $0{,}01E_{\text{пад.}}$. Рассмотрим две такие пластинки, расположенные на расстоянии λ/4 друг от друга (см. рисунок). Какими в этом случае будут результирующие прошедшая и отраженная волны? Заметим, что, когда отраженная от пластинки 2 волна достигает пластинки 1, ее фаза будет отличаться на 180° от фазы отраженной волны, покидающей пластинку 1.



20. Какова скорость электрона в задаче 18?

21. Рассмотрим классическую модель атома водорода, согласно которой электрон движется по круговой орбите радиусом $R = 0{,}53\cdot10^{-10}$ м. Сумма кинетической и потенциальной энергий электрона

$$E = \bar{K} + \bar{U} = -k_0 \frac{e^2}{2R} = -13{,}6 \text{ эВ}.$$

а) Какая энергия излучается за один оборот? Дайте числовой ответ в электронвольтах.

Получите следующие равенства:

б) $dE/dt = -(2/3)\left(k_0^3 e^6\right)/\left(m^2 c^3 R^4\right)$,

в) $dE/dR = k_0 e^2/2R^2$ и

г) $dR/dt = -(4/3)\left(k_0^2 e^4\right)/\left(m^2 c^3 R^2\right)$.

д) Когда электрон достигает $R = 10^{-15}$ м, он падает на протон. Сколько ему для этого понадобится времени, иными

словами, каково «время жизни» классического атома водорода? Воспользуйтесь соотношением

$$t = \int_{R_1}^{R_2} (dt/dR)\, dR.$$

22. Чему равна в примере 6 разность $c - v_g$ для частоты 150 МГц?

23. Покажите, что для электромагнитного излучения, распространяющегося в ионизованной среде,

$$uv_g = c^2 \left[1 - \left(\frac{2\pi k_0 \mathfrak{N} e^2}{m\omega^2} \right)^2 \right]^{-1} \approx c^2.$$

24. Используя метод фазовых диаграмм, покажите, что

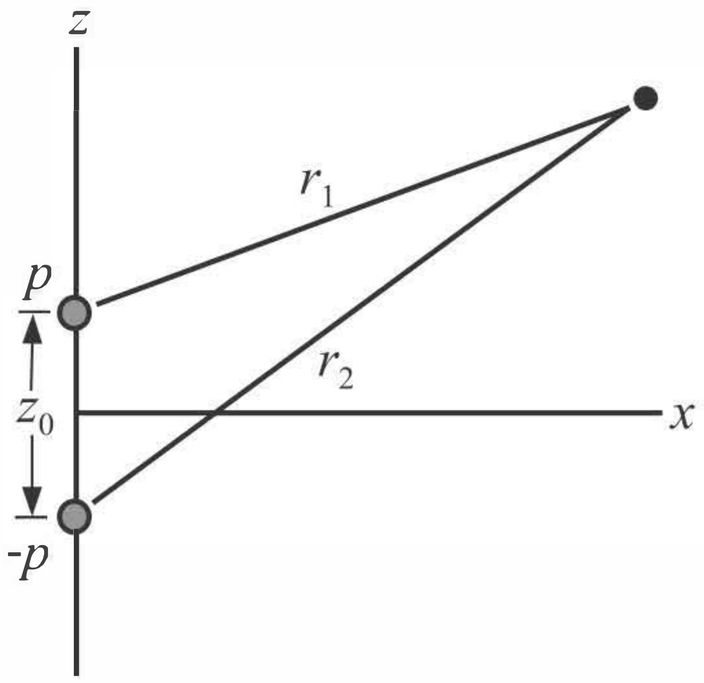
$$\sin\omega t + \sin(\omega t + \varphi) + \sin(\omega t + 2\varphi) = \\ = (1 + 2\cos\varphi)\sin(\omega t + \varphi).$$

25. Квадрупольный излучатель можно представить как два диполя p, расположенные на расстоянии z_0 друг от друга (см. рисунок) при условии, что $z_0 \ll \lambda$. Диполи излучают в противофазе. Если верхний диполь колеблется по закону $p = p_0 \cos\omega t$, то его поле излучения

$$E_1 = k_0 \frac{p_0\omega^2}{c^2 r} \sin\theta \cos\omega\left(t - \frac{r_1}{c}\right).$$

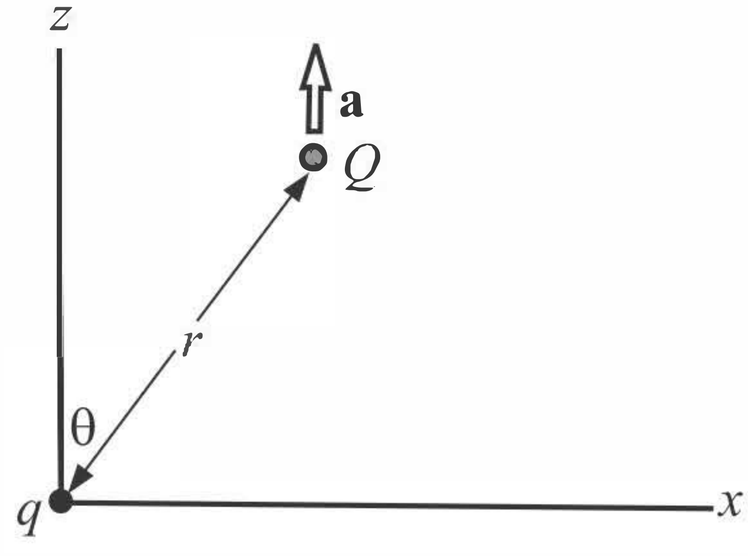
В случае с нижним диполем

$$E_2 = k_0 \frac{p_0\omega^2}{c^2 r} \sin\theta \cos\left[\omega\left(t - \frac{r^2}{c}\right) - \pi\right].$$

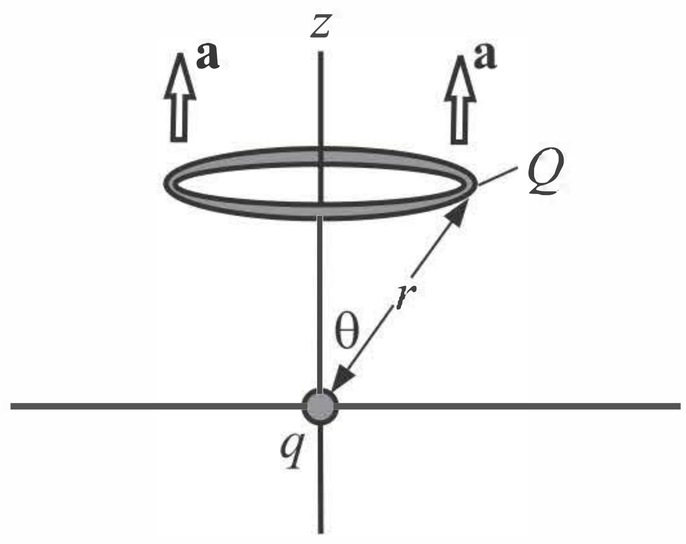


Какой вид имеет результирующее поле излучения обоих диполей? Запишите результат через ω, c, r, θ и квадрупольный момент $Q_0 \equiv p_0 z_0$. [Указание: $k(r_2 - r_1) \approx kz_0\cos\theta$.]

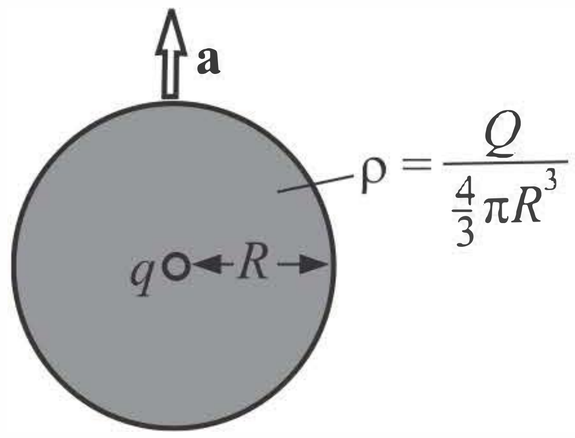
26. Заряд Q движется с ускорением a вдоль оси z. В нештрихованной системе заряд находится в точке, показанной на рисунке для $t = 0$. Какова величина и направление действующей на заряд q силы, обусловленной полем излучения заряда Q?



27. Повторите решение задачи 26 для случая, когда заряд Q распределен по кольцу радиусом $R = r\sin\theta$.



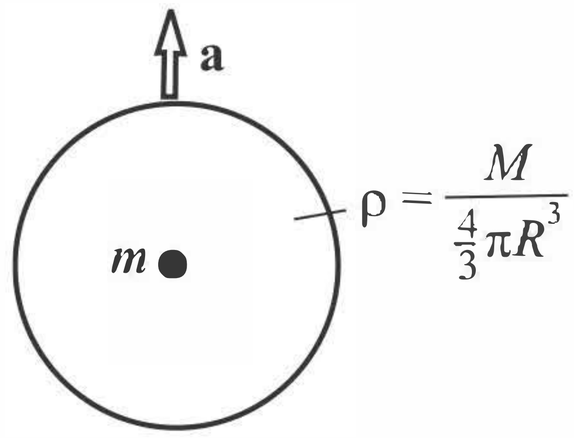
28. Повторите решение задачи 26 для равномерного распределения заряда Q внутри шара радиусом R.



29. Повторите решение задачи 26 для малой массы m и однородного шара массой M. Предположим, что гравитационная сила пропорциональна a/r по темже соображениям, что и электрическая сила. Покажи-

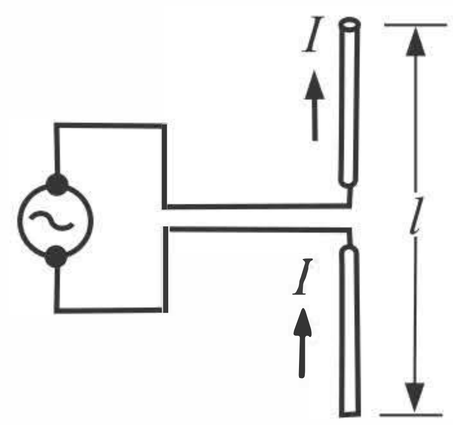
те, что результирующая сила, действующая на m, записывается в виде

$F = ma\,[(4\pi/3)G\rho(R^2/c^2)]$.



[*Замечание:* В гл. 30 мы покажем, что для нашей Вселенной множитель $(4\pi/3)G\bar{\rho}\left(R^2/c^2\right)$ может оказаться близким к единице (в этом случае R — радиус, а $\bar{\rho}$ — средняя плотность Вселенной). При этом мы получим $F = ma$! Это объяснение инертной массы носит название принципа Маха.]

30. Дипольная антенна длиной l ($l \ll \lambda$) подсоединена к генератору переменного тока. Генератор подводит заряд $q = q_0\cos\omega t$. В этом случае ток в максимуме $I_0 = \omega q_0$. Предположим, что заряды колеблются между краями диполя. В этом случае $p_0 = q_0 l$.



а) Покажите, что поле излучения

$$E = -\frac{k_0 l\omega^2 I_0}{c^2 r}\cos\omega\left(t - \frac{r}{c}\right)\sin\theta.$$

б) Используя соотношение $P = I^2R$, покажите, что эффективное сопротивление на выходе генератора равно $R = (2/3)(k_0/c)(k/l)^2 = (k/l)^2 20$ Ом. (В случае с $l = \lambda/2$ заряд q_0 перемещается в среднем на расстояние $\bar{l} = 0{,}61\lambda/2$. Таким образом, полуволновая дипольная антенна имеет $R = 72$ Ом.)

22

Интерференция волн

В предыдущей главе мы рассмотрели эффекты, создаваемые отдельным источником электромагнитных волн независимо от того, был ли этим источником переменный поверхностный ток или колеблющийся электрический заряд. В данной главе мы займемся изучением явлений, создаваемых двумя или несколькими источниками волн, колеблющимися с определенной фазой относительно друг друга. При этом амплитуда результирующей волны оказывается равной сумме отдельных амплитуд. Данное явление называется интерференцией волн. Интерференция свойственна не только электромагнитным волнам, но и волнам любого другого вида. При описании интерференции любых видов волн применяется один и тот же математический аппарат, поскольку как механические волны (типа волн, распространяющихся по натянутой струне и рассмотренных в § 6 гл. 20), так и электромагнитные волны удовлетворяют одним и тем же волновым уравнениям.

§ 1. Стоячие волны

При полном отражении бегущей волны сумма падающей и отраженной волн порождает стоячую волну. В § 3 гл. 21 мы показали, что электромагнитная волна, падающая на идеально отражающую поверхность, индуцирует поверхностный ток $\mathscr{J}$. Этот ток излучает поле E', направление которого в непосредственной близости от отражающей поверхности в любом случае противоположно направлению $\mathbf{E}_{\text{пад.}}$. На рис. 22-1 в отраженной волне электрическое поле равно $\mathbf{E}'$, а магнитное поле $\mathfrak{B}'$. Следует заметить, что вектор $\mathbf{E}'\times\mathfrak{B}'$, соответствующий направлению распространения волны, смотрит в отрицательном направлении оси x. Если падающая волна имеет вид $E_{\text{пад.}} = E_0\times$ $\times\cos(\omega t - kx)$, то в левую сторону от отражателя должна излучаться волна $E'_{\text{лев.}} = -E_0\cos(\omega t + kx)$, а в правую $E'_{\text{прав.}} = -E_0\cos(\omega t - kx)$. Эти волны удовлетворяют условию, согласно которому повсюду справа от отражателя $E = E_{\text{пад.}} + E'_{\text{прав.}}$. Слева от отражателя результирующее электрическое поле запишется в виде

$$E = E_{\text{пад.}} + E'_{\text{прав.}} = E_0\left[\cos(\omega t - kx) - \cos(\omega t + kx)\right].$$

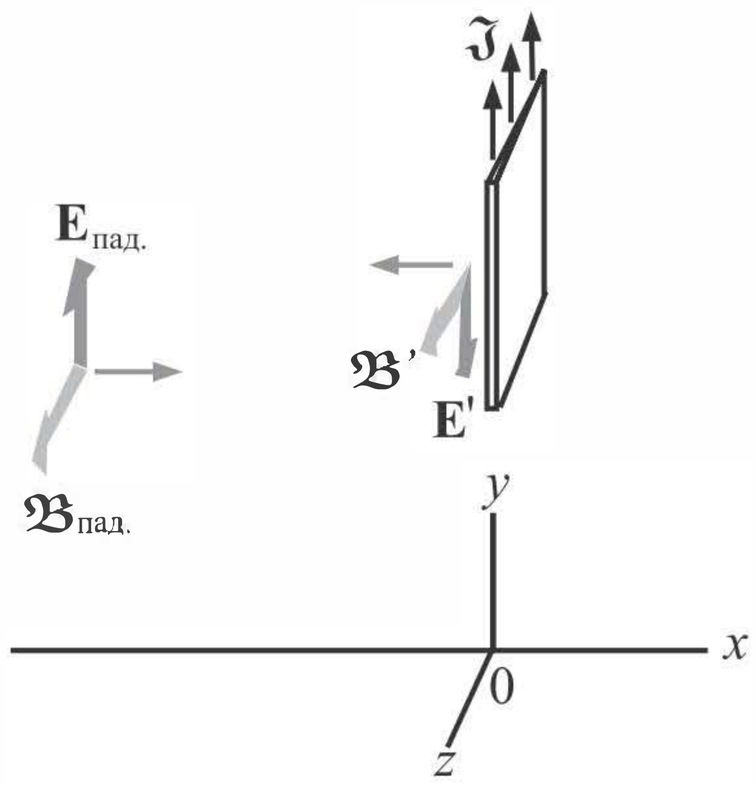


Рис. 22-1. Падающая волна ($\mathbf{E}_{\text{пад.}}$ и $\mathfrak{B}_{\text{пад.}}$) индуцирует поверхностный ток $\mathscr{J}$, который излучает волну ($\mathbf{E}'$ и $\mathfrak{B}'$), распространяющуюся влево

Чтобы преобразовать это выражение, воспользуемся тригонометрическим соотношением

$$\cos A + \cos B = 2\cos\left(\frac{A-B}{2}\right)\cos\left(\frac{A+B}{2}\right).$$

Тогда

$$E = 2E_0 \sin\omega t \sin kx = A(t)\sin kx, \qquad (22\text{-}1)$$

где $A(t) \equiv 2E_0\sin\omega t$. На рис. 22-2 построены графики этой функции для последовательных значений t. Стоячая волна представляет собой определенную функцию от x (в данном случае $\sin kx$), значения которой возрастают и убывают во времени по гармоническому закону.

Следует заметить, что если $kx_n = n\pi$, где n — положительное или отрицательное целое число, то возникает узел, т. е. $E = 0$ при любых t. Узлы располагаются в точках

$$x_n = \frac{n\pi}{k} = \frac{n\pi}{(2\pi/\lambda)} = n\frac{\lambda}{2}$$

(n — любое целое число). Соседние узлы отстоят друг от друга на расстояние, равное полуволне.

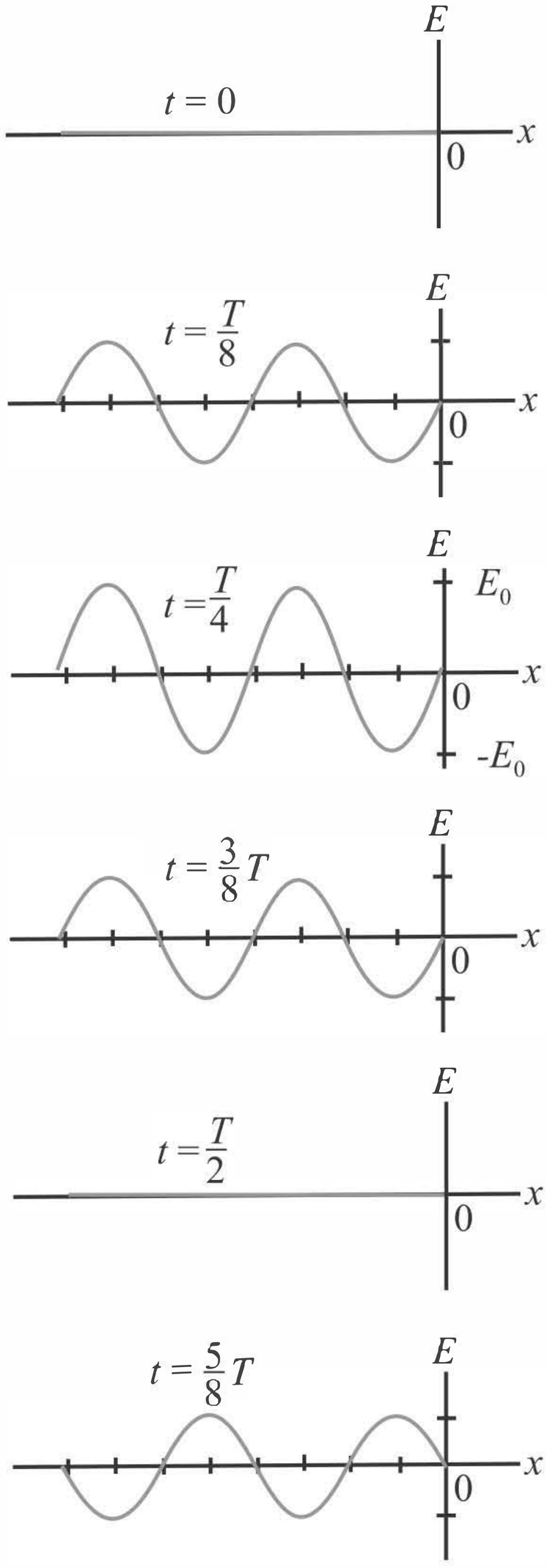


Рис. 22-2. Функция, описываемая выражением (22-1), в последовательные моменты времени. Физически она соответствует монохроматической волне, распространяющейся вправо и отражающейся в точке $x = 0$

Пример 1. Микроволновый генератор (см. рис. 22-3) излучает вправо плоские электромагнитные волны, которые затем отражаются обратно. Точки P_1 и P_2 соответствуют положениям двух соседних минимумов интенсивности и отстоят друг от друга на расстоянии 5 см. Чему равна частота f микроволнового генератора?

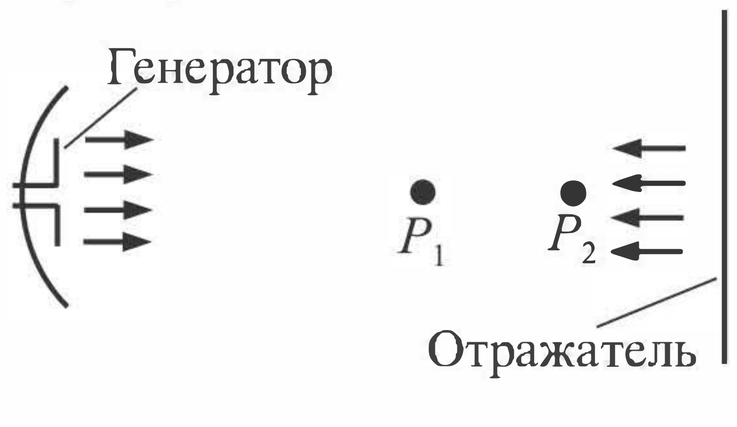
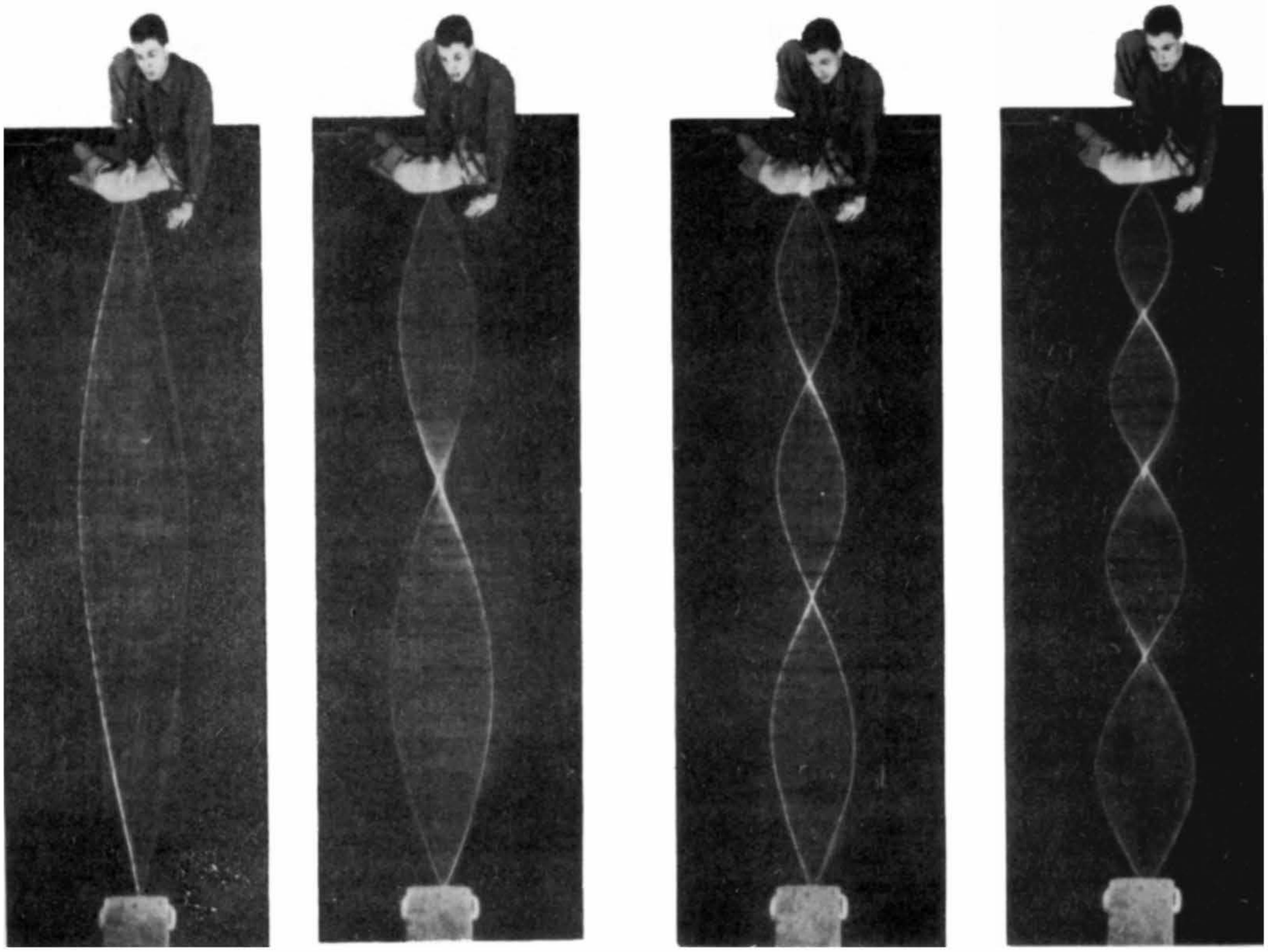


Рис. 22-3. Микроволновый генератор излучает вправо электромагнитные волны, которые отражаются назад. В точках P_1 и P_2 наблюдаются узлы

Решение: Поскольку расстояние между двумя последовательными узлами равно половине длины волны, то $\lambda = 10$ см. Таким образом,

$$f = \frac{c}{\lambda} = \frac{3{,}00\cdot 10^8 \text{ м/с}}{0{,}1 \text{ м}} = 3{,}00\cdot 10^9 \text{ Гц} = 3000 \text{ МГц}$$



а) б) в) г)

Рис. 22-4. Первые четыре резонанса колеблющейся струны. *а* — на струне укладывается полволны; *г* — на струне укладываются две длины волны. [С любезного разрешения Центра по развитию образования.]

Стоячие волны на струне

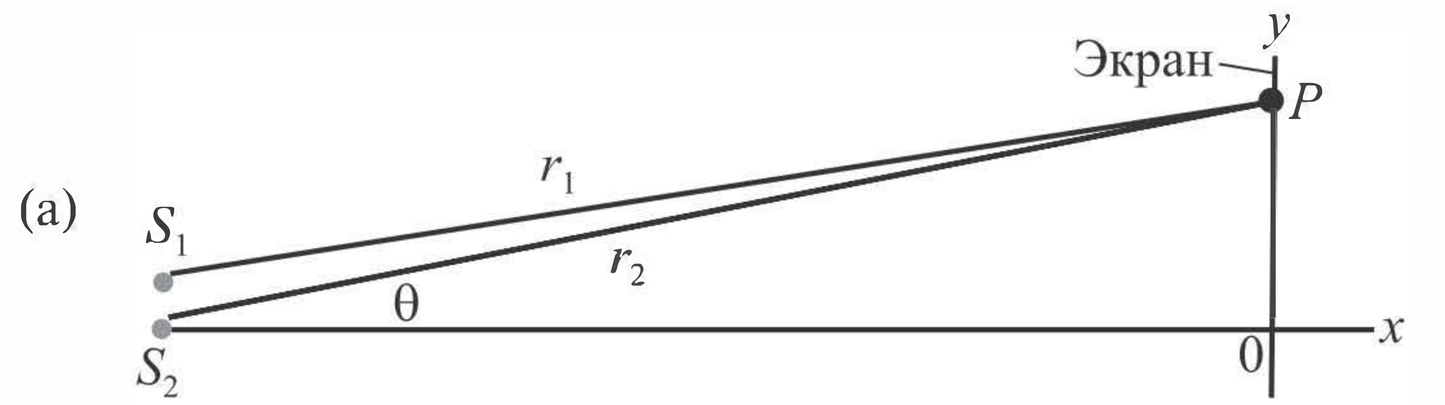
Закрепленный конец натянутой струны ведет себя как идеальный отражатель. При этом отраженная волна, как и в случае с электромагнитными волнами, распространяется в направлении, противоположном падающей. Поэтому в любом случае смещение y конца струны равно нулю. В точке $x = 0$ функция

$$y = y_0\left[\cos(\omega t - kx) - \cos(\omega t + kx)\right] = \\ = 2y_0 \sin\omega t \sin kx$$

всегда имеет нулевое значение. На рис. 22-4 иллюстрируются стоячие волны, возникающие на струне длиной L. Поскольку на обоих концах струны расположены узлы, на рис. 22-4, *а*, *б*, *в* и *г* мы имеем соответственно $L = \lambda/2$, $2(\lambda/2)$, $3(\lambda/2)$ и $4(\lambda/2)$. Такие чисто стоячие волны называются резонансными. Они удовлетворяют следующим соотношениям:

$$n\frac{\lambda_n}{2} = L \text{ или } \lambda_n = \frac{2L}{n} \text{ (}\textit{стоячие волны}\text{).} \tag{22-2}$$

Звучание струнных музыкальных инструментов основано на стоячих волнах, возбуждаемых щипком струны. Аналогично звучание духовых музыкальных инструментов основано на стоячих волнах воздушного столба.



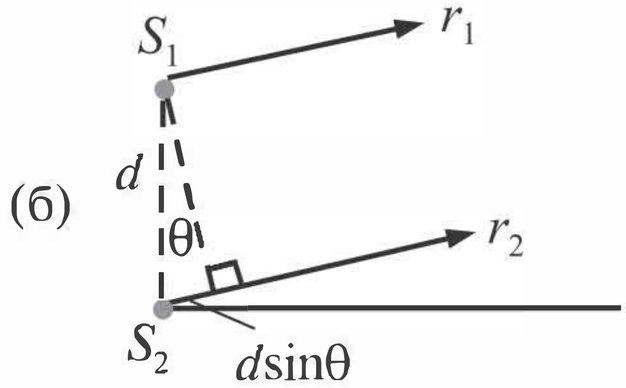


Рис. 22-5. *а* — два точечных источника S_1 и S_2 на расстоянии d друг от друга; *б* — те же источники в увеличенном масштабе. Разность хода $r_2 - r_1 \approx d\sin\theta$

Пример 2. На колеблющейся струне длиной 12 см узлы расположены на расстоянии 4 см друг от друга. Скорость распространения волны $u = 30$ м/с.

а) Определим частоту колебаний,

б) перечислим все возможные низшие резонансные частоты и

в) найдем натяжение струны при условии, что ее масса равна 24 г.

Решение: а) Расстояние между узлами $\lambda/2 = 4$ см, и, следовательно, $\lambda = 0{,}08$ м. Тогда

$$f = \frac{u}{\lambda} = \frac{30\ \text{м/с}}{0{,}08\ \text{м}} = 375\ \text{Гц}.$$

б) Резонансные длины волн удовлетворяют условию $\lambda_n = 2L/n$. Таким образом,

$$\lambda_1 = \frac{2(12\ \text{см})}{1} = 24\ \text{см},\ \lambda_2 = \frac{2(12\ \text{см})}{2} = 12\ \text{см}.$$

Соответствующие частоты $f_1 = u/\lambda_1 = 125$ Гц, $f_2 = u/\lambda_2 = 250$ Гц, а f_3 совпадает с f в случае с а.

в) Натяжение находим с помощью формулы (20-15):

$T = \mu u^2 = (0{,}2\ \text{кг/м})\ (30\ \text{м/с})^2 = 180$ Н.

§ 2. Интерференция волн, излучаемых двумя точечными источниками

Рассмотрим два электрических диполя S_1 и S_2, колеблющиеся в фазе в направлении оси z (рис. 22-5). Пусть дипольный момент каждого из диполей $p = p_0\cos\omega t$. Тогда в соответствии с (21-15) электрическое поле в точке P запишется в виде

$$E' = E_1 + E_2 = E_0\cos(kr_1 - \omega t) + \\ + E_0\cos(kr_2 - \omega t),$$

где

$$E_0 = \frac{k_0\omega^2 p_0}{c^2 r}.$$

Поскольку оба источника колеблются в фазе, для нахождения суммы двух волн можно воспользоваться методом фазовых диаграмм (см. приложение 1 гл. 21), как показано на рис. 22-6. Оба вектора $\mathbf{E}_1$ и $\mathbf{E}_2$ имеют одну и ту же длину E_0. Угол φ между векторами равен разности фаз полей $\mathbf{E}_2$ и $\mathbf{E}_1$, собственно

$$\varphi = (kr_2 - \omega t) - (kr_1 - \omega t) = k\,(r_2 - r_1).$$

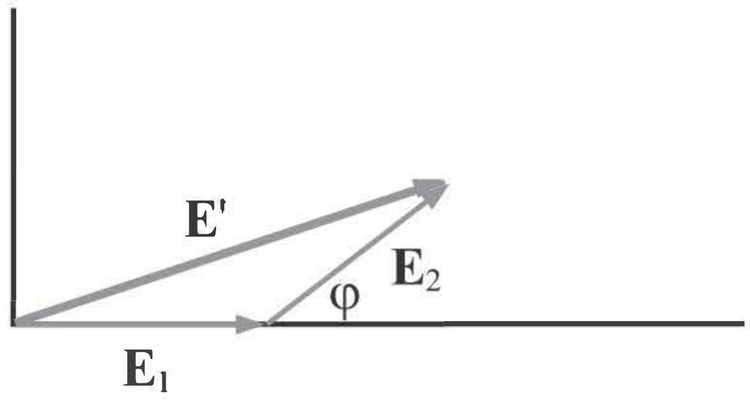


Рис. 22-6. Фазовая диаграмма для двух диполей с разностью фаз θ

Векторная сумма, равная E′, характеризует амплитуду результирующего поля. Применяя правило косинусов к равнобедренному треугольнику на рис. 22-6, получаем

$$E'^2 = E_0^2 + E_0^2 + 2E_0^2 \cos\varphi = 2E_0^2 (1 + \cos\varphi).$$

Интенсивность I волны пропорциональна квадрату амплитуды. Поэтому

$$I = 2I_0 [1 + \cos k (r_2 - r_1)].$$

Из прямоугольного треугольника на рис. 22-5, *б* видно, что разность хода равна $r_2 - r_1 = d \sin\theta$, если расстояние до экрана достаточно велико. Это условие, согласно которому разность хода равна $d \sin\theta$, называется приближением Фраунгофера. В этом случае

$$I = 2I_0 [1 + \cos(kd \sin\theta)] \text{ (}\textit{интерференция волн от двух источников}\text{)}. \quad (22\text{-}3)$$

На рис. 22-7 построена функция, описываемая выражением (22-3). Максимум интенсивности наблюдается всякий раз, когда $kd \sin\theta = n2\pi$ или

$$\sin\theta = \frac{n\lambda}{d} \text{ (}\textit{условие максимума}\text{)}. \quad (22\text{-}4)$$

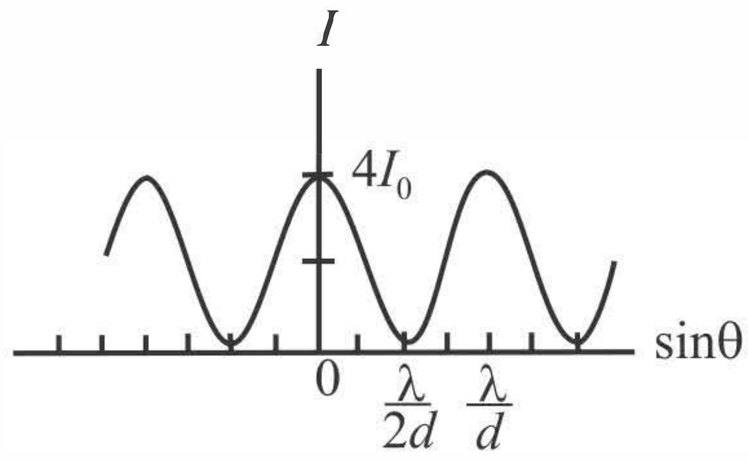


Рис. 22-7. Интерференционная картина от двух источников. Приведена зависимость интенсивности от sinθ

В этом случае разность хода, которая в соответствии с рис. 22-5 равна $d \sin\theta$, составляет $n\lambda$. Разумеется, на экране мы

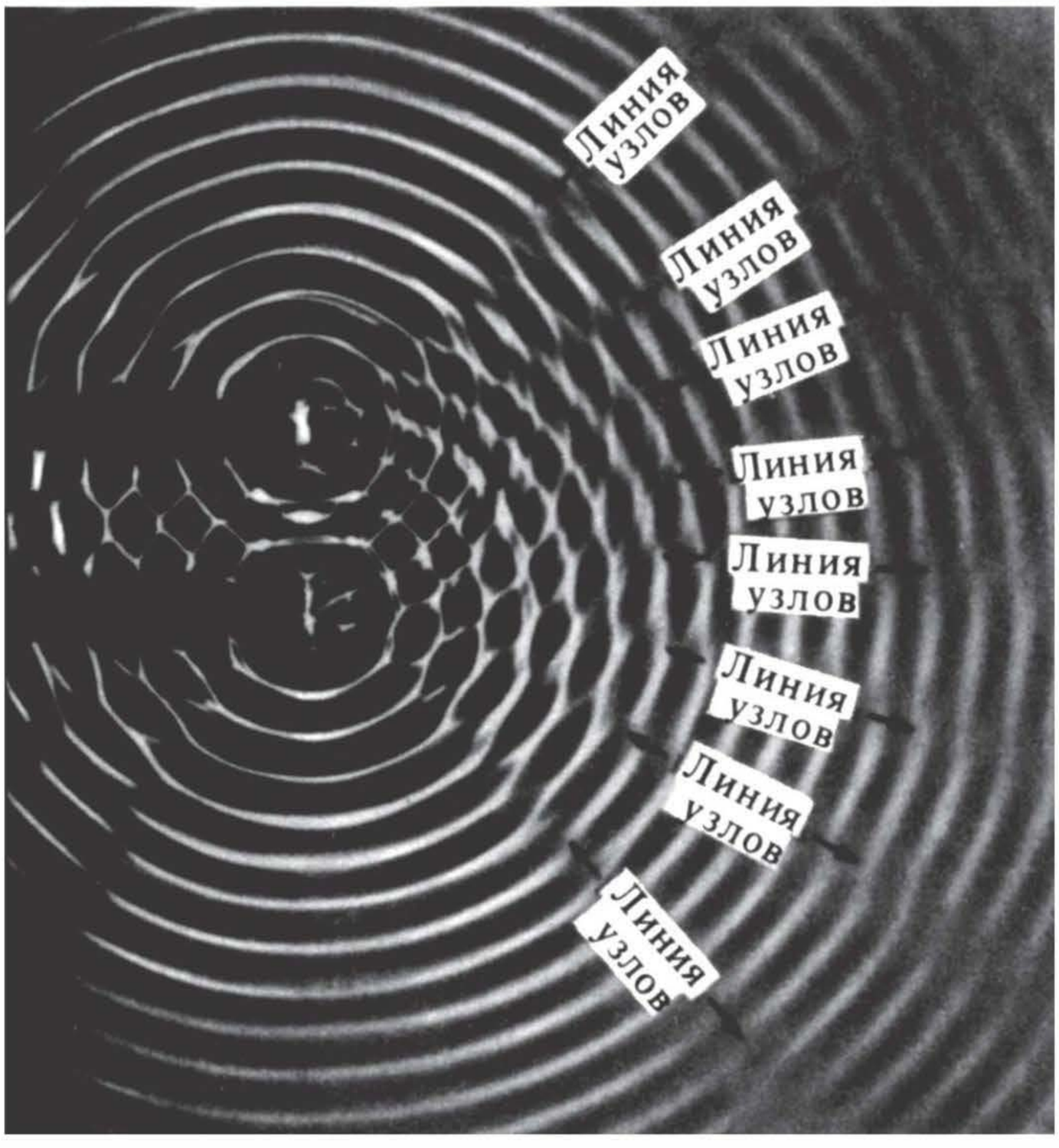


Рис. 22-8. Интерференционная картина от двух источников, создаваемая на поверхности воды с помощью двух синхронизованных вибраторов. [С разрешения Центра по развитию образования.]

ожидаем максимума интенсивности в том месте, где гребень одной волны совпадает с гребнем другой. Это может быть только в случае, когда разность хода равна целому числу длин волн. Если же разность хода составляет половину длины волны или $(n + 1/2)\lambda$, то гребень одной волны совпадает с впадиной другой волны и мы будем иметь минимум интенсивности. Геометрическое место таких минимумов интенсивности называется линией узлов. На рис. 22-8 иллюстрируется интерференционная картина волн, образующихся на поверхности воды.

Пример 3. Два динамика расположены на расстоянии 2 м друг от друга и воспроизводят один и тот же музыкальный тон на частоте 1000 Гц. В 4 м от них находится слушатель (рис. 22-9). На какое расстояние слушатель должен удалиться от центральной линии, чтобы достичь первого узла интерференционной картины? Скорость звука 330 м/с.

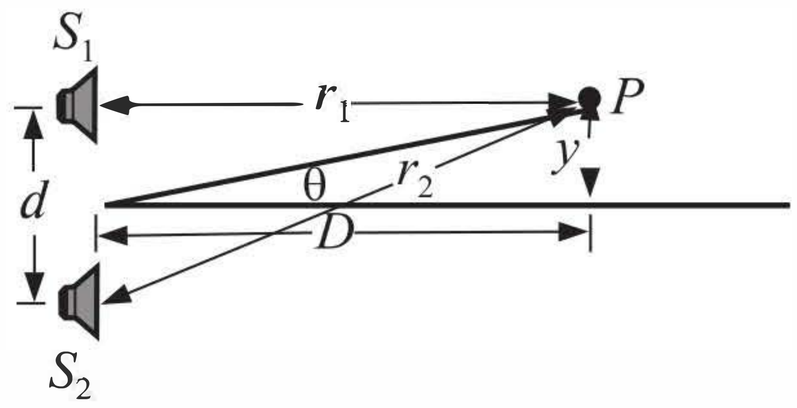


Рис. 22-9. Динамики в примере 3

Решение: Первый узл наблюдается, когда разность хода достигает $\lambda/2$, или когда

$$r_2 - r_1 = \lambda/2.$$

Если $\theta < 30°$, то с хорошей точностью разность хода равна $d \sin\theta$. В этом случае $\sin\theta = \lambda/2d$. Чтобы найти длину волны, воспользуемся соотношением $\lambda = u/f$:

$$\lambda = \frac{330\ \text{м/с}}{1000\ \text{Гц}} = 0,33\ \text{м},$$

$$\sin\theta = \frac{0,33\ \text{м}}{2(2\ \text{м})} = 0,0825,\ y = D\,\text{tg}\theta = 0,33\ \text{м}.$$

Таким образом, если слушатель переместится в любую сторону примерно на одну треть метра, то он обнаружит узел на частоте 1000 Гц (в том же месте будут находиться узлы на частотах 3000, 5000, 7000 Гц). В обычной комнате из-за значительного отражения от стен интенсивность звука в узлах не спадает до нуля. Однако интерференционный эффект вполне ощутим, если через стереофоническую систему воспроизводить чисто синусоидальную волну и при этом перемещаться по комнате.

---

§ 3. Интерференция волн от большого числа источников

Предположим, что наблюдатель расположен под углом θ относительно нормали к линии, соединяющей N равномерно размещенных источников (рис. 22-10). Для наблюдателя разность фаз между соседними источниками равна $\varphi = k\,(r_2 - r_1) = kd \sin\theta$. На рис. 22-11 приведена фазовая диаграмма для случая с N источниками. Используя прямоугольный треугольник на рис. 22-11, *а*, получаем

$$E'/2 = R \sin(N\varphi/2).$$

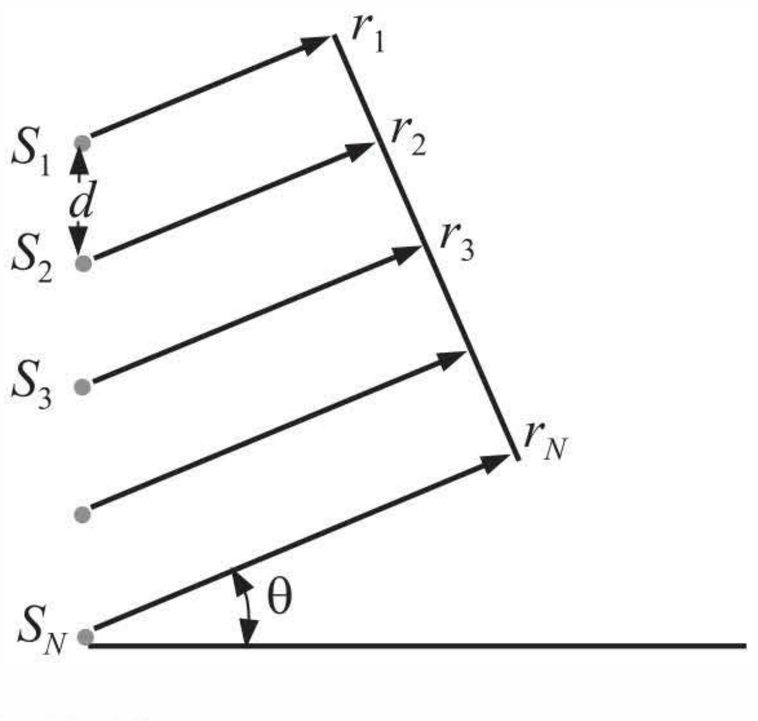
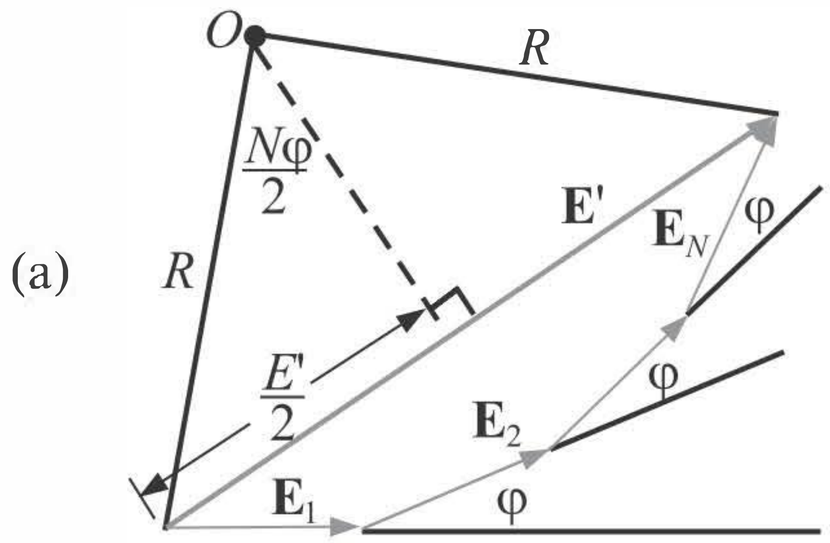


Рис. 22-10. N синхронизованных источников на расстоянии d друг от друга

Из прямоугольного треугольника на рис. 22-11, *б* имеем

$$E_1/2 = R \sin(\varphi/2).$$



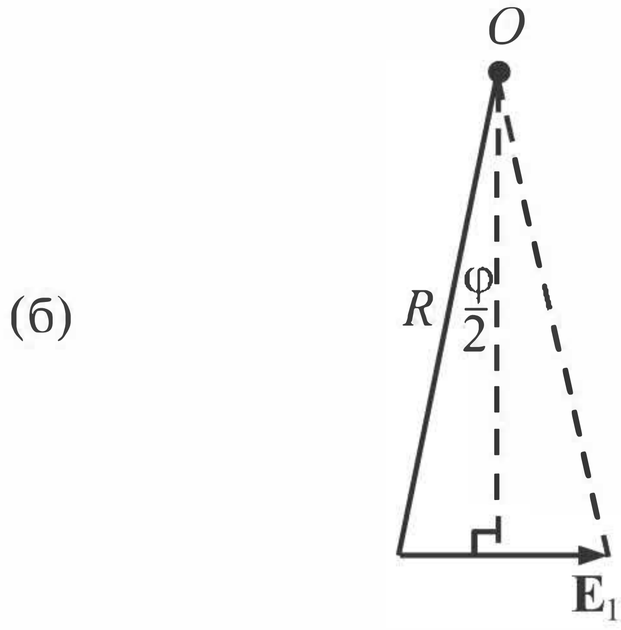


Рис. 22-11. *а* — фазовая диаграмма в случае с N источниками, изображенными на рис. 22-10; концы векторов располагаются на окружности радиусом R; *б* — диаграмма для первого источника

Разделим первое из этих соотношений на второе:

$$\frac{E'}{E_1} = \frac{\sin(N\varphi/2)}{\sin(\varphi/2)}$$

и возведем результат в квадрат:

$$I = I_0 \frac{\sin^2(N\varphi/2)}{\sin^2(\varphi/2)}; \qquad (22\text{-}5)$$

здесь I_0 — интенсивность, обусловленная отдельным источником, а $\varphi = kd\sin\theta$. На рис. 22-12 показано распределение интенсивности, построенное в соответствии с (22-5). Следует заметить, что при $\varphi \to 0$ мы имеем $\sin(N\varphi/2) \to N\varphi/2$, а $\sin(\varphi/2) \to \varphi/2$; при этом соотношение (22-5) записывается в виде

$$I \to I_0 \frac{(N\varphi/2)^2}{(\varphi/2)^2} = N^2 I_0.$$

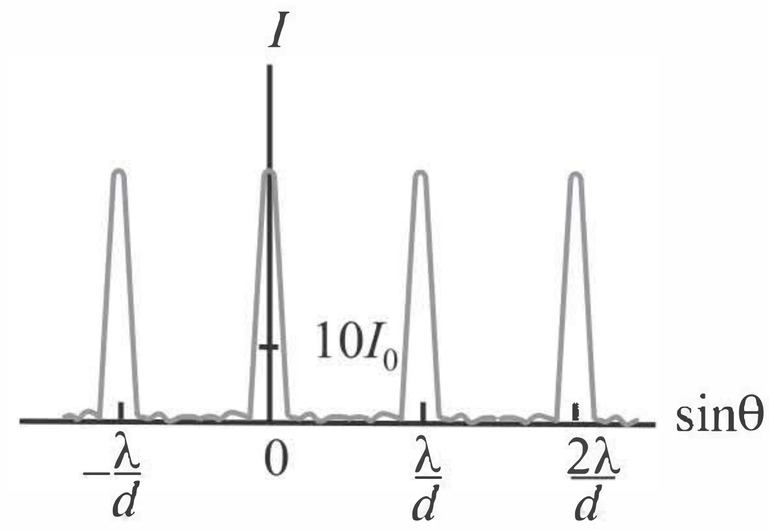
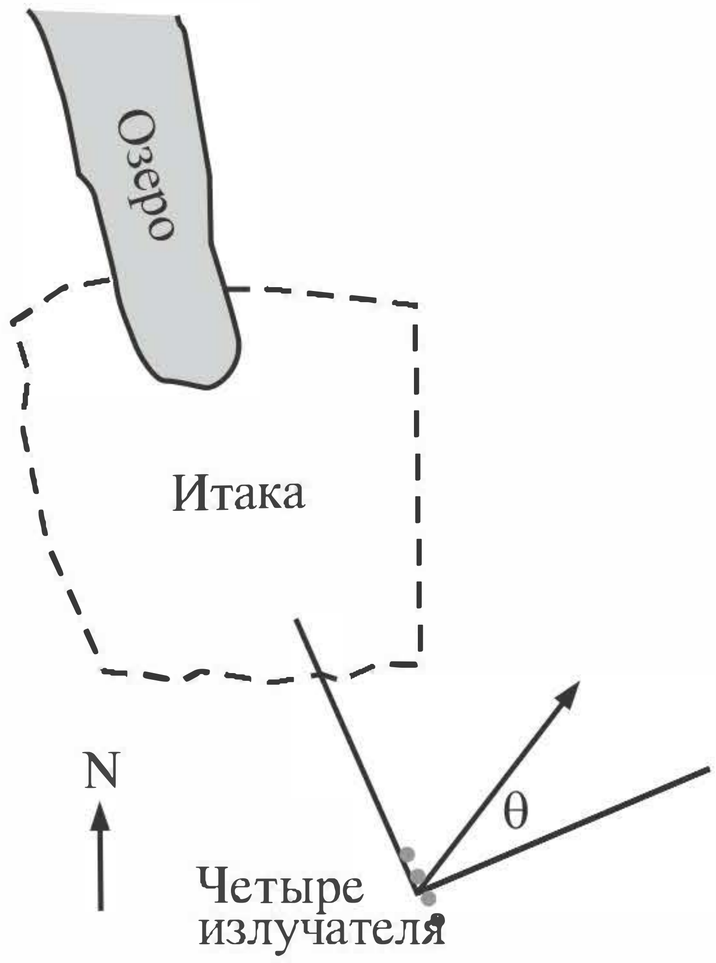


Рис. 22-12. Интерференционная картина от шести расположенных в ряд источников. Зависимость интенсивности I от $\sin\theta$ описывается формулой (22-5)

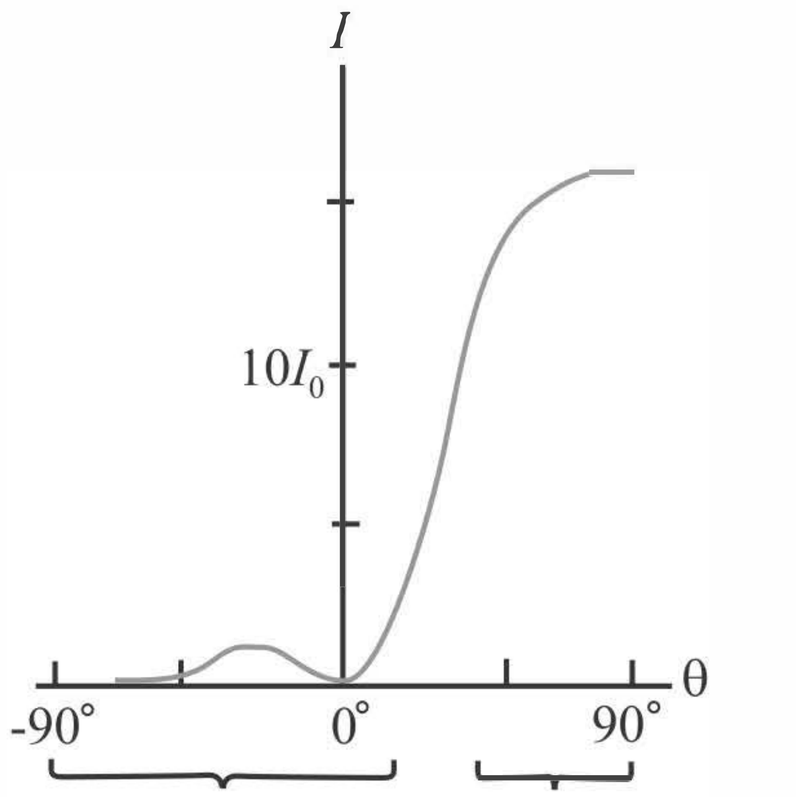
Таким образом, интенсивность волн, создаваемых N источниками, оказывается в N^2 раз больше интенсивности, создаваемой отдельным источником.

Пример 4. В небольших городах США не допускается работа широковещательных радиостанций в ночное время, поскольку сотни таких станций мешали бы друг другу. (Ночью ионосфера располагается на значительной высоте, так что благодаря отражению от нее возможен прием сигналов от станций, удаленных на большие расстояния.) Однако радиостанция WTKO вблизи г. Итака (шт. Нью-Йорк, США) продолжает широковещательные передачи и ночью, поскольку она снабжена антенной системой, которая посылает относительно сильный сигнал в направлении города и очень слабый сигнал в остальных направлениях. В этой системе используются четыре дипольных излучателя, расположенные в ряд в направлении Итаки, причем каждый последующий излучатель сдвинут по фазе относительно соседних на 90°. Расстояние между соседними излучателями $d = \lambda/4$. Как в этом случае интенсивность зависит от угла θ (рис. 22-13)?

Решение: В данном случае $\varphi = kd\sin\theta - \pi/2$, а не $kd\sin\theta$; поэтому



(а)



(б)

Рис. 22-13. *а* — ориентация четырех дипольных излучателей радиостанции WTKO в направлении на г. Итаку; *б* — зависимость интенсивности излучения I от угла θ

$$\varphi = k\frac{\lambda}{4}\sin\theta - \frac{\pi}{2} = \frac{\pi}{2}(\sin\theta - 1).$$

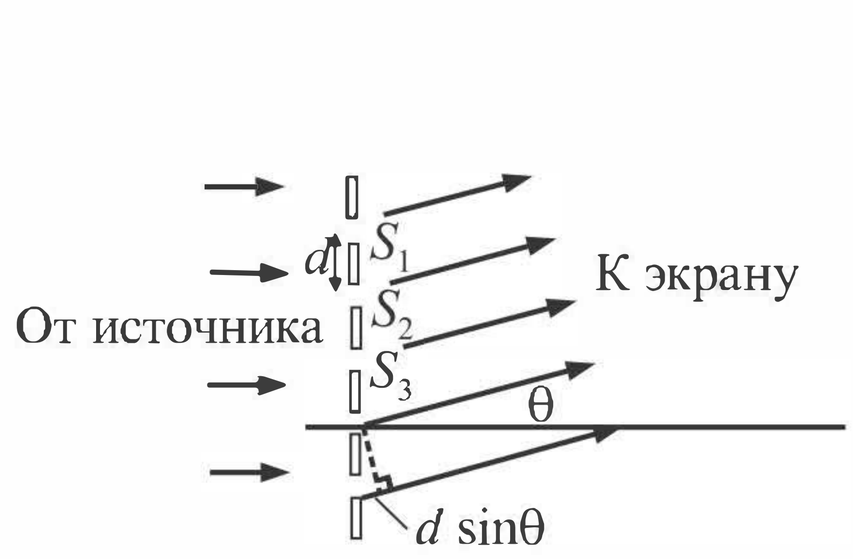
Распределение интенсивности дается выражением (22-5), причем $N = 4$ и $\varphi = (\pi/2)(\sin\varphi - 1)$:

$$I = I_0 \frac{\sin^2\left[\pi(\sin\theta - 1)\right]}{\sin^2\left[(\pi/4)(\sin\theta - 1)\right]}.$$

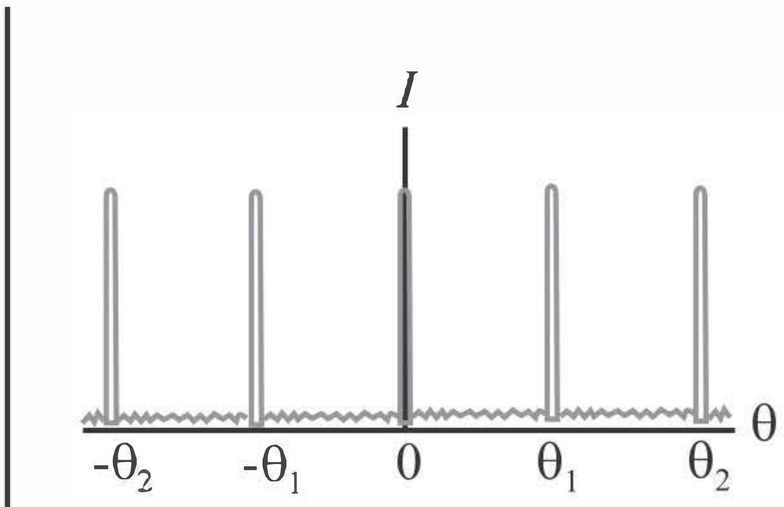
Зависимость интенсивности I от θ, соответствующая этому выражению, приведена на рис. 22-13, *б*.

§ 4. Дифракционная решетка

Процарапав параллельные штрихи на плоской стеклянной пластинке, можно изготовить систему из N щелей. Полосы стекла между штрихами будут вести себя подобно отдельным щелям. Если направить на эти щели параллельный пучок монохроматического света от отдельного источника (рис. 22-14), то мы получим N источников, колеблющихся в фазе. Для этого случая распределение интенсивности на экране дается выражением (22-5):



(а)



(б)

Рис. 22-14. *а* — участок дифракционной решетки в увеличенном масштабе; *б* — соответствующее распределение интенсивности на экране

$$I = I_0 \frac{\sin^2\left[N(\varphi/2)\right]}{\sin^2(\varphi/2)}, \text{ где } \varphi = kd\sin\theta.$$

Интенсивность принимает значение $N = N^2 I_0$ в тех случаях, когда знаменатель обращается в нуль, или когда

$$\varphi_n = 2\pi n, \qquad (22\text{-}6)$$

или

$$kd\sin\varphi_n = 2\pi n,$$

т. е.

$$\sin\theta_n = n\frac{\lambda}{d}. \qquad (22\text{-}7)$$

При других углах θ интенсивность I приблизительно равна I_0, т. е. примерно в N^2 раз меньше. В типичных дифракционных решетках величина N составляет несколько тысяч. Параллельные световые лучи за решеткой можно сфокусировать с помощью линзы и получить четкое изображение линий на экране, как показано на рис. 22-14. С помощью этого рисунка нетрудно получить условие (22-7). Для того, чтобы все параллельные лучи находились в фазе, разность хода для каждой пары соседних лучей должна составлять $n\lambda$. Поскольку эта разность хода равна $d\sin\theta$, мы получаем

$$d\sin\theta = n\lambda, \text{ или } \sin\theta = n\lambda/d.$$

Спектральная линия, отвечающая длине волны λ, будет наблюдаться под углом, определяемым соотношением $\sin\theta = \lambda/d$. Изображение второго порядка для этой линии будет соответствовать $\sin\theta = 2\lambda/d$, третьего порядка — $\sin\theta = 3\lambda/d$ и т. д.

Пример 5. Рассмотрим выпускаемую промышленностью решетку с 13 400 штрихами на дюйм (2,54 см). Предположим, что мы смотрим сквозь эту решетку на свечение натрия. Ионизованные атомы натрия испускают свет практически одной длины волны $\lambda = 5893$ Å ($1\text{ Å} = 10^{-10}$ м). Под каким углом будет видна за решеткой эта желтая линия?

Решение: Расстояние между штрихами решетки равно

$$d = \frac{2{,}54\text{ см}}{13400} = 1{,}90\cdot10^{-6}\text{ м}.$$

Используя формулу (22-7), находим

$$\sin\theta_1 = \frac{\lambda}{d} = \frac{5893\cdot10^{-10}}{1{,}90\cdot10^{-6}} = 0{,}31,\ \theta_1 = 18{,}1°,$$

$$\sin\theta_2 = \frac{2\lambda}{d} = 0{,}62, \qquad \theta_2 = 38{,}3°,$$

$$\sin\theta_3 = \frac{3\lambda}{d} = 0{,}93, \qquad \theta_3 = 68{,}5°.$$

Если источник света линейный, то эти три линии будут наблюдаться по обе стороны от прямого луча под углами $\pm18{,}1$, $\pm38{,}3$ и $\pm68{,}5°$.

Разрешающая способность

В идеальном спектроскопе свет с определенной длиной волны λ_0 должен наблюдаться в виде спектральной линии нулевой ширины. Однако дифракционная решетка вносит приборную ширину $\Delta\lambda_0$, которую мы сейчас вычислим.

Распределение интенсивности, создаваемое источником света с длиной волны λ_0, дается выражением (22-5). На рис. 22-15 приведено это распределение в виде кривой *1*. На этом рисунке $\Delta\theta_0$ — разность между угловыми положениями максимума и первого нуля интенсивности. Назовем эту разность приборной шириной. Величина $\Delta\theta_0$ соответствует такому сдвигу фаз $\Delta\theta\varphi_0$, при котором в числителе выражения (22-5) угол $N\varphi/2$ меняется на 180°. Следовательно,

$$N\Delta\varphi_0/2 = \pi,$$

или

$$\Delta\varphi_0 = 2\pi/N.$$

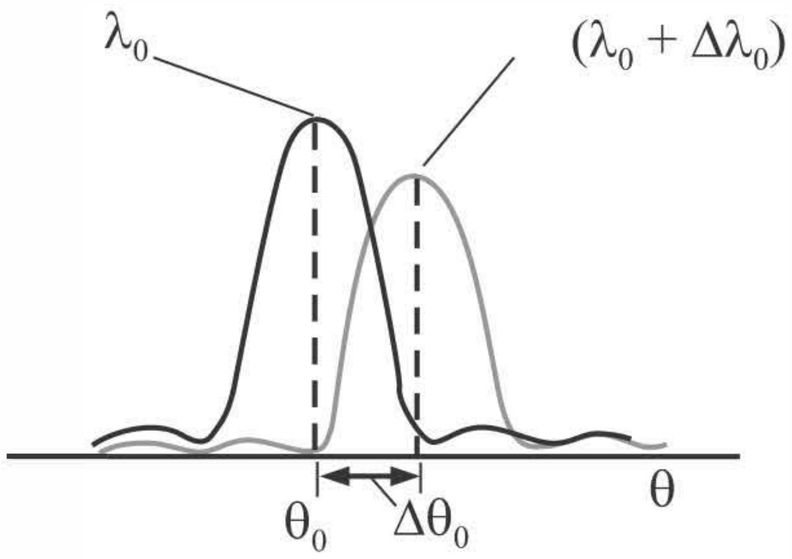


Рис. 22-15. Распределение интенсивности, создаваемое дифракционной решеткой, в случае с двумя источниками, различающихся по длине волны на $\Delta\lambda_0$; кривая *1* — источник с длиной волны λ_0; *2* — источник с длиной волны $\lambda_0 + \Delta\lambda_0$.

Дифференцируя выражение $\varphi_0 = kd\sin\theta_0$, получаем $\Delta\varphi_0 = kd\cos\theta_0\,\Delta\theta_0$. Определяя отсюда $\Delta\theta_0$, имеем

$$\Delta\theta_0 = \frac{2\pi}{Nkd\cos\theta_0},$$

$$\Delta\theta_0 = \frac{\lambda_0}{Nd\cos\theta_0}. \qquad (22\text{-}8)$$

Угловую шкалу спектрометра можно также проградуировать в длинах волн. Нас интересует величина $\Delta\lambda_0$, соответствующая этой приборной ширине линии. Ее можно найти, используя соотношение $\sin\theta = \lambda/d$, которое дает $\Delta\lambda = d\cos\theta\,\Delta\theta$. Воспользовавшись выражением (22-8) для $\Delta\theta$, мы получим следующую формулу для приборной ширины линии:

$$\Delta\lambda_0 = \lambda_0/N. \qquad (22\text{-}9)$$

Предположим теперь, что источник пропускает свет с двумя определенными длинами волн λ_0 и $\lambda_0 + \Delta\lambda$. Если $\Delta\lambda = \Delta\lambda_0$, где $\Delta\lambda_0$ — величина, определяемая формулой (22-9), то на экране обе эти линии окажутся не полностью разделенными. Такой случай иллюстрируется рис. 22-15, на котором кривая *1* — это распределение интенсивности, отвечающее λ_0, а кривая *2* — распределение интенсивности, отвечающее $\lambda_0 + \Delta\lambda_0$. Следовательно, если две линии находятся друг от друга на расстоянии, равном приборной ширине линии $\Delta\lambda = \lambda/N$, то максимум одной из них расположится на краю другой; при этом линии должны слиться воедино. Если же $\Delta\lambda$ окажется больше λ/N, то обе линии удастся разрешить. Отношение λ к такому критическому значению $\Delta\lambda$ называется разрешающей способностью (или разрешающей силой). Разрешающая способность дифракционной решетки равна просто полному числу ее штрихов N.

Пример 6. Известная линия натрия D с длиной волны $\lambda = 5893$ Å в действительности представляет собой две отдельные линии (т. н. дублет) с длинами волн 5890 и 5896 Å. Можно ли с помощью дифракционной решетки, параметры которой приведены в примере 5, разрешить эти линии?

Решение: Необходимая разрешающая способность

$$\frac{\lambda}{\Delta\lambda} = \frac{5893}{6} = 982.$$

Разрешающая способность дифракционной решетки равна полному числу штрихов. Для рассматриваемой решетки длиной 2,54 см (1 дюйм) с плотностью штрихов 13 400 на дюйм разрешающая способность составляет 13 400, что примерно в 13 раз превышает найденное выше значение минимально необходимого разрешения.

---

§ 5. Принцип Гюйгенса

В действительности для того, чтобы наблюдать интерференционные эффекты, необязательно иметь отдельные источники света. С помощью единственного источника и экрана с отверстиями в нем можно получить большое количество источников. На рис. 22-16 изображены

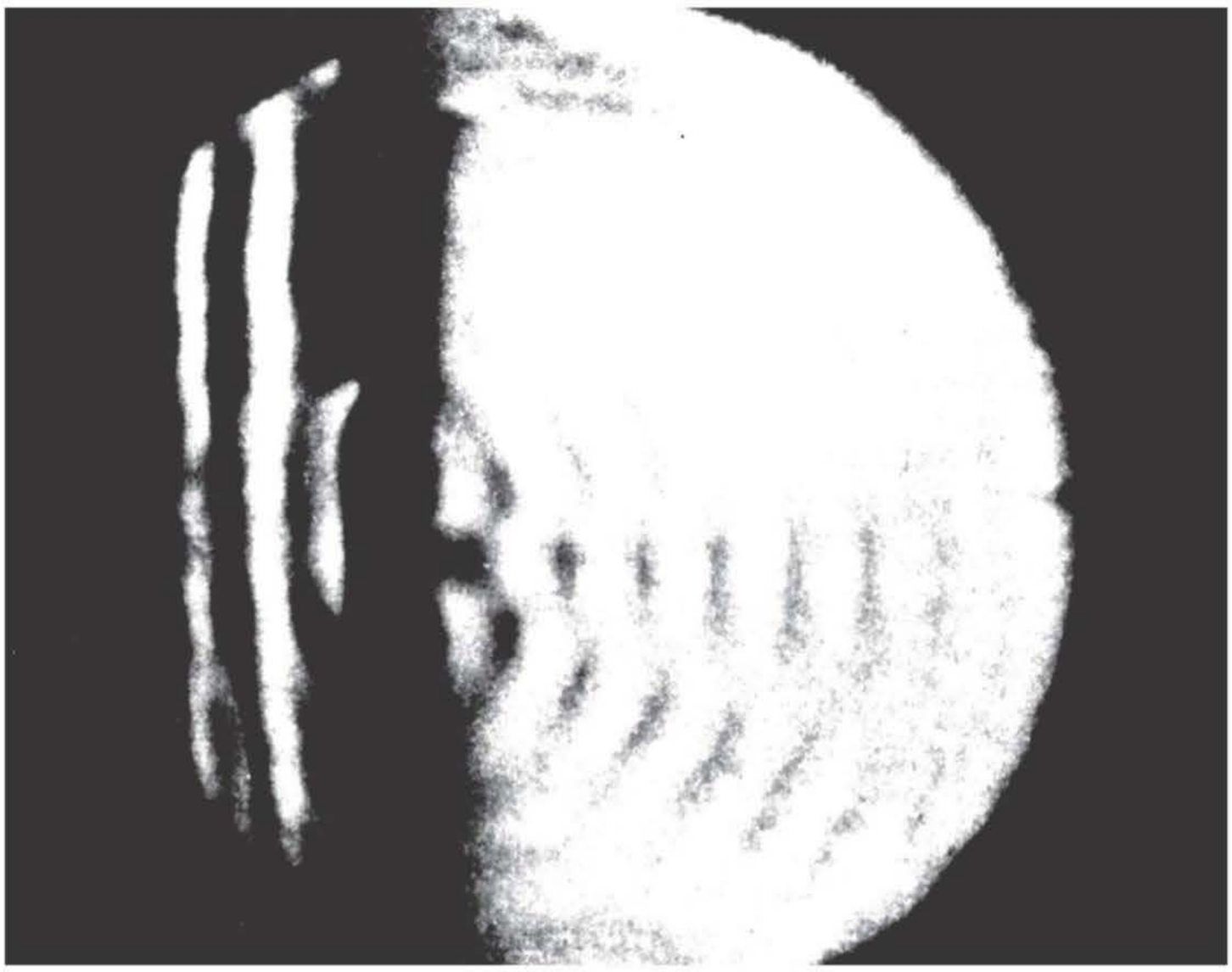


Рис. 22-16. Волны на поверхности воды, возбуждаемые единственным вибратором и падающие на экран с двумя отверстиями



Рис. 22-17. *а* — схема опыта по интерференции света от двух щелей (источником тока может быть либо лазер, либо единственная щель, освещаемая монохроматическим светом лампы; экран имеет две щели на расстоянии *d* друг от друга); *б* — распределение интенсивности, полученное на фотопленке, расположенной у второго экрана. [С любезного разрешения Центра по развитию образования.]

плоские волны на поверхности воды (от единственного источника), падающие на экран с двумя отверстиями. Волны, выходящие из этих отверстий, ведут себя так, как если бы они испускались двумя источниками, находящимися на месте отверстий и колеблющимися в фазе.

Известным опытом по получению интерференции электромагнитных волн, аналогичной изображенной на рис. 22-16 интерференционной картине на воде, является опыт с двумя щелями и источником света, как показано на рис. 22-17. Две узкие щели освещаются единственным источником света. Распределение интенсивности света на экране описывается формулой (22-3) и представляет собой такую же картину, как если бы щели были заменены источниками. Впервые такой эксперимент выполнил Томас Юнг в 1803 г.

В XVIII столетии Христиан Гюйгенс на основе опытов с волнами на поверхности воды сформулировал без доказательства следующий принцип: **когда волновой фронт проходит одно или несколько отверстий, каждый элемент волнового фронта**

ведет себя так, как если бы он стал источником излучения. На первый взгляд это может показаться странным, поскольку в отверстиях не имеется каких-либо источников тока. Действительно, токи должны индуцироваться в любом месте экрана, за исключением отверстий. Покажем теперь, что математически поле, излучаемое источниками тока, заполняющими отверстие в экране, совпадает с полем волны, падающей на экран с отверстиями. Обозначим поле, излучаемое индуцированными в экране токами, через $E_{\text{экр.}}$. Тогда справа от экрана результирующее поле запишется в виде

$$E_{\text{рез.}} = E_{\text{пад.}} + E_{\text{экр.}}, \qquad (22\text{-}10)$$

где $E_{\text{пад.}}$ — поле, создаваемое самим источником (при отсутствии экрана). Это равенство соответствует физической ситуации, при которой возникает наблюдаемая интерференционная картина. Теперь закроем отверстия дополнительными экранами (заглушками), размеры которых совпадают с размерами отверстий. Пусть $E_{\text{отв.}}$ — поле, излучаемое токами, наведенными в заглушках, закрывающих отверстия в экране. Для экрана с заглушками имеем

$$E_{\text{рез.}} = E_{\text{пад.}} + E_{\text{экр.}} + E_{\text{отв.}} = 0 \ (\textit{справа от экрана}).$$

Следовательно,

$$-E_{\text{отв.}} = E_{\text{пад.}} + E_{\text{экр.}},$$
$$|E_{\text{отв.}}|^2 = |E_{\text{пад.}} + E_{\text{экр.}}|^2.$$

Мы видим, что правая часть этого равенства совпадает с полем, соответствующим реальной физической ситуации (22-10), а левая часть свидетельствует о том, что эта ситуация математически эквивалентна распределению интенсивности излучения, создаваемому источниками тока, расположенными в отверстиях и испускающими излучение независимо друг от друга. Мы продемонстрировали, что если каждый элемент прошедшего за экран волнового фронта рассматривать как новый точечный источник излучения, то распределение интенсивности будет таким же, как и в случае с экраном и отдельным источником. Однако наше рассмотрение требует небольшой поправки, связанной с краевыми эффектами, которыми мы будем пренебрегать. (Проведенное нами доказательство предполагает, что индуцированные токи могут пересекать края отверстий, разграничивающие экран и заглушки.)

Мы «доказали» принцип Гюйгенса для случая с падением плоской волны на плоский экран. Принцип Гюйгенса можно применить для волновых фронтов произвольной формы при отсутствии экрана. При этом каждая точка волнового фронта рассматривается как источник новой волны. Такое рассмотрение приводит к правильному результату, когда речь идет о форме фронта вторичных волн. Однако при этом не всегда удается получить правильные значения амплитуды волн.

§ 6. Дифракция на отдельной щели

Параллельный пучок монохроматического света, падая на отдельную щель шириной a, создает на удаленном экране интерференционную картину, как показано на рис. 22-18. Подобная интерференция, возникающая от одной щели или от края экрана, называется дифракцией. При этом лучи света «дифрагируют» (отклоняются) от своего первоначального направления.

С помощью построения на рис. 22-19 легко определить угол θ, под которым наблюдается первый минимум интенсивности. В соответствии с принципом Гюйгенса мы можем рассматривать щель как последовательность новых источников

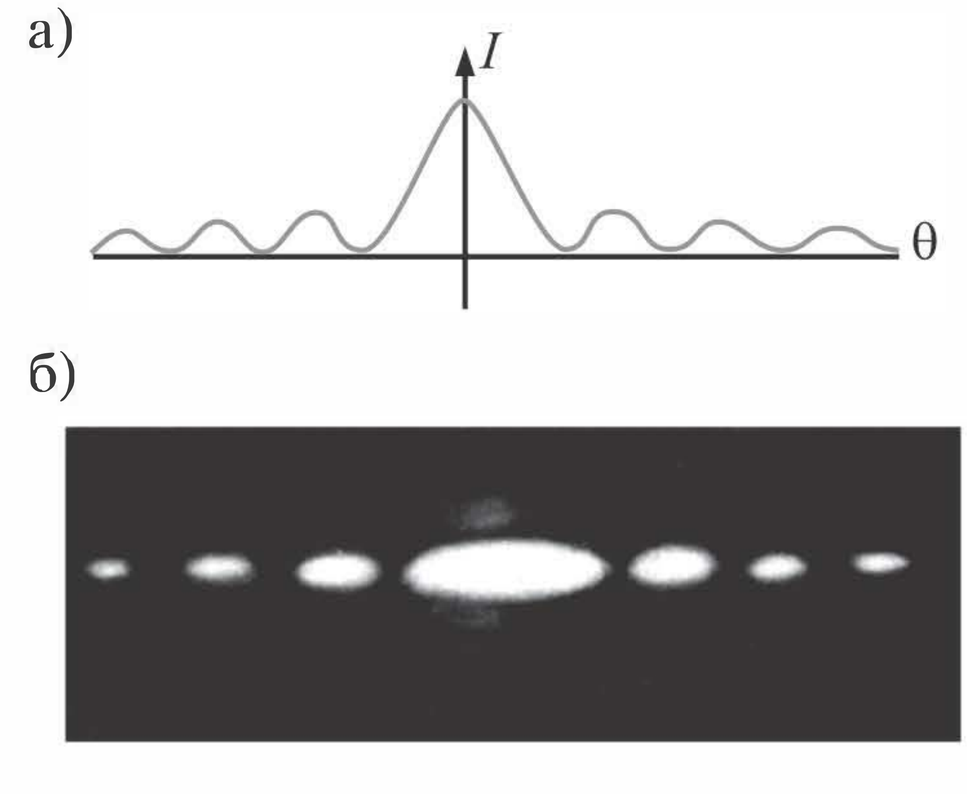


Рис. 22-18. *а* — распределение интенсивности на удаленном экране при дифракции на отдельной щели; *б* — изображение на фотопленке, помещенной в плоскости экрана. В качестве источника света использовался неон-гелиевый лазер

$$\frac{a}{2}\sin\theta_1 = \frac{\lambda}{2},$$

$$\sin\theta_1 = \frac{\lambda}{a}$$ (*условие минимума интенсивности для отдельной щели*). (22-11)

Интенсивность для произвольного угла θ получается в результате суммирования вкладов всех бесконечно малых источников (рис. 22-20). Соответствующие векторы образуют дугу окружности, для которой результирующая разность фаз

$\Phi = ka\sin\theta$ (*разность фаз лучей 1 и 3*).

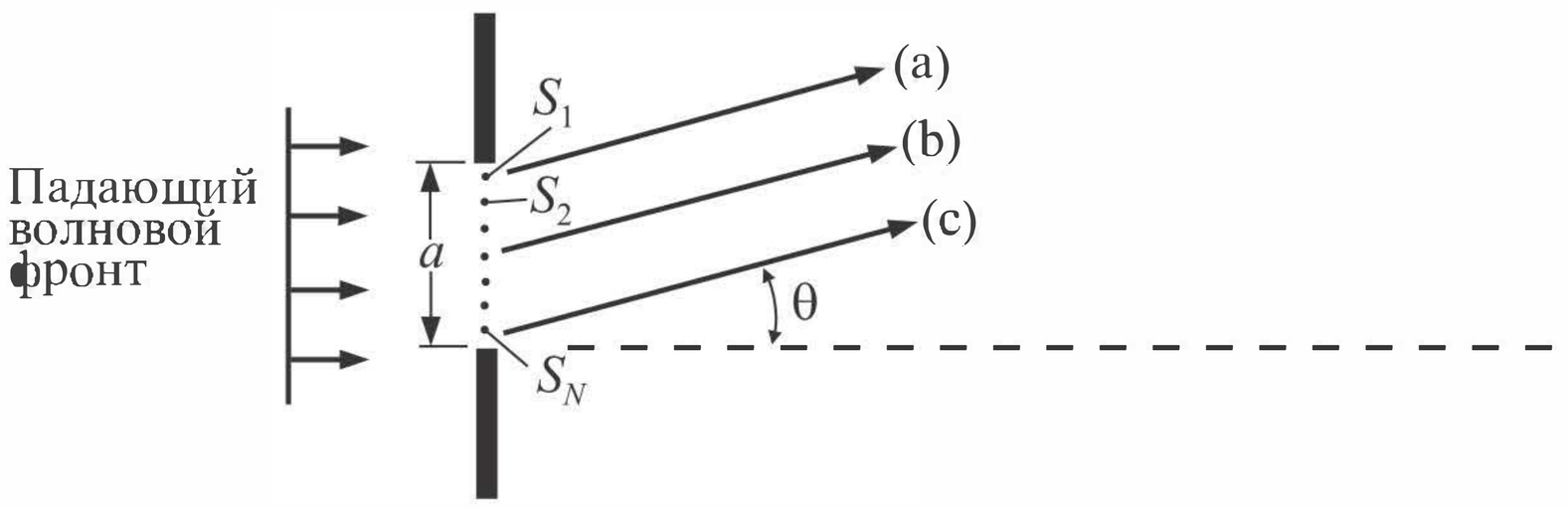


Рис. 22-19. Излучение от отдельной щели. Лучи 1 и 3 идут от краев, а луч 2 исходит из центра щели

S_1, S_2, ..., S_N. Если разность фаз между волнами, испускаемыми из точки S_1 и из центра щели, составляет 180°, то эти волны погасят друг друга (лучи 1 и 2 на рис. 22-19). Также погасят друг друга волны, одна из которых создается источником S_2, а другая — следующим источником, расположенным ниже за лучом 2. Аналогично луч из S_3 и последующие лучи будут попарно гасить друг друга. Разность хода между лучами 1 и 2 равна $(a/2)\sin\theta$. Для того чтобы получить разность фаз между ними 180°, эта разность хода должна составлять $\lambda/2$. Угол, соответствующий первому минимуму интенсивности, определяется из равенства

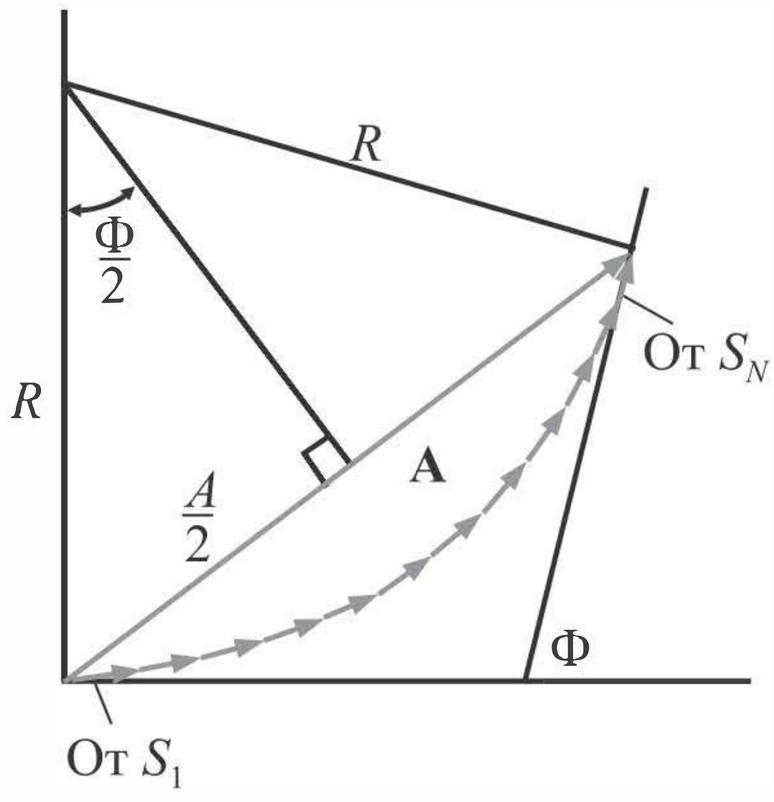


Рис. 22-20. Вектор **A** представляет собой векторную сумму сигналов от *N* источников, изображенных на рис. 22-10. **Ф** — разность фаз между первым и последним источниками

Результирующую амплитуду A можно найти из прямоугольного треугольника:

$$\sin\left(\frac{\Phi}{2}\right)=\frac{A/2}{R},$$

откуда

$$A = 2R\sin(\Phi/2). \qquad (22\text{-}12)$$

Длина дуги равна A_0; это результирующая амплитуда для угла 0°. Она равна радиусу R, умноженному на угол Φ в радианах:

$$R\Phi = A_0.$$

Отсюда находим

$$R = A_0/\Phi.$$

Подставим эту величину в (22-12):

$$A = A_0\frac{\sin(\Phi/2)}{\Phi/2}.$$

Возводя это выражение в квадрат, получаем распределение интенсивности:

$$I = I_0\left[\frac{\sin(\Phi/2)}{\Phi/2}\right]^2, \text{ где } \Phi = ka\sin\theta. \qquad (22\text{-}13)$$

Эта функция изображена на рис. 22-18. Последовательные минимумы наблюдаются при $\Phi/2 = n\pi$, или при $\frac{ka\sin\theta}{2} = n\pi$,

или при $\sin\theta_{\text{мин.}} = n\frac{\lambda}{a}$ $(n \geq 1)$.

Это условие совпадает с тем, которое мы получили выше, а именно с условием (22-11). Следует отметить, что центральный максимум в два раза шире вторичных максимумов.

Пример 7. Параллельный пучок света падает на широкую щель шириной u, как показано на рис. 22-21. При этом на экране возникает полоса света шириной $y = u$. Если щель постепенно сужается, то полоса света сокращается, пока не начинают преобладать дифракционные эффекты, и полоса снова становится шире. При какой ширине щели u_0 на экране наблюдается самая узкая полоса света?

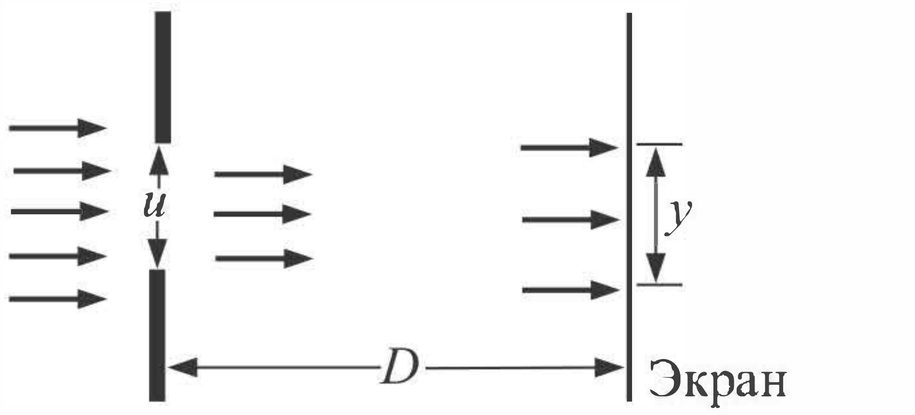


Рис. 22-21. Параллельный пучок света, проходя щель шириной u, образует на экране полосу шириной y

Решение: За счет дифракции полоса света на экране уширяется на величину

$$y_{\text{диф.}} \approx \theta_{\text{мин.}} D \approx \frac{\lambda}{u} D.$$

Таким образом, полная ширина полосы света будет

$$y \approx u + \frac{\lambda D}{u}.$$

Чтобы найти минимум величины y, нужно положить $dy/du = 0$. Таким образом,

$$1 - \frac{\lambda D}{u_0^2} = 0,$$

откуда

$$u_0 \approx \sqrt{\lambda D}.$$

---

§ 7. Когерентность и некогерентность

До сих пор мы изучали интерференционные эффекты, создаваемые источниками, которые находятся в фазе относительно друг друга (или с некоторым постоянным соотношением фаз). Такие источники называются когерентными. Когерентные источники радиоволн можно получить, запитав две антенны или несколько антенн от одного и того же генератора. Когерентные же источники света, как мы показали в § 5, можно получить,

освещая одним и тем же точечным источником света пару или большее число щелей или отверстий. Кроме того, можно создать когерентные пучки света, используя полупрозрачные зеркала, как в интерферометре Майкельсона (см. рис. 8-4).

Однако в случае, когда оба плеча интерферометра имеют разную длину, интерференционная картина может исчезнуть, если разность хода превысит некоторую величину ΔL_0, соответствующую разности времени $\Delta t_0 = \Delta L_0/c$. Величина ΔL_0 называется длиной когерентности, а Δt — временем когерентности. Если свет от источника в интерферометре (независимо от того, используется ли свечение лазера или газового разряда) проанализировать с помощью спектрометра высокой разрешающей способности, то мы обнаружим резкую линию с естественной шириной (на шкале частот) Δf. Эта ширина связана с временем когерентности Δt_0 соотношением

$$2\pi\Delta f\Delta t_0 \approx 1.$$

Это соотношение совпадает с (21-16) и интерпретируется аналогичным образом. Высококачественный источник монохроматического света независимо от того, идет ли речь о лазере или о свечении атомов, ведет себя подобно генератору, средняя частота f_0 которого случайным образом меняется в интервале от $f_0 - \Delta f$ до $f_0 + \Delta f$. В соответствии с (21-16) две чисто синусоидальные волны, разнесенные по частоте на величину Δf, будут оставаться в фазе на протяжении времени $\Delta t \approx 1/(2\pi\Delta f)$. Наиболее узким линиям атомных спектров соответствует $\Delta t_0 \sim 10^{-8}$ с. В лазере дрейф частоты оказывается меньше, и поэтому время когерентности больше.

Из квантовой механики мы знаем, что свет представляет собой фотоны, испускаемые один за другим различными атомами. Лазер излучает фотоны, которые находятся в фазе друг с другом (см. § 6 гл. 26). Во всех прочих источниках света относительные фазы фотонов случайны, и в этом случае говорят, что фотоны некогерентны. Однако в интервале времени $\Delta t_0 \approx 1/(2\pi\Delta f)$ (Δf — наблюдаемая ширина линии) любая пара таких фотонов будет поддерживать друг с другом постоянное фазовое соотношение. Эти фотоны ведут себя подобно волновым пакетам длиной $\Delta L_0 = c\Delta t_0 \approx c/(2\pi\Delta f)$.

Интерферометрия интенсивности

От двух независимых и некогерентных источников света можно наблюдать интерференционную картину, если эту картину удастся зарегистрировать за промежуток времени меньший, чем $\Delta t_0 = 1/(2\pi\Delta f)$. В большинстве случае интенсивности оказываются слишком слабыми, чтобы их можно было измерить. Однако существует метод, развитый в 1956 г. Хэнбери Брауном и Твиссом. В этом методе используется эффективное усреднение большого числа измерений, каждое из которых выполнено за промежуток времени короче, чем $1/(2\pi\Delta f)$. Ухищрение состоит в том, что на «экране», на котором должна наблюдаться интерференционная картина, устанавливают два раздельных детектора. Регистрируемые этими детекторами интенсивности I_1 и I_2 мгновенно перемножаются (это достигается с помощью быстрой электроники и благодаря использованию в качестве детекторов фотоэлектронных умножителей). На рис. 22-22 детектор 1 расположен в точке P_1 под углом $\theta = 0$. Детектор 2, помещенный в точке P_2, используется для проведения серии измерений при близких значениях θ. Источники S_1 и S_2 являются независимыми и некогерентными. Если расстояние d

между ними неизвестно, то его можно определить, измерив величину $\overline{I_1 I_2}$, усредненную по всем значениям разностей фаз между S_1 и S_2. Это можно показать, воспользовавшись формулой (22-3) для интенсивности каждого из детекторов. Если на протяжении промежутка времени, более короткого, чем Δt_0, разность фаз между источниками света равна ϕ, то детектор 1 измерит интенсивность

$$I_1 = 2I_0(1 + \cos\phi).$$

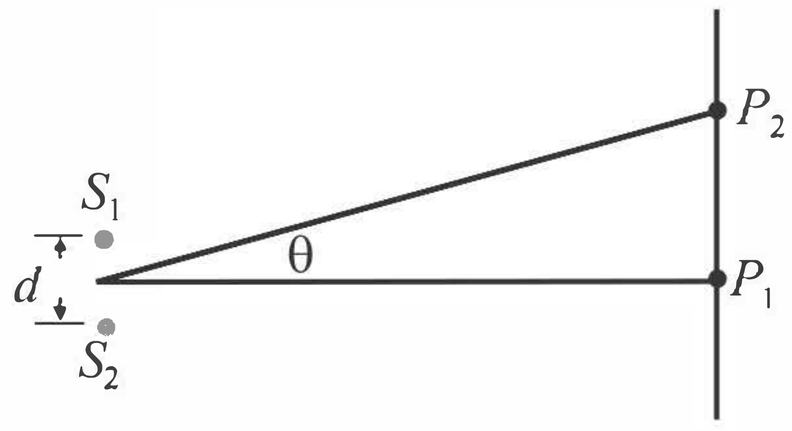


Рис. 22-22. S_1 и S_2 — независимые источники. Детекторы измеряют интенсивности в точках P_1 и P_2 в один и тот же момент времени

В случае с детектором 2 имеется дополнительная разность фаз $\phi_0 = kd\sin\theta$, так что

$$I_2 = 2I_0\,[1 + \cos(\phi + \phi_0)].$$

Усреднение по времени можно осуществить, беря среднее по всем возможным значениям ϕ:

$$\overline{I_1 I_2} = \frac{\int_0^{2\pi} I_1(\phi) I_2(\phi)\, d\phi}{\int_0^{2\pi} d\phi} =$$

$$= \frac{4I_0^2}{2\pi}\int_0^{2\pi}(1+\cos\phi)\left[1+\cos(\phi+\phi_0)\right]d\phi =$$

$$= \frac{2I_0^2}{\pi}\int_0^{2\pi}\Big[1+\cos\phi+\cos(\phi+\phi_0)+$$

$$+\cos\phi\cos(\phi+\phi_0)\,d\phi\Big].$$

Поскольку значения $\cos\phi$ и $\cos(\phi + \phi_0)$ бывают одинаково часто как положительными, так и отрицательными, то интегралы от соответствующих членов обратятся в нуль. Таким образом,

$$\overline{I_1 I_2} = \frac{2I_0^2}{\pi}\Big[2\pi + \int_0^{2\pi}\cos\phi\big(\cos\phi\cos\phi_0 -$$

$$-\sin\phi\sin\phi_0\big)\,d\phi =$$

$$= \frac{2I_0^2}{\pi}\big(2\pi + \pi\cos\phi_0\big) =$$

$$= 2I_0^2\Big[2 + \cos\big(kd\sin\theta\big)\Big]. \qquad (22\text{-}14)$$

На рис. 22-23 приведена соответствующая кривая. Мы видим, что два некогерентных источника создают интерференционную картину! Заметим, что применение квантовой механики к двум фотонам также приводит к результату, описываемому формулой (22-14). В дальнейшем с помощью радиотелескопов были выполнены эксперименты, которые позволили измерить расстояние между компонентами двойной звезды и даже определить диаметры некоторых близких звезд (см. гл. 30). Осуществление таких экспериментов (в том числе в физике элементарных частиц) — весьма сложное дело, поскольку в условиях очень высокого временного разрешения шумы фотоумножителя оказываются сравнимы с полезным сигналом.

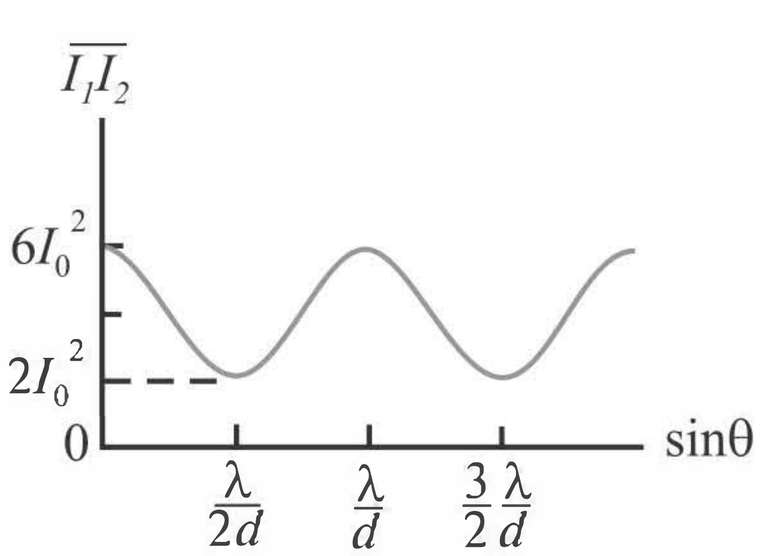


Рис. 22-23. Произведение интенсивностей, зарегистрированных двумя детекторами в зависимости от угла между ними

Пример 8. Две антенные чаши радиотелескопа (рис. 22-24) настроены на частоту 1000 МГц и направлены к двойной звезде, которая находится на расстоянии 100 световых лет. Произведение интенсивностей измеряется при нескольких значениях расстояния между антеннами; соответствующие результаты приведены на рис. 22-25. Каково расстояние между компонентами двойной звезды?

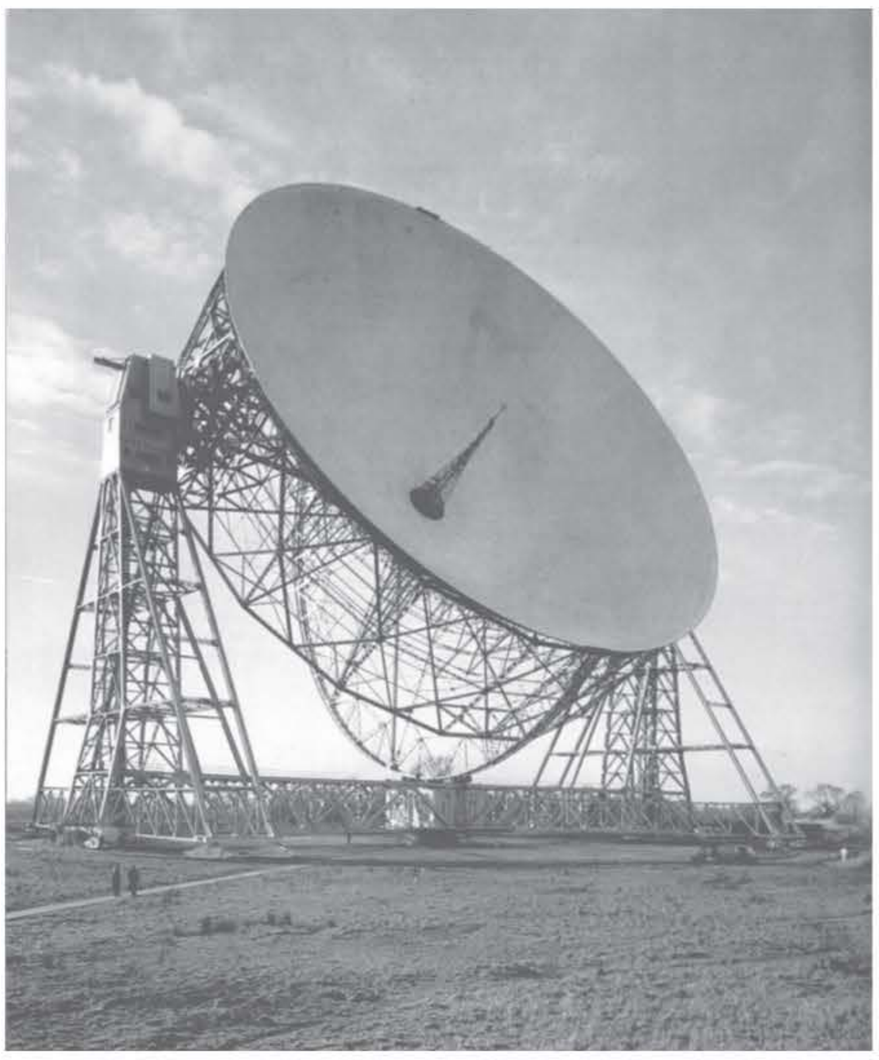


Рис. 22-24. Общий вид современного телескопа

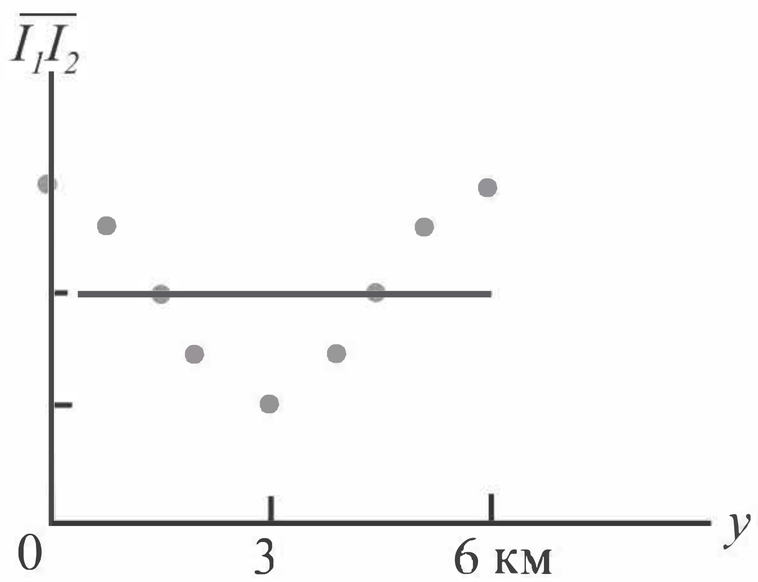


Рис. 22-25

Решение: Угол между двумя детекторами в случае с первым минимумом равен

$$\theta = \frac{3\text{ км}}{100\text{ св. лет.}} = \frac{3\text{ км}}{9{,}42\cdot 10^{14}\text{ км}} = 3{,}18\cdot 10^{15}.$$

Из выражения (22-14) следует, что первый минимум наблюдается в том случае, когда $\theta = \lambda/2d$, откуда находим

$$d = \frac{\lambda}{2\theta} = \frac{0{,}30\text{ м}}{2\left(3{,}18\cdot 10^{15}\right)} = 4{,}72\cdot 10^{10}\text{ км} =$$

$$= 5{,}0\cdot 10^{-3}\text{ св. лет.}$$

Последние десятилетия ознаменовались значительным расширением области приложения оптики, которое сопровождалось появлением радиотелескопов, микроволновой техники, инфракрасных детекторов, лазеров, квантовых детекторов, голографии, быстрой электроники, ЭВМ и т. п. Все эти разработки легли в основу современной оптики, в том числе квантовой. Следующую главу мы начнем с рассмотрения одного примера из современной оптики, а именно голографии.

Основные выводы

В результате интерференции бегущей волны с волной, отраженной от конца струны (или зеркала, если речь идет об электромагнитной волне), образуется волна, амплитуда которой записывается в виде $y = (y_0 \sin\omega t)\sin kx$. Эта волна имеет узлы в точках $x_n = n(\lambda/2)$. Длина стоячей волны, образующейся в закрепленной на обеих концах струне длиной L, равна $\lambda_n = 2L/n$.

Колеблющиеся в фазе два точечных источника, каждый из которых излучает с интенсивностью I_0, создают интерференционную картину, интенсивность в которой изменяется по следующему закону: $I = 2I_0\,[1 + \cos k(r_2 - r_1)]$, где $(r_2 - r_1)$ — разность хода. На очень больших расстояниях от источников $r_2 - r_1 = d\sin\theta$, где d — расстояние между ними. Условие максимума интенсивности записывается в виде $\sin\theta = n\lambda/d$.

Для расположенных в ряд N точечных источников

$$I = I_0 \frac{\sin^2\left[N(\phi/2)\right]}{\sin^2(\phi/2)}, \text{ где } \phi = kd\sin\theta.$$

В случае с дифракционной решеткой с N «щелями» соотношение $\sin\theta = n\lambda/d$ определяет угловое положение спектральной линии с длиной волны λ. Две спектральные линии, различающиеся на $\Delta\lambda$, могут быть разрешены, если

$$\frac{\Delta\lambda}{\lambda} \geqslant \frac{1}{N}.$$

Принцип Гюйгенса утверждает, что каждую точку волнового фронта можно рассматривать как новый источник волн.

Дифракционная картина от отдельной щели шириной a описывается выражением

$$I = I_0 \frac{\sin^2\left[ka\sin\theta/2\right]}{\left[ka\sin\theta/2\right]^2}.$$

Это распределение интенсивности имеет минимумы, когда

$\sin\theta = n\lambda/a$, где n — целые числа.

Если естественная ширина спектральной линии равна Δf, то время когерентности составляет $\Delta t_0 = 1/(2\pi\Delta f)$, а длина когерентности $\Delta L_0 = c\Delta t_0$. Измеряя произведение интенсивностей излучения от двух некогерентных источников в течение промежутка времени, не превышающего Δt_0, мы получаем среднее значение этого произведения в следующем виде:

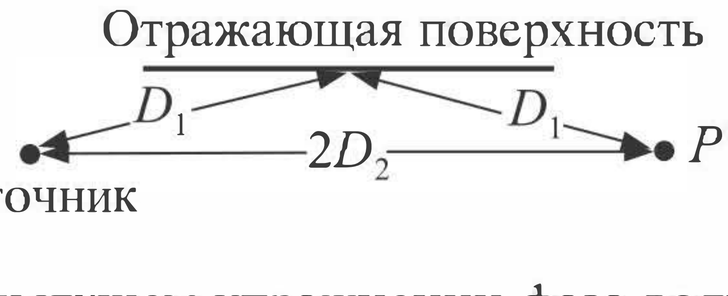
$$\overline{I_1 I_2} = 2I_0^2\left[2 + \cos(kd\sin\theta)\right].$$

Упражнения

1. Как направлены $\mathbf{E}'$ и $\mathfrak{B}'$ на рис. 22-1 в непосредственной близости от отражающей поверхности справа от нее?
2. Перепишите условие (22-2), заменив λ_n на k_n.
3. Предположим, что на рис. 22-5 $E_1 = E_0\cos(kr_1 - \omega t)$ и $E_2 = 2E_0\cos(kr_2 - \omega t)$. Как зависит I от I_0 и θ?
4. Чему равна на удаленном экране разность фаз между волнами, испущенными из S_1 и S_3 на рис. 22-14? Запишите ответ через λ, d и θ.
5. Скорость распространения волны по струне с закрепленными концами равна 2 м/с. Расстояние между узлами стоячих волн 3,0 см.
   а) Какова частота колебаний?
   б) Сколько раз в секунду струна вытягивается в прямую линию без каких-либо видимых следов волн?
6. Пусть S_1 и S_2 — источники, испускающие (в фазе) синусоидальные звуковые волны и находящиеся на расстоянии 3 м друг от друга.



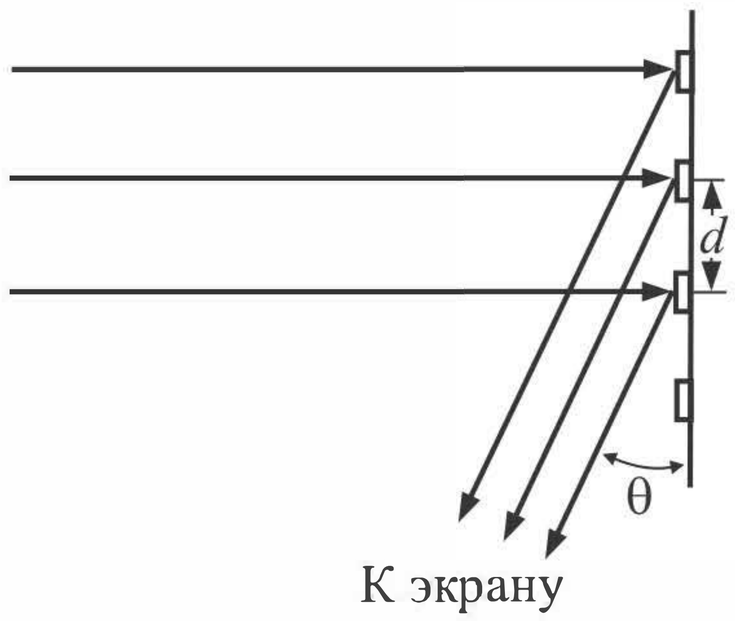
   а) Перечислите три различные длины волн, для которых в точке P волны будут погашать друг друга (деструктивная интерференция).
   б) Перечислите три различные длины волн, для которых в точке P волны будут усиливать друг друга (конструктивная интерференция).
   в) Какова низшая частота, при которой в точке P волны гасят друг друга? Скорость звука 330 м/с.
7. Каким условиям должна удовлетворять разность $D_1 - D_2$ (см. рисунок), чтобы в точке P наблюдался интерференционный максимум или минимум? Предполагается, что фаза волны не меняется при отражении.



8. В предыдущем упражнении фаза волны при отражении меняется на 180°. Каково теперь условие минимума интенсивности в точке P?
9. На решетке с 2000 штрихов/см происходит дифракция света с длиной волны 5000 Å. Экран расположен в 3 м от решетки. На каком расстоянии находятся на

экране изображения нулевого и первого порядка?

10. Свет падает по нормали к отражательной дифракционной решетке (в такой решетке штрихи нанесены на зеркало) и дифрагирует под углом θ к ней (см. рисунок).



а) Найдите разность хода, ответ запишите через θ и d.

б) Под каким углом θ наблюдался бы максимум интенсивности?

11. Сколько штрихов должна иметь дифракционная решетка, чтобы ширина линии, отвечающей типичному атомному переходу, была естественной (см. стр. 372)?

12. Чему равна в примере 6 приборная ширина $\Delta\theta_0$ каждой из D-линий натрия? Ответ дайте в градусах.

13. Сколько штрихов должна иметь дифракционная решетка, чтобы она могла полностью разрешить D-линии натрия?

14. Покажите, что

$$\frac{\sin^2\left[N(\phi/2)\right]}{\sin^2(\phi/2)} = 2(1+\cos\phi).$$

Задачи

15. Предполагая, что на рис. 22-1 падающая волна имеет вид $E_{\text{пад.}} = E_0 \sin(\omega t - kx)$, найдите выражение для стоячей волны $E = E_{\text{пад.}} + E'_{\text{лев.}}$.

16. Предположим, что диполи на рис. 22-5 сдвинуты по фазе на 180°. Как зависит I от θ?

17. В задаче 16 покажите, что в случае, когда $d \ll \lambda$, $I \approx I_0 k^2 d^2 \sin^2\theta$.

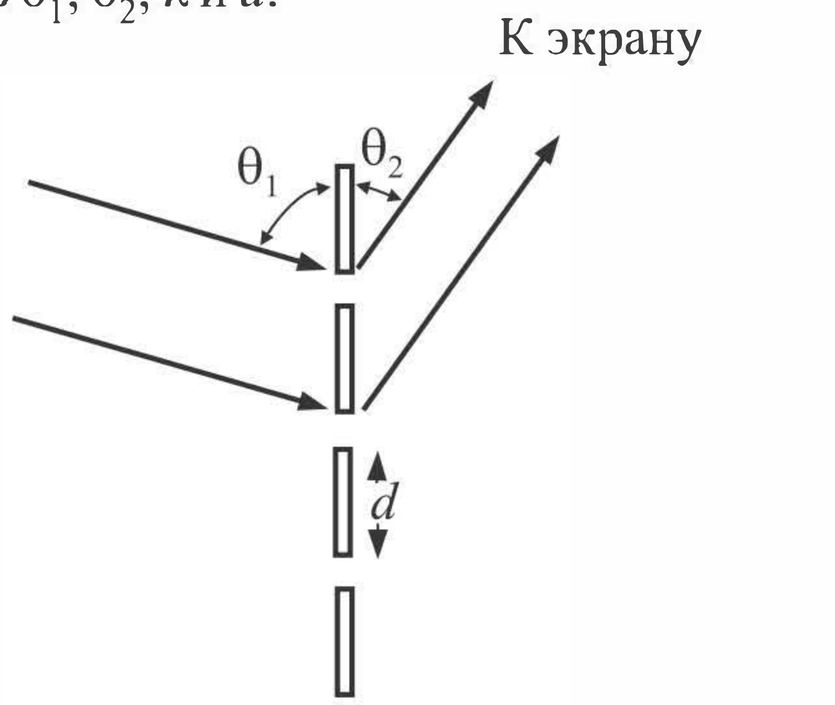
18. Решите задачу 16 для двух диполей p_0, колеблющихся в направлении оси y с разностью фаз 180°; $d \ll \lambda$. Обозначая угол между радиусом-вектором r и осью y через θ, покажите, что

$$E = \frac{k_0 p_0 \omega^3 d}{2c^3 r}\sin 2\theta \cos\omega\left(t - \frac{r}{c}\right).$$

19. Предполагая, что на рис. 22-6 $E_1 \neq E_2$, напишите выражение для E' через E_1, E_2 и θ.

20. Видимые части спектра второго и третьего порядка от дифракционной решетки будут частично перекрываться. Какая длина волны в спектре, полученном в случае $N = 3$, совпадает с положением линии $\lambda = 7000$ Å в спектре с $N = 2$?

21. На дифракционную решетку свет с длиной волны λ падает не под прямым углом, а под углом θ_1 к ней (см. рисунок). Запишите условие максимума интенсивности через θ_1, θ_2, λ и d.

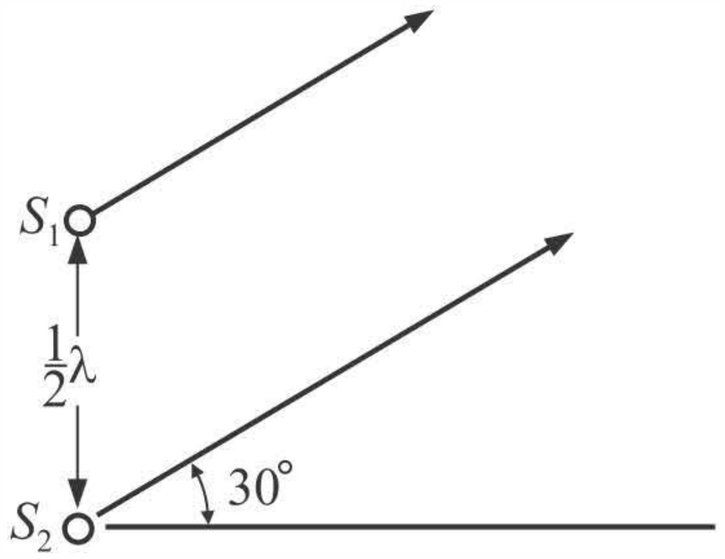


22. Повторите решение в примере 3 для ноты «до» первой октавы (частота 262 Гц). Получите точное решение без использования каких-либо приближений. (Чтобы найти численные значения, можно использовать метод проб и ошибок.)

23. Некоторый атомный переход имеет время жизни $\tau = 2\cdot10^{-4}$ с. Соответствующая ему длина волны излучения равна 4000 Å. Какова естественная ширина линии Δλ и сколько штрихов должна иметь дифракционная решетка, чтобы измерить эту ширину линии?

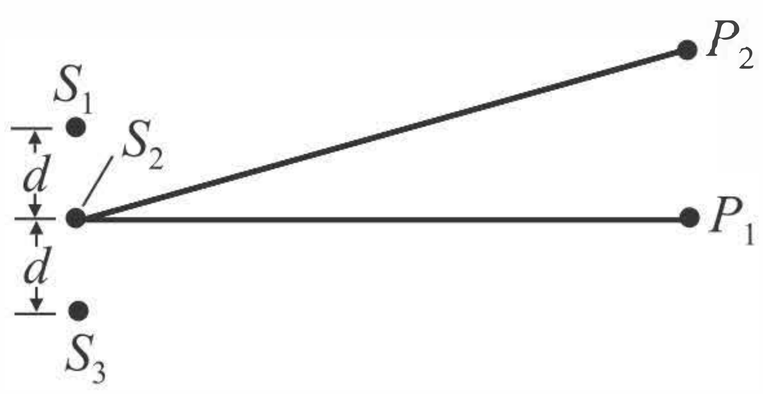
24. Сигнал от радиопередатчика поступает на две антенны, расположенные друг от друга на расстоянии, равном половине длины волны. Необходимо, чтобы излучение под углом 30° было минимальным (см. рисунок). Какой должна быть фаза ϕ меж-

ду сигналами в обеих антеннах, чтобы в этом направлении интенсивности взаимно компенсировались?



25. Покажите, что интерференционная картина от трех щелей дается выражением $I = I_0(1 + 2\cos\phi)^2$, где $\phi = kd\sin\theta$.

26. На рис. 22-22 добавьте третий некогерентный источник (см. рисунок к задаче). Пусть ϕ_1 — случайная разность фаз между S_1 и S_2, ϕ_1 — между S_2 и S_3, а $\phi_0 = kd\sin\theta$.



а) Покажите, что $I_1 = I_0\,[3 + 2\cos\phi_1 + 2\cos\phi_2 + 2\cos(\phi_2 - \phi_1)]$.

б) Найдите выражение для I_2.

в) Покажите, что $\overline{I_1 I_2} = I_0^2[6 + (1 + 2\cos\phi_2)^2]$, т. е. эта величина соответствует интерференционной картине от трех когерентных источников (щелей) плюс постоянный член.

27. В стереофоническом приемнике имеются два независимых сигнала. Как можно воспользоваться этими сигналами, чтобы получить квадрафоническую направленность в четырех динамиках? Мы увидим, что некоторой направленности можно добиться, комбинируя при записи из четырех исходных сигналов с различными фазами два сигнала, а затем воспроизводя записанные два сигнала с различными фазами. Пусть L_f и R_f — исходные сигналы соответственно с левого и правого передних микрофонов, а L_b и R_b — сигналы с левого и правого задних микрофонов. В квадратной матричной системе эти сигналы комбинируются таким образом, что для амплитуды на левой дорожке записи мы имеем

$$L_t = L_f - \frac{j}{\sqrt{2}}L_b + \frac{R_b}{\sqrt{2}};$$

здесь через $\pm j$ обозначены фазовые сдвиги $\pm 90^\circ$ любой записанной монохроматической волны; иными словами, если напряжение сигнала L_b равно $V_0\cos\omega t$, то в выражении для L_t оно запишется в виде $\left(1/\sqrt{2}\right)V_0\cos\left(\omega t - 90^\circ\right)$. Амплитуда на правой дорожке записи равна

$$R_t = R_f + \frac{j}{\sqrt{2}}R_b - \frac{1}{\sqrt{2}}L_b.$$

Затем в стереофоническом усилителе сигнал L_t подается на левый передний динамик, а R_t — на правый передний динамик. Сигнал $L_b' = \left(j/\sqrt{2}\right)L_t - \left(1/\sqrt{2}\right)R_t$ подается на левый задний динамик, а $R_b' = \left(1/\sqrt{2}\right)L_t - \left(j/\sqrt{2}\right)R_t$ — на правый задний динамик.

а) Если имеется единственный источник монохроматической волны $L_f = V_0\cos\omega t$, то каким будет отношение интенсивностей сигналов от четырех динамиков? Чему равны $\left(L_f'\right)^2$, $\left(R_f'\right)^2$, $\left(L_b'\right)^2$ и $\left(R_b'\right)^2$, если $L_f = V_0\cos\omega t$ и $R_f = L_b = R_b = 0$?

Повторите решение задачи, если единственным источником сигнала является

б) микрофон R_f,

в) микрофон L_b,

г) микрофон R_b.

28. При атомном переходе испускается свет с длиной когерентности ΔL_0.

а) Найдите выражение для естественной ширины линии $\Delta\lambda$ через λ и ΔL_0.

б) Свет от источника падает на дифракционную решетку длиной y_0 см. Каким должно быть минимальное число $\mathfrak{N}$ штрихов на одном сантиметре решетки, чтобы наблюдать естественную ширину линий? Ответ запишите через λ, τ и y_0 (τ — время жизни возбужденного состояния).

23

Оптика

В настоящей главе речь пойдет о различных электромагнитных явлениях, которые наиболее характерны для диапазона частот, соответствующих видимому свету. Разумеется, все, что обсуждается в этой главе, применимо к явлениям как в микроволновом, так и в инфракрасном и ультрафиолетовом диапазонах электромагнитных волн. В § 5 мы приведем даже пример, в котором длина волны в 10^{-10} раз отличается от световой.

С более общей точки зрения любое изучение волновых явлений подразумевает изучение оптики — точнее, того, что мы называем физической оптикой в противоположность оптике геометрической. В этом смысле мы были бы вправе назвать физической оптикой гл. 21 и 22, а также те разделы гл. 20, в которых рассмотрены волновые процессы.

§ 1. Голография

Голография была изобретена в 1949 г, но стала развиваться в 60-е гг. XX в., после создания лазера. В своем обычном виде голограмма выглядит наподобие фотографического негатива. Однако негатив этот обладает одним замечательным свойством. Сам по себе он является плоским, но если негатив рассматривать в монохроматическом свете, то мы увидим парящее в пространстве перед или за негативом полное трехмерное изображение реального предмета. По сравнению со стереоскопическим голографическое изображение имеет то преимущество, что, в какую бы сторону мы ни перемещались, разглядывая голограмму, в наше поле зрения будет попадать соответству-

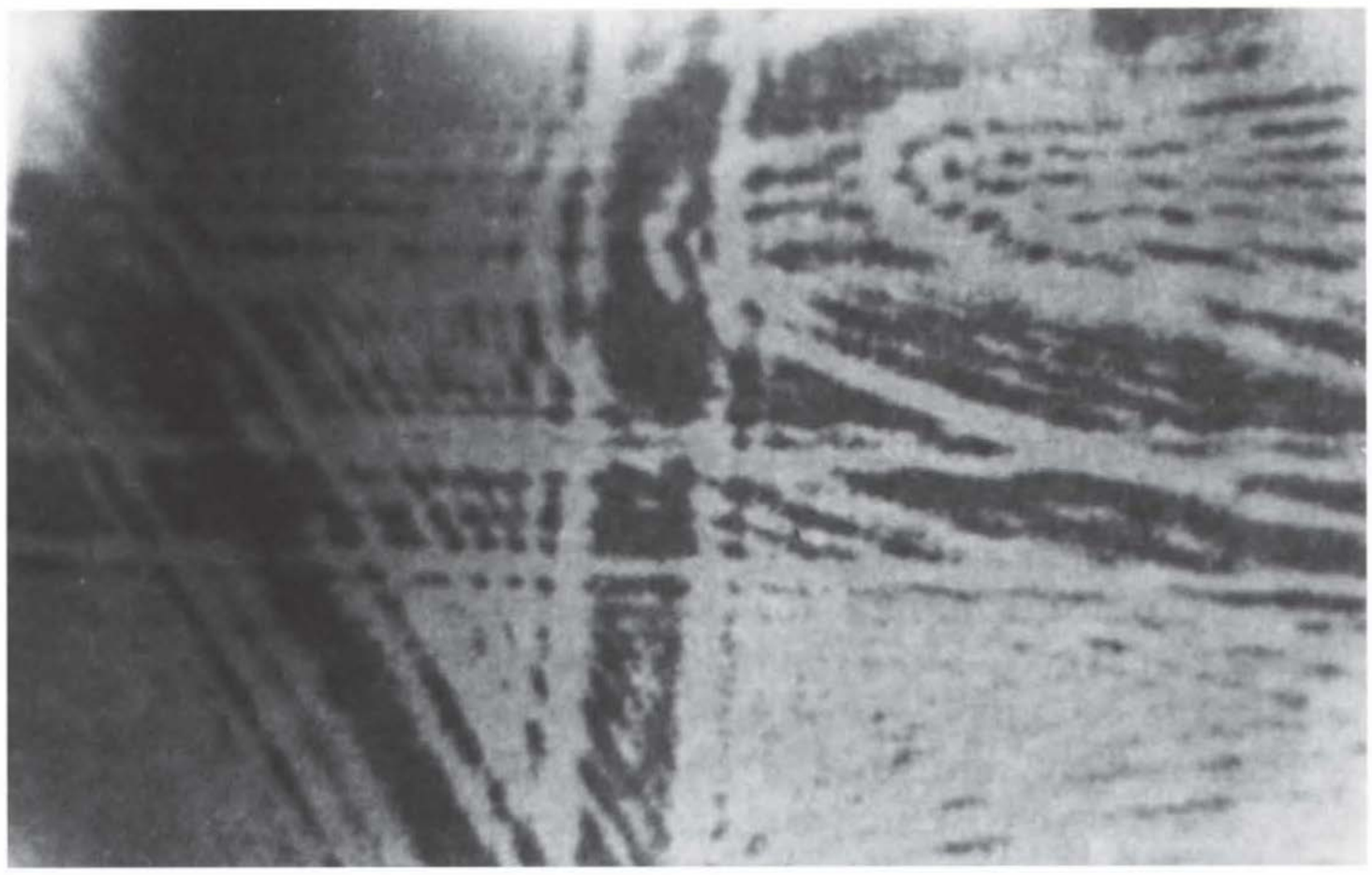


Рис. 23-1. Участок голографического негатива (очень сильное увеличение)

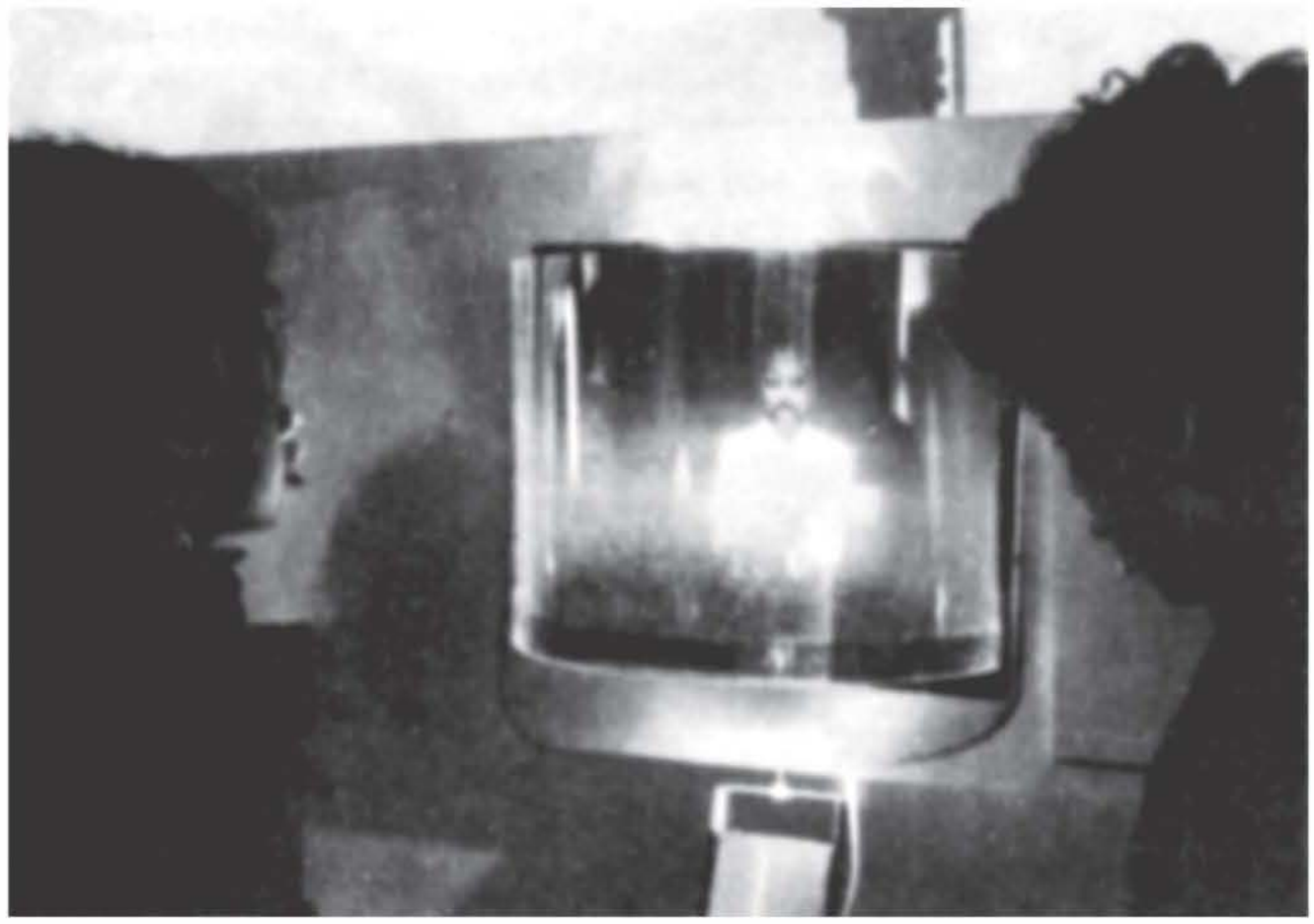


Рис. 23-2. Студенты рассматривают голографический негатив, освещенный монохроматическим светом. Они (а также и фотокамера) видят полное трехмерное изображение, парящее в пространстве. [С любезного разрешения Нью-Йоркского музея голографии.]

ющая часть изображения, как если бы мы разглядывали реальный предмет.

Еще одна замечательная особенность голограммы состоит в том, что изображение на негативе совершенно не похоже на предмет, который виден парящим в пространстве. Негатив скорее похож на множество перекрывающихся друг с другом отпечатков пальцев, как на рис. 23-1. Несмотря на то что ни одна из частей негатива не повторяется где-либо в другом месте, любой из его участков, помещенный в пучок монохроматического света, воспроизведет трехмерное изображение, но уже с худшим оптическим разрешением. Ни при экспозиции негатива, ни при воспроизведении трехмерного изображения не используются линзы.

Принцип голографии представляет собой наглядную иллюстрацию волновой природы света и того, в чем состоит отличие когерентного света от некогерентного. Чтобы получить голографический негатив (голограмму), предмет освещается пучком от когерентного источника света — обычно от лазера. При этом на пленку попадает отраженный предметом свет, а также с помощью зеркала направляется часть первоначального светового пучка, как это показано на рис. 23-3. Если падающий на фотографическую пленку свет когерентен, то на ней возникает определенная интерференционная картина. Если же свет некогерентен, то пленка засвечивается равномерно. Необходимая длина когерентности составляет $2L$, где L — расстояние от предмета до зеркала на рис. 23-3.

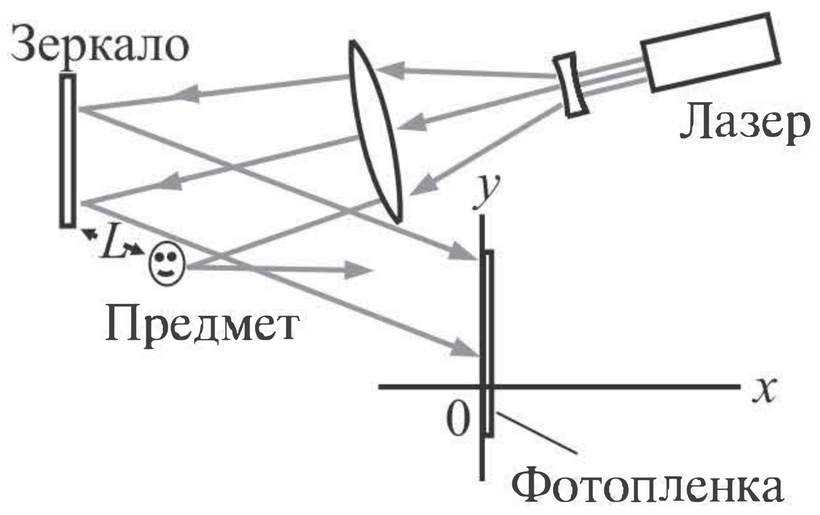


Рис. 23-3. Способ получения голограммы. На фотопленку попадают как отраженный от предмета лазерный свет, так и опорный пучок от зеркала

Если пленку проявить и осветить аналогичным световым пучком, то восстановится и первоначальный волновой фронт в месте расположения пленки в момент ее экспозиции. Вследствие принципа Гюйгенса восстановленный фронт волны

будет перемещаться в направлении глаза наблюдателя точно так же, как это происходило бы с фронтом исходной волны. Но каким образом с помощью изображения на пленке удается восстановить волновой фронт с правильными значениями амплитуд и *фаз* вдоль всей его поверхности, если пленка чувствительна лишь к *интенсивности* света? На этот вопрос можно ответить, используя следующее упрощенное математическое описание принципа голографии.

Предположим, что пленка расположена в плоскости yz. Тогда в этой плоскости амплитуду отраженной предметом световой волны можно записать в виде

$$E = a(y, z)\cos[\omega t + \phi(y, z)]. \qquad (23\text{-}1)$$

Если, проявив пленку, мы сможем воспроизвести это поведение амплитуды, то у глаза возникнет ощущение, что он видит исходный предмет.

Допустим теперь, что, имея такое распределение амплитуды волны на пленке, мы освещаем ее плоской волной от того же лазера. Тогда распределение электрического поля по плоскости пленки примет вид

$$E_{\text{рез.}} = E_0\cos\omega t + a\cos(\omega t + \phi),$$

где $a = a(y, z)$ и $\phi = \phi(y, z)$.

Поскольку интенсивность пропорциональна квадрату амплитуды поля, мы имеем

$$I = I_0\cos^2\omega t + 2E_0 a\cos\omega t\cos(\omega t + \phi) + a^2\cos^2(\omega t + \phi).$$

Усреднение по времени квадрата косинуса дает 1/2. Следовательно, для среднего значения интенсивности мы получим выражение

$$\bar{I} = \frac{I_0}{2} + E_0 a\left[\overline{\cos\phi + \cos(2\omega t + \phi)}\right] + \frac{a^2}{2},$$

в котором применено тригонометрическое тождество $\cos A\cos B = (1/2)\cos(B - A) + (1/2)\cos(B + A)$. Среднее значение $\cos(2\omega t + \phi)$ равно нулю; поэтому

$$\bar{I} = K_1 + E_0 a(y, z)\cos\phi(y, z), \qquad (23\text{-}2)$$

где $K_1 \equiv \frac{I_0}{2} + \frac{a^2}{2}$.

Следует отметить, что в случае с использованием источника света с длиной когерентности, превышающей $2L$, удается сохранить информацию о распределении фазы $\phi(y, z)$ по пленке. Почернение пленки пропорционально $\bar{I}$. Если направить на негатив такой же лазерный пучок интенсивностью $I'\cos^2\omega t$, то сразу же за негативом мы получим

$$I = I'\cos^2\omega t\,[1 - K_2(K_1 + E_0 a\cos\phi)].$$

Соответствующее электрическое поле пропорционально квадратному корню из этого выражения:

$$E = I'\cos\omega t\,[1 - (K_1K_2 + K_2E_0 a\cos\phi)]^{1/2} \approx \approx K_3\cos\omega t + 2K_4 a\cos\omega t\cos\phi,$$

где $K_3 \equiv 1 - \frac{K_1K_2}{2}$ и $K_3 \equiv -\frac{K_2E_0}{4}$.

Воспользуемся снова соотношением $2\cos A\cos B = \cos(A - B) + \cos(A + B)$; тогда

$$E \approx K_3\cos\omega t + K_4 a(y, z)\cos[\omega t + \phi(y, z)] + + K_4 a(y, z)\cos[\omega t - \phi(y, z)] =$$

$$= \begin{pmatrix}\text{Прямой свет}\\ \text{от лазера}\end{pmatrix} + K_4\begin{pmatrix}\text{Свет, отражен-}\\ \text{ный предметом}\end{pmatrix} + + K_4\begin{pmatrix}\text{Свет от предмета}\\ \text{с обращенной фазой}\end{pmatrix}.$$

Вклад первого члена регистрируется глазом как прямой лазерный свет, второго — в виде света, отраженного предметом, как если бы предмет действительно находился в своем первоначальном положении

[см. (23-1)]; третий член проявляется в виде еще одного реального изображения.

Пример 1. Имеется голограмма очень маленького шарика, находящегося на расстоянии $x_0 = 50$ см от фотопленки (рис. 23-4). Амплитуда света, отраженного точечным предметом, записывается в виде $E = E_1 \cos(\omega t - kr)$, а амплитуда опорного пучка — в виде $E_0 \cos(\omega t - kx_0)$. Каково распределение интенсивности на пленке, если $\lambda = 6400$ Å?

Решение: Максимумы интенсивности имеют место, когда разности фаз отраженного и опорного пучков кратны 2π, т. е.

$$kr - kx_0 = 2\pi n.$$

Отсюда находим

$$r - x_0 = n\lambda,$$

$$\sqrt{y_n^2 + x_0^2} = n\lambda + x_0,$$

$$y_n = \sqrt{2n\lambda x_0 + n^2\lambda^2} \approx 0{,}08\sqrt{n} \text{ см}.$$

Распределение интенсивности представляет собой концентрические окружности радиусами 0,08, 1,13, 1,39, 1,60 мм и т. д.

В настоящее время голография представляет собой общий метод записи и обработки информации и применяется очень широко в различных областях науки, техники и медицины. В машиностроении метод голографической интерферометрии позволяет измерять очень малые деформации деталей. В оптическом приборостроении применяются голографические оптические элементы, успешно заменяющие линзы, зеркала, дифракционные решетки и т. п; уже создано и голографическое кино. Заметим, что у истоков голографии стояли венгерский физик Д. Габор, впервые сформулировавший эту идею в 1948 г., а также английский физик Лейт и российский физик Ю. Н. Денисюк.

Со времени выдвижения идеи и ее первых практических реализаций были созданы методы голографического распознавания образов и создания запоминающих устройств. В настоящее время высказываются обоснованные мнения о том, что принципы голографии лежат в основе устройства человеческой памяти и даже Вселенной в целом.

Как видно из содержания § 1, получение голограмм основано лишь на общих понятиях волнового движения, поэтому неудивительно, что голография существует не только в оптическом, но и в других диапазонах электромагнитного спектра — например, радиоголография, позволяющая получить изображение местности сквозь туман и облака. Кроме того, широкое распространение получила акустическая голография (акустоскопия, звуковидение), на которой основаны, в частности, методы геофизики и медицинской диагностики.

На инфразвуковых и низких частотах можно получить информацию о структуре земной коры и дна океана, тогда как в области высоких (ультразвуковых) частот с помощью метода УЗИ удается

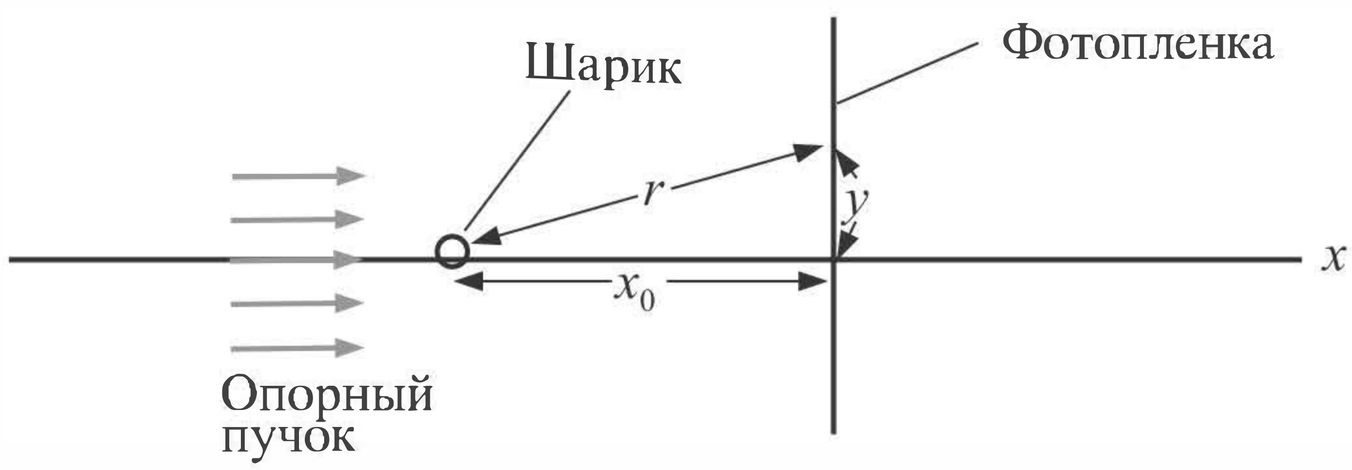


Рис. 23-4. Свет от лазера, отраженный маленьким шариком, и опорный пучок попадают на фотопленку

построить изображение внутренних органов человека.

Широкое распространение получили изобразительные голограммы, которые воспроизводят объемные изображения различных предметов искусства (скульптур, изделий из фарфора и т. п.). Практически каждому человеку знакомы голографические знаки и наклейки на деньгах, документах, пластиковых карточках и т. п.

§ 2. Поляризация света

В любой момент времени световая или электромагнитная волна иного диапазона представляет собой в каждой точке пространства взаимно перпендикулярные поля $\mathbf{E}$ и $\mathfrak{B}$. За направление поляризации волны выбрано направление $\mathbf{E}$. Плоскость поляризации определяется как плоскость, содержащая вектор $\mathbf{E}$ и вектор направления распространения волны. Следовательно, направление поля $\mathfrak{B}$ перпендикулярно плоскости поляризации. Электромагнитное излучение, у которого направление поля $\mathbf{E}$ остается неизменным, называется плоскополяризованным (или линейно-поляризованным) излучением. В пучке света некогерентного источника направление электрического поля хаотически меняется, оставаясь, однако, перпендикулярным направлению распространения света. Такой пучок называется неполяризованным.

Круговая (циркулярная) поляризация

Предположим, что два когерентных пучка света совмещаются с помощью полупрозрачного зеркала, как это показано на рис. 23-5. Пучок 1 поляризован вертикально (вектор $\mathbf{E}_1$ расположен в плоскости xy), а пучок 2 — горизонтально (вектор $\mathbf{E}_2$ расположен в плоскости xz). Будет ли результирующий пучок неполяризованным, если разность фаз ϕ между пучками равна нулю и $E_1 = E_2$? А если $\phi = \pi/2$?

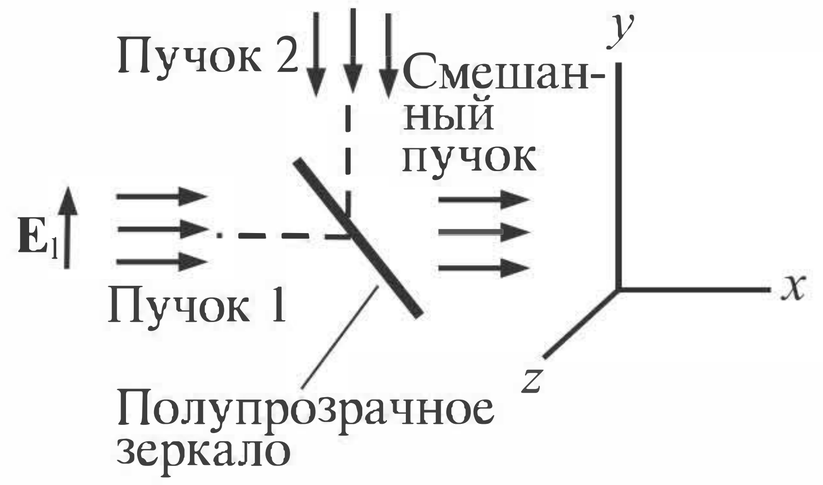


Рис. 23-5. Два пучка поляризованного света смешиваются с помощью полупосеребренного зеркала. Поле $\mathbf{E}_2$ направлено на читателя из плоскости чертежа параллельно оси z

Чтобы ответить на первый вопрос, запишем обе волны как $E_1 = E_{1_0}\cos(\omega t - kx)$ и $E_2 = E_{2_0}\cos(\omega t - kx)$, причем направления полей E_{1_0} и E_{2_0} образуют прямой угол (рис. 23-6). Мы видим, что вектор результирующего электрического поля всегда расположен в плоскости, которая составляет угол α с вертикалью, причем $\operatorname{tg}\alpha = E_{1_0}/E_{2_0}$. Если $E_{1_0} = E_{2_0}$, то $\alpha = 45°$. Следовательно, результирующий пучок света является плоскополяризованным, причем плоскость поляризации составляет угол 45° с вертикалью.

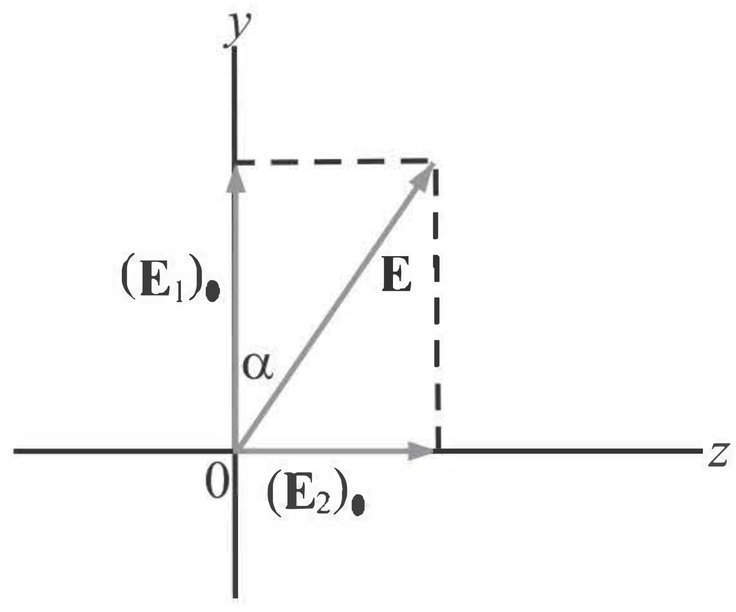


Рис. 23-6. Проекция на плоскость yz полей, показанных на рис. 23-5

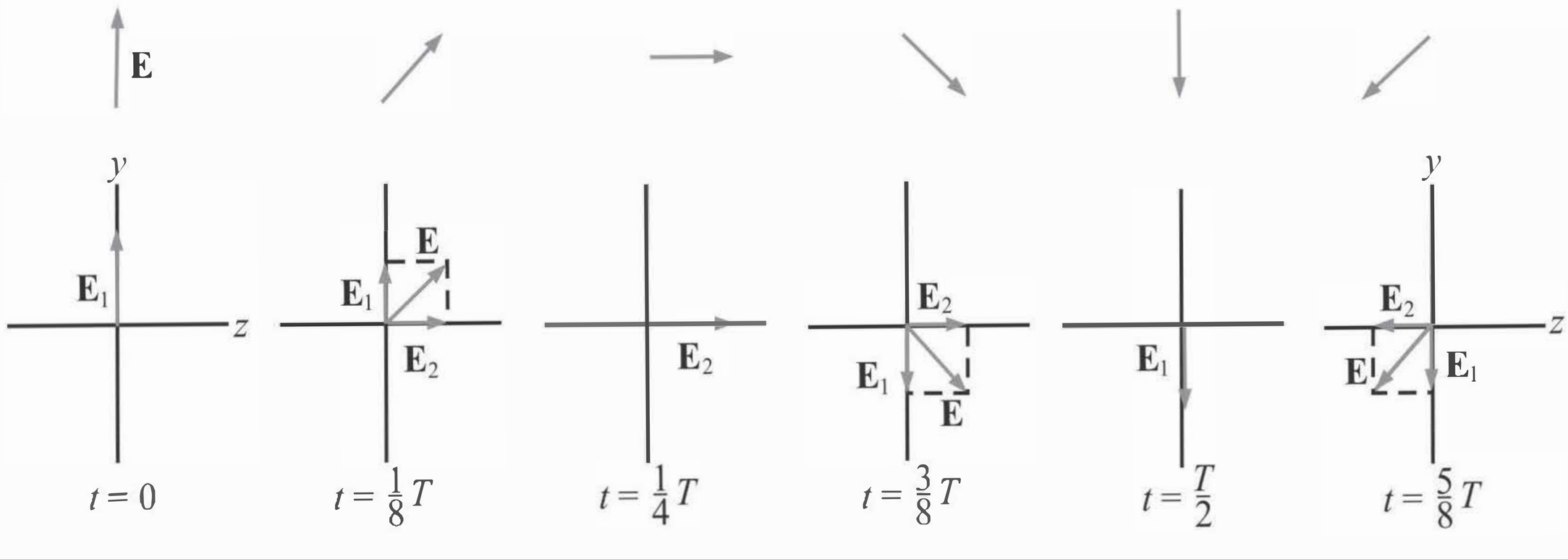


Рис. 23-7. Электрическое поле в плоскости yz в последовательные моменты времени для случая, когда пучок 2 отстает по фазе от пучка 1 на $\pi/2$. Результирующее поле **E** вращается по часовой стрелке. E_y и E_z имеют одинаковые амплитуды

Если два пучка сдвинуты по фазе на 90°, то при $x = 0$ мы имеем

$$E_y = E_{1_0} \cos\omega t \quad \text{и} \quad E_z = E_{2_0} \cos(\omega t - \pi/2).$$

На рис. 23-7 показано расположение векторов $\mathbf{E}_1$ и $\mathbf{E}_2$ в последовательные моменты времени. Как видно из рисунка, результирующий вектор **E** остается постоянным по величине и вращается по часовой стрелке вокруг оси x, совершая один оборот за период колебаний T. Такая поляризация называется левой круговой. Если вектор **E** вращается против часовой стрелки (когда смотрят по направлению распространения пучка), то поляризация называется правой круговой.

В некоторых отношениях свет с круговой поляризацией ведет себя как неполяризованный. Однако если смешать пучки одинаковой интенсивности, один из которых имеет левую, а другой — правую круговую поляризацию, то в результате мы получим плоскополяризованный пучок. Ясно, что это не может произойти, если использовать неполяризованный свет. Круговая поляризация встречается и в природе. Оказалось, что отдельные фотоны имеют круговую поляризацию.

Поляризаторы

Большинство источников испускает некогерентный, неполяризованный свет. Пучок неполяризованного света можно поляризовать, если пропустить его через поляризатор. Экран, изготовленный из тонких параллельных проволочек, является прекрасным поляризатором для микроволн, как это видно из рис. 23-8.

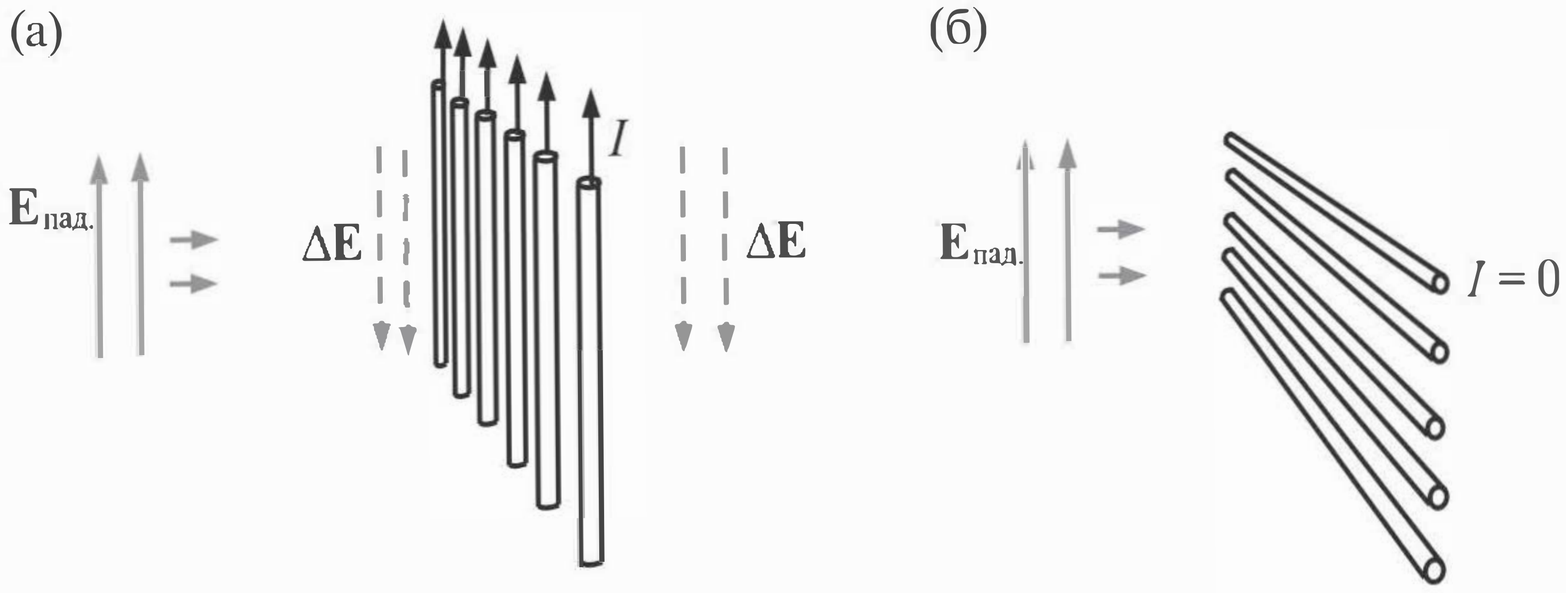


Рис. 23-8. Электромагнитная волна с вертикальной поляризацией, падающая на экран из параллельных проволочек. *а* — экран с вертикальными проволочками отражает волну; *б* — экран с горизонтальными проволочками не отражает волну, и она проходит через экран без ослабления

Если пучок микроволнового излучения поляризован вертикально, и проволочки также натянуты вертикально, как на рис. 23-8, *а*, то в каждой проволочке индуцируется ток I. Как разъяснялось в § 3 гл. 21, индуцированный ток излучает поле $\Delta\mathbf{E} = -\mathbf{E}_{\text{пад.}}$. Поэтому справа от поляризатора результирующее поле $\mathbf{E} = \mathbf{E}_{\text{пад.}} + \Delta\mathbf{E} = 0$. Следовательно, при такой ориентации поляризатор ведет себя аналогично идеальному отражателю, который не пропускает пучок. Если же проволочки перпендикулярны $\mathbf{E}_{\text{пад.}}$, то вертикальным токам «негде» индуцироваться. Поэтому не возникает дополнительного излучения и падающая волна проходит без искажений.

Примем за ось поляризатора на рис. 23-8 перпендикуляр к линии, в направлении которой расположены проволочки. Из рис. 23-9 видно, что если ось поляризатора составляет угол а с направлением $\mathbf{E}_{\text{пад.}}$, то поляризатор будет излучать поле $\Delta\mathbf{E}$ под прямым углом к оси.

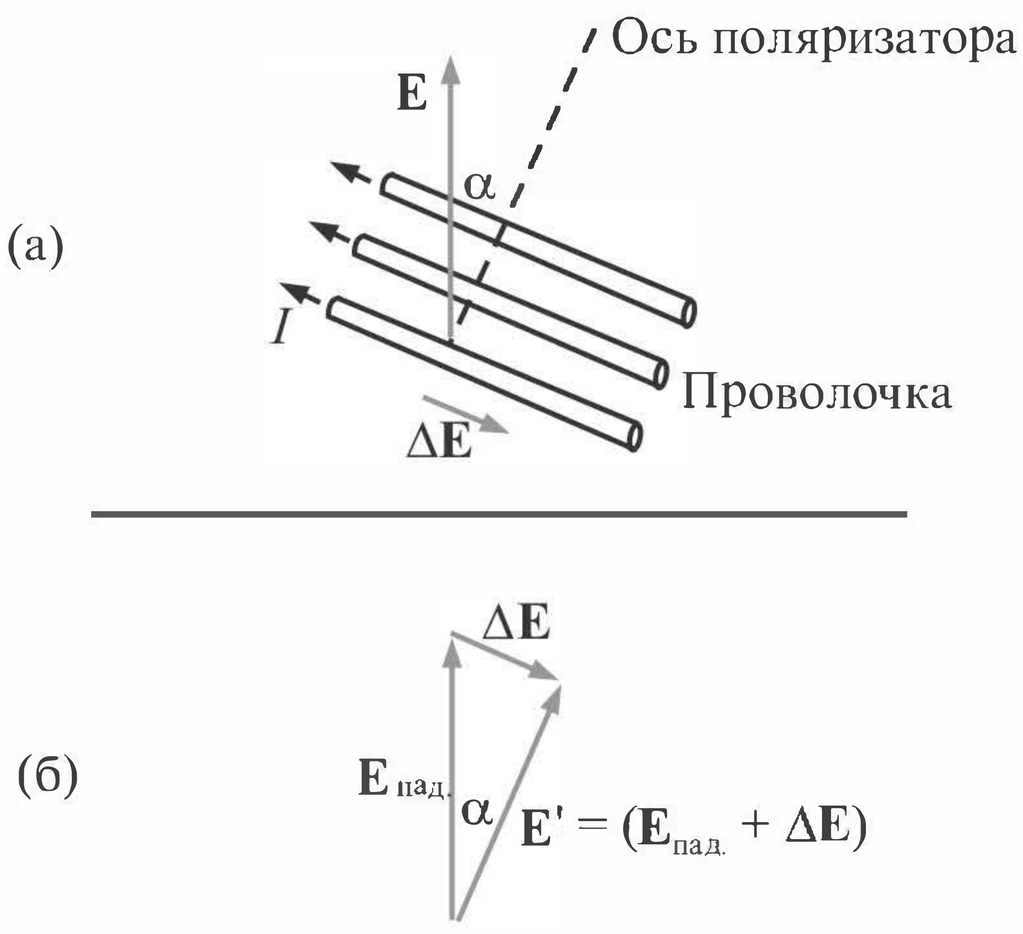


Рис. 23-9. *а* — вид в поперечном сечении пучка (пучок входит в плоскость чертежа); вектор вертикальной поляризации пучка составляет угол α с осью поляризатора из прямолинейных проволочек, которые излучают поле $\Delta\mathbf{E}$; *б* — результирующее поле $\mathbf{E}'$ за проволочками

Поскольку $\Delta\mathbf{E}$ компенсирует составляющую $\mathbf{E}_{\text{пад.}}$ в этом направлении, то результирующее поле $\mathbf{E}'$ будет представлять собой составляющую поля $\mathbf{E}_{\text{пад.}}$, параллельную оси, и, следовательно,

$$E' = E_{\text{пад.}} \cos\alpha,$$

или

$$I' = I_{\text{пад.}} \cos^2\alpha. \qquad (23\text{-}3)$$

В случае с идеальным поляризатором интенсивность пропорциональна $\cos^2\alpha$, где α — угол между плоскостью поляризации света и осью поляризатора. Поляризатор пропускает максимум интенсивности в том случае, когда его ось направлена вдоль плоскости поляризации. Любое излучение после прохождения поляризатора оказывается плоскополяризованным в направлении оси поляризатора.

На этом же принципе основано действие светового поляроидного фильтра. Поляроид изготавливают из специально ориентированной пластмассы, которая состоит главным образом из длинных параллельных цепочек молекул, вдоль которых может течь электрический ток. Следовательно, поляроид представляет собой микроскопическую разновидность поляризатора с параллельными проволочками. Ось поляроидного фильтра, разумеется, перпендикулярна молекулярным цепочкам. В случае с неполяризованным светом составляющие поля $\mathbf{E}$, параллельные молекулярным цепочкам, поглощаются. После прохождения поляроидного фильтра в пучке остаются лишь те составляющие поля $\mathbf{E}$, которые параллельны оси поляроида. Если за первым поляроидом поместить второй, причем таким образом, чтобы их оси были взаимно перпендикулярны, как показано на рис. 23-10, *а*, то пучок полностью поглотится и из второго поляроида, по существу, свет не выйдет.

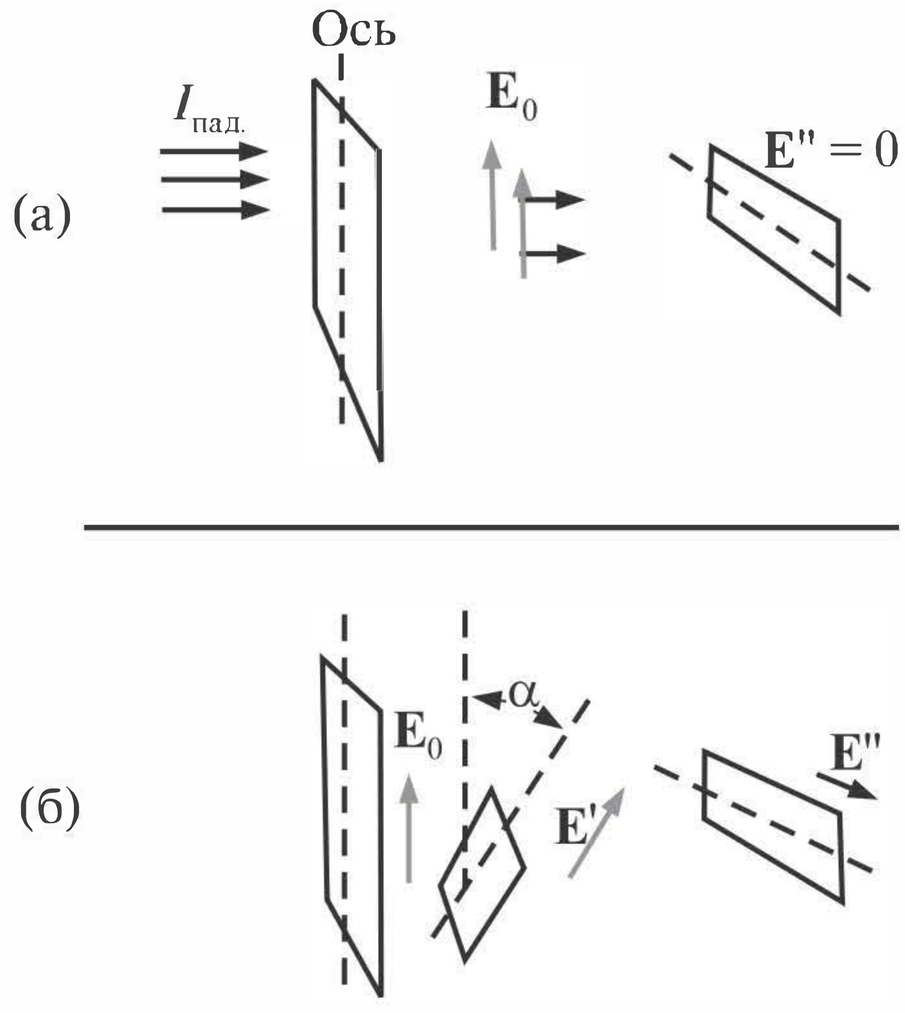


Рис. 23-10. *а* — два взаимно перпендикулярных поляроида полностью гасят свет; *б* — свет появляется, когда между ними помещают третий поляроид

Если теперь между двумя скрещенными поляроидами поместить третий, как показано на рис. 23-10, *б*, то свет снова появится там, где его прежде не было! Каким образом дополнительный поляроид «создает» свет? Чтобы объяснить это, предположим, что на средний поляроид падает свет, интенсивность которого равна $I_0 = I_{пад.}/2$. За вторым поляроидом свет будет поляризован под углом а и иметь интенсивность $I' = I_0\cos^2\alpha$. Ось последнего поляроида составляет угол $\pi/2 - \alpha$ с плоскостью поляризации света. Следовательно,

$$I'' = I'\cos^2\left(\frac{\pi}{2} - \alpha\right) =$$

$$= \left(I_0\cos^2\alpha\right)\cos^2\left(\frac{\pi}{2} - \alpha\right) = \frac{I_0}{4}\sin^2 2\alpha.$$

Это выражение имеет максимальное значение при $\alpha = 45°$, причем в случае с идеальными поляроидами окончательная интенсивность составляет 1/8 от $I_{пад.}$.

* **Пример 2.** Поляризованный монохроматический свет падает на двойную щель (рис. 23-11). Свет поляризован в направлении вектора **j** + **k** (т. е. в направлении оси, проходящей посередине между осями *y* и *z*). Если в щелях нет поляроидов, то мы наблюдаем на экране стандартную интерференционную картину от двух щелей. Затем щель 1 закрывают поляроидом с горизонтальной осью, а щель 2 — поляроидом с вертикальной осью. Пусть I_0 — интенсивность света на экране в случае, когда открыта либо щель 1, либо щель 2 (каждая со своим поляроидом). В точках экрана *a*, *b*, *c* и *d* разности хода таковы, что величина $k(r_1 - r_2)$ равна соответственно 0, $\pi/2$, π и 2π. Каковы интенсивность и поляризация света в этих точках?

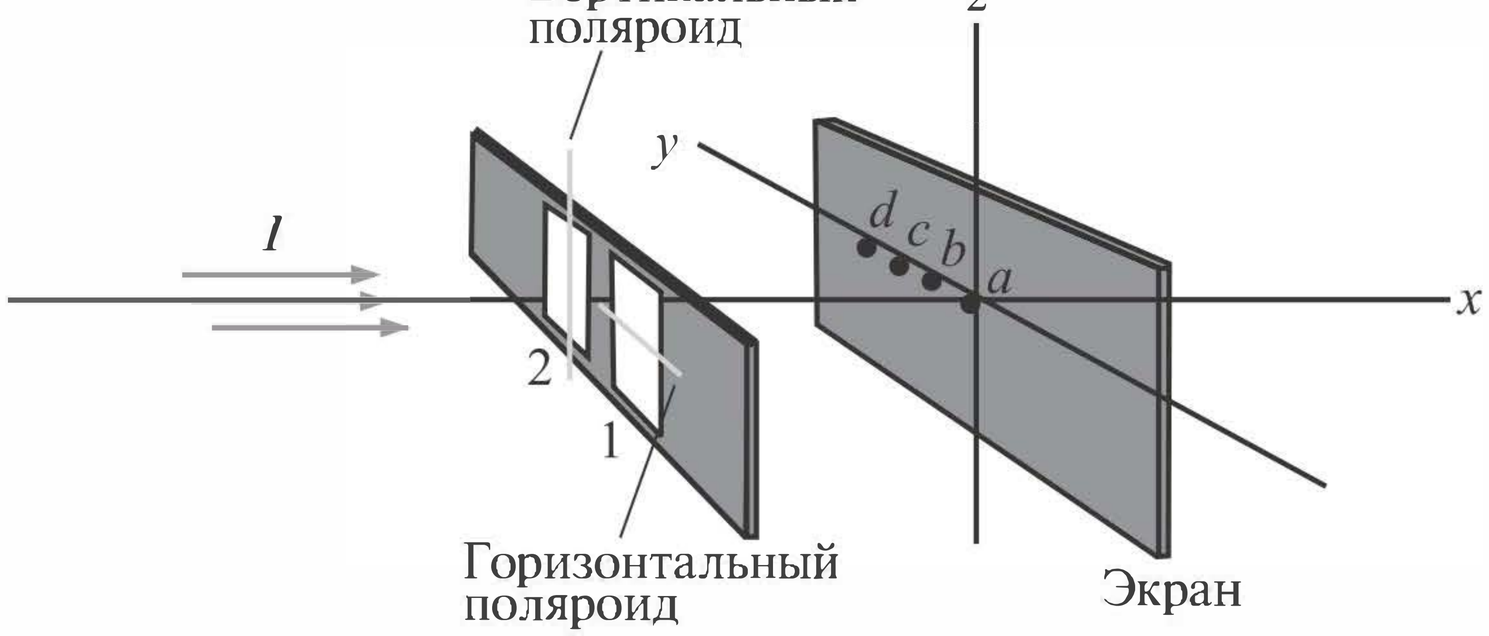


Рис. 23-11. Устройство для получения интерференции от двух щелей. Щели 1 и 2 закрываются соответственно горизонтальным и вертикальным поляроидами

Решение: Электрическое поле от щели 1 записывается в виде $\mathbf{j}E_0 \cos(\omega t - kr_1)$, а поле от щели 2 — в виде $\mathbf{k}E_0 \cos(\omega t - kr_2)$; следовательно, в точке *a* мы имеем (будем считать, что $r_2 = r_1$)

$$\mathbf{E} = \mathbf{j}E_0 \cos(\omega t - kr_1) + \mathbf{k}E_0 \cos(\omega t - kr_2).$$

Таким образом, $E = \sqrt{2}E_0 \cos(\omega t - kr_1)$. Это поле направлено под углом 45° к вертикали. Направление поляризации задается вектором $\mathbf{j} + \mathbf{k}$. Будем считать, что оно соответствует углу +45°. Интенсивность $E^2 = E_0^2 \cos^2(\omega t - kr)$, что в два раза превышает интенсивность от одной щели.

В точке *d* оба косинуса оказываются в фазе, и мы получаем то же, что и в точке *a*.

В точке *c* оба косинуса сдвинуты на угол 180°, и

$$\mathbf{E} = \mathbf{j}E_0 \cos\omega t - \mathbf{k}E_0 \cos\omega t.$$

Таким образом, $E = \sqrt{2}E_0 \cos\omega t$ и поляризация направлена вдоль вектора $\mathbf{j} - \mathbf{k}$. Припишем этому направлению угол −45°. (Мы определили момент времени $t = 0$ как время, когда амплитуда от щели 1 максимальна.) В данном случае интенсивность снова вдвое больше интенсивности от одной щели, однако направление поляризации перпендикулярно поляризации в точках *a* и *d*.

В точке *b* обе волны сдвинуты по фазе на 90°, и мы вновь имеем ту же ситуацию, что и на рис. 23-7, а именно волну с круговой поляризацией, у которой $\overline{E^2} = E_0^2$. Поскольку усреднение по времени дает в случае одной щели $\overline{E^2} = E_0^2/2$, средняя интенсивность также вдвое превышает интенсивность от одной щели.

Мы показали в данном примере, что интенсивность распределена по экрану равномерно, но поляризация из плоской под углом +45° становится круговой, затем снова плоской под углом −45°, опять круговой, потом плоской под углом +45° и т. д. по мере перемещения по экрану.

---

* **Пример 3.** а) Предположим, что в примере 2 непосредственно перед экраном располагается еще один поляроид с горизонтально направленной осью. Каким тогда будет распределение интенсивности по экрану?

б) Пусть в примере 2 непосредственно перед экраном помещен поляроид, ось которого направлена под углом +45° (в направлении оси, идущей посередине между осями *y* и *z*). Каким будет теперь распределение интенсивности?

Решение: а) В произвольной точке экрана на расстоянии *r* от щели 1 мы имеем $\mathbf{E} = \mathbf{j}E_0 \times \cos(\omega t - kr)$ и $E^2 = E_0^2 \cos^2(\omega t - kr)$. Таково распределение интенсивности от одной щели 1 (в отсутствие поляроида). Свет от щели 2 поглощается поляроидом и не может попасть на экран. Если же на экране появляется свет, то мы знаем, что он пришел от щели 1.

б) В точках *a* и *d* экрана излучение поляризовано в плоскости, параллельной оси поляроида, а в точке *c* — в плоскости, перпендикулярной оси поляроида. Интенсивность равна $2I_0$ в точках *a* и *d*, нулю в точке *c* и I_0 в точке *b*. Это классическая интерференционная картина от двух щелей, при которой каждая из щелей сама по себе обеспечивает интенсивность $I_0/2$.

Из примеров 2 и 3 следует, что, зная ориентацию поляроида перед экраном, можно сказать, через какую из щелей прошел свет. В зависимости от того, горизонтальна или вертикальна ось поляроида, можно утверждать, что свет прошел через щель 1 или щель 2. Однако если ось поляроида ориентирована под углом +45° или −45°, то информация о поляризации света в щели утрачивается и уже нельзя выяснить, через какую из щелей прошел свет. В случае с ±45° мы имеем классическую интерференционную картину от двух щелей, однако при горизонтальной и вертикальной ориентациях интерференционная картина исчезает.

Поляризация при отражении

Почти каждому доводилось наблюдать, что поляроидные стекла уменьшают интенсивность солнечного света, отраженного поверхностью воды, песка, стекла,

дороги и т. п. Неполяризованный солнечный свет после отражения приобретает поляризацию. При этом, если ось поляроида перпендикулярна плоскости поляризации отраженного света, отражение гаснет. В приложении 1 показано, что если угол падения θ_1 светового пучка на отражающую поверхность связан с показателем преломления n соотношением $\mathrm{tg}\theta_1 = n$, то отраженный свет будет иметь 100%-ную поляризацию, причем вектор электрического поля будет перпендикулярен плоскости, содержащей падающий и отраженный лучи.

Пример 4. Показатель преломления воды равен 1,33. Под каким углом полностью исчезает отражение от поверхности воды, если использовать поляроид? Как направлена при этом ось поляроида — горизонтально или вертикально?

Решение: В данном случае $\mathrm{tg}\theta_1 = 1{,}33$, т. е. $\theta_1 = 53°$. Поскольку свет будет поляризован горизонтально, ось поляроида должна быть направлена вертикально. В этом случае, если солнце стоит над горизонтом под углом 37°, поляроид погасит его отражение от гладкой поверхности воды.

---

§ 3. Дифракция на круглом отверстии

Рассмотрим теперь вместо щели шириной a круглое отверстие диаметром a. Согласно принципу Гюйгенса, чтобы получить результирующую амплитуду, нужно просуммировать волны, испущенные всеми участками этой круговой апертуры. Вклад каждой из волн в приближении Фраунгофера составляет $\cos kr\,dA$, где r — радиус-вектор, показанный на рис. 23-12, и dA — элемент площади внутри апертуры. Амплитуда излучения под углом θ дается интегралом

$$\int_{\text{По апертуре}} \cos\left[kr(\theta)\right] dA.$$

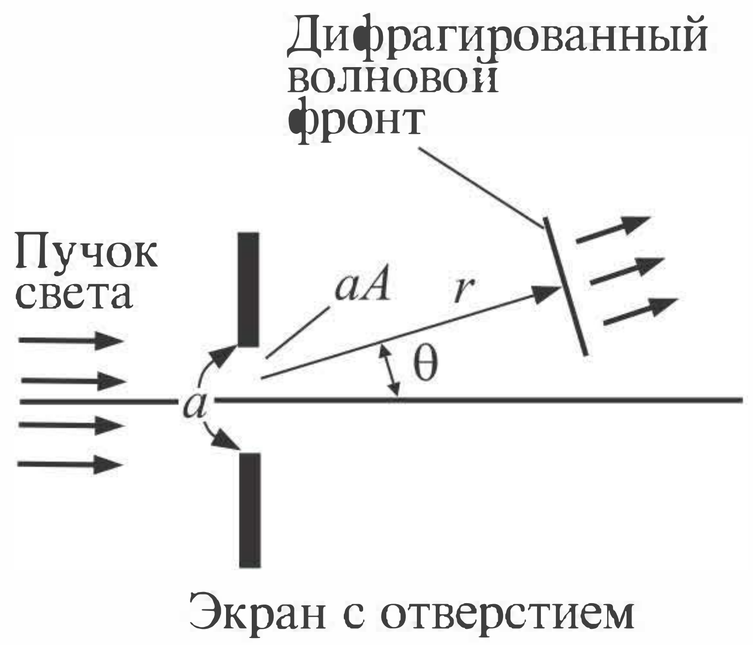


Рис. 23-12. Дифракция на круглом отверстии диаметром a. Каждый элемент площади dA вносит вклад в амплитуду волны, испускаемую под углом θ

Это крайне сложный интеграл. Его вычисление дает функцию, хорошо известную физикам, инженерам и математикам и называемую функцией Бесселя первого рода $J_1(x)$. Эта функция, график которой приведен на рис. 23-13, записывается в виде

$$J_1(x) \approx \sqrt{\frac{2}{\pi x}} \sin\left(x - \frac{\pi}{4}\right) \text{ для } x > 5.$$

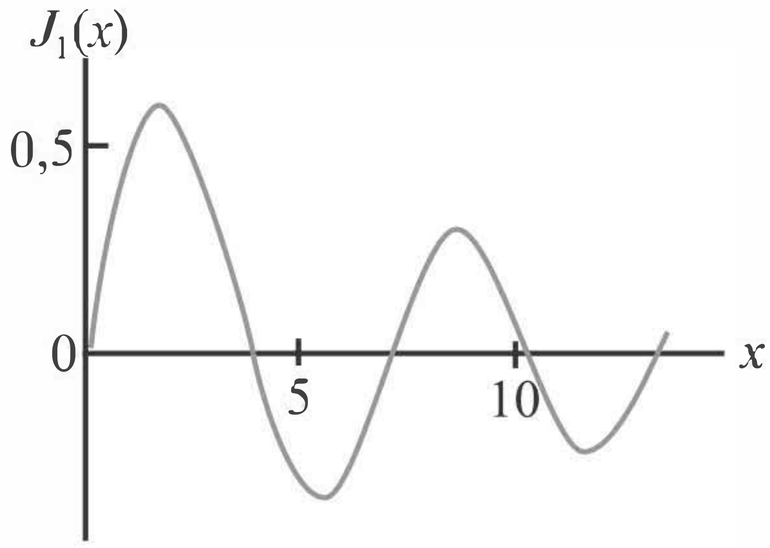


Рис. 23-13. График функции Бесселя первого порядка

Интенсивность излучения в направлении под углом θ мы получим, если проинтегрируем эту функцию по апертуре и результат возведем в квадрат:

$$I = I_0\left[\frac{J_1(\Phi/2)}{\Phi/4}\right]^2, \text{ где } \Phi = ka\sin\theta. \quad (23\text{-}4)$$

Следует заметить, что это распределение аналогично тому, которое мы получили для щели [см. формулу (22-13)]:

$$I = I_0 \left[\frac{\sin(\Phi/2)}{\Phi/4} \right]^2 .$$

В случае с одной щелью первый минимум имеет место под углом $\theta_{мин.}$, удовлетворяющим условию $\sin \theta_{мин.} = \lambda/a$. В случае с круговой апертурой первый минимум соответствует $J_1(x) = 0$. Как видно из рис. 23-13, первый нуль этой функции Бесселя расположен при $x = 3{,}84$; таким образом,

$$\Phi_{мин.}/2 = 3{,}84$$

или

$$(1/2)\, ka \sin\theta_{мин.} = 3{,}84,$$

$$\sin\theta_{мин.} = 1{,}221/a. \qquad (23\text{-}5)$$

Вычисленное по формуле (23-5) значение отличается от случая с одной щелью всего на 22 %. На рис. 23-14, *а* приведена фотография дифракционной картины на круглом отверстии, а на рис. 23-14, *б* показано соответствующее распределение интенсивности, вычисленное по формуле (23-4). Картина дифракции представляет собой светлый центральный диск, окруженный слабыми кольцами.

Используя результаты настоящего раздела, вычислим в следующем параграфе разрешающую способность телескопа и микроскопа. Затем применим полученные результаты к супермикроскопам физики элементарных частиц — ускорителям частиц высоких энергий — и продемонстрируем использование этих приборов для определения размеров и формы ядерных частиц.

а)

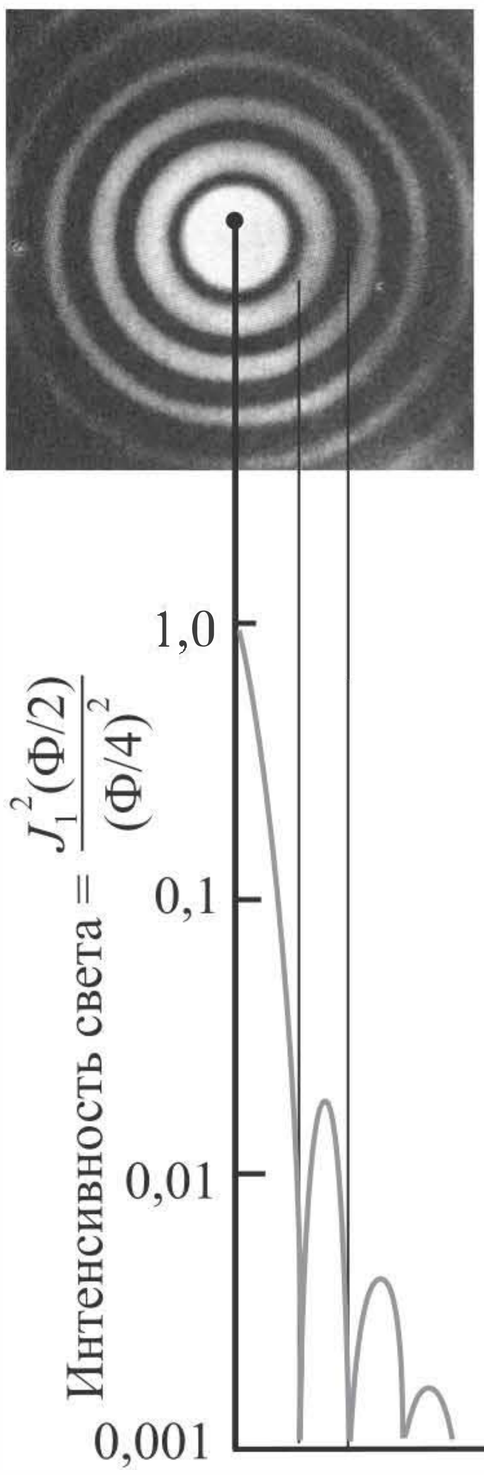


Рис. 23-14. *а* — фотография дифракционной картины, создаваемой монохроматическим светом на круглом отверстии; *б* — распределение интенсивности, описываемое формулой (23-4)

§ 4. Оптические приборы и их разрешающая способность

В § 4 гл. 22 мы уже исследовали разрешающую способность спектрометра. Она характеризует способность прибора воспроизводить две спектральные линии с близкими длинами волн все еще как две раздельные линии. Аналогичный смысл имеет разрешающая способность телескопа или микроскопа: насколько близко расположенные друг к другу два точечных источника света можно еще различать как два отдельных источника. Из-за вносимой спектрометром приборной ширины линии (в случае с дифракционной решеткой эта ширина равна $\Delta\lambda = \lambda/N$) две спектральные линии, расположенные слишком тесно, могут слиться в одну линию. Аналогично в телеско-

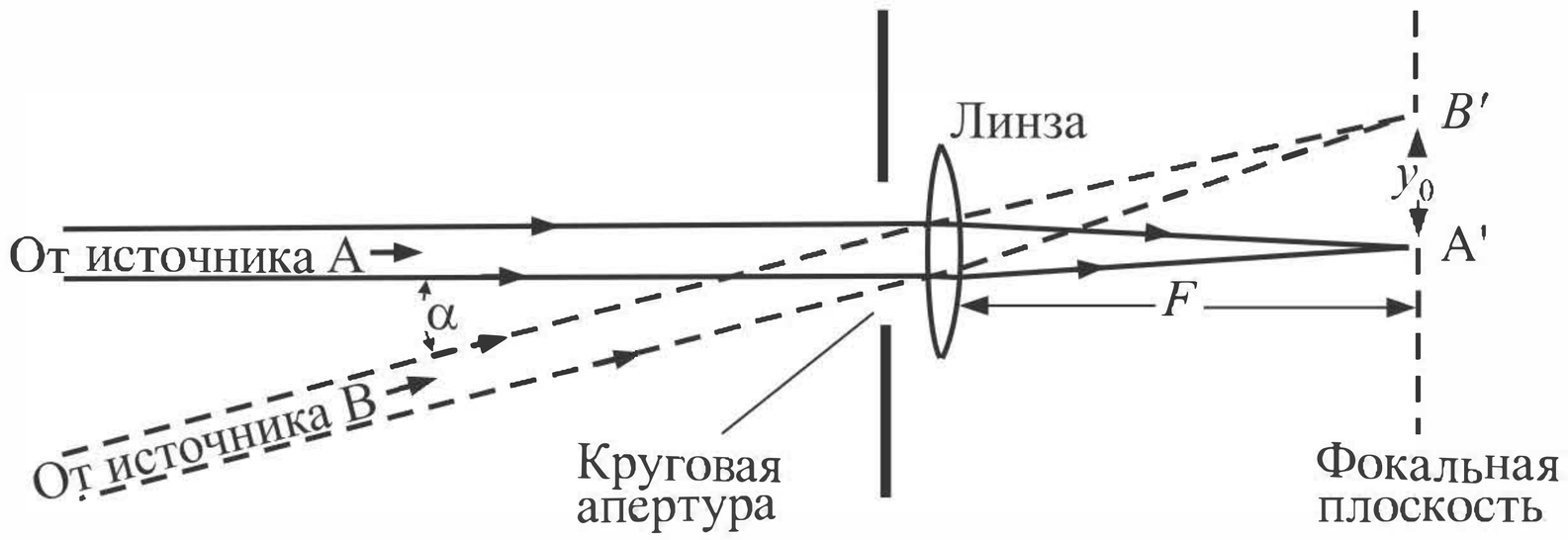


Рис. 23-15. Изображения двух точечных источников A и B в телескопе. Эти изображения (A′ и B′) расположены в фокальной плоскости

пе или микроскопе два чересчур близких точечных источника сольются в один, поскольку оптический прибор делает точечный источник похожим на крошечный диск или световое пятно с круговыми дифракционными кольцами. Действительно, мы имеем здесь дело с дифракционной картиной, которая аналогична изображенной на рис. 23-14.

Телескоп

Для того чтобы понять, почему с помощью телескопа нельзя получить точечное изображение точечного источника, объясним сначала хотя бы кратко, как он работает. Рассмотрим схематически изображенный на рис. 23-15 телескоп, в который рассматривают находящиеся на очень большом расстоянии от него два точечных источника A и B. В телескоп входит объектив — линза (или вогнутое зеркало) с фокусным расстоянием F. Линза (или вогнутое зеркало) фокусирует параллельные лучи в точку, расположенную на расстоянии F от линзы. Это расстояние называется фокусным. Если угол между лучами A и B равен α (см. рис. 23-15), то расстояние между их изображениями равно $y_0 = F\alpha$. В астрономических телескопах эти изображения непосредственно регистрируются на пленке, расположенной в фокальной плоскости. Изображения можно также наблюдать в окуляр. Это тоже линза с фокусным расстоянием f, расположенная на расстоянии f справа от фокальной плоскости. В этом случае кажущийся угол между A и B будет

$$\alpha' = \frac{y_0}{f} = \frac{F\alpha}{f}.$$

Увеличение M определяется как

$$M \equiv \frac{\alpha'}{\alpha} = \frac{F}{f} \text{ (\textit{увеличение телескопа})}. \quad (23\text{-}6)$$

Хотя подходящим выбором фокусных расстояний увеличение можно сделать сколь угодно большим, в действительности оно ограничивается разрешающей способностью. Разрешающая способность определяется как минимальный угол $\alpha_{мин.}$ между лучами от двух точечных источников, при котором их изображения удается различить как два световых пятна.

Значение радиуса R_d центрального светового пятна от отдельного точечного источника можно определить с помощью рис. 23-16. В соответствии с выражением (23-5) первый минимум в дифракционной картине от круговой апертуры дается соотношением

$$\sin\theta_{мин.} \approx \theta_{мин.} \approx 1{,}22\lambda/a.$$

Радиус соответствующего диска

$$R_d = F\theta_{мин.} = F(1{,}22\lambda/a).$$

Если изображения двух точечных источников отстоят друг от друга не меньше

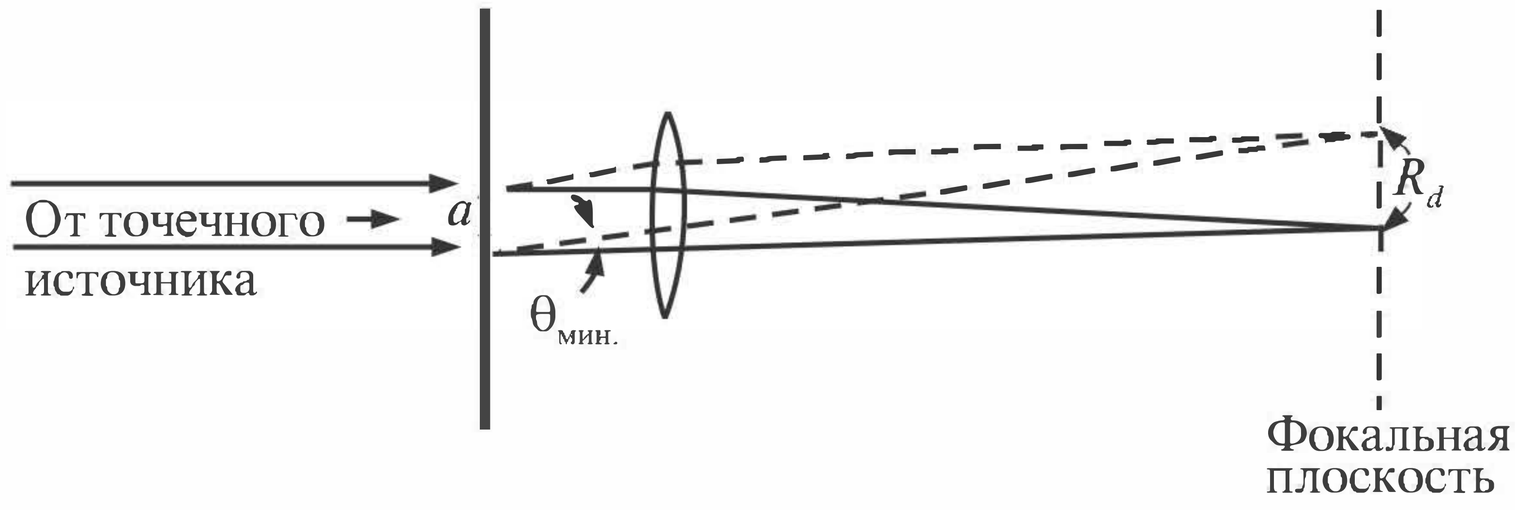


Рис. 23-16. Круговая апертура перед линзой создает в фокальной плоскости дифракционную картину

чем на R_d, их можно различить как два диска. Таким образом, величина y_0 (или $F\alpha$) должна быть больше, чем R_d, т. е.

$$F\alpha > 1{,}22F\lambda/a,\ \alpha > 1{,}22\lambda/a.$$

Разрешающая способность дается выражением

$$\alpha_{\text{мин.}} = 1{,}22\lambda/a. \qquad (23\text{-}7)$$

Пример 5. Угол между двумя звездами составляет 10^{-6} рад.

а) Можно ли разрешить эти звезды с помощью 100-дюймового оптического телескопа (т. е. с диаметром апертуры 2,54 м)?

б) Предположим, что эти звезды излучают также радиосигналы на частоте 400 МГц. Можно ли их разрешить с помощью радиотелескопа Корнеллского университета (Аресибо, Пуэрто-Рико), имеющего 1000-футовую апертуру (1 фут = 30,5 см)?

Решение: а) Круговая апертура 100-дюймового телескопа обеспечивает угол дифракции $\theta_{\text{мин.}} = 1{,}22\lambda/a$, где $a = 2{,}54$ м. Для света с длиной волны $\lambda = 5\cdot10^{-7}$ м

$$\theta_{\text{мин.}} = 1{,}22\frac{5\cdot10^{-7}}{2{,}54} = 2{,}4\cdot10^{-7}\ \text{рад}.$$

Угловое расстояние между звездами в четыре раза превышает это значение, так что телескоп должен разрешить свет от этих звезд (при условии что в атмосфере отсутствует турбулентность).

б) В случае с радиотелескопом $a = 305$ м. Поскольку

$$\lambda = \frac{c}{f} = \frac{3{,}00\cdot10^{8}\ \text{м/с}}{4\cdot10^{8}\ \text{с}^{-1}} = 0{,}75\ \text{м},$$

мы имеем

$$\theta_{\text{мин.}} = 1{,}22\frac{0{,}75}{305} = 3\cdot10^{-3}\ \text{рад}.$$

Таким образом, чтобы разделить обе звезды, нам потребовалось бы в 3000 раз более высокое разрешение. (На практике это достигается использованием сигналов от радиотелескопов, отстоящих друг от друга на расстояние свыше 1200 км.)

Микроскоп

В оптическом микроскопе с большим увеличением в качестве объектива используется линза с коротким фокусным расстоянием F. Предмет располагается от линзы на расстоянии, примерно равном F (рис. 23-17). Плоскость изображения находится от линзы на значительно большем расстоянии D. Поскольку лучи, проходящие через центр линзы, ею не отклоняются, увеличение $M = A'B'/AB$ (рис. 23-17, *б*). Таким образом, $M = D/F$. Как и в случае с телескопом, в плоскости изображения можно поместить фотопластинку либо наблюдать изображение через окуляр.

Свет от источника A, выходящий из круглой апертуры под углом $\theta_{\text{мин.}} \approx 1{,}22\lambda/a$, фокусируется в плоскости изображения и образует первый минимум интенсивности. Радиус светового диска равен величине этого угла, умноженной на расстояние D:

$$R_d \approx \theta_{\text{мин.}} D \approx 1{,}22\frac{\lambda}{a}D.$$

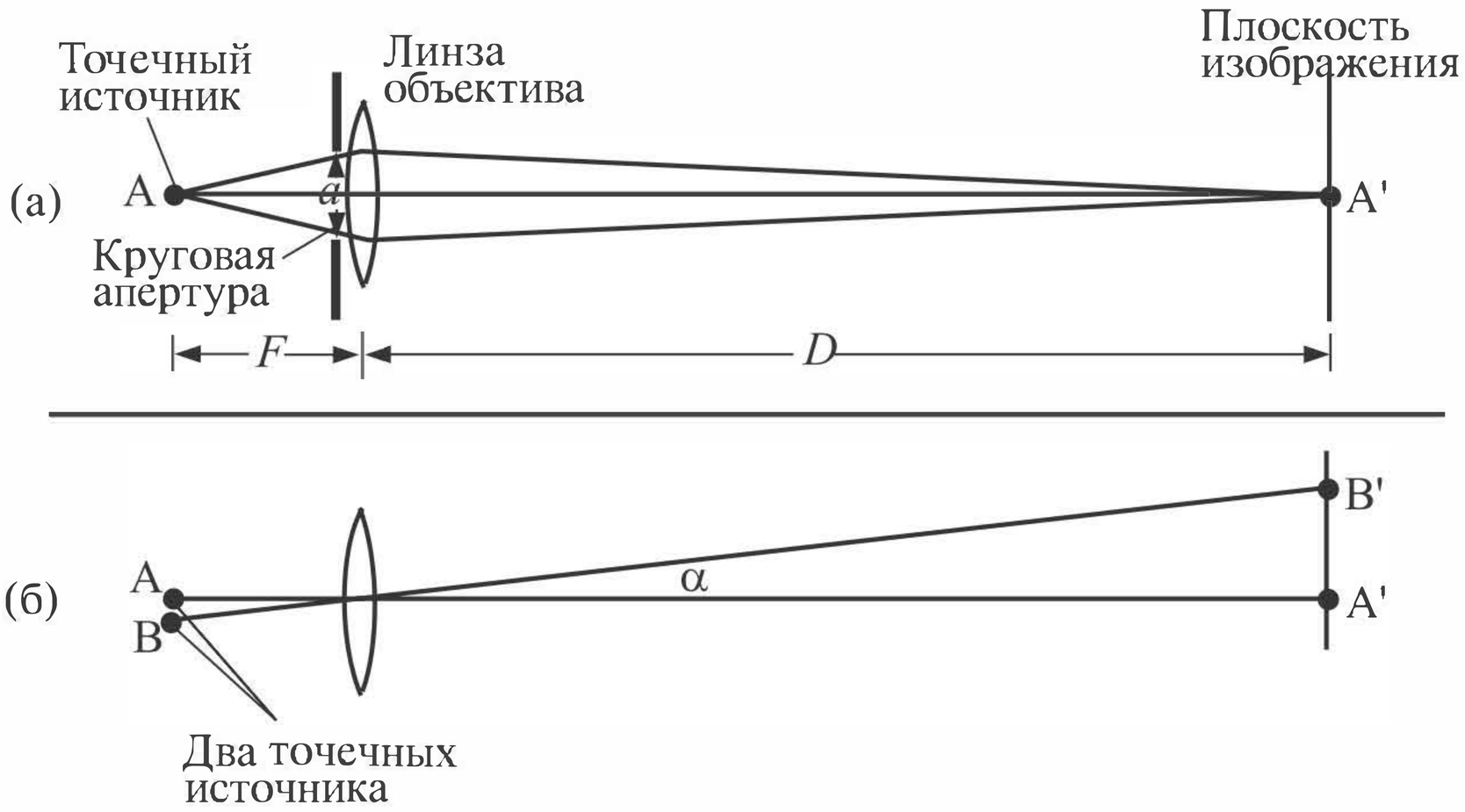


Рис. 23-17. В микроскопе короткофокусная линза фокусирует изображение в плоскости, расположенной на расстоянии D от линзы

Если α — угол, под которым из объектива микроскопа видны два точечных источника света, то расстояние между их изображениями равно $y = D\alpha$ и условие, определяющее разрешающую способность, т. е. минимальный угол α, под которым эти два источника еще видны раздельно, запишется в виде

$$y_{\text{мин.}} = R_d,$$

$$D\alpha_{\text{мин.}} = 1{,}22\frac{\lambda}{a}D,$$

$$\alpha_{\text{мин.}} = 1{,}22\frac{\lambda}{a}.$$

Последнее выражение в точности совпадает с формулой (23-7) для телескопа.

В случае с микроскопом больший интерес представляет оценка минимального расстояния, на котором удается разрешить два точечных источника. Обозначим его через $d_{\text{мин.}}$. Поскольку $d_{\text{мин.}} = \alpha_{\text{мин.}}F$, мы имеем

$$d_{\text{мин.}} = 1{,}22F\lambda/a.$$

Отношение a/F называется числовой апертурой. Иммерсионные объективы высокого качества имеют, как правило, $a/F \approx 1{,}2$. В этом случае

$$d_{\text{мин.}} \approx \lambda.$$

Мы приходим к выводу, что с помощью микроскопа нельзя разрешить малые предметы, если они расположены друг от друга на расстоянии меньшем, чем длина световой волны. Использование в микроскопе голубого света позволяет несколько повысить его разрешающую способность. Еще лучшего разрешения можно добиться, используя ультрафиолетовое или рентгеновское излучение. В следующем разделе мы покажем, как на ускорителях частиц высоких энергий удается получить предельное разрешение. К настоящему времени удалось достичь наилучшего разрешения порядка 1/10 радиуса протона, или 10^{-16} м.

Разрешающая способность лазерного пучка

На стр. 78 мы показали, что если параллельный световой пучок фокусируется на экране линзой с фокусным расстоянием F и апертурой a, то образуется дифракционный диск радиусом $R_d = 1{,}22F\lambda/a$. Поскольку практически максимальный размер апертуры достигает значения $a \approx F$, мы имеем $R_d \approx \lambda$. Это означает, что даже при наличии идеально параллельного светового пучка свет можно сфокусировать лишь до пятна размером порядка

длины световой волны. Поскольку лазер дает параллельный световой пучок, всю энергию излучения лазера можно сконцентрировать в области, имеющей площадь примерно $(6\cdot10^{-7}\text{ м})^2$, или $4\cdot10^{-13}\text{ м}^2$. Тем самым достигается исключительно высокая плотность энергии, которая способна обеспечить получение чрезвычайно высоких температур. В этом состоит важное преимущество лазеров по сравнению с другими источниками света.

До изобретения лазеров все источники света представляли собой протяженные источники типа дуги или нити накаливания диаметром 1 мм или около этого. Если линза располагается вблизи такого источника, то, чтобы собрать значительную долю излучаемой им энергии, она должна давать изображение, соизмеримое с размером источника. Таким образом, до тех пор пока не появились лазеры, не существовало способов получения плотностей энергий, которые превышали бы плотность энергии источника света.

Пример 6. Испускаемый лазером свет представляет собой параллельный пучок кругового сечения диаметром 5 см. Длина волны света равна 6328 Å. Если этот пучок направить на теневую сторону поверхности Луны, то каким будет размер светового пятна на этой поверхности? Расстояние до Луны $D = 3{,}84\cdot10^8$ м.

Решение:

$$R_d = 1{,}22\frac{\lambda D}{a} = 1{,}22\frac{(6328\cdot10^{10}\text{ м})(3{,}84\cdot10^{8}\text{ м})}{0{,}05\text{ м}} = 5{,}9\text{ км}.$$

Вскоре после изобретения лазеров такое пятно лазерного светового пучка наблюдалось на Луне с помощью больших телескопов.

---

§ 5. Дифракционное рассеяние

Соотношение $\sin\theta_{\text{мин.}} = 1{,}22\lambda/a$ можно использовать для определения неизвестных размеров крошечного отверстия (узкой диафрагмы). Если за отверстием поместить экран, то мы увидим на экране дифракционную картину (см. рис. 23-12). Пусть R_d — расстояние от центра картины до первого минимума, а D — расстояние от отверстия до экрана. Тогда

$$\theta_{\text{мин.}} = \frac{R_d}{D}1{,}22\frac{\lambda}{a}.$$

Отсюда находим выражение для a:

$$a = \frac{1{,}22\lambda D}{R_d}.$$

Таким образом, простое измерение R_d позволяет оценить поперечные размеры узкой диафрагмы.

Аналогичный метод можно также использовать для измерения размеров крошечной сферы или непрозрачного диска. Нетрудно увидеть, что дифракционная картина от непрозрачного диска будет совпадать с картиной от круглого отверстия. В случае с круглым отверстием мы прибегали к принципу Гюйгенса и провели вычисления в предположении, что отверстие само по себе является протяженным источником света. В случае с непрозрачным диском благодаря индуцированным в нем токам мы уже имеем готовый протяженный источник. При этом дифракционная картина будет совпадать с изображенной на рис. 23-14; в центре также будет яркое пятно, соответствующее пучку, падающему под углом 0°.

Пример 7. Пучок света от лазера с длиной волны 6328 Å освещает стеклянную пластину (рис. 23-18), покрытую порошком ликоподия (споры сферической формы). На экране в 5 м от лазера виден красный диск с первым тем-

ным кольцом, расположенным на расстоянии 19 см от центра диска. Каков диаметр споры ликоподия?

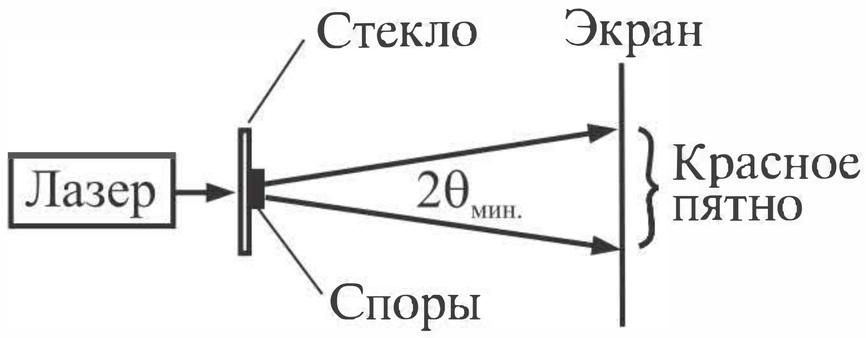


Рис. 23-18. Споры ликоподия на стеклянной пластинке создают на экране дифракционную картину

Решение:

$$\theta_{мин.} = \frac{19\text{ см}}{500\text{ см}} = 38\cdot10^{-3}\text{ рад} = 1{,}22\frac{\lambda}{a},$$

$$a = \frac{1{,}22\lambda}{38\cdot10^{-3}} = \frac{1{,}22\cdot6328\cdot10^{-10}\text{ м}}{38\cdot10^{-3}} =$$

$$= 2{,}03\cdot10^{-5}\text{ м}.$$

Каким образом можно измерить поперечник сферы, если он значительно меньше длины световой волны? Можно попытаться использовать более коротковолновое излучение, например рентгеновское или гамма-излучение. Вместо такого излучения можно использовать и любой другой вид плоских волн при условии, что $\lambda < a$, а диск (или сфера) сильно поглощает их. Любая плоская волна, из которой вследствие поглощения удален круговой участок волнового фронта, должна воспроизвести дифракционную картину с распределением интенсивности, описываемым функцией $[J_1(\Phi/2)/(\Phi/4)]^2$.

Теперь нам следует обратиться к одному из самых поразительных представлений в физике. Установлено, что любую движущуюся частицу можно представить в виде плоской волны с длиной $\lambda = h/p$, где $h = 6{,}63\cdot10^{-34}$ Дж·с, а p — импульс частицы. Эта «безумная» идея была выдвинута в 1924 г., а в 1927 г. она была впервые подтверждена экспериментально. Волновая природа вещества является центральной темой остальных глав книги. Пока же давайте примем ее на веру (в следующих главах содержатся соответствующие доказательства). В этом случае пучок протонов с энергией 19 ГэВ ($19\cdot10^9$ эВ) можно представить в виде плоской волны с длиной волны $\lambda = 0{,}65\cdot10^{-16}$ м. Эта величина значительно меньше поперечника (~10^{-14} м) атомных ядер.

Таким образом, если соотношение $\lambda = h/p$ справедливо, то, «освещая» свинцовую фольгу пучком протонов с энергией 19 ГэВ, мы должны наблюдать дифракционную картину.

Такой эксперимент нетрудно выполнить с помощью пучка протонов от ускорителя частиц высоких энергий. На рис. 23-19 приведены результаты такого эксперимента, которые можно было бы рассматривать как еще одно доказательство волновой природы вещества. С другой стороны, принимая справедливость представлений о волновой природе вещества, их можно использовать для определения размеров и толщины поверхностного слоя ядра свинца.

Независимо от того, из каких частиц состоит пучок — фотонов (т. е. частиц света) или протонов, — решение волнового уравнения оказывается тем же самым, что и в классической задаче о дифракции световой волны на непрозрачном диске радиусом R. Это означает, что формула (23-5) применима и к протонам высоких энергий: необходимо лишь заменить λ на h/p, что дает

$$\sin\theta_{мин.} = 1{,}22\frac{h}{pa}.$$

Поскольку $a = 2R$, мы имеем

$$\sin\theta_{мин.} = 0{,}61\frac{h}{pR}. \qquad (23\text{-}8)$$

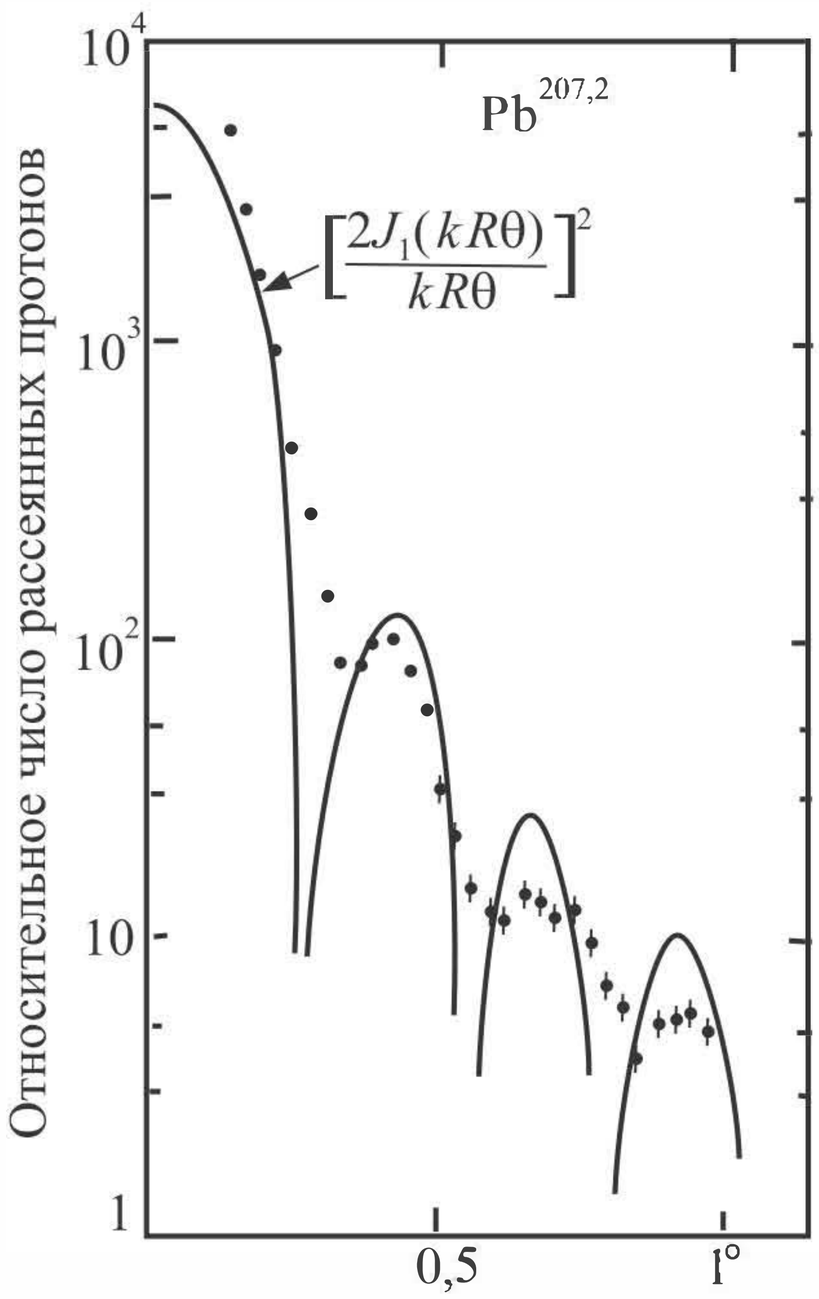


Рис. 23-19. Результаты изучения рассеяния протонов с энергией 19 ГэВ на ядрах ^{207,2}Pb. Показана зависимость числа рассеянных протонов от угла рассеяния. Сплошная кривая описывает классическую дифракционную картину с распределением интенсивности $[2J_1(kR\theta)/kR\theta]^2$ для плоских световых волн с такой же длиной волны, рассеиваемых на диске радиусом $R = 7{,}5\cdot10^{-15}$ м

Картина дифракции протонов наблюдается при измерении числа упруго рассеянных протонов в зависимости от угла θ. На рис. 23-19 точками отмечены результаты измерений, выполненных для 30 различных значений углов в интервале от 0,11 до 1,03°. Сплошная кривая — стандартное распределение интенсивности, характерное для дифракции света на непрозрачном диске в случае, когда длина волны света совпадает с длиной волны протонов. Отклонения экспериментальных точек от плавной кривой не связаны с какими-либо нарушениями представлений о волновой природе вещества. Дело в том, что ядро свинца не во всем схоже с непрозрачным (черным) диском, имеющим резкие края. Черный диск с частично прозрачным краем приводит к более гладкому распределению, которое согласуется со всеми экспериментальными точками. В действительности приведенные на рис. 23-19 экспериментальные данные можно использовать для определения как радиуса ядра свинца, так и толщины поверхностного слоя. Радиус R находим из формулы (23-8):

$$R = 0{,}61\frac{h}{p\sin\theta_{\text{мин.}}}. \qquad (23\text{-}9)$$

Из рис. 23-19 следует, что $\theta_{\text{мин.}}$ соответствует 0,3°; подстановка этого значения в (23-9) дает для радиуса ядра свинца $R = 7{,}5\cdot10^{-15}$ м.

Дифракционная картина возникает даже при рассеянии протонов на протонах. Однако в этом случае она еще сильнее отличается от случая с черным диском с резким краем, поскольку у протона прозрачность возрастает, начиная от самого центра. Эффективный радиус протона можно получить, измеряя ширину центрального максимума. «Оптический» радиус, определяемый из дифракции протонов на протонах, равен $1{,}1\cdot10^{-15}$ м. А что можно сказать относительно внутренней структуры протона? Нет ли у протона, подобно атому, жесткой «непрозрачной» сердцевины? Наложение черного диска или сердцевины на полупрозрачный диск больших размеров должно давать сложную дифракционную картину: центральный максимум будет определяться наложением двух максимумов различной ширины. До сих пор такой эффект обнаружить не удалось. Верхний предел размеров предполагаемой сердцевины можно получить с помощью формулы (23-9), подставляя в нее наибольшее из достигнутых до настоящего времени значений величины $p\ \sin\theta$.

Рассеяние протонов на протонах изучалось в Брукхейвенской национальной лаборатории (США) при максимальной энергии частиц ускорителя. Содержащая водород мишень облучалась пучком протонов с энергией 32 ГэВ. Рассеянный протон и протон отдачи вылетают под углом 15° к направлению пучка, и каждый из них имеет половину энергии частицы в пучке. В этом случае $pc \sin\theta = 4$ ГэВ или $p \sin\theta = 2{,}13 \cdot 10^{-18}$ кг·м/с. Подставляя это значение в (23-9), получаем $R = 0{,}19 \cdot 10^{-15}$ м. На самом деле сердцевина, имеющая в два раза меньшие размеры, уже давала бы заметный центральный максимум. Следовательно, мы приходим к выводу, что размер сердцевины протона не может быть больше $0{,}1 \cdot 10^{-15}$ м.

Таким образом, ускоритель Брукхейвенской лаборатории и другие ускорители частиц высоких энергий вполне можно рассматривать как супермикроскопы, позволяющие измерять размеры вплоть до долей ферми (ферми — единица длины, равная 10^{-15} м). Разрешающая способность этих приборов в миллиард раз выше, чем у лучшего оптического микроскопа. Для того чтобы исследовать структуру протона с разрешающей способностью лучше $0{,}1 \cdot 10^{-15}$ м, необходимо использовать ускорители на еще более высокие энергии*.

§ 6. Геометрическая оптика

Длина световой волны настолько мала по сравнению с размерами большинства оптических приборов, что интерференционные эффекты обычно не проявляются. Волновой цуг, или последовательность световых волн, распространяется вдоль прямой линии, перпендикулярной волновому фронту. Любая такая прямая, идущая вдоль направления распространения световых волн, называется световым лучом. Мы покажем, что световые лучи подчиняются законам отражения (от зеркал) и преломления (в прозрачных средах, например в линзах). Используя эти два закона и обычные правила евклидовой геометрии, можно построить математическое описание или геометрическую картину распространения световых лучей. Такое математическое описание световых лучей представляет собой самостоятельный раздел и носит название геометрической оптики. Поскольку в данном случае новыми физическими принципами являются лишь законы отражения и преломления света, рассмотрим их подробно, остальные же вопросы обсудим кратко.

Закон отражения

Согласно закону отражения угол, под которым световой луч падает на отражающую поверхность, равен углу отражения. Угол падения определяется как угол между падающим пучком и перпендикуляром к отражающей поверхности. Следовательно, угол между волновым фронтом и отражающей поверхностью также представляет собой угол падения $\theta_{\text{пад.}}$.

Как видно из рис. 23-20, *а*, падающее электрическое поле индуцирует поверхностный ток $\mathcal{J}(y, t)$, который меняется с y по синусоидальному закону. В случае с проводником поверхностный ток оказывается таким, что поле внутри проводника всегда равно нулю. Это означает, что излучаемое током вправо поле в точности должно компенсировать $E_{\text{пад.}}$. Следовательно, как видно из рис. 23-20, *б*,

* По-видимому, наивысшая разрешающая способность получена в экспериментах на встречных пучках протонов, где происходит рассеяние частиц, движущихся навстречу друг другу. При этом достигаются энергии, эквивалентные примерно 2000 ГэВ, т. е. в 70 раз выше тех, которые использует в своем примере автор. — *Прим. перев.*

$E'_R = -E_{\text{пад.}}$ и $\theta'_R = \theta_{\text{пад.}}$. Условия симметрии требуют, чтобы $E'_L = E'_R$ и $\theta'_L = \theta'_R$. (Физическая картина не изменяется, если на рис. 23-20, *б* поменять местами правое и левое.) Таким образом, мы доказали, что в случае с проводящей поверхностью амплитуда отраженной волны сохраняется прежней, но ее составляющая вдоль поверхности меняет свое направление на противоположное.

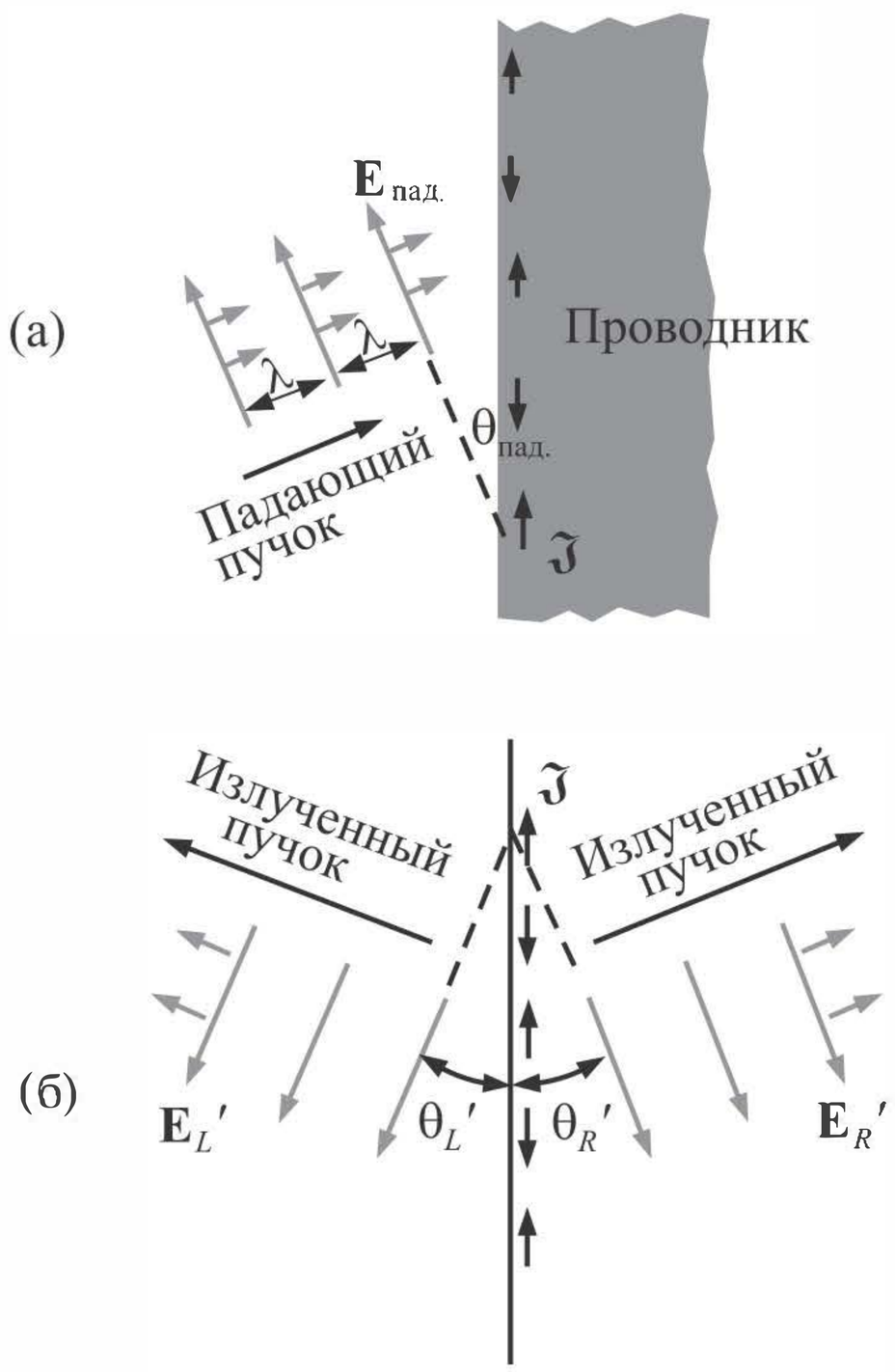
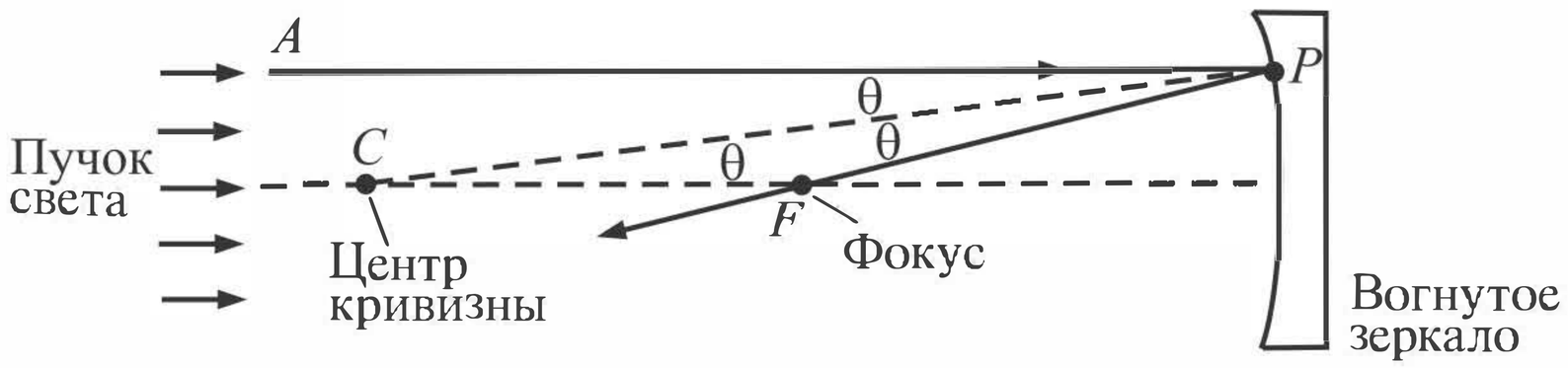


Рис. 23-20. *а* — три последовательных положения волнового фронта падающей волны с углом падения $\theta_{\text{пад.}}$; в проводнике индуцируется поверхностный ток $\mathcal{J}(y)$, максимумы которого отвечают пересечению волнового фронта с поверхностью проводника; *б* — поле излучения, создаваемое лишь током $\mathcal{J}(y)$

В качестве применения закона отражения покажем, каким образом вогнутое зеркало выполняет функции фокусирующей линзы. Хорошо известно, что простая линза или увеличительное стекло фокусирует параллельный пучок световых лучей в точку, называемую фокусом. Подобным же образом ведет себя и вогнутое зеркало. Например, вогнутым зеркалом для бритья можно прожечь дыру в листе бумаги, направив зеркало на солнце и поместив бумагу в фокусе. Как видно из рис. 23-21, *а*, фокусное расстояние вогнутого зеркала равно половине его радиуса кривизны. На этом рисунке из пучка параллельных лучей выбран произвольный луч AP. Пусть θ — угол между этим лучом и нормалью к зеркалу CP. Заметим, что CP — радиус кривизны зеркала. В соответствии с законом отражения угол APC должен быть равен углу FPC; тогда треугольник FPC должен быть равнобедренным. Следовательно, стороны CF и FP равны друг другу и длина любой из них равна приблизительно половине расстояния между точками C и P, или радиуса кривизны.

На рис. 23-22 показано, как можно графически построить изображение предмета (в данном случае стрелки), если известно положение фокуса F. Проведем из конца стрелки луч 1 параллельно оси зеркала, а луч 2 — в центр зеркала. Изображение конца стрелки располагается в точке пересечения этих лучей. Все прочие лучи, исходящие из конца стрелки, также пройдут через эту же самую точку изображения или вблизи нее. Вогнутое зеркало можно использовать для получения изображения удаленного предмета. Изображение можно увеличить с помощью короткофокусной линзы или окуляра. Такое устройство представляет собой телескоп, и его увеличение равно отношению фокусных расстояний (см. рис. 23-6). В астрономических телескопах фотопластинки помещают непосредственно в фокусе большого вогнутого зеркала. Этот широко распространенный тип телескопов был изобретен Ньютоном, и называется он отражательным телескопом.



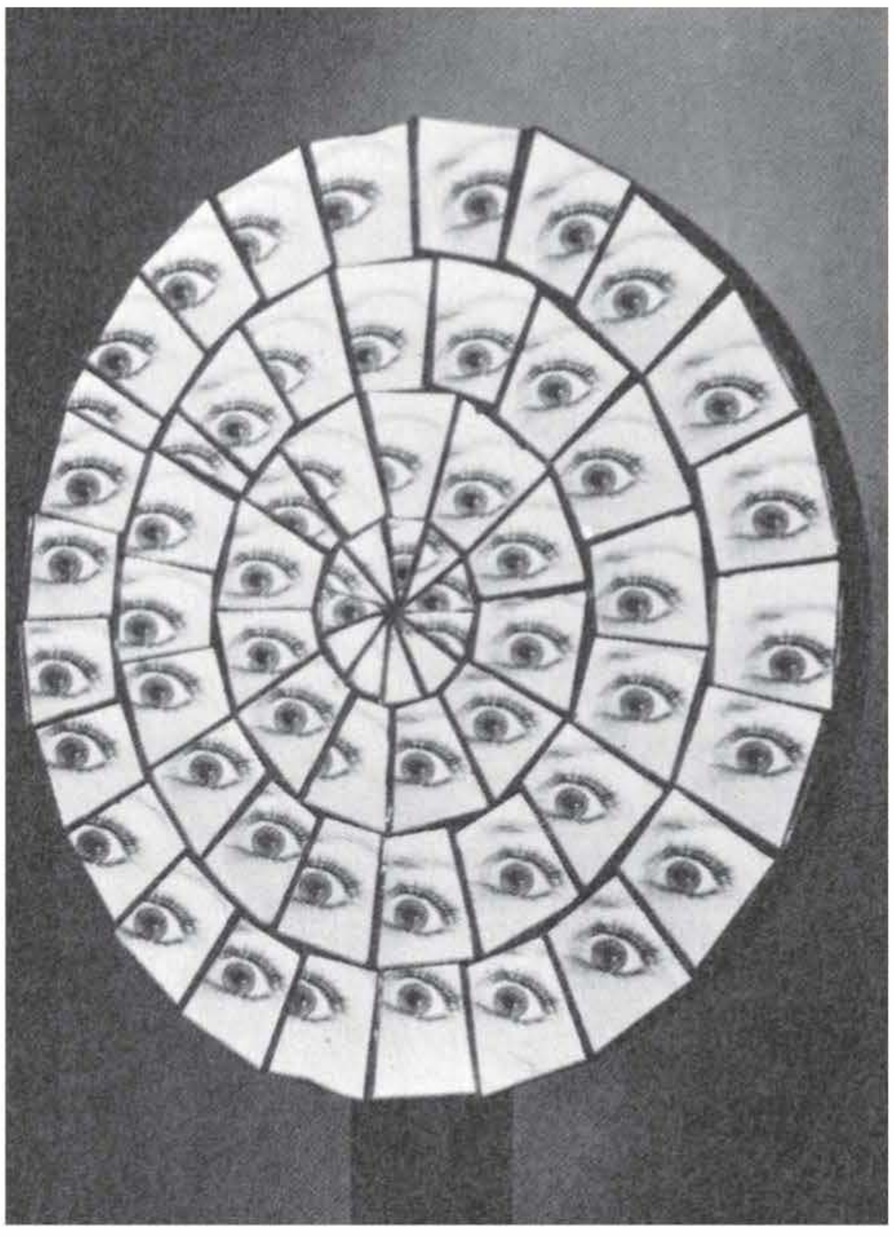


Рис. 23-21. *а* — параллельные лучи света, падающие на вогнутое зеркало радиусом *CP*; *б* — человеческий глаз, расположенный в центре кривизны вогнутого зеркала, составленного из плоских зеркал, увидит себя во всех зеркалах. Лучи от предмета возвращаются обратно к предмету

Закон преломления (закон Снелла)

Закон преломления утверждает, что при переходе из одной прозрачной среды в другую световой луч меняет свое направление. Например, если луч света попадает из воздуха в воду или стекло, то он отклоняется в сторону нормали. Рассмотрим рис. 23-23 и покажем, почему на границе меняется направление распространения волны. На рисунке изображены два последовательных положения участка волнового фронта AB и $A'B'$. Пусть λ_1 — длина световой волны в среде 1, а λ_2 — в среде 2; тогда

$$\lambda_1 = \frac{u_1}{f} \text{ и } \lambda_2 = \frac{u_2}{f}. \qquad (23\text{-}10)$$

Из прямоугольного треугольника ABB' находим

$$\sin\theta_1 = \frac{\lambda_1}{AB'},$$

а из прямоугольного треугольника $A'AB'$

$$\sin\theta_2 = \frac{\lambda_2}{AB'}.$$

Разделим первое соотношение на второе:

$$\frac{\sin\theta_1}{\sin\theta_2} = \frac{\lambda_1}{\lambda_2}.$$

Подставим сюда вместо λ_1 и λ_2 их отношение, полученное из (23-10); тогда

$$\frac{\sin\theta_1}{\sin\theta_2} = \frac{u_1}{u_2} = \frac{c/u_2}{c/u_1}.$$

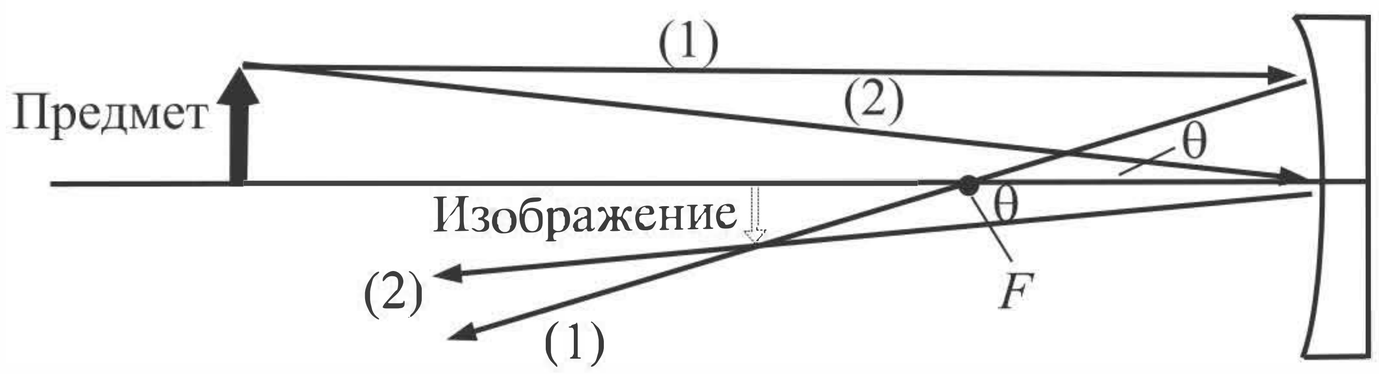


Рис. 23-22. Образование изображения вогнутым зеркалом. С помощью лучей 1 и 2 строится графически положение изображения

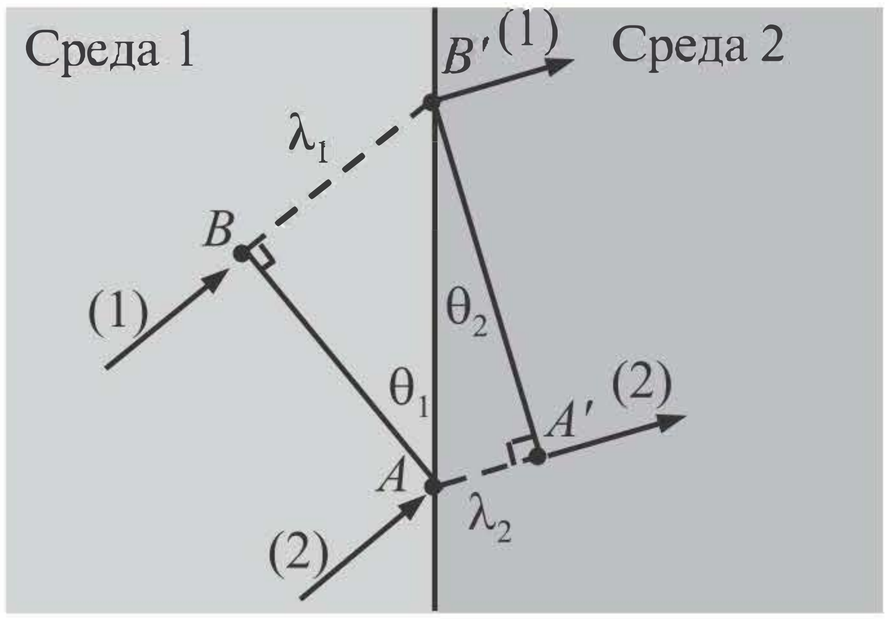


Рис. 23-23. Два последовательных положения волнового фронта, когда волна пересекает поверхность раздела «стекло – воздух»

В § 5 гл. 21 было показано, что c/u — это показатель преломления среды. Следовательно,

$$\frac{\sin\theta_1}{\sin\theta_2} = \frac{n_2}{n_1} \text{ (закон Снелла)}, \qquad (23\text{-}11)$$

где n_1 и n_2 — показатели преломления соответственно среды 1 и 2.

Линзы

С помощью закона Снелла [соотношение (23-11)] можно рассчитать оптические свойства линз. Так же как и вогнутое зеркало, собирающая линза отклоняет пучок параллельных лучей и фокусирует их на расстоянии F от линзы. Расстояние F называется фокусным расстоянием линзы.

Положение изображения можно определить графически путем построения, показанного на рис. 23-24. Проведем сначала луч 1 параллельно горизонтальной оси. Линза отклонит его таким образом, что он пройдет через фокус F. Затем через центр линзы проведем луч 2. Пересечение этих лучей дает точку, в которой располагается изображение. С помощью рис. 23-24 можно получить количественное соотношение между расстояниями до предмета s и до изображения s'. Заметим, что треугольник ABO подобен треугольнику $A'B'O$. Из подобия этих треугольников находим

$$\frac{A'B'}{AB} = \frac{s'}{s}. \qquad (23\text{-}12)$$

Кроме того, треугольник POF подобен треугольнику $A'B'F$, так что

$$\frac{A'B'}{PO} = \frac{s'-f}{f}. \qquad (23\text{-}13)$$

Поскольку $PO = AB$, левые части в формулах (23-12) и (23-13) равны друг другу. Приравнивая между собой правые части, получаем

$$\frac{s'}{s} = \frac{s'-f}{f} \text{ или } \frac{1}{f} = \frac{1}{s} + \frac{1}{s'}.$$

Это соотношение между расстояниями до предмета и изображения называется формулой тонкой линзы. Необходимо договориться, в каких случаях следует считать величины s, s', f положительными, а в каких — отрицательными. Обычно при решении какой-либо задачи оптические элементы располагают таким образом, чтобы свет проходил через линзу слева направо. Тогда величина s' считается положительной, если изображение расположено справа от линзы, и отрицательной, если оно расположено слева от

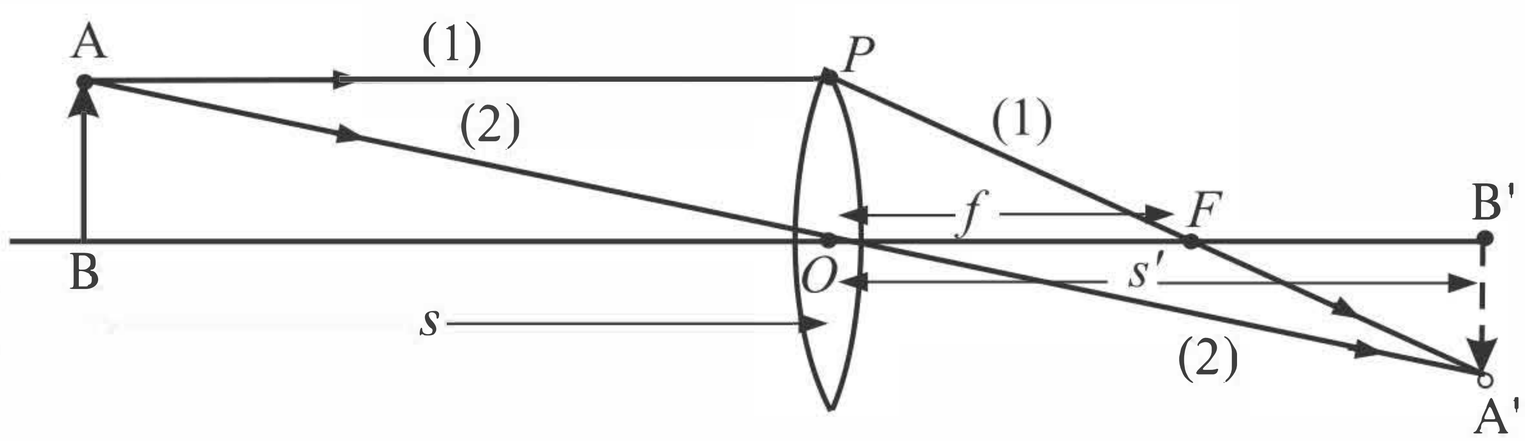


Рис. 23-24. Предмет AB расположен на расстоянии s от линзы с фокусным расстоянием f. Изображение $A'B'$ расположено на расстоянии s'

нее. В случае с рассеивающей линзой величина f является отрицательной. Величина s будет отрицательной, если выходящие из линзы лучи сходятся в мнимом предмете (это может быть мнимое изображение, созданное слева предшествующей линзой).

Основные выводы

Голограмма — это фотографическое изображение интерференционной картины, создаваемой отраженным от предмета светом лазера и опорным пучком. При прохождении через голограмму монохроматического света происходит восстановление первоначального волнового фронта отраженного света.

Плоскость поляризации электромагнитной (световой) волны содержит вектор **E**. Поляризатор, состоящий из параллельных проволочек (или вытянутых цепочек молекул), будет пропускать лишь составляющую поля **E**, перпендикулярную направлению проволочек. Свет, отраженный от среды с показателем преломления n под углом θ_1, удовлетворяющим условию $\mathrm{tg}\theta_1 = n$, имеет 100%-ную поляризацию. В этом состоит закон Брюстера.

Монохроматический свет, проходя через круглое отверстие диаметром a, образует дифракционную картину, первый минимум в которой (или темное кольцо) соответствует углу $\theta_{\text{мин.}}$, удовлетворяющему условию $\sin\theta_{\text{мин.}} = 1{,}22\lambda/a$.

Увеличение телескопа $M = F/f$, т. е. увеличение равно отношению фокусных расстояний объектива и окуляра. Угловая разрешающая способность телескопа (а также микроскопа) определяется как $\alpha_{\text{мин.}} = 1{,}22\lambda/a$, где a — диаметр объектива. Минимальное расстояние, которое разрешается микроскопом, равно $D\alpha_{\text{мин.}} \approx \lambda$. Свет от лазера можно сфокусировать в пятно таких размеров, однако для других источников света сделать этого не удается.

Можно наблюдать дифракционное рассеяние пучка протонов высоких энергий на ядре радиусом R. Первый минимум в дифракционной картине соответствует $\theta_{\text{мин.}} = 0{,}61h/pR$, где h — постоянная Планка, а p — импульс протонного пучка.

Геометрическая оптика основана на законе отражения (угол падения равен углу отражения) и законе преломления (закон Снелла). Согласно закону Снелла, отношение синусов угла падения и угла отражения обратно пропорционально отношению показателей преломления:

$$\frac{\sin\theta_1}{\sin\theta_2} = \frac{n_2}{n_1}.$$

Вогнутое зеркало или собирающая линза сводят пучок параллельных лучей в фокус. Расстояние от зеркала (или линзы) до фокуса называется фокусным расстоянием и обозначается буквой F. Если предмет находится на расстоянии s от линзы, то на расстоянии s' от нее образуется его перевернутое изображение, причем

$$\frac{1}{s} + \frac{1}{s'} = \frac{1}{F}.$$

Приложение. Закон Брюстера

Если пучок света падает под углом θ_1 на непроводящую среду, то часть света отражается под тем же углом, а часть преломляется, согласно закону Снелла, под углом θ_2:

$$\frac{\sin\theta_1}{\sin\theta_2} = n.$$

Отраженный свет может испускаться только благодаря колебаниям электронов атомов непроводящей среды. Благодаря наличию в формуле (21-13) множителя $\sin\theta$ электроны не испускают излучения в направлении своего движения. Если падающий свет поляризован, как показано на рис. 23-25, то электроны будут колебаться в направлении **E′**. В этом случае свет не будет отражаться, поскольку отраженный луч оказался бы направленным вдоль направления движения электронов. Однако если падающий свет на рисунке поляризован перпендикулярно плоскости чертежа, то отражение допустимо. На рис. 23-25 мы имеем $\theta_1 + \theta_2 = \pi/2$. Подставляя в закон Снелла вместо θ_2 величину $\pi/2 - \theta_1$, получаем

$$\frac{\sin\theta_1}{\sin(\pi/2-\theta_1)} = n, \text{ или}$$

$$\operatorname{tg}\theta_1 = n \text{ (}\textit{закон Брюстера}\text{).} \qquad (23\text{-}12)$$

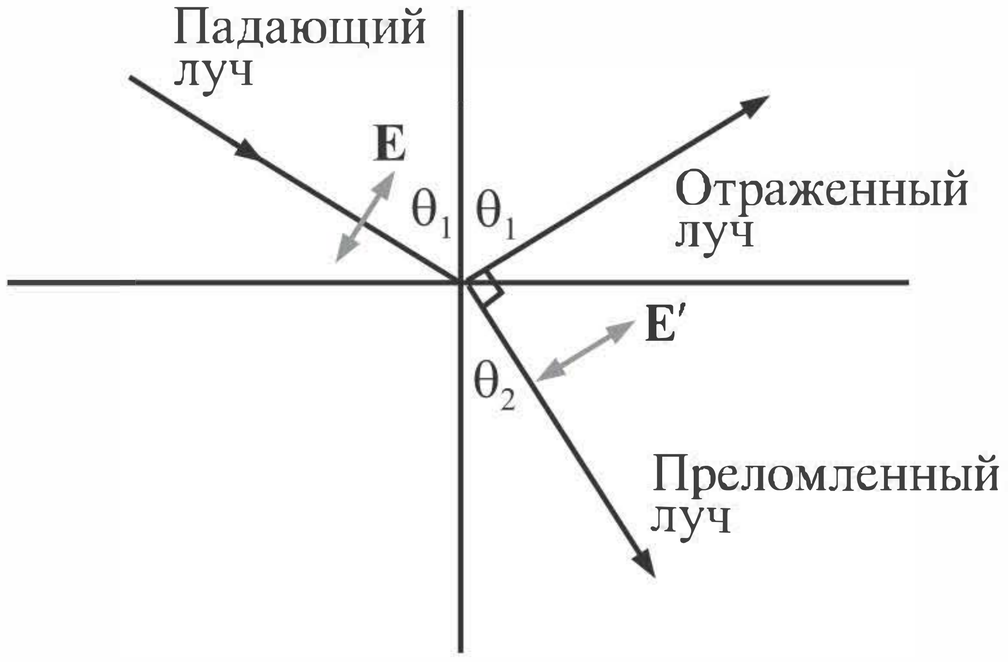


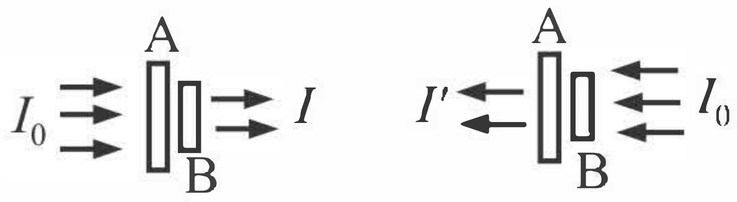
Рис. 23-25. Изменение поляризации при отражении. Отраженный и преломленный лучи взаимно перпендикулярны, т. е. направление поля E' совпадает с направлением отраженного луча

Мы видим, что если неполяризованный свет падает под углом Брюстера, то отраженный свет должен быть поляризован перпендикулярно плоскости страницы. Это условие возникновения полной поляризации при отражении называется законом Брюстера.

Упражнения

1. Начертите диаграмму, аналогичную приведенной на рис. 23-7, для $E_y = E_0 \times \cos\omega t$ и $E_z = 2E_0\cos(\omega t - \pi/2)$. Это случай эллиптической поляризации (конец вектора **E** описывает эллипс с отношением осей 2:1).
2. Волна с правой круговой поляризацией складывается с волной левой круговой поляризации, причем обе волны имеют одинаковые амплитуды и частоты и распространяются вдоль оси x. В любом случае, когда вектор **E** волны 1 ориентирован в положительном направлении оси y, так же ориентирован и вектор **E** волны 2. Опишите поляризацию результирующей волны.
3. Повторите упражнение 2 для случая, когда векторы **E** обеих волн ориентируются вдоль оси y в противоположных направлениях.
4. Расстояние до ближайшей звезды 4 световых года. Каким должен быть ее диаметр, чтобы его можно было измерить с помощью 200-дюймового телескопа (1 дюйм = = 2,54 см)?
5. Предположим, что по орбите вокруг звезды, удаленной на 10 световых лет, вращается очень большая планета, которую можно увидеть в 200-дюймовый телескоп. На каком расстоянии от звезды должна находиться эта планета, чтобы их можно было разрешить?
6. Параллельный пучок лазера диаметром 1 см фокусируется линзой с фокусным расстоянием 10 см. Каковы размеры пятна, если $\lambda = 6400$ Å?
7. Повторите упражнение 6 для пучка диаметром 1 мм.
8. Экспериментально установлено, что при упругом рассеянии протонов на протонах в области высоких энергий минимум в распределении интенсивности отвечает величине поперечного импульса рассеянного протона 1,1 ГэВ/с, т. е. $pc\sin\theta = 1{,}1$ ГэВ. Каким должен быть радиус эквивалентного протону черного диска, дающего минимум в том же месте?

9. Рассмотрим расположенные один за другим два поляроида. Ось поляроида *A* вертикальна (т. е. он не поглощает вертикально поляризованный свет). Ось поляроида *B* ориентирована под углом 45°.



а) Чему равна интенсивность I, если вертикально поляризованный свет падает на поляроиды слева?

б) Чему равна интенсивность I', если вертикально поляризованный свет падает на поляроиды справа?

10. Предмет расположен между фокусом и центром кривизны вогнутого зеркала. Будет ли изображение перевернутым? Какова его величина по сравнению с размером предмета?

11. Расстояние предмета до вогнутого зеркала меньше фокусного расстояния. Увидите ли вы его изображение в зеркале? Если да, то будет оно больше или меньше предмета? (Может быть, все обстоит точно так же, как бывает, когда вы смотритесь в вогнутое зеркало для бритья?)

12. Луч света падает на пластинку из стекла под углом 60° относительно нормали к пластинке. Если $n = 1{,}5$, то под каким углом луч выйдет с другой стороны пластинки (поверхности пластинки параллельны друг другу)?

Задачи

13. Голограмма в примере 1 освещается светом с $\lambda = 4800$ Å. На каком кажущемся расстоянии за плоскостью голограммы находится изображение?

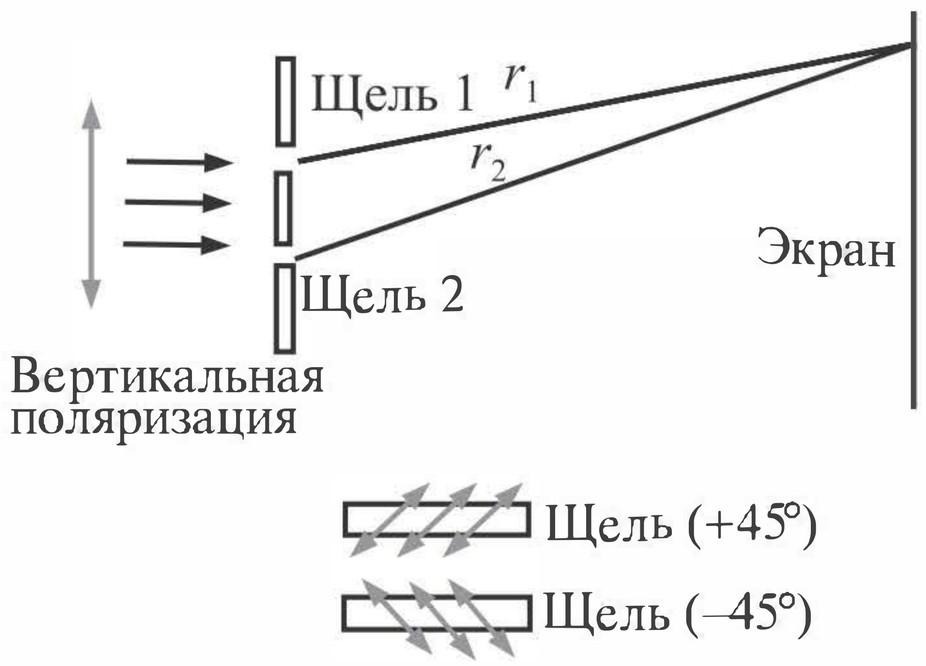
14. Повторите расчеты, проведенные в конце § 1 настоящей главы для волнового фронта восстанавливающейся волны, но с использованием в качестве голограммы позитива, а не негатива. В этом случае интенсивность света за голограммой имеет вид

$$I = I'\cos^2 \omega t \left(1 + \frac{E_0}{K_1} a \cos\phi\right).$$

15. Вертикально поляризованный свет с интенсивностью I_0 проходит девять идеальных поляроидов. Ось первого поляроида составляет 10° с вертикалью, ось второго повернута еще на 10° и т. д.; ось девятого поляроида повернута на 90°. Чему равна результирующая интенсивность?

16. Повторите решение задачи 15 для 90 поляроидов при условии, что оси соседних поляроидов повернуты на 1°.

17. Вертикально поляризованный свет от лазера падает на экран с двумя горизонтальными щелями. Если одна из щелей закрыта, интенсивность в любой точке экрана равна I_0.



Вид на щели от экрана

а) Чему равна интенсивность в точках экрана, где $r_2 - r_1 = 0$?

б) Чему равна интенсивность в точках экрана, где $r_2 - r_1 = \lambda/2$?

Закроем теперь щель 1 поляроидом, ориентированным под углом +45°, а щель 2 закроем поляроидом, ориентированным под углом –45°. Чему равна интенсивность в точках, где

в) $r_2 - r_1 = 0$?

г) $r_2 - r_1 = \lambda/4$?

д) $r_2 - r_1 = \lambda/2$?

Поместим теперь в дополнение к поляроидам на щелях ориентированный вертикально поляроид перед экраном. Чему равна интенсивность в точках экрана (за вертикальным поляроидом), где

е) $r_2 - r_1 = 0$?

ж) $r_2 - r_1 = \lambda/2$?

18. Предположим, что диаметр звезды виден под углом 10^{-7} рад.
а) Можно ли измерить диаметр этой звезды с помощью оптического телескопа?
б) Можно ли измерить диаметр методом интерферометрии интенсивности? Расстояние до звезды предполагается известным (см. пример 8 в гл. 22).

19. Какое минимальное расстояние можно разрешить с помощью электронного микроскопа, в котором используется пучок электронов с кинетической энергией 1000 эВ?

20. Существует еще один метод оценки среднего радиуса элементарной частицы, пригодный даже в тех случаях, когда не удается наблюдать первый минимум. Он заключается в измерении кривизны или скорости спада центрального максимума. Оказалось, что при малых углах распределение интенсивности рассеяния протонов на протонах уменьшается по закону $1 - Ap_{\perp}^2$, где $A = 10$ (ГэВ/с)$^{-2}$. При малых значениях аргумента функцию Бесселя можно аппроксимировать функцией

$$J_1(x) \approx \frac{x}{2} - \frac{x^2}{16}.$$

В этом случае

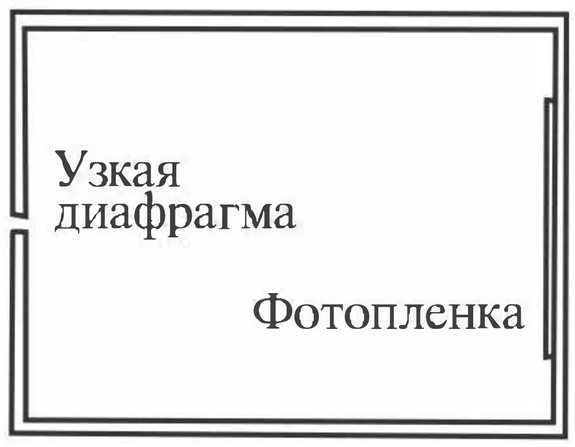
$$\left[\frac{J_1(\Phi/2)}{\Phi/4}\right] \approx 1 - \frac{\Phi^2}{32},$$

где $\frac{\Phi}{2} = kR\sin\theta$ и $p_{\perp} = p\sin\theta$.

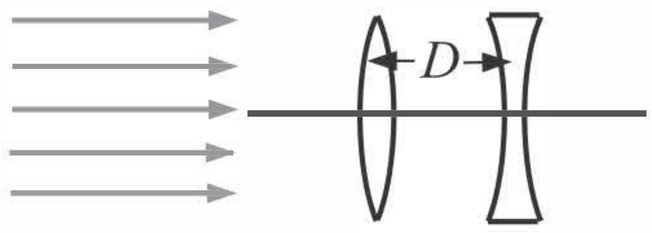
Какому значению R (в м) соответствует $A = 10$ (ГэВ/с)$^{-2}$?

21. Допустим, что у протона существует жесткая сердцевина радиусом 10^{-14} м. Пусть протоны с энергией 200 ГэВ взаимодействуют в основном с сердцевиной.
а) Под каким углом будет наблюдаться первый дифракционный минимум?
б) Если протон не имеет сердцевины и ведет себя как поглощающий диск с $R = 10^{-13}$ см, то под каким углом будет наблюдаться первый дифракционный минимум?

22. Камера-обскура представляет собой черный ящик длиной 10 см с крошечным отверстием, играющим роль линзы. Какой диаметр отверстия обеспечивает наибольшую резкость изображения?



23. Две линзы с фокусными расстояниями соответственно F и $-F$ расположены на расстоянии D друг от друга, причем $D < F$. Если слева на линзы падает параллельный пучок света, то будет ли он фокусироваться, и если да, то в каком месте?

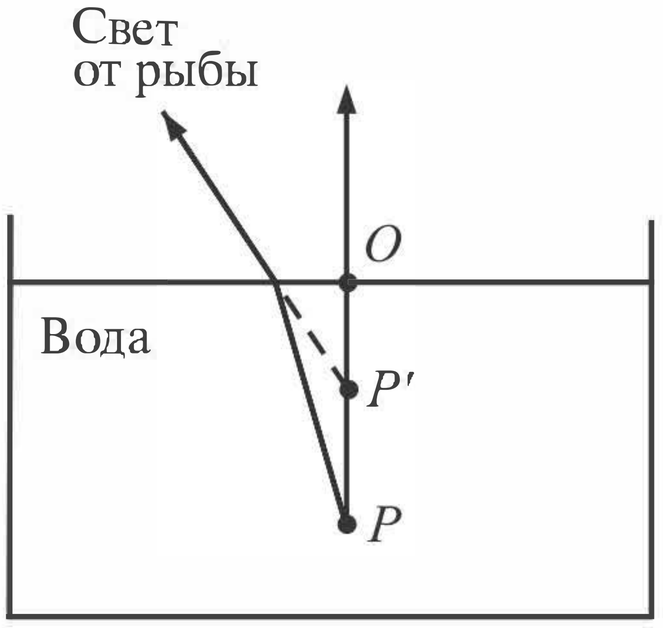


24. Повторите решение задачи 23 для случая, когда пучок падает на линзы справа.

25. Докажите, что если две тонкие линзы с фокусными расстояниями F_1 и F_2 поместить рядом, то эта система будет вести себя аналогично линзе с фокусным расстоянием

$$F = \frac{F_1 F_2}{F_1 + F_2}.$$

26. Рыба находится на глубине OP (см. рисунок). Чему равна кажущаяся глубина OP', если для воды $n = 1{,}33$?



27. Показатель преломления пластинки ориентированного пластика равен $n_{\parallel}$ для света, поляризованного в направлении ориентации пластика, и $n_{\perp}$ для света, поляризованного нормально ориентации пластика.

а) Если внешние электроны преимущественно колеблются вдоль направления ориентации пластика, то какая из величин будет больше, $n_{\parallel}$ или $n_{\perp}$?

б) Если через такую пластинку проходит поляризованный свет, вектор **E** которого составляет угол 45° с направлением ориентации пластика, то плоскость поляризации света оказывается повернутой на 90°. Такая пластинка называется полуволновой. Какой должна быть толщина x_0 этой пластинки? Ответ запишите через f, c, $n_{\perp}$ и $n_{\parallel}$.

24 Волновая природа вещества

§ 1. Классическая и современная физика

Физические явления и описывающие их законы принято разделять на классические и современные. Современная физика опирается на возникшее в конце 20-х гг. XX в. представление о волновой природе вещества и обязательно включает новую фундаментальную постоянную, открытую Планком в 1900 г. Стремясь объяснить спектр излучения нагретых тел, Планк предположил, что осцилляторы могут излучать свет лишь порциями с энергией $E = hf$, где f — частота осциллятора, а h — постоянная Планка.

Согласно такому определению современной физики все, что мы излагали до сих пор, соответствует классической физике [исключение составляет § 5 гл. 23, посвященный дифракционному рассеянию, а также отдельные упоминания в главах 10, 13, 18 и 21 (конец § 2)]. Однако в этой главе будет показано, что всем элементарным частицам присущи волновые свойства, которые значительно влияют на их поведение, особенно на небольших расстояниях. Не уяснив предварительно волновой природы вещества, невозможно было бы разобраться ни в строении атомов и молекул, ни в свойствах элементарных частиц, ни в таких разделах физики, как ядерная физика, астрофизика и физика твердого тела. Вытекающие из представлений о волновой природе вещества основные положения и математический формализм составляют предмет квантовой механики. В этой и следующей главах мы дадим основные понятия квантовой механики. Остальные главы посвящены ряду важных приложений, которые не только помогут нам разобраться в изучаемых явлениях, но и окажутся полезными для более глубокого понимания самой квантовой механики.

Прежде чем излагать новые представления квантовой теории, вернемся назад и перечислим те достижения, которые были получены в классической физике, а также ее возможные недостатки. С помощью законов Ньютона нам удалось объяснить законы падения тел, полет снарядов, движение искусственных спутников Земли, движение планет и другие случаи макроскопического движения. Кроме того, ньютоновская механика дала нам законы сохранения энергии, импульса и момента импульса.

Согласно представлениям химиков XIX в., вещество построено из молекул и атомов. Вместе с законами Ньютона эти представления легли в основу кинетической теории тепла, которая раскрыла нам таинственное содержание понятия теплоты. Более века тому назад, используя понятие заряда и основные законы теории электричества, Максвелл дал объяснение многообразным электрическим и магнитным явлениям. Венцом достижений классической физики стала созданная в 1870 г. Максвеллом теория све-

та (и оптика) как математическое следствие его уравнений. Следующим этапом было возникновение трудностей в теории эфира при объяснении отрицательных результатов опыта Майкельсона–Морли, что в свою очередь послужило поводом к созданию в 1905 г. специальной теории относительности. Лишь с течением времени уравнения Максвелла стали рассматриваться как необходимое релятивистское следствие закона Кулона (их можно вывести из этого закона).

Поразителен был переворот, произведенный Эйнштейном в наших представлениях о пространстве и времени. (Действительно, как могут два движущихся по-разному наблюдателя получить одинаковые значения скорости одного и того же светового импульса?) Однако мы увидим, что волновая природа вещества, корпускулярно-волновой дуализм и их следствия окажутся еще более удивительными и противоречащими здравому смыслу, чем эйнштейновский постулат о постоянстве скорости света во всех инерциальных системах отсчета.

Волновая природа вещества качественно проявляется в том, что каждой частице присущи свойства волны, и наоборот, любые волны имеют свойства, характерные для частиц. В качестве первого примера, демонстрирующего это свойство волн, мы приведем фотоэффект, теорию которого Эйнштейн разработал в 1905 г.

§ 2. Фотоэффект

В конце XIX столетия был открыт электрон. Вскоре после этого обнаружили, что электроны вылетают с некоторых металлических поверхностей, когда на эти поверхности падает свет (рис. 24-1). Со времени дифракционных экспериментов Юнга на двух щелях не было сомнений в том, что свет представляет собой волны. Эти представления на первый взгляд позволяли объяснить фотоэффект. Амплитуда колебаний свободного электрона в переменном электрическом поле $E = E_0 \cos \omega t$ в соответствии с выражением (21-6) записывается в виде

$$A = \frac{eE_0}{m\omega^2}.$$

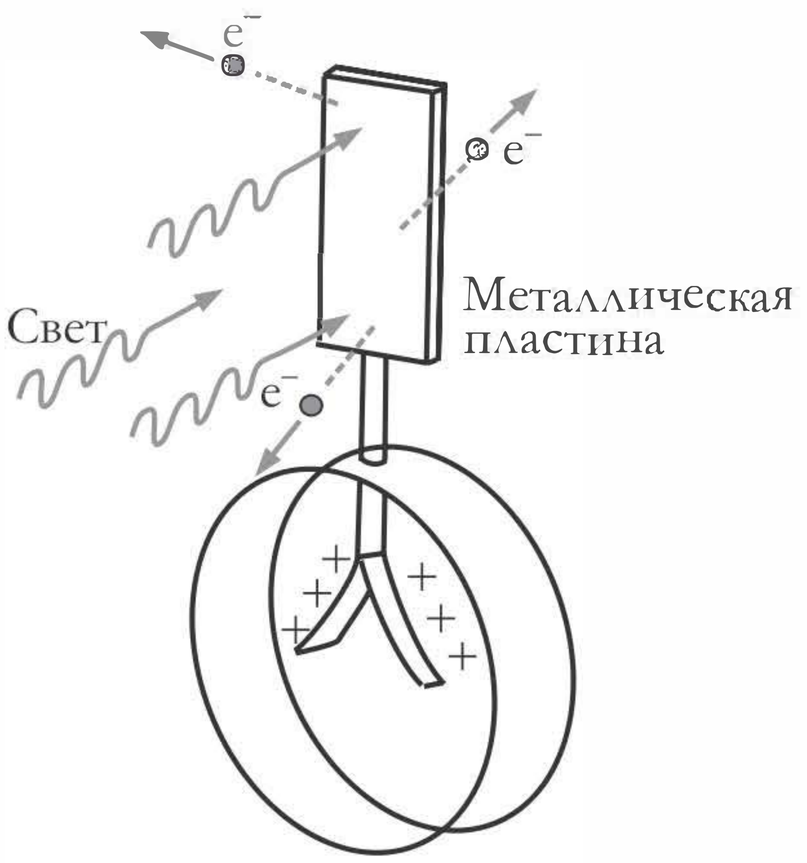


Рис. 24-1. Нейтральный электроскоп, соединенный с металлической пластинкой. При освещении пластинки светом из нее выбиваются фотоэлектроны и листочки заряжаются положительно

Поэтому можно было ожидать, что электрон, расположенный вблизи поверхности, покинет металл, как только амплитуда его колебаний A превысит некоторое критическое значение. Из волновой теории света мы имеем следующие выводы: 1) электроны не будут вылетать из металла, до тех пор пока E_0 не превысит определенного критического значения; 2) энергия испущенных электронов возрастает пропорционально E_0^2 и 3) если величину E_0 (а значит и интенсивность) поддерживать постоянной, а частоту света ω увеличивать, то число испускаемых электронов должно уменьшаться.

Однако экспериментальные наблюдения опровергли все эти предсказания.

1. Пороговой интенсивности обнаружено не было. Число вылетающих электронов оказалось строго пропорциональным E_0^2 при любой сколь угодно малой интенсивности.

2. Энергия электронов оказалась не зависящей от величины E_0.

3. Обнаружена зависимость энергии электронов от частоты. Оказалось, что существует пороговая частота f_0, причем при частотах, превышающих пороговую, энергия выбитых электронов линейно увеличивается с ростом частоты. Кинетическая энергия электронов менялась в интервале от нуля до некоторого значения $K_{\text{макс.}}$, и не было электронов с энергией больше $K_{\text{макс.}}$. На рис. 24-2 приведена найденная из опыта зависимость $K_{\text{макс.}}$ от частоты f.

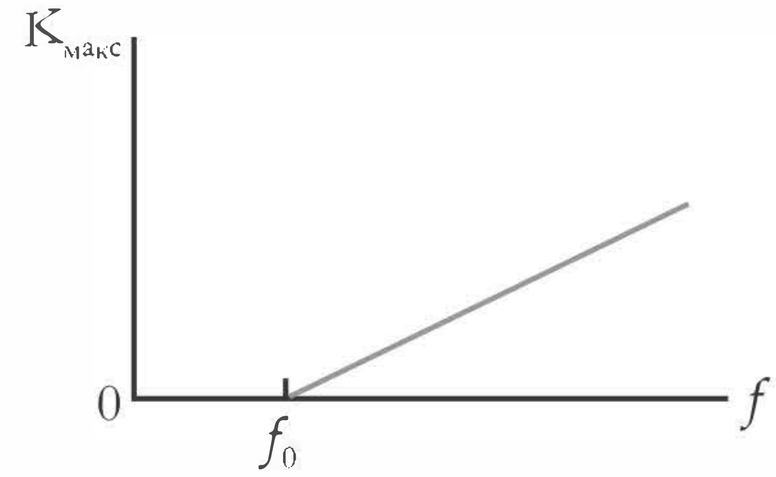


Рис. 24-2. Зависимость максимальной кинетической энергии испущенных металлом электронов от частоты света

В 1905 г. Эйнштейн (хотя ему еще не были известны все эти экспериментальные факты) дал правильное объяснение фотоэффекта. Ученый высказал весьма смелую по тем временам мысль. Он предположил, что свет представляет собой совокупность квантов, каждый из которых обладает энергией $E = hf$, где h — постоянная Планка. Эйнштейн также предположил, что эти кванты света (теперь их называют фотонами) ведут себя подобно материальным частицам и что при столкновении с электроном в металле фотон может поглотиться, а вся его энергия перейдет к электрону. Даже самому Планку это казалось крайне странным. Каким образом, подчиняясь известным законам интерференции волн, свет мог в то же самое время состоять из частиц? Ведь тогда в опыте с двумя щелями *частица* света проходила бы *либо* через одну, *либо* через другую щель и, следовательно, не была бы в состоянии создать интерференционную картину.

И все же теория Эйнштейна сумела объяснить экспериментальные факты. Предположим, что для удаления поверхностного электрона из металла необходимо затратить энергию W_0. Тогда, поглотив фотон с энергией hf и вылетев с поверхности, электрон будет иметь энергию $hf - W_0$. Это и есть максимально возможная кинетическая энергия:

$$K_{\text{макс.}} = hf - W_0 \ (\textit{фотоэффект}). \qquad (24\text{-}1)$$

Данное соотношение согласуется с экспериментальной прямой, изображенной на рис. 24-2. Эйнштейн предсказал, что наклон прямой должен быть равен постоянной Планка h. Его теория фотоэффекта выдержала это трудное испытание. Наклон действительно оказался равен

$$h = 6{,}63 \cdot 10^{-34} \text{ Дж·с } (\textit{постоянная Планка})$$

(единицей измерения постоянной Планка является джоуль·секунда или кг·м^2·с$^{-1}$).

Величина W_0 называется работой выхода и зависит от свойств данного металла. Свободный электрон вне металла испытывает вблизи его поверхности притяжение. Если электрон сначала покоился, то, проникнув в металл, он приобретет кинетическую энергию U_0. Иными словами, мы утверждаем, что систему «электрон и металл» можно представить в виде потенциальной ямы глубиной U_0, как схематически показано на рис. 24-3.

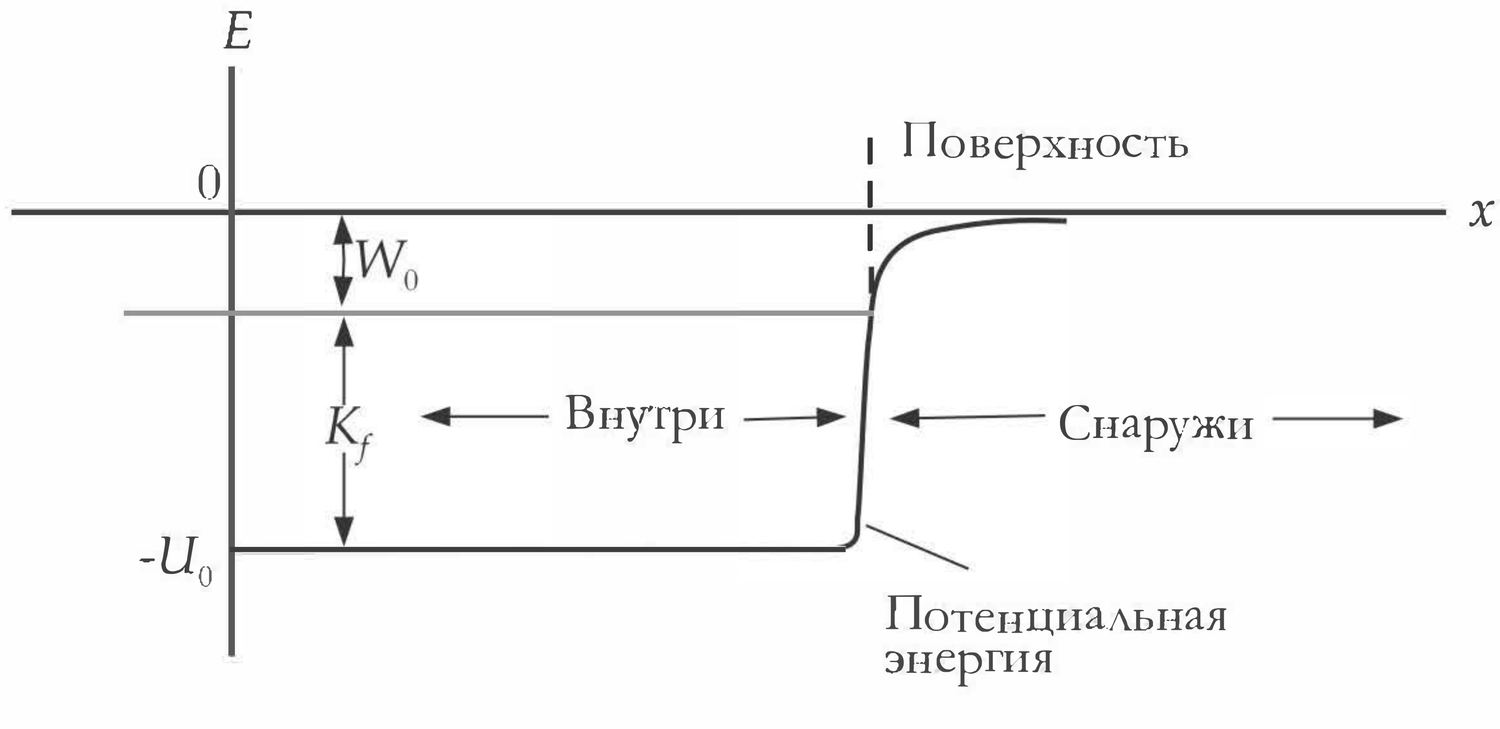


Рис. 24-3. Потенциальная яма, в которой находятся электроны внутри металла. K_f — граничная кинетическая энергия «свободного» электрона в металле

В гл. 28 мы увидим, что внутри металла внешние атомные электроны оказываются свободными (т. е. они не связаны с определенными атомами) и их кинетическая энергия может меняться от нуля до K_f. Величина K_f называется энергией Ферми. Если электрону с энергией Ферми сообщить дополнительно энергию W_0, то его энергии $K = K_f + W_0$ едва хватит на то, чтобы покинуть металл. Иными словами, когда он вылетит из металла, энергия электрона станет равной $K = 0$. Из рис. 24-3 видно, что $W_0 + K_f = U_0$, или

$$W_0 = U_0 - K_f.$$

Схематическая иллюстрация фотоэффекта представлена на рис. 24-4. Первоначально электрон находится на уровне с энергией K_f (этот уровень показан на рисунке штриховой линией). После поглощения фотона с энергией hf электрон переходит на более высокий энергетический уровень, обозначенный на рисунке сплошной зеленой линией. При этом энергия электрона вне металла оказывается равной $hf - W_0$. Это и есть максимально возможная энергия, которую может иметь испущенный электрон: $K_{\text{макс.}} = hf - W_0$. Если же электрон находится на более низком уровне (ниже штриховой линии) и поглощает фотон той же энергии, то энергия электрона вне металла будет меньше $K_{\text{макс.}}$.

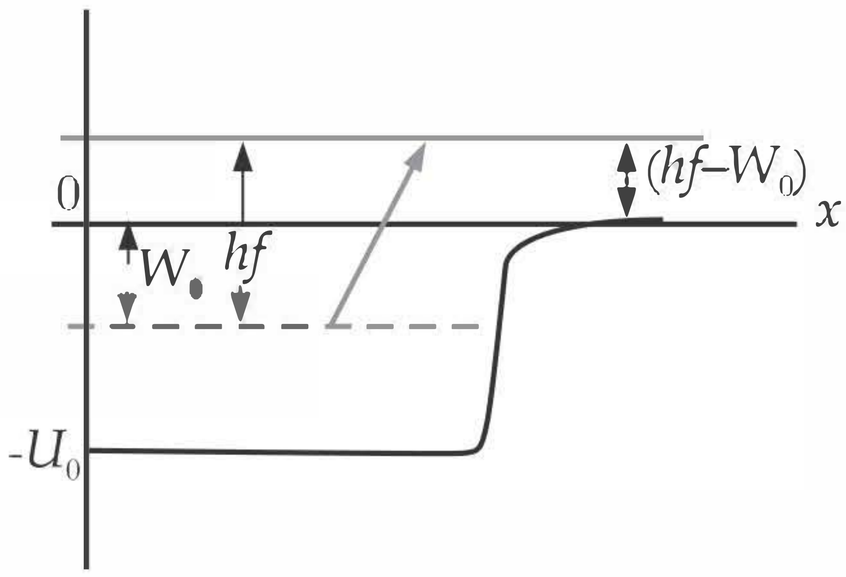


Рис. 24-4. Электрон с энергией $-W_0$ поглощает фотон и переходит на более высокий уровень

Пример 1. В случае с цезием работа выхода равна 1,8 эВ. Какова максимальная длина волны света, который способен выбить из металла электрон с кинетической энергией 2 эВ?

Решение: Из выражения (24-1) находим частоту

$$f = \frac{K_{\text{макс.}} + W_0}{h}.$$

Тогда

$$\lambda = \frac{c}{f} = \frac{hc}{K_{\text{макс.}} + W_0} = \frac{\left(6{,}63 \cdot 10^{-34}\ \text{Дж} \cdot \text{с}\right)\left(3 \cdot 10^{8}\ \text{м/с}\right)}{\left(3{,}8\ \text{эВ}\right)\left(1{,}6 \cdot 10^{-19}\ \text{Дж/эВ}\right)} =$$

$$= 3{,}27 \cdot 10^{-7}\ \text{м}.$$

§ 3. Эффект Комптона

Используя классическую электродинамику, в гл. 21 мы показали, что свет, переносящий энергию E, должен обладать импульсом $p = E/c$. Следовательно, и световой квант с энергией $E = hf$ должен иметь импульс $p = hf/c$. Если заменить f/c на $1/\lambda$, то

$$p = \frac{h}{\lambda}. \tag{24-2}$$

Эйнштейн предсказал, что световые кванты, или фотоны, будут вести себя подобно материальным частицам с импульсом $p = h/\lambda$. В случае с фотоэффектом этот ничтожный импульс передается всему образцу металла и испущенному из него электрону. Импульс, приобретенный металлом в таких условиях, слишком мал и не поддается измерению; однако при столкновении фотона со свободным электроном величину передаваемого импульса уже можно измерить. Этот процесс — рассеяние фотона на свободном электроне — называется эффектом Комптона. Впервые он был экспериментально подтвержден А. Комптоном в 1923 г. Этот эффект аналогичен соударению бильярдных шаров.

Выведем теперь соотношение, связывающее длину волны рассеянного фотона с углом рассеяния и длиной волны фотона до соударения. Пусть фотон с импульсом $\mathbf{p}$ и энергией pc сталкивается с неподвижным электроном, энергия покоя которого mc^2. После соударения импульс фотона становится равным $\mathbf{p}'$ и направлен под углом θ, как показано на рис. 24-5. Импульс электрона отдачи будет равен $\mathbf{p}'_e$, а полная релятивистская энергия E'_e. Здесь мы используем релятивистскую механику, поскольку скорость электрона может достигать значений, близких к скорости света. Согласно закону сохранения энергии, полная начальная энергия равна полной энергии после соударения; таким образом,

$$pc + mc^2 = p'c + E'_e,$$

$$\left(p - p' + mc\right)^2 = \left(E'_e/c\right)^2. \tag{24-3}$$



Рис. 24-5. Эффект Комптона. Соударение фотона со свободным электроном

Закон сохранения импульса дает

$$\mathbf{p} - \mathbf{p}' = \mathbf{p}'_e.$$

Возводя обе части в квадрат:

$$p^2 - 2\mathbf{p}\cdot\mathbf{p}' + p'^2 = p'^2_e$$

и вычитая последнее равенство из (24-3), имеем

$$m^2c^2 - 2pp' + 2pmc - 2p'mc + 2pp'\cos\theta = \frac{E'^2_e}{c^2} - p'^2_e.$$

Из (9-11) мы видим, что правую часть здесь можно заменить на m^2c^2:

$$m^2c^2 - 2p'(p + mc - p\cos\theta) + 2pmc = m^2c^2,$$

откуда находим

$$p' = \frac{p}{1 + \frac{p}{mc}(1 - \cos\theta)}.$$

Воспользовавшись тем, что $p = h/\lambda$, получаем

$$\frac{1}{\lambda'} = \frac{1}{\lambda + \frac{h}{mc}(1 - \cos\theta)},$$

или

$$\lambda' - \lambda = \frac{h}{mc}(1 - \cos\theta) \text{ (эффект Комптона)}. \quad (24\text{-}4)$$

В своем опыте Комптон использовал рентгеновское излучение с известной длиной волны и обнаружил, что у рассеянных фотонов увеличивается длина волны в соответствии с предсказаниями по формуле (24-4).

Эффект Комптона, фотоэффект и множество других экспериментов с участием света и атомов подтвердили, что свет действительно ведет себя так, как если бы он состоял из частиц с энергией hf и импульсом h/λ.

§ 4. Корпускулярно-волновой дуализм

Если бы в первых же экспериментах со светом были обнаружены эффект Комптона и фотоэффект, то все были бы убеждены в том, что свет представляет собой поток фотонов, которые ведут себя подобно всем добропорядочным частицам. При таком положении вещей наблюдение интерференционной картины от двух щелей должно было бы вызвать изумление. Действительно, как могут частицы обнаруживать свойства, присущие классическим волнам? Ведь частица может пройти только либо через одну, либо через другую щель. Интерференцию фотонов друг с другом можно исключить, уменьшив интенсивность света настолько, чтобы средний интервал времени между испусканием фотонов значительно превышал время пролета фотонов от источника света до экрана. Если экран удален от источника света на 3 м, то время пролета составит $t = L/c = 10^{-8}$ с. Поэтому выберем интенсивность источника порядка 10^{-11} Вт, что соответствует испусканию менее 10^8 фотонов в секунду.

Закрыв щель B, мы получим распределение интенсивности, соответствующее одной щели A, как показано на рис. 24-6.

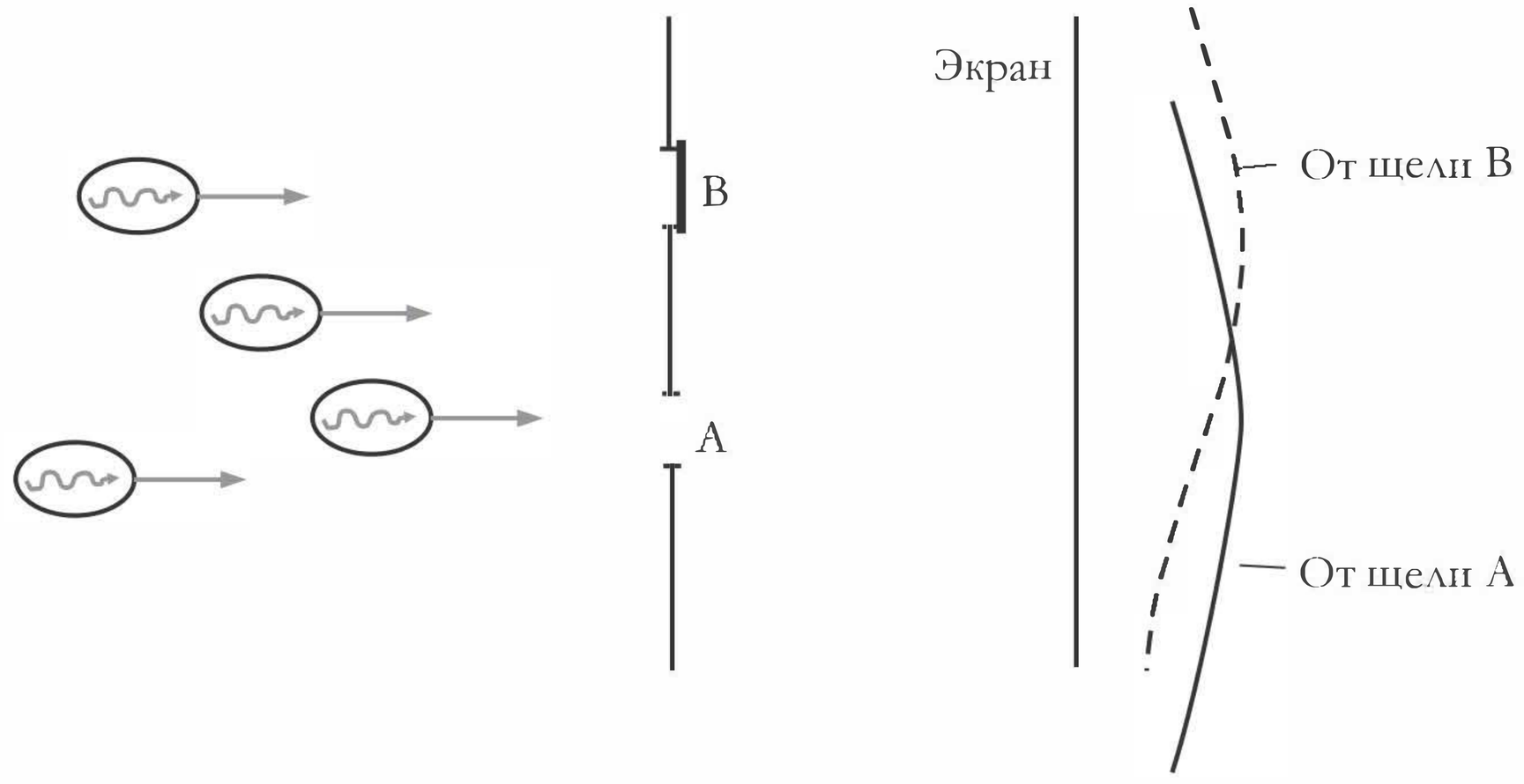


Рис. 24-6. Распределение интенсивности, обусловленное фотонами, прошедшими через щель A (либо через щель B)

Для регистрации отдельных фотонов, когда они попадают на экран, можно использовать фотоумножитель. Если открыта только щель B, то получается идентичная, но немного сдвинутая картина (см. тот же рисунок). Но, как было показано в гл. 23, в случае когда открыты обе щели, распределение интенсивности света на экране отнюдь не будет суммой распределений, обусловленных каждой щелью в отдельности; возникает интерференционная картина Юнга от двойной щели. Таким образом, мы приходим к парадоксу — свет обладает одновременно свойствами, характерными как для волн, так и для частиц.

В 1927 г. благодаря обнаружению волновых свойств у электрона этот парадокс стал еще более значительным. В действительности еще за три года до этого Луи де Бройль в своей диссертации предположил, что соотношение (24-2) справедливо не только для фотонов, но и вообще для всех частиц, а именно:

$$p = \frac{h}{\lambda} \text{ и } E = hf \text{ для любых частиц (соотношение де Бройля).} \quad (24\text{-}5)$$

Де Бройль предположил, что пучок частиц любого сорта будет создавать на подходящей двойной щели интерференционную картину, характерную для опыта Юнга с двумя щелями. В то время гипотеза де Бройля выглядела безумной и вряд ли уместной для соискания ученой степени. Лишь три года спустя наука пережила скрьезное потрясение — эксперимент подтвердил гипотезу де Бройля. Потрясение было обусловлено тем, что казалось невозможным, чтобы такие частицы, как электроны, представляли собой в одно и то же время и частицы, и волны. В следующем параграфе мы продемонстрируем, каким образом экспериментальные данные приводят к полному крушению представлений, основанных на «здравом смысле» и повседневном опыте.

§ 5. Великий парадокс

Парадокс можно устранить, предположив, что отдельный фотон после прохождения через щели A и B способен расщепляться и интерферировать с самим собой. Однако парадокс усиливается, если заменить пучок фотонов на пучок электронов. В природе никогда не наблюдалось половины или части электрона. Независимо от того, находится детектор за щелью A или B, электрон всегда обнаруживается целиком. В этом сущность атомизма, справедливого для всех элементарных частиц, включая фотоны. С этой точки зрения мы приходим к выводу, что отдельный электрон может пройти лишь через одну из двух щелей на рис. 24-7. Следовательно, распределение электронов на экране должно быть суммой распределений для каждой из щелей в отдельности. Хотя логика эта кажется безукоризненной, распределение, характерное для (A + B), не имеет места! Вместо этого мы видим стандартную интерференционную картину для двух щелей, изображенную на рис. 24-8.

Не происходит ли здесь крушения чистой логики? Ведь все это выглядит так, как если бы 100 + 100 оказалось равным нулю. Предположим, что в точке P_1 на рис. 24-8 находится счетчик Гейгера, регистрирующий ежесекундно 100 электронов, когда открыта любая из щелей A или B. При этом, когда открыты обе щели одновременно, счетчик перестает регистрировать электроны. Это значит, что точка P_1 попадает в интерференционный минимум ($r_2 - r_1 = 1/2$). Если сначала открыть только щель A, а затем постепенно открывать щель B, то в соответствии со

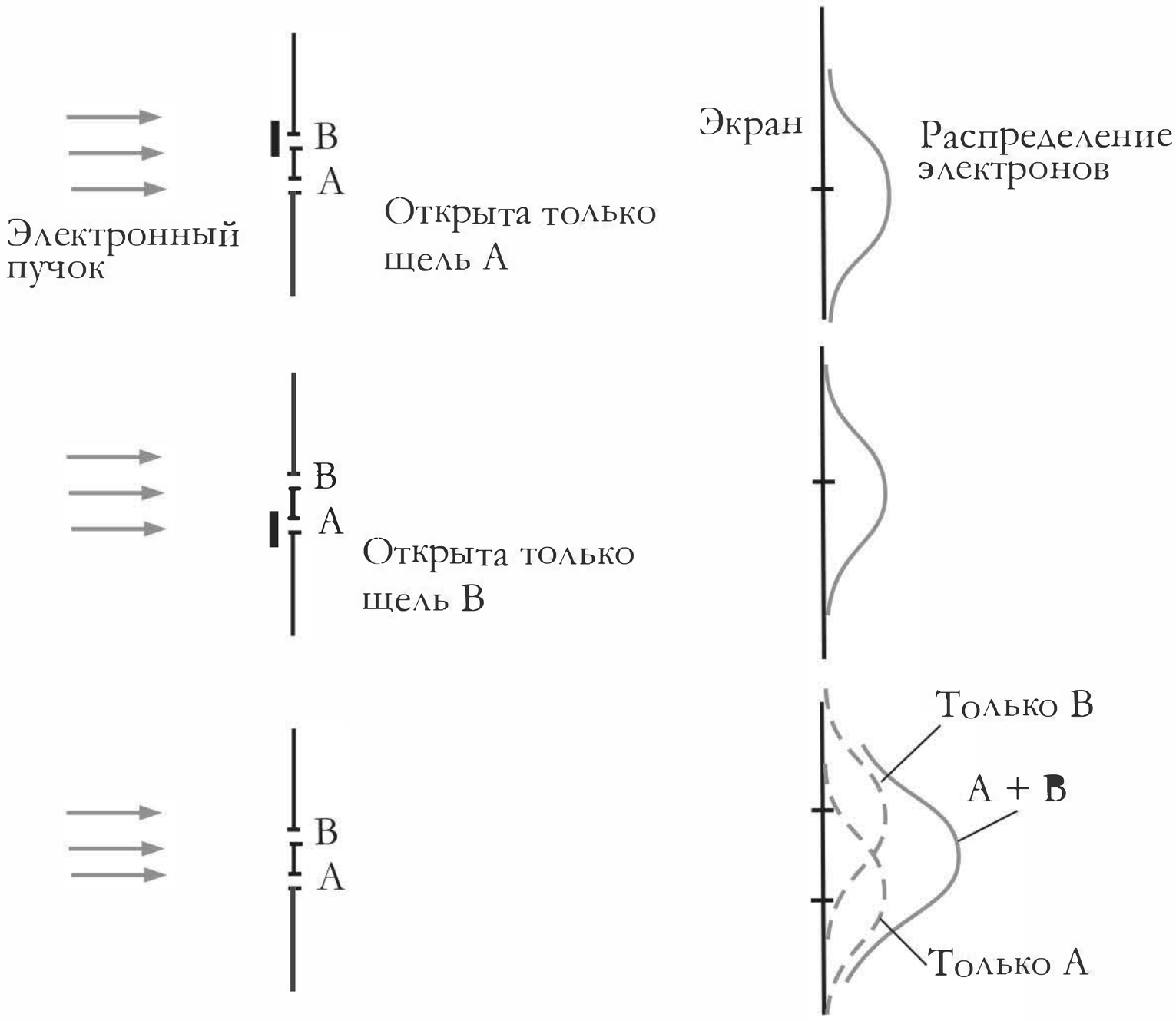


Рис. 24-7. Распределение интенсивности электронов согласно классической физике

здравым смыслом мы вправе ожидать, что скорость счета по мере открывания щели *B* будет постепенно увеличиваться от 100 до 200 отсчетов в секунду. Однако вместо этого мы наблюдаем уменьшение скорости счета от 100 до нуля. Каким образом открывание щели *B* может повлиять на электроны, которые, казалось бы, прошли через щель *A*? Более того, если счетчик Гейгера поместить в точку P_2, то по мере открывания щели *B* скорость счета будет постепенно увеличиваться от 100 до 400 отсчетов в секунду, когда вторая щель полностью открыта. Таким образом, 100 + 100 = 400.

Единственный способ объяснения этих парадоксальных результатов состоит в создании математического формализма, совместимого с атомизмом и всегда правильно предсказывающего наблюдаемые интерференционные явления. При этом следует позаботиться о его внутренней непротиворечивости.

Волновая функция

Математический формализм, с помощью которого устраняется парадокс, ставит в соответствие каждой частице амплитуду вероятности $\psi(x, y, z, t)$, которая представляет собой функцию координат

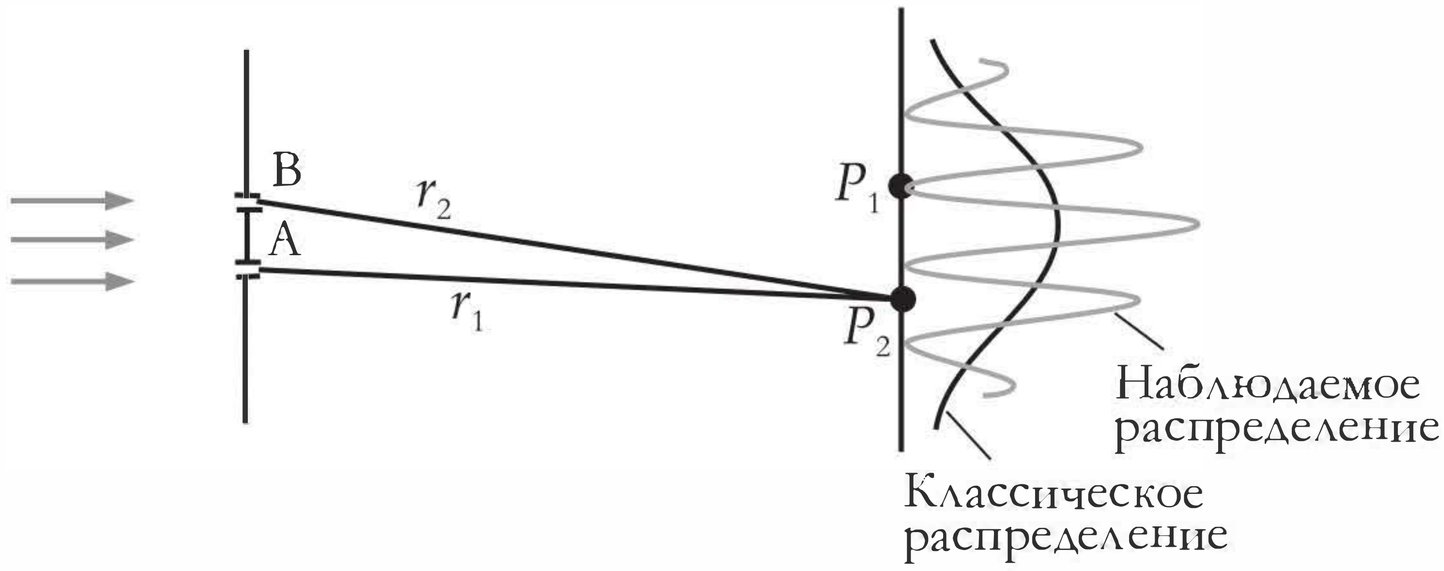


Рис. 24-8. Распределение интенсивности электронов согласно квантовой теории

и времени. **Вероятность обнаружить частицу в произвольный момент времени t в любой точке x, y, z пропорциональна** $|\psi(x, y, z, t)|^2$, т. е. интенсивности. Квадрат модуля используют потому, что ψ, вообще говоря, комплексная функция. Формально она обладает свойствами классических волн, и поэтому ее часто называют **волновой функцией**.

Если событие может произойти несколькими взаимно исключающими способами (как, скажем, при прохождении частицы через одну из щелей A или B), то амплитуда вероятности этого события представляет собой сумму амплитуд вероятностей каждого из способов:

$$\psi = \psi_1 + \psi_2 \text{ (}\textit{принцип суперпозиции}\text{)}.$$

Это утверждение совпадает с правилом сложения амплитуд волн в оптике. В рассмотренном выше примере ψ_1 описывает волну, проходящую через щель A, а ψ_2 — через щель B. На экране обе волновые функции перекрываются и дают классическую интерференционную картину от двух щелей, причем направление на n-й максимум определяется выражением $\sin\theta_n = n\lambda/d$ [см. формулу (22-4)].

Этот формализм, составляющий основу волновой или квантовой механики, возможно, оставит у читателя тревожное ощущение, что более глубокое понимание ускользнуло от него. Но это не так. Ничего более фундаментального нет. Возможно, читателя утешит высказывание Ричарда Фейнмана, удостоенного в 1965 г. Нобелевской премии за приложение квантовой механики к электродинамике. В своих «Лекциях по физике»* Фейнман пишет: «Быть может, вам все еще хочется выяснить: „А почему это? Какой механизм прячется за этим законом?“ Так вот: никому никакого механизма отыскать не удалось. Никто в мире не сможет вам „объяснить“ это ни на капельку больше того, что „объяснили“ мы. Никто не даст вам никакого более глубокого представления о положении вещей. У нас их нет, нет представлений о более фундаментальной механике, из которой можно вывести эти результаты».

Пример 2. На рис. 24-9 в точке P находится счетчик Гейгера. Амплитуда волны, прошедшей через щель A и достигшей точки P, в условных единицах равна $\psi_A = 2$, а в случае с щелью B мы имеем $\psi_B = 6$. Если открыта только щель A, то в точке P ежесекундно регистрируется 100 электронов.

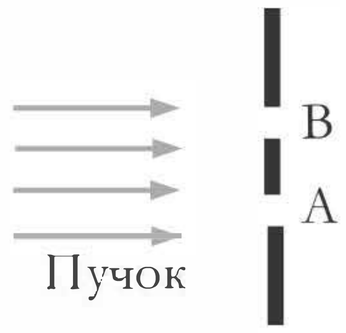


Рис. 24-9

а) Сколько электронов регистрируется ежесекундно, если открыта только щель B?
б) Если открыты обе щели и происходит конструктивная интерференция, то сколько электронов будет ежесекундно регистрироваться?
в) То же, но в случае с деструктивной интерференцией.

Решение: Отношение интенсивностей волн $\psi_B^2/\psi_A^2 = 36/4 = 9$. Следовательно, через щель B проходит ежесекундно в девять раз больше частиц, чем через щель A, т. е. 900 электронов.

В случае с «б» полная амплитуда волны $\psi = \psi_A + \psi_B$, или $\psi = 8$. Поскольку $\psi^2 = 16\psi_A^2$, то в точке P будет регистрироваться 1600 электронов в секунду.

---

* См. 3-е издание русского перевода: *Фейнман Р., Лейтон Р., Сэндс М.* Фейнмановские лекции по физике. Вып. 3. — М.: Мир, 1965, с. 217. — *Прим. перев.*

В случае с «в» ψ_A и ψ_B должны иметь противоположные знаки, чтобы ослаблять друг друга. Следовательно, $\psi = 2 - 6 = -4$. Теперь $\psi^2 = 16$, т. е. в четыре раза больше ψ_A^2. Это соответствует регистрации 400 электронов в секунду.

Пример 3. Каким будет распределение интенсивности в интерференционном опыте с двумя щелями, если щель B пропускает в четыре раза больше электронов, чем щель A?

Решение: Имеем $\psi_B^2 = 4\psi_A^2$, или $\psi_B = 2\psi_A$. Полная интенсивность в максимуме пропорциональна $(\psi_A + \psi_B)^2$ или

$$I_{\text{макс.}} = (\psi_A + \psi_B) = 9\psi_A^2.$$

Интенсивность в минимуме равна

$$I_{\text{мин.}} = (\psi_A - \psi_B) = \psi_A^2.$$

Следовательно, отношение $I_{\text{макс.}}/I_{\text{мин.}} = 9$. Распределение интенсивности описывается выражением $I = I_A[5 + 4\cos k(r_B - r_A)]$, где r_B и r_A — расстояния от экрана до щелей A и B соответственно.

Изложенный формализм порождает ряд недоуменных вопросов, требующих дальнейшей физической интерпретации. Допустим, что мы выпускаем электроны поодиночке. Тогда, согласно волновым представлениям, каждому электрону сопоставляется цуг волн, или волновой пакет, расщепляющийся поровну между двумя щелями. Однако, поместив за щелью A счетчик Гейгера, камеру Вильсона или иной детектор частиц, мы увидим, что через щель никогда не проходит половина электрона. В этом сущность атомизма, который совместим с гипотезой о том, что интенсивность волны за щелью A характеризует вероятность найти электрон (целиком!) в этом месте. Более того, если детектор поместить за щелью A, то интерференционная картина сгладится и получится классический результат. Наличие детектора изменяет результат, превращая интерференционную картину (рис. 24-8) в классическую (рис. 24-7).

Многие физики, включая Эйнштейна, пытались придумать такой опыт, в результате которого можно было бы, не нарушая интерференционной картины, установить, через какую именно щель прошла данная частица; однако все эти попытки потерпели неудачу. Один из таких экспериментов описан в примере 3 в гл. 23. В этом эксперименте нужно было установить, через какую щель проходят фотоны. Для этого можно менять ориентацию поляроида, расположенного у экрана. Однако всякий раз при соответствующем повороте поляроида картина интерференции на двух щелях будет превращаться в картину, характерную для одной щели.

Но что же все-таки представляют собой «волны», отвечающие электронам? На этот вопрос следует ответить так же, как в случае с фотонами. Электромагнитные волны свободно распространяются в пустом пространстве. В отличие от механических волн, в этом случае не существует среды, совершающей колебательное движение. Волновая функция ψ не является непосредственно наблюдаемой величиной, и в этом смысле ничто не совершает колебательного движения. Проблемы квантовой механики решаются с математической точки зрения аналогично задаче о волнах в жидкости или другим классическим волновым проблемам. Классические волны и волны, отвечающие частицам, подчиняются математическим уравнениям одного и того же типа. Но в классическом случае амплитуда волны непосредственно наблюдаема, а величина ψ — нет.

§ 6. Дифракция электронов

Эксперимент по дифракции электронов на двух щелях сложно осуществить, поскольку характерная длина волны электронов [см. (24-5)] оказывается много меньше длин волн видимого света. Подлинную картину интерференции электронов на двух щелях удалось зафиксировать на фотопластинке в эксперименте, выполненном К. Йёнссоном в 1961 г. Схема этого эксперимента приведена на рис. 24-10, а полученные результаты воспроизведены на рис. 24-11, *а*.

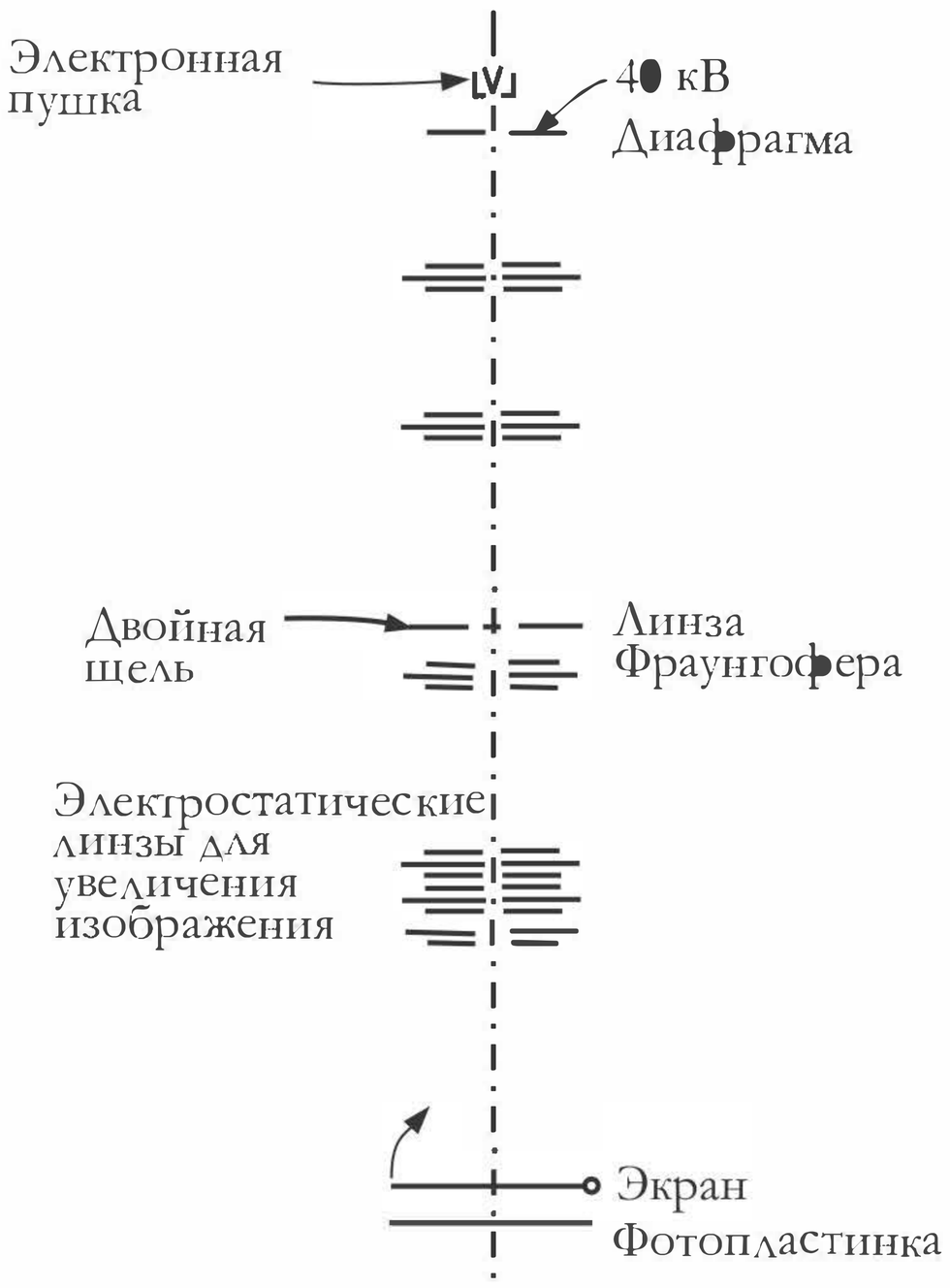


Рис. 24-10. Экспериментальная установка Йёнссона для наблюдения интерференционной картины от двух щелей в случае с электронами. [См. *Jönsson C.*, *Zs. Phys.*, **161**, 1961.]

В том месте, где электрон попадает на пластинку, образуется черное пятно. Приведенная фотография — это результат попадания большого числа электронов от двойной щели. Для сравнения на рис. 24-11, *б* показана интерференционная картина, полученная при дифракции света на двух щелях. С помощью генератора случайных чисел, удовлетворяющих распределению вероятностей вида $\sin^2 x$, можно смоделировать распределение на рис. 24-11, *а*, полученное в условиях малой интенсивности. На рис. 24-12, *а* воспроизведено попадание 27 электронов на фотопластинку. Рисунки 24-12, *б* и *в* отвечают попаданию 70 из 735 электронов соответственно.

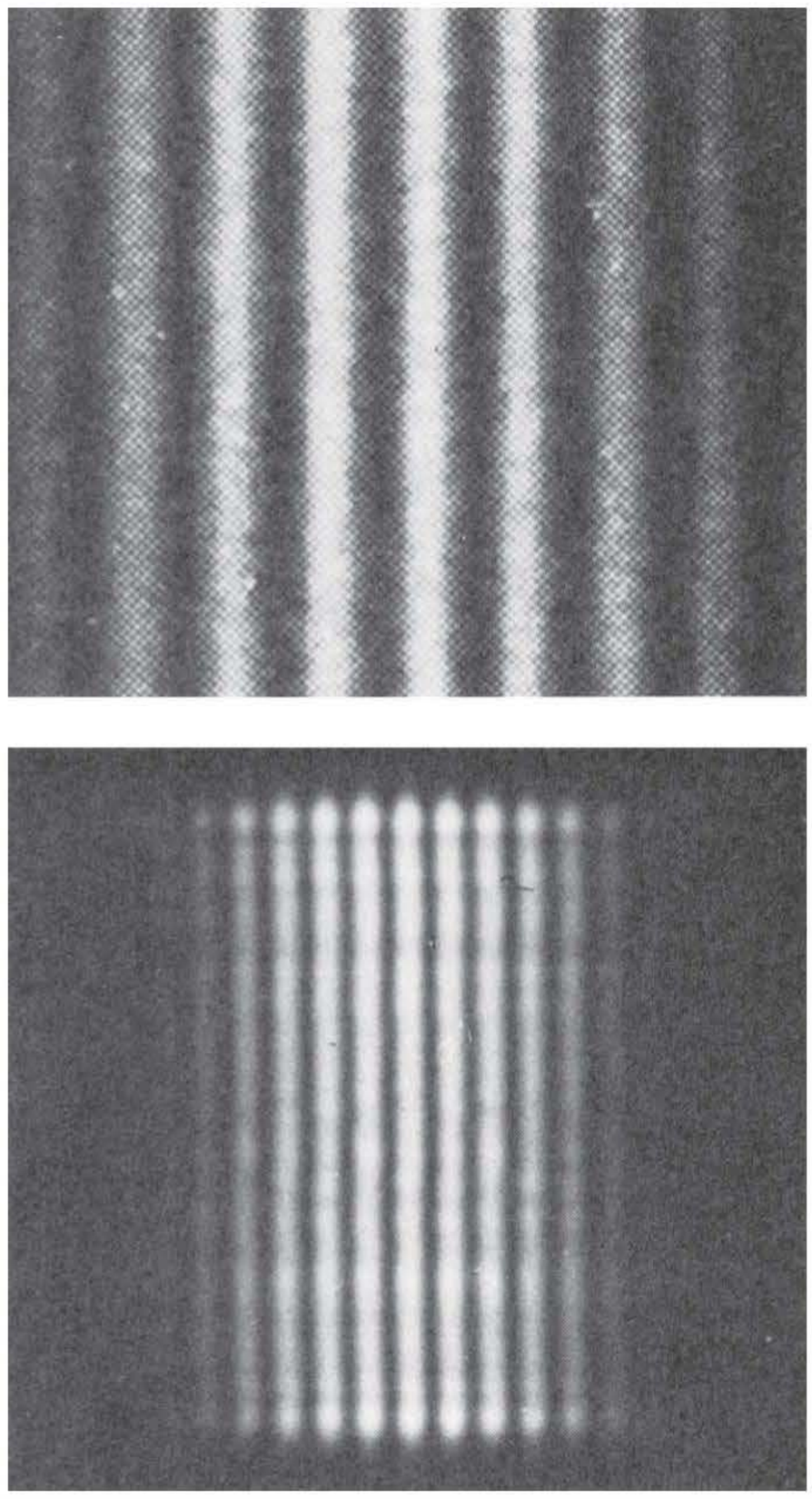


Рис. 24-11. *а* — интерференционная картина от двух щелей в случае с электронами; каждое из зерен негатива образовано отдельным электроном; *б* — для сравнения приведена интерференционная картина от двух щелей в случае со светом (см. рис. 22-17), на этом фото каждое из зерен негатива образовано отдельным фотоном. [Фото на рис. *а* получено проф. К. Йёнссоном, Тюбингенский университет.]

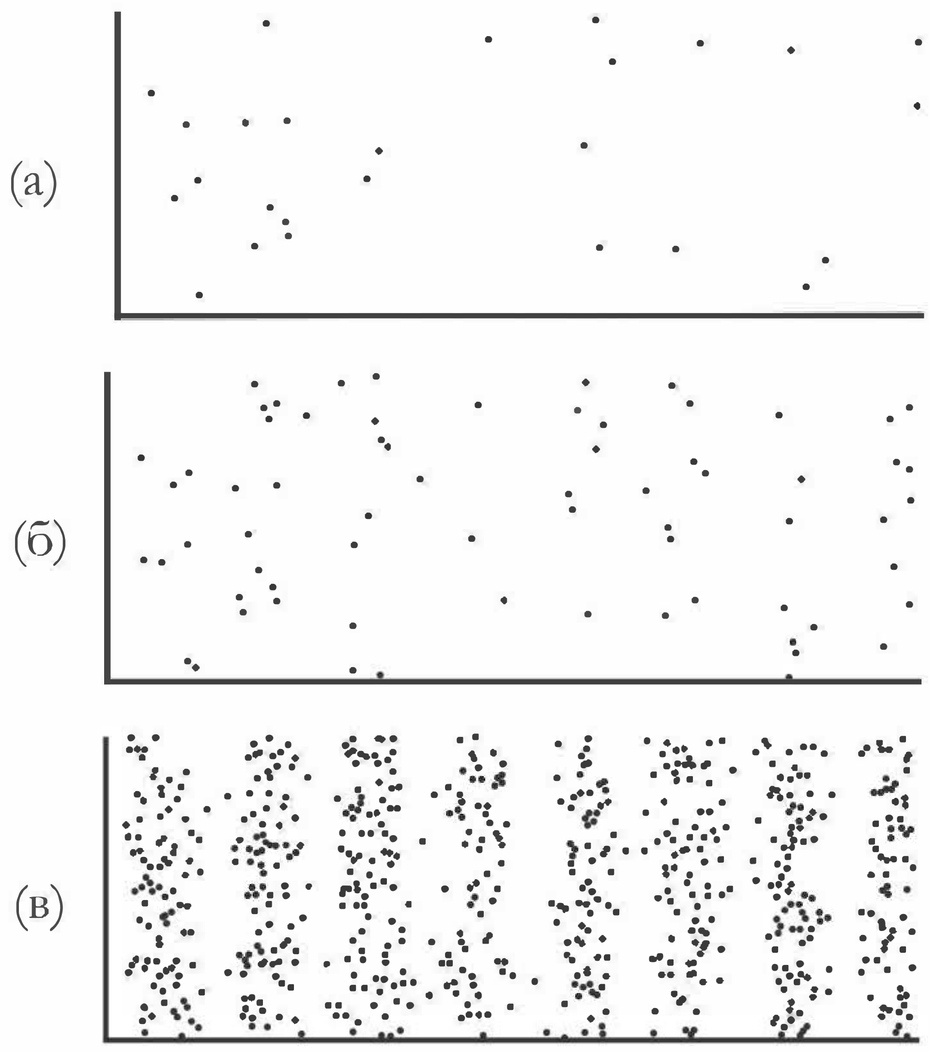


Рис. 24-12. Результаты моделирования эксперимента с двумя щелями. Распределения отвечают экспозициям с малым числом электронов: *а* — 27 электронов; *б* — 70 электронов; *в* — 735 электронов

Гипотеза де Бройля впервые была подтверждена на опыте двумя американскими физиками К. Дэвиссоном и Л. Джермером, наблюдавшими в 1927 г. различные типы дифракции электронов. Любопытно, что в этом опыте, как и в ряде других, имевших исключительно большое значение для физики, великое открытие было сделано «случайно». Дэвиссон и Джермер не ставили своей целью поиски дифракции электронов. Поначалу они даже не имели представления о ней. В 1926 г. Дэвиссон повез в Англию, на Международную конференцию в Оксфорд некоторые полученные им предварительные данные. Европейские ученые обратили его внимание на то, что эти результаты можно скорее интерпретировать как дифракцию электронов, нежели классическое рассеяние, которое он изучал. А спустя несколько месяцев Дэвиссон и Джермер получили результаты, которые недвусмысленно демонстрировали волновую природу электронов и позволили определить величину постоянной Планка с точностью до 1 %. Они исследовали рассеяние медленных электронов от поверхности монокристалла металла. Упорядоченные ряды атомов на поверхности металла действовали подобно штрихам тонкой дифракционной решетки. Длина волны электронов была найдена по известной величине расстояния между атомами.

На рис. 24-13 показано схематически устройство для наблюдения дифракции электронов от поверхности кристалла. Детектором частиц может служить люминесцентный экран. Значение угла θ, под которым наблюдается максимум интенсивности, позволяет найти постоянную Планка. Как видно из рис. 24-13, *б*, разность хода $\Delta D = d\sin\theta$ в первом максимуме интенсивности должна быть равна длине волны h/p. Следовательно,

$$\frac{h}{p} = d\sin\theta,$$

откуда

$$h = pd\sin\theta.$$

Вскоре после появления в 1924 г. гипотезы де Бройля английский физик Томпсон приступил к систематическому исследованию дифракции электронов. В его экспериментах электроны с высокой энергией пропускались через тонкую металлическую фольгу. Поскольку длина волны рентгеновских лучей почти та же, что и у электронов, Томпсон надеялся получить картину дифракции электронов, сходную с уже известной дифракционной картиной рентгеновского излучения. В 1928 г. он получил ряд дифракционных картин для электронов, весьма похожих на дифракционную картину в случае с рентгеновскими лучами. Интересно, что здесь «случайность» оказалась более счастливой, чем тщательное изучение

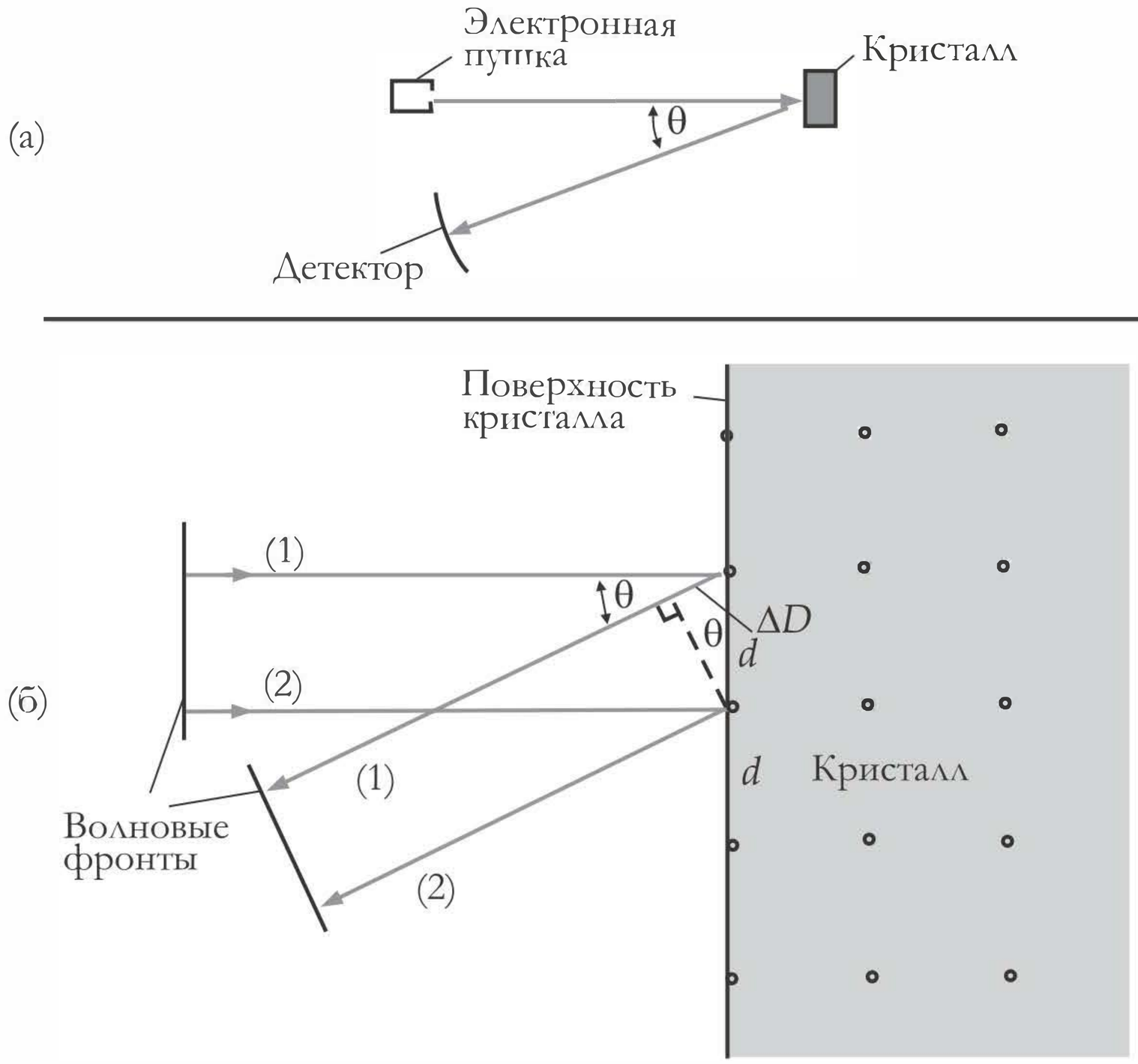


Рис. 24-13. *а* — прибор для наблюдения дифракции электронов от поверхности кристалла; *б* — участок поверхности кристалла при сильном увеличении

и обдуманный подход. Разумеется, это не может служить для читателя концепцией научного метода, однако таковы уж пути развития науки. Опыт Дэвиссона и Джермера является хорошим примером истинно научного подхода. Если экспериментатор, пусть даже случайно, обнаружит непонятный ему эффект, то следует тщательно разобраться в нем, пока не будет достигнута полная ясность.

В настоящее время подробно изучены интерференционные картины, создаваемые не только электронами, но и нейтронами, протонами и даже целыми атомами. Например, приведенное на рис. 23-19 распределение представляет собой интерференционную картину, создаваемую протонами высокой энергии. Волновая природа вещества сейчас твердо установлена и всесторонне проверена. Никаких отклонений от теории пока обнаружить не удавалось.

Основные выводы

Планк предположил, что свет квантован и каждый квант света — фотон — имеет энергию $E = hf$. Эйнштейн дал объяснение фотоэффекту, предположив, что энергия электрона, выбитого фотоном с поверхности металла, может достигать $K_{\text{макс.}} = hf - W_0$, где W_0 — работа выхода для данного металла. Работа выхода в конкретном металле зависит от глубины U_0 потенциальной ямы и максимальной кинетической энергии K_f электронов проводимости: $W_0 = U_0 - K_f$.

Фотон обладает импульсом $p = h/\lambda$; при столкновении фотона со свободным электроном часть его энергии и импульса передается электрону. Если длина волны фотона после столкновения λ', то из законов сохранения энергии и импульса имеем следующее соотношение для эффекта Комптона:

$$\lambda' - \lambda = \frac{h}{mc}(1 - \cos\theta).$$

Не только фотоны, но и все частицы имеют длину волны $\lambda = h/p$. Волновая природа пучка электронов с импульсом p проявляется в интерференционной картине, которая возникает при прохождении пучком двойной щели. Если на поверхность металла под прямым углом падает пучок электронов, то в направлении, определяемом углом $\sin\theta = h/(pd)$ (где d — межатомное расстояние), будет наблюдаться дифракционно рассеянный пучок.

Волновые свойства частицы можно описать с помощью волновой функции ψ. Вероятность найти частицу в любой момент времени t в любой точке пространства x, y, z пропорциональна интенсивности волны $|\psi(x, y, z, t)|^2$. Если событие может произойти несколькими взаимно исключающими способами, то амплитуда вероятности события будет представлять собой сумму отдельных амплитуд вероятностей: $\psi = \psi_1 + \psi_2$.

Упражнения

1. Какова длина волны (в ангстремах) фотона с энергией 1 МэВ?
2. Запишите выражение для релятивистской массы фотона через h, λ и c.
3. Если релятивистская масса фотона 10^{-15} г, то каков его импульс в системе СИ? Чему равна его длина волны?
4. Связь энергии с длиной волны фотона удобно записывать в виде $\lambda = K/E$. Найдите численное значение постоянной K, если λ измеряется в ангстремах, а E — в электронвольтах.
5. Электрон и фотон имеют каждый кинетическую энергию 1 эВ. Какова длина волны каждой из частиц?
6. Выразите кинетическую энергию нерелятивистского электрона через его массу, длину волны и постоянную Планка h.
7. Каждый металл характеризуется порогом фотоэффекта λ_0 (излучение с длиной волны, превышающей λ_0, не может вырвать электрон). Каково значение λ_0 в случае с медью, если для нее работа выхода равна 4,4 эВ?
8. Пороговая чувствительность сетчатки человеческого глаза к желтому свету составляет $1{,}7 \cdot 10^{-18}$ Вт. Какому числу ежесекундно попадающих на сетчатку фотонов это соответствует?
9. Выразите длину волны свободного электрона через E, h, m и c, где E — полная релятивистская энергия.
10. Напишите выражение для кинетической энергии релятивистского электрона через его длину волны.
11. Допустим, что в опыте с двумя щелями в некоторой точке экрана амплитуды волн, прошедших через щели A и B, равны соответственно +3 и +5, а скорость счета, если открыта только щель A, составляет 60 отсчетов в секунду.
    а) Какова скорость счета, если открыта только щель B?
    б) Какова скорость счета, если открыты обе щели?
    в) Какой будет скорость счета, если обе щели открыты, а амплитуды волн имеют разные знаки?
12. Предположим, что в опыте по дифракции электронов на трех одинаковых щелях детектор электронов расположен в точке, куда все три волны приходят в фазе.
    а) Какова скорость счета от трех щелей, если каждая из них в отдельности обеспечивает 100 отсчетов в секунду?
    б) Если интенсивность пучка от электронной пушки увеличится в два раза, во сколько раз возрастет скорость счета от трех щелей?
13. Если удвоить и амплитуду, и частоту плоской электромагнитной волны, то во сколько раз изменится плотность потока фотонов [число фотонов/(м^2·с)]?

Задачи

14. Электрон притягивается к электрически нейтральному куску металла. Силу притяжения можно представить в виде потенциальной ямы глубиной $-U_0$. Рассмотрим

электрон с наибольшей энергией внутри металла (т. е. на уровне Ферми). Пусть эта энергия в металле равна $K_f = 6$ эВ. Поглотив фотон с энергией 7 эВ, электрон вылетает из металла с энергией $K = 5$ эВ. Будем считать, что электрон не испытывает столкновений с другими электронами.

а) Чему равна работа выхода в электронвольтах для этого металла?

б) Какова величина U_0 в электронвольтах?

в) Найдите отношение длины волны электрона после вылета из металла к длине волны до того, как он поглощает фотон.

15. Фотон с длиной волны λ сталкивается с покоящимся свободным электроном. После соударения длина волны фотона равна λ', а направление его движения меняется на противоположное (угол рассеяния 180°).

а) Каким после соударения будет импульс электрона в зависимости от λ и λ'?

б) Чему равна кинетическая энергия электрона после соударения? Приведите ответ для релятивистского случая, выразив его через λ и λ'.

16. Фотон с энергией $E \gg m_e c^2$ испытывает обратное рассеяние на покоящемся электроне. Чему равна (в МэВ) энергия фотона после рассеяния?

17. Фотон с энергией $E \gg M_p c^2$ испытывает обратное рассеяние на покоящемся протоне. Чему равна (в МэВ) энергия фотона после рассеяния?

18. Фотон с энергией 100 кэВ испытывает комптоновское рассеяние на угол 90°.

а) Какова его энергия после рассеяния?

б) Чему равна кинетическая энергия электрона отдачи?

в) Определите направление движения электрона отдачи.

19. Пусть E_0 — начальная энергия фотонов, испытывающих комптоновское рассеяние. Покажите, что кинетическая энергия электронов отдачи дается выражением

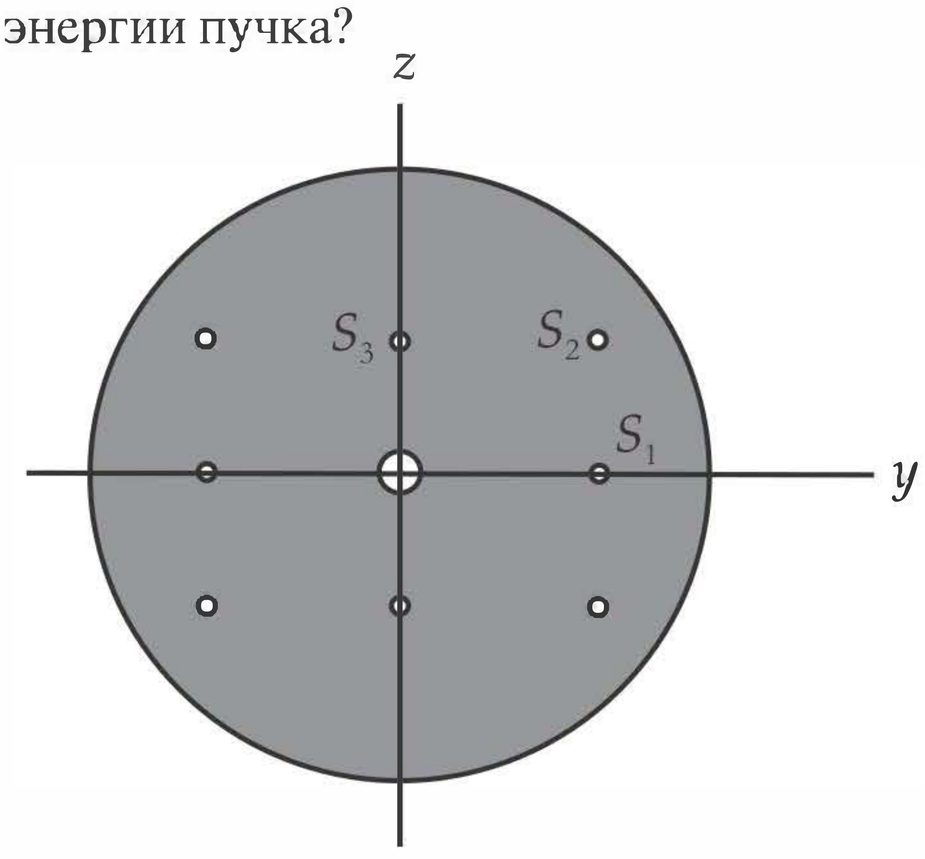
$$K = \frac{(1-\cos\theta)E_0}{1-\cos\theta + mc^2/E_0}.$$

20. Допустим, что при комптоновском рассеянии угол между направлением движения налетающего фотона и направлением вылета электрона отдачи равен ϕ. Найдите выражение для ϕ через λ и λ'.

21. Тепловые нейтроны находятся в температурном равновесии со средой при комнатной температуре. В этом случае $kT = 0{,}025$ эВ. Какова средняя кинетическая энергия теплового нейтрона? Чему равна его длина волны?

22. На две очень тонкие щели, расположенные друг от друга на расстоянии 10 мкм, падает пучок электронов с энергией 1 эВ. В 10 м от щелей находится экран. Каково расстояние между соседними минимумами на экране?

23. На рис. 24-13 изображена поверхность кристалла с взаимно перпендикулярными цепочками атомов; расстояние между соседними атомами равно 1,5 Å по оси y и 2,0 Å по оси z. На поверхность кристалла падает пучок электронов с энергией 90 эВ. Расстояние от кристалла-мишени до экрана 10 см. На люминесцентном экране образуются пятна, как показано на рисунке. Каково расстояние между точками по осям y и z? В каких направлениях будут перемещаться эти точки при увеличении энергии пучка?



25

Квантовая механика

§ 1. Волновые пакеты

В основе квантовой механики лежит соотношение де Бройля $p = h/\lambda$. Однако импульс принято выражать не через длину волны λ, а через волновое число $k \equiv 2\pi/\lambda$:

$$p = \frac{h}{2\pi}\frac{2\pi}{\lambda} = \frac{h}{2\pi}k.$$

Величина $h/2\pi$ встречается столь часто, что для нее введено специальное обозначение $\hbar$ («аш» перечеркнутое):

$$\hbar \equiv \frac{h}{2\pi},$$

$$p = \hbar k \text{ (}\textit{соотношение де Бройля}\text{).} \qquad (25\text{-}1)$$

Рассмотрим движущуюся вдоль оси x частицу, длина волны которой в точности равна λ_0. Волновое число частицы $k_0 = 2\pi/\lambda_0$. Можно ли в качестве волновой функции взять $\psi = A\cos(k_0 x - \omega t)$? В этом случае распределение вероятностей имеет вид $|\psi|^2 \sim \cos^2(k_0 x - \omega t)$, т. е. в любой момент времени t на оси x нашлись бы точки, в которых невозможно было бы обнаружить частицу, тогда как в действительности ее можно с равной вероятностью найти в любой точке на оси. Поэтому в качестве волновой функции следует взять $\psi = Ae^{i(k_0 x - \omega t)}$. Хотя сама ψ опять-таки представляет собой волну, распространяющуюся в положительном направлении оси x, в этом случае

$$|\psi|^2 = \psi^* \psi = \left(Ae^{-i(k_0 x - \omega t)}\right)\left(Ae^{+i(k_0 x - \omega t)}\right) = A^2.$$

Мы видим, что использование комплексной волновой функции снимает указанное выше затруднение и дает равномерное распределение вероятностей по оси x. Из формулы Эйлера

$$e^{i\varphi} = \cos\varphi + i\sin\varphi \text{ (}\textit{формула Эйлера}\text{)}$$

следует, что мнимая и действительная части функции ψ являются монохроматическими волнами:

$$\mathrm{Re}(\psi) = A\cos(k_0 x - \omega t) \text{ и}$$

$$\mathrm{Im}(\psi) = A\sin(k_0 x - \omega t).$$

Мы показали, что если импульс частицы имеет определенное значение, то она с равной вероятностью может находиться в любой точке пространства. Иначе говоря, если импульс частицы точно известен, то мы ничего не знаем о ее местонахождении. Однако в большинстве физических ситуаций бывает известно, что частица находится в определенной области пространства. Рассмотрим, например, следующую волновую функцию в момент времени $t = 0$:

$$\psi(x,0) = A\exp\left(-\frac{x^2}{4\sigma_x^2}\right)\exp(ik_0 x). \qquad (25\text{-}2)$$

На рис. 25-1, *а* приведена действительная часть этой волновой функции, а на рис. 25-1, *б* показано соответствующее распределение вероятностей:

$$|\psi|^2 = A^2 \exp\left(-\frac{x^2}{2\sigma_x^2}\right).$$

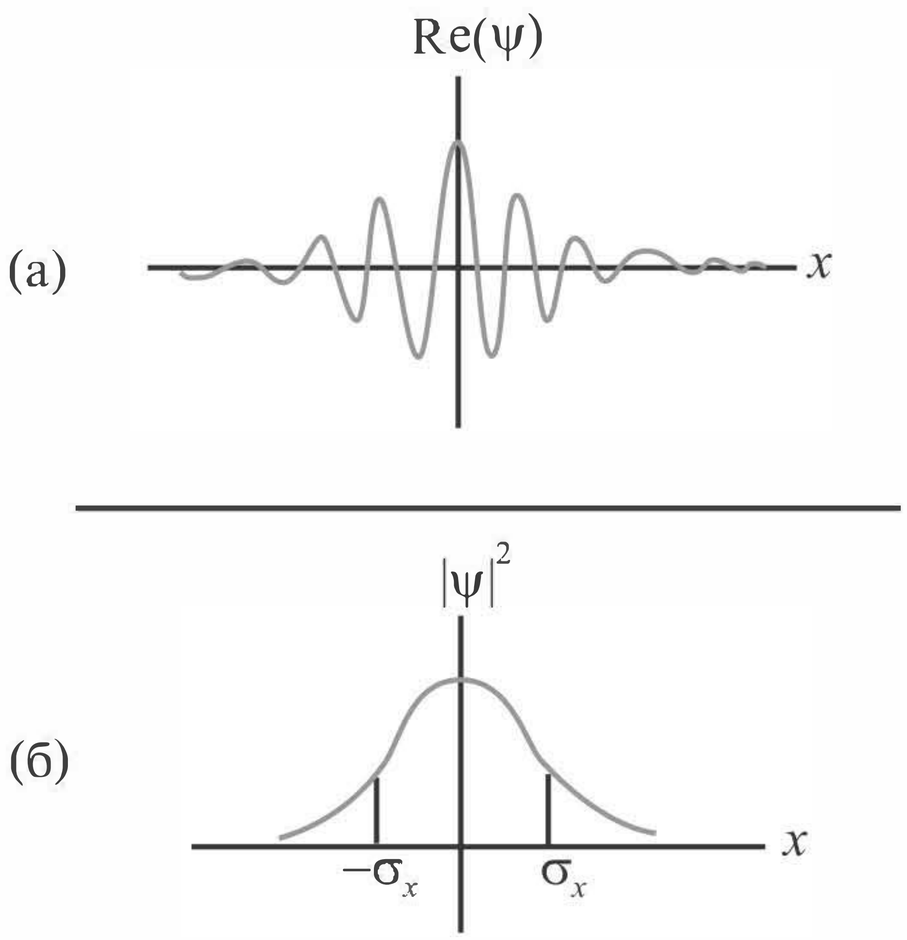


Рис. 25-1. Волновой пакет в виде распределения Гаусса. *а* — зависимость действительной части волновой функции от x; *б* — зависимость квадрата модуля волновой функции или плотности вероятности от x

Следует заметить, что более чем в 50 % случаев частицу можно обнаружить на оси x в интервале от $-\sigma_x$ до $+\sigma_x$. Функция $\exp\left(-x^2/2\sigma_x^2\right)$ представляет собой известное распределение Гаусса; здесь σ_x — среднеквадратичное отклонение, которое мы будем называть неопределенностью величины x и обозначать Δx. Такая локализованная волна называется волновым пакетом. Хотя изображенная на рис. 25-1, *а* волна не является чисто монохроматической, как было показано в приложении 2 гл. 21, подобный волновой пакет можно представить в виде суммы монохроматических волн.

Для иллюстрации этого рассмотрим волновой пакет в момент времени $t = 0$ и подберем подходящую суперпозицию монохроматических волн типа $\exp(ikx)$. Для этого необходимо найти коэффициенты B_n в следующем выражении:

$$\psi = \exp\left(-\frac{x^2}{4\sigma_x^2}\right)\exp\left(ik_0 x\right) = \sum B_n \exp\left(ik_n x\right).$$

В этом выражении содержится бесконечное число монохроматических волн. Поэтому мы перейдем от суммирования к интегрированию:

$$\psi = \exp\left(-\frac{x^2}{4\sigma_x^2}\right)\exp\left(ik_0 x\right) = \int B\left(k\right)\exp\left(ikx\right)dk. \qquad (25\text{-}3)$$

Воспользуемся следующим математическим тождеством:

$$\exp\left(-\frac{x^2}{4\sigma_x^2}\right)\exp\left(ik_0 x\right) = \frac{\sigma_x}{\sqrt{\pi}}\int\exp\left[-\sigma_x^2\left(k-k_0\right)^2\right]\exp\left(ikx\right)dk. \qquad (25\text{-}4)$$

(Вычисление интеграла в правой части можно найти в любом курсе математического анализа.) Сравнивая формулу (25-3) с (25-4), получаем

$$B\left(k\right) = \frac{\sigma_x}{\sqrt{\pi}}\exp\left[-\sigma_x^2\left(k-k_0\right)^2\right].$$

Наконец, заменим k на $p/\hbar$, воспользовавшись соотношением де Бройля (25-1):

$$B\left(p\right) = \frac{\sigma_x}{\sqrt{\pi}}\exp\left[-\frac{\left(p-p_0\right)^2}{\left(\hbar/\sigma_x\right)^2}\right].$$

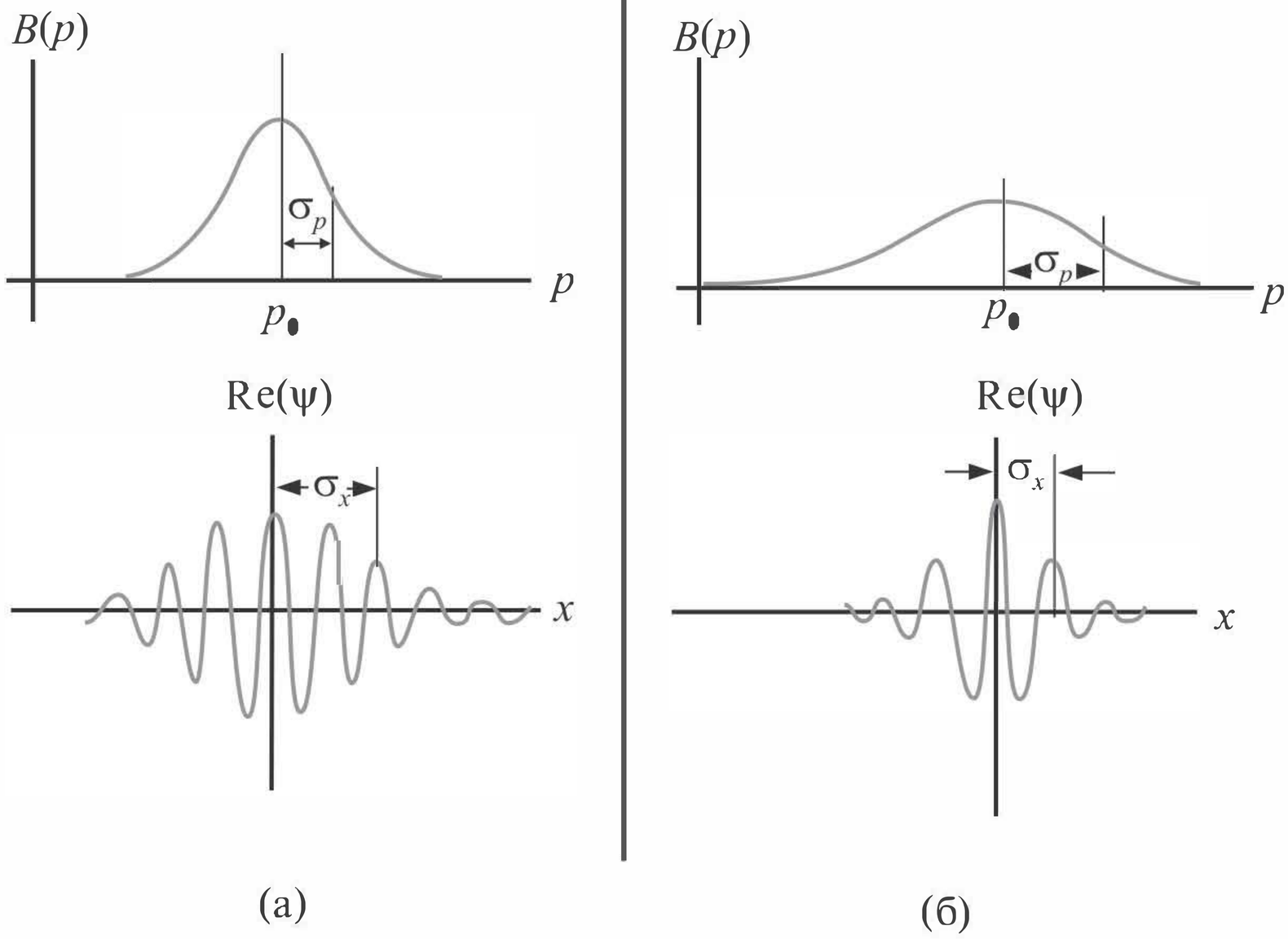


Рис. 25-2. Функция распределения $B(p)$ по импульсам (наверху) и соответствующий ей волновой пакет (внизу). Ширина волнового пакета на рис. *а* вдвое превышает его ширину на рис. *б*. В обоих случаях, заметим, произведение $\sigma_x\sigma_p$ одно и то же

§ 2. Принцип неопределенности

На рис. 25-2 представлены распределения по импульсам для случая двух волновых пакетов различной ширины. Следует отметить, что чем у́же волновой пакет, тем шире распределение по импульсам. Поскольку вероятность найти частицу в состоянии, описываемом волновой функцией $B(k)\exp(ikx)$, пропорциональна квадрату ее амплитуды, вероятность различных значений импульса определяется функцией

$$\left|B(p)\right|^2 = \frac{\sigma_x^2}{\pi}\exp\left[-\frac{(p-p_0)^2}{2(\hbar/2\sigma_x)^2}\right]. \qquad (25\text{-}5)$$

Мы видим, что $|B(p)|^2$ также является распределением Гаусса для p, и его можно переписать в виде

$$\left|B(p)\right|^2 = \frac{\sigma_x^2}{\pi}\exp\left[-\frac{(p-p_0)^2}{2\sigma_p^2}\right], \qquad (25\text{-}6)$$

где σ_p — среднеквадратичное отклонение или «неопределенность» величины p. Сравнивая выражения (25-5) и (25-6), получаем

$$\sigma_p = \hbar/2\sigma_x,\ \sigma_p\sigma_x = \hbar/2. \qquad (25\text{-}7)$$

Таким образом, в случае с волновой функцией в виде распределения Гаусса произведение ширины волнового пакета на ширину функции распределения по импульсам равно $\hbar/2$. В других случаях это произведение может быть больше $\hbar/2$, но оно никогда не будет меньше $\hbar/2$. В общем случае мы имеем

$$\Delta x\Delta p \geq \hbar/2 \text{ (}\textit{принцип неопределенности}\text{)}. \qquad (25\text{-}8)$$

Принцип неопределенности утверждает, что если частица локализована в пространстве со среднеквадратичным отклонением Δx, то ее импульс не имеет определенного значения, а характеризуется распределением $|B(p)|^2$ с «шириной» Δp. Физически это означает, что невозможно одновременно точно определить значения координаты и импульса частицы.

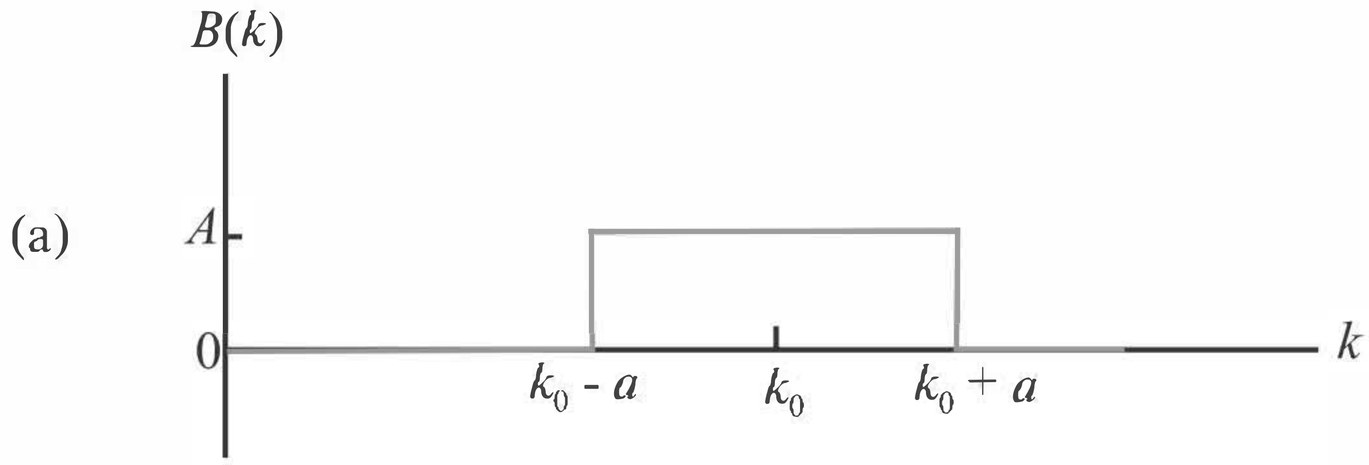


Рис. 25-3. *а* — прямоугольное распределение по импульсам; *б* — распределение по координатам, или волновой пакет, соответствующий распределению на рис. *а*

Пример 1. Допустим, что в случае волнового пакета распределение по импульсам имеет вид прямоугольника, как показано на рис. 25-3, *а*:

$$B(k)=\begin{cases}0, k<(k_0-a),\\ A, (k_0-a)<k<(k_0+a),\\ 0, k>(k_0+a).\end{cases}$$

Найдем $\psi(x)$ и произведение $\Delta x\Delta p$ (Δx — полуширина распределения вероятностей координаты, измеренная на уровне половины максимального значения, и Δp — то же самое для импульса).

Решение: Используя формулу (25-3), находим

$$\psi(x)=A\int_{k_0-a}^{k_0+a}e^{ikx}dk=\left[\frac{1}{ix}e^{ikx}\right]_{k_0-a}^{k_0+a}=$$

$$=\frac{A}{ix}\left\{\exp\left[ix(k_0+a)\right]-\exp\left[ix(k_0-a)\right]\right\}=$$

$$=2A\frac{\sin ax}{x}e^{ik_0x}.$$

$$|\psi|^2=4,4^2\frac{\sin^2 ax}{x^2}.$$

Эта функция уменьшается вдвое при $ax=1,39$. Следовательно,

$a\Delta x=1,39.$

Поскольку $a=\Delta k=\Delta p/\hbar$, то

$(\Delta p/\hbar)\Delta x=1,39.$

Таким образом,

$\Delta x\Delta p=1,39\hbar.$

Если известно, что частица покоится, то неопределенность ее импульса $\Delta p=0$. Можно было бы думать, что с помощью микроскопа удастся определить положение частицы и тем самым ниспровергнуть принцип неопределенности. Но микроскоп позволит определить положение частицы в лучшем случае с точностью до длины волны используемого света (см. § 4 гл. 23). Следовательно, $\Delta x\approx\lambda$. Но поскольку $\Delta p=0$, то произведение $\Delta x\Delta p$ также должно быть равно нулю и принцип неопределенности нарушится! Так ли это? Давайте подойдем к этому с позиций квантовой механики. Мы пользуемся светом, а квантовая теория утверждает, что свет состоит из фотонов с импульсом $p=h/\lambda$. Чтобы обнаружить

частицу, на ней должен рассеяться или поглотиться по крайней мере один из фотонов пучка света, собранного конденсорной линзой (рис. 25-4). Следовательно, частице будет передан импульс, достигающий h/λ. Таким образом, в момент наблюдения положения частицы с точностью $\Delta x \approx \lambda$ неопределенность ее импульса $\Delta p \geq h/\lambda$. Перемножая эти неопределенности, получаем

$$\Delta x \Delta p \geqslant \lambda \frac{h}{\lambda} = h,$$

что согласуется с (25-8). Этот пример иллюстрирует внутреннюю непротиворечивость квантовой механики. Физики вместе с математиками усердно искали противоречия, но ничего обнаружить не удалось.

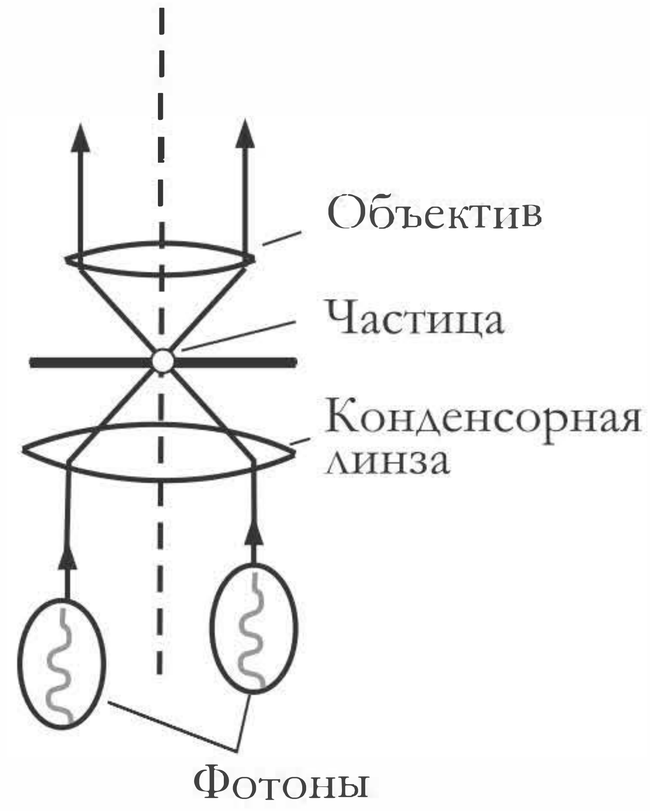


Рис. 25-4. Взаимодействие в микроскопе фотонов с частицей

Скорость волновых пакетов

В гл. 21 мы выяснили, что волновой пакет распространяется не со скоростью волны $u = \omega/k$, а с групповой скоростью $v_g = d\omega/dk$ [см. (21-17)]. Согласно соотношению де Бройля, $\hbar\omega = E$ и $\hbar k = p$ для всех частиц. Заменим в выражении $E = p^2/2m$ величину E на $\hbar\omega$, а p на $\hbar k$; тогда

$$\hbar \frac{d\omega}{dk} = \frac{\hbar^2 k}{m}.$$

Продифференцируем это выражение по k:

$$\hbar \frac{d\omega}{dk} = \frac{\hbar^2 k}{m},$$

$$\frac{d\omega}{dk} = \frac{\hbar k}{m} = \frac{p}{m} = v,$$

$$v_g = v.$$

Таким образом, представление локализованной частицы в виде волнового пакета приводит к верному классическому результату. Волновой пакет (как ему и надлежит) перемещается с такой же скоростью, как и частица.

Расплывание волнового пакета

Рассмотрим две частицы, одна из которых имеет скорость v_g, а другая — скорость $v_g + \Delta v_g$. В момент времени $t = 0$ их координаты совпадают, а спустя промежуток времени t частицы расходятся на расстояние

$$\Delta x = (\Delta v_g)\, t. \qquad (25\text{-}9)$$

Покажем, что отдельному волновому пакету свойствен разброс значений групповой скорости Δv_g, который в соответствии с (25-9) должен приводить к увеличению ширины Δx. Оценим величину Δv_g. Мы имеем

$$\Delta v_g = \frac{dv_g}{dp} \Delta p.$$

Используя результат предыдущего раздела, мы можем вместо v_g написать v:

$$\Delta v_g = \frac{dv}{dp} \Delta p \approx \frac{1}{m} \Delta p. \qquad (25\text{-}10)$$

Начальное значение Δp ограничено, согласно принципу неопределенности,

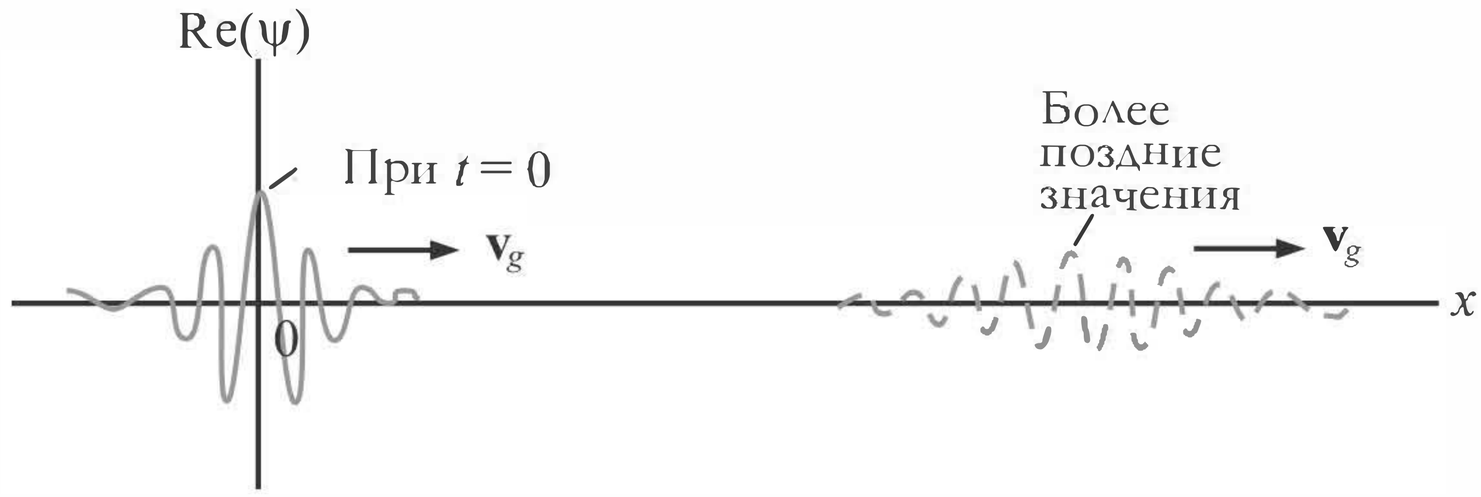


Рис. 25-5. Гауссов волновой пакет в два последовательных момента времени. Пакет движется вправо с групповой скоростью, которая совпадает со скоростью частицы

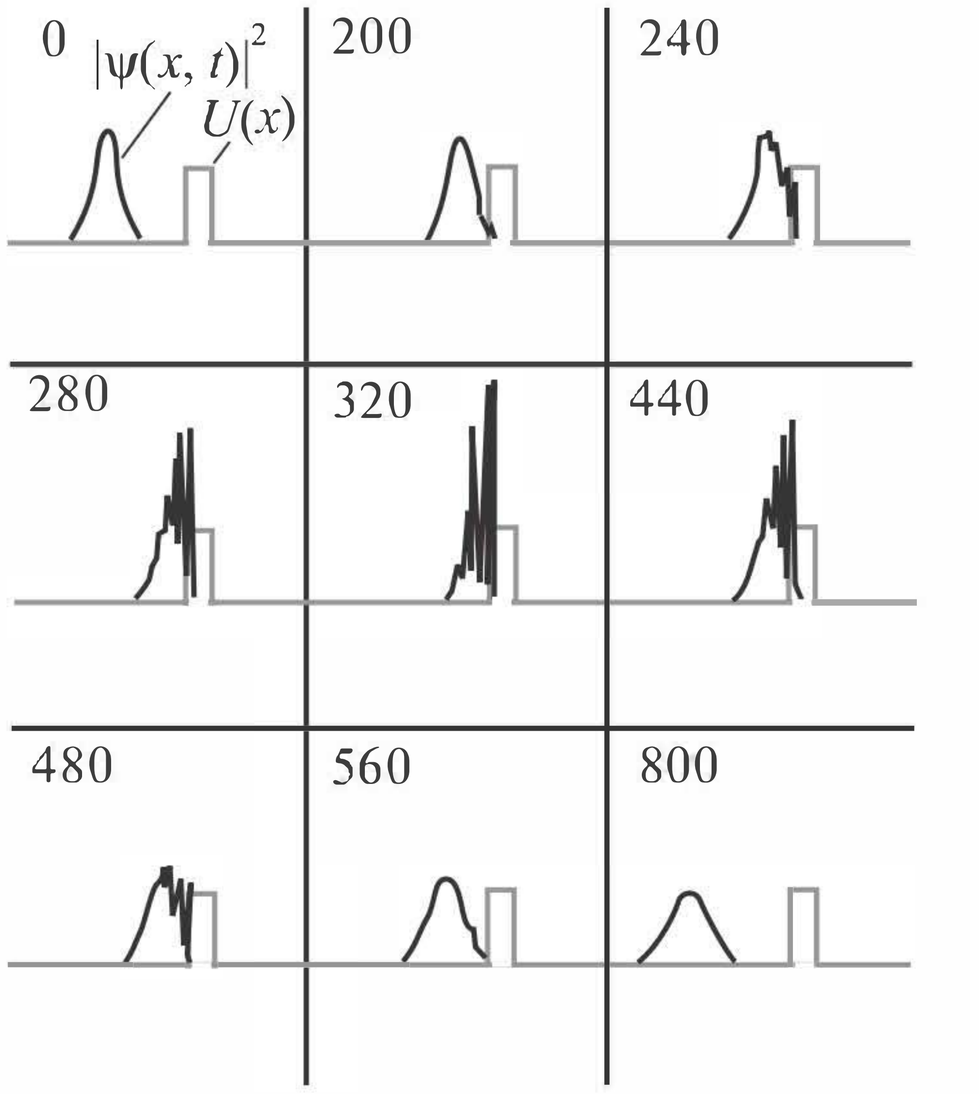


Рис. 25-6. Столкновение гауссова волнового пакета с потенциальным барьером прямоугольной формы. Для удобства плотность вероятности и потенциальный барьер (показан цветной линией) построены на одной и той же оси (высота пакета относительно величины барьера не имеет определенного значения). Средняя энергия волнового пакета растет со временем (время указано числами в левой верхней части каждого рисунка). [Из статьи: *Goldberg A., Schey H.M., Schwartz J.L,* Amer. Journ. Phys., **177**, March 1967.]

величиной $\hbar/\Delta x_0$, где Δx_0 — неопределенность начального положения или ширина исходного волнового пакета. Подставляя эту величину в (25-10), получаем

$$\Delta v_g \approx \frac{1}{m}\left(\frac{\hbar}{\Delta x_0}\right).$$

Подстановка последнего выражения в (25-9) дает

$$\Delta x \approx \frac{\hbar}{m\Delta x_0} t.$$

Это уширение растет пропорционально t и складывается с начальной шириной Δx_0. Как мы вскоре увидим, подобного «расплывания» волнового пакета можно избежать, только поместив частицу в потенциальную яму. На рис. 25-5 показано, как деформируется волновой пакет с течением времени, а на рис. 25-6 — к чему приводит столкновение волнового пакета, описывающего свободную частицу, с потенциальным барьером.

Чтобы получить количественное представление о скорости расплывания волнового пакета в случае со свободной частицей, рассмотрим свободный электрон, локализованный в начальный момент времени в области $\Delta x_0 = 10^{-10}$ м (типичный размер атома). Спустя одну секунду мы будем иметь

$$\Delta x = \frac{\hbar}{m\Delta x_0} t = \frac{10^{-34}}{9 \cdot 10^{-31} \cdot 10^{-10}} = 1{,}1 \cdot 10^{6} \text{ м} = 1100 \text{ км}.$$

Мы видим, что уже через одну секунду электронное облако окажется по своим размерам больше штата Техас. Хотя квантовая теория позволяет точно определить поведение волновой функции в будущем, если она известна в начальный момент времени, однако это мало чем может помочь, поскольку волновая функция очень быстро расплывается по всему пространству.

Квантовая механика позволяет выйти из одного затруднения философского плана, с которым столкнулась классическая физика. В период господства классической физики считалось, что если в некоторый момент времени t_0 известны точные значения координат и скоростей всех частиц во Вселенной, то, используя точные физические законы, в принципе можно полностью описать картину прошлого и будущего*. Вселенная при этом представлялась единым гигантским механизмом. Основываясь на подобных аргументах, некоторые философы могли бы прийти к выводу, что все действия человека (ведь даже люди состоят из протонов, нейтронов и электронов) полностью предопределены. При этом, разумеется, учитывалось, что подобные расчеты будущего или прошлого никогда не удастся осуществить из-за бесконечно большого числа частиц во Вселенной. Но все-таки соображения подобного рода доставляли беспокойство тем, кто хотел бы верить в свободу воли.

Из принципа неопределенности следует, что существует более серьезное препятствие, чем число частиц для выполнения таких расчетов; таким образом, классический детерминизм больше не «довлеет» над физиками. Однако это не означает, что мы вправе взывать к квантовой механике как к доказательству существования свободы воли.

Нам уже встречались и другие примеры, опровергающие классический детерминизм. Скажем, согласно общепринятой интерпретации квантовой теории, нет способа установить, каким из электронов был поглощен фотон при фотоэффекте. Мы можем лишь вычислить вероятность поглощения фотона данным электроном. Это же относится и к месту попадания отдельного электрона на экран (см. рис. 24-8). Интерференционная картина характеризует лишь вероятность обнаружения электрона в данной точке экрана. То же самое справедливо и для распада радиоактивного ядра — например, урана. Согласно квантовой теории, все, что нам вообще может быть известно, — это только вероятность, с которой в данный интервал времени может произойти распад. Предсказываемые вероятности можно затем сопоставить со средними значениями по многим наблюдениям.

Мы видим, что, когда речь идет о взаимодействиях и структуре микрочастиц, представления квантовой теории коренным образом отличаются от классических. Если же, как мы считаем, квантовая теория верна, то нельзя надеяться, что с помощью классической физики можно изучить явления микромира и строение вещества.

§ 3. Частица в ящике

Рассмотрим частицу, заключенную в одномерный ящик с абсолютно отражающими стенками, расстояние между которыми равно L. Справа от стенки в точке $x = 0$ (рис. 25-7) происходит наложение двух волн, распространяющихся в противоположных направлениях. В этом случае

$$\psi(x, t) = Be^{ikx - i\omega t} - Be^{-ikx - i\omega t} = \\ = B\,(e^{ikx} - e^{-ikx})\,e^{-i\omega t}.$$

Мы выбрали знак «минус» в силу того, что ψ должна обращаться в нуль при $x = 0$ (ψ обращается в нуль за стенкой и должна быть непрерывной). Используя известную формулу

---

* Принято считать, что эта идея принадлежит французскому физику и математику Пьеру Симону Лапласу (1749–1827) и носит название «лапласовский детерминизм». — *Прим. ред.*

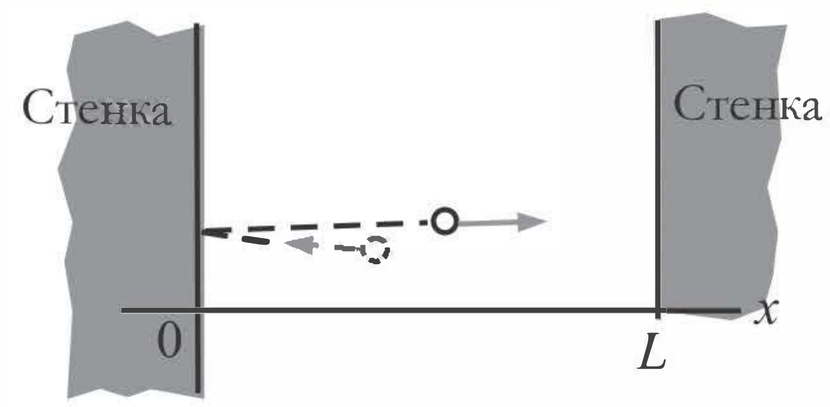


Рис. 25-7. Частица отражается от левой стенки ящика, имеющего длину L

$$\sin kx = \frac{e^{ikx} - e^{-ikx}}{2i},$$

перепишем $\psi(x, t)$ в виде

$$y(x, t) = 2iBe^{-i\omega t} \sin kx.$$

Пусть $A = 2Bi$, а $\psi(x)$ — волновая функция, зависящая только от координат; тогда

$$\psi(x) = A \sin kx. \qquad (25\text{-}11)$$

Функция $\psi(x)$ должна обращаться в нуль при $x = L$ по той же причине, что и при $x = 0$. Подставляя в (25-11) вместо x величину L, получаем

$$0 = \sin (kL).$$

Это равенство имеет место, когда $kL = n\pi$, где n — целое число. Мы видим, что разрешены только такие значения волнового числа k_n, которые удовлетворяют равенству

$$k_n = n\pi/L. \qquad (25\text{-}12)$$

Тем самым мы потребовали, чтобы в ящике укладывалось целое число полуволн, что совпадает с условием возникновения стоячей волны на струне:

$$L = n\,(\lambda/2).$$

На рис. 25-8 изображены волновые функции $\psi_n(x) = A \sin (n\pi/L)\, x$ для $n = 1, 2, 3, 4$. Соответствующие значения импульса записываются в виде

$$p_n = \hbar k_n$$

или, с учетом (25-12), как

$$p_n = n(\pi\hbar/L). \qquad (25\text{-}13)$$

Этим импульсам соответствуют значения кинетической энергии

$$E_n = \frac{p_n^2}{2m} = n^2 \frac{\pi^2\hbar^2}{2mL^2}. \qquad (25\text{-}14)$$

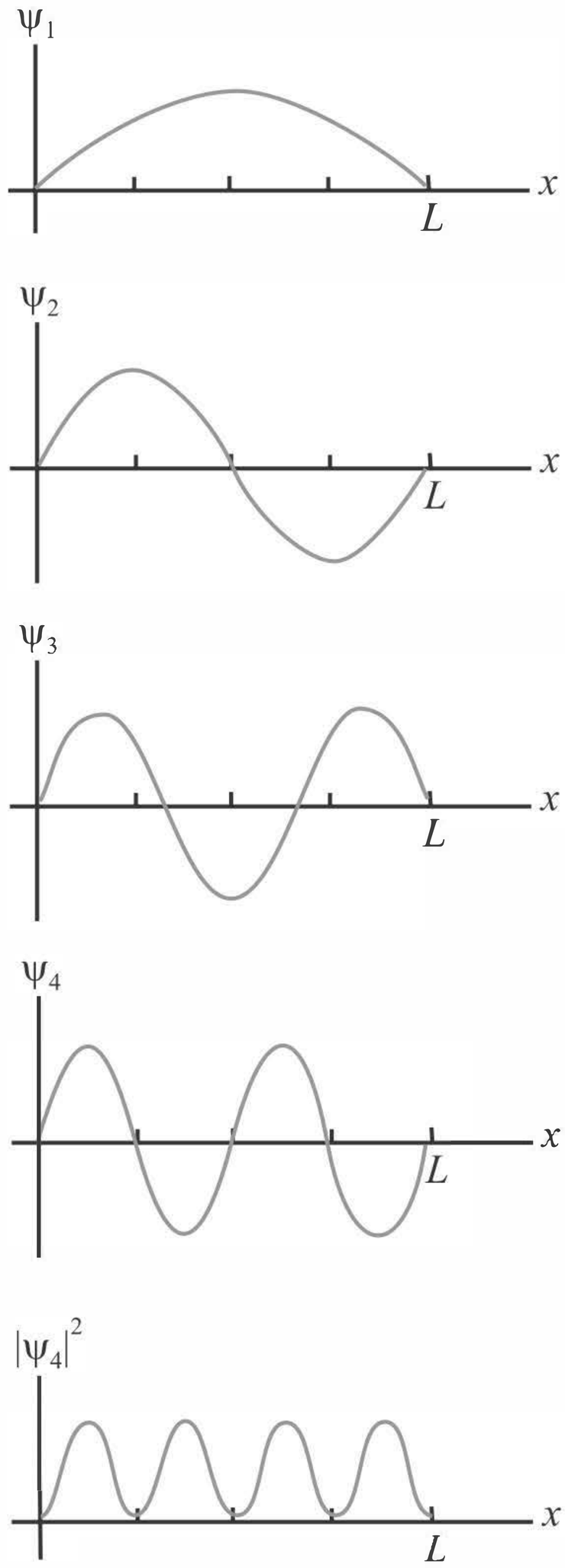


Рис. 25-8. Первые четыре стоячие волны, соответствующие частице в ящике; на нижнем рисунке — плотность вероятности для частицы в состоянии с $n = 4$

Следует заметить, что наинизшая возможная энергия $\pi^2\hbar^2/2mL^2$ отвечает $n = 1$, а соответствующая волновая функция представляет собой в точности половину синусоиды. Эта энергия называется энергией основного состояния. В квантовой механике частица в ящике не может иметь энергию меньше $\pi^2\hbar^2/2mL^2$ вследствие того, что ψ в ящике должна быть ненулевой функцией; в классической же физике частица может иметь нулевую энергию.

Чтобы получить представление о масштабе этих энергий, рассмотрим электрон, заключенный в ящик с размерами, типичными для атома (10^{-10} м или 1 Å). В этом случае

$$E_n = n^2 \frac{\pi^2\hbar^2}{2mL^2} = n^2 \frac{(3{,}14)^2 \left(1{,}05\cdot 10^{-34}\right)^2}{2\left(9{,}11\cdot 10^{-31}\right)10^{-20}} =$$

$$= \left(5{,}97\cdot 10^{-18} n^2\right) \text{Дж} = \left(37{,}3\, n^2\right) \text{эВ}.$$

На рис. 25-9 представлены четыре низших уровня энергии. Энергия E_1 сравнима по величине с кинетической энергией электрона в атоме водорода.

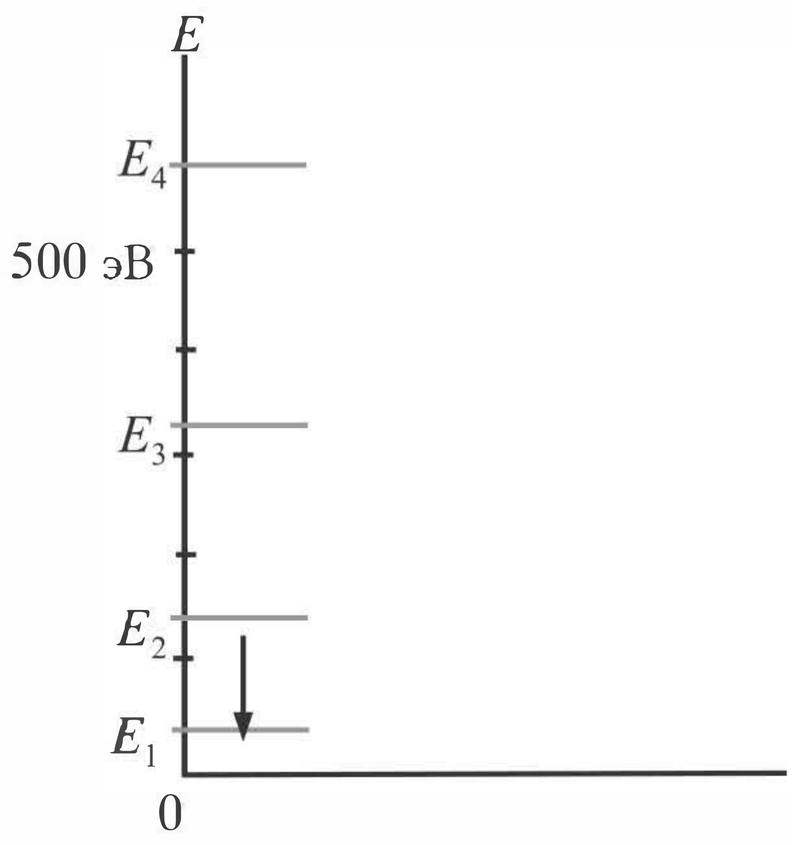


Рис. 25-9. Четыре низших энергетических уровня электрона, находящегося в ящике шириной 10^{-10} м. Стрелкой показан переход, обсуждаемый в примере 2

Пример 2. Допустим, что в ящике с линейным размером $L = 10^{-10}$ м в состоянии с $n = 2$ находится электрон (см. рис. 25-9), который может испустить фотон и перейти в состояние с наименьшей энергией. Чему равна длина волны фотона?

Решение: Из закона сохранения энергии следует, что энергия фотона

$$hf = E_2 - E_1 = 4E_1 - E_1 = 1{,}79\cdot 10^{-17} \text{ Дж},$$

откуда

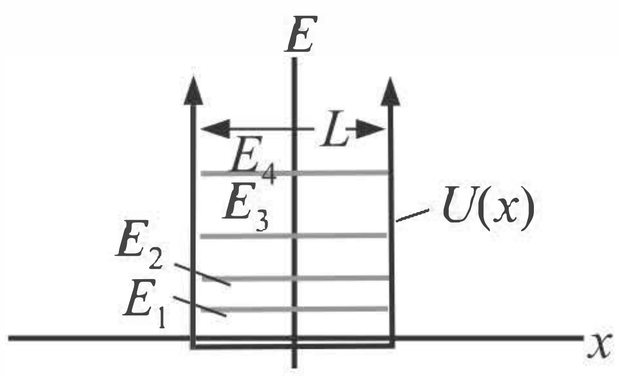
$$f = \frac{1{,}79\cdot 10^{-17}}{h} = 2{,}70\cdot 10^{16} \text{ с}^{-1}$$

и

$$\lambda = \frac{c}{f} = \frac{3\cdot 10^8}{2{,}7\cdot 10^{16}} = 1{,}11\cdot 10^{-8} \text{ м} = 111 \text{ Å}.$$

В этом примере фотон принадлежит ультрафиолетовой области спектра электромагнитного излучения, в которой как раз и расположены наиболее интенсивные линии спектра водорода. Поскольку энергия электрона в ящике может принимать лишь определенные дискретные значения, энергии (или длины волн) испускаемых электронов фотонов также должны составлять дискретный набор значений. Такой «свет», проанализированный спектроскопом, имел бы линейчатый спектр, как и спектр излучения атомов. На самом деле электрон, заключенный в ящике, является лишь очень грубой моделью атома водорода. Ящик представляет собой прямоугольную потенциальную яму, тогда как в атоме водорода электрон движется в потенциальной яме, образуемой кулоновским полем и показанной на рис. 25-10. Однако в обоих случаях качественное поведение оказывается сходным. Поскольку электрон должен описываться стоячей волной, существует лишь определенный набор возможных волновых функций ψ_n и соответствующих им энергий E_n.

(а)



(б)

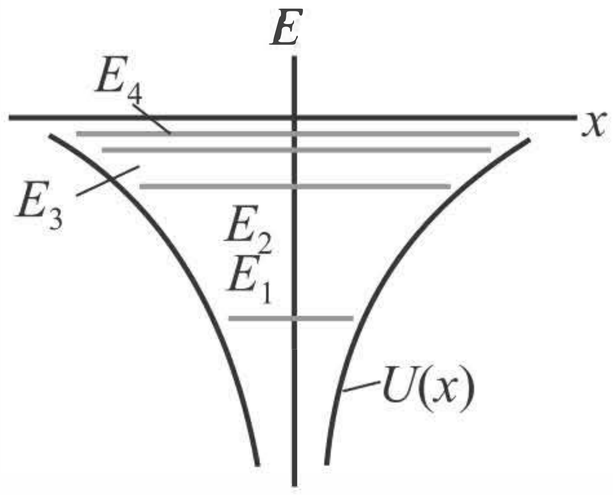


Рис. 25-10. *а* — четыре низших энергетических уровня в случае с потенциальной ямой с бесконечно высокими стенками; *б* — четыре низших энергических уровня в случае с потенциальной ямой, образованной силой электростатического притяжения

Пример 3. Предположим, что ящик настолько мал, что энергия частицы в нем сравнима с mc^2. Найдем точное релятивистское значение энергии E_n частицы.

Решение: В этом случае следует воспользоваться релятивистским соотношением

$$E_n = c\sqrt{p_n^2 + m^2c^2},$$

где E_n — полная энергия частицы, включая энергию покоя mc^2. Поскольку для релятивистских частиц также справедливо соотношение де Бройля, последнее выражение с учетом (25-13) для p_n можно переписать в виде

$$E_n = c\sqrt{n^2\frac{\pi^2\hbar^2}{L^2} + m^2c^2}.$$

Пример 4. Предположим, что частица с энергией E находится в потенциальной яме, показанной на рис. 25-11. Эта потенциальная яма та же, что и на рис. 25-10, *а*, и отличается от нее лишь тем, что начало отсчета энергии сдвинуто на величину U_1. Таким образом, внутри ямы потенциальная энергия равна U_1. (В данной задаче величина U_1 отрицательна.)

а) Чему равна вторая производная $d^2\psi/dx^2$ волновой функции частицы, находящейся в яме?

б) Каков набор энергий E_n?

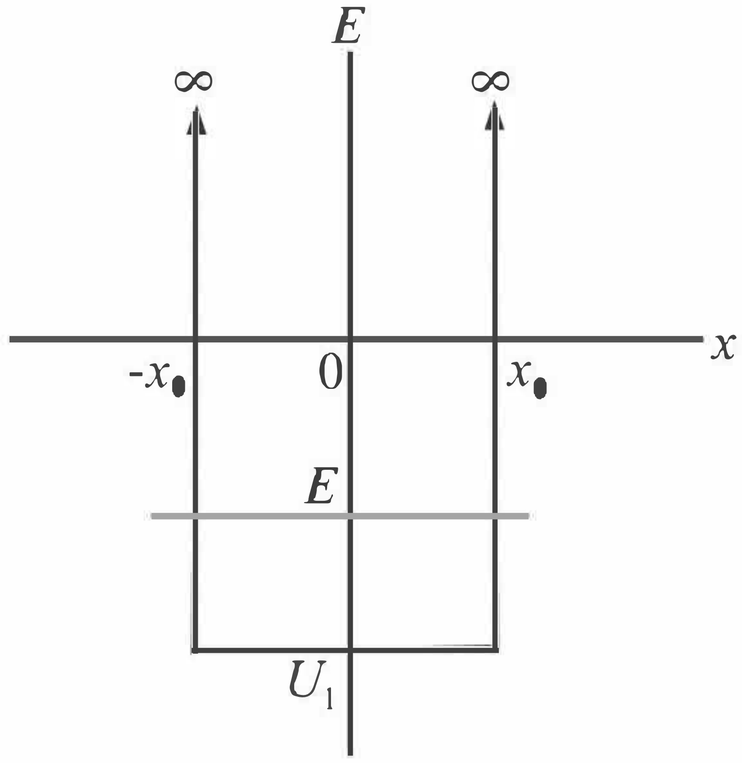


Рис. 25-11. Потенциальная яма с бесконечно высокими стенками, аналогичная яме на рис. 25-10, *а*, но со смещенной энергетической шкалой

Решение: а) В общем случае волновая функция частицы в яме имеет вид

$$\psi = A\sin(kx + \varphi);$$

импульс p можно получить из соотношения $E = p^2/2m + U_1$:

$$p = \sqrt{2m(E - U_1)},$$

так что $k = \sqrt{\frac{2m}{\hbar^2}(E - U_1)}$.

Следовательно, вторая производная ψ имеет вид

$$\frac{d^2\psi}{dx^2} = -k^2A\sin(kx + \varphi) = -k^2\psi,$$

$$\frac{d^2\psi}{dx^2} = -\frac{2m}{\hbar^2}(E - U_1)\psi. \qquad (25\text{-}15)$$

б) Набор значений кинетической энергии дается выражением (25-14); нужно только заменить L на $2x_0$ и учесть, что $K_n = (E_n - U_1)$. Таким образом,

$$K_n = n^2 \frac{\pi^2\hbar^2}{2mL^2},$$

$$E_n - U_1 = n^2 \frac{\pi^2\hbar^2}{2m(2x_0)^2},$$

$$E_n = n^2 \frac{\pi^2\hbar^2}{2m(2x_0)^2} + U_1.$$

§ 4. Уравнение Шредингера

До сих пор мы имели дело со свободными частицами, которые обладают определенным импульсом и, следовательно, определенной длиной волны. В более общем случае на частицу могут действовать внешние силы, характеризуемые потенциальной энергией взаимодействия $U(x)$. При этом, поскольку полная энергия

$$E = \frac{p^2}{2m} + U(x) \qquad (25\text{-}16)$$

сохраняется постоянной, возрастание потенциальной энергии U с координатой x (см. рис. 25-12, *а*) будет сопровождаться уменьшением импульса p и соответствующим увеличением длины волны. Таким образом, волновой функции должна отвечать меняющаяся длина волны. На рис. 25-12, *б* изображена волновая функция, у которой длина волны увеличивается с ростом x. Точный вид волновой функции $\psi(x)$ с меняющейся длиной волны можно найти, решая дифференциальное уравнение, называемое уравнением Шредингера.

Найдем это уравнение для случая, когда $U(x)$ аппроксимируется ступенчатой функцией, приведенной на рис. 25-12, *в*. Из примера 4 известно, что в области U_1 волновая функция $\psi(x)$ удовлетворяет уравнению (25-15):

$$\frac{d^2\psi}{dx^2} = -\frac{2m}{\hbar^2}(E - U_1)\psi.$$

Поскольку это уравнение справедливо и для U_2, U_3, ..., U_j, а любую $U(x)$ можно представить в виде набора маленьких «ступенек», то U_1 можно заменить на $U(x)$:

$$\frac{d^2\psi}{dx^2} = -\frac{2m}{\hbar^2}\left[E - U(x)\right]\psi \text{ (}\textit{стационарное уравнение Шредингера}\text{).} \qquad (25\text{-}17)$$

Это известное стационарное уравнение Шредингера для одного измерения. Оно применимо к нерелятивистским системам при условии, что распределение вероятностей не меняется со временем; иными словами, оно справедливо в случаях, когда функции имеют вид стоячих

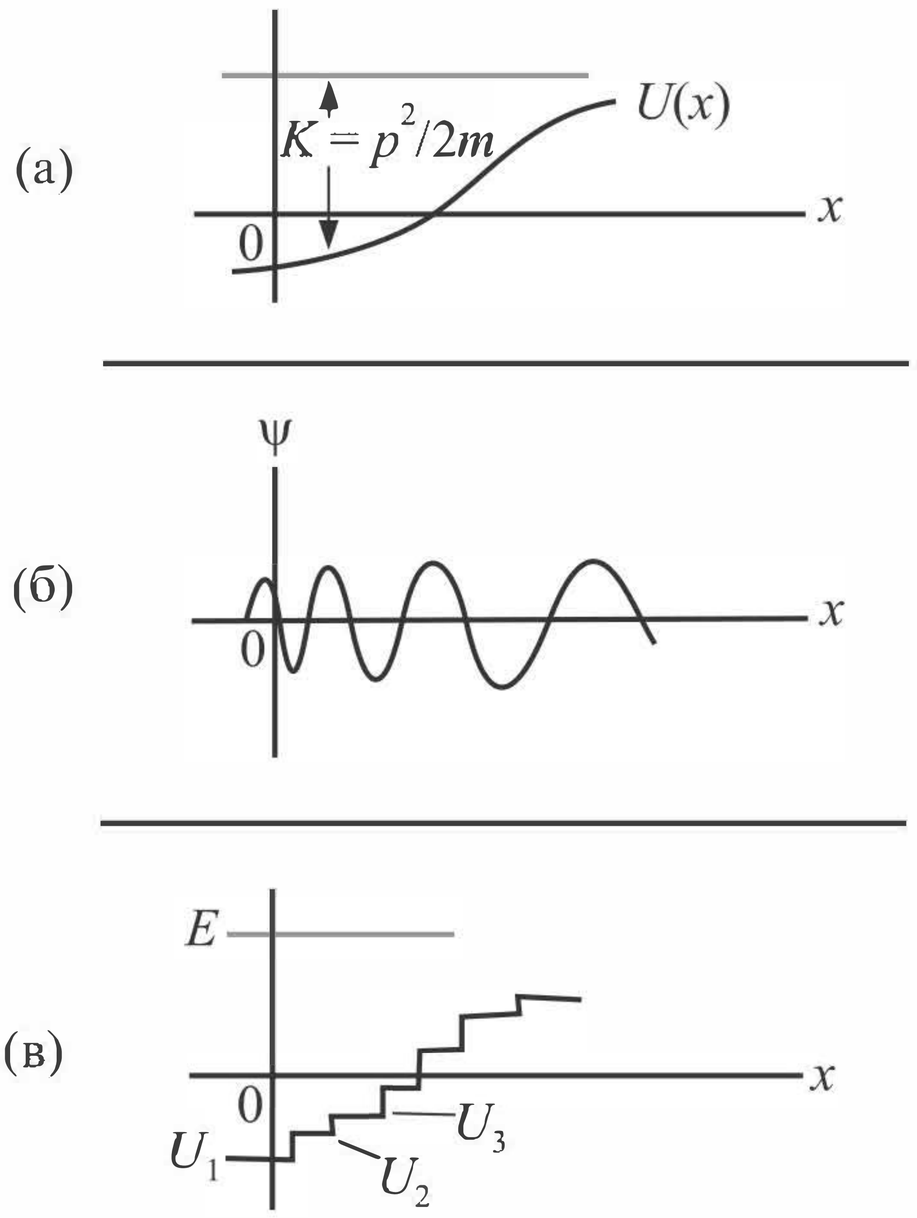


Рис. 25-12. *а* — с ростом x потенциальная энергия $U(x)$ возрастает, а K уменьшается; *б* — соответствующая волновая функция $\psi(x)$, длина волны которой увеличивается с x; *в* — аппроксимация функции $U(x)$, приведенной на рис. *а*, ступенчатой функцией

волн. [Существует также нестационарное (или зависящее от времени) уравнение Шредингера, применяемое при решении задач, в которых волновой пакет изменяется во времени.] Мы рассмотрим несколько задач, относящихся к частице в потенциальной яме. Для нахождения стационарных состояний (стоячих волн) мы используем стационарное уравнение Шредингера.

Граничные условия

Если частица находится в потенциальной яме, то вероятность найти ее вне ямы обращается в нуль; следовательно, здесь граничное условие состоит в том, что вероятность найти частицу при больших значениях $|x|$ обращается в нуль. Как будет показано в следующем параграфе, этому граничному условию удовлетворяют лишь определенные значения E (будем обозначать их E_n) и соответствующие ψ_n. Значения E_n называются собственными значениями, а соответствующие волновые функции — собственными функциями.

§ 5. Потенциальные ямы конечной глубины

В § 3 мы рассматривали частицу в яцике, который представлял собой потенциальную яму с бесконечно высокими стенками. В данном параграфе с помощью уравнения Шредингера мы решим задачу о движении частицы в потенциальной яме со стенками конечной высоты U_0 (рис. 25-13). Нам нужно найти волновые функции ψ_n и энергии E_n, которые удовлетворяли бы граничному условию, такому, что $\psi(x) \to 0$ при больших $|x|$. На первый взгляд может показаться, что при $|x| > x_0$ функция $\psi(x)$ должна обращаться в нуль, поскольку в этой области величина $E - U$ отрицательна, и это соответствовало бы отрицательным значениям кинетической энергии, запрещенным в классической механике ($K = E - U$). Однако в области II на рис. 25-13 уравнение Шредингера можно записать в виде

$$\frac{d^2\psi}{dx^2} = \frac{2m}{\hbar^2}(U_0 - E)\psi.$$

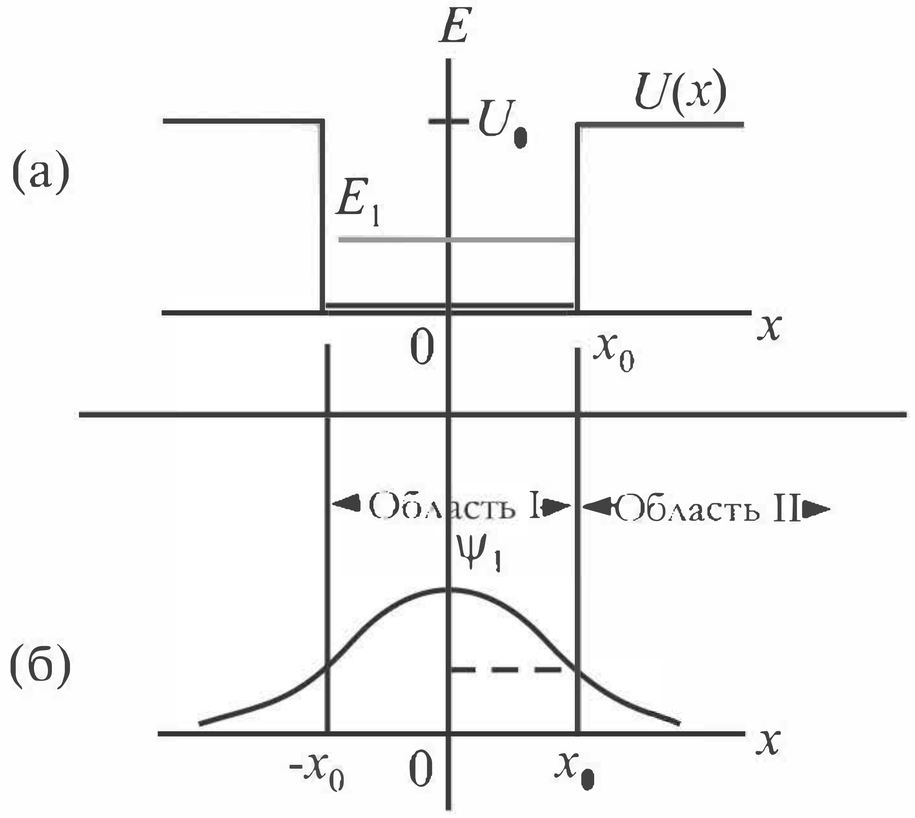


Рис. 25-13. *а* — потенциальная яма глубиной U_0 и первый энергетический уровень; *б* — соответствующая волновая функция

Это уравнение имеет решения

$$\psi_{II} = e^{-\varkappa x} \text{ и } e^{+\varkappa x},$$

где

$$\varkappa \equiv \sqrt{\frac{2m(U_0 - E)}{\hbar^2}}. \qquad (25\text{-}18)$$

Заметим, что в случае, когда кинетическая энергия отрицательна, знаки второй производной $d^2\psi/dx^2$ и функции ψ совпадают и функция изгибается в сторону от оси x, в то время как в случае с положительной кинетической энергией (например, в области I) $\psi(x)$ изгибается в направлении к оси x, как и синусоида. На рис. 25-14 кривая b иллюстрирует поведение волновой функции у при правильном выборе значения E. Если энергия E выбрана чуть меньше, то в области I $\psi(x)$

будет соответствовать кривой *c*. Правильное поведение, иллюстрируемое кривой *b*, описывается функцией

$$\psi_{II} = Ae^{-\varkappa x} \text{ (в области II)}$$

и

$$\psi_I = B\cos kx \text{ (в области I)},$$

где

$$k = \sqrt{2mE/\hbar^2}.$$



Рис. 25-14. Кривая *b* совпадает с приведенной на рис. 25-13, *б*. Кривая *a* соответствует случаю, когда *E* несколько меньше E_1, а кривая *c* — когда *E* несколько больше E_1

При $x = x_0$

$$\psi_I(x_0) = \psi_{II}(x_0) \text{ или } B\cos kx_0 = Ae^{-\varkappa x}.$$

При $x = x_0$ одинаковы также и наклоны обеих кривых, так что

$$-kB\sin kx_0 = -\varkappa Ae^{-\varkappa x}.$$

Разделив это соотношение на предыдущее, получим

$$k\,\mathrm{tg}\,kx_0 = \varkappa.$$

Это трансцендентное уравнение можно решить для первого энергетического уровня E_1. Используя формулу (25-18), его можно привести к более простому виду:

$$\mathrm{tg}\,kx_0 = \frac{\varkappa}{k} = \sqrt{\frac{U_0}{E} - 1}.$$

Определим величины

$$y_0 \equiv \sqrt{\frac{2m}{\hbar^2}U_0}\,x_0 \text{ и } \psi \equiv kx_0.$$

Тогда

$$\mathrm{tg}\,y = \sqrt{\frac{y_0^2}{y^2} - 1}. \qquad (25\text{-}19)$$

Уравнение (25-19) может иметь несколько корней в зависимости от величины y_0. Интересно сравнить потенциальную яму конечной глубины с бесконечно глубокой потенциальной ямой шириной 10^{-10} м ($x_0 = 0{,}5\cdot10^{-10}$ м). Повторим вычисления для электрона, находящегося не в бесконечно глубокой яме (такие вычисления были проделаны в § 3), а в яме глубиной 800 эВ. Для $U_0 = 800$ эВ мы имеем

$$y_0 = \frac{\sqrt{2mU_0}}{\hbar}x_0 =$$

$$= \sqrt{2\left(9{,}1\cdot10^{-31}\right)\left(800\cdot1{,}6\cdot10^{-19}\right)}\,\frac{0{,}5\cdot10^{-10}}{1{,}05\cdot10^{-34}} =$$

$$= 7{,}27.$$

При этом уравнение (25-19) имеет три положительных корня; обозначим их y_1, y_3, y_5. Найти эти корни можно либо графически, либо методом итераций, либо методом «проб и ошибок». Корни имеют значения $y_1 = 1{,}38$, $y_3 = 4{,}11$ и $y_5 = 6{,}69$. Поскольку $k = y/x_0$ и $E = (\hbar k)^2/2m$, получаем

$$E_1 = 28{,}8 \text{ эВ},\ E_3 = 256 \text{ эВ},\ E_5 = 678 \text{ эВ}.$$

Следует заметить, что для $n = 2$ и 4 волновые функции в области I имеют вид $\psi_I = B\sin kx$. Сшивая граничные условия при $x = x_0$, имеем

$$B\sin kx_0 = Ae^{-\varkappa x_0},$$

$$-kB\cos kx_0 = -\varkappa A e^{-\varkappa x_0}.$$

Разделив одно соотношение на другое, получим

$$\operatorname{ctg} kx_0 = -\varkappa/k, \qquad (25\text{-}20)$$

$$\operatorname{ctg}\left(\sqrt{\frac{2mE}{\hbar^2}}x_0\right) = -\sqrt{\frac{U_0}{E}-1},$$

или

$$\operatorname{ctg} y = -\sqrt{\frac{y_0^2}{y^2}-1}.$$

В случае $y_0 = 7{,}27$ существуют два положительных корня: $y_2 = 2{,}75$ и $y_4 = 5{,}44$. Соответствующие энергии $E_2 = 115$ эВ и $E_4 = 447$ эВ (напомним, что они получены для электрона в потенциальной яме конечной глубины). На рис. 25-15 показаны все эти уровни энергии, а на рис. 25-16 — первые три волновые функции.

В гл. 29 при изучении ядерной физики мы увидим, что общее решение задачи о частице, находящейся в прямоугольной потенциальной яме конечной глубины, имеет практическое значение. Коротко-действующие ядерные силы, действующие между нейтроном и протоном, можно приближенно представить в виде прямоугольной потенциальной ямы, а затем с помощью формулы (25-20) вычислить энергию связи дейтрона и его размеры (т. е. волновую функцию дейтрона).

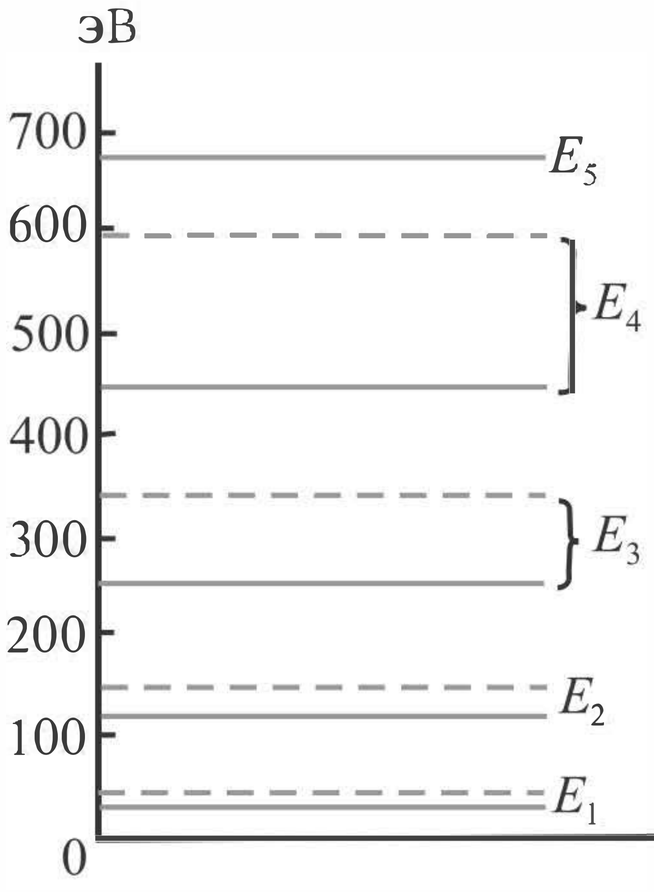


Рис. 25-15. Энергетические уровни электрона в яме шириной 10^{-10} м. Сплошные линии соответствуют потенциальной яме глубиной 800 эВ, а штриховые — потенциальной яме с бесконечно высокими стенками (то же, что и на рис. 25-9)

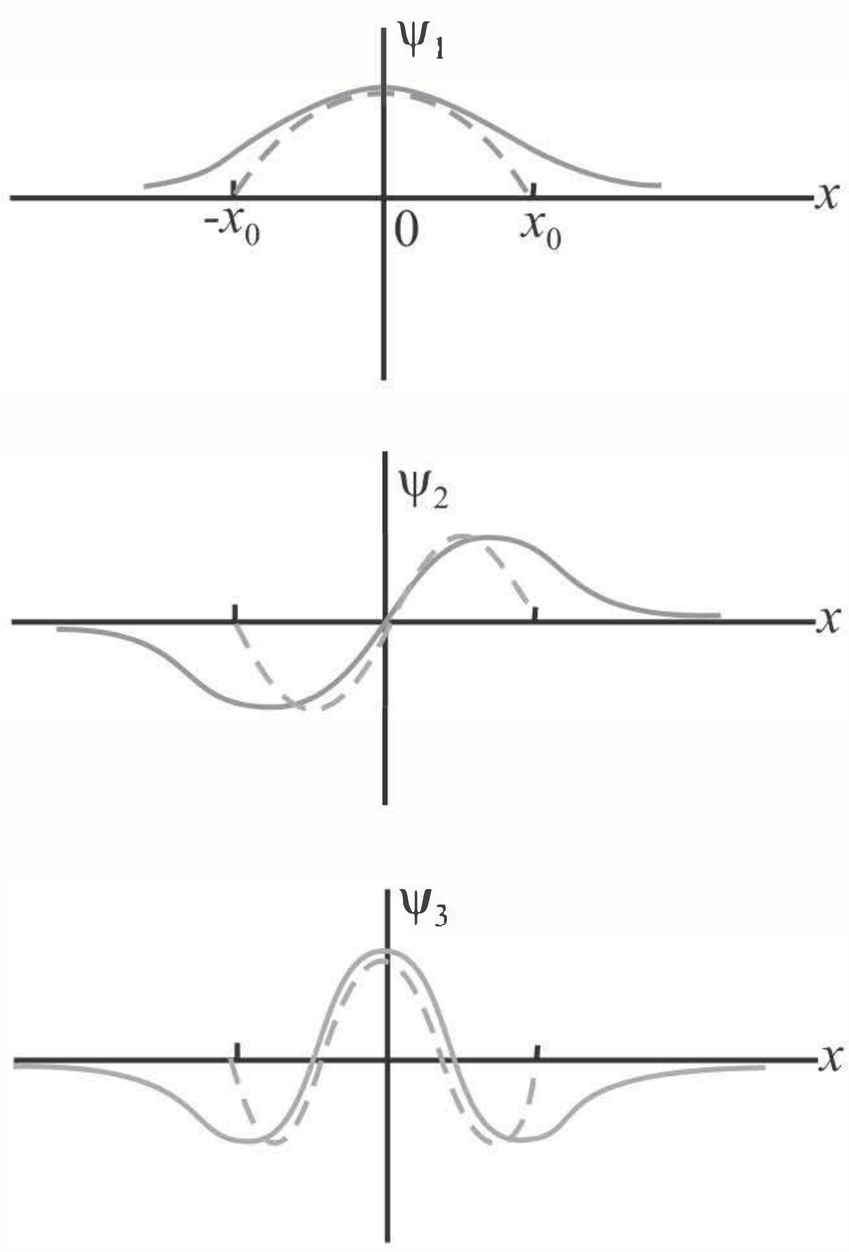


Рис. 25-16. Сплошные линии — стоячие волны низшего порядка, соответствующие энергиям E_1, E_2, E_3 на рис. 25-15. Штриховые линии — соответствующие волновые функции в потенциальной яме той же ширины, но с бесконечно высокими стенками

Пример 5. Предположим, что функция ψ_1 на рис. 25-13,*б* уменьшается вдвое при $x = x_0$, т. е.

$$\frac{\psi_1(x_0)}{\psi_1(0)} = \frac{1}{2}.$$

Найдем выражение для E_1 в зависимости от $\hbar$, m и x_0.

Р е ш е н и е: Поскольку $\psi_1 = B\cos kx$,

$$\cos kx_0 = \frac{1}{2},$$

$$kx_0 = \frac{\pi}{3},$$

$$k = \frac{\pi}{3x_0},$$

$$\sqrt{\frac{2mE_1}{\hbar^2}} = \frac{\pi}{3x_0},$$

$$E_1 = \frac{\pi^2\hbar^2}{18mx_0^2}.$$

§ 6. Гармонический осциллятор

Следующим приложением уравнения Шредингера будет решение задачи о движении частицы массой m под действием гармонической силы $F = -kx$ (здесь k — коэффициент упругости, а не волновое число). В гл. 11 (т. 1), посвященной простому гармоническому движению, мы установили, что потенциальная энергия $U(x) = kx^2/2 = m\omega_{кл.}^2 x^2/2$. В классической физике такая частица совершает гармонические колебания с угловой частотой $\omega_{кл} = \sqrt{k/m}$, а ее энергия может принимать любое значение, в том числе равное нулю. (Здесь и далее индекс «кл.» означает «классическая»). Как мы убедимся, в квантовой механике наличие граничных условий при больших $|x|$ приводит к тому, что разрешен лишь набор энергий $E_n = (n - 1/2)\hbar\omega_{кл.}$, где n — целое положительное число.

Прежде чем обратиться непосредственно к уравнению Шредингера, проделаем приближенные расчеты. Они проиллюстрируют основные методы квантово-механических вычислений. Попробуем решить эту задачу по аналогии с задачей о частице в ящике. Из рис. 25-17 видно, что длина ящика $L = 2x_0$, где x_0 — максимальное смещение, или амплитуда колебаний. В случае со стоячей волной n-го порядка на отрезке длиной L в среднем уложится n полуволн:

$$n\bar{\lambda}_n/2 = 2x_0,$$

или

$$\bar{\lambda}_n = 4x_0/n.$$

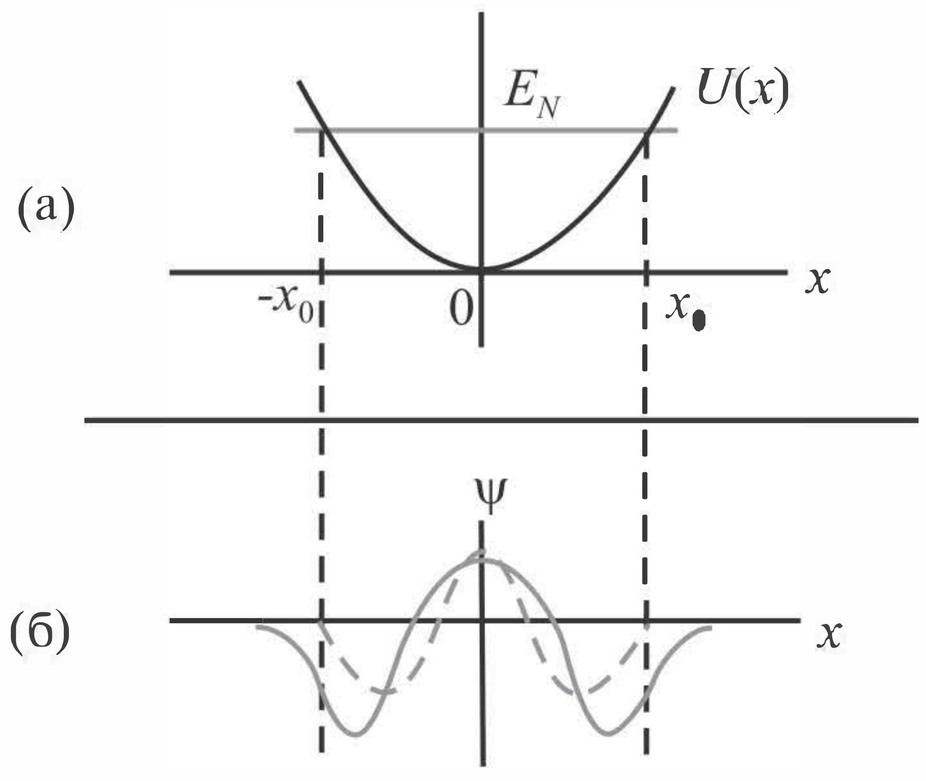


Рис. 25-17. *а* — потенциальная энергия гармонического осциллятора; *б* — стоячая волна третьего порядка (сплошная линия — точное решение; штриховая линия — приближенное решение)

Среднее значение импульса

$$\bar{p} = \frac{h}{\bar{\lambda}} = \frac{h}{4x_0/n} = n\frac{h}{4x_0}.$$

Средняя кинетическая энергия

$$\bar{K} = \frac{\bar{p}^2}{2m} = \frac{n^2h^2}{32mx_0^2}.$$

Полная энергия E в два раза превосходит эту величину:

$$E = \frac{n^2h^2}{16mx_0^2};$$

она также равна максимальному значению потенциальной энергии:

$$E = \frac{1}{2} m\omega_{\text{кл.}}^2 x_0^2.$$

Перемножая два последних равенства, получаем

$$E^2 = \frac{n^2 h^2 \omega_{\text{кл.}}^2}{32},$$

или

$$E = \frac{\pi}{2\sqrt{2}} n\hbar\omega_{\text{кл.}}.$$

В пределах точности наших «вычислений» можно считать, что $\pi/2\sqrt{2} \approx 1$; тогда

$E \approx n\hbar\omega_{\text{кл.}}$, где $n = 1, 2, 3, \ldots$.

Мы покажем, что точные вычисления приводят к следующим значениям энергии:

$E_n = (n - 1/2)\hbar\omega_{\text{кл.}}$, где $n = 1, 2, 3, \ldots$.

Выполним теперь с помощью уравнения Шредингера точные вычисления. Подставляя в уравнение Шредингера величину $U = (1/2) m\omega_{\text{кл.}}^2 x^2$, получаем

$$\frac{d^2\psi}{dx^2} = -\frac{2m}{\hbar^2}\left(E - \frac{1}{2} m\omega_{\text{кл.}}^2 x^2\right)\psi. \qquad (25\text{-}21)$$

Поскольку нам надо отыскать решение с меняющейся длиной волны, попытаемся применить функцию Гаусса. То, что мы «угадываем» решение, а затем проверяем, годится ли оно, оправданно и служит общепринятым способом отыскания решений дифференциальных уравнений. Таким образом, запишем волновую функцию в виде

$$\psi(x) = e^{-ax^2}.$$

Чтобы проверить, удовлетворяет ли эта функция уравнению (25-21), мы должны взять вторую производную и подставить ее в левую часть уравнения. Вторая производная

$$\frac{d^2\psi}{dx^2} = -2ae^{-ax^2} + 4a^2 x^2 e^{-ax^2}.$$

Подстановка в уравнение (25-21) дает

$$\left(-2a + 4a^2 x^2\right) e^{-ax^2} =$$

$$= -\frac{2m}{\hbar^2}\left(E - \frac{1}{2} m\omega_{\text{кл.}}^2 x^2\right) e^{-ax^2},$$

$$-2a + \left(4a^2\right) x^2 = -\frac{2mE}{\hbar^2} + \left(\frac{m\omega_{\text{кл.}}^2}{\hbar^2}\right) x^2.$$

Приравнивая коэффициенты при x^2, имеем

$$4a^2 = \frac{m\omega_{\text{кл.}}^2}{\hbar^2},$$

$$a = \frac{m\omega_{\text{кл.}}}{2\hbar}.$$

Из сравнения свободных членов вытекает следующий результат:

$$-2a = -2mE/\hbar^2,$$

$$E = \frac{\hbar^2 a}{m} = \frac{\hbar^2}{m}\frac{m\omega_{\text{кл.}}}{2\hbar} = \frac{\hbar\omega_{\text{кл.}}}{2}.$$

Мы видим, что функция Гаусса является решением, но лишь при условии, что

$$E = \frac{1}{2}\hbar\omega_{\text{кл.}}.$$

В этом случае

$$\psi_1(x) = e^{-(m\omega_{\text{кл.}}/2\hbar)x^2}.$$

Путем подстановки в уравнение (25-21) читатель может убедиться, что решением, соответствующим стоячей волне второго порядка, будет

$$\psi_2(x) = xe^{-(m\omega_{кл.}/2\hbar)x^2}.$$

Эта функция является решением, только когда $E = 3\hbar\omega_{кл.}/2$. Следует заметить, что расстояние между двумя соседними уровнями равно $E_2 - E_1 = \hbar\omega_{кл.}$. Это относится и к более высоким уровням, которые описываются выражением $E_n = (n - 1/2)\hbar\omega_{кл.}$.

Отсюда мы видим, что гармонический осциллятор испускает фотоны, частота которых совпадает с частотой колебаний классического осциллятора в случае, когда переход происходит между соседними уровнями.

Основные выводы

Волновая функция свободной частицы, импульс которой в точности равен p_0, имеет вид $\psi(x, t) = A\exp[i(k_0x - \omega t)]$, где $k_0 = p_0/\hbar$.

Если частица локализована в пространстве, причем ее вероятность описывается распределением Гаусса, то $\psi(x,0) = \exp\left[-x^2/4\sigma_x^2\right]e^{ik_0x}$. Соответствующее распределение по импульсам $B(k) = \left(\sigma_x/\sqrt{\pi}\right)\exp\left[-\sigma_x^2(k-k_0)^2\right]$, причем $\psi(x, 0) = = \int B(k)e^{ikx}\,dk$.

Среднеквадратичное отклонение распределения по координатам равно σ_x, а распределения по импульсам $\sigma_p = \hbar/2\sigma_x$. Для любого волнового пакета $\sigma_p\sigma_x \geq \hbar/2$ (принцип неопределенности).

Групповая скорость любого волнового пакета в квантовой механике совпадает с классической скоростью частицы: $v_g = d\omega/dk = p/m = v$. Волновой пакет с первоначальной шириной Δx_0 расплывается по закону $\Delta x \approx (\hbar/m\Delta x_0)t$.

Частице, заключенной в ящике длиной L, соответствуют стоячие волны только с $\lambda_n = 2L/n$ или кинетические энергии $E_n = n^2\pi^2\hbar^2/2mL^2$.

В случае с «ямой» переменной глубины $U = U(x)$ волновая функция удовлетворяет стационарному условию Шредингера

$$\frac{d^2\psi}{dx^2} = -\frac{2m}{\hbar^2}\left[E - U(x)\right]\psi.$$

Граничному условию $\psi \to 0$ при $x \to \pm\infty$ удовлетворяют лишь определенные собственные функции $\psi_n(x)$ и собственные значения E_n.

В случае с прямоугольной потенциальной ямой конечной глубины волновая функция имеет вид $\psi = B\cos(kx + \varphi)$ внутри ямы и $A_1e^{-\varkappa x} + A_2e^{-\varkappa x}$ вне ее, где $\varkappa \equiv \sqrt{2m(U_0 - E)/\hbar^2}$. Сшивая волновую функцию ψ и ее производную $d\psi/dx$ на границе ямы, мы получаем условия на допустимые значения E.

Если $U(x) = m\omega_{кл.}^2x^2/2$ представляет собой потенциальную энергию гармонического осциллятора, то собственные значения энергии записываются в виде $E_n = (n - 1/2)\hbar\omega_{кл.}$, где n — целое положительное число. Первые две собственные функции имеют вид

$$\psi_1(x) = \exp\left[-\frac{m\omega_{кл.}}{2\hbar}x^2\right]$$

и

$$\psi_2(x) = x\exp\left[-\frac{m\omega_{кл.}}{2\hbar}x^2\right].$$

Упражнения

1. Если $\psi = \exp[i(kx - \omega t)] + \exp[i(kx + \omega t)]$, то чему равно $\psi^*\psi$?
2. Вычислите $\bar{x} = \int_{-\infty}^{\infty} x\exp\left(-x^2/2\sigma^2\right)dx$.
3. Пусть $\psi = \exp[i(k_0 + \Delta k)x] + \exp[i(k_0 - \Delta k)x]$.
   а) Чему равно $\psi^*\psi$?

б) Если Δx — полуширина центрального волнового пакета на уровне половины максимальной высоты, то чему равно произведение $\Delta x \Delta p$, где $\Delta p = \hbar \Delta k$?

4. Если $E = \hbar\omega = mc^2 + p^2/2m$, то каковы фазовая и групповая скорости соответствующего волнового пакета (ответ запишите через c и классическую скорость v)?

5. При $t = 0$ размер волнового пакета электрона $\Delta x_0 = 1$ мкм. Каким будет его размер при $t = 1$ с?

6. Размер Δx_0 волнового пакета электрона таков, что каждую секунду он увеличивается на Δx_0. Найдите Δx_0.

7. Электрон заключен в одномерный ящик длиной $L = 4 \cdot 10^{-10}$ м.

а) Чему равна энергия E_2 (в эВ)?

б) Найдите длину волны фотона, испускаемого при переходе $E_4 \to E_2$.

8. Если в примере 4 положить $U_1 = -20$ эВ, а $x_0 = 5 \cdot 10^{-11}$ м, то каковы при этом будут значения E_1 и K_1 для электрона?

9. Найдите правильное релятивистское выражение для энергии в примере 4.

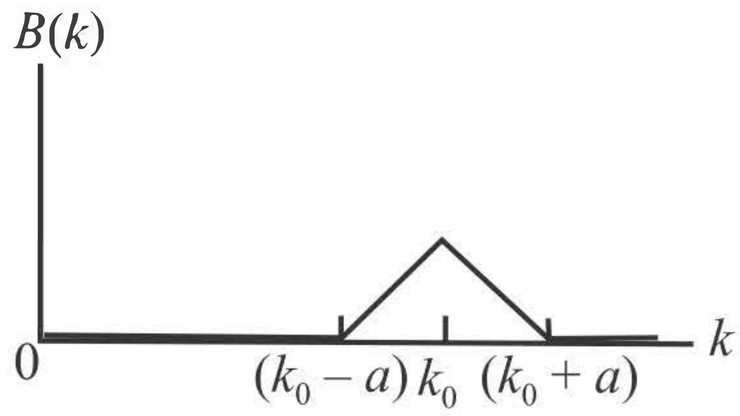
10. Предположим, что волновая функция ψ_1 на рис. 25-13, *б* при $x = x_0$ уменьшается в три раза, т. е.
$\psi_1(x_0)/\psi_1(0) = 1/3$.
Найдите выражение для E_1 в зависимости от $\hbar$, m и x_0.

11. В момент времени $t = 0$ функция $|\psi(x)|^2$ волнового пакета представляет собой распределение Гауссасо среднеквадратичным отклонением σ_0. Волновой пакет перемещается вдоль оси x со скоростью v_0.

а) Огибающая волновой функции представляет собой также гауссову функцию. Найдите ее среднеквадратичное отклонение.

б) Определите $B(k)$, где $\psi(x) = \int B(k)\, e^{ikx}\, dk$. Выразите ответ через m, $\hbar$, σ_0, k и v_0.

14. Пусть $B(k)$ имеет вид, показанный на рисунке.



а) Чему равна вероятность того, что импульс $p = \hbar(k_0 + a/2)$ сравним по величине с импульсом $p = \hbar k_0$?

б) Что представляет собой волновая функция $\psi(x)$?

в) Чемуравно произведение $\Delta x \Delta p$, если Δx и Δp — полуширины на половине максимальной высоты?

15. Докажите, что для величины x, распределенной по закону Гаусса, $\overline{x^2} = \sigma^2$; иными словами, докажите равенство

$$\frac{\int_0^\infty x^2 \exp\left(-x^2/2\sigma^2\right) dx}{\int_0^\infty \exp\left(-x^2/2\sigma^2\right) dx} = \sigma^2.$$

16. Какова вероятность обнаружить частицу с импульсом в интервале $\hbar(k_0 + a/2) > p > \hbar(k_0 - a/2)$, если $B(k)$ имеет вид, показанный на рисунке к задаче 14?

17. Если $E = \sqrt{p^2c^2 + m^2c^4} = \hbar\omega$, то чему равна групповая скорость $v_g = d\omega/dk$?

18. Расплывание волнового пакета описывается выражением

$$\Delta x = \sqrt{\left(\frac{\hbar t}{m \Delta x_0}\right)^2 + (\Delta x_0)^2},$$

где Δx_0 — ширина пакета при $t = 0$, когда все монохроматические составляющие находятся в фазе. Пусть в момент времени $t = 0$ для электрона 1 $\Delta x_0 = 10^{-10}$ м и $\Delta x_0 = 10^{-9}$ м для электрона 2. Через какой промежуток времени волновые пакеты этих электронов будут иметь одну и ту же ширину?

Задачи

12. Если функция $\psi = e^{i[(k_0 + \Delta k)x - (\omega_0 + \Delta\omega)t]} + e^{i[(k_0 - \Delta k)x - (\omega_0 - \Delta\omega)t]}$, то чему равно $\psi^*\psi$?

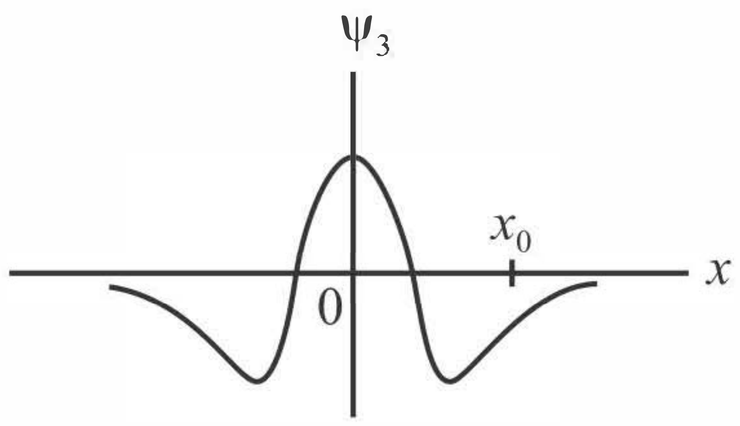
13. Приведите выражение $\psi_1 = A_1 e^{i\varphi_1} + A_2 e^{i\varphi_2}$ к виду $\psi = Ae^{i\varphi}$. Найдите выражения для A и φ в зависимости от A_1, A_2, φ_1 и φ_2.

19. Предположим, что электрон находится в потенциальной яме, описанной в примере 4, причем $x_0 = 10^{-14}$ м и $U_1 = 0$. Вычислите
   а) нерелятивистские значения энергий E_1 и E_2;
   б) релятивистские значения этих энергий.

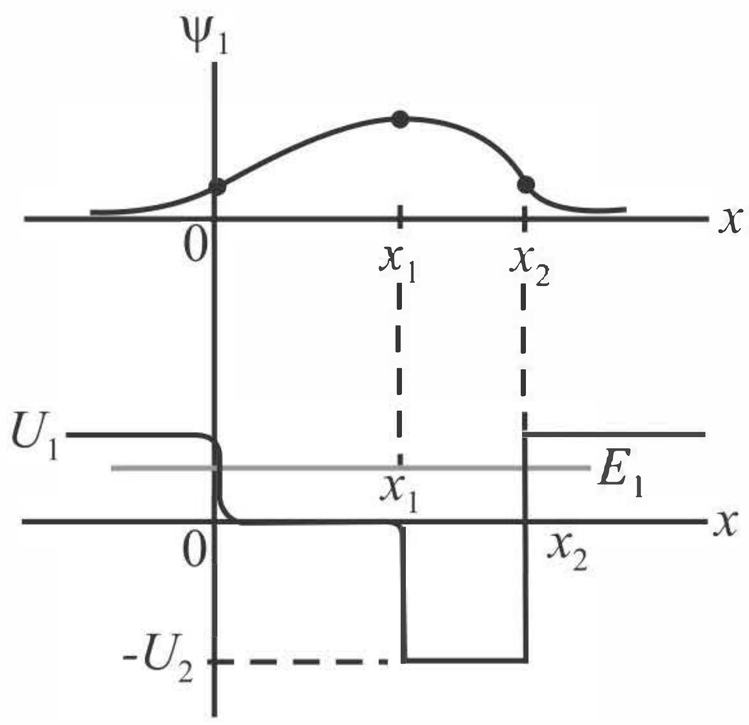
20. Предположим, что электрон захвачен атомным ядром диаметром $2 \cdot 10^{-15}$ м. Какой была бы энергия электрона в основном состоянии? Используйте приближение одномерной прямоугольной потенциальной ямы.

21. Используя метод проб и ошибок, вычислите E_1 и E_2 для электрона в потенциальной яме глубиной $U_1 = 200$ эВ и шириной $2x_0 = 10^{-10}$ м.

22. Предположим, что $\psi_3(x_0)/\psi_3(0) = -1/4$ (см. рисунок). Найдите выражение для E_3 через $\hbar$, m и x_0, считая, что в области I функция ψ_3 представляет собой синусоиду.



23. Частица массой m находится в одномерной потенциальной яме, изображенной на рисунке. Чему равна E_1, если на участке $0 - x_1$ функция y_1 воспроизводит 1/6 периода синусоиды (60°)?



24. Подставьте в уравнение Шредингера с потенциалом $U(x) = kx^2/2$ функцию $\psi(x) = xe^{-\alpha x^2}$.
   а) Какова величина α?
   б) Чему равно соответствующее собственное значение энергии?

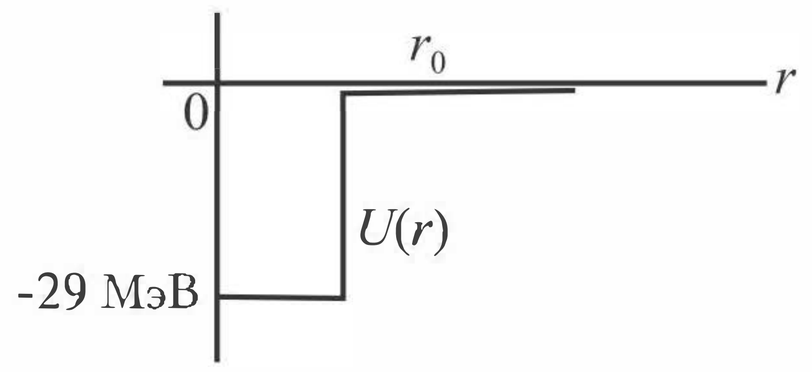
25. Уравнение Шредингера для частицы массой m записывается в виде

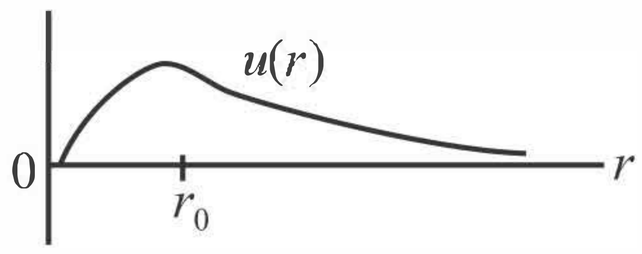
$$\frac{d^2\psi}{dx^2} = -\frac{2m}{\hbar^2}\left(E - \frac{kx^2}{2}\right)\psi.$$

   а) Найдите наинизшую собственную функцию $\psi_1(x)$.
   б) Чему равно соответствующее собственное значение энергии E_1 в зависимости от $\hbar$, m и k?

26. Потенциальную энергию, обеспечивающую связь протона с нейтроном в дейтроне, можно аппроксимировать прямоугольной потенциальной ямой, как показано на рисунке. Глубина такой ямы 29 МэВ, а радиус $r_0 = 2{,}3 \cdot 10^{-15}$ м. Обозначим волновую функцию $u(r)$. Внутри ямы она имеет вид

$$u(r) = \sin kr, \text{ где } \frac{(\hbar k)^2}{2M} = E - U.$$





Приведенная масса системы «протон — нейтрон» равна $M = 8{,}36 \cdot 10^{-28}$ кг. Найдите численное значение энергии E (в МэВ). Это и будет энергия связи дейтрона. [*Указание:* можно использовать соотношение (25-20).] Решение трансцендентного уравнения можно найти методом проб и ошибок, используя обычный микрокалькулятор.

27. Подставляя волновую функцию $\psi = x\exp[-m\omega x^2/(2\hbar)]$ в уравнение

$$\frac{d^2\psi}{dx^2} = -\frac{2m}{\hbar^2}[E-U]\psi, \text{ где } U = (1/2)m\omega^2x^2,$$

найдите энергию E.

28. Волновой пакет $\psi(x, t)$ составлен из чисто монохроматических волн:

$$\psi(x, t) = A(k)e^{i(kx-\omega t)}dk,$$

где

$$A(k) = e^{-\frac{(k-k_0)^2}{2a^2}}.$$

Чему равна полуширина распределения вероятности по x при $t = 0$?

26

Атом водорода

§ 1. Приближенная теория атома водорода

В предыдущей главе мы решили задачу о частице массой m, заключенной в потенциальной яме вида $U = kx^2/2$. В таком потенциале, имеющем форму параболы, частица совершает простое гармоническое движение. Теперь мы рассмотрим потенциальную яму, в которой потенциальная энергия меняется обратно пропорционально расстоянию. Потенциал такого типа отвечает гравитационным или электростатическим силам взаимодействия двух частиц. В случае с атомом водорода потенциальная энергия взаимодействия электрона и протона имеет вид $U = -k_0 e^2/r$, где r — расстояние между частицами.

Сначала найдем приближенное решение задачи; для этого аппроксимируем потенциал ямой прямоугольной формы точно так же, как мы это сделали при рассмотрении гармонического осциллятора. Такой подход, состоящий в выполнении сначала простых приближенных вычислений, поможет получить более наглядное представление об атоме водорода и избежать несущественных математических подробностей. Наша цель — объяснить существование и характер стоячих электронных волн в случае с атомом водорода и их зависимость от фундаментальных констант h, m и e. Мы надеемся понять, почему разрешены лишь определенные энергетические уровни и как зависит их положение от фундаментальных констант и величины квантового числа n.

В этих приближенных расчетах мы используем потенциальную яму, изображенную на рис. 26-1. Как видно из рисунка, электрон, находящийся на уровне с энергией E, в соответствии с представлениями классической физики может удаляться на максимальное расстояние R_0. В качестве оценки среднего удаления $\bar{R}$ возьмем величину $R_0/2$. Глубину U_0 эквивалентной прямоугольной ямы определим как значение U при $x = \bar{R}$, т. е. $U_0 = k_0 e^2/\bar{R}$. В случае со стоячей волной n-го порядка в пределах этой прямоугольной ямы (штриховая линия на рис. 26-1) уложится n полуволн. Таким образом,

$$n\frac{\lambda_n}{2} = 2R_0,$$

или

$$\lambda_n = \frac{4R_0}{n}.$$

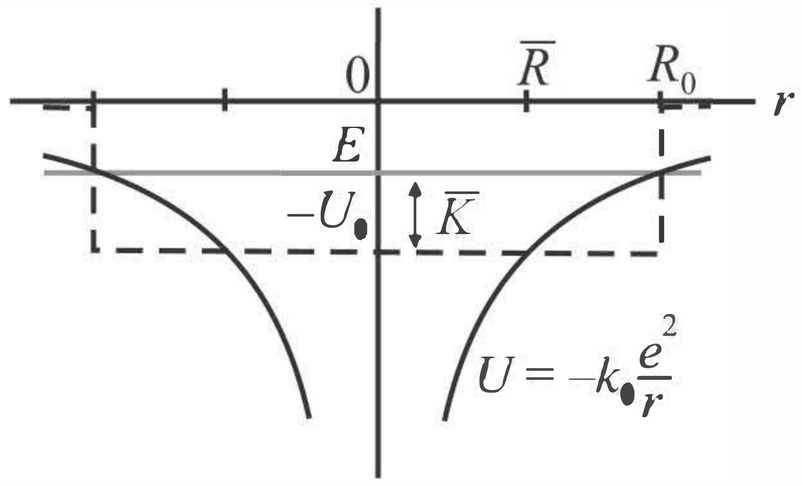


Рис. 26-1. Потенциальная яма для электрона в атоме водорода. Эквивалентная прямоугольная яма, используемая в приближенных вычислениях, показана штриховой линией

Допустим, что средний импульс электрона приблизительно равен импульсу де Бройля, т. е.

$$\overline{p}_n \approx \frac{h}{\lambda_n} = \frac{hn}{4R_0}.$$

Тогда средняя кинетическая энергия

$$\overline{K} \approx \frac{\overline{p}_n^2}{2m} = \frac{h^2 n^2}{32mR_0^2}.$$

Из рис. 26-1 следует, что

$$\overline{K} = -E = \frac{k_0 e^2}{R_0}. \qquad (26\text{-}1)$$

Сравнивая это выражение с предыдущим, получаем

$$\frac{k_0 e^2}{R_0} \approx \frac{h^2 n^2}{32mR_0^2},$$

откуда находим

$$R_0 \approx \frac{h^2 n^2}{32 k_0 m e^2} = \frac{4\pi^2}{32} \frac{\hbar^2}{k_0 m e^2} n^2. \qquad (26\text{-}2)$$

В §3 мы увидим, что «размер» n-й гармоники волновой функции близок к найденному значению, а именно

$$R_n = \frac{\hbar^2}{k_0 m e^2} n^2.$$

Подставляя (26-2) в правую часть выражения (26-1), получаем приближенное решение для энергетических уровней:

$$E_n = -\frac{16}{\pi^2} k_0^2 \frac{me^4}{2\hbar^2} \frac{1}{n^2}.$$

Точный результат записывается в виде

$$E_n = -\frac{k_0^2 me^4}{2\hbar^2 n^2},$$

что на 38 % меньше предыдущей величины, полученной нами с использованием довольно грубого приближения. Однако наше решение в действительности дает правильную зависимость от m, e, $\hbar$ и квантового числа n, а также позволяет разобраться в том, что происходит.

§ 2. Уравнение Шредингера в трех измерениях

Двумерные стоячие волны можно возбудить в заполненной жидкостью кювете прямоугольной формы. При постукивании или вибрации в ней возбуждаются стоячие волны, причем линии узлов располагаются во взаимно перпендикулярных направлениях, как показано на рис. 26-2. Амплитуда волны записывается в виде

$$\psi = A \sin k_x x \sin k_y y,$$

где

$$k_x = \frac{\pi}{L_x} n_x \text{ и } k_y = \frac{\pi}{L_y} n_y; \qquad (26\text{-}3)$$

она удовлетворяет граничному условию $\psi = 0$ при $x = L_x$ или $y = L_y$.

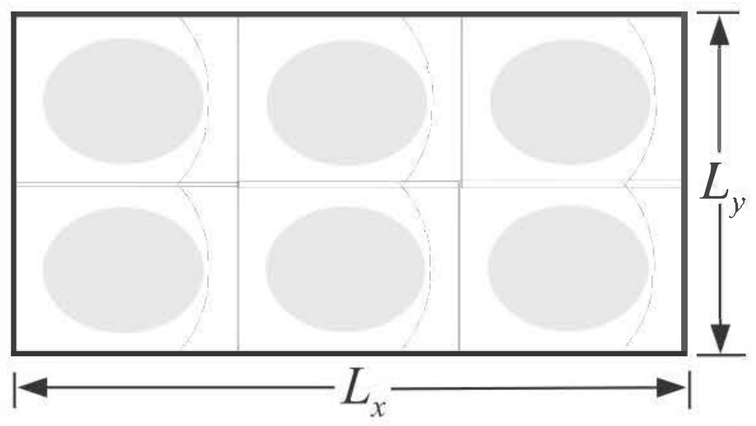


Рис. 26-2. Изображенный художником бак с водой, покрытой рябью в двух измерениях. Длина бака L_x, ширина L_y; изображены стоячие волны с $n_x = 3$ и $n_y = 2$

Пример 1. Найдем выражение для энергетических уровней частицы массой m в трехмерном ящике с линейными размерами L_x, L_y и L_z.

Р е ш е н и е: Кинетическая энергия частицы

$$K = \frac{p_x^2 + p_y^2 + p_z^2}{2m}.$$

В соответствии с соотношением де Бройля имеем

$$p_x = \hbar k_x,\ p_y = \hbar k_y,\ p_z = \hbar k_z.$$

Следовательно,

$$K = \frac{\hbar^2}{2m}\left(k_x^2 + k_y^2 + k_z^2\right).$$

Используя соотношение (26-3), получаем

$$K = E_{n_x, n_y, n_z} = \frac{\hbar^2 \pi^2}{2m}\left(\frac{n_x^2}{L_x^2} + \frac{n_y^2}{L_y^2} + \frac{n_z^2}{L_z^2}\right).$$

Мы видим, что в трехмерном пространстве собственные значения энергии и соответствующие им собственные функции зависят от трех квантовых чисел.

П р и м е р 2. Электрон находится в ящике кубической формы размером с атомное ядро ($L = 4 \cdot 10^{-15}$ м). Чему равна минимальная кинетическая энергия электрона?

Р е ш е н и е: Используя (26-3), мы можем написать

$$k_x = \frac{\pi}{L} n_x,\quad k_y = \frac{\pi}{L} n_y,\quad k_z = \frac{\pi}{L} n_z.$$

Состоянию с наинизшей энергией отвечает $n_x = n_y = n_z = 1$; следовательно,

$$k_x^2 = k_y^2 = k_z^2 = \frac{\pi^2}{L^2},$$

$$p^2 = \hbar^2 k^2 = \hbar^2\left(k_x^2 + k_y^2 + k_z^2\right) = 3\hbar^2\left(\frac{\pi^2}{L^2}\right).$$

На всякий случай воспользуемся релятивистской формулой для кинетической энергии

$$K = \sqrt{c^2 p^2 + m^2 c^4} - mc^2 = 4{,}28 \cdot 10^{-11}\ \text{Дж} = 267\ \text{МэВ}.$$

По-видимому, мы не ошиблись, применив релятивистскую формулу, поскольку полученное нами значение более чем в 500 раз превосходит энергию покоя электрона.

Этот пример демонстрирует, почему электрон не может находиться внутри атомного ядра. Мы не знаем в природе сил, величины которых обеспечила бы связь электронов, обладающих столь большой энергией, с группой протонов и нейтронов. Заметим, что электростатическая потенциальная энергия электрона на поверхности ядра составляет лишь 10 МэВ, а никак не 270 МэВ.

В примерах 1 и 2 волновая функция частицы имеет вид

$$\psi = A \sin k_x x \sin k_y y \sin k_z z.$$

Беря частные производные от этого выражения по x, получаем

$$\frac{\partial \psi}{\partial x} = k_x A \cos k_x x \sin k_y y \sin k_z z$$

(символ $\partial/\partial x$ означает дифференцирование по переменной x при постоянных y и z) и

$$\frac{\partial^2 \psi}{\partial x^2} = -k_x^2 A \cos k_x x \sin k_y y \sin k_z z = -k_x^2 \psi.$$

Аналогичный результат имеем для производных по остальным координатам. Таким образом,

$$\frac{\partial^2 \psi}{\partial x^2} + \frac{\partial^2 \psi}{\partial y^2} + \frac{\partial^2 \psi}{\partial z^2} = -k^2 \psi.$$

Следует заметить, что если потенциальная энергия постоянна и равна U_0, то

$$k^2 = \frac{2m}{\hbar^2}\left(E - U_0\right).$$

Как и в случае с одномерной задачей, обобщим уравнение Шредингера на случай

меняющейся потенциальной энергии $U(x, y, z)$:

$$\frac{\partial^2\psi}{\partial x^2}+\frac{\partial^2\psi}{\partial y^2}+\frac{\partial^2\psi}{\partial z^2}=-\frac{2m}{\hbar^2}(E-U)\psi$$

(*стационарное уравнение Шредингера в трех измерениях*). (26-4)

Во многих прикладных задачах потенциальная энергия зависит только от расстояния $r=\sqrt{x^2+y^2+z^2}$ до начала координат. В этих случаях уравнение Шредингера удобнее переписать в сферических координатах, которые связаны с декартовыми, как это следует из рис. 26-3, соотношениями

$$x = r\sin\theta\cos\varphi,$$

$$y = r\sin\theta\sin\varphi,$$

$$z = r\cos\theta.$$

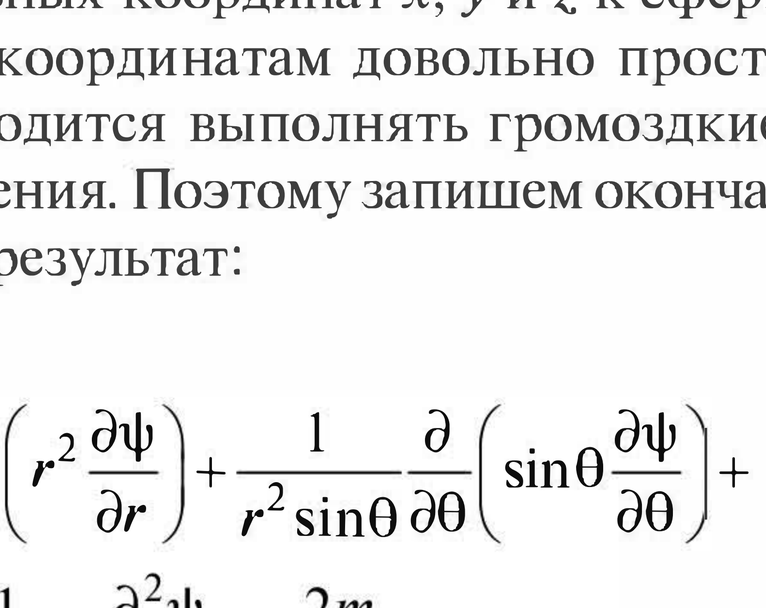


Рис. 26-3. Декартовы (x, y, z) и сферические (r, θ, φ) координаты точки P

Перейти в уравнении (26-4) от прямоугольных координат x, y и z к сферическим координатам довольно просто, но приходится выполнять громоздкие вычисления. Поэтому запишем окончательный результат:

$$\frac{1}{r^2}\frac{\partial}{\partial r}\left(r^2\frac{\partial\psi}{\partial r}\right)+\frac{1}{r^2\sin\theta}\frac{\partial}{\partial\theta}\left(\sin\theta\frac{\partial\psi}{\partial\theta}\right)+$$

$$+\frac{1}{r^2\sin^2\theta}\frac{\partial^2\psi}{\partial\varphi^2}=-\frac{2m}{\hbar^2}(E-U)\psi. \qquad (26\text{-}5)$$

§ 3. Строгая теория атома водорода

Чтобы получить уравнение Шредингера для атома водорода, в уравнение (26-5) нужно подставить $U=-k_0e^2/r$. В качестве решения попробуем для начала взять просто экспоненциальную функцию $\psi=e^{-r/a}$. Подставляя ее в (26-5) и замечая, что частные производные $\partial\psi/\partial\theta$ и $\partial\psi/\partial\varphi$ обращаются в нуль, имеем

$$\frac{1}{r^2}\frac{\partial}{\partial r}\left(r^2\frac{\partial\left(e^{-r/a}\right)}{\partial r}\right)=-\frac{2m}{\hbar^2}\left(E+\frac{k_0e^2}{r}\right)e^{-r/a},$$

$$\frac{1}{r^2}\frac{\partial}{\partial r}\left(-\frac{r^2}{a}e^{-r/a}\right)=-\frac{2m}{\hbar^2}\left(E+\frac{k_0e^2}{r}\right)e^{-r/a},$$

$$\frac{1}{r^2}\left(\frac{r^2}{a}-\frac{2r}{a}\right)=-\frac{2m}{\hbar^2}\left(E+\frac{k_0e^2}{r}\right)e^{-r/a},$$

$$\left[\frac{1}{a^2}\right]-\left(\frac{2}{a}\right)\frac{1}{r}=\left[-\frac{2mE}{\hbar^2}\right]-\left(\frac{2mk_0e^2}{\hbar^2}\right)\frac{1}{r}.$$

Приравнивая члены, содержащие $1/r$,

$$\left(\frac{2}{a}\right)=\left(\frac{2mk_0e^2}{\hbar^2}\right),$$

находим

$$a=\frac{\hbar^2}{k_0me^2}, \qquad (26\text{-}6)$$

а приравнивание друг другу свободных членов

$$\left[\frac{1}{a^2}\right]=\left[-\frac{2mE}{\hbar^2}\right]$$

дает

$$E=-\frac{\hbar^2}{2ma^2}.$$

Подставляя сюда выражение (26-6) для a, получаем окончательный результат:

$$E = -k_0^2 \frac{me^4}{2\hbar^2}. \qquad (26\text{-}7)$$

Таким образом, простая экспоненциальная функция действительно является решением, если a и E принимают значения, определяемые выражениями (26-6) и (26-7). Подстановка численных значений m, k_0, e и $\hbar$ дает

$E = -21{,}8 \cdot 10^{-19}$ Дж $= -13{,}6$ эВ.

Это и есть минимальное количество энергии, необходимое для удаления электрона из атома водорода; эта энергия называется энергией связи:

(*Энергия связи*) $= -E =$ (*Энергия, необходимая для удаления электрона*).

Согласно этому определению, энергия связи электрона в металле совпадает с работой выхода W_0, так как наивысший энергетический уровень на рис. 24-3 расположен именно при $E = -W_0$.

Следует заметить, что при $r = a$ амплитуда волны уменьшается в e раз по сравнению с максимальным значением. (В этой точке $e^{-r/a} = 1/e$.) Поэтому данное значение R выбирается в качестве радиуса атома водорода. Используя (26-6), получаем

$$R = \frac{\hbar^2}{k_0 me^2} = 5{,}3 \cdot 10^{-11} \text{ м} \quad (\textit{радиус атома водорода}). \qquad (26\text{-}8)$$

Функция $\psi = e^{-r/a}$ не имеет узлов и представляет собой стоячую волну низшего порядка, следовательно, энергия $E = -k_0^2 me^4 / 2\hbar^2$ соответствует низшему уровню. Обозначим ее E_1. Волновые функции для следующих двух энергетических уровней записываются в виде

$$\psi_2 = \left(1 - \frac{r}{2a}\right) e^{-r/2a}$$

и

$$\psi_3 = \left(1 - \frac{2r}{3a} + \frac{2r^2}{27a^2}\right) e^{-r/3a}.$$

Графики всех этих функций приведены на рис. 26-4. То, что эти функции действительно являются решениями уравнения (26-5), можно проверить непосредственной подстановкой. Они удовлетворяют уравнению (26-5) при условии, что $E_2 = E_1/4$ и $E_3 = E_1/9$ (см. пример 3).

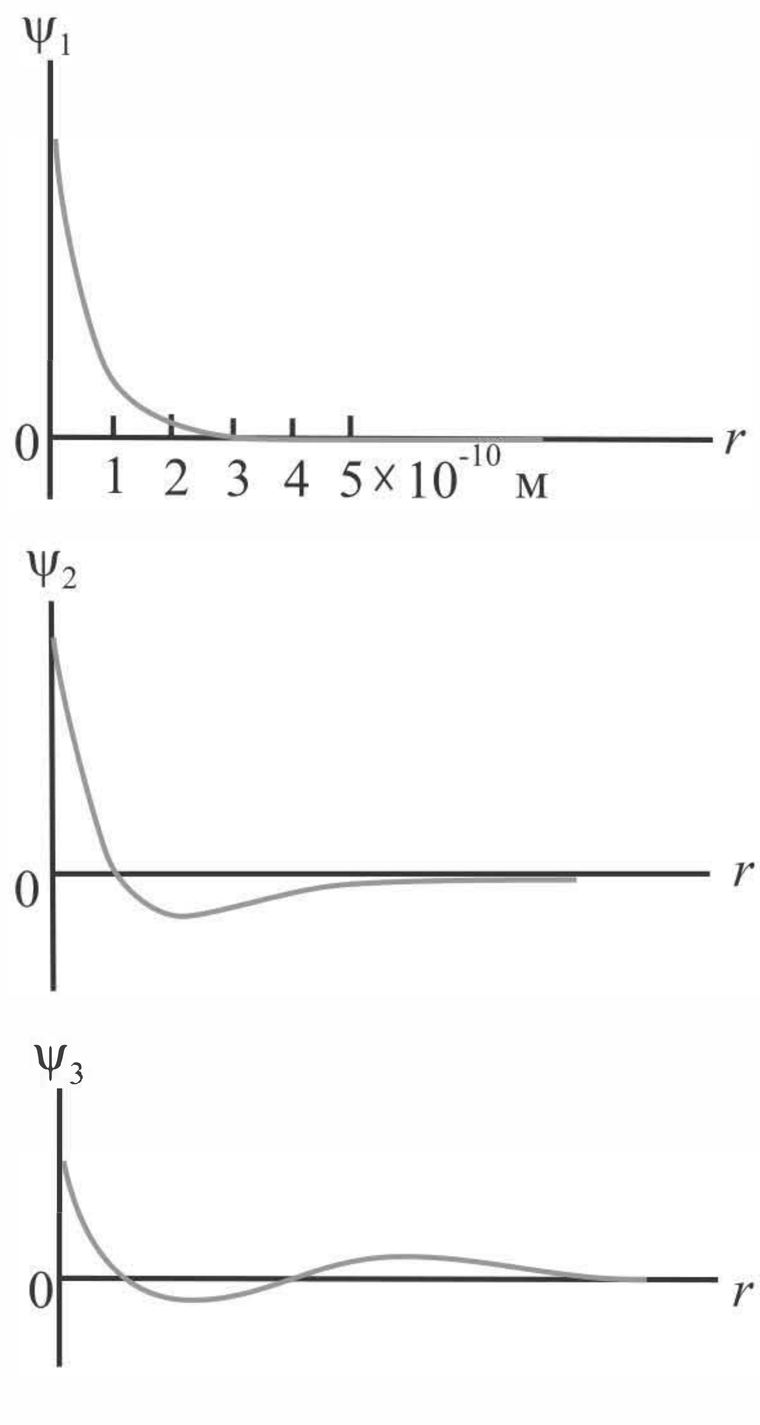


Рис. 26-4. Волновые функции атома водорода, соответствующие $n = 1, 2, 3$ и $l = 0$

Пример 3. Покажем, что функция $\psi_2 = (1 - r/2a)e^{-r/2a}$ является решением уравнения Шредингера для атома водорода, и найдем энергию E_2 соответствующего уровня.

Решение: Вычислим первую производную

$$\frac{\partial\psi_2}{\partial r}=\frac{1}{2a}\left(2-\frac{r}{2a}\right)e^{-r/2a}.$$

Затем найдем

$$\frac{\partial}{\partial r}\left(r^2\frac{\partial\psi_2}{\partial r}\right)=-\frac{1}{2a}\frac{\partial}{\partial r}\left[\left(2r^2-\frac{r^3}{2a}\right)e^{-r/2a}\right],$$

$$\frac{1}{r^2}\frac{\partial}{\partial r}\left(r^2\frac{\partial\psi_2}{\partial r}\right)=\left(-\frac{2}{ar}+\frac{5}{4a^2}-\frac{r}{8a^3}\right)e^{-r/2a}.$$

В соответствии с (26-5) последнее выражение равно $-(2m/\hbar^2)(E+k_0e^2/r)\psi$.
Следовательно,

$$-\frac{2}{ar}+\frac{5}{4a^2}-\frac{r}{8a^3}=-\frac{2mk_0e^2}{\hbar^2r}-\frac{2m}{\hbar^2}\left(E-\frac{k_0e^2}{2a}\right)+$$
$$+\frac{mE}{a\hbar^2}r.$$

Приравнивая друг другу члены, содержащие $1/r$, получаем

$$-\frac{2}{a}=-\frac{2mk_0e^2}{\hbar^2},$$

откуда, как и прежде, имеем $a=\hbar^2/k_0me^2$.
Из сравнения членов при r следует

$$-\frac{1}{8a^3}=\frac{mE}{a\hbar^2},$$

$$E=-\frac{\hbar^2}{8a^2m}.$$

Подставляя сюда $\hbar^2/k_0me^2$ вместо a, окончательно получаем

$$E=-\frac{k_0^2}{4}\frac{me^4}{2\hbar^2}=-\frac{1}{4}(13{,}6\text{ эВ}).$$

Можно показать, что энергетическим уровням

$$E_n=-\frac{1}{n^2}k_0^2\frac{me^4}{2\hbar^2}$$ (*энергетические уровни атома водорода*), (26-9)

где n — целое положительное число, отвечают решения в виде стоячих волн; величина n называется главным квантовым числом. Однако для полного описания трехмерной стоячей волны необходимы еще два квантовых числа. Эти числа характеризуют момент импульса частицы; мы их рассмотрим в следующем параграфе.

§ 4. Орбитальный момент импульса

Предположим, что волновой пакет с волновым числом k движется по окружности радиусом R, как показано на рис. 26-5. Такой пакет имеет момент импульса относительно оси z, равный $L_z=Rp=R(\hbar k)$. На дуге s (рис. 26-5) волновую функцию пакета можно записать в виде

$$\psi\sim e^{i(ks-\omega t)}=e^{i(kR\varphi-\omega t)}.$$

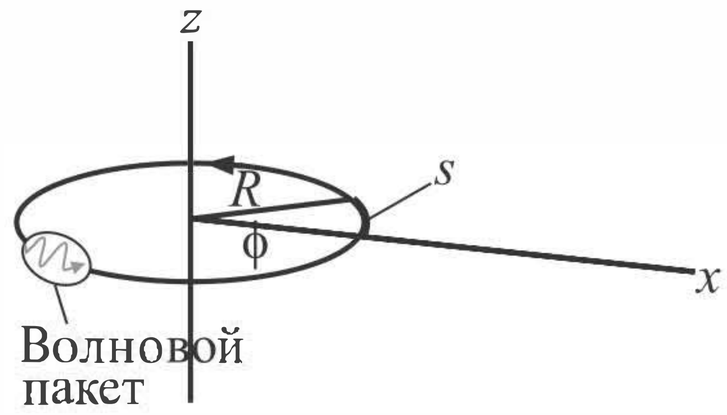


Рис. 26-5. Волновой пакет, движущийся по окружности радиусом R. Длина дуги $s=R\varphi$

Поскольку $\psi(\varphi=0)$ и $\psi(\varphi=2\pi)$ измеряются в одной и той же точке пространства, их значения совпадают, т. е.

$$e^{ikR(0)}=e^{ikR(2\pi)}$$

или

$$1=e^{i2\pi kR}.$$

Последнее соотношение может выполняться, только если kR — целое число (его обычно обозначают m_l):

$$kR=m_l.$$

Умножим обе части этого равенства на $\hbar$:

$$\hbar kR=m_l\hbar.$$

Таким образом,

$$L_z=m_l\hbar.$$

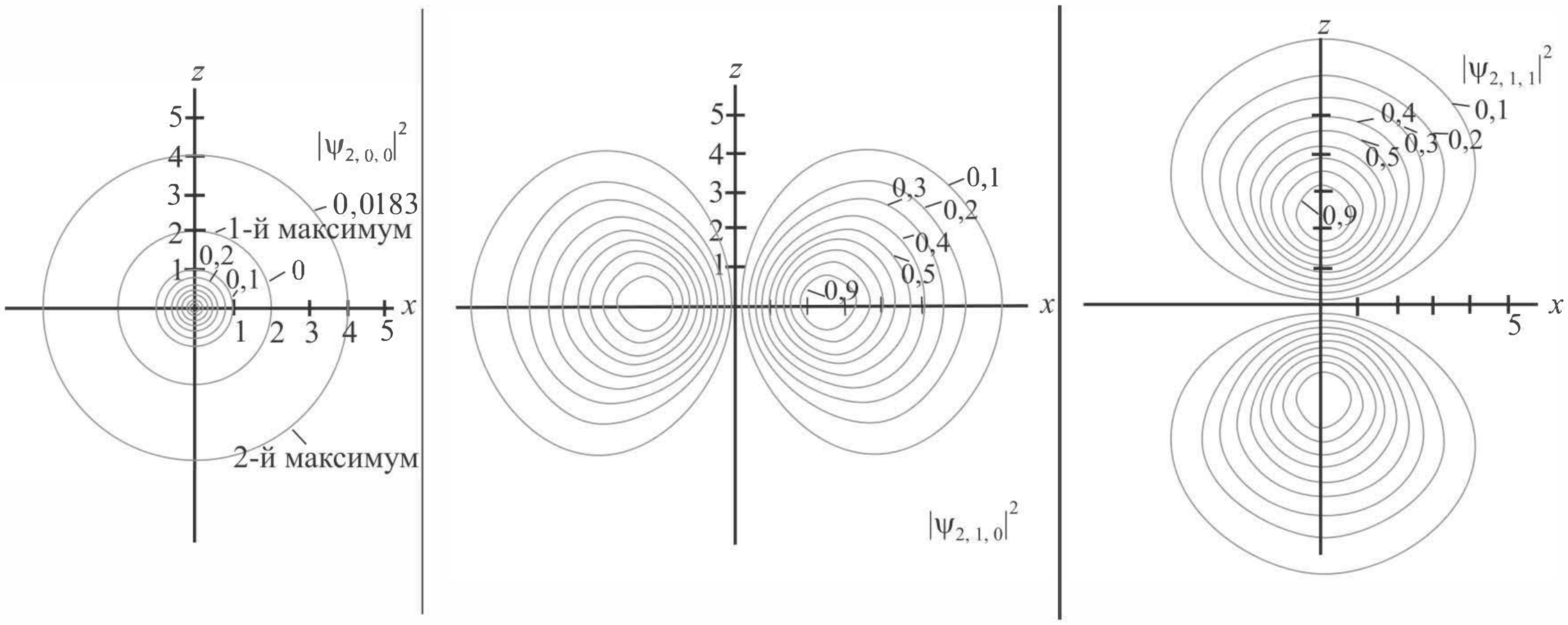


Рис. 26-6. Распределения электронного облака $|\psi|^2$ в плоскости xz для волновых функций атома водорода с $n = 2$. Показаны контурные линии равной вероятности (значения соответствующих вероятностей указаны числами). Максимальная вероятность выбрана равной 1. Масштаб осей x и z соответствует ангстремам (1 Å = 10^{-10} м)

Соответствующая волновая функция имеет вид

$$e^{ikR\varphi - i\omega t} = e^{im_l\varphi - i\omega t}.$$

Следовательно, мы показали, что если волновая функция частицы содержит множитель вида $e^{im_l\varphi}$, то у такой частицы будет составляющая момента импульса вдоль оси z, равная $L_z = m_l\hbar$. Существует и более строгое доказательство этого утверждения, однако оно несколько выходит за рамки нашей книги. Мы видим, что момент импульса квантуется, т. е. составляет целое кратное $\hbar$; иными словами, L_z может принимать значения 0, $\pm\hbar$, $\pm2\hbar$, $\pm3\hbar$ и т. д.

До сих пор мы рассматривали решения уравнения (26-5), которые являются только функцией от r. Между тем существуют и другие решения, зависящие также от θ и φ. В наиболее общем виде решение записывается следующим образом:

$$\psi_{n,l,m_l}(r,\theta,\varphi) = R_n(r)\Theta_{l,m_l}(\theta)\Phi_{m_l}(\varphi),$$

где

$$\Phi_{m_l}(\varphi) = e^{im_l\varphi}.$$

Из приведенного выше рассмотрения следует, что волновой функции $\psi_{n,l,m}$ должна соответствовать составляющая момента импульса по оси z, равная $m_l\hbar$.

В случае с $n = 2$ нам уже известно решение вида

$$\psi_{2,0,0} = \left(1 - \frac{r}{2a}\right)e^{-r/2a}.$$

Однако наряду с ним существуют и другие решения:

$$\psi_{2,1,1} = re^{-r/2a}\sin\theta\, e^{i\varphi},$$

$$\psi_{2,1,0} = re^{-r/2a}\cos\theta,$$

$$\psi_{2,1,-1} = re^{-r/2a}\sin\theta\, e^{-i\varphi}.$$

Эти решения можно проверить, подставляя их непосредственно в уравнение (26-5). На рис. 26-6 приведены контурные диаграммы электронной плотности, отвечающие волновым функциям с $n = 2$. Заметим, что при $n = 2$ квантовое число l может принимать два значения: 0 или 1; при $l = 1$ квантовое число m_l пробегает три значения*: 1, 0 и −1. В соответствии с

* Квантовое число l принято называть орбитальным квантовым числом, а m_l — магнитным квантовым числом. — *Прим. перев.*

(26-9) всем этим четырем функциям отвечает один и тот же энергетический уровень $E_2 = -(1/4)$ (13,6 эВ).

Вообще говоря, каждой волновой функции, или собственной функции, соответствует свой единственный энергетический уровень, или собственное значение. Однако кулоновский потенциал обладает особым свойством: всем собственным функциям с одним и тем же квантовым числом n соответствует единственное собственное значение энергии. Можно показать, что значение квантового числа l никогда не превосходит $n - 1$, а квантовое число m_l пробегает ряд целочисленных значений от $-l$ до $+l$.

Рассмотрим теперь в качестве примера случай с $n = 3$, чтобы показать, какие комбинации можно составить из этих трех квантовых чисел. Из табл. 26-1 мы видим, что возможно всего девять различных комбинаций. Таким образом, имеется девять различных волновых функций, зависящих от r, θ и φ, причем всем им отвечает одна и та же энергия $E_3 = -(1/9)$ (13,6 эВ).

Таблица 26-1

Возможные комбинации n, l и m_l для случая с $n = 3$

n	l	m_l
3	0	0
3	1	1
3	1	0
3	1	−1
3	2	2
3	2	1
3	2	0
3	2	−1
3	2	−2

Пример 4. Сколько имеется различных волновых функций в случае с $n = 4$?

Решение: Возможные значения l равны 0, 1, 2, 3. Из табл. 26-1 следует, что значениям $l = 0$, 1 и 2 соответствуют девять волновых функций. Дополнительному значению $l = 3$ отвечает еще семь функций с m_l от -3 до $+3$. Полное число функций $7 + 9 = 16$.

Заметим, что значения проекции момента импульса на ось z меняются от $-l\hbar$ до $+l\hbar$. Если экспериментально измерять величину момента импульса относительно произвольной оси, то максимальное значение будет равно $l\hbar$. Физически это означает, что полный момент импульса электрона, описываемого волновой функцией с квантовым числом l, равен $l\hbar$ и что его проекция на ось z характеризует ориентацию волновой функции, или орбитали. Все эти факты получили экспериментальное подтверждение. Отношение m_l к l представляет собой угол между осью z и направлением момента импульса частицы.

Кинетическая энергия вращательного движения твердого тела $K = L^2/2I$, где I — момент инерции. Если измерять эту энергию, то, согласно квантовой теории (это подтверждается и экспериментом),

$$K = \frac{l(l+1)\hbar^2}{2I}.$$

Отсюда следует, что $L = \hbar\sqrt{l(l+1)}$. Таким образом, в измерениях, связанных с энергией, нужно полагать $L = \hbar\sqrt{l(l+1)}$, а при измерениях момента импульса $L = \hbar l$*.

Используя табл. 26-2 и выражение

$$\psi_{n,l,m}(r, \theta, \varphi) = R_n(r)\Theta_{l,m_l}(\theta)e^{im_l\varphi},$$

можно построить различные волновые функции. На рис. 26-7 представлены контурные диаграммы $|\psi|^2$ в плоскости xz.

* Точнее, $\hbar^2 l(l+1)$ определяет квадрат величину момента импульса, тогда как $\hbar l$ представляет собой максимальное значение проекции момента импульса на выбранное направление. — *Прим. перев.*

Таблица 26-2

Ненормированные радиальные и угловые функции, используемые при построении полных волновых функций $\psi_{n,\,l,\,m_l}$ для атома водорода ($\rho \equiv r/a$)

$R_{n,\,l}(\rho)$		$\Theta_{l,\,m_l} = \Theta_{l,\,-m_l}$	
R_{10}	$e^{-\rho}$	Θ_{00}	1
R_{20}	$\left(1-\frac{\rho}{2}\right)e^{-\rho/2}$	Θ_{10}	$\cos\theta$
R_{21}	$\rho e^{-\rho/2}$	Θ_{11}	$\sin\theta$
R_{30}	$\left(1-\frac{2\rho}{3}+\frac{2e^2}{27}\right)e^{-\rho/3}$	Θ_{20}	$3\cos^2\theta - 1$
R_{31}	$\rho\left(1-\frac{\rho}{6}\right)e^{-\rho/3}$	Θ_{21}	$\sin\theta\cos\theta$
R_{32}	$\rho^2 e^{-\rho/3}$	Θ_{22}	$\sin^2\theta$
$R_{n,\,n-1}$	$\rho^{(n-1)}e^{-\rho/n}$	Θ_{ii}	$\sin\theta$

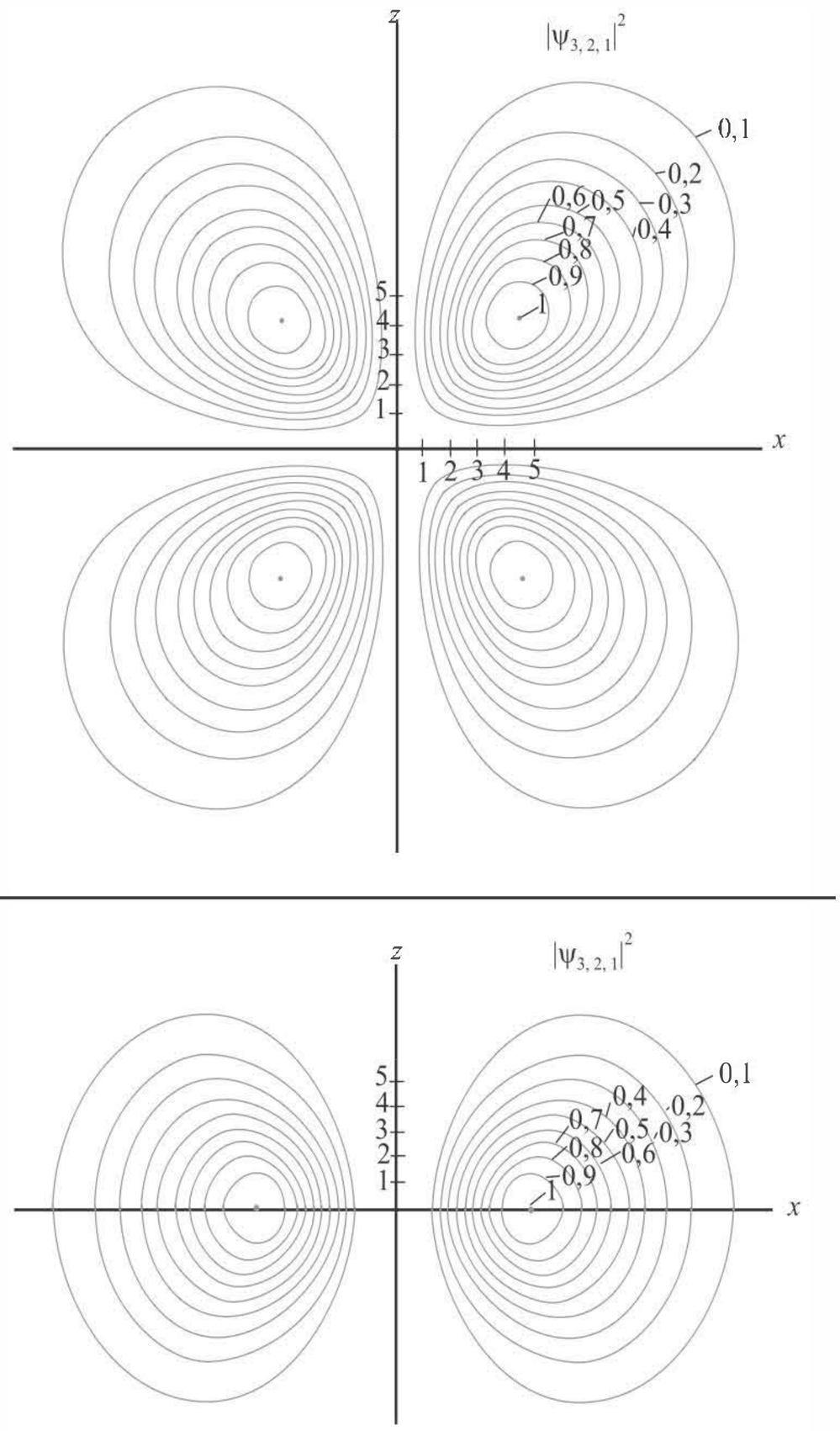


Рис. 26-7. То же, что и на рис. 26-6, но для случая с двумя волновыми функциями атома водорода с $n = 3$

Следует заметить, что при больших n распределение $|\psi|^2$, отвечающее $l = (n-1)$, концентрируется на окружности радиусом n^2a с центром на оси z. В сущности, это и есть предсказанная Бором орбита, с той лишь разницей, что, согласно более точным представлениям, электрон равномерно «размазан» по круговой орбите.

Нормировка волновых функций

Определим величину $|\psi|^2 dxdydz$ как относительную вероятность того, что частица заключена в элементе объема $dxdydz$. Эту величину можно рассматривать также как абсолютную вероятность, если она удовлетворяет условию

$$\underset{\text{По всему пространству}}{\iiint} |\psi|^2\, dx\, dy dz = 1.$$

Это условие нормировки однозначно определяет коэффициент пропорциональности, на который умножается данная волновая функция. Поскольку до сих пор мы имели дело лишь с относительными вероятностями, мы не рассматривали нормировку волновых функций.

Среднее значение

Предположим, что волновая функция частицы представляет собой суперпозицию нескольких собственных функций. Иными словами, пусть волновая функция

$$\psi(x)=\sum_j a_j\psi_j(x),$$

где каждая из ψ_j представляет собой нормированную собственную функцию, которая отвечает собственному значению энергии E_j. В соответствии с основным постулатом гл. 24 мы знаем, что вероятность найти частицу в состоянии, характеризуемом волновой функцией ψ_j, дается квадратом амплитуды a_j. Таким образом, вероятность найти частицу в состоянии с энергией E_j равна $|a_j|^2$. При этом среднее значение энергии можно записать в виде

$$\langle E\rangle=\sum_j |a_j|^2 E_j.$$

Такое среднее значение энергии дает серия повторных измерений, произведенных над частицей, которая каждый раз находится в одном и том же начальном состоянии $\psi(x)$. То же самое справедливо для любой другой физической величины, в частности для момента импульса; следовательно,

$$\langle L\rangle=\sum_j |a_j|^2 L_j.$$

---

* **Пример 5.** Атом водорода в состоянии с $n=2$ и $l=1$ имеет $L_z=\hbar$, а волновая функция записывается в виде $\psi(r,\theta,\varphi)=R_{2,1}\Theta_{1,1}(\theta)e^{i\varphi}$. Предположим, что мистер Штрих находится в штрихованной системе координат, ось z' которой повернута на угол α относительно оси z. Какую величину измерит мистер Штрих?

Указание: Проделав некоторые тригонометрические преобразования, можно показать, что

$$\Theta_{11}(\theta)e^{i\varphi}=\frac{1}{2}(\cos\alpha+1)\Theta_{11}(\theta')e^{i\varphi'}-$$
$$-\frac{\sin\alpha}{\sqrt{2}}\Theta_{10}(\theta')+\frac{1}{2}(\cos\alpha-1)\Theta_{1-1}(\theta')e^{i\varphi'}$$

(см. задачу 28).

Решение: В штрихованной системе координат исходная волновая функция имеет следующий вид:

$$\psi(r,\theta,\varphi)=a_1\psi_1(r,\theta',\varphi')+a_2\psi_2(r,\theta',\varphi')+$$
$$+a_3\psi_3(r,\theta',\varphi'),$$

где

$$a_1=\frac{\cos\alpha+1}{2},\quad a_2=-\frac{\sin\alpha}{\sqrt{2}},\quad a_3=\frac{\cos\alpha-1}{2}.$$

Функция ψ_1 содержит $\Theta_{11}(\theta')e^{i\varphi'}$, следовательно, $L'_z=\hbar$; ψ_2 отвечает $L'_z=0$, а ψ_3 соответствует $L'_z=-\hbar$. Таким образом,

$$\langle L'_z\rangle=a_1^2(+\hbar)+a_2^2(0)+a_3^2(-\hbar)=$$
$$=\frac{(\cos\alpha+1)^2}{4}(+\hbar)+\frac{(\cos\alpha-1)^2}{4}(-\hbar)=$$
$$=(\cos\alpha)\hbar,$$

и квантовая физика дает тот же результат, что и классическая.

---

§ 5. Испускание фотонов

После того как было написано уравнение Шредингера, квантовая механика стала применяться в теории электромагнитных взаимодействий, в результате чего возникла квантовая электродинамика. Подробное рассмотрение этой теории выходит за рамки нашей книги. Нам лишь понадобится установленный квантовой электродинамикой факт, что заряженная частица может поглощать или испускать отдельные фотоны и что теория позволяет точно рассчитать соответствующие амплитуды вероятностей поглощения или испускания.

Спонтанное излучение

Рассмотрим заряженную частицу, закрепленную на пружинке с коэффициентом упругости, которому соответствует частота собственных колебаний $\omega_0 = \sqrt{k/m}$. Если пружину растянуть, а затем отпустить, то прикрепленная к ней заряженная частица в соответствии с классической физикой будет излучать на частоте ω_0. На языке квантовой механики это означает, что частицу из основного состояния перевели на более высокий энергетический уровень. Согласно квантовой механике, электрон, находящийся на энергетическом уровне выше основного, может с определенной вероятностью испустить фотон и перейти на более низкий энергетический уровень. Такой процесс называется спонтанным излучением. Если у атома водорода два уровня различаются по энергии на несколько электронвольт, то амплитуда вероятности перехода между этими уровнями оказывается такой, что типичное время, необходимое для процесса испускания фотона, составляет порядка 10^{-8} с (см. § 7 гл. 21 и § 7 настоящей главы). Если фотон испускается в результате перехода между уровнями с энергиями $E_{n'}$ и E_n, то его энергия $hf = E_{n'} - E_n$. Частота такого фотона $f = (E_{n'} - E_n)/h$.

Таким образом, если атом имеет четыре различных энергетических уровня, как показано на рис. 26-8, то возможны шесть различных переходов с более высоких уровней на более низкие. При этом излучаемый атомом «свет» будет характеризоваться шестью различными частотами. Если анализировать это излучение спектроскопом, то можно увидеть шесть спектральных линий. В нормальных условиях атомы находятся в основном состоянии и не излучают света. Однако если газ, состоящий из этих атомов, нагревается или в нем происходит электрический разряд, то вследствие столкновений некоторые атомы приобретут энергию и перейдут на уровни с более высокой энергией. Именно эти относительно немногочисленные атомы в состояниях с более высокой энергией и испускают фотоны.

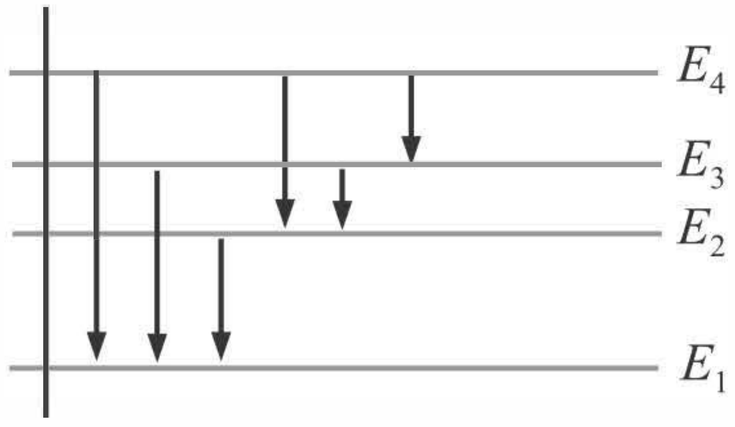


Рис. 26-8. Шесть возможных переходов между четырьмя энергетическими уровнями

Согласно современной теории, фотоны представляют собой элементарные частицы со спином 1 ($L = \hbar$). Поэтому при испускании фотона квантовое число атома l изменяется по меньшей мере на единицу.

Спектр атома водорода

Поскольку мы располагаем количественным соотношением для энергетических уровней атома водорода, можно рассчитать весь его спектр. Пусть энергия более высокого возбужденного уровня равна

$$E_{n'} = -k_0^2 \frac{me^4}{2\hbar^2} \frac{1}{n'^2},$$

а энергия более низкого уровня

$$E_n = -\frac{k_0^2 me^4}{2\hbar^2} \frac{1}{n^2}.$$

Тогда частоты, соответствующие различным спектральным линиям, можно записать в виде

$$f = \frac{k_0^2 me^4}{4\hbar^2} \left(\frac{1}{n^2} - \frac{1}{n'^2} \right). \qquad (26\text{-}10)$$

Серия спектральных линий, отвечающая $n = 1$, называется серией Лаймана. Все линии этой серии расположены в ультрафиолетовой области спектра электромагнитного излучения. При $n = 2$ возникает другая серия линий, называемая серией Бальмера. Спектр атомарного водорода приведен на рис. 26-9, *а*, а некоторые из соответствующих переходов между уровнями показаны с помощью диаграмм энергетических уровней на рис. 26-9, *б*. На этих диаграммах по горизонтали принято откладывать состояния с различными значениями момента импульса.

Пример 6. Какие длины волн соответствуют линиям серии Бальмера? Сколько линий расположено в видимой части спектра?

Решение: Энергии испускаемых фотонов вычисляем по формуле

$hf = 13{,}6$ эВ $(0{,}25 - 1/n'^2)$, где $n' = 3, 4, 5 \ldots$.

Таким образом, первым четырем линиям спектра соответствуют следующие значения энергии:

$$hf_1 = 13{,}6\left(\frac{1}{4} - \frac{1}{9}\right) = 1{,}89 \text{ эВ},$$

$$hf_2 = 13{,}6\left(\frac{1}{4} - \frac{1}{16}\right) = 2{,}55 \text{ эВ},$$

$$hf_3 = 13{,}6\left(\frac{1}{4} - \frac{1}{25}\right) = 2{,}86 \text{ эВ},$$

$$hf_4 = 13{,}6\left(\frac{1}{4} - \frac{1}{36}\right) = 3{,}02 \text{ эВ}.$$

При очень больших n имеем

$$hf_\infty = 13{,}6\left(\frac{1}{4} - 0\right) = 3{,}40 \text{ эВ}.$$

Соответственно, длины излучаемых волн равны

$$\lambda = \frac{c}{f} = \frac{hc}{hf} = \frac{\left(6{,}63 \cdot 10^{-34}\right)\left(3{,}00 \cdot 10^{8}\right)}{hf} =$$

$$= \frac{1{,}99 \cdot 10^{-26} \text{ Дж} \cdot \text{м}}{hf} = \frac{12{,}4 \cdot 10^{-7} \text{ эВ} \cdot \text{м}}{hf},$$

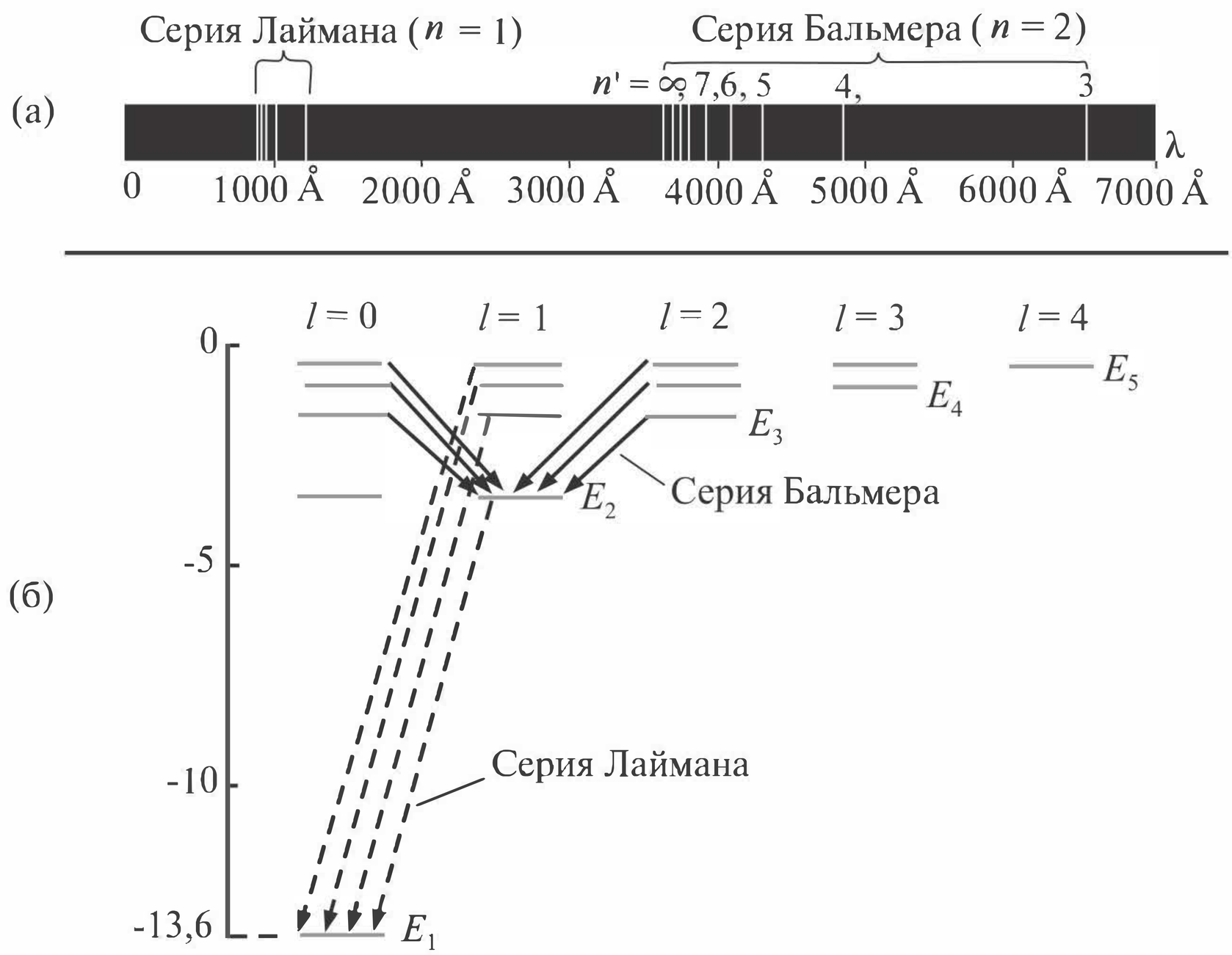


Рис. 26-9. *а* — возможные линии водородного спектра вплоть до $\lambda = 7000$ Å; *б* — переходы, отвечающие серии Лаймана (штриховые линии со стрелками) и серии Бальмера (сплошные линии со стрелками)

так что,

$\lambda_1 = 656$ нм; $\lambda_2 = 486$ нм; $\lambda_3 = 443$ нм;
$\lambda_4 = 411$ нм; $\lambda_\infty = 365$ нм.

Спектр содержит бесконечное число линий, сходящихся при $n \to \infty$ к значению $\lambda_\infty = 3650$ Å, которое отвечает близкой ультрафиолетовой области. λ_1 (6560 Å) расположена в красной области видимого спектра, λ_2 — в синей, а λ_3 — в фиолетовой; λ_4 попадает на границу между видимой и ультрафиолетовой областями спектра.

Поглощение

Если излучение со сплошным спектром — например, излучение нагретого до красного свечения тела — проходит через холодный газ, то находящиеся в основном состоянии атомы газа будут переходить в одно из возбужденных состояний и поглощать при этом фотоны определенной энергии. В случае с холодным водородом поглощаться будут фотоны, соответствующие серии Лаймана. Если исследовать сплошной спектр излучения, прошедшего через газ, то в нем обнаружится отсутствие фотонов с энергиями $E_2 - E_1$, $E_3 - E_1$, $E_4 - E_1$ и т. д. Отсутствие фотонов с этими энергиями проявляется на спектрограмме в виде темных линий. Процесс, при котором в результате облучения образца вещества светом возбуждаются более высокие энергетические уровни атомов, называется оптической накачкой.

Дополнение редактора к § 5

Как следует из материала § 5, квантовые процессы испускания и поглощения фотонов атомами характеризуются тем, что фотоны испускаются только возбужденными атомами. Излучая фотон, атом теряет энергию, причем величина этой потери в силу закона сохранения энергии связана с частотой фотона формулой Бора. Процесс излучения может быть как самопроизвольным (спонтанным), так и вынужденным (индуцированным).

Спонтанное излучение происходит без внешнего воздействия на атом и обусловлено только неустойчивостью его возбужденного состояния, из-за которой атом рано или поздно освобождается от энергии возбуждения путем излучения фотона.

К неустойчивости возбужденного состояния атома приводит взаимодействие его электронов с физическим вакуумом. Физический вакуум не является абсолютной пустотой, а представляет собой состояние материи с наименьшей энергией. В частности, в этом состоянии минимальна энергия электромагнитного поля. Взаимодействуя с возбужденным атомом, поле может отобрать у атома энергию. Возникшее в результате этого электромагнитное возмущение и является спонтанно испущенным фотоном частоты $\omega_{ij} = E_{ij}/\hbar$. Различные атомы спонтанно излучают независимо один от другого и генерируют так называемые некогерентные фотоны в самых различных направлениях.

Из-за конечности времени жизни возбужденных состояний атома энергии этих состояний всегда имеют статистический разброс. Если система нестабильна (например, радиоактивное ядро), то из-за конечности времени жизни системы ее энергия всегда имеет неустранимый статистический разброс — не меньший, чем $\Delta E \approx \hbar/\tau$, где τ — время жизни системы, $\hbar$ — постоянная Планка.

В изолированном атоме, который взаимодействует только с физическим вакуумом, подобный разброс составляет естественную ширину (иногда называемую также радиационной шириной) одного из возбужденных уровней. Если время жизни возбужденного состояния изолированного атома составляет, например,

$\tau \approx 10^{-8}$ с, то естественная ширина уровня имеет величину $\Delta E \approx 10^{-7}$ эВ, так что каждая спектральная линия атомного излучения имеет естественную конечную ширину порядка $\tau^{-1} \approx 10^{8}$ Гц. Этот результат следует из расчетов по квантовой электродинамике и качественно описывается выражением $\Delta E/E_{ij} \approx \alpha^3(Z+1)^2$, где $\alpha = 1/137$ — так называемая постоянная тонкой структуры, Z — кратность заряда иона.

§ 6. Вынужденное излучение

Согласно квантовой электродинамике, наряду с процессами спонтанного излучения и поглощения имеет место процесс, называемый вынужденным (или стимулированным) излучением. Допустим, атом находится в возбужденном состоянии $E_{n'}$ и может испустить фотон с энергией $E_{n'} - E_n$. Оказывается, если такой атом поместить в поле внешнего излучения, которое уже содержит фотоны с энергией $E_{n'} - E_n$, то вероятность испускания атомом фотона увеличится. Это явление ускорения атомных переходов возбужденных атомов под действием «света» называется вынужденным излучением. Более того, возникающий в результате вынужденного излучения фотон оказывается точно в фазе с внешним фотоном, стимулировавшим это излучение атома, и летит в том же направлении.

В качестве классического аналога этого явления можно вновь рассмотреть прикрепленную к пружине заряженную частицу. Пусть коэффициент упругости пружины отвечает частоте собственных колебаний ω_0. Если теперь эту частицу поместить во внешнее электрическое поле $E = E_0 \cos \omega t$, то она будет совершать колебания с частотой ω_0 и излучать. Чем ближе ω к ω_0, тем больше амплитуда колебаний [см. выражение (21-6)]. Следует заметить, что частота излучения совпадает не с ω_0, а с частотой ω внешнего поля.

Лазер

Предположим, что мы имеем образец, содержащий атомы (или молекулы), большинство из которых находится в возбужденном состоянии $E_{n'}$. Такой образец можно приготовить различными способами: с помощью оптической накачки, за счет соударений с потоком электронов и соударений с другими возбужденными атомами, а также используя спонтанное излучение атомов с переходом в данное возбужденное состояние с более высоких уровней и т. п. Проследим теперь за фотоном, который был испущен первым. Пролетая через газ, этот фотон стимулирует вынужденное излучение у встречных фотонов. Если образец поместить между двумя зеркалами, то процесс принимает характер цепной реакции и идет до тех пор, пока не излучат все атомы (рис. 26-10). При этом все фотоны оказываются в фазе друг с другом. Если одно из зеркал сделать частично отражающим (полупрозрачным), то выходящий наружу свет является когерентным. Он представляет собой непрерывную монохроматическую электромагнитную волну, как и в случае с электромагнитным излучением радиопередатчика. Для того, чтобы процесс вынужденного испускания преобладал над процессом поглощения, большая часть атомов должна находиться в возбужденном состоянии. На рис. 26-11 приведена схема такого процесса для гелий-неонового лазера; в состоянии $E_{n'}$ находится больше атомов, чем в состоянии E_n.

До разработки лазера в 1960 г. все доступное человечеству излучение в инфракрасной, видимой и ультрафиолетовой областях спектра было некогерентным, т. е. фазы отдельных фотонов имели слу-

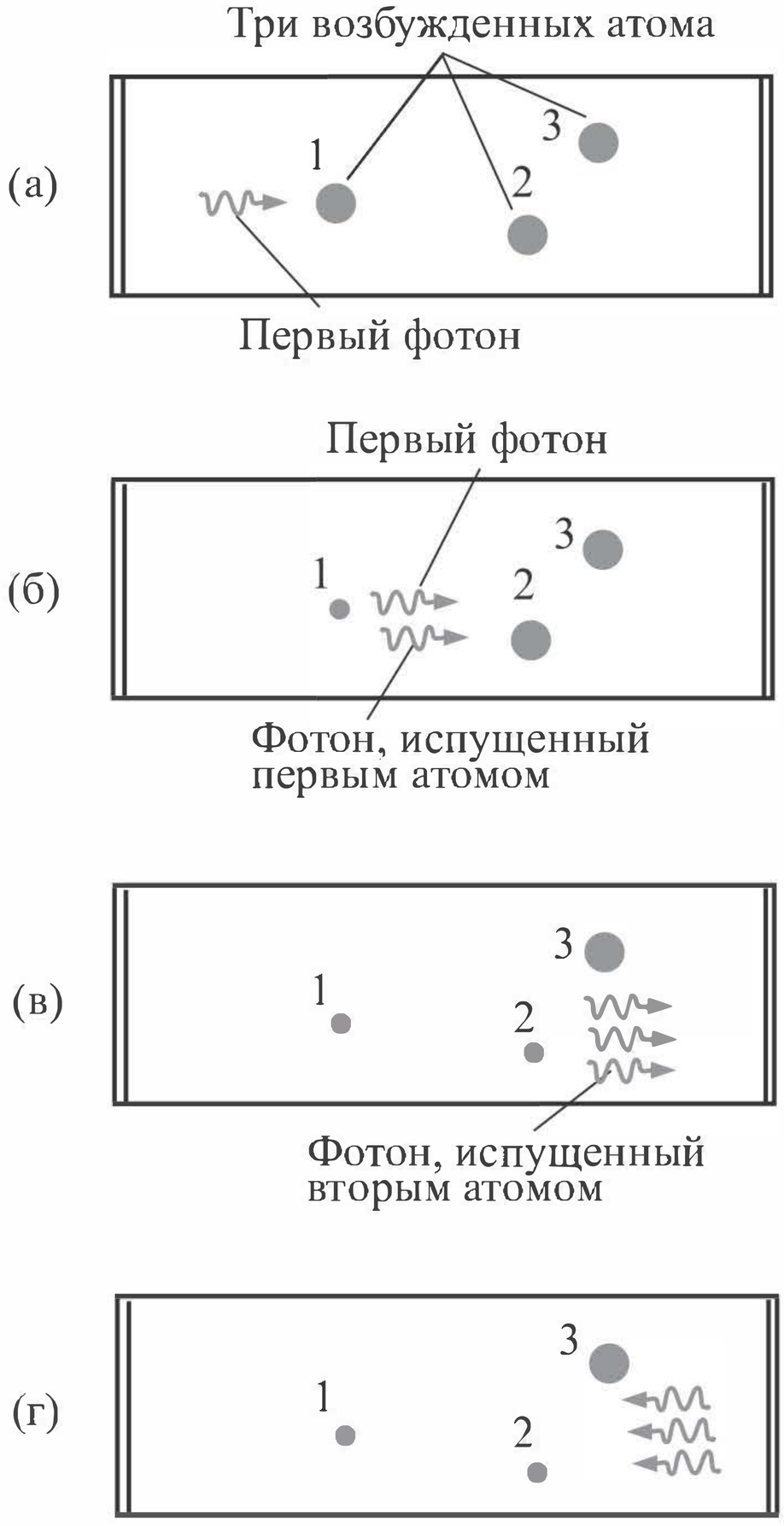


Рис. 26-10. Вынужденное излучение в лазере. *а* — первый фотон падает на возбужденный атом; *б* — атом испускает фотон, который падает на другой возбужденный атом; *г* — три фотона испытали отражение и готовы «подцепить» четвертый фотон

чайные значения относительно друг друга. Как было отмечено в § 4 гл. 23, с помощью когерентного светового пучка можно получить на больших расстояниях пятно значительно меньших размеров; с момента появления первого лазера достигнуты значительные успехи в технологии, что позволило создать лазеры как импульсного, так и непрерывного действия, использующие газообразное, жидкое или твердое вещество, с длинами волн излучения в инфракрасной, видимой или ультрафиолетовой областях спектра.

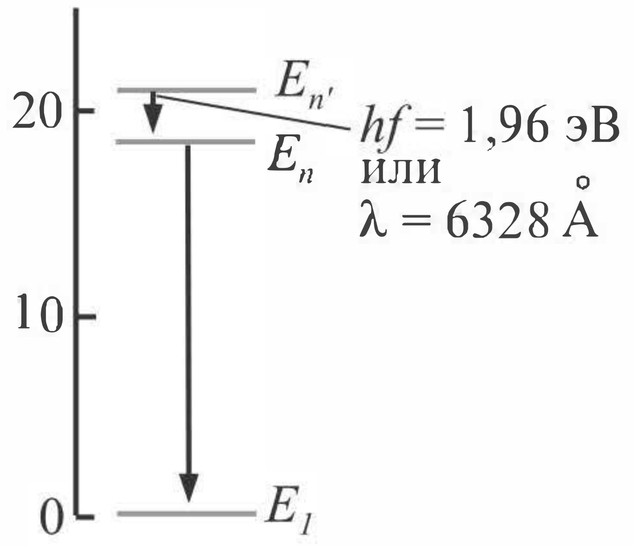


Рис. 26-11. Три энергетических уровня атома неона. В гелий-неоновом лазере атомы неона переходят в возбужденное состояние вследствие столкновений с возбужденными атомами гелия. Переход в состояние E_n обусловливается вынужденным излучением. Затем благодаря столкновениям со стенками атомы неона быстро переходят в основное состояние

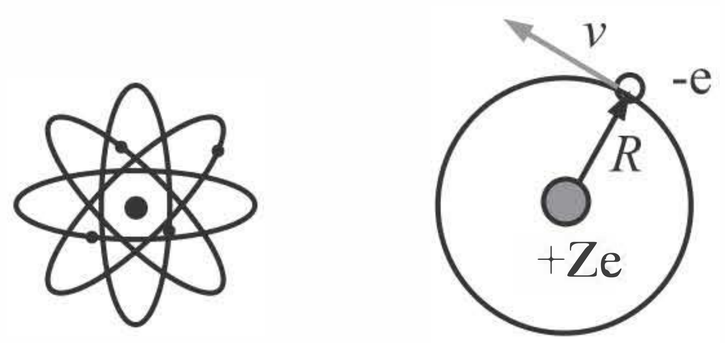
§ 7. Боровская модель атома

Современная модель атома, рассматриваемая в настоящей главе, была создана в 1926 г. вскоре после появления уравнения Шредингера. Однако за 13 лет до этого Нильс Бор создал теорию, которая прекрасно объясняла весь спектр водорода, а также легла в основу физической модели устойчивого атома.

Хотя теория Бора устарела, она столь проста, а ее историческое значение так велико, что мы изложим ее здесь. Кстати, символы боровской теории употребляются и по сей день (рис. 26-12). Бор считал, что возможные орбиты электронов аналогичны классическим круговым орбитам планет, и пытался найти правило, которое допускало бы лишь определенные значения энергий электрона или радиусов орбит. Он придумал правило, согласно которому численное значение

момента импульса должно быть целым кратным постоянной $\hbar$:

$$mvR = n\hbar. \qquad (26\text{-}11)$$



а) б)

Рис. 26-12. *а* — традиционный символ атома; *б* — боровская модель водородоподобного атома

Следует заметить, что боровский постулат отличается от современных представлений о свойствах атома водорода в двух отношениях. Во-первых, понятие классической орбиты теряет смысл применительно к электрону, состояние которого характеризуется стоячей волной. Во-вторых, момент импульса равен не $n\hbar$, а $l\hbar$, т. е. в любом случае он меньше боровского значения. Таким образом, то обстоятельство, что теория Бора правильно описывает спектр энергетических уровней атома водорода, является лишь счастливой случайностью. В том что правильный ответ может оказаться следствием неправильных рассуждений, нет ничего необычного. Такое случается и с великими мира сего.

Проследим теперь за вычислениями, проделанными Бором для нахождения энергетических уровней электрона в поле ядра с зарядом Ze. Согласно постулату Бора (26-11), радиус n-й орбиты

$$R_n = n\frac{\hbar}{mv}. \qquad (26\text{-}12)$$

Приравняем центростремительную силу к силе электростатического притяжения:

$$\frac{mv^2}{R_n} = \frac{k_0 Ze^2}{R_n^2},$$

$$mv^2 = \frac{k_0 Ze^2}{R_n} = -U \ (\textit{потенциальная энергия}), \qquad (26\text{-}13)$$

$$v^2 = \frac{k_0 Ze^2}{mR_n}. \qquad (26\text{-}14)$$

Подставляя сюда вместо R_n выражение (26-12), получаем

$$v^2 = \frac{k_0 Ze^2}{m\left(n\frac{\hbar}{mv}\right)},$$

$$v = \frac{k_0 Ze^2}{n\hbar}. \qquad (26\text{-}15)$$

Энергии уровней определяются соотношением

$$E_n = (1/2)mv^2 + U$$

или [после замены в соответствии с (26-13) $U = -mv^2$]

$$E_n = \frac{1}{2}mv^2 + \left(-mv^2\right) = -\frac{1}{2}mv^2.$$

Возводя в квадрат правую часть выражения (26-15) и подставляя полученное выражение вместо v^2, окончательно находим

$$E_n = -k_0^2\frac{Z^2me^2}{2\hbar^2}\frac{1}{n^2} = -13{,}6\left(\frac{Z^2}{n^2}\right)\text{эВ}. \qquad (26\text{-}16)$$

Эту величину можно также выразить через R, подставив (26-14) в выражение $E = -(1/2)mv^2$, что дает

$$E_n = -\frac{k_0 e^2}{2R_n}. \qquad (26\text{-}17)$$

Соотношение (26-16) следует и из современной квантовой теории [см. соотношения (26-7) и (26-9)]. Боровская модель дает также простой ответ на вопрос о размерах атома. Формулу для R_n получа-

ем подстановкой выражения (26-15) в (26-12):

$$R_n = n^2 \frac{\hbar^2}{k_0 Zme^2}. \qquad (26\text{-}18)$$

Это выражение согласуется с формулой (26-8) для среднего радиуса электронного облака.

Однако серьезным недостатком модели Бора является то, что она оказалась неспособна объяснить спектры атомов, начиная с атома гелия, вокруг ядра которого ($Z = 2$) вращаются два электрона. Несмотря на сложность проблемы трех взаимодействующих частиц, квантовая механика позволяет рассчитать энергетические уровни атома гелия. На основании современной теории с помощью компьютеров спектр гелия просчитан с высокой точностью. Данные эксперимента подтвердили результаты этих расчетов. Физики и химики убеждены, что современная квантовая механика в принципе способна описать все спектры атомов и свойства химических соединений.

---

* **Пример 7.** Докажем, что полученное в теории Бора значение радиуса ($R_n = n^2 a$) согласуется с расчетами на основе волновых функций атома водорода при $l = n - 1$. Определим «средний» радиус как расстояние, на котором распределение вероятностей достигает максимума.

Решение: Распределение вероятностей дается выражением $|\psi_{n,n-1}|^2\, dV$, где $dV = 4\pi r^2\, dr$ — элемент объема. Следовательно, распределение вероятностей как функция от r пропорционально величине

$$r^2 [R_{n,n-1}(r)]^2\, dr.$$

Используя табл. 26-2, можно написать, что

$$(R_{n,n-1})^2 \sim r^{2n-2} e^{-2r/na}.$$

Обозначим распределение вероятностей через $P(r)$:

$$P(r) = r^{2n} e^{-2r/na}.$$

Эта функция имеет максимум, когда $dP/dr = 0$:

$$\frac{dP}{dr} = 2nr^{2n-1} e^{-2r/na} - \frac{2}{na} r^{2n} e^{-2r/na}.$$

Приравняв к нулю это выражение и сократив на экспоненциальные множители, получим

$$2nr^{2n-1} - \frac{2}{na} r^{2n} = 0,$$

$$n^2 a r^{2n} - 1 = r^{2n},$$

$$r = n^2 a.$$

Заметим, что полученный результат справедлив для любых целых значений n, включая $n = 1$, соответствующего волновой функции основного состояния.

Стабильность орбит

Используя теорию Бора и формулу для излучения точечного заряда, можно вычислить время, за которое совершается переход с орбиты радиусом $R_{n'}$ на орбиту радиусом R_n. В соответствии с (21-14) скорость потери энергии можно записать в виде

$$\frac{dE}{dt} = \frac{2}{3} k_0 \frac{e^2}{c^3} a^2, \text{ где } a = \frac{F}{m} = k_0 \frac{e^2}{mR^2},$$

$$\frac{dE}{dt} = -\frac{2}{3} k_0^3 \frac{e^6}{m^2 c^3 R^4}. \qquad (26\text{-}19)$$

Нам понадобится также величина dE/dR, которую можно получить, дифференцируя выражение

$$E = -k_0 \frac{e^2}{2R},$$

откуда

$$\frac{dE}{dR} = k_0 \frac{e^2}{2R^2}. \qquad (26\text{-}20)$$

Теперь вычислим dt/dR:

$$\frac{dt}{dR}=\left(\frac{dt}{dE}\right)\frac{dE}{dR}.$$

С учетом (26-19) и (26-20) получаем

$$\frac{dt}{dR}=\left(-\frac{2}{3}k_0^3\frac{e^6}{m^2c^3R^4}\right)^{-1}\left(k_0\frac{e^2}{2R^2}\right)=$$

$$=\frac{3}{4}\frac{m^2c^3R^2}{k_0^2e^4}.$$

Время перехода определяется следующим образом:

$$t=\int\limits_{R_{n'}}^{R_n}\frac{dt}{dR}dR=\int\limits_{R_{n'}}^{R_n}\left(\frac{3}{4}\frac{m^2c^3R^2}{k_0^2e^4}\right)dR=$$

$$=\frac{m^2c^3}{4k_0^2e^4}\left(R_{n'}^3-R_n^3\right). \qquad (26\text{-}21)$$

Для первой линии серия Бальмера $R_{n'} = R_3 = -0{,}477$ нм, а $R_n = R_2 = 0{,}212$ нм. Таким образом,

$$t=\frac{\left(9{,}11\cdot10^{-31}\text{ кг}\right)^2\left(3\cdot10^8\text{ м/с}\right)^3}{4\left(9\cdot10^9\text{ Н}\cdot\text{м}^2/\text{Кл}^2\right)^2\left(1{,}6\cdot10^{-19}\text{ Кл}\right)^4}\times$$

$$\times\left[\left(4{,}77\cdot10^{-10}\text{ м}\right)^3-\left(2{,}12\cdot10^{-10}\text{ м}\right)^3\right]=$$

$$=1{,}04\cdot10^{-8}\text{ с}.$$

Как и целый ряд других следствий теории Бора, этот результат хорошо согласуется с точным квантово-механическим расчетом, в котором не используется классическая физика.

Пример 8. Используя формулу (26-21), вычислим время, за которое электрон атома водорода, находящегося в основном состоянии в модели Бора, упадет на протон. Радиус протона $R = 10^{-15}$ м.

Решение: Положим в (26-21) $R_{n'} = R_1 = 0{,}53\cdot10^{-10}$ м (начальный радиус) и $R_n = r = 10^{-15}$ м (конечный радиус):

$$t=\frac{m^2c^3}{4k_0^2e^4}\left[\left(0{,}53\cdot10^{-10}\text{ м}\right)^3-\left(10^{-15}\text{ м}\right)\right]=$$

$$=1{,}57\cdot10^{-11}\text{ с}.$$

Это означает, что если бы электрон на боровской орбите, отвечающей основному состоянию, излучал в соответствии с классической физикой, то атомы водорода испытывали бы коллапс за время 10^{-11} с. Бор нашел выход из этого затруднения, постулировав, что электроны в основном состоянии не излучают.

Основные выводы

Уравнение Шредингера в трех измерениях записывается следующим образом:

$$\frac{\partial^2\psi}{\partial x^2}+\frac{\partial^2\psi}{\partial y^2}+\frac{\partial^2\psi}{\partial z^2}=-\frac{2m}{\hbar^2}(E-U)\psi.$$

В случае, когда $\psi(x, y, z)$ зависит только от r, это уравнение принимает вид

$$\frac{1}{r^2}\frac{d}{dr}\left(r^2\frac{d\psi}{dr}\right)=-\frac{2m}{\hbar^2}\left[E-U(r)\right]\psi.$$

В случае с атомом водорода $U = -k_0\times\times(e^2/r)$. При этом решением, соответствующим состоянию с низшей энергией $E_1 = -k_0(me^4/2\hbar^2) = -13{,}6$ эВ, является функция $\psi_1 = \exp(-r/a)$, где — радиус первой боровской орбиты. Собственные значения энергии $E_n = (-13{,}6/n^2)$ эВ. Соответствующие им решения могут зависеть от углов θ и φ. Зависимость волновой функции от угла φ имеет вид $\exp(im_l\varphi)$, где $L_z = m_l\hbar$ — проекция момента импульса на ось z. Зависимость от угла θ характеризуется значением квантового числа l, причем $L = l\hbar$ — максимальное значение величины L_z; иными словами, m_l может быть любым целым числом в пределах от $-l$ до $+l$. Квантовое число l может принимать целочисленные значения от 0 до $n - 1$.

При $n' > n$ возможен спонтанный переход с уровня $E_{n'}$ на уровень E_n, сопровождающийся испусканием фотона. Энергия фотона $hf = E_{n'} - E_n$. Если фотон с такой частотой f сталкивается с атомом в состоянии E_n, то фотон может поглотиться, а атом при этом перейдет из начального состояния E_n в состояние $E_{n'}$. Если газообразный водород нагрет и часть атомов находится в возбужденных состояниях с более высокой энергией, то энергии фотонов в спектре излучения запишутся в виде

$$hf = 13{,}6\left(\frac{1}{n^2} - \frac{1}{n'^2}\right) \text{эВ}.$$

Фотон может стимулировать возбужденный атом испускать кванты с той же частотой и фазой. Таким образом, совокупность атомов, находящихся в подходящем возбужденном состоянии, позволяет получить пучок когерентного света. На этом принципе основано действие лазера.

Боровская модель дает правильные значения энергетических уровней и радиусов орбит атома водорода. В ее основе лежит гипотеза, что электрон движется по классической орбите, для которой $mvR = n\hbar$.

Упражнения

1. Повторите вывод формулы (26-2) для электрона в поле ядра с зарядом Ze.
2. Допустим, что электрон покоится у поверхности ядра урана ($Z = 92$). Какую энергию надо затратить, чтобы удалить электрон на бесконечность, если радиус ядра составляет $5{,}5 \cdot 10^{-15}$ м?
3. Электрон находится в ящике кубической формы. Если L увеличить на 1 %, то площадь поверхности ящика возрастет на 2 %, а объем — на 3 %. Как изменятся энергии уровней, отвечающих стоячим волнам (в процентах)?
4. Положите в уравнении (26-5) $U = -k_e Ze^2/r$ и попытайтесь отыскать решение в виде $\psi_1 = e^{-r/a}$. Какие в этом случае получатся значения a и E?
5. Сколько различных волновых функций будет в случае с $n = 5$?
6. Какая минимальная энергия может быть поглощена атомом водорода в основном состоянии?
7. Чему равен боровский радиус иона He^+ в основном состоянии?
8. Найдите для основного состояния атома водорода в боровской модели:
   а) кинетическую энергию (в эВ);
   б) потенциальную энергию (в эВ);
   в) энергию связи (в эВ);
   г) энергию, необходимую для удаления на бесконечность электрона, который находится от протона на расстоянии первого боровского радиуса.
9. Атомы газообразного водорода находятся в состоянии с $n = 5$. Сколько всего линий будет в спектре излучения этого газа?
10. В спектре поглощения элемента X наблюдаются следующие три линии: $f_1 = 2{,}2 \cdot 10^{15}$ Гц, $f_2 = 3{,}0 \cdot 10^{15}$ Гц, $f_3 = 3{,}5 \cdot 10^{15}$ Гц.
    а) Будут ли эти линии присутствовать в спектре излучения этого элемента?
    б) Перечислите частоты трех других линий в спектре излучения.
11. В спектре иона He^+ найдите линию с той же длиной волны, что и в спектре атома водорода. Чему равна эта длина волны?
12. Мю-мезоатом состоит из ядра с зарядом Z и мюона (частица в 207 раз тяжелее электрона, обозначается μ) в основном состоянии.
    а) Чему равна энергия связи отрицательного мюона (μ^-), захваченного протоном?
    б) Чему равен соответствующий радиус боровской орбиты с $n = 1$?
    в) С какой энергией испускается фотон при переходе из состояния с $n = 2$ в основное состояние?
13. Напишите в явном виде волновую функцию $\psi_{3,\,2,\,-2}(r, \theta, \varphi)$ для водорода.
14. Проведите нормировку волновой функции с $n = 1$, т. е. положите $\psi = Ce^{-r/a}$, а затем вычислите

$\int \psi\psi^* \, dV = 1$ или $C^2 \int e^{-2r/a} \, dV = 1$.

15. Используя формулу (26-21), вычислите время перехода из состояния с $n = 4$ в состояние с $n = 3$.

16. Определите длины волн, соответствующие первым четырем линиям в спектре поглощения водорода.

Задачи

17. Рассмотрим электрон, находящийся в трехмерном кубическом ящике размером $L = 10^{-10}$ м. Чему равны энергии (в эВ) четырех низших уровней? Сколько состояний отвечает каждому энергетическому уровню? Напишите волновые функции для каждого состояния.

18. Ящик имеет размеры $L_y = L_z = 2L_x$. Выразите энергии трех низших уровней через n_x, n_y, n_z, m, $\hbar$ и L_x. Напишите соответствующие собственные функции. Заметьте, что второму энергетическому уровню отвечают две различные собственные функции.

19. Подстановкой в уравнение (26-5) покажите, что функция $\psi(r, \theta, \varphi) = (re^{-r/2a})(\sin\theta) \times (e^{i\varphi})$ является решением в случае с атомом водорода. Какие значения a и E получатся при этом?

20. Подстановкой в уравнение (26-5) покажите, что функция

$$\psi = \left(1 - \frac{2r}{3a} + \frac{2r^2}{27a^2}\right) e^{-r/3a}$$

также является решением в случае атома водорода.

21. Найдите среднее значение функции $1/r$ в основном состоянии атома водорода, принимая во внимание, что

$$\left\langle \frac{1}{r} \right\rangle = \frac{\int \frac{1}{r} \psi^* \psi \, dV}{\int \psi^* \psi \, dV}.$$

22. С помощью соотношения (26-21) вычислите время перехода из состояния с $n = 4$ в состояние с $n = 3$. Чему равно отношение $\Delta\lambda/\lambda$ для этой спектральной линии? Каким должно быть расстояние между штрихами дифракционной решетки длиной 5 см, чтобы она могла разрешить естественную ширину линии?

23. Используя боровскую модель, вычислите радиус орбиты, по которой электрон движется вокруг нейтрона.

24. Легкая частица с массой m и положительным зарядом q движется по круговой орбите радиусом R вокруг тяжелой частицы, имеющей массу M и заряд $-Q$. Пусть между этими частицами действуют лишь электростатические силы.

а) Найдите выражение для потенциальной энергии заряда q через его массу m и скорость v.

б) Чему равна полная энергия E в зависимости от m и v?

в) Используя постулат Бора о квантовании момента импульса, найдите выражение для v через R, m, $\hbar$ и n.

г) Запишите квантованные радиус R и энергию E через m, $\hbar$, Q, q и n.

25. Рассмотрим воображаемый элемент Q, атомы которого имеют валентность +1. Пусть энергия связи внешнего электрона равна 3,2 эВ. Известно также, что энергии трех возбужденных уровней этого электрона составляют −1,0; −1,4 и −2,0 эВ.

а) Какова энергия основного состояния (в эВ)?

б) Перечислите все линии в спектре излучения этого элемента. Найдите энергии соответствующих фотонов (в эВ).

26. а) Какова вероятность того, что в атоме водорода электрон находится в области $r > a$, где a — радиус боровской орбиты?

б) Какова вероятность того, что электрон находится в области $r < 10^{-15}$ м? (Протон следует считать точечным зарядом. Это приводит к правильному значению вероятности обнаружить электрон внутри протона.)

27. Предположим, что ψ является функцией только от r. Пусть $u(r) = r\psi$. Напишите радиальное уравнение Шредингера в трех измерениях для функции u.

28. В примере 5 использовались следующие уравнения преобразования координат при переходе из штрихованной в нештрихованную систему:

$$\begin{cases} x = x'\cos\alpha - z'\sin\alpha, \\ y = y', \\ z = x'\sin\alpha + z'\cos\alpha. \end{cases}$$

Пусть нормированные угловые функции имеют вид $\Theta_{11} = \sqrt{3/4}\sin\theta$ и $\Theta_{10} = \sqrt{3/2}\times$ $\times\cos\theta$. Запишите $\Theta_{11}(\theta)\,e^{i\varphi}$ как функцию

а) от x, y и z;

б) от x', y' и z';

в) от θ' и φ'.

г) Чему равны коэффициенты a_1, a_2 и a_3 в выражении

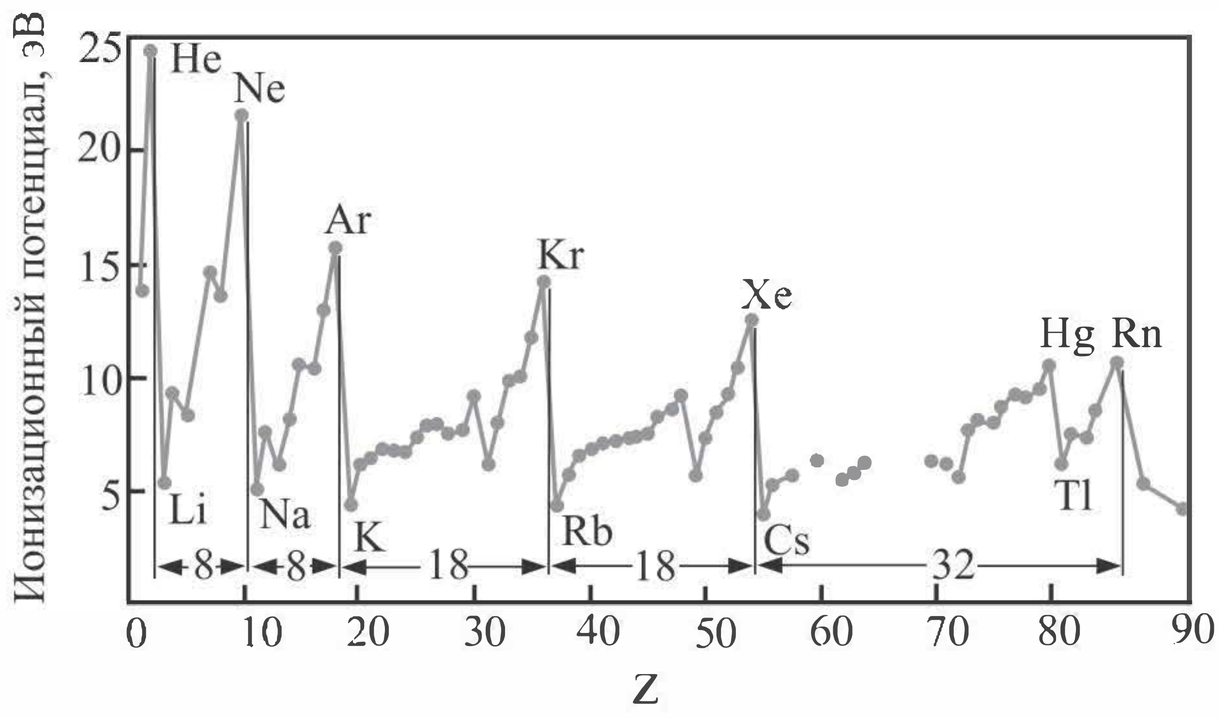
$$\Theta_{11}(\theta)e^{i\varphi} = a_1\Theta_{11}(\theta')e^{i\varphi'} + a_2\Theta_{10}(\theta') + a_3\Theta_{1-1}(\theta')e^{-i\varphi'}\ ?$$

27

Атомная физика

§ 1. Принцип запрета Паули

Как видно из периодической системы элементов (см. табл. 27-2) и из рис. 27-1, периоды повторения химических и физических свойств элементов образуют последовательность чисел 2, 8, 8, 18, 18, 32. В 1925 г. Вольфганг Паули предложил простое правило, которое автоматически объясняло наличие групп из 2, 8, 18 и 32 элементов. Паули постулировал, что одну электронную орбиталь, или стоячую волну, могут занимать не более двух электронов. Следовательно, в состоянии с $n = 1$ могут находиться два электрона. Состоянию с $n = 2$ отвечают 4 орбитали: $(n, l, m_l) = (2, 0, 0)$, $(2, 1, 1)$, $(2, 1, 0)$ или $(2, 1, -1)$. Таким образом, в состоянии с $n = 2$ могут находиться 8 электронов. Итак, мы получили числа 2 и 8. Число 18 можно получить, сложив 5 орбиталей с $l = 2$ и 4 орбитали с $l = 0$ и 1. Эти девять орбиталей могут быть заняты 18 электронами. Мы видим, что числа 2, 8 и 18 являются прямым следствием принципа запрета, а также квантово-механического правила, согласно которому $-l \le m_l \le +l$ и $0 \le l \le n - 1$. В § 3 мы объясним, почему принцип запрета Паули явился новым постулатом, который в то время нельзя было вывести из общих положений.



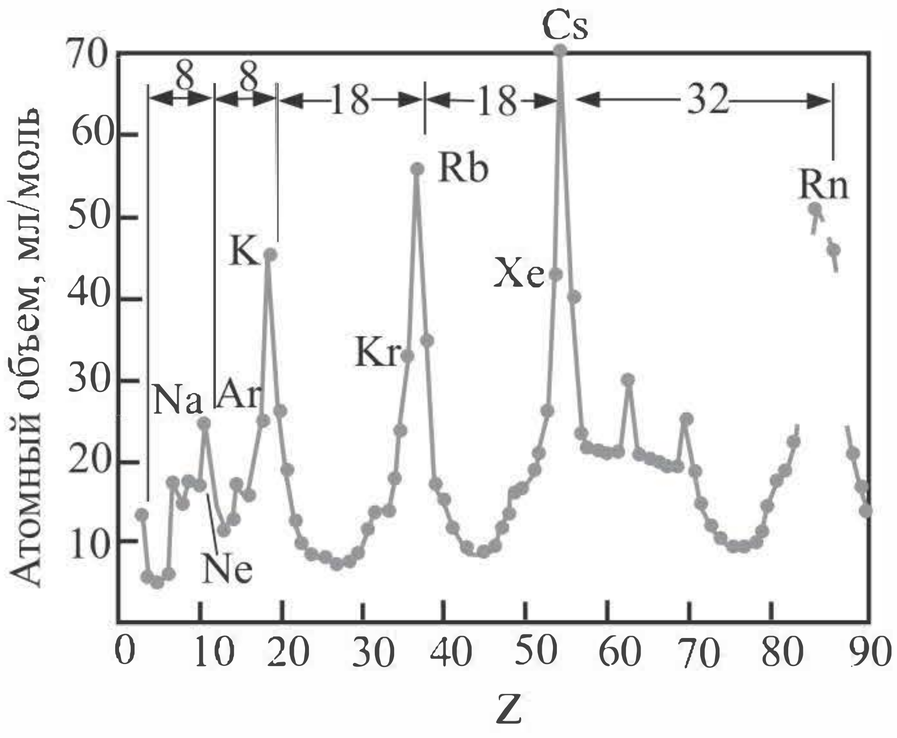


Рис. 27-1. *а* — зависимость ионизационного потенциала элементов от атомного номера Z; *б* — зависимость атомного объема от Z

Спин электрона

Однако годом позже было обнаружено, что у каждого электрона имеется собственный момент импульса, или спин, равный $L_{\text{соб.}} = \hbar/2$. Следует заметить, что он составляет половину обычного значения орбитального момента; похоже на то,



Рис. 27-2. Вольфганг Паули, 1900–1958. [Фото печатается с любезного разрешения Американского института физики.]

как если бы электрон представлял собой сферу, вращающуюся вокруг собственной оси с постоянным моментом $\hbar/2$. Этот собственный момент, или спин, невозможно ни уменьшить, ни увеличить. Он одинаков у всех элементарных частиц данного типа.

Вскоре после того, как был открыт спин электрона, Паули и Дирак разработали релятивистскую теорию частиц со спином 1/2 и с радостью обнаружили, что условие релятивистской инвариантности приводит к волновым функциям электрона, которые автоматически удовлетворяют принципу запрета Паули. Это означало, что принцип запрета не был взят с потолка! У частицы со спином 1/2 проекции ее спина на ось z могут принимать лишь одно из двух значений $(+1/2)\hbar$ или $(-1/2)\hbar$. Эта величина проекции спина необходима для полной характеристики состояния электрона. Если состояние электрона задано таким образом, то принцип запрета утверждает, что в данном состоянии может находиться не более одного электрона. Поскольку при данном орбитальном числе возможны две ориентации спина, то равнозначна следующая формулировка принципа Паули: на данной орбитали может находиться не более двух электронов.

§ 2. Многоэлектронные атомы

Имея на вооружении уравнение Шредингера и принцип Паули, можно рассчитать свойства всех элементов, не обращаясь к результатам химических опытов. Действительно, уже в 1929 г. Дирак сказал: «Все фундаментальные физические законы, необходимые для построения математической теории большей части физики и всей химии, уже известны». С помощью современных компьютеров были рассчитаны электронные плотности и энергии связи более

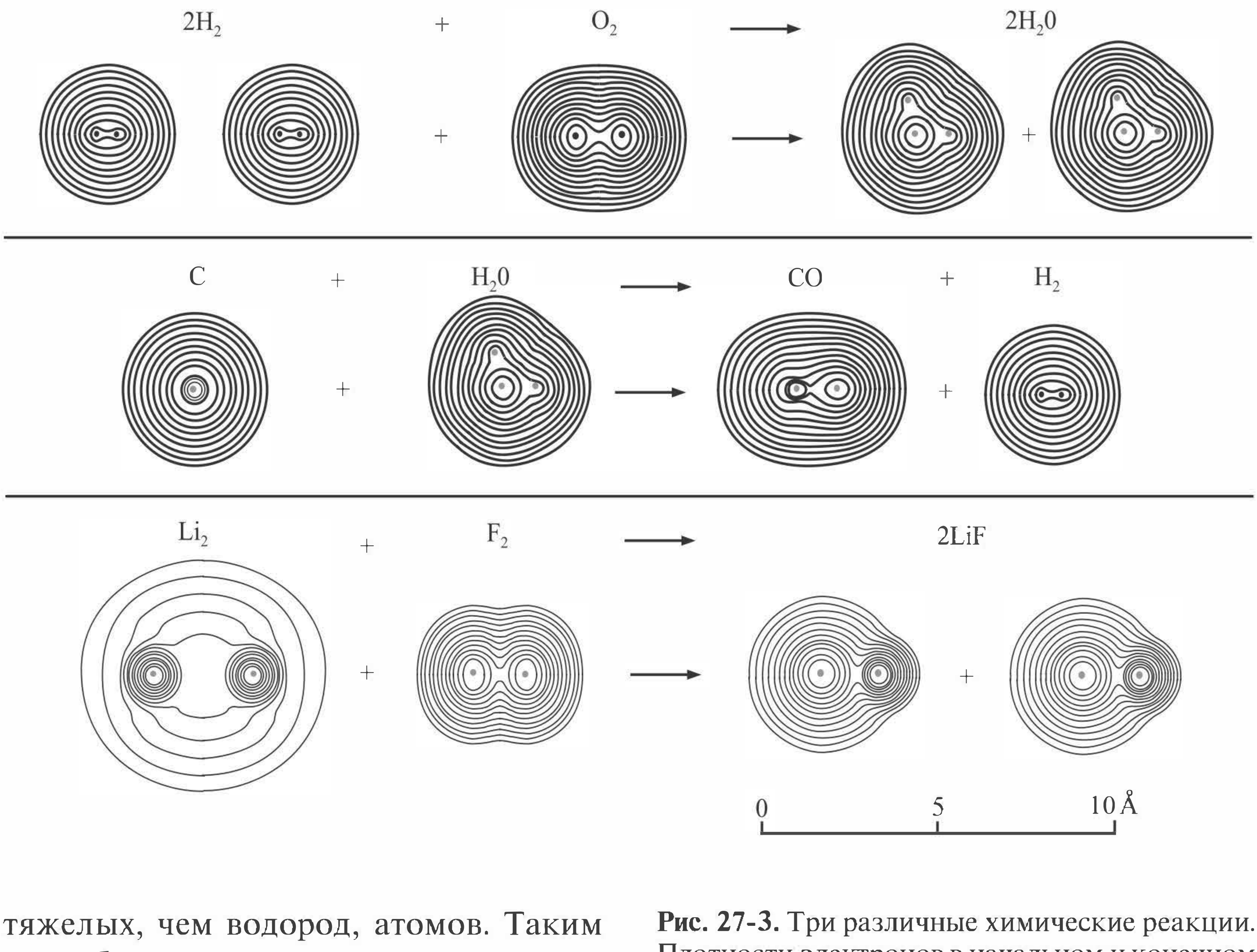


Рис. 27-3. Три различные химические реакции. Плотности электронов в начальном и конечном состоянии вычислены на ЭВМ А. Уолом. На каждом последующем контуре плотность электронов уменьшается вдвое. Промежуточные стадии химической реакции представлены на рис. 27-6. [Заимствовано из статьи: *Arnold C. Wahl*, Scient. Amer. (April 1970).]

тяжелых, чем водород, атомов. Таким способом можно вычислять скорости химических реакций и изучать структуру молекулярной связи, как это иллюстрируется рис. 27-3. Впрочем, для большинства относящихся к химии задач использование компьютеров не всегда целесообразно; гораздо легче провести непосредственные измерения.

Принцип Паули позволяет определить положение каждого электрона в атоме. Рассмотрим, например, лишенное электронов ядро неона ($Z = 10$). Если оно приобретает один электрон, то последний быстро переходит на орбиталь с $n = 1$. То же справедливо и для второго электрона. Оба этих электрона целиком заполняют орбиталь с $n = 1$. Если теперь добавить остальные восемь электронов, то они целиком заполнят четыре возможные орбитали с $n = 2$: $(l, m_l) = (0, 0), (1, 1), (1, 0)$ или $(1, -1)$. Перейдем теперь к описанию структуры атомов, начиная с водорода, на основе квантовой теории. Не прибегая к детальным расчетам, мы сможем вычислить валентность и сделать грубые оценки ионизационных потенциалов, а также предсказать размеры и форму атомов.

Z = 1 (водород)

Структура этого атома обсуждалась в предыдущей главе. Единственный электрон находится в состоянии с $n = 1$, энергия которого равна $-13{,}6$ эВ. Таким образом, энергия связи, или энергия ионизации,

равна 13,6 эВ. Ускоренный разностью потенциалов в 13,6 В, электрон едва-едва может ионизовать атом водорода. Это минимальное напряжение, необходимое для ионизации атома, называют ионизационным потенциалом. Таким образом, ионизационный потенциал водорода равен 13,6 В. На рис. 27-1, *а* изображена зависимость ионизационных потенциалов от атомного номера Z. Отметим периодичность, отвечающую числам 2, 8, 8, 18, 18, 32.

Z = 2 (гелий)

Рассмотрим сначала ион гелия He^+, состоящий из ядра гелия и единственного электрона. Любое ядро с атомным номером Z и единственным электроном аналогично атому водорода, с той лишь разницей, что сила электростатического взаимодействия увеличивается в Z раз. Стоячие волны сохраняют прежний вид, но постоянная k_0 умножается теперь на Z. При этом по-прежнему имеет место формула (26-16):

$$E_n = -\frac{(k_0 Z)^2 me^2}{2\hbar^2 n^2} = -13{,}6\frac{Z^2}{n^2}\ \text{эВ}; \qquad (27\text{-}1)$$

в выражении для $R_{nl}^{(r)}$ постоянная *а* теперь равна $a = \hbar/k_0 Zme^2$, а не $\hbar/k_0 me^2$. Из-за присутствия множителя Z^2 ионизационный потенциал He^+ будет равен 4·13,6, или 54,4 В. Это подтверждается экспериментом.

Если в окрестности He^+ поместить второй электрон, то он первоначально «видит» заряд, равный Z – 1. Однако после того как этот электрон попадает на оболочку с $n = 1$, половину времени он будет находиться к ядру ближе первого электрона и будет «видеть» при этом заряд ядра Z. Если взять просто среднее этих величин, то мы получим Z – 1/2. Таким образом, для электрона в атоме гелия эффективный заряд ядра должен быть равным $Z = 1{,}5e$. Обобщая формулу (27-1), мы имеем

$$E_{n,t} = -13{,}6\frac{Z_{эф.}^2}{n^2}\ \text{эВ},$$

где $Z_{эф.}$ зависит как от *n*, так и от *l*. На основании такой оценки $Z_{эф.}$ следует ожидать, что ионизационный потенциал гелия составит примерно $(1{,}5)^2 \cdot 13{,}6$, или 30 В. В действительности из-за наличия положительной потенциальной энергии, обусловленной отталкиванием двух электронов, следовало бы ожидать более слабой связи. В случае с гелием экспериментально найденное значение ионизационного потенциала равно 24,6 В. Это самый большой из ионизационных потенциалов всех элементов.

Вследствие значительного ионизационного потенциала, а также из-за того, что на оболочке с $n = 1$ отсутствует место для третьего электрона, гелий химически крайне инертен. Химические силы не в состоянии обеспечить энергию в 24,6 эВ, чтобы мог образоваться положительный ион He^+. Если попытаться образовать отрицательный ион гелия He^-, то дополнительный электрон должен оказаться в состоянии с $n = 2$. Соответствующая стоячая волна достаточно удалена как от ядра с зарядом $+2e$, так и от отрицательных зарядов обоих электронов в состоянии с $n = 1$. Следовательно, результирующий заряд в центре волны с $n = 2$ равен нулю и не будет потенциала, способного удержать волну с $n = 2$; иными словами, $Z_{эф.} \approx 0$ в случае с $n = 2$. Следовательно, гелий не образует молекул ни с одним из элементов, поэтому его и другие атомы с заполненными оболочками называют благородными (или инертными) газами. Некоторые из более тяжелых благородных газов образуют специальные соединения.

Пример 1. Ионизационный потенциал нейтрального атома гелия 24,6 В. Чему равна полная энергия связи гелия, т. е. какую энергию надо затратить, чтобы разделить атом гелия на ядро и два свободных электрона?

Решение: Для удаления первого электрона требуется 24,6 эВ, а для удаления второго $13{,}6Z^2$ при $Z = 2$, или 54,4 эВ. Сумма этих значений даст полную энергию связи, равную 79 эВ.

Z = 3 (литий)

Дважды ионизованный литий, Li^{++}, имеет водородоподобный спектр, у которого энергии уровней в $(3)^2 = 9$ раз больше, чем у водорода. Спектр однократно ионизованного лития подобен спектру гелия, но с $Z_{эф.} \approx 3 - 1/2$, а не $2 - 1/2$, как в случае с гелием. В силу принципа Паули третий электрон в нейтральном атоме лития должен находиться на оболочке с $n = 2$. Для этого электрона $Z_{эф.}$ будет несколько больше единицы. Таким образом, ионизационный потенциал лития, по-видимому, будет несколько больше, чем $13{,}6/n^2 = 13{,}6/2^2 = 3{,}4$ В. Экспериментальное значение равно 5,4 В, что соответствует $Z_{эф.} = 1{,}25$. Второй ионизационный потенциал, соответствующий удалению второго электрона, составляет 75,6 В. Таким образом, литий в соединениях всегда должен обнаруживать валентность +1 (т. е. терять один электрон) и никогда не будет обнаруживать валентность +2 (т. е. терять два электрона).

Каким квантовым числом l обладает внешний электрон атома лития? Согласно предыдущему изложению, состояния с $n = 2$, $l = 0$ и $n = 2$, $l = 1$ должны иметь одну и ту же энергию. Однако, как следует из рис. 27-4, состоянию с $l = 0$ будет отвечать более сильная связь, чем состоянию с $l = 1$. Это обусловлено тем, что волновая функция электрона в состоянии с меньшим моментом импульса ($l = 0$) концентрируется ближе к ядру по сравнению с волновой функцией состояния с большим значением момента импульса. В действительности волновые функции ψ всех электронов с $l > 0$ обращаются в нуль при $r = 0$.

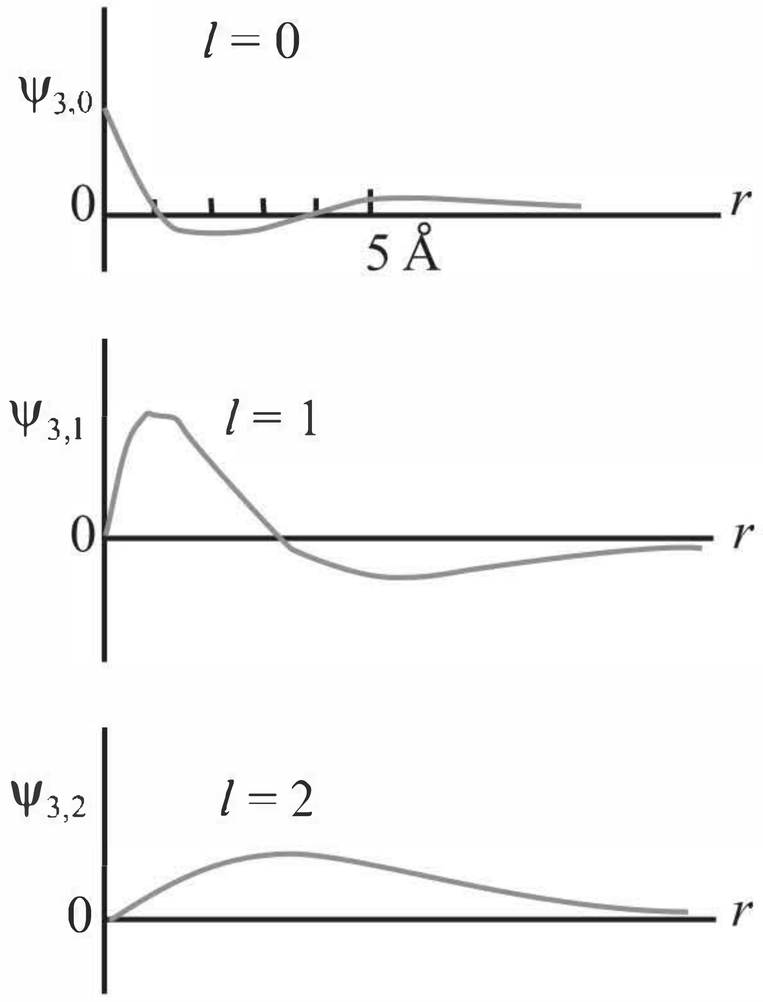


Рис. 27-4. Волновые функции атома водорода в состояниях с $n = 3$, $l = 0$, 1 и 2. Заметим, что только в случае с $n = 0$ волновые функции не обращаются в нуль в начале координат

Для электронной волны, сосредоточенной вблизи ядра, $Z_{эф.} \approx Z$, тогда как для удаленной от ядра волны $Z_{эф.} \approx 1$. Следовательно, для волны с $l = 0$ величина $Z_{эф.}$ больше, чем для волны с $l = 1$. Это и объясняет, почему $Z_{эф.}$ зависит не только от n, но и от l. Этот эффект может вызывать значительные различия в энергиях подоболочек с $l = 0$ и $l = 1$ или $l = 2$. Действительно, в случае с $Z = 19$ (калий) эффект оказывается настолько сильным, что энергетический уровень с $n = 4$ и $l = 0$ располагается ниже уровня с $n = 3$ и $l = 2$. В табл. 27-1 приведен порядок следования энергетических уровней. Другая интерпретация этого эффекта основана на том, что орбиты с большими значениями моментов импульса оказываются ближе к

круговым и, следовательно, более удалены от края, чем орбиты с меньшими моментами импульса. Поэтому состояния с меньшими l связаны более сильно.

Z = 4 (бериллий)

Согласно принципу Паули, в состоянии с $n = 2$ и $l = 0$ могут находиться два электрона. Поскольку $Z_{эф.}$ для близкой к ядру электронной волны оказывается в данном случае больше, чем у лития, более высоким будет и ионизационный потенциал. Если в случае с литием значение ионизационного потенциала равно 5,39 В, то в случае с бериллием эксперимент дает 9,32 В. Однако второй ионизационный потенциал в случае с бериллием оказывается ненамного больше, поскольку второй электрон находится также в состоянии с $n = 2$. Поэтому в соединениях валентность бериллия равна +2.

Z = 5 (бор), Z = 6 (углерод), Z = 7 (азот), Z = 8 (кислород), Z = 9 (фтор) и Z = 10 (неон)

Эти атомы образуются при заполнении состояний с $l = 1$ в оболочке с $n = 2$. Поскольку значению $l = 1$ отвечают три различных значения m_l, на подоболочке ($n = 2$, $l = 1$) могут разместиться шесть электронов. В состоянии с $n = 2$ в атомах бора, углерода и азота находятся соответственно три, четыре и пять электронов, что приводит к валентностям +3, +4 и +5. Существует вполне объяснимая причина, почему в атомах бора все три электрона с $n = 2$ (или все четыре электрона в атомах углерода) ведут себя одинаково при образовании химических соединений. Это связано с процессом гибридизации, который мы обсудим в § 6.

Кислород и фтор обнаруживают новое явление, называемое электронным сродством (или сродством к электрону). Отдельный атом фтора может приобрести дополнительный электрон и превратиться в стабильный ион F^-. Соответствующая этому дополнительному электрону волна частично «видит» большой эффективный заряд $Z_{эф.}$, и электрон оказывается связанным с энергией 3,6 эВ. Таким образом, валентность фтора равна −1. Сродство к электрону при образовании O^- составляет 2,2 В. В химических соединениях кислород и азот имеют валентности соответственно −2 и −3. У неона все состояния с $n = 2$ заняты, т. е. оболочка заполнена. Поскольку электронные волны, отвечающие $n = 2$, частично расположены очень близко к ядру (в данном случае $Z_{эф.}$ достигает 10), то ионизационный потенциал оказывается весьма высоким (21,6 В). Таким образом, следует ожидать, что неон, как и гелий, является химически инертным.

§ 3. Периодическая система элементов

Если продолжить предыдущее описание элемента за элементом, то мы сразу же обнаружим, что их свойства очень сходны со свойствами уже перечисленных элементов.

От Z = 11 (натрий) до Z = 18 (аргон)

Согласно принципу Паули, 11-й электрон натрия должен занять состояние с $n = 3$, для которого $Z_{эф.} \approx 1$ и которое отвечает волне гораздо больших размеров, нежели состояние неона с $n = 2$. Следовательно, теория предсказывает, что всякий раз, когда внешний электрон попадает на орбиталь с более высоким квантовым числом n, размер атома будет значительно увеличиваться. Как видно из рис. 27-1, *б*, такое резкое увеличение размеров наблюдается для $Z = 3, 11, 19, \ldots$. В последовательности из восьми элементов — от натрия до аргона — заполнение состояний

с $n = 3$, $l = 0$ и $n = 3$, $l = 1$ происходит совершенно аналогично предшествующим восьми элементам. Поэтому химические свойства этих элементов оказываются весьма похожими на свойства соответствующих элементов предыдущей восьмерки. В этом и заключается объяснение «периодической системы» химических элементов. Пока мы объяснили наличие периодов, соответствующих числам 2, 8, 8. Посмотрим теперь, почему следующему периоду соответствует число 18.

От Z = 19 (калий) и далее

Мы могли бы предположить, что внешний электрон следующего элемента окажется в состоянии с $n = 3$ и $l = 2$. Однако, как указывалось при обсуждении лития ($Z = 3$), в случае с волнами с $n = 4$, $l = 0$ величина $Z_{эф.}$ существенно больше, чем в случае с волнами с $n = 3$, $l = 2$, поскольку волна с $l = 0$ концентрируется в области $r = 0$, где эффективный заряд максимален. Для волны с $n = 4$, $l = 0$ мы имеем $Z_{эф.} = 2{,}26$ и энергию связи $13{,}6Z^2_{эф.}/4^2 = 4{,}34$ эВ, в то время как для волны с $n = 3$, $l = 2$ величина $Z_{эф.}$ несколько меньше 1,7, чему соответствует энергия связи меньше 4,34 эВ. Если бы 19-й электрон оказался в состоянии с $n = 3$, $l = 2$, то он очень скоро перешел бы в состояние с $n = 4$, $l = 0$, которому отвечает меньшая энергия, и при этом испустил бы фотон с энергией, равной разности энергий обоих состояний.

При переходе к $Z = 21$ (скандий) состояние с $n = 4$, $l = 0$ оказывается заполненным, так что при размещении 21-го электрона возникнет конкуренция между состояниями $n = 3$, $l = 2$ и $n = 4$, $l = 0$. Как и следовало ожидать, более низким оказывается состояние с $n = 3$, поэтому в скандии начинают заполняться 10 состояний с $l = 2$ оболочки $n = 3$. Затем заполняются следующие шесть состояний с $n = 4$, $l = 1$. Таким образом, всего имеется $2 + 10 + 6 = 18$ состояний с близкими энергиями. На рис. 27-5 приведены эти 18 состояний, отвечающие изменению Z от 19 до 26 (см. на рисунке группу периодичности 4). На этом рисунке показаны относительные расположения энергетических уровней атомов в зависимости от квантовых чисел n и l. Эти энергетические уровни получаются, если взять «голое» ядро с большим атомным номером и поочередно добавлять к нему электрон за электроном. При этом можно было бы измерять энергию, выделяющуюся при переходе каждого электрона на наинизший возможный уровень. Таким способом удалось бы выявить относительное расположение энергетических уровней для всех внутренних электронов.

Мы ожидаем, что при любом данном значении n энергия уровней будет скачкообразно увеличиваться с ростом l (рис. 27-5). Именно это и наблюдается экспериментально. Следует заметить также, что непосредственно после чисел электронов 2, 10, 18, 36, 54 и 86 имеют место особенно большие скачки энергии. У элементов с указанными атомными номерами Z оболочки заполнены, так что внешние электроны связаны особенно прочно. Этими элементами являются благородные газы He, Ne, Ar, Kr, Xe и Rn. Значения квантовых чисел и энергий уровней для каждого электрона любого из элементов можно предсказать заранее. В табл. 27-1 представлены предсказанные электронные конфигурации атомов. Соответствующая периодическая система приведена в табл. 27-2. Элементы в одной группе (колонке) обладают одними и теми же валентностями и аналогичными химическими свойствами.

На этом мы и завершим «теоретическое» рассмотрение химии атомов. Вычис-

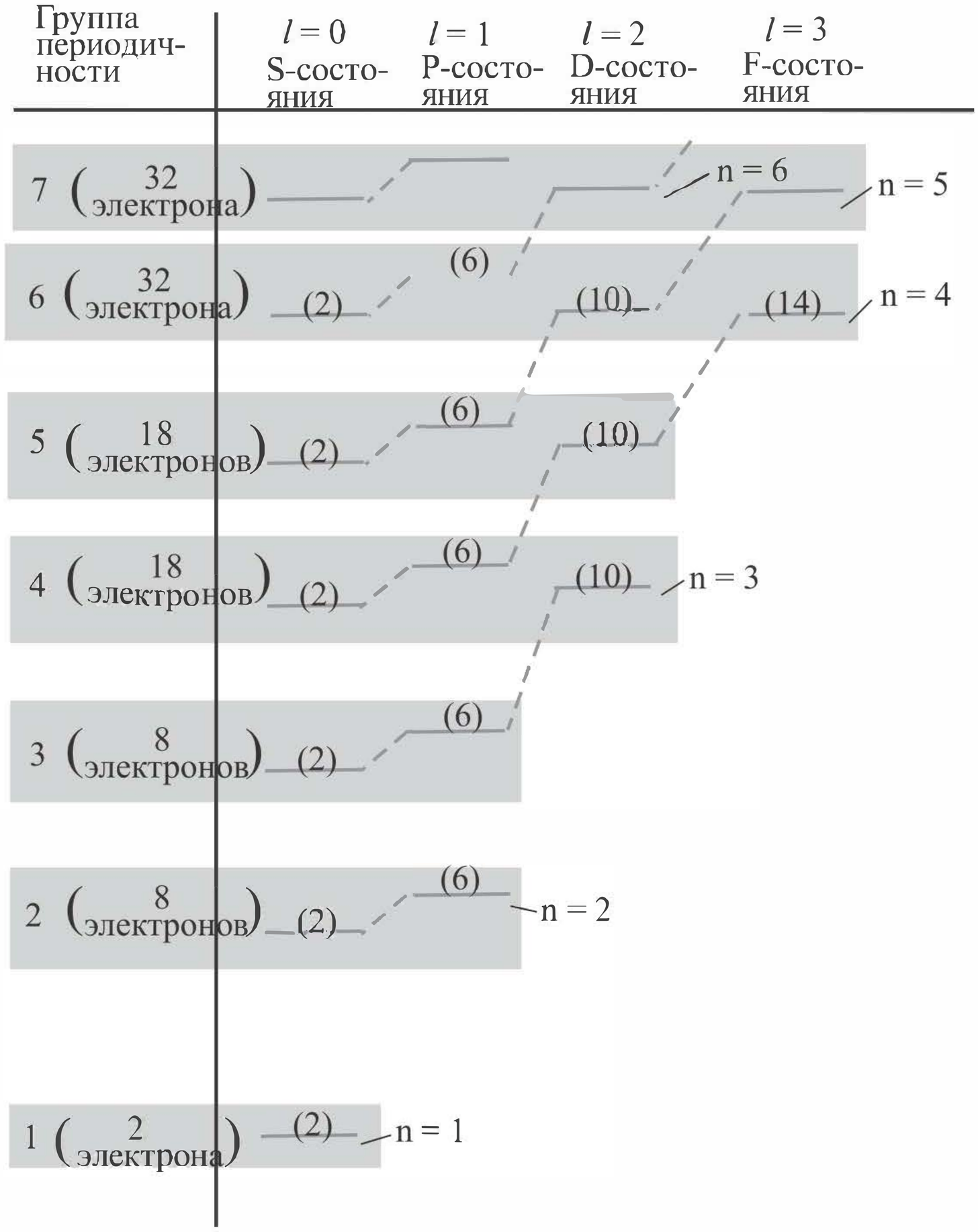


Рис. 27-5. Относительные расстояния между энергетическими уровнями электронов в атомах с высоким Z (показаны не в масштабе). Состояния с одинаковыми главными квантовыми числами n соединены штриховыми линиями. Заметим, что с ростом l энергии уровней увеличиваются. Состояния образуют группы периодичности с числом электронов 2, 8, 8, 18, 18, 32, 32

ления достаточно точных значений ионизационных потенциалов и электронного сродства требуют крайне громоздких расчетов. Однако в нашем распоряжении имеется теория, и подобные расчеты в принципе выполнимы. Таким образом, всю химию можно получить из простой теории — квантовой механики электронов со спином 1/2. В § 5 и 6 мы проиллюстрируем подход к численному решению задачи об образовании молекул из атомов.

Пример 2. Какие, по вашему мнению, значения n и l отвечают внешним электронам 106-го элемента? Какова электронная конфигурация этого элемента?

Решение: Седьмой период начинается с $Z = 86$. Согласно рис. 27-5, 87-й и 88-й электроны находятся на оболочке $7s^2$ ($n = 7$, $l = 0$). Затем еще 14 электронов занимают состояние $5f^{14}$ ($n = 5$, $l = 3$) почти с той же энергией. Оставшиеся четыре электрона образуют конфигурацию $6d^4$ ($n = 6$, $l = 2$). На рис. 27-5 все эти уровни расположены очень близко друг к другу, так что не совсем ясно, какой из них должен заполняться раньше. Из табл. 27-1, в которой приведены количественные данные, видно, в каком порядке эти уровни возникают с ростом Z. Основываясь на данных этой таблицы, можно полагать, что электронная конфигурация представляет собой заполненную оболочку Rn, за которой следует конфигурация $5f^{14}6d^47s^2$.

Таблица 27-1

Электронные конфигурации атомов*

Z	Символ	Основная конфигурация	Энергия ионизации, эВ
1	H	$1s$	13,595
2	He	$1s^2$	24,581
3	Li	[He] $2s$	5,390
4	Be	$2s^2$	9,320
5	B	$2s^2 2p$	8,296
6	C	$2s^2 2p^2$	11,256
7	N	$2s^2 2p^3$	14,545
8	O	$2s^2 2p^4$	13,614
9	F	$2s^2 2p^5$	17,418
10	Ne	$2s^2 2p^6$	21,559
11	Na	[Ne] $3s$	5,138
12	Mg	$3s^2$	7,644
13	Al	$3s^2 3p$	5,984
14	Si	$3s^2 3p^2$	8,149
15	P	$3s^2 3p^3$	10,484
16	S	$3s^2 3p^4$	10,357
17	Cl	$3s^2 3p^5$	13,01
18	Ar	$3s^2 3p^6$	15,755
19	K	[Ar] $4s$	4,339
20	Ca	$4s^2$	6,111
21	Sc	$3d 4s^2$	6,54
22	Ti	$3d^2 4s^2$	6,83
23	V	$3d^3 4s^2$	6,74
24	Cr	$3d^5 4s$	6,76
25	Mn	$3d^5 4s^2$	7,432
26	Fe	$3d^6 4s^2$	7,87
27	Co	$3d^7 4s^2$	7,86
28	Ni	$3d^8 4s^2$	7,633
29	Cu	$3d^{10} 4s$	7,724
30	Zn	$3d^{10} 4s^2$	9,391
31	Ga	$3d^{10} 4s^2 4p$	6,00
32	Ge	$3d^{10} 4s^2 4p^2$	7,88
33	As	$3d^{10} 4s^2 4p^3$	9,81
34	Se	$3d^{10} 4s^2 4p^4$	9,75
35	Br	$3d^{10} 4s^2 4p^5$	11,84
36	Kr	$3d^{10} 4s^2 4p^6$	13,996
37	Rb	[Kr] $5s$	4,176
38	Sr	$5s^2$	5,692
39	Y	$4d 5s^2$	6,377
40	Zr	$4d^2 5s^2$	6,835
41	Nb	$4d^4 5s$	6,881
42	Mo	$4d^5 5s$	7,10
43	Tc	$4d^5 5s^2$	7,228
44	Ru	$4d^7 5s$	7,365
45	Rh	$4d^8 5s$	7,461
46	Pd	$4d^{10}$	8,33
47	Ag	$4d^{10} 5s$	7,574
48	Cd	$4d^{10} 5s^2$	8,991
49	In	$4d^{10} 5s^2 5p$	5,785
50	Sn	$4d^{10} 5s^2 5p^2$	7,342
51	Sb	$4d^{10} 5s^2 5p^3$	8,639
52	Te	$4d^{10} 5s^2 5p^4$	9,01
53	I	$4d^{10} 5s^2 5p^5$	10,454
54	Xe	$4d^{10} 5s^2 5p^6$	12,127
55	Cs	[Xe] $6s$	3,893
56	Ba	$6s^2$	5,210
57	La	$5d 6s^2$	5,61
58	Ce	$4f 5d 6s^2$	6,54
59	Pr	$4f^3 6s^2$	5,48
60	Nd	$4f^4 6s^2$	5,51
61	Pm	$4f^5 6s^2$	
62	Fm	$4f^6 6s^2$	5,6
63	Eu	$4f^7 6s^2$	5,67
64	Gd	$4f^7 5d 6s^2$	6,16
65	Tb	$4f^9 6s^2$	6,74
66	Dy	$4f^{10} 6s^2$	6,82
67	Ho	$4f^{11} 6s^2$	
68	Er	$4f^{12} 6s^2$	
69	Tm	$4f^{13} 6s^2$	
70	Yb	$4f^{14} 6s^2$	6,22
71	Lu	$4f^{14} 5d 6s^2$	6,15
72	Hf	$4f^{14} 5d^2 6s^2$	7,0
73	Ta	$4f^{14} 5d^3 6s^2$	7,88
74	W	$4f^{14} 5d^4 6s^2$	7,98
75	Re	$4f^{14} 5d^5 6s^2$	7,87
76	Os	$4f^{14} 5d^6 6s^2$	8,7
77	Ir	$4f^{14} 5d^7 6s^2$	9,2
78	Pt	$4f^{14} 5d^8 6s^2$	8,88
79	Au	[Xe, $4f^{14} 5d^{10}$] $6s$	9,22
80	Hg	$6s^2$	10,434
81	Tl	$6s^2 6p$	6,106
82	Pb	$6s^2 6p^2$	7,415
83	Bi	$6s^2 6p^3$	7,287
84	Po	$6s^2 6p^4$	8,43
85	At	$6s^2 6p^5$	
86	Rn	$6s^2 6p^6$	10,745
87	Fr	[Rn] $7s$	
88	Ra	$7s^2$	5,277
89	Ac	$6d 7s^2$	6,9
90	Th	$6d^2 7s^2$	
91	Pa	$5f^2 6d 7s^2$	
92	U	$5f^3 6d 7s^2$	4,0
93	Np	$5f^4 6d 7s^2$	
94	Pu	$5f^6 7s^2$	
95	Am	$5f^7 7s^2$	
96	Cm	$5f^7 6d 7s^2$	
97	Bk	$5f^8 6d 7s^2$	
98	Cf	$5f^{10} 7s^2$	
99	Es	$5f^{11} 7s^2$	
100	Fm	$5f^{12} 7s$	
101	Md	$5f^{13} 7s^2$	
102	No	$5f^{14} 7s^2$	
103	Lr	$5f^{14} 6d 7s^2$	
104	Rf	$5f^{14} 6d^2 7s^2$	

* Символами s, p, d, f обозначаются соответственно значения $l = 0, 1, 2, 3$. Например, конфигурация для кислорода ($Z = 0$) представляет собой [He] $2s^2 2p^4$. Элемент, указанный в квадратных скобках, означает, что внутренние оболочки заполняются, как и в данном элементе (в нашем случае как у He). Выражение $2s^2 2p^4$ означает, что имеются два электрона в состоянии $2s$ и четыре электрона в состоянии $2p$. Запись $2p$ соответствует $n = 2$, $l = 1$.

Таблица 27-2

Периодическая система элементов

Электронное состояние																	
																	0
1*s*	IA	IIA					1 H 1,008						IIIA	IVA	VA	VIA	VIIA	2 He 4,003
2*s*, 2*p*	3 Li 6,941	4 Be 9,012											5 B 10,81	6 C 12,011	7 N 14,007	8 O 15,9994	9 F 18,998	10 Ne 20,18
3*s*, 3*p*	11 Na 22,990	12 Mg 24,31	IIIB	IVB	VB	VIB	VIIB		VIII		IB	IIB	13 Al 26,98	14 Si 28,09	15 P 30,97	16 S 32,06	17 Cl 35,453	18 Ar 39,95
4*s*, 4*p*, 3*d*	19 K 39,10	20 Ca 40,08	21 Sc 44,96	22 Ti 47,90	23 V 50,94	24 Cr 52,0	25 Mn 54,94	26 Fe 55,85	27 Co 58,93	28 Ni 58,71	29 Cu 63,55	30 Zn 65,37	31 Ga 69,72	32 Ge 72.59	33 As 74,92	34 Se 78,96	35 Br 79,90	36 Kr 83,80
5*s*, 5*p*, 4*d*	37 Rb 85,47	38 Sr 87,62	39 Y 88,91	40 Zr 91,22	41 Nb 92,91	42 Mo 95,94	43 Tc 98,91	44 Ru 101,07	45 Rh 102,91	46 Pd 106,4	47 Ag 107,87	48 Cd 112,40	49 In 114,82	50 Sn 118,69	51 Sb 121,75	52 Te 127,60	53 I 126,90	54 Xe 131,30
6*s*, 6*p*, 5*d*	55 Cs 132,91	56 Ba 137,34	57* La 138,91	72 Hf 178,49	73 Ta 180,95	74 W 183,85	75 Re 186,2	76 Os 190,2	77 Ir 192,22	78 Pt 195,09	79 Au 196,97	80 Hg 200,59	81 Tl 204,37	82 Pb 207,2	83 Bi 208,98	84 Po (210)	85 At (210)	86 Rn (222)
7*s*, 7*p*, 6*d*	87 Fr (223)	88 Ra 226,03	89† Ac (227)	104 Rf (261)	105 Db (260)	106 (Sg) (263)	107 (Bh) (262)	108 (Ms) 265	109 (Mt) 268	110 (Ts) 281	111 (Rg) 280	112 (Uub) 285						

* Лантаниды 4f	58 Ce 140,12	59 Pr 140,91	60 Nd 144,24	61 Pm (147)	62 Sm 150 4	63 Eu 151,96	64 Gd 157,25	65 Tb 158,93	66 Dy 162,50	67 Ho 164,93	68 Er 167,26	69 Tm 168,93	70 Yb 173,04	71 Lu 174,97
† Актиниды 5f	90 Th 232,04	91 Pa 231,04	92 U 238,03	93 Np 237,05	94 Pu (244)	95 Am (243)	96 Cm (245)	97 Bk (247)	98 Cf (249)	99 Es (249)	100 Fm (255)	101 Md (256)	102 No (254)	103 Lr (257)

§ 4. Рентгеновское излучение

В предыдущем параграфе мы показали, что в любом атоме два первых электрона образуют электронную конфигурацию гелия [(гелиевый «кор» (от англ. *core* — сердцевина)]. Энергия связи этих электронов равна $13{,}6Z^2_{эф.}$ эВ. Благодаря экранирующему действию электронов с $l = 0$ атомы с более высокими атомными номерами имеют $Z_{эф.} \approx Z - 2$. В атомах с очень большим атомным номером энергия связи двух электронов, принадлежащих оболочке с $n = 1$, заметно превышает 10 000 эВ, тогда как энергия связи внешних электронов составляет всего несколько электронвольт. Если образец данного элемента поместить в электрическую дугу или разрядную трубку, то его атомы начнут терять внешние электроны и допустимые квантовые переходы окажутся порядка нескольких электронвольт, а характеристический спектр будет содержать линии соответствующих длин волн. Поскольку фотону с энергией 1 эВ отвечает длина волны $\lambda = 12390$ Å, характеристический спектр типичного элемента будет состоять из линий в инфракрасной, видимой и ультрафиолетовой областях.

А теперь допустим, что у атома удален внутренний электрон. В этом случае внешний электрон мог бы «спрыгнуть вниз» и заместить внутренний электрон; при этом испустился бы фотон с энергией, в тысячи раз превышающей обычную.

Длина волны этого фотона была бы в сотни или тысячи раз короче длины волны видимого света. Такие фотоны с λ в интервале $0{,}1\ \text{Å} < \lambda < 100\ \text{Å}$ называют рентгеновским излучением. Но как удалить внутренний электрон? Оказывается, очень просто. Надо бомбардировать образец пучком электронов, кинетическая энергия которых превосходит энергию связи внутренних электронов. Из приведенного ниже примера мы увидим, что пучок электронов с энергией 1650 эВ (или выше) способен вырвать из алюминия электроны, находящиеся на оболочке с $n = 1$. Согласно принятой для рентгеновского излучения терминологии, электроны с $n = 1$ называются электронами K-оболочки.

Пример 3. Какова максимальная энергия рентгеновского излучения алюминия и свинца? Вычислить значения энергии и длин волн фотонов.

Решение: Максимальная энергия рентгеновского излучения отвечает переходу свободного электрона (с нулевой энергией) на вакантное место в K-оболочке. Алюминий имеет $Z = 13$; тогда $hf = 13{,}6\ (13 - 2)^2$ эВ $= 1{,}65$ кэВ. Соответствующая длина волны $\lambda = 7{,}5$ А.

В случае со свинцом $Z = 82$. Поэтому $hf = 13{,}6\ (80)^2$ эВ $= 87$ кэВ и $\lambda = 0{,}14$ Å.

Этот пример иллюстрирует весьма надежный метод определения значений Z у вновь открытых элементов. Он заключается в измерении длины волны высокоэнергетического (жесткого) рентгеновского излучения, испускаемого неизвестным образцом при бомбардировке его электронами.

Поскольку длины волн рентгеновского излучения сравнимы с межатомными расстояниями в твердых телах, его с успехом можно применить для определения структуры твердых тел. В предыдущих главах вы уже видели, что расположенные периодически атомные плоскости действуют подобно штрихам дифракционной решетки. Таким образом, если известна длина волны рентгеновского излучения, то, измеряя углы дифракции, можно определить межатомные расстояния (см. § 6 гл. 24).

§ 5. Связь в молекулах

Рассмотрим два различных механизма, обеспечивающие два типа связи атомов в молекулах (ионную и ковалентную).

Ионная связь

Если два нейтральных атома постепенно сближать друг с другом, то в случае с ионной связью наступает момент, когда внешний электрон одного из атомов предпочитает присоединиться к другому атому. Атом, потерявший электрон, ведет себя как частица с положительным зарядом $+e$, а атом, приобретший лишний электрон, — с отрицательным зарядом $-e$. Потенциальная энергия притяжения между ними $U = -k_0e^2/r$, где R — расстояние между центрами двух ионов.

В качестве примера рассмотрим образование молекулы фторида лития LiF. Так как энергия ионизации лития 5,4 эВ, а электронное сродство фтора 3,6 эВ, то результирующая энергия, необходимая для того, чтобы удалить электрон лития и присоединить его к фтору, составляет 5,4 эВ $-$ 3,6 эВ $= 1{,}8$ эВ. Если оба атома находятся на расстоянии $R = 8$ Å друг от друга, то $k_0e^2/R = 1{,}8$ эВ. Следовательно, на расстояниях меньших, чем 8 Å, внешний электрон лития, перейдя к атому фтора, окажется в состоянии с меньшей энергией. Этот процесс виден на рис. 27-6, на котором приведены контуры электронной плотности, полученные путем

расчета на ЭВМ полных электронных плотностей обоих атомов. В нижней части рисунка приведена результирующая энергия системы. Следует заметить, что, когда атомы сближаются на расстояние $R = 8$ Å (конфигурация *b* на рис. 27-6), внешний электрон атома лития переходит к атому фтора. В конфигурации *h* на рисунке энергия начинает расти благодаря отталкиванию внутренних электронов обоих атомов. Минимум энергии достигается на расстоянии $R = 1{,}5$ Å, на котором результирующая энергия связи составляет 4,3 эВ (конфигурация *g* на рисунке).

Ковалентная связь

Еще один очень распространенный тип молекулярной связи, встречающийся у большинства органических соединений, носит название ковалентной связи. Ковалентная связь образуется, когда электроны обобществляются двумя атомами (как правило, одинаковыми). Простейшим примером ковалентной связи является молекула водорода. Рассмотрим сначала ионизованную молекулу водорода H_2^+. Она состоит из двух протонов, окруженных электронным облаком. В присутствии двух протонов энергия связи электрона оказывается, разумеется, больше, чем при наличии только одного протона. С другой стороны, электростатическое отталкивание протонов стремится разорвать связь. Однако вследствие тенденции электронной волны концентрироваться в области между протонами преобладающим оказывается электростатическое притяжение электрона к обоим протонам. В H_2^+ энергия связи атома водорода с ионом водорода составляет 2,65 эВ; иными словами, требуется затратить (2,65 + 13,6) эВ, чтобы ион H_2^+ полностью диссоциировал на два протона и электрон.

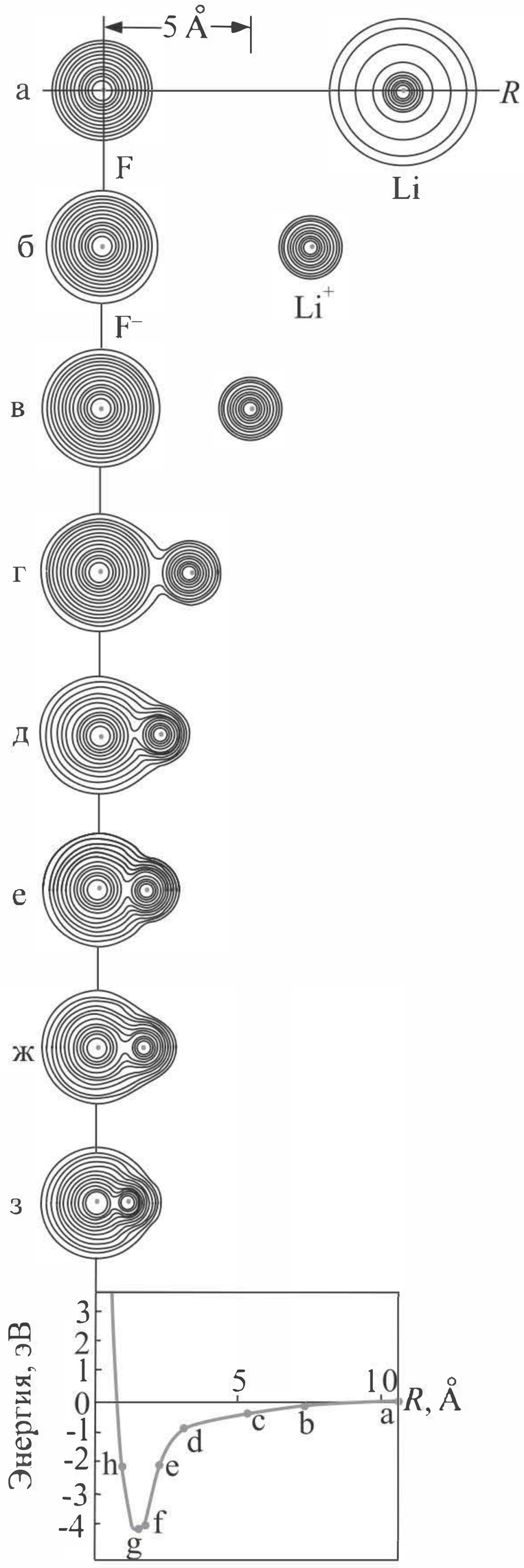


Рис. 27-6. Вычисленные на ЭВМ зависимости полной электронной плотности лития и фтора от расстояния *R* между этими атомами. В нижней части рисунка приведена результирующая энергия как функция от *R*. В каждой последующей конфигурации электронная плотность уменьшается вдвое (в конфигурации *e* она уменьшается до 3 %). Заметим, что в конфигурации *b* внешний электрон атома лития «перескочил» к атому фтора. [Вычисления выполнены А. Уолом и опубликованы в Scient. Amer. (April 1970).]

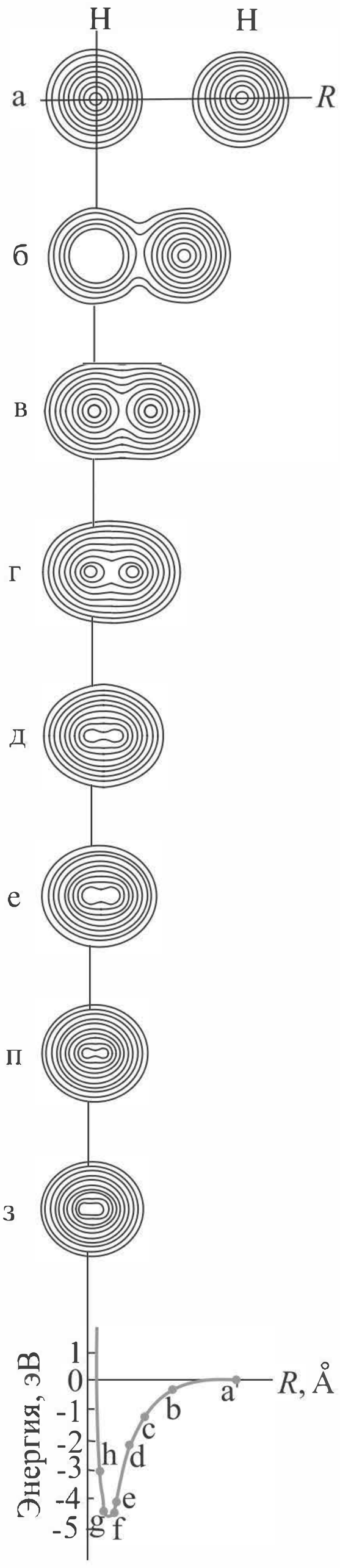


Рис. 27-7. Ковалентная связь. Два водородных атома исследуются таким же образом, как и на рис. 27-6. Обратите внимание, как электроны стремятся заполнить пустую оболочку другого атома. [Вычисления выполнены А. Уолом и опубликованы в Scient. Amer. (April 1970).]

Согласно принципу Паули, на орбите, где находится первый электрон, имеется место еще для одного электрона. Такая система из двух электронов и протонов представляет собой нейтральную молекулу водорода. Из-за электростатического отталкивания двух электронов их волновая функция оказывается несколько более размытой, чем волновая функция единственного электрона в H_2^+. В нейтральной молекуле водорода энергия связи двух атомов составляет 4,48 эВ. На рис. 27-7 приведены вычисленные с помощью ЭВМ контуры двух атомов H в зависимости от расстояния между ними.

Атомы углерода обычно образуют соединения с ковалентной связью. Атом углерода имеет тенденцию обобществить четыре дополнительных электрона, с тем чтобы заполнить ими свою оболочку с $n = 2$, $l = 1$. Простейшим примером является молекула CH_4 (метан), изображенная на рис. 27-8. Как и в молекуле водорода, электронные волны стремятся сконцентрироваться главным образом между положительными зарядами, где они вносят наибольший вклад в энергию связи. Поскольку четыре электронных облака взаимно отталкиваются, конфигурация с наименьшей энергией соответствует их максимальному удалению друг от друга (рис. 27-8). Конфигурация электронных волн в молекулах определяется уравнением Шредингера, а также условием, что энергия уровней должна быть по возможности минимальной.

§ 6. Гибридизация

Мы видим, что при образовании молекул четыре электрона атома углерода с $n = 2$ способны «растекаться» и играть равноценную роль, благодаря чему углерод приобретает валентность, равную 4.

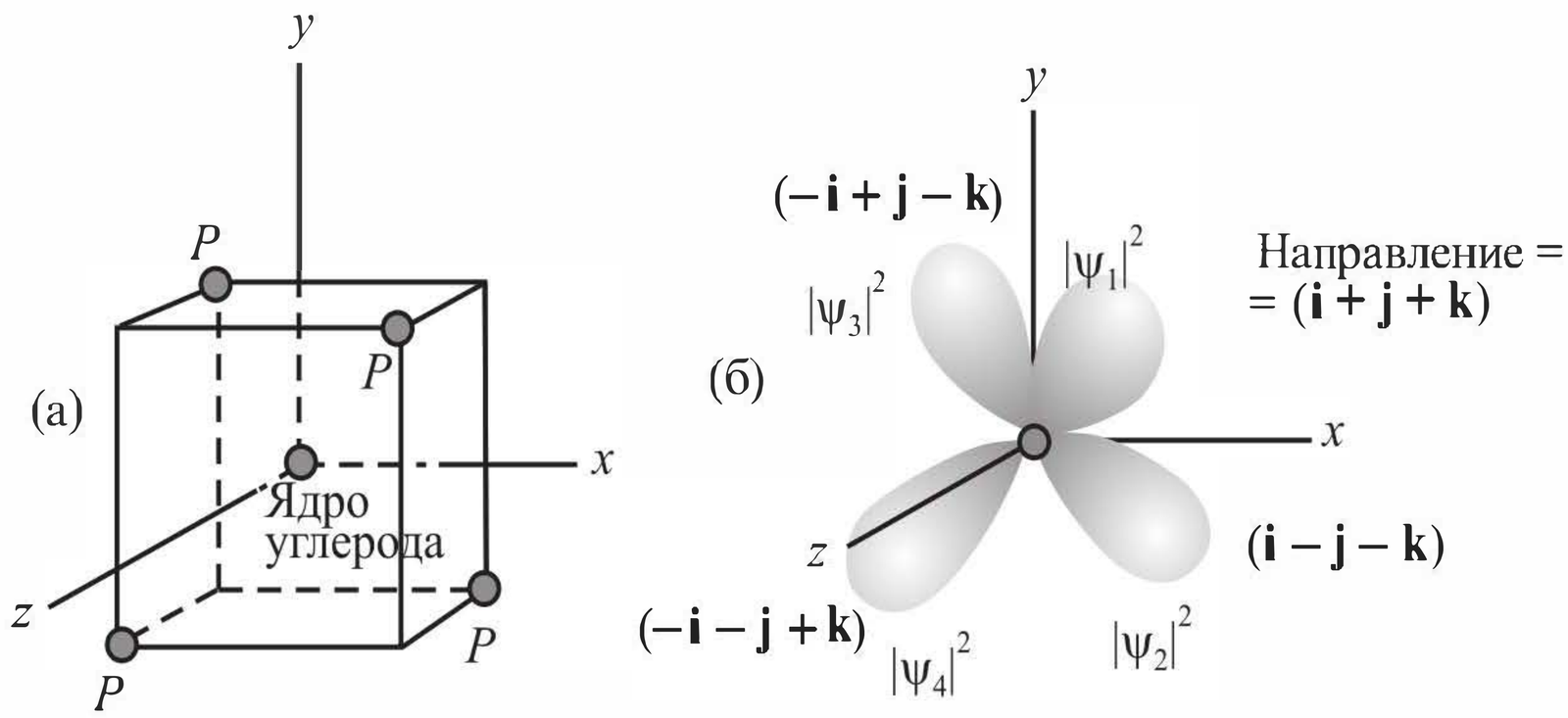


Рис. 27-8. *а* — относительные ориентации ядра углерода и четырех ядер водорода (протонов *P*) в молекуле CH_4; *б* — четыре электронных облака, или лепестки, простирающиеся от ядра углерода и окутывающие протоны; каждый из лепестков содержит по два электрона с ковалентной связью

Но как это может быть, когда первые два электрона с $n = 2$ более сильно связаны на заполненной подоболочке с $l = 2$? Точно так же почему бор ($Z = 5$) с единственным электроном в состоянии с $l = 1$ имеет валентность 3, а не 1? Ответ заключается в том, что атомы в молекулах не тождественны изолированным атомам. В изолированном атоме существует различие между электронами в состояниях с $l = 0$ и с $l = 1$. В § 2 указывалось, что электроны с $l = 0$ в действительности связаны более сильно, чем электроны с $l = 1$. Однако молекулы — это не просто сумма атомов. Например, в молекуле CH_4 кроме ядра углерода имеются еще четыре центра сосредоточения положительного заряда *P*. Решение уравнения Шредингера в виде стоячих волн для системы из пяти атомных ядер оказывается более сложным и для основного состояния приводит к конфигурации, показанной на рис. 27-8.

Хотя стоячие волны, описывающие четыре внешних электрона, выглядят совершенно иначе, чем стоячие волны в атоме, их можно формально представить в виде суперпозиции водородоподобных стоячих волн (см. пример 5 в гл. 26). Действительно, любую стоячую волну можно разложить в ряд по водородоподобным волновым функциям. В случае с атомом углерода энергии связи четырех внешних электронов одинаковы и соответствуют энергии связи электрона на уровне с $n = 2$; следовательно, можно ожидать, что электронные стоячие волны являются комбинацией главным образом функций $\psi_{2,0,0}$, $\psi_{2,1,1}$, $\psi_{2,1,0}$ и $\psi_{2,1,-1}$. Комбинации, приводящие к изображенным на рис. 27-8 распределениям, записываются в виде

$$\psi_1 = \frac{1}{2}\left(s + p_x + p_y + p_z\right),$$

$$\psi_2 = \frac{1}{2}\left(s + p_x - p_y - p_z\right),$$

$$\psi_3 = \frac{1}{2}\left(s - p_x + p_y - p_z\right),$$

$$\psi_4 = \frac{1}{2}\left(s - p_x - p_y + p_z\right),$$

где $s = -\psi_{2,0,0}$,

$$p_x = \left(1/\sqrt{2}\right)\left(\psi_{2,1,1} + \psi_{2,1,-1}\right),$$

$$p_y = \left(1/\sqrt{2}\right)\left(\psi_{2,1,1} - \psi_{2,1,-1}\right),$$

и

$$p_z = \psi_{2,1,0}.$$

На рис. 27-9 показана комбинация функций $\psi_{2,0,0}$ и $\psi_{2,1,1}$, приводящая

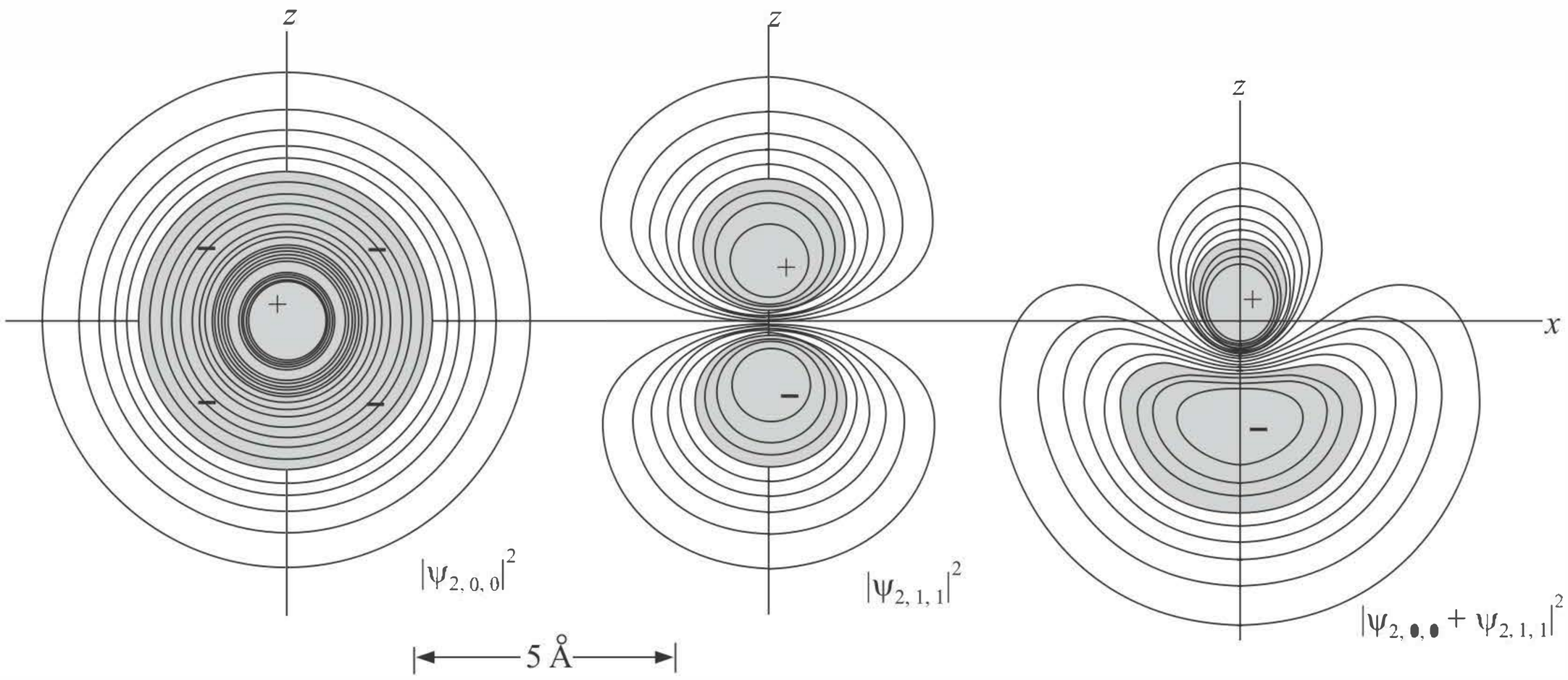


Рис. 27-9. $\psi_{2,0,0} + \psi_{2,1,1} = \psi_{sp}$. Контуры электронной плотности. Заштрихованная область соответствует максимуму электронной плотности (в пределах 40 %). Знаки «+» и «—» указывают полярность волновой функции до того, как она возведена в квадрат. [С любезного разрешения проф. Дж. Джерхолда.]

к электронному облаку, вытянутому в одном направлении. На этом рисунке $\psi_{sp} = \psi_{2,0,0} + \psi_{2,1,1}$. Заметим, что, за исключением небольшой центральной области, волновая функция $\psi_{2,0,0}$ отрицательна в любом направлении, тогда как $\psi_{2,1,1}$ положительна в положительном направлении оси z и отрицательна в обратном.

Следовательно, $\psi_{2,0,0}$ и $\psi_{2,1,1}$ имеют противоположные знаки в положительном направлении оси z, что приводит к их взаимному ослаблению, тогда как в отрицательном направлении они усиливают друг друга. Сложение волновых функций отдельных атомов, приводящее к образованию направленных лепестков, называется гибридизацией. Электронное облако на рис. 27-9 называется *sp*-орбиталью, а четыре облака на рис. 27-8 называются sp^3-орбиталями.

* **Пример 4.** Из табл. 26-2 и рис. 26-7 гл. 26 видно, что волновая функция $\psi_{2p_z} \equiv \psi_{2,1,0}$ имеет форму гантели, ось которой направлена вдоль оси z. Требуется показать, что функция

$$\psi_{2p_x} \equiv \frac{1}{\sqrt{2}}\left(\psi_{2,1,1} + \psi_{2,1,-1}\right)$$

соответствует той же форме гантели, но ось которой направлена вдоль оси x.

Решение: Используя табл. 26-2, можно написать

$$\psi_{2p_x} = \frac{r}{\sqrt{2}a} e^{-r/a} \sin\theta \left(e^{i\varphi} + e^{-i\varphi}\right).$$

Поскольку $\cos\varphi = (e^{i\varphi} + e^{-i\varphi})/2$,

$$\psi_{2p_x} = \frac{2r}{\sqrt{2}a} e^{-r/a} \sin\theta\cos\varphi.$$

Из рис. 27-10 следует, что $\sin\theta = \rho/r$ и $\cos\varphi = x/\rho$, и произведение этих величин дает x/ρ. Учитывая это, получаем следующее выражение:

$$\psi_{2p_x} = \frac{2r}{\sqrt{2}a} e^{-r/a}\left(\frac{x}{r}\right) = \frac{2r}{\sqrt{2}a} e^{-r/a} \cos\theta_x,$$

где θ_x — угол между вектором **r** и осью x. Это выражение по виду аналогично выражению для $\psi_{2,1,0} = (r/a)\, e^{-r/2a} \cos\theta_z$, где θ_z — обычный полярный угол. Мы видим также, что ψ_{2p_x} симметрична относительно оси x, тогда как

симметрична относительно оси z. Следовательно, ψ_{2p_x} имеет форму гантели, ориентированной вдоль оси x.

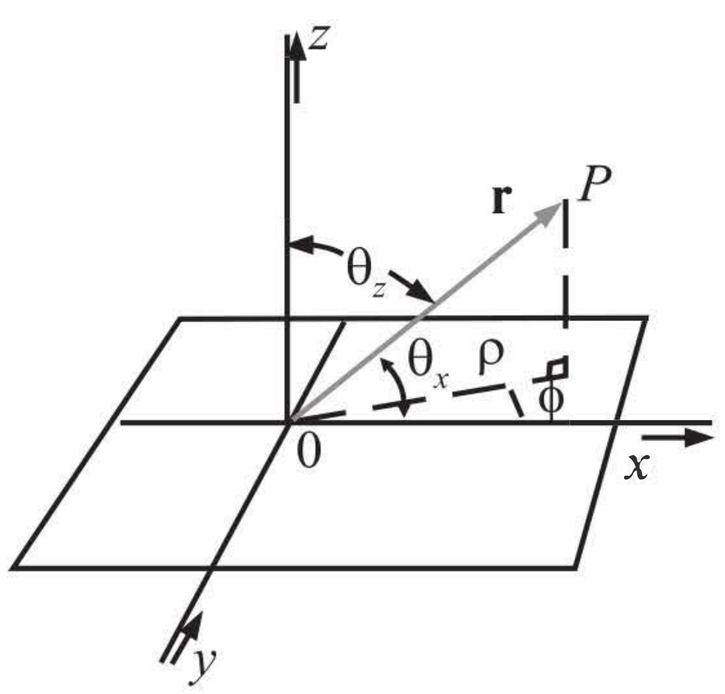


Рис. 27-10. Радиус-вектор **r** точки P составляет угол θ_z с осью z и угол θ_x с осью x (ρ — проекция вектора **r** на плоскость xy)

Основные выводы

Физические и химические свойства элементов обнаруживают поразительное сходство в группах из 2, 8, 8, 18, 18, 32, 32 элементов. Группы, содержащие 2, 8, 18, 32 элемента, можно получить на основе стоячих электронных волн или орбиталей атома водорода и принципа запрета Паули, согласно которому в данном состоянии может находиться лишь один электрон. Поскольку у электрона имеется собственный момент импульса, равный $\hbar/2$, каждой орбитали соответствуют два разрешенных состояния.

Свойства элементов, такие, как валентность и ионизационный потенциал, можно объяснить с помощью некоторых полуколичественных рассуждений, используя водородоподобные стоячие волны с энергиями связи $\left(13{,}6/n^2\right)Z_{эф.}^2$ эВ, где $Z_{эф.}$ — «средний» заряд центральной части атома, в поле которого находится рассматриваемый электрон.

При данном n электроны с более высокими l расположены дальше от ядра и «видят» меньший заряд $Z_{эф.}$ и, следовательно, связаны слабее. Поэтому энергетические уровни с более высокими l группируются с уровнями, соответствующими более высоким n, но меньшим l, так что количество элементов в группах образует последовательность чисел 2, 8, 8, 18, 18, 32, 32.

Рентгеновское излучение представляет собой фотоны, энергия которых выше 100 эВ и которые испускаются тяжелыми атомами при отсутствии у них внутренних электронов. Внешние электроны быстро переходят на более низкие орбиты и заполняют свободное состояние. Электрон на K-оболочке имеет энергию около $13{,}6\,(Z-2)^2$ эВ; это максимальная энергия, которую может иметь рентгеновское излучение.

Атомы удерживаются в молекулах за счет либо ионной, либо ковалентной связи. В случае с ионной связью потенциальная энергия системы, состоящей из положительного и отрицательного ионов, $U \approx -k_e e^2/R$, где R — расстояние между центрами ионов. В случае с ковалентной связью атомы обобществляют одни и те же внешние электроны.

Упражнения

1. С помощью рис. 27-1 определите межатомное расстояние в жидком натрии. Проделайте то же для калия.
2. Сколько электронов отвечает главному квантовому числу $n = 4$ в тяжелом атоме, таком, как, например, атом урана? Сколько у него электронов с $n = 5$?
3. Какие линии в спектре иона Li^{++} можно обнаружить глазом?
4. Какова величина $Z_{эф.}$ для внешнего электрона в ионе F^-? (*Указание:* воспользуйтесь измеренным значением электронного сродства.)

5. Некоторые линии в спектре He^+ соответствуют видимой области. Найдите их длины волн.
6. Какова величина $Z_{эф.}$ для электронов в ионе Li^+? (*Указание:* воспользуйтесь измеренным значением энергии связи.)
7. Найдите максимальную энергию рентгеновского излучения, испускаемого ураном.
8. Длина волны рентгеновского излучения, имеющего максимальную энергию и испускаемого неизвестным образцом, составляет 2,16 Å. Каков атомный номер Z элемента, входящего в состав образца?
9. Сколько энергии надо затратить, чтобы разделить молекулу водорода H_2 на два свободных протона и два свободных электрона?
10. Какая электронная конфигурация ожидается для элемента с номером 107?

Задачи

11. Дополните рис. 27-5 данными о восьмой группе периодичности. Сколько элементов будет в этой группе?
12. Результирующая энергия связи молекулы LiF равна 4,3 эВ. Чему равна молярная теплота образования этого вещества?
13. В принятой для рентгеновского излучения терминологии восемь электронов с $n = 2$ находятся на L-оболочке.
    а) Вычислите $Z_{эф.}$ для $2p$-электрона с L-оболочки. (Считайте, что $2s$-электроны находятся внутри.)
    б) По той же терминологии при переходе $2p$-электрона на K-оболочку возникает K_α-линия спектра. Определите длины волн, отвечающие K_α-линиям в спектрах алюминия и свинца.
14. Пусть состояние атома водорода соответствует $n = 10$, $l = 9$. Каково отношение вероятности найти при фиксированном r электрон под углом 70° к той же вероятности для угла 90°? Можно воспользоваться таблицей 26-2. Изобразите форму электронного облака. Углы отсчитываются от оси, вдоль которой направлен момент импульса.
15. Покажите, что волновая функция $\psi_{2p_x} \equiv \equiv \left(1/\sqrt{2}\right)\left(\psi_{2,1,1} + \psi_{2,1,-1}\right)$ имеет форму гантели, как и $\psi_{2,1,0}$, но вытянутую вдоль оси y, а не вдоль оси z.
16. а) Найдите выражение для $\psi_{2,1,1}$ через ψ_{2p_x} и ψ_{2p_y}.
    б) Как запишутся волновые функции ψ_1, ψ_2, ψ_3 и ψ_4, приведенные в § 5, через $\psi_{2,0,0}$, $\psi_{2,1,1}$, $\psi_{2,1,0}$ и $\psi_{2,1,-1}$?
17. Измеренные длины волн K_α-линий в случае с Al и Pb соответственно равны 8,3 и 0,17 Å. Найдите $Z_{эф.}$ для $2p$-электронов атомов Al и Pb.
18. В H_2^+ протоны находятся на расстоянии 1,06 Å друг от друга. Каким было бы это расстояние, если бы протоны связывал мюон μ^- (масса которого в 207 раз больше массы электрона)?
19. Свойства элементов повторяются в группах, содержащих 2, 8, 8, 18, 18, 32, 32, ... элементов. Сколько элементов было бы в следующей группе, начиная с $Z = 119$? (Ядра считаются стабильными.)

28

Конденсированные среды

Если достаточно сильно охладить вещество (элемент или соединение), находящееся в газообразном или жидком состоянии, то оно переходит в твердое состояние, характеризующееся относительным постоянством взаимного расположения атомов*. Раздел физики, изучающий свойства твердых тел и жидкостей и происходящие в них явления, называется физикой конденсированных сред. В настоящее время этот раздел — прежде всего физика твердого тела время представляет собой одну из основных областей физических исследований.

Физика конденсированных сред не только занимается глубоким изучением сущности явлений, но и использует результаты этого изучения для предсказания новых явлений, которые вряд ли иначе были бы обнаружены.

Большинство элементов и соединений обнаруживают под микроскопом кристаллическую структуру. Зерна поваренной соли (NaCl) под микроскопом имеют вид идеальных кубиков. Многие твердые вещества, хотя внешне и не похожи на кристаллы, в действительности состоят из множества мельчайших кристалликов (это так называемая поликристаллическая структура). Механизм, связывающий атомы в молекулы, может приводить к образованию безграничных твердых периодических структур, которые можно рассматривать как сверхмолекулы. Подобно ионным и ковалентным молекулам, существуют ионные и ковалентные кристаллы. Некоторые твердые тела существуют благодаря еще одному, третьему типу связи, а именно металлической связи, которая не имеет аналога в двухатомных молекулах.

Мы рассмотрим все три типа связи, уделив особое внимание металлам и полупроводникам. Обсудим также квантово-механические явления в больших масштабах, такие как сверхпроводимость, сверхтекучесть и автоэлектронная эмиссия. В § 5 мы попытаемся дать представление о том, какое влияние на современную технику оказала физика полупроводников. В дополнение к общей теории мы обсудим ряд конкретных применений полупроводников: полупроводниковые диоды, транзисторы, светодиоды, твердотельные лазеры, фотоэлементы, солнечные батареи, термисторы, интегральные схемы и т. д. Без глубокого понимания теории твердого тела эти и ряд других важных приложений были бы просто невозможны.

§ 1. Типы связи

Ионная связь

Ионные кристаллы во многом подобны ионным молекулам. На рис. 28-1 изображена структура ионного кристалла NaCl.

---

* Исключение составляет гелий, остающийся жидким даже при $T = 0$ К. Твердая фаза гелия образуется только при $p > 25$ атм. — *Прим. перев.*

Отметим, что ближайшими соседями у каждого иона Na^+ являются шесть ионов Cl^-. Этому пространственному расположению ионов Na^+ и Cl^- отвечает наименьшая энергия (т. е. при образовании такой конфигурации выделяется максимальная энергия), чем и объясняется то, что при охлаждении ниже точки плавления NaCl и многие другие вещества стремятся образовать чистые кристаллы. С ростом температуры тепловая кинетическая энергия атомов в конечном счете оказывается достаточной, чтобы преодолеть связь в правильном кристалле, и кристалл расплавляется.

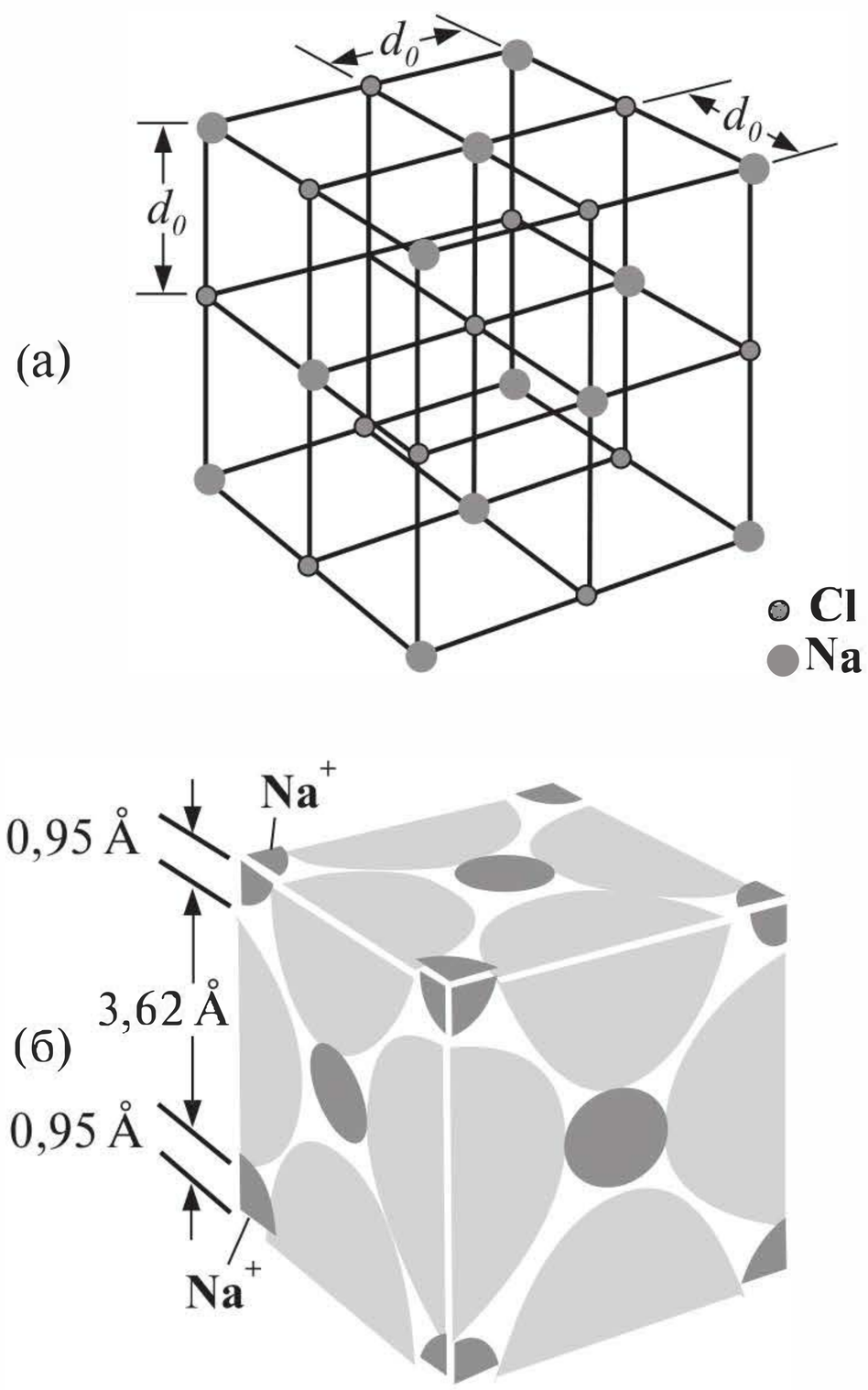


Рис. 28-1. Кристаллическая структура NaCl. Положения центров атомов Na и Cl отмечены кружками: *а* — расположение центров атомов; *б* — расположение самих атомов

Ковалентная связь

В предыдущей главе мы показали, что углерод, имеющий валентность 4, охотно образует ковалентные связи с четырьмя электронами других атомов. Примером такой связи может служить молекула метана CH_4 (см. рис. 27-8). Разновидностью твердого углерода с наиболее сильной связью является алмаз. Если четыре атома водорода (см. рис. 27-8) заменить атомами углерода, то получится элементарная ячейка кристаллической структуры алмаза (рис. 28-2). Структуры, аналогичные алмазу, образуют при кристаллизации и другие четырехвалентные элементы, такие как германий, кремний и олово. Для валентных электронов кристалла германия были вычислены контуры постоянной плотности заряда. Из рис. 28-3, *а* мы видим, что электронные облака концентрируются посередине между каждой парой атомов германия, образуя ковалентные связи.

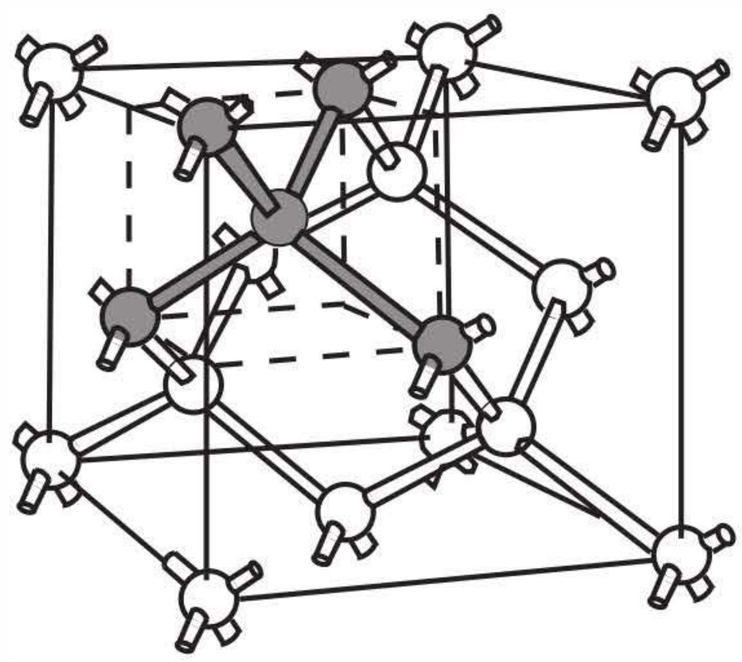


Рис. 28-2. Кристаллическая структура алмаза. Каждый атом имеет по четыре ближайших соседа

Металлическая связь

Допустим теперь, что один из валентных электронов перешел на более высокий энергетический уровень. Можно ожидать, что его волновая функция станет более размытой. Но при этом электрон

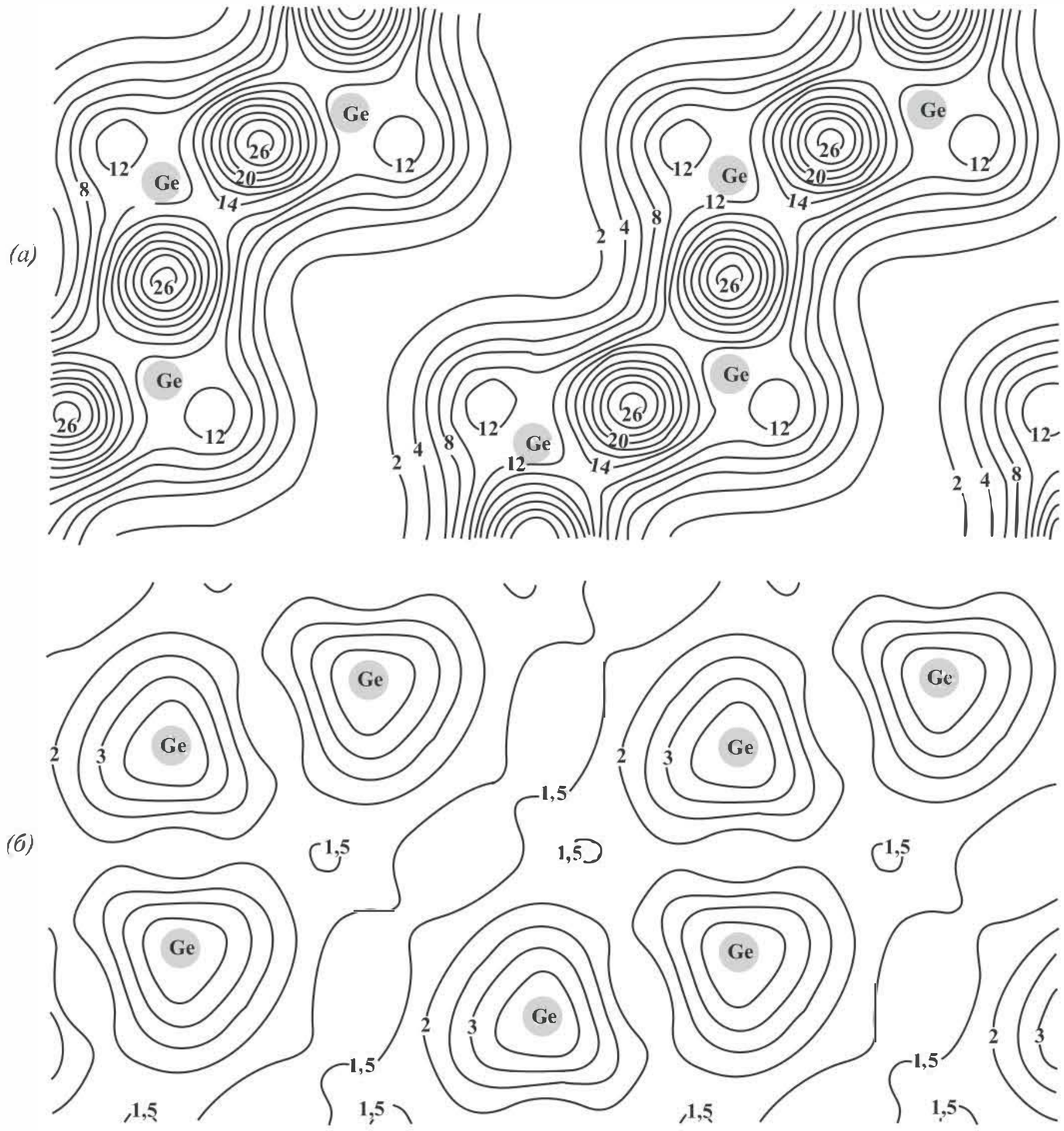


Рис. 28-3. *а* — контуры плотности отрицательного заряда, усредненного по состояниям валентного электрона в кристалле германия; *б* — то же для следующих возбужденных состояний. [С любезного разрешения проф. М. Коэна.]

окажется ближе к соседним атомам. Поскольку остовы (коры) этихатомов обладают положительным зарядом и притягивают электрон, то они будут еще больше размывать электронную волновую функцию, что приведет к перекрытию ее с соседней. В результате такого эффекта волновая функция окажется равномерно размытой по всему кристаллу (с некоторыми сгущениями вблизи каждого притягивающего атомного остова).

На рис. 28-3, *б* приведены контуры плотности заряда для состояний с более высокой энергией. Заметим, что плотность заряда в возбужденном состоянии изменяется не более чем в три раза, причем минимумы находятся посередине между любой парой атомных остовов, тогда как на рис. 28-3, *а* заряд четко локализован между каждой парой атомных остовов, а его плотность изменяется в 28 раз, что характерно для ковалентной связи. Отсюда можно заключить, что, как только валентный электрон в кристалле германия переходит на следующий, более высокий энергетический уровень, он ведет себя как свободный электрон (т. е. электрон проводимости). В германии для того, чтобы поднять валентный электрон на следующий, более высокий уровень, необходима энергия 0,72 эВ. Иначе говоря, между валентным состоянием и состоянием проводимости имеется энергетическая щель шириной 0,72 эВ. Такие вещества называются полупроводниками, поскольку при нормальных условиях они имеют незначительное количество электронов проводимости. В § 4 мы вернемся к изучению германия и других полупроводников.

В кристаллах, построенных из одновалентных атомов (таких как Li, Na, K),

плотность заряда распределяется аналогично тому, как это показано на рис. 28-3, *б*. Кристаллы с таким типом связи называются металлами. Металлическая связь возникает, когда атомы сближаются на расстояние, меньшее размеров облака внешних электронов. Вследствие принципа Паули такая конфигурация приводит к возрастанию энергии внешних электронов. Однако в случае с металлами эта энергия будет все же меньше, чем если бы атомы находились на больших расстояниях друг от друга.

Если атомы сближаются настолько, что их внутренние заполненные оболочки соприкасаются, то соседние ядра попадают в пределы области, занимаемой облаком внешних электронов у свободного атома. В таком случае внешний электрон будет притягиваться соседними ядрами, что приведет к возрастанию его энергии связи и к еще большему увеличению размеров соответствующего облака. Это позволяет электрону приближаться к удаленным соседям, которые в свою очередь еще больше «размывают» электронное облако. В итоге волновая функция каждого из внешних электронов равномерно распределяется по всему кристаллу!

Нетрудно видеть, что квантовая теория вполне разумно объясняет, почему металлы проводят электричество, а другие вещества не проводят (или почти не проводят). То, что в металлах приходится по крайней мере один «свободный» электрон на каждый атом, обусловлено отчасти волновой природой электронов. Эти «свободные» электроны, или электроны проводимости, не связаны с каким-то определенным атомом и могут свободно перемещаться по металлу в любом направлении.

В ионных и ковалентных кристаллах внешние электроны связаны (локализованы); поэтому такие кристаллы обычно не проводят электричество. Их называют изоляторами. Тот факт, что в кристаллах чистых металлов могут существовать свободные электроны, следует рассматривать как квантово-механическое явление в больших масштабах. С точки зрения классической физики каждый электрон принадлежал бы своему собственному атому.

§ 2. Теория свободных электронов в металлах

В первом приближении силы притяжения, действующие со стороны ядра на внешний электрон, можно усреднить и представить в виде постоянного потенциала притяжения: обозначим его U_0. На рис. 28-4 приведена эта усредненная потенциальная энергия, имеющая вид потенциальной ямы. Каждый внешний электрон описывается стоячей волной, ограниченной размерами этой потенциальной ямы. Мы видим теперь, что приведенный в гл. 25 гипотетический пример электрона в ящике не выглядит столь уж надуманным. В этом приближении металл объемом V можно рассматривать как ящик того же объема V, содержащий n свободных электронов. Согласно принципу Паули, в каждом из состояний, описываемых выражением (25-11), может находиться не более двух электронов. Все n электронов стремятся заполнить низшие энергетические состояния, образуя так называемый ферми-газ. Такой газ обладает интересными свойствами, необычными с точки зрения классической физики, на которые впервые обратил внимание Энрико Ферми. Данные n электронов заполнят все энергетические состояния от низшего до состояния с кинетической энергией K_f, называемого уровнем Ферми. Величина K_f должна за-

висеть от n и объема V. Мы сейчас покажем, что она зависит только от отношения $\mathfrak{N} \equiv n/V$, определяющего число электронов проводимости в единице объема. Кинетическая энергия частицы, заключенной в ящике, называется ее энергией Ферми.

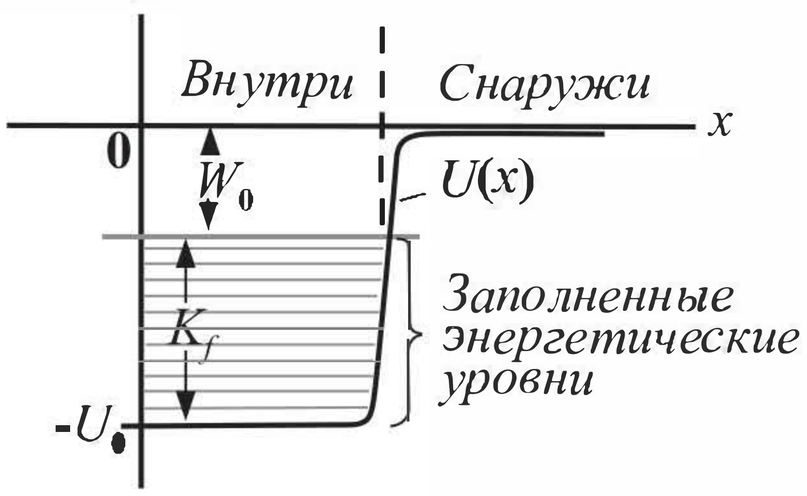


Рис. 28-4. Потенциальная энергия внешнего электрона при его переходе через поверхность металла приближенно показана сплошной линией. На рисунке также приведены уровень Ферми K_f и работа выхода W_0

Расчеты упростятся, если выбрать ящик в форме куба объемом L^3. Если в этот ящик поместить один-единственный электрон, то он быстро излучит избыток энергии и перейдет на низший энергетический уровень. На тот же уровень перейдет и второй электрон. Согласно принципу Паули, третий электрон будет вынужден занять следующий, более высокий, т. е. второй энергетический, уровень. Пятый электрон займет третий энергетический уровень и т. д. Если в ящике имеется всего n электронов, то уровню Ферми отвечает энергия уровня с номером $n/2$. Как указывалось в § 2 гл. 26, уровни энергии в трехмерном ящике зависят от трех квантовых чисел n_x, n_y, n_z, причем

$$n_x = \frac{2Lp_x}{h}, \quad n_y = \frac{2Lp_y}{h}, \quad n_z = \frac{2Lp_z}{h},$$

$$p^2 = \frac{h^2}{4L^2}\left(n_x^2 + n_y^2 + n_z^2\right).$$

Пусть p_f — импульс электрона на уровне Ферми. Тогда p_f — максимально возможное значение p_x любого из n электронов в ящике. В этом случае максимальное значение n_x, соответствующее заполненному состоянию, равно $(n_x)_f = 2Lp_x/h$; то же самое имеем для n_y и n_z. Чтобы получить полное число заполненных состояний, нам надо сосчитать все возможные комбинации из трех чисел n_x, n_y и n_z, каждое из которых не превышает значения $2Lp_f/h$. Такой подсчет был бы крайне утомительным, но можно воспользоваться рис. 28-5.

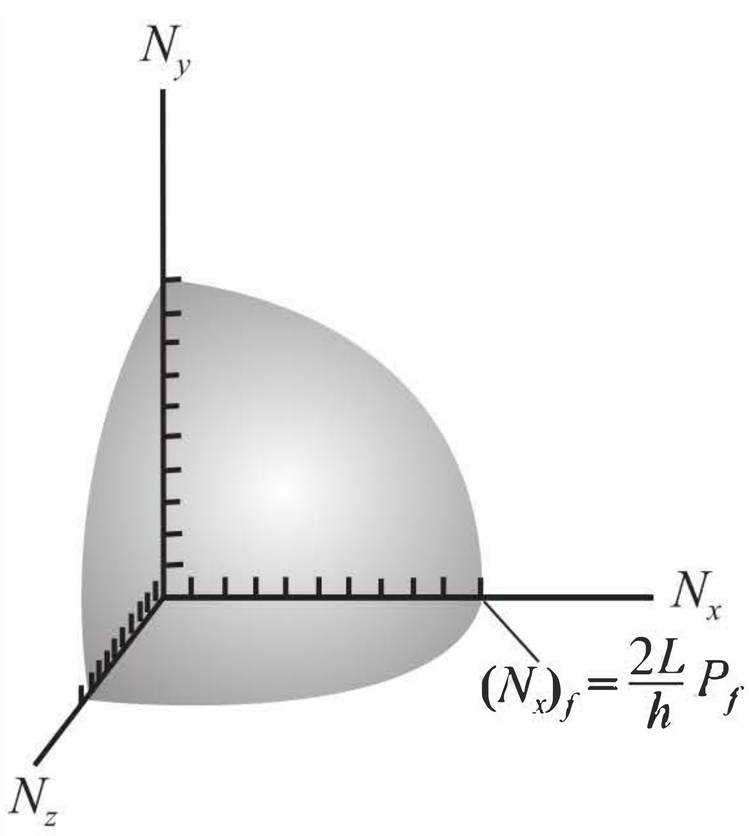


Рис. 28-5. Верхний квадрант сферы радиусом $R = 2Lp_f/h$

На этом рисунке для удобства n_x, n_y и n_z отсчитываются через интервалы 1 см соответственно вдоль осей x, y и z. При этом любое возможное состояние (или набор трех целых чисел) изображается точкой в пространстве. Эти точки образуют кубическую решетку с ребром ячейки, равным 1 см. Заметим, что число таких кубических ячеек равно числу точек. Теперь воспользуемся тем, что заполненные состояния находятся внутри области радиусом $R = 2Lp_f/h$. Тогда полное число заполненных состояний будет численно равно количеству кубических ячеек,

ограниченных сферической поверхностью, показанной на рис. 28-5. Поскольку объем, ограниченный этой поверхностью, равен 1/8 объема сферы, мы можем написать

$$\text{Полное число состояний} = (1/8)(4/3)\pi R^3 = $$

$$= (\pi/6)\left(\frac{2Lp_f}{h}\right)^3 = \frac{4\pi L^3 p_f^3}{3h^3}.$$

Поскольку в каждом состоянии находятся два электрона, полное число электронов

$$n = \frac{8\pi V p_f^3}{3h^3}, \qquad (28\text{-}1)$$

где $V = L^3$ — объем ящика.

Из (28-1) получаем следующее выражение для p_f:

$$p_f = \left(\frac{3h^3}{8\pi}\mathfrak{N}\right)^{1/3} \quad (\textit{граничный импульс Ферми}), \qquad (28\text{-}2)$$

где $\mathfrak{N} \equiv n/V$ — объемная плотность, или концентрация электронов.

Подстановка этого результата в выражение $K_f = p_f^2/2m$ дает

$$K_f = \frac{h^2}{8m}\left(\frac{3}{\pi}\mathfrak{N}\right)^{2/3} \quad (\textit{граничная энергия Ферми}). \qquad (28\text{-}3)$$

Эта величина не зависит ни от конкретной формы, ни от объема данного образца металла. Она зависит лишь от того, насколько плотно «упакованы» свободные электроны.

Пример 1. Литий имеет плотность 0,534 г/см^3. Каково значение граничной энергии Ферми в эВ у электронов проводимости лития?

Решение: Атом лития имеет лишь один внешний электрон; следовательно, $\mathfrak{N}$ равно числу атомов в 1 см^3. Поскольку атомная масса лития 6,94, то

$$\mathfrak{N} = \left(0{,}534\ \text{г/см}^3\right)\left(6{,}02\cdot 10^{23}\ \text{атом/моль}\right)\times$$

$$\times\left(\frac{1}{6{,}94\ \text{г/моль}}\right) = 4{,}63\cdot 10^{22}\ \frac{\text{атом}}{\text{см}^3} =$$

$$= 4{,}63\cdot 10^{28}\ \frac{\text{электрон}}{\text{м}^3}.$$

Используя соотношение (28-3), получаем

$$K_f = \frac{h^2}{8m}\left(\frac{3}{\pi}\cdot 4{,}63\cdot 10^{28}\right)^{2/3} =$$

$$= 7{,}55\cdot 10^{-19}\ \text{Дж} = 4{,}7\ \text{эВ}.$$

---

* **Пример 2.** Найдем выражение для средней кинетической энергии $\bar{K}$ в зависимости от K_f. Полная энергия Ферми в образце, содержащем n электронов проводимости, равна $n\bar{K}$.

Решение: Если dn — число электронов, импульсы которых находятся в интервале dp, то по определению средняя кинетическая энергия

$$\bar{K} = \frac{\int K(p)\,dn}{\int dn}.$$

Дифференцирование выражения (28-1) дает

$$dn = \frac{8\pi V p^2 dp}{h^3}.$$

Таким образом,

$$\bar{K} = \frac{\int Kp^2 dp}{\int p^2 dp} = \frac{\int\left(p^2/2m\right)p^2 dp}{\left[p^3/3\right]_0^{p_f}} =$$

$$= \frac{1}{2m}\frac{\left[p^5/5\right]_0^{p_f}}{p_f^3/3} = \frac{3}{5}K_f.$$

---

* **Пример 3.** Если плотность электронов чрезвычайно высока (как в случае с некоторыми астрономическими объектами), то практичес-

ки все электроны будут ультрарелятивистскими; иными словами, $E = K = pc$. Чему в этом случае равна энергия K_f, выраженная через $\mathfrak{N}$, и какова средняя кинетическая энергия $\bar{K}$?

Решение: Релятивистское значение граничной энергии Ферми получаем умножением обеих частей выражения (28-2) на скорость света c:

$$K_f = cp_f = c\left(\frac{3h^3}{8\pi}\mathfrak{N}\right)^{1/3},$$

$$\bar{K} = \frac{\int K dn}{\int dn} = \frac{\int (cp)\, p^2 dp}{\int p^2 dp} = c\frac{p_f^4/4}{p_f^3/3} = \frac{3}{4}K_f.$$

Потенциальная энергия электрона внутри металла имеет приблизительно вид, показанный на рис. 28-4. За нулевую мы выбрали энергию покоящегося свободного электрона вне металла. Энергетические уровни электронов ферми-газа обозначены тонкими горизонтальными линиями, начинающимися при $-U_0$ и заполняющими интервал энергии K_f от дна потенциальной ямы. При этом минимальная энергия, необходимая для удаления электрона из металла, равна величине $U_0 - K_f$, определяемой как работа выхода W_0 (см. § 2 гл. 24, посвященный фотоэффекту):

$$W_0 = U_0 - K_f.$$

Хотя кинетическая энергия электрона на уровне Ферми равна K_f, его полная энергия

$$E_f = K_f + U = K_f + (-U_0) = -(U_0 - K_f),$$

$$E_f = -W_0.$$

Следовательно, на энергетической шкале уровень Ферми соответствует величине $-W_0$. В действительности строго определенное значение работы выхода имеется только при температуре абсолютного нуля. При температуре T электроны находятся в тепловом равновесии, поэтому к их энергии Ферми добавляется еще некоторая тепловая энергия. В гл. 13 мы показали, что средняя тепловая энергия, приходящаяся на одну частицу идеального газа, составляет $(3/2)\,kT$. В ферми-газе тепловую энергию могут иметь лишь частицы, кинетическая энергия которых близка к K_f. Таким образом, кинетическая энергия некоторой части электронов будет чуть больше K_f, поскольку при комнатной температуре $kT = 0{,}025$ эВ, в то время как величины K_f и W_0 оказываются порядка нескольких электронвольт.

Контактная разность потенциалов

Стоит только соединить два разных металла, как между ними возникает разность потенциалов, называемая контактной. Поскольку нам теперь известно, что такое уровень Ферми, это явление можно объяснить, используя диаграммы потенциальных ям. Рассмотрим два различных металла A и B (рис. 28-6,*а*). Пусть уровень Ферми в металле A составляет -2 эВ, а в металле B -3 эВ; при этом потенциальная энергия электронов внутри металла A равна -4 эВ, а внутри металла B -6 эВ (все эти величины измеряются относительно энергии покоящегося электрона, находящегося вне металла). На рис. 28-6, *б* показано, что происходит сразу после того, как оба металла были приведены в соприкосновение. Электроны из металла A могут перейти в металл B, где имеются свободные состояния с более низкой энергией. Но, как только электроны перейдут в металл B, он быстро приобретет отрицательный заряд по отношению к A. Теперь уже, чтобы отрицательный электрон мог попасть в отрицательно заряженный металл B,

требуется совершить большую работу; это означает, что диаграмма потенциальной энергии металла B сместится вверх относительно диаграммы металла A. Это смещение будет происходить до тех пор, пока уровни Ферми не сравняются (рис. 28-6, *а*). Такое равновесие достигается после того, как очень небольшая часть электронов проводимости перейдет из A в B. Из рис. 28-6, *в* следует, что разность потенциальных энергий DU равна исходной разнице в уровнях Ферми; таким образом, если уровни Ферми двух металлов различаются на 1 эВ, то при соединении этих металлов между ними возникает разность потенциалов 1 В.

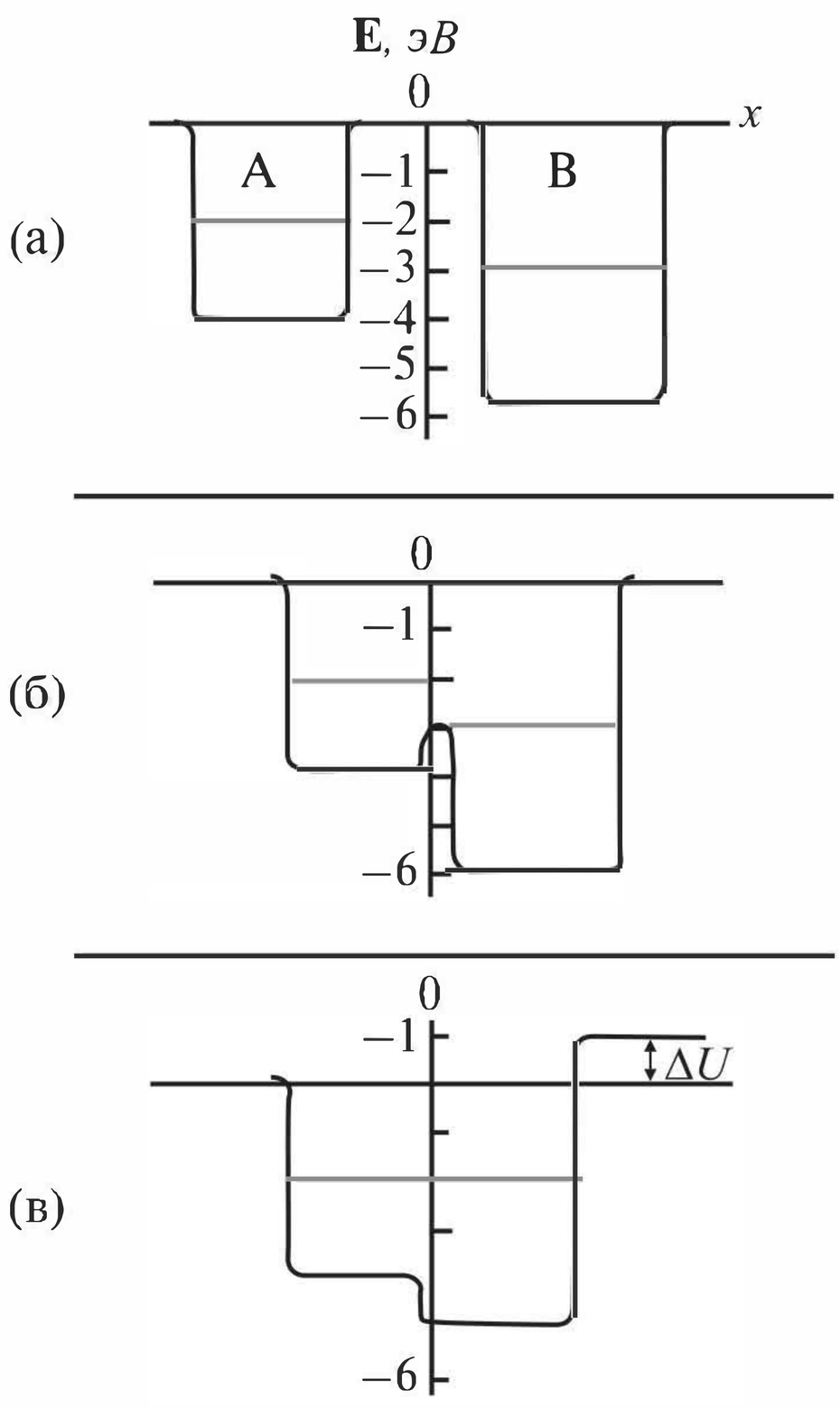


Рис. 28-6. При соединении двух различных металлов электроны переходят из одного металла в другой, пока уровни Ферми не станут одинаковыми, как показано на рис. *в*

§ 3. Электропроводность

В идеальной кристаллической решетке металла, как мы показали, внешние электроны ведут себя подобно свободным электронам в ящике. Поскольку эти электроны могут переносить электрический ток, следует ожидать, что электрическое сопротивление идеального металла должно быть равным нулю. Однако в реальных металлах всегда присутствуют примеси и дефекты решетки, с которыми свободный электрон может взаимодействовать и терять при этом свою энергию. Электрическое сопротивление (измеряется в омах) зависит от средней длины свободного пробега электрона между столкновениями с примесями или дефектами. Основываясь на этой теории электрического сопротивления, нетрудно вывести закон Ома по аналогии с выводом в § 2 гл. 17.

Согласно закону Ома, сопротивление зависит лишь от температуры и совсем не зависит от величины тока. В соответствии с формулой (17-5) удельное сопротивление можно записать в виде

$$\rho = \frac{m\bar{u}}{e^2 \mathfrak{N} L}.$$

Отсюда нетрудно показать, что с ростом температуры электрическое сопротивление увеличивается. Естественным источником дефектов решетки является колебательное движение атомов, которое существует всегда, поскольку кристалл не находится при температуре абсолютного нуля. Поэтому с ростом температуры средняя длина свободного пробега L должна уменьшаться. Отсюда можно сделать вывод, что сопротивление чистого металла будет тем больше, чем интенсивнее тепловое движение атомов. Согласно теории, при стремлении температуры к абсолютному нулю сопротивление чистого

кристалла должно стремиться к нулю. Это подтверждается экспериментом.

Сверхпроводимость

То, что при температуре абсолютного нуля чистый металл может иметь равное нулю сопротивление, т. е. бесконечно большую проводимость, не следует путать с другим квантово-механическим явлением, а именно со сверхпроводимостью. Явление сверхпроводимости состоит в том, что при температурах, на несколько градусов превышающих абсолютный нуль, проводимость становится бесконечно большой. В действительности лишь очень небольшое число металлов и металлических сплавов обладает этим удивительным свойством. У каждого сверхпроводника есть критическая температура, выше которой металл ведет себя как обычный проводник, а ниже переходит в сверхпроводящее состояние; типичная критическая температура составляет около 20 К (см. дополнение редактора).

Если в сверхпроводнике создать круговой ток, то он будет течь до тех пор, пока система охлаждения не выйдет из строя. Известны случаи, когда такие токи сохранялись в лаборатории на протяжении нескольких лет. Квантово-механическое объяснение явления сверхпроводимости в металлах было получено в 60-е гг. XX в.

В двух словах это объяснение заключается в следующем. Ниже определенной температуры преобладающую роль начинает играть не тепловое движение решетки, возмущающее электрон, а возмущение самой решетки электроном проводимости. При этом возмущение решетки электроном A повлияет на движение электрона B, вследствие чего между электронами A и B возникнет эффективная сила притяжения. В некоторых веществах эта сила превосходит силу электростатического отталкивания. Следовательно, если оба электрона движутся в одном и том же направлении (существует результирующий ток), то этому будет соответствовать состояние с наинизшей энергией, причем электроны должны и далее оставаться в этом состоянии, поскольку для них не существует состояний с более низкой энергией. Отсюда мы делаем вывод, что будет существовать вечный результирующий ток в направлении движения электронов.

В настоящее время разрабатывается ряд интересных проектов практического применения сверхпроводимости. Мы обсудим три из них: 1) магниты, создающие сильные поля, 2) линии электропередач с малыми потерями и 3) высокоскоростные транспортные устройства.

Уже создано множество электромагнитов со сверхпроводящими обмотками. Эти магниты обеспечивают поля до ~200 000 Гс (20 Тл) при полном отсутствии электрических потерь в обмотках. Имеются лишь затраты энергии на охлаждающие системы.

Как было показано в § 4 гл. 19, основные потери энергии в линиях электропередачи составляют I^2R. Сверхпроводящие линии передач постоянного тока будут свободны от потерь электроэнергии, поскольку в них $R = 0$. На рис. 28-7 показан сверхпроводящий кабель, сконструированный для передачи переменного тока мощностью $4 \cdot 10^9$ Вт. Такой кабель должен быть дешевле традиционного подземного кабеля и обеспечивать более низкие потери энергии. Когда стоимость солнечной энергии станет сравнима со стоимостью энергии, производимой атомными или тепловыми станциями, окончательное решение проблемы может быть получено на основе использования солнечной энергии и сверхпроводящих линий

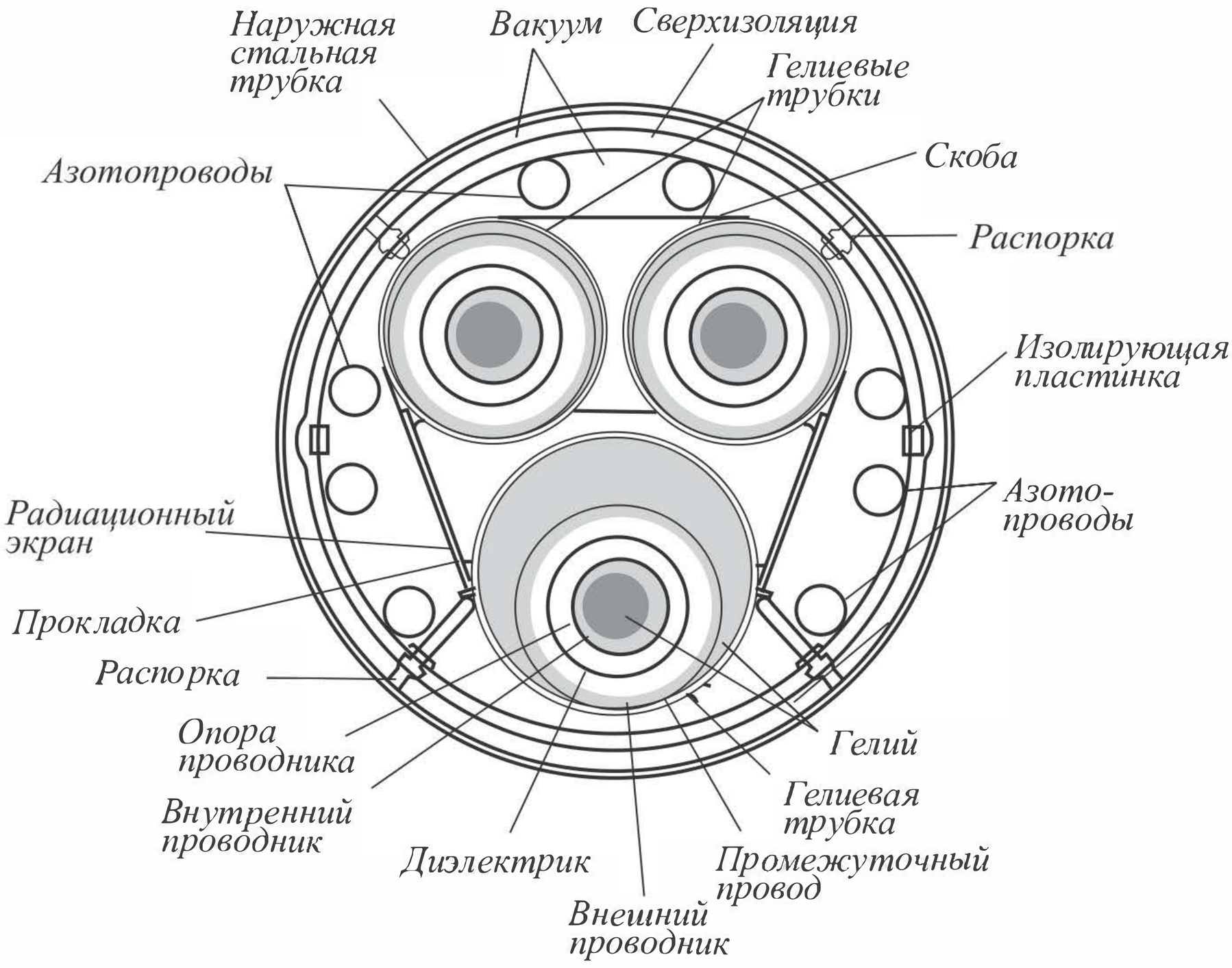


Рис. 28-7. Сечение полугибкого сверхпроводящего кабеля переменного тока. Кабель с внешним диаметром 4,7 см рассчитан на напряжение 275 кВ; с его помощью можно передавать мощность $4 \cdot 10^9$ Вт

электропередачи. При этом возникает ряд экономических вопросов, как, например, необходимость в больших количествах жидкого гелия, идущего на охлаждение. В настоящее время газообразный гелий выпускают в атмосферу, и он в конечном счете покидает Землю (тепловые скорости молекул гелия сравнимы со второй космической скоростью). На Земле запасы гелия весьма ограниченны, и следовало бы создать приемлемую программу его сбережения.

В заключение обсудим не менее важный вопрос о применении сверхпроводимости на транспорте. Идея высокоскоростного наземного транспорта для перевозки пассажиров основана на том, чтобы транспортное средство «парило» над дорогой. В этом случае возможны скорости до 500 км/ч, так как отсутствует трение и единственным препятствием для движения является сопротивление воздуха. Предположим, что каждый пассажирский вагон снабжен сверхпроводящими обмотками, расположенными поблизости от полотна «дороги» из проводящего материала. Тогда, как только вагон достигнет определенной скорости, между током, наводимым в полотне дороги, и током в сверхпроводящих обмотках возникнет сила отталкивания, достаточная для того, чтобы вагон стал парить в воздухе (т. н. магнитная подвеска или «подушка»). В настоящее время такие системы уже существуют [например, в Японии и Германии (рис. 28-8), а в последнее время и в России].

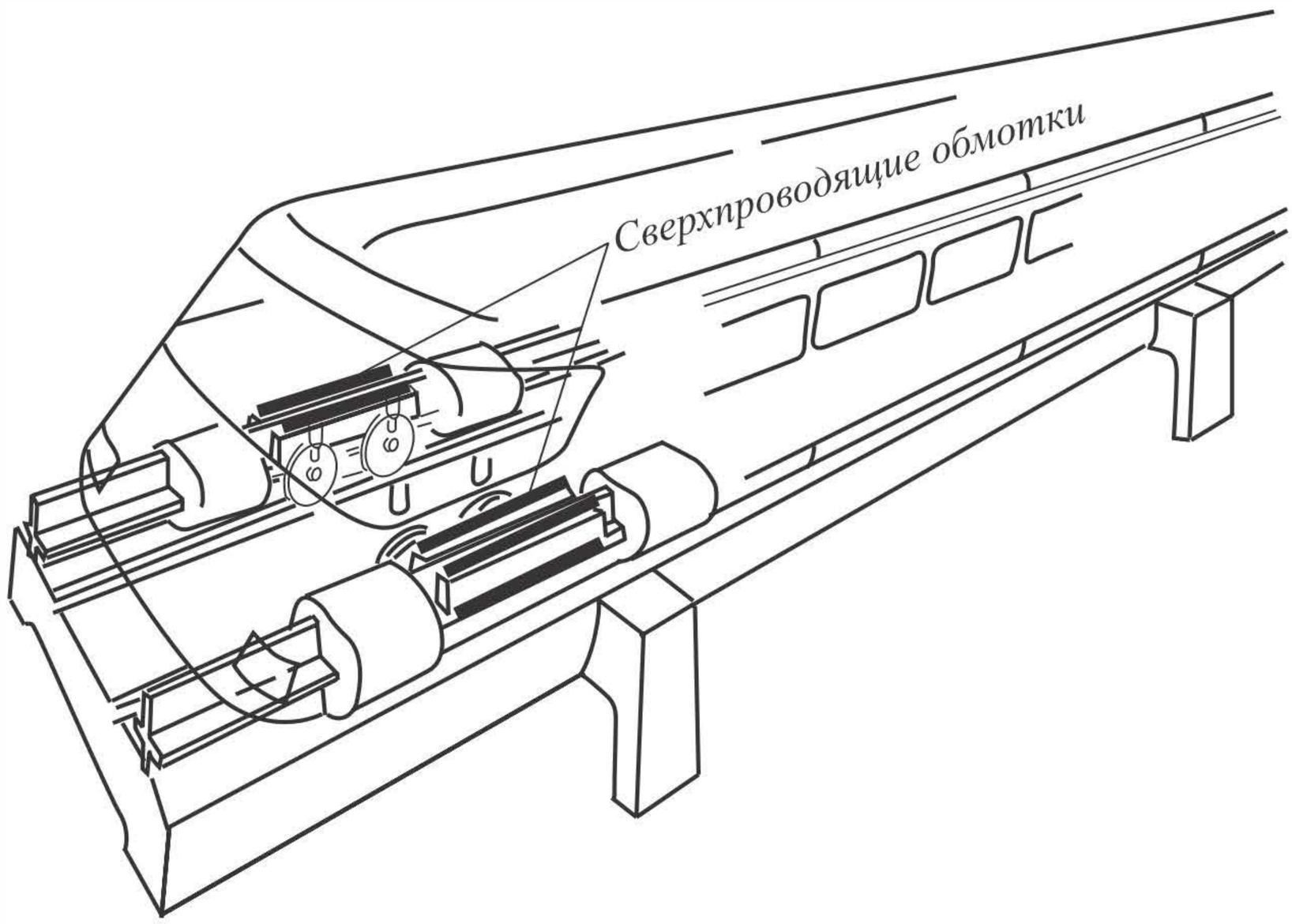


Рис. 28-8. Поезд, разработанный немецкой фирмой АЭГ-ББС-Сименс (эскиз). Показаны сверхпроводящие обмотки, обеспечивающие «парение» в воздухе и одновременно направляющие движение, а также обмотки индукционного мотора. Отметим, что рельсы проложены вдоль всей трассы. [С любезного разрешения Исследовательских лабораторий Сименса, Эрланген, ФРГ.]

Дополнение редактора к § 3

Обсуждение темы сверхпроводимости следует дополнить тем, что для каждого описываемого в § 5 сверхпроводника 1-го рода (известного со времени его открытия голландским физиком Х. Камерлинг-Оннесом на ртути в 1911 г.) существует так называемый критический ток (зависящий от размеров образца), создающий критическое магнитное поле (порядка 1 кЭ), способное разрушить сверхпроводящее состояние. Указанная в тексте роль кристаллической решетки проявляется, в частности, в зависимости критической температуры сверхпроводника от изотопного состава металлического образца.

Кроме того, в сверхпроводниках 1-го рода магнитное поле, меньшее, чем критическое, практически не проникает вглубь сверхпроводника, т. е. силовые линии этого поля «выталкиваются» из сверхпроводника. В середине 50-х гг. XX в. были открыты сверхпроводники 2-го рода, у которых эффект вытеснения магнитного поля менее выражен; они допускают критическое магнитное поле порядка сотен килоэрстед.

В 80-е гг. (впервые в 1986 г. швейцарскими физиками Й. Г. Беднорцем и К. А. Мюллером) был открыт новый класс металлооксидных высокотемпературных сверхпроводников (сокращенно ВТСП), позволивший поднять критическую температуру сверхпроводников от диапазона гелиевых (25–30 K) до диапазона азотных (125–130 K) температур. Это существенно упрощает применение сверхпроводников, однако на очереди открытие (или синтез) таких материалов, «работающих» при комнатных температурах порядка 300 K и вообще не требующих дополнительного охлаждения.

Важной вехой на пути практического использования явления сверхпроводимости стало открытие в 1962 г. английским физиком Б. Джозефсоном квантового явления туннелирования (см. § 5 гл. 25) спаренных (так называемых куперовских) электронов, определяющих сверхпроводящий ток, из одного сверхпроводника в другой через тонкую диэлектрическую (непроводящую) прослойку. Это явление легло в основу построения целого класса новых высокочувствительных измерительных приборов, в том числе так называемого СКВИДа (сверхпроводящего квантового магнитометра).

Что касается технических применений сверхпроводников, то используются в первую очередь так называемые жесткие сверхпроводники 2-го рода, допускающие протекание токов с очень высокой плотностью (до 10^5–10^6 А/см^2); для этих веществ характерно наличие большого количества дефектов кристаллической структуры. Недостатком такого типа веществ является их невысокая механическая прочность, препятствующая изготовлению проволок или лент, однако именно эти вещества используются в первую очередь для создания сверхпроводящих магнитов с индукцией магнитного поля до 20 Тл.

§ 4. Зонная теория твердых тел

До сих пор при описании состояний электрона в металле мы пренебрегали периодическим изменением потенциальной энергии электрона, связанным с его взаимодействием с атомными остовами. Мы предполагали, что дно потенциальной ямы (рис. 28-4) плоское и не имеет периодических углублений. Если же учесть такие периодические изменения потенциальной энергии, то окажется, что возможные значения энергии образуют ряд зон. Почему так происходит, мы объясним на следующих примерах.

В качестве первого примера рассмотрим две одномерные прямоугольные потенциальные ямы глубиной U_0 и шириной x_0. Они соответствуют эффекту, который дают два последовательно расположенных атомных остова. Мы покажем, что первоначальный энергетический уровень основного состояния, существовавший в каждой из ям, превратится в «зону» с двумя значениями энергии. В случае же с n последовательно расположенными прямоугольными ямами основному состоянию будет соответствовать зона, содержащая n энергетических уровней. В соответствии с (25-14) энергии уровней в отдельной прямоугольной яме можно записать приближенно в виде

$$E_n \approx \frac{n^2}{L^2}\frac{h^2}{8m},$$ где L — ширина ямы.

Если теперь, как показано на рис. 28-9, *а*, соединить две ямы в одну, но с удвоенной шириной ($L = 2x_0$), то мы получим

$$E_n \approx \frac{n^2}{4x_0^2}\frac{h^2}{8m},$$

$$E_1 \approx \frac{1}{4}\frac{h^2}{8mx_0^2} \text{ и } E_2 \approx \frac{h^2}{8mx_0^2}.$$

На рис. 28-9, *б* яма «двойной ширины» поделена на две соседствующие одинаковые ямы. Заметим, что энергии, отвечающие волновым функциям ψ_1 и ψ_2, сблизились друг с другом. На рис. 28-9, *в* обе ямы раздвинуты настолько, что стоячие волны в каждой из них по существу совпадают с низшей стоячей волной в отдельной яме; следовательно,

$$E_1 \approx E_2 \approx \frac{h^2}{8mx_0^2}.$$

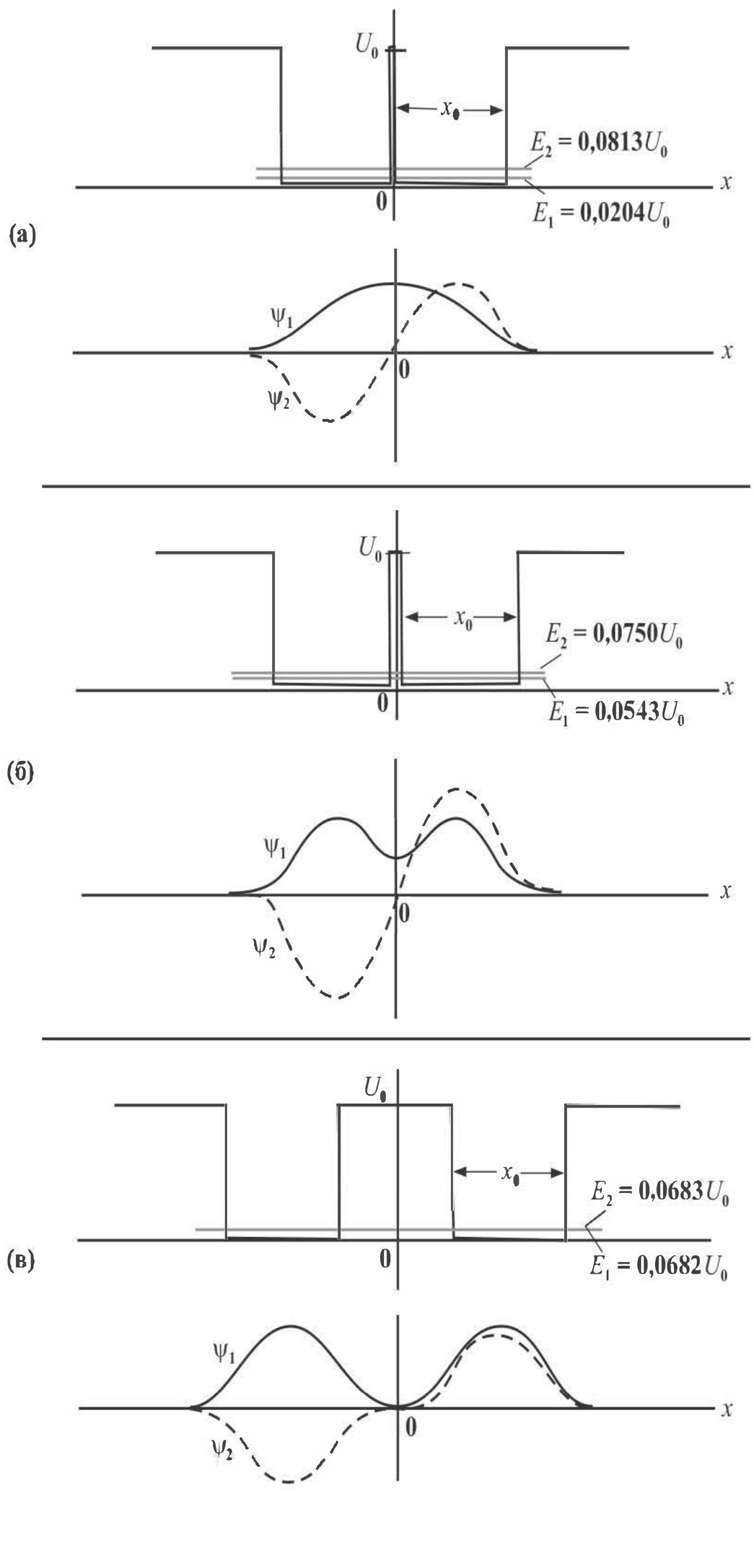


Рис. 28-9. *а* — первые два энергетических уровня в прямоугольной яме шириной $2x_0$, составленной из двух ям шириной x_0 каждая; показаны также соответствующие стоячие волны; $U_0 = 50\hbar^2/mx_0^2$; *б* — две ямы, изображенные на рисунке *а*, раздвигаются на расстояние $x_0/10$; заметим, что энергетические уровни сближаются; *в* — при удалении двух ям на достаточно большое расстояние друг от друга оба энергетических уровня почти сливаются, а волновая функция в пределах каждой ямы практически совпадает с волновой функцией основного состояния в случае с отдельной ямой

Таким образом, мы показали, что при сближении двух ям, изображенных на рис. 28-9, *в*, уровни энергии, отвечающие ψ_1 и ψ_2, раздвигаются. Состояние с наинизшей энергией в случае с отдельной ямой превращается в два состояния с различными энергиями в случае с двумя ямами, причем чем меньше расстояние между ямами, тем сильнее раздвинуты соответствующие энергетические уровни.

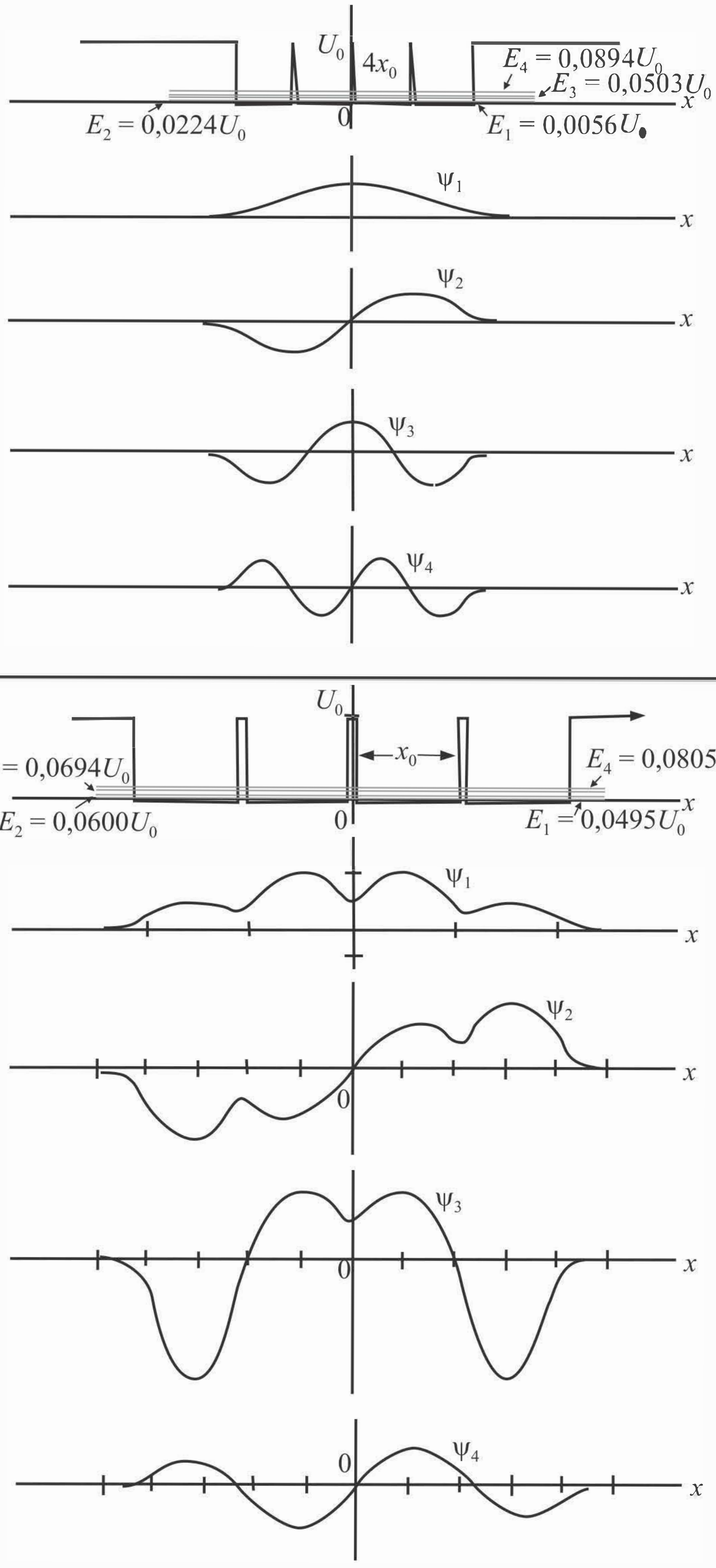
Повторим это рассмотрение для случая с четырьмя ямами, расположенными друг за другом (рис. 28-10). Ямы на рис. 28-10, *а* можно рассматривать как одну яму, но учетверенной ширины ($L = 4x_0$). В этом случае энергии уровней даются выражением

$$E_n = \frac{n^2}{16}\frac{h^2}{8mx_0^2}.$$

Если ямы несколько раздвинуть (рис. 28-10, *б*), то зона, содержащая четыре энергетических уровня, станет у́же. На рис. 28-10, *в* ямы разнесены на столь большое расстояние, что соответствующие энергии почти совпадают с энергией основного состояния в случае с отдельной ямой. Этот результат нетрудно обобщить на случай с *n* расположенными друг за другом ямами. При этом в окрестности исходного уровня должна образоваться зона из *n* энергетических уровней. Увеличение числа *n* не приводит к изменению ширины зоны при условии, что расстояние между ямами остается тем же самым. В образцах твердого тела типичные значения *n* оказываются порядка 10^{23}, так что образованную энергетическими уровнями зону можно считать сплошной.

В случае с реальными твердыми телами одномерную прямоугольную яму следует заменить трехмерной потенциальной ямой атома. При сближении *n* атомов каждое атомное состояние будет превращаться в зону, содержащую *n* соответствующих

(а)



(б)

Рис. 28-10. *а* — яма шириной $4x_0$, составленная из четырех ям шириной x_0 каждая; показаны четыре первых энергетических уровня; *б* — расстояние между ямами $x_0/10$

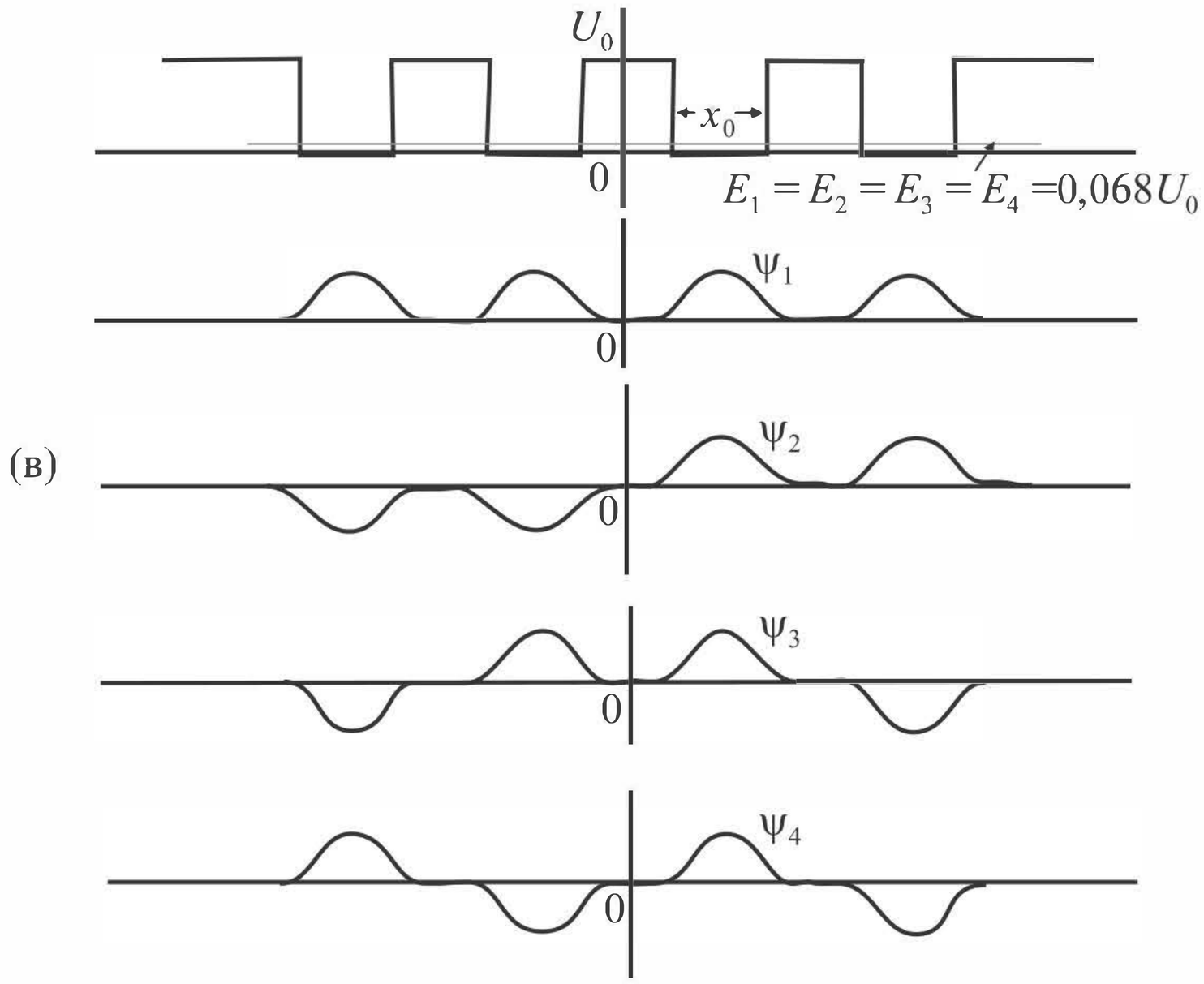


Рис. 28-10. *в* — расстояние между ямами x_0; в этом случае все четыре энергетических уровня почти сливаются

энергетических уровней. Чем ближе атомы расположены друг к другу, тем шире зоны (рис. 28-11).

Пример 4. Предположим, что имеется цепочка из 100 прямоугольных ям шириной $x_0 = 1$ Å и глубиной $U_0 = 378$ эВ.

а) Пусть расстояние между ямами также равно 1 Å. Найдите кинетические энергии первых 100 уровней.

б) Пусть расстояние между ямами равно 0,1 Å. Найдите энергии первого, пятидесятого и сотого уровней.

Решение: Глубина ямы та же, что и в случае с рис. 28-10, для которого $U_0 = 50\hbar^2/mx_0^2 = 378$ эВ. В вопросе «а» расстояние между ямами такое же, как и на рис. 28-10, *в*, где зона, отвечающая основному состоянию (первые 100 энергетических уровней), соответствует $K \approx 0{,}068U_0 = 25{,}7$ эВ. В вопросе «б» расстояние между ямами такое же, как в случае с рис. 28-10, *б*. При этом зона простирается от $0{,}0495U_0$ до $0{,}0805U_0$, или от 18,7 до 30,4 эВ. Следовательно, $K_1 = 18{,}7$ эВ, а $K_{100} = 30{,}4$ эВ. Уровень K_{50} лежит приблизительно посередине между K_1 и K_{100}; таким образом, $K_{50} \approx 24{,}5$ эВ.

Для металлической связи характерно столь близкое расположение потенциальных ям, что зона, в которой находится внешний электрон, перекрывается с другими зонами. Это справедливо для энергетических зон металлического натрия, изображенных на рис. 28-11. Как и в модели свободных электронов, в металле в данном случае имеется неограниченное число свободных состояний, которые может занять внешний электрон.

В некоторых ковалентных кристаллах, например в кремнии и германии, расстояние между атомами таково, что зоны, содержащие валентные электроны (валентные зоны), не перекрываются. Оказывается, у кремния заполненная валентная зона и следующая за ней более высокая пустая зона разделены запрещенной зоной шириной 1,09 эВ. В случае с германием ширина соответствующей запрещенной зоны составляет 0,72 эВ. Для того чтобы через кремний и германий мог протекать электрический ток, в пустой зоне должно иметься некоторое количество электронов. При комнатной

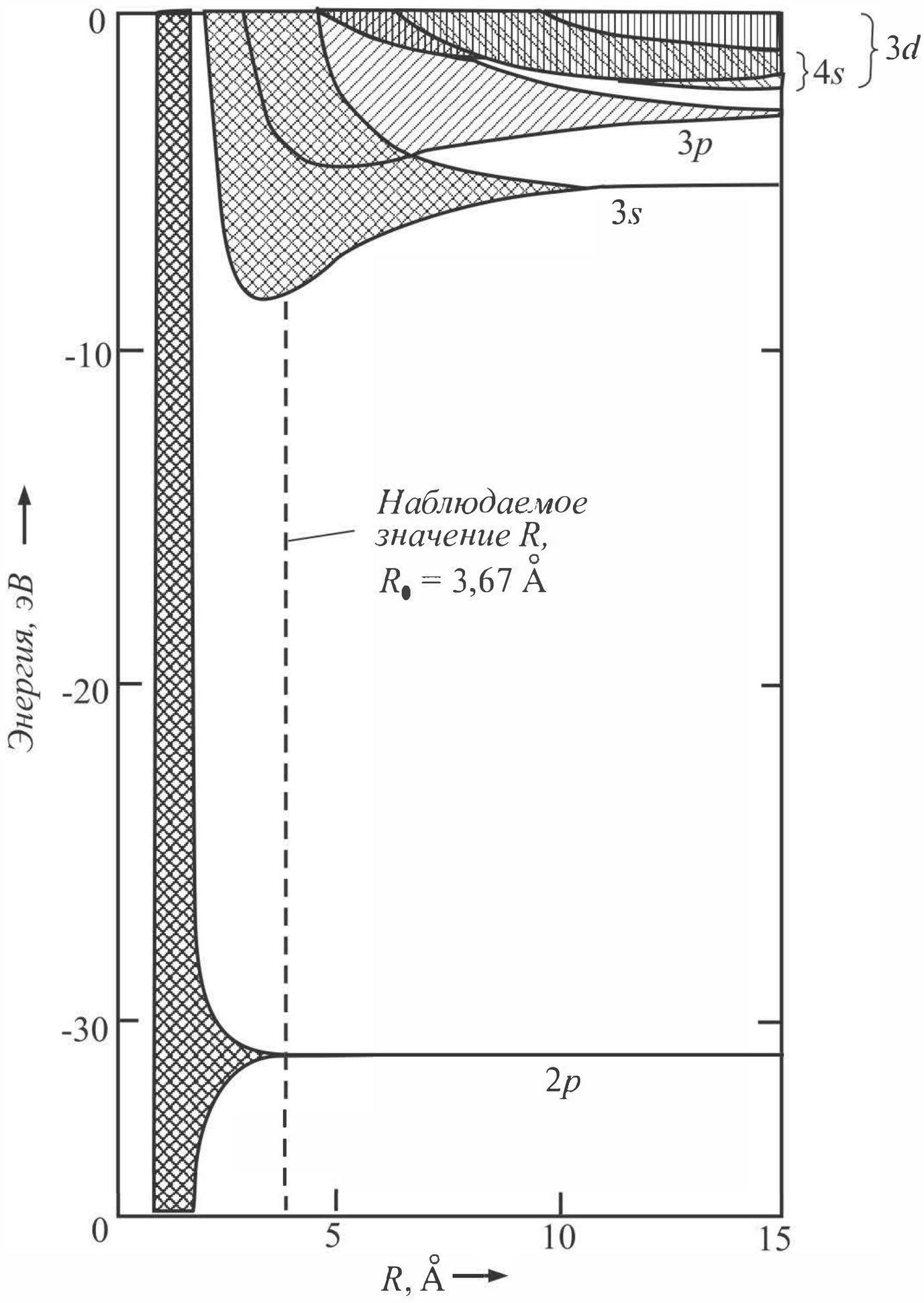


Рис. 28-11. Энергетические зоны натрия в зависимости от межатомного расстояния R. Зона $2s$ располагается при −63,4 эВ, а зона $1s$ — при −1041 эВ. Обе эти зоны еще у́же, чем зона $2p$. [Воспроизводится из статьи: *J. C. Slater*, Phys. Rev., **45**, 794 (1934).]

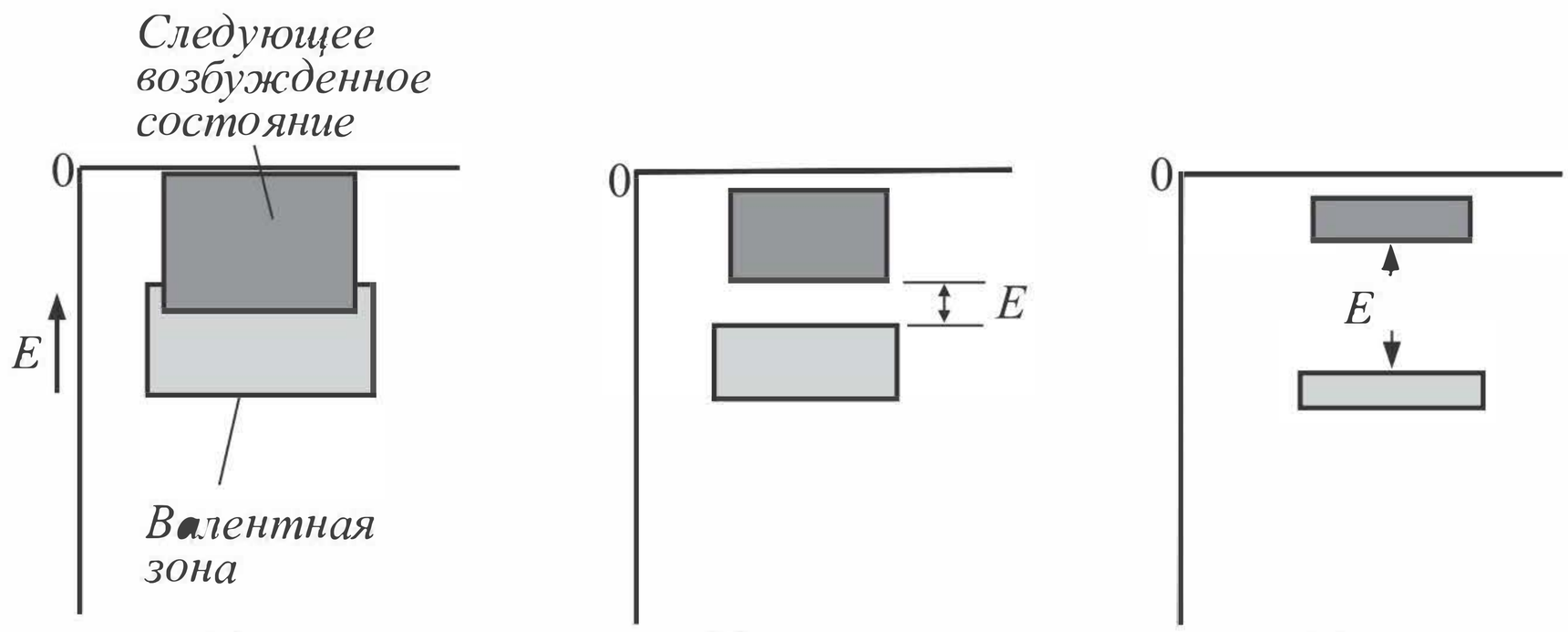


Рис. 28-12. Схематическое сравнение валентной зоны и зоны проводимости: *а* — проводник, *б* — полупроводник, *в* — диэлектрик. На рис. *в* $E_\Delta \gg kT$

температуре количество электронов, попавших в эту зону проводимости за счет теплового движения, невелико. Проводимость германия и кремния значительно ниже, чем у обычного металла. Поэтому эти кристаллы называют полупроводниками. Если же ширина запрещенной зоны кристалла слишком велика, так что теплового движения недостаточно для ее преодоления, то такой кристалл называется диэлектриком (рис. 28-12). При абсолютном нуле чистые кристаллы диэлектриков и даже полупроводников обладали бы бесконечно большим сопротивлением.

Напомним, что на рис. 28-3, *а* приведены контуры, отвечающие значениям квадрата средней волновой функции валентной зоны германия, а контуры на рис. 28-3, *б* — квадрату средней волновой функции зоны проводимости.

Дополнение редактора к § 4

Образование зонной структуры уровней электронов твердого тела рассматривается в § 4 в обычном контексте периодически расположенных атомных остовов (ионов). Сильное кулоновское поле этих ионов частично компенсирует друг друга и позволяет рассматривать его как слабое (но обязательно периодическое!) возмущение. Предполагается, что это поле действует отдельно на каждую частицу свободного электронного газа; то же предположение считается справедливым и в отношении взаимодействия между самими электронами.

При сближении изолированных (бесконечно удаленных) атомов в решетку конечных размеров волновая функция системы «коллективизируется», поскольку волновые функции отдельных электронов перекрываются. В силу принципа Паули для электронов (фермионов со спином 1/2) это перекрытие волновых функций приводит к снятию вырождения по энергиям и расщеплению изолированных атомных уровней в зоны с расстоянием между соседними уровнями $\sim 1/N$, где N — полное число атомов в решетке. При этом плотность состояний электронов, измеряемая числом состояний в расчете на единичный интервал энергий, в «пустых», или запрещенных, зонах строго равна нулю.

Следует отметить, что в ходе расщепления уровней в зону может происходить перекрытие самих зон, что приводит к изменению характера проводимости кристалла. Например, благодаря действию внутрикристаллического поля атомы с не полностью заполненными уровнями могут стать диэлектриками.

Кроме того, наряду с правильными (регулярными) кристаллами в последние годы начинают все большую роль играть неупорядоченные конденсированные системы, в которых не выполняется условие строгой периодичности потенциала (аморфные твердые тела, жидкости и т. п.). Поскольку, однако, размытие атомных уровней связано прежде всего с перекрытием волновых функций, то и в неупорядоченных средах образуются как разрешенные, так и почти запрещенные зоны, в которых резко понижена плотность состояний.

В неупорядоченных системах имеется два типа состояний электрона — локализованные и делокализованные (последние сходны с обычными состояниями проводимости). Локализация, связанная с разупорядочением решетки, называется андерсоновской (в честь известного американского физика Ф. Андерсона), а граничная энергия между локализованными и делокализованными состояниями — уровнем локализации.

Если уровень Ферми в аморфном металле или сильно легированном полупро-

воднике расположен выше уровня локализации, то проводимость этих веществ носит обычный металлический характер. В обратном случае проводимость осуществляется путем активированных перескоков между локализованными состояниями или тепловым забросом электронов выше уровня локализации (так называемая прыжковая проводимость).

Условие замены взаимодействия между свободными электронами эффективным одноэлектронным потенциалом хорошо выполняется в полупроводниках и диэлектриках с малым числом свободных электронов; в этом случае взаимодействие между ними мало и может быть учтено как электрон-электронное рассеяние. В металлах, где число свободных электронов велико, взаимодействие с основной массой электронов учитывается самосогласованным одноэлектронным потенциалом.

В частности, взаимодействие с электронами, находящимися в тонком слое вблизи поверхности Ферми, может быть учтено в рамках теории так называемой ферми-жидкости (построенной в основном усилиями российских физиков школы Л. Д. Ландау). В этой теории в качестве элементарных возбуждений рассматриваются заряженные частицы — фермионы, описывающие самосогласованное движение всей системы электронов.

Наряду с объемными уровнями энергии в кристалле имеются также поверхностные состояния. Волновая функция электронов в этих состояниях локализована вблизи поверхности кристалла (внутри него). Различают собственно поверхностные состояния, названные в честь российского физика И. Е. Тамма уровнями Тамма, и примесные состояния. Уровни Тамма возникают в результате «обрыва» решетки на границе и искажения приповерхностных ячеек. Эти уровни образуют поверхностные зоны, тогда как примесные поверхностные уровни связаны с дефектами и чужеродными атомами на поверхности.

Заметим в заключение, что наряду с возбуждениями фермиевского типа в результате межэлектронного взаимодействия возникают также возбуждения бозевского типа, не связанные с переносом заряда (плазмоны, спиновые волны). В системах низкой размерности (плоских и линейных) могут даже возникать квазичастицы, по отдельности несущие спиновую и зарядовую степени свободы электрона («спиноны» и «холоны»), как это имеет место, например, в квантовом эффекте Холла.

В этих колебаниях могут участвовать электроны как частично, так и полностью заполненных зон. В частности, благодаря взаимодействию электронов и дырок различных зон могут образовываться возбужденные связанные состояния (экситоны Ванье–Мотта или Френкеля); в ряде случаев возможны и автолокализованные состояния — поляроны большого или малого радиуса (по сравнению с постоянной кристаллической решетки).

§ 5. Физика полупроводников

В данном параграфе мы не только обсудим основные свойства полупроводников, но и попытаемся дать представление об их практическом применении в электронике и других областях современной техники (см. также дополнение редактора).

При тепловом возбуждении электрона, находящегося в валентной зоне германия, он освобождает состояние в валентной зоне и переходит в зону проводимости, образуя там заполненное состояние. Незаполненное состояние, или вакансия, образующееся при этом в валентной зоне,

называется **дыркой**. На рис. 28-13 показаны электрон, перешедший в зону проводимости, и образованная им дырка. В присутствии внешнего электрического поля ближайший к дырке электрон в валентной зоне попадает в нее, оставляя при этом новую дырку, которую заполнит следующий соседний электрон, и т. д. Таким образом, дырка будет перемещаться в направлении, противоположном направлению движения электронов, и вести себя как носитель положительного заряда. Любая дырка может рассматриваться как электрон проводимости с положительным зарядом.

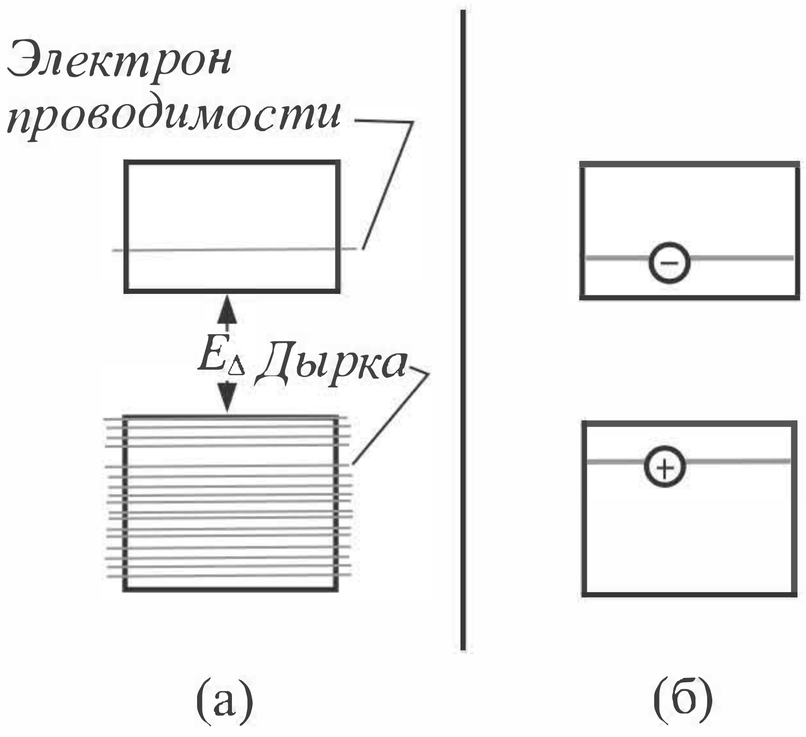


Рис. 28-13. *а* — возбужденный электрон из валентной зоны, в которой осталась дырка, перешел в зону проводимости; *б* — иное представление ситуации, показанной на рис. *а*

Если углубиться в статистическую механику несколько больше, чем это позволяют рамки нашей книги, то можно показать, что вероятность перехода электрона в результате теплового возбуждения с верхнего края валентной зоны в зону проводимости пропорциональна

$$e^{-E_\Delta/kT}, \qquad (28\text{-}4)$$

где E_Δ — ширина запрещенной зоны. Для германия при комнатной температуре ($kT = 0{,}026$ эВ) имеем $E_\Delta/kT \approx 29$. Несмотря на то что у германия и кремния при комнатной температуре имеется небольшое число электронов в зоне проводимости, они несравненно лучше проводят ток, чем такой диэлектрик, как алмаз, у которого $E_\Delta \approx 7$ эВ. При температуре $T \sim 30$ К и кремний, и германий также становятся диэлектриками.

В полупроводнике электрон, попадающий за счет теплового возбуждения в зону проводимости, в конечном счете столкнется с дыркой и возвратится назад в валентную зону. При этом скорость уменьшения числа электронов проводимости пропорциональна N^-N^+, где N^- — число термически возбужденных электронов, а N^+ — число дырок. Выше мы показали, что скорость рождения пар пропорциональна $\exp(-E_\Delta/kT)$. В тепловом равновесии эти скорости одинаковы, так что

$$N^-N^+ \sim \exp(-E_\Delta/kT).$$

В чистом полупроводнике $N^- = N^+$, и следовательно,

$$N^- \sim \exp(-E_\Delta/2kT).$$

Поскольку электропроводность σ пропорциональна числу N^-, она будет очень быстро увеличиваться с ростом температуры.

Пример 5. Кремниевый образец нагревают от 0 до 10 °С. Во сколько раз возрастет его электропроводность?

Решение: Отношение

$$\frac{N^{-\prime}}{N^-} = \frac{\exp(-E_\Delta/2kT')}{\exp(-E_\Delta/2kT)} = \exp\left[\frac{E_\Delta}{2k}\left(\frac{1}{T} - \frac{1}{T'}\right)\right].$$

Таким образом, поскольку $E_\Delta = 1{,}1$ эВ $= 1{,}76 \cdot 10^{-19}$ Дж, мы имеем

$$\frac{N^{-\prime}}{N^-} = \exp\left[\frac{1{,}76 \cdot 10^{-19}}{2\left(1{,}38 \cdot 10^{-23}\right)}\left(\frac{1}{273} - \frac{1}{283}\right)\right] = 2{,}28.$$

Термистор

Из примера 5 следует, что при повышении температуры на каждые 10 К сопротивление образца из чистого кремния уменьшается вдвое. Поэтому чистый кремний можно использовать в качестве очень чувствительного электронного датчика температуры. Такое устройство (изготовленное из чистого полупроводника) называется термистором.

Легирование полупроводников

Если при выращивании кристалла германия в расплав добавляется небольшое количество мышьяка (с валентностью 5), то последний внедряется в решетку кристалла и четыре из его пяти валентных электронов образуют четыре необходимые ковалентные связи. Оставшийся пятый электрон занимает состояние, расположенное чуть ниже края зоны проводимости (так называемый донорный уровень. — *Прим. перев.*), так что незначительное тепловое возбуждение может перевести этот электрон в зону проводимости. Следовательно, электронов проводимости будет почти столько же, сколько атомов мышьяка. Обычно электронов проводимости оказывается намного больше, чем электронов, попавших в зону проводимости из валентной зоны благодаря тепловому движению. Такой полупроводник называется полупроводником *n*-типа (*n* означает, что носители заряда являются отрицательными).

Германий можно легировать также галлием (с валентностью 3). В этом случае атом галлия в решетке кристалла при формировании четырех валентных связей будет присоединять соседний электрон. В результате атом галлия будет создавать дырку, и мы получим полупроводник *p*-типа (*p* означает, что носители заряда являются положительными).

p-*n*-переходы

Если между двумя образцами из полупроводников *p*- и *n*-типов создать контакт, то, как указывалось в § 2, электроны будут переходить из образца *n*-типа в образец *p*-типа, а дырки — в обратном направлении, пока в образцах не сравняются уровни Ферми. При этом образец *p*-типа, получивший дополнительные электроны, станет более отрицательным, а образец *n*-типа — более положительным. Между образцами устанавливается контактная разность потенциалов, равная разности исходных уровней Ферми, которая в свою очередь близка к ширине запрещенной зоны E_Δ. (Из рис. 28-14 можно видеть, что уровни Ферми близки наивысшим энергетическим электронным состояниям, которые заполняются при абсолютном нуле.) Обозначим контактную разность потенциалов через V_0. Тогда после того, как два образца будут приведены в контакт друг с другом, электрический потенциал V (но не потенциальная энергия) принимает вид, пока-

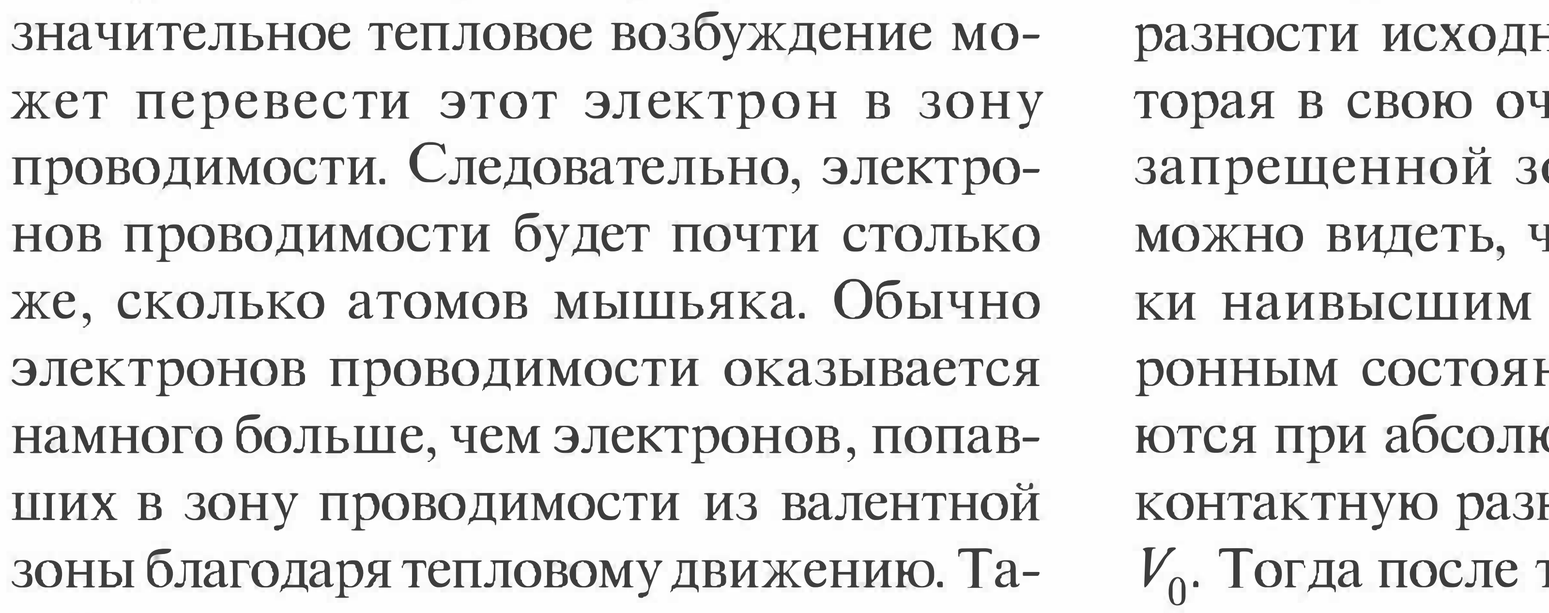


Рис. 28-14. Диаграммы потенциальной энергии полупроводников *p*- и *n*-типовдо того, как они были приведены в контакт. eV_0 — расстояние между уровнями Ферми

занный на рис. 28-15, *а*. На этом рисунке изображены соответствующие плотности носителей отрицательного и положительного зарядов в обоих образцах. Ниже мы обсудим ток, возникающий благодаря дыркам, а потом рассмотрим, как образуется ток отрицательных носителей зарядов.

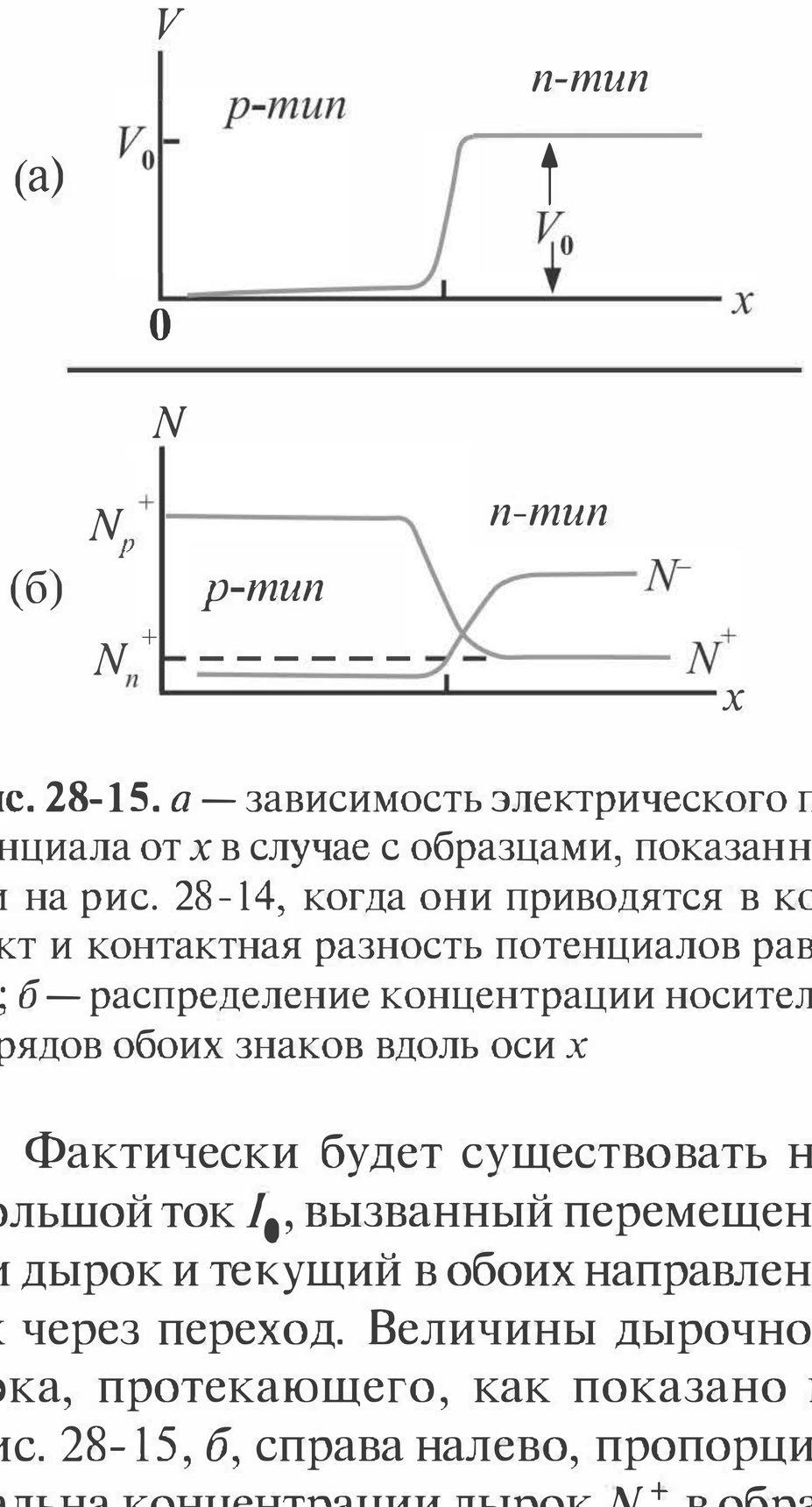


Рис. 28-15. *а* — зависимость электрического потенциала от x в случае с образцами, показанными на рис. 28-14, когда они приводятся в контакт и контактная разность потенциалов равна V_0; *б* — распределение концентрации носителей зарядов обоих знаков вдоль оси x

Фактически будет существовать небольшой ток I_0, вызванный перемещением дырок и текущий в обоих направлениях через переход. Величины дырочного тока, протекающего, как показано на рис. 28-15, *б*, справа налево, пропорциональна концентрации дырок N_n^+ в образце n-типа. При пересечении дырками поверхности контакта они будут ускоряться разностью потенциалов V_0. Таким образом, $I_{\text{лев.}} = CN_n^+$, где C — коэффициент пропорциональности. Аналогично ток дырок слева направо пропорционален произведению N_p^+ на долю дырок, которые могут преодолеть потенциальный барьер. Эта доля определяется с помощью статистической механики и в соответствии с (28-4) равна $\exp(-eV_0/kT)$. Следовательно,

$$I_{\text{прав.}} = CN_p^+ \exp\left(-eV_0/kT\right).$$

Поскольку $I_{\text{лев.}} = I_{\text{прав.}} = I_0$, мы имеем

$$N_n^+ = N_p^+ \exp\left(-eV_0/kT\right)$$

и

$$I_0 = CN_p^+ \exp\left(-eV_0/kT\right).$$

Приложим теперь к p-n-переходу внешнее напряжение V (рис. 28-16). Тогда разность потенциалов между образцом n-типа и образом p-типа станет равной $V_0 - V$ и ток, текущий направо, можно записать в виде

$$\begin{aligned} I_{\text{прав.}} &= CN_p^+ \exp\left(-e\left(V_0 - V\right)/kT\right) = \\ &= \left[CN_p^+ \exp\left(-eV_0/kT\right)\right] \exp\left(eV/kT\right) = \\ &= I_0 \exp\left(eV/kT\right). \end{aligned}$$

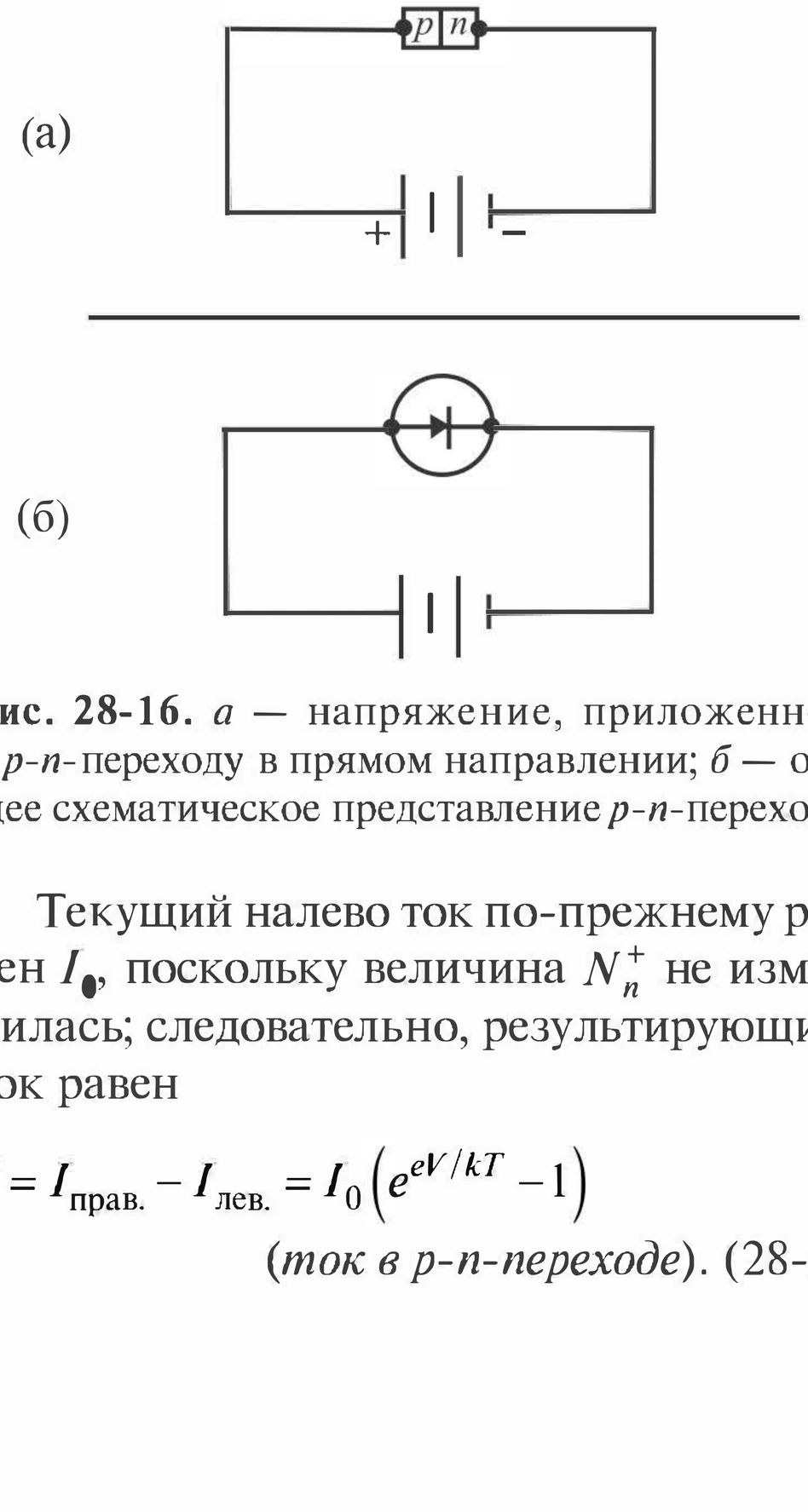


Рис. 28-16. *а* — напряжение, приложенное к p-n-переходу в прямом направлении; *б* — общее схематическое представление p-n-перехода

Текущий налево ток по-прежнему равен I_0, поскольку величина N_n^+ не изменилась; следовательно, результирующий ток равен

$$I = I_{\text{прав.}} - I_{\text{лев.}} = I_0\left(e^{eV/kT} - 1\right)$$

(*ток в p-n-переходе*). (28-5)

Этот результирующий дырочный ток течет в образец n-типа, где дырки в конечном счете аннигилируют с электронами проводимости. Потери электронов при аннигиляции пополняются за счет тока электронов из внешнего источника напряжения, как показано на рис. 28-16. На рис. 28-17 приведена зависимость I от V, вычисленная по формуле (28-5).

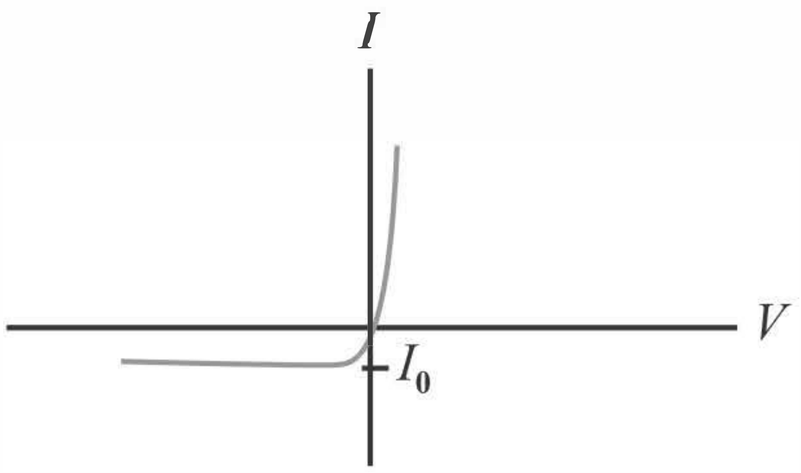


Рис. 28-17. Зависимость тока I от напряжения V, соответствующая выражению (28-5). В первом приближении положительное напряжение V вызывает большой ток, а отрицательное почти не создает тока

Следует заметить, что при положительном напряжении ток, как правило, во много раз превосходит величину I_0, в то время как при обратном напряжении максимальный ток равен I_0. Устройство, обладающее такой нелинейной характеристикой, называется диодом. Главнейшей частью любого радиоприемника с амплитудной модуляцией (АМ) является диодный детектор, которым обычно служит p-n-переход. Такое применение p-n-перехода мы подробно опишем в приложении к данной главе.

Мы не стали рассматривать ток электронов проводимости, обусловленный концентрациями N_p^- и N_n^- отрицательных носителей, поскольку все выкладки в этом случае абсолютно те же, что и выполненные нами выше, и приводят к тому же результату, а именно к формуле (28-5). Если принять во внимание наличие отрицательных носителей заряда, то I_0 представляет собой максимальный ток, создаваемый носителями обоих знаков, при обратном напряжении.

Пример 6. Предположим, что p-n-переход находится при 0 °С и при прямом напряжении 0,1 В его сопротивление равно 10 Ом. Каким станет сопротивление перехода, если поменять полярность напряжения?

Решение: В соответствии с (28-5) сопротивление перехода обратно пропорционально величине $|\exp(eV_0/kT) - 1|$. Следовательно, отношение сопротивления в обратном направлении к сопротивлению в прямом направлении при значении приложенного напряжения V_1 запишется в виде

$$\frac{R_{\text{обр.}}}{R_{\text{прям.}}} = \frac{\left|\exp\left(eV_1/kT\right)-1\right|}{\left|\exp\left(-eV_1/kT\right)-1\right|},$$

где $eV_1 = 0{,}1$ эВ, а $kT = (1{,}38\cdot10^{-23})(273)$ Дж $=$ $= 0{,}0236$ эВ. Таким образом,

$$\frac{eV}{kT} = 4{,}237,$$

и

$$\frac{R_{\text{обр.}}}{R_{\text{прям.}}} = \frac{\left|\exp\left(4{,}237\right)-1\right|}{\left|\exp\left(-4{,}237\right)-1\right|} = 69{,}2,$$

откуда находим

$R = 692$ Ом.

Солнечные батареи

Если на область перехода между двумя образцами n- и p-типа направить свет, то электроны будут поглощать фотоны и переходить из валентной зоны в зону проводимости. Каждый такой фотон создает пару «электрон – дырка». Под действием электрического поля (рис. 28-15, *б*) вновь образованные дырки будут перемещаться в образец p-типа, а электроны —

в образец *n*-типа. Эти дополнительные носители заряда могут перемещаться по замкнутой внешней цепи. Таким образом, свет можно преобразовывать непосредственно в электрическую энергию. Кремниевый элемент солнечной батареи ведет себя как обычная электрическая батарейка напряжением ~0,5 В, причем КПД преобразования солнечного света в электричество достигает 15 %. Солнечные батареи используются в качестве источников энергии на космических кораблях. Если стоимость солнечных батарей удастся сделать сравнимой со стоимостью обычных электростанций (см. пример 1 в гл. 1), то их можно будет использовать для получения электроэнергии и на Земле. Поэтому важно быстрыми темпами развивать дешевое производство полупроводников для солнечных батарей, и в этом направлении уже прилагаются серьезные усилия.

Фотодиоды

Если к элементу солнечной батареи приложено обратное напряжение, то под действием света слабый в обычных условиях ток I_0 сильно возрастает, так как при этом образуются дополнительные носители заряда. Фототок пропорционален количеству фотонов, падающих на фотоэлемент. Такое устройство чрезвычайно чувствительно к интенсивности падающего на него света и используется во многих приборах для регистрации изменений интенсивности света.

Светодиоды

Ярко-красные светящиеся точки в индикаторных устройствах микрокалькуляторов, наручных часов и т. п. создаются устройствами, называемыми светодиодами. Они представляют собой крошечные диоды, к которым прикладывается достаточно высокое прямое напряжение. При этом электроны проводимости рождают при столкновениях пары «электрон – дырка», а последующая рекомбинация электрона с дыркой приводит к испусканию фотона с энергией E_Δ. Чтобы получить красный свет, величина $hf \approx E_\Delta$ должна быть около 2 эВ. Такую ширину запрещенной зоны обеспечивают кристаллы арсенида галлия. Если светодиоды эксплуатируются при достаточно больших значениях токов, то эффективность преобразования электрической энергии в видимый свет приближается к 100 %. Эти устройства сродни твердотельным лазерам.

Транзистор

На рис. 28-18 представлен *p*-*n*-*p*-переход. Соответствующее устройство называется транзистором. Его можно рассматривать как *p*-*n*-переход (рис. 28-16), к которму справа добавлена область *p*-типа (называемая коллектором). На рис. 28-18 к «диодной части» приложено прямое напряжение V_0, что приводит к большому дырочному току из левой области *p*-типа (называемой эмиттером) в область *n*-типа (база). «Секрет» транзистора состоит в том, что база изготавливается настолько тонкой, чтобы большая часть дырок диффундировала через нее в коллектор. К коллектору прикладывается отрицательное по отношению к базе напряжение, чтобы усилить движение к нему носителей положительного заряда (дырок). В типичном транзисторе лишь ~1 % тока эмиттера отводится в электрическую цепь базы. Остальные 99% тока идут в цепь коллектора через вывод *c*. Отношение тока коллектора к току базы называется коэффициентом усиления по току β:

$$\beta \equiv \frac{I_c}{I_b} \quad (\textit{коэффициент усиления по току}).$$

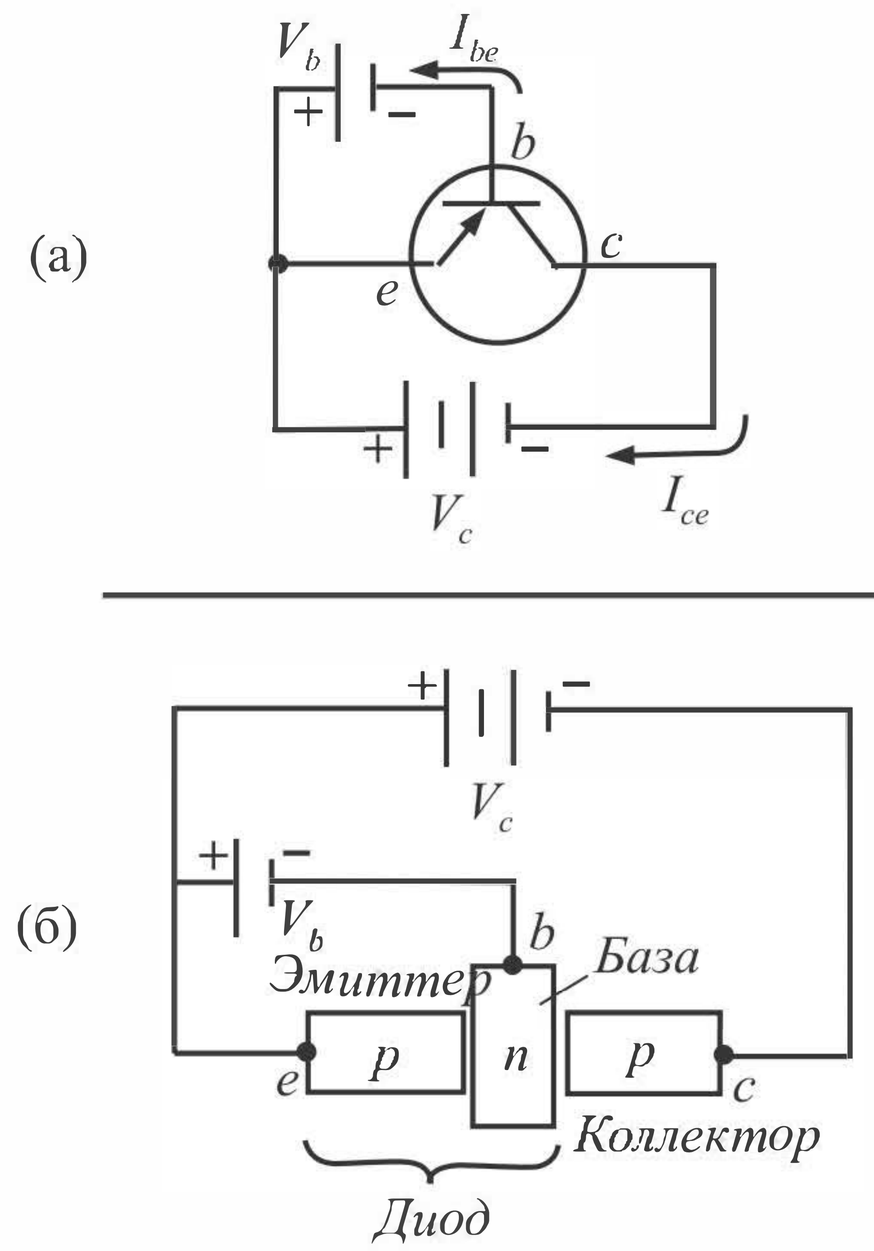


Рис. 28-18. *а* — общепринятое схематическое представление транзистора; *б* — схема соединения полупроводников *n*- и *p*-типов; *в* — изменение потенциала внутри транзистора; если напряжение V_b отсутствует, то контактная разность потенциалов между базой и эмиттером равна V_0

В типичных транзисторах, имеющих $\beta = 100$, небольшой входной ток в цепи базы позволяет управлять в 100 раз большим выходным током в цепи коллектора. Следовательно, транзисторы можно использовать для усиления, т. е. для преобразования малых сигналов в большие.

Например, ток I_{be} на рис. 28-18 может представлять собой слабый ток в антенне радиоприемника. В этом случае ток I_{ce} должен повторять изменения во времени тока I_{be}, но быть в 100 раз больше. Следует заметить, что *n*-*p*-*n*-транзисторы имеют те же характеристики, что и *p*-*n*-*p*-транзисторы, но они отличаются тем, что в случае с *n*-*p*-*n*-транзисторами основными носителями зарядов являются электроны, а не дырки.

Интегральные схемы

Появление множества недорогих твердотельных приборов привело к перевороту в области электроники. Разработка же интегральных схем произвела в этой области вторую революцию. Мы бы ушли в сторону, если бы увлеклись обсуждением множества остроумных и сложных диодов и триодов. Однако идея построения интегральных схем настолько интересна, что ее стоит рассмотреть. Даже для электронных микрокалькуляторов требуются тысячи транзисторов, соединенных в сложные схемы. Однако все эти транзисторы вместе с их многочисленными электрическими цепями и соединениями умещаются на тонкой плате площадью около 1 см^2. В сверхбольших интегральных схемах около 20 000 твердотельных элементов размещаются на площади примерно 0,4 см^2, что уже соизмеримо с плотностью числа нейронов в человеческом мозге.

Соединительные «провода» настолько малы, что их можно увидеть только в микроскоп. Тонкие слои кристалла наносятся на плату с помощью оптических масок (схема уменьшается фотоспособом и проецируется на светочувствительную маску). Производство интегральных схем обходится на несколько порядков дешевле, чем производство вытесненных ими вакуумных приборов. При этом соответственно улучшаются такие характеристики, как вес, габариты, надежность и потребляемая мощность.

Множество твердотельных устройств (помимо транзисторов) нашло ценное практическое применение; в их числе туннельные диоды, кремниевые выпрямители, стабилитроны (диоды Зенера), полевые транзисторы, твердотельные лазеры, термоэлектрические и другие устройства.

Дополнение редактора к § 5

В § 5 весьма обстоятельно излагается обычная теория как собственных полупроводников, так и примесных полупроводников *n*- и *p*-типов. Разумеется, не обойден вниманием и пограничный *p*-*n*-слой, рассматриваемый как протяженная граница между областями соответствующей проводимости (как правило, полученных легированием одной и той же матрицы). Тем самым рассмотрены лишь так называемые гомеопереходы в полупроводниковых материалах, позволяющие объяснить механизмы действия таких полупроводниковых приборов, как фото- и светодиоды, термисторы, а также солнечные батареи и биполярные и полевые транзисторы.

В настоящее время следует также упомянуть о возможности гетеропереходов в полупроводниках, когда слои различного типа проводимости формируются на различных матрицах или подложках. Использование таких переходов в значительной степени расширяет диапазон возможных применений таких материалов в качестве элементов полупроводниковых устройств и приборов. При этом полупроводники могут обладать как одинаковым типом проводимости (изотипные), так и различными типами (анизотипные). Основным инструментом их анализа остаются уже знакомые читателю (но существенно более разнообразные) зонные диаграммы типа изображенной на рис. 28-14.

Существенно, что в случаях с гетеропереходами возникают механизмы протекания тока, дополняющие обычный механизм *p*-*n*-перехода (например, туннельный и термоинжекционный). Это придает гетеропереходам широкие дополнительные возможности управления потоками носителей заряда в полупроводниках на основе так называемых гетероструктур.

Основным достоинством гетероструктур при взаимодействии с излучением является возможность его ввода и вывода практически без поглощения (и, следовательно, без потерь мощности). Имеется также ряд других конструктивных преимуществ гетероструктур (например, быстродействие, мощность и т. п.), в том числе их чрезвычайная гибкость относительно способов изготовления. Это позволяет варьировать в широком диапазоне ширину запрещенной зоны, а вместе с ней и взаимодействие с внешним излучением практически во всем оптическом диапазоне.

Широкие возможности гетеропереходов подробно изучены и воплощены в электронных приборах нового поколения в основном в России в работах петербургской школы физиков под руководством Ж. И. Алферова — академика Российской академии наук, лауреата Нобелевской премии по физике 2005 года. В частности, ими создан гетеролазер в широком спектральном диапазоне и гетеросветодиоды, в том числе ИК-диоды для волоконных линий связи в информационных технологиях.

§ 6. Сверхтекучесть

Сверхтекучесть жидкого гелия — это еще одно необычное квантово-механическое явление, имеющее место при температуре, близкой к абсолютному нулю.

Если газообразный гелий охлаждать, то при температуре 4,2 К он сжижается. Дальнейшее охлаждение уже жидкого гелия приводит к тому, что при температуре 2,2 К его свойства резко меняются*. При этом происходят макроскопические явления, существенно выходящие за рамки обычных представлений. Например, сосуд, частично заполненный этой странной модификацией жидкого гелия (называемой сверхтекучим гелием II) и оставленный незакрытым, вскоре опорожняется сам собой. Объясняется это тем, что жидкий гелий поднимается по внутренней стенке сосуда (независимо от ее высоты) и переливается наружу. По той же причине может происходить и обратное явление (рис. 28-19). Если пустой стакан частично погрузить в жидкий гелий, то он быстро заполнится гелием до того же уровня, что и уровень жидкости снаружи. Если далее понижать температуру (ниже 2,2 К), то количество сверхтекучей компоненты увеличивается. При абсолютном нуле должна остаться лишь сверхтекучая компонента.



Рис. 28-19. Стрелками показана поверхностная пленка жидкого гелия II, перетекающая в пустой сосуд. Поверхность действует как сифон

Другим необычным свойством чистой сверхтекучей жидкости является то, что она не передает усилия на другие тела. Бьющий из брандспойта под большим давлением поток такой жидкости не смог бы опрокинуть даже поставленную на ребро монету. Жидкость свободно обтекала бы монету, не оказывая на нее никакого давления. Сверхтекучая компонента жидкого гелия имеет нулевую вязкость. Но почему все-таки вязкость равна нулю? Как и сверхпроводимость, необычные свойства жидкого гелия интенсивно изучались, причем удалось достичь значительных успехов в теоретическом объяснении сверхтекучести. Атомы гелия не подчиняются принципу Паули, так как их спин равен нулю*. Частицы с нулевым спином могут находиться в одном и том же состоянии в любом количестве; эти частицы подчиняются так называемой статистике Бозе—Эйнштейна. Все атомы сверхтекучего гелия находятся в основном состоянии. Чтобы такая жидкость имела отличную от нуля вязкость, ее атомы должны совершать переходы в состояния с более высокой энергией, а энергии для этого у них нет.

§ 7. Проникновение сквозь барьер

Термоэлектронная эмиссия

Если к металлу приложить электрическое поле, которое стремится вырвать электроны из металла, то появляется устойчивый ток электронов, покидающих металл. Потенциальная энергия, обусловленная постоянным электрическим полем E, равна $U = -eEx$. На рис. 28-20, *а* приведен результирующий потенциал, в котором движется электрон проводимости. Можно видеть, что избежать «заточения» в металле могут лишь те немногочислен-

---

* Это относится к изотопу гелий-4 (^{4}He). Гелий-3 ведет себя как обычная жидкость. — *Прим. перев.*

* Это относится только к изотопу ^{4}He, тогда как спин атома ^{3}He равен 1/2. То, что атомы ^{3}He и ^{4}He подчиняются разным статистикам, проявляется в коренном различии их свойств при низких температурах. — *Прим. перев.*

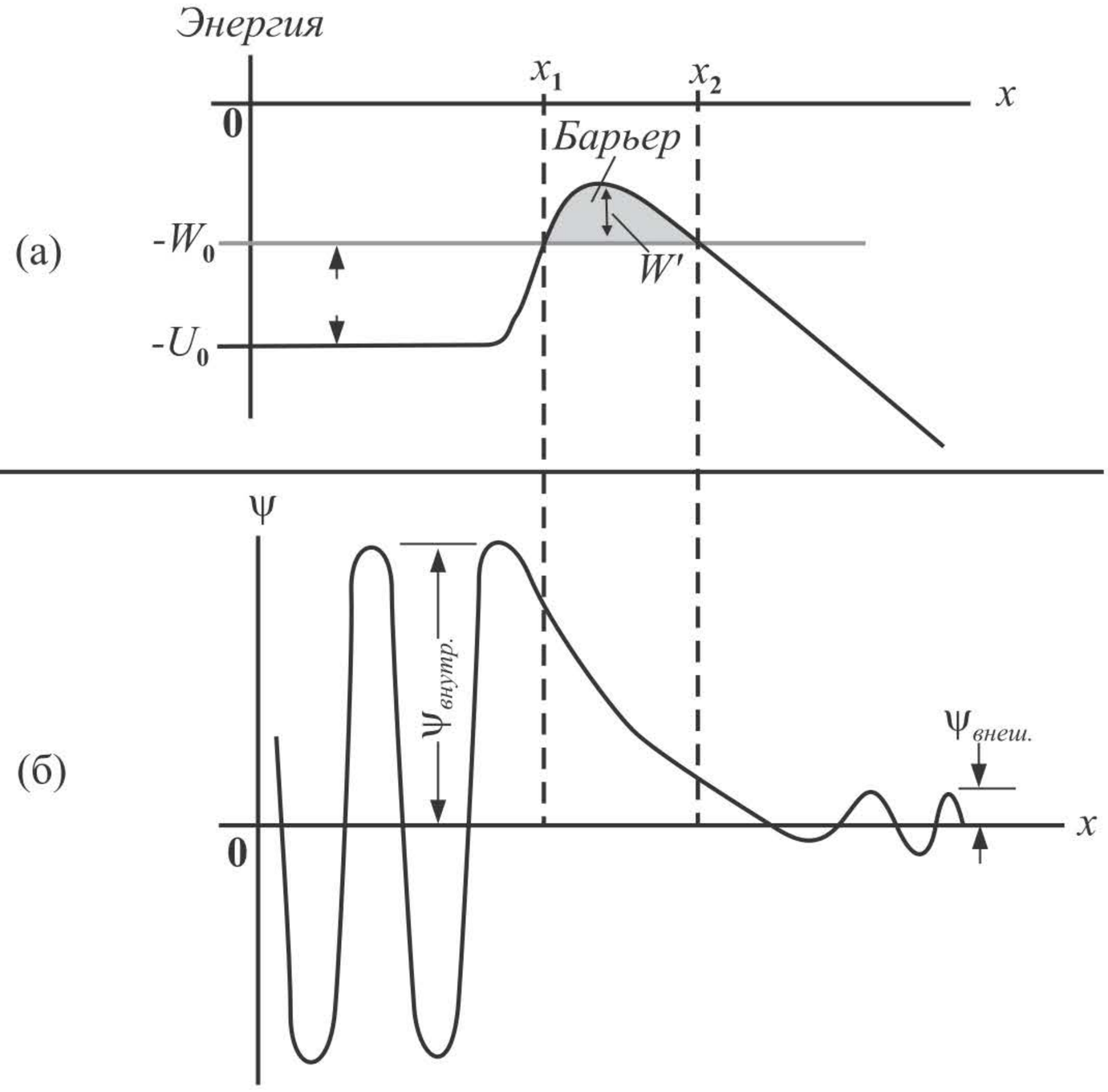


Рис. 28-20. *а* — та же диаграмма потенциальной энергии, что и на рис. 28-4, но при наличии внешнего электрического поля; *б* — волновая функция электрона, находящегося внутри ямы на уровне Ферми

ные электроны, энергия теплового движения которых превышает W'. Это явление называется термоэлектронной эмиссией. Можно ожидать, что небольшое увеличение температуры приведет к значительному возрастанию эмиссии электронов, так как вероятность того, что тепловая энергия электрона равна W', пропорциональна $\exp(-W'/kT)$. Вот почему специально подогревают катоды электронных ламп. Однако даже если катоды охладить до абсолютного нуля, электроны все равно будут испускаться! Но это совершенно иное явление; мы его рассмотрим в следующем разделе.

Автоэлектронная эмиссия

Установлено, что слабый электронный ток продолжает течь с катода даже при очень низких температурах, когда отсутствуют электроны с тепловыми энергиями, достигающими W'. Это явление называется автоэлектронной эмиссией и представляет собой важное следствие квантовой механики, ниспровергающее классические представления. Оно представляет собой квантово-механическое свойство проникать сквозь потенциальный барьер. Впервые с проникновением сквозь барьер мы столкнулись при изучении прямоугольной потенциальной ямы со стенками конечной высоты в гл. 25. Оказалось, что в запрещенную с точки зрения классической физики область волновая функция проникает, уменьшаясь по мере распространения по экспоненциальному закону. В рассматриваемом случае мы имеем дело с потенциальным барьером высотой W' (рис. 28-20).

Согласно классической физике, электрон, кинетическая энергия которого равна K_f внутри металла, в точке x_1 должен иметь нулевую кинетическую энергию. Благодаря тому что со стороны атомов металла на электрон действуют силы при-

тяжения, он возвратится из этой точки на прежнее место. Классическая физика запрещает электронам проникать даже на небольшие расстояния внутрь барьера. В области между точками x_1 и x_2 кинетическая энергия электронов оказалась бы отрицательной, что недопустимо с точки зрения классической физики. Однако из уравнения Шредингера следует, что электронная волна существует и в этой области. Как видно из рис. 28-20, *б*, она должна изгибаться в направлении к оси x. Заметим, что с некоторой вероятностью электрон можно обнаружить и вне металла. Согласно квантовой механике, вероятность проникновения сквозь барьер при каждом столкновении с ним данного электрона должна составлять $\psi^2_{\text{внеш.}}/\psi^2_{\text{внутр.}}$. Классическим примером потенциального барьера мог бы служить маленький стеклянный шарик, катающийся внутри чаши. Если шарик выпустить у края чаши, то он будет кататься туда-сюда и никогда не выберется из нее. Однако, согласно представлениям квантовой механики, имеется, хотя и очень небольшая, вероятность [порядка одного шанса на $10^{(10^{29})}$] того, что шарик исчезнет из чаши.

На самом деле пример проникновения сквозь потенциальный барьер можно найти и в классической физике. Поскольку уравнение Шредингера и уравнения для световых волн или волн в жидкости имеют один и тот же вид, можно ожидать, что проникновение через барьер вполне возможно в оптике. Поверхность стеклянной пластины представляет собой барьер для света, пытающегося выйти из нее наружу. Если свет падает на поверхность под углом больше критического (такие углы запрещены законом Снелла), то свет не сможет пройти сквозь барьер и, следовательно, полностью отразится назад в стекло (рис. 28-21, *а*). Однако если вблизи этой пластинки поместить другой кусок стекла (на расстоянии одной или двух длин волн, как показано на рис. 28-21, *б*), то часть света преодолеет барьер и станет распространяться во второй стеклянной пластинке. На рис. 28-22 показано аналогичное явление, наблюдаемое при возбуждении волн в ванне с вибратором.

Основные выводы

В кристаллах с ковалентной связью облака валентных электронов имеют форму «лепестков», связывающих соседние ядра. В случае с металлической связью не имеется такой локализации электронных облаков — волновые функции валентных

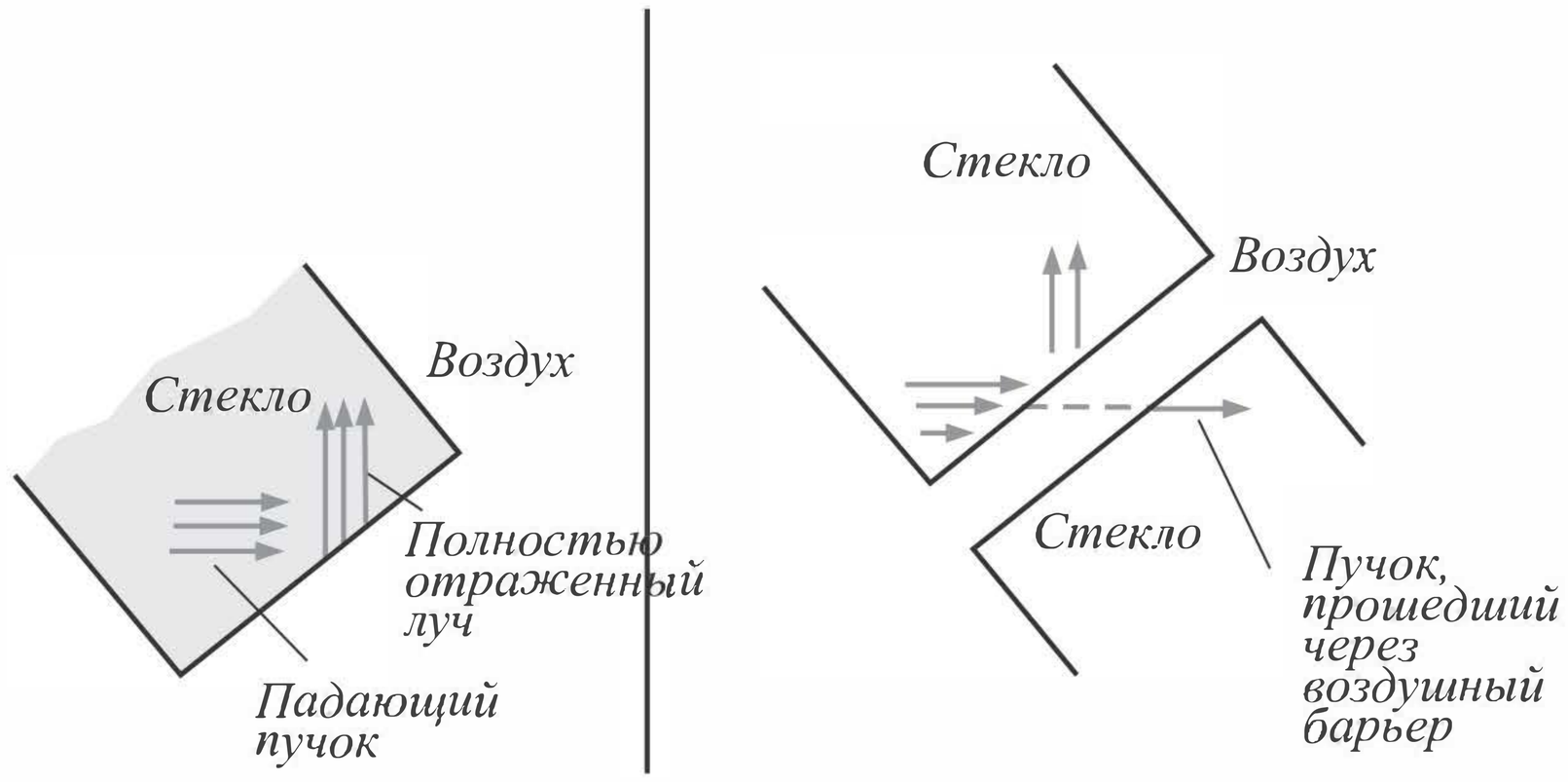


Рис. 28-21. Проникновение света сквозь барьер. При помещении второй стеклянной пластинки рядом с первой часть света может проникнуть из первой пластинки во вторую

электронов как бы расплываются по всему металлу. Максимальная кинетическая энергия электронов проводимости дается выражением

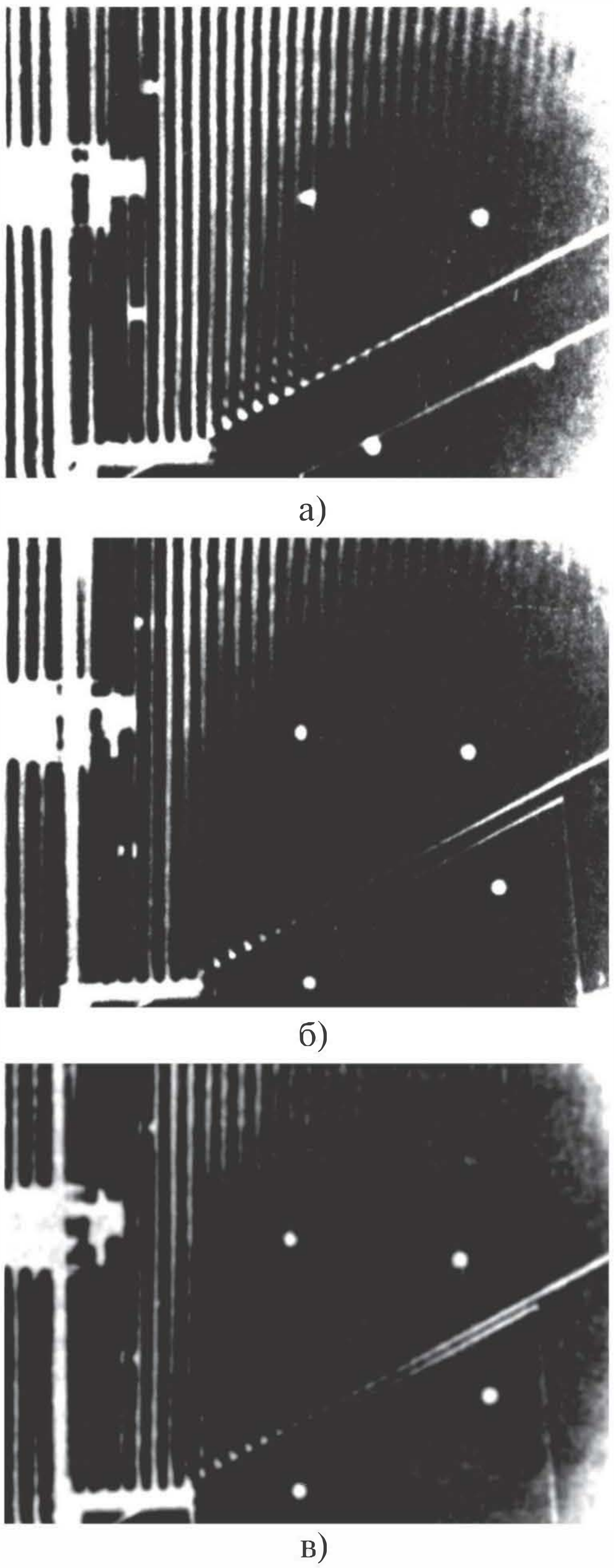
$$K_f = \frac{h^2}{8m}\left(\frac{3}{\pi}\mathfrak{N}\right)^{2/3},$$

где $\mathfrak{N}$ — число атомов в единице объема. Величина K_f называется граничной энергией Ферми. Электроны проводимости находятся в потенциальной яме, средняя глубина которой равна U_0. Работа выхода $W_0 = |U_0| - K_f$.

Если два различных металла привести в соприкосновение друг с другом, то возникнет кратковременный ток небольшой величины, выравнивающий уровни Ферми. При этом образуется контактная разность потенциалов, которая по величине равна разности работ выхода этих металлов.

Величина электропроводности пропорциональна средней длине свободного пробега электронов проводимости между столкновениями. С понижением температуры средняя длина свободного пробега увеличивается и у некоторых проводников (называемых сверхпроводниками) становится бесконечно большой, прежде чем температура достигнет абсолютного нуля.

Если имеется цепочка из n одинаковых атомов, расположенных через равные промежутки, то энергетический уровень отдельного атома расщепляется и образует зону из n близко расположенных энергетических уровней. В случае с металлической связью зона, отвечающая основному состоянию валентных электронов, либо не полностью заполнена, либо перекрывается незаполненной зоной, отвечающей уровню с более высокой энергией.



а)

б)

в)

Рис. 28-22. Иллюстрация того, как волны проникают сквозь барьер в ванне с вибратором. *а* — волны испытывают полное отражение от щели в воде; *б* и *в* — по мере того как щель сужается, образуется прошедшая волна, интенсивность которой возрастает с уменьшением щели. [С любезного разрешения Центра по развитию образования.]

Валентная зона полупроводников заполнена полностью и отделена запрещенной зоной (энергетической щелью) от следующей незаполненной зоны (называемой зоной проводимости). Число термически возбужденных валентных электронов, попадающих в зону проводимости, пропорционально $\exp(-E_\Delta/kT)$. Легирование полупроводника приводит к тому, что в нем могут образовываться избыточные либо электроны проводимости (полупроводник n-типа), либо дырки (полупроводник p-типа). При создании контакта между полупроводниками p- и n-типа образуется p-n-переход. Если к этому переходу приложить внешнее напряжение V, то через переход будет протекать ток $I_0[\exp(eV/kT) - 1]$.

Прибор, называемый p-n-p-транзистором, можно рассматривать как p-n-переход (эмиттер-база) с коллектором p-типа, присоединенным к базе. В этом случае малый ток в цепи базы I_b позволяет управлять большим током коллектора I_c. При этом коэффициент усиления по току $\beta = I_c/I_b$ может достигать ~100.

Электроны проводимости можно извлекать с поверхности холодного металла, приложив сильное электрическое поле. Это явление называется автоэлектронной эмиссией, и его можно объяснить проникновением сквозь потенциальный барьер, при котором волновая функция экспоненциально затухает внутри барьера.

Приложение. Различные применения p-n-перехода (в радио и телевидении)*

Неотъемлемой частью любого радио- или телевизионного устройства является диодный детектор. Обычный диодный детектор представляет собой последовательное соединение резистора R и диода на p-n-переходе (рис. 28-23). В § 5 мы показали, что сопротивление диода сильно зависит от знака приложенной к нему разности потенциалов: в одном направлении сопротивление почти равно нулю, а в другом очень велико. Любой элемент схемы, обладающий этим свойством, называется диодом. Из рис. 28-23 следует, что если в цепи диода с резистором приложить напряжение в прямом направлении, то диод по существу эквивалентен короткозамкнутому участку цепи, и на резисторе R возникает положительное

* Нижеследующий текст дает лишь самое элементарное представление о некоторых принципиально важных устройствах, имеющих ныне значительно более сложное и совершенное конструктивное воплощение. — *Прим. ред.*

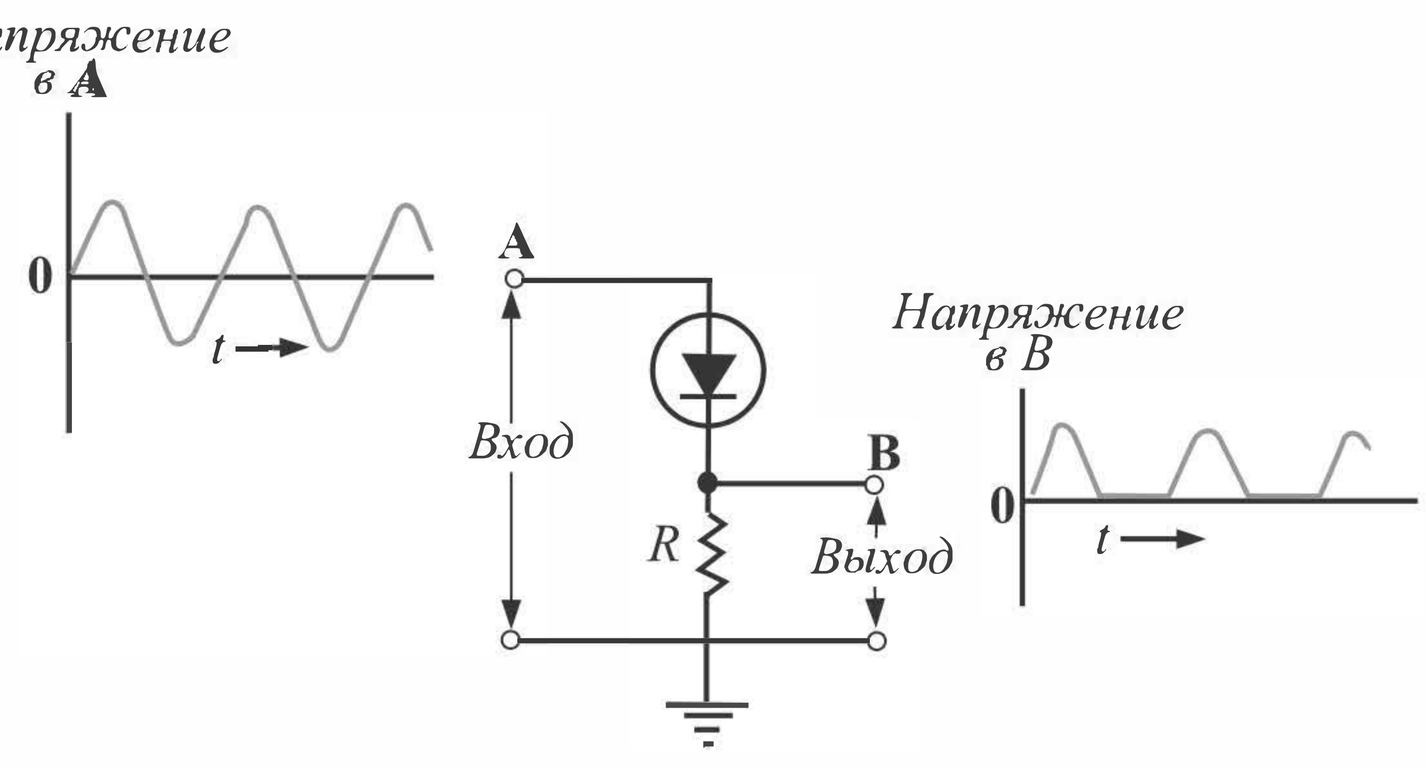


Рис. 28-23. Диодный выпрямитель. К входной клемме A приложено переменное напряжение. На выходной клемме B все отрицательные полупериоды напряжения «обрезаны»

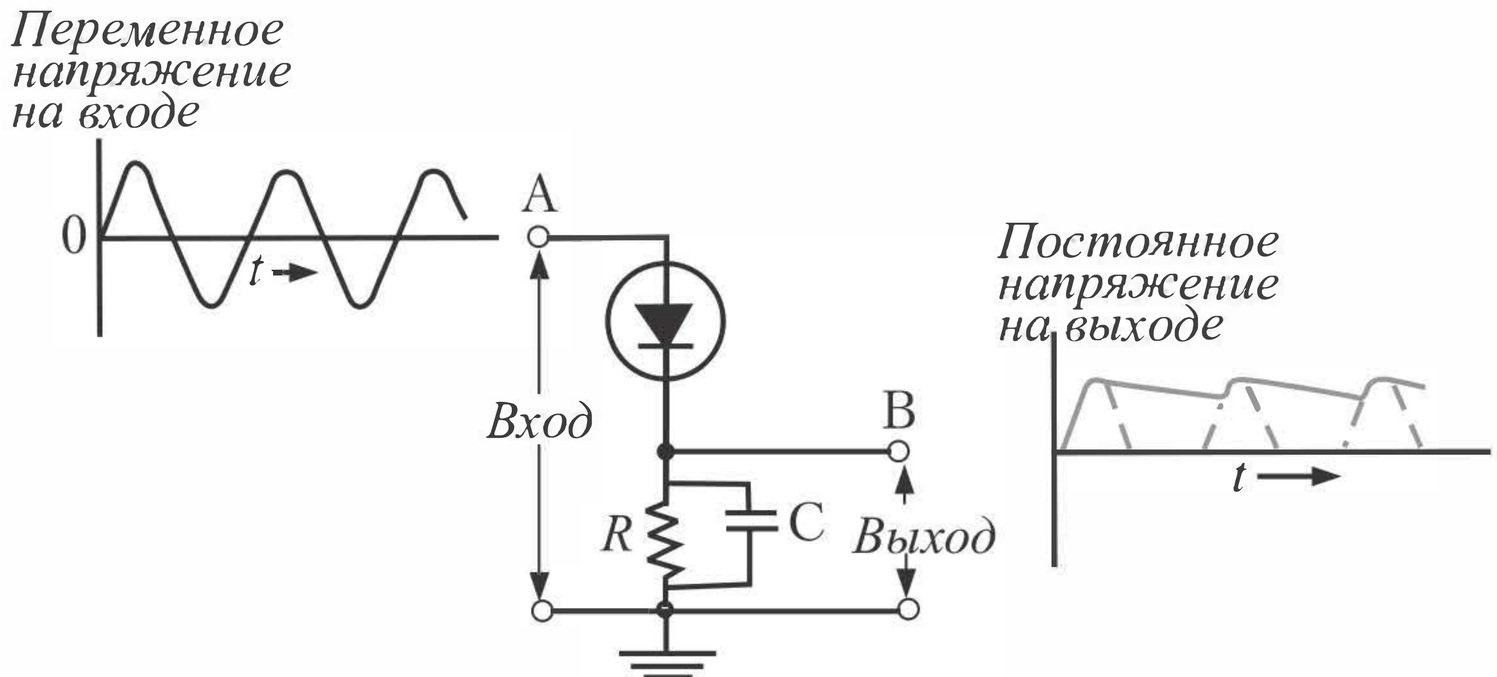


Рис. 28-24. Диодный выпрямитель при наличии конденсатора *C*. В отсутствие конденсатора выходное напряжение имело бы вид, показанный штриховой линией

напряжение. Если же прикладывается отрицательное напряжение, то сопротивление диода оказывается много больше *R* и большая часть отрицательного напряжения падает не на резисторе, а на диоде.

Заметим, что, хотя напряжение на клемме *A* отрицательно на протяжении полупериода, на клемме *B* оно никогда не бывает отрицательным, и его можно использовать для зарядки конденсатора. Такая схема называется диодным выпрямителем (рис. 28-24); с помощью диодного выпрямителя напряжение переменного тока можно преобразовывать в постоянное напряжение. Во всех действующих радио- и телеустройствах имеются диодные выпрямители, преобразующие переменный ток в постоянный.

Радио

Радиостанция с амплитудной модуляцией сигнала АМ излучает электромагнитные волны постоянной частоты, лежащей в радиовещательном диапазоне. Частоты радиовещательного диапазона изменяются от 0,5 до 1,6 МГц. Амплитуда электромагнитной волны модулируется передаваемым звуковым сигналом. В качестве примера на рис. 28-25 изображена электромагнитная волна, промодулированная чистым музыкальным тоном на частоте 1000 Гц. В радиоприемнике этот слабый сигнал улавливается антенной,

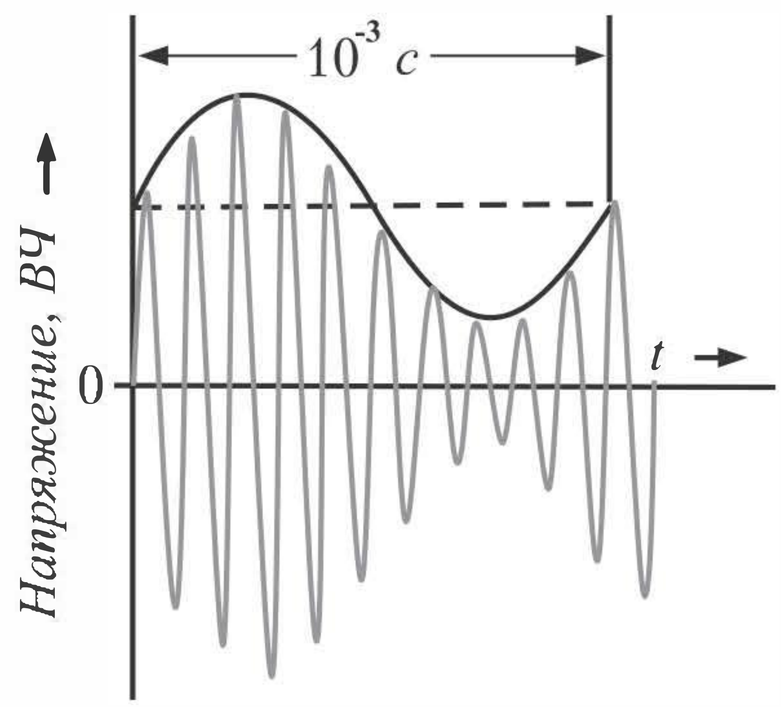


Рис. 28-25. Зависимость радиочастотного напряжения (кривая зеленого цвета) от времени. Радиочастотная (или высокочастотная) электромагнитная волна промодулирована по амплитуде чисто синусоидальной волной (кривая белого цвета) с частотой 1000 Гц (звуковая волна). Для наглядности частота несущей волны на рисунке значительно уменьшена

усиливается высокочастотным усилителем (УВЧ), а затем подается на диодный детектор, где происходит демодуляция, или детектирование, сигнала. Напряжение на выходе диодного детектора повторяет первоначальный звуковой сигнал с частотой 1000 Гц, как показано на рис. 28-26. Этот звуковой сигнал усиливается усилителем низкой частоты (УНЧ) и подается на динамик. На рис. 28-27 приведена блок-схема радиоприемника с АМ. [Заметим, что в радиотехнике применяются также частотная (ЧМ) и фазовая (ФМ) модуляция. — *Прим. ред.*]

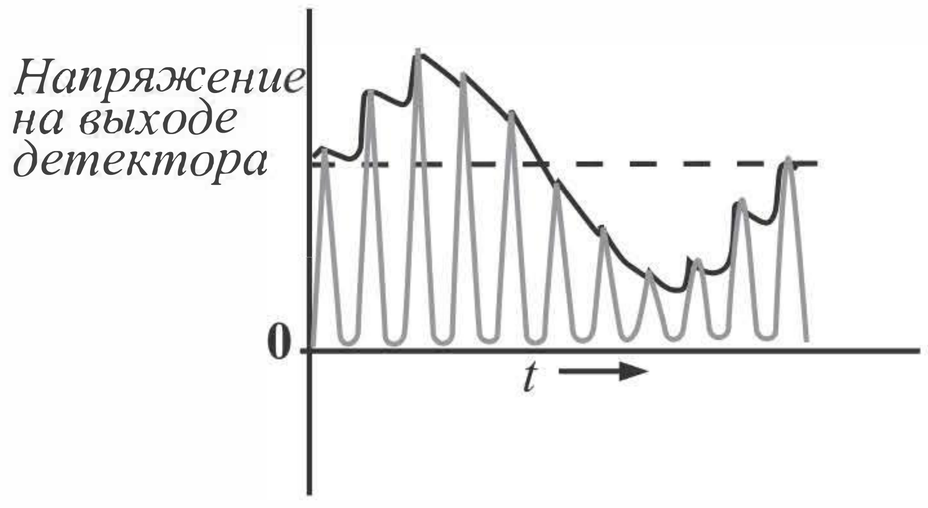


Рис. 28-26. Напряжение, снимаемое с диодного детектора (кривая белого цвета). Заметим, что выходное напряжение повторяет первоначальный звуковой сигнал с небольшими высокочастотными пульсациями. Кривая зеленого цвета — высокочастотный сигнал с отсеченными отрицательными полупериодами

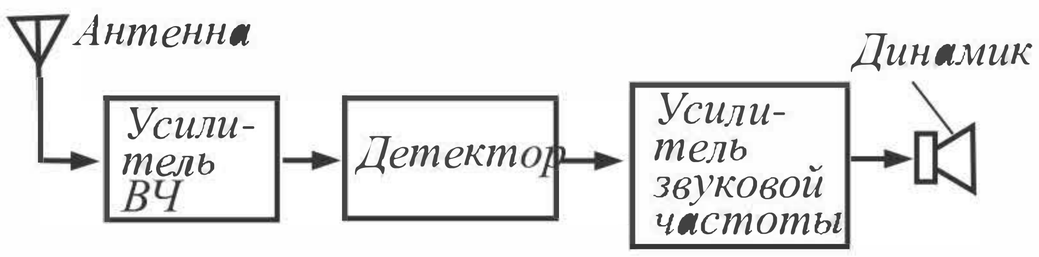


Рис. 28-27. Блок-схема радиоприемника с АМ

Телевидение

В телевидении видеосигнал также представляет собой высокочастотные колебания, промодулированные по амплитуде. Поэтому телевизионный приемник очень похож на радиоприемник, с той лишь разницей, что видеосигнал используется для управления интенсивностью электронного пучка, который падает на экран телевизионной трубки (кинескопа). Напряжение выходного видеосигнала прямо пропорционально яркости передаваемого изображения. В интервалы времени между двумя последовательными строками развертки видеосигнал содержит импульсы, запускающие генератор развертки, который выдает следующую строку. На рис. 28-28, *а* показана последовательность передачи изображения буквы «N», а соответствующий видеосигнал — на рис. 28-28, *б*. Блок-схема телевизионного приемника, включая блоки развертки, приведена на рис. 28-29. Коммерческое телевидение в США работает на 525 строках при 30 кадрах в секунду. (В СССР, Франции и ряде других стран принят иной стандарт — 625 строк и 24 кадра в секунду. — *Прим. перев.*)

Упражнения

1. Глубина потенциальной ямы металла составляет 11 эВ, а работа выхода 4 эВ.
   а) Найдите полную энергию электронов на уровне Ферми.

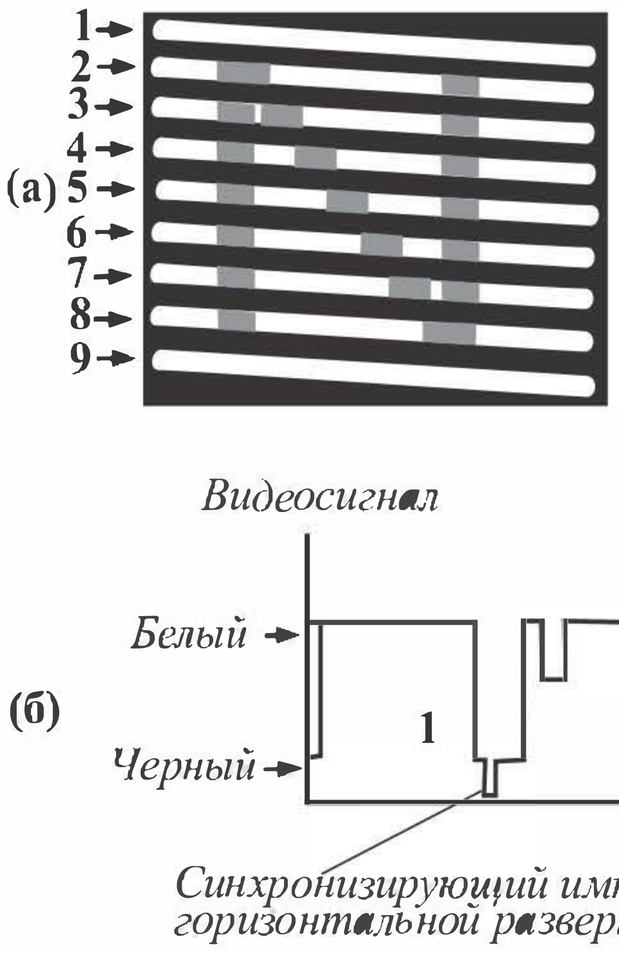


Рис. 28-28. Передача изображения буквы N с помощью видеосигнала при использовании девяти строк развертки. *а* — изображение на экране кинескопа; *б* — форма соответствующего видеосигнала, управляющего интенсивностью электронного пучка

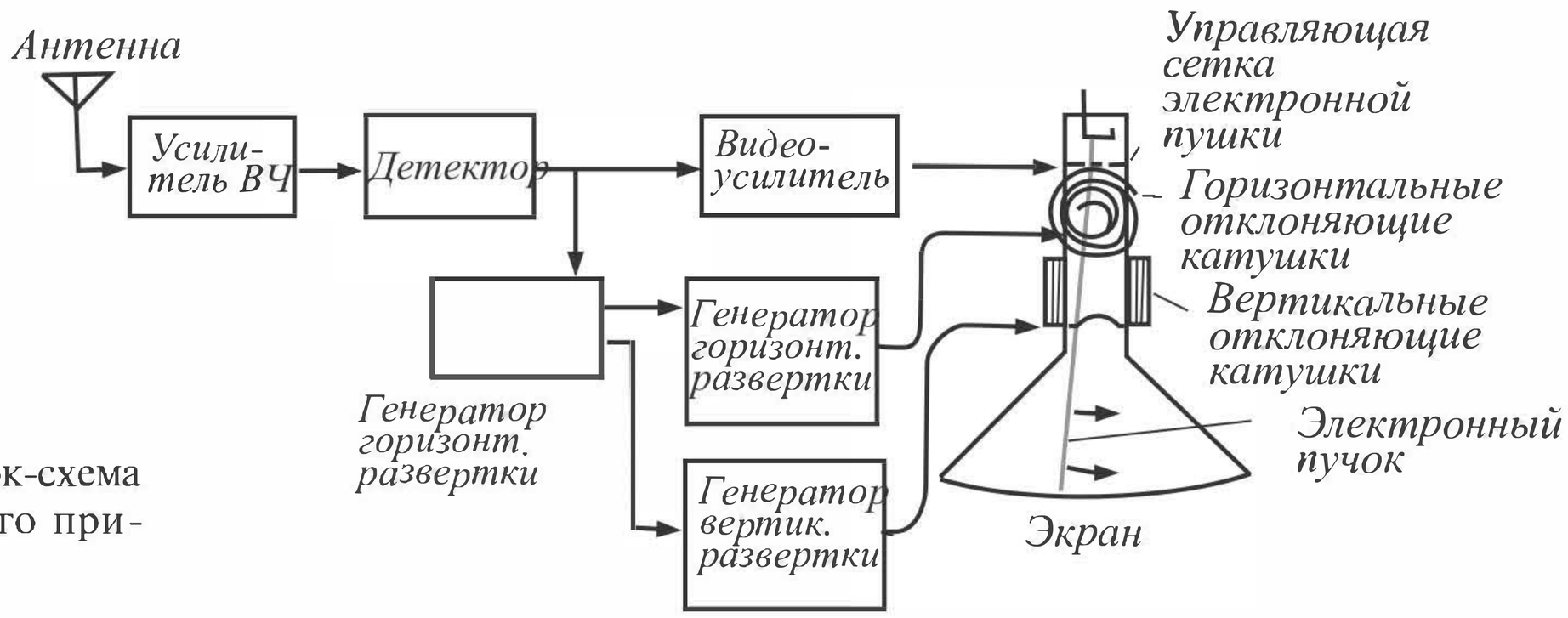


Рис. 28-29. Блок-схема телевизионного приемника

б) Насколько увеличивается кинетическая энергия электрона при его проникновении в металл?

2. Сколько электронов проводимости приходится на 1 грамм натрия? Сколько электронов проводимости в 1 грамме германия, легированного мышьяком в пропорции три части мышьяка на миллион частей германия?

3. Электрон с кинетической энергией 3 эВ попадает в металл; при этом его кинетическая энергия увеличивается до 8 эВ. Какова глубина потенциальной ямы?

4. Если значения работы выхода двух металлов равны соответственно 2,8 эВ и 3,2 эВ, то какая контактная разность потенциалов возникает, когда эти металлы приводятся в соприкосновение друг с другом? Какой из этих металлов будет иметь более высокий потенциал?

5. Металл А имеет $U_0 = 4$ эВ и $K_f = 3$ эВ, а металл В — $U_0 = 3{,}5$ эВ и $K_f = 2$ эВ. Какова контактная разность потенциалов, когда эти металлы приводятся в соприкосновение друг с другом? Какой из этих металлов будет иметь более высокий потенциал?

6. Интенсивность солнечного излучения на поверхности Земли равна 2 кл·мин$^{-1}$·см$^{-2}$. Какой должна быть площадь солнечной батареи с КПД = 15 %, чтобы создать ток мощностью 100 Вт?

7. Рассмотрим воображаемый металл А. При поглощении металлом фотонов с энергией 7 эВ испускаются фотоэлектроны с энергией 3 эВ. Плотность электронов проводимости такова, что внутри металла они имеют кинетические энергии вплоть до 5 эВ.
Найдите
а) положение уровня Ферми;
б) работу выхода;
в) глубину потенциальной ямы;
г) кинетическую энергию, которую теряет электрон, вылетая с поверхности металла;
д) порог фотоэффекта в эВ.

8. Сосуд диаметром 1 см содержит гелий II, причем высота столба жидкости равна 5 см. Через сколько времени после удаления крышки вытечет вся жидкость? Скорость вытекания 50 см/с, толщина пленки 10^{-5} см.

9. В некотором металле потенциал сил притяжения электронов равен U_0. Вне металла длина волны электрона равна 10 Å, а в металле она уменьшается до 4 Å. Каково значение U_0 в электронвольтах?

10. Повторите решение в примере 5 в случае германия.

11. Повторите решение в примере 6 в случае, когда напряжение равно 1 В.

12. Повторите решение в примере 6 для температуры 100 °С.

13. Какой должна быть ширина запрещенной зоны полупроводника, из которого изготовлен светодиод, светящийся зеленым светом ($\lambda = 500$ нм)?

14. Считая, что мозг человека содержит 10^{10} нейронов, определите приближенную площадь интегральной схемы, в которой плотность размещения твердотельных

элементов соизмерима с плотностью нейронов в мозге.

15. Чему равна частота горизонтальной развертки в американском телевидении?

Задачи

16. Если в кристаллической решетке атом удерживается силой, пропорциональной его смещению, то по какому закону будет увеличиваться среднее смещение с температурой? Считая коэффициент упругости равным $\varkappa$, найдите выражение для среднеквадратичного смещения атома через $\varkappa$, T и другие необходимые величины.

17. Вычислите плотность состояний ρ в фазовом пространстве (элемент этого пространства записывается в виде $dxdydzdp_x dp_y dp_z$). Величина ρ определяется формулой $dn = \rho dxdydzdp_x dp_y dp_z$. (*Указание:*

$$\int_0^{p_f} dp_x dp_y dp_z = \int_0^{p_f} 4\pi p^2 dp = (4/3)\pi p_f^3.)$$

18. Если для свободных электронов в белом карлике справедливо соотношение $p_f = mc$, то чему равно отношение $\bar{K}/K_f$? Здесь следует воспользоваться точным выражением для кинетической энергии $K = \sqrt{c^2 p^2 + m^2 c^4} - mc^2$.

19. Используя рис. 28-11, найдите, при каком расстоянии между атомами натрий становится проводником. Чему равна соответствующая плотность в г/см^3?

20. Масса Солнца $2{,}0 \cdot 10^{30}$ кг. Допустим, что оно неожиданно сжалось в сферу диаметром 5 км, имеющую однородную плотность.

а) Считая число протонов, нейтронов и электронов одинаковым, определите максимальную кинетическую энергию электрона и нейтрона в электронвольтах. Чему равна полная кинетическая энергия всех частиц в джоулях?

б) Чему будет равна полная кинетическая энергия, если протоны и электроны превратятся в нейтроны?

21. В литии работа выхода равна 2,36 эВ, а плотностьлития 0,534 г/см^3. Вычислите U_0.

22. Если бы величина U_0 на рис. 28-9, *а* оказалась бесконечно большой, то чему были бы равны E_1 и E_2, записанные через $\hbar^2/mx_0^2$? Сравните полученную величину со значением, приведенным на этом рисунке.

23. С помощью изложенного в гл. 25 метода определения уровней энергии найдите E_1 (рис. 28-9, *в*) в потенциальной яме конечных размеров.

24. Во сколько раз возрастет сопротивление цилиндра из чистого германия, если его температуру понизить с 300 до 30 К?

25. Какое количество примеси мышьяка потребуется для того, чтобы удвоить электропроводность легированного им германия? В чистом германии число электронов проводимости можно считать равным exp $(-E_\Delta/2kT)$.

26. Повторите решение в примере 4 для случая, когда цепочка составлена не из 100, а из 200 прямоугольных ям. Все остальные величины прежние. Чему будет равна энергия первого, пятидесятого, сотого и двухсотого энергетических уровней?

27. Предположим, что потенциальная энергия взаимодействия электрона с отрицательно заряженным шариком радиусом 10^{-4} см изменяется так, как показано ниже на рис. *а*. Волновая функция электрона внутри шарика приведена на рис. *б*. Найдите

а) длину волны электрона внутри шарика;

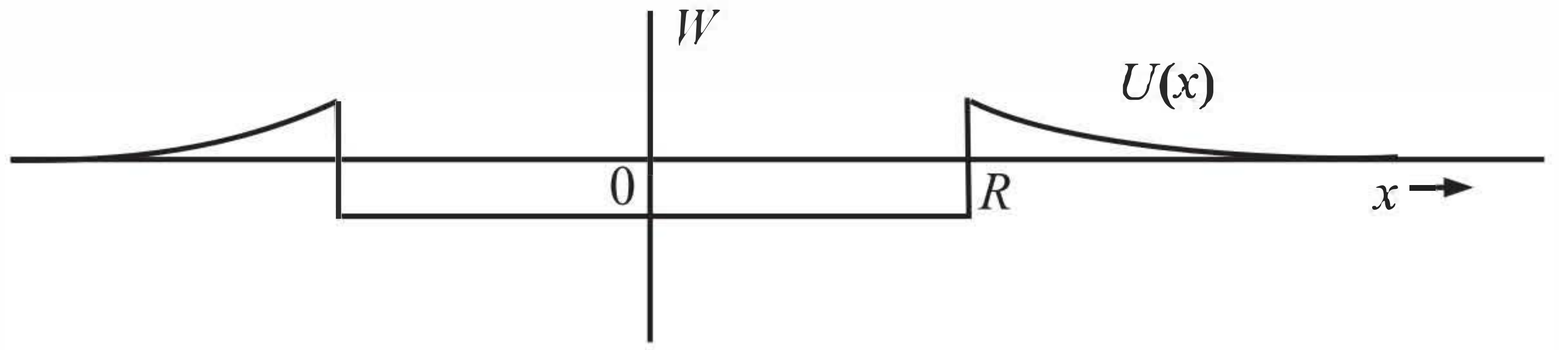
б) скорость электрона внутри шарика;

в) вероятность вылета электрона наружу при каждом соударении с поверхностью;

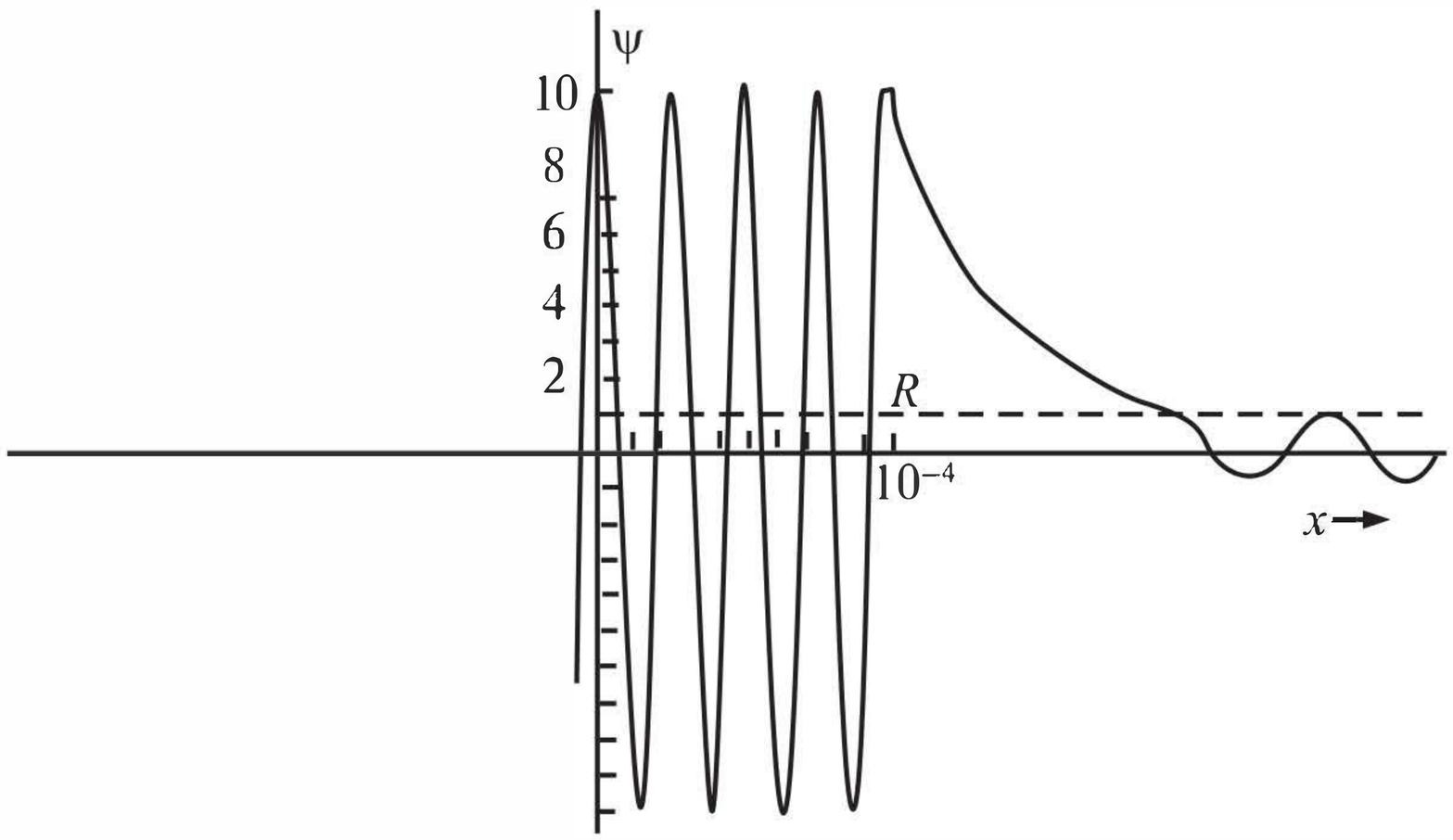
г) среднее время жизни электрона до вылета из шарика при отсутствии потерь энергии.

28. В небольшом холодном катоде 10^{18} электронов ежесекундно сталкиваются с поверхностью, ограничивающей область большого электрического поля. При прохождении через барьер волновая функция электрона ослабляется в 10^3 раз. Найдите величину тока автоэлектронной эмиссии в амперах.

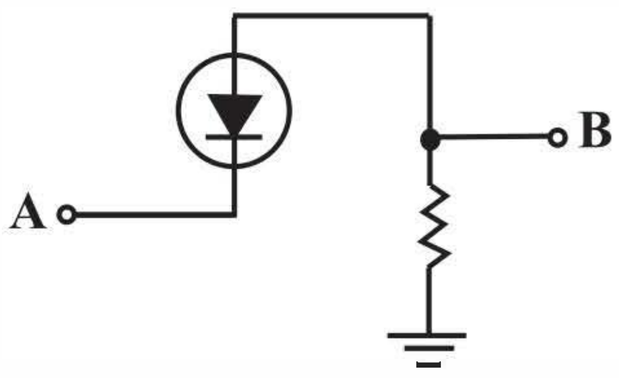
(а)



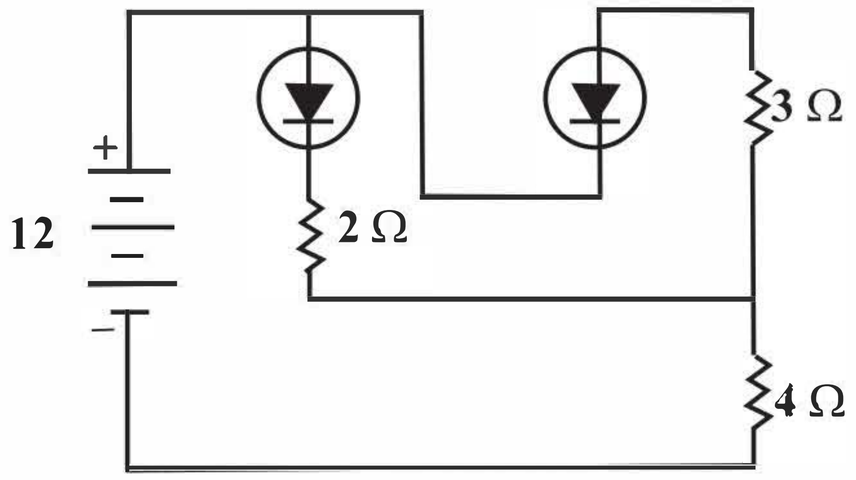
(б)



29. К точке *A* в схеме, показанной на рисунке, приложено переменное напряжение. Нарисуйте зависимость напряжения в точке *B* от времени.



30. Рассмотрим цепь, составленную из трех резисторов и двух идеальных диодов. Чему равны токи в резисторах сопротивлением 2, 3 и 4 Ом? Вычислите ток в резисторе сопротивлением 4 Ом, если полярность батареи поменяется на обратную.



31. Плотность состояний ферми-газа равна $\mathfrak{N} = (8/3)\pi\left(p_f^3/h^3\right)$. Найдите выражение для среднего импульса p через граничный импульс p_f.

32. Выведите формулу для K_f в двумерном пространстве. В этом случае $\mathfrak{N}$ представляет собой число частиц на единицу площади.

33. Повторите решение предыдущей задачи для ультрарелятивистских частиц.

29

Ядерная физика

Эта глава посвящена главным образом описанию свойств и строения атомных ядер. Мы рассмотрим также различные применения ядерных взаимодействий, такие как использование радиоизотопов, ядерные реакторы, работающие на реакциях деления и синтеза, а также ядерное оружие. Рассмотрение ядерной физики будет вестись по аналогии с атомной физикой. Обсудим сначала основной закон действия сил и попытаемся предсказать размеры, энергии связи, моменты импульсов, энергии уровней и другие характеристики различных ядер. Некоторые практические приложения ядерной физики связаны с мощной индустрией, в которую государствами вкладываются большие средства. Эти приложения имеют крайне важное значение для будущего человеческой цивилизации.

Терминология

Любое атомное ядро состоит из протонов и нейтронов, связанных между собой ядерными силами (сильным взаимодействием). Поскольку нейтроны и протоны имеют почти одну и ту же массу и весьма сходные свойства, их обычно называют нуклонами. Сложные ядра называют также нуклидами (термины «ядро» и «нуклид» равнозначны). Ядра (нуклиды), имеющие одинаковое число протонов, но различные числа нейтронов, называются изотопами. У легких и средних ядер число протонов и нейтронов называется массовым числом и обозначается символом A. Число нейтронов равно $A - Z$, где Z — атомный номер или число протонов в ядре. Величина A данного атомного ядра очень близка к атомной массе самого атома. Для обозначения конкретного ядра используется символ атома с указанием сверху массового числа. Например, ^{14}C — это изотоп углерода, ядро которого состоит из шести протонов и восьми нейтронов. Атомная масса ядра ^{12}C выбрана в точности равной 12. Таким образом, шкала атомных масс основана на массе ^{12}C.

§ 1. Размеры ядер

Наиболее прямым методом измерения размеров ядер и распределения в них массы, по-видимому, является метод, аналогичный оптическому, но при этом должны использоваться длины волн, значительно меньшие, чем размеры ядра. Этот метод, называемый дифракционным рассеянием, мы рассматривали в § 5 гл. 23. В качестве коротковолнового излучения можно применять пучки протонов или нейтронов высоких энергий. С помощью дифракционного рассеяния, а также других методов установлено, что у всех ядер, за исключением самых легких, средний радиус дается выражением

$$R \approx (1{,}2 \cdot 10^{-15}\ \text{м}) A^{1/3}. \qquad (29\text{-}1)$$

В ядерной физике и физике элементарных частиц столь часто встречается

единица длины 10^{-15} м (фемтометр), что ей дали специальное название — ферми. 1 ферми = 1 фм = 10^{-15} м. Дифракционное рассеяние позволяет получить сведения не только о размерах ядра, но и о распределении материи внутри него.

Пример 1. Чему равна массовая плотность и плотность числа частиц ядерного вещества?

Решение: В ядре объемом $(4/3)\pi R^3$ число нуклонов в единице объема, или концентрация,

$$\mathfrak{N} = \frac{A}{(4/3)\pi R^3} = \frac{A}{(4/3)\pi\left[\left(1{,}2\cdot 10^{-15}\ \text{м}\right)A^{1/3}\right]^3} = 1{,}38\cdot 10^{44}\ \text{м}^{-3}. \qquad (29\text{-}2)$$

Умножая это значение на массу нуклона, получаем массовую плотность

$$\rho = \mathfrak{N}M_p = \left(1{,}38\cdot 10^{44}\right)\left(1{,}67\cdot 10^{-27}\right) = 2{,}3\cdot 10^{17}\ \text{кг}/\text{м}^3.$$

Следовательно, один кубический сантиметр ядерного вещества имеет массу 230 млн т. Заметим, что плотность ядерного вещества не зависит от размеров ядра, поскольку объем ядра пропорционален массовому числу A.

Рассеяние электронов высоких энергий

Второй метод, позволяющий изучать распределение ядерного вещества, основан на использовании электронов высоких энергий. Поскольку сила, действующая на электрон при его прохождении через ядро, определяется зарядом ядра, то по рассеянию электронов на ядре можно изучить распределение электрического заряда или распределение протонов внутри ядра. На рис. 29-1 приведены распределения зарядов внутри ядер углерода и золота, измеренные этим методом. Покажем теперь, что если заряд сконцентрирован в центре ядра, то электроны будут отклоняться на большие углы, чем если бы этот же заряд был равномерно распределен по объему сферического ядра.

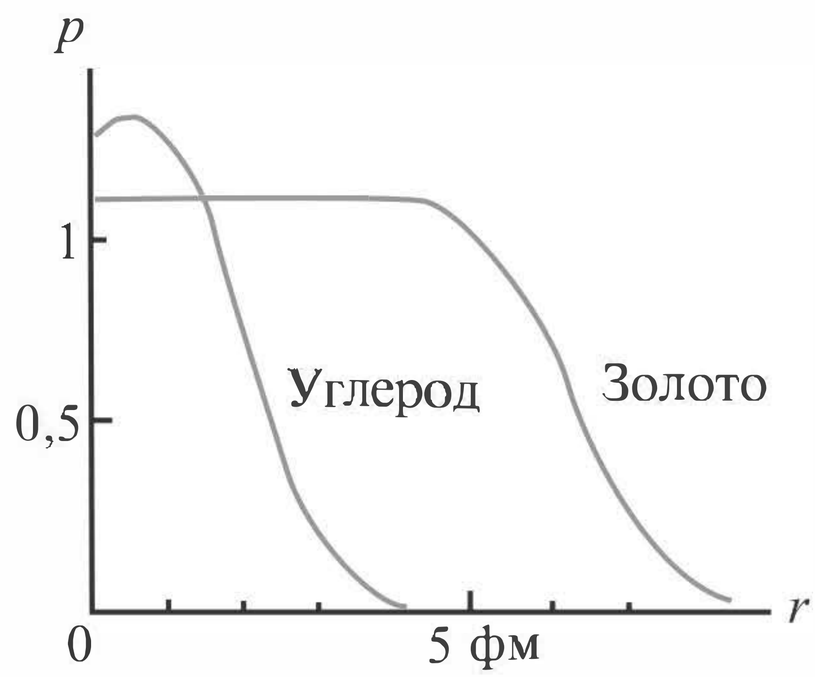


Рис. 29-1. Распределение плотности заряда (в единицах 10^{19} Кл/см^3) в ядрах углерода и золота, полученное посредством изучения рассеяния электронов. [Согласно Хофштадтеру (*Hofstadter R.*, Ann. Rev. Nucl. Sci., **7**, 231 (1957)).]

Если электрон высокой энергии проходит на расстоянии b от ядра с зарядом Ze, то он испытывает отклонение на угол θ (рис. 29-2). Согласно закону Кулона, чем

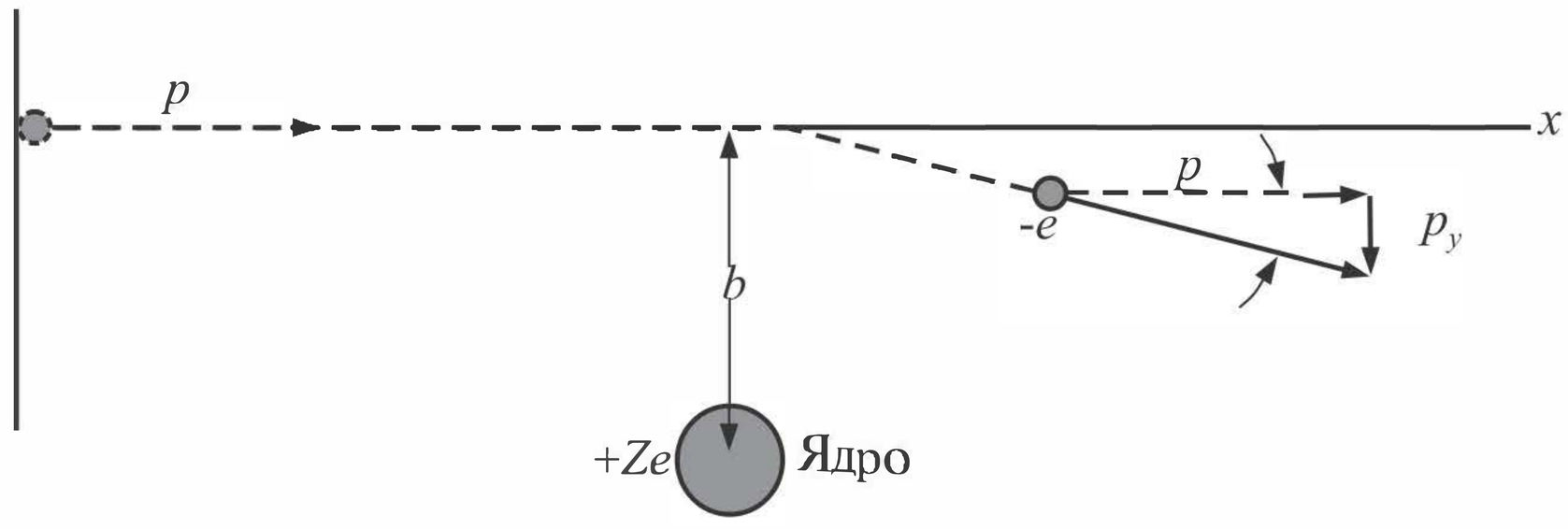


Рис. 29-2. Рассеяние электрона с импульсом p на атомном ядре с зарядом Ze

ближе электрон к ядру, тем больше действующая на него сила и, следовательно, больше угол, на который он отклоняется. Можно рассчитать зависимость θ от b. Однако если электрон проникает внутрь ядра, то он уже не испытывает большой кулоновской силы (см. рис. 16-3). В случае с заряженной сферической оболочкой максимальный угол отклонения соответствует $b = R$, т. е. радиусу сферы. Это происходит из-за того, что поле внутри такой оболочки равно нулю. В данном случае радиус можно определить, измеряя $\theta_{\text{макс.}}$. Необходима лишь формула, связывающая θ с b. Ниже приводится приближенный вывод этой формулы.

Пусть Δp_y — изменение импульса электрона за счет действия кулоновской силы. Согласно ньютоновскому определению силы,

$$\Delta p_y = \int F_y dt = e\int E_y dt = e\int E_y \frac{ds}{v}.$$

Для малых углов отклонения $ds \approx dx$, и, следовательно,

$$\Delta p_y \approx \frac{e}{v}\int E_y dx = \frac{e}{2\pi v b}\int E_y 2\pi b dx.$$

Заметим, что $2\pi b dx$ — это площадь цилиндрического пояса dA. Тогда изменение импульса можно записать в виде

$$\Delta p_y \approx \frac{e}{2\pi v b}\oint \mathbf{E}\cdot d\mathbf{A},$$

где интеграл берется по поверхности цилиндра радиусом b, на оси которого находится ядро.

Для вычисления интеграла воспользуемся теоремой Гаусса [см. формулу (15-7), согласно которой $\oint \mathbf{E}\cdot d\mathbf{A} = 4\pi k_0 Q_{\text{внутр.}}$]. Таким образом, поскольку полный заряд внутри цилиндра равен Ze, мы имеем

$$\Delta p_y \approx \frac{e}{2\pi v b}4\pi k_0 Ze = \frac{2k_0 Ze^2}{bv}.$$

Из рис. 29-2 следует, что $\Delta p_y = p\,\mathrm{tg}\,\theta$. Подставляя это соотношение в предыдущее выражение, находим

$$p\,\mathrm{tg}\,\theta \approx \frac{2k_0 Ze^2}{bv},$$

$$b \approx \frac{k_0 Ze^2}{pv\,\mathrm{tg}(\theta/2)}.$$

С помощью более сложных вычислений можно показать, что строгая формула, справедливая для всех значений θ, записывается в виде

$$b = \frac{k_0 Ze^2}{pv\,\mathrm{tg}(\theta/2)}. \qquad (29\text{-}3)$$

Если бы заряд ядра был распределен по поверхности сферы радиусом R, то радиус ядра можно было бы вычислить, положив в формуле (29-3) $\theta = \theta_{\text{макс.}}$; тогда

$$R = \frac{k_0 Ze^2}{pv\,\mathrm{tg}(\theta_{\text{макс.}}/2)}.$$

До сих пор мы пользовались классической механикой. Учет волновой природы электрона показывает, что небольшое рассеяние происходит и на углы, превышающие $\theta_{\text{макс.}}$. В случае с равномерно заряженным шаром электроны, проникшие внутрь ядра, будут испытывать действие силы, создаваемой внутренним зарядом, и, следовательно, электроны будут отклоняться на угол, несколько превышающий $\theta_{\text{макс.}}$. Поэтому угол $\theta_{\text{макс.}}$ следует рассматривать как размытый предел. Однако если измерить форму и размеры этого «размытия», то затем путем расчетов можно установить распределение заряда внутри ядра. Такие расчеты

можно выполнить как в случае рассеяния электронов на ядрах, так и при рассеянии на протонах, причем результаты не обнаруживают у протона заряженной сердцевины.

Пример 2. Электрон с энергией 10 ГэВ «нацелен» в край ядра свинца ($R = 7{,}5$ фм). Каким будет классический угол рассеяния электрона θ?

Решение: Из формулы (29-3) найдем $\operatorname{tg}(\theta/2)$ и вместо u подставим скорость света c; тогда

$$\operatorname{tg}(\theta/2) = \frac{k_0 Ze^2}{pcb}. \qquad (29\text{-}4)$$

Поскольку энергия равна $pc = 10$ ГэВ $= 1{,}6\cdot10^{-10}$ Дж, а $b = 7{,}5\cdot10^{-15}$ м, получаем

$$\operatorname{tg}(\theta/2) = \frac{\left(9\cdot10^{9}\right)(82)\left(1{,}6\cdot10^{-19}\right)^2}{\left(1{,}6\cdot10^{-10}\right)\left(7{,}5\cdot10^{-15}\right)} = 0{,}0157,$$

$\theta = 1{,}80°$.

Из этого примера видно, что если бы у ядра свинца весь заряд был распределен по его поверхности, то, согласно классической физике, электроны с энергией 10 ГэВ не могли бы рассеиваться на углы больше, чем $\theta_{\text{макс.}} = 1{,}80°$.

Пример 3. Повторим решение в примере 2 для случая, когда водородная мишень бомбардируется электронным пучком с энергией 10 ГэВ. Если радиус протона $R = 1$ ферми, то каким будет соответствующий угол рассеяния?

Решение: Подставляя в формулу (29-4) значения $Z = 1$ и $b = 10^{-15}$ м, имеем

$$\operatorname{tg}(\theta/2) = \frac{k_0 e^2}{pcR} = 0{,}00144,$$

откуда

$\theta = 0{,}17°$.

Из этого примера мы видим, что если при рассеянии электронов с энергией 10 ГэВ на протонах в угловом распределении обнаруживается спад при углах, превышающих 0,17°, то радиус протона должен быть равен приблизительно 1 фм. Такие эксперименты показали, что среднеквадратичный радиус распределения заряда в протоне составляет 0,8 фм.

Пример 4. Если бы треть заряда протона была сконцентрирована в его сердцевине радиусом $R \sim 0{,}1$ фм, то каким оказался бы соответствующий угол $\theta_{\text{макс.}}$ в случае с электронами с энергией 10 ГэВ?

Решение: В формуле (29-4) заряд частицы-мишени нужно заменить на $e/3$. Полагая в этой формуле $b = 10^{-16}$ м, находим $(\theta_{\text{макс.}})_c = 0{,}55°$. Заметим, что это значение примерно в три раза превосходит полученное в примере 3.

Пример 4 демонстрирует, что если бы у протона была заряженная сердцевина, то рассеяние происходило бы на большие углы, чем это наблюдается на опыте. В гл. 31 мы узнаем, что протон состоит, по-видимому, из трех субъядерных частиц, называемых кварками. Однако вряд ли эти кварки располагаются в центре и ведут себя подобно сердцевине протона.

Сечение поглощения нейтронов

Площади и, следовательно, радиус атомного ядра можно определить еще одним, третьим способом, если пластину, содержащую исследуемые атомы, бомбардировать нейтронами высоких энергий (рис. 29-3). До тех пор пока нейтрон не сталкивается с ядром, он движется через пластинку по прямой. Поэтому число нейтронов, выбывающих из пучка, пропорционально площади ядра. Если длина волны нейтрона много меньше размеров

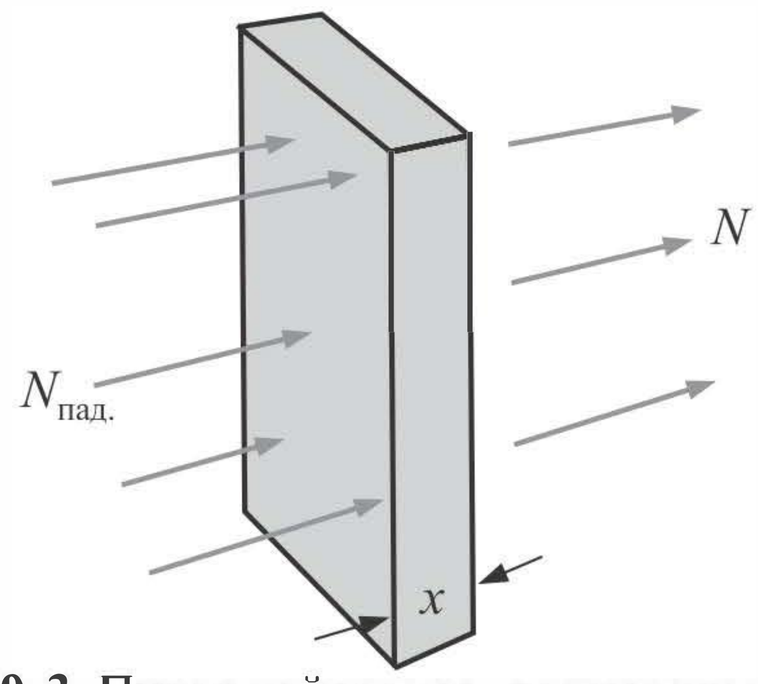


Рис. 29-3. Пучок нейтронов, падающих на пластинку площадью A

ядра, то эффективная площадь поперечного сечения ядра $\sigma = \pi R^2$, где R — радиус ядра.

Вероятность потери нейтрона равна отношению полной площади, занятой ядрами, к общей площади пластинки:

$$\text{Вероятность} = \frac{N_a \sigma}{A},$$

где N_a — полное число атомов в пластинке, σ — эффективная площадь каждого атомного ядра и A — площадь пластинки. Пусть $\mathfrak{N} = N_a/Ax$ — число атомов в единице объема, где x — толщина пластинки. Тогда для пластинки толщиной dx вероятность потери нейтрона равна $\mathfrak{N}\sigma dx$. Если N — число нейтронов в пучке после прохождения ими толщины x, то изменение величины N равно числу частиц в пучке, умноженному на вероятность $\mathfrak{N}\sigma dx$:

$$dN = -N\mathfrak{N}\sigma dx,$$

$$\frac{dN}{N} = -\mathfrak{N}\sigma dx.$$

Интегрируя обе части последнего равенства, получаем

$$\ln N = -\mathfrak{N}\sigma x + \text{const},$$

а после потенцирования имеем

$$N = N_{пад.} \exp(-\mathfrak{N}\sigma x),$$

где $N_{пад.}$ — число падающих нейтронов ($N = N_{пад.}$ при $x = 0$). Таким образом, сечение записывается в виде

$$\sigma = \frac{1}{\mathfrak{N}x} \ln \frac{N_{пад.}}{N}. \qquad (29\text{-}5)$$

Пример 5. Предположим, что на рис. 29-4 нейтронный детектор регистрирует 10 000 нейтронов в минуту. При наличии медной пластинки толщиной 2 см скорость счета снижается до 8950 отсчетов в минуту. Чему равно нейтронное сечение меди и каков соответствующий радиус?



Рис. 29-4. Медная пластинка, помещенная на пути пучка нейтронов, приводит к уменьшению скорости счета с N до N'

Решение: Число ядер в единице объема можно найти, используя значения массовой плотности $\rho = 9{,}0$ г/см^3 и атомной массы меди 63,5:

$$\mathfrak{N} = \frac{9{,}0 \text{ г/см}^3}{63{,}5 \text{ г/моль}} \left(6{,}02 \cdot 10^{23} \text{ атом/моль}\right) =$$

$$= 8{,}53 \cdot 10^{22} \text{ атом/см}^3.$$

Подстановка этого значения в формулу (29-5), а также $x = 2$ см и $N_{пад.}/N = 1{,}117$ дает

$$\sigma = 0{,}65 \cdot 10^{-24} \text{ см}^2.$$

Обычно ядерные сечения имеют порядок величины 10^{-24} см^2. Поэтому, как это часто случается в ядерной физике, это значение стало играть роль единицы измерения и ей было присвоено специальное название — барн (10^{-24} см^2 = 1 барн). Записывая $\sigma = \pi R^2$, получаем

$$\pi R^2 = 0{,}65 \cdot 10^{-24} \text{ см}^2 = 0{,}65 \text{ барн},$$

$$R = 4{,}55 \text{ фм}.$$

§ 2. Фундаментальные силы, действующие между двумя нуклонами

Основная цель физики состоит в объяснении всех физических явлений на основе небольшого числа простых фундаментальных законов. Поскольку материальные тела построены из электронов и ядер, мы старались до сих пор изучать основные типы взаимодействий между электронами, ядрами и фотонами. Этот подход, как мы видели в предыдущей главе, позволяет достигнуть значительных успехов. Он обеспечивает исчерпывающее (хотя и с использованием сложных вычислений) объяснение строения вещества и соответствующих взаимодействий. Действительно, современная квантовая электродинамика настолько совершенна, что в области атомной физики она дает результаты с точностью, значительно превышающей ту, которую может обеспечить эксперимент. До сих пор не удавалось установить расхождение теории с экспериментом, несмотря на то что погрешность некоторых экспериментальных результатов (например, измерения аномального магнитного момента электрона. — *Прим. ред.*) не превышала рекордно малой в физике величины порядка 10^{-12}.

С другой стороны, квантовая электродинамика не может объяснить структуры атомных ядер, которые, как теперь известно, состоят из протонов и нейтронов. Чтобы объяснить, почему протоны внутри ядра столь прочно связаны, требуется ввести фундаментальные силы нового типа. Для преодоления электростатического отталкивания протонов эти силы должны быть больше электростатических. Они называются ядерными силами, или сильным взаимодействием*. Как видно из рис. 29-5, глубина потенциальной ямы, соответствующей ядерным силам, на порядок больше потенциальной энергии электростатического отталкивания двух протонов.

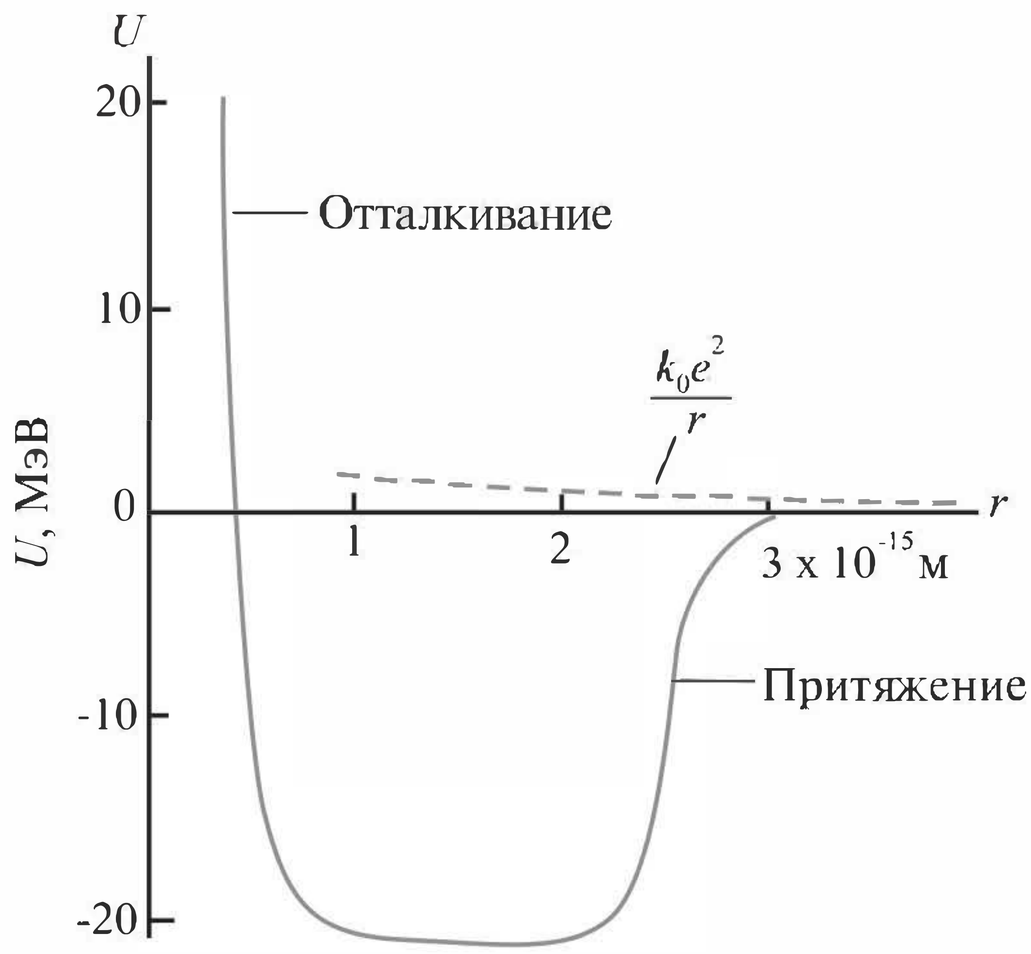


Рис. 29-5

Если не учитывать довольно слабое электростатическое отталкивание, то сильное взаимодействие протона с протоном, протона с нейтроном и нейтрона с нейтроном будет в любом из этих случаев одним и тем же. Это взаимодействие называется нуклон-нуклонным. Потенциальную энергию взаимодействия двух нуклонов можно грубо описать кривой, показанной на рис. 29-5, хотя детальный вид этого взаимодействия пока неизвестен. На этом же рисунке для сравнения приведена потенциальная энергия электростатического взаимодействия двух протонов, равная k_0e^2/r (штриховая линия). Специфической особенностью ядерных сил является то, что потенциальная кривая на рис. 29-5 для этих сил справедлива, лишь если спины нуклонов

---

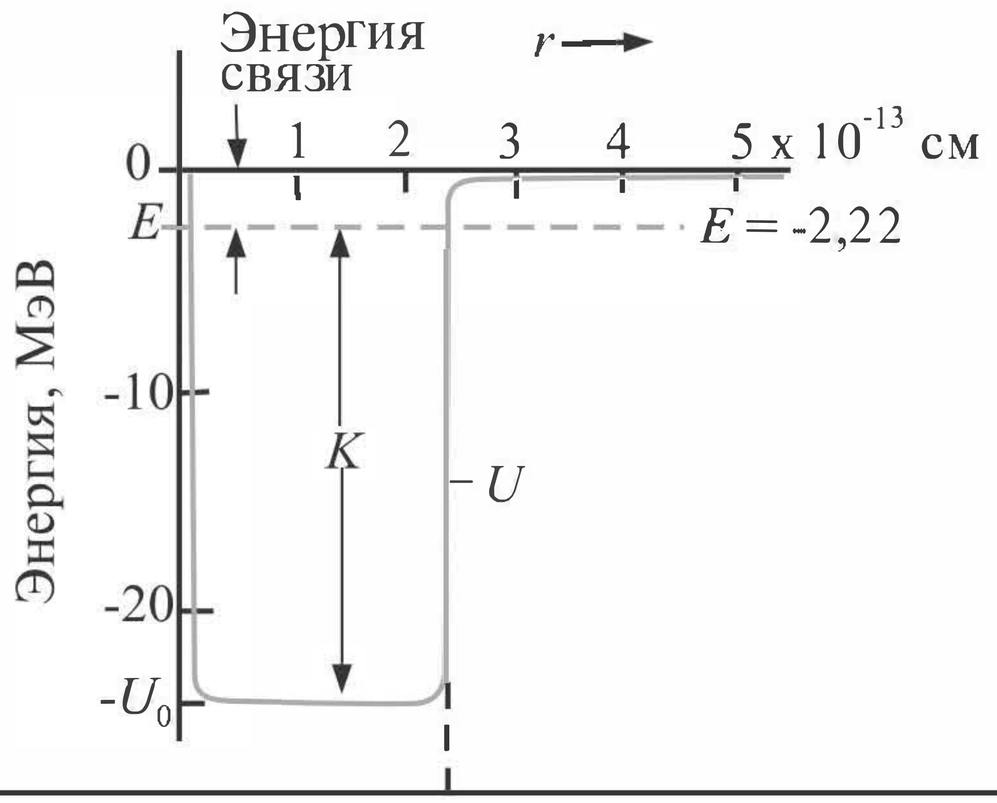
* Как будет показано в дальнейшем, истинно фундаментальным сильным взаимодействием является кварк-глюонное взаимодействие (см. гл. 31). — *Прим. ред.*

параллельны; если же спины антипараллельны, то ядерные силы оказываются примерно вдвое слабее. Глубину потенциальной ямы на рис. 29-5 можно определить, как мы увидим в дальнейшем, из величины энергии связи дейтрона (^{2}H, или *D*, ядро тяжелого изотопа водорода). Более детальные сведения о форме потенциала дают опыты по рассеянию протонов и нейтронов на протонах.

В атомной физике единственным атомом, легко поддающимся анализу, был атом с одним протоном и одним электроном, т. е. атом водорода. Аналогичная ситуация имеет место и в ядерной физике: простейшее ядро, поддающееся анализу, состоит из одного протона и одного нейтрона, т. е. представляет собой дейтрон. В дейтроне протон и нейтрон связаны друг с другом с энергией 2,22 МэВ. Эта величина получается из измеренных значений масс или энергий покоя протона, нейтрона и дейтрона, которые равны соответственно 938,21; 939,50 и 1875,49 МэВ. Энергия связи ядра определяется суммой масс отдельных нуклонов за вычетом массы ядра. В случае с дейтроном энергия связи равна $m_p + m_n - m_d = 2{,}22$ МэВ.

Как и в случае с атомом водорода, энергия связи которого равна 13,6 эВ, эту величину можно было бы рассчитать, исходя из известного закона действия сил между двумя частицами. Задача заключается в том, чтобы найти волновую функцию низшего порядка, соответствующую кривой потенциальной энергии на рис. 29-5. В первом приближении эту потенциальную энергию можно представить в виде «прямоугольной ямы» радиусом $r_0 = 2{,}3 \cdot 10^{-15}$ м. Такая яма изображена на рис. 29-6, *а*. Энергия *E*, отвечающая стоячей волне низшего порядка, приведенной на рис. 29-6, *б*, показана на рис. 29-6, *а* штриховой линией.

(а)



(б)

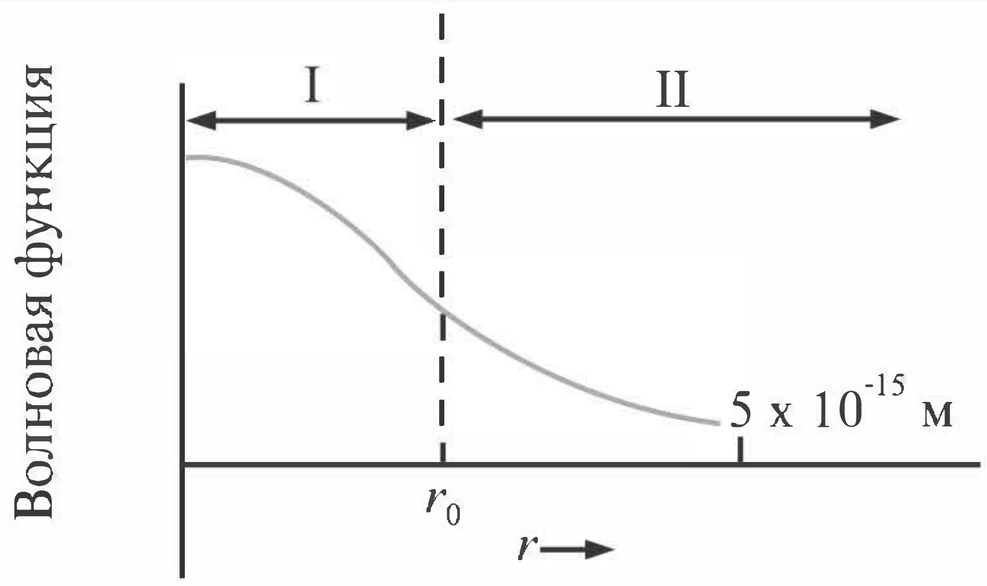


Рис. 29-6. *а* — приближенное изображение потенциальной ямы, отвечающей взаимодействию нейтрона с протоном; *б* — низшая волновая функция, соответствующая энергетическому уровню $E = -2{,}22$ МэВ

Теперь можно заняться вычислениями. Выберем для расчета положение низшего энергетического уровня E, исходя из известной глубины потенциальной ямы; с другой стороны, зная величину $|E|$ (измеренное значение энергии связи), можно вычислить глубину ямы. В действительности впервые был выполнен именно последний расчет, и мы поступим аналогичным образом. Будем исходить из того, что известны энергия связи и радиус действия ядерных сил r_0. Наша цель — получить из этих данных сведения о глубине потенциальной ямы, которая характеризует величину ядерных сил.

Как и в случае с атомом водорода, воспользуемся трехмерным уравнением Шредингера. Для волновой функции низшего порядка, которая не зависит от θ и φ, трехмерное уравнение Шредингера записывается в виде [см. (26-5)]

$$\frac{1}{r^2}\frac{d}{dr}\left(r^2\frac{d\psi}{dr}\right)=-\frac{2\mu}{\hbar^2}(E-U)\psi. \qquad (29\text{-}6)$$

В этом уравнении r означает относительно смещение, т. е. расстояние между протоном и нейтроном. Затем (см. т. 1, § 2 гл. 11) мы должны использовать приведенную массу двух частиц μ. Массы протона и нейтрона почти одинаковы, обозначим эти массы M; тогда $\mu = M/2$. Определим функцию $u(r) \equiv r\psi(r)$:

$$\frac{d\psi}{dr}=\frac{1}{r}\frac{du}{dr}-\frac{u}{r^2}.$$

Произведя замену в уравнении (29-6), уравнение Шредингера можно записать в более простом виде:

$$\frac{1}{r^2}\frac{d}{dr}\left(r\frac{du}{dr}-u\right)=-\frac{M}{\hbar^2}(E-U)\frac{u}{r},$$

или

$$\frac{d^2u}{dr^2}+\frac{M}{\hbar^2}(E-U)u=0. \qquad (29\text{-}7)$$

В области I величина $E - U$ постоянна и положительна, и решением уравнения оказывается синусоидальная волна. Таким образом,

$$\psi = A\frac{\sin kr}{r}+B\frac{\cos kr}{r},$$

где $k=\sqrt{\frac{M}{\hbar^2}(E-U)}$.

Поскольку при $r = 0$ функция ψ должна быть конечной, мы имеем $B = 0$ и

$$u_I = A\sin kr,$$

где $k\equiv\sqrt{\frac{M}{\hbar^2}(E-U)}=\sqrt{\frac{M}{\hbar^2}(U_0-|E|)}$.

В области II уравнение (29-7) принимает вид

$$\frac{d^2u_{II}}{dr^2}+\frac{M}{\hbar^2}|E|u_{II}=0.$$

Решение этого уравнения записывается в виде

$$u_{II}=Be^{-Kr}, \text{ где } K\equiv\sqrt{\frac{M}{\hbar^2}|E|}.$$

Следует заметить, что аналогичное решение получается и для функции ψ_2 на рис. 25-16. Решение для E мы получаем путем сшивания значений u_I и u_{II}, а также их производных на границе между областями I и II. Таким образом, имеем [см. (25-20)]:

$$\operatorname{ctg} kr_0 = -K/k, \qquad (29\text{-}8)$$

или

$$\operatorname{tg} x = -x/Kr_0, \text{ где } x\equiv kr_0.$$

Подставляя численные значения $r_0 = 2{,}3\cdot10^{-15}$ м и $|E| = 2{,}22$ МэВ, получаем

$$Kr_0=\frac{r_0}{\hbar}\sqrt{M|E|}=0{,}53,$$

так что

$$\operatorname{tg} x = -x/0{,}53.$$

Это уравнение можно решить графически, построив на одном графике функции $\operatorname{tg} x$ и $-x/0{,}53$ и найдя точки, в которых значения этих функций совпадают. Оказывается, что $x = 1{,}85$. Используя микрокалькулятор, решение можно также найти методом проб и ошибок. Поскольку

$$x = kr_0 = 1{,}85,$$

мы получаем

$$k = \frac{1{,}85}{2{,}3 \cdot 10^{-15}\ \text{м}} = 8{,}04 \cdot 10^{14}\ \text{м}^{-1}. \qquad (29\text{-}9)$$

Заменим величину k ее выражением и возведем обе части этого выражения в квадрат; таким образом,

$$\frac{M}{\hbar^2}\left(U_0 - |E|\right) = \left(8{,}04 \cdot 10^{14}\right)^2\ \text{м}^{-2}.$$

Отсюда

$$U_0 - |E| = \frac{(8{,}04)^2 \cdot 10^{28} \cdot \left(1{,}05 \cdot 10^{-34}\right)^2}{1{,}67 \cdot 10^{-27}}\ \text{Дж} =$$

$$= 4{,}27 \cdot 10^{-12}\ \text{Дж} = 26{,}7\ \text{МэВ},$$

или

$$U_0 = |E| + 26{,}7\ \text{МэВ} = 28{,}9\ \text{МэВ}.$$

Мы видим, что в соответствии с измеренным на опыте значением энергии связи дейтрона глубина потенциальной ямы, характеризующей взаимодействие нейтрона с протоном, должна иметь величину около 29 МэВ.

Пример 6. В рассмотренной выше модели дейтрона плотность вероятности максимальна при $r = 0$. Во сколько раз плотность вероятности (или плотность массы) уменьшится при $r = r_0$?

Решение: В области I решение уравнения Шредингера имеет вид $u(r) = r\psi(r) = A \sin kr$, откуда

$$\psi(r) = A\frac{\sin kr}{r} = kA\frac{\sin kr}{kr}$$

и

$$\frac{\psi(r_0)}{\psi(0)} = \frac{kA\left(\sin kr_0\right)/kr_0}{kA} = \frac{\sin kr_0}{kr_0}.$$

Воспользовавшись формулой (29-9), получим

$$\frac{\psi(r_0)}{\psi(0)} = \frac{\sin 1{,}85}{1{,}85} = 0{,}52,$$

или

$$\frac{\left|\psi(r_0)\right|^2}{\left|\psi(0)\right|^2} = 0{,}27.$$

Мы видим, что в случае с дейтроном 25 % функции распределения вероятностей находится за пределами радиуса действия ядерных сил.

Пример 7. Предположим, что ядерные силы таковы, что они едва-едва обеспечивают связь протона и нейтрона в дейтроне, т. е. энергия связи $|E|$ близка к нулю. Какой в этом случае была бы глубина потенциальной ямы?

Решение: При $E \to 0$ величина K в формуле (29-8) обращается в нуль. Тогда

$$\operatorname{ctg} kr_0 = -K/k = 0.$$

В этом случае $kr_0 = \pi/2$, или $k = \pi/2r_0$, и мы имеем

$$\frac{M}{\hbar^2}\left(U_0 - |E|\right) = \left(\frac{\pi}{2r_0}\right)^2,$$

откуда

$$U_0 = \frac{1}{M}\left(\frac{\hbar\pi}{2r_0}\right)^2 = 3{,}08 \cdot 10^{-12}\ \text{Дж} = 19{,}2\ \text{МэВ}.$$

---

§ 3. Строение тяжелых ядер

Большую плотность нуклонов в тяжелых ядрах можно объяснить следующим образом. Пусть первоначально имеется

множество свободных нуклонов, и расстояние между соседними нуклонами равно s. Будем теперь понемногу сближать частицы, т. е. уменьшать s. Как только s окажется меньше $2{,}5\cdot10^{-13}$ см, нуклоны внезапно почувствуют сильное притяжение своих соседей и их энергия связи соответственно возрастет. С другой стороны, как было показано в гл. 28, при более плотном сгущении свободных электронов их средняя кинетическая энергия также должна возрасти вследствие принципа Паули [см. (28-3)]. Поскольку протоны и нейтроны — это частицы со спином 1/2, они тоже должны подчиняться принципу Паули. Таким образом, влияние этого принципа будет сказываться в снижении энергии связи по мере того, как s уменьшается. К счастью, силы нуклон-нуклонного притяжения оказываются как раз настолько большими, насколько это необходимо, чтобы обеспечить золотую середину, а именно существование такого значения s, при котором энергия связи достигает максимума (если бы нуклон-нуклонные силы оказались на 30 % слабее, то преобладающим оказалось бы влияние принципа Паули и ядер вообще не существовало бы). Значение s, при котором энергия связи максимальна, и определяет размеры ядер. Из эксперимента найдено $s = 1{,}9\cdot10^{-13}$ см, что согласуется с (29-2).

Рассмотрим теперь отдельный нейтрон внутри тяжелого ядра. На нейтрон действует сила притяжения, усредненная по всем остальным нуклонам внутри ядра. Аналогичная ситуация уже встречалась нам в гл. 28, когда речь шла о потенциале, в котором свободный электрон находится внутри металла. На рис. 29-7 показан усредненный потенциал, в котором находится рассматриваемый нами нейтрон. При этом глубина ямы, соответствующей средним и тяжелым ядрам, составляет около 42 МэВ. Добавление большего количества нуклонов не приводит к увеличению результирующей силы, действующей на данный нуклон, поскольку, как отмечалось выше, он притягивается лишь ближайшими соседями. В действительности в эту потенциальную яму «набито» около $A/2$ нейтронов. Вследствие принципа Паули они занимают различные состояния, или энергетические уровни, вплоть до уровня Ферми.

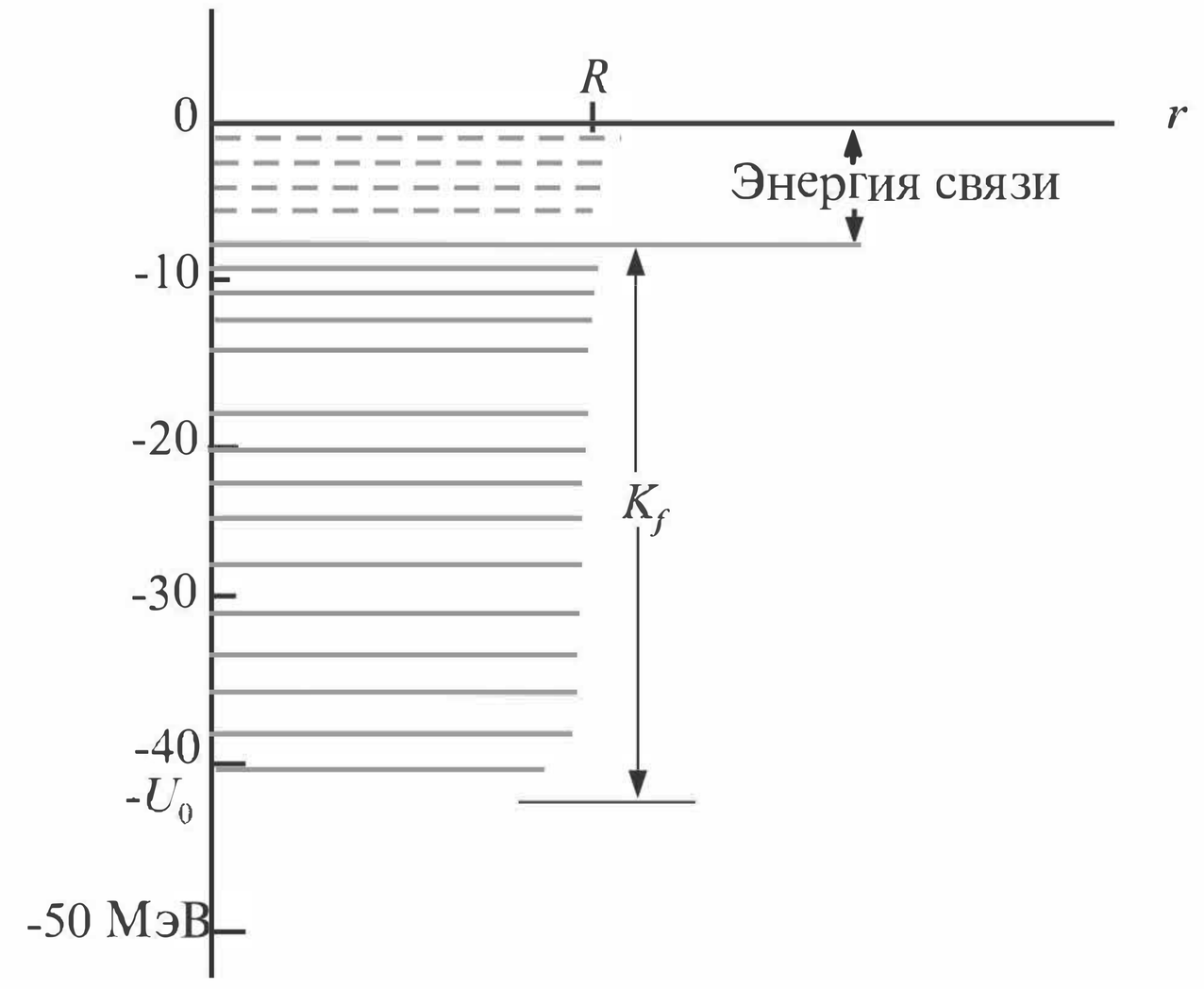


Рис. 29-7. Усредненная потенциальная энергия ядра, которую «ощущает» нейтрон в ядре радиусом R. Занятые уровни указаны сплошными линиями, а свободные, или возбужденные, уровни — штриховыми линиями. Показана также энергия связи нейтрона (энергия, необходимая для удаления нейтрона)

Величину уровня Ферми можно записать в виде [см. (28-3)]:

$$K_f = \frac{h^2}{8M}\left(\frac{3}{\pi}\mathfrak{N}\right)^{2/3}, \qquad (29\text{-}10)$$

где $\mathfrak{N}$ — число нейтронов в единице объема, что составляет примерно половину плотности ядерных частиц, которая в соответствии с (29-2) достигает $0,7\cdot10^{44}$ м$^{-3}$. Таким образом,

$$K_f = \frac{\left(6,62\cdot10^{-34}\right)^2}{8\left(1,67\cdot10^{-27}\right)}\left(\frac{3}{\pi}\cdot0,7\cdot10^{44}\right)^{2/3} \text{ Дж} =$$

$$= 5,4\cdot10^{-12} \text{ Дж} = 33,8 \text{ МэВ}.$$

Мы видим, что наиболее высокий занятый нейтронами энергетический уровень расположен приблизительно на 34 МэВ выше дна потенциальной ямы, или примерно на 8 МэВ ниже нулевой энергии. Следовательно, для того чтобы удалить отдельный нейтрон из типичного ядра, потребуется по меньшей мере 8 МэВ энергии. Глубина ямы и величина уровня Ферми у оставшегося ядра останутся прежними. Поэтому для удаления второго нейтрона потребуется еще 8 МэВ. В конечном счете можно сказать, что в средних ядрах энергия связи, приходящаяся на один нуклон, или удельная энергия связи, составляет 8 МэВ. Глубина потенциальной ямы более легких ядер не будет оставаться одной и той же, поскольку среднее число ближайших соседей уменьшается и, как следствие, удельная энергия связи оказывается меньше 8 МэВ. В случае с более тяжелыми ядрами существенным оказывается дополнительный вклад в полную энергию ядра, обусловленный электростатической потенциальной энергией, которая пропорциональна Z^2/R; поэтому у этих ядер удельная энергия связи также должна быть меньше 8 МэВ. На рис. 29-8 приведены экспериментальные данные, подтверждающие эти предсказания. Наше обсуждение касалось только нейтронов; на протоны в ядре действуют такие же

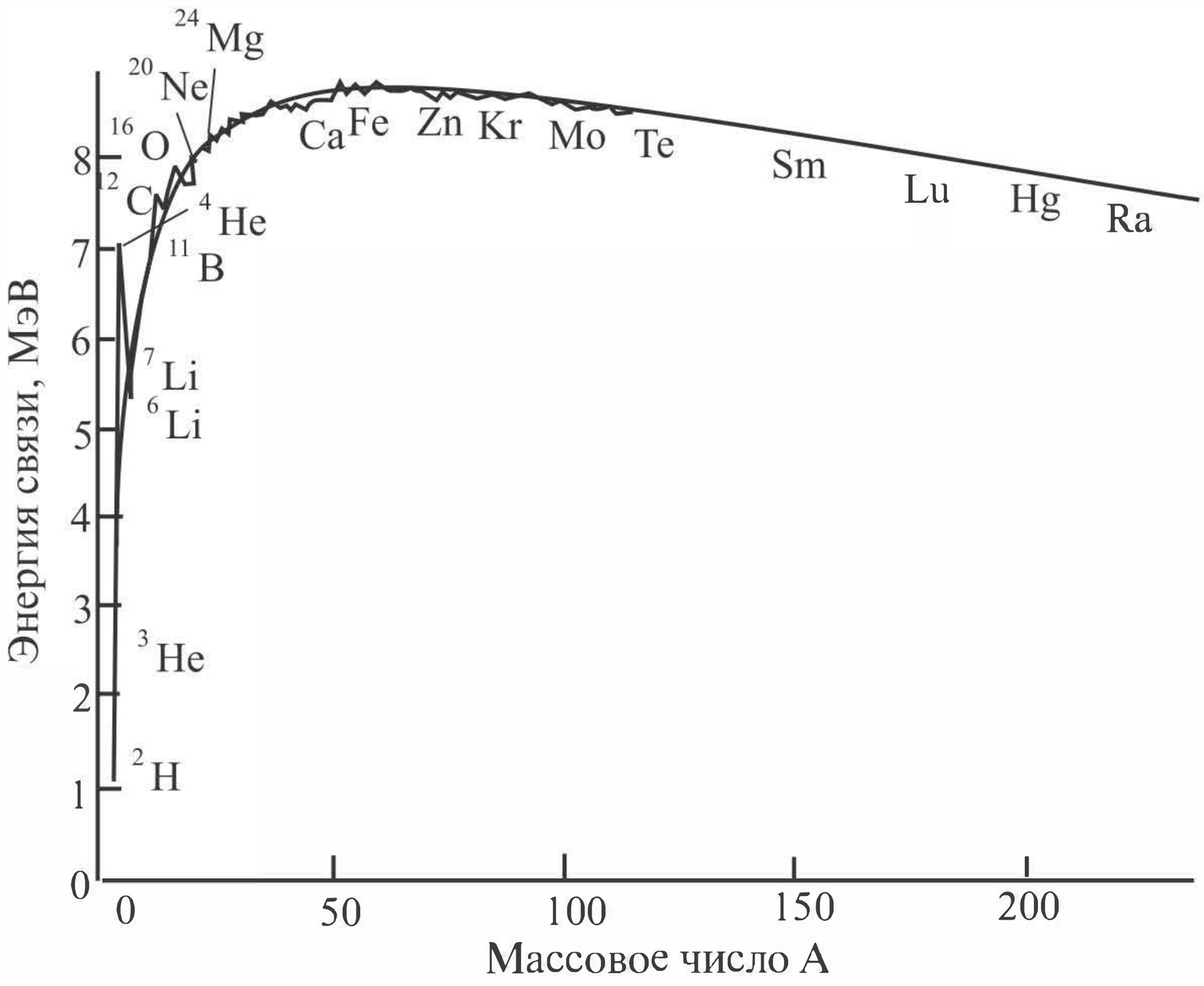


Рис. 29-8. Экспериментальная зависимость удельной энергии связи (энергии связи, приходящейся на один нуклон) от массового числа A

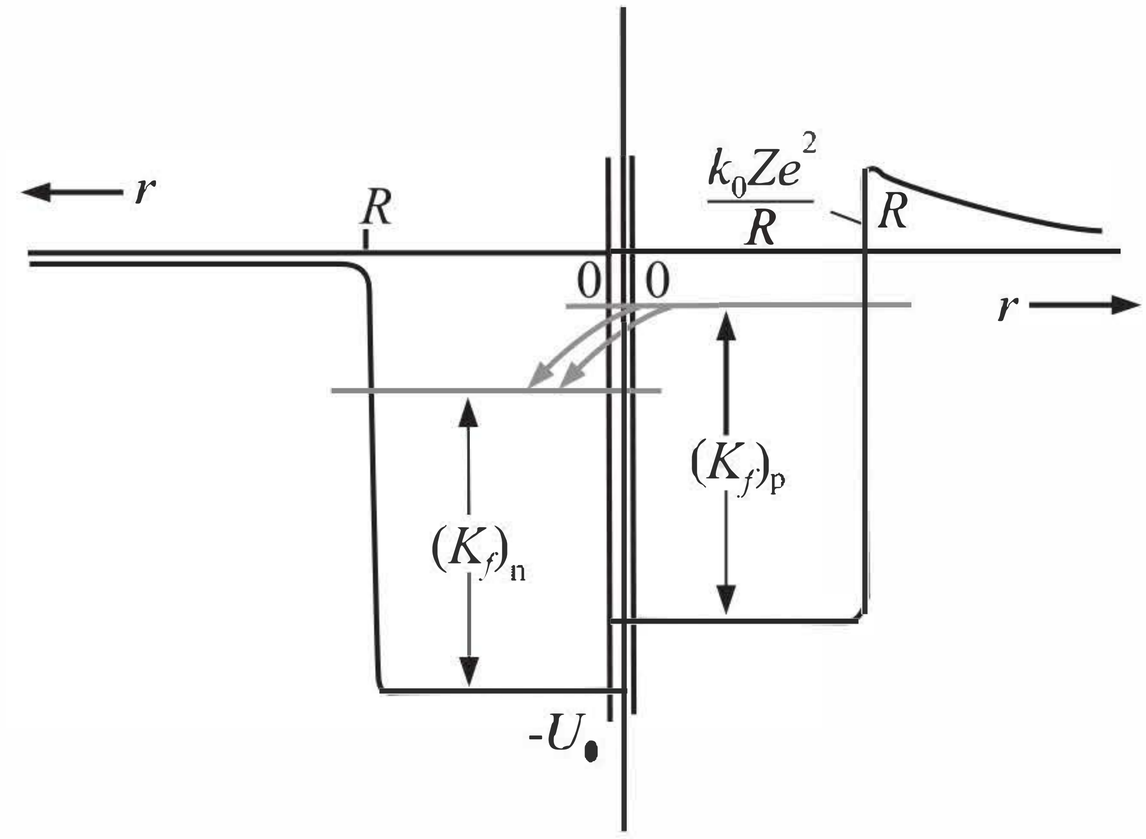


Рис. 29-9. Диаграммы потенциальной энергии нейтронов и протонов в ядре радиусом R. Если число протонов и нейтронов в ядре одинаково, то для их энергий Ферми мы имеем $(K_f)_n < (K_f)_p$, т. е. протоны с наиболее высокой энергией будут превращаться в нейтроны с испусканием пар «позитрон – нейтрино»

ядерные силы, соответствующие потенциальной яме глубиной $U_0 = 42$ МэВ. Однако в случае с протонами дно ямы поднимается на несколько мегаэлектронвольт благодаря электростатической потенциальной энергии, которая пропорциональна $k_0 Ze^2/R$.

Предположим, что ядро радиусом R первоначально содержало одинаковое число нейтронов и протонов. В этом случае диаграммы потенциальной энергии для протонов и нейтронов имели бы вид, показанный на рис. 29-9, и наиболее высокая энергия протона оказалась бы на несколько мегаэлектронвольт выше максимальной энергии нейтрона.

В § 5 мы увидим, что если бы так оно и было, протон превратился бы в нейтрон с испусканием позитрона и нейтрино. Таким образом, рассматриваемая модель потенциальной ямы предсказывает, что в тяжелых ядрах должно быть в конечном счете больше нейтронов, чем протонов. Например, ядро ^{238}U содержит 146 нейтронов и 92 протона.

Приводимый ниже количественный пример дает представление о том, почему отношение числа нейтронов к числу протонов превышает единицу и почему это отношение увеличивается с ростом массового числа A.

* **Пример 8.** Каким, согласно модели потенциальной ямы, должно быть число протонов Z в ядре с массовым числом $A = 51$?

Решение: Пусть в случае с нейтронами глубина потенциальной ямы $U_0 = 42$ МэВ, а в случае с протонами она равна $U_0 - k_0 (Z-1)\, e^2/R$. Предположим, что энергия нейтрона, находящегося на наиболее высоком уровне, равна E_n, а соответствующая энергия протона равна E_p. Тогда

$$E_n = E_p,$$

или

$$U_0 - (K_f)_n = U_0 - k_0 \frac{(Z-1)e^2}{R} - (K_f)_p,$$

$$U_0 - \frac{h^2}{8M}\left(\frac{3}{\pi}\frac{(A-Z)}{(4/3)\pi R^3}\right)^{2/3} =$$

$$= U_0 - k_0 \frac{e^2(Z-1)}{R} - \frac{h^2}{8M}\left(\frac{3}{\pi}\frac{Z}{(4/3)\pi R^3}\right)^{2/3}.$$

Используя значение $R = 4{,}45 \cdot 10^{-15}$ м, вычисленное по формуле (29-1), уравнение в числах относительно Z (все величины в мегаэлектронвольтах) можно написать в виде

$$42 - 3{,}87\,(51 - Z)^{2/3} = 42 - 0{,}324\,(Z-1) - 3{,}87 Z^{2/3},$$

или

$$0{,}324\,(Z-1) - 3{,}87\,[(51-Z)^{2/3} - Z^{2/3}] = 0.$$

Решение этого уравнения можно быстро найти методом проб и ошибок с помощью микрокалькулятора. Мы получим $Z = 21{,}7$. Это значение почти совпадает с тем, котором имеет ванадий с $A = 51$ и $Z = 23$. Существует также радиоактивный изотоп титана с $A = 51$ и $Z = 22$.

Мы видим, что упрощенная модель ядра в виде прямоугольной ямы вполне надежно предсказывает отношение числа протонов в ядре к числу нейтронов, а также значения энергии связи. Можно предсказать и другие результаты, например значения энергий возбужденных состояний (на рис. 29-7 они показаны штриховыми линиями). Расстояние между энергетическими уровнями можно вычислить, если взять логарифм от обеих частей равенства (29-10) и результат затем продифференцировать:

$$\frac{\Delta E}{E} = \frac{2}{3}\frac{\Delta \mathfrak{N}}{\mathfrak{N}}.$$

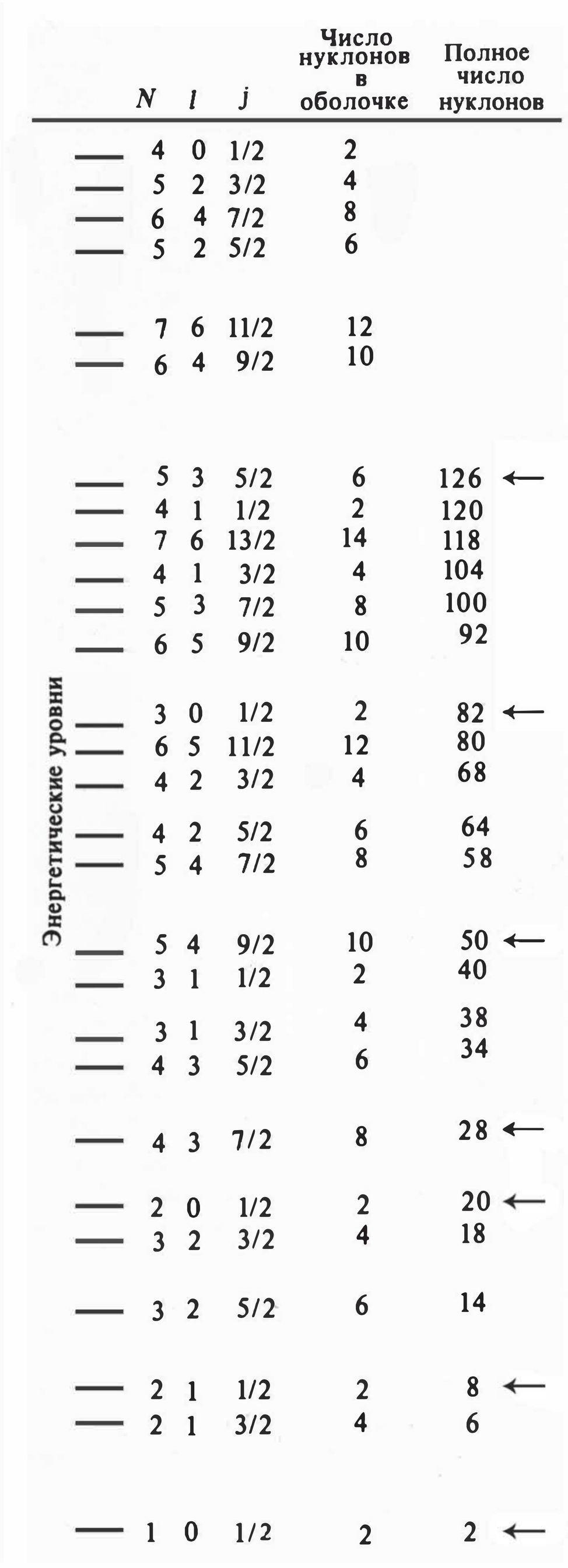
Если к ядру, содержащему 20 нейтронов, добавить еще один нейтрон, то мы получим $\Delta\mathfrak{N}/\mathfrak{N} = 0{,}05$ и $\Delta E/E \approx 0{,}03$; отсюда $E \approx 0{,}03 \times 34$ МэВ $= 1{,}1$ МэВ. Это типичное расстояние между низшими энергетическими уровнями в легких и средних ядрах. В случае с более тяжелыми ядрами отношение $\Delta\mathfrak{N}/\mathfrak{N}$ и, следовательно, расстояние между уровнями оказываются меньше.

Оболочечная модель

Каждому энергетическому уровню нейтрона на рис. 29-7 соответствует стоячая волна, или орбиталь, с определенной энергией и моментом импульса. Это относится как к занятым уровням, так и к уровням с более высокой энергией, т. е. к возбужденным состояниям. Нуклонные орбитали будут «стабильны» и будут иметь определенную энергию только в том случае, если средний свободный пробег нуклона в ядерном веществе значительно превысит размеры ядра. Благодаря принципу Паули средний свободный пробег действительно оказывается значительно больше 10^{-15} м. Если нет свободного состояния, в которое мог бы перейти рассеянный нуклон, то столкновений в обычном смысле не может происходить: состояние с подходящим импульсом, в которое ему надлежит перейти, уже занято.

На рис. 29-10 приведены результаты расчета энергетических уровней с соответствующими моментами импульса, которые отвечают допустимым стоячим волнам в потенциальной яме, показанной на рис. 29-7. Энергии уровней вычислены с учетом того факта, что действующая на нуклон сила оказывается больше, если спин и орбитальный момент импульса направлены в одну сторону. Сумма спина и орбитального момента импульса представляет собой полный момент j. Ядро, у которого заполнена оболочка с $n = 5$, $l = 4$ и $j = 9/2$, содержит 50 нейтронов (либо 50 протонов). Кроме того, как видно из рис. 29-10, эта оболочка и следующая оболочка с более высокой энергией разделены большим энергетическим промежутком. Поэтому можно ожидать, что ядра с 50 нейтронами ($A - Z = 50$) или 50 протонами ($Z = 50$) окажутся сильно связанными и особенно стабильными. Рисунок 29-11 наглядно иллюстрирует это обстоятельство: для того чтобы перевести ядро, содержащее 50 нейтронов, в ближайшее возбужденное состояние, необходима энергия свыше 2 МэВ, тогда как соседним ядрам для этого нужна гораздо меньшая энергия. Еще один пример более сильной связи ядер с магическим числом 50 заключается в том, что у олова ($Z = 50$) имеется 10 стабильных изотопов, больше, чем у

любого другого элемента. Кроме того, ядра с 50 нейтронами или 50 протонами значительно более широко распространены в природе, чем ядра с 51 нейтроном или протоном.



Приведенные на рис. 29-11 экспериментальные результаты согласуются с теоретическими расчетами, согласно которым ядра с числами нейтронов (или протонов) 2, 8, 20, 28, 50, 82 или 126 связаны более прочно. Эти числа называются магическими, они аналогичны числам, соответствующим заполненным оболочкам в атомной физике, со значениями 2, 10, 18, 36, 54 и 86 (см. рис. 27-1).

Дополнение редактора к § 3

Большой теоретический и практический интерес представляет проблема получения трансурановых элементов с атомными номерами $Z > 92$ в периодической системе элементов. Все подобные элементы испытывают спонтанный радиоактивный распад с максимальным периодом полураспада около 10^8 лет. Очевидно, что за время существования Земли (около $5 \cdot 10^9$ лет) все эти элементы практически распались, и в целях изучения их следует искусственно синтезировать.

Первые трансурановые элементы — нептуний ($Z = 93$) и плутоний ($Z = 94$) были синтезированы в 1940 г. в Беркли (США). Они были получены в результате ядерной реакции при облучении урановой мишени нейтронами или альфа-частицами. Этот метод позволяет получать элементы вплоть до фермия ($Z = 100$); для элементов с $Z > 100$ он не «работает» ввиду очень малого времени жизни ^{258}Fm (около 0,3 мс). Менделевий ($Z = 101$) был

Рис. 29-10. Относительное расстояние между энергетическими уровнями ядер с учетом спин-орбитального взаимодействия (сила больше, если спин и орбитальный момент параллельны). Как и у атома водорода, каждый энергетический уровень, или «оболочка», распадается на подоболочки, соответствующие различным квантовым числам m_l. В правой колонке приведено полное число нуклонов, необходимое для заполнения этих подоболочек. Магические числа отмечены стрелками

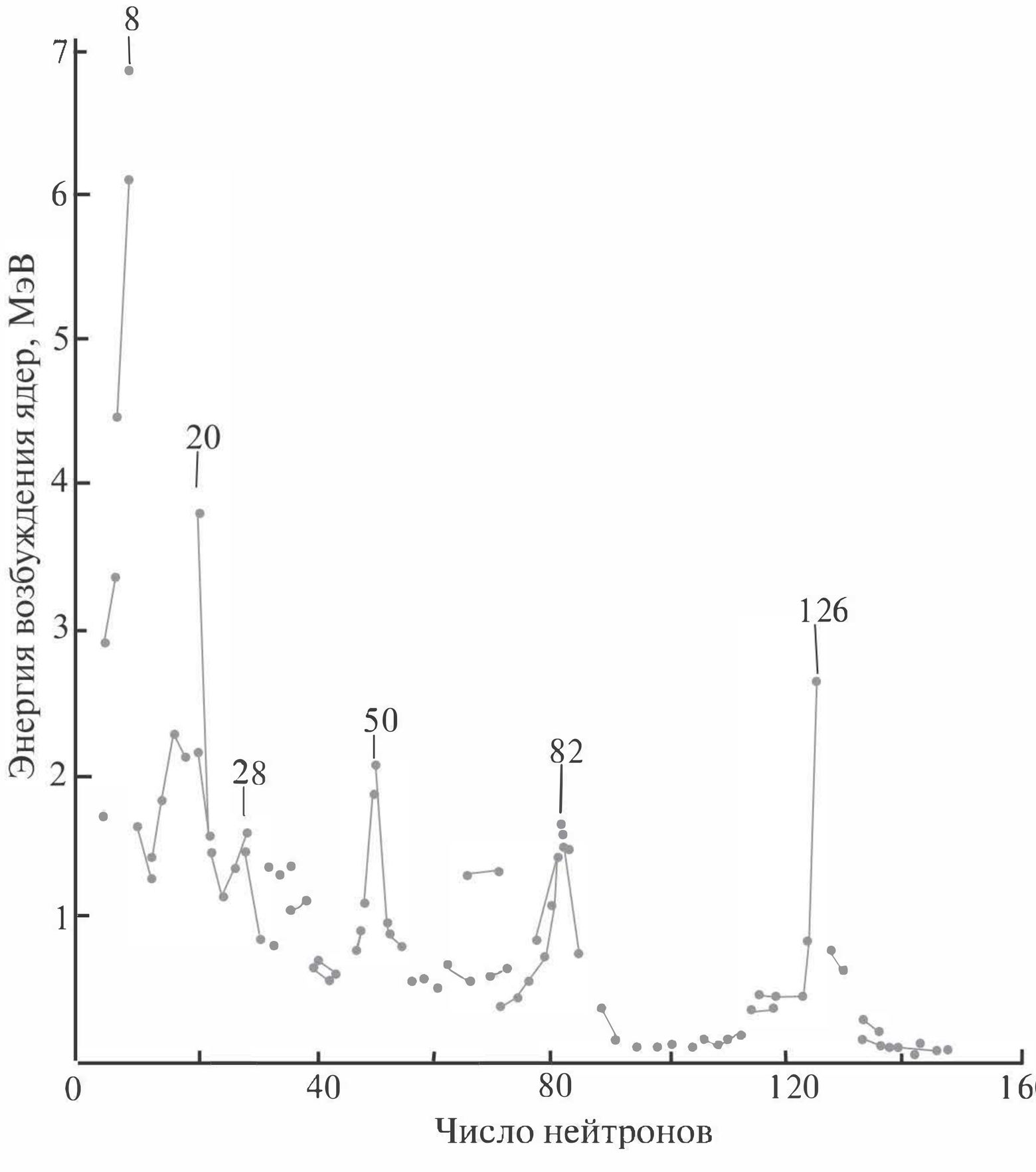


Рис. 29-11. Экспериментальные значения энергий возбуждения для ядер с четным числом протонов и нейтронов. Линии соединяют ядра с одинаковым числом протонов

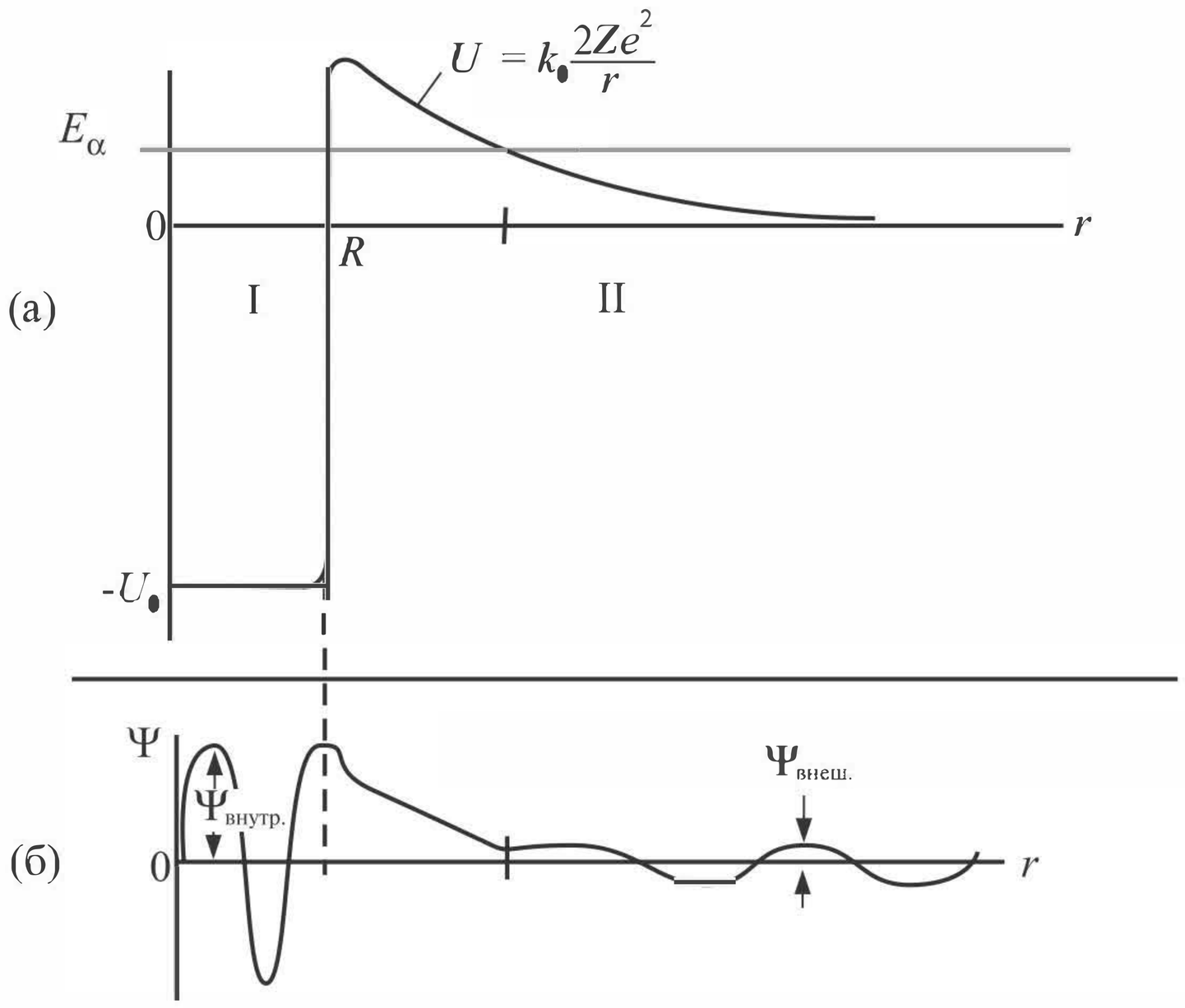


Рис. 29-12. *а* — потенциальная энергия взаимодействия α-частицы и остаточного ядра с зарядом Ze; величина E_α — кинетическая энергия α-частицы на больших расстояниях от ядра; *б* — соответствующая волновая функция

синтезирован в 1955 г. облучением эйнштейния ($Z = 99$) ускоренными ионами гелия. К 1997 г. в реакциях с более массивными ядрами трансурановая область была значительно расширена — вплоть до элемента с $Z = 112$.

Дальнейший синтез сверхтяжелых-трансфермиевых элементов ($Z > 100$) был основан на использовании ядерных реакций полного, или «горячего» слияния двух ядер: тяжелой мишени [вплоть до калифорния ($Z = 98$)] и легкой бомбардирующей частицы. В результате такого слияния образуется возбужденное составное ядро, которое затем переходит в основное состояние посредством испускания нейтронов и гамма-квантов. На этом пути удалось синтезировать ядра вплоть до сиборгия ($Z = 106$), однако продвинуться дальше оказалось затруднительно ввиду малых количеств тяжелых ядер-мишеней, нарабатываемых в ядерных реакторах, а также их малого времени жизни.

Значительно более перспективным является использование разработанного в 70-х гг. XX в. в основном в России [Объединенный институт ядерных исследований (ОИЯИ), г. Дубна Московской области] ядерных реакций «холодного» слияния. Метод основан на бомбардировке стабильной тяжелой мишени — например, свинца с $Z = 82$ и $A = 208$ (или соседнего с ним висмута) — достаточно тяжелыми бомбардирующими ионами — изотопами кальция, титана, хрома, железа, никеля — в диапазоне $Z = 20–30$ и $A = 40–70$.

На этом пути удалось изучить большое число новых изотопов известных тяжелых элементов и синтезировать новые сверхтяжелые элементы — вплоть до $Z = 115$, который получился при облучении америция ($Z = 95$, $A = 243$) ионами кальция ($Z = 20$, $A = 48$) [этот результат достигнут весной 2004 г. в ОИЯИ (Россия) при участии Ливерморской национальной лаборатории им. Лоуренса (США)]. Однако и этот способ получения сверхтяжелых элементов имеет свои ограничения, поскольку из-за резкого возрастания кулоновского отталкивания с ростом значений Z столь же резко падает вероятность слияния сталкивающихся ядер в новое сверхтяжелое ядро. Тем не менее именно на пути холодного слияния — например, кюрия ($Z = 96$, $A = 248$) и обогащенного нейтронами изотопа кальция ($Z = 20$, $A = 48$) — ведутся настойчивые поиски следующего элемента с $Z = 116$.

Это связано с тем, что согласно оболочечной модели ядра именно начиная с этого элемента возможно создание так называемого острова стабильности — ядер, обладающих аномально высоким временем жизни. Подобные ядра характеризуются максимальным числом нейтронов, при котором для данных значений Z и A кулоновское отталкивание будет минимальным; иногда их называют магическими (или дважды магическими) ядрами.

§ 4. Альфа-распад

По причинам исторического характера ядро ^4He называют альфа-частицей (α-частицей). Установлено, что многие тяжелые ядра с $Z > 82$ ($Z = 82$ имеет свинец) испытывают радиоактивный распад с испусканием альфа-частицы. Поскольку в альфа-частице удельная энергия связи оказывается больше, чем в тяжелых ядрах, альфа-распад энергетически вполне возможен. Например, образец урана ^{238}U испускает альфа-частицы с периодом полураспада $4{,}5 \cdot 10^9$ лет. Самопроизвольно происходит ядерная реакция

$$^{238}U \rightarrow {}^{234}Th + {}^4He + 4{,}2 \text{ МэВ}.$$

Спустя $4{,}5\cdot10^9$ лет половина ядер ^{238}U распадается. Разность масс ^{238}U и продуктов его распада составляет 4,2 МэВ.

Диаграмма потенциальной энергии альфа-частицы и конечного ядра на рис. 29-12 позволяет получить представление о том, почему происходит альфа-распад. На этом рисунке E_α — кинетическая энергия вылетающей альфа-частицы. Первоначально альфа-частица находится в области I и может быть описана стоячей волной с амплитудой $\psi_{\text{внутр.}}$. Однако из-за проникновения сквозь барьер (см. § 7 гл. 28) в области вдали от ядра имеется небольшой «хвост» волновой функции с амплитудой $\psi_{\text{внеш.}}$. Следовательно, вероятность вылета альфа-частицы в момент ее соударения с барьером можно записать приблизительно в виде

$$\frac{|\psi_{\text{внеш.}}|^2}{|\psi_{\text{внутр.}}|^2}.$$

Число таких столкновений в 1 с составляет приблизительно $v/2R$, где v — скорость альфа-частицы в области I. Таким образом, вероятность испускания альфа-частицы в единицу времени запишется в виде

$$\frac{dp_r}{dt} \approx \frac{v}{2R}\frac{|\psi_{\text{внеш.}}|^2}{|\psi_{\text{внутр.}}|^2}. \qquad (29\text{-}11)$$

Определим величину

$$\tau \equiv \frac{2R}{v}\frac{|\psi_{\text{внутр.}}|^2}{|\psi_{\text{внеш.}}|^2}. \qquad (29\text{-}12)$$

Тогда из (29-11) и (29-12) получаем

$$\frac{dp_r}{dt} = \frac{1}{\tau}.$$

В образце, содержащем n ядер, число распадов в секунду (т. е. скорость уменьшения n) равно

$$\frac{dn}{dt} = -n\frac{dp_r}{dt} = -n\left(\frac{1}{\tau}\right).$$

Отсюда находим

$$\frac{dn}{n} = -\frac{1}{\tau}dt,$$

$$\int\frac{dn}{n} = -\int\frac{1}{\tau}dt.$$

Интегрирование дает

$$\ln n = -\frac{t}{\tau} + \text{const}.$$

Потенцируя обе части последнего равенства, получаем

$$n = \text{const} \times e^{-t/t}.$$

Если n_0 — число ядер при $t = 0$, то

$$n = n_0 e^{-t/t}. \qquad (29\text{-}13)$$

Это закон радиоактивного распада. На рис. 29-13 представлена соответствующая этому закону кривая распада.

Период полураспада T определяется как такое значение времени t, для которого $n = n_0/2$. Подставляя эту величину в (29-13), получаем

$$\frac{n_0}{2} = n_0 e^{-T/\tau},$$

$$2 = e^{T/t}.$$

Логарифм этого выражения дает

$$\ln 2 = \frac{T}{\tau},$$

откуда

$$T = 0{,}693\tau.$$

Заменяя τ на T, формулу (29-13) можно записать в виде

$$n = n_0 e^{-0{,}693t/T} = n_0\left(e^{-0{,}693}\right)^{t/T} = n_0\left(\frac{1}{2}\right)^{t/T}.$$

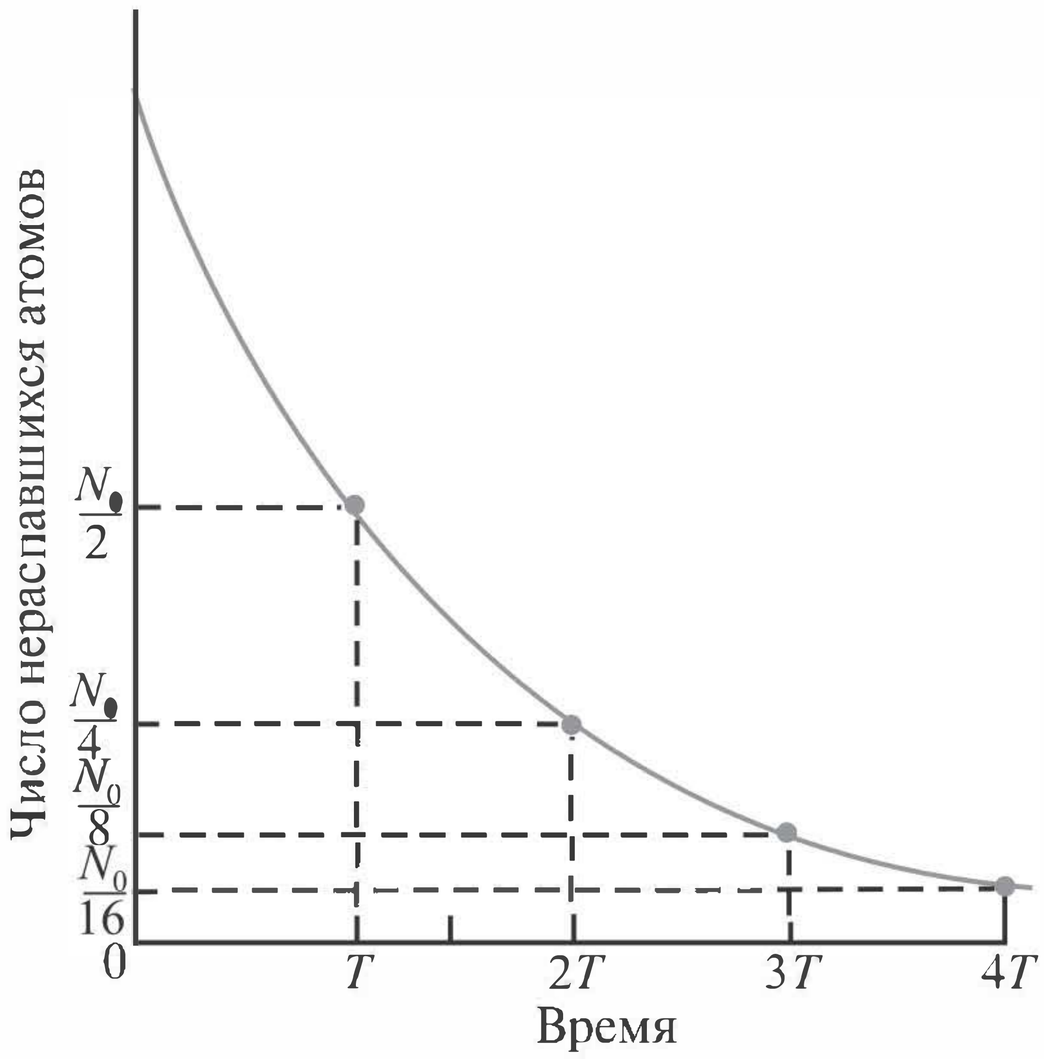


Рис. 29-13. Кривая радиоактивного распада. Зависимость числа нераспавшихся атомов от времени на протяжении четырех периодов полураспада

Если в формулу (29-12) подставить $\tau = 1{,}4T$, то мы получим формулу для периода полураспада

$$T \approx \frac{1{,}4R}{v}\frac{\left|\psi_{\text{внутр.}}\right|^2}{\left|\psi_{\text{внеш.}}\right|^2}. \qquad (29\text{-}14)$$

Пример 9. Чему равно среднее время жизни ядра до распада? Ответ нужно выразить через параметр τ.

Решение: Рассмотрим образец, содержащий вначале n_0 радиоактивных ядер, и найдем среднее взвешенное t с весовым множителем n:

$$t_{\text{ср.}} = \frac{\int tn\,dt}{\int n\,dt} = \frac{\int_0^\infty t\exp(-t/\tau)\,dt}{\int_0^\infty \exp(-t/\tau)\,dt} =$$

$$= \frac{\left[\tau^2 e^{-t/\tau}\left(-t/\tau - 1\right)\right]_0^\infty}{\left[-\tau e^{-t/\tau}\right]_0^\infty} = \tau.$$

Мы видим, что параметр τ, определенный как величина, обратная скорости распада отдельного ядра, представляет собой среднее время жизни.

Пример 10. Пусть в ядре ^{238}U альфа-частица сталкивается с потенциальным барьером $5\cdot10^{20}$ раз в секунду и $\psi_{\text{внеш.}}/\psi_{\text{внутр.}} = 10^{-19}$.

а) Какова вероятность распада этого ядра в 1 с?

б) Каково среднее время жизни этого ядра?

Решение: Согласно (29-11), скорость распада

$$\frac{dp_r}{dt} \approx \left(\begin{array}{c}\text{Число}\\ \text{столкн.}\\ \text{в 1 с}\end{array}\right) \times \left(\frac{\psi_{\text{внеш.}}}{\psi_{\text{внутр.}}}\right)^2 =$$

$$= \left(5\cdot10^{20}\right)\left(10^{-38}\right) = 5\cdot10^{-18}\ \text{с}^{-1}.$$

Таким образом,

$\Delta p_r \approx 5\cdot10^{-18}\,\Delta t$.

Поскольку $\Delta t = 1$ с,

$\Delta p_r \approx 5\cdot10^{-18}$.

Среднее время жизни можно получить, обращая соотношение $dp_r/dt = 1/\tau$:

$$\tau = \frac{1}{dp_r/dt} = \frac{1}{5\cdot10^{-18}\ \text{с}^{-1}} =$$

$$= 2\cdot10^{17}\ \text{с} = 6{,}5\cdot10^9\ \text{лет}.$$

Следовательно, период полураспада $T = 0{,}693\tau = 4{,}5\cdot10^9$ лет.

Формула (29-14) иллюстрирует применение квантовой механики для объяснения радиоактивности. Квантовая механика дает столь же исчерпывающее объяснение альфа-распада и других видов радиоактивных превращений (см. § 3), как и в случае с ранее рассмотренными явлениями. Природа вероятности такова, что если в силу редкой случайности данное ядро уцелело на протяжении большого числа периодов полураспада, то эта предыстория ни в коей мере не влияет на вероятность распада в будущем.

Это же имеет место и при бросании монеты. Если у вас пять раз подряд выпала решка, вероятность шестой раз выпасть решке по-прежнему остается равной половине. Мы не имеем возможности предсказать, когда произойдет распад данного ядра. Вероятность распада ядер одного сорта всегда одна и та же независимо от их возраста. Например, половина ядер радиоактивного изотопа с периодом полураспада один год распадается за первый год, однако то или иное ядро, избежавшее распада в первый год, по-прежнему будет иметь вероятность 1/2 распасться на протяжении второго года. Если же ядро сохранится на протяжении двух лет, его вероятность распада на третий год снова будет 1/2.

§ 5. Гамма- и бета-распады

Гамма-распад

Если ядро возбуждено и находится в состоянии с более высокой энергией (на одном из уровней, показанных на рис. 29-7 штриховыми линиями), то оно может самопроизвольно перейти на более низкий энергетический уровень, испустив при этом фотон (см. § 5 гл. 26). Расстояние между энергетическими уровнями ядер составляет 1–2 МэВ. Поэтому энергия фотонов, испускаемых атомными ядрами, оказывается в сотни и тысячи раз выше энергии фотонов, испускаемых атомами. Такие фотоны с высокой энергией, испускаемые ядрами, называются гамма-квантами.

Возбужденные состояния ядер можно получить, используя нейтроны низких энергий. К примеру, попадая в образец ^{238}U, медленный нейтрон, оказавшись в пределах радиуса действия ядерных сил, испытает ядерное притяжение со стороны атомного ядра. В этом случае вполне вероятно, что нейтрон будет поглощен ядром, в результате чего образуется $^{239}U^*$ в возбужденном состоянии. (Звездочка наверху справа в символе элемента обозначает возбужденное состояние.) Такое возбужденное ядро возвращается в основное состояние, испуская один либо последовательно несколько гамма-квантов. Подобные процессы изображают в обозначениях ядерных реакций следующим образом:

$$n + {}^{238}U \rightarrow {}^{239}U^*,$$

$${}^{239}U^* \rightarrow {}^{239}U + \gamma.$$

Бета-распад

Свойства радиоактивного излучения были изучены вскоре после открытия радиоактивности в 1896 г. Оказалось, что существуют три различных вида излучений, а именно альфа, бета и гамма. После многолетних исследований было обнаружено, что альфа-излучение состоит из ядер гелия, а гамма-излучение — это фотоны с высокой энергией. Было установлено, что бета-излучение состоит из электронов или позитронов. При распаде некоторые ядра испускали электроны, а другие — позитроны. Более тщательные исследования обнаружили, что испускание электронов или позитронов всегда сопровождается испусканием нейтрино или антинейтрино. Нейтрино — это элементарная частица с электрическим зарядом, равным нулю, и нулевой массой покоя. Нейтрино имеет такой же спин, как и электрон.

Пример 11. Используя принцип неопределенности, покажем, что электрон не может находиться внутри атомного ядра.

Решение: Неопределенность величины импульса электрона должна быть равна по меньшей мере

$$\Delta p \approx \frac{\hbar}{\Delta x} \approx \frac{1{,}05 \cdot 10^{-34}}{10^{-15}} \text{ кг} \cdot \text{м} \cdot \text{с}^{-1} =$$

$$= 1{,}05 \cdot 10^{-19} \text{ кг} \cdot \text{м} \cdot \text{с}^{-1} = 197 \text{ МэВ}/c.$$

В соответствии с формулой (9-11) полная энергия электрона с таким импульсом должна быть равна

$$E = \sqrt{\left(m_e c^2\right)^2 + \left(cp\right)^2} = \sqrt{(0{,}51)^2 + (197)^2} \text{ МэВ} =$$

$$= 197 \text{ МэВ}.$$

где $m_e c^2 = 0{,}51$ МэВ. Чтобы электрон с кинетической энергией 197 МэВ удержать в связанном состоянии, необходимо обеспечить еще большую электростатическую энергию связи. Однако электростатическая энергия связи равна $k_0 Ze^2/R$, что для любых ядер меньше, чем 10 МэВ.

Теория бета-распада впервые была разработана Энрико Ферми в 1931 г. Ферми предположил, что протон или нейтрон могут испускать пару «электрон — нейтрино» благодаря в сущности тому же механизму, что и при испускании фотона заряженной частицей. Пара «электрон — нейтрино» рождается благодаря слабым взаимодействиям, подобно тому, как фотон рождается за счет электромагнитных взаимодействий. До того как произойдет бета-распад, внутри ядра нет ни электрона, ни нейтрино.

Простейшим примером бета-распада является превращение свободного нейтрона в протон с периодом полураспада 12 мин:

$$n \rightarrow p + e^- + \bar{\nu},$$

где символ $\bar{\nu}$ обозначает антинейтрино (в чем состоит отличие ν от $\bar{\nu}$, мы рассмотрим в гл. 31). Оказалось, что масса покоя нейтрона больше массы покоя протона на 1,3 МэВ; поэтому полная энергия испускаемой пары «электрон — нейтрино» составляет 1,3 МэВ; 0,5 МэВ идет на массу покоя электрона, и 0,8 МэВ остается на кинетическую энергию, которую делят между собой электрон и нейтрино.

Из рис. 29-9 можно видеть, что в типичном ядре нейтрон с наивысшей энергией располагается почти на том же энергетическом уровне, что и протон с наивысшей энергией. В таком ядре закон сохранения энергии запрещает нейтронам превращаться в протоны. Если же к ядру добавляется нейтрон, энергетический уровень которого оказывается более чем на 0,5 МэВ выше наиболее высокого энергетического уровня протонов, то становится возможным рождение пары «электрон — нейтрино» и может произойти бета-распад. В качестве примера рассмотрим бомбардировку нейтронами ядер ^{238}U. Выше мы показали, что при этом в результате поглощения нейтрона образуется ^{239}U. У этого изотопа урана энергия наивысшего энергетического уровня нейтрона на 1,8 МэВ выше, чем для протона. Следовательно, пара «электрон-нейтрино» будет испускаться с кинетической энергией 1,3 МэВ. Наблюдаемый период полураспада составляет 24 мин:

$$^{239}\text{U} \rightarrow {}^{239}\text{Np} + e^- + \bar{\nu}.$$

Нептуний также оказывается нестабильным относительно бета-распада:

$$^{239}\text{Np} \rightarrow {}^{239}\text{Pu} + e^- + \bar{\nu}$$

с периодом полураспада 2,35 суток. В случае с этим двухступенчатым процессом два наивысших нейтронных уровня освобождались, а два протонных энергетических уровня заполнялись, так что у образующегося ядра ^{239}Pu наивысшие протонный и нейтронный уровни оказались близки ми друг к другу. Следовательно, для ядра плутония ^{239}Pu бета-распад

запрещен. Однако это ядро способно испытывать альфа-распад с периодом полураспада 24 000 лет. Как мы увидим в следующем разделе, еще более важным свойством ^{239}Pu является его малое время жизни относительно деления, вызванного нейтронами.

§ 6. Деление ядер

Как видно из рис. 29-8, с ростом значения A удельная энергия связи увеличивается вплоть до $A \approx 50$. Это поведение можно объяснить сложением сил; энергия связи отдельного нуклона усиливается, если его притягивают не один или два, а несколько других нуклонов. Однако в элементах со значениями массового числа больше $A \approx 50$ удельная энергия связи постепенно уменьшается с ростом A. Это свидетельствует о том, что ядерные силы притяжения являются короткодействующими (радиусом действия порядка размеров отдельного нуклона). За пределами этого радиуса преобладают силы электростатического отталкивания; иными словами, если два протона удаляются друг от друга более чем на $2{,}5 \cdot 10^{-15}$ м, то силы оказываются силами отталкивания, а не притяжения.

Следствием такого поведения удельной энергии связи в зависимости от A является существование двух процессов — синтеза и деления ядер. Рассмотрим вначале, что произойдет, если сблизить электрон и протон. В этом случае высвобождается энергия 13,6 эВ и масса атома водорода оказывается на 13,6 эВ меньше суммы масс свободного электрона и протона. Точно так же масса, или энергия покоя, двух легких ядер превышает массу их соединения. Если их удастся соединить, то они сольются с выделением энергии, которое соответствует разности масс. Этот процесс называется синтезом ядер. В § 7 мы увидим, что эта разность масс может превышать 0,5 %. С другой стороны, если тяжелое ядро расщепляется на два более легких ядра, то их масса будет меньше массы родительского ядра на 0,1 %. Таким образом, у тяжелых ядер существует тенденция к делению на два более легких ядра с выделением энергии. Энергия атомной бомбы и ядерного реактора представляет собой энергию, высвобождающуюся при делении ядер. Энергия водородной бомбы — это энергия, выделяющаяся при ядерном синтезе. Альфа-распад (см. § 4) можно рассматривать как сильно асимметричное деление, при котором родительское ядро M расщепляется на маленькую альфа-частицу и большое остаточное ядро M'. Альфа-распад возможен только в том случае, если в процессе

$$M \rightarrow M' + \alpha$$

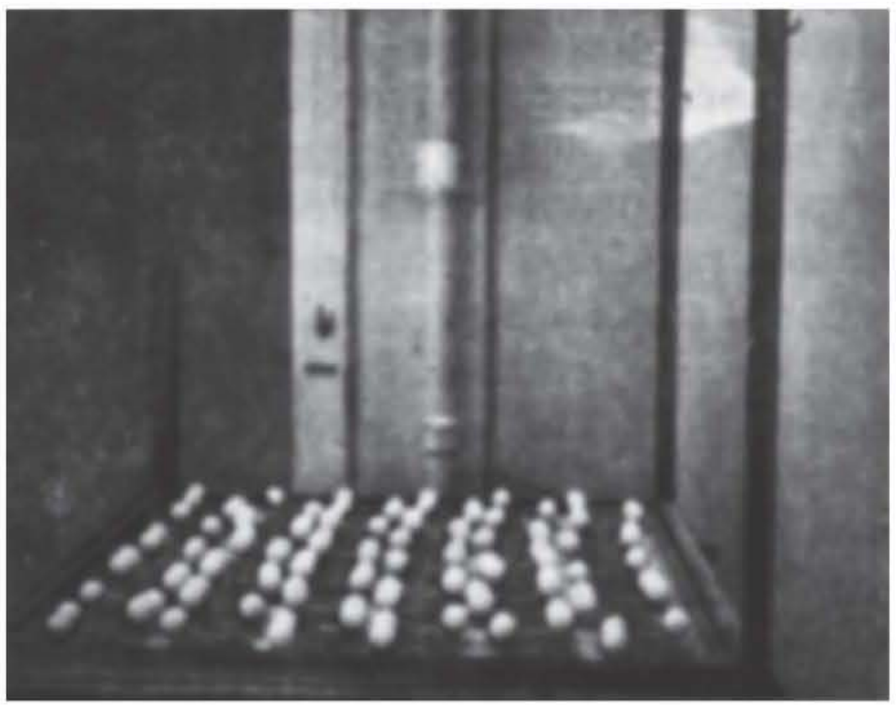
масса M оказывается больше суммы масс M' и альфа-частицы. В этом случае ядро будет радиоактивным и может претерпевать альфа-распад. Оказывается, у всех ядер с $Z > 82$ (свинец) $M > M' + M_\alpha$. При $Z > 92$ (уран) полупериоды альфа-распада оказываются значительно короче возраста Земли. Вот почему такие элементы не встречаются в природе. Однако их можно создать искусственно. Например, плутоний ($Z = 94$) можно получить из урана в ядерном реакторе и эта процедура стала вполне обычной и достаточно дешевой. До сих пор (по данным на весну 2004 г.) удалось получить элементы вплоть до $Z = 115$, однако гораздо более высокой ценой и, как правило, в ничтожных количествах. Можно надеяться, что в конце концов радиохимики (в основном работающие в России и США) научатся получать, хотя и в небольших количествах, новые элементы с еще бóльшими значениями Z (см. дополнение редактора к § 3).

Если бы массивное ядро урана удалось разделить на две группы нуклонов, то эти группы нуклонов перестроились бы в ядра с более сильной связью, причем в процессе перестройки выделилась бы энергия. Таким образом, спонтанное деление ядер разрешено законом сохранения энергии. Однако потенциальный барьер встречающихся в природе ядер настолько высок, что вероятность спонтанного деления оказывается даже меньше вероятности альфа-распада. Например, период полураспада ядер ^{238}U относительно спонтанного деления составляет $8 \cdot 10^{15}$ лет. Это более чем в миллион раз превышает возраст Земли. С другой стороны, если нейтрон сталкивается с таким ядром, то оно может возбудиться и перейти на более высокий энергетический уровень вблизи вершины электростатического потенциального барьера, в результате чего возрастет вероятность деления. Кроме того, ядро в возбужденном состоянии может обладать значительным моментом импульса и приобрести овальную форму. Участки на периферии ядра легче проникают сквозь барьер, поскольку они частично уже находятся за барьером; поэтому, когда ядро принимает овальную форму, роль барьера еще больше ослабляется. При захвате ядром ^{235}U или ^{239}Pu медленного нейтрона образуются состояния с очень короткими временами жизни относительно деления. Разность масс ядра урана и типичных продуктов деления такова, что в среднем при делении урана высвобождается энергия 200 МэВ. Масса покоя ядра урана $2{,}2 \cdot 10^5$ МэВ; следовательно, в энергию превращается около 0,1 % этой массы, что равно отношению 200 МэВ к величине $2{,}2 \cdot 10^5$ МэВ.

Поскольку в 1 г любого вещества содержится $mc^2 = 9 \cdot 10^{13}$ Дж, деление 1 г урана сопровождается выделением $\sim 9 \cdot 10^{10}$ Дж. Это почти в 3 млн раз превосходит энергию $2{,}9 \cdot 10^4$ Дж, получаемую при сжигании 1 г угля. С другой стороны, 1 г урана обходится значительно дороже 1 г угля. Однако стоимость 1 Дж энергии, полученной сжиганием угля, оказывается в 400 раз выше, чем в случае с урановым топливом.

Благодаря цепной реакции процесс деления ядер можно сделать самоподдерживающимся. При каждом делении вылетают два или три нейтрона. Если одному из этих нейтронов удастся вызвать деление другого ядра урана, то процесс будет самоподдерживающимся (рис. 29-14).

а)



б)

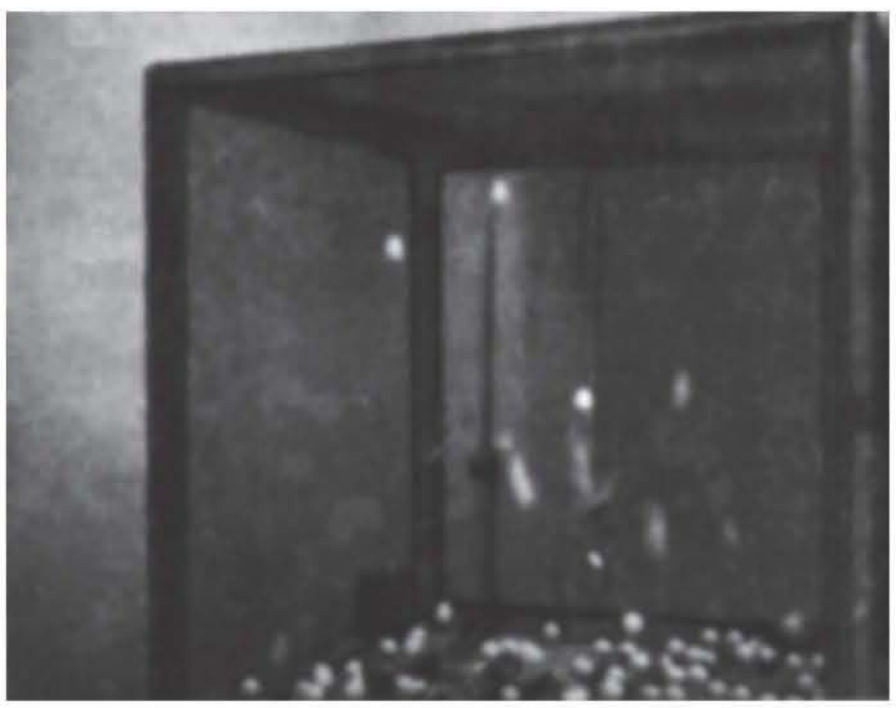


Рис. 29-14. *а* — в каждой мышеловке установлено по два шарика для пинг-понга; мышеловка представляет собой ядро ^{235}U, а шарики — это нейтроны, испускаемые при делении ядер; *б* — моментальный снимок спустя несколько секунд после того, как в мышеловки был брошен дополнительный шарик (нейтрон); в течение нескольких секунд шла цепная реакция

Совокупность делящегося вещества, удовлетворяющая этому требованию, называется критической сборкой. Первая такая сборка, названная ядерным котлом, была построена Энрико Ферми на корте для игры в сквош* на территории Чикагского университета. На мемориальной бронзовой доске, укрепленной на одной из стен корта, написано: «Здесь 2 декабря 1942 г. человек впервые осуществил самоподдерживающуюся цепную реакцию и этим положил начало управляемому получению ядерной энергии». В Чикагском университете имеется также монумент, посвященный этому событию (рис. 29-15) (см. дополнение редактора к § 6).

Массу ^{235}U и ^{239}Pu можно также сделать надкритической. В этом случае возникающие при делении нейтроны будут вызывать несколько вторичных делений. Поскольку нейтроны движутся со скоростями, превышающими 10^8 см/с, надкритическая сборка может полностью прореагировать (или разлететься) быстрее, чем за тысячную долю секунды. Такое устройство называется атомной бомбой. Сферу из плутония переводят в надкритическое состояние обычно с помощью взрыва. Подкритическую сферу из плутония окружают химической взрывчаткой. При ее взрыве плутониевая сфера подвергается мгновенному сжатию. Поскольку плотность сферы при этом значительно возрастает, скорость поглощения нейтронов оказывается выше скорости потери нейтронов за счет их вылета наружу. В этом и заключается условие надкритичности.

Взрыв атомной бомбы можно сделать достаточно эффективным (большая часть плутония прореагирует, а не разлетится). Энергии химических превращений таковы, что 1 т тринитротолуола (ТНТ) высвобождает 10^9 кал, или $4 \cdot 10^9$ Дж. При взрыве атомной бомбы, расходующей 1 кг плутония или ^{235}U, высвобождается около $8 \cdot 10^{13}$ Дж энергии, что почти в 20 000 раз больше, чем при взрыве 1 т ТНТ. Такая бомба называется 20-килотонной бомбой, где 20 кт — так называемый ТНТ-эквивалент ядерного заряда. Современные бомбы мощностью в мегатонны в миллионы раз мощнее обычной ТНТ-взрывчатки. Но дело не только в том, что это в миллионы раз более мощное энерговыделение, но и в том, что каждый грамм израсходованного плутония или урана порождает почти грамм радиоак-



Рис. 29-15. Скульптура «Атомный век» (выполнена Генри Муром и приобретена Чикагским университетом) в память об овладении атомной энергией

---

* Сквош — игра в мяч с ракеткой, сходная с теннисом. Корт для сквоша представляет собой бетонную коробку, лишенную потолка и одной из стен. — *Прим. перев.*

тивных продуктов деления, обладающих огромной радиоактивностью.

Независимо от того, «сжигается» урановое горючее быстро, как в бомбе, или медленно, как в ядерном реакторе, возникающая при этом радиоактивность представляет собой серьезную проблему. Значительная часть стоимости ядерных реакторов обусловлена тщательно разработанными средствами безопасности для предотвращения аварий и обработки радиоактивных отходов. Хотя в случае с редкими авариями, такими как нарушение системы водяного охлаждения или неисправность управляющих стержней, ядерный реактор не взорвется наподобие атомной бомбы, однако при этом могут расплавиться соответствующие детали, в результате чего произойдет утечка радиоактивности в окружающую среду.

Для обеспечения безопасности используемые в промышленности ядерные реакторы снабжаются аварийной системой охлаждения активной зоны и заключаются в герметичные баки, рассчитанные на высокое давление. Надежные оценки вероятностей возникновения аварий на реакторе и возникающих при этом потерь представляют собой весьма сложную задачу. Многие считают, что бóльшую опасность для человечества представляет не радиоактивность, создаваемая ядерными электростанциями, а загрязнение от обычных электростанций на угле. Имеется также проблема длительного хранения радиоактивных продуктов деления.

Более косвенная опасность, обусловленная использованием ядерной энергии, таится в ее распространении среди небольших государств, что может привести к дальнейшему распространению ядерного оружия и, как возможное следствие, к ядерной войне. Если бы мир отказался от получения ядерной энергии, это, вероятно, уменьшило бы и опасность возникновения ядерной войны. Ожидается, что ядерная энергия поможет обеспечить мировые потребности в энергии, когда добыча нефти, газа и угля будет уже не в состоянии удовлетворить спрос на нее.

Дополнение редактора к § 6

В связи с проблемой практического осуществления цепной ядерной реакции деления урана необходимо заметить следующее. Первый пуск управляемого уран-графитового ядерного реактора действительно был осуществлен в декабре 1942 г. под руководством Э. Ферми в США в рамках реализации так называемого Манхэттенского проекта. Таким было кодовое название секретной правительственной научно-промышленной программы (проекта) США по созданию первой атомной бомбы (1942–1945). Инициатором работы по созданию бомбы стали А. Эйнштейн и другие ученые, опасавшиеся, что в фашистской Германии это оружие будет создано раньше и принесет огромные разрушения*. Проект осуществлялся группой, которую возглавлял Э. Ферми и в которую входил ряд крупнейших ученых — физиков и математиков, эмигрировавших из оккупированных гитлеровской Германией стран Европы.

Работа велась в нескольких лабораториях, главным образом в Окридже, штат Теннесси, и Лос-Аламосе, штат Нью-Мексико. Исследования также велись

---

* Действительно, подобные работы велись в конце войны в Германии группой физиков под руководством В. Гейзенберга, однако, к счастью для человечества, эти работы оказались весьма далеки от завершения (заметим, что незадолго до войны именно немецкие физики лидировали в проблеме деления тяжелых ядер).

в Чикагском, Калифорнийском и Колумбийском университетах. Первое успешное испытание атомного оружия произошло спустя 3,5 года после упомянутого выше запуска реактора — 16 июля 1945 г. около Аламогордо, штат Нью-Мексико. Первое применение этого оружия в форме атомной бомбардировки японских городов Хиросима и Нагасаки по приказу президента США Г. Трумэна произошло 6 августа 1945 г.

В Советском Союзе во время войны работы в указанном направлении по понятным причинам практически не велись, хотя ряд теоретических и экспериментальных наработок уже имелся. Однако начиная с 1946 г., благодаря резкому изменению политического курса США наша страна была вынуждена запустить свой собственный атомный проект. Этот проект был успешно реализован в 1949 г. испытанием первой отечественной атомной бомбы, а в 1953 г. — уже и водородной.

Во главе советского атомного проекта стояли выдающиеся отечественные ученые — физики И. В. Курчатов, Ю. Б. Харитон, Я. Б. Зельдович, И. Е. Тамм, А. Д. Сахаров, математики Н. Н. Боголюбов, М. В. Келдыш, М. А. Лаврентьев и многие другие. В значительной мере на основе этих работ именно в Советском Союзе в 1954 г. была пущена первая в мире атомная электростанция мощностью 5 МВт; она была сооружена в г. Обнинске (Калужская область) по проекту Н. А. Доллежаля под руководством Д. И. Блохинцева.

§ 7. Синтез ядер

Из рис. 29-8 мы видим, что масса, или энергия покоя, двух легких ядер оказывается больше, чем у суммарного ядра. Если бы эти ядра можно было привести в соприкосновение, то результирующее ядро имело бы меньшую массу и высвободилась бы энергия, равная разности масс. Например, если бы удалось соединить два дейтрона и получить ядро гелия, масса которого меньше суммарной массы двух дейтронов на 24 МэВ, то удалось бы высвободить энергию синтеза в количестве 24 МэВ. Таким образом, при объединении двух дейтронов с образованием гелия в энергию превращается 0,6 % их первоначальной массы покоя. Если бы этот процесс синтеза удалось использовать для производства энергии, то он оказался бы примерно в шесть раз эффективнее процесса деления урана.

Более того, в воде озер и океанов имеются неограниченные запасы недорогого дейтерия, чего нельзя сказать о других видах топлива. Однако серьезным препятствием на пути к получению энергии в неограниченном количестве из «морской воды» является закон Кулона. Электростатическое отталкивание двух дейтронов при комнатной температуре не позволяет им сблизиться до расстояний, на которых сказываются короткодействующие ядерные силы притяжения.

Пример 12. Предположим, что для преодоления электростатического отталкивания два дейтрона должны сблизиться до 10^{-14} м. Какова при этом высота электростатического потенциального барьера в МэВ?

Решение:

$$U = k_0 \frac{e^2}{r} = 9 \cdot 10^9 \frac{\left(1{,}6 \cdot 10^{-19}\right)^2}{10^{-14}} \text{ Дж} =$$

$$= 2{,}3 \cdot 10^{-14} \text{ Дж} = 0{,}14 \text{ МэВ}.$$

Пример 13. Пусть энергия каждого дейтрона равна $(3/2)\,kT$. До какой температуры нужно нагреть дейтроны, чтобы преодолеть потенциальный барьер?

Решение: Из примера 12 мы знаем, что два дейтрона должны иметь энергию 0,14 МэВ, или каждый из них 0,07 МэВ. Таким образом,

$(3/2)kT = 0{,}07$ МэВ $= 1{,}15 \cdot 10^{-14}$ Дж,

откуда

$T = 5{,}6 \cdot 10^8$ К.

Из этого примера мы видим, что если бы удалось нагреть дейтерий до температуры $\sim 5{,}6 \cdot 10^8$ К, то в нем осуществилась бы реакция синтеза. Благодаря тому, что имеется возможность проникновения сквозь барьер, нет необходимости в создании столь высоких температур. Для получения управляемой термоядерной энергии и инициирования термоядерного взрыва водородной бомбы достаточно температуры около $5 \cdot 10^7$ К. Ядерные реакции, требующие для своего осуществления температур порядка миллионов градусов, называются термоядерными. Мгновенные температуры, развивающиеся при взрыве атомной бомбы, оказываются достаточно высокими, чтобы поджечь термоядерное горючее.

Для этого вместо жидкого дейтерия в качестве горючего используется соединение LiH, причем только с изотопами ^{6}Li и ^{2}H (дейтерий вместо водорода). Изотоп ^{6}Li поглощает нейтроны, возникающие в реакции

$$^2\mathrm{H} + {}^2\mathrm{H} \rightarrow {}^3\mathrm{He} + \mathrm{n};$$

таким образом,

$$\mathrm{n} + {}^6\mathrm{Li} \rightarrow {}^3\mathrm{H} + {}^4\mathrm{He}.$$

Затем тритий (^{3}H) вступает в реакцию

$$^2\mathrm{H} + {}^3\mathrm{H} \rightarrow {}^4\mathrm{He} + \mathrm{n}.$$

В результате происходит выгорание дешевого дейтеридалития-6 (^{6}Li^{2}H), сопровождающееся образованием ^{3}He, ^{4}He и нейтронов. Начавшись, термоядерные реакции сопровождаются выделением энергии, и этим обеспечивается поддержание высоких температур, пока большая часть вещества быстро не «выгорит». В этом случае происходит то, что мы называем взрывом водородной бомбы. Термоядерное горючее крайне дешево, и не имеется ограничений на его количество при использовании в отдельной бомбе. Проводились испытания бомб мощностью до 100 Мт (с ТНТ-эквивалентом $6 \cdot 10^8$ т).

Энерговыделение при взрыве чисто термоядерной водородной бомбы можно почти удвоить (при этом стоимость ее увеличится не намного) за счет использования оболочки из ^{238}U. В этом случае нейтроны, возникающие в результате термоядерных реакций, вызывают деление ядер ^{238}U, что приводит к увеличению числа нейтронов, бомбардирующих ^{6}Li, и т. д. Поэтому в большинстве взрывов водородных бомб энерговыделение, обусловленное делением ядер, оказывается таким же, как и получаемое в процессе синтеза, и сопровождается опасными выпадениями радиоактивных продуктов деления.

Управляемый синтез

Для того чтобы с помощью ядерного синтеза можно было получить полезную энергию, термоядерные реакции должны быть управляемыми. Необходимо найти способы создания и поддержания температур во много миллионов градусов. Одна из технических проблем связана с тем, что высокотемпературный газ, или плазму, нужно удерживать таким образом, чтобы не расплавились стенки соответствующего объема. На решение этой технической задачи уже затрачены и затрачиваются огромные усилия. Плазму пытаются изолировать от стенок с помощью сильных магнитных полей. Задача заключается в том, чтобы удержать

плазму в изолированном состоянии в течение достаточно продолжительного времени и при этом выработать мощность, превышающую ту, которая была затрачена на запуск термоядерного реактора. Достигнутое до сих пор время удержания оказывалось в лучшем случае раз в 50 меньше необходимого. Ряд специалистов считает, что эта проблема будет успешно решена до конца нашего столетия. На рис. 29-16 показана предполагаемая схема конструкции реактора.

Электростанция, работающая на термоядерной реакции, из-за отсутствия в ней продуктов деления должна иметь значительно меньшую радиоактивность по сравнению с ядерными реакторами. Однако в термоядерных установках испускается, а затем захватывается большое число нейтронов, что, как правило, приводит к образованию радиоактивных изотопов. Поэтому вокруг камеры с плазмой предполагается создавать оболочку («бланкет») из лития. В этом случае нейтроны будут производить тритий (изотоп ^{3}H с периодом полураспада 12 лет), который можно использовать в дальнейшем как горючее. Еще одна возможность основана на том, чтобы окружать камеру с плазмой ураном или торием; при этом воспроизводится делящееся горючее для ядерных реакторов. Если такой способ обеспечит производство дешевой энергии, то термоядерные электростанции в конечном счете могут оказаться такими же источниками радиоактивности, как и нынешние способы получения атомной энергии. Сходное устройство называется гибридным реактором. В таком реакторе нейтроны, возникающие в результате синтеза, производят ядерную энергию с использованием ^{238}U. Энергия вырабатывается одновременно как за счет синтеза, так и за счет деления. Все до сих пор предлагавшиеся проекты реакторов, основанных на процессе синтеза, являются малообещающими с точки зрения экономической выгоды по сравнению с конкурирующим производством энергии на основе минерального горючего.

Другой возможностью овладения термоядерной энергией является поиск практических путей использования энергии, выделяющейся при взрыве водородных бомб. Изучались возможности получения энергии при взрывах небольших водородных бомб в глубоких подземных полостях многократного использования. Такой способ мог бы, вероятно, составить конкуренцию с экономической точки зрения методам магнитного удержания.

Миниатюрный вариант этого способа связан с использованием значительно меньших по габаритам (диаметром гораздо меньше 1 см) «водородных бомб». Маленькую таблетку с термоядерным горючим можно подвергнуть быстрому сжатию и таким образом нагреть до высокой температуры, направив на нее импульсы от группы мощных лазеров. Вместо лазерных пучков можно использовать

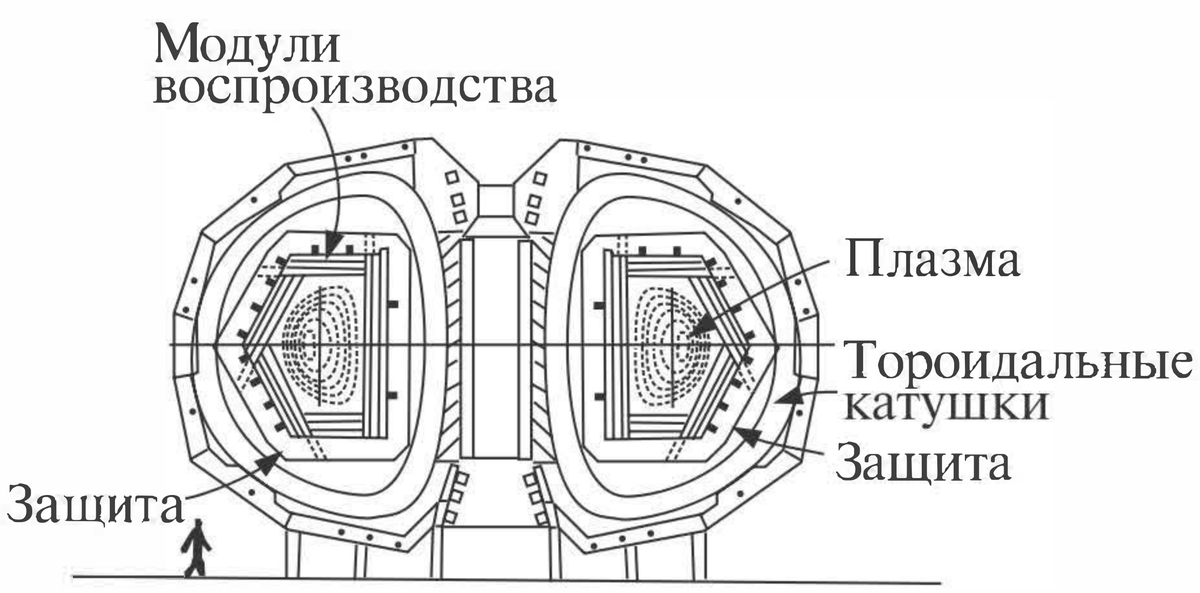


Рис. 29-16. Предполагаемая конструкция термоядерного реактора с магнитным удержанием. Магнитное поле создается сверхпроводящими обмотками. Такой реактор рассчитан на выработку мощности ~750 МВт. Конструкция разработана в Ок-Риджской национальной лаборатории. [С любезного разрешения Д. Штейнера из Ок-Риджской национальной лаборатории.]

пучки электронов или тяжелых ионов. Для получения подходящей мощности достаточно расходовать несколько таблеток в минуту. В природе существует еще один механизм удержания, обеспечивающий непрерывное выделение термоядерной энергии, — это гравитационное удержание. Однако, чтобы обеспечить достаточно сильное гравитационное поле, потребуется масса порядка солнечной. Действительно, источниками энергии в звездах являются термоядерные реакции.

Дополнение редактора к § 7

Примечательно, что и в значительно более сложной (и до настоящего времени не реализованной) проблеме управляемого термоядерного синтеза (УТС) отечественная наука с самого начала была и — несмотря на все трудности последних двух десятилетий — продолжает оставаться в числе мировых лидеров в этой области. Достаточно лишь упомянуть, что основополагающая для этой области физики и техники идея термоизоляции горячей (до $T = 10^8$ K) плазмы с помощью магнитных полей сложной конфигурации и высокой напряженности (до 10^5 Гс) была высказана советскими физиками И. Е. Таммом и А. Д. Сахаровым в 1950 г.

Проблемы практической реализации идеи ядерной энергетики сохраняют свою важность и, более того, становятся все более актуальными по мере истощения мировых запасов органического топлива — угля, газа и нефти. По оценкам Энергетической комиссии ООН, этих запасов (даже при современном уровне потребления) хватит не более чем на 50–100 лет — не говоря уже о том, что, по выражению Д. И. Менделеева, использовать нефть в качестве горючего — это все равно что топить ассигнациями.

К сожалению, развитие ядерной энергетики сдерживается целым рядом факторов и в первую очередь все еще недостаточной безопасностью ядерных реакторов деления с точки зрения возможных аварий, грозящих радиоактивным заражением (достаточно упомянуть Чернобыльскую катастрофу, произошедшую в апреле 1986 г.). Кроме того, до сих пор по-настоящему не решена проблема переработки или захоронения радиоактивных отходов.

Что касается термоядерных реакторов, то пока ни одной мировой державе (США, России, Англии, Германии и Японии) не удалось добиться реакции синтеза с полезной мощностью по крайней мере несколько мегаватт в течение времени, превышающего несколько секунд. Существенно, что в качестве основы для реализуемого с 1992 г. по настоящее время по программе УТС крупного международного проекта ИТЭР (Россия, США, Япония и страны Евроатома) выбрана концепция «Токамак» (тороидальная камера с магнитными катушками), разработанная отечественными учеными на основе идеи Тамма–Сахарова.

Другой проблемой, связанной с реализацией УТС, также является проблема биологической опасности, связанной с интенсивным выделением вредного нейтронного излучения при работе на энергетически наиболее выгодной смеси изотопов водорода — дейтерия и трития. В перспективе рассматривается создание слаборадиоактивного термоядерного реактора, работающего на смеси дейтерия с легким изотопом гелия ^{3}He, однако здесь лимитирующей является проблема сырья.

Дело в том, что дейтерий и тритий могут быть сравнительно просто (хотя и со значительными энергозатратами) извлечены, например, из морской воды,

тогда как ^{3}He на Земле чрезвычайно редок: его концентрация составляет миллионные доли от концентрации обычного изотопа ^{4}He. В последние годы в связи с удешевлением космических полетов всерьез рассматривается способ получения ^{3}He путем транспортировки его с богатой этим изотопом поверхности Луны. Все это, конечно, отрицательно влияет на конечную экономическую эффективность получения и использования термоядерной энергии, однако может случиться так, что у человечества не будет иного выхода для преодоления энергетического кризиса.

Основные выводы

Размеры ядер можно определить, используя дифракционное рассеяние при высоких энергиях, а также упругое рассеяние электронов или поглощение нейтронов. Оказалось, что радиус ядра с массовым числом A равен $R \approx (1{,}2 \cdot 10^{-15}\ \text{м})\, A^{1/3}$.

Если электрон «нацелен» в край ядра, имеющего заряд Ze и радиус R, то, согласно классической механике, его угол отклонения определяется соотношением

$$\operatorname{tg}\left(\frac{\theta}{2}\right) = k_0 \frac{Ze^2}{Rpv}.$$

Взаимодействие между двумя нуклонами можно приближенно описать прямоугольной ямой радиусом $R = 2{,}3 \cdot 10^{-15}$ м и глубиной 29 МэВ (в случае когда спины нуклонов параллельны). В таком потенциале низшей нуклонной стоячей волне соответствует уровень с энергией $E = -2{,}22$ МэВ, что представляет собой экспериментальное значение связи дейтрона.

В ядрах с большим числом нуклонов эффективная глубина ямы увеличивается примерно до 42 МэВ. Подстановка в формулу для энергии Ферми K_f известного значения плотности нейтронов дает $K_f = 34$ МэВ. Соответствующий энергетический уровень $E = K_f + U = (34 - 42)$ МэВ $= -8$ МэВ. Протон с наивысшей энергией будет находиться в ядре несколько выше этого энергетического уровня, так что энергия, необходимая для удаления протона или нейтрона из типичного ядра средней массы, составляет 8 МэВ. Эта модель потенциальной ямы с учетом наблюдаемого на опыте спин-орбитального взаимодействия лежит в основе оболочечной модели ядра, из которой мы получаем значения магических чисел: 2, 8, 20, 50, 82, 126 для наиболее сильно связанных ядер.

Характеристики альфа-распада можно получить, используя представление о квантово-механическом проникновении сквозь кулоновский барьер. Среднее время жизни τ относительно альфа-распада дается выражением

$$\tau \approx \frac{2R}{v} \frac{\left|\psi_{\text{внутр.}}\right|^2}{\left|\psi_{\text{внеш.}}\right|^2}.$$

Если первоначально имеется n_0 радиоактивных ядер, то спустя время t число ядер $n = n_0 \exp(-t/\tau)$.

Ядро в возбужденном состоянии может самопроизвольно испускать фотон, точно так же как это происходит в случае с возбужденным атомом. Этот процесс называется гамма-распадом. Бета-распад имеет аналогичное квантово-механическое объяснение, с той лишь разницей, что вместо фотона испускается пара «электрон-нейтрино».

Производство плутония основано на облучении ^{238}U нейтронами, ведущем к образованию изотопа ^{239}U, который в результате бета-распада превращается в ^{239}Np, а затем после еще одного бета-

распада в ^{239}Pu. При поглощении нейтрона с малой энергией оба изотопа, ^{235}U и ^{239}Pu, испытывают деление, т. е. являются ядерным горючим. Продукты деления характеризуются более сильной связью (на ~1 МэВ на нуклон), благодаря чему в результате деления высвобождается примерно 200 МэВ энергии.

Энергия выделяется также при синтезе двух легких ядер, таких как ^{2}H, ^{3}H или ^{6}Li. Для сближения двух положительно заряженных ядер до области действия ядерных сил притяжения, способных превратить их в более сильно связанное ядро больших размеров, требуются чрезвычайно высокие температуры (~10^8 K).

Упражнения

1. Допустим, что нейтрон состоит из сердцевины, имеющей радиус $R_c = 0{,}1$ фм и заряд $+e$; эта сердцевина окружена заряженным облаком, имеющим радиус 1 фм и заряд $-e$. На какой угол $\theta_{\text{макс.}}$ отклоняются при рассеянии на сердцевине электроны с энергией 10 ГэВ?
2. Чему равна электростатическая потенциальная энергия двух протонов, расположенных на расстоянии 1 фм друг от друга?
3. Каково расстояние между соседними нуклонами, если в кубическом сантиметре вещества содержится $1{,}38\cdot10^{44}$ нуклонов? (Предполагается, что нуклоны образуют кубическую решетку.)
4. Найдите электростатическую потенциальную энергию протона на поверхности ядра меди.
5. С помощью рис. 29-10 найдите магическое число, которое следует после магического числа 126.
6. Какое значение v средней скорости альфа-частицы внутри ядра использовалось в примере 10?
7. Если период полураспада радия 1600 лет, то какая доля образца радия распадается по прошествии 3200 лет?
8. Что продолжительнее — три периода полураспада или два средних времени жизни?
9. Какой процент радиоактивного образца распадается на протяжении одного времени жизни? А на протяжении двух времен жизни?
10. Рассмотрим образец, содержащий 1000 радиоактивных ядер с периодом полураспада T. Сколько приблизительно атомов останется спустя $T/2$?
11. Солнце имеет массу $2\cdot10^{30}$ кг, распределенную со средней плотностью $1{,}4\cdot10^3$ кг/м^3. Каким был бы диаметр Солнца, имеющего ту же массу, но плотность ядерного вещества?
12. В термоядерной бомбе 18 кг взрывчатки могут обеспечить энерговыделение, эквивалентное взрыву 1 млн т ТНТ. Из 1 т ТНТ высвобождается 10^9 кал. Сколько граммов термоядерной взрывчатки превращается в энергию?
13. Тяжелое ядро X содержит 204 нуклона и характеризуется удельной энергией связи 8 МэВ. Допустим, что энергия покоя свободного протона или свободного нейтрона равна 940 МэВ.
    а) Найдите энергию покоя ядра X.
    б) Ядро X испускает α-частицу (с энергией связи 28 МэВ) и превращается в ядро с удельной энергией связи 8,1 МэВ. Найдите кинетическую энергию, которая выделяется в этом процессе.
14. Энергии покоя трития и гелия-3 равны соответственно $Mc^2(^3\text{H}) = 2805{,}205$ МэВ и $Mc^2(^3\text{He}) = 2804{,}676$ МэВ. Энергия покоя электрона 0,511 МэВ. Будет ли тритий испытывать бета-распад и если да, то какой будет энергия β-частиц?

Задачи

15. Если радиус звезды $R = 2GM/c^2$, то свет не сможет покинуть ее — звезда представляет собой черную дыру. Рассмотрим звезду, радиус которой удовлетворяет этому соотношению, а плотность равна плотности типичного атомного ядра. Чему равны радиус и масса этой звезды? Сравните полученную массу с массой Солнца.

16. Покажите, что если толщина пластинки x мала, то сечение столкновения нейтронов дается выражением

$$\sigma = \frac{N_{\text{пад.}} - N}{N_{\text{пад.}}} \frac{A}{N_a},$$

где A — площадь пластинки и N_a — число атомов в ней.

17. Нейтронное сечение меди равно 0,65 барн. На какой толщине пучок нейтронов ослабится в e раз?

18. Допустим, что $U_0 = 25$ МэВ, а энергия связи дейтрона равна 2,2 МэВ. Используя соотношение (29-8), найдите r_0 — радиус эффективной прямоугольной ямы.

19. В некотором тяжелом ядре α-частица соударяется 10^{22} раз в секунду с потенциальным барьером и $\psi_{\text{внутр.}}/\psi_{\text{внеш.}} = 10^{14}$.

а) Какова вероятность распада этого ядра в течение 1 с?

б) Чему равны среднее время жизни и период полураспада?

20. Образец радиоактивного материала содержит 10^{12} радиоактивных атомов. Если период их полураспада равен 1 ч, то сколько атомов распадается за 1 с?

21. Рассмотрим следующую фотоядерную реакцию:

$$\gamma + {}^{63}\text{Cu} \rightarrow {}^{63}\text{Cu}^*,\ {}^{63}\text{Cu}^* \rightarrow {}^{62}\text{Ni} + \text{p}.$$

Предположим, что фотон с энергией 13 МэВ поглощается протоном на уровне Ферми (см. рисунок ниже, на котором приведена потенциальная кривая протона в ^{63}Cu).

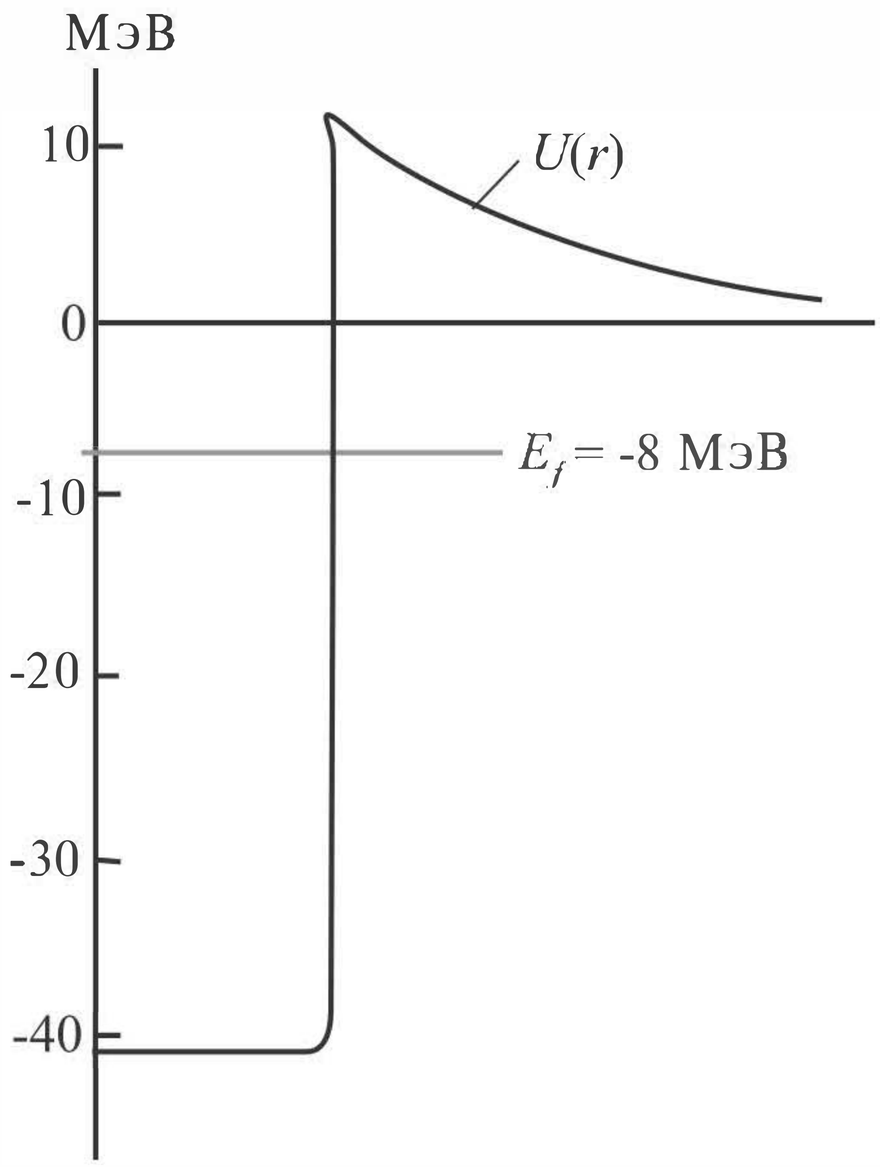
а) Чему равна энергия вылетающего протона?

б) Грубо оцените число соударений этого протона с потенциальным барьером в секунду.

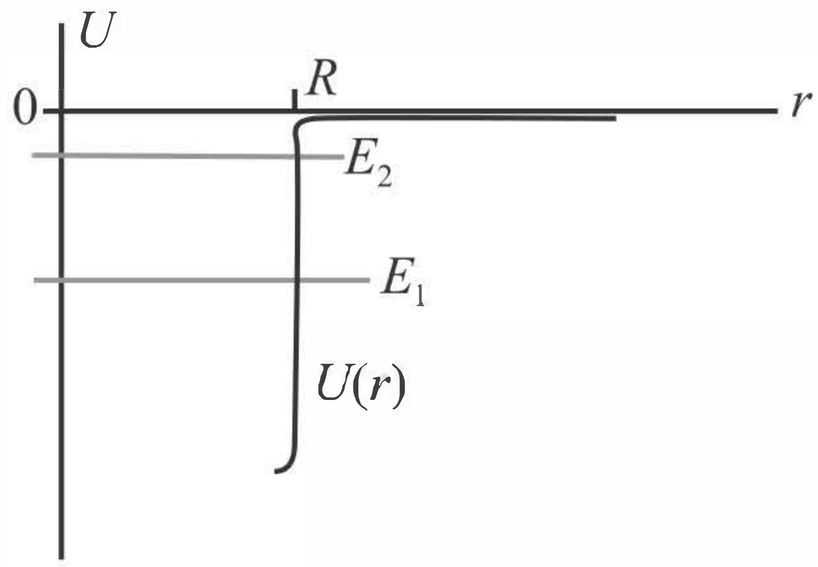
в) Если $\psi_{\text{внеш.}}/\psi_{\text{внутр.}} \approx 10^8$, то чему приблизительно равно время жизни промежуточного состояния?

г) Пусть энергия фотона 12 МэВ. Будет время жизни длиннее или короче?

д) Чему равен энергетический порог этой фотоядерной реакции? (Какова минимальная энергия фотона, поглощение которого приводит к испусканию протона?)



22. Допустим, что в трехмерном пространстве потенциальная энергия зависит только от расстояния r (см. рисунок). Постройте функции $u(r) = r\psi(r)$, отвечающие двум низшим энергетическим уровням в этой яме.



23. Начертите $u(r)$ и $\psi(r)$ для случая, рассмотренного в примере 7.

24. Какая доля дейтрона сосредоточена в области радиусом r_0? [*Указание:* эта доля равна $\left(\int_0^{r_0} \psi^2 r^2 dr\right) \Big/ \left(\int_0^{\infty} \psi^2 r^2 dr\right)$.]

25. Повторите решение в примере 8 в случае с $A = 60$. Чему равно отношение числа протонов к числу нейтронов?

26. Повторите решение в примере 8 в случае с $A = 40$. Чему равно отношение числа протонов к числу нейтронов?

27. Сколько граммов урана расходуется ежедневно для производства 1000 МВт электроэнергии? (КПД преобразования 30 %.)

28. Ежегодное потребление электроэнергии в США составляет примерно 10^{13} кВт·ч. КПД преобразования тепла в электроэнергию составляет 30 %.

а) Сколько для этого приходится ежегодно сжигать тонн угля (или нефти)? Сколько потребовалось бы тонн урана, если бы соответствующие электростанции были ядерными?

б) Если бы электроэнергия извлекалась из подземного взрыва водородной бомбы мощностью 1 Мт, то сколько бы потребовалось ежедневно взрывов?

30

Астрофизика

§ 1. Источники энергии звезд

В этой главе мы попытаемся разобраться в том, как могли возникнуть звезды и планеты, откуда берется огромная энергия, излучаемая звездами, и, наконец, что происходит со звездой, когда иссякает источник ее энергии. При этом отправным пунктом нашего рассмотрения будет общепринятая точка зрения, что прародительницей всех галактик с входящими в них звездами и планетами является первичная смесь, состоявшая примерно из 75 % водорода и 25 % гелия. Обоснование такого первичного состава вещества будет дано в гл. 32.

Пример 1. Как долго просуществовало бы Солнце за счет химической реакции горения? А за счет превращения водорода в гелий? Масса Солнца $M_\odot = 2\cdot10^{30}$ кг, а мощность его излучения $P = 4\cdot10^{26}$ Вт.

Решение:

а) Рассмотрим типичную химическую реакцию сгорания углерода. В ней выделяется $7{,}9\cdot10^6$ Дж энергии в расчете на 1 кг образуемого CO_2. Умножив эту величину на массу Солнца (для оценки предполагаем, что все Солнце состоит из смеси кислорода и углерода), получим $E = 1{,}6\cdot10^{37}$ Дж. Поскольку по определению мощность $P = E/t$, то

$$t = \frac{E}{P} = \frac{1{,}6\cdot10^{37}\ \text{Дж}}{4\cdot10^{26}\ \text{Вт}} = 4\cdot10^{10}\ \text{с} = 1250\ \text{лет}.$$

б) При превращении водорода в гелий высвобождается энергия, равная разности масс четырех ядер водорода и одного ядра гелия. Обратившись к таблицам, находим, что в таком процессе высвобождается энергия, равная примерно 0,7 % энергии покоя исходного количества водорода. Таким образом, излучаемая энергия равна $E = (7\cdot10^{-3})M_\odot c^2 = 1{,}3\cdot10^{45}$ Дж. Отсюда

$$t = \frac{E}{P} = \frac{1{,}3\cdot10^{45}\ \text{Дж}}{4\cdot10^{26}\ \text{Вт}} = 10^{11}\ \text{лет}.$$

Это примерно в 20 раз превосходит настоящий возраст Солнца. Такая переоценка связана с тем, что в звезде в термоядерную реакцию вступает не весь водород, а лишь его сравнительно небольшая доля в центре звезды. Внешние оболочки звезды имеют температуру намного меньшую, чем необходимо.

Флуктуации плотности первичного газа приводят к образованию сгустков или «комков», которые начинают сжиматься под действием сил тяготения. Сжатие газа приводит к повышению температуры в центре газового «комка». В результате разогрева примерно до 10^7 К в центре будущей звезды загорается первая реакция синтеза водорода в гелий. Выделяемая в такой реакции энергия частично теряется на излучение, частично тратится на поддержание теплового давления, препятствующего дальнейшему гравитационному сжатию. В результате на первом, самом долгом, этапе своей эволюции звезда представляет собой равновесную термодинамическую систему, поддерживаемую в таком состоянии тер-

моядерной реакцией синтеза водорода в гелий.

В равновесном состоянии между потенциальной энергией тяготения U и средней кинетической, или «тепловой», энергией движения частиц газа $E_{кин}$ устанавливается соотношение (см. § 3 гл. 7), носящее название *теоремы вириала*:

$$2E_{кин} = -U.$$

Таким образом, в стационарном состоянии потенциальная энергия гравитационного сжатия звезды по абсолютной величине всегда вдвое больше тепловой энергии. Благодаря этому стационарное состояние звезды очень устойчиво.

Из теоремы вириала следует, что звезда обладает отрицательной теплоемкостью. Обычные тела при остывании отдают энергию и понижают свою температуру, их теплоемкость поэтому положительна. У звезды происходит все наоборот: чем больше энергии излучается с ее поверхности, тем выше становится ее температура в центре. Объясняется это тем, что, когда звезда теряет энергию, она постепенно сжимается за счет сил тяготения. При сжатии потенциальная энергия тяготения превращается в кинетическую энергию падения слоев звезды к центру, так что звезда разогревается. В силу теоремы вириала потенциальная энергия звезды по абсолютной величине вдвое больше тепловой энергии, следовательно, тепловая энергия, приобретаемая звездой в результате сжатия, вдвое больше той энергии, которая теряется в виде излучения. В результате температура в центре звезды становится тем больше, чем больше энергии она потеряет на излучение.

Благодаря указанному удивительному свойству звезд — отрицательной теплоемкости — в недрах звезды осуществляется непрерывный термоядерный синтез. Так как температура в центре неуклонно повышается, это означает, что происходит переход от одной термоядерной реакции синтеза (с более легкими элементами) к другой реакции, в которой участвуют более тяжелые элементы.

Дальнейший сценарий эволюции звезды после образования первичного «комка» существенно зависит от его исходной массы. Нетрудно оценить минимальную массу первичного «комка» вещества, из которого может образоваться *протозвезда*. Действительно, гравитационная энергия N нуклонов массой m в объеме V (плотность нуклонов $\rho = N/V$) равна по порядку величины

$$E_g \sim -\frac{G(Nm)^2}{V^{1/3}} = -Gm^2 N^{5/3}\rho^{1/3}.$$

С другой стороны, электростатическая энергия отталкивания электронов в атомных оболочках при сближении атомов равна

$$E_e \sim N\left(\frac{e^2}{r_{сосед}}\right) \sim Ne^2\rho^{1/3}..$$

Введем безразмерные константы электромагнитного и гравитационного взаимодействий (подразумевается, что мы выбрали систему единиц $\hbar = c = 1$): $\alpha = e^2 \approx 1/137$, $\gamma = Gm_p{}^2 \approx 6\cdot10^{-39}$, где m_p — масса протона. Тогда отношение

$$\left|\frac{E_e}{E_g}\right| \sim \frac{\alpha}{\gamma}N^{-2/3},$$

и при

$$N > \left(\frac{\alpha}{\gamma}\right)^{3/2} \approx 10^{54} \text{ нуклонов}$$

гравитационное сжатие доминирует над электростатическим отталкиванием. Это соответствует массам, большим, чем масса Юпитера.

Итак, на самой ранней стадии эволюции звезда представляет собой состоящий из водорода и гелия (в пропорции примерно 3:1) газовый шар достаточно большой массы M и большого размера, который продолжает сжиматься за счет гравитационных сил. При этом шар излучает энергию за счет энергии гравитации. Звезда сжимается, увеличивая среднюю температуру и плотность в центре.

Если исходная масса превосходит величину, равную 0,08 массы Солнца, то температура окажется достаточно высокой, чтобы начали протекать следующие термоядерные реакции:

$$^1\mathrm{H} + {}^1\mathrm{H} \to {}^2\mathrm{D} + e^+ + \nu_e;$$

$$^1\mathrm{H} + {}^2\mathrm{D} \to {}^3\mathrm{He} + \gamma;$$

$$^3\mathrm{He} + {}^3\mathrm{He} \to {}^4\mathrm{He} + {}^1\mathrm{H} + {}^1\mathrm{H}$$

(здесь D — дейтерий ^{2}H). Последовательность этих трех реакций, которые начинают идти при температурах $(1{,}0 - 1{,}5)\cdot 10^7$ K, носит название *протон-протонного цикла* (*цикла Бете*) (рис. 30-1). Этот цикл является основным механизмом выделения энергии на Солнце и других водородных звездах. В результате этой последовательности реакций четыре ядра атома водорода (четыре протона) превращаются в ядро атома гелия (α-частицу), два позитрона, два нейтрино и два фотона с общей кинетической энергией примерно 26 МэВ. Заметим, что первая из реакций является реакцией слабого взаимодействия, аналогичной реакции бета-распада нейтрона (подробнее см. гл. 31).

Если температура в центре звезды находится в интервале $(1{,}5 - 2{,}5)\cdot 10^7$ K, то становится возможным другой цикл:

$$^3\mathrm{He} + {}^4\mathrm{H} \to {}^7\mathrm{Be} + \gamma;$$

$$^7\mathrm{Be} + e^- \to {}^7\mathrm{Li} + \nu_e;$$

$$^7\mathrm{Li} + {}^1\mathrm{H} \to {}^4\mathrm{H} + {}^4\mathrm{H},$$

а при $T > 2{,}5\cdot 10^7$ K — цикл

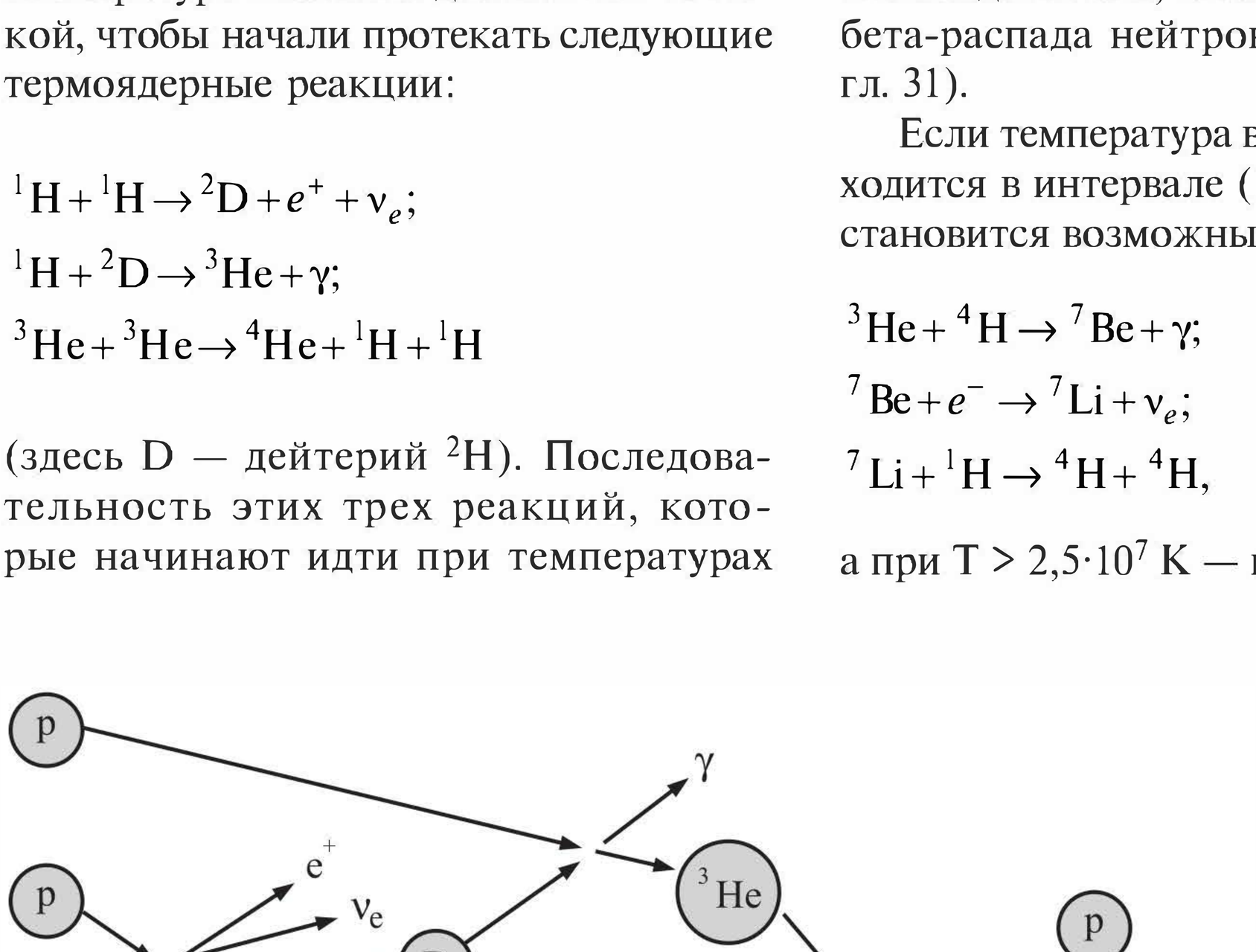


Рис. 30-1. Протон-протонный цикл $\left(\mathrm{p} \equiv {}^1\mathrm{H}\right)$

$$^3\mathrm{He} + {}^4\mathrm{He} \to {}^7\mathrm{Be} + \gamma;$$

$$^7\mathrm{Be} + {}^1\mathrm{H} \to {}^8\mathrm{Be} + \gamma;$$

$$^8\mathrm{Be} \to {}^8\mathrm{Be} + e^+ + \nu_e;$$

$$^8\mathrm{Be} \to {}^4\mathrm{He} + {}^4\mathrm{He}.$$

Вычислим равновесный радиус звезды массой M, удерживаемой в равновесии балансом сил тяготения и сил теплового давления. Для упрощения вычислений будем считать, что плотность звезды постоянна. В действительности плотность звезды в центре значительно больше, чем на периферии, однако предположение о постоянстве плотности приводит к достаточно точному для наших целей результату.

В примере 3 гл. 12 было показано, что гравитационное давление в центре однородного шара радиусом R равно $P = \rho g R/2$, где $g = GM/R^2$ — величина ускорения свободного падения на поверхности шара. Таким образом,

$$P = \frac{1}{2}\frac{\rho G M}{R}.$$

Из формулы (12-10) гл. 12 следует, что тепловое давление

$$P = \frac{\rho k T}{m_p},$$

где m_p — масса протона. Приравнивая эти давления, находим равновесный радиус

$$R = \frac{G M m_p}{2kT}.$$

В случае, когда $T \sim 10^7$ К и $M = M_\odot = 2 \cdot 10^{30}$ кг величина $R = 8 \cdot 10^8$ м. Это практически совпадает с реальным радиусом Солнца $R_\odot = 7 \cdot 10^8$ м. Давление в недрах Солнца составляет $P_\odot = 10^{16}$ Па, плотность $\rho_\odot = 10^5$ кг/м^3. Солнце может светить еще не менее 10 млрд лет.

§ 2. Эволюция звезд

Энергия, излучаемая в единицу времени, называется *светимостью* звезды. Светимость Солнца, равная $L_\odot = 4 \cdot 10^{26}$ Вт, не очень высока, поэтому Солнце причисляют к звездам-карликам. Существуют и звезды-гиганты, светимость которых в десятки тысяч раз больше. Масса таких звезд в десятки раз больше массы Солнца. Вообще, в видимой Вселенной наблюдается около 10^{21} звезд, большинство из которых — красноватые карлики, светимостью и массой уступающие Солнцу (желтый карлик). Самые крупные из известных звезд имеют массу около $50 M_\odot$ (мы не учитываем здесь черные дыры, о которых речь пойдет позже), а самые малые — около $0{,}01 M_\odot$. Различие светимостей гораздо сильнее: от $10^{-4} L_\odot$ у белых карликов до $10^5 L_\odot$ у звезд-гигантов.

Чем больше звезда, тем ярче она светит. При этом, как следует из приведенных значений, зависимость светимости звезды от массы более сильная, чем по закону прямой пропорциональности. Для звезд, в несколько раз превосходящих по массе Солнце, светимость пропорциональна кубу массы. Так как запасы ядерной энергии определяются массой звезды, то из определения светимости следует, что время исчерпания запасов горючего обратно пропорционально квадрату массы звезды. Чем массивнее звезда, тем быстрее она сжигает свое термоядерное горючее в центре. Например, если звезда имеет массу $30 M_\odot$, то ее водород будет израсходован за 10 млн лет.

Когда исчерпывается какой-либо источник энергии, например водород в центральной части звезды, она переходит к новому состоянию равновесия. Смена ядерного горючего — водород, гелий, углерод-кислород, кремний и т. д.

вплоть до железа — приводит к изменению строения звезды, соотношения между ее массой и светимостью. Каждый следующий этап термоядерного синтеза происходит все быстрее — от миллиардов лет для синтеза водорода до долей секунд для синтеза самых тяжелых элементов. Остановка синтеза на элементах группы железа связана с тем, что у ядер этой группы максимальная энергия связи на нуклон (см. рис. 29-8) и дальнейшие термоядерные реакции требуют уже затрат энергии.

Соответственно меняется структура и наблюдаемые свойства звезд: из звезды типа Солнца, в недрах которой идет реакция термоядерного синтеза четырех ядер водорода в ядро гелия с высвобождением энергии, она превращается в красный гигант или сверхгигант (в недрах которых происходит синтез ядер гелия в ядра углерода и кислорода). После окончания стадии термоядерного горения звезда переходит в завершающую стадию эволюции, существенно определяемую законами квантовой механики, ядерной физики и теории относительности (рис. 30-2).

На этой стадии возможны три сценария эволюции, зависящие от исходной массы звезды.

1. Белый карлик. Если масса центрального ядра звезды не превышает 1,4 $M_\odot$ (так называемый *предел Чандрасекара*), то после окончания процессов термоядерного горения она сжимается за счет сил гравитации до тех пор, пока это сжатие не будет уравновешено специфическими силами отталкивания, обусловленными давлением вырожденного газа нерелятивистских электронов (см. ниже формулу (30-7)). Сжатие останавливается, когда плотность вещества достигает значения $\sim 10^9$ кг/м^3. Возникает *белый карлик* — звезда размером с Землю и светимостью $\sim 10^{-3} L_\odot$ и меньше. Белый карлик светит за счет остатков своей тепловой энергии. Постепенно остывая, он может существовать еще миллиарды лет. По оценкам, белые карлики составляют примерно 10 % всех звезд.

2. Нейтронная звезда. Если масса исходной звезды находится в интервале $(1{,}4 - 3)M_\odot$, то при сжатии звезды электроны плазмы становятся релятивистскими, а давление вырожденного газа релятивистских электронов уже не способно удержать звезду от дальнейшего сжатия (доказательство см. ниже). На этом этапе, когда энергия электронов превышает разность масс нейтрона и протона, становится возможной реакция $e^- + p \to n + \nu_e$;

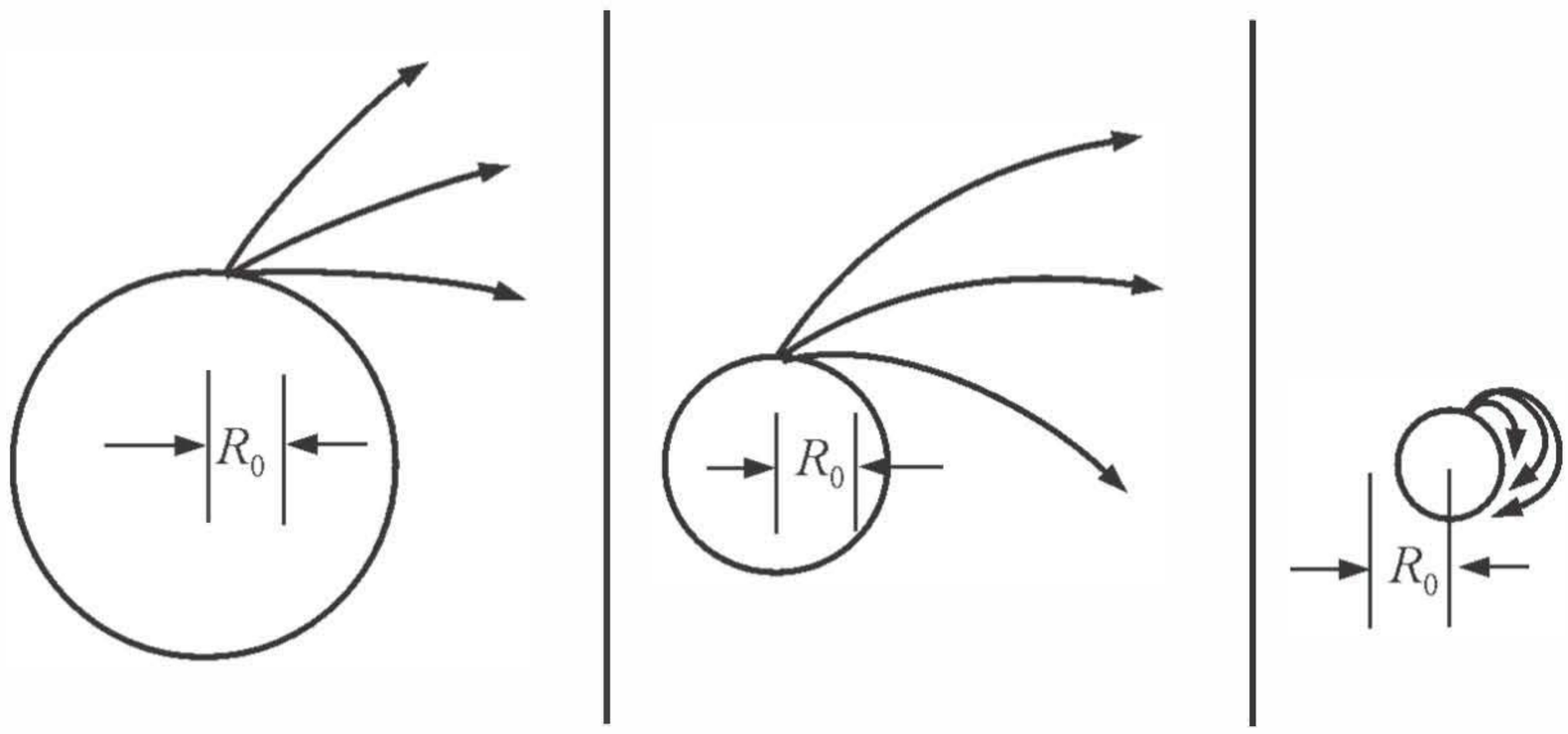


Рис. 30-2. Три возможных сценария эволюции звезды: а) белый карлик; б) нейтронная звезда; в) черная дыра (стрелками указана траектория излученного звездой света)

электроны как бы вдавливаются в протоны, образуя нейтроны. В результате в самом центре сжимающейся звезды образуется ядро, состоящее из нейтронов, окруженное оболочкой из железа. Весь этот процесс носит взрывной характер и происходит очень быстро, за доли секунды. В результате взрыва рождается *сверхновая*, состоящая из крохотной, размером порядка 10 км, центральной звезды, т. н. *пульсара*, и сброшенной взрывом расширяющейся оболочки. Плотность *нейтронной звезды* составляет $\sim 10^{18}$ кг/м^3.

Впервые процесс нейтронизации в сверхплотном веществе исследовал Л. Д. Ландау. В 1932 г. он теоретически предсказал существование нейтронных звезд, обнаруженных 35 лет спустя.

3. Черные дыры. Если масса исходной звезды превышает $3M_\odot$, то уже нет сил, которые могли бы остановить неудержимое сжатие ядра звезды под действием собственного тяготения. Стремительное сжатие приводит к гравитационному коллапсу, в результате которого образуется объект с удивительными свойствами, получивший название *черной дыры*. Сила тяготения на поверхности черной дыры столь велика, что даже свет не может оторваться от нее и излучиться в пространство. Поэтому с точки зрения внешнего наблюдателя черная дыра невидима. Ниже мы обсудим подробнее свойства черных дыр.

§ 3. Квантово-механическое давление вырожденного ферми-газа

Чтобы представить, каким образом можно получить ограничения на размер и массу белого карлика и нейтронной звезды, следует обратиться к свойствам газа электронов или нейтронов, т. е. частиц спина 1/2. Такой газ подчиняется квантовым законам.

Квантовая статистика электронов основывается на принципе Паули, согласно которому два электрона (вообще любые два тождественных фермиона полуцелого спина) не могут находиться в одном и том же месте и в одном и том же квантовом состоянии. Звезда в процессе эволюции непрерывно сжимается, так что плотность и температура электронной плазмы в ее центре достигает огромных значений. В результате тождественные электроны плазмы, с одной стороны, увеличивают энергию, а с другой, занимают все меньший и меньший объем. В силу принципа Паули одно противоречит другому, поэтому в центральной части звезды возникают специфические силы отталкивания, обусловленные давлением вырожденного газа электронов.

Рассмотрим электронный газ при абсолютном нуле температуры (полностью вырожденный ферми-газ). Если бы не действовал принцип Паули, то все электроны при абсолютном нуле имели бы наименьшую энергию, равную нулю. Однако принцип Паули запрещает это и требует, чтобы электроны были распределены по *различным* квантовым состояниям и при этом полная энергия газа имела наименьшее возможное значение. В каждом квантовом состоянии может находиться не более одного электрона, поэтому электроны заполнят все состояния с энергиями от наименьшей (равной нулю) до некоторой наибольшей энергии, величина которой определяется числом электронов в газе.

Число квантовых состояний электрона, движущегося в объеме V с абсолютной величиной импульса в интервале от p до $p + dp$, равно

$$2\frac{4\pi p^2 dp \cdot V}{(2\pi\hbar)^3} = V\frac{p^2 dp}{\pi^2\hbar^3}. \qquad (30\text{-}1)$$

Здесь коэффициент 2 учитывает два возможных спиновых состояния каждого электрона. Величина $(2\pi\hbar)^3$ представляет минимальный объем фазового пространства, который занимает одна частица (эта формула есть следствие соотношения неопределенностей). Все электроны заполняют состояния с импульсами от 0 до p_F. Это граничное значение называют *импульсом Ферми*, или радиусом ферми-сферы. Полное число электронов внутри ферми-сферы, с одной стороны, равно N, а с другой — вычисляется интегрированием формулы (30-1):

$$N = \frac{V}{\pi^2\hbar^3}\int_0^{p_F} p^2 dp = \frac{Vp_F^3}{3\pi^2\hbar^3}, \qquad (30\text{-}2)$$

откуда для граничного импульса Ферми имеем

$$p_F = (3\pi^2)^{1/3}\left(\frac{N}{V}\right)^{1/3}\hbar \qquad (30\text{-}3)$$

и для граничной энергии Ферми

$$\varepsilon_F = \frac{p_F^2}{2m_e} = (3\pi^2)^{2/3}\frac{\hbar^2}{2m_e}\left(\frac{N}{V}\right)^{2/3}. \qquad (30\text{-}4)$$

Полная энергия E ферми-газа электронов получится умножением числа состояний (30-1) на энергию электрона в данном состоянии $p^2/(2m_e)$ и интегрированием по всем импульсам. Учитывая, что в нерелятивистском случае электроны обладают лишь обычной кинетической энергией, находим:

$$E = \frac{V}{2m_e\pi^2\hbar^3}\int_0^{p_F} p^4 dp = \frac{Vp_F^5}{10m_e\pi^2\hbar^3}, \qquad (30\text{-}5)$$

или, после подстановки (30-3),

$$E = \frac{3(3\pi^2)^{2/3}}{10}\frac{\hbar^2}{m_e}\left(\frac{N}{V}\right)^{2/3}N. \qquad (30\text{-}6)$$

Для любых нерелятивистских идеальных газов, в том числе квантовых, выполняется общее соотношение $PV = 2E/3$. Воспользовавшись им, получаем уравнение состояния вырожденного ферми-газа электронов при нулевой температуре:

$$P = \frac{(3\pi^2)^{2/3}}{5}\frac{\hbar^2}{m_e}\left(\frac{N}{V}\right)^{5/3}. \qquad (30\text{-}7)$$

Итак, давление вырожденного нерелятивистского электронного газа при $T = 0$ пропорционально его плотности в степени 5/3.

В ультрарелятивистском случае энергия электронов велика по сравнению с их энергией покоя, и тогда можно считать, что энергия частицы связана с импульсом соотношением $\varepsilon = cp$. Для числа квантовых состояний, а потому и для граничного импульса по-прежнему верны формулы (30-1)—(30-3). Граничная энергия будет тогда равна

$$\varepsilon_F = cp_F = (3\pi h2)^{1/3}\hbar c\left(\frac{N}{V}\right)^{1/3}. \qquad (30\text{-}8)$$

Полная энергия E вырожденного ферми-газа

$$E = \frac{cV}{\pi^2\hbar^3}\int_0^{p_F} p^3 dp = V\frac{cp_F^4}{4\pi^2\hbar^3} =$$

$$= \frac{3(3\pi^2)^{1/3}}{4}\hbar cN\left(\frac{N}{V}\right)^{1/3}. \qquad (30\text{-}9)$$

Давление газа ультрарелятивистских электронов можно получить, вспомнив соотношение $dE = PdV$ (при $T = 0$ энтропия равна нулю). Отсюда, дифференцируя выражение (30-9) по объему, находим:

$$P = \frac{(3\pi^2)^{1/3}}{4}\hbar c\left(\frac{N}{V}\right)^{4/3}. \qquad (30\text{-}10)$$

Итак, давление ультрарелятивистского электронного газа при $T = 0$ пропорционально его плотности в степени 4/3.

Эта на первый взгляд несущественная разница [5/3 согласно (30-7) или 4/3 согласно (30-10)] на самом деле является решающей для понимания происхождения критической массы белых карликов и нейтронных звезд.

§ 4. Белые карлики

Теперь можно установить зависимость полной энергии $E_{\text{полн}}$ «выгоревшей» звезды от ее радиуса R. Даже полностью израсходовав свое ядерное горючее, звезда продолжает излучать и сжиматься до тех пор, пока не будет достигнуто минимального значения полной энергии $E_{\text{полн}}(R)$. Полная энергия системы складывается из общей кинетической энергии всех частиц и гравитационной потенциальной энергии U. Из примера 9 гл. 16 известно, что в случае с однородным шаром массой M гравитационная потенциальная энергия равна

$$U = -\frac{3}{5}\frac{GM^2}{R}. \qquad (30\text{-}11)$$

Рассмотрим звезду, состоящую из атомов с массовым числом A. Пусть N — полное число нуклонов в ней. Тогда в звезде имеется N/A ядер, каждое из которых состоит из Z протонов и $N - Z$ нейтронов. Положим $x = Z/A$; будем считать, что $x \sim 1/2$. Полная масса звезды $M \approx Nm_p$, где m_p — масса протона. Полное число электронов (и протонов) $N_e = xN$. В звезде достаточно малой массы, сжимающейся после полного израсходования ядерного горючего, энергии электронов и ядер будут оставаться нерелятивистскими. Главный вклад будет давать полная квантово-механическая ферми-энергия электронов (30-6). Аналогичной энергией протонов и нейтронов можно пренебречь, так как в формуле (30-6) масса частицы входит в знаменателе. Тепловой кинетической энергией частиц также можно пренебречь по сравнению с квантово-механической, поскольку предполагается, что звезда достаточно остыла.

Полная энергия звезды равна поэтому

$$E_{\text{полн}}(R) = \frac{3(3\pi^2)^{2/3}}{10}\frac{\hbar^2}{m_e}N_e\left(\frac{N_e}{V}\right)^{2/3} - \frac{3}{5}\frac{Gm_p^2N^2}{R} = \frac{3\pi^2}{5}\frac{\hbar^2}{2m_e}\left(\frac{9}{4\pi^2}xN\right)^{2/3}\frac{xN}{R^2} - \frac{3}{5}\frac{Gm_p^2N^2}{R}. \qquad (30\text{-}12)$$

При получении этой формулы мы воспользовались формулами (30-6), (30-11) и подставили $V = 4\pi R^3/3$, $N_e = xN$. График функции (30-12) приведен на рис. 30-3.

Таким образом, даже после полного выгорания ядерного топлива звезда продолжает светить и сжиматься, и, следовательно, ее полная энергия должна непрерывно уменьшаться. При данном радиусе R минимальное значение $E_{\text{полн}}(R)$ будет достигнуто, когда звезда остынет настолько, что можно будет пренебречь тепловой энергией и использовать соотношение (30-12). Минимальное значение R можно найти, решая уравнение $dE_{\text{полн}}/dR = 0$. Решение дает значение

$$R_0 = \frac{\pi^2\hbar^2x^2}{m_e}\left(\frac{9}{4\pi^2}xN\right)^{2/3}\frac{1}{Gm_p^2N}. \qquad (30\text{-}13)$$

Белые карлики — это звезды, которые, продолжая остывать, сжались почти до размера, определяемого формулой (30-13). Для типичного белого карлика, масса которого примерно на 15 % меньше массы Солнца ($N = 10^{57}$ и $x = 1/2$),

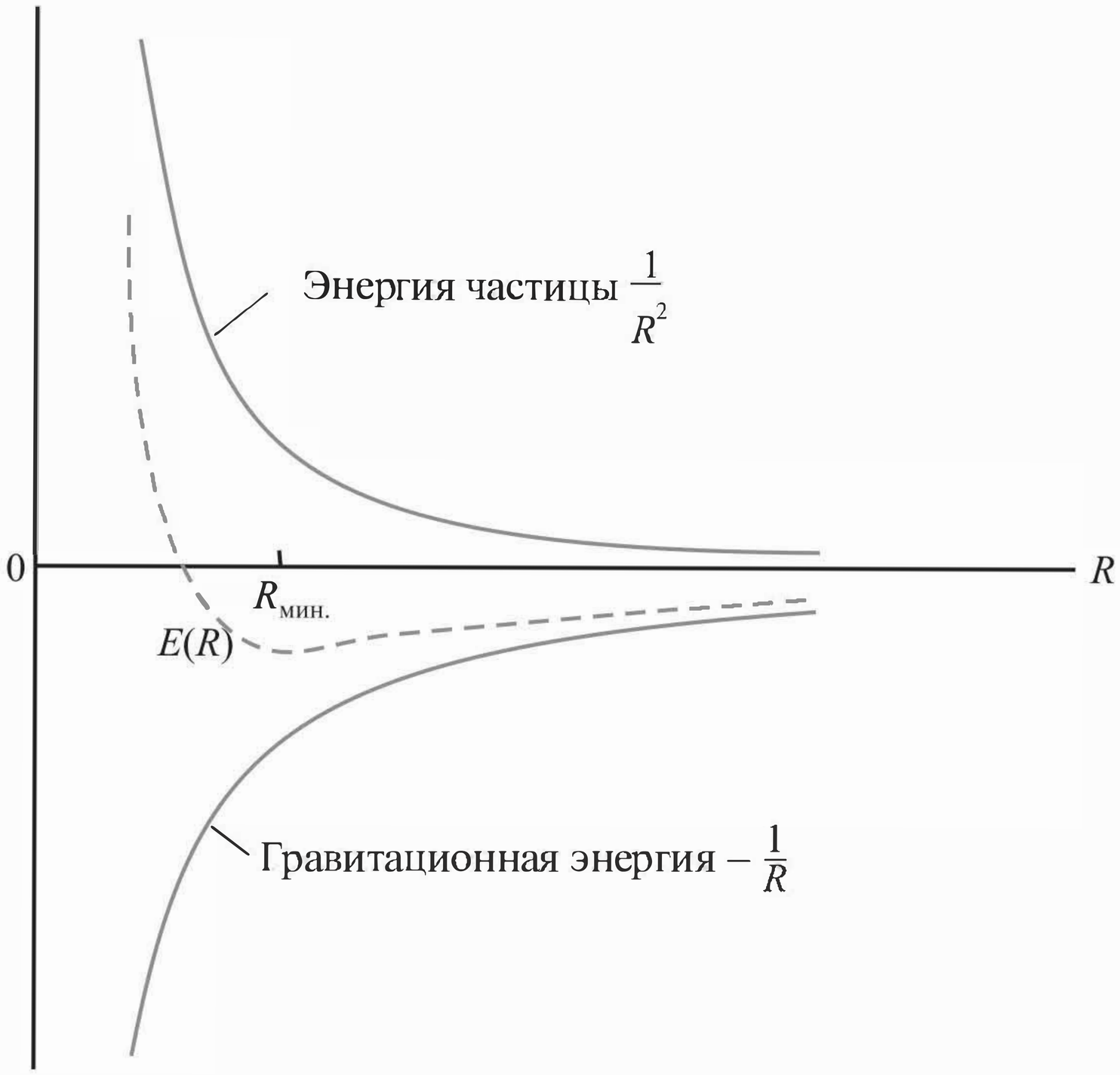


Рис. 30-3. Зависимость полной энергии звезды от ее радиуса

формула (30-13) дает $R_0 \approx 8000$ км, что соответствует плотности $\rho \approx 3 \cdot 10^9$ кг/м^3.

С ростом массы или числа нуклонов N уже нельзя пользоваться нерелятивистской формулой (30-5) для энергии электронного газа, а следует воспользоваться формулой (30-9) для ультрарелятивистского случая. Отсюда можно получить оценку по порядку величины того критического значения $N_{\text{крит}}$, при котором происходит «релятивизация» электронов. Итак, теперь полная энергия звезды имеет вид:

$$E_{\text{полн}}(R) = \frac{3(3\pi^2)^{1/3}}{4}\hbar c N_e \left(\frac{N_e}{V}\right)^{1/3} - \frac{3}{5}\frac{Gm_p^2 N^2}{R} = \frac{3\pi}{4}\hbar c \frac{xN}{R}\left(\frac{9}{4\pi^2}xN\right)^{1/3} - \frac{3}{5}\frac{Gm_p^2 N^2}{R}. \qquad (30\text{-}14)$$

Заметим, что в этом соотношении оба члена имеют одинаковую зависимость от R и при достаточно большой массе $M = Nm_p$ второй член будет преобладать, т. е. достаточно массивные звезды будут продолжать сжиматься, преодолевая ферми-давление релятивистских электронов (в этом месте и сказывается разная зависимость давления ферми-газа от плотности в нерелятивистском и релятивистском случаях). Определив значение N, при котором оба слагаемых в (30-14) становятся одинаковыми, можно получить оценку критического значения $N_{\text{крит}}$:

$$N_{\text{крит}} \sim \text{const} \cdot x^2 \left(\frac{\hbar c}{Gm_p^2}\right)^{3/2}.$$

В это выражение вошла введенная в начале этой главы (§ 1) безразмерная константа гравитационного взаимодействия

$$\gamma = \frac{Gm_p^2}{\hbar c} \approx 6 \cdot 10^{-39}.$$

Введем теперь величину $N_0 = \gamma^{-3/2} = 2{,}4 \cdot 10^{57}$. Полученное значение $N_{\text{крит}} \sim N_0$ верно по порядку величины; нахождение точного значения требует привлечения численных методов и приводит в конечном итоге к следующей формуле: $N_{\text{крит}} = 0{,}7(x/0{,}5)^2\gamma^{-3/2}$. Соответствующая критическая масса $M_{\text{крит}} = N_{\text{крит}} m_p$ называется уже упоминавшимся выше *пределом Чандрасекара*. Этот предел представляет собой максимальную массу белого карлика, при которой он, продолжая остывать, переходит в холодное стабильное состояние с конечными значениями радиуса и плотности. Эта масса лишь на 40 % превышает массу Солнца: $M_{\text{крит}} = 1{,}4\, M_\odot$.

Следует заметить, что массивные белые карлики, масса которых близка к чандрасекаровскому пределу, могут быть неустойчивыми и взрываться. Дело в том, что давление вырожденного газа электронов, удерживающее карлик от коллапса, не зависит от температуры, так как энергия квантовых движений электронов много больше энергии их теплового движения. Приведенные выше формулы, (30-6), (30-7), получены при $T = 0$, но с хорошей точностью сохраняют свой вид и при ненулевой температуре. Теперь, если в результате какой-то случайной флуктуации температура в данной точке белого карлика возрастет, это приведет к увеличению скорости выделения термоядерной энергии и дальнейшему росту температуры. Но давление останется прежним (оно обусловлено фермиевским давлением электронов, а не тепловым давлением), объем газа также не изменится. В результате в определенной области будет происходить неограниченное возрастание температуры, которое рано или поздно приведет к ядерному взрыву белого карлика. У обычных звезд горячий газ расширяется и совершает работу против сил гравитации, в результате чего этот газ охлаждается. Так обеспечивается устойчивость обычной звезды в процессе ее эволюции.

Термоядерные взрывы белых карликов, массы которых близки к чандрасекаровскому пределу, приводят к наблюдаемому явлению вспышек *сверхновых I типа*. У этих сверхновых в спектре нет линий водорода, а есть только линии гелия, углерода, кислорода и других более тяжелых элементов.

§ 5. Нейтронные звезды

Итак, эволюция звезды небольшой массы, в несколько солнечных, когда масса ее ядра меньше $1{,}4M_\odot$, приводит к образованию белого карлика. Следует подчеркнуть, что в результате эволюции исходной звезды значительная часть начальной массы теряется. Внешняя водородная оболочка теряется из-за разных механизмов: давления излучения, обмена масс в двойной системе, разных неустойчивостей в процессе эволюции. Поэтому при рассмотрении конечных стадий эволюции звезд следует понимать, что исходная звезда имела значительно большую массу, чем ядро звезды на конечной стадии эволюции.

Что же происходит со звездой, масса ядра которой больше чандрасекаровского предела $1{,}4M_\odot$? В этом случае электроны в плазме ядра становятся релятивистскими, само ядро звезды содержит в основном тяжелые элементы группы железа. Если масса ядра меньше так называемого *предела Оппенгеймера–Волкова*, равного $3{,}0M_\odot$, то в конце эволюции звезда проскакивает стадию белого карлика, релятивистские электроны уже не

могут противодействовать гравитационному сжатию. В это время электроны захватываются протонами в реакции $e^- + p \to n + \nu_e$, образующиеся в этой реакции нейтрино, разлетаясь, сдувают внешнюю оболочку из водорода. Все это наблюдается на небе как вспышка *сверхновой II типа*.

Поскольку нейтроны, как и электроны, являются частицами со спином 1/2, они подчиняются статистике Ферми. Поэтому можно повторить оценки, сделанные для белых карликов, заменив только массу электрона массой нейтрона. Таким образом, подставляя в формулу (30-13) $x = 1$ и m_n вместо m_e, приходим к выражению для минимального радиуса нейтронной звезды, удерживаемой в равновесии силами фермиевского давления холодного газа нейтронов:

$$R_0 = \frac{\pi^2\hbar^2}{m_n}\left(\frac{9}{4\pi^2}N\right)^{2/3}\frac{1}{Gm_p^2N}. \qquad (30\text{-}15)$$

Значение радиуса оказывается в 2000 раз меньше, чем у белого карлика. Например, если масса звезды порядка массы Солнца, т. е. $N = 1{,}2\cdot10^{57}$, то $R = 12{,}6$ км, а плотность равна $2{,}4\cdot10^{17}$ кг/м^3. В 1967 г. Джоселин Белл, аспирантка профессора А. Хьюиша в Кембридже, с помощью радиотелескопа зафиксировала периодически излучающий источник (*пульсар*). Строгая периодичность сигналов наводила на мысль о его искусственном происхождении, будто некий инопланетный разум сообщал таким образом о своем существовании. Несколько месяцев результаты не обнародовались, пока не стала ясной естественная природа явления. Статья появилась в *Nature* только в феврале 1968 г. Первый пульсар получил название *LGM*-1 (*Little Green Men* — маленькие зеленые человечки), а Хьюиш в 1974 г. был удостоен Нобелевской премии. В июне 1968 г. в журнале *Nature* вышла работа Т. Голда, отождествившего пульсары с быстро вращающимися нейтронными звездами. В том же 1968 г. были открыты пульсары в созвездии Паруса (*Vela*) с периодом излучения $P = 88$ мс и в Крабовидной туманности (*Crab*) с периодом $P = 33$ мс. Периодичность была такой строгой, что какое-то время она превосходила точность имевшихся на Земле атомных часов. Малая величина периода пульсаций исключала возможность того, что излучающими объектами могут быть белые карлики.

Чтобы вещество не сдуло с поверхностного слоя быстро вращающейся звезды центробежной силой (которая пропорциональна квадрату частоты вращения звезды), последняя должна быть меньше (по модулю) гравитационной силы притяжения, что возможно только для очень компактных объектов. Таким образом, стало очевидно, что пульсары — это не белые карлики, а быстро вращающиеся нейтронные звезды. Механизм пульсаций следующий. Пульсар — намагниченный волчок, вращающийся вокруг оси, не совпадающей с осью магнита. В пределах узкого телесного угла около магнитной оси заряженные частицы (главным образом электроны) вырываются из звезды. Обладая большим ускорением, электроны излучают электромагнитные волны, и это излучение сосредоточено в основном в узком конусе, который вращается вместе со звездой подобно лучу вращающегося прожектора. Это излучение и регистрируется на Земле.

Пример 2. а) Какой была бы частота вращения Солнца, если бы его радиус уменьшился до $R = 10$ км без изменения момента импульса? В настоящее время период вращения

Солнца составляет 27 сут, что соответствует частоте $f = 4{,}3 \cdot 10^{-7}$ Гц, а радиус Солнца составляет $7{,}0 \cdot 10^5$ км.

б) Магнитное поле Солнца равно 100 Гс. Чему будет равно магнитное поле нейтронной звезды радиусом 10 км, образовавшейся в результате эволюции Солнца?

Решение:

а) У ядра исходной вращающейся звезды момент импульса равен $I\omega$, где I — момент инерции звезды, $I \approx 0{,}1MR^2$, ω — круговая частота вращения. Из закона сохранения момента импульса при коллапсе в нейтронную звезду выполняется равенство $I_1\omega_1 = I_2\omega_2$. Отсюда $\omega_2 = (I_1/I_2)\omega_1 = (R_1/R_2)^2\omega_1$. Подставляя приведенные значения и учитывая, что $\omega = 2\pi f$, получаем $f_2 = 2{,}1 \cdot 10^3$ Гц.

б) Из условия сохранения потока магнитного поля имеем: $H_1R_1^2 = H_2R_2^2$, откуда $H_2 = (R_1/R_2)^2H_1 = (7{,}0 \cdot 10^5/10)^2\, 10^2$ Гс $= 5{,}0 \cdot 10^{11}$ Гс.

К настоящему времени зарегистрировано более полутора тысяч пульсаров, большинство из которых — радиопульсары, остальные — рентгеновские источники. Измерены периоды пульсаров и происходящие время от времени сбои периодов с их последующей релаксацией. Самый быстрый миллисекундный пульсар (период 1,56 мс) вращается с линейной скоростью на поверхности порядка 1/10 скорости света.

Физика нейтронных звезд превратилась в отдельную бурно развивающуюся область астрофизических исследований.

§ 6. Черные дыры

Если масса ядра звезды превышает примерно $3M_\odot$, то не существует никаких сил, способных удержать звезду от неудержимого сжатия под действием сил гравитации. Гравитационный коллапс приводит к образованию во многом еще загадочных объектов — *черных дыр* (такое имя им дал Джон Арчибальд Уилер в 1968 г.).

История поиска черных дыр пока не завершена, хотя следует подчеркнуть, что к настоящему времени открыто около 200 массивных и чрезвычайно компактных объектов, свойства которых очень похожи на свойства черных дыр.

Черной дырой называется объект, для которого вторая космическая скорость равна скорости света в вакууме c = = 300 000 км/с. Представление о черной дыре возникло после открытия И. Ньютоном в 1687 г. закона всемирного тяготения. В 1784 г. Дж. Мичел высказал идею, что в природе должны существовать темные звезды, гравитационное поле которых столь сильно, что свет не может вырваться из них наружу. В 1798 г. такая же идея была высказана П. С. Лапласом.

Рассуждая в духе корпускулярной теории света Ньютона, можно записать полную энергию для световой корпускулы массой m и скоростью c, пытающейся навсегда оторваться от массивного тела:

$$E = mc^2/2 - GmM/r.$$

Условие невозвращения (вторая космическая скорость) отвечает значению $E > 0$, так что критическому значению $E = 0$ соответствует радиус массивного тела (так называемый *гравитационный*, или *шварцшильдовский*, радиус)

$$r_g = 2GM/c^2,$$

где M — масса объекта, c — скорость света, $G = 6{,}67 \cdot 10^{-8}$ м^3·кг$^{-1}$·с$^{-2}$ — постоянная тяготения.

Несмотря на очевидно неверный вывод (предполагается, что световые корпускулы имеют массу и движутся со скоростью c, и в то же время используется нерелятивистское выражение для кинетической энергии), результат удивительным образом оказывается совпадающим с тем, который получается в общей теории

относительности (ОТО) Альберта Эйнштейна при рассмотрении решения уравнений ОТО для центрально-симметричного распределения материи в ограниченной области пространства (решение Шварцшильда) (см. гл. 32).

Величина гравитационного радиуса равна:

$$r_g = \begin{cases} 0{,}88 \text{ см для Земли } (M_\oplus = 6\cdot 10^{24} \text{ кг}); \\ 2{,}97 \text{ см для Солнца } (M_\odot = 2\cdot 10^{30} \text{ кг}); \\ 30 \text{ км для } M = 10M_\odot \ (M_\odot = 2\cdot 10^{31} \text{ кг}); \\ 40 \text{ а. е. для } M = 2\cdot 10^9 M_\odot (4\cdot 10^{42} \text{ г}). \end{cases}$$

(астрономическая единица а. е. — среднее расстояние от Солнца до Земли — равна $1{,}5\cdot 10^{11}$ м).

Границей черной дыры является *горизонт событий*, на котором с точки зрения далекого наблюдателя останавливается ход времени. Поэтому все события, происходящие под горизонтом событий, недоступны далекому наблюдателю. В случае с невращающейся шварцшильдовской черной дырой радиус горизонта событий равен гравитационному радиусу. В случае с вращающейся черной дырой он меньше гравитационного радиуса. В этом случае горизонт событий содержится внутри эргосферы черной дыры — области пространства, где существует вихревое гравитационное поле.

Следует подчеркнуть, что горизонт событий черных дыр — это не какая-то твердая наблюдаемая поверхность. Он может быть устранен выбором подходящей системы отсчета. Например, для наблюдателя, свободно падающего по радиусу на черную дыру, горизонт событий отсутствует, и наблюдатель может проникнуть внутрь черной дыры, увидеть центральную сингулярность, куда сжалась исходная материя, однако передать наружу какую-либо информацию он не сможет. Ввиду столь необычных свойств черных дыр вопрос о возможности их существования во Вселенной остро дискутируется вот уже несколько десятилетий. В некоторых вариантах теории гравитации существование черных дыр отвергается. Это делает проблему их поиска особенно интригующей и интересной. Следует отметить также, что у «современных», сравнительно молодых черных дыр горизонт событий еще не успел окончательно сформироваться из-за релятивистского замедления хода времени в его окрестности; однако для астрономов это «практически» черные дыры, имеющие «практически» горизонт событий.

Поскольку черные дыры являются конечным продуктом эволюции звезд, их должно быть достаточно много (оценки показывают, что черные дыры составляют примерно 0,1 % по массе от всех звезд). Теория утверждает, что любая звезда с исходной массой ядра больше некоторого критического значения (порядка трех масс Солнца) должна закончить свою жизнь в форме черной дыры. Изолированная черная дыра, как следует из ее определения, не видна. Однако если черная дыра находится по соседству с источником газа или плазмы (обычная звезда или облако межзвездного газа), то может происходить втягивание окружающего газа в черную дыру. При этом частицы газа захватываются на орбиты вокруг черной дыры и возникает *диск аккреции* (рис. 30-4). Трение соседних слоев в диске разогревает газ, так что он начинает светиться. Это свечение с характерным спектром в рентгеновском диапазоне может быть зарегистрировано на Земле. Таким образом, чтобы получить косвенное свидетельство существования черной дыры, следует убедиться в выполнении двух условий: а) существование двойной звездной системы, в которой один компонент не виден, но оценка его массы дает значение больше критического ($> 2\text{–}3M_\odot$); б) существование характерного спектра

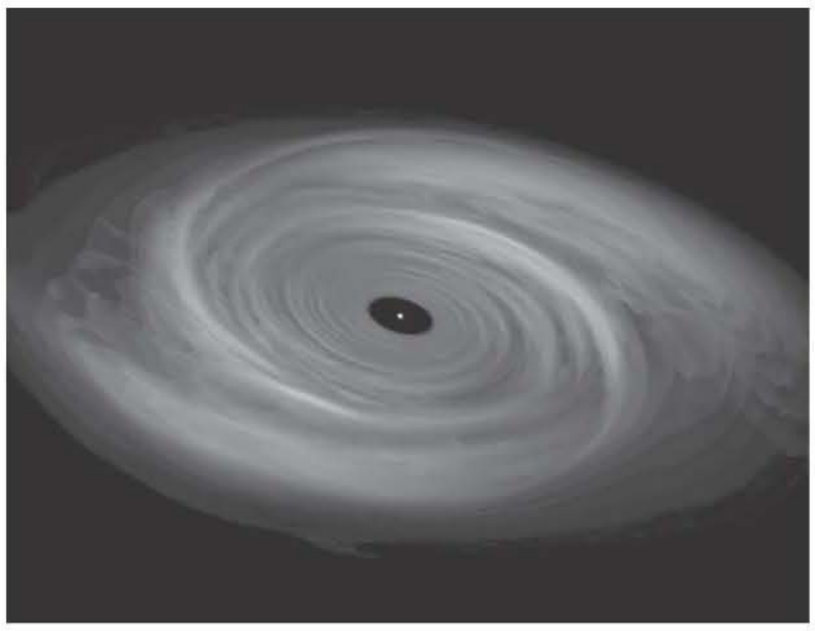


Рис. 30-4. Двойная система, состоящая из черной дыры с нормальной звездой в качестве компаньона. Черная дыра всасывает в себя газ от нормальной звезды, образуя диск аккреции. Обнаружение такого диска есть свидетельство существования черной дыры

($> 2–3 M_\odot$); б) существование характерного спектра излучения, обусловленного диском аккреции.

По состоянию на конец 2004 г. найдено немало надежных кандидатов на черную дыру (около 200 массивных и чрезвычайно компактных объектов, свойства которых очень похожи на свойства черных дыр, в том числе около 20 черных дыр в двойных звездных системах). Прежде всего это двойная система Лебедь-X1 (масса видимой звезды равна $16 M_\odot$, а невидимой - больше $7 M_\odot$), излучение от которой согласуется с гипотезой, что невидимая звезда является черной дырой.

Возможно даже, что в некоторых галактиках основная масса сосредоточена в черных дырах. Существуют гипотезы, согласно которым в центре всех галактик находятся гигантские черные дыры массой порядка $10^{10} M_\odot$. Во всяком случае, последние наблюдения все более убедительно свидетельствуют, что и в центре нашей Галактики находится черная дыра массой несколько миллионов масс Солнца, которая за счет механизма аккреции обеспечивает всю энергетику нашей Галактики.

31

Физика элементарных частиц

§ 1. Введение

Основная цель физики — дать объяснение всем наблюдаемым физическим явлениям, исходя из небольшого числа простых фундаментальных принципов. Одним из таких великих принципов стал еще в древности *атомизм*, т. е. утверждение, что все окружающие человека предметы, тела состоят из мельчайших неделимых «элементарных» частичек — атомов (от греч. ατομος — *неделимый*). Исторически первым доктрину атомизма ввел древнегреческий философ Демокрит (460–370 гг. до н. э.). Путь в 2500 лет от Демокрита до наших дней — это драматическая история побед и поражений, гениальных озарений и заблуждений, героических усилий все глубже проникнуть в тайны материи, ответить на вопрос: «Из чего все устроено?»

Сначала было установлено, что все химические соединения состоят из «элементарных» молекул и атомов (см. гл. 26 и 27). В начале XX в. выяснилось, что атомы состоят из «элементарных» ядер (размерами порядка 10^{-15} м) и находящихся вокруг них на оболочках электронов (размеры оболочек порядка 10^{-10} м). В 30-е гг. было открыто, что все ядра состоят из «элементарных» нуклонов — протонов и нейтронов (см. гл. 29). Все эти последовательные попытки выяснить, что же является истинно элементарным, похожи на «шелушение» луковицы. Достигли ли мы наконец сердцевины луковицы? Являются ли протоны и нейтроны элементарными частицами, не обладающими внутренней структурой?

Лишь во второй половине XX в. возникли условия, когда стало возможным стремительное продвижение вперед в решении этой и других загадок строения материи. Это связано, во-первых, с появлением двух великих теорий XX в. — теории относительности и квантовой механики. Во-вторых, технологические достижения позволили построить гигантские «приборы» — ускорители элементарных частиц, которые и стали главными инструментами проникновения в глубь вещества.

Бурное развитие физики элементарных частиц началось в конце 1950-х гг. В это время список известных считавшихся элементарными частиц с полным описанием их свойств умещался на одной страничке (знаменитые «таблицы Розенфельда»). Сейчас такой список занимает около 100 страниц, и счет числа разных частиц идет уже на сотни. Главной задачей, стоявшей перед физиками в последние десятилетия, было разобраться в этом хаосе и попытаться свести множество частиц к меньшему числу фундаментальных основных сущностей и взаимодействий между ними.

На этом пути достигнут необычайный прогресс. Можно сказать, что конец XX в. ознаменован построением единой тео-

рии сильных, слабых и электромагнитных взаимодействий элементарных частиц, получившей название *Стандартной модели*, которая может в принципе объяснить практически все наблюдающиеся в настоящее время на опыте явления. Кроме того, выдвинуты новые, революционные идеи о том, как могла бы выглядеть теория всех типов взаимодействий (включая гравитацию). Эти идеи ждут экспериментальной проверки, которая может осуществиться в первом десятилетии наступившего века.

В этой главе мы познакомимся с основами стандартной модели. Для краткости не будем следовать историческому пути развития физики частиц, а изложим основные идеи так, как они представляются на 2008 г. Во всей главе в качестве единиц энергии будут использоваться естественные для физики частиц единицы — электронвольты (эВ) и производные единицы (1 МэВ = 10^6 эВ, 1 ГэВ = 10^9 эВ, 1 ТэВ = 10^{12} эВ = 10^3 ГэВ). Напомним, что 1 эВ $\approx 1{,}6 \cdot 10^{-19}$ Дж. Поскольку массы элементарных частиц численно необычайно малы, если их измерять в килограммах, то принято переводить массу в энергию покоя с помощью соотношения Эйнштейна $E_0 = mc^2$ и использовать для измерения массы электронвольты (эВ) и производные единицы (МэВ, ГэВ и т. д.).

Как открывают частицы. Современные ускорители

Катодная трубка Дж. Дж. Томсона, с помощью которой им в 1897 г. был открыт электрон, свободно умещалась на лабораторном столе. Вплоть до 1940-х гг. открытия в физике частиц могли быть сделаны (и делались) отдельными исследователями или маленькими группами ученых в 2-3 человека. После запуска крупных ускорителей и усложнения самого эксперимента число соавторов конкретного опыта неизмеримо возросло. Сейчас уже не удивляют статьи, подписанные несколькими сотнями фамилий. Отсюда следует, что экспериментальная физика элементарных частиц из удела одиночек превратилась в индустриальное производство, в котором принимают участие специалисты самых разных профессий (чистых физиков-экспериментаторов среди них меньшинство). Сами эксперименты планируются за много лет до того, как вступит в строй тот или иной ускоритель, на котором эти опыты будут ставиться. Собственно, проектирование ускорителей ведется так, чтобы на них было возможно осуществить заранее спланированные опыты.

Не вдаваясь сначала в технические детали устройства ускорителей разных типов, попытаемся понять, зачем нужны все более грандиозные установки, зачем энергии ускоренных частиц должны быть все больше и больше.

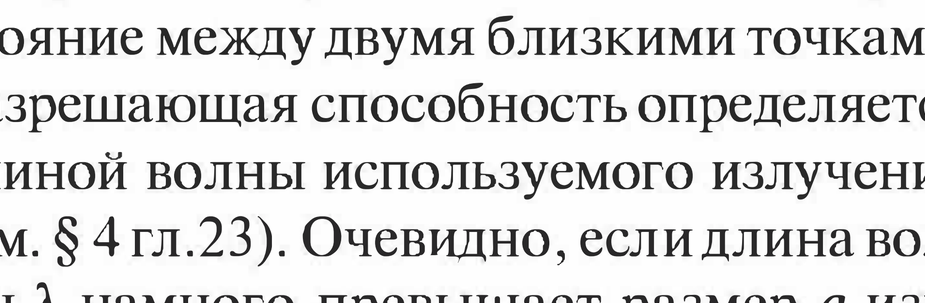
Чтобы добраться до сердцевины ореха, смышленая обезьяна камнем разбивает скорлупу. Мальчишка ударяет по игрушке молотком, чтобы узнать, что у нее внутри. Физик, желающий выяснить, из каких частей состоит атом, ядро или элементарная частица, должен проделать, по существу, то же самое: подобрать «молоток», ударить по изучаемому объекту и посмотреть, что из этого получится. Однако законы квантовой физики, управляющие поведением микрообъектов, придают этой процедуре некоторые особые черты.

Любой процесс измерения характеристик и определения свойств микрообъекта включает следующие этапы: *а*) выбор источника излучения, которым будет «освещаться» изучаемый объект; *б*) процесс взаимодействия излучения с объектом, меняющий свойства излучения;

в) прием рассеянного излучения и его анализ, позволяющий судить о свойствах объекта по вызванному им изменению параметров излучения.

Заметим, кстати, что читатель сейчас сам участвует как детектор в процессе распознавания текста: *а*) свет (от солнца или от лампы) освещает лист бумаги; *б*) в результате отражения света от листа возникает сложная интерференционная картина, содержащая информацию о тексте; *в*) отраженный свет попадает в глаз, где и выделяется полезная информация (на самом деле это делает мозг, куда по нервным волокнам передается зафиксированная глазом картина).

Невооруженный глаз не способен различить слишком мелкие детали. На помощь давно уже пришли микроскопы. Ценность микроскопа определяется его способностью различать два объекта, находящиеся близко друг от друга. Чем мощнее микроскоп, тем больше его разрешающая способность, т. е. способность «разрешить», увидеть все меньшее расстояние между двумя близкими точками. Разрешающая способность определяется длиной волны используемого излучения (см. § 4 гл.23). Очевидно, если длина волны λ намного превышает размер a изучаемого объекта ($\lambda \gg a$), то волна просто обогнет этот объект (как известно, это явление называется дифракцией) (рис. 31-1, *а*). Чтобы получить информацию об объекте, необходимо выполнение обратного соотношения $\lambda \ll a$ (рис. 31-1, *б*). Длина волны видимого света порядка $5 \cdot 10^{-7}$ м, поэтому в оптический микроскоп в принципе невозможно увидеть атомы, размеры которых около 10^{-10} м, и уж тем более те частицы, из которых состоят атомы. Что же делать?



(*а*) (*б*)

Рис. 31-1. Измерение величины микрообъектов требует малых длин волн пробного излучения

На помощь приходит одна из важнейших квантовых закономерностей, состоящая в том, что любая массивная элементарная частица (например, электрон или протон) проявляет при определенных условиях не только корпускулярные, но и волновые свойства (см. § 4 гл. 24). Так, при рассеянии электронов достаточно большой энергии на мишенях возникают типичные для волновых процессов явления интерференции и дифракции (это обнаружили экспериментально в 1927 г. Дэвиссон и Джермер). Длина волны λ электрона связана с импульсом p частиц соотношением де Бройля: $\lambda = \hbar/p$, где $\hbar$ — постоянная Планка. Это открытие послужило основой для создания электронных микроскопов, в которых роль световой волны выполняют ускоренные до определенных энергий электроны. Если размер атомов порядка 10^{-10} м, то длина волны электронов пучка не должна превышать этой же величины. Следовательно, по соотношению де Бройля, импульс электрона должен быть больше, чем $\hbar/\lambda$. Из этого соотношения видно, что исследование все меньших расстояний требует все больших импульсов, т. е. все больших энергий частиц. В этом и состоит причина того, что строятся все более мощные ускорители, позволяющие проникнуть на все меньшие расстояния и выяснить структуру считавшихся ранее неделимыми частиц. Самые мощные действующие ускорители позволяют исследовать структуру материи и свойства пространства на расстояниях порядка 10^{-18} м.

Чтобы дать представление о масштабах проводимых экспериментов и их сложности, опишем важный эксперимент, осуществленный в 1995 г. Через 18 лет после открытия пятого кварка (подробно о кварках ниже) и через 12 лет после открытия последних новых фундаментальных элементарных частиц (переносчиков слабого взаимодействия промежуточных бозонов $W^{\pm}$ и Z^0) физикам национальной лаборатории им. Э. Ферми (сокращенно ФНАЛ) в Чикаго, США, удалось доказать существование шестого кварка t (от англ. *top*, т. е. *верхний*) и измерить его массу, оказавшуюся равной 176±13 ГэВ, или примерно 180 массам протона.

Шестой кварк — это последняя буква в алфавите стандартной модели элементарных частиц. Согласно этой модели (подробнее она изложена ниже) вся материя состоит из шести сильно взаимодействующих субъядерных частиц — кварков u, d, c, s, t, b — и шести слабо взаимодействующих лептонов. Кварки и лептоны объединены попарно в дублеты со все увеличивающейся массой. Массы первых трех кварков меньше 1 ГэВ, масса c-кварка $m_c = 1{,}5$ ГэВ, масса b-кварка $m_b = 4{,}6$ ГэВ. Как видно, для того чтобы обнаружить последний из кварков стандартной модели, пришлось совершить скачок по энергии почти на 200 ГэВ. На это понадобилось почти 20 лет и очень много денег, ушедших на строительство новых ускорителей и новой измерительной аппаратуры.

Эксперимент по обнаружению t-кварка проводился на ускорителе «Тэватрон», где протоны и антипротоны ускоряются до энергии 0,9 ТэВ = 900 ГэВ и затем испытывают лобовое соударение. Светимость ускорителя, т. е. число частиц, проходящихся на 1 см^2 площади пучка за 1 с, доведена сейчас до $1{,}7 \cdot 10^{31}$ протонов (антипротонов).

Поиск кварков является весьма трудной задачей прежде всего потому, что по современным представлениям кварки в свободном состоянии существовать не могут. Они всегда находятся в связанном состоянии внутри реально наблюдаемых сильно взаимодействующих частиц — адронов (протонов, нейтронов, пионов и т. п.). Это свойство кварков носит название *конфайнмент* (от англ. *пленение*), так как кварки всегда как бы «заключены в плен» внутри адронов.

Как же тогда рождаются кварки? Считается (и это подтверждено многими экспериментами), что всякая реакция при очень больших энергиях, в которой образуется множество адронов, идет в два этапа: сначала рождаются кварки и антикварки, а затем (за очень короткое время) происходят ненаблюдаемые процессы взаимодействия кварков (этап так называемой адронизации), в результате которых и рождаются видимые на опыте адроны.

Реакция образования топ-кварка, происходящая в результате соударения пары протон – антипротон, может быть записана в виде:

$$p + \bar{p} \to t + \bar{t}\,.$$

Суммарная энергия родившейся пары топ–антитоп в системе центра инерции (т. е. в системе, где импульсы протона и антипротона равны по величине и противоположно направлены) равна 1,8 ТэВ. Родившиеся топ-кварки нестабильны и сразу же распадаются по множеству каналов. Следует отбирать те события последующего распада t, которые могут быть максимально достоверно идентифицированы как принадлежащие именно этому, а не какому-либо другому процессу. Один из возможных каналов распада, удовлетворяющий этим требованиям, показан на рис. 31-2.

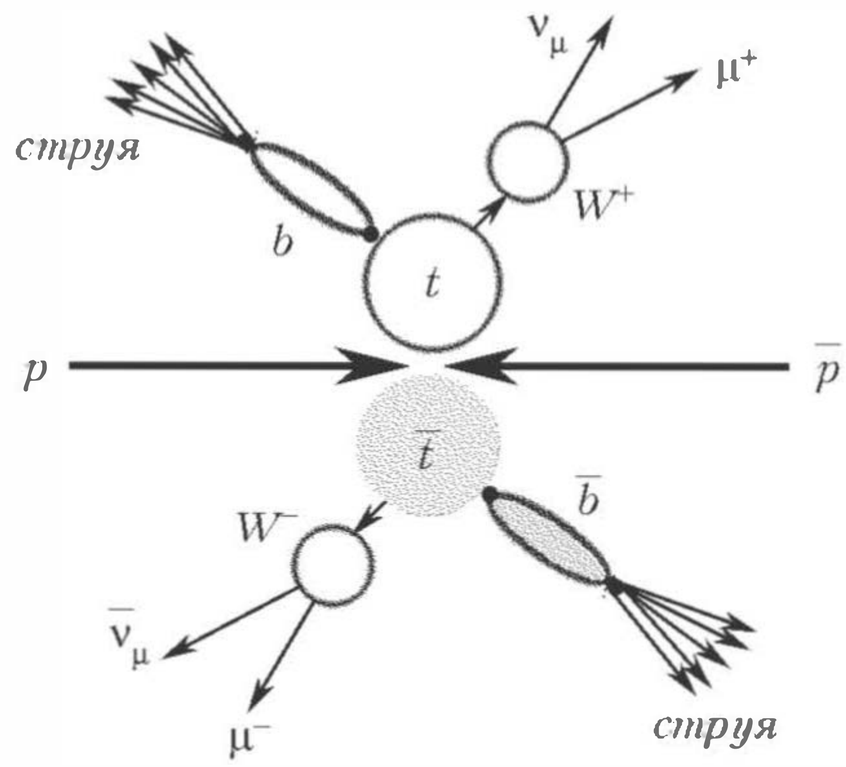


Рис. 31-2. Схема реакции рождения и последующего распада W-бозонов

Здесь сначала происходит распад $t \to W^+ + b$ на промежуточный бозон W^+ и b-кварк (этот процесс обусловлен слабым взаимодействием, и его вероятность может быть рассчитана в рамках стандартной модели) и соответствующий распад антикварка $\bar{t} \to W^- + \bar{b}$. После этого $W^\pm$ распадаются по основному для себя каналу на мюон и мюонное нейтрино: $W^- \to \mu^- + \nu_\mu (W^+ \to \mu^+ + \nu_\mu)$. Образовавшиеся вместе с W-бозонами кварки b и $\bar{b}$ конвертируются в струи адронов (процесс адронизации), летящих в направлении импульса b-кварков; нейтрино, образовавшиеся в результате распадов W, не могут быть зарегистрированы.

Таким образом, окончательным итогом этого каскада очень быстрых процессов [происходящих за время порядка 10^{-12} с и, следовательно, на расстоянии не более чем $(10^{-12}\text{ с})(3\cdot10^8\text{ м/с}) = 3\cdot10^{-4}$ м от точки соударения протона и антипротона] является образование двух лептонов (мюона и антимюона, а также электрона и позитрона, так как $W^\pm$ могут распадаться с равной вероятностью и по каналу с образованием $e^\pm$, или мюона и позитрона, если один W распадается на мюон, а другой — на позитрон). Поэтому такие процессы называются *дилептонными*.

Их регистрация является наиболее прямым свидетельством образования топ-кварков, так как массы других кварков намного меньше массы W-бозона и подобный канал для них невозможен в силу закона сохранения энергии. Менее прямым, но все же достаточно убедительным является канал реакции, когда только один топ-кварк распадается на W и b, так что в конце реакции появляется только один лептон. Распад второго топ-кварка порождает в этом случае струю адронов с характерным распределением по углам разлета.

Всего в течение года на двух детекторах было зарегистрировано шесть триллионов событий (вдумайтесь в эту цифру!) соударения протонов с антипротонами (они, естественно, тут же обрабатывались и записывались в память сверхмощных компьютеров), из которых и следовало отобрать те, что по своим характеристикам отвечают дилептонным событиям и событиям с рождением одного лептона. Дальнейший отбор с использованием разных критериев, проводившийся несколько месяцев, снизил число событий-кандидатов до 40 млн. Эти события уже анализировались особенно тщательно, причем главное внимание уделялось поиску среди них событий с лептонами в конечном состоянии. Окончательный итог: на одном детекторе обнаружено 43 события рождения топ-кварка, на другом — 17 событий. Тонкий анализ, основанный на законах сохранения энергии и импульса, позволил установить массу t-кварка. В международном эксперименте участвовали сотни физиков и инженеров из нескольких стран Европы и США.

* * *

Кратко рассмотрим типы существующих *ускорителей* элементарных частиц. Собственно ускоритель состоит из электронного или ионного источника частиц малой энергии и ускорительного канала, в котором создан высокий вакуум и с помощью электрического поля происходит ускорение частиц. Ускоренные частицы направляются на мишень (или сталкиваются друг с другом) и вызывают реакции, подлежащие изучению.

Очевидно, что ускоряться могут только заряженные стабильные частицы — электроны, позитроны, протоны, антипротоны или ионы. Распространены два метода ускорения: *линейный* ускоритель и *кольцевой* ускоритель.

В первом случае ускорение происходит за счет непосредственного приложения напряжения между источником заряженных ионов и мишенью. Приобретаемая энергия E в результате прохождения разности потенциалов U равна qU. Чтобы достичь большей энергии, следует устроить как можно больше ускоряющих промежутков (увеличивая тем самым длину ускорителя). Наиболее крупный линейный ускоритель SLC длиной более 3 км сооружен в Стэнфорде (США). Он способен одновременно ускорять сгустки электронов и позитронов до энергии 50 ГэВ каждый. С помощью магнитного поля ускоренные пучки разворачиваются по полукруглым каналам навстречу друг другу и сталкиваются с частотой 60 Гц.

Значительно более распространены кольцевые ускорители. В них магнитные поля заставляют заряженные частицы внутри вакуумной тороидальной камеры двигаться по орбитам, перпендикулярным направлению магнитного поля. Ускорение происходит при многократном прохождении области электрического поля, создаваемого генератором высокой частоты. На каждом обороте частицы как бы подхлестываются высокочастотным электрическим полем и увеличивают свою энергию. Очень сложной задачей является синхронизация моментов прохождения частицы через ускоряющие промежутки с максимумом электрического поля в нем. Другая сложная задача — обеспечение непрерывной подстройки напряженности магнитного поля, с тем чтобы радиус пучка оставался неизменным. Действительно, уравнение движения частицы (для простоты — нерелятивистской) в магнитном поле индукцией B имеет вид:

$$\frac{mv^2}{R} = qvB, \quad \frac{p}{R} = qB,$$

откуда

$$R = \frac{p}{qB}.$$

Как видно, для сохранения постоянного радиуса орбиты необходимо увеличивать индукцию магнитного поля пропорционально импульсу ускоренной частицы. Этот вывод верен и в релятивистском случае.

Недостатком циклических ускорителей является сильное возрастание *синхротронного излучения* по мере роста энергии ускоренных частиц. В ультрарелятивистском пределе мощность синхротронного излучения оказывается пропорциональной $(E/m)^4$, где E — энергия частицы, m — ее масса. Для электронов потери оказываются столь велики, что, начиная с некоторого момента, дальнейшее ускорение становится бессмысленным. Для протонов ситуация лучше, так как они в 2000 раз тяжелее электронов.

Наиболее крупным из работающих сейчас кольцевых ускорителей является

Тэватрон в лаборатории им. Э. Ферми, Чикаго. В нем протон-антипротонные пучки ускоряются до энергии 1000 ГэВ = = 1 ТэВ каждый. В ближайшее время (до конца 2008 года) будет запущен протон-протонный коллайдер LHC с энергией пучков 7000 ГэВ (ЦЕРН, Женева).

§ 2. Фундаментальные частицы

Классификация всего многообразия известных элементарных частиц основана на том, что каждая частица обладает единственным, только ей присущим набором *квантовых чисел*, т. е. рядом характеристик, однозначно выделяющих данную частицу среди остальных.

Некоторые важнейшие квантовые характеристики частиц таковы.

1. Масса m. Массы известных элементарных частиц меняются в интервале от нуля (фотон) до 91 ГэВ (Z_0-бозон). Масса электрона равна $m_e = 0{,}511$ МэВ, масса протона $m_p = 938{,}2$ МэВ $\approx 1836\, m_e$.

2. Спин J. Каждая частица обладает определенным, присущим ей собственным моментом импульса J, который называется *спином* (от англ. *to spin* — *крутиться*). Образ частицы-волчка был взят из классической физики. Действительно, если массивная частица-шарик вращается вокруг любой оси, проходящей через центр, то она обладает моментом импульса относительно этой оси.

В микромире действуют законы квантовой физики, поэтому классический образ вращающейся частицы не отражает всех свойств спина. Спин — чисто квантовая характеристика элементарной частицы, не имеющая буквального классического аналога. Спин измеряется в единицах постоянной Планка $\hbar$ и может принимать в этих единицах только либо целые, либо полуцелые значения. Этот фундаментальный вывод вытекает из требования, чтобы поведение элементарных частиц подчинялось не только законам квантовой механики, но и законам специальной теории относительности. Теория, основанная на сочетании законов квантовой механики и теории относительности, называется *релятивистской квантовой теорией поля*. Эта теория предсказывает, а опыт подтверждает, что $J = 0, 1/2, 1, 3/2, 2, \ldots$ (принято опускать постоянную Планка и указывать значение J в единицах $\hbar$).

Точный смысл утверждения, что спин частицы равен J, заключается в следующем. Выберем произвольную ось в пространстве (ось квантования). Когда говорят, что спин частицы равен J (момент импульса, а следовательно, и спин, являются векторами, и величина J связана с модулем вектора спина), это буквально означает, что проекция вектора спина на выбранную ось (обычно принято выбирать эту ось совпадающей с осью z декартовой системы координат) может принимать только дискретный набор значений $J_z = J, J-1, \ldots, -J+1, -J$ (всего $2J+1$ значение). Таким образом, когда говорят, что спин электрона равен 1/2, это означает, что проекция спина электрона на ось z равна либо $+1/2$, либо $-1/2$ (в единицах $\hbar$). Квантование момента импульса и спина (существование только дискретного набора проекций на выбранную ось) есть проявление специфических квантовых закономерностей в микромире.

3. Электрический заряд Q. Среди многообразия элементарных частиц встречаются положительно и отрицательно заряженные частицы, а также нейтральные частицы. Принято измерять заряд частиц в единицах абсолютной величины заряда электрона $|e| = 1{,}6 \cdot 10^{-19}$ Кл. Таким образом, электрический заряд может равняться $Q = 0, \pm 1, \pm 2, \ldots$. Справедлив гло-

бальный *закон сохранения электрического заряда*, утверждающий, что при любых взаимодействиях алгебраическая сумма (т. е. сумма значений с учетом знаков) электрических зарядов частиц до взаимодействия равна алгебраической сумме зарядов частиц после взаимодействия.

4. Время жизни τ. Лишь некоторые из частиц стабильны (по крайней мере так сейчас принято считать; о возможных нарушениях этого правила — ниже): электрон, протон, нейтрино, фотон. Другие частицы способны самопроизвольно распадаться. Точно так же, как и в случае с радиоактивным распадом (см. § 4, 5 гл. 29), можно ввести понятие о *времени жизни* частицы. Эти времена для разных частиц меняются от 10^{-20} с (некоторые электромагнитные распады нейтральных частиц) до 900 с (для нейтрона).

Итак, представлены четыре характеристики частиц: масса m, спин J, электрический заряд Q и время жизни τ. Кроме того, каждой частице можно сопоставить *античастицу* с той же массой, спином, временем жизни, но противоположным значением заряда Q (и ряда других «зарядов»). В некоторых случаях частица и античастица могут совпадать (например: антифотон тождествен фотону, π^0-мезон и его античастица тождественны). Утверждение о существовании античастиц для каждой частицы является следствием основных уравнений *релятивистской квантовой теории поля* (по существу, следствием релятивистской инвариантности теории) и полностью подтверждается на опыте.

Помимо m, J, Q и τ, частицам можно приписать еще ряд квантовых чисел (барионное число B, лептонное число L и др.), о которых речь пойдет ниже.

Все фундаментальные частицы (т. е. считающиеся на данном этапе развития физики бесструктурными) могут быть разделены на несколько групп, как показано на так называемой *лестнице спинов* (рис. 31-3).

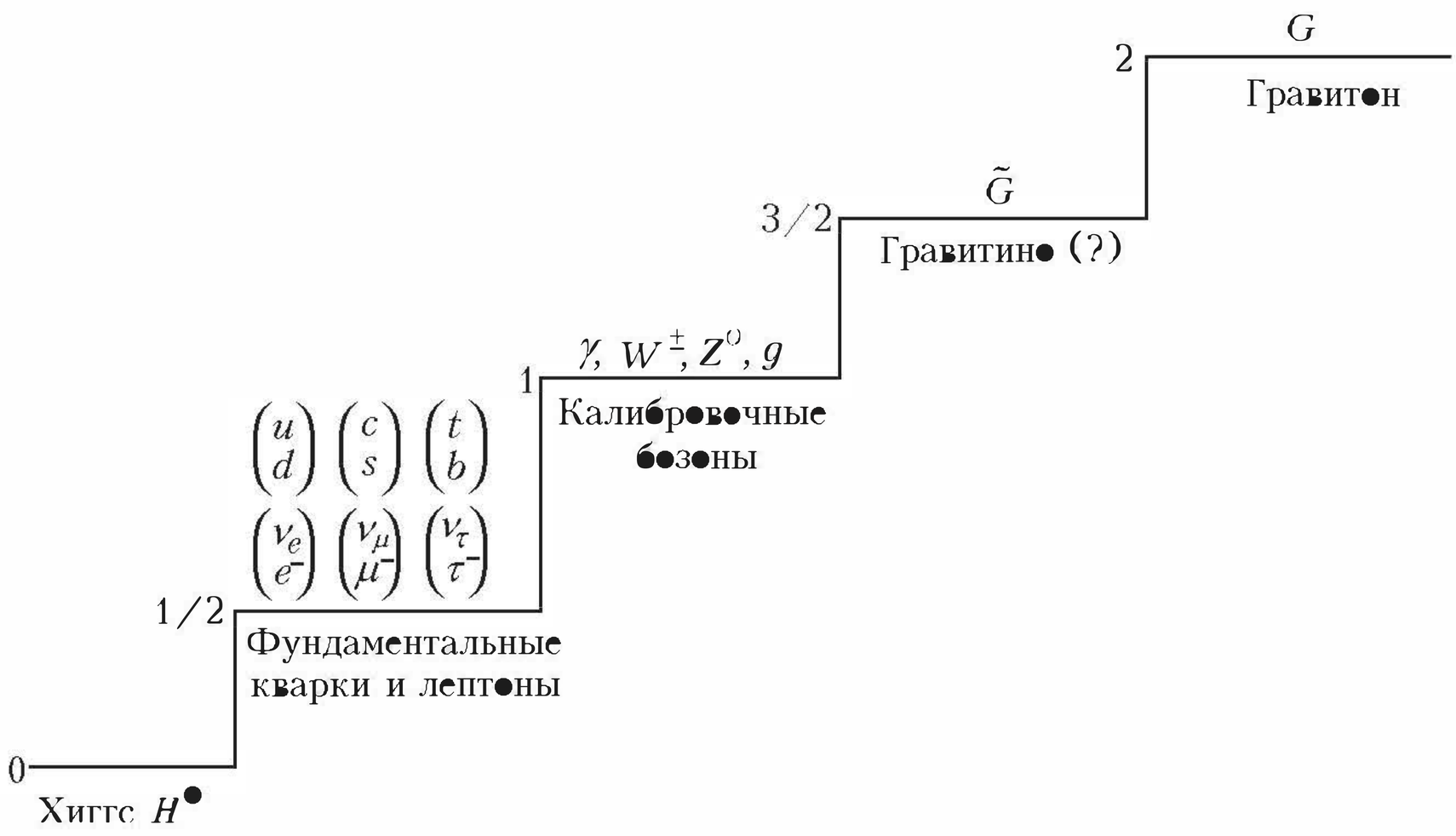


Рис. 31-3. Фундаментальные частицы на «лестнице спинов». Общее количество таких частиц (если не считать античастиц, цветовых разновидностей кварков и глюонов и гипотетических гравитона и гравитино; см. ниже) равно 17. Сюда входят: шесть кварков и шесть лептонов — фундаментальные частицы материи; фотон, промежуточные бозоны и глюон — переносчики электромагнитного, слабого и сильного взаимодействий; хиггсовский бозон — еще не обнаруженная частица, существование которой диктуется теорией

В группу частиц спина $J = 1/2$ входят фундаментальные составляющие материи — *лептоны* и *кварки*.

В группу частиц спина $J = 1$ входят частицы — переносчики взаимодействий: *фотон*, *промежуточные бозоны* W, Z и *глюоны*.

Особняком стоит частица спина $J = 0$ — *хиггсовский бозон*. Наличие этой частицы требуется для самосогласованности Стандартной модели, но она еще не обнаружена на опыте (из-за своей очень большой массы, предположительно несколько сотен ГэВ).

Теория предсказывает и существование кванта гравитационного взаимодействия — *гравитона* спина $J = 2$.

§ 3. Фундаментальные взаимодействия

Схема классификации фундаментальных частиц опирается на экспериментальные факты о существовании в природе четырех типов фундаментальных взаимодействий:

— *гравитационное* (ГВ), присущее всем без исключения частицам (даже тем, у которых масса равна нулю) и полям вроде электромагнитного (т. к. поля материальны и обладают энергией), поскольку в современной теории гравитации показывается, что источником тяготения является любая форма энергии, а не только масса;

— *сильное* (СВ), объединяющее кварки в *адроны* — сильно взаимодействующие частицы, которые делятся на две группы: *барионы* — частицы с полуцелым спином, составленные из трех кварков ($B \sim qqq$), и *мезоны* — частицы с целым спином, составленные из кварка и антикварка ($M \sim \bar{q}q$); именно сильное взаимодействие ответственно за существование ядер атомов;

— *электромагнитное* (ЭМВ), ответственное за все процессы с участием фотонов (структура атомов, излучение и поглощение света атомами, атомная структура и свойства вещества и т. п., вплоть до таких макроскопических проявлений, как сила трения);

— *слабое* (СлВ), проявляющееся в процессах с участием нейтрино и в процессах медленного распада некоторых адронов (например β-распад нейтрона), в частности, обеспечивающее энергетику термоядерных процессов внутри звезд.

Что касается гравитационного взаимодействия, то при сравнительно небольших энергиях взаимодействий частиц, доступных в земных условиях, оно несущественно из-за своей необычайной слабости. Для сравнения интенсивностей разных взаимодействий для каждого из них вводится безразмерная константа взаимодействия, определяемая мировыми постоянными и данными опыта. Так, для электромагнитного взаимодействия такой константой является введенная еще немецким физиком А. Зоммерфельдом в 1919 г. *постоянная тонкой структуры* $\alpha = e^2/(4\pi\varepsilon_0\hbar c) \approx 1/137$. Аналогичная безразмерная константа гравитационного взаимодействия равна $\alpha_{ГВ} \approx 6\cdot10^{-39}$ (на 36 порядков величины (!) меньше). Поэтому при анализе других взаимодействий частиц можно не принимать во внимание гравитационное взаимодействие.

Конечно, когда рассматриваются вопросы астрофизики и космологии, это взаимодействие становится определяющим. Вероятно, именно оно играло главную роль при зарождении нашей Вселенной. Однако при изучении свойств микромира при доступных на Земле энергиях гравитационным взаимодействием пренебрегают.

Безразмерные константы сильного взаимодействия $\alpha_{СВ}$ и слабого взаимодействия $\alpha_{СлВ}$ при земных энергиях имеют

значения $\alpha_{СВ} \approx 0{,}2$, $\alpha_{СлВ} \approx 10^{-5}$ соответственно. Таким образом, выстраивается иерархия взаимодействий по величине константы взаимодействия: сильное, электромагнитное, слабое, гравитационное.

Таблица

Характерные безразмерные константы фундаментальных взаимодействий

Взаимодействие	Характерная безразмерная константа (при земных энергиях)
Сильное	$\alpha_{СВ} \approx 0{,}2$
Электромагнитное	$\alpha \approx 1/137 \approx 7{,}3 \cdot 10^{-3}$
Слабое	$\alpha_{СлВ} \approx 10^{-5}$
Гравитационное	$\alpha_{ГВ} \approx 6 \cdot 10^{-39}$

§ 4. Взаимодействия между фундаментальными частицами как обмен квантами поля-переносчика

Современные представления о взаимодействии частиц начали формироваться еще во времена Фарадея и Максвелла, которые ввели в физику понятие поля и решительно встали на точку зрения близкодействия, т. е. передачи взаимодействия между телами от точки к точке через окружающее тела поле. В настоящее время концепция локального полевого взаимодействия является общепринятой, и теория взаимодействий частиц — это *релятивистская квантовая теория поля*. По сравнению с эпохой Максвелла добавилось понимание того, что только квантовая теория вместе с теорией относительности способна описать взаимодействие элементарных частиц. Сами поля понимаются в квантовой теории как совокупность квантов этих полей (фотон — квант электромагнитного поля и т. д.).

Если принять квантово-полевую идеологию, то схема всех взаимодействий одинакова: каждый тип взаимодействий имеет своего переносчика (или переносчиков), при этом любое взаимодействие между перечисленными выше фундаментальными частицами сводится к совокупности элементарных актов испускания или поглощения этой фундаментальной частицей соответствующего кванта поля. Радиус взаимодействия r_0 определяется массой переносчика: чем больше масса m, тем меньше радиус $r_0 = \hbar/mc$.

В квантовой электродинамике взаимодействие заряженных частиц обусловлено обменом безмассовыми фотонами — переносчиками дальнодействующего электромагнитного взаимодействия, в теории кварков место фотонов занимают глюоны, обмен которыми обусловливает силу притяжения кварков друг к другу, в слабых взаимодействиях происходит обмен промежуточными бозонами $W^{\pm}$ и Z^0, гравитационное взаимодействие, как полагают, переносится еще не обнаруженными гипотетическими гравитонами.

Подробнее обсудим структуру квантовой электродинамики (КЭД). Пусть рассматривается только взаимодействие электронов и фотонов. Простейший мыслимый процесс — испускание электроном фотона. Он может быть изображен диаграммой рис. 31-4. На таком

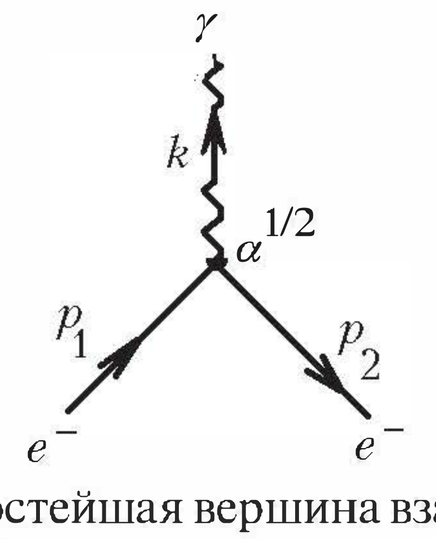


Рис. 31-4. Простейшая вершина взаимодействия в КЭД. В этой вершине выполняется закон сохранения энергии-импульса $p_1 = p_2 + k$. В каждой вершине «содержится» константа взаимодействия — заряд электрона или (в безразмерных единицах) постоянная тонкой структуры α в степени 1/2. Это означает, что при записи амплитуды процесса, изображаемого какой-нибудь диаграммой, каждой вершине будет соответствовать вклад в амплитуду, пропорциональный $\alpha^{1/2}$

рисунке принято указывать рядом с линией соответствующей частицы (сплошной для электрона, волнистой для фотона) значение четырехмерного импульса частицы p. Этот импульс есть просто удобная комбинация обычного трехмерного импульса $\boldsymbol{p}$ и энергии частицы E, образующая вектор в четырехмерном пространстве событий специальной теории относительности (4-вектор импульса).

В отличие от квадрата обычного трехмерного вектора, который равен сумме квадратов компонент, квадрат четырехмерного вектора в пространстве Минковского равен квадрату его нулевой компоненты минус сумма квадратов пространственных компонент: если $a(a^0, a^1, a^2, a^3)$, то $a^2 = (a^0)^2 - (a^1)^2 - (a^2)^2 - (a^3)^2$. Главное свойство 4-вектора импульса свободной частицы $p(E/c, \boldsymbol{p})$: квадрат этого 4-вектора равен квадрату массы частицы, умноженной на квадрат скорости света: $p^2 = E^2/c^2 - \boldsymbol{p}^2 = m^2c^2$, и это свойство имеет место *только* для свободных реальных частиц. На каждой диаграмме сумма 4-импульсов частиц, входящих в какую-то вершину, должна равняться сумме 4-импульсов частиц, выходящих из вершины. Такое правило отражает закон сохранения энергии и импульса при взаимодействии.

Нетрудно показать, что процесс $e^- \to e^- + \gamma$ невозможен, если все частицы в таком процессе свободны. Такой процесс противоречил бы законам сохранения энергии и импульса — свободная частица не может ни с того ни с сего «стряхнуть» с себя часть энергии и импульса, оставаясь при этом свободной, т. е. не взаимодействуя ни с какой другой частицей. Таким образом, диаграмма на рис. 31-4 не изображает никакого реального процесса. Однако эта диаграмма показывает, какова должна быть структура всех более сложных диаграмм: они должны быть составлены из простейших диаграмм рис. 3-4. Построение более сложных диаграмм напоминает игру типа «Лего», когда из совершенно одинаковых блоков складывают какую-нибудь сложную конструкцию.

Графическое изображение процессов КЭД с помощью диаграмм придумал в 1949 г. выдающийся американский физик и педагог, лауреат Нобелевской премии Ричард Фейнман. На самом деле диаграммы Фейнмана — это графический способ записи ряда теории возмущений для амплитуды процесса, т. е. разложения амплитуды по малой константе взаимодействия, причем количество вершин в диаграмме равно порядку теории возмущений. Поясним сказанное.

Амплитуда процесса A — квантовая комплексная величина, квадрат модуля которой $|A|^2$ непосредственно связан с измеряемыми на опыте величинами (вероятностью того или иного процесса и др.). В подавляющем большинстве случаев вычислить амплитуду точно не удается. Заметим, что в квантовой механике вообще известно очень небольшое число задач, которые имеют точные решения. Да и во всей физике число таких задач не очень велико. Поэтому для вычисления амплитуды необходимы приближенные методы.

Интуитивно наиболее понятным методом является *метод теории возмущений*, когда амплитуда A представляется в виде ряда по степеням константы взаимодействия: $A = A_0 + \alpha A_1 + \alpha^2 A_2 + \ldots$. Здесь A_0 — амплитуда процесса без взаимодействия начальных частиц (нулевой порядок теории возмущений), которая не представляет интереса, A_1 — амплитуда процесса в первом (иногда говорят, низшем) порядке теории возмущений и т. д. Такой ряд имеет смысл, только если константа взаимодействия много меньше единицы.

Тогда можно надеяться, что для вычисления амплитуды с приемлемой точностью достаточно вычислить несколько первых членов ряда теории возмущений, отбросив остальные.

Очевидно, что описываемый метод имеет ограниченную применимость. Но в релятивистской квантовой теории поля ничего лучшего, кроме методов теории возмущений, так и не придумано, хотя, конечно, изучаются и выходящие за рамки теории возмущений способы расчетов, не использующие разложения по малой константе взаимодействия.

К счастью, в квантовой электродинамике константа взаимодействия $\alpha = e^2/(4\pi\varepsilon_0\hbar c) \approx 1/137 \ll 1$. Ряд теории возмущений как раз и строится по степеням этой безразмерной константы. В амплитуде процесса каждой вершине сопоставляется константа взаимодействия КЭД – заряд e, или безразмерная величина $\alpha^{1/2} = (4\pi\varepsilon_0\hbar c)^{1/2}$. В большинстве случаев при вычислениях наблюдаемых величин достаточно ограничиться низшим порядком теории возмущений. Если экспериментальные данные оказываются более точными, нужно учесть следующий порядок теории возмущений и т. д.

Для того чтобы нарисовать диаграмму, отвечающую конкретному процессу в данном порядке теории возмущений, следует указать свободные частицы в начале и конце, а затем составить искомую диаграмму из простейших диаграмм рис. 31-5, «связав» вместе лишние «хвосты» этих диаграмм так, чтобы в результате у получившейся диаграммы было ровно столько свободных линий, сколько задано числом частиц и их сортами в начале и конце процесса, и ровно столько вершин, сколько задано тем порядком теории возмущений, в котором производится расчет амплитуды процесса. При фиксированном числе вершин (т. е. в заданном порядке теории возмущений) такая процедура почти однозначна. Приведем примеры.

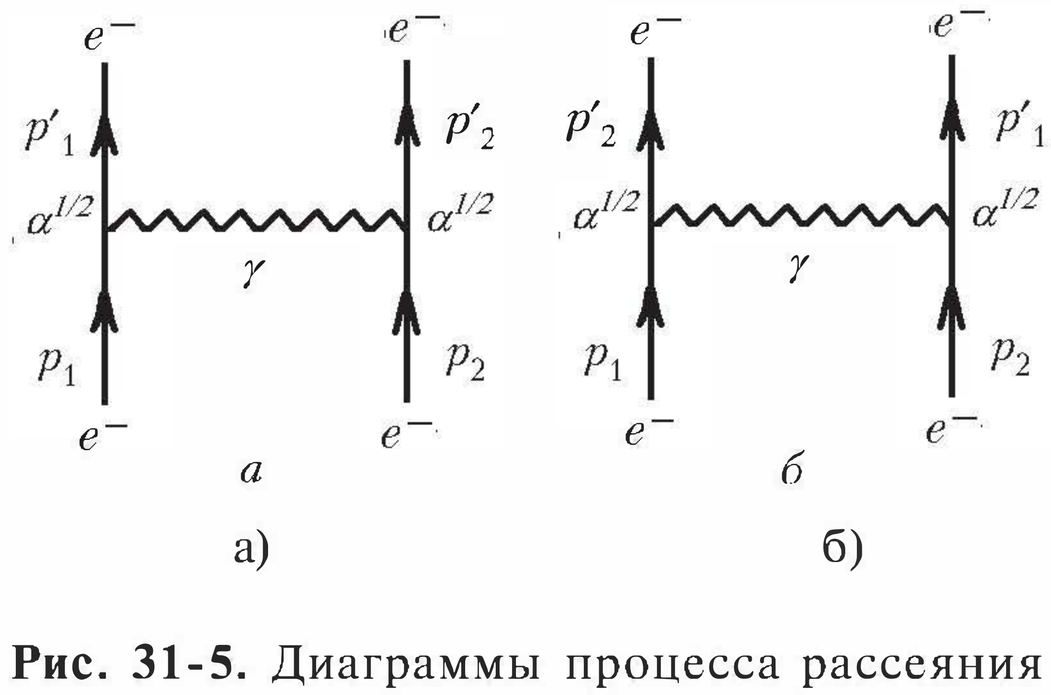


Рис. 31-5. Диаграммы процесса рассеяния $e^- + e^- \to e^- + e^-$ в низшем порядке теории возмущений. Эти диаграммы отличаются перестановкой линий конечных электронов. С точки зрения квантовой механики невозможно отличить процесс, протекающий так, как изображено на рис. 31-5, *а*, от процесса, изображенного на рис. 31-5, *б*. Это связано с фундаментальным свойством тождественности (неразличимости) частиц: на электроны нельзя повесить «бирки с номерами», отличающими один электрон от другого

Процесс рассеяния электрона на электроне во втором порядке теории возмущений изображается диаграммами рис. 31-5. Видно, что фотон, испускаемый одним электроном, поглощается другим, т. е. в процессе взаимодействия происходит обмен фотоном. Этот промежуточный фотон не является свободным (в противном случае он не мог бы излучаться и поглощаться свободными электронами). Формально это выражается в том, что квадрат 4-импульса фотона не равен нулю (как это должно было бы быть для свободного фотона, масса которого строго равна нулю). Подобные частицы, для которых не выполнено условие равенства квадрата 4-импульса квадрату массы и как бы нарушены законы сохранения энергии и импульса, называются *виртуальными*; их нельзя зарегистрировать нашими приборами, они существуют лишь то время, которое допускает соотношение неопределенностей $\Delta E \Delta t \geq \hbar$.

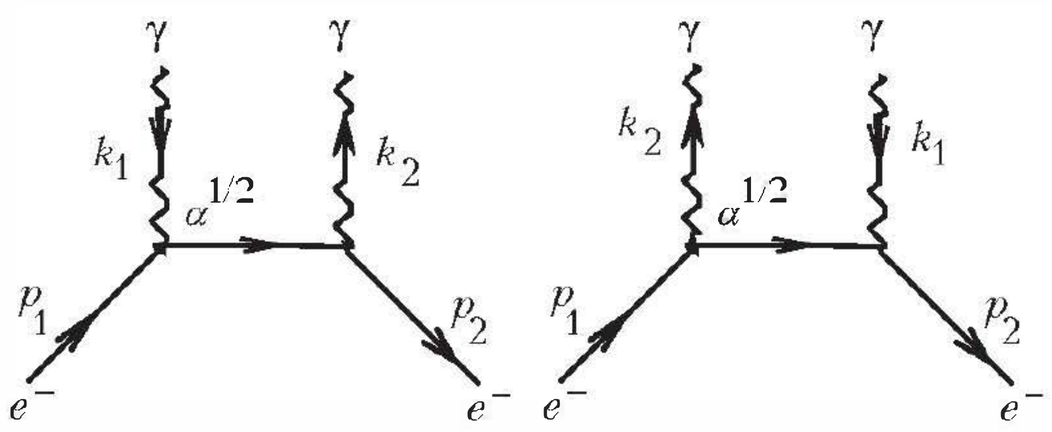


Рис. 31-6. Во втором порядке теории возмущений изображены диаграммы процесса рассеяния света на электроне (эффект Комптона)

На рис. 31-6, также во втором порядке теории возмущений, изображены диаграммы процесса рассеяния света на электроне (*эффект Комптона*). В этом случае промежуточной частицей может быть только электрон — иначе невозможно соблюсти правило, согласно которому в каждой вершине любой диаграммы КЭД могут сходиться только одна фотонная и две электронные линии. Этот электрон также виртуальный, т. е. $p^2 \neq m^2c^2$.

Одним из важных завоеваний теоретической физики второй половины XX в. стала разработка локальных *калибровочных теорий* взаимодействий частиц, основанная на принципе локальной калибровочной инвариантности. Чтобы понять суть этих идей, обратимся к тем симметриям, которыми обладают взаимодействия частиц.

§ 5. Симметрии в мире частиц и законы сохранения

В мире элементарных частиц действует самое демократическое правило — разрешено все, что не запрещено. Это означает, что типы реакций распадов частиц и результаты соударений частиц друг с другом ограничены только действующими в квантовом мире *законами сохранения*, устанавливающими правила отбора возможных реакций.

Очевидными законами сохранения, неукоснительно действующими в любых реакциях, являются законы сохранения энергии и импульса, сформулированные с учетом требований специальной теории относительности. Следствия этих законов для конкретных процессов распада или соударения частиц изучает *релятивистская кинематика*.

Еще в ньютоновскую модель пространства и времени, в рамках которой разыгрываются все физические события классической физики, заложены некоторые самоочевидные свойства пространства и времени (см. гл. 2). Именно предполагается, что существуют такие системы отсчета (их называют инерциальными), в которых время однородно (выбор начала отсчета времени не влияет на вид уравнений, описывающих физические процессы), а пространство однородно и изотропно (уравнения не изменяются при переносе начала координат и при повороте осей). Эти же свойства пространства-времени сохраняются и в специальной теории относительности. Принято выражать их словами: уравнения физики инвариантны (неизменны) относительно преобразований трансляций и поворотов в пространстве-времени.

На математическом языке однородность времени означает, что при преобразовании $t' = t + t_0$, где t_0 — произвольное начало отсчета времени, уравнения теории остаются неизменными. Аналогично можно описать и преобразования точек пространства, отвечающие его *однородности* (например, сдвиг начала отсчета вдоль оси x на расстояние a описывается преобразованием $x' = x + a$) и *изотропности* (возможность вращения системы координат на любой угол). Поэтому эти преобразования и называются *преобразованиями симметрии*, т. е. такими, при которых основные уравнения физических законов сохраняют свой вид.

Выдающийся немецкий математик Эмми Нетер в 1918 г. доказала, что существует неразрывная связь между симмет-

риями пространства-времени и законами сохранения определенных величин. Однородность времени влечет закон сохранения энергии E в консервативной системе, однородность пространства — закон сохранения импульса $\boldsymbol{p}$ в замкнутой системе, изотропия пространства — закон сохранения момента импульса $\boldsymbol{M}$ в замкнутой системе. При этом законы сохранения E, $\boldsymbol{p}$ и $\boldsymbol{M}$ аддитивны, т. е. энергия, импульс и момент импульса сложной системы, состоящей из частей, взаимодействием которых можно пренебречь, равны сумме энергий, импульсов и моментов импульса составных частей. Таким образом, семь аддитивных законов сохранения являются следствиями пространственно-временных (геометрических) симметрий.

С такой точки зрения *преобразования Лоренца* перехода от одной инерциальной системы отсчета к другой также являются преобразованиями некоторой симметрии. Основополагающий принцип относительности (неизменность физических законов относительно перехода из одной инерциальной системы отсчета в другую) может быть сформулирован как утверждение об инвариантности этих законов относительно преобразований Лоренца. Это сильное требование ограничивает возможную форму законов физики.

Так, всякий физический закон с математической точки зрения записывается в виде равенства двух комбинаций физических величин. Такое равенство может принять одну из форм: число равно числу, компонента вектора равна соответствующей компоненте другого вектора и т. п. Во всех этих случаях закон преобразования левой части равенства при сдвиге системы координат, повороте или преобразовании Лоренца совпадает с законом преобразования правой части. Иначе говоря, форма уравнений и законов не изменяется. Это и есть принцип относительности в математической формулировке. В то же время указанный принцип запрещает физическим законам иметь математическую форму равенства числа компоненте вектора и т. п. Этот запрет сильно ограничивает вид физических закономерностей.

Очень интересно происхождение закона сохранения электрического заряда. Он проверен на опыте с огромной точностью. Но физики всегда стараются понять глубинные основы того или иного экспериментального факта. Уравнения классической электродинамики — теории взаимодействия заряженных частиц с электромагнитным полем — были окончательно сформулированы Дж. К. Максвеллом в 1856 г. В уравнения Максвелла (см. § 2 гл. 20) закон сохранения электрического заряда «заложен» изначально, он вытекает из уравнений Максвелла автоматически. Отсюда можно сделать вывод, что уравнения Максвелла обладают определенной симметрией, которая влечет за собой закон сохранения электрического заряда.

Какая же это симметрия? Это стало понятным только после того, как была создана квантовая теория взаимодействия заряженных частиц и света — квантовая электродинамика (КЭД). Источником электромагнитного поля в КЭД является ток заряженных частиц. Состояния этих частиц в квантовой механике описываются комплексными волновыми функциями $\psi(x, t)$, а ток заряженных частиц $\boldsymbol{j}$ всегда пропорционален произведению $\psi^*(x, t)$ и $\psi(x, t)$ и (или) их производных. Например, компонента тока вдоль оси x заряженных частиц спина нуль равна

$$j_x = i\left(\psi^* \frac{d\psi}{dx} - \frac{d\psi^*}{dx}\psi\right).$$

Сама волновая функция не является измеримой величиной, с наблюдаемыми величинами связан только ее квадрат

модуля $|\psi(x, t)|^2 = \psi^*(x, t)\psi(x, t)$. Но если это так, то с тем же успехом можно вместо $\psi(x, t)$ рассматривать величину $\psi'(x, t) = e^{i\alpha}\psi(x, t)$, где α — произвольное действительное число, поскольку $\psi'^*(x, t) = e^{-i\alpha}\psi^*(x, t)$ и квадрат модуля не изменяется при таком преобразовании: $|\psi'(x, t)|^2 = |\psi(x, t)|^2$. Не изменяется и любая форма, построенная из ψ и ψ^*. Иными словами, преобразование умножения волновой функции на фазовый множитель $e^{i\alpha}$, по модулю равный единице, оставляет инвариантным ток заряженных частиц.

Следовательно, при указанном преобразовании (его называют *фазовым преобразованием первого рода*) энергия взаимодействия частиц со светом не меняется. Вот это преобразование и есть та симметрия, которая заложена в уравнения квантовой электродинамики. Можно показать, что закон сохранения электрического заряда Q вытекает из инвариантности по отношению к этой симметрии, называемой *глобальной калибровочной симметрией* и обозначаемой $U(1)$.

Многие законы сохранения являются следствиями опытных фактов, т. е. феноменологическими законами, не получившими пока что объяснения из «первых принципов» в рамках какой-либо теории. К таким феноменологическим законам относятся законы сохранения лептонного и барионного чисел.

Как показано на рис. 31-3, существуют три поколения лептонов: электронное, мюонное и тауонное. Постепенное накопление экспериментальных данных о реакциях с участием лептонов привело ученых к выводу, что каждый тип лептонов обладает некоторой характеристикой, отличающей данный тип от других. Наиболее ярко это проявляется в том факте, что не наблюдается реакция распада $\mu^- \to e^- + \gamma$. Казалось бы, эта реакция ничем не запрещена: мюон тяжелее электрона и нестабилен, электрические заряды этих частиц одинаковы. Почему бы более тяжелой частице не распадаться по указанной схеме? Отсутствие этого распада означает, что есть какой-то дополнительный запрет, который проще всего сформулировать на языке законов сохранения.

Припишем условно лептонам каждого поколения свое значение *лептонного числа* (лептонного заряда): $L_e = 1$; $L_\mu = 1$; $L_\tau = 1$. Античастицы по определению имеют противоположное значение лептонного числа. Смысл введения этих новых чисел состоит в том, что теперь можно обобщить опытные факты и сформулировать закон сохранения лептонного числа: в любых реакциях между частицами алгебраическая сумма лептонных чисел каждого сорта в начале реакции равна алгебраической сумме лептонных чисел каждого сорта в конце реакции. Это правило «бухгалтерского» типа. Нужно, чтобы в любой реакции лептонный «дебет» сошелся с «кредитом».

Приведем примеры действия этого закона.

Разрешенные реакции:

$$\mu^- \to e^- + \bar{\nu}_e + \nu_\mu \quad (L_e: 0 = 1 + (-1);\ L_\mu: 1 = 1);$$

$$\nu_\mu + e^- \to \nu_e + \mu^- \quad (L_e: 1 = 1;\ L_\mu: 1 = 1).$$

Запрещенные реакции:

$$\mu^- \to e^- + \gamma; \quad \nu_e + e^- \to \nu_\mu + \mu^-.$$

Аналогично было введено понятие *барионного числа* B. Всем барионам (протонам, нейтронам и др.) приписали значение $B = 1$, антибарионам — $B = -1$, а мезонам (пионам, каонам и др.) $B = 0$. На основании опытных фактов был сформулирован закон сохранения барионного числа: в любых реакциях алгебраическая сумма барионных чисел в на-

чале и в конце реакции одинакова. По определению, барионы состоят из трех кварков, антибарионы — из трех антикварков и мезоны — из кварка и антикварка. Если приписать кваркам барионный заряд $B_q = 1/3$, антикваркам — $B_{\bar{q}} = -1/3$, то барионные числа самих барионов и мезонов будут такими, как нужно.

Разрешенные реакции:

$p + p \to p + p + p + \bar{p}$ (*рождение антипротона*);

$\pi^- + p \to \pi^0 + n$ (*реакция перезарядки*);

$n \to p + e^- + \bar{\nu}_e$ (β-*распад нейтрона*).

Запрещенные реакции:

$p + p \to p + \pi^+$;

$p \to e^+ + \pi^0$ (*распад протона*).

До сих пор не наблюдалось никаких отклонений от законов сохранения лептонного и барионного чисел. Это не означает, что теоретики не «покушаются» на них и считают эти законы «священными коровами». Уже лет 20 рассматриваются теоретические модели (подробнее о них речь пойдет ниже), в рамках которых предсказывается распад протона. Более того, существование такого процесса представляется необходимым для объяснения барионной асимметрии Вселенной [превышения количества материи над антиматерией (подробнее о его роли в космологии см. гл. 32, § 13)]. Однако пока распад протона экспериментально не обнаружен.

§ 6. Квантовая электродинамика как локальная калибровочная теория

Выше было сказано, что при фазовых преобразованиях первого рода над волновыми функциями частиц вида $\psi' = e^{i\alpha}\psi$ с $\alpha = \text{const}$ (глобальные преобразования) выражение для тока заряженных частиц не изменяется, откуда вытекает закон сохранения заряда. Это свойство называется *глобальной калибровочной инвариантностью*. Такое глобальное преобразование означает, что указанным образом одновременно преобразуются волновые функции всех вообще заряженных частиц в мире. Однако в духе теории близкодействия это выглядит совершенно неестественно. Действительно, каким образом протон в Москве может знать, как преобразуется протон в Чикаго? Значительно естественнее выглядит требование *локальной калибровочной инвариантности*, иными словами, требование , чтобы фаза калибровочного преобразования $\alpha(x)$ была функцией точки в пространстве-времени и при этом ток заряженных частиц не изменялся.

Однако ясно, что ток указанной выше формы изменяется при таком локальном преобразовании. Действительно,

$$i\left(\psi'^*\frac{d\psi'}{dx} - \frac{d\psi'^*}{dx}\psi'\right) =$$

$$= i\left(\psi^* e^{-i\alpha(x)}\frac{d(e^{i\alpha(x)}\psi)}{dx} - \right.$$

$$\left. - \frac{d(\psi^* e^{-i\alpha(x)})}{dx} e^{i\alpha(x)}\psi\right) =$$

$$= i\left(\psi^*\frac{d\psi}{dx} - \frac{d\psi^*}{dx}\psi\right) + 2i\frac{d\alpha(x)}{dx}\psi^*\psi, \quad (31\text{-}1)$$

так что преобразованный ток не равен исходному. Очевидно, при локальном калибровочном преобразовании возникают дополнительные слагаемые, нарушающие инвариантность тока относительно этого преобразования.

Однако вспомним важное свойство уравнений Максвелла — их калибровочную инвариантность (чтобы не путать с обсуждавшейся выше, эту инвариантность называют *калибровочной инвариантностью второго рода*). Как известно, поля $\boldsymbol{E}$ и $\boldsymbol{H}$ могут быть выражены через потенциалы электромагнитного поля $\boldsymbol{A}$ и φ (например, $\boldsymbol{H} = \operatorname{rot} \boldsymbol{A}$). Сами потенциалы определены неоднозначно; как следует из их определения, к ним можно добавить слагаемое, пропорциональное производной от некоторой произвольной функции. Уравнения Максвелла пишутся для полей, поэтому при изменении потенциалов, не приводящих к изменениям полей, уравнения Максвелла не изменяются, остаются инвариантными.

Следовательно, если постулировать, что взаимодействия полей заряженных частиц и электромагнитного поля описываются произведением тока заряженных частиц и потенциала электромагнитного поля (в одномерном случае взаимодействие тока с векторным потенциалом имеет вид $ej_x A_x$), и осуществить локальное калибровочное преобразование ψ, то возникшая добавка к току (см. (31-1)) может быть «поглощена» переопределением потенциала A_x. В результате совместная система уравнений Максвелла и уравнений для заряженных частиц, взаимодействующих с электромагнитным полем, останется неизменной.

То, что произошло, выглядит как некое чудо: мы исходили из требования локальной калибровочной инвариантности уравнений для заряженных полей материи. Чтобы добиться этой инвариантности, пришлось ввести электромагнитное поле, удовлетворяющее уравнениям Максвелла, и при этом зафиксировать вид взаимодействия этого поля с полями материи.

Таким образом, требование локальной калибровочной симметрии относительно определенной группы преобразований [в случае КЭД это группа $U(1)$] автоматически приводит к появлению электромагнитного поля (на квантовом языке — безмассовых частиц фотонов) и фиксирует вид взаимодействия фотонов с заряженными частицами.

Описанная идея стала основой построения всех последующих моделей взаимодействий — *квантовой хромодинамики* и *теории электрослабых взаимодействий*. Методика такого построения выглядит достаточно просто: найдите внутреннюю глобальную симметрию, которой подчиняются поля материи, затем локализуйте ее. Чтобы добиться локальной калибровочной инвариантности уравнений полей материи, вам придется ввести новые поля типа электромагнитного (обязательно безмассовые, так как калибровочная инвариантность второго рода справедлива только для них) и постулировать определенный вид взаимодействия этих полей с полями материи. Сложность состоит в том, что переносчики короткодействующих взаимодействий обязательно должны быть массивными, а в рамках калибровочной теории поля-переносчики обязательно безмассовые. Таким образом, нужен «механизм» придания массы квантам полей-переносчиков.

§ 7. Внутренние симметрии адронов

Помимо пространственно-временных симметрий в мире частиц действуют симметрии совершенно иного происхождения, называемые внутренними (или *динамическими*) *симметриями*. Они позволяют, в частности, дать классификацию всего многообразия *адронов* — частиц, состоящих из кварков и участвующих в сильных взаимодействиях.

Это направление исследований в области физики частиц было ведущим в 1960-е гг. Причина понятна: в эти годы были введены в строй новые мощные ускорители — синхрофазотроны, способные ускорять протоны до энергий в несколько десятков гигаэлектронвольт. Сразу же резко возросло количество адронов, обнаруженных в опытах на новых ускорителях. Возник настоящий бум открытий новых частиц. Требовалось както упорядочить десятки и сотни адронных состояний (общее их число давно превышает число химических элементов). С другой стороны, предложенная в 1964 г. модель кварков еще не была общепринятой. Поэтому основные усилия теоретиков в 1960—1970-е гг. были направлены на поиск внутренних симметрий в мире адронов (вспомним, что главная заслуга выдающегося российского химика Д. И. Менделеева состояла в том, что он увидел симметрию и периодичность свойств во множестве химических элементов (подробнее см. § 3 гл. 27)).

Пояснить понятие внутренней симметрии лучше всего на конкретном примере. Рассмотрим два легчайших бариона, протон и нейтрон. Массы этих частиц очень близки: $m_p = 938{,}2$ МэВ, $m_n = 939{,}5$ МэВ. Заряд протона $Q = +1$, заряд нейтрона $Q = 0$. Как показывают эксперименты, во всех реакциях сильного взаимодействия с участием протонов и нейтронов эти частицы взаимодействуют одинаково. Правда, протон электрически заряжен, а нейтрон нейтрален. Но если «выключить» электромагнитное взаимодействие, не учитывать его, то во всем остальном протон и нейтрон совершенно одинаковы. В частности, равны друг другу измеряемые характеристики процессов рассеяния $p + p \to p + p$; $n + p \to n + p$; $n + n \to n + n$, обусловленные сильными взаимодействиями. Таким образом, по отношению к сильным взаимодействиям протон и нейтрон выступают как одна частица — *нуклон*, которая может находиться в двух разных состояниях — протонном и нейтронном.

Такую «взаимозаменяемость» протона и нейтрона в реакциях сильных взаимодействий можно математически описать как симметрию по отношению к вращениям в некотором гипотетическом (не имеющем ничего общего с обычным) трехмерном пространстве, получившем название *изотопического пространства*. По аналогии с тем, как электрон со спином 1/2 может находиться в двух состояниях с проекциями спина на ось квантования, равными 1/2 или $-1/2$, так и протон с нейтроном могут быть описаны как состояния одной частицы — нуклона N, обладающего новым внутренним квантовым числом — *изотопическим спином* $I = 1/2$, но с разными значениями проекции изотопического спина на ось квантования $I_3 = 1/2$ и $I_3 = -1/2$.

Инвариантность сильных взаимодействий относительно замены протона на нейтрон может быть теперь математически описана как инвариантность уравнений теории сильных взаимодействий относительно «вращений» в гипотетическом изотопическом пространстве. Это и есть внутренняя симметрия. С математической точки зрения «вращения» в изотопическом пространстве ничем не отличаются от вращений в обычном трехмерном пространстве и описываются группой вращений $SO(3)$.

Всякой симметрии отвечает свой закон сохранения, так что и в данном случае можно сформулировать закон сохранения изотопического спина I в реакциях СВ, запрещающий некоторые реакции и позволяющий устанавливать соотношения между наблюдаемыми характеристиками разрешенных реакций. Поскольку

математически изотопический спин ничем не отличается от обычного спина, то возможные значения изотопического спина любых адронов равны $I = 0, 1/2, 1, \ldots$. Число частиц, объединенных одним значением изотопического спина, равно $(2I + 1)$. Эти частицы отличаются значениями проекции изотопического спина на произвольную ось в гипотетическом трехмерном пространстве, равными $I_3 = -I, -I + 1, \ldots, I - 1, I$ (всего как раз $2I + 1$ значение). Таким образом, возможно выделить семейства частиц с одинаковыми свойствами по отношению к сильным взаимодействиям. Эти семейства называют *мультиплетами*. Примерами изотопических мультиплетов могут служить дублет (p, n), триплет (π^+, π^0, π^-), синглет Λ.

Изотопическая симметрия является строгой симметрией сильных взаимодействий (при «выключенном» электромагнитном взаимодействии). Если бы такое «выключение» было возможно, то массы частиц внутри каждого изотопического мультиплета были бы строго равными друг другу (масса протона равнялась бы массе нейтрона, массы всех пионов π^+, π^0, π^- были бы равными и т. п.). На самом деле электромагнитное взаимодействие «нарушает» строгую изотопическую симметрию, в результате чего массы частиц внутри изотопических мультиплетов чуть-чуть разнятся. Поскольку константой электромагнитного взаимодействия является постоянная тонкой структуры $\alpha \approx 1/137$, можно из соображений размерности оценить сдвиг масс частиц внутри мультиплета: $\Delta m \sim \alpha m$, что хорошо согласуется с экспериментом. Так, масса протона равна 938 МэВ, а разность масс протона и нейтрона равна 1,3 МэВ, так что $\Delta m/m \sim 1{,}4 \cdot 10^{-3}$.

В конце 1940-х гг. были открыты первые представители нового типа адронов — Λ-гипероны и K-мезоны. Удивительной особенностью процессов, в которых рождались эти новые частицы, было то, что Λ и K всегда рождались совместно и никогда по отдельности друг от друга. Так, реакция $\pi^- + p \to K^0 + \Lambda$ имела место, а энергетически более выгодная и, казалось бы, ничем не запрещенная реакция $\pi^- + p \to \pi^0 + \Lambda$ — нет. Для феноменологического описания этого странного факта М. Гелл-Манн и А. Пайс ввели новое «бухгалтерское» квантовое число, названное *странностью* S. Всем известным до этого адронам (нуклонам и пионам) было приписано значение $S = 0$, K-мезонам — значение $S = 1$ (античастицы имеют противоположное значение S), Λ-гиперонам — значение $S = -1$. Смысл такой процедуры — в формулировке закона сохранения странности в любых реакциях сильных взаимодействий: сумма странностей сталкивающихся частиц равна сумме странностей рождающихся частиц.

Появление нового сохраняющегося в сильных взаимодействиях квантового числа означало, что помимо изотопической существует еще какая-то внутренняя симметрия, приводящая к закону сохранения странности S. Поиском этой симметрии занимались многие ученые в начале 1960-х гг. Первые предложения сводились к тому, чтобы расширить внутреннюю изотопическую симметрию $SO(3)$ до $SO(4)$ (симметрия относительно вращений в четырехмерном гипотетическом пространстве). Однако барьером на этом пути встало несоответствие между размерностью предсказываемых такой теорией мультиплетов, т. е. числом частиц, обладающих близкими свойствами (почти одинаковыми массами, одним значением спина и т. п.), и опытом.

Правильное обобщение изотопической симметрии нашел в 1961 г. М. Гелл-Манн, который заметил, что по своим

математическим свойствам группа $SO(3)$ практически не отличается от другой абстрактной группы преобразований $SU(2)$. Включение нового квантового числа — странности S — сводится тогда к расширению группы симметрии до $SU(3)$. Предсказываемые размерности мультиплетов $SU(3)$ таковы: **3**, **8**, **10** и др. Это означает (если подобная внутренняя симметрия имеет место), что ровно в таком же количестве должны наблюдаться близкие по массе частицы одинакового спина. При этом, скажем, восьмерка частиц может быть разделена на изотопические мультиплеты известной размерности. Таким образом, установив тип внутренней симметрии адронов, можно расклассифицировать их по группам-мультиплетам, содержащим известное число частиц (**1**, **8**, **10** и т. д.). Опыт полностью подтверждает такую классификацию.

Заметим, что в то время когда Гелл-Манн опубликовал свою работу, еще не все адроны были открыты. Из результатов Гелл-Манна следовало предсказание необходимости существования ряда частиц (чтобы заполнить пробелы в мультиплетах, в частности в декуплете, содержащем 10 частиц). Гелл-Манн предсказал, что должна существовать частица Ω^- массой приблизительно 1680 МэВ. Буквально через месяц после публикации работы Гелл-Манна эта частица были открыта, и ее масса оказалась равной 1672 МэВ, что произвело весьма глубокое впечатление на физиков.

Уже в 1980-х гг. все споры о правильной группе внутренней симметрии адронов отошли на задний план, поскольку общепринятой стала модель кварков, из которых устроены все адроны.

Что такое группа?

Фундаментальное математическое понятие *группы* неоднократно упоминается в данной главе в разном контексте. И это не случайно, так как идеи и методы теории групп пронизали всю физику, а физика элементарных частиц просто неразрывно связана и во многом определяется этой на первый взгляд, абстрактной математической структурой.

Рождение теории групп связывают с именем гениального французского математика Эвариста Галуа (1810–1831), погибшего в возрасте 20 лет на дуэли. Предвидя возможность смерти, Галуа в ночь перед дуэлью изложил на нескольких десятках страниц свой подход к разрешению знаменитой проблемы алгебры о решении в радикалах алгебраического уравнения n-й степени с действительными коэффициентами (как известно, такое возможно только в случае $n < 5$). Именно в этом предсмертном мемуаре Галуа и было введено понятие группы. Математическая теория групп бурно развивалась в XIX и начале XX в. Выдающийся вклад внесли великие математики Нильс Генрик Абель, Софус Ли, Эли Картан, Герман Вейль.

Проще всего сначала познакомиться с этим понятием на примере, а затем дать более формальное определение. Рассмотрим возможные вращения на произвольный угол φ вокруг некоторой оси (пусть для определенности ось вращения совпадает с осью z декартовой системы координат; таким образом, речь идет о вращениях радиуса-вектора $\boldsymbol{r}$ на плоскости (x, y) вокруг перпендикулярной оси, проходящей через его начало) (рис. 31-7).

Совершив одно вращение на угол φ_1, можно затем совершить второе — на угол φ_2. Очевидно, что в результате последовательного выполнения этих вращений радиус-вектор повернется на угол $\varphi_1 + \varphi_2$. Назовем результат последовательного выполнения вращений $R(\varphi_1)$ и $R(\varphi_2)$ (часто говорят — произведением) вращений.

Этот результат тоже есть вращение $R(\varphi_1+\varphi_2)$, поэтому можно записать, что $R(\varphi_2)\cdot R(\varphi_1) = R(\varphi_1+\varphi_2)$. Словами это можно выразить так: композиция двух любых вращений на плоскости есть тоже некоторое вращение на плоскости.

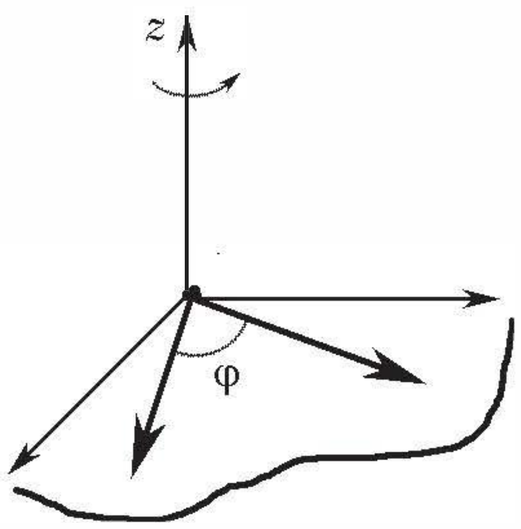


Рис. 31-7. Вращение на плоскости вокруг оси z

Таким образом, последовательное осуществление преобразований из определенного множества *не выводит за пределы* этого множества. Операция композиции обладает свойством *ассоциативности*: $R(\varphi_1)\cdot[R(\varphi_2)\cdot R(\varphi_3)] = [R(\varphi_1)\cdot R(\varphi_2)]\cdot R(\varphi_3)$ (сами преобразования осуществляются в порядке справа налево). Далее, очевидно, что существует вращение, которое ничего не меняет, т. е. вращение на угол 0. Обозначим $R(0) = I$. Тогда ясно, что $I\cdot R(\varphi) = R(\varphi)\cdot I = R(\varphi)$. Такое вращение естественно назвать *единичным*.

Наконец, если совершено какое-то вращение на угол α, то можно совершить и обратное вращение на угол $(-\varphi)$, вернувшись в исходное состояние. Это означает, что каждому вращению $R(\varphi)$ можно сопоставить *обратное* вращение $R^{-1}(\varphi) = R(-\varphi)$, такое, что $R(\varphi)\cdot R^{-1}(\varphi) = R^{-1}(\varphi)\cdot R(\varphi) = I$. При этом все обратные вращения существуют и также принадлежат рассматриваемому множеству, причем каждому вращению соответствует только одно обратное вращение.

На примере вращений на плоскости видно, что существуют множества объектов (понимаемых в самом широком смысле: это могут быть числа, предметы, процедуры типа вращений и т. п.), все элементы которых удовлетворяют некоторым простым постулатам. Прежде всего, в этом множестве определена операция композиции двух объектов, часто называемая *умножением* (этот термин надо понимать в самом широком смысле: умножение в групповом смысле — это любое правило, однозначно сопоставляющее двум объектам третий). Операция умножения ассоциативна (это означает, что произведение трех объектов не зависит от порядка умножения). Во-вторых, результат умножения двух элементов множества всегда принадлежит этому множеству. В-третьих, среди элементов множества существует единственный единичный элемент, умножение на который ничего не меняет. Наконец, каждому элементу множества можно однозначно сопоставить единственный обратный элемент, так что произведение элемента на его обратный равно единичному элементу.

Совокупность перечисленных постулатов определяет абстрактное множество, именуемое *группой*. Формальное определение таково. Множество элементов $g \in G$ называется группой, если в этом множестве определен закон композиции элементов (групповое умножение g) и выполнены следующие постулаты.

1. Для любых $g_1, g_2 \in G$ элемент $g_3 = g_2\cdot g_1 \in G$.

2. Умножение ассоциативно, т. е. $g_3\cdot(g_2\cdot g_1) = (g_3\cdot g_2)\cdot g_1$.

3. Существует единственный элемент $e \in G$ — единица группы, такой, что $e\cdot g = g\cdot e = g$ для всех $g \in G$;

4. Для каждого $g \in G$ существует единственный элемент g^{-1} такой, что $g\cdot g^{-1} = g^{-1}\cdot g = e$.

Заметим, что постулаты группы не требуют коммутативности умножения,

т. е. обязательного выполнения равенства $g_1 \cdot g_2 = g_2 \cdot g_1$. Если такое равенство выполнено, то группа называется *абелевой* (по имени норвежского математика Н.Г. Абеля) или *коммутативной*. Рассмотренный выше пример группы одномерных вращений относился к абелевым группам.

Приведем еще несколько примеров групп, с тем чтобы показать, насколько широко это понятие.

1. Группа целых чисел Z (положительных и отрицательных) (рис. 31-8). Операцией композиции является обычное сложение, единицей группы является число 0. Обратным элементом является число с противоположным знаком.



Рис. 31-8. Числовая ось, целые числа

2. Группа $C(n)$ поворотов в плоскости на угол $2\pi/n$, где n — целое число.

3. Группа $T(a)$ трансляций (переносов) вдоль прямой на произвольное расстояние a.

4. Группа $SO(3)$ вращений вокруг произвольных осей, проходящих через начало координат в трехмерном пространстве. Легко видеть, что эта группа неабелева, так как вращение вокруг оси x, а затем вокруг оси y неэквивалентно вращению вокруг оси y, а затем вокруг оси x. Иллюстрация неабелевости группы вращений дана на рис. 31-9.

5. Группа $SU(n)$ унитарных матриц размерностью n×n с детерминантом, равным единице (унитарные матрицы удовлетворяют условию $U^\dagger U = \mathrm{I}$, где $U^\dagger$ — *эрмитово сопряженная*, т. е. комплексно сопряженная и транспонированная матрица).

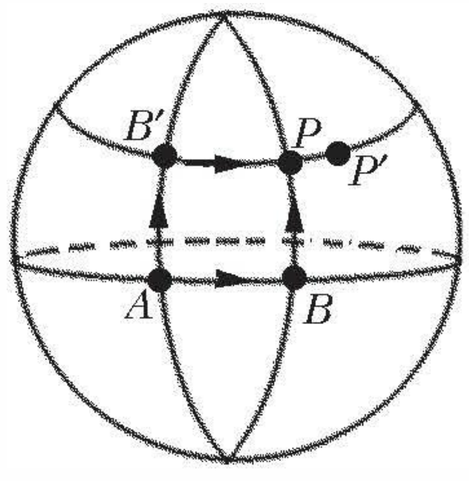


Рис. 31-9. Движение по поверхности глобуса (север-восток, восток-север)

Почему же достаточно абстрактная на первый взгляд математическая теория стала основой многих физических теорий? Дело в том, что физики всегда искали в явлениях природы проявления определенных симметрий. На математическом языке симметрия означает неизменность какого-то физического закона или явления по отношению к некоторым преобразованиям. Эта инвариантность относительно определенных преобразований и выражается утверждением, что данный закон или данное явление обладают группой симметрии, причем под словом «группа» понимается именно математическое понятие. Установив группу симметрии, можно затем обратиться к развитому математическому аппарату теории групп, с тем чтобы получить дополнительную важную информацию о физической системе. Вот простейший пример.

По закону Ньютона сила тяготения между двумя неподвижными точечными массами (одна из них находится в начале координат) обратно пропорциональна квадрату расстояния между ними: $F \sim r^{-2}$. Следовательно, величина этой силы не меняется при любых вращениях вокруг любой оси, проходящей через начало координат, так как при этих преобразованиях квадрат расстояния между двумя точками не меняется. Поэтому закон

тяготения инвариантен относительно группы вращений трехмерного пространства $SO(3)$. Как следствие этого математического факта можно получить важные физические выводы, например доказать сохранение момента импульса (который является инвариантом группы) при движении в поле тяготения (в этом состоит содержание законов Кеплера, см. § 3 гл. 5).

В применении к физике частиц знание группы симметрии по отношению к определенным типам взаимодействий позволяет классифицировать частицы с близкими свойствами по семействам и установить вид энергии взаимодействия, удовлетворяющий требованию инвариантности относительно данной группы симметрии. Это очень жесткое требование позволяет отобрать лишь небольшое число теорий взаимодействия из множества возможных вариантов.

Важнейшей группой симметрии в физике является *группа Лоренца*, т. е. совокупность преобразований перехода от одной инерциальной системы отсчета к другой в четырехмерном пространстве-времени Минковского (подробнее об этом см. § 3 гл. 32).

§ 8. Кварковая модель адронов

По современным представлениям, все адроны (барионы B и мезоны M) состоят из фундаментальных частиц — *кварков* q, причем $B \sim qqq$, $M \sim \bar{q}q$, где $\bar{q}$ — антикварк. Шесть кварков объединяются попарно в три поколения, соответствующие трем поколениям лептонов. Такое соответствие, конечно, не случайно и находит свое объяснение в современной теории элементарных частиц. Главной особенностью кварков (в свое время поразившей физиков своей нетривиальностью) является дробность их электрического заряда. Один из кварков каждого поколения имеет заряд $Q = 2/3$, а другой — $Q = -1/3$.

Кроме того, у каждого из шести кварков есть свое особенное квантовое число, отличающее этот кварк от других. Любящие шутить физики назвали эту характеристику кварков их *ароматом* (англ. *flavour*). Кварки *u* (*up* — верхний) и *d* (*down* — нижний) отличаются значением проекции изотопического спина I_3 (эти кварки по своим квантовым числам аналогичны протону и нейтрону), кварку *s* приписывается новая характеристика — *странность* (*strangeness*) S (часто вместо странности используют *гиперзаряд* $Y = B + S$, где B — барионное число), кварку *c* — *очарование* (*charm*) *c*, кварку *b* — *красота* (*beauty*) *b*. Последнему кварку *t* приписывается квантовое число *истинность* (*truth*) *t* [иначе *t*-кварк называют *топ* (*top*), т. е. самый верхний].

На рис. 31-10 показаны так называемые I_3Y-диаграммы для трех первых кварков (u, d, s) и соответствующих антикварков. Как следует из этих диаграмм, три кварка расположены в вершинах равностороннего треугольника, а три антикварка — в вершинах треугольника, получающегося из предыдущего зеркальным отражением относительно оси I_3.

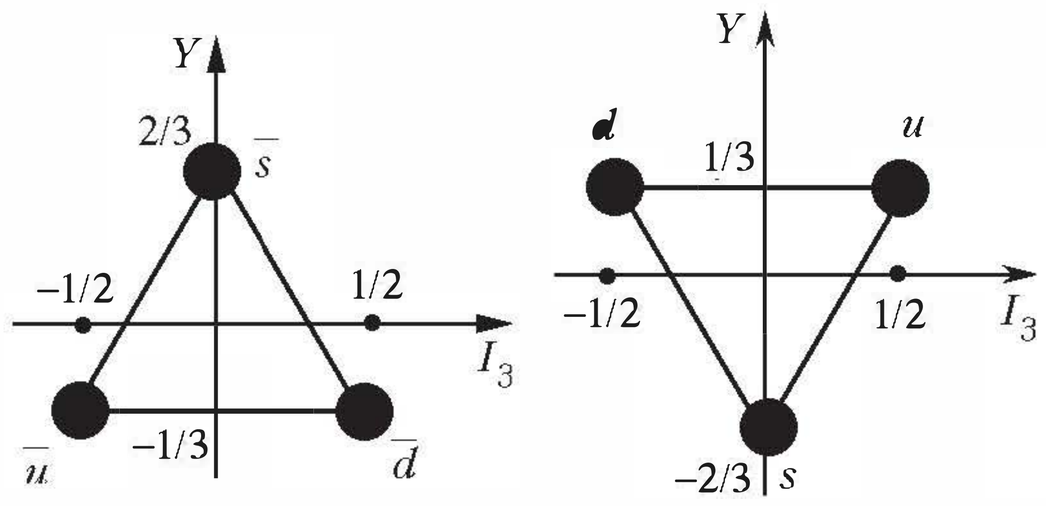


Рис. 31-10. I_3Y-диаграммы для трех легчайших кварков и соответствующих антикварков

И кварки, и антикварки — частицы спина 1/2. Если кварк и антикварк обра-

зуют связанное состояние (мезон), то спин этого состояния может равняться либо нулю (когда кварк и антикварк объединяются с противоположными направлениями проекций спина; рис. 31-11, *а*), либо единице (проекции спинов кварков направлениы в одну сторону; рис. 31-11, *б*). Из трех кварков u, d, s и трех соответствующих антикварков можно, очевидно, составить $3\times3 = 9$ различных комбинаций вида $\bar{q}q$. При этом кварк-антикварковые пары могут иметь антипараллельные или параллельные спины. Так возникают два простейших нонета мезонов спина 0 и 1. На рис. 31-12 показана I_3Y-диаграмма нонета самых легких псевдоскалярных мезонов спина 0 (масса легчайшего π-мезона составляет около 140 МэВ).

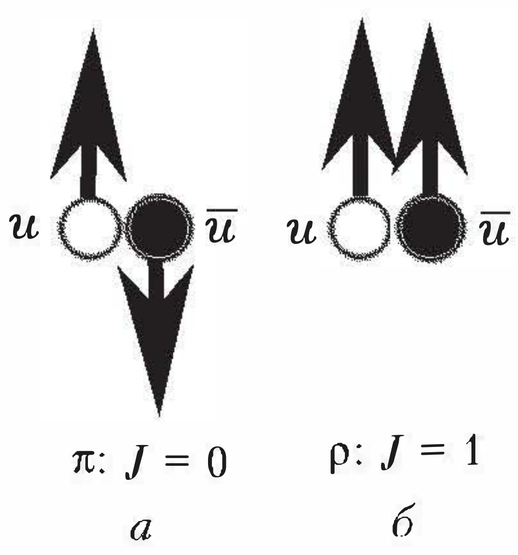


Рис. 31-11. Связанные состояния кварка и антикварка: *а* — спины кварков антипараллельны, получающееся состояние — мезон спина 0; *б* — спины кварков параллельны, получающееся состояние — мезон спина 1

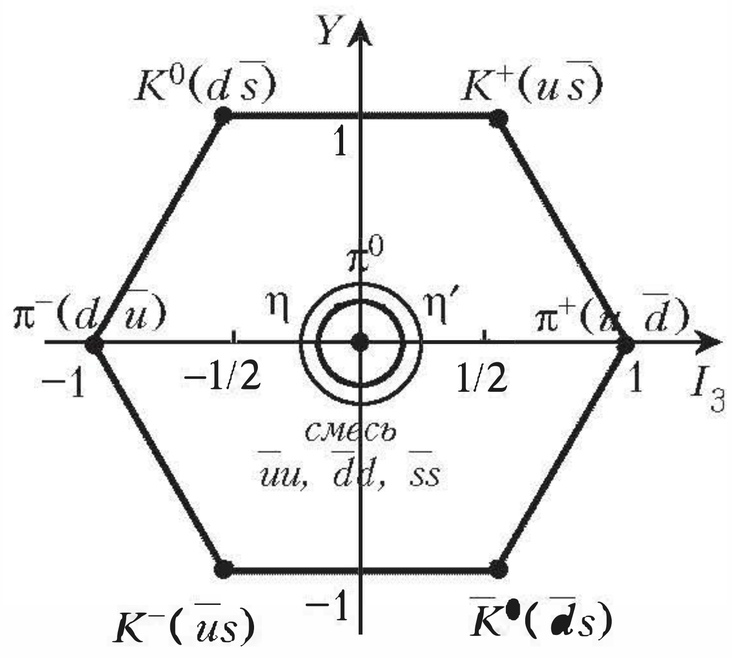


Рис. 31-12. Нонет псевдоскалярных мезонов 0^-

В то же время попарное объединение кварков u, d, s дает всего шесть комбинаций (uu, ud, us, dd, ds, ss), имеющих дробные заряды. Такие частицы никогда не наблюдались в природе. Но если добавить к таким структурам еще один кварк какого-нибудь сорта, то приходим к 10 состояниям (qqq) (декуплет), показанным на рис. 31-13. Все они имеют целые заряды и странность, меняющуюся от 0 до −3 (соответственно, гиперзаряд $Y = B + S$ меняется от 1 до −2). Спин таких частиц равен 3/2.

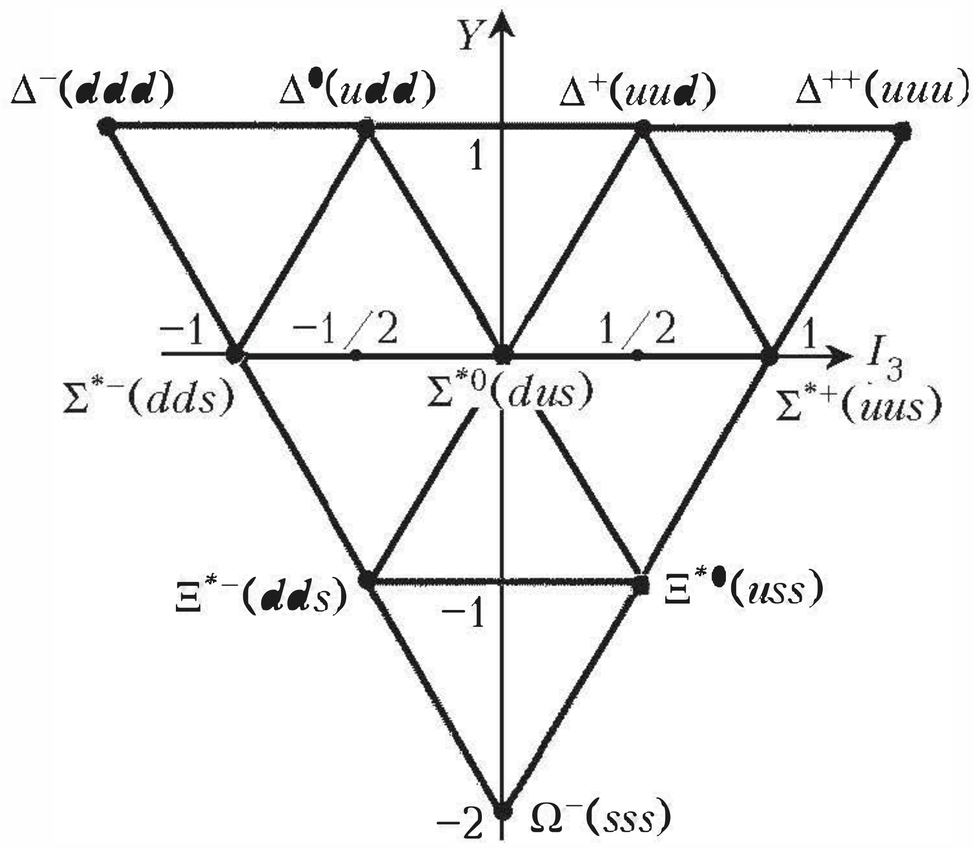


Рис. 31-13. Декуплет барионов $3/2^+$

Если «обрезать» углы на рис. 31-13 (эта процедура отвечает учету требований, налагаемых принципом Паули), то получим структуру рис. 31-14, описывающую восьмерку (октет) легчайших барионов спина 1/2, куда входят основные барионы — протон и нейтрон. Как упоминалось выше, в 1961 г. М. Гелл-Манн показал, что такое число частиц в мультиплете может возникнуть только при наличии определенной внутренней симметрии, которую математики называют $SU(3)$-симметрией (конечно, цифра 3 в обозначении группы соответствует рассматриваемому числу сортов кварков).

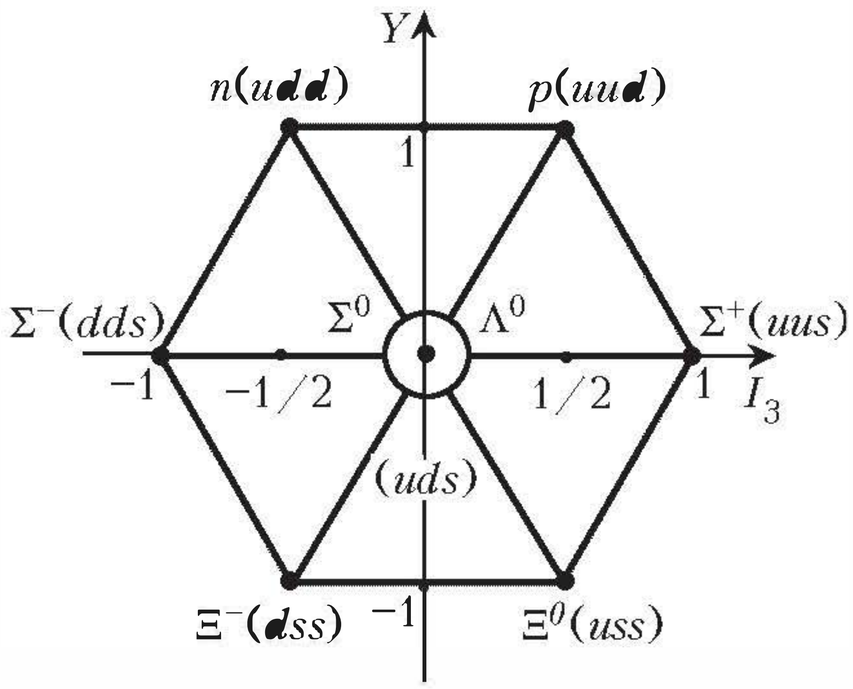


Рис. 31-14. Октет барионов $1/2^+$

Адроны, в состав которых входят кварки того или иного аромата, также становятся обладателями соответствующего значения квантового числа (например, частица $\Omega^- \sim sss$ обладает странностью $S = -3$). Введение этих характеристик позволяет без труда сформулировать действующие в реакциях сильных взаимодействий правила отбора, например правило, что сумма странностей частиц в начале и конце реакции сильного взаимодействия одинакова.

Могут ли существовать адроны с иным кварковым составом? Несомненно, могут. Как следует из квантовой хромодинамики — теории взаимодействия кварков (о ней — ниже), внутри адронов могут существовать помимо так называемых валентных кварков дополнительные кварк-антикварковые пары. Поэтому в принципе возможны барионы, состоящие из пяти кварков ($qqq\ \bar{q}q$), или мезоны, состоящие из четырех кварков ($\bar{q}q\ \bar{q}q$). В 2003 г. пришли сообщения об открытии первых таких частиц. Сначала физики из Станфорда (США) объявили об открытии нового D-мезона, возможно, состоящего из четырех кварков. Затем рядом лабораторий были представлены первые свидетельства существования *пентакварка* $\Theta^+(1540)$ (в скобках — масса частицы в мегаэлектронвольтах), состав которого ($uud\ \bar{s}d$). Наконец, японские исследователи сообщили о новом мезоне, который они назвали $X(3872)$, вероятно, состоящем из четырех кварков. По-видимому, пришло время для детальных исследований многокварковых состояний.

Как теоретики открывают частицы, сидя за столом

Классическим примером того, как теоретики предсказывают существование частиц, является история с нейтрино. Швейцарский физик Вольфганг Паули предположил в 1930 г., что такая частица должна существовать для того, чтобы объяснить кажущееся нарушение закона сохранения энергии в процессе β-распада нейтрона $n \to p + e^- + \bar{\nu}_e$. Таким образом, побудительным мотивом для предсказания новой частицы было желание Паули сохранить в неприкосновенности фундаментальный закон природы. Здесь Паули как бы вступил в полемику с Нильсом Бором, который бесстрашно выдвинул предположение о возможном нарушении закона сохранения энергии в этом процессе. Паули, по-видимому, осознавал, что закон сохранения энергии неизмеримо важнее, чем наличие или отсутствие еще одной частицы, пусть и с весьма необычными свойствами. Обстоятельства, при которых Паули высказал свою гипотезу, хорошо характеризуют этого выдающегося физика. Он должен был присутствовать на заседании «Группы радиоактивных» в Тюбингене (так называла себя группа ученых, собравшихся для обсуждения животрепещущих проблем ядерной физики), однако Паули (ему было тогда всего 30 лет) не хотелось пропускать традиционный ежегодный бал в Цюрихе, и он написал коллегам полушутливое письмо, начинающееся

словами: «Дорогие радиоактивные дамы и господа...», где сообщал, что не может прибыть на заседание, и высказал идею о существовании новой частицы, уносящей энергию в β-распаде и тем самым восстанавливающей закон сохранения энергии.

Другой пример. Пионы, переносчики сил взаимодействия нуклонов в ядре, были предсказаны японским физиком Хидеки Юкавой на основании фундаментальной идеи о механизме взаимодействий частиц. Примером здесь служила электродинамика Фарадея—Максвелла, где электрически заряженные частицы взаимодействуют друг с другом не на расстоянии, а через окружающее их электромагнитное поле. Юкава полагал, что и взаимодействие p и n в ядре также происходит через некоторое поле, квантами которого являются пионы. Таким образом в случае с пионами предсказание новых частиц явилось следствием фундаментальной теоретической гипотезы о том, что в природе отсутствует дальнодействие.

Третий пример особенно показателен для стиля мышления чистых теоретиков. В ставшей знаменитой работе 1931 г. английский физик Поль Дирак предсказал необходимость существования античастицы к электрону — позитрона. Этот вывод явился математическим следствием из того уравнения, которое Дирак написал в 1928 г. для волновой функции электрона. Уравнение Дирака необычайно красиво объединяло принципы квантовой механики и специальной теории относительности. Однако у него были решения как с положительной, так и с отрицательной энергиями. Решения с положительной энергией легко интерпретировались как описывающие электрон с нужным значением спина 1/2. Неясной оставалась интерпретация решений с отрицательной энергией. В принципе, можно было бы их отбросить, но тогда исчезли бы внутренняя самосогласованность и математическая красота уравнения Дирака.

Поэтому Дирак пошел другим путем: он попытался найти физическую интерпретацию решений с отрицательными энергиями, что и привело к предсказанию позитронов. Именно эти частицы описываются решениями уравнения Дирака с отрицательными энергиями. Здесь уместно процитировать самого Дирака: «Если предсказания, вытекающие из красивого уравнения, не совпадают с фактами, то тем хуже для фактов». Дирак был ярчайшим представителем тех ученых (к ним относился и Эйнштейн), которые на первое место ставили симметрию и красоту математических уравнений, описывающих тот или иной круг явлений природы. Некрасивое уравнение неправильно — вот лозунг теоретика! Самое замечательное, что до сих пор не было случая, чтобы эта точка зрения в конце концов не подтвердилась бы экспериментально.

Наконец, пример с симметриями в мире адронов. Здесь путь к предсказанию новых частиц был совершенно иным — от эксперимента к теории. Ставший знаменитым пример — предсказание Ω^- гиперона и теоретическое вычисление его массы. В 1962 г. М. Гелл-Манн, исходя из существования октета (восьмерки) барионов со спином 1/2 и близкими массами, выдвинул идею «восьмеричного пути». Логика рассуждений Гелл-Манна сейчас — ретроспективно — кажется очевидной. Коль скоро наблюдается такое семейство частиц и физики убеждены, что это не может быть случайностью, а связано с наличием некоторой внутренней группы симметрии, остается только заглянуть в математические справочники

и посмотреть, какая группа симметрии может приводить к мультиплетам размерности 8. Оказывается, выбор невелик. Только группа $SU(3)$ подходит, причем в этой группе возможны еще и мультиплеты с размерностью 10 (декуплет) и 9 (нонет).

Таким образом, если принять существование октета и потребовать наличия внутренней группы симметрии, можно предсказать необходимость существования декуплета (т. е. десятки) барионов со спином 3/2. В 1962 г. было известно только девять из десяти частиц декуплета. Поэтому Гелл-Манн предсказал, что должна существовать еще одна частица со странностью -3, а именно Ω^--гиперон. Как же Гелл-Манн вычислил массу этой частицы? Это легче всего понять с помощью кварковой модели. На диаграмме, где изображен декуплет, видно, что отличия в кварковом составе барионов на разных горизонтальных линиях связаны с числом s-кварков в них. Обратимся к экспериментальным значениям масс соответствующих адронов.

$m_\Delta = 1230$ МэВ, $m_{\Sigma^*} = 1385$ МэВ,
$m_{\Xi^*} = 1530$ МэВ.

Разности масс частиц, находящихся на соседних горизонтальных линиях, равны:

$m_{\Xi^*} - m_{\Sigma^*} = 145$ МэВ,
$m_{\Sigma^*} - m_\Delta = 155$ МэВ.

Получившиеся числа очень близки друг к другу. Наиболее естественной гипотезой, объясняющей эту близость, будет предположение: что увеличение массы каждого следующего сорта частиц по сравнению с предыдущим связано с увеличением числа s-кварков, а сам s-кварк тяжелее, чем u и d-кварки, примерно на 150 МэВ. Теперь ясно, что можно предсказать массу недостающей частицы: она должна быть на 150 МэВ больше, чем масса m_{Ξ^*}, иначе говоря

$m_\Omega = 1680$ МэВ.

Именно такую цифру привел Гелл-Манн в своей первой публикации. Вскоре Ω^--гиперон был обнаружен, и его масса оказалась равной 1672 МэВ в блистательном согласии с теоретическими предсказаниями.

Тот же Гелл-Манн продемонстрировал еще один способ предсказания новых частиц, по существу, опирающийся на принцип: «Все, что не запрещено, разрешено», а также на неизбывное желание всех физиков свести многообразие природы к набору небольшого числа фундаментальных сущностей (такой способ действий носит название редукционизма). Математика утверждает, что минимальная размерность возможных мультиплетов в рамках $SU(3)$-симметрии равна 3 (триплет). Более того, все остальные мультиплеты могут быть построены как «произведения» фундаментальных триплетов. Те частицы, которые входят в состав триплета, должны обладать дробными значениями барионного числа и электрического заряда.

Гелл-Манн решился на мужественный шаг: он заявил, что частицы с этими фантастическими свойствами реально существуют. Подчеркнем, что ни экспериментальные данные, ни математические соображения не требовали в 1964 г. такого шага. Вполне можно было рассматривать только мультиплеты барионов и мезонов. Однако Гелл-Манн знал азы демократии и следовал логике редукционизма, пытаясь свести число фундаментальных частиц к минимуму. Если принять идею кварков, то все барионы и мезоны оказываются построенными из более фундаментальных сущностей, в царстве сотен адронов возникает столь желанная систематика и упорядоченность.

§ 9. Цвет. Квантовая хромодинамика

Несмотря на успехи, кварковая модель с самого начала столкнулась с серьезной проблемой. Описать ее суть можно на примере. Существует Δ^{++} (его называют Δ-резонансом), который состоит из трех u-кварков. Спин Δ^{++} равен 3/2, поэтому он может находиться в состоянии с проекцией спина на некоторую ось $J_3 = 3/2$. Единственный способ образовать такое состояние из u-кварков — взять каждый u-кварк в состоянии с проекцией спина $J_3 = S$ (рис. 31-15). Таким образом, состояние Δ^{++} может быть образовано только из трех тождественных (неотличимых друг от друга) u-кварков.

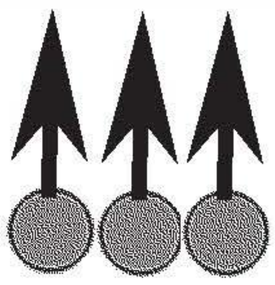


Рис. 31-15. Δ^{++}-резонанс в модели кварков без учета цвета. Такая конфигурация несовместима с принципом Паули

Согласно законам квантовой механики стабильное состояние частицы отвечает состоянию наименьшей энергии, которое всегда пространственно симметрично, следовательно, u-кварки в Δ^{++} находятся в симметричном состоянии с наименьшей энергией. Но это противоречит принципу Паули, запрещающему трем тождественным частицам со спином 1/2 находиться в одинаковом состоянии. Итак, налицо противоречие, причем очень серьезное: кварковая модель предсказывает существование состояний, запрещенных принципом Паули.

Как всегда, нашлись ученые-радикалы, предложившие отказаться от принципа Паули при рассмотрении структуры адронов или как-то видоизменить его. Был предложен и совсем «сумасшедший» выход из положения — считать, что кварки иногда ведут себя как фермионы, а иногда как бозоны (т. е. частицы с целым спином). Здесь история живо напомнила решительное предложение Н. Бора отказаться от закона сохранения энергии в β-распаде. Тогда Паули отверг столь радикальный подход, предложив ввести новую частицу — нейтрино. Теперь же большинство теоретиков посчитало принцип Паули слишком фундаментальным, чтобы им жертвовать.

Выход из положения был предложен японским физиком И. Намбу и независимо от него советскими учеными Н. Н. Боголюбовым, Б. В. Струминским и А. Н. Тавхелидзе. Идея заключается в том, чтобы приписать каждому кварку дополнительное квантовое число, новую характеристику, которая может принимать три (и только три) разных значения. Тогда принцип Паули может быть сохранен, если считать, что все u-кварки в Δ^{++} отличаются друг от друга значением этого нового квантового числа. Оно получило название *цвет*, хотя, конечно, не имеет никакого отношения к обычному цвету.

Таким образом, принимается, что каждый кварк каждого сорта может находиться в одном из трех так называемых цветовых состояний (условно желтом, синем и красном*), например, u-кварк может находиться в состояниях $u_Ж$, $u_С$, $u_К$. Антикварки обладают дополнительными цветами*. По определению, цвет кварков никогда не проявляется явно, т. е. реальные адроны *всегда бесцветны*, иначе говоря, в мире адронов существует строгая

* Цвета кварков и антикварков можно выбрать в соответствии с порядком цветов в радуге (рис. 31-16). Тогда кваркам ЖСК отвечают антикварки ФОЗ.

цветовая симметрия: она описывается группой $SU(3)_c$, причем все состояния адронов являются скалярами по отношению к этой группе преобразований в пространстве цветов.

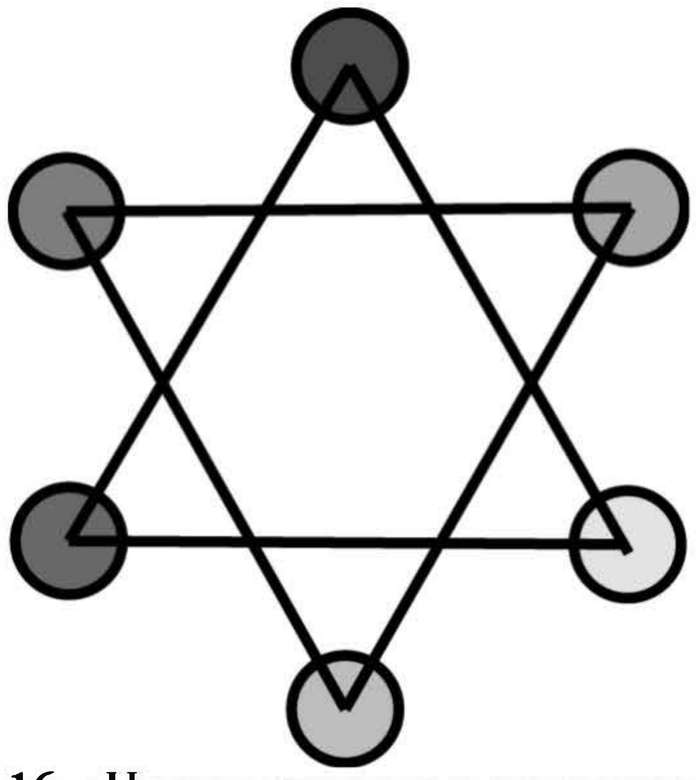


Рис. 31-16. «Цвета» кварков и дополняющие их цвета антикварков

Приняв такую идею, можно построить состояния барионов, не нарушая принципа Паули, т. е. антисимметричные относительно перестановки любой пары частиц. Так, Δ^{++} состоит из трех u-кварков. Пронумеруем кварки и учтем три цветовых состояния у каждого из них. Таким образом, каждый кварк отмечен двумя индексами: номером (1, 2, 3) и цветом (Ж, С, К). Прямой проверкой нетрудно убедиться, что комбинация

$$u_{1Ж}(u_{2С}u_{3К} - u_{2К}u_{3С}) + u_{1С}(u_{2К}u_{3Ж} - u_{2Ж}u_{3К}) + u_{1К}(u_{2Ж}u_{3С} - u_{2С}u_{3Ж})$$

меняет знак при перестановке любой пары кварков, т. е. замене индексов $1 \leftrightarrow 2$, $2 \leftrightarrow 3$ или $1 \leftrightarrow 3$. Это и означает антисимметрию такого состояния по отношению к перестановкам (рис. 31-17).

Введенная характеристика кварков имеет на самом деле значительно более фундаментальный смысл, чем просто метка, отличающая одно кварковое состояние от другого. Вспомним, например, барионное число B. Оно имеет определенное значение для каждого адрона;

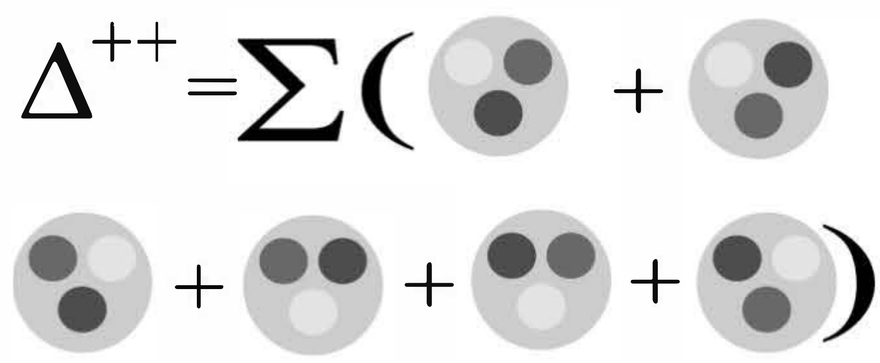


Рис. 31-17. Δ^{++}-резонанс в кварковой модели с учетом «цвета»

так, у протона $B = 1$, у пиона $B = 0$. Однако, хотя B и называют иногда барионным зарядом, никаких свойств заряда у B нет, т. е. не существует сил притяжения или отталкивания между частицами с разными B, аналогичных электростатическим силам. Говорят, что барионное число B не имеет динамической природы. Точно такое же утверждение верно и для лептонного числа (заряда) L.

Совершенно иначе обстоит дело с электрическим зарядом Q. Он может быть положительным или отрицательным, и электромагнитное взаимодействие между частицами с разными Q определяется произведением зарядов. Взаимодействие носит характер либо притяжения ($Q_1Q_2 < 0$), либо отталкивания ($Q_1Q_2 > 0$). Таким образом, электрический заряд частицы не просто отмечает какую-то ее характеристику, но и определяет интенсивность электромагнитного взаимодействия данной частицы с другими. Электрический заряд имеет *динамическое* происхождение, он одновременно есть и характеристика объекта, и характеристика взаимодействия этого объекта с другими. В противоположность числам B и L, не порождающим вокруг частицы специфических полей, заряд Q порождает вокруг частицы электромагнитное поле, является источником поля.

Цвет кварков во многом аналогичен электрическому заряду, т. е. цветовой заряд определяет величину силы взаимодействия между кварками, является

источником цветового поля. Правила взаимодействия цветовых зарядов аналогичны правилам электростатики: два одинаковых цветовых заряда отталкиваются, а противоположные цветовые заряды притягиваются. По этой причине два красных u-кварка не могут образовать связанное состояние, а красный u-кварк $u_К$ вместе со своей античастицей $\bar{u}_К$ образуют связанное состояние — π^0-мезон. Итак, *цвет имеет динамическое происхождение*. Так же как квантовая электродинамика является теорией взаимодействия заряженных частиц и электромагнитного поля, так и *квантовая хромодинамика* (КХД) — теория взаимодействия частиц с цветовыми зарядами и порождаемого этими зарядами хромодинамического поля.

Построение КХД следует общим правилам построения локальных калибровочных теорий. Исходными являются уравнения для полей кварков, симметричные относительно глобальной группы симметрии $SU(3)_c$. Следует особо отметить, что эта группа неабелева (последовательные преобразования симметрии зависят от порядка их выполнения). Затем эта симметрия локализуется, т. е. преобразования группы $SU(3)_c$ становятся функциями координат и времени. Требование инвариантности уравнений для кварков относительно локальной группы $SU(3)_c$ приводит к необходимости введения восьми безмассовых полей спина 1 — *глюонов*. Как кварки, так и глюоны несут цветовой заряд. Вид нелинейного взаимодействия кварков и глюонов друг с другом также определяется требованием локальной калибровочной инвариантности. Константа взаимодействия кварков и глюонов — цветовой заряд — аналогична электрическому заряду в КЭД, т. е. цветовой заряд имеет динамическое происхождение.

Конечно, благодаря тому что имеется три разных вида положительных цветовых зарядов кварков, возможное количество способов образовать системы с притяжением между составными частями намного больше, чем в простой электродинамике с одним-единственным типом заряда. Вдобавок к «противоположным» цветовым зарядам антикварков появляются «разные» цветовые заряды, и притяжение между противоположными зарядами обобщается на притяжение разных зарядов. Так, притягиваются $u_К$ и $\bar{d}_С$. Правда, здесь требуется одно важное уточнение, связанное с учетом квантовых свойств кварков.

Рассмотрим два кварка — один красный, другой синий (эти кварки могут быть как одного, так и разных сортов). Пусть $К_1$ означает положение красного кварка в состоянии 1, а $С_2$ — положение синего кварка в состоянии 2. Пара кварков образует систему в состоянии $К_1С_2$. На квантовом языке такое состояние описывается некоторой волновой функцией. Напомним, что физический смысл имеют не сами волновые функции, а квадраты их модулей. Поменяем теперь кварки местами, тогда они окажутся в состоянии $С_1К_2$. Квантовая хромодинамика *не различает* два состояния, отличающиеся перестановками цвета. Это означает, что волновая функция нового состояния может отличаться от волновой функции исходного состояния только на множитель, который при возведении в квадрат дает единицу. Тогда квадраты модулей волновых функций двух состояний будут одинаковы, что и отражает неразличимость этих состояний. Ясно, что этот множитель равен либо $+1$, либо -1. Поэтому реальная физическая система, состоящая из двух кварков, на 50 % есть симметричное относительно перестановки кварков состояние $К_1С_2 + С_1К_2$, а на

50 % — антисимметричное состояние $К_1С_2 - С_1К_2$.

Из уравнений КХД вытекает, что если пара кварков находится в симметричном квантовом состоянии, то эти кварки отталкиваются. Наоборот, в антисимметричном квантовом состоянии кварки притягиваются. Это общее правило объясняет и то, почему отталкиваются одноименные цветовые заряды. Действительно, два красных кварка очевидно симметричны по отношению к перестановке. Поэтому по общему правилу они должны отталкиваться (так и происходит в обычной электродинамике).

Кварки двух разных цветов могут образовать антисимметричное состояние и притягивать друг друга. Если добавить третий кварк, то для того, чтобы он стал притягиваться к паре первых кварков, нужно, чтобы его цвет отличался от остальных, а состояние всех трех кварков было бы антисимметрично по отношению к перестановке любой пары цветовых состояний. Именно так образуются желто-сине-красные связанные состояния — барионы.

Теория цветовых взаимодействий обладает очень высокой степенью симметрии $SU(3)_c$. Все цвета (Ж, С, К) рассматриваются как равноправные. Это означает, что если заменить, например, красные кварки синими и наоборот, то выражения, описывающие взаимодействие этих кварков, не изменятся. Однако это не просто пассивная симметрия. Возможность взаимной замены цветов есть ключ к пониманию динамики цветовых взаимодействий. Такое взаимодействие можно рассматривать как процесс, в котором цвет кварка (антикварка) меняется в одном месте, и это изменение компенсируется противоположным изменением в каком-то другом месте. Значит, происходит как бы перетекание цветового заряда из одной точки в другую. А это, в свою очередь, означает, что существует переносчик цветового заряда.

Выше было сказано, что нулевая масса фотона приводит к дальнодействующему характеру электромагнитных взаимодействий. Казалось бы, если переносчики сильного взаимодействия — глюоны — имеют нулевую массу, это взаимодействие тоже должно быть дальнодействующим. Но это явно противоречит опытам, которые свидетельствуют, что радиус действия сильных взаимодействий порядка размеров ядра (10^{-15} м). Не будем, однако, торопиться с выводами. У глюонов есть одно свойство, принципиально отличающее их от фотонов.

Дело в том, что фотоны не обладают электрическим зарядом, они электронейтральны. Это связано с тем, что в электродинамике есть только один тип заряда (принимающий положительные и отрицательные значения) и взаимодействие определяется произведением зарядов частиц. В квантовой хромодинамике все обстоит сложнее. Глюоны осуществляют обмен цветовыми зарядами между кварками. Каждый кварк может находиться в одном из трех цветовых состояний и благодаря излучению глюона может перейти в любое другое цветовое состояние. Значит, испускаемый кварком глюон должен сам иметь *цветовой заряд*.

Симметрия по всем цветам приводит к интуитивно понятному выводу, что во всех взаимодействиях кварков и глюонов суммарный цветовой заряд должен сохраняться. Это означает, например, что если $u_К$ переходит в $u_С$, излучая глюон (рис. 31-18), то этот глюон должен иметь смешанный цветовой заряд, унося начальный красный и антисиний цвета (чтобы скомпенсировать синий цвет u-кварка в конечном состоянии). Можно убедиться в том, что всего оказывают-

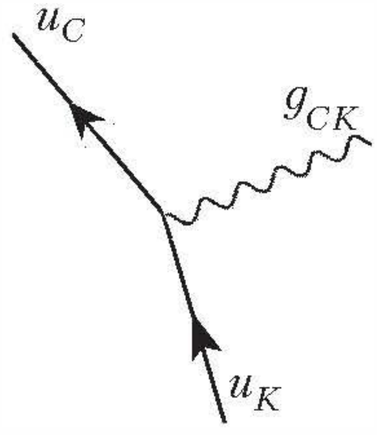


Рис. 31-18. Излучение глюона кварком

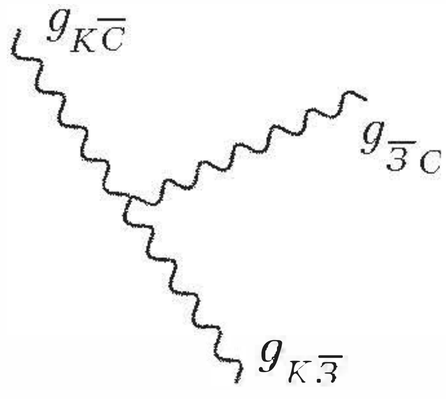


Рис. 31-19. Глюон излучает сам себя

ся возможными *восемь* различных глюонных состояний, а следовательно, восемь разных цветовых зарядов. На первый взгляд, кажется, что глюонов должно быть девять, поскольку каждый из них несет два цветовых индекса — один от кварка в начальном, другой — от кварка в конечном состоянии, а из трех цветов Ж, С, К и трех антицветов $\overline{\text{Ж}}$, $\overline{\text{С}}$, $\overline{\text{К}}$ можно составить девять пар индексов. Однако полностью симметричная комбинация $\overline{\text{Ж}}\text{Ж} + \overline{\text{С}}\text{С} + \overline{\text{К}}\text{К}$ бесцветна, т. е. цветовой заряд ее равен нулю. Поэтому одна комбинация из девяти возможных выпадает и остается восемь комбинаций с ненулевым цветовым зарядом. Они-то и соответствуют восьми глюонам, осуществляющим перенос сильных взаимодействий между кварками всех типов.

Точно так же как ускоренный электрон излучает фотоны, ускоренный кварк определенного цвета излучает глюон, превращаясь в кварк другого цвета. Но коль скоро глюон в отличие от фотона обладает цветовым зарядом, он может сам излучать другой глюон, например, в процессе, изображенном на рис. 31-19. Он представляет собой как бы светящийся свет.

С физической точки зрения это кардинально меняет свойства глюонного поля. Как известно, электромагнитное поле удовлетворяет принципу суперпозиции, т. е. поле от двух источников представляет собой (векторную) сумму полей от каждого из источников в отдельности. Однако квантовая хромодинамика — существенно *нелинейная* теория. Благодаря возможности взаимодействия глюонов друг с другом принцип суперпозиции уже не действует. Это приводит к кардинальным отличиям в поведении цветового заряда по сравнению с электрическим.

Эффективный заряд электрона зависит от расстояния до наблюдателя. Данный заряд всегда окружен облаком электрон-позитронных пар, самопроизвольно рождающихся из вакуума и затем опять аннигилирующих. С точки зрения удаленного наблюдателя, величина данного заряда уменьшается за счет экранировки зарядами позитронов из этого облака. Если же наблюдать заряд электрона на все меньших расстояниях, то он возрастает. Таким образом, в КЭД предсказывается, что константа взаимодействия $\alpha = e^2/4\pi\hbar c$ изменяется в зависимости от расстояния до изучаемого заряда, причем на малых расстояниях эта константа больше. Иными словами, интенсивность электромагнитных взаимодействий возрастает на малых расстояниях: $\alpha(r) \to \infty$ при $r \to 0$. Малым расстояниям соответствуют большие энергии частиц (вспомним соотношение неопределенностей). Поэтому можно перефразировать утверждение: интенсивность электромагнитных взаимодействий возрастает с ростом энергии взаимодействия заряженных частиц.

Поведение константы цветового взаимодействия между кварками и глюонами α_s совершенно иное. Это связано с особыми нелинейными свойствами глюонного поля. В вакууме, окружающем цветной кварк, могут спонтанно рождаться не только кварк-антикварковые пары (их взаимодействие с исходным кварком ничем не отличается от взаимодействия в электродинамике), но и пары глюонов (за счет трехглюонного взаимодействия, показанного на рис. 31-16). Оказывалось, что глюонные пары, рождающиеся из вакуума, совсем иначе взаимодействуют с исходным кварком. Это взаимодействие больше, чем у $\bar{q}q$ пар и, что самое важное, *имеет другой знак*. В результате вместо эффекта экранировки цветового заряда и его уменьшения на больших расстояниях имеет место противоположный эффект *антиэкранировки* цветового заряда. Это означает, что константа кварк-глюонного взаимодействия $\alpha_s(r)$ на меньших расстояниях уменьшается, а на бóльших расстояниях растет. Иначе говоря, цветовое взаимодействие между кварками тем меньше, чем они ближе друг к другу. Это совершенно необычное свойство квантовой хромодинамики получило название *асимптотической свободы* (асимптотически при $r \to 0$ кварки становятся свободными, перестают чувствовать присутствие друг друга).

Надо сказать, что открытие свойства асимптотической свободы стало тем ключевым событием, после которого кварковая модель и квантовая хромодинамика полностью обрели права гражданства. Дело в том, что сразу же после выдвижения гипотезы кварков возник вопрос о том, почему кварки не наблюдаются в природе. Казалось бы, ударив посильнее, можно разбить протон на составляющие его три кварка или пион — на кварк-антикварковую пару. В 60-е и начале 70-х гг. уже существовали ускорители, позволявшие изучать соударения протонов с энергиями, многократно превышающими массу покоя протона. Тем не менее никому не удавалось разбить протон на составные части.

Был ли все же в истории Вселенной момент, когда кварки были свободными? Конечно, да, и происходило это в первые мгновения после Большого взрыва, породившего нашу Вселенную примерно 13 млрд лет тому назад (подробнее об этом см. гл. 32, § 13). Тогда энергии всех частиц были настолько велики ($\sim 10^{15}$ ГэВ), что адроны не могли существовать как связанные системы из кварков. Позднее, когда Вселенная расширилась и охладилась, кварки и антикварки образовали барионы и мезоны. Мезоны быстро распались, и в результате как воспоминание об этой эпохе остались барионы, вошедшие в состав вещества всей Вселенной, в том числе читателей этой книги.

Как же объяснить отсутствие свободных кварков и необычайную стабильность адронов? Почему при бомбардировке энергичными частицами адроны не разваливаются на составляющие их кварки? Ответ на это и дает свойство асимптотической свободы.

Рассмотрим, например, мезон, состоящий из цветных кварка и антикварка. Характерные размеры любого адрона сравнимы с размерами ядра атома $R \sim 10^{-15}$ м. Таким образом, мезон можно грубо представить себе как шарик радиусом R, внутри которого «болтаются» кварк и антикварк. На расстоянии порядка R силы взаимодействия между кварком и антикварком достаточно велики, чтобы эта система была стабильна относительно сильных взаимодействий.

Но что будет происходить, если с помощью внешнего воздействия попытаться «разбить» мезон на составляющие его

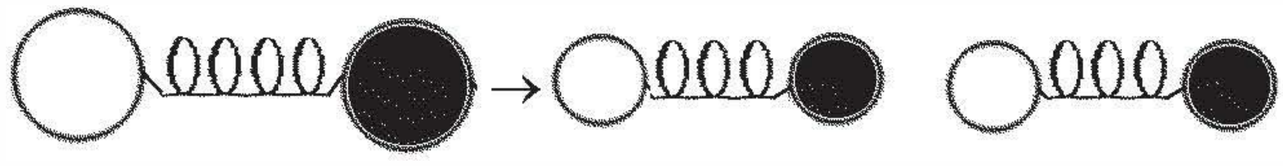


Рис. 31-20. Попытка разорвать мезон на составные части приводит лишь к рождению новых мезонов, но не к освобождению цветных кварков

части? Это означает, что кварк q и антикварк $\bar{q}$ нужно удалить друг от друга на расстояние значительно большее, чем R. Но при этом константа взаимодействия растет, т. е. чем дальше друг от друга мы пытаемся развести кварк и антикварк, тем с большей силой они притягиваются друг к другу. Хорошим образом для этого является струна, соединяющая q и $\bar{q}$ (рис. 31-17). Попытка разорвать эту струну приводит просто к рождению новых пар $\bar{q}q$ в местах разрыва, так что высвободить кварки, изолировать их невозможно. Аналогично барион (протон и т. п.) можно представить как систему трех кварков, соединенных глюонными струнами. Попытка разорвать связи приводит к рождению новых мезонов, но не к освобождению кварков из их «вечного плена» внутри адронов.

Таким образом, свойство асимптотической свободы исключает при доступных на Земле энергиях высвобождение кварков из адронов, делает невозможным существование свободных кварков. Это явление получило название *конфайнмент* (от англ. *confinement* — *удержание*, *пленение*).

А что же с теми силами, которые объединяют протоны и нейтроны в ядра атомов? Ведь до обнаружения кварковой структуры барионов и создания квантовой хромодинамики считалось, что именно эти силы служат проявлениями сильного взаимодействия. Теперь уже понятно, что силы между нуклонами в ядре, несмотря на их существенную величину, являются лишь слабыми отголосками того истинно сильного взаимодействия, которое удерживает кварки внутри протона. Действительно, чтобы разбить ядро на отдельные нуклоны, требуется энергия порядка 10 МэВ. Чтобы разбить протон на составляющие его кварки, не хватит и энергии в миллионы миллионов мегаэлектронвольт.

Это напоминает возникновение сил Ван-дер-Ваальса, действующих между нейтральными молекулами (см. § 5 гл. 27). Хотя заряды молекул равны нулю, тем не менее асимметричность распределения этих зарядов порождает слабое притяжение, быстро убывающее с расстоянием. Точно так же асимметрия в распределении цветовых зарядов внутри нуклонов порождает «слабые» (в масштабах сил, действующих между кварками) силы притяжения нуклонов друг к другу. Образно можно сказать, что ядерная физика — это не более чем «кварковая химия».

Поляризация вакуума и бегущие константы связи

Простейшая модель атома водорода — электрон, движущийся в электростатическом поле неподвижного протона. Сам электрон создает вокруг себя электрическое и магнитное (за счет движения) поле. Как известно, если электрон находится на стационарной орбите E_n, он не излучает фотонов. Следовательно, в стационарной ситуации в электромагнитном поле атома нет возбуждений — квантов поля, это поле находится в основном, или вакуумном, состоянии.

Отсюда можно прийти к выводу, что физический вакуум не пуст, он заполнен находящимися в невозбужденном состоянии полями (вообще говоря, всех типов).

Оказывает ли этот вакуум влияние на физические процессы в микромире? Ответ: да, и очень существенное. Для понимания того, как это происходит, вспомним соотношение неопределенностей Гейзенберга $\Delta E \Delta t \sim \hbar$. Смысл его в следующем: квантовая механика не запрещает процессов, в которых имеет место кажущееся нарушение закона сохранения энергии, когда квантовая система скачком, спонтанно изменяет свою энергию на величину ΔE, однако только на время, не превышающее $\Delta t \sim \hbar/E$. Подобные процессы называются *виртуальными*.

Посмотрим, к чему это приводит. Рассмотрим небольшой отрезок классической траектории электрона, движущегося в электромагнитном поле (рис. 31-21). Представим, что в нашем распоряжении есть волшебное увеличительное стекло, позволяющее разглядеть участки этой траектории сколь угодно малого размера. Тогда перед нами откроется удивительная картина: оказывается, что кажущаяся сплошной, непрерывной классическая траектория на самом деле является совокупностью непрерывно меняющих направление маленьких участков.

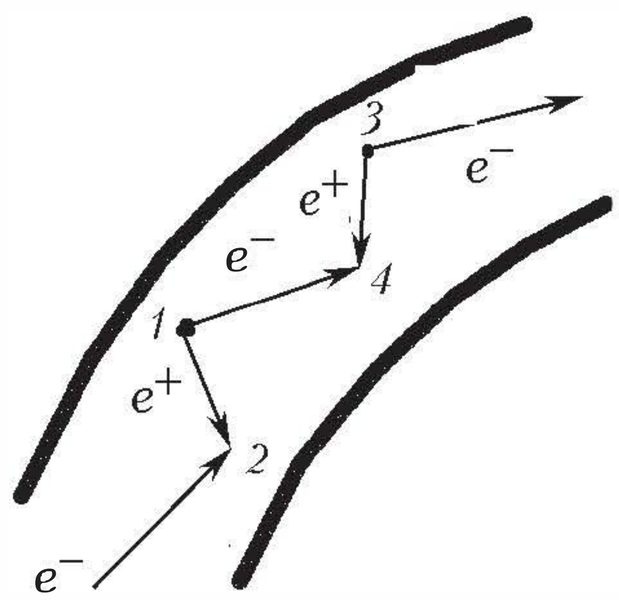


Рис. 31-21. Рождение виртуальных пар в окрестности электрона

Квантовая механика позволяет понять, почему это происходит. В произвольной точке *1* может спонтанно произойти изменение энергии движущегося электрона на величину $\Delta E \geq 2m_e c^2$, превышающую энергию покоя пары электрон – позитрон. Это означает, что из вакуума родилась пара e^+e^-. Очевидно, что если бы такое произошло на самом деле, т. е. если бы из пустоты, из ничего внезапно возникли бы две заряженные частицы, то мы поверили бы в чудеса. Однако не забудем, что отпущенный такой паре срок определяется из соотношения неопределенностей: $\Delta t \leq \hbar/\Delta E \sim \hbar/(2m_e c^2)$. Подстановка значений констант приводит к результату: $\Delta t \sim 10^{-21}$ с.

Таким образом, родившаяся пара исчезнет прежде, чем ее можно будет зарегистрировать. Поэтому со стороны внешнего наблюдателя ничего не происходит — закон сохранения энергии не нарушается, никакие пары частиц из пустоты не вылетают. Частицы, которые существуют лишь постольку, поскольку это разрешено соотношением неопределенностей, носят название *виртуальных* частиц. Мы видим, что вакуум живет богатой внутренней жизнью: в нем непрерывно рождается и почти тут же погибает бесконечное число виртуальных пар частица – античастица, вакуум флуктуирует, «кипит». Но при этом средняя энергия вакуума остается неизменной. Ясно, что все это не может не сказаться на протекании физических процессов.

Проанализируем последствия рождения виртуальной пары e^+e^- на движение электрона по орбите. Родившийся в точке *1* виртуальный позитрон e^+ (рис. 31-20) может проаннигилировать с исходным электроном e^-. В результате в точке *2* эти две частицы превращаются в кванты электромагнитного поля и исчезают, возвращаясь обратно в вакуум. Жизнь продолжает уже другой электрон, родившийся из вакуума в точке *1*. Точно такие же события могут произойти в точках *3*, *5*, ...

Соответственно, в точках *4*, *6*, ... происходит аннигиляция первоначального электрона с позитроном виртуальной пары, а новый электрон продолжает движение.

Благодаря эффекту спонтанного рождения виртуальных пар e^+e^- из вакуума электрон все время как бы дрожит вокруг среднего классического положения (термин «дрожание», от нем. *Zitterbewegung*, был предложен Э. Шредингером). Строго говоря, в микромире понятие классической непрерывной траектории движения вообще теряет смысл.

Можно ли наблюдать описанный эффект? Да, как нетрудно видеть, он приводит к сдвигу уровней энергии в атоме водорода. Потенциальная энергия взаимодействия электрона с помещенным в начало координат протоном $U \sim e^2/r$, где r — расстояние от протона до электрона. В результате дрожания траектории величина r немного меняется: $r \to r + \Delta r$. При усреднении по траектории величина $\overline{\Delta r}$ обращается, конечно, в нуль (равновероятны отклонения как в сторону больших, так и в сторону меньших r), но отлична от нуля среднеквадратичная флуктуация $\overline{(\Delta r)^2}$. Такая флуктуация положения приводит к флуктуации потенциальной энергии: $U \to U + \Delta U$ с $\overline{(\Delta U)^2} \neq 0$. Поэтому полная энергия электрона несколько меняется. Эффект, получивший название *лэмбовского сдвига*, чрезвычайно мал и наиболее сильно сказывается на самом низколежащем уровне энергии. Тем не менее он был измерен, причем полученное значение совпало с теоретическими расчетами с огромной точностью.

Итак, вакуум электромагнитного поля влияет на движение заряженной частицы. Оказывается, что вакуум влияет и на константу электромагнитного взаимодействия. Пусть в вакуум электромагнитного поля внесена заряженная частица (например, электрон). Этот электрон оказывается окруженным множеством виртуальных электрон-позитронных пар (рис. 31-22). Он притягивает к себе позитроны и отталкивает электроны. В результате исходный заряд оказывается окруженным «шубой» из зарядов противоположного знака. (В связи с этим исходный заряд называют *голым*.) С точки зрения удаленного наблюдателя исходный заряд экранируется, уменьшается.

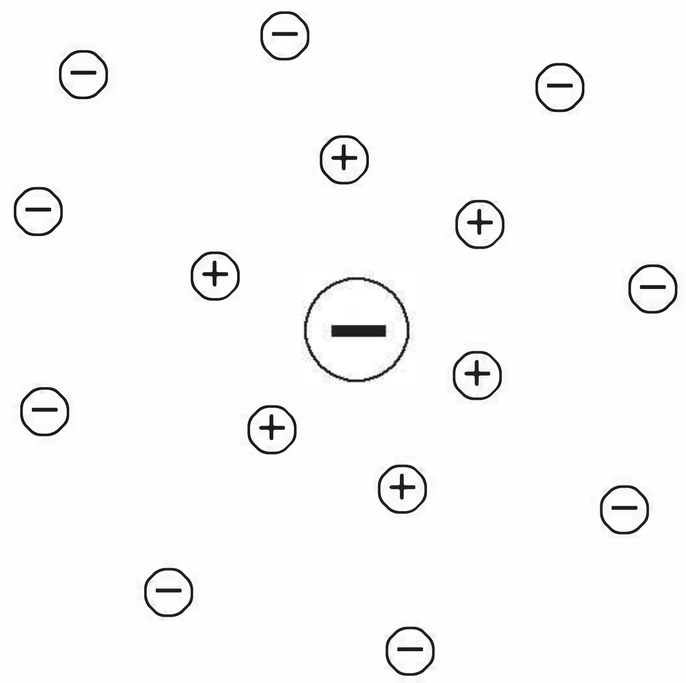


Рис. 31-22. «Одевание» электрона «шубой» из виртуальных позитронов

Ситуация очень напоминает то, что происходит в обычном диэлектрике при внесении в него заряда (рис. 31-23). Первоначально положительные и отрицательные заряды в молекулах диэлектрика располагались симметрично. Внесенный заряд нарушает эту симметрию, притяги-

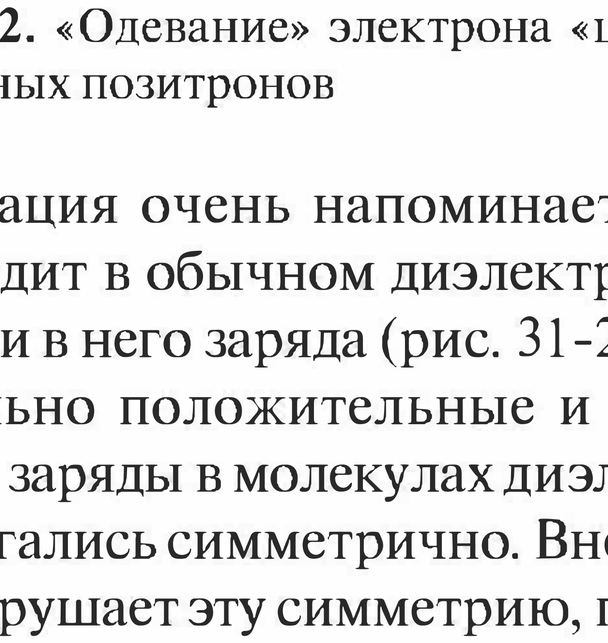


Рис. 31-23. Поляризация диэлектрика

вая разноименные и отталкивая одноименные заряды. Диэлектрик поляризуется. В результате электрическое поле точечного заряда $E \sim e/r^2$ уменьшается. Для описания такого эффекта вводят понятие диэлектрической проницаемости диэлектрика ε. Эта величина показывает, во сколько раз ослабло поле точечного заряда: $E \sim e/\varepsilon r^2$.

Вакуум подобен диэлектрической среде. Эффект экранировки заряда электрона за счет облака виртуальных позитронов приводит формально к тому же, что и в диэлектрике: поле этого заряда ослабевает. Однако, как ясно из рис. 31-22, величина диэлектрической проницаемости вакуума зависит от расстояния до исходного заряда: $\varepsilon = \varepsilon(r)$. Чем ближе к центральному заряду, тем меньшее количество позитронов его окружает. Таким образом, следует ожидать, что эффективный заряд электрона тоже зависит от расстояния, с которого этот заряд наблюдают. Рассмотренное явление носит название *поляризации вакуума*.

Итак, если наблюдать эффективный, реальный заряд с больших расстояний (это соответствует процессам, происходящим при малых энергиях и импульсах), то он меньше голого. Именно этим реальным, или физическим, зарядом определяется величина константы электромагнитного взаимодействия $\alpha \approx 1/137$. Но если перейти к меньшим расстояниям, изучая взаимодействие частиц при очень больших энергиях и импульсах, физический заряд, а следовательно, и константа α становится больше. Это непосредственно наблюдается на опыте; так, при энергиях взаимодействия порядка 100 ГэВ константа $\alpha \approx 1/128$.

Из рассмотренного явления следуют два фундаментальных вывода:

1) величина заряда e и соответственно величина константы электромагнитного взаимодействия α являются функциями энергии взаимодействия;

2) это же верно и в отношении констант α_i любых других фундаментальных взаимодействий, так как на величину этих констант оказывает влияние поляризация вакуума соответствующих полей — переносчиков взаимодействия.

Поэтому в современной физике частиц константы α_i называют *бегущими константами связи*.

Из сказанного не следует, что эффект поляризации вакуума для всех взаимодействий одинаков. Если в электромагнитном взаимодействии константа α уменьшается с ростом энергии (или уменьшением расстояния), то в квантовой хромодинамике (из-за особых свойств поляризации вакуума цветовых глюонных полей) все наоборот: константа связи на малых расстояниях стремится к нулю и растет с увеличением расстояния (свойство асимптотической свободы).

§ 10. «Видны» ли кварки и глюоны?

Теория кварков и основанная на этой идее квантовая хромодинамика очень красивы. Но есть ли экспериментальные подтверждения такой картины, особенно с учетом того, что сами кварки в свободном состоянии увидеть нельзя? Конечно, есть, и немало. Ограничимся только несколькими фактами.

1. Количество экспериментально наблюдаемых адронов (барионов и мезонов) чрезвычайно велико (несколько сотен). Кварковая модель с единых позиций объясняет это многообразие. Иными словами, для каждого адрона можно указать не только его кварковый состав, но и те состояния, в которых находятся кварки внутри адрона (этим определяются характеристики самого адрона).

2. Кварковая модель позволяет получить соотношения между массами легчайших адронов, входящих в один мультиплет (напомним, что это группа адронов с одинаковым значением спина и близкими массами), а также между их магнитными моментами и другими характеристиками. Рассмотрим два мультиплета барионов: октет частиц со спином 1/2 (рис. 31-14) и декуплет частиц со спином 3/2 (рис. 31-13). Как было сказано выше, частицы внутри декуплета отличаются по массе из-за того, что s-кварк примерно на 150 МэВ тяжелее u-, d-кварков. Это позволяет предсказать массу Ω^--гиперона.

Но это же соображение позволяет получить соотношение между массами барионов, входящих в октет. Оно имеет вид:

$$(m_\Xi + m_N)/2 = (m_\Sigma + 3m_\Lambda)/4$$

(формула Гелл-Манна—Окубо) и выполняется с большой точностью. Другое яркое соотношение, хорошо согласующееся с опытом, связывает магнитные моменты протона и нейтрона:

$$\mu_n = -2\mu_p/3.$$

3. Кварковая модель предсказывает существование связанных состояний из одинаковых кварков и антикварков: $\bar{u}u$, $\bar{d}d$, $\bar{s}s$, $\bar{c}c$, $\bar{b}b$, $\bar{t}t$. Первые два давно известны: это не что иное, как π^0-мезон с массой 140 МэВ. В 1960-е гг. был открыт φ-мезон массой 1020 МэВ, кварковый состав которого $\bar{s}s$. В ноябре 1974 г. произошло событие, настолько взволновавшее физическое сообщество, что его назвали ноябрьской революцией. Одновременно на двух ускорителях (в ЦЕРНе и в США) была обнаружена новая элементарная частица со спином 1 и массой 3100 МэВ, обладавшая удивительными свойствами, прежде всего очень большим (в атомных масштабах) временем жизни.

Детальный анализ всех возможностей был проведен сразу множеством теоретиков всего мира. Этот «мозговой штурм» показал, что единственная возможность объяснить свойства новой частицы — считать, что она есть связанное состояние четвертого кварка и соответствующего антикварка $\bar{c}c$. Частица получила двойное название J/ψ, так как была одновременна открыта двумя группами физиков. Руководители этих групп С. Тинг и Б. Рихтер получили в 1975 г. Нобелевскую премию.

Волнение физиков в связи с этим открытием объясняется тем, что было доказано существование четвертого кварка. Психологически это было очень важно, поскольку до этого момента кварковая модель рассматривалась лишь как одна из возможных. Существовали вполне достойные способы упорядочить многообразие известных адронов, не пользуясь понятием кварка. Кроме того, в те же 70-е гг. начала строиться квантовая хромодинамика — динамическая теория сильных взаимодействий, базирующаяся на идее цветных кварков. Теоретический прорыв в построении квантовой хромодинамики, доказательство свойства «невылетания» кварков плюс открытие c-кварка окончательно склонили чашу весов в пользу кварковой структуры материи. После «ноябрьской революции» кварковая модель стала общепринятой.

4. В те же 70-е гг. после ввода в действие новых ускорителей в США (Лаборатория им. Ферми, Чикаго) и Швейцарии (ЦЕРН, Женева) стало возможным попытаться «увидеть» кварки, поставив классический опыт по рассеянию легких частиц большой энергии на мишени (по существу, аналог опыта Резерфорда). Уже говорилось, что чем больше энергия пробной частицы, тем на меньших

расстояниях она может прощупать структуру мишени.

Пусть, например, электрон рассеивается на протоне (рис. 31-24). Взаимодействие частиц происходит за счет обмена γ-квантом. Чем больше энергия и импульс начального электрона, тем больше и тот импульс, который передается фотоном к протону. Этот фотон играет роль щупа, который ищет кварки внутри протона. Если соответствующая длина волны достаточно мала, то можно отличить рассеяние на одном кварке от рассеяния на другом. Поскольку сами кварки считаются бесструктурными частицами, то закон рассеяния электрона на такой частице ничем не должен отличаться от рассеяния электрона на электроне, с той лишь разницей что заряд кварка — дробный.

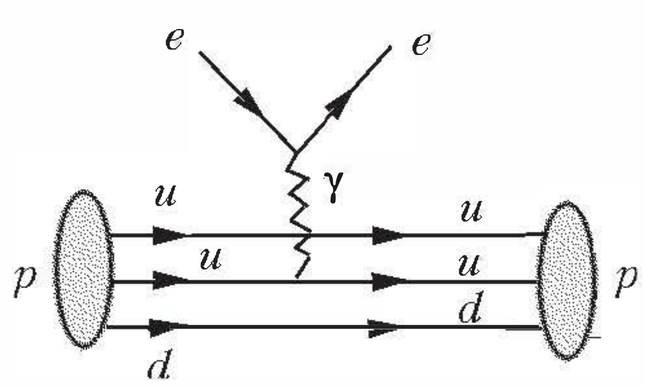


Рис. 31-24. Глубоко неупругое рассеяние электрона на протоне

Остальное уже дело рук теоретиков. Они способны вычислить наблюдаемые характеристики рассеяния, исходя из гипотезы, что это рассеяние происходит на отдельных составляющих протона с дробными зарядами. Сравнение расчетов с экспериментальными кривыми позволяет извлечь из опытных данных величину заряда кварка. Он оказывается равным либо 2/3, либо −1/3, как и следует из теории.

(Заметим, что история шла несколько иным путем. Сначала были поставлены опыты по так называемому глубоко неупругому рассеянию, которые показали, что рассеяние электронов на протонах происходит при больших энергиях так, как будто протон — точечная частица. Это противоречило сложившимся представлениям о протоне как частице конечного размера. Р. Фейнман высказал гипотезу о существовании внутри протона каких-то бесструктурных частиц, названных *партонами* (от англ. *part* — часть). Затем партоны были отождествлены с кварками, так что возникла кварк-партонная модель глубоко неупругого рассеяния.)

5. Еще один показательный эксперимент, подтверждающий существование цветных кварков, связан с процессом аннигиляции e^+e^-. Очевидно, что в таком процессе при достаточной энергии сталкивающихся частиц могут рождаться другие пары частица – античастица. Например, простейшим процессом, хорошо изученным как экспериментально, так и теоретически, является рождение пар мюонов (рис. 31-25): $e^+ + e^- \to \mu^+ + \mu^-$.

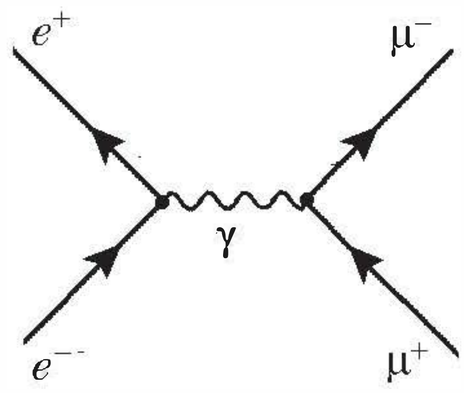


Рис. 31-25. Процесс $e^+ + e^- \to \mu^+ + \mu^-$

При обсуждении свойств фейнмановских диаграмм отмечалось, что амплитуда процесса пропорциональна произведению электрических зарядов, входящих в вершины диаграммы рис. 31-24, т. е. $F \sim e^2$, а вероятность $\omega_\mu \sim |F|^2 \sim e^4$. Рассмотрим теперь другую возможную реакцию: $e^+ + e^- \to q_i + \bar{q}_i$ $(i = u, d, s, c, ...)$ (рис. 31-25). Физически процесс рождения кварковой пары сорта i ничем не отличается от рождения пары мюонов, с той только разницей, что у кварков за-

ряды дробные: $e_i = eQ_i$, где Q_i — заряд кварка сорта i в единицах элементарного заряда e. Следовательно, амплитуда такого процесса $F_i \sim e^2 Q_i$, а вероятность $\omega_i \sim |F_i|^2 \sim e^4 Q_i^2$. Поскольку кварки ненаблюдаемы и равноправны, то полная вероятность процесса аннигиляции равна сумме вероятностей рождения всех сортов кварков: $\omega \sim e^4 \Sigma Q_i^2$.

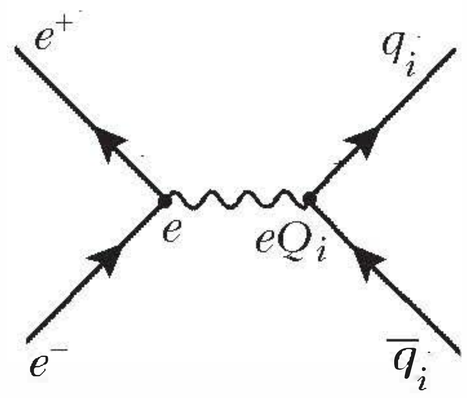


Рис. 31-26. Рождение кварк-антикварковой пары

Как уже объяснялось, сами кварки в свободном состоянии наблюдать нельзя. Поэтому реальное рождение кварк-антикварковой пары не регистрируется. Вместо этого экспериментаторы видят рождение множества адронов любых сортов в количестве, допускаемом законом сохранения энергии. Эти адроны летят в виде узких пучков или *струй* в направлении породивших их кварка и антикварка (рис. 31-27).

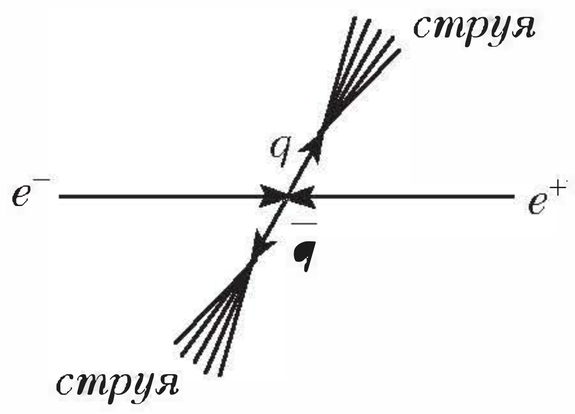


Рис. 31-27. Рождение струй адронов в процессе аннигиляции e^+ и e^-

Конечно, при таком описании процесса остается загадочным механизм превращения кварка в струю адронов (этот переход называется *адронизацией*). Действительно, детали этого процесса неясны до сих пор, однако можно утверждать, что адронизация не зависит от исходного процесса рождения кварк-антикварковой пары. Поэтому отношение вероятностей реально наблюдаемых процессов $e^+ + e^- \to$ адроны и $e^+ + e^- \to \mu^+ + \mu^-$ будет определяться величиной

$$R = \frac{\omega(e^+ + e^- \to \text{ адроны})}{\omega(e^+ + e^- \to \mu^+ + \mu^-)} = \sum Q_i^2.$$

Эта величина (ее называют постоянной Дрелла), конечно, зависит от энергии сталкивающихся частиц. Допустим, этой энергии хватает только на рождение трех сортов кварков u, d и s ($E_e \le 2$ ГэВ). Тогда

$$R_3 = 4/9 + 1/9 + 1/9 = 2/3.$$

При энергиях $E_e > 100$ ГэВ могут рождаться все шесть сортов кварков, и тогда

$$R_6 = 3\times(4/9) + 3\times(1/9) = 5/3.$$

Увы, полученные значения плохо согласуются с экспериментальными данными. Но если не впадать в отчаяние и учесть, что на самом деле кварк каждого сорта может существовать в трех цветовых разновидностях, то величину R следует увеличить *в три раза*. Тогда значения $R_{3c} = 2$ при $E < 2$ ГэВ, $R_{4c} = 10/3$ при $E < 20$ ГэВ, $R_{5c} = 11/3$ при $E > 20$ ГэВ (рис. 31-28). Таким образом, идея цветных кварков находит прямое экспериментальное подтверждение.

§ 11. Слабые взаимодействия

Еще одно фундаментальное взаимодействие, играющее очень важную роль в природных явлениях, получило название *слабого*.

Исторически первым примером СлВ был радиоактивный распад (так называемый β-распад) тяжелых ядер, в результате которого получалось ядро с зарядом, на одну единицу большим, и вылетал

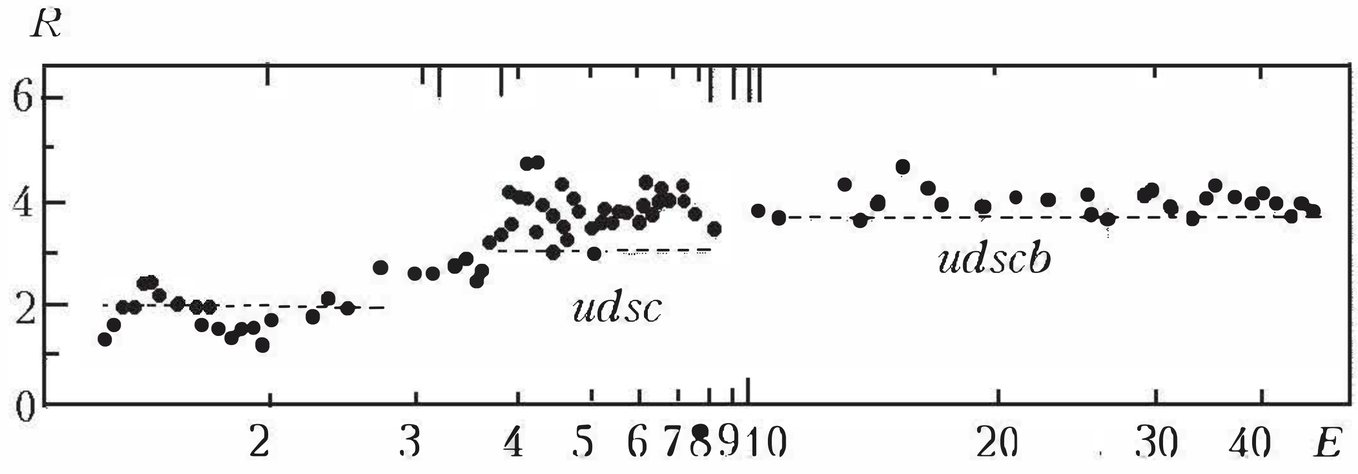


Рис. 31-28. Экспериментальные данные о зависимости постоянной Дрелла от энергии электронов

электрон. Уже при изучении этого процесса физики столкнулись с серьезной проблемой, решение которой привело к важнейшему открытию. Заметим, что и далее на протяжении нескольких десятилетий именно физика слабых взаимодействий неоднократно ставила в тупик исследователей, а разрешение трудностей знаменовало новый скачок в понимании фундаментальных законов природы.

В 1920-е гг. при подробном изучении β-распада ядер ученые сумели достаточно точно измерить энергию вылетающих при этом электронов, а также массы начального и конечного ядер (они в β-распаде могут считаться неподвижными, так как отдача при вылете электрона пренебрежимо мала из-за огромной разницы в массах e^- и тяжелого ядра). Было установлено, что при распаде ядер данного сорта энергии электронов могут принимать любые значения, лежащие в определенном интервале (как принято говорить, у электронов в β-распаде — непрерывный энергетический спектр). Если бы в процессе участвовали только начальное и конечное ядра и электрон, то по закону сохранения энергии сумма энергий конечного ядра и электрона должна была равняться энергии начального ядра (для покоящегося ядра начальная энергия просто равна массе ядра).

Серьезная проблема, с которой столкнулись физики, заключалась в том, что это равенство не выполнялось. Все выглядело так, как будто часть энергии бесследно исчезает в процессе β-распада. Положение казалось настолько серьезным, что одно время даже обсуждалась «сумасшедшая» идея Нильса Бора о том, что в β-распаде не всегда выполняется закон сохранения энергии.

В конце концов правильное, как теперь твердо известно, решение проблемы было найдено в 1930 г. Вольфгангом Паули. Он предположил, что часть энергии уносится электрически нейтральной частицей, слабо взаимодействующей с веществом и поэтому ускользающей от регистрации. Частица впоследствии была названа *нейтрино* (это название предложил Э. Ферми). Позднее был открыт нейтрон, стало ясно, что β-распад ядер обусловлен распадом одного из нейтронов в ядре, так что происходит реакция $n \to p + e^- + \bar{\nu}_e$ (в этом процессе, как сейчас известно, рождается электронное антинейтрино, так что суммарный лептонный заряд e^- и $\bar{\nu}_e$ равен нулю).

Все частицы, участвующие в β-распаде нейтрона, имеют спин 1/2. Это дало основание построить первую простейшую модель СлВ (Э. Ферми, 1934 г.). В ней считается, что все четыре фермиона (частицы со спином 1/2) взаимодействуют в одной точке, локально. Реакция β-распада может быть изображена в виде диаграммы рис. 31-29.

На кварковом языке процесс β-распада нейтрона связывается с распадом одного из d-кварков внутри n с переходом в u-кварк (тем самым, $n \sim ddu$ переходит в $p \sim duu$).

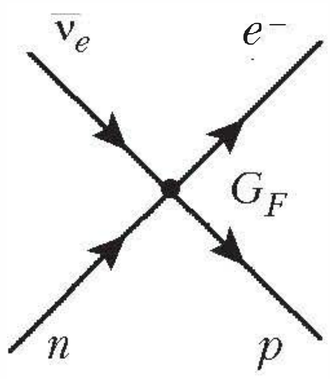


Рис. 31-29. Четырехфермионное взаимодействие в β-распаде нейтрона

Модель Ферми получила название теории четырехфермионного взаимодействия. В вершине этого взаимодействия на рис. 31-29 стоит характерная константа СлВ G_F (фермиевская константа). Этот феноменологический (т. е. извлекаемый из опыта) параметр характеризует интенсивность СлВ. Надо заметить, что фермиевская константа не является безразмерной, а обратно пропорциональна квадрату энергии или квадрату массы (мировые постоянные $\hbar$ и c не учитываем). Соответствующая безразмерная комбинация $G_F m_p^2 \sim 10^{-5}$ действительно мала по сравнению с безразмерной константой ЭМВ, равной 1/137, что и оправдывает название СлВ. Однако эти рассуждения верны лишь при низких энергиях ($E < m_p$). Если же мы изучаем процессы СлВ при высоких энергиях ($E \gg m_p$), то естественно думать, что параметром задачи, делающим фермиевскую константу безразмерной, станет E (а не m_p). Но тогда нет никаких оснований считать, что $G_F E^2 \ll 1$.

Примером процесса СлВ, идущего при высокой энергии, может служить любой процесс рассеяния нейтрино или антинейтрино любого сорта на электроне или протоне. Так, возможна реакция $\nu_\mu + e^- \to \mu^- + \nu_e$ или реакция $\nu_e + e^- \to \nu_e + e^-$. Если энергии нейтрино E_ν намного превышают 1 ГэВ (сейчас на действующих ускорителях $E_\nu \sim 5 \cdot 10^2$ ГэВ), то как раз $G_F E_\nu^2 \sim 1$. Чем это плохо?

Дело в том, что сама возможность изображать процессы между элементарными частицами в виде диаграмм Фейнмана подразумевает, что входящие в вершины диаграммы безразмерные константы много меньше единицы. Это ограничение связано с тем, что диаграммы представляют собой графическое изображение разложения точной амплитуды процесса в ряд теории возмущений по малому параметру — константе взаимодействия. Если константа, по которой идет разложение, имеет порядок единицы, сам ряд теряет смысл. Чтобы лучше понять ситуацию, сравните два разложения: $\sqrt{1+0{,}02} \approx 1 + 0{,}02/2 \approx 1{,}01$ (хорошее приближение); $\sqrt{1+20} \approx 1 + 20/2 = 11$ (очень плохо).

Таким образом, теория СлВ, предложенная Ферми, должна хорошо «работать» до тех пор, пока энергии частиц, участвующих в процессах СлВ, не превышают существенным образом величины ~1 ГэВ (масса протона $m_p \cong 938$ МэВ). С точки зрения чистого теоретика, такая схема не может считаться удовлетворительной с самого начала, так как в последовательной теории не должно быть ограничений применимости только на область малых энергий.

Перечислим типы процессов, в которых проявляется СлВ. Их можно разделить на несколько групп:

1) *лептонные*, в которых участвуют только лептоны (примеры: распад мюона $\mu^- \to e^- + \nu_\mu + \bar{\nu}_e$, рассеяние нейтрино или антинейтрино на лептонах);

2) *полулептонные*, в которых участвуют лептоны и кварки (в реальности адроны) (примеры: распад нейтрона, распад $\pi^- \to \mu^- + \nu_\mu$, рассеяние ν на протоне и многие другие);

3) *нелептонные*, в которых участвуют только кварки (адроны) (примеры: $\Lambda \to p + \pi^-$, $K^- \to \pi^- + \pi^0$ и др.).

Замечательно то, что все это многообразие процессов (их многие сотни)

описывается при низких энергиях теорией четырехфермионного взаимодействия. Однако опыт показал, что устроено это взаимодействие весьма необычным образом.

§ 12. Несохранение четности

Некоторые важные физические закономерности кажутся столь очевидными с малых лет, что мы не вдумываемся в их глубинный смысл. К таким закономерностям относится и симметрия физических явлений по отношению к отражению в зеркале, или, выражаясь научным языком, *сохранение четности*. Всем ясно, что названия «правое» и «левое» условны. В свое время Рене Декарт выбрал «правую» декартову систему координат, к которой все привыкли. Но, конечно, с таким же успехом можно пользоваться и левой декартовой системой координат (рис. 31-30).

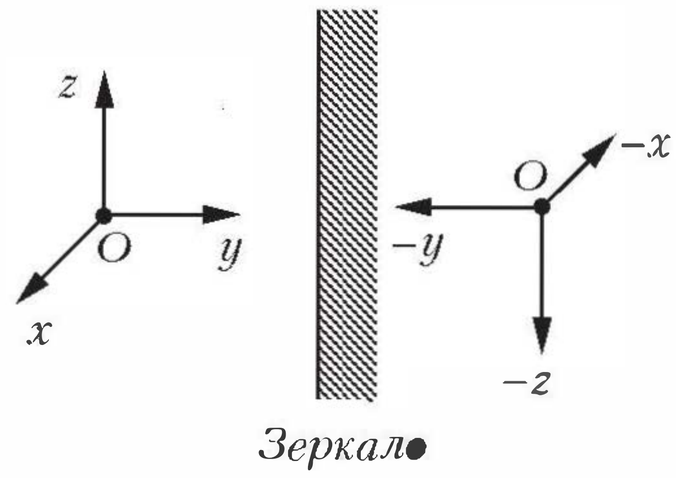


Рис. 31-30. Правая и левая системы координат

Очевидно, что одна система по отношению к другой является отражением в зеркале. Деление на «правое» и «левое» на более точном языке означает, что наблюдаемые физические закономерности не меняются при переходе от описания в «правой» системе к описанию в «левой» системе. Иными словами, если возможен какой-то физический процесс, то возможен и процесс, получающийся отражением первого в зеркале (рис. 31-31).

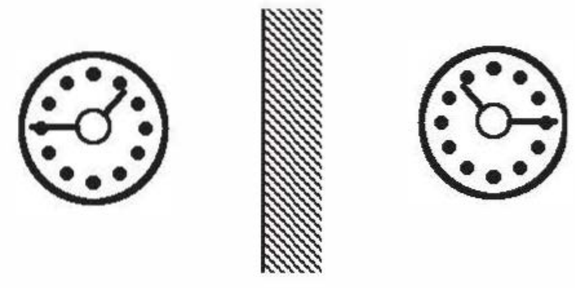


Рис. 31-31. Часы и их отражение в зеркале показывают допустимое время

Строго говоря, это утверждение могло быть проверено до середины XX в. только в опытах, относящихся к механическим явлениям и явлениям электромагнетизма. Во всех этих явлениях неизменно соблюдалась зеркальная симметрия.

Обычные рассуждения физиков на эту тему можно свести к следующему образному сравнению. Представьте себе инопланетный космический корабль с разумными существами на борту, приближающийся к Земле. Связь с помощью электромагнитных сигналов установлена. Инопланетяне интересуются всеми подробностями. *В случае сохранения симметрии относительно инверсии пространственных координат* невозможно объяснить инопланетянам, используя только физические явления, как мы на Земле определили, где «право», где «лево». Ведь для того чтобы отличить правое от левого, нужно указать на какое-то явление, протекающее по-разному «перед зеркалом» и «за зеркалом». Но именно этого и не наблюдается.

Все это кажется очевидным. Ведь не может же на самом деле движение материальной точки под действием силы зависеть от того, как выбраны декартовы оси? Формально инвариантность уравнений механики по отношению к отражению в зеркале следует из того, что в уравнение Ньютона $\boldsymbol{F} = m\boldsymbol{a}$ входят обычные (полярные) векторы $\boldsymbol{a}$ и $\boldsymbol{F}$, меняющие знак при отражении в зеркале. Аксиальные векторы (примером может служить

момент импульса или магнитное поле) знака при отражении не меняют.

Не надо думать, что вообще все наблюдаемые на Земле явления инвариантны по отношению к зеркальному отражению. Но эти явления уже относятся к другим епархиям. Так, хорошо известно, что у подавляющего большинства людей сердце находится слева и вообще устройство человеческого организма несимметрично относительно вертикальной оси. Есть и другие непарные органы (например, печень находится справа и т. п.). Возможно ли существование зеркального человека? В принципе, по-видимому, да, однако природа почему-то не использует этой возможности.

Удивительные вещи существуют и в мире простейших белковых молекул. Эти молекулы имеют винтовое строение. Неожиданность заключается в том, что белковые молекулы, построенные живыми организмами в процессе жизнедеятельности, выглядят как левые винты (в технике мы, наоборот, привыкли иметь дело с правыми винтами, для закручивания которых надо вращать их по часовой стрелке). Соответствующие «правые» белковые молекулы в мире живых существ не встречаются. Это не означает, что правые молекулы нельзя создать в лаборатории. Вполне возможно! Более того, при этом образуется равное количество правых и левых молекул (в точном соответствии с ожидаемой зеркальной симметрией законов физики и химии).

Но если сделать в лаборатории белковый корм, состоящий из равного количества правых и левых молекул, и накормить им животное, то в его организме все «неправильные» молекулы будут расщеплены на составные части и в конце концов соберутся только в левые молекулы. Ясно, что всякий живой организм действует по определенной программе, заложенной в генах. Следовательно, когда-то (по неизвестным до сих пор причинам) в программу было заложено указание строить только левые белки.

Возвращаясь к физике, напомним, что в начале 1950-х гг. будущие лауреаты Нобелевской премии американские физики-теоретики Т. Ли и Ч. Янг усомнились в том, что в СлВ сохраняется четность, и предложили эксперименты по проверке этой казавшейся совершенно дикой гипотезы. Опыты, вскоре проделанные группой исследователей во главе с Ц. Ву, полностью подтвердили гипотезу Ли и Янга.

Что же наблюдалось? Изучался β-распад ядер изотопа ^{60}Co: $^{60}\text{Co} \to {}^{60}\text{Ni} + e^- + \nu_e$. Такой распад обусловлен β-распадом одного из нейтронов внутри ядра Co. Для наблюдения возможного нарушения четности использовался прием ориентации ядер ^{60}Co во внешнем магнитном поле. У этих ядер довольно большой спин ($J = 5$), поэтому во внешнем магнитном поле ядра ^{60}Co ведут себя как маленькие магнитики, стремящиеся ориентироваться по направлению внешнего поля. Конечно, в нормальных условиях такая ориентация разрушается за счет теплового движения атомов, поэтому образец ^{60}Co был подвергнут глубокому охлаждению.

Какие ситуации в принципе возможны при наблюдении реакции? Они наглядно представлены на рис. 31-32, *а*, *б*, сверху.

Возможна ситуация, когда количество электронов, вылетающих вверх по отношению к плоскости распада, в среднем равно количеству электронов, вылетающих вниз (рис. 31-32, *а*, сверху). Допустим, что спин ядра $\boldsymbol{J}$ ориентирован вверх. Тогда при мысленном отражении такого процесса в зеркале получаем процесс, в котором тоже одинаковое количество

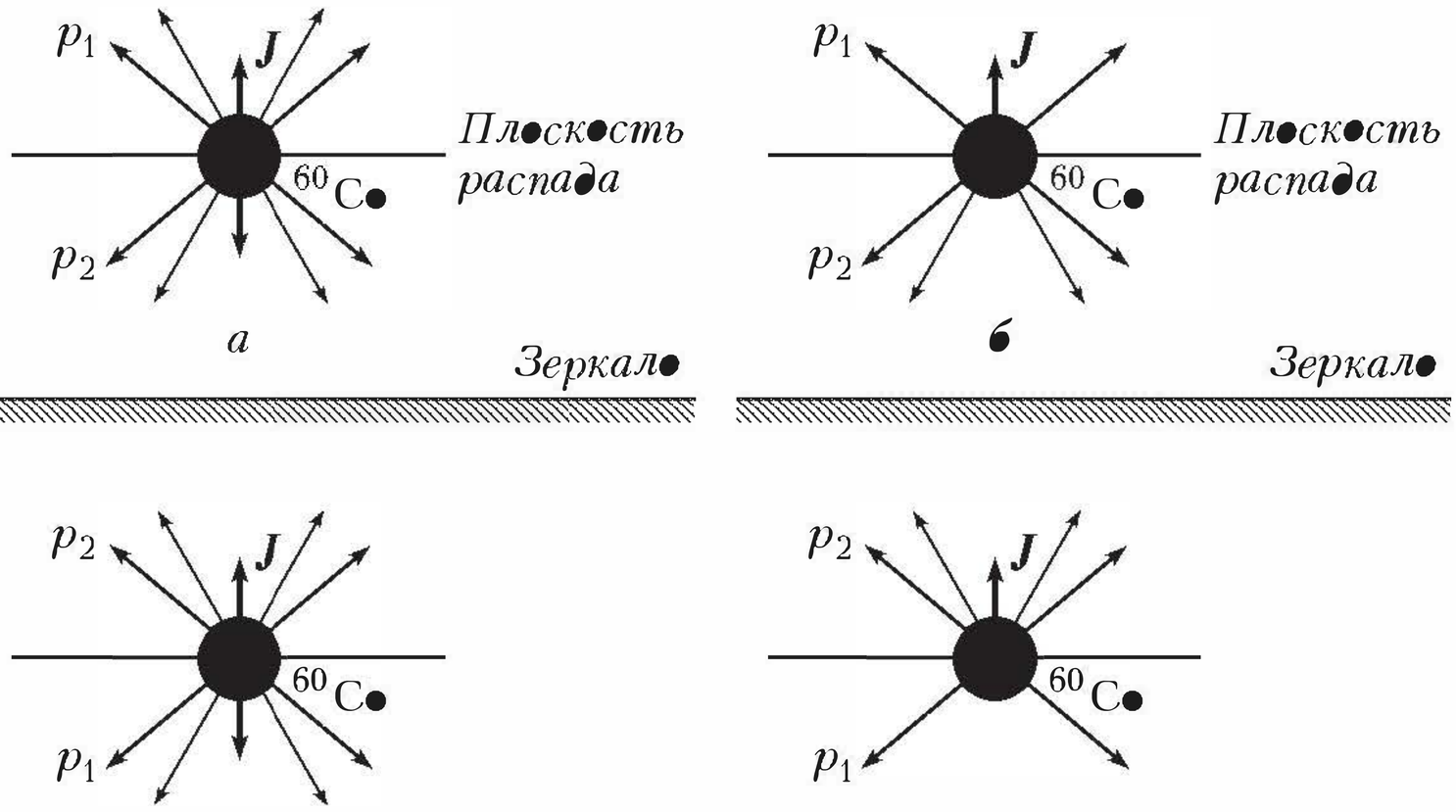


Рис. 31-32. Распад ^{60}Co

электронов вылетает вверх или вниз по отношению к плоскости распада (напомним, что при отражении в зеркале направление $\boldsymbol{J}$ не меняется, так как спин является аксиальным вектором). В результате процесс, отраженный в зеркале, не отличается от исходного. Такая ситуация соответствует сохранению четности.

Но возможна и другая картина (рис. 31-32, *б*). Здесь количество электронов, вылетающих вверх и вниз по отношению к плоскости распада, разное. Так, на рис. 31-32, *б* сверху вниз летит большее количество электронов, чем вверх. Соответственно в зеркально отраженном процессе все будет наоборот. Таким образом, по отношению к фиксированному и не меняющемуся при отражении в зеркале направлению $\boldsymbol{J}$ количество электронов, вылетающихвверхили вниз, оказывается разным. Возникает *асимметрия* распределения электронов. Процесс «за зеркалом» не совпадает с наблюдаемым «перед зеркалом». Это соответствует несохранению четности. Математически это означает, что вероятность процесса зависит от корреляции между направлением спина $\boldsymbol{J}$ ядра и импульса $\boldsymbol{p}$ электронов, т. е. в вероятность входит произведение векторов ($\boldsymbol{Jp}$), меняющее знак при отражении в зеркале.

Опыты Ц. Ву неопровержимо показали, что реализуется вторая возможность. Электроны в распаде ориентированных ядер ^{60}Co испускаются преимущественно вниз по отношению к плоскости распада. Подтвердилась гипотеза Ли и Янга о том, что СлВ не сохраняют четность.

Вскоре эти и аналогичные эффекты несохранения четности были обнаружены во множестве других процессов, обусловленных СлВ.

В первый момент после открытия несохранения четности физики были несколько обескуражены. Ведь до этого казалось незыблемым и очевидным, что вопрос о выборе того, что называть правым, а что – левым, не может быть связан с законами физики. Вернемся к примеру с любопытствующими инопланетянами. Если четность не сохраняется, значит, у землян *есть возможность* объяснить им, что мы называем правым, а что – левым. Инструкции могут быть, например, такими: «Возьмите ядра ^{60}Co. Ориентируйте их с помощью магнитного поля. Проведите плоскость, перпендикулярную направлению ориентации ядер. *В нашем мире* электроны вылетают в основном вниз по отношению к этой плоскости». Ясно, что теперь это можно увязать с направлениями декартовых осей и тем са-

мым определить, где у нас «право», а где «лево».

Возможность таких объяснений крайне встревожила физиков, так как было очень трудно представить себе, как могут физические законы зависеть от выбора системы координат. Выход из ситуации был найден в 1957 г. Л. Д. Ландау и независимо от него А. Саламом. Они заметили, что точно так же, какусловно выбраны понятия правой и левой систем координат, столь же условно выбраны понятия положительного и отрицательного зарядов. Преобразование перехода от частицы к античастице (при котором меняется знак заряда) носит название операции зарядового сопряжения C (это преобразование переводит электрон e^- в позитрон e^+ и т. п.). Уравнения теории слабых взаимодействий не сохраняют свою форму ни при преобразовании инверсии P, ни при преобразовании зарядового сопряжения C по отдельности, однако остаются инвариантными по отношению к одновременному преобразованию *комбинированной инверсии* CP (термин Ландау), когда система отражается в зеркале, а все частицы заменяются на античастицы и наоборот.

Таким образом, в инструкциях, которые даются инопланетянам, есть одна неясность. Им не объяснили, что в нашем мире называется электроном, а что — антиэлектроном (позитроном), или ядром ^{60}Co и антиядром. Если при отражении какого-то процесса в зеркале одновременно заменить все частицы на соответствующие античастицы, то получится процесс, реально осуществляемый в нашем мире. Инопланетяне не могут узнать, где у нас «право», где «лево», потому что нельзя независимым образом объяснить им, что мы назвали частицей, а что — античастицей.

Такое решение проблемы несохранения четности в СлВ — требование CP-инвариантности — удовлетворило большинство физиков. Однако в 1964 г. был обнаружен редчайший процесс (распад долгоживущего K^0-мезона на два пиона), нарушающий и этот закон. За прошедшие с тех пор годы этот и аналогичные процессы детально изучены (последние важные эксперименты выполнены в марте 1999 г.). Поэтому, вообще говоря, сейчас есть принципиальная возможность объяснить существам другого мира, где у нас «право», где «лево», что мы назвали положительным зарядом, а что — отрицательным. Как сейчас думают физики, это нарушение CP-инвариантности сыграло ключевую роль на сверхранней стадии существования Вселенной, приведя к появлению крохотного избытка частиц над античастицами, который затем и превратился в наш мир. Здесь еще много неясного, во всяком случае все это не имеет отношения к СлВ при сравнительно низких энергиях.

CPT и стрела времени

Фундаментом современной теории элементарных частиц и их взаимодействий является релятивистская квантовая теория поля (РКТП). Образом каждой фундаментальной частицы в РКТП является поле определенного типа (фотон – электромагнитное поле), после процедуры квантования частица выступает как возбуждение поля с определенной энергией, импульсом, зарядом, спином и другими характеристиками. Взаимодействие полей друг с другом описывается заданием скалярной величины — энергии взаимодействия, построенной из произведений полей, взятых в одной и той же точке пространства в один момент времени (опять же примером может служить электродинамика — в ней энергия электромагнитного поля в единице объема $u = (\boldsymbol{E}^2 + \boldsymbol{B}^2)/2$, где $\boldsymbol{E}$ и $\boldsymbol{B}$ — напряженности

электрического и магнитного полей). Теории такого типа носят название *локальных* в противоположность нелокальным теориям, которые рассматривают произведения полей, взятых в разных точках. Локальность, по существу, эквивалентна близкодействию: в локальных теориях изначально заложено, что частицы взаимодействуют друг с другом через окружающие их поля-переносчики, и что взаимодействие на расстоянии невозможно.

Требование релятивистской инвариантности теории сильно ограничивает возможные комбинации полей, которые могут входить в выражение для энергии взаимодействия (например, эта энергия не может содержать нечетные степени полей $\boldsymbol{E}$ и $\boldsymbol{B}$, так как тогда она не будет скалярной величиной). Однако релятивистская инвариантность не сводится только к инвариантности относительно преобразований Лоренца перехода от одной ИСО к другой. Расширенная группа Лоренца включает и преобразования отражения всех четырех осей в пространстве Минковского, т. е. преобразование инверсии P (замена $\boldsymbol{r} \to -\boldsymbol{r}$) и преобразование изменения знака времени T (замена $t \to -t$). Кроме того, в РКТП существует преобразование перехода от частицы к античастице, называемое зарядовым сопряжением C.

Выдающимся достижением стало доказательство знаменитой CPT-теоремы: любая локальная релятивистски инвариантная теория взаимодействий частиц автоматически инвариантна относительно совокупности преобразований CPT, т. е. отражения всех осей и замены частиц на античастицы. На первый взгляд кажется, что это чисто теоретическое утверждение не имеет отношения к реальности. Мало ли какие математические схемы можно сконструировать! На самом деле из CPT-теоремы вытекают определенные следствия, которые можно сравнить с экспериментом. Главным является утверждение, что если CPT-теорема верна, то любая частица и соответствующая ей античастица должны иметь строго одинаковые массы и времена жизни. Ни один экспериментальный факт не противоречит этому выводу.

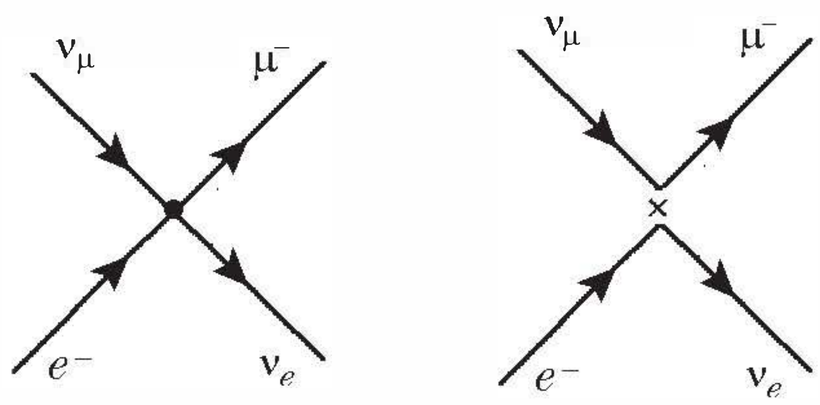
Отказ от CPT-теоремы — это отказ от двух фундаментальных идей современной физики (близкодействие и релятивистская инвариантность), поэтому нужны чрезвычайно сильные аргументы, чтобы заставить физиков пойти на это. Тем не менее все следствия CPT-теоремы необходимо проверять со все увеличивающейся точностью. Пока что она достойно выдерживает все проверки.

Примем, что CPT-теорема верна. Тогда экспериментальные данные о нарушении CP-инвариантности в слабых взаимодействиях можно интерпретировать как утверждение о нарушении T-инвариантности в СлВ (чтобы произведение операций CPT ничего не изменяло). Таким образом, в природе на микроуровне обнаруживаются необратимые во времени процессы. Этим на уровне элементарных частиц задается *стрела времени*, т. е. то направление времени, которое соответствует движению в будущее.

§ 13. Промежуточные бозоны и неперенормируемость теории

Простейшая теория четырехфермионного СлВ способна описывать только процессы взаимодействия частиц, происходящие при низких энергиях, не превышающих нескольких гигаэлектронвольт. Наблюдаемое на опыте несохранение четности в СлВ удается учесть, задав определенную структуру четырехфермионного взаимодействия. Обратимся к рис. 31-33.

На нем изображена диаграмма процесса рассеяния мюонного нейтрино на электроне с образованием мюона и электронного нейтрино $\nu_\mu + e^- \to \nu_e + \mu^-$.



а *б*

Рис. 31-33. Процесс рассеяния мюонного нейтрино на электроне: *а* — четырехфермионное взаимодействие; *б* — ток-токовая структура амплитуды процесса

Амплитуду этого процесса можно представить в виде произведения двух *токов*: амплитуда = ток $(\nu_\mu e)$ × ток $(\nu_e \mu)$, так, как показано на рис. 31-33, *б*. Токи перехода $(\nu_\mu e)$ и $(\nu_e \mu)$ напоминают по своей структуре электрический ток заряженных частиц, например ток (*ее*) (рис. 31-34). Важное отличие токов СлВ от тока ЭМВ заключается в том, что ток ЭМВ описывает переход от электрона в начальном состоянии к электрону в конечном состоянии без изменения заряда в процессе перехода. Ток СлВ, введенный нами, *заряжен*, т. е. описывает переход частицы с отличным от нуля зарядом в нейтральную частицу. Второе важное отличие токов ЭМВ от заряженных токов СлВ заключается в том, что ток ЭМВ является полярным вектором *V*. Действительно, образом тока ЭМВ может служить направленный поток заряженных частиц; очевидно, что ток в этом случае определяется не только количеством заряженных частиц, протекающих за единицу времени через единичную площадку в поперечном направлении, но и направлением скорости этих частиц.

Ток СлВ является смесью полярного и аксиального векторов вида $(V - A)$. Такая структура тока СлВ отражает экспериментально наблюдаемое нарушение четности в слабых взаимодействиях. Действительно, амплитуда любого процесса определяется произведением токов $(V - A)(V - A) = V^2 + A^2 - 2VA$. Первые два слагаемых в этом выражении не меняют знака при отражении в зеркале, а третье слагаемое меняет знак, что и приводит к нарушению четности в рассчитанных по такой теории наблюдаемых величинах. Конечно, установление правильной структуры четырехфермионного взаимодействия заняло много времени (более 20 лет) и потребовало титанических усилий и экспериментаторов, и теоретиков.

Сразу же после создания теории Ферми была предложена и более точная (как надеялись) теория, построенная по аналогии с успешной теорией ЭМВ и основанная на идее обмена квантами СлВ — *промежуточными бозонами* $W^\pm$. На рис. 31-34 изображена диаграмма e^-e^--рассеяния, происходящего за счет обмена квантом электромагнитного поля — фотоном. Сам фотон электрически нейтрален, что непосредственно связано с тем, что в токе ЭМВ не меняется заряд. Аналогично процесс рассеяния

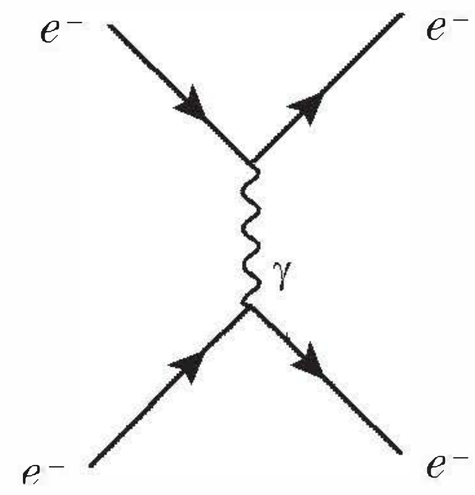


Рис. 31-34. Процесс рассеяния $e^-e^- \to e^-e^-$ в низшем порядке теории возмущений происходит за счет обмена безмассовым фотоном. В верхней и нижней частях диаграммы входят токи (*ее*)

мюонного нейтрино на электроне можно представить диаграммой рис. 31-35. Из-за того что в токе СлВ заряд изменяется, обмениваемая частица — квант СлВ — также должна быть заряженной.

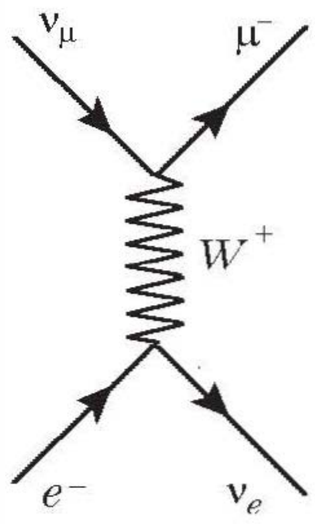


Рис. 31-35. Процесс рассеяния $\nu_\mu + e^- \to \nu_e + \mu^-$ изображается в низшем порядке теории возмущений диаграммой с обменом заряженным промежуточным бозоном W^+

Другой важной отличительной чертой промежуточных бозонов $W^\pm$ является их массивность. Равенство нулю массы фотона фактически означает, что эффективный радиус ЭМВ равен бесконечности, т. е. ЭМВ — дальнодействующее взаимодействие. Напротив, слабое взаимодействие имеет очень малый эффективный радиус действия, порядка 10^{-18} м. Нам уже приходилось выше упоминать, что масса того кванта, которым обмениваются частицы в конкретном взаимодействии, обратно пропорциональна радиусу этого взаимодействия. Таким образом, масса W-бозонов должна быть порядка 100 ГэВ (в 100 раз больше массы протона), с тем чтобы обеспечить такой малый эффективный радиус СлВ.

Казалось бы, получилась замечательная теория — в ней учтено несохранение четности в СлВ, сама теория построена по аналогии с ЭМВ и использует идею передачи взаимодействия путем обмена квантами определенных полей. Рассчитывай с ее помощью разные процессы, да и только! Подобные ожидания физиков быстро развеялись, так как теория с промежуточным массивным бозоном совершенно непригодна для расчетов по теории возмущений. Как говорят теоретики, она *неперенормируема*.

Чтобы получить минимальное представление об этой очень сложной части современной квантовой теории поля, вернемся еще раз к описанию электромагнитного взаимодействия. Рассмотрим конкретный пример *ее*-рассеяния (рис. 31-34). Та диаграмма, которая изображена на рисунке, определяет амплитуду такого процесса, как говорят, в низшем порядке теории возмущений. Это означает, что амплитуда, соответствующая такой диаграмме, содержит минимально возможную степень константы электромагнитного взаимодействия $\alpha \sim e^2 \cong 1/137$. Рассчитанная по такой амплитуде вероятность процесса будет содержать множитель α^2 и определять результат в первом приближении. Во многих случаях формулы для вероятности процессов, полученные в низшем порядке теории возмущений, оказываются достаточно точными, поскольку не слишком велика точность самих экспериментов. Однако для ряда величин (например, для магнитного момента электрона) точность измерений такова, что необходим учет следующих порядков теории возмущений.

Как говорилось выше, общая структура амплитуды любого процесса в *квантовой электродинамике* (теории ЭМВ) имеет вид:

$$\text{Амплитуда} = eA_1 + e^2A_2 + \dots ,$$

т. е. представляет собой разложение в ряд по малому параметру $e \sim \alpha^{1/2}$. Амплитуды A_1, A_2, ... изображаются совокупностью диаграмм со все увеличивающимся числом вершин. Порядок теории возмущений определяется этим числом: амплитуда процесса в n-м порядке теории возмущений содержит множитель e^n.

На рис. 31-36 приведены диаграммы, описывающие тот же процесс e^-e^--рассеяния, что и на рис. 31-34, но в следующем порядке теории возмущений. С ростом порядка количество диаграмм быстро растет. Так как каждой диаграмме соответствует все усложняющееся математическое выражение для амплитуды, то технически расчет процессов в высших порядках теории возмущений представляет непростую задачу, доверенную в последнее время компьютерам.

Но дело, конечно, не в технических сложностях. При расчете поправок более высокого порядка (например, представленных диаграммами рис. 31-36) к наблюдаемым эффектам получается абсурдный результат — поправки оказываются бесконечно большими. Ученые столкнулись с этими бесконечностями в 1930-е гг. и долгое время (до начала 1950-х гг.) проблема их устранения была главной задачей теоретиков. В результате усилий выдающихся теоретиков, среди которых были Ю. Швингер, Ф. Дайсон и Р. Фейнман из США и С.-И. Томонага из Японии, была создана так называемая теория *перенормировок* в квантовой электродинамике, разрешившая проблему бесконечностей.

Суть этой непростой теории можно уловить, обратившись к разобранному примеру с поляризацией вакуума электромагнитного поля (см. вставку о бегущих константах). Непрерывное рождение виртуальных электрон-позитронных пар в пространстве, окружающем электрон, приводит к изменению наблюдаемой величины заряда электрона в зависимости от расстояния, на котором измеряется этот заряд. Чем ближе к электрону, тем больше тот заряд, который наблюдается, так как уменьшается эффект экранировки «голого» заряда облаком виртуальных пар. С математической точки зрения ситуация выглядит следующим образом: в теорию закладывается некоторое значение затравочного заряда электрона e_0 и затравочной массы m_0. Далее задается закон взаимодействия электрона с окружающим его электромагнитным полем. Учет этого взаимодействия приводит к изменению как e_0, так и m_0 за счет поправок, связанных с эффектом поляризации вакуума, и других, как их называют, *радиационных* поправок. В результате расчетов этих поправок мы получаем эффективные значения параметров теории e и m, которые измеряются на опыте. Описанная схема выглядит очень последовательно, но у нее есть единственный «маленький» дефект: поправки к затравочным значениям заряда и массы оказываются бесконечными.

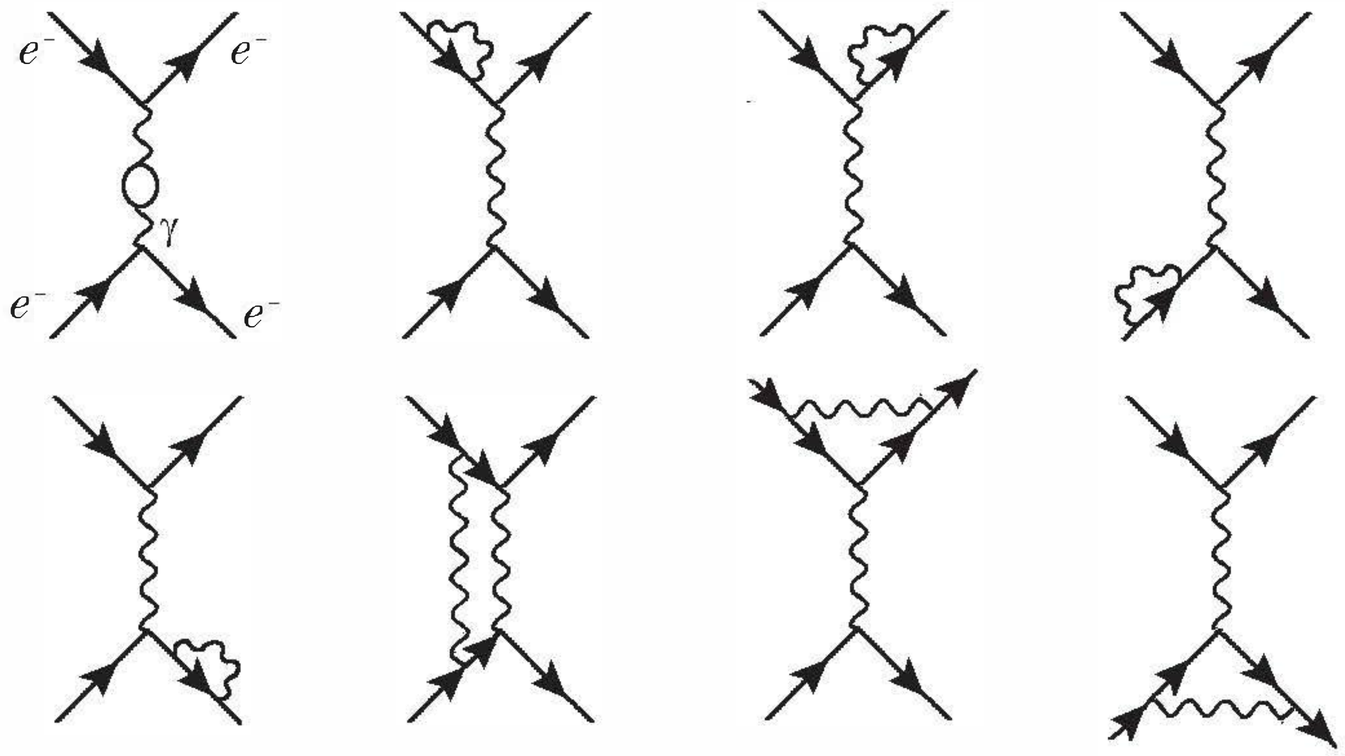


Рис. 31-36. Совокупность диаграмм, изображающих поправку следующего порядка к амплитуде процесса ee-рассеяния. Расчет, основанный на этих диаграммах, приводит к бесконечностям, которые затем можно устранить, должным образом переопределив параметры теории. Такая процедура возможна только в перенормируемых теориях

Теория перенормировок предлагает выход из положения, основанный на генеральной идее всей квантовой механики, заключающейся в том, чтобы всегда иметь дело только с *наблюдаемыми величинами*. Ведь нельзя измерить затравочные значения заряда и массы электрона; эти значения суть математические параметры теории, а не наблюдаемые на опыте величины. Точно так же нельзя отдельно измерить и поправки к затравочным значениям параметров. Все, что можно сделать, — измерить *сумму* этих величин, которая должна равняться экспериментально наблюдаемым значениям массы и заряда. Так, предположим, что затравочные значения также бесконечно велики, но эти бесконечные значения имеют как-бы другой знак, так что в сумме с бесконечными поправками в результате получается конечный ответ!

В этой смелой идее — суть теории перенормировок. Переопределим все параметры теории так, чтобы запрятать в них возникающие при расчетах бесконечности. В результате такой процедуры все бесконечности исчезнут и получившиеся конечные выражения для наблюдаемых величин можно будет сравнивать с опытом. Так и было сделано, и опыт полностью подтвердил все расчеты!

Конечно, описанная здесь идея на практике реализуется достаточно сложно. Более того, она кажется противоречащей математическим правилам, не позволяющим обращаться с бесконечностями с такой вольностью. Однако физики-теоретики сумели после долгих лет героических усилий сформулировать строгие правила действий, рецепт обращения с бесконечностями. Следуя этим правилам, всегда можно получить однозначный ответ для любой наблюдаемой величины, определяющейся ЭМВ. Как говорят, теория ЭМВ — квантовая электродинамика — оказалась *перенормируемой*.

Увы, далеко не каждая квантовая теория поля обладает этим свойством. В неперенормируемых теориях количество параметров, которые следует переопределять для устранения бесконечностей, растет с ростом порядка теории возмущений. В результате сама теория оказывается неприемлемой, хотя и может давать удовлетворительное согласие с опытными фактами в низшем порядке теории возмущений. Так, предложенная Ферми теория четырехфермионного слабого взаимодействия, прекрасно согласующаяся с опытом при низких энергиях, неперенормируема. Этим же неприемлемым свойством обладает и теория СлВ, основанная на идее обмена массивными промежуточными бозонами.

Одним из ключевых требований, предъявляемых теоретиками к возможным теориям взаимодействий частиц, является требование перенормируемости. Таким образом, чтобы попытаться устранить неперенормируемость (т. е. построить теорию СлВ по аналогии с теорией ЭМВ) и в то же время сохранить идею обмена частицами, которая является ключевой во всей современной квантовой теории, нужны новые идеи.

Спонтанное нарушение симметрии. Феномен Хиггса

Представьте, что вы с определенной силой давите на верхний конец упругого тонкого вертикального металлического стержня, другой конец которого опирается на подставку (рис. 31-37, *а*). Ясно, что, пока приложенная к верхнему концу стержня сила не превышает определенного критического значения (определяемого свойствами металла и толщиной стержня), стержень остается прямым. Но в какой-то момент, когда F превыша-

ет критическое значение $F_{кр.}$, стержень внезапно изгибается, причем невозможно предсказать, в какой плоскости будет находиться изогнутый стержень — эта плоскость выбирается спонтанно, независимо от внешних обстоятельств (рис. 31-37, *б*). Таким образом, происходит *спонтанное нарушение* исходной симметрии.

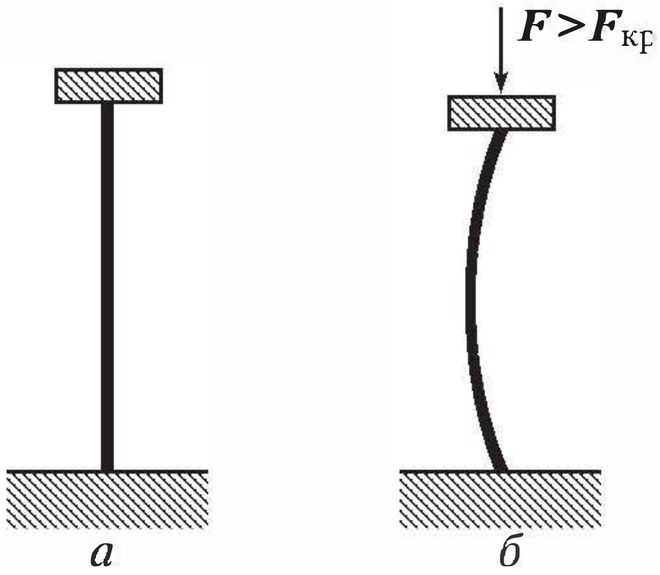


Рис. 31-37. *а* — тонкий металлический стержень расположен вертикально. Если давить на стержень сверху, то стержень остается прямым, пока приложенная сила не превышает некоторого критического значения; *б* — при $\mathbf{F} > \mathbf{F}_{кр.}$ стержень спонтанно изгибается в произвольной плоскости

Хорошо известен другой пример. Речь идет о спонтанном намагничивании магнетика. Известно, что если образец нагрет до температуры выше точки Кюри T_C, то в результате теплового движения доменная структура ферромагнетика полностью разрушена и средняя намагниченность образца равна нулю. При охлаждении ниже T_C в ферромагнетике спонтанно возникает доменная структура, т. е. возникает спонтанная намагниченность.

Эти (и многие другие) примеры свидетельствуют, что в разных ситуациях мы сталкиваемся с одним и тем же явлением — симметрия результирующей системы не совпадает с симметрией исходной системы, причем разрушение симметрии происходит спонтанно, неуправляемо. При этом в результате нарушения симметрии система приобретает свойства, которыми она до этого не обладала.

В 1960-е гг. в работах ряда теоретиков было показано, что и в квантовой теории поля можно построить модели, в которых происходит спонтанное нарушение симметрии. Правда, речь идет о нарушении симметрии вакуумного состояния некоторого скалярного поля.

Ключевым положением релятивистской квантовой теории поля, которая описывает взаимодействия элементарных частиц, является утверждение, что каждому типу частиц соответствует свое волновое поле. Кванты (возбуждения) этого поля и являются частицами с определенными значениями массы, спина, заряда и других характеристик. *Скалярным полем* называют поле, квантами которого являются частицы со спином нуль и всеми другими квантовыми числами (заряд, барионное или лептонное число и т. п.), совпадающими с квантовыми числами вакуума.

Каждое поле определяется заданием некоторой функции в каждой точке пространства в любой момент времени. Так, электрическое поле $\boldsymbol{E}(\boldsymbol{r}, t)$ определяет в каждой точке направление и величину напряженности поля. Вид той функции, которая задана во всем пространстве в произвольный момент времени, может быть разным. В частности, эта функция может быть просто числом, зависящим от $\boldsymbol{r}$ и t, а может быть и вектором, как $\boldsymbol{E}$, или объектом более сложной природы. Этим определяется спин той частицы, которая описывается данным полем. Нет ничего проще числовой функции $\varphi(\boldsymbol{r}, t)$, у такой функции нет никаких других степеней свободы, кроме ее значения в данной точке в данный момент времени. Поэтому такие функции и описывают на классическом языке простейшие скалярные поля со спином нуль.

Второе свойство всех полей — возможность их представления в виде набора бесконечного числа осцилляторов. Потенциальная энергия отдельного осциллятора равна

$$U(x) = kx^2/2 = m\omega^2 x^2/2.$$

Соответствующий график представлен на рис. 31-38. С классической точки зрения такая потенциальная энергия соответствует образу частицы, попавшей в некоторую яму (название «потенциальная яма» связано с тем, что ограничивается возможная область движения частицы). Если частица попадает в эту яму, обладая полной энергией E, отличной от нуля, она будет бесконечно долго совершать периодические (колебательные) движения между точками в пространстве, которые определяются из решения уравнения $E = U(x)$. В таких точках (называемых иногда точками поворота) кинетическая энергия обращается в нуль, так что частица, попадая в эти точки, останавливается, а затем начинает двигаться в противоположную сторону).

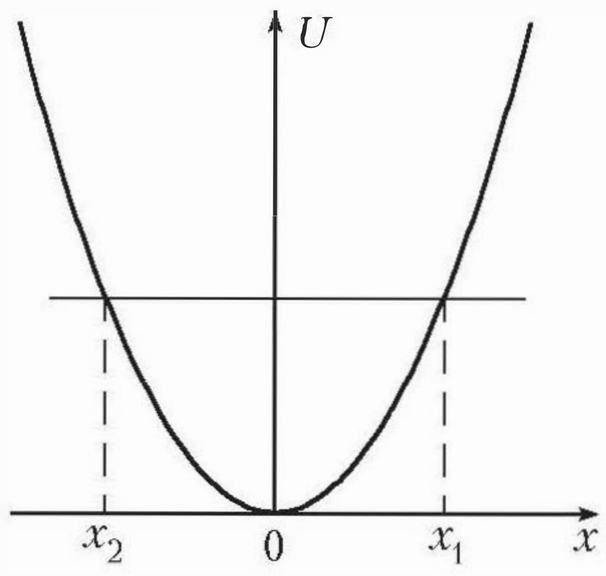


Рис. 31-38. График потенциальной энергии гармонического осциллятора. При заданном значении полной энергии осциллятора $E = T + U \neq 0$ существуют две точки поворота x_1 и x_2 [соответствующие точкам пересечения параболы $U(x)$ и прямой E], в которых скорость частицы обращается в нуль, а сама частица меняет направление движения на противоположное. Время движения от точки x_1 до точки x_2 и обратно равно периоду колебаний частицы в такой потенциальной яме. Минимальной энергией $E = 0$ обладает частица, находящаяся в начале координат в состоянии покоя

Какие значения может принимать полная энергия отдельного осциллятора в классическом случае? Формально нет никаких ограничений на E сверху, но энергия не может быть меньше нуля, так как $E = T + U$, где $T = mv^2/2$ — кинетическая энергия, так что E представляет собой сумму двух положительных слагаемых. Наименьшее значение $E = 0$ соответствует покоящейся в начале координат частице.

Вернемся от отдельного осциллятора к полю, представляющему бесконечный набор таких осцилляторов в каждой точке пространства. Ясно, что наименьшее возможное значение полной энергии скалярного поля достигается тогда, когда все осцилляторы поля находятся в наинизшем возможном энергетическом состоянии $E = 0$, так что полная энергия самого поля тоже равна нулю. Такое состояние поля и называется *вакуумным состоянием* или просто *вакуумом.*

Можно показать, что потенциальная энергия скалярного поля выражается через функцию поля $\varphi(\boldsymbol{r}, t)$ выражением

$$U(\varphi) = m\varphi^2/2.$$

Соответствующий график представлен на рис. 31-39, *а.* Вакуумное состояние поля соответствует значению $\varphi = 0$ во всем пространстве. Обратим теперь внимание на то, что выражение для потенциальной энергии поля $U(\varphi)$ не меняется при замене φ на $-\varphi$. Таким образом, исходные уравнения поля обладают определенной симметрией. Вакуумное состояние $\varphi = 0$ обладает той же симметрией (значения 0 и -0, конечно, совпадают). Таким образом, в «нормальной» ситуации симметрия вакуумного состояния сохраняет симметрию исходных уравнений поля.

Рассмотрим теперь «ненормальную» ситуацию, когда потенциальная энергия поля имеет вид:

$$U(\varphi) = -m\varphi^2/2 + \lambda\varphi^4/4 = \\ = \lambda(\varphi^2 - m/\lambda)^2/4 - m^2/(4\lambda) = \\ = \lambda(\varphi^2 - v_0^2)^2/4 + \text{const},$$

где $v_0 = (m/\lambda)^{1/2}$, а λ — некоторая постоянная. С физической точки зрения потенциальная энергия такого вида описывает взаимодействие скалярного поля с самим собой (самодействие), причем λ как раз равна константе этого самодействия. Уравнения самодействующих полей *нелинейны*, т. е. в них не выполняется принцип суперпозиции.

Хорошим примером нелинейного взаимодействия является знакомое всем гравитационное взаимодействие. Ведь только в рамках приближенной ньютоновской теории тяготения гравитационное поле нескольких массивных тел равно сумме гравитационных полей, создаваемых каждым телом в отдельности, причем масса выступает в роли источника поля — гравитационного заряда (как электрический заряд в электростатике). В более точной общей теории относительности источником гравитационного поля является не масса, а *энергия*, причем любого вида (подробнее см. § 5 гл. 5).

Таким образом, чтобы правильно вычислить гравитационное поле, создаваемое несколькими массами, нужно учесть гравитационную энергию их притяжения. Эта энергия, естественно, зависит от взаимного расположения масс и меняется в зависимости от характера их движения. Поэтому и создаваемое поле является сложной нелинейной функцией от положений и скоростей всех масс, отнюдь не равной сумме полей, создаваемых каждой массой в отдельности. Итак, понятие нелинейного взаимодействия полей не является чем-то необычным. Вернемся к скалярному полю.

График «ненормальной» функции $U(\varphi)$ показан на рис. 31-39, *б*. При этом постоянное слагаемое отброшено, на том основании что потенциальная энергия определена с точностью до произвольной постоянной, определяющей уровень, от которого отсчитывается потенциальная энергия. Заметим, что $U(\varphi)$ и в этом случае не меняется при замене φ на $-\varphi$. Однако, как видно из рис. 31-39, *б*, появились две точки, в которых потенциальная энергия обращается в нуль: $\varphi = v_0$ и $\varphi = -v_0$. Каждой из этих конфигураций

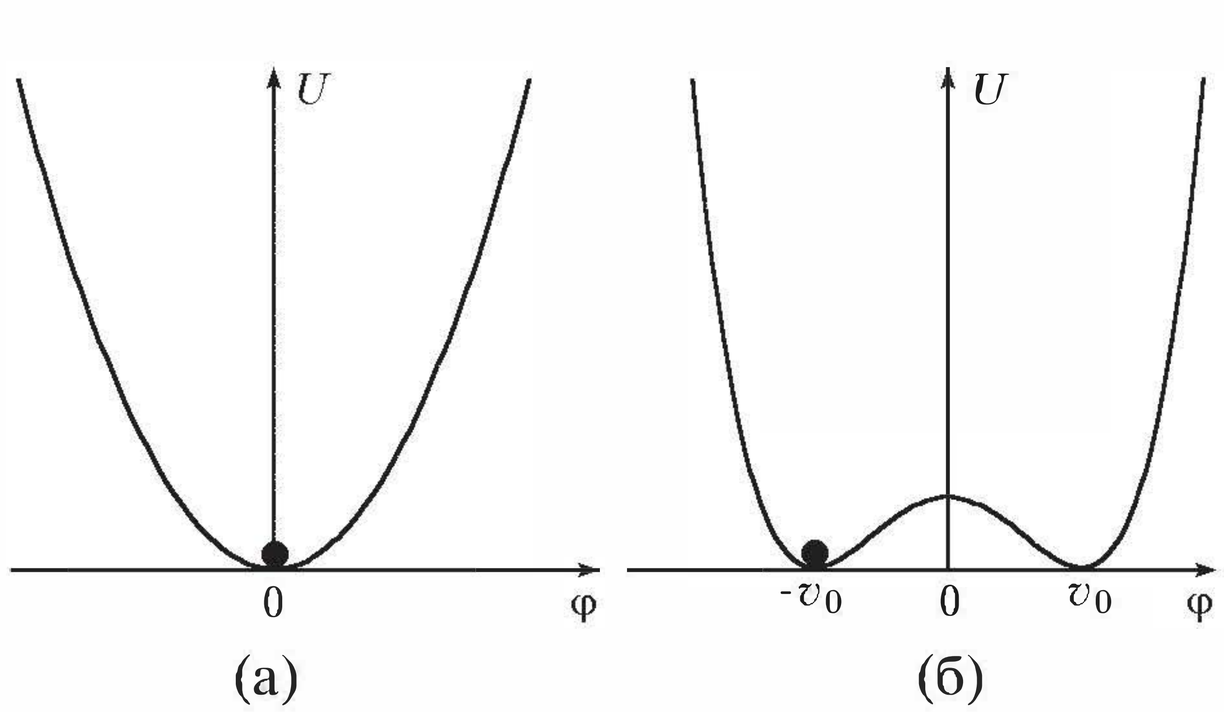


Рис. 31-39. *а* — потенциальная энергия классического скалярного поля напоминает потенциальную энергию классического осциллятора. Имеется одно состояние с наименьшей полной энергией $E = 0$ (вакуум), инвариантное относительно замены φ на $-\varphi$ и соответствующее нулевому значению поля во всем пространстве; *б* — потенциальная энергия скалярного поля в ненормальной ситуации. Два равноправных вакуума соответствуют ненулевым значениям поля $\varphi = v_0$ и $\varphi = -v_0$, причем если система находится в одном из таких состояний (на рисунке — в левом), то симметрия вакуума относительно замены φ на $-\varphi$ теряется. Система сама спонтанно выбирает свое вакуумное состояние, тем самым спонтанно нарушается исходная симметрия уравнений поля

поля отвечает нулевая минимальная полная энергия, поэтому возникло *два* вакуумных состояния. Поле не может одновременно находиться в обоих состояниях: система спонтанно выбирает один из вакуумов (на рисунке это условно показано шариком, лежащим в левой ямке).

Таким образом, исходная симметрия относительно изменения знака поля нарушилась, так как вакуумное состояние уже не остается неизменным при такой замене (левый вакуум переходит в правый и наоборот). В этом и заключается эффект спонтанного нарушения симметрии для простейшего случая скалярного поля. Обратим внимание на то, что возникновение этого эффекта связано с появлением у поля *отличного от нуля* значения энергии вакуума.

Какое все это имеет отношение к проблеме построения теории СлВ? Выше было сказано, что теория СлВ, основанная на обмене массивными промежуточными бозонами, оказывается математически несостоятельной (неперенормируемой). В то же время, если бы масса промежуточных бозонов была равной нулю, такая теория была бы математически приемлемой (по аналогии с квантовой электродинамикой — теорией ЭМВ). Чтобы понять логику дальнейших рассуждений теоретиков, следует еще раз вернуться к проблеме бесконечностей, возникающих при расчетах в неперенормируемых теориях.

Формальное происхождение этих бесконечностей связано со слишком медленным убыванием амплитуд процессов, вычисленных в высших порядках теории возмущений, в зависимости от импульсов промежуточных частиц. Иными словами, расходимости обусловлены плохим поведением амплитуд при очень больших значениях импульсов и энергий этих частиц. В этой области изменения энергий и импульсов значение массы частиц несущественно, ведь выполнено сильное неравенство $E \gg m$. Таким образом, если бы удалось придумать механизм возникновения массы у частицы, обусловленный какими-то явлениями при низких энергиях, не затрагивающими высокоэнергетического поведения амплитуд, то можно было бы «заложить» в теорию первоначально безмассовые частицы, построить перенормируемую теорию их взаимодействий (что возможно), а затем сделать те частицы, которые необходимо, массивными за счет нового механизма, сохраняющего свойство перенормируемости.

Такой механизм генерации масс частиц за счет спонтанного нарушения симметрии вакуумного состояния действительно был предложен и по имени его первооткрывателя получил название *феномена Хиггса*. Суть его состоит в том, что массы промежуточных бозонов порождаются вакуумной энергией поля Хиггса. В использовании этого механизма и состоит идея теории, которая объединила два типа взаимодействий частиц — электромагнитное и слабое и называется теорией *электрослабого* взаимодействия. Авторами модели электрослабого взаимодействия были американские физики Ш. Глешоу и С. Вайнберг и пакистанский физик А. Салам. Они стали лауреатами Нобелевской премии по физике 1979 г.

§ 14. Стандартная модель

Успешное объединение двух сил природы — электромагнитных и слабых взаимодействий — явилось главным триумфом теоретической физики элементарных частиц за последние три десятилетия. Одновременно была построена квантовая хромодинамика — теория взаимодей-

ствий кварков и глюонов, объясняющая многие факты, относящиеся к сильным взаимодействиям при больших энергиях. Совокупность этих теорий получила название *Стандартной модели* взаимодействий элементарных частиц.

Чтобы представить себе трудности, которые пришлось преодолеть теоретикам для построения единой теории ЭМВ и СлВ, упомянем главные видимые различия этих взаимодействий. Электромагнитное взаимодействие имеет дальнодействующий характер и переносится фотонами — безмассовыми нейтральными частицами со спином 1, причем во всех процессах ЭМВ сохраняется четность. Слабые взаимодействия имеют короткодействующий характер (характерный радиус $\sim 10^{-18}$ м), и переносчиками их являются заряженные массивные промежуточные бозоны $W^{\pm}$ со спином 1, при этом четность в процессах СлВ не сохраняется.

Кроме того (об этом мы пока еще не говорили), в принципе возможны процессы СлВ, обусловленные нейтральными промежуточными бозонами Z^0, похожими по всем свойствам, кроме заряда, на $W^{\pm}$. О процессах такого типа говорят как о процессах, обусловленных *нейтральными токами*, так как в вершине взаимодействия лептонов или кварков с Z^0 не меняется заряд фермионов (рис. 31-40, *б*). В 1960-е гг., когда создавалась единая теория, не было никаких экспериментальных указаний на существование процессов с нейтральными токами.

Казалось бы, очень трудно соединить в общей системе уравнений такие разные свойства. Это стало возможным после того как выяснилась та симметрия, которой обладают СлВ. Для объяснения этого нужно обсудить еще одно понятие — *спиральность* частицы. Все фундаментальные частицы (лептоны и кварки) обладают спином 1/2 (в единицах постоянной Планка $\hbar$). Можно представлять себе электрон и другие фермионы как маленькие волчки (хотя это и не самый лучший образ с точки зрения принципов квантовой механики). Когда такая частица движется, то возникает естественное выделенное направление, совпадающее с направлением импульса частицы. При

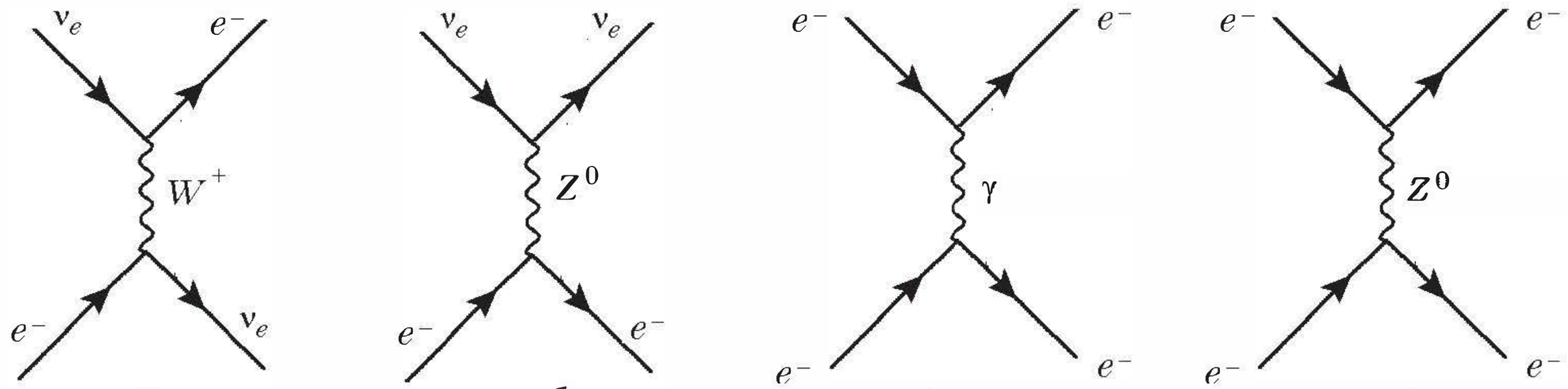


Рис. 31-40. Процесс рассеяния электронного нейтрино на электроне: *а* — обмен заряженным W-бозоном; *б* — обмен нейтральным Z^0-бозоном; *в* — для сравнения приведена диаграмма рассеяния электрона на электроне, обусловленная обменом фотоном; *г* — если существует Z^0-бозон, то возможен и процесс рассеяния электрона на электроне, обусловленный обменом Z^0 и относящийся к СлВ. Реально возникает интерференция амплитуд, описываемых диаграммами *в* и *г*

измерении проекции спина частицы на это направление можно в принципе получить только два значения: $+\hbar/2$ и $-\hbar/2$ (спин частицы может быть направлен либо по направлению импульса, либо в противоположную сторону). Если пользоваться образом волчка, то в случае когда проекция спина на направление импульса положительна, это означает, что волчок вращается вокруг оси, задаваемой этим направлением, *по* часовой стрелке, а при отрицательной проекции – *против* часовой стрелки (рис. 31-41). Говорят, что частицы с положительной проекцией спина на направление импульса имеют положительную спиральность или являются *правыми*; частицы с отрицательной проекцией спина на направление импульса имеют отрицательную спиральность или являются *левыми*.

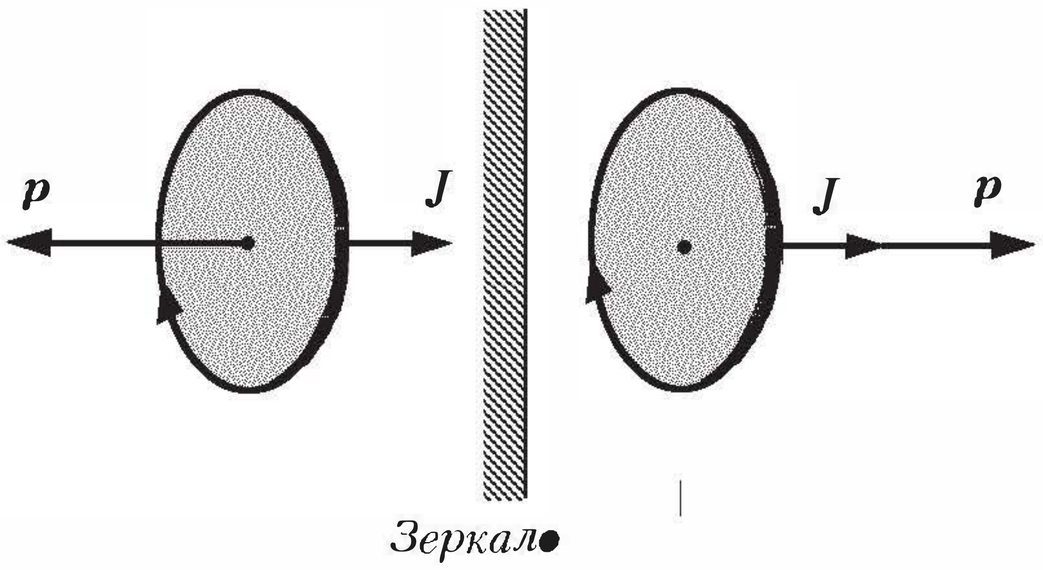


Рис. 31-41. Ориентация спина частицы по отношению к направлению ее импульса называется спиральностью частицы. В случае когда спин равен 1/2 (в единицах $\hbar$), частица с положительной спиральностью изображается правым волчком (при завинчивании штопора в направлении импульса ручка вращается по часовой стрелке – это соответствует частице с положительной спиральностью, у которой проекция спина направлена по направлению импульса); частица с отрицательной спиральностью изображается левым волчком. Эти два состояния спиральности частицы являются зеркальными отражениями друг друга

Если частица имеет массу, то спиральность можно изменить на противоположную, не меняя направления проекции спина, а остановив частицу и затем разогнав ее до той же скорости в противоположном направлении (тем самым меняется знак импульса). Отсюда можно сделать вывод, что массивные частицы могут иметь оба значения спиральности, т. е. быть как правыми, так и левыми. Не так обстоит дело с частицами, у которых по предположению нет массы, например, с нейтрино. Для таких частиц не существует системы покоя, они всегда движутся со скоростью света. Поскольку безмассовые частицы нельзя остановить, то их спиральность никогда не меняется. Правое нейтрино всегда будет правым, левое — левым. Вопрос о том, какова спиральность того нейтрино, которое наблюдается в экспериментах, должен быть решен не за письменным столом теоретика. Это задача экспериментаторов.

Ответ, полученный опытным путем, однозначен: та частица, которую мы называем нейтрино (это в равной степени относится ко всем типам нейтрино – электронному, мюонному и тау), обладает *отрицательной* спиральностью. Соответственно, античастица к нейтрино, или антинейтрино, обладает положительной спиральностью. Итак, в природе существуют левые нейтрино и правые антинейтрино. Почему это так, пока не может объяснить никто, но с этим экспериментальным фактом следует считаться. Заметим, что все сказанное относится к безмассовым нейтрино.

Рассмотрим СлВ, в которых участвуют только две частицы — электрон e^- и электронное нейтрино ν_e. Так как электрон может находиться как в правом, так и в левом состояниях, а нейтрино – только в левом, то те токи СлВ ($\nu_e e$), о которых говорилось выше, включают только левые компоненты электрона и левое нейтрино. Таким образом, левые части-

цы образуют пару (дублет), которая взаимодействует не так, как правый электрон, которому не нашлось партнера среди частиц (античастицы не в счет), и который поэтому называют синглетом (одиночкой).

Такая классификация свидетельствует о наличии некоторой группы симметрии, которой обладают исходные уравнения теории СлВ, основанной на взаимодействии токов. Математики называют эту симметрию $SU(2)_L$ (не вдаваясь в подробности, скажем лишь, что цифра 2 и буква L в обозначении соответствуют тому, что основные частицы, участвующие в СлВ, объединены в дублеты левых частиц). Те же соображения можно высказать и по отношению ко всем другим фундаментальным фермионам, участвующим в СлВ. Поэтому исходные уравнения теории должны обладать симметрией $SU(2)_L$. Наличие всякой симметрии влечет за собой сохранение ряда квантовых чисел (условно называемых зарядами). Число таких сохраняющихся зарядов определяется типом симметрии. Так, $SU(2)_L$ симметрии СлВ отвечает один сохраняющийся слабый заряд. Определенное значение этого заряда может быть приписано каждой частице (например, слабый заряд электрона равен $+1/2$, а электронного антинейтрино равен $-1/2$).

Однако, переносчики СлВ — промежуточные бозоны $W^{\pm}$ — обладают еще и обычным электрическим зарядом. Но симметрия $SU(2)_L$ не имеет никакого отношения к ЭМВ. Рассуждая как бы в обратную сторону, можно прийти к выводу, что наличие электрических зарядов у частиц свидетельствует о некоторой симметрии исходных уравнений, описывающих ЭМВ. Оказывается, что так оно и есть, и соответствующая симметрия называется $U(1)$ (о ней упоминалось при обсуждении закона сохранения заряда). Этой симметрии соответствует свой сохраняющийся заряд, так что обычный электрический заряд может быть получен как комбинация слабого заряда и заряда, отвечающего $U(1)$ симметрии. Если мы хотим построить теорию, которая учитывала бы свойства и СлВ, и ЭМВ, мы должны потребовать локальной симметрии уравнений этой теории относительно произведения преобразований $SU(2)_L \times U(1)$. Здесь используется та же идея, что и для построения КЭД (локализация симметрии $U(1)$) или КХД (локализация цветовой симметрии $SU(3)_c$).

Все это выглядит замечательно, но... в подобной теории промежуточные бозоны будут, как и фотоны, безмассовыми. С одной стороны, это хорошо, так как теперь снимаются трудности, связанные с расходимостями. Можно доказать, что теории с безмассовыми частицами перенормируемы, т. е. все расходимости устраняются переопределением параметров. Однако, с другой стороны, ясно, что подобная теория совершенно не соответствует реальным свойствам СлВ, прежде всего малому радиусу их действия. Переносчики этих взаимодействий обязаны иметь большую массу (~100 ГэВ). Таким образом, в реальности не может быть никакой симметрии, связывающей массивные промежуточные бозоны с безмассовым фотоном. Та симметрия $SU(2)_L \times U(1)$, которая заложена в исходные уравнения, должна разрушиться. Как же это происходит?

Ответ заключается в том, что хотя уравнения, лежащие в основе теории, обладают определенной симметрией, вакуум этой симметрией не обладает. В результате спонтанного нарушения симметрии у системы появляются новые свойства. За счет перестройки вакуума можно придать массу частицам, в частности W- и Z-бозонам и лептонам, при

этом оставив фотон безмассовым. Поскольку такой способ обретения частицами массы связан с перестройкой вакуумного состояния, т. е. состояния с наименьшей энергией, то можно думать, что поведение всех амплитуд процессов при высоких энергиях не изменится, т. е. сохранится свойство перенормируемости теории (строгое доказательство этого дал Герард 'т Хоофт в начале 70-х гг. XX в. и, собственно, только после этого единая теория электрослабых взаимодействий стала серьезно восприниматься физиками).

Ясно, что появление массы у одних частиц может быть обеспечено только за счет перестройки вакуумного состояния других частиц. В простейшем варианте теории необходимо ввести дополнительное скалярное поле и спонтанно нарушить симметрию. В результате появления отличного от нуля вакуумного среднего скалярного поля $<v>$ промежуточные бозоны и фундаментальные фермионы приобретают массу $M \sim v_0$, но в качестве «довеска» появляется новая скалярная массивная частица, которую назвали *хиггсовским бозоном* или просто *хиггсом* (обозначается H^0).

Итак, примерно 25 лет тому назад утвердилась *Стандартная модель* элементарных частиц, объединяющая в схему электромагнитные, слабые и сильные взаимодействия. Все указанные взаимодействия единым образом описываются на языке теории калибровочных полей. Напомним, что группами симметрии фундаментальных полей материи являются группа $SU(3)_c$ для цветных кварков и произведение групп $SU(2)_L \times U(1)$ для слабых взаимодействий кварков и лептонов. Требование локальной калибровочной инвариантности уравнений для полей материи относительно этих групп автоматически приводит к появлению калибровочных бозонов — переносчиков взаимодействий (фотона, промежуточных бозонов и глюонов) и фиксации вида взаимодействия этих полей с полями фундаментальных фермионов. Массы фермионов определяются в рамках стандартной модели вакуумным средним скалярного поля. Константы взаимодействия являются свободными параметрами теории. Квантовая теория поля приводит к выводу о зависимости констант взаимодействий от энергии.

Вспомним таблицу, приведенную ранее и названную лестницей спинов. Физики сейчас твердо уверены в существовании всех указанных на лестнице спинов фундаментальных фермионов. Еще в 1983 г. были открыты промежуточные бозоны $W^{\pm}$ и Z^0, причем их массы оказались в превосходном согласии с теми, которые были теоретически предсказаны в рамках стандартной модели. Единственной частицей, которая пока экспериментально не найдена, является хиггсовский бозон H^0. Грубые теоретические оценки массы этой частицы дают значения в интервале от 10 до 1000 ГэВ. Экспериментально область возможных значений массы хиггса уже ограничена снизу значением порядка 100 ГэВ, но все равно остается огромный интервал. Теоретики склоняются к мысли, что масса хиггса составляет около 200 ГэВ. Таким образом, есть надежда обнаружить хиггс на вступающем в строй в 2008 г. сверхмощном ускорителе БАК (Большой Адронный Коллайдер, англ. LNC) в ЦЕРНе с энергией пучков протонов 7 ТэВ.

Стандартная модель успешно описывает все без исключения процессы, происходящие при энергиях от долей электронвольт до сотен гигаэлектронвольт. Полезно мысленно совершить путешествие от области малых энергий (следовательно, в силу соотношения неопределенностей больших расстояний) к

области больших энергий (и малых расстояний).

1. Пусть расстояния, на которых производится эксперимент, значительно превышает $l_0 \approx 10^{-18}$ м (эта цифра соответствует комптоновской длине волны W-бозона массой порядка 100 ГэВ). Таким образом, изучается область низких энергий. Процессы слабого взаимодействия при энергиях ~1 ГэВ превосходно описываются полуфеноменологической теорией четырехфермионного слабого взаимодействия без всяких промежуточных бозонов. Сами эти бозоны невозможно увидеть, так как их масса во много раз больше 1 ГэВ, и, следовательно, их нельзя породить при таких энергиях.

В то же время фотоны и обусловленные их обменом электромагнитные взаимодействия непосредственно наблюдаются. Точно так же наблюдаются и глюоны, точнее, результат их обмена между кварками в нуклонах, приводящий к сильным ядерным взаимодействиям. Таким образом, при низких энергиях все взаимодействия существуют как бы отдельно, нет никакой объединяющей их симметрии, константы взаимодействий существенно различны.

2. Переходим к экспериментам на расстояниях порядка 10^{-18} м, т. е. при энергиях около 100 ГэВ. Картина в этой области очень сложна, так как теперь W- и Z-бозоны уже непосредственно видны, однако их свойства кардинально отличаются от свойств фотонов (прежде всего из-за большой массы). Как раз эта область и соответствует спонтанному нарушению симметрии $SU(2)_L \times U(1)$, так что подробное изучение процессов именно в области энергий порядка массы промежуточных бозонов может дать какую-то дополнительную информацию о механизме спонтанного нарушения. Существующие ускорители позволяют делать подобные эксперименты. Открыты сами W и Z, однако хиггсовский бозон не найден.

3. Расстояния, много меньшие 10^{-18} м. Если бы удалось проделать эксперимент в области сверхмалыхрасстояний (т. е. при энергиях, много больших 100 ГэВ), то мы бы увидели, что симметрия $SU(2)_L \times U(1)$ выполняется очень хорошо. При таких энергиях можно пренебречь массами промежуточных бозонов, так что они становятся неотличимыми от фотонов. Оба взаимодействия (электромагнитное и слабое) сливаются в одно взаимодействие с общей константой связи.

Приведенные соображения позволяют понять, почему слабые взаимодействия были названы слабыми. На первой стадии развития теории СлВ считалось, что все дело в малой константе взаимодействия, которая много меньше константы ЭМВ $\alpha \approx 1/137$. Однако это не так. Правильный ответ заключается в том, что слабые взаимодействия имеют очень малый радиус действия $l_0 \approx 10^{-18}$ м и переносятся частицами очень большой массы $m_W \approx 100$ ГэВ. Следовательно, любой процесс слабого взаимодействия имеет очень малую вероятность до тех пор, пока не достигнуты энергии, сравнимые с массой промежуточных бозонов.

Теория показывает, что вероятности всех процессов при низких энергиях обратно пропорциональны четвертой степени m_W. Именно этот фактор и делает слабые взаимодействия при низких энергиях слабыми. Если же наблюдать явления при энергиях, много больших m_W, то слабые и электромагнитные взаимодействия будут иметь одинаковую интенсивность. Более того, константа этого объединенного взаимодействия α_2 больше, чем α, так как с ростом энергии наблюдается рост константы электромагнитного взаимодействия (а значит и общей

константы единого электрослабого взаимодействия).

Сколько же элементарных частиц считаются истинно элементарными в настоящее время? Иными словами, из каких фундаментальных сущностей состоит наш мир? Рассмотрим одно *поколение* кварков и лептонов. В него входят кварки u и d и лептоны e^- и ν_e, т. е. в каждом поколении имеется четыре фундаментальных фермиона спина 1/2. Мы знаем сейчас о существовании трех поколений фундаментальных фермионов, так что всего получается 12 частиц.

К этому следует добавить частицы — переносчики взаимодействия: фотон γ, промежуточные бозоны $W^{\pm}$ и Z^0 и глюон g. Наконец, как было объяснено в предыдущем разделе, единая теория электрослабого взаимодействия предсказывает существование по крайней мере одного хиггсовского бозона H^0. Итого получается как минимум $12 + 4 + 1 = 17$ фундаментальных частиц (конечно, мы не включили в это число античастицы для каждого фермиона и цветовые разновидности кварков и глюонов).

В уравнения теории входят в качестве параметров массы этих частиц (или константы взаимодействия с вакуумным средним хиггсовского поля). Кроме того, в теорию входят и четыре параметра, описывающие слабые взаимодействия кварков и нарушение CP-симметрии. Таким образом, общее число параметров стандартной модели даже в одном поколении превышает 20. Это число, конечно, очень велико.

Возникает желание уменьшить его, т. е. придумать какую-то составную модель уже этих фундаментальных частиц, сведя дело к новому набору еще более фундаментальных сущностей. Попытки такого рода представляют собой тупиковый путь: очень скоро мы добираемся до расстояний (и энергий), которые совершенно недоступны для эксперимента, так что спекуляции на тему о том, что там внутри, становятся бессмысленными. Поэтому теоретики ищут другие пути.

§ 15. Новые идеи: ТВО, суперсимметрия, суперструны

Один из путей связан с попыткой *объединения взаимодействий*. Указание на принципиальную возможность построения единой теории всех взаимодействий связано с поведением констант взаимодействий как функции энергии. Как объяснялось ранее, в квантовой хромодинамике бегущая константа взаимодействия α_s велика при низких энергиях и уменьшается с ростом энергии (явление *асимптотической свободы*). Наоборот, константы слабого взаимодействия α_w и электромагнитного взаимодействия α увеличиваются с ростом энергии.

Таким образом, существует некоторое значение энергии, при котором все константы взаимодействий сближаются (рис. 31-42, *а*). Наступает «великое объединение» взаимодействий. Однако происходит это слияние констант и объединение взаимодействий при энергиях 10^{14}–10^{15} ГэВ! Правда, при этих энергиях константы близки, но полного слияния в одной точке не происходит.

Тем не менее теоретики, вдохновленные успехом стандартной модели, попытались записать уравнения теории, симметричные относительно более широкой группы симметрии, включающей произведение групп симметрии $SU(3)_c \times SU(2)_L \times U(1)$. Если эта более широкая группа удовлетворяет определенным математическим требованиям (является простой группой), то в принципе можно получить три различные константы связи из еди-

ной фундаментальной константы объединенных взаимодействий.

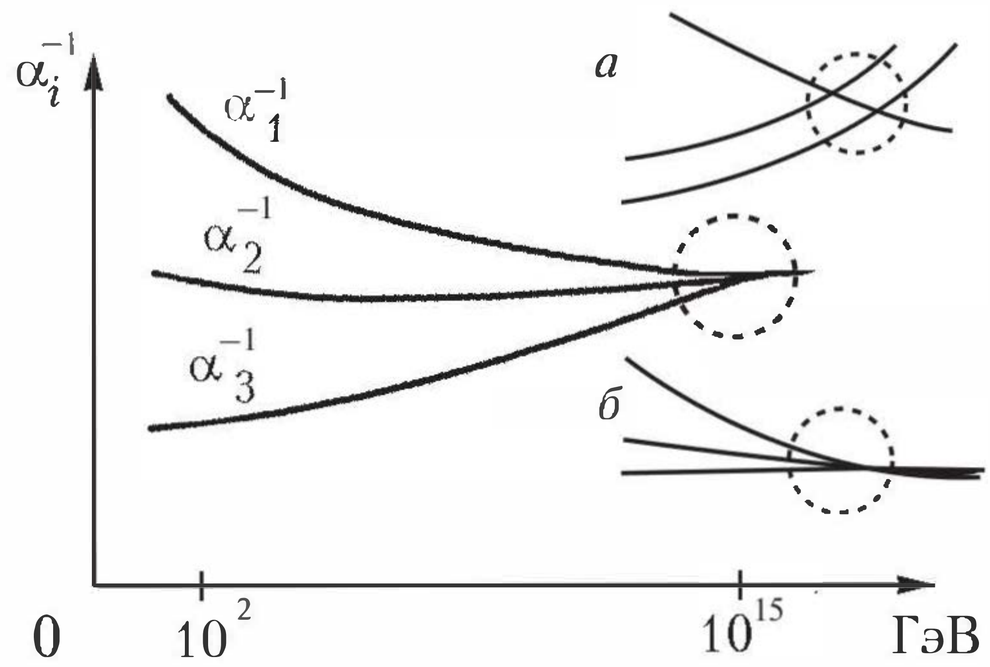


Рис. 31-42. Слияние констант электромагнитных, слабых и сильных взаимодействий в стандартной модели: *а* — без учета суперсимметрии; *б* — с учетом суперсимметрии

Следует учитывать, что теория великого объединения (ТВО) предсказывает слияние констант всех взаимодействий при очень больших энергиях порядка 10^{15} ГэВ. Если же постепенно спускаться к меньшим значениям энергий, то последовательное отщепление сначала сильного взаимодействия от электрослабого, а затем электромагнитного от слабого происходит в результате спонтанного нарушения симметрии великого объединения по следующей цепочке:

$$G \xrightarrow{E \approx m_X c^2 \approx 10^{15}\ \text{ГэВ}} SU(3)_c \times SU(2)_L \times U(1)$$

$$\xrightarrow{E \approx m_W c^2 \approx 100\ \text{ГэВ}} SU(3)_c \times U(1)_{EM}.$$

Здесь m_X — масса того калибровочного бозона, который возникает при локализации калибровочной симметрии великого объединения. Очевидно, что эта масса — порядка энергии великого объединения, т. е. порядка 10^{14}–10^{15} ГэВ.

Простейшей простой группой, которая включает в себя в качестве подгрупп все необходимые группы симметрии трех взаимодействий, является группа $SU(5)$. Она — наименьшая возможная по размерности. Соответствующую модель ТВО предложили в 1974 г. Джорджи и Глешоу.

В такой ТВО (как и в любой другой ТВО, основанной на больших по размерности группах симметрии) лептоны и кварки объединяются в один мультиплет, и поэтому становятся возможными процессы перехода кварков в лептоны, определяющиеся обменом новыми калибровочными бозонами огромной массы. Это означает, что ТВО предсказывает нестабильность протона, например. возможный распад его по схеме $p \to e^+ + \pi^0$.

Экспериментально измеренное время жизни протона относительно таких мод распада составляет величину более 10^{32} лет. Теоретические оценки в рамках $SU(5)$-модели дают меньшее значение, так что можно утверждать, что простейший вариант ТВО не проходит. Однако в более сложных моделях теоретические оценки не противоречат данным и предсказывают еще большее время жизни протона.

Итак, в ТВО рассматривается симметрия между кварками и лептонами. Одним из выдающихся теоретических открытий 70-х гг. прошлого века было обнаружение совершенно новой симметрии между фермионами и бозонами, названной *суперсимметрией*. Преобразования суперсимметрии изменяют спин частицы. Всякая ТВО может быть суперсимметричным образом расширена. Тогда в этой теории наряду с известными частицами автоматически возникают суперпартнеры этих частиц. Так, кваркам соответствуют скварки, лептонам — слептоны, фотонам — фотино, W и Z — ви́но и зи́но, глюонам — глюино. Спины новых частиц на 1/2 меньше спинов исходных (скварки имеют спин нуль и т. д.).

Теоретически суперсимметричные модели очень привлекательны. Учет суперсимметрии приводит к точному

слиянию всех констант взаимодействий при определенной энергии порядка 10^{15} ГэВ (рис. 31-42, *б*). Перенормируемость суперсимметричных теорий оказывается лучше, чем у обычных теорий. Кроме того, суперсимметричные теории после локализации позволяют естественным образом включить гравитацию и объединить ее с другими взаимодействиями. Такая теория называется *супергравитацией* (по существу, это локальная калибровочная теория суперсимметрии). Правда, помимо гравитона спина 2 в такой теории предсказывается существование гравитино спина 3/2.

Следует заметить, что пока ни одна из предсказываемых суперсимметричных частиц не обнаружена, хотя существующие теоретические оценки масс этих частиц соответствуют возможностям ускорителей последнего поколения. Кроме того, не удается создать последовательную квантовую теорию гравитации, поскольку наличие в теории точечных объектов — фундаментальных фермионов — приводит к неустранимым расходимостям при энергиях больше планковской энергии порядка 10^{19} ГэВ.

Последние два десятилетия интенсивно развивается совершенно новое направление теоретических исследований, призванное в конечном итоге построить *теорию всего сущего*. Основной идеей этого подхода является попытка рассматривать фермионы не как точечные объекты, а как одномерные протяженные объекты — *струны*. Размеры этих струн таковы, что при энергиях меньше планковских они незаметны, а проявляются только при энергиях больше планковских, предохраняя от расходимостей. Соответствующие теории получили название теорий *суперструн*.

Количество вариантов теорий суперструн велико. Удивительно то, что наиболее перспективными оказались варианты теорий в 10 или 11 измерениях, причем число 11 оказалось максимально возможным числом измерений. Связь с четырьмя наблюдаемыми измерениями (время + три пространственных измерения) осуществляется путем использования идеи *компактификации* лишних измерений, т. е. сворачивания их в кольцо планковских размеров (идею подобного рода высказывали еще в 20-е гг. Калуца и Клейн).

Следует подчеркнуть, что, несмотря на удивительную математическую красоту полученных в «струнных» теориях результатов, до сих пор нет ни одного экспериментального подтверждения этих идей. Если верны идеи ТВО, то в интервале от 10^3 до 10^{15} ГэВ ничего интересного происходить не должно (так называемая асимптотическая пустыня). Ясно, что на Земле подобные энергии ускорителей никогда достигнуты не будут, поэтому ряд ученых высказывает мнение о возможном конце определенного направления в развитии физики — исследования структуры материи на все более малых расстояниях. Тем не менее существует множество явлений, которые можно и нужно изучать в области сравнительно низких энергий.

Сюда, в частности, относится *нейтринная физика*. В последние два-три года были сделаны выдающиеся открытия — доказано, что нейтрино разных типов могут переходить друг в друга (явление нейтринных осцилляций), что возможно только при условии, что у нейтрино есть масса. Стандартная модель такого не допускает, поэтому изучение свойств массивных нейтрино — это изучение свойств микромира, не описываемых Стандартной моделью.

Можно, конечно, указать и на другие дефекты Стандартной модели (напри-

мер, она не дает ответа на вопрос, каково происхождение ненулевого вакуумного среднего хиггсовского поля). Поэтому есть много причин стремиться к ее расширению, а следовательно, к изучению новых явлений.

Разумеется, маловероятно, что физика элементарных частиц может на этом закончиться. Всегда будут явления природы, требующие своего объянения.

Именно поэтому столь большие надежды возлагаются на запуск ускорителя БАК в ЦЕРНе, о котором упоминалось выше на стр. 672. Этот ускоритель впервые позволяет охватить весь масштаб энергий, необходимых для полного анализа предсказаний Стандартной модели.

Имеется ряд убедительных экспериментальных фактов, указывающих, что именно в этом масштабе энергий могут начать проявляться эффекты, связанные с новой фундаментальной физикой. В частности, при энергиях ~ 10 ТэВ могут быть открыты новые фундаментальные частицы, являющиеся важной составной частью теории струн.

Хотя традиционные методы ускорения частиц исчерпают себя все же хочется верить, что ученые найдут новые способы проникновения на сверхмалые расстояния, и жителям Земли предстоит в XXI в. узнать многое из того, «что и не снилось нашим мудрецам».

32

Гравитация и космология

§ 1. Введение

Физической теорией, описывающей явление гравитации, или всемирного тяготения, является общая теория относительности (ОТО), созданная А. Эйнштейном в 1907–1915 гг. По мнению многих выдающихся физиков, эта теория является самой красивой из всех физических теорий. Своеобразие ОТО заключается в том, что количество экспериментальных данных, прямо подтверждающих эту теорию, очень невелико. Но признание к ОТО пришло сразу после создания, прежде всего благодаря ее внутренней красоте и стройности. Сейчас практически нет ученых, сомневающихся в ее справедливости, однако насущной остается задача проверки эффектов, предсказываемых ОТО и отличающих ее от альтернативных теорий тяготения.

В течение долгого времени (вплоть до 60-х гг. XX в.) эта задача не была актуальной. С одной стороны, несовершенство экспериментальной техники не позволяло серьезно улучшить точность измерений очень слабых эффектов ОТО, с другой же стороны, сама ОТО не рассматривалась как теория, необходимая физикам в их повседневной работе. Все признавали ее красоту, стройность, все соглашались, что эксперименты более или менее ее подтверждают, но никто толком не знал, как использовать ОТО в исследованиях фундаментальных проблем физики.

Перелом в отношении к ОТО случился в течение 1959–1960 гг. Именно в этот период произошло несколько событий, ознаменовавших новую эру в развитии ОТО, после чего она стала играть главенствующую роль во всех исследованиях по астрофизике, космологии и фундаментальной физике частиц. Эти события таковы.

1. Успешная регистрация радарного отраженного сигнала (эха) от планеты Венера (сентябрь 1959 г.); этим экспериментом Солнечная система открылась как лаборатория для высокоточной проверки ОТО.

2. Осуществление первого земного эксперимента по проверке ОТО (опыт Паунда и Ребки, 1960 г.), состоявшего в измерении сдвига частоты света при его падении в гравитационном поле. При проведении этого опыта была использована самая современная технология, прежде всего квантовая, что в дальнейшем стало обязательным условием достижения высокой точности экспериментов.

3. Обнаружение первого *квазара* 3C38 астрономами из обсерватории Маунт Паломар (США), за которым вскоре последовали открытия *пульсаров* и *микроволнового реликтового излучения*. Стало ясно, что ОТО является основой для по-

нимания как эволюции Вселенной, так и других (порой необычных) космических объектов.

За почти полвека, прошедшие с тех пор, ОТО свела физику элементарных частиц и космологию в единую науку — *космомикрофизику* (четкая формулировка задач этой новой ветви знаний — последний вклад в науку А. Д. Сахарова). Одновременно ОТО стала неотъемлемой частью небесной механики, помогла развитию новых разделов математики и теоретической астрофизики.

Цель этой заключительной главы — познакомить читателя с основными принципами ОТО, описать основные проверяемые в земных условиях эффекты ОТО, и — самое главное — дать представление о современных космологических теориях и тех революционных изменениях в понимании эволюции Вселенной, которые уже произошли и продолжают происходить на рубеже XX и XXI вв. — спустя 100 лет после формулировки ОТО.

§ 2. Принцип эквивалентности

Этот принцип исторически сыграл большую роль в развитии теории тяготения. Еще Ньютон считал его настолько фундаментальным для механики, что посвятил ему первый параграф своих «Начал» в 1687 г. Он же предложил и способ эмпирической проверки этого принципа с помощью маятника. В 1907 г. Эйнштейн положил принцип эквивалентности в основу ОТО.

Простейший вариант принципа эквивалентности (ПЭ), называемый *галилеевским*, или *слабым*, ПЭ, утверждает, что траектория свободно падающего тела (на которое не действуют посторонние силы, например, электромагнитные) не зависит от его внутреннего строения и состава. Слабый ПЭ утверждает, что при бросании двух разных тел в гравитационном поле они будут падать с одинаковым ускорением (знаменитый опыт Галилея, подтверждающий этот факт, описан во всех учебниках механики, в том числе школьных).

Значительно более сильным является *эйнштейновский* ПЭ. Он утверждает, что: а) верен слабый ПЭ; б) результат любого локального негравитационного эксперимента не зависит от скорости свободно падающей в гравитационном поле системы отсчета; в) результат любого локального негравитационного эксперимента не зависит от того, где и когда во Вселенной он производится. Заметим, что вторая часть эйнштейновского ПЭ называется локальной лоренц-инвариантностью, а третья часть — трансляционной инвариантностью. Заметим далее, что под *локальным* экспериментом понимается эксперимент, проводимый в достаточно малой области пространства, где гравитационное поле можно с достаточной точностью считать постоянным.

Например, измерение электрической силы притяжения между двумя заряженными телами, находящимися на не слишком большом расстоянии друг от друга, представляет локальный негравитационный эксперимент, а измерение силы притяжения между двумя массами (опыт Кавендиша) таковым не является.

Эйнштейновский ПЭ является душой и сердцем теории тяготения, так как можно убедительно показать, что если этот принцип верен, то гравитация есть явление, связанное с *кривизной пространства-времени*. Иначе говоря, жить в присутствии поля тяготения — это то же самое, что жить в искривленном пространстве. Действительно, нетрудно видеть, что ПЭ приводит к двум интересным предсказаниям. Во-первых, он требует, чтобы лучи

света искривлялись в гравитационном поле, как будто свет состоит из массивных частиц, движущихся со скоростью c.

Рассмотрим свободно падающую кабину лифта. Пусть вспышка света направляется внутри кабины под прямым углом к направлению падения. Согласно ПЭ, свет будет продолжать двигаться по прямой линии внутри кабины, но, так как кабина ускоренно падает, пока внутри нее свет движется равномерно, траектория светового луча с точки зрения внешнего наблюдателя будет иметь форму параболы по отношению к Земле, напоминая траекторию выпущенного из орудия снаряда. Таким образом, из одного только факта, что свет движется с конечной скоростью, можно сделать вывод, что свет «весит», т. е. обладает инерцией. Необходимо подчеркнуть, что все это в равной степени относится и к *любым* другим типам явлений, будь то гравитационные волны или любые другие. Все сигналы, распространяющиеся в инерциальной системе с конечной скоростью, будут искривляться в гравитационном поле. Приняв это во внимание, следует согласиться, что речь идет не о новом свойстве света, а о новом свойстве пространства при наличии масс, а именно, о том, что само пространство имеет кривизну.

Во-вторых, из ПЭ вытекает, что свет, распространяющийся вниз в поле тяготения Земли (или вообще из области с меньшей напряженностью гравитационного поля в область с большей напряженностью), испытывает голубое смещение (т. е. смещение в сторону более коротких длин волн). Действительно, пусть луч света проходит через потолок в кабину в тот момент, когда она начинает свободно падать. Согласно ПЭ, наблюдатель A на полу кабины не регистрирует никакого доплеровского смещения. Однако за то время, пока A наблюдает за лучом света, кабина ускоренно падает, и внешний наблюдатель B на поверхности Земли движется *навстречу* лучу. Наблюдатель A не видит никакого сдвига частоты, а наблюдатель B, измеряя частоту того же света, должен видеть голубое смещение. Наоборот, свет, испущенный в сторону уменьшения гравитационного поля, испытывает красное смещение. Как следствие этого факта, если рассматривать атомы, испускающие свет определенной частоты, как «часы» (а именно так устроены современные эталоны времени), то те часы, которые помещены в область более низкого гравитационного потенциала, будут идти *медленнее* часов, находящихся в области более высокого потенциала. Этот эффект носит название *гравитационного замедления времени*.

Действительно, благодаря этому эффекту стандартные атомные часы, которые находятся в Национальном бюро стандартов США в Боулдере (Колорадо) на высоте примерно 1800 м над уровнем моря, отстают от аналогичных часов в Гринвиче (Великобритания), находящихся на высоте 25 м над уровнем моря, примерно на 5 мкс за год.

§ 3. Метрические теории тяготения

Общая теория относительности относится к типу *метрических* теорий тяготения. Все метрические теории связывают поле тяготения с геометрическими свойствами пространства-времени, приписывая кривизну пространства наличию гравитационного поля. Локально (в малой окрестности каждой точки) в силу принципа эквивалентности выполнены законы специальной теории относительности (СТО) для всех негравитационных экспериментов.

Главной характеристикой искривленного пространства-времени является его

метрика. Она определяет геометрические соотношения между событиями, например расстояния между близкими точками в пространстве или промежуток времени между двумя событиями, произошедшими в одном и том же месте. В СТО пространство-время описывается *метрикой Минковского*, соответствующей плоскому случаю.

Для пояснения того, что такое метрика пространства, рассмотрим сначала плоскость $z = 0$ в трехмерном пространстве и рассмотрим на ней две бесконечно близкие точки A и B (рис. 32-1). Пусть координаты точек равны $(x, y, 0)$ и $(x + dx, y + dy, 0)$ (координата z всех точек плоскости равна нулю). Элементарное применение теоремы Пифагора показывает, что квадрат расстояния между этими точками равен

$$(ds)^2 = (dx)^2 + (dy)^2 + (dz)^2.$$

Здесь специально дописано слагаемое с $(dz)^2$, которое фактически равно нулю.

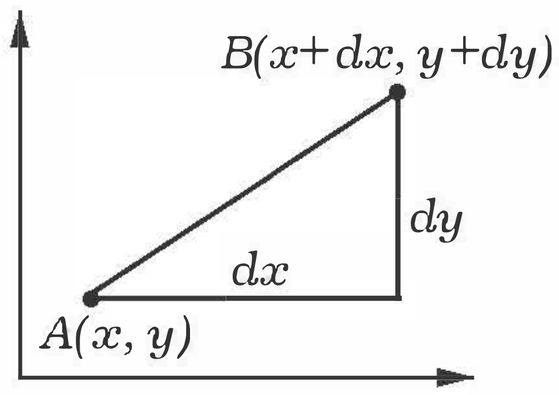


Рис. 32-1. Вычисление расстояния между двумя близкими точками на плоскости

Рассмотрим аналогичную ситуацию: две близкие точки на кривой поверхности, например, на поверхности шара радиуса R в трехмерном пространстве. Такая двумерная поверхность есть множество всех точек с координатами (x, y, z), удовлетворяющими ограничению (рис. 32-2)

$$x^2 + y^2 + z^2 = R^2$$

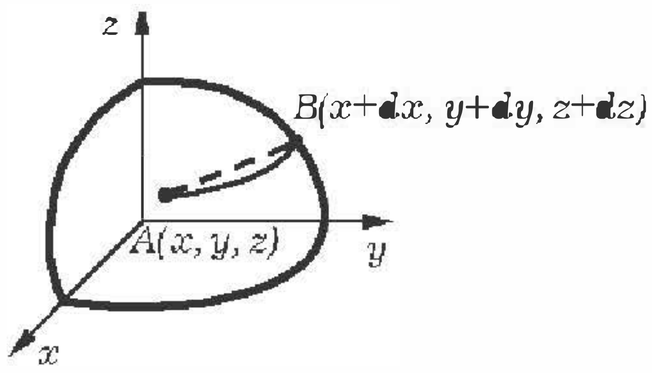


Рис. 32-2. Вычисление расстояния между двумя близкими точками на поверхности сферы

Если точки A и B достаточно близки друг к другу, то расстояние между ними (измеренное вдоль пунктирной прямой на рис. 32-2) практически совпадает с расстоянием, измеренным по поверхности сферы (слова «практически совпадает» означают совпадение с точностью до квадратичных по малым разностям dx_i отклонениям). Таким образом,

$$(ds)^2 = (dx)^2 + (dy)^2 + (dz)^2.$$

Разница, однако, заключается в том, что теперь бесконечно малая величина dz не является независимой для точек на поверхности сферы, а связана с dx и dy. Для всех точек на поверхности сферы должно быть выполнено равенство:

$$x^2 + y^2 + z^2 = (x + dx)^2 + (y + dy)^2 + \\ + (z + dz)^2 = R^2.$$

Если пренебречь малыми более высокого порядка, чем первый, то:

$$xdx + ydy + zdz = 0,$$

откуда $dz = -(xdx + ydy)/z$. С учетом уравнения поверхности сферы имеем теперь

$$(ds)^2 = (dx)^2 + (dy)^2 + \\ + (xdx + ydy)^2/(R^2 - x^2 - y^2).$$

Получилась новая форма записи теоремы Пифагора, применимая для поверхности сферы. Эту формулу принято записывать в виде:

$$(ds)^2 = g_{xx}(x, y)(dx)^2 + g_{xy}(x, y)dxdy + \\ + g_{yx}(x, y)dydx + g_{yy}(x, y)(dy)^2,$$

где

$$g_{xx}(x,y) = 1 + \frac{x^2}{(R^2 - x^2 - y^2)},$$

$$g_{yy}(x,y) = 1 + \frac{y^2}{(R^2 - x^2 - y^2)},$$

$$g_{xy}(x,y) = g_{yx}(x,y) = \frac{xy}{(R^2 - x^2 - y^2)}.$$

Безразмерные коэффициенты $g_{ik}(x, y)$ являются, вообще говоря, функциями точки на поверхности и в совокупности задают *метрику* данного пространства — двумерной поверхности сферы.

Эта идея обобщается на пространства любой размерности. Важнейший результат дифференциальной геометрии заключается в том, что геометрические свойства любого пространства любой размерности N полностью определяются выражением квадрата расстояния между двумя близкими точками в этом пространстве:

$$(ds)^2 = \sum_{n=1}^{N} g_{ik}(x) dx^i dx^k.$$

Здесь x^i — совокупность координат пространства, а величины $g_{ik}(x) = g_{ik}(x^1, x^2, ..., x^N)$ могут быть функциями этих координат и образуют *метрический тензор*, полностью определяющий геометрию пространства. По этой причине отклонение геометрии пространства от евклидовой, в которой квадрат расстояния между близкими точками задается выражением

$$(ds)^2 = (dx^1)^2 + (dx^2)^2 + ... + (dx^N)^2,$$

зависит от места в пространстве. Если рассматривается расстояние между двумя близкими точками (величины $dx^i \to 0$), то выражение для $(ds)^2$ все более совпадает с евклидовым. Таким образом, рассматриваемые пространства обладают фундаментальным свойством: они локально (в малой окрестности любой точки) евклидовы. Такие пространства носят название *римановых пространств*.

Внимательный анализ полученных выше выражений для метрики $g_{ik}(x, y)$ двумерной сферы показывает также, что эта метрика приближается к евклидовой при увеличении радиуса сферы ($R \to \infty$), что нетрудно представить себе наглядно.

Каким образом можно отличить кривое пространство от плоского? На рис. 32-3 изображен замкнутый путь $ABCA$, охватывающий восьмую часть поверхности сферы. Пусть в точке A на поверхности находится некоторый малый вектор. Прежде всего следует точно определить терминологию. Говорят, что вектор находится на поверхности в данной точке, если он лежит в *касательной плоскости* к поверхности в этой точке. Пусть совершается параллельный перенос вектора из точки A в точку C по двум путям: ABC и AC. Здесь надо подчеркнуть, что, когда вектор переносят параллельно ему на плоском листе бумаги, это не составляет труда — в другой точке рисуется новый вектор, равный по величине и параллельный прежнему. Но когда параллельный перенос осуществляется на искривленной поверхности, то вектор, перенесенный в соседнюю близкую точку, уже не лежит в касательной плоскости к поверхности в этой точке! Поэтому параллельный перенос на искривленной поверхности состоит из двух этапов: обычного параллельного переноса в соседнюю точку и последующего проектирования вектора на касательную плоскость в новой точке. Итак, объяснив, что надо делать, предлагаем читателям малыми шажками совершить параллельный перенос вектора по путям ABC и AC. Если все будет сделано правильно, то в точке C два вектора, получившиеся параллель-

ным переносом по двум разным путям, не совпадут, причем угол между векторами в точке C будет равен $\pi/2$. Очевидно, в плоском пространстве такое невозможно, соответствующий угол всегда равен нулю.

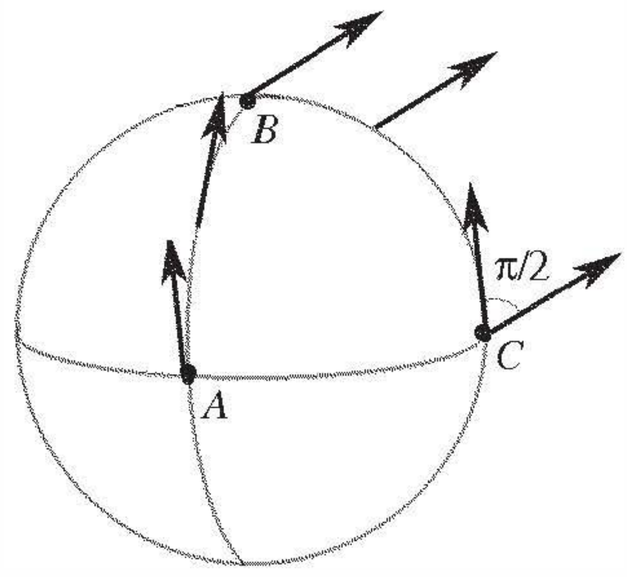


Рис. 32-3. Параллельный перенос по двум путям на поверхности сферы: *а* — перенос по пути ABC; *б* — перенос по пути AC; *в* — в точке C два вектора оказываются повернутыми относительно друг друга на $\pi/2$

Великий немецкий математик Карл Фридрих Гаусс (1777–1855) понял связь между углом поворота вектора при его параллельном переносе по замкнутому пути в пространстве и кривизной этого пространства. В общем случае кривизна пространства разная в разных точках, поэтому следует рассматривать параллельный перенос по замкнутому бесконечно малому контуру. В простейшем же случае *пространства постоянной кривизны* (очевидно, что двумерная поверхность сферы искривлена везде одинаково) справедлива формула:

$$\Delta\varphi = KS,$$

где $\Delta\varphi$ — угол поворота вектора при параллельном переносе по замкнутому контуру, S — охватываемая при таком переносе площадь поверхности (в нашем случае $S = 4\pi R^2/8 = \pi R^2/2$), а величина K называется *гауссовой кривизной поверхности*. Простое вычисление показывает, что для двумерной поверхности сферы $K = 1/R^2$, причем, очевидно, $K \to 0$ при $R \to \infty$, так что в этом пределе восстанавливается евклидово свойство $\Delta\varphi = 0$ при параллельном переносе векторов.

В общем случае Гаусс и позднее другой великий немецкий математик Бернгард Риман (1826–1866) выразили кривизну произвольного пространства через коэффициенты g_{ik}, т. е. через метрику этого пространства. Более того, Гауссу удалось доказать, что если пространство (например, ту же поверхность двумерной сферы) произвольно изгибать, мять и т. п., не делая при этом разрывов (или, как говорят, изометрически деформировать), то гауссова кривизна пространства в каждой его точке не меняется. Эта замечательная теорема, утверждающая, что кривизна пространства определяется только его внутренними свойствами, а не тем, как это пространство выглядит извне, настолько поразила самого Гаусса, что он назвал ее *theorema egregium* (прекраснейшей теоремой).

Однако все это пока лишь математика* , и неясно, каким образом она пригодилась Эйнштейну для формулировки уравнений тяготения. Для понимания этого следует напомнить, что в рамках ОТО всякое физическое событие представляет собой мировую точку, т. е. характеризуется четырьмя координатами — тремя пространственными x, y, z и временной координатой t, — образующими *пространство Минковского*. Квадрат расстояния между двумя мировыми точками, характеризующими два события, равен

$$(ds)^2 = c^2(dt)^2 - (dx)^2 - (dy)^2 - (dz)^2 = \\ = (dx_0)^2 - (dx)^2 - (dy)^2 - (dz)^2,$$

* Хотя, например, сам Риман проницательно отмечал, что выбор «правильной» метрики реального пространства (о времени тогда речь еще не шла) является вопросом уже не математики, но физики.

и особенностью этого выражения является то, что оно не меняется при переходе от одной инерциальной системы отсчета к другой (инвариантно относительно преобразований Лоренца).

Геометрически пространство Минковского отличается от пространства Евклида, что выражает существенную разницу между пространством и временем. Но одно свойство у них общее: оба эти пространства *плоские*, не имеют кривизны, и отражается это в том, что коэффициенты при квадратах разностей координат в выражении для $(ds)^2$ постоянны. Основной постулат ОТО заключается в том, что гравитационное поле, вызванное присутствием материи в пространстве, математически описывается заменой метрики «плоского» пространства Минковского на общую метрику четырехмерного пространства. Эта метрика имеет вид

$$(ds)^2 = g_{ik}(x)\,dx^i\,dx^k, \quad i,k = 0,1,2,3$$

с коэффициентами $g_{ik}(x)$, зависящими от точки x и симметричными по индексам i и k (в приведенной формуле подразумевается суммирование по всем дважды повторяющимся индексам). Если в плоском пространстве-времени кратчайшей линией, соединяющей две точки, является прямая, то в искривленном пространстве-времени кратчайшей линией будет *геодезическая* (на поверхности сферы геодезическая есть часть большого круга, проведенного через эти две точки).

§ 4. Структура уравнений ОТО. Простейшие решения

Уравнения ОТО представляют собой уравнения гравитационного поля, создаваемого заданным распределением материи. В качестве неизвестных в эти уравнения входят коэффициенты $g_{ik}(x)$ (нетрудно подсчитать, что в силу симметрии метрического тензора относительно перестановки индексов общее число их равно 10). Источниками гравитационного поля являются не только (и не столько) массы тел, сколько энергия и импульс материи всех видов. Уравнения ОТО общековариантны, т. е. не изменяют своего вида при произвольных преобразованиях координат $x'^i = f^i(x^0, x^1, x^2, x^3)$.

Решить уравнения ОТО — означает найти все коэффициенты $g_{ik}(x)$, т. е. определить метрику пространства-времени при наличии заданного распределения материи. Необходимо подчеркнуть, что уравнения ОТО *нелинейны*. Дело в том, что гравитационное поле обладает энергией и, следовательно, вносит вклад в правую часть тех уравнений, которые определяют метрику пространства, т. е. само гравитационное поле. Таким образом, это поле определяет само себя.

Нелинейность уравнений ОТО необычайно осложняет их решение, поэтому точные решения известны лишь для небольшого числа случаев. Заметим еще, что метрические коэффициенты $g_{ik}(x)$ зависят как от пространственных координат, так и от времени. Поэтому гравитационное поле имеет динамическую природу, т. е. при определенном выборе временной координаты метрические коэффициенты определяют изменение со временем метрики трехмерного физического пространства. Ниже мы приведем без доказательства вид некоторых метрик пространства-времени.

1. Метрика в слабом статическом гравитационном поле неподвижного массивного тела (ньютоновское приближение)

$$ds^2 = \left(1 - \frac{r_g}{r}\right)c^2dt^2 - (dx)^2 - (dy)^2 - (dz)^2.$$

Здесь $r_g = 2GM/c^2$ — введенный в гл. 30 гравитационный радиус тела массой M, создающего гравитационное поле.

2. Метрика вокруг массивной неподвижной звезды с центрально-симметричным распределением материи (решение Шварцшильда, 1916 г.)

$$ds^2 = \left(1 - \frac{r_g}{r}\right)c^2dt^2 - \frac{1}{\left(1 - \frac{r_g}{r}\right)}dr^2 - r^2(d\theta^2 + \sin^2\theta d\varphi^2).$$

Следует подчеркнуть, что несмотря на внешнюю схожесть координат r, θ, φ с обычными сферическими координатами, они не являются таковыми. Геометрия пространства, описываемого метрикой Шварцшильда, неевклидова. При фиксированных значениях θ и φ изменение радиальной координаты не просто равно $(dr)^2$, а растянуто в $(1 - r_g/r)$ раз. Обращаем внимание на то, что при $r = r_g$ коэффициенты метрики Шварцшильда сингулярны (т. е. обращаются либо в нуль, либо в бесконечность). Но эта сингулярность нефизическая, а связана с данным выбором координат. Можно ввести другие координаты, в которых такая кажущаяся сингулярность исчезает.

3. Метрика однородной и изотропной Вселенной, или космологическая метрика,

$$ds^2 = c^2dt^2 - a^2(t)\left[\frac{dr^2}{1 - Kr^2} + r^2(d\theta^2 + \sin^2\theta d\varphi^2)\right],$$

$$K = +1, 0, -1,$$

где r — безразмерная радиальная координата, $a(t)$ — масштабный фактор.

Согласно космологическому принципу (см. ниже § 9) плотность материи во Вселенной является только функцией времени. Это означает, что пространственное распределение материи обладает высокой степенью симметрии (однородно и изотропно), и потому метрика пространства, в котором реализуется такое распределение, также является симметричной. Оказывается, что все сферически симметричные пространства любой размерности можно разбить на три группы, отличающиеся значением одинаковой во всех точках гауссовой кривизны:

— пространства постоянной положительной кривизны $K = 1$;

— пространства нулевой кривизны $K = 0$ (евклидовы пространства);

— пространства постоянной отрицательной кривизны $K = -1$.

Во избежание недоразумений следует подчеркнуть, что пространство постоянной положительной кривизны имеет конечный объем, но не имеет границ (наверное, об этом могли бы рассказать плоские существа, «живущие» на поверхности сферы). Когда говорят о замкнутой Вселенной, имеют в виду, что трехмерная геометрия такой Вселенной аналогична геометрии трехмерной сферы. Чтобы понять это утверждение, требуется некоторое воображение. На помощь приходит аналогия со знакомой всем поверхностью шара в трехмерном пространстве, представляющей собой двумерную сферу.

§ 5. Проверна принципа эквивалентности

Кратко обсудим вопрос о проверке ОТО в земных условиях.

Прямая проверка слабого ПЭ заключается в сравнении ускорений двух тел разного состава, падающих во внешнем гравитационном поле. Если принцип неверен, то ускорения тел будут разными. Еще Ньютон проверял ПЭ в опытах с маятниками. К настоящему времени

наиболее точные результаты получены в опытах Р. Дикке (США) 1960-х гг. и самом точном до сих пор эксперименте В. Брагинского из МГУ в 1972 г. Идея этих опытов восходит к классическим экспериментам венгерского физика Р. фон Этвеша (1848–1919), в которых на концах металлического стержня укреплялись массивные шары из сильно различающихся по плотности материалов (например, алюминия и платины), а сам стержень с шарами подвешивался горизонтально на тонкой нити, прикрепленной в центре масс системы* . Если шары ускоряются по-разному за счет притяжения к удаленному телу (в данном случае к Солнцу), стержень будет закручиваться в течение дня в одну сторону, а ночью, когда Солнце «внизу», в другую сторону. Ни в одном из опытов не было обнаружено никакого закручивания, причем в опытах Брагинского равенство ускорений было проверено с относительной точностью 10^{-12}.

Другой важнейший тест — измерение гравитационного красного смещения. Эйнштейн рассматривал измерение этого смещения как тест ОТО, но оказалось, что это есть проверка более общего утверждения о справедливости ПЭ и о кривизне пространства-времени. В типичном эксперименте измеряется сдвиг частоты света, испущенного покоящимся в момент испускания источником и принятого покоящимся приемником, находящимся в гравитационном поле. Пусть кабина лифта длиной h начинает свободно падать в гравитационном поле одновременно с испусканием света источником на потолке в сторону пола. Согласно ПЭ сигналу потребуется время $\Delta t = h/c$, чтобы достичь пола, но за это время пол приобретет скорость $\Delta v = gh/c$ относительно стен шахты лифта. При этом *внутри* кабины наблюдатель не зафиксирует никакого изменения частоты испущенного света.

Рассмотрим теперь покоящегося наблюдателя вне кабины лифта на расстоянии h от точки испускания света (маленьким расстоянием, пройденным полом кабины за время Δt, можно пренебречь). Этот наблюдатель движется со скоростью Δv навстречу волне частоты ν. В результате возникает *доплеровское смещение*, определяющееся известной формулой:

$$(\nu + \Delta\nu)/\nu = 1 + \Delta v/c = 1 + gh/c^2,$$
$$\text{или } \Delta\nu/\nu = gh/c^2.$$

Произведение gh равно изменению гравитационного потенциала $\Delta\varphi$ на расстоянии h. Поэтому окончательно сдвиг частоты определяется формулой

$$\Delta\nu/\nu = \Delta\varphi/c^2 = (\varphi_2 - \varphi_1)/c^2.$$

Если $\Delta\varphi > 0$, то сдвиг частоты происходит в область больших частот (в голубую сторону). Стандартное название эффекта: *гравитационное красное смещение*, так как оно наблюдается при измерении спектров излучения далеких звезд. В этом случае излучение испускается из области с очень высоким гравитационным потенциалом, а принимается на Земле, где гравитационный потенциал невелик. Поэтому $\Delta\varphi < 0$ и сдвиг происходит в область меньших частот. Не следует путать этот эффект с тем красным (или голубым) смещением спектральных линий, которое возникает из-за движения звезд и галактик относительно Земли.

---

* Этот прибор называется весами Кавендиша. Именно с его помощью английский физик Генри Кавендиш (1731–1810), работавший в Кембридже, проводил проверку закона всемирного тяготения Ньютона и дал первое экспериментальное значение гравитационной постоянной.

Первые лабораторные измерения эффекта гравитационного красного смещения были осуществлены в 1960–1965 гг. в серии экспериментов американских физиков Паунда, Ребки и Снайдера. Им удалось измерить сдвиг частоты фотонов от распада ^{57}Fe, испускавшихся с вершины башни высотой примерно 20 м. Высокая точность измерений была достигнута благодаря использованию *эффекта Мессбауера*, за счет которого можно было добиться испускания очень узкой резонансной линии, сдвиг частоты которой можно было точно измерить. В опытах была достигнута точность 1%.

Но самый точный опыт по измерению гравитационного красного смещения — эксперимент Гарвардского университета совместно с НАСА — состоялся в июне 1976 г. Очень точные атомные часы были запущены ракетой до высоты порядка 10 000 км. Частота этих часов сравнивалась с частотой их копии, оставшейся на Земле. С помощью довольно сложной техники были исключены все эффекты, связанные со скоростью движения ракеты (обычный доплеровский сдвиг). В результате теоретические предсказания подтвердились с относительной точностью 10^{-5}.

Итак, убедительное подтверждение справедливости ПЭ практически исключает возможность появления теорий тяготения, основанных на каких-то иных принципах, не связывающих тяготение с геометрией. Но это, конечно, не исключает существования разных вариантов метрических теорий тяготения. По общему убеждению, теория Эйнштейна — самая красивая и законченная из них, но это не должно останавливать экспериментаторов все более тщательно проверять те следствия ОТО, которые присущи только ей и отсутствуют в альтернативных теориях.

§ 6. Как оценить масштаб эффектов ОТО?

Один из важнейших параметров, характеризующих масштаб эффектов ОТО, — это гравитационный радиус тела r_g. О нем шла речь в § 7 гл. 30.

Другим важным безразмерным параметром является безразмерное отношение φ/c^2, где $\varphi = -GM/r$ — потенциал статического гравитационного поля на расстоянии r от точечной массы M.

Приведем численные значения этих параметров для Земли и Солнца.

$$r_{g\oplus} = 0{,}88 \text{ см}, \ (\varphi/c^2)_\oplus = 10^{-8};$$

$$r_{g\odot} = 2{,}97 \text{ км}, \ (\varphi/c^2)_\odot = 10^{-5}.$$

Зная такие параметры для конкретных небесных тел, можно оценить величину ожидаемого эффекта. Например, выше было сказано, что сдвиг частоты света, испущенного из области более высокого гравитационного потенциала и принятого на Земле, пропорционален разности $(\varphi_2 - \varphi_1)/c^2$. Максимальный гравитационный потенциал на поверхности (среди ярко светящихся тел) имеют белые карлики ($\varphi/c^2 = 10^{-3}$), так что этой величиной и определяется максимально наблюдаемый относительный сдвиг частоты.

При прохождении света вблизи поверхности Солнца луч отклоняется на определенный угол. Оценку этого угла легко сделать, так как единственный параметр размерности длины — гравитационный радиус Солнца $r_{g\odot}$, следовательно, порядок угла отклонения (безразмерная величина) равен отношению $r_{g\odot}/d$, где d — минимальное расстояние сближения луча с Солнцем. По порядку величины d равно радиусу Солнца 700 000 км, а гравитационный радиус Солнца равен 3 км, так что угол отклонения составляет величину порядка $2{,}3 \cdot 10^{-5}$ рад.

§ 7. Классические тесты ОТО

К ним относятся:

а) гравитационное красное смещение (как объяснено в § 5, эффект гравитационного красного смещения не является тестом собственно ОТО, а подтверждает ПЭ);

б) отклонение луча света при прохождении его вблизи массивного тела;

в) задержка светового сигнала;

г) прецессия орбиты Меркурия.

Отклонение луча света (рис. 32-4).

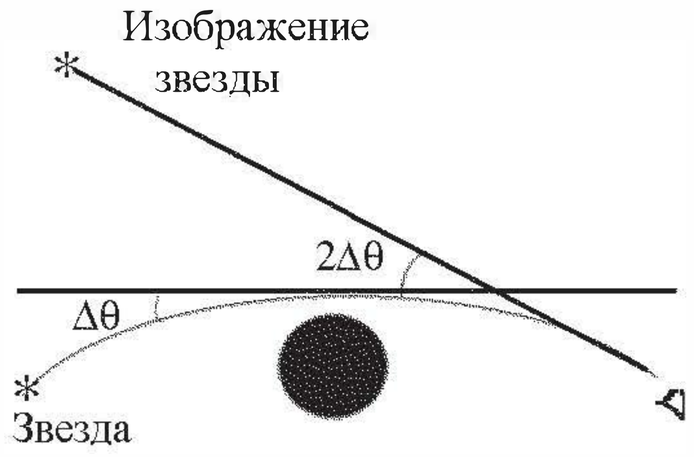


Рис. 32-4. Отклонение света далекой звезды Солнцем на угол $2\Delta\theta$. Расстояние наибольшего сближения d измеряется в единицах радиуса Солнца

Именно этот тест «в один миг» сделал Эйнштейна всемирно знаменитым. Это случилось после того, как были опубликованы результаты измерений отклонения луча света во время полного солнечного затмения 1919 г. (экспедиция А. Эддингтона). Величину угла отклонения, предсказываемую разными теориями тяготения, принято записывать в виде

$$\Delta\theta = (1/2)(1 + \gamma)1{,}75''/d,$$

где расстояние d измерено в единицах радиуса Солнца. Если верна ОТО, тогда параметр $\gamma = 1$. Во всех остальных теориях, конкурирующих с ОТО, величина γ меняется в широких пределах, но не равна единице. На самом деле даже в рамках ньютоновской теории тяготения можно вычислить отклонение луча света в поле массивного тела, считая, что свет представляет поток частиц с ненулевой массой, и устремив скорость этих частиц к скорости света. Тогда величина $\Delta\theta$ получается равной ровно половине от предсказываемого ОТО значения, что соответствует $\gamma = 0$. Это же верно и в любой метрической теории тяготения. Таким образом, в выражении для $\Delta\theta$ коэффициент 1/2 есть универсальное для всех теорий следствие ПЭ, а коэффициент $\gamma/2$ меняется от теории к теории и для ОТО равен 1/2.

Первые измерения Эддингтона и Кроммелина в 1919 г. имели точность 30 % и последующие наблюдения полных солнечных затмений улучшили ее не намного. Развитие интерферометрии с длинной базой (см. § 4 гл. 23) позволило резко увеличить точность измерений отклонения света. Суть метода заключается в том, чтобы наблюдать один и тот же источник на небе с помощью двух максимально удаленных друг от друга радиотелескопов. Тогда направление на источник может быть измерено по разности фаз сигнала, принимаемого разными телескопами. Современная радиоинтерферометрия позволяет измерять различия в углах меньшие, чем 10^{-4} угловых секунды.

Кроме того, астрономам «повезло»: каждый год одна и та же группа квазаров (очень удаленных ярких источников) проходит рядом с Солнцем (с точки зрения наблюдателя на Земле). Серия измерений, начавшихся в конце 60-х гг. и продолжавшаяся до 1975 г., давала все более точные значения коэффициента $(1 + \gamma)/2$, который, по последним измерениям, оказался равен $1{,}00 \pm 0{,}01$. В 1980-х гг. была развита методика радиоинтерферометрии со сверхдлинной базой

(в этом случае один из радиотелескопов помещается на космическом аппарате). В результате точность измерений угла отклонения света увеличилась настолько, что теперь можно зарегистрировать этот эффект для источника, находящегося под углом 90° к направлению на Солнце (угол отклонения в этом случае составляет всего одну тысячную долю угловой секунды).

Задержка светового сигнала (рис. 32-5)

За два десятилетия с момента открытия этого эффекта техника прогрессировала, и сейчас достигнута очень высокая точность измерений. Величину задержки сигнала можно записать в виде:

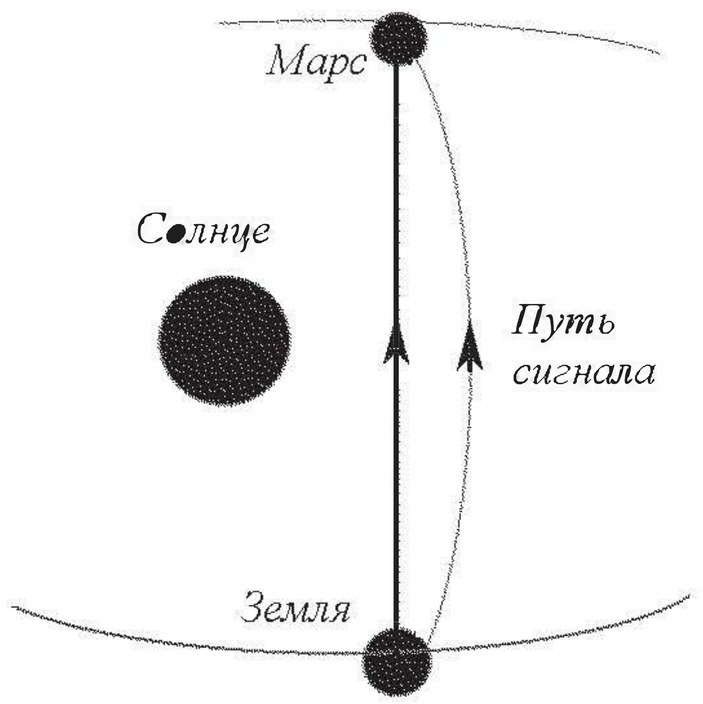


Рис. 32-5. Схема эксперимента по измерению задержки светового сигнала. Мишень (планета или космический аппарат) движется по траектории по другую сторону от Солнца по сравнению с Землей. С Земли периодически посылается радиосигнал, который отражается от мишени и принимается детектором на Земле. Чем ближе к Солнцу проходит сигнал на своем пути до мишени и обратно, тем больше он задерживается с обратным прибытием. Например, путь сигнала до Марса и обратно занимал примерно 42 мин, а задержка была равна примерно 200 мкс. Наглядно причину задержки можно объяснить увеличением пути сигнала. Однако это объясняет только часть эффекта. Другая часть связана с изменением темпа хода часов в гравитационном поле

$$\Delta t = \frac{1+\gamma}{2} 250\left(1 - 0{,}16 \ln d\right) \text{ мкс},$$

где d — расстояние, измеренное в радиусах Солнца, а значение $\gamma = 1$ соответствует ОТО. Последние измерения дают $\gamma = 1{,}00 \pm 0{,}001$.

Прецессия перигелия Меркурия (рис. 32-6)

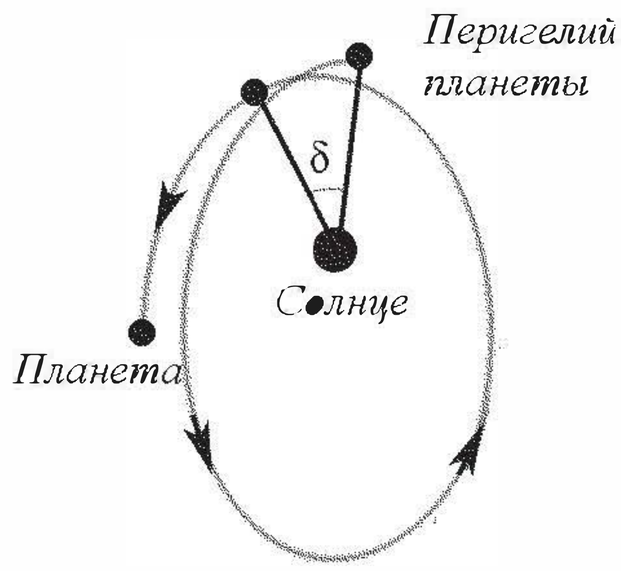


Рис. 32-6. Прецессия перигелия Меркурия. Точка наибольшего сближения Меркурия с Солнцем, перигелий, каждые 100 лет уходит вперед на 574″. Из этой величины 531″ обусловлена влиянием тяготения других планет, прежде всего Венеры, Земли и Юпитера. Остающаяся разница в 43″ за столетие объясняется общей теорией относительности

Впервые о наличии расхождения между расчетами на основе ньютоновской механики и наблюдениями объявил в 1859 г. известный французский астроном Леверье. На протяжении всей второй половины XIX в. предлагались различные гипотезы для объяснения этого расхождения, в том числе существование новой планеты Вулкан, столь же близкой к Солнцу, как и Меркурий, наличие кольца астероидов — обломков ранее существовавшей планеты, отклонение от закона обратных квадратов в законе тяготения Ньютона и т. п. В первые же дни после того, как были написаны окончательные уравнения ОТО, Эйнштейн применил их для вычисления аномальной прецессии Меркурия и получил правильную цифру.

Сильный принцип эквивалентности

Существует целый класс тестов метрических теорий тяготения, аналогичных тесту эйнштейновского принципа эквивалентности. Этот ПЭ утверждает, что гравитационное поле «исчезает» в любой достаточно малой области пространства в системе отсчета, свободно падающей в гравитационном поле, так что в этой области выполняются законы специальной теории относительности. Но можно сформулировать и *сильный* ПЭ, утверждающий, что не только тела лабораторных размеров, но и планеты и звезды *с учетом их собственной гравитационной энергии связи* должны падать с одинаковым ускорением во внешнем гравитационном поле.

Более того, в свободно падающей системе отсчета достаточно больших размеров, чтобы уместить звезду или планету, законы гравитации, равно как и все законы негравитационной физики, должны быть независимы от скорости и расположения этой системы отсчета по отношению ко всем другим телам во Вселенной. Такой принцип много сильнее эйнштейновского ПЭ, и, насколько известно, он выполняется *только* в рамках ОТО, а во всех других известных метрических теориях тяготения в той или иной степени нарушается. Таким образом, тесты сильного ПЭ есть одновременно и важные тесты ОТО.

Впервые на возможность того, что в разных метрических теориях гравитационно связанные тела могут падать с разными ускорениями, указал в 1968 г. К. Нордведт. Наилучший на сегодня тест «эффекта Нордведта» заключается в проверке того, падают ли Земля и Луна на Солнце с одинаковым ускорением (в ОТО должно быть строгое равенство). Таким образом, это есть некий планетарного масштаба вариант опыта Этвеша. Если бы разница в ускорениях существовала, то возникало бы кажущееся удлинение лунной орбиты в направлении линии Земля – Солнце.

Проверку равенства ускорений удалось осуществить после того, как Нейл Армстронг установил на поверхности Луны лазерный отражатель. Позднее это было сделано и советской автоматической станцией. Это позволило (и позволяет) установить расстояние до Луны с точностью до 30 см (!). Сравнение истинных размеров лунной орбиты с предсказаниями теории с учетом эффекта Нордтведта показало, что такого эффекта нет с точностью до 10^{-12} (т. е. с той же точностью, с которой ПЭ проверен в земных лабораториях). Таким образом, ОТО выдержала этот тест блестяще.

Другим важным следствием сильного ПЭ является строгое постоянство гравитационной постоянной G вне зависимости от условий окружающей среды. Существуют очень точные измерения независимости G от вращения Земли по отношению к системе покоя центра масс Галактики, а также независимости от направления на какое-то конкретное скопление вещества. Эти и ряд других наблюдений в совокупности приводят к следующему результату: если G и меняется со временем, то относительное изменение не больше, чем 10^{-11} за один год.

Прецессия волчка

Еще один эффект, предсказываемый ОТО, известен теоретически очень давно, но только в 2004 г. запущен спутник с соответствующим оборудованием на борту. Из-за чрезвычайной трудности эксперимента подготовка к нему длилась 40 лет. Речь идет фактически о двух связанных друг с другом эффектах. Пусть волчок (гироскоп) запущен на орбиту вокруг Земли. Так как пространство-вре-

мя в окрестности Земли искривлено ее гравитационным полем, это приводит к медленной прецессии оси вращения гироскопа, иными словами, после каждого полного оборота вокруг Земли ось вращения немного отклоняется от своего первоначального положения. Можно качественно оценить величину угла отклонения: если радиус орбиты, по которой вращается гироскоп, порядка r, то угол отклонения порядка $r_{g\oplus}/r$, где $r_{g\oplus} = 0{,}88$ см — гравитационный радиус Земли. Правда, эффект накапливается, так что, если заставить гироскоп совершить несколько тысяч оборотов вокруг Земли, можно увеличить угол прецессии на несколько порядков. Второй эффект (называемый эффектом Лензе—Тирринга) возникает из-за вращения Земли вокруг своей оси и «увлечения» за собой других тел (численно этот эффект на два порядка меньше первого, хотя оба эти эффекта связаны друг с другом).

Гравитационные волны

Существование гравитационных волн [периодических малых изменений метрических коэффициентов $g_{ik}(x)$ в пространстве и времени] очевидно с точки зрения принципов теории относительности. Никакие изменения гравитационного поля не могут распространяться с бесконечной скоростью, так как это нарушает принип лоренц-инвариантности. Более того, подобные изменения не могут передаваться со скоростью, большей скорости света, поскольку это нарушило бы причинный ход событий. Так как скорость света в вакууме — единственная скорость, не меняющаяся при переходе от одной инерциальной системы отсчета к другой, следует ожидать, что малые искажения гравитационного поля будут распространяться в виде волн со скоростью света.

Возбудить гравитационную волну в принципе несложно. Для этого достаточно изменить конфигурацию гравитационного поля, например, бросить камень на поверхности Земли с одного места на другое. Такое изменение не может произойти внезапно во всех точках пространства, а информация о нем начнет распространяться со скоростью света. Таким образом, процесс перестройки гравитационного поля будет распространяться в пространстве и во времени в форме гравитационной волны.

Формальные свойства таких волн вытекают из уравнений ОТО, если совершить в них предельный переход к случаю малых искажений метрики пространства-времени. Оказывается, что гравитационные волны во многом схожи с электромагнитными. Проще всего сравнить эти волны, пользуясь квантовыми представлениями. Кванты электромагнитных волн — фотоны — являются безмассовыми частицами со спином 1 и могут находиться в двух состояниях поляризации: у правополяризованного фотона спин направлен по импульсу, у левополяризованного — против импульса. Кванты гравитационных волн — гравитоны — являются безмассовыми частицами со спином 2 и такими же двумя поляризациями.

Источниками монохроматических гравитационных волн являются любые системы масс с периодически изменяющимся квадрупольным моментом. Идеальным квадруполем является система, состоящая из двух равных масс, связанных пружинкой (рис. 32-7). Такой квадруполь несложно создать в лаборатории, однако интенсивность излучения гравитационных волн будет исчезающе мала и недоступна наблюдениям. Реальной системой, которая может существовать в природе, является система двух различных масс, вращающихся по круговым

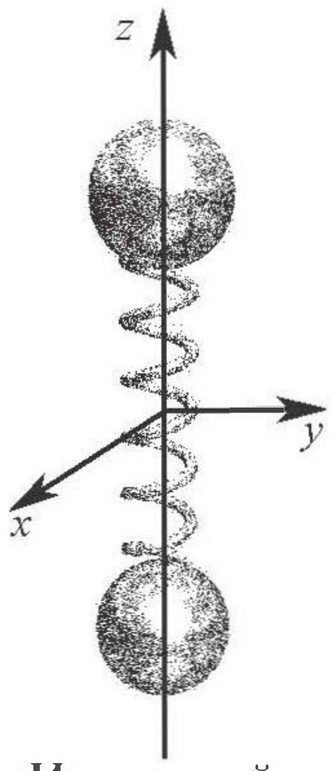


Рис. 32-7. Идеальный квадруполь

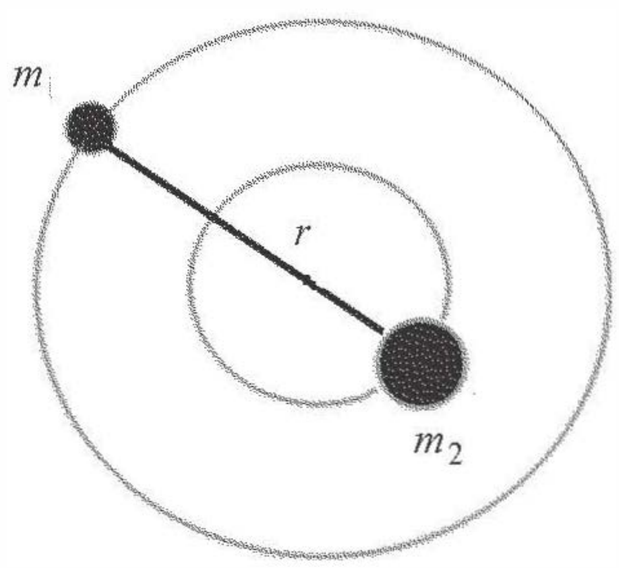


Рис. 32-8. Две сферические массы на круговых орбитах относительно общего центра масс

орбитам вокруг общего центра масс (рис. 32-8).

Самым сложным вопросом является регистрация гравитационных волн в лабораторных условиях. Реальные источники таких волн — двойные звезды, сверхновые, пульсары, черные дыры — порождают гравитационное излучение, частота которого может меняться в широких пределах от 10^{-8} до 10^{8} Гц. Падающий на Землю поток гравитационного излучения от наиболее мощных источников не превышает 10^{-10} эрг/(см^2·с), т. е. ничтожно мал. Но самое главное то, что невообразимо малы те эффекты, которые вызывает гравитационная волна и которые следует тем или иным образом зарегистрировать. При падении гравитационной волны на детектор (им обычно является массивное тело) в последнем возникают малые деформации, пропорциональные амплитуде волны. Типичный размер таких деформаций составляет 10^{-20} от характерного размера детектора, т. е. много меньше размеров ядер атомов. Тем не менее с помощью техники интерферометрии планируется регистрировать относительные изменения длины детектора с точностью до 10^{-22}.

К сожалению, до сих пор не удалось непосредственно зарегистрировать земными приборами гравитационные волны, приходящие от какого-то источника на небе. Тем не менее считается, что эти волны обнаружены в полном соответствии с теоретическими предсказаниями ОТО. Дело в том, что еще в 1974 г. с помощью радиотелескопа в Аресибо (Мексика) был обнаружен двойной пульсар PSR 1913+16. Эта система состоит из пульсара (быстро вращающейся нейтронной звезды, испускающей периодические радиоимпульсы), вращающегося по орбите вокруг второй звезды (которая не видна). Современная техника позволяет измерять частоту излучения пульсара с огромной точностью (десять значащих цифр).

Было обнаружено, что частота излучения пульсара периодически изменяется, что связано с доплеровским эффектом, возникающим за счет вращения пульсара по орбите вокруг невидимого компаньона. Из-за этого вращения пульсар то приближается, то удаляется от нас с определенной скоростью, что и вызывает смещение частоты сигнала. Тщательный анализ всех данных позволил, во-первых, установить значения масс обоих компонентов двойного пульсара (1,42 и 1,40 масс Солнца) и расстояния между ними (700 тыс. км), во-вторых, измерить скорость изменения периода обращения одной звезды вокруг другой (оказалось, что период меняется на $2{,}4\cdot10^{-12}$ с за 1 с).

Это изменение может быть вызвано тем, что система теряет энергию за счет гравитационного излучения. Соответствующая формула для интенсивности гравитационного излучения была выведена еще А. Эйнштейном. Если подставить в нее установленные из наблюдений значения параметров системы, то для изменения периода получается значение $2{,}38 \cdot 10^{-12}$ с за 1 с, что совпадает с наблюдениями с точностью до 1 %.

Эти выводы укрепились после открытия в 1991 г. аналогичного по свойствам двойного пульсара PSR 1524+12. Таким образом, наблюдения двойных систем рассматриваются как неопровержимое, хотя и косвенное, доказательство существования предсказываемых ОТО гравитационных волн.

Гравитационные линзы

В последнее время резко усилился интерес к изучению эффектов *гравитационного линзирования* (рис. 32-9). Механизм линзирования далеких объектов звездами и галактиками, лежащими на луче зрения (или близко к нему), был подробно рассмотрен советским астрофизиком Г. А. Тиховым в 1935 г. и А. Эйнштейном в 1936 г., хотя обсуждение этого эффекта на качественном уровне проводились и ранее (О. Лодж, А. Эддингтон, О. Д. Хвольсон).

Чтобы понять, как действует гравитационная линза (далее гравлинза), следует еще раз напомнить, что тяготение испытывают все формы энергии, в том числе и свет. Если на пути света от далекого источника расположено (пусть даже невидимое) массивное тело, оно будет притягивать к себе свет. Гравлинза действует так же, как собирающая оптическая линза (§ 4 гл. 23): она фокусирует свет, давая более четкое и яркое изображение далекого объекта.

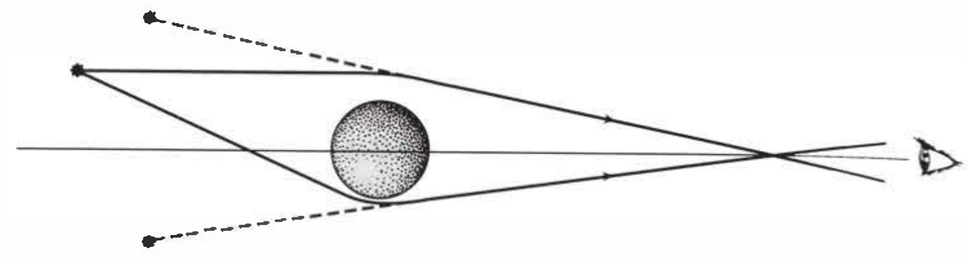


Рис. 32-9. Массивное тело действует как гравитационная линза, отклоняя свет от источника. В отличие от оптической линзы, гравлинза отклоняет лучи света тем меньше, чем дальше от центра линзы они проходят. Поэтому у гравлинзы нет точно определенного фокусного расстояния и возникает много изображений источника

Однако есть и существенные различия. В то время как оптическая линза действует только на световые лучи (и некоторую часть инфракрасных и ультрафиолетовых), совершенно не влияя на жесткое ультрафиолетовое, рентгеновское и гамма-излучение (по этой причине нет фокусирующих приборов для очень коротких волновых лучей), гравлинза одинаково успешно «работает» в любых диапазонах электромагнитного спектра: от радиоволн до гамма-лучей, а также действует на потоки нейтрино или других проникающих частиц, если таковые имеются. В этом смысле гравитационные телескопы универсальны, и их применение будет со временем расти и шириться.

Другое важное отличие — в иной зависимости угла отклонения света, проходящего на разных расстояниях от центра гравлинзы. Оптическая линза формирует четкий фокус: на расстоянии F от ее центра пересекаются все лучи параллельного пучка (бесконечно далекий источник). Это происходит потому, что более далекий от центра оптической линзы луч света отклоняется сильнее. Гравлинза, наоборот, отклоняет лучи тем меньше, чем дальше от центра линзы они проходят. Изображение, даваемое гравлинзой, более сложное. Вместо точечного фокуса она образует фокальную полуось, т. е. более размытое изображение объекта

в любом месте по оси, начиная от некоторого минимального, определяемого параметрами линзы, и сходящийся лучевой конус (каустику), сечение которого фокальной плоскостью представляет окружность — знаменитое «кольцо Эйнштейна». В случае когда гравлинза смещена от линии объект – наблюдатель (что бывает очень часто на практике), «кольцо» разрывается и вместо него возникает несколько изображений (миражей) фокусируемого объекта.

Роль гравлинзы могут играть и звезды (микролинзы), и галактики (макролинзы). Объектами наблюдения в последнем случае будут галактики, расположенные еще дальше от Земли за линзирующим телом, или квазары. Исторически сначала было обнаружено гравитационное макролинзирование, а уж потом, сравнительно недавно, и микролинзирование звезд нашей и ближних галактик на компактных объектах в гало и диске Галактики.

Конечно, явление гравитационного микролинзирования не является количественной проверкой ОТО. Тем не менее эффект отклонения света гравитационным полем получил здесь еще одно подтверждение, а гравлинзы вскоре могут превратиться в один из важных «приборов» для исследования темной материи, т. е. тех форм материи, которые не регистрируются по своему электромагнитному излучению.

Резюмируя, можно сказать, что наблюдения согласуются со «стандартной» теорией тяготения — общей теорией относительности Эйнштейна. ОТО блестяще выдерживает все испытания на прочность. В настоящее время не существует ни одной другой теории тяготения, которая могла бы сравниться с ОТО по своей предсказательной силе. Принцип эквивалентности проверен с относительной точностью 10^{-12}, эксперименты внутри Солнечной системы подтверждают выводы ОТО в приближении слабого поля с точностью 10^{-3}. При наблюдении двойных пульсаров проверяются предсказания о существовании гравитационных волн с точностью 10^{-3}. Найдены очень убедительные доказательства существования черных дыр.

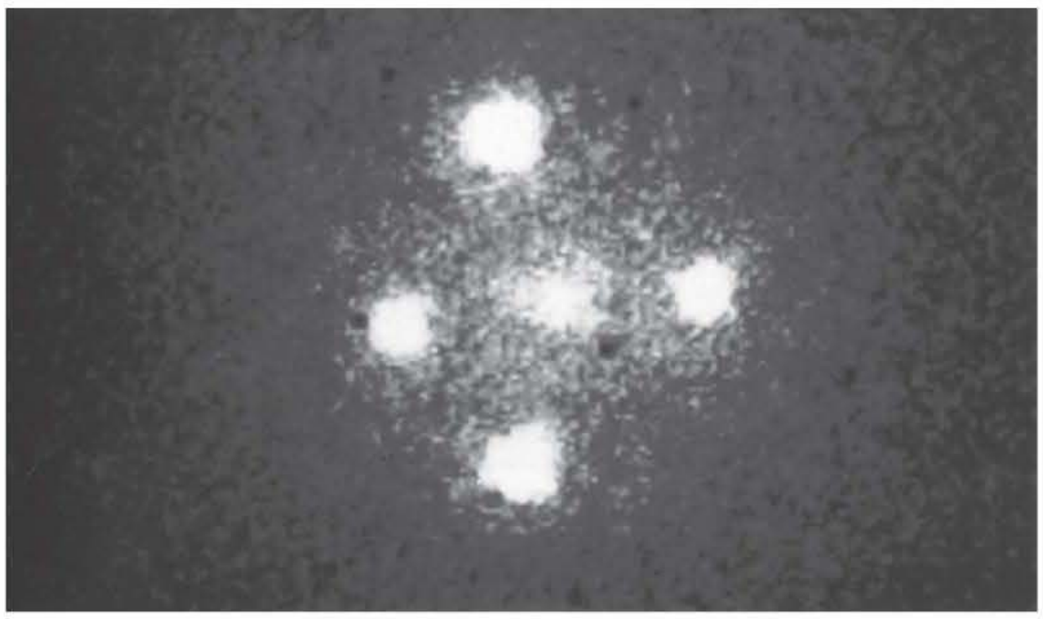


Рис. 32-10. Оптическое изображение квазара Q2237+031, называемое крестом Эйнштейна. Получено с помощью телескопа Хаббл. Четыре изображения квазара окружают центральное, более слабое, изображение галактики, действующей как гравитационная линза (F. D. Macchetto, NASA/ESA)

В ближайшем будущем готовится ряд важных экспериментов. Уже упоминалось о запуске в 2004 г. гироскопа на орбиту спутника Земли, что позволит улучшить точность проверки предсказаний ОТО в слабом поле сразу на два порядка, доведя ее до 10^{-5}. Планируется запуск космического корабля, на котором будет осуществлена проверка принципа эквивалентности с точностью до 10^{-18} (улучшение сразу на шесть порядков величины). Наконец, планируется непосредственно зарегистрировать гравитационные волны на Земле с помощью лазерных интерферометров с километровой базой.

§ 8. Основные положения современной космологии

Земля вместе с ее обитателями летит по «стреле времени» из прошлого в будущее. Уже несколько тысячелетий наиболее

пытливые умы человечества пытаются узнать, как возникла наша Вселенная и что ожидает ее через миллиарды лет. Возможно, попытка разгадать тайну рождения Вселенной — самый увлекательный из всех вызовов, которые Природа ставит перед Разумом.

Одно решение этой проблемы предлагает христианская религия: мир был создан по воле Творца. Даже если согласиться с этим, такое решение не дает ответа на вопрос, когда и почему произошел момент творения, возник ли наш мир сразу в том виде, какой мы сейчас наблюдаем, или он прошел долгий путь эволюции.

Возможность не привлекать сверхъестественные силы для объяснения происхождения Вселенной как целого появилась сравнительно недавно. Для этого потребовалось создать современную теорию тяготения (*общую теорию относительности*) и теорию фундаментальных взаимодействий элементарных частиц (*стандартную модель*). Пожалуй, одно из самых впечатляющих достижений современной науки — выяснение того факта, что происхождение и эволюция Вселенной неразрывно связаны со свойствами фундаментальных составляющих материи. Такое удивительное соединение теории микромира с космологией породило в конце нашего века новую науку — *космомикрофизику*. Ее целью является объяснение всех этапов эволюции Вселенной с помощью новейших данных о свойствах элементарных частиц и, наоборот, проверка предсказаний новых теорий элементарных частиц с помощью данных наблюдательной астрофизики.

Начнем с изложения тех фактов, на которых базируются современные космологические теории.

1. Космологический принцип

В Солнечной системе вещество распределено весьма неравномерно: более 99 % массы сосредоточено в центральном светиле — Солнце и менее 1 % приходится на все планеты, астероиды и проч.

Солнечная система входит в состав Галактики — скопления из 10^{11} звезд типа Солнца. Это скопление имеет сплющенную спиралевидную структуру, поперечные размеры которой порядка $3 \cdot 10^4$ пс (1 парсек = 1 пс = 3,26 св. лет). Распределение материи здесь также весьма неизотропно и неоднородно (количество звезд, видимых в плоскости Млечного Пути, существенно больше того, которое наблюдается в поперечном направлении).

С помощью современных средств наблюдения обнаружено около 10^9 других галактик, похожих на нашу. Они группируются в скопления, содержащие от нескольких десятков до нескольких тысяч членов. Так, Галактика входит в небольшое Местное скопление (содержащее около 30 галактик), поперечные размеры которого около 1 Мпс. Это скопление мало по сравнению с другими. Например, скопление в созвездии Девы содержит около 2000 галактик и имеет размер 5 Мпс. Можно сделать вывод, что и в этих масштабах распределение материи неизотропно и неоднородно.

Далее, скопления галактик имеют тенденцию группироваться в сверхскопления, содержащие до нескольких десятков скоплений. Размеры таких сверхскоплений 100–200 Мпс. На рис. 32-11 показано распределение галактик на участке неба. Этот участок составляет примерно 1/10 часть всего небосвода и содержит около 2 млн галактик на расстояниях до 200 Мпс (более яркие области соответствуют большей плотности галактик). Видны отдельные скопления, волокна, пустоты. Однако если усреднить распределение галактик, разбив мысленно весь объем видимой Вселенной на части с линейными размерами

порядка 200 Мпс, то оказывается, что в этих масштабах распределение материи обнаруживает полную изотропию — количество сверхскоплений в любом направлении одинаково.

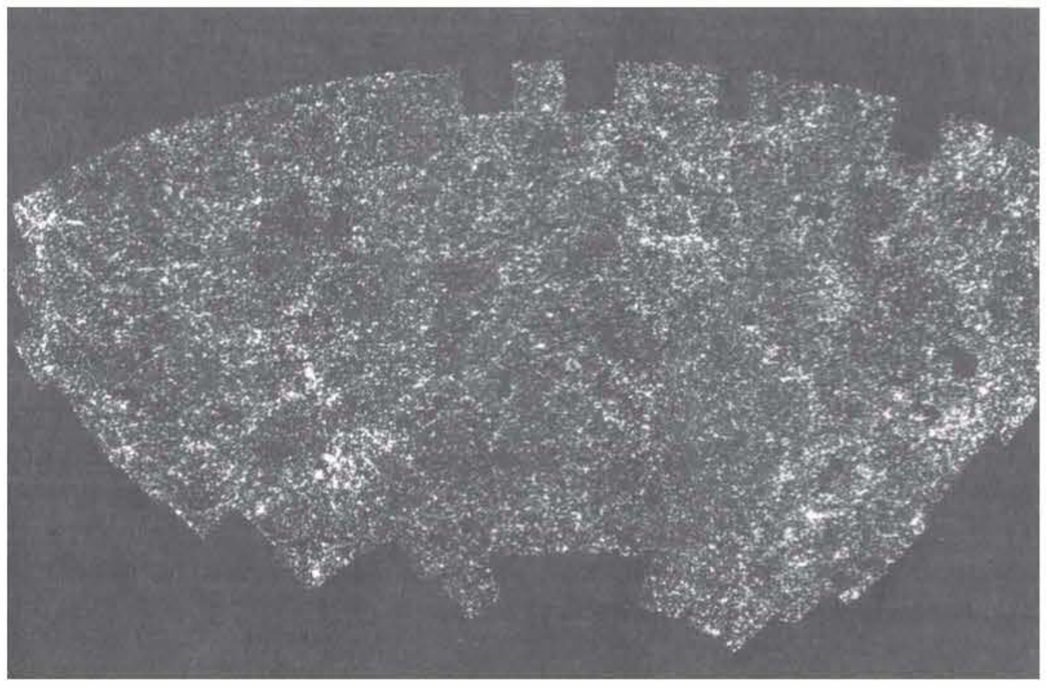


Рис. 32-11. Распределение галактик по участку неба [*Maddox, S.J.* et. al. Mon. Not. Roy. Astron. Soc. **242**, 43P (1990)]

Если Вселенная *изотропна*, то она и *однородна*, т. е. ее плотность вообще не зависит от пространственных координат. Действительно, пусть наблюдатель на Земле видит, что плотность распределения галактик есть некоторая функция $n(r)$, зависящая только от расстояния от наблюдателя, но не от угловых переменных (условие изотропии). Если $n(r)$ не постоянна, то точка $r = 0$ оказывается выделенной, и у Вселенной есть некоторый центр симметрии. Но со времен Коперника принято считать, что Земля не занимает привилегированного положения во Вселенной. Если принять это разумное предположение, то остается единственная возможность: функция $n(r) = \text{const}$, т. е. распределение галактик не только изотропно, но и однородно.

Наблюдения далеких радиоисточников — радиогалактик и квазаров — дополнительно подтверждают крупномасштабную изотропию (а следовательно, однородность) распределения материи. Эти источники случайным образом распределены по всем направлениям вплоть до расстояний свыше 3000 Мпс.

На основании всех этих фактов можно сформулировать основополагающий принцип современной космологии. Он настолько важен для понимания судьбы Вселенной, что по предложению английского астрофизика Эдварда Артура Милна его называют ***космологическим принципом*** (сокращенно КП):

крупномасштабное распределение материи во Вселенной однородно и изотропно.

Из этого принципа вытекает, что с точки зрения всех наблюдателей, где бы во Вселенной они ни находились, крупномасштабная плотность распределения галактик в данный момент времени одинакова. Итак, самым важным свойством Вселенной в больших масштабах является отсутствие каких бы то ни было отличительных свойств у отдельных ее частей.

Удивительной особенностью современной теоретической космологии является широкое применение простых моделей, основанных на общеизвестных физических законах. Так, Вселенная представляется как идеальный газ из сверхскоплений галактик (гравитационным взаимодействием между сверхскоплениями можно пренебречь). В качестве механической модели видимой Вселенной можно рассматривать шар, равномерно заполненный веществом с постоянной во всех точках плотностью $\rho = \text{const}$. Однако постоянство плотности в пространстве совершенно не означает ее постоянства во времени.

2. Закон Хаббла

Наблюдение спектров излучения почти всех галактик показывает, что все спектральные линии сдвинуты относительно нормального положения в красную

сторону, т. е. в сторону меньших частот. Это явление называется *красным смещением*. Принято описывать красное смещение спектральных линий параметром

$$z = \frac{\lambda - \lambda_0}{\lambda_0},$$

где λ — длина волны света, регистрируемого на Земле, а λ_0 — длина волны света, испущенного удаленной галактикой. Параметр z одинаков для света любой длины волны. Чем больше z, тем больше длина волны света, зарегистрированного на Земле.

Интерпретация эффекта красного смещения проста: галактики удаляются от нас, и за счет *эффекта Доплера* происходит смещение длин волн принимаемого на Земле излучения по сравнению с испущенным в сторону больших длин волн, т. е. в красную сторону спектра. Если лучевая скорость удаляющейся галактики (т. е. скорость, направленная вдоль луча зрения, соединяющего данную галактику с наблюдателем на Земле) невелика ($v \ll c$), можно пользоваться нерелятивистской формулой:

$$z = \frac{\lambda - \lambda_0}{\lambda_0} = \frac{v}{c}.$$

Эффект Доплера

Этот эффект справедлив для волн любой природы. Он был впервые отмечен как для звуковых, так и для световых волн в 1842 г. Иоганном Христианом Доплером (I. Ch. Doppler), профессором математики Реальной школы в Праге. Для определенности будем говорить о свете. Если источник или приемник света движутся друг относительно друга со скоростью v (считается, что $v \ll c$), то принимаемая частота света ν отличается от частоты ν_0 света, испускаемого неподвижным источником. Этот эффект возникает из-за того, что меняется число максимумов световой волны, достигающих за одну секунду измерительного прибора.

Пусть T_0 — период световой волны. Это означает, что каждые T_0 секунд максимум световой волны (для определенности можно говорить о максимуме электрического поля этой волны) покидает источник. Если источник неподвижен, то за время T_0 максимум волны проходит расстояние $\lambda_0 = cT_0$, равное длине волны испускаемого света. Но если источник движется со скоростью $v_{\text{ист.}}$ вдоль оси x, то расстояние между двумя максимумами, приходящими к приемнику, становится равным

$$\lambda = cT_0 \pm v_{\text{ист.}} T_0 = \lambda_0 \pm (v_{\text{ист.}}/c)\,\lambda_0,$$

откуда

$$(\lambda - \lambda_0)/\lambda_0 = \pm (v_{\text{ист.}}/c).$$

Как следует из этой формулы, если источник приближается, то длина волны света уменьшается (голубое смещение), если источник удаляется (меняется знак скорости), то длина волны света увеличивается (красное смещение).

Эффект Доплера для звуковых волн был проверен в 1845 г. голландским метеорологом Христофором Буа-Балло в изящном эксперименте — в качестве движущегося источника звука он использовал оркестр трубачей, стоявших на открытой платформе быстро движущегося железнодорожного вагона.

Точная формула для z, справедливая при всех скоростях, может быть получена с помощью специальной теории относительности и имеет вид:

$$z = \frac{1 + v/c}{\sqrt{1 - \dfrac{v^2}{c^2}}} - 1.$$

Из нее следует, что при $v \to c$ величина красного смещения $z \to \infty$, тогда как при $v \ll c$ имеем приближенно $z \approx v/c$.

Таким образом, измеряя z, можно установить *скорость убегания* той или иной галактики (эта скорость v направлена вдоль радиуса-вектора $\boldsymbol{r}$, направленного от Земли). Для галактик в скоплении Девы $z = 0{,}004$, т. е. скорость убегания равна $0{,}004c$ или 1200 км/с. Максимальное значение параметра красного смещения для самого удаленного квазара равно $z = 5{,}5$ (это соответствует $v = 0{,}97c$).

В 1929 г. американский астроном Эдвин Хаббл установил, что при $z \ll 1$ величина красного смещения пропорциональна расстоянию до галактики, т. е. с учетом формулы Доплера

$$v = H_0 \boldsymbol{r} \quad (\textit{закон Хаббла}).$$

Постоянная H_0 в этой формуле называется *постоянной Хаббла*, которую принято измерять в (км/с)/Мпс.

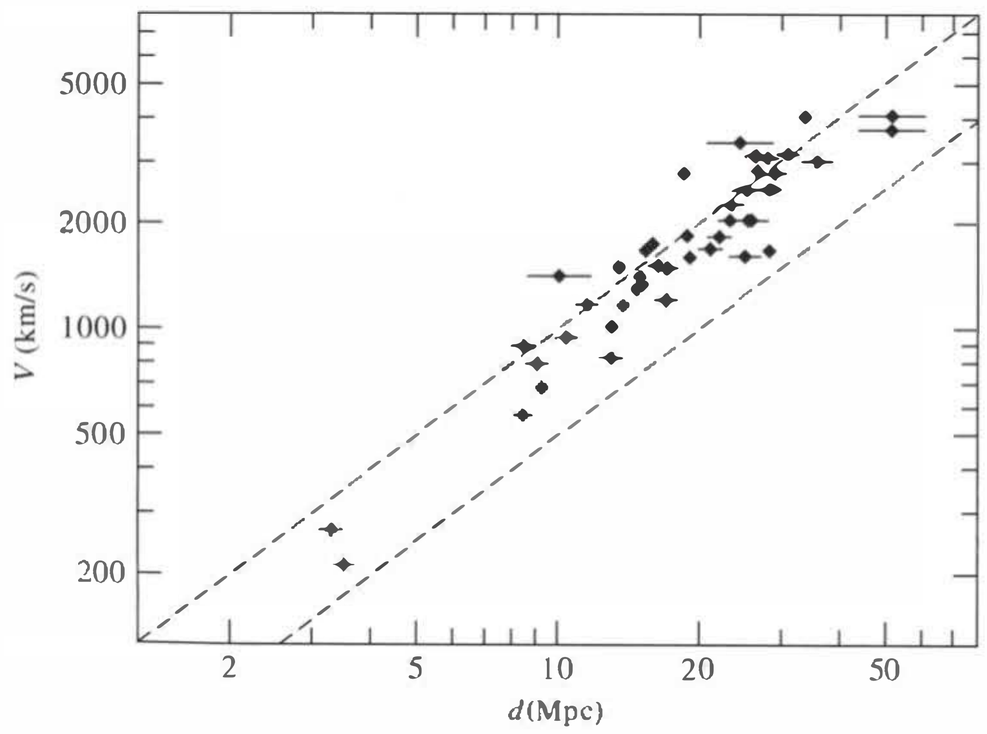


Рис. 32-12. Красные смещения галактик как функции расстояния. Видно, что красное смещение растет пропорционально расстоянию [*Jacoby G. H.* et al. Pub. Astron. Soc. Pacific, **104**, 599 (1992)]

Определение точного значения постоянной Хаббла является одной из труднейших и в то же время важнейших задач современной астрономии. Трудности сопряжены с определением расстояния до удаленных галактик. Сам Хаббл дал значение $H_0 = 500$ (км/с)/Мпс. Дальнейшие измерения понизили это значение. В последние годы благодаря космическим аппаратам удалось достичь высокой точности в измерении постоянной Хаббла. По данным 2004 г.,

$$H_0 = 100h_0 \text{ (км/с)/Мпс}, \quad h_0 = 0{,}72 \pm 0{,}05.$$

Для оценок можно использовать значение $H_0 = 70$ (км/с)/Мпс.

На первый взгляд может показаться, что картина расширяющейся Вселенной возвращает Землю в центр мироздания — все галактики разбегаются от Земли, как от центра. Однако легко убедиться, что точно такую же картину будет видеть и наблюдатель, находящийся в любой другой галактике (рис. 32-13). С Земли кажется, что галактика 1 удаляется от нее со скоростью $v_1 = H_0 \boldsymbol{r}_1$, а галактика 2 со скоростью $v_2 = H_0 \boldsymbol{r}_2$. Однако с точки зрения наблюдателя из галактики 1, эта галактика покоится в центре расширения, наша Галактика удаляется от нее со скоростью v_3, где $v_3 = -v_1 = -H_0 \boldsymbol{r}_1 = H_0 \boldsymbol{r}_3$, а галактика 2 — со скоростью v_{21}, определяемой правилом сложения векторов:

$$\begin{aligned} \boldsymbol{v}_{21} &= \boldsymbol{v}_2 - \boldsymbol{v}_1 = H_0 \boldsymbol{r}_2 - H_0 \boldsymbol{r}_1 = \\ &= H_0(\boldsymbol{r}_2 - \boldsymbol{r}_1) = H_0 \boldsymbol{r}_{21}, \end{aligned}$$

где $\boldsymbol{r}_{21}$ — расстояние от галактики 1 до галактики 2. Таким образом, закон Хаббла выполнен и на галактике 1. При доказательстве неявно использовалось, что все точки пространства (все галактики) равноправны. Но это и означает выполнение КП, согласно которому во Вселенной нет никаких выделенных точек и направлений. Итак, закон Хаббла есть следствие КП: только такой разлет материи может поддерживать постоянную в пространстве (хотя и меняющуюся со временем) плотность материи.

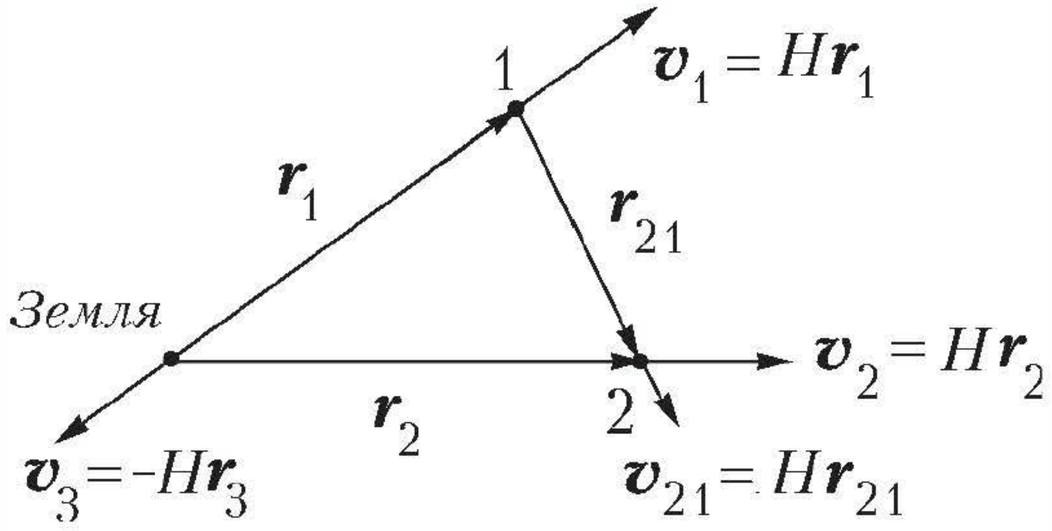


Рис. 32-13. Наблюдатели на разных галактиках видят, что выполняется закон Хаббла

3. Реликтовое излучение

В 1965 г. американские радиоастрономы Арно Пензиас (A. Pensias) и Роберт Вилсон (R. Wilson) обнаружили, что на Землю со всех сторон приходит очень слабое микроволновое (длина волны несколько сантиметров) излучение, спектр которого совпадает со *спектром излучения черного тела* с эквивалентной температурой около 3 К. Свое открытие, отмеченное позднее Нобелевской премией, Пензиас и Вилсон сделали совершенно случайно, занимаясь отладкой радиоантенны в Холмделе, штат Нью Джерси, США. Предполагалось, что с помощью этой антенны будет вестись поиск слабых радиоисточников в нашей Галактике. Для того чтобы зарегистрировать слабые сигналы от далеких источников, следовало прежде всего убедиться в отсутствии радиошума, т. е. проверить, на самом ли деле при нацеливании в направлении, где нет никаких источников, сигнал антенны равен нулю. Тем не менее, настроившись на прием излучения длиной волны 7,35 см, ученые обнаружили слабый сигнал, идущий, казалось бы, ниоткуда.

Последующие измерения показали, что интенсивность этого радиошума не зависит от направления на небе, от времени суток или времени года. Пензиас и Вилсон предприняли героические усилия, чтобы устранить возможные источники такого фона излучения на Земле. Дело дошло до того, что они с большим трудом выселили из рупора антенны пару угнездившихся там голубей, так как «белое диэлектрическое вещество», как деликатно выразился Вилсон, которым голуби покрыли внутренность рупора антенны, могло быть источником радиошума. Никакие усилия не помогли, излучение устойчиво принималось со всех направлений.

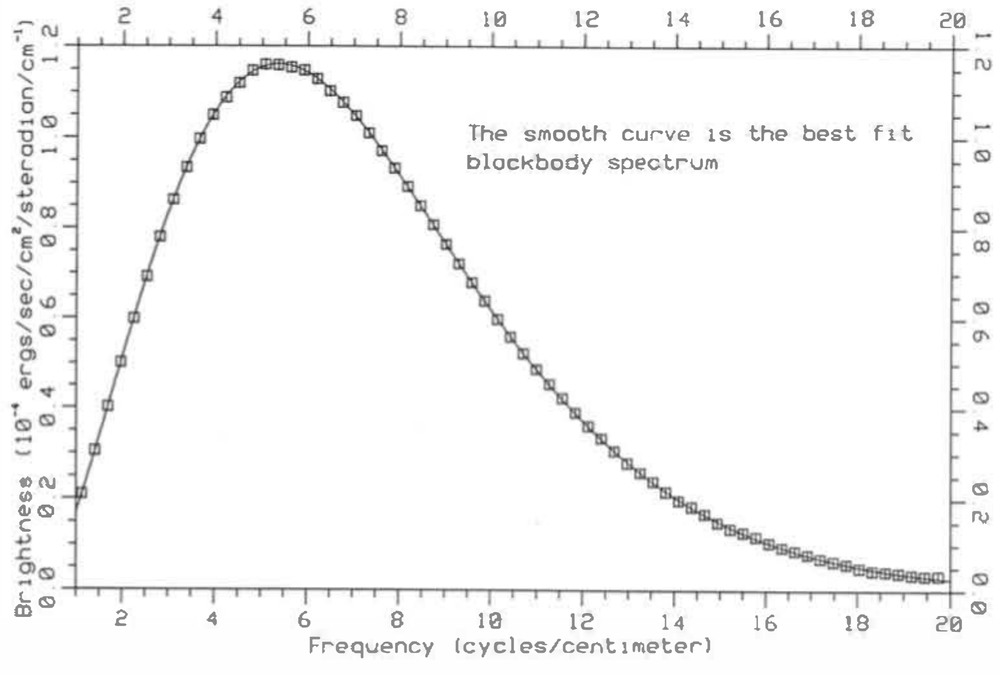


Рис. 32-14. Спектр реликтового излучения по измерениям спутника COBE. Сплошная линия — теоретическая кривая, предсказываемая распределением Планка с эффективной температурой $T = 2{,}725$ К.

Форма равновесного спектра реликтового излучения определяется *распределением Планка*. В настоящее время это установлено с очень большой точностью (рис. 32-14). Максимум спектра приходится на длину волны излучения около 0,3 см, т. е. находится в микроволновом диапазоне. Поскольку Земля не является выделенной точкой, можно сделать вывод, что вся наблюдаемая Вселенная заполнена таким излучением, или, на квантовом языке, соответствующими фотонами. При заданной температуре T равновесного излучения среднее число фотонов $\bar{n}$ данной длины волны λ в единице объема определяется формулой Планка (где h и k — постоянные Планка и Больцмана соответственно):

$$\bar{n} = \frac{1}{e^{hc/kT\lambda} - 1}.$$

При $T = 2{,}725$ K (это значение получено в последних измерениях) оказывается, что в 1 см^3 окружающего пространства находится в среднем ~400 фотонов чернотельного излучения.

Тепловое излучение и фотоны

Чтобы понять, что такое *тепловое излучение*, необходимо вспомнить, что такое *тепловое равновесие* в системе. Пусть задана произвольная система большого числа частиц, каждая из которых обладает определенными значениями координаты, импульса, энергии, спина и любых других характеристик. Такая система находится в состоянии статистического равновесия, если количество частиц, обладающих той или иной характеристикой, значения которой лежат в данном интервале, не меняется со временем. Это условие отнюдь не означает, что система статична. Наоборот, все частицы системы непрерывно обмениваются энергиями, импульсами и другими характеристиками друг с другом. Более того, считается, что прошло достаточное время с момента образования системы.

При достижении статистического равновесия количество частиц, характеристики которых (координата, скорость, энергия, спин и др.) находятся в определенном интервале значений, должно перестать изменяться (по крайней мере в среднем, с точностью до возможных небольших отклонений, или флуктуаций). Это возможно только в том случае, когда каждую секунду этот интервал покидает и в него вносится обратно равное (в среднем) число частиц. Поэтому такое равновесие — динамическое. Особенно важно, что свойства системы определяются не начальными условиями ее образования (система о них «забывает»), а лишь условиями достижения равновесия.

Такое динамическое равновесие обычно называют тепловым, так как подобное состояние системы всегда можно охарактеризовать заданием определенной температуры, одинаковой для всей системы. Строго говоря, только для состояния теплового равновесия и можно точно определить саму температуру.

К 1890-м гг. после многочисленных исследований было установлено, что свойства излучения в состоянии теплового равновесия с веществом зависят только от температуры. Более точно: на основании общих законов термодинамики немецким ученым Густавом Кирхгофом было доказано, что количество энергии в единичном объеме такого излучения в любом заданном интервале длин волн должно описываться универсальной формулой $f(\lambda, T)$, содержащей только длину волны и температуру. Эта же формула определяет количество энергии излучения внутри ящика с непроницаемыми стенками и количество энергии излучения, испущенного за 1 с с 1 см^2 полностью поглощающей поверхности на любой длине волны (такое излучение называется *излучением черного тела*).

Самый острый вопрос, с которым столкнулись физики-теоретики в конце XIX в., был в том, чтобы найти эту формулу. Здесь уместно вспомнить высказывание патриарха физики того времени английского ученого Уильяма Томсона, лорда Кельвина, что в конце XIX в. практически все задачи физики решены и лишь два облачка портят картину сияющего небосвода классической физики — результаты опыта Майкельсона и проблема излучения черного тела. Из первого облачка возникла теория относительности, из второго — квантовая теория. Остается поражаться проницательности лорда Кельвина.

Правильная формула для излучения черного тела была написана в последние недели XIX в. (в декабре 1900 г.) немец-

ким ученым Максом Карлом Эрнстом Людвигом Планком. На рис. 32-14 приведен график зависимости плотности энергии, приходящейся на единичный интервал длин волн, от длины волны излучения (так называемое *распределение Планка*) при температуре $T = 2{,}725$ К. Качественно результат Планка можно описать следующим образом: в ящике, заполненном излучением черного тела, энергия в любом интервале длин волн плавно растет с увеличением длины волны, достигает максимума и затем уменьшается. Такое распределение универсально и не зависит от природы вещества, с которым взаимодействует излучение, а зависит только от его температуры.

Плотность энергии (энергия, приходящаяся на единицу объема) в интервале длин волн от λ до $\lambda + d\lambda$ равна

$$du = (8\pi hc/\lambda^5)\, d\lambda/[\exp(hc/kT\lambda) - 1].$$

Здесь T — температура в К; $k = 1{,}38 \cdot 10^{-23}$ Дж/К — постоянная Больцмана. Для больших длин волн ($\lambda \gg hc/kT$) можно разложить знаменатель в формуле Планка в ряд:

$$\exp(hc/kT\lambda) - 1 \approx hc/kT\lambda.$$

Следовательно, в этой области длин волн распределение Планка имеет вид

$$du = (8\pi kT/\lambda^4)\, d\lambda \quad (\textit{формула Рэлея–Джинса}).$$

В области малых длин волн эта формула заведомо непригодна (при $\lambda \to 0$ получилось бы $du/d\lambda \to \infty$, и полная плотность энергии излучения черного тела была бы бесконечной). К счастью, определяемая формулой Планка величина du достигает максимума при длине волны

$$\lambda_{\text{макс}} = 0{,}2014\, hc/kT$$

и затем с уменьшением длины волны плавно спадает до нуля по *формуле Вина*

$$du \sim d\lambda \exp(-hc/kT\lambda).$$

Важность планковского расчета выходит далеко за рамки проблемы излучения черного тела, так как в этом расчете Планк ввел новую идею, что энергия может испускаться и поглощаться веществом только порциями (квантами). Именно эта гипотеза позволила вывести правильную формулу. Следующий революционный шаг был сделан в 1905 г. Эйнштейном, который предположил, что не только поглощение и испускание излучения нагретым телом происходит порциями — квантами, но и само свободно распространяющееся в пространстве излучение состоит из квантов (названных позднее *фотонами*), причем энергия любого кванта обратно пропорциональна длине волны: $E = h\nu = hc/\lambda$.

Пользуясь квантовыми представлениями, можно качественно понять свойства излучения абсолютно черного тела. Причина того, что плотность энергии излучения черного тела падает для очень больших длин волн, проста: излучение очень трудно «загнать» в любой объем, размеры которого меньше, чем длина волны. Это было понятно и в рамках старой классической теории. В то же время уменьшение плотности энергии излучения черного тела для очень коротких длин волн невозможно понять, пользуясь классическими представлениями.

Хорошо известен вывод классической статистической механики, что при любой заданной температуре средняя энергия любого сорта частиц, волн или других возбуждений в равновесной системе не может превышать некоторой величины, пропорциональной температуре. Тогда в согласии с формулой Рэлея–Джинса на интервал заданной величины $d\lambda$ по мере уменьшения длины волны приходилась бы все бóльшая, неограниченно растущая энергия.

Это не только находилось бы в противоречии с экспериментом, но должно было бы привести к катастрофическому результату, заключающемуся в том, что полная энергия излучения черного тела всех длин волн равна бесконечности! Единственный выход состоял в том, чтобы предположить, что энергия излучения существует в виде порций или квантов, причем количество энергии в каждой порции увеличивается с уменьшением длины волны, так что при любой заданной температуре было бы очень мало излучения на коротких длинах волн, для которых порции содержат много энергии.

С помощью формулы Планка можно вычислить полную плотность энергии излучения абсолютно черного тела. Она равна

$$u = \int_0^\infty \frac{8\pi hc/\lambda^5}{\exp\left(hc/kT\lambda\right)-1} d\lambda.$$

После введения безразмерной переменной $x = hc/kT\lambda$ интеграл принимает вид:

$$u = \frac{8\pi}{h^3c^3} \int_0^\infty \frac{x^3}{\left(\exp x - 1\right)\left(kT\right)^4} dx = \sigma T^4.$$

Постоянная σ определяется численным значением интеграла и мировыми постоянными. Полученное выражение носит название *закона Стефана–Больцмана*. Из него следует, что плотность энергии равновесного электромагнитного излучения пропорциональна четвертой степени температуры.

Точно так же можно убедиться, что общее число квантов электромагнитного излучения в единице объема

$$n_\gamma = \text{const} \times T^3$$

с известным значением const.

Распределение этого излучения по небесной сфере почти изотропно. Две причины слегка нарушают изотропию: движение Земли относительно фона излучения и дополнительное излучение на тех же длинах волн, испускаемое ионизованным газом в нашей Галактике.

Вследствие движения Земли относительно фона чернотельного излучения за счет эффекта Доплера эффективная температура излучения, налетающего на Землю спереди вдоль линии ее движения, оказывается несколько больше средней, а падающего сзади — чуть меньше. Наблюдаемая вариация температуры составляет примерно $5 \cdot 10^{-5}$ K, что соответствует скорости Земли относительно фона 630 км/с. Следует подчеркнуть, что определение «абсолютной» скорости движения Земли ничуть не противоречит принципу относительности. Ведь эта скорость определена не относительно пустого пространства, а относительно газа фотонов фонового излучения.

Это излучение определяет как бы абсолютную систему отсчета — «новый эфир». В каждой точке Вселенной существует покоящийся относительно усредненного распределения материи наблюдатель, относительно которого фоновое излучение полностью изотропно. Все другие наблюдатели, движущиеся относительно первого, будут измерять анизотропию фонового излучения, зависящую от скорости этих наблюдателей.

Что же касается излучения от Галактики, то его легко отделить от фонового, так как оно сконцентрировано на небесной сфере в области Млечного Пути.

Если вычесть из наблюдаемого распределения излучения указанные анизотропные вклады, то анизотропия оставшегося распределения должна полностью определяться условиями, при которых это излучение возникло. Измерения по-

казывают, что отклонения от изотропии для углов порядка 1 рад составляют 10^{-5} К. Ниже будет разъяснено значение этого факта.

4. Всемирная антигравитация

Первые три упомянутые факта (1–3) послужили основой создания стандартной модели эволюции Вселенной — модели Большого взрыва (о ней — в следующем разделе). Эта модель позволила успешно описать процесс расширения Вселенной, создание в первые минуты ее существования исходного набора элементов, из которых далее образовались звезды и галактики. В основе модели Большого взрыва — представление об однородно заполнявшей Вселенную горячей сверхплотной плазме, содержавшей все элементарные частицы в тепловом равновесии друг с другом.

В 1998–1999 гг. произошло открытие, перевернувшее многие представления космологов. Выяснилось, что в наблюдаемой Вселенной доминирует не вещество, а вакуум, который по плотности энергии превосходит все другие формы материи во Вселенной. Именно этот вакуум создает силы антигравитации, которые и определяют теперешнюю эволюцию Вселенной.

Само открытие было сделано на основе изучения вспышек сверхновых типа Ia с помощью космического телескопа «Хаббл». Мы подробно обсудим ниже значение этого открытия.

§ 9. Модель горячей Вселенной («стандартная» космологическая модель)

Из закона Хаббла следует, что видимая Вселенная в настоящее время расширяется. Это означает, что и наблюдаемое фоновое микроволновое излучение участвует в общем космологическом расширении. Выделим мысленно некоторый малый объем в форме ящика с воображаемыми идеально отражающими стенками, заполненный равновесным излучением. Пусть этот ящик расширяется с той же скоростью, что и вся Вселенная. Излучение внутри ящика будет вести себя так же, как и вне его. Наличие воображаемых стенок несущественно. Реальный выделенный объем, конечно, не имеет стенок, но вылетающие из него фотоны сразу же заменяются в среднем тем же количеством фотонов, влетающих из окружающего пространства. Поэтому в условиях термодинамического равновесия (это предположение критически важно!) при заданной температуре T число фотонов данной длины волны λ внутри ящика определяется формулой Планка и не изменяется со временем. Если теперь линейные размеры ящика увеличиваются в a раз (величина a называется *масштабным фактором*), то длина волны фотона увеличивается во столько же раз (внутри ящика с идеально отражающими стенками образуется в равновесии система стоячих волн, как бы прикрепленных к противоположным стенкам, так что раздвижка стенок приводит к пропорциональному увеличению длины волны). Отсюда длина волны уменьшается в a раз: $\lambda' = \lambda/a$. Но среднее число фотонов в выделенном объеме в равновесии не изменяется, поэтому после расширения в a раз

$$\bar{n} = \frac{1}{e^{hc/kT\lambda} - 1} = \frac{1}{e^{hc/kT(\lambda'/a)} - 1} = \\ = \frac{1}{e^{hc/k(T/a)\lambda'} - 1} = \frac{1}{e^{hc/kT'\lambda'} - 1}.$$

Таким образом, равновесное планковское распределение фотонов сохраняется, но оно соответствует новой температуре:

$T' = T/a$.

Итак, в результате расширения Вселенной температура равновесного распределения фотонов падает обратно пропорционально масштабному фактору. Отсюда вытекает утверждение, лежащее в основе *модели горячей Вселенной*: в прошлом температура равновесного излучения была выше, чем сейчас. Плотность энергии равновесного излучения пропорциональна T^4 (закон Стефана–Больцмана), поэтому чем дальше в прошлое, тем горячее была Вселенная и тем бóльшая часть полной энергии Вселенной была сосредоточена в излучении. Было время, когда основную часть энергии Вселенной составляла энергия вещества (эту эпоху эволюции Вселенной называют *эрой доминирования вещества*). Однако в прошлом был момент времени (примерно 700 000 лет от начала), который отделил эру доминирования вещества от *эры доминирования излучения*, когда основная часть энергии была сосредоточена в излучении. Наблюдаемое сейчас фоновое излучение с температурой 3 К является реликтом прошлого, когда Вселенная была чрезвычайно плотной и горячей. По предложению выдающегося советского астрофизика И. С. Шкловского, оно было названо *реликтовым излучением* (слово «реликтовый» означает «ископаемый», «древний»).

В настоящее время вклад реликтового излучения в общую плотность энергии Вселенной очень мал. Подстановка в формулу закона Стефана–Больцмана сегодняшней температуры реликтового излучения $T \approx 3$ К приводит к результату:

$$\rho_{изл.,\bullet} = 4{,}6 \cdot 10^{-34} \text{ г/см}^3$$

(плотность энергии излучения пересчитана в эквивалентную плотность массы по формуле Эйнштейна $m = E/c^2$). В то же время число реликтовых фотонов в единице объема намного превышает число нуклонов (протонов и нейтронов), образующих вещество Вселенной. Исходя из оценок плотности видимой материи, можно вычислить среднюю плотность числа нуклонов (ту плотность, которая была бы, если «размазать» все вещество равномерно по объему видимой Вселенной). Оказывается, что в 1 м^3 содержится в среднем 2-3 нуклона. Таким образом можно оценить важнейший параметр, определяющий характер эволюции Вселенной, — отношение числа барионов к числу фотонов в единице объема: $n_B/n_\gamma \approx 10^{-9}$. Принятое сейчас значение с учетом последних данных о массе барионной материи

$$n_B/n_\gamma \approx (6 \pm 1)\ 10^{-10}.$$

Необычайно малое значение этого параметра указывает, что вещество составляет лишь крохотную долю общего числа частиц, заполняющих Вселенную (ниже будет сказано и о других частицах, число которых сравнимо с числом фотонов). Однако энергия вещества намного превышает энергию реликтовых фотонов.

Но так было не всегда. Опираясь на закон Хаббла и существование реликтового излучения, можно предложить естественный сценарий эволюции Вселенной, когда материя была в прошлом очень плотной и горячей. Огненная сверхплотная плазма в какой-то момент взорвалась (это событие получило название «Большой взрыв»), придав материи начальную скорость разлета. Этот взрыв не похож на взрыв обычной химической взрывчатки. Знакомые нам взрывы происходят в одной определенной точке пространства, а затем продукты взрыва разлетаются во все стороны. Тот взрыв, который дал начало разлету материи,

произошел одновременно *везде*, во всех точках Вселенной (следует помнить, что размеры той Вселенной были неизмеримо меньше размеров наблюдаемой сейчас Вселенной). Последующее расширение и охлаждение привело к росту малых флуктуаций плотности материи, местные уплотнения притянули к себе окружающую материю, образовав комки, которые постепенно превратились в галактики и скопления галактик.

Представленный сценарий эволюции Вселенной — модель Большого взрыва или модель горячей Вселенной — был предложен в 1948 г. американским физиком русского происхождения Г. А. Гамовым и его молодым учеником Р. Альфером. Как пишет С. Хокинг в книге «Краткая история времени», Гамов уговорил своего коллегу Г. Бете поставить подпись под статьей, чтобы фамилии авторов «Альфер, Бете, Гамов» звучали как названия первых трех букв греческого алфавита, что чрезвычайно подходило к статье о начале Вселенной. Предсказанная температура реликтового излучения 5 К была близка к истинному значению. Однако еще долгих 20 лет модель горячей Вселенной рассматривалась лишь как одна из возможных. Всеобщее признание она завоевала только после открытия реликтового излучения в 1965 г.

§ 10. Возраст Вселенной

При ближайшем рассмотрении модели горячей Вселенной возникает ряд вопросов. Первый естественный вопрос: когда произошел Большой взрыв? Ответ на него очень прост. По закону Хаббла $v = H_0 r$. Иначе говоря, $r = (1/H_0)v$. Если пренебречь для простоты взаимным тяготением разлетающихся галактик и предположить, что скорость убегания v каждой данной галактики не изменяется со временем, это означает, что разлет после Большого взрыва происходит по инерции. Следовательно, время разлета определяется из соотношения $r = vt_0$. Сравнение с законом Хаббла приводит к оценке верхней границы возраста Вселенной от момента Большого взрыва:

$$t_0 = 1/H_0.$$

Время t_0 называется *характерным временем расширения*. Конечно, реальный возраст Вселенной несколько меньше, так как гравитация замедляет разлет галактик и в прошлом их скорость убегания была больше.

Численное значение t_0 определяется значением постоянной Хаббла и равно

$$t_0 = H_0^{-1} = h_0^{-1}\, 9{,}78 \cdot 10^9 \text{ лет}.$$

С учетом границ изменения h_0 отсюда следует, что возраст Вселенной равен

$$t_0 = 13{,}7 \pm 0{,}2 \text{ млрд лет}.$$

Все оценки времени жизни отдельных космических структур (от возраста Земли и Солнечной системы до возраста шаровых скоплений и белых карликов) согласуются со значением $t_B \approx 10$ млрд лет.

§ 11. Критическая плотность и фридмановсние сценарии эволюции

Очевидно, что, рассматривая происходящую сейчас эволюцию материи в космологических масштабах, иными словами, рассматривая эволюцию скоплений галактик, можно не учитывать все известные взаимодействия, кроме гравитационного. Поэтому теоретически задача нахождения закона эволюции Вселенной должна решаться путем подстановки исходного распределения материи в уравнения общей теории относительности. Решения этих уравнений определяют

метрические свойства пространства-времени, т. е. дают ответ на вопрос, какова возможная геометрия пространства-времени при заданном распределении материи, а также в принципе определяют изменения метрики со временем.

Первое космологическое решение уравнений ОТО получил сам создатель ОТО А. Эйнштейн в 1917 г. Однако Эйнштейн исходил из неправильной (хотя исторически вполне оправданной) посылки, что Вселенная не должна изменяться с течением времени, должна быть *стационарной*. Уравнения ОТО «сопротивлялись» такой гипотезе, Эйнштейн никак не мог получить желаемое решение, поэтому он совершил «насилие» над исходными уравнениями, включив в них дополнительное слагаемое (космологический член), имевшее смысл силы отталкивания (антигравитации). При определенном подборе параметров такие «испорченные» уравнения имели стационарное решение и описывали замкнутую Вселенную с однородным и изотропным статическим распределением материи.

В 1922 г. выдающийся русский ученый А. А. Фридман сумел впервые получить точные решения уравнений ОТО без космологического члена, отвечавшие постоянной в пространстве плотности материи $\rho = \text{const}$. Удивительным свойством этих решений оказалась их *нестационарность*, т. е. зависимость от времени. Поначалу Эйнштейн счел работу Фридмана неверной, но вскоре понял свою ошибку и публично ее признал. (На этом история космологической постоянной не закончилась; как сказано выше, сейчас обнаружена антигравитация космического вакуума, т. е. фактически доказано существование космологической постоянной.)

Фридмановские решения и составляют основу «стандартного» сценария эволюции Вселенной. Конечно, получение этих решений из уравнений ОТО достаточно сложно. Однако основные их черты можно понять, рассмотрев простую нерелятивистскую ньютоновскую модель разлета однородно и изотропно распределенных в пространстве галактик. Пусть вся материя «размазана» по объему Вселенной с постоянной плотностью $\rho(t)$. Галактика массой m на границе выделенного сферического объема радиусом r удаляется от центра объема со скоростью $v = Hr$, где H — значение постоянной Хаббла в произвольный момент времени (рис. 32-15). Полная энергия галактики

$$E = mv^2/2 - GmM/r,$$

где $M = 4\pi\rho r^3/3$ — полная масса вещества внутри выделенной сферы (как известно, в случае со сферически симметричным распределением данную массу притягивают только внутренние слои — это есть математическое выражение того факта, что сила тяготения убывает как $1/r^2$; в электростатике аналогичное утверждение называется *теоремой Гаусса*, см. § 1 гл. 16). Таким образом

$$E = mr^2H^2/2 - 4\pi G\rho mr^2/3 = \\ = (mr^2/2)(H^2 - 8\pi G\rho/3).$$

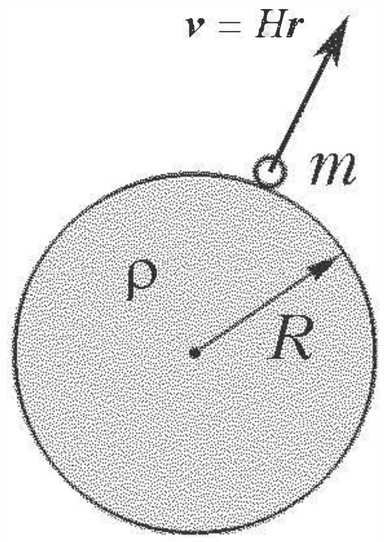


Рис. 32-15. Произвольная галактика на границе выделенного сферического объема

Задача, по существу, эквивалентна задаче о запуске ракеты с поверхности Земли и вычислении второй космической скорости (см. § 3 гл. 7). Для того чтобы галактика продолжала бесконечно долго

удаляться от центра, нужно, чтобы ее полная энергия (которая сохраняется в процессе разлета) была положительна, так как при $r \to \infty$ потенциальная энергия стремится к нулю, а кинетическая энергия всегда положительна. Наоборот, если разлет в какой-то момент сменяется на обратное движение к центру, полная энергия отрицательна. Критическим является значение $E = 0$. Из предыдущей формулы следует, что галактика может улететь на бесконечность (иными словами, разлет материи во Вселенной будет продолжаться вечно), если

$$H^2 - 8\pi G\rho/3 \geq 0,$$

т. е.

$$\rho \leq \rho_c = 3H^2/(8\pi G).$$

Если же $\rho > \rho_c$, то стадия разлета обязательно сменится стадией сжатия. Еще раз напомним, что и плотность ρ, и критическая плотность ρ_c являются функциями времени!

Отличие точных решений уравнений ОТО от этих модельных оценок заключается в том, что ОТО позволяет установить связь фридмановских решений с типом геометрии трехмерного пространства Вселенной.

Выше (см. § 4 этой главы) был приведен общий вид метрики, отвечающей изотропному и однородному распределению материи. В этом выражении содержится одна неопределенная величина — масштабный фактор $a(t)$, который определяется из решения уравнений ОТО. Выпишем эти уравнения, носящие имя А. А. Фридмана:

$$\frac{1}{2}\left(\frac{da}{dt}\right)^2 - \frac{4\pi G\rho a^2}{3} = -\frac{K}{2},$$

$$\frac{d^2a}{dt^2} = -\frac{4\pi G}{3}(\rho + 3p/c^2)a.$$

Здесь p — давление в однородной и изотропной среде плотностью ρ.

Возможны три сценария эволюции Вселенной:

$\rho < \rho_c$ — расширение Вселенной продолжается вечно (открытый мир), трехмерная геометрия пространства соответствует пространству постоянной отрицательной кривизны, $K = -1$;

$\rho = \rho_c$ — расширение продолжается вечно (открытый мир), трехмерная геометрия пространства евклидова, $K = 0$;

$\rho > \rho_c$ — расширение Вселенной через определенное время может смениться сжатием (закрытый мир), трехмерная геометрия пространства соответствует пространству постоянной положительной кривизны, $K = +1$.

На рис. 32-16 показана зависимость линейных размеров Вселенной от времени для трех разных фридмановских сценариев.

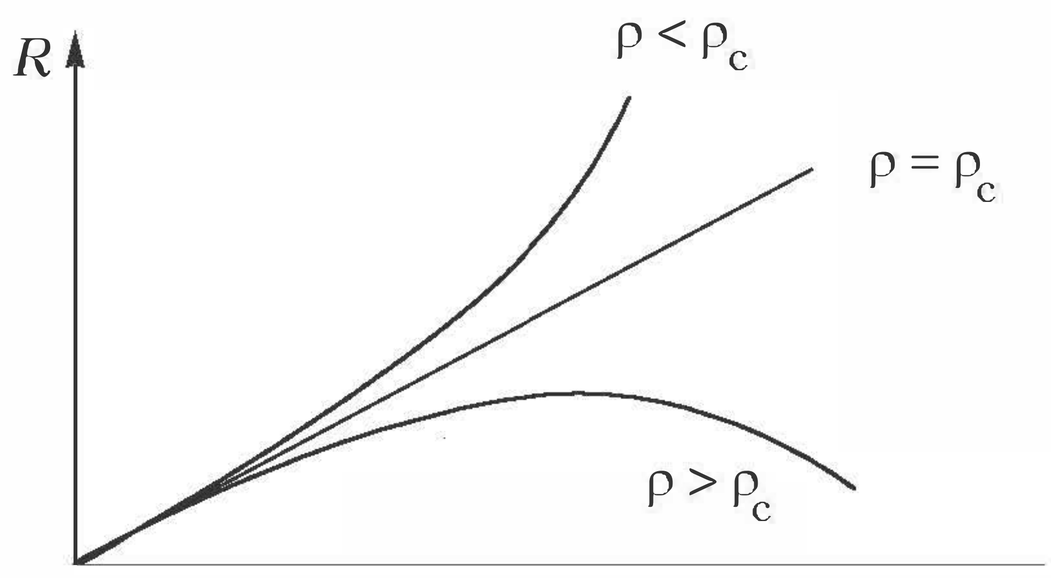


Рис. 32-16. Зависимость линейных размеров Вселенной от времени для трех сценариев эволюции

Итак, определяющим для судьбы Вселенной является соотношение между критической и реальной плотностями материи в данный момент времени. Принято вводить *параметр плотности* $\Omega_0 = \rho_0/\rho_c$. Значение $\Omega_0 > 1$ отвечает закрытому миру, $\Omega_0 \leq 1$ — открытому (индекс 0 означает, что речь идет о значении параметра в настоящее время).

Критическая плотность в данный момент равна

$$\rho_{0c} = 3H_0^2/8\pi G = 1{,}88\cdot10^{-29}\, h_0^2 \text{ г/см}^3.$$

Неточность значения ρ_{0c} определяется неточностью в определении постоянной Хаббла.

Существенно сложнее обстоит дело с определением реальной плотности материи во Вселенной.

§ 12. Плотность материи во Вселенной и скрытая масса

Астрономы непосредственно наблюдают на небе лишь те объекты, которые светятся. До середины XX в. наблюдения велись в оптическом диапазоне. Сейчас на вооружении астрофизиков имеются радиотелескопы, детекторы гамма-излучения. Иными словами, наблюдательная астрономия стала всеволновой. Это чрезвычайно расширило число типов и количество наблюдаемых объектов. Были открыты нейтронные звезды и квазары, мощные источники гамма-излучения (барстеры), измерено излучение отдельных областей Галактики во всех диапазонах.

Все эти наблюдения позволяют дать оценку общей массы светящегося вещества видимой Вселенной и установить значение его средней плотности. По данным на 2007 г., средняя плотность светящегося (барионного) вещества в галактиках

$$\Omega_0^{(\text{вид})} = 0{,}044 \pm 0{,}004.$$

Однако видимые объекты, безусловно, не исчерпывают всего вещества, имеющегося в галактиках. Неизвестная доля этого вещества может быть настолько холодной, что испускаемое им тепловое излучение не регистрируется земными приборами. Такое невидимое вещество принято называть *темным веществом* (*скрытой массой*).

Часть темной материи обязательно содержится в любой галактике в виде темных облаков межзвездного газа и пыли. Оценка вклада этого вещества в общую плотность производится с помощью теоремы вириала и приводит к значению

$$\Omega_0^{(\text{вириал.})} = 0{,}05 - 0{,}2.$$

Из сравнения с оценкой плотности видимой материи следует, что темная материя в галактиках составляет значительную часть общей массы.

Теорема вириала

Ньютоновская механика позволяет оценить массу невидимой материи, если можно наблюдать движение пробного тела в гравитационном поле этой невидимой массы. Делается это с помощью обобщения формулы, справедливой при круговом движении материальной точки в гравитационном поле центрального тела (см. § 3 гл. 5). Действительно, закон движения имеет вид:

$$m v^2/r = GmM/r^2.$$

Из этого уравнения следует, что $m v^2 = GmM/r$, т. е.

$$2E_{\text{кин}} = -U,$$

где $U = -GmM/r$ — потенциальная энергия материальной точки. Это соотношение, называемое *теоремой вириала*, можно доказать и в общем случае движения системы материальных точек в ограниченной области пространства под действием сил тяготения. В астрономии используют вириальную теорему в виде

$$\langle v^2 \rangle = GM/r,$$

связывая средний квадрат скорости движения пробного тела (галактики) в гравитационном поле всего скопления га-

лактик и оценивая таким способом полную массу скопления M. Это же соотношение можно использовать для оценки массы невидимой компоненты в двойной звездной системе.

Приведенные выше оценки средней плотности относятся только к светящейся и темной материи внутри галактик. Однако темная материя может быть однородно распределена и по всему объему Вселенной в пространстве между галактиками. Оценка ее плотности может быть получена только путем измерения так называемого *параметра замедления* q_0. Этот параметр связан со скоростью изменения скорости (т. е. с ускорением) разлета материи. Казалось бы, скорость разлета данной галактики должна постепенно уменьшаться, так как тяготение остального вещества тормозит разлет, т. е. ускорение отрицательно. Однако это было бы верно в случае, если бы в разлете участвовала только обычная гравитирующая материя. Но, по имеющимся в настоящее время данным, Вселенная ускоряется при разлете. Это можно объяснить только предположением, что основную долю в плотность материи во Вселенной вносит космический вакуум, обладающий свойством антигравитации.

Параметр замедления

Обращаясь опять к механической аналогии разлета галактик, можно записать уравнение радиального движения пробной галактики (в силу *принципа эквивалентности* ее масса не входит в уравнения движения):

$$dv/dt = -GM/r^2.$$

С учетом того, что $M = 4\pi r^3\rho/3$, уравнение принимает вид:

$$dv/dt = -4\pi G\rho r/3.$$

Закон Хаббла утверждает, что в произвольный момент времени $v(t) = H(t)r(t)$, где $H(t)$ — значение постоянной Хаббла в момент времени t. Отсюда

$$dv/dt = Hdr/dt + rdH/dt = Hv + rdH/dt = \\ = H^2r + rdH/dt = (H^2 + dH/dt)r = \\ = [1 + (dH/dt)/H^2]\, H^2r.$$

Принято вводить параметр замедления

$$q = -[1 + (dH/dt)/H^2].$$

Тогда

$$dv/dt = -qH^2r.$$

Сравнение с исходным уравнением движения в настоящий момент времени приводит к равенству:

$$-q_0H_0^{\,2} = -4\pi G\rho_0/3.$$

Отсюда

$$q_0 = 4\pi G\rho_0/3H_0^{\,2} = \Omega_0/2.$$

Современное значение параметра плотности Вселенной принято записывать в виде

$$\Omega_0 = \Omega_B + \Omega_\gamma + \Omega_\nu + \Omega_{DM} + \Omega_{DE},$$

где Ω_B — вклад барионной материи), Ω_γ — вклад реликтового излучения, Ω_ν — вклад энергии нейтрино, Ω_{DM} — вклад темной материи (Dark Matter), состоящей из неизвестных пока частиц (это могут быть, например, слабо взаимодействующие массивные частицы), Ω_{DE} — вклад космического вакуума, или «темной энергии» (Dark Energy).

Наилучшие значения этих параметров получены путем измерения анизотропии и поляризации реликтового излучения на космическом аппарате WMAP (Wilkinson Microwave Anisotropic Probe) и к 2008 г. равны:

$$\Omega_B = 0{,}042 \pm 0{,}004;\ \Omega_\gamma \sim 10^{-5}\,\Omega_B;$$

$$\Omega_{DM} = 0{,}20 \pm 0{,}04;$$

$$\Omega_{DE} = 0{,}76 \pm 0{,}04.$$

$$\Omega_0 = 1{,}003 \pm 0{,}013.$$

§ 13. Сценарий первых трех минут эволюции Вселенной

Обращение теперешнего расширения Вселенной назад по времени в прошлое приводит к выводу о том, что ранняя Вселенная была необычайно плотной и горячей. Космический фон реликтового излучения, который в настоящее время вносит ничтожный вклад в полную энергию Вселенной, в ранней Вселенной доминировал, превышая вклад энергии вещества. Переход от эры доминирования излучения к эре доминирования вещества в прошлом произошел в тот момент, когда

$$\rho_{\text{изл}} = \rho_{\text{вещ}}. \qquad (32\text{-}1)$$

Можно оценить, когда случился этот переход. При расширении Вселенной общее количество вещества не изменяется, а объем Вселенной прямо пропорционален кубу масштабного фактора, поэтому можно считать, что $\rho_{\text{вещ.}} a^3 = \rho_{\text{вещ.,}0} a_0^3$, или

$$\rho_{\text{вещ}}(t) = \rho_{\text{вещ}0}(a_0/a)^3 \qquad (32\text{-}2)$$

(индекс 0 отмечает современные значения масштабного фактора и плотности вещества).

Плотность энергии излучения по закону Стефана–Больцмана пропорциональна T^4. Как показано выше, $T \approx 1/a$. Следовательно,

$$\rho_{\text{изл}}(t) = \rho_{\text{изл}0}(a_0/a)^4. \qquad (32\text{-}3)$$

Уже из равенств (32-2) и (32-3) следует, что при $a \to 0$ плотность энергии излучения превышает плотность энергии вещества, т. е. осуществляется переход от одной эры к другой. Подстановка соотношений (32-2) и (32-3) в условие перехода (32-1) с учетом того, что $\rho_{\text{вещ}0} = \Omega_0 \rho_c$, а $\rho_{\text{изл.,}0} = 4{,}5 \cdot 10^{-34}$ г/см^3, приводит к равенству:

$$a_0/a = \rho_{\text{вещ, }0} / \rho_{\text{изл, }0} = 2{,}3 \cdot 10^4\, \Omega_0 h_0^2. \qquad (32\text{-}4)$$

Поскольку параметры Ω_0 и h_0 порядка единицы, отсюда можно сделать вывод, что плотность вещества равнялась плотности излучения, когда Вселенная была примерно в 10^4 раз меньше, чем сейчас, а температура реликтового излучения была соответственно в 10^4 больше и составляла примерно 3000 К. При температуре такого порядка ($T \sim 10^5$ К ≈ 10 эВ соответствует энергии связи электрона в атоме водорода, $T = 3000$ К $\approx 0{,}25$ эВ) в истории Вселенной произошло важное событие: до той поры полностью ионизованная водородная плазма, состоявшая из протонов и электронов, превратилась в обычный нейтральный газ из атомов водорода (произошла «рекомбинация» водорода). Именно этот момент и явился, с физической точки зрения, этапным при переходе от одной эры к другой. До него кинетическая энергия электронов была по величине больше энергии связи электронов в атоме водорода, так что электроны не могли удержаться в связанном состоянии и образовать вместе с протонами стабильные атомы.

Более того, до момента рекомбинации излучение и вещество находились в термодинамическом равновесии. Это означает, что плотность свободных электронов была велика и рассеяние реликтовых фотонов на электронах (реакция $\gamma + e^- \to \gamma + e^-$) приводило к обмену энергией между этими частицами, что поддерживало термодинамическое равновесие между веществом и излучением. После рекомбинации вещество стало прозрачным для излучения (нейтральные атомы водорода практически не рассеивают фотоны), т. е. произошло разъединение фотонов и обычного вещества. Фотоны практически перестали взаимо-

действовать с атомами. Далее фотонный газ продолжал расширяться, увлекаемый общим космологическим расширением. Его температура непрерывно падала, достигнув ~3 К к настоящему времени.

Следует выяснить, когда же произошла рекомбинация. Аккуратное вычисление момента времени перехода от одной эры к другой требует задания конкретной фридмановской модели. Поскольку в любом случае геометрия реальной Вселенной не слишком сильно отличается от евклидовой, можно воспользоваться уравнениями простейшей механической модели разлета материи, считая, что плотность равна критической. В этом случае

$$H^2 = 8\pi G\rho/3.$$

Постоянная Хаббла $H = (dr/dt)/r$, и поскольку $r = a(t)r_{\text{нач.}}$, где $r_{\text{нач.}}$ — начальный радиус некоторого расширяющегося объема, то H выражается через масштабный фактор: $H = (da/dt)/a$. Отсюда получается основное уравнение Фридмана для эволюции масштабного фактора в евклидовой Вселенной:

$$da/dt = (8\pi G\rho/3)^{1/2}a.$$

Поскольку рассматривается момент перехода от одной эры к другой, можно положить $\rho = \rho_{\text{изл}}$:

$$(da/dt) = (8\pi G\rho_{\text{изл}}/3)^{1/2}a = \\ = (8p G\rho_{\text{изл}\bullet}a_{\bullet}^{\,4}/3a^4)^{1/2}a.$$

Прямой подстановкой проверяется, имеет ли это уравнение решение:

$$a(t) = (32\pi G\rho_{\text{изл}0}a_0^{\,4}/3)^{1/4}t^{1/2}. \qquad (32\text{-}5)$$

С помощью соотношения (32-3) находится зависимость плотности энергии излучения от времени:

$$\rho_{\text{изл}}(t) = \rho_{\text{изл}0}a_0^{\,4}/a^4 = (3/32\pi G)t^{-2}. \qquad (32\text{-}6)$$

Отсюда, учитывая, что по закону Стефана-Больцмана $\rho_{\text{изл.}} = \sigma T^4$, находится и зависимость температуры от времени:

$$T = \frac{\text{const}}{t^{1/2}}. \qquad (32\text{-}7)$$

Заметим, что соотношение (32-7) можно получить и сразу из (32-5), если учесть полученную ранее в § 9 универсальную связь $T \sim 1/a$ между температурой T и масштабным фактором a.

Формулы (32-5)—(32-7) дают ответ на вопрос, как зависели от времени размеры, плотность энергии и температура расширяющейся Вселенной на ранней стадии ее эволюции в эру доминирования излучения.

С помощью аналогичных выкладок можно убедиться, что в эру доминирования вещества масштабный фактор меняется по закону

$$a(t) = \left(6\pi G\rho_{\text{веш}0}a_0^3\right)^{1/4}t^{2/3},$$

и, соответственно, $T = \text{const}/t^{2/3}$.

Если вдуматься, полученные соотношения поражают воображение. Пожалуй, нигде более так ярко не проявляется мощь научного метода познания. Действительно, ведь речь идет о самом большом и самом всеобъемлющем объекте природы — о самой Вселенной, имеющей трудно вообразимые размеры, заполненной невероятно большим числом галактик, каждая из которых содержит мириады звезд. Речь идет о событиях, удаленных в прошлое на миллиарды лет. Оказывается, простые физические законы позволяют достаточно точно указать, что происходило с этим объектом в определенные моменты времени. Кроме того, выясняется, что космологическая эволюция определяется свойствами и поведением элементарных частиц. Таким образом, здесь происходит удивительное

соединение физики микромира с космологией: судьба самого большого и уникального объекта — Вселенной — зависит от законов, управляющих поведением фундаментальных составных частей материи. Это вполне оправдывает название *космомикрофизика*, присвоенное по инициативе А. Д. Сахарова одной из самых молодых областей физической науки.

В процессе эволюции Вселенной, в которой доминирует излучение, от самых ранних моментов времени к моменту рекомбинации и переходу к эре доминирования вещества можно выделить три эпохи.

Мысленно перенесемся к «началу» Вселенной. Путешествие из прошлого к настоящему целесообразно начать в момент времени $t = 10^{-35}$ с. В этот момент $T = 10^{27}$ К, а тепловая энергия $kT = 10^{15}$ ГэВ. Почему в качестве стартовой точки выбран именно этот момент времени? Здесь необходимо вспомнить некоторые считающиеся общепринятыми факты теории элементарных частиц и фундаментальных взаимодействий.

Современной теорией взаимодействий элементарных частиц является *стандартная модель*, представляющая собой теорию объединения электромагнитных, слабых и сильных взаимодействий (см. гл. 31). Все проверяемые предсказания этой модели согласуются с имеющимися экспериментальными данными. Наиболее существенной чертой стандартной модели является предсказание зависимости констант сильного, электромагнитного и слабого взаимодействий от энергии.

Эта зависимость такова, что при энергии порядка 1000 ГэВ происходит объединение констант электромагнитного и слабого взаимодействий (эти два взаимодействия становятся неотличимыми друг от друга и сливаются в единое *электрослабое взаимодействие*). При значительно большей энергии порядка 10^{14} ГэВ константа электрослабого взаимодействия становится равной константе сильного взаимодействия, так что объединяются все три взаимодействия. При $E > 10^{14}$ ГэВ все мыслимые сорта элементарных частиц взаимодействуют друг с другом с одинаковой интенсивностью, так что равновероятны процессы рождения и обратной аннигиляции любой пары частица – античастица в любую другую пару, включая фотоны и нейтрино:

$$A + \bar{A} \leftrightarrow B + \bar{B}.$$

Скорость этих реакций была настолько большой, что поддерживалось состояние термодинамического равновесия.

Таким образом, в момент времени, соответствующий энергии порядка 10^{15} ГэВ, содержимое Вселенной представляло собой ультрарелятивистскую плазму из элементарных частиц всех сортов и их античастиц в состоянии термодинамического равновесия. В эту плазму входили кварки, электроны, мюоны, таулептоны, нейтрино всех типов, глюоны, W- и Z-бозоны, фотоны, а также все еще не открытые, но предсказываемые стандартной моделью частицы (хиггсы, X-бозоны и т. п.). Эта Вселенная расширялась, так что ее размер изменялся со временем по закону (32-5), а температура падала по закону (32-7).

Адронная эпоха

($t = 10^{-35}$–10^{-4} с, $T = 10^{27}$–10^{12} К, $E = 10^{14} - 1$ ГэВ)

В самом начале этой эпохи произошло важное событие — сильное взаимодействие отщепилось от электрослабого. Согласно стандартной модели, слияние или расщепление взаимодействий представляет собой фазовый переход, обус-

ловленный *спонтанным нарушением симметрии* скалярного поля. При энергиях выше точки фазового перехода взаимодействия описываются единой константой, неотличимы друг от друга. Ниже точки фазового перехода ($E = 10^{14}$ ГэВ) взаимодействие кварков и глюонов (описываемое *квантовой хромодинамикой*) отщепилось от электрослабого взаимодействия. Как полагают, этот момент ознаменовался еще одним принципиально важным для всех нас событием — возникновением *барионной асимметрии* Вселенной.

Образовавшаяся кварк-глюонная плазма продолжала охлаждаться. Следует учесть, что каждый сорт частиц может свободно рождаться только при температуре выше пороговой для данного сорта. Действительно, по закону сохранения энергии минимальная необходимая энергия соударяющихся частиц (например, двух фотонов) в процессе рождения пары частица – античастица $\gamma + \gamma \to A + \bar{A}$ не может быть меньше удвоенной энергии покоя этой частицы $2m_A c^2$. Следовательно, тепловая энергия $E = kT$ также должна быть не меньше этого значения. Иными словами, пороговая температура для рождения частиц сорта A равна $T_A \sim 2m_A c^2/k$. При расширении и охлаждении Вселенной последовательно проходятся пороги рождения частиц всех сортов, начиная с самых тяжелых. Как только порог T_A пройден, частицы типа A аннигилируют со своими античастицами, но уже не могут рождаться вновь и исчезают из состава плазмы (если не считать крохотного избытка кварков над антикварками, обусловленного барионной асимметрией).

В момент времени $t \approx 10^{-5}$ с ($E \approx 1$ ГэВ) оставшиеся кварки образуют нуклоны (протоны и нейтроны) и мезоны (пионы, каоны и т. д.). Адронная эпоха на этом завершается. Ее роль в дальнейшей эволюции Вселенной колоссальна — именно в первые трудно вообразимые по своей краткости мгновения после Большого взрыва произошло образование избытка барионов, превратившегося в конечном итоге через 15 млрд лет в галактики, звезды, планеты и читателей этой книги.

Следует заметить, что в самом конце адронной эпохи, когда энергия частиц $E \approx 10^3$ ГэВ, произошел еще один фазовый переход, в результате которого слабое взаимодействие отщепилось от электромагнитного. Начиная с этого момента, все три взаимодействия сосуществуют независимо друг от друга, и их константы существенно различны.

Возникновение барионной асимметрии Вселенной

Совокупность прямых и косвенных данных свидетельствует об отсутствии заметных количеств антивещества в Галактике. В потоках частиц межзвездного газа в окрестности Солнца антивещества нет. Нет ни антипланет, ни астероидов из антивещества в Солнечной системе, иначе бы на их поверхности наблюдалась аннигиляция с частицами, летящими от Солнца (солнечным ветром). Если бы на расстоянии меньшем, чем 30 пк от Солнца, существовала антизвезда, аннигиляция межзвездного газа на ее поверхности превращала бы такую антизвезду в мощный источник гамма-излучения, что исключено наблюдениями. Отсутствие антизвезд на больших расстояниях от Солнца исключают из косвенных соображений.

Как следует из теории образования и эволюции любых звезд, они создаются из газа и выбрасывают часть своего вещества в межзвездное пространство. Следовательно, в окрестности каждой звезды должны находиться облака газа того же состава, что и сама звезда, т. е. антигаза

для антизвезды. Аннигиляция такого газа антивещества с газом вещества в Галактике создавала бы фон гамма-излучения, исключаемый наблюдениями. Аналогичные аргументы позволяют расширить окружающую нас область видимого отсутствия антивещества до размеров Местного сверхскопления галактик, в которое входит наша Галактика.

Строго говоря, уже соседнее сверхскопление галактик могло бы состоять из антивещества. Данные по фону гамма-излучения отнюдь не исключают и существования небольшого числа (десятков тысяч) антизвезд даже в нашей Галактике. Однако, отвлекаясь от этих возможностей, теория горячей Вселенной полагает в качестве начального условия эволюции Вселенной ее *универсальную барионную асимметрию*. Считается, что при сверхвысоких температурах в момент времен $\sim 10^{-5}$ с от «начала» в равновесии с плазмой находились пары барионов и антибарионов, но на каждый миллиард таких пар приходился один избыточный барион.

Если бы Вселенная была полностью симметрична по частицам и античастицам, то вскоре после ее образования произошла бы полная аннигиляция всех частиц со всеми античастицами. Итогом была бы Вселенная, состоящая преимущественно из фотонов и нейтрино. На самом деле небольшой избыток барионов остался после аннигиляции и составил основу вещества, из которого состоит окружающий нас мир. Таким образом, параметр $n_B/n_\gamma = 6 \cdot 10^{-10}$ — один из основных параметров горячей модели; иначе говоря, это начальное условие дальнейшей эволюции Вселенной, которое уже не может быть выведено из уравнений горячей модели и требует своего объяснения в рамках других представлений.

До определенного времени считалось общепринятым, что избыток вещества по сравнению с антивеществом должен был существовать во Вселенной изначально, условно говоря, с момента времени $t = 0$. Этим вопрос о происхождении барионной симметрии снимался, однако подобный ответ не очень удовлетворил ученых. Еще в 1967 г. российскийученый А. Д. Сахаров высказал идею о том, как барионная асимметрия Вселенной могла бы возникнуть в процессах *бариосинтеза*, т. е. в процессах образования протонов, нейтронов и атомных ядер. Затем эта идея была развита В. А. Кузьминым в 1970 г.

А. Д. Сахаров сформулировал необходимые условия возникновения разного числа барионов и антибарионов. Главным из них было несохранение числа барионов, возможность их распада. Именно такие реакции предсказываются в стандартной модели объединения взаимодействий элементарных частиц. Теоретически привлекательно изначальное равенство числа барионов и антибарионов. Однако в процессе фазового перехода при температуре $T = 10^{26}$ К во Вселенной могла образоваться *барионная асимметрия*, которая явилась уже не начальным условием, а результатом определенных физических процессов. В простейших вариантах теории объединения взаимодействий предсказывается прямая связь вероятности распада протона и барионной асимметрии Вселенной. Однако экспериментальные поиски распада протона и анализ космологических следствий моделей Большого объединения показывают, что такая связь, по-видимому, не является ни простой, ни прямой.

Механизм образования избытка барионов можно проиллюстрировать следующим образом. При высоких температурах в симметричной по отношению к барионам и антибарионам Вселенной в равновесии находилось равное количество бозонов X и их античастиц $\overline{X}$, в распадах

которых не сохраняется число лептонов и барионов. Существование таких бозонов с массами порядка 10^{14} ГэВ, т. е. порядка энергии фазового перехода, предсказывается всеми вариантами моделей объединения сильных и электрослабых взаимодействий.

Пусть имеются два канала распада $X \to q + q$ и $X \to \overline{q} + l$ с относительной вероятностью ρ и $(1 - \rho)$ соответственно (здесь q — кварк, l — лептон, черта над символом частицы означает античастицу). Тогда $\overline{X}$ распадается по каналам $\overline{q} + \overline{q}$ и $q + \overline{l}$ с относительной вероятностью $\overline{\rho}$ и $(1 - \overline{\rho})$. Квантовая теория поля утверждает, что массы и полные времена жизни частиц и античастиц должны быть равны (следствие *CPT-теоремы*), но при несохранении *CP-четности* (квантового числа, характеризующего поведение системы частиц относительно одновременного отражения в зеркале и замены всех частиц на соответствующие античастицы) относительные вероятности распадов по соответствующим каналам отличаются на величину, определяемую величиной и знаком нарушения *CP*.

При изначально равном количестве частиц X и их античастиц $\overline{X}$ в их распадах образуется избыток барионного заряда, пропорциональный разности $(\rho - \overline{\rho})$ и концентрации X-частиц. Тем самым образование избытка барионов происходит при выполнении *трех* условий: *а*) отклонение от равновесия (в равновесии выше точки фазового перехода с одинаковой скоростью происходят как распады X и $\overline{X}$, так и обратные реакции их образования; после фазового перехода температура всех частиц становится меньше энергии покоя X-бозонов, так что они перестают образовываться), *б*) несохранение барионного заряда (общее свойство всех теорий, объединяющих электрослабые и сильные взаимодействия, — существование процессов превращения барионов в лептоны) и *в*) нарушение *CP*-инвариантности.

Следует заметить, что описанный механизм образования барионной асимметрии Вселенной не является единственно возможным. Ключевое для этого механизма обстоятельство — возможность распада протона. Однако прямых экспериментальных подтверждений этому пока не найдено. Таким образом, загадка барионной асимметрии все еще не решена и остается одним из самых важных открытых вопросов космологии.

Лептонная эпоха

($t = 10^{-4} - 1$ с, $T = 10^{12} - 4 \cdot 10^{9}$ К, $E = 1$ ГэВ – 0,4 МэВ)

В начале этой эпохи в состав Вселенной входят нуклоны (тот барионный избыток, который остался от аннигиляции кварк-антикварковых пар в адронную эпоху), электроны, мюоны, тау-лептоны, нейтрино и их античастицы, а также фотоны.

В конце лептонной эпохи при энергии $E \approx 1$ МэВ нейтрино выпали из равновесия с заряженными лептонами (процесс аннигиляции пар нейтрино – антинейтрино с образованием пар заряженных лептонов стал невозможен). Это привело к тому, что нейтрино всех типов, которые до этого момента участвовали во взаимодействиях на равных с заряженными лептонами и кварками, отщепились от других частиц, так что вещество стало для них практически прозрачным. Нейтринный газ стал свободно расширяться вместе со всей Вселенной, не взаимодействуя с остальными частицами. Количество таких реликтовых нейтрино сравнимо с количеством реликтовых фотонов, и все они дожили до наших дней. Можно вычислить, что их энергия сейчас должна составлять 71 % энергии реликтовых

фотонов, т. е. соответствовать равновесной температуре около 2 К, или энергии 10^{-4} эВ. Прямая регистрация реликтовых нейтрино представляется пока неосуществимой задачей.

Эпоха излучения

($t = 1–10^{12}$ с, $T = 4\cdot10^{9}–10^{4}$ К, $E = 0{,}4$ МэВ – 1 эВ)

В начале этой эпохи происходит аннигиляция электронов и позитронов (их масса равна 0,511 МэВ, так что при $E < 1$ МэВ реакции рождения пар e^+e^- фотонами становятся невозможными). Остается крохотный избыток электронов, плотность заряда которых компенсирует положительную плотность заряда протонов. Вклад плотности нуклонов и электронов в общую плотность материи пока еще меньше вклада плотности фотонов и нейтрино.

На протяжении примерно 200 с (за первые три минуты) происходит важнейший для дальнейшей судьбы Вселенной процесс *нуклеосинтеза*, т. е. образования ядер первичных элементов. Итогом этого процесса является первичный состав вещества Вселенной: ядра водорода (протоны) — 75 % (по массе), ядра гелия ^{4}He — 25 %, а также небольшие примеси (сотые доли процента) ядер дейтерия, лития и других легких элементов.

Нуклеосинтез

Примерно через 1 с после «начала» температура космической плазмы, состоявшей к тому моменту из нуклонов и лептонов, упала до 10^{10} К, что соответствовало кинетической энергии протонов и нейтронов порядка 1 МэВ. В этот момент и далее стало энергетически выгодно слияние отдельных нуклонов в ядра простейших химических элементов, так как энергия связи нуклонов в ядрах также порядка нескольких мегаэлектронвольт и образовавшиеся ядра не разрушались тепловым движением окружающих нуклонов.

До этого момента термодинамическое равновесие в плазме поддерживалось за счет реакций

$$p + e^- \leftrightarrow n + \nu_e; \quad p + \overline{\nu}_e \leftrightarrow n + e^+. \qquad (32\text{-}8)$$

При достаточно большой температуре порядка $10^{11}–10^{10}$ К количество протонов и нейтронов в равновесии примерно одинаково. Ключевым обстоятельством, нарушающим это равенство при понижении температуры, является то, что нейтрон немного (на 1,3 МэВ) тяжелее протона. Из этого следует, что при более низкой температуре энергетически более выгодно образование в указанных реакциях более легкого протона, т. е. вероятность образования протона больше, чем нейтрона. Если бы не было каких-то причин, по которым реакции (32-8) прекратились, то через несколько десятков секунд от начала количество нейтронов стало бы ничтожным — они бы выпали из общего состава вещества Вселенной. Статистическая физика, основываясь на весьма общих свойствах термодинамических систем в состоянии равновесия (*распределение Гиббса*), позволяет найти отношение концентраций нейтронов и протонов:

$$\frac{[n]}{[p]} = \exp\left(-\frac{\Delta m c^2}{kT}\right).$$

Здесь Δm — разность масс нейтрона и протона. Видно, что это отношение близко к единице при больших T и стремится к нулю при уменьшении T.

Что же останавливает падение концентрации нейтронов? Дело в том, что вероятности процессов (32-8) очень сильно зависят от температуры (иными словами, от

энергии сталкивающихся частиц), уменьшаясь, как T^5. В результате очень быстро, через несколько первых секунд после начала расширения Вселенной, реакции (32-8) прекращаются и отношение концентраций нейтронов и протонов «замерзает» на некотором значении. Вычисление этого отношения требует знания деталей протекания реакций (32-8), хорошо изученных в лабораториях. Таким образом, достаточно надежно устанавливается начальное отношение концентраций

$$([n]/[p])_{\bullet} \approx 0{,}14.$$

После того как температура упала до 10^9 К, протоны и нейтроны начинают сливаться в ядра дейтерия, а те в свою очередь в ядра гелия. Все эти реакции хорошо изучены в земных условиях, поэтому можно достаточно точно рассчитать последующее развитие событий. Цепочка превращений такова:

$$p + n \to D + \gamma,$$

$$D + D \to T + p,$$

$$D + D \to {}^3\mathrm{He} + n,$$

$$T + p \to {}^3\mathrm{He} + n,$$

$$T + D \to {}^4\mathrm{He} + n,$$

$${}^3\mathrm{He} + D \to {}^4\mathrm{He} + n.$$

В конечном итоге все имеющиеся нейтроны захватываются, образуя ядра гелия. Вдобавок образуется ничтожное количество (в процентном отношении) ядер дейтерия и лития. Поскольку практически все нейтроны перешли в состав гелия (ядро гелия состоит из двух протонов и двух нейтронов), можно предсказать, что доля гелия по массе будет равна удвоенной концентрации нейтронов и составит $Y \approx 0{,}25–0{,}28$.

Почему же реакции синтеза на этой стадии не идут дальше? Почему не происходит образования более тяжелых элементов? Дело в том, что такие элементы могли бы образоваться только в реакциях соударения уже имеющихся частиц, т. е. в реакциях, где ядра гелия сталкиваются с нейтронами, протонами или теми же ядрами гелия. В подобных реакциях должны возникать ядра с атомными номерами 5 или 8. Но таких устойчивых ядер нет в природе! Этот факт хорошо изучен в лабораторных условиях (невозможность синтеза ^{8}Be при соударении двух ядер гелия получила название бериллиевой щели). Синтез элементов в ранней Вселенной ограничивается только легкими элементами. Все тяжелые элементы возникают значительно позднее в результате работы «термоядерных топок» в центральных областях звезд.

Таким образом получается основное проверяемое наблюдениями предсказание модели горячей Вселенной: первичное вещество Вселенной состояло на 75 % из водорода и на 25 % из гелия. Этот химический состав оставался неизменным на протяжении первого миллиарда лет вплоть до образования первых галактик и звезд. Далее в недрах звезд начался процесс нуклеосинтеза более тяжелых, чем гелий, элементов.

Отметим еще одно предсказание стандартной модели эволюции Вселенной. Нейтрино, образованные в результате Большого взрыва, дают вклад в общую плотность материи Вселенной. Чем больше число поколений нейтрино, тем больше должна быть эта плотность. Однако она определяет скорость расширения Вселенной, а это в свою очередь влияет на детали реакций нуклеосинтеза, происходящих в первые три минуты и определяющих ее последующий химический состав. В частности, число сортов нейтрино прямо связано с количеством образовавшегося гелия. Зная измеренные значения содержания He^4 в первичной материи,

можно установить довольно жесткие допустимые значения числа сортов нейтрино: не более 3–4. Таким образом, космологический аргумент прекрасно согласуется с прямыми земными экспериментами, проделанными сравнительно недавно, из которых следует, что число сортов легких нейтрино равно трем.

Когда-то Л. Д. Ландау говорил: «Космологи редко бывают правы, но никогда не сомневаются». Сейчас космология реабилитировала себя, она превратилась в полигон для проверки всех теоретических идей в физике элементарных частиц, так как понимание происхождения и эволюции Вселенной непосредственно связано с пониманием и развитием теории элементарных частиц и в ряде случаев именно противоречие с космологическими соображениями заставляло отказаться от той или иной внешне красивой идеи.

§ 14. Вблизи самого начала

Итак, начиная с момента времени 10^{-35} с от «начала» эволюции Вселенной, она развивалась по сценарию Большого взрыва. Как уже отмечалось, его принято называть стандартным сценарием. Прямые наблюдения распространенности химических элементов в галактиках и звездах согласуются с выводами теории нуклеосинтеза, основанной на этом сценарии эволюции. Существование изотропного и однородного фона реликтового излучения подтверждает гипотезу, что в эволюции Вселенной была сверхплотная и сверхгорячая стадия.

Однако возникает вопрос: что было до момента времени 10^{-35} с? И здесь стандартный сценарий сталкивается с серьезными трудностями.

1. Первая и основная проблема: что было *до* Большого взрыва? Существовало ли тогда само пространство-время? Как могло что-то возникнуть из ничего? Что возникло раньше: наша Вселенная или законы, управляющие ее эволюцией? Следует со всей определенностью ответить, что объяснение причин того, что произошло в момент «ноль», остается самой неразрешимой загадкой космологии. Все высказывемые по этому поводу идеи носят, как принято выражаться, спекулятивный характер, тем более что они не могут быть проверены путем наблюдений или экспериментов.

2. Тем не менее остается проблема *начальной сингулярности*: согласно стандартной модели при $t \to 0$ температура и плотность Вселенной стремятся к бесконечности, т. е. значению $t = 0$ соответствует особая точка (сингулярность). Очевидно, что «приличная» теория не должна приводить к бессмысленным бесконечным значениям физических величин. Следовательно, стандартная модель неприменима вблизи самого начала.

3. Еще одна проблема связана с тем, что пространство, в котором мы живем, с большой точностью плоское, евклидово, т. е. $\Omega = \rho/\rho_c \approx 1$. Но отсюда следует, что в ранние моменты времени величина Ω должна была быть равна 1 с еще большей точностью. Расчеты показывают, что в момент времени 10^{-43} с от начала Ω должна была отличаться от 1 на фантастически малую величину 10^{-60}. Как же могла осуществиться такая тонкая настройка параметров Вселенной в начальный момент? Эту проблему называют неуклюжим словом «проблема плоскостности».

4. Теория и наблюдения расходятся в отношении размеров Вселенной. Оценки количества видимой материи показывают, что во Вселенной сейчас имеется по крайней мере 10^{88} элементарных частиц. В то же время теоретически разумно предполагать, что начальный размер Все-

Вселенной был порядка планковского, т. е. 10^{-33} см, а плотность порядка 10^{93} г/см^3. Если бы такая Вселенная с самого начала расширялась по законам стандартной модели Большого взрыва, то ее размер сейчас был бы порядка 10^{-21} см, т. е. не превышал бы размеров одной (!) элементарной частицы. Если теория приводит к абсурдному результату, что-то не в порядке с теорией.

5. В любой момент времени t после начала расширения область тех событий, которые могут быть причинно связаны, имеет радиус $R = ct$. Этот радиус называют горизонтом событий. Если принять возраст Вселенной равным 13 млрд лет, то сейчас горизонт событий равен 13 млрд св. лет, или $\sim 10^{28}$ см, и каждую секунду увеличивается на 300 000 км. В действительности размеры горизонта больше, так как следует учесть расширение Вселенной. Более точный расчет дает значение $R \approx \beta ct$, где $\beta \approx 2 \div 3$ в зависимости от модели материи, заполняющей Вселенную; однако в любом случае R пропорционален t.

Проблема, связанная с горизонтом событий, состоит в следующем. Сейчас реликтовое излучение с большой точностью изотропно (относительные отличия в интенсивности по разным направлениям не превышают 10^{-5}). Это излучение практически перестало взаимодействовать с веществом после рекомбинации электронов и протонов в нейтральные атомы водорода, что произошло при температуре $T \approx 3000$ К в момент времени $t \approx 10^5$ лет после начала. В этот момент размер горизонта составлял $R = ct = 10^{23}$ см. Но из факта изотропии и однородности реликтового излучения следует, что Вселенная была в момент рекомбинации изотропна и однородна в областях с размерами, на много порядков большими размеров горизонта в тот момент времени. Простой пример: фотоны реликтового излучения одновременно приходят на Землю из удаленных на 10^{10} св. лет областей Вселенной, находящихся на противоположных концах одной прямой. Эти фотоны были испущены горячей плазмой перед рекомбинацией и еще не добрались каждый до противоположного источника. Следовательно, эти источники никак причинно не связаны. Однако интенсивность реликтового излучения, приходящего с обоих направлений, практически одинакова. Возникает вопрос: каким образом происходила изотропизация свойств в причинно несвязанных областях?

Чем отличается Большой взрыв от обычного?

Все такие вопросы (и ряд других) свидетельствуют: стандартный сценарий Большого взрыва не применим в эпоху вблизи самого «начала». Для лучшего понимания проблемы полезно провести сравнение Большого взрыва с теми взрывами, которые знакомы всем в земных условиях.

Рассмотрим заряд взрывчатого вещества, например тротила. Это сложное соединение атомов углерода, азота, водорода и кислорода. Энергия этого соединения больше, чем энергия тех же элементов, находящихся в состоянии отдельных молекул CO, H_2O, CO_2, H_2, N_2. Химическая реакция, вызванная местным нагревом, распространяется по всему заряду. Через несколько микросекунд заряд превращается в продукты реакции — горячую смесь газов, не успевших еще расшириться. Давление продуктов реакции составляет в этот момент около 200 000 атм.

На следующей стадии начинается расширение газов, т. е. собственно взрыв. Движущей силой взрыва является колоссальная разность давлений между продуктами реакции и окружающим атмосферным воздухом. Продукты реакции

расширяются, уменьшается их плотность и температура. Соответственно понижается и давление. При взрыве заряда в воздухе объем, занимаемый продуктами реакции, расширяется до тех пор, пока давление в нем не станет равным внешнему давлению. По воздуху идет ударная волна. Осколки оболочки взрывного устройства разлетаются, постепенно теряя скорость. При взрыве в пустоте, в космическом пространстве, расширение продолжается неограниченно, каждый осколок и каждая частица продуктов реакции приобретают определенную скорость и затем, сохраняя эту скорость, разлетаются все дальше.

Сопоставим эту картину с картиной Большого взрыва. Есть схожие черты. Во-первых, расширение продуктов обычного взрыва сопровождается их охлаждением. Так же происходит и в результате Большого взрыва. Во-вторых, разлет частиц с постоянной скоростью после химического взрыва и очень короткого периода ускорения приводит к тому, что путь, пройденный каждой частицей, с хорошей точностью равен начальной скорости частицы v, умноженной на время t: $r = vt$. Но ведь это не что иное, как закон Хаббла для расширяющейся Вселенной: обозначив $t = 1/H$, формулу можно переписать в виде $v = r/t$. Итак, схожие черты: охлаждение при расширении и линейная зависимость скорости от расстояния.

Однако главные принципиальные отличия химического взрыва от Большого взрыва не количественные, а качественные. Совершенно различны причины взрывов. Первое отличие: разлет после химического взрыва не приводит к равномерному распределению вещества по объему. В воздухе остается граница между продуктами взрыва и воздухом. В космосе продукты разлета имеют некоторую максимальную скорость $v_{макс}$. За пределами радиуса $r_{макс} = v_{макс}t$ остается пустота, в области, ограниченной этим радиусом, плотность в каждый момент неодинакова в разных точках и для разных частиц.

В Большом взрыве в каждый момент времени плотность одинакова везде и не существует никаких границ.

Второе и самое важное отличие Большого взрыва: расширение Вселенной по фридмановскому сценарию нельзя объяснить разностью давлений, действующих на какую-то частицу или слой плазмы. Теория Большого взрыва не объясняет расширения. Как выражаются в таких случаях теоретики, расширение заложено в уравнения «руками», путем произвольного задания начальных условий. На вопрос, почему Вселенная расширяется, ответ состоит в том, что в момент времени 10^{-35} с от начала (именно с этого момента теория Большого взрыва начинает, как полагают, надежно «работать») было задано распределение скоростей всего содержимого Вселенной, соответствующее разлету по закону Хаббла. Вопрос о том, что обусловливает необходимое начальное распределение скоростей, должен решаться вне рамок теории Большого взрыва.

Какие идеи могут быть высказаны на этот счет? Здесь следует сделать небольшое отступление и напомнить, что в рамках общей теории относительности гравитируют все виды энергии. Отсюда, в частности, следует, что в среде с определенными плотностью и давлением (например, в плазме релятивистских частиц) ускорение элемента объема среды определяется не только плотностью ρ, но и давлением p, причем в формулу для ускорения входит комбинация $\rho + 3p/c^2$ (давление эквивалентно дополнительной плотности энергии, коэффициент 3 определяется размерностью нашего пространства). В плазме давление велико и равно $p = \rho c^2/3 > 0$, поэтому ускорение

удваивается ($\rho + 3p/c^2 = 2\rho$) по сравнению с ускорением вещества той же плотности ρ, но при $p = 0$ (пыль невзаимодействующих частиц).

Однако на самом деле силы тяготения тормозят разлет, происходит не ускорение, а замедление разлета (знак ускорения отрицателен). Таким образом, наличие обычного давления в плазме только усиливает эффект торможения, т. е. не способствует разлету. Вот если бы существовала среда с определенной плотностью энергии $\varepsilon_•$ (ей соответствует плотность массы $\rho_• = \varepsilon_•/c^2$) и *отрицательным* (!) *давлением* $p = -\varepsilon_• = -\rho_• c^2$, то входящая в формулы теории тяготения комбинация была бы отрицательной: $\rho_• + 3p_•/c^2 = -2\rho_•$. Физически это означало бы, что в таком состоянии силы тяготения имеют другой знак, происходит не притяжение отдельных частиц друг к другу, а их отталкивание. Иначе говоря в такой среде существовала бы антигравитация.

Оказывается, что такая среда есть и она единственна. Это *физический вакуум*, наинизшее энергетическое состояние квантовых полей. Именно в такой среде выполняется (причем во всех системах отсчета) равенство $p = -\varepsilon_•$.

Итак, в принципе можно предложить ответ на вопрос, почему расширяется Вселенная. Для этого достаточно, чтобы в начальный момент Вселенная представляла среду с отрицательным давлением. Тогда силы антигравитации могут из начального состояния покоя привести к состоянию всеобщего разлета по закону Хаббла с определенной начальной скоростью. После этого Вселенная может развиваться по фридмановскому сценарию. Как сказано, стандартная модель начинает действовать с момента времени 10^{-35} с от «начала». Таким образом, на то чтобы «разогнать» Вселенную, остается промежуток времени от «начала» до 10^{-35} с.

Когда Эйнштейн обдумывал свою первую работу, посвященную космологии, он исходил из убеждения, что Вселенная должна быть статичной, неизменной во времени. Однако уравнения ОТО не допускали такого решения. Поэтому Эйнштейн решился на модификацию своих уравнений, добавив в правую их часть слагаемое, пропорциональное так называемой *космологической постоянной* Λ. Значение $\Lambda > 0$ соответствует отталкиванию и компенсирует притяжение обычного вещества. В результате путем подбора параметров в уравнениях Эйнштейн в 1917 г. сумел получить космологическое решение, отвечающее статичной, неизменной во времени Вселенной. Через несколько лет Фридман обнаружил свои зависящие от времени решения, и Эйнштейн после некоторых колебаний признал их правильными. Более того, в конце жизни Эйнштейн признавался, что считает введение в уравнение космологической постоянной одной из самых больших своих ошибок.

Тем не менее уже в 1918 г. нидерландский ученый Виллем де Ситтер нашел удивительное решение уравнений ОТО в отсутствие вещества, с учетом только космологического слагаемого с $\Lambda > 0$. Оказалось, что в этом случае пустая Вселенная по инерции экспоненциально расширяется. Причиной расширения являются силы антигравитации, порождаемые вакуумом.

Решение де Ситтера

Режим расширения по де Ситтеру соответствует постоянной плотности энергии вакуума, которая определяется значением космологической постоянной Λ. В ньютоновском приближении уравне-

ние, определяющее эволюцию масштабного фактора, имеет вид:

$$H^2 = (da/dt)^2/a^2 = 8\pi G\rho_{вак}/3,$$

где $\rho_{вак}c^2 = \Lambda/8\pi G$. Подставляя это выражение, приходим к дифференциальному уравнению:

$$da/dt = (\Lambda/3c^2)^{1/2}a.$$

Его решение (это проверяется прямой подстановкой):

$$a(t) = a_0 \exp[(\Lambda/3c^2)^{1/2}t].$$

Таким образом, постоянная плотность энергии вакуума обеспечивает экспоненциальное расширение Вселенной.

Здесь уместно еще раз пояснить, что понимается под словами «расширение Вселенной». Что же именно расширяется? Наглядной двумерной моделью расширяющейся Вселенной является поверхность надутого резинового шарика. Если нанести случайным образом точки на его поверхности, они будут соответствовать скоплениям галактик. Расстояние между двумя скоплениями определяется длиной дуги большого круга, проведенного через пару точек. Если теперь надувать шарик, точки на его поверхности начинают удаляться друг от друга. Но происходит это не потому, что точки задвигались под действием каких-то сил, а потому, что стало изменяться то пространство, в котором они находятся. Точно так же расширение Вселенной нельзя понимать так, будто галактики разлетаются за счет работы «моторов» в каждой из них. Разлет материи обусловлен изменениями структуры самого пространства-времени. Важно еще заметить, что такое космологическое расширение не означает, что увеличиваются расстояния между атомами твердых тел или между планетами Солнечной системы и т. д. Речь идет только о космологическом эффекте, проявляющемся в масштабах Вселенной в целом.

§ 15. Сценарий инфляции

Каким же может быть сценарий развития событий на сверхранней стадии эволюции Вселенной? В последние два-три десятилетия активно развивается *сценарий инфляции*. Свое название он получил от сходства экспоненциального расширения Вселенной в рамках этого сценария с экспоненциальным ростом цен в стране, пораженной инфляцией национальной валюты.

Впервые о теоретической возможности быстрого раздувания Вселенной на ранней стадии сказал российский физик А. Старобинский в 1979 г. Его модель вызвала большой интерес, но была очень сложна и опиралась на недостаточно обоснованные методы квантовой теории гравитации. Более реалистичный сценарий был предложен американским физиком А. Гутом в 1981 г. и усовершенствован в 1982 г. российским ученым А. Линде и американцами А. Альбрехтом и П. Стейнхардом. Затем многие авторы уточняли и развивали сценарий инфляции. Он в принципе разрешает перечисленные выше трудности модели Большого взрыва и объясняет загадку того начального толчка, который породил фридмановское расширение Вселенной. Это можно рассматривать как сильное косвенное подтверждение такого сценария. Кроме того, не предложено никакой альтернативной гипотезы, обладающей такой же предсказательной силой. Наконец, в последние годы появились прямые подтверждения правильности такого или похожего сценария, связанные с наблюдением анизотропии реликтового излучения, о которых будет сказано ниже.

Суть сценария инфляции коренится в современной физике элементарных частиц.

Еще в начале 1970-х гг. при попытке построения единой теории электромагнитных и слабых взаимодействий стало понятно, что в теорию нужно ввести особое скалярное поле, взаимодействующее с остальными частицами (подробнее см. гл. 31).

Когда говорят, что в пространстве задано скалярное поле, подразумевают, что в каждой точке пространства задано одно число, характеризующее напряженность этого поля. Следует заметить, что скалярное поле не изменяется при переходе от одной инерциальной системы отсчета к другой (числа есть инварианты преобразований Лоренца). Если представить такое скалярное поле заполняющим все пространство Вселенной, то его свойства будут неотличимы от свойств физического вакуума. Полезно сравнить ситуацию с электромагнитным полем, в котором в каждой точке пространства заданы два вектора **E** и **H** (т. е. шесть чисел!), компоненты которых зависят от выбора системы отсчета (простой пример — движущийся заряд, создающий вокруг себя как электрическое, так и магнитное поле; в системе отсчета, связанной с самим зарядом, он неподвижен и магнитного поля нет).

Вычисления показывают, что скалярное поле (как и всякое другое) обладает определенной плотностью энергии, а его давление равно плотности энергии, взятой со знаком «минус», т. е. отрицательно. Таким образом, современная квантово-полевая интерпретация космологической постоянной Λ заключается в том, что она с точностью до константы совпадает с плотностью энергии вакуума (или скалярного поля), причем выполняется очень специфическое соотношение между плотностью энергии и давлением такого вакуума: $p_0 = -\varepsilon_0$. Отметим, что чем больше величина скалярного поля, тем больше соответствующая космологическая постоянная, и тем быстрее происходит экспоненциальное расширение Вселенной (см. решение де Ситтера). Следует еще раз подчеркнуть, что никакая другая среда не имеет такой связи между плотностью энергии и давлением. Кроме того, вакуум скалярного поля обладает главным свойством: он одинаков везде и в любой момент времени.

Для того чтобы представить основную идею сценария инфляции, перенесемся почти к самому «началу» — к планковскому моменту времени $\sim 10^{-43}$ с и проследим судьбу «пузырька» планковских размеров порядка 10^{-33} см, заполненного скалярным полем с планковской плотностью $\sim 10^{93}$ г/см^3 и планковской температурой $T \sim 10^{32}$ К. Строго говоря, отсутствие квантовой теории тяготения не позволяет на основе классических уравнений ОТО рассматривать то, что могло происходить ранее указанного момента времени. Здесь возможны пока только гипотезы. Они обсуждаются в современной научной литературе.

Так, весьма привлекательной с теоретической точки зрения является гипотеза о рождении Вселенной (т. е. рождении классического пространства-времени) из ничего. Одна из самых общих идей о квантовой эволюции Вселенной как целого утверждает, что полная энергия замкнутой Вселенной равна нулю. Отсюда следует, что вся Вселенная может родиться без затрат энергии, т. е. из ничего, в результате квантовых флуктуаций. Нет смысла спрашивать, что было до этого момента, поскольку тогда не существовало самого пространства-времени и поэтому не было причинно-следственных связей между событиями. (Это понимал еще Блаженный Августин, который в «Исповеди» писал: «Если же раньше неба и земли не было времени, зачем спрашивать, что Ты делал тогда. Когда не было времени, не было и тогда».)

Может ли материальное тело иметь нулевую массу?

Чтобы пояснить идею, лежащую в основе сценария рождения замкнутой Вселенной из ничего, подробнее рассмотрим понятие массы системы. В ньютоновской физике масса системы строго равна сумме масс составляющих ее частей и не может изменяться. Справедлив закон сохранения массы. В рамках специальной теории относительности доказано утверждение об эквивалентности массы и энергии. Здесь уже закон сохранения массы становится неверным. Ярким проявлением этой фундаментальной закономерности является разница между массой какого-нибудь ядра и суммой масс составляющих его нуклонов. Простейший пример — дейтрон, состоящий из протона и нейтрона. Его энергия покоя на 2,2 МэВ меньше, чем сумма энергий покоя протона и нейтрона. Эта разница обусловлена отрицательной энергией связи нуклонов в дейтроне: $m_D c^2 = m_p c^2 + m_n c^2 - \Delta E$. Действительно, чтобы разбить дейтрон на составные части, необходимо затратить положительную работу $A > 0$, которая и равна по модулю энергии связи ΔE. В силу эквивалентности энергии и массы можно сказать, что выполнено равенство: $m_D = m_p + m_n - \Delta E/c^2$, т. е. масса дейтрона меньше суммы масс протона и нейтрона на величину так называемого *дефекта масс* $\Delta m = \Delta E/c^2$ (подробнее см. § 6 гл.29).

Важно, что и гравитационные силы приводят к отрицательной энергии связи гравитационно связанных систем. Так, полная энергия системы двух звезд, обращающихся по орбитам под действием сил взаимного тяготения, меньше, чем энергия покоя отдельных компонентов, на величину потенциальной энергии притяжения $U_{\text{грав}} = -Gm_1m_2/r$. Отсюда и масса системы $M = m_1 + m_2 - \Delta m_{\text{грав}}$, где $\Delta m_{\text{грав}} = U_{\text{грав}}/c^2$, т. е. меньше суммы масс на величину *гравитационного дефекта массы*. Таким образом, масса любого гравитационно связанного тела (например, звезды) меньше суммы масс составляющих его частей.

Существенная разница по сравнению с другими взаимодействиями заключается в том, что возможна ситуация, когда гравитационный дефект масс полностью «съедает» исходную массу, так что полная масса тела становится равной нулю (!). Примером может служить однородный шар постоянной плотностью ρ. Масса шара $m = 4\pi\rho r^3/3$. Гравитационный дефект массы шара в ньютоновском приближении может быть вычислен стандартными методами (они полностью совпадают с методами электростатики, поскольку закон всемирного тяготения и закон Кулона имеют одинаковую математическую форму) и равен $\Delta m_{\text{грав}} = -16\pi^2 G\rho^2 r^5/15$. Таким образом, $\Delta m_{\text{грав}}$ пропорционален квадрату плотности и пятой степени радиуса шара. Если теперь добавлять вещество в шар, сохраняя при этом плотность постоянной (т. е. увеличивая радиус шара), то гравитационный дефект будет возрастать по модулю быстрее, чем сама масса, и возможна ситуация, когда разность $m - \Delta m_{\text{грав}}$ обратится в нуль. Это произойдет при значении $r = (5/4\pi G\rho)^{1/2}$. Конечно, строгий расчет должен вестись по формулам ОТО, что немного изменяет численный коэффициент, но это несущественно для главного вывода: возможны материальные объекты, полная энергия (и эквивалентная полная масса) которых равна нулю.

Из этого следует, что процесс рождения Вселенной из ничего не нарушает глобального закона сохранения энергии: был нуль и остался нуль. Но теперь имеется возможность объяснить, откуда во Вселенной берется вещество. Действи-

тельно, из первичной энергии скалярного поля могут рождаться по квантовым законам пары частица – античастица. В результате часть положительной энергии может перейти из полевой формы в форму частиц. Но все вещество само себя притягивает, и гравитационный дефект массы «съедает» положительную энергию. В результате полная энергия замкнутой Вселенной остается равной нулю, но в ней появляется вещество.

Итак, не обсуждая причины возникновения пузырька планковских размеров — будущей Вселенной, поясним, как в нем к моменту времени 10^{-35} с мог возникнуть фридмановский режим расширения. Для этого следует допустить, что основная часть энергии внутри такого пузырька была сосредоточена в скалярном поле, обладающем отрицательным давлением. В простейшей модели раздувания наглядным образом такого поля может служить шар, скатывающийся по поверхности воронки (рис. 32-17).

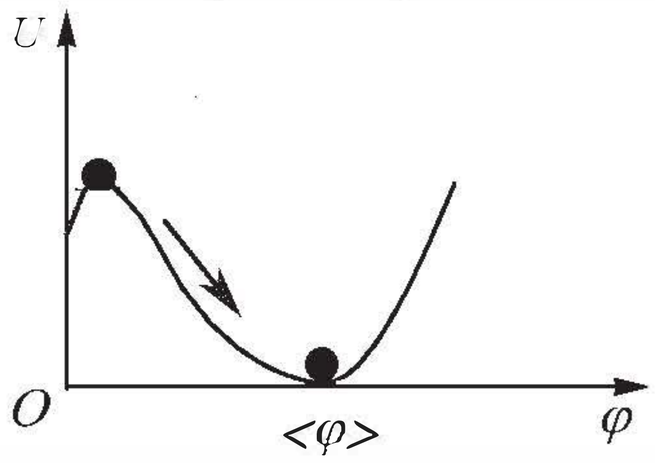


Рис. 32-17

Начальное положение Вселенной соответствует неустойчивому положению шара. В результате спонтанного перехода Вселенная переходит в устойчивое состояние (шар на дне воронки). Потенциальная энергия скалярного поля достигает при этом минимума. Более высокое положение шара отвечает большему значению скалярного поля. Чем больше скалярное поле, тем быстрее происходит экспоненциальное расширение Вселенной (вспомним вновь решение де Ситтера).

Таким образом, в период от 10^{-43} с до 10^{-35} с за счет спонтанного перехода в устойчивое состояние пузырек размерами 10^{-33} см испытывает колоссальное раздувание. Затем раздувание завершается (скалярное поле достигает минимума). В нашей аналогии это соответствует тому, что шар достигает дна воронки. После этого он начинает «болтаться туда-сюда», совершая колебания. Этому соответствуют колебания скалярного поля относительно минимума. При этом поле теряет энергию (здесь уместна аналогия с затухающими колебаниями в электрическом контуре, когда энергия электромагнитного поля постепенно излучается в виде электромагнитных волн).

Скалярное поле, совершая колебания, отдает энергию в виде пар частица – античастица любых возможных сортов. В результате быстро наступает равновесие между всеми сортами частиц и возникает первичная быстро расширяющаяся высокотемпературная плазма, содержащая в равновесии все мыслимые сорта частиц вместе с их античастицами. Предполагается, что на этой стадии число частиц равно числу античастиц, т. е. Вселенная рождается в симметричном состоянии. Этот космический «первичный суп» продолжает расширение по законам стандартной фридмановской модели. Почти сразу же в ней возникает барионная асимметрия (см. выше). Далее все события протекают так, как описано на предыдущих страницах.

Каковы же преимущества такого сценария? Главное отличие по сравнению со старой моделью Большого взрыва заключается в масштабах раздувания. Мы предположили, что в начальный момент Вселенная представляла собой пузырек планковских размеров порядка 10^{-33} см. Как показывается в некоторых моделях раздувания, к моменту времени 10^{-35} с от

«начала» этот пузырек успевает расшириться в 10 в степени 10^{12} раз и достигает трудно вообразимых размеров, на много порядков величины бóльших размеров наблюдаемой части нашей Вселенной (10^{28} см).

Что же достигается в результате «безумного» начального рывка? Сразу объясняются многие проблемы старой космологии. Так, Вселенная сейчас выглядит плоской и с большой точностью однородной, даже если вначале это было не так (представьте поверхность раздутого до огромных размеров шара — она кажется неотличимой от плоскости, а все первоначальные неровности на поверхности шара полностью сглажены). Предсказанием всех моделей инфляции является выполнение с большой точностью равенства $\Omega = 1$, т. е. равенство плотности материи своему критическому значению. Иными словами, наше пространство практически неотличимо от евклидова (это не означает, что оно на самом деле евклидово). Концентрация частиц типа монополей, которые должны были родиться в эпоху раздувания, уменьшилась до ничтожной, не регистрируемой величины. Снимается проблема горизонта событий. Действительно, внутри пузырька размером 10^{-33} см все точки были причинно связаны, поскольку в момент времени 10^{-43} с от начала радиус горизонта событий равен произведению скорости света $3 \cdot 10^{10}$ см/с на это время, т. е. по порядку величины равен как раз 10^{-33} см. Но затем этот пузырек раздулся до таких размеров, что наша видимая Вселенная стала лишь его крохотной частью. Поэтому все точки внутри такой раздувшейся Вселенной сохраняют причинную связь между собой. Наконец, выясняется причина первичного толчка: разогрев Вселенной после окончания стадии экспоненциального расширения и разлет горячей Вселенной с той начальной скоростью, которая определяется в конце стадии инфляции.

К сожалению, несмотря на то что модель инфляции предложена уже 25 лет тому назад, совершенно неясно, каково происхождение того скалярного поля, которое вызвало инфляцию (это поле называют *инфлатоном*). Стандартная модель элементарных частиц не дает ответа на этот вопрос.

§ 16. Загадка темной материи

Подавляющая часть материи Вселенной находится в невидимой, скрытой форме.

Один из самых волнующих вопросов современной астрофизики — разгадать тайну скрытой материи, понять, какие материальные объекты дают в нее основной вклад. Выше отмечалось, что барионная материя составляет примерно 4 % общей массы Вселенной, 25 % приходится на темную материю и 70 % — на темную энергию.

1. Обсудим вопрос о возможных кандидатах на темную материю. Очевидно, что это должны быть какие-то сорта элементарных частиц, которые практически не взаимодействуют с нашими приборами и потому ускользают от наблюдения. В то же время, чтобы внести недостающий вклад в общую плотность материи, эти частицы должны быть очень многочисленны или иметь весьма большую массу. Поскольку все формы скрытой массы обсуждаемого типа слабо взаимодействуют с обычным веществом, соответствующие частицы принято называть WIMPами (от слов Weakly Interacting Massive Particles — слабо взаимодействующие массивные частицы). Условно гипотетические формы темной материи разделяются на горячую и холодную темную материю. Горячая темная материя

состоит из частиц сравнительно малой массы (например, менее 100 эВ), которые при температуре рекомбинации (в конце радиационно-доминированной эры) образуют газ релятивистских частиц. Наоборот, холодная темная материя состоит из частиц большой массы (более 1000 эВ), которые при температуре рекомбинации образуют газ нерелятивистских частиц. Таким образом, деление на горячую и холодную массу условно и привязано к конкретной температуре 3000 K (соответствующая тепловая энергия $kT = 0{,}25$ эВ).

Очевидно, что проблема WIMPов тесно связана с развитием теории элементарных частиц и соответствующими экспериментами. Наиболее популярными кандидатами на роль горячей скрытой массы являются массивные нейтрино. Стандартная модель элементарных частиц отнюдь не требует, чтобы массы всех сортов нейтрино были равны нулю. Что же касается экспериментальных данных, то пока доказано, что массы нейтрино отличны от нуля (наблюдение эффекта осцилляций), однако сами они не измерены. Таким образом, остается неясным, могут ли массивные нейтрино обеспечить недостающую массу Вселенной.

Кандидатов на холодную темную материю значительно больше. В эту группу попадает множество гипотетических массивных частиц, предсказываемых современными теориями. Эти частицы должны были родиться на ранней стадии горячей Вселенной. Их свойства таковы, что они практически не взаимодействуют с обычной барионной материей. Поэтому такие частицы почти сразу «отщепились» от остального вещества Вселенной и должны были без изменений дожить до наших дней. Перечислим несколько WIMPов, относящихся к холодной темной материи: фотино, гравитино, снейтрино, нейтралино и другие так называемые суперсимметричные частицы с массой от нескольких килоэлектронвольт до 1 ГэВ; магнитные монополи (масса 10^{16} ГэВ); кварковые самородки (масса порядка 10^{15} г), первичные черные дыры (масса $> 10^{15}$ г; черные дыры меньшей массы должны были уже испариться к настоящему времени). Поиск таких частиц в земных условиях чрезвычайно труден.

Тем не менее вопрос о типе темной материи очень важен при обсуждении того, как образовалась крупномасштабная структура Вселенной (сами галактики, скопления галактик). Как показывают расчеты, образование структуры в результате эволюции возмущений плотности происходит по-разному в случае с доминированием холодной или горячей темной материи. Так, при доминировании горячей темной материи сначала образуется крупномасштабная структура, а затем в ней развиваются более мелкие структуры в результате фрагментации крупных (такая эволюция носит название «сверху вниз»); при доминировании холодной темной материи все происходит наоборот — сначала образуются маленькие структуры, а позже в результате их слияния возникают более крупные (эволюция «снизу вверх»).

Несомненно, поиск WIMPов и решение вопроса о природе темной материи во Вселенной будет одной из важнейших задач астрофизики наступившего века.

Правда, возникает вопрос: если в процессе экспоненциального раздувания все неоднородности сгладились, откуда тогда возникли галактики и звезды? Ведь для того чтобы образовались плотные комки вещества, которые затем превратились в скопления звезд, необходимы «центры конденсации» — области повышенной плотности, которые притягивают к себе окружающее вещество. И здесь сценарий

инфляции дает свое объяснение возникновения первичных неоднородностей как результата квантовых флуктуаций плотности скалярного поля, которые нарастают в процессе раздувания и могут в конце стадии раздувания достигать значительной величины.

Вопрос о времени возникновения неоднородностей критически важен и может быть сверен с наблюдениями. Действительно, допустим, что в результате какого-то механизма неоднородности распределения вещества возникли после того, как закончилась радиационно-доминированная эра (примерно через 1 млн лет). Это означает, что процесс возникновения неоднородностей никак не мог затронуть расширяющееся вместе со Вселенной реликтовое излучение. Оно должно было остаться изотропным, поскольку возникло задолго до этого. Если же неоднородности возникли во время экспоненциального расширения Вселенной, это означает, что реликтовое излучение должно «помнить» об этих неоднородностях, т. е. быть чуть-чуть анизотропным. Иначе говоря, измерения температуры реликтового излучения, приходящего из разных точек неба, должны давать чуть разные результаты.

Замечательно, что запущенный в 1992 г. американский спутник-исследователь COBE (Cosmic Background Explorer — Исследователь космического фона) обнаружил именно такую анизотропию. Это позднее подтвердили другие измерения. Таким образом, наблюдательные данные по крайней мере не противоречат сценарию инфляции. В то же время нет ни одной другой теории, которая могла бы объяснить, почему Вселенная так однородна, и в то же время предсказать ту рябь в пространстве, которую обнаружил спутник COBE.

Конечно, все это не означает, что сценарий инфляции — истина в последней инстанции. Новые наблюдения могут открыть нечто противоречащее этому сценарию. Кроме того, современная теория элементарных частиц, на которой базируется сценарий инфляции, еще не до конца построена. Некоторые варианты этой теории не приводят автоматически к раздуванию. Сейчас весьма перспективной в качестве фундаментальной основы теории элементарных частиц считается *модель суперструн*. Однако доказательство возможности раздувания непосредственно из суперструнных моделей пока еще дело будущего, да и сама эта модель пока никак не подтверждается наблюдениями.

2. В 1998–1999 гг. две группы астрономов обнаружили, что расширение нашей Вселенной происходит с ускорением. Это открытие, возможно, приведет к революционным изменениям в наших представлениях о космической эволюции.

Напомним изложенные выше факты, касающиеся стандартной космологической модели. Примерно 10 млрд лет тому назад в результате Большого взрыва (причину этого взрыва пытается объяснить теория инфляции) началось расширение и постепенное остывание горячей космической плазмы. На первых порах (примерно 700 000 лет) энергия излучения была больше энергии, сосредоточенной в барионной материи (радиационно-доминированная эра). Расширение происходило в это время по закону $a(t) \sim t^{1/2}$. Затем произошел переход к эре доминирования вещества, продолжающейся до наших дней. Закон расширения изменился, $a(t) \sim t^{2/3}$, оставаясь степенным. Считалось, что эта фридмановская стадия будет продолжаться вечно, однако допускались разные сценарии: открытый мир (вечное расширение, $\rho < \rho_c$), плоский мир ($\rho = \rho_c$) и закрытый мир (расширение, сменяющееся сжатием, $\rho > \rho_c$).

Если такая картина верна, то расширение Вселенной должно постепенно замедляться из-за тормозящего действия гравитирующей материи. Тот факт, что расширение происходит с ускорением, означает, что в настоящее время разлет материи определяется силами антигравитации. Как объяснялось выше, именно таким свойством обладает космический вакуум. Если все это верно, то закон расширения меняется со степенного на экспоненциальный, $a(t) \sim \exp(bt)$. Более того, этот закон не зависит от того, по какому сценарию расширялась Вселенная до момента, когда плотность энергии вакуума (или темной энергии) превысила плотность энергии вещества. Иными словами, если сейчас во Вселенной доминирует вакуум (а именно на это указывают последние данные: $\Omega_{DE} \sim 0{,}7$), то экспоненциальное расширение будет длиться вечно.

Плотность вакуума не меняется со временем, а плотность обычного вещества при расширении Вселенной уменьшается по закону $\rho \sim a^{-3} \sim t^{-2}$. Поэтому можно оценить тот момент времени, когда произошел переход от эры доминирования вещества к эре доминирования вакуума. Оценки дают значение $t_0 \sim 6$–8 млрд лет. Итак, история Вселенной может быть разделена на эпохи инфляции (?), длившейся до момента 10^{-35} с от начала, степенного расширения (по закону $t^{1/2}$ до 1 млн лет и по закону $t^{2/3}$ в течение 6–8 млрд лет) и сменившего этот этап экспоненциального расширения за счет космического вакуума. Будущее нашей Вселенной — переход от фридмановского расширения к статичному и неизменному миру вакуума.

Конечно, самый трудный вопрос космологии — физическая природа космического вакуума. Здесь исследователи непосредственно сталкиваются с проблемами физики элементарных частиц. Поскольку основой современного понимания физики микромира являются взаимодействия квантованных полей, то естественно представлять физический вакуум как наинизшее энергетическое состояние этих полей и сопоставить его с космическим вакуумом. Таким образом, проблема вакуума — это проблема микрофизики (подробнее см. гл. 31). Она еще далека от разрешения и, по мнению физиков, является одной из основных научных проблем наступившего века.

Приложение А

Физические константы

Скорость света	c	$2{,}998 \cdot 10^{8}$ м/с
Гравитационная постоянная	G	$6{,}673 \cdot 10^{-11}$ м^{3}кг$^{-1}$с$^{-2}$
Постоянная Планка	h	$6{,}626 \cdot 10^{-34}$ Дж·с
	$\hbar = h/2\pi$	$1{,}055 \cdot 10^{-34}$ Дж·с
Постоянная Больцмана	k	$1{,}381 \cdot 10^{-23}$ Дж/К
Число Авогадро	N_0	$6{,}022 \cdot 10^{23}$ (моль)$^{-1}$
Универсальная газовая постоянная	$R = N_0 k$	8,314 Дж/(К·моль)
Элементарный заряд	e	$1{,}602 \cdot 10^{-19}$ Кл
Масса электрона	me	$9{,}110 \cdot 10^{-31}$ кг
Масса протона	m_p	$1{,}673 \cdot 10^{-27}$ кг
Магнитная постоянная	μ_0	$4\pi \cdot 10^{-7}$ Н/А$^{-2}$
Диэлектрическая постоянная	$\varepsilon_0 = 1/\mu_0 c^2$	$8{,}854 \cdot 10^{-12}$ Ф/м
Кулоновская постоянная	$k_0 = 1/4\pi\varepsilon_0$	$8{,}988 \cdot 10^{9}$ Н·м^2/Кл^2
	$k_0/c^2 = \mu_0/4\pi$	10^{-7} Н·с^2/Кл^2
Боровский радиус	a	$5{,}292 \cdot 10^{-11}$ м
Давление 1 атм (при нормальных условиях)	P_0	$1{,}013 \cdot 10^{5}$ Н/м^2
Плотность воды (при нормальных условиях)		$1{,}00 \cdot 10^{3}$ кг/м^3
Плотность воздуха		1,293 кг/м^3
Абсолютный нуль температуры		–273,16 °С
Ускорение свободного падения	g	9,807 м/с^2

Некоторые астрономические сведения

	Масса, кг	Диаметр, км	Расстояние от Солнца, км	Ускорение свободного падения на поверхности (× g)
Солнце	$1{,}99 \cdot 10^{30}$	$1{,}39 \cdot 10^{6}$	–	28,0
Земля	$5{,}977 \cdot 10^{24}$	$1{,}27 \cdot 10^{4}$	$1{,}49 \cdot 10^{8}$	1,00
Луна	$7{,}36 \cdot 10^{22}$	$3{,}48 \cdot 10^{3}$	–	0,17
Меркурий	$3{,}28 \cdot 10^{23}$	$5{,}14 \cdot 10^{3}$	$5{,}8 \cdot 10^{7}$	0,40
Венера	$4{,}82 \cdot 10^{24}$	$1{,}26 \cdot 10^{4}$	$1{,}08 \cdot 10^{8}$	0,90
Марс	$6{,}4 \cdot 10^{23}$	$6{,}86 \cdot 10^{3}$	$2{,}28 \cdot 10^{8}$	0,40
Юпитер	$1{,}90 \cdot 10^{27}$	$1{,}44 \cdot 10^{5}$	$7{,}78 \cdot 10^{8}$	2,70
Сатурн	$5{,}7 \cdot 10^{26}$	$1{,}21 \cdot 10^{5}$	$1{,}43 \cdot 10^{9}$	1,20

Расстояние от Земли до Луны = $3{,}80 \cdot 10^{5}$ км

Приложение Б

Единицы измерения основных физических величин

Величина	МКС (СИ)	СГС	Британская система	Внесистемные единицы
Длина (L)	1 м (метр)	100 см	39,37 дюйм	10^{10} Å
Масса (M)	1 кг (килограмм)	10^3 г	2,205 фунт	
Время (T)	1 с (секунда)	1 с	1 с	
Энергия (E)	1 Дж (джоуль)	10^7 эрг	$9{,}48\cdot10^{-4}$ Btu[1]	0,2389 кал; $6{,}24\cdot10^{18}$ эВ
Электронвольт	$1{,}602\cdot10^{-19}$ Дж	$1{,}602\cdot10^{-12}$ эрг	–	
Сила (F)	1 Н (ньютон)	10^5 дин	0,2248 фунт-сила	
Мощность (N)	1 Вт (ватт)	10^7 эрг/с	3,413 Btu/ч	$1{,}341\cdot10^{-3}$ л. с.
Температура (t)	1 К (кельвин)	1 К	1,8 °F	
Давление (P)	1 Па (паскаль)	10 дин/см^2	$1{,}45\cdot10^{-4}$ psi[2]	$9{,}869\cdot10^{-6}$ атм
м/с (скорость)	1 м/с	100 см/с	3,281 фут/с	2,237 миля/ч

[1] Btu – британская тепловая единица.
[2] psi – фунт-сила на квадратный дюйм.

Единицы измерения электрических величин

Величина	МКС (СИ)	СГС (или гауссова)
Заряд (Q)	1 Кл (кулон)	$2{,}998\cdot10^8$ ед. СГСЭ
Ток (I)	1 А (ампер)	$2{,}998\cdot10^8$ ед. СГСЭ
Напряжение (V)	1 В (вольт)	$3{,}336\cdot10^{-3}$ ед. СГСЭ
Магнитное поле ($\mathscr{B}$)	1 Т (тесла)	10^4 Гс (гаусс)
Электрическое поле (E)	1 В/м	$3{,}336\cdot10^{-5}$ ед. СГСЭ

Чтобы перейти от системы единиц СИ к гауссовой, нужно заменить $\mathscr{B}$ на B/c, ε_0 на $1/4\pi$, μ_0 на $4\pi/c^2$, а k_0 положить равным 1.

Приложение B

Геометрия

(Площадь круга) = πr^2

(Площадь поверхности шара) = $4\pi r^2$

(Объем шара) = $(4/3)\pi r^3$

(Объем сферической оболочки толщиной dr) = $4\pi r^2\, dr$

Тригонометрия

$\sin\theta = y/r$ $\quad \sin(-\theta) = -\sin\theta$

$\cos\theta = x/r$ $\quad \cos(-\theta) = \cos\theta$

$\operatorname{tg}\theta = y/x$ $\quad \sin^2\theta + \cos^2\theta = 1$

$$\sin\left(\frac{\pi}{2} - \theta\right) = \cos\theta \qquad \sin 2\theta = 2\sin\theta\cos\theta$$

$$\cos 2\theta = 2\cos^2\theta - 1 = 1 - 2\sin^2\theta$$

$$e^{\pm i\theta} = \cos\theta \pm i\sin\theta$$

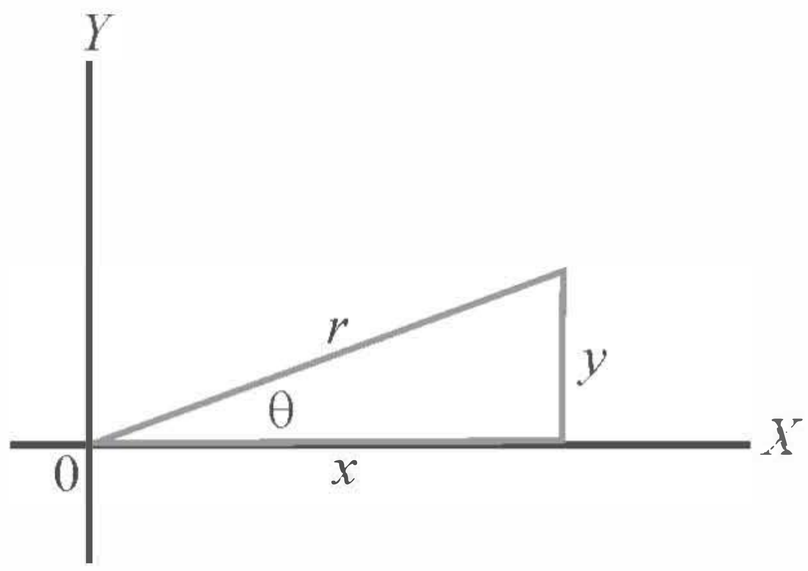
$$\sin(\alpha \pm \beta) = \sin\alpha\cos\beta \pm \cos\alpha\sin\beta$$

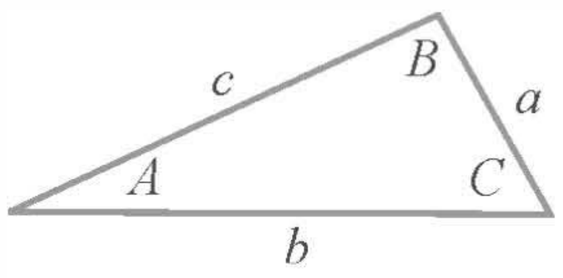
$$\cos(\alpha \mp \beta) = \cos\alpha\cos\beta \pm \sin\alpha\sin\beta$$

$$\sin\alpha \pm \sin\beta = 2\sin\left(\frac{\alpha \pm \beta}{2}\right)\cos\left(\frac{\alpha \mp \beta}{2}\right)$$

$$a^2 = b^2 + c^2 - 2bc\cos A$$

$$\frac{\sin A}{a} = \frac{\sin B}{b} = \frac{\sin C}{c}$$





Биномиальное разложение

$$(1+x)^n = 1 + \frac{nx}{1!} + \frac{n(n-1)x^2}{2!} + \ldots$$

Квадратное уравнение

Решение квадратного уравнения

$ax^2 + bx + c = 0$

имеет вид

$$x = \frac{-b \pm \sqrt{b^2 - 4ac}}{2a}$$

Некоторые производные

$$\frac{d}{dx}(au) = a\frac{du}{dx}$$

$$\frac{d}{dx}x^n = nx^{n-1}$$

$$\frac{d}{dx}\ln x = \frac{1}{x}$$

$$\frac{d}{dx}(uv) = u\frac{dv}{dx} + v\frac{du}{dx}$$

$$\frac{d}{dx}e^{ax} = ae^{ax}$$

$$\frac{d}{dx}\sin ax = a\cos ax$$

$$\frac{d}{dx}\cos ax = -a\sin ax$$

Некоторые неопределенные интегралы (с точностью до произвольной постоянной)

$$\int du = u$$

$$\int x^n dx = \frac{x^{n+1}}{n+1}, \quad n \neq -1$$

$$\int x^{-1} dx = \ln x$$

$$\int e^{ax} dx = \frac{1}{a}e^{ax}$$

$$\int \sin ax dx = -\frac{1}{a}\cos ax$$

$$\int \cos ax dx = \frac{1}{a}\sin ax$$

Произведения векторов

$\mathbf{A}\cdot\mathbf{B} = |A||B|\cos\alpha$

$\mathbf{A}\times\mathbf{B} = \hat{\mathbf{n}}|A||B|\sin\alpha$

$\mathbf{A}\cdot\mathbf{B} = \mathbf{B}\cdot\mathbf{A}$

$\mathbf{A}\cdot(\mathbf{B}\times\mathbf{C}) = (\mathbf{A}\times\mathbf{B})\cdot\mathbf{C}$

α — угол между векторами **A** и **B**;

$\hat{\mathbf{n}}$ — единичный вектор, нормальный плоскости, содержащей векторы **A** и **B**.

Греческий алфавит

Альфа	A	α	Йота	I	ι	Ро	P	ρ
Бета	B	β	Каппа	K	ϰ	Сигма	Σ	σ
Гамма	Γ	γ	Лямбда	Λ	λ	Тау	T	τ
Дельта	Δ	δ	Мю	M	μ	Ипсилон	Y	υ
Эпсилон	E	ε	Ню	N	ν	Фи	Φ	ϕ, φ
Дзета	Z	ζ	Кси	Ξ	ξ	Хи	X	χ
Эта	H	η	Омикрон	O	o	Пси	Ψ	ψ
Тэта	Θ	θ	Пи	Π	π	Омега	Ω	ω

Ответы к упражнениям и задачам*

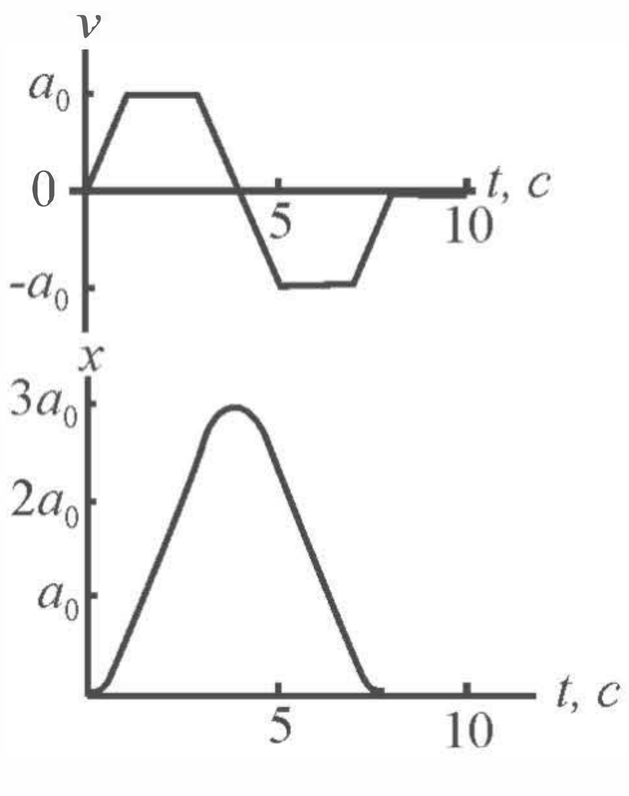
Глава 1

1. 235 миль. **3.** $K = P^2/2M$. **5.** $\dfrac{1-\beta}{\sqrt{1-\beta^2}} = \sqrt{\dfrac{1-\beta}{1+\beta}}$. **7.** $V_2/V_1 = 1{,}5^3 = 3{,}375$. **9.** $m_{\text{Н}} = 1{,}66\cdot10^{-24}$ г/атом. **11.** $\exp[-\ln(1/x)] = \exp(\ln x) = x$. **13.** $t_{1/2} = (\ln 2)\tau = 0{,}693\tau$. 15. $y = 1{,}745$ м. **17.** $E = -e^2/(2R)$. **19.** $E = \sqrt{M_e^2c^2 + c^2p^2}$. **21.** $v = \sqrt{Y/\rho}$. **23.** а) 3,87 г/с; б) $116\cdot10^3$ Вт = 116 кВт. Обычно на нагревание дома тратится несколько киловатт мощности, автомобиль же потребляет примерно в 30 раз больше. **25.** $v = c - \dfrac{c}{2\gamma^2} - \dfrac{c}{8\gamma^4} + \ldots$. **27.** а) Точность среднего значения для часов A равна $1{,}58\cdot10^{-2}$ с; б) точность среднего значения для часов B равна $1{,}58\cdot10^{-2}$ с; в) точность среднего значения измерений обоими часами A и B равна $1{,}12\cdot10^{-2}$ с. **31.** $\sin(2A) = 2\sin\left(A\sqrt{1-\sin^2 A}\right)$. **33.** 30 %; $C = 2{,}0\cdot10^{-1}$.

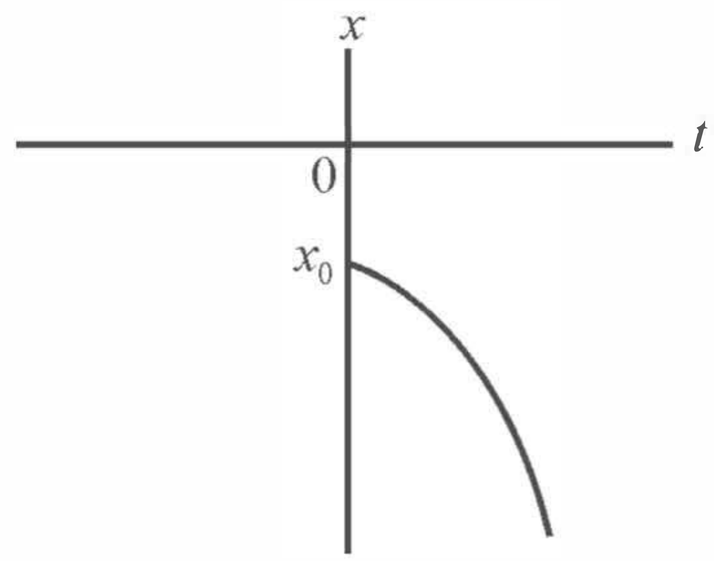
Глава 2

1. 1 км/ч = 0,911 фут/с. **3.** $\overline{v} = (v_1 + v_2)/2$. **5.** $\overline{v} = \dfrac{x_1v_1 + x_2v_2}{x_1 + x_2}$.

7.



9.



11. Полное время равно 237 с = 3,94 мин. **13.** Полное время равно 2828 с = 47 мин. **15.** 1,225 м. **17.** $a = 118{,}52$ м/с$^2 \approx 12{,}1g$. **19.** $h = 154{,}3$ м. **21.** $v = 2x/T - v_0$. **23.** Мяч будет подниматься вверх 2 с и падать также 2 с; полное время мяча в полете 2 с; следовательно, бегущий опоздал на 0,5 с. **25.** а) $a = -2{,}5$ м/с^2; б) $T = 4$ с. **27.** $v = 2{,}8$ км/с, $T = 286$ с = 4,76 мин. **29.** Классическое приближение: $v = 1{,}54\cdot10^8$ м/с; релятивистское значение $v = 1{,}37\cdot10^8$ м/с. **31.** $T = 2{,}15\cdot10^8$ с =

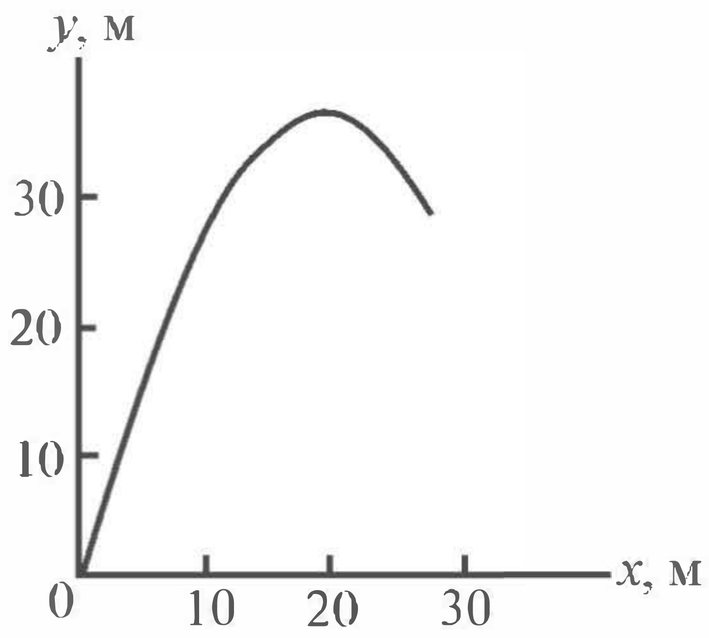
---

* Здесь помещены ответы только к задачам и упражнениям, имеющим нечетную нумерацию.

$= 6{,}84$ года. **33.** Цветочный горшок пролетел 19,4 м, прежде чем он достиг окна; следовательно, он упал с десятого этажа. **35.** $\overline{v} = (2/3)v_1$. **37.** $v = At^2/2$.

Глава 3

1. $\mathbf{C} = \mathbf{B} - \mathbf{A}$; $\mathbf{Z} = \mathbf{X} - \mathbf{Y}$. **3.** $B\cos 30^\circ = 1{,}732$ м. **5.** $F_\perp = F_g \cos\alpha$. **7.** $\theta = 15^\circ$ или 75°. **9.** $E'' = E/2$ при $\theta' = \theta'' = 45^\circ$; $E' = 0{,}866E$ при $\theta' = 30^\circ$; $E'' = E'/2 = 0{,}443E$ при $\theta'' = 60^\circ$. **11.** Паром должен править к западу под углом $56{,}44^\circ$ от направления на север. Скорость его относительно берега 3,32 км/ч. **13.** $y = 3{,}82x - 0{,}098x^2$.



15. $\alpha = \theta/2$. **17.** $h = \dfrac{v_0^2 \sin^2\theta}{2g}$. **19.** 490 м. **21.** а) 4 ч; б) 4,167 ч; в) 4,0825 ч. **23.** а) $v = 7$ м/с; б) 22,3 об/с. **25.** 27,5 суток.

Глава 4

1. $F_{\text{рез.}} = 0$. **3.** $T_1 = \dfrac{M_1 F}{M_1 + M_2 + M_3}$; $T_1 = \dfrac{(M_1 + M_2)F}{M_1 + M_2 + M_3}$; результирующие силы: $(F_1)_{\text{рез.}} = \dfrac{M_1 F}{M_1 + M_2 + M_3}$; $(F_2)_{\text{рез.}} = \dfrac{M_2 F}{M_1 + M_2 + M_3}$; $(F_3)_{\text{рез.}} = \dfrac{M_3 F}{M_1 + M_2 + M_3}$. **5.** 1 lbf (фунт-сила) = 32 паундаля; 1 Н = $= 7{,}226$ паундалей; 1 слаг = 14,528 кг. **7.** $F = -833$ Н. **9.** Результирующая сила, действующая на плуг, равна нулю; при этом плуг движется с постоянной скоростью. **11.** $7{,}08 \cdot 10^{15}$ об/с; $v = 2{,}22 \cdot 10^6$ м/с. **13.** а) $T = 1{,}9456$ с; б) отношение периодов равно 0,9694; в) отношение периодов равно 0,841. **15.** а) Сила $F_{\text{рез.}} = 100$ Н и направлена под углом 0°; б) сила $F_{\text{рез.}} = 500{,}5$ Н и направлена под углом 37°. **17.** а) $\alpha = F/(4M)$; б) $F_2 = 0{,}75F$. **21.** а) $F = 58{,}8$ Н; б) $F = 70{,}8$ Н; $T = 47{,}2$ Н. **23.** а) $a = 0{,}333g$; б) $T = 0{,}667Mg$. **25.** $\Delta P = Ft_0$. **27.** а) $M_2 = 2M_1$; б) ускорение $a_2 = g/8$ и направлено вверх. **29.** Период равен 1,0035 с; $\theta = 60^\circ$. **31.** $u = 4{,}11334$ км/с; это значение меньше орбитальной скорости 8 км/ч. **33.** $v_{\text{отец}} = 0{,}0833$ м/с; $v_{\text{дочь}} = 0{,}238$ м/с. **35.** $\alpha = \operatorname{arctg}\left(\dfrac{v^2}{gR}\right)$. **37.** $v = 16{,}6$ м/с. **39.** а) $a = 0{,}327g$; б) $v = 0{,}189$ м/с.

Глава 5

1. 490 Н. **3.** 1,87 года или 684 суток. **5.** Нет; нет; да. **7.** Остался бы неизменным. **9.** а) Вверху; б) 490 м. **11.** На $3{,}46\cdot10^8$ м от центра Земли. Пассажиры должны находиться в состоянии невесомости в течение всего времени, пока выключены ракетные двигатели, т. е. практически в течение всего путешествия. (Это верно для невращающегося космического корабля.) **13.** $2{,}006\cdot10^{30}$ кг. **15.** $5{,}95\cdot10^{-3}$ м/с^2. **17.** $(4/9)\pi^2 G\rho^2 R^4$. **19.** В $\sqrt{2}$ раз больше обычного веса водителя. **21.** а) 264,6 Н; направлен вниз; б) 264,6; направлен вверх. **23.** Радиус орбиты Луны уменьшился бы в четыре раза, а период обращения — в восемь раз по сравнению с существующим. **25.** $F = 4\pi^2 mR/T^2$; а) $R = 3{,}84\cdot10^8$ м; $T =$ 27 суток $= 2{,}33\cdot10^6$ с, так что $F = 2{,}79\cdot10^{-3}$ Н; б) $R = 1{,}50\cdot10^{11}$ м, $T =$ 1 год $= 3{,}15\cdot10^7$ с, так что $F = 4{,}58\cdot10^{-2}$ Н. **27.** $T =$ 7071 с $=$ 1,96 ч. **29.** $4{,}73\cdot10^{-5}$ рад $= = 2{,}70\cdot10^{-3}$ град. **31.** $T = 2\pi\sqrt{R^3/GM}$. **33.** $v_1/v_2 = (R_1/R_2)^{-1/2}$. **35.** $v_3 / v_1 = \left(a - \sqrt{a^2 - b^2}\right)\Big/ b$.

37. Истинный вес равен $3mg$. **39.** $T = 2\pi\sqrt{\dfrac{M}{M'}\dfrac{L}{g}}$; $T_C/T_{Pb} = 1{,}0005$. **41.** 2,0 года.

Глава 6

1. Это отношение составляет $6{,}27\cdot10^{-4}$. **3.** а) Работа равна нулю; б) совершается отрицательная работа величиной $8{,}14\cdot10^6$ Дж. **5.** $2{,}34\cdot10^5$ МВт. **7.** $F = -2Ax$. **9.** Будет использовано 5 % комнатного кислорода. Поэтому для пополнения запаса кислорода вентиляция не нужна, но она необходима для удаления неприятных запахов и уменьшения концентрации молекул CO_2. **11.** Потенциальная энергия возрастает на $3\cdot10^{-5}$ Дж. **13.** $v_0 = 0{,}5$ м/с. **15.** $\Delta U = -kx_1^3/3$. **17.** а) Нуль; б) $U(r) = \dfrac{GmM}{R_2^3 - R_1^3}\left(\dfrac{r^2}{2} + \dfrac{R_1^3}{r} - \dfrac{3}{2}R_1^2\right)$; в) $U(r) = \dfrac{GMm}{R_2^3 - R_1^3}\left(\dfrac{r^2}{2} + \dfrac{R_1^3}{r} - \dfrac{3}{2}R_1^2\right) + GMm\left(\dfrac{1}{R_2} - \dfrac{1}{r}\right)$. **19.** Масса должна пролетать 10,2 м независимо от величины начальной скорости. Если движение началось из состояния покоя, то потребуется время $t = 1{,}44$ с; в общем случае время полета зависит от начальной скорости. **21.** а) -2000 Н; б) $6\cdot10^4$ Вт; в) 4 км на 1 л. **23.** а) $U = -GM_2m/r$; б) $U = -GM_2m/R_2$.

Глава 7

1. $v = \sqrt{\dfrac{3}{4}\dfrac{K}{m}}x_0$. **3.** а) 0,045 с; б) $66{,}7\cdot10^3$ м/с$^2 = 6800g$. **5.** При соударении 8/9 энергии массы m_1 передается массе m_2. **7.** $v_1 = 0{,}983v_0$. **9.** $\Delta K/K_{\text{нач.}} = 0{,}331$. **11.** 0,84 кг. **13.** $v = \sqrt{gL(1-\cos\theta)}$. **15.** $F_B = 18Mg$. **19.** $\theta = 90°$. **23.** а) $V = \sqrt{gR/2}$; б) $h = R/4$. **25.** $9{,}09\cdot10^{-2}$. **27.** а) 0,049 Дж; б) 0,07 Дж; в) 2,0 м/с. **29.** 319 Н. **31.** $y_{\text{макс.}} = 12{,}25$ м; $a_{\text{макс.}} = 17{,}33g$. **33.** а) Mgh; б) $v = \sqrt{gh}$; в) $a = v^2/2L$. **35.** 8,4 л/ч; 70 кВт. **37.** 4,52 м вправо; подъем на 0,204 м. **39.** 316 м/с.

Глава 8

1. а) 0,1222 с; б) 0,012273 с; в) $6{,}67\cdot10^{-3}$ с. **3.** 94,9 км/с. **5.** $v = c\sqrt{1 - L'/L}$. **7.** а) 22,37; б) $4{,}026\cdot10^{-7}$ с; в) 120,66 м. **9.** $(20 - 3{,}44)\cdot10^{-13}$ м. **11.** Близнецу A исполнится 100,08 лет, а близнецу B –

23,58 года. **13.** $\frac{df}{f}=\frac{d\beta}{1-\beta^2}$. **15.** ρ увеличивается с ростом скорости. **19.** $\Delta t_A - \Delta t_B = 0$. **21.** $x = \gamma x' - \gamma v t'; t = \gamma t' - \gamma (v/c^2) x'$. **23.** $x_2 - x_1 = \sqrt{\frac{1+\beta}{1-\beta}} L_0$. **25.** $f'/f = 1 - \beta$. **27.** а) $-4 \cdot 10^{-7}$ с; б) $5{,}333 \cdot 10^{-7}$ с; в) $1{,}11 \cdot 10^{-6}$ с. **29.** а) $1{,}484 \cdot 10^{-12}$ с; б) $(1 + 7{,}42) \cdot 10^{-13}$; в) $7{,}42 \cdot 10^{-13}$; $2{,}47 \cdot 10^{-15}$.

Глава 9

1. $u_x = \frac{u'_x - v}{1 - u'_x v/c^2}$. **3.** 0,0654 г. **5.** 5,01 %. **7.** $35{,}1 \cdot 10^{-9}$ кг. **9.** а) 117 МэВ; б) 145 МэВ. **11.** 0,75*c*. **13.** 1,25. **15.** Наибольшая величина $p^2/2m_0$. **17.** а) $E = m_p c^2 + K_0$; б) $P = (1/c)\sqrt{K_0\left(2m_p c^2 + K_0\right)}$; в) $v = \frac{Pc^2}{E}$. **19.** $u_x = \frac{u'_x - v}{1 - u'_x v/c^2}$. **23.** а) 93,8 МэВ; б) $2{,}4 \cdot 10^8$ м/с; в) 1,67; г) 1,337. **25.** $p = (1/c)\sqrt{K\left(2Mc^2 + K\right)}$. **27.** $E_b = 1918$ ГэВ. **31.** При малых t, $v \to a_0 t$; при больших t, $v \to c$. **33.** а) $F = ma\,(1 - u^2/c^2)^{-1/2} + ma\,(u^2/c^2)\,(1 - u^2/c^2)^{-3/2}$; б) $F'_y = \left(dp_y/dt\right)\left[\gamma + \gamma\left(v/c^2\right)u_x\right]$. **35.** а) E/c^2; б) gh/c^2. **37.** б) $c/\sqrt{2}$.

Глава 10

1. $\omega = b + 2ct_0$, $\alpha = 2c$. **3.** а) $\bar{\omega} = \omega_0 + \alpha_0 t/2$; б) $\bar{\omega} = (\theta - \theta_0)/t$. **5.** $f_2 = 36 f_1$. Конечная угловая скорость в 36 раз превышает начальное значение; то же верно для кинетической энергии. **7.** 10,7 с. **9.** $P = I\alpha\omega$. **11.** $F = (R_2 R_4 / R_1 R_3) Mg$. **13.** Для маховика из плавленого кварца в 3,33 раза выше. **15.** 66,67 см. **17.** 49 Н. **21.** $\mathbf{A} \times \mathbf{B} = \mathbf{i}\,(A_y B_z - A_z B_y) + \mathbf{j}\,(A_z B_x - A_x B_z) + \mathbf{k}\,(A_x B_y - A_y B_x)$; $\sin\alpha = \frac{\left(A_y B_z - A_z B_y\right)^2 + \left(A_z B_y - A_x B_z\right)^2 + \left(A_x B_y - A_y B_x\right)^2}{\left(A_x^2 + A_y^2 + A_z^2\right)\left(B_x^2 + B_y^2 + B_z^2\right)}$. **23.** а) $L = 2M_0 R_0 v_0$; б) $F = G\left(M_0^2/4R_0^2\right)$; в) $F = M_0 v_0^2 / R_0$; г) $R_0 = \hbar^2 / GM_0^3$. **25.** $(3/4) M v_0$. **27.** Отношение кинетической энергии вращения к полной кинетической энергии гантели составляет $\frac{4 - (4y_0/y) + \left(y_0^2/y^2\right)}{4 - (4y_0/y) + 2\left(y_0^2/y^2\right)}$. **29.** а) $3{,}59 \cdot 10^{34}$ кг·м^2/с; б) $6{,}0 \cdot 10^8$ м; в) 53,3 суток. **31.** $I = M\,[(L/2 - x)^2 + L^2/12]$. **33.** а) $v_A/2$; б) $L = (1/2) m r_0^2 \omega_A$; в) $\omega_A/6$; г) $(1/4) m r_0^2 \omega_A + (1/2) m v_A^2$; д) $(5/24) m r_0^2 \omega_A + (1/4) m v_A^2$. **37.** Человек, прежде чем начнет скользить, сможет подняться по лестнице на расстояние $x = 0{,}741L$. **41.** $T = (2m + 3M)\,g$.

Глава 11

1. Амплитуда равна 1,5 см; период равен 4 с; максимальная скорость равна $0{,}75\pi$ см/с; максимальное ускорение равно $0{,}375\pi^2$ см/с^2. **3.** $2\pi/A$. **5.** 0,248 м. **13.** а) $x = x_0 \cos\left[\sqrt{\frac{k}{m}}(t - t_1)\right]$; б) $v = -\sqrt{\frac{k}{m}} x_0 \sin\left[\sqrt{\frac{k}{m}}(t - t_1)\right]$. **15.** а) $x = -x_0 \sin\left(\sqrt{\frac{k}{m}} t\right)$; б) $v = -x_0 \cos\left(\sqrt{\frac{k}{m}} t\right)$. **17.** а) $x = R_0 \cos\left[\omega\left(t + \frac{3}{4}\pi\right)\right]$, $y = R_0 \cos\left[\omega\left(t + \frac{1}{4}\pi\right)\right]$, $r = R_0$; б) $\omega = \omega R_0$; в) окружность. **19.** а) $I = \frac{1}{2} mL^2$; б) $k = \frac{F_0 L}{\theta_0}$; в) $f = \frac{1}{2\pi}\sqrt{\frac{2F_0}{mL\theta_0}}$. **21.** $\frac{d^2 x_1}{dt^2} = -k\left(\frac{m_1 + m_2}{m_1 m_2}\right) x_1$; $T = 2\pi\sqrt{\frac{\mu}{k}}$. **23.** $\frac{d^2(\Delta x_2)}{dt^2} = -3\frac{k_0}{m}\Delta x_2$. **25.** $r_0 = (5a/b)^{1/4}$. **27.** $f = 27{,}57$ Гц. **29.** Разность между двумя звуковыми сигналами равна $20 \lg (V_1 - V_2)$ дБ.

Глава 12

1. $6{,}24 \cdot 10^7$ Н/м^2. **3.** 8,245 км. **5.** Независимо от формы льда 10 % его объема находятся выше поверхности воды. **7.** $\Delta p = mv$. **9.** Объем составляет 10,2 л; плотность 3000 кг/м^3. **11.** а) 28,8 г; б) 28,8 г; в) 12 см^2. **13.** За неделю теряется 2,42 г. **15.** 0,36 °С. **17.** $\Delta T = 0{,}468$ °С. **19.** а) $N\varepsilon$; б) $2\varepsilon/3k$; в) $2N\varepsilon/3V$; г) температура остается неизменной, а давление падает в два раза. **21.** а) отношение равно 1; б) 1/2. **23.** $5 \cdot 10^{-5}$ м. **25.** $d = RP/2S$. **27.** б) $h = h_0 \ln 2 = 5{,}50$ км; в) $3{,}33 \cdot 10^4$ Н/м^2. **31.** $y = 2{,}16 \cdot 10^{10}/R^3$, если R измеряется в метрах.

Глава 13

1. −12,3 Дж. 3) а) $N_0/2{,}016$; б) $N_0/18$; в) $N_0/180$. **5.** $3{,}68 \cdot 10^3$ молекул/см^3. **7.** 0,75 кал/(г·К) для He; 2,5 кал/(г·К) для H_2; 5,28 кал/(г·К) для N_2. **9.** $C_v = 10$ кал/(моль·К). **11.** $T_2/T_1 = 0{,}488$. **13.** $T_{\text{одноат.}}/T_{\text{двухат.}} = (V_1/V_2)^{0{,}267}$. **15.** а) 9 кал/К; б) 6 кал/К, в пренебрежении колебательными степенями свободы. **17.** $RT \ln [(V_2 - V_0)/(V_1 - V_0)]$. **19.** а) $P_2 = 0{,}379$ атм; $T_2 = 207$ К; б) $W_{12} = 1{,}37 \cdot 10^3$ Дж; в) $W_{23} = -1{,}19 \cdot 10^3$ Дж; г) 175 Дж; д) 207 К; е) $1{,}37 \cdot 10^3$ Дж. **21.** а) 6; б) 1; в) $3R$; г) $4R$; д) $T = mv_0^2/3k$. **23.** а) $T_2 = T_1 (V_2/V_1)$; б) $P_1 (V_2 - V_1)$; в) $(5/2) R (T_2 - T_1)$; г) $V_3 = V_2 (T_2/T_3)^{1/(\gamma - 1)}$. **25.** 13,2 л. с. **27.** а) $W_{ab} = 3{,}37 \cdot 10^3$ Дж, $W_{bc} = 7{,}00 \cdot 10^3$ Дж, $W_{cd} = 0$; б) $Q_{ab} = 8417$ Дж поглощается, $Q_{bc} = 7000$ Дж выделяется, $Q_{cd} = 5047$ Дж выделяется, $Q_{da} = 7397$ Дж поглощается; в) $\varepsilon = \frac{Q_{ab} + Q_{bc} - Q_{da}}{Q_{ab} + Q_{bc}} = 0{,}287$.

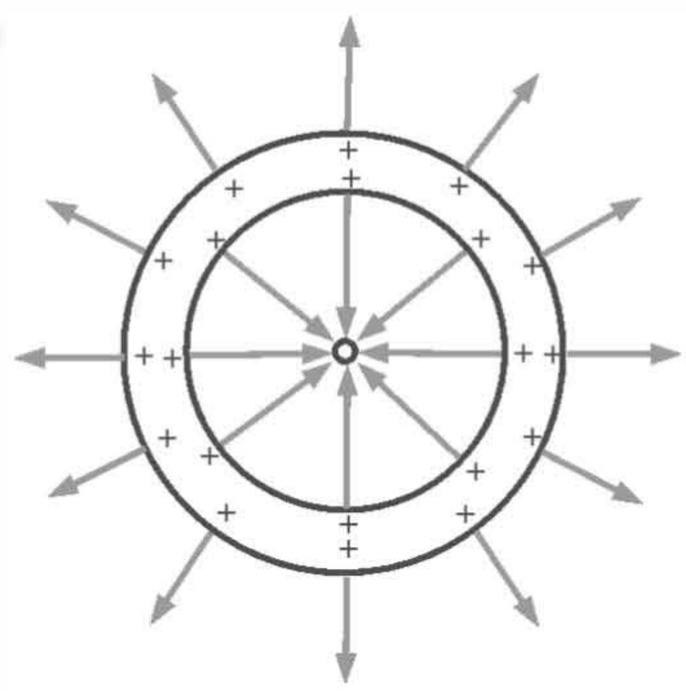
Глава 14

1. Все величины ΔW_1, ΔQ_1 и ΔQ_2 отрицательны; соотношение $\Delta W = \Delta Q_1 - \Delta Q_2$ продолжает выполняться. **3.** 767 кВт. **5.** 74 Дж. **7.** 10 Дж. **9.** $\Delta S = 0{,}10$ кал/К. **11.** 1/32. **17.** $3{,}22 \cdot 10^4$ Дж; 32,2 Вт. **19.** $(T_1 - T_3)/T_1$. **21.** 1443 кал; $\Delta W = 1{,}75 \cdot 10^5$ Дж. **23.** 35 %. **25.** 66,7 °С. **27.** а) Теплоемкость равна 0,214 кал/(г·К); б) $\Delta S_A = -8{,}90$ кал/К; $\Delta S_W = 10{,}1$ кал/К; 1,2 кал/К.

Глава 15

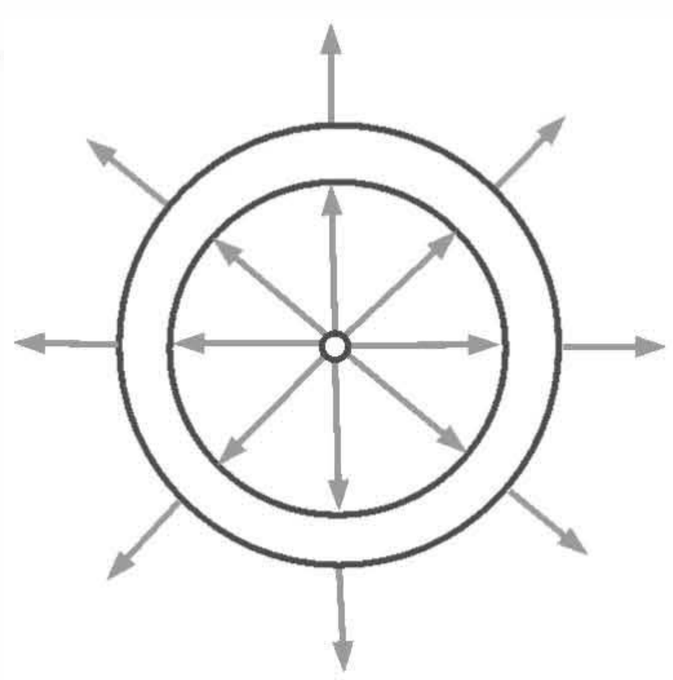
1. $-4{,}16\cdot10^{42}$. **3.** $\dfrac{2k_0qr}{\left(r^2+l^2/4\right)^{3/2}}$. **5.** Уменьшится.

7. а)



б) $1{,}70\cdot10^5$ Н·м^2/Кл; в) $2{,}5\cdot10^{-6}$ Кл. **9.** $-1{,}24\cdot10^{-36}$.

11.



13. $2k_0q\dfrac{r^2+l^2/4}{\left(r^2-l^2/4\right)^2}$.

15. Результирующая электростатическая сила равна $1{,}86\cdot10^{-64}$ Н. Она равна гравитационной силе. Из сделанного предположения следует, что в случае с нейтральными элементарными частицами, например нейтронами, гравитационные силы должны быть равны нулю. Из предположения также следует, что гравитационная масса урана-238 лишь в 92 раза больше, чем масса атома водорода, а в действительности она больше в 238 раз.

17. $E=k_0Q\left\{\dfrac{x+R/2}{\left[\left(x+R/2\right)^2+R^2\right]^{3/2}}+\dfrac{x-R/2}{\left[\left(x-R/2\right)^2+R^2\right]^{3/2}}\right\}$. **19.** $2\pi k_0\sigma$. **21.** $2k_0\lambda/y_0$. **23.** $3k_0ql^2/x^4$.

25. Обе производные равны нулю.

Глава 16

1. $E_{\text{I}} = 0$, $V_{\text{I}} = k_0\left(\dfrac{Q_1}{R_1}+\dfrac{Q_2}{R_2}+\dfrac{Q_3}{R_3}\right)$;

$E_{\text{II}} = k_0\dfrac{Q_1}{r^2}$, $V_{\text{II}} = k_0\left(\dfrac{Q_1}{r}+\dfrac{Q_2}{R_2}+\dfrac{Q_3}{R_3}\right)$;

$E_{\text{III}} = k_0\dfrac{Q_1+Q_2}{r^2}$, $V_{\text{III}} = k_0\left(\dfrac{Q_1+Q_2}{r}+\dfrac{Q_3}{R_3}\right)$;

$E_{\text{IV}} = k_0\dfrac{Q_1+Q_2+Q_3}{r^2}$, $V_{\text{IV}} = k_0\dfrac{Q_1+Q_2+Q_3}{r}$.

3. Радиус сферы равен 0,5 м, заряд $Q = 2{,}8\cdot10^{-5}$ Кл. **5.** Пусть для левого края левой пластины $x = 0$, тогда $E_{\text{I}} = 0$; $E_{\text{II}} = 4\pi k_0\rho x$; $E_{\text{III}} = 4\pi k_0\rho x_0$; $E_{\text{IV}} = 4\pi k_0\rho(2x_0 + d - x)$; $E_{\text{V}} = 0$. **7.** $1{,}13\cdot10^7$ м^2.

9. $C = \left(\dfrac{1}{C_1}+\dfrac{1}{C_2}+\dfrac{1}{C_3}\right)^{-1}$. **11.** а) Нуль; б) нуль; в) $E = 1{,}8\cdot10^7$ В/м. **13.** $3{,}09\cdot10^6$ м/с. **15.** 400 В. **17.** а) $4{,}28\cdot10^{-2}$ Кл; б) $E = 1{,}54\cdot10^{13}$ В/м; $V = 7{,}7\cdot10^{10}$ В. **19.** 1153 В. **21.** 1,28. **23.** $E_{\text{I}} = 0$; $E_{\text{II}} = k_0\dfrac{Q\left(r^3 - R_2^3\right)}{\left(R_1^3 - R_2^3\right)r^2}$; $E_{\text{III}} = k_0\dfrac{Q}{r^2}$. **25.** $\mathbf{E} = \dfrac{4}{3}\pi k_0\rho\left\{\dfrac{R_2^3 x_0\mathbf{i}}{\left(x_0^2+y^2\right)^{3/2}} + y\left[1 - \dfrac{R_2^3}{\left(x_0^2+y^2\right)^{3/2}}\right]\mathbf{j}\right\}$.

27. $V_{\text{I}} = k_0\dfrac{Q}{R_1} + k_0\dfrac{Q}{R_1^3 - R_2^3}\left[\dfrac{R_1^2 - R_2^2}{2} + \dfrac{R_2^2}{R_1}\left(R_2 - R_1\right)\right]$; $V_{\text{II}} = k_0\dfrac{Q}{R_1} + k_0\dfrac{Q}{R_1^3 - R_2^3}\left[\dfrac{R_1^2 - r^2}{2} + R_2^3\left(\dfrac{1}{R_1} - \dfrac{1}{r}\right)\right]$;

$V_{\text{III}} = k_0\dfrac{Q}{r}$. **29.** а) $3{,}39\cdot10^4$ В/м; б) $1{,}13\cdot10^4$ В/м; в) $-3{,}39\cdot10^4$ В/м; г) 226 В. **33.** а) 0,5 МэВ; б) $8\cdot10^{-14}$ Дж; в) $2{,}88\cdot10^{-15}$ м. **35.** а) 12 МэВ; б) -10 МэВ; в) 4 МэВ; г) 6 МэВ.

37. $C' = \dfrac{A}{4\pi k_0\left(x_1/\varkappa - x_1 + x_0\right)}$. **39.** $Q_1 = V_0R_1/k_0$; $Q_2 = V_0R_2/k_0$.

Глава 17

1. $I = 2{,}69$ А. **3.** $\rho = \dfrac{2mu}{\mathfrak{N}e^2L}$. **5.** а) $I = 80$ А; б) $P = 640$ Вт, т. е. в 6,4 раза больше, чем в 100-ваттной лампе. **7.** а) $\mathscr{B} = 0$; б) $\mathscr{B} = 2\cdot10^{-5}$ Тл. **9.** а) $a = eE/m$, направлено вверх; б) $t = \sqrt{\dfrac{2m\left(d-h\right)}{eE}}$; в) $\mathbf{F} = -e\mathbf{v}_0\times\mathfrak{B}$ (направлена из плоскости чертежа). **11.** 1,05 мА. **13.** $I = Q/T = 4\pi R^2\sigma/T$. **15.** $R_1 = (1/2)(R_{12} + R_{13} - R_{23})$, $R_2 = (1/2)(R_{12} - R_{13} + R_{23})$, $R_3 = (1/2)(R_{23} - R_{12} + R_{13})$. **17.** а) 100 Ом; б) 300 Ом. **19.** а) $\mathfrak{B}$ направлено вертикально вверх; б) 0,4 Тл или 4000 гаусс. **21.** $m = 58{,}5m_e$. **23.** а) $1{,}13\cdot10^6$ Н/Кл; б) $1{,}41\cdot10^6$ Н/Кл; в) $2{,}82\cdot10^{-3}$ Тл или 28,2 Гс, направлено за плоскость чертежа. **25.** а) $4\cdot10^{-4}$ Тл, направлено за плоскость чертежа; б) $5\cdot10^{-4}$ Тл; в) $3\cdot10^{-4}$ В/м, направлено вниз. **27.** $\mathscr{E} = 10$ В, $r = 20$ Ом. **29.** а) $\mathscr{E}\dfrac{rR_2}{rR_1 + R_1R_2 + rR_2}$; б) $\mathscr{E}\dfrac{R_2}{R_1 + R_2}$.

Глава 18

1. $\mathscr{B}_{\mathrm{I}} = \mathscr{B}_{\mathrm{III}} = 4\pi k_0 \mathscr{I}/c^2$, $\mathscr{B}_{\mathrm{II}} = 0$; $\mathscr{B}_{\mathrm{I}}$ направлено из плоскости чертежа, $\mathscr{B}_{\mathrm{III}}$ направлено за плоскость чертежа. **3.** $\mathscr{B} = 4\pi\dfrac{k_0}{c^2}\left(\mathscr{I}_1 + \mathscr{I}_2\right)$, направлено за плоскость чертежа, если $r < R_1$; $\mathscr{B} = 4\pi k_0 \mathscr{I}_2/c^2$, направлено за плоскость чертежа, если $R_1 < r < R_2$; $\mathscr{B} = 0$, если $r > R_2$. **5.** Электрон движется с постоянной скоростью. **7.** а) $4\cdot10^{-6}$ Тл; б) $1{,}2\cdot10^{-4}$ Тл. **9.** 0,02 дин/см. **11.** $\mathscr{B} = 0$, когда $r < R_1$;

$$\mathscr{B} = 2\frac{k_0}{c^2} I \frac{r^2 - R_1^2}{\left(R_2^2 - R_1^2\right)r}, \text{ когда } R_1 < r < R_2; \quad \mathscr{B} = 2\frac{k_0}{c^2} I \frac{r^2 - R_1^2}{\left(R_2^2 - R_1^2\right)r}, \text{ когда } r > R_2.$$

13. $\mathfrak{B} = 2\dfrac{k_0}{c^2}\dfrac{I}{R_2^2 - R_1^2}\left[\mathbf{i}\left(y - \dfrac{R_1^2 y}{x_0^2 + y^2}\right) - \mathbf{j}\dfrac{R_1^2 x_0}{x_0^2 + y^2}\right]$ для $y < R_2$.

17. $\mathscr{B} = 2\pi\dfrac{k_0}{c^2} IR^2 \left\{\left[\left(x + \dfrac{R}{2}\right)^2 + R^2\right]^{-3/2} + \left[\left(\dfrac{R}{2} - x\right)^2 + R^2\right]^{-3/2}\right\}$. **19.** $2\pi\sqrt{\dfrac{I_0}{IA\mathscr{B}}}$. **21.** 0,467 Тл.

23. а) $L = \dfrac{1}{2}M\omega R^2$; б) $\mu = \dfrac{1}{4}Q\omega R^2$; в) $\mu/L = Q/2M$. **25.** Ответ такой же, как и в случае с пластинами, расположенными в упражнении 2, за исключением того, что в области между пластинами поле $\mathscr{B} = 4\pi\dfrac{k_0}{c^2} jx_0$ и направлено из плоскости чертежа.

Глава 19

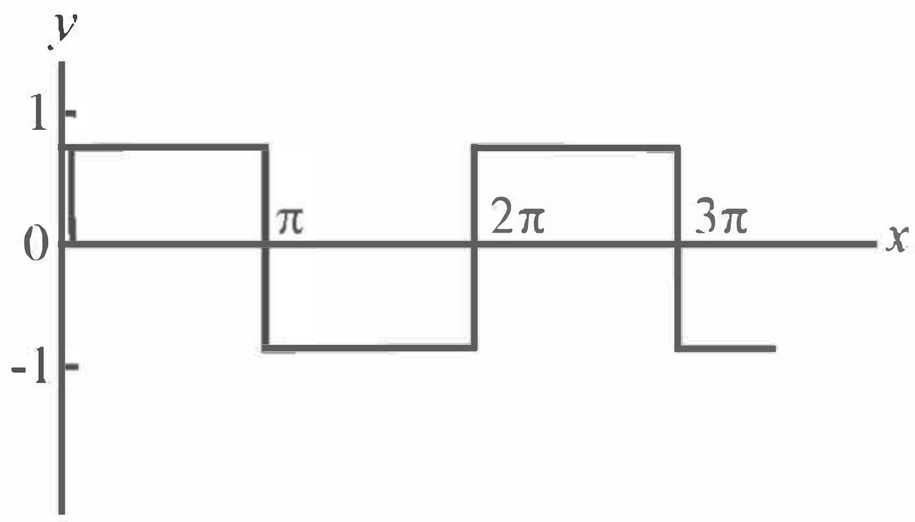
1. $4\pi R^2 \mathscr{B}$. **3.** Против хода часовой стрелки. **5.** $\mathscr{E} = \pi^2 f \mathscr{B} R^2 \sin \omega t$, $I = \mathscr{E}/R_m$. **7.** 10^{-2} Вт. **9.** $f = R/(2\pi L)$. **11.** $6\cdot10^{-5}$ Тл $= 0{,}6$ Гс. **13.** $4{,}58\cdot10^{-7}$ Гс. **15.** $4\mathscr{B} l_1 l_2$. **17.** P_2. **19.** 3,16 кВ. **23.** $C = \dfrac{1}{\omega_0 QR}$,

$$L = \frac{QR}{\omega_0}, \quad Z = R\sqrt{1 + Q^2\left(\frac{\omega}{\omega_0} - \frac{\omega_0}{\omega}\right)^2}. \quad \textbf{25.} \quad \mathscr{B} = 2\frac{k_0}{c^2}\frac{NI}{r}, \quad L = 2\frac{k_0}{c^2}N^2\left(R_2 - R_1\right)\ln\left(\frac{R_2}{R_1}\right). \quad \textbf{27.} \ 3\cdot10^{-3} \text{ Кл.}$$

29. а) Сторона b; б) сторона a. **31.** а) $E = \dfrac{r}{2}\dfrac{\partial \mathscr{B}}{\partial t}$; б) $E = 0{,}2$ В/м. **33.** 12,5 м/с. **37.** Пусть $L = 10^{-3}$ Гн, тогда $C = 25{,}33$ пФ и $R = 36{,}3$ Ом. **39.** а) $I = 0{,}4237$ А; б) $\bar{P} = 17{,}95$ Вт; в) максимальная мгновенная мощность в конденсаторе равна 47,6 Вт. **41.** $0{,}693RC$. **43.** $I = \dfrac{\mathscr{E}}{R}\left(1 - e^{-Rt/L}\right)$.

Глава 20

1. $\Phi_E = 4\pi k_0 Q$, $\oint \mathbf{E}\cdot d\mathbf{s} = -\dfrac{d\Phi_B}{dt}$, $\Phi_B = 0$, $\oint \mathfrak{B}\cdot d\mathbf{s} = 4\pi\dfrac{k_0}{c^2} I + \dfrac{1}{c^2}\dfrac{d\Phi_E}{dt}$. **3.** $-ab\omega E_0 \sin \omega t$.

5. 

7. В положительном направлении. **9.** $T = 36$ Н. **11.** $T = 329{,}6$ Н. **13.** а) $\mathscr{I} = 2{,}65$ А/м; б) $\mathscr{B} = 1{,}67\cdot10^{-6}$ Тл. **15.** От 400 до 700 нм. **17.** а) $E = \dfrac{4k_0 I_c \Delta t}{R^2}$; б) $\mathscr{B} = \dfrac{r}{2c^2}\dfrac{E}{\Delta t}$. **19.** $L = NK_1/K_2$. **21.** $u = c$. **23.** а) $\mathscr{B} = 0$; б) $\mathscr{B} = 0$. **25.** $E_{\text{изл.}} = 109{,}6\cos\omega t$ (В/м). Отношение равно 0,274. **27.** а) $\mathscr{I}_0 = \sqrt{A_1^2 + A_2^2}$; б) $\varphi = \operatorname{arctg}(A_2/A_1)$. **29.** а) $\dfrac{\bar{P}}{y_0 z_0} = \dfrac{x_0 V_0^2}{2\rho y_0^2}$; б) $\dfrac{\bar{P}_{\text{изл.}}}{y_0 z_0} = \dfrac{\pi k_0}{c}\dfrac{z_0^2 V_0^2}{\rho^2 y_0^2}$.

Глава 21

1. $S = \dfrac{c^3\mathscr{B}^2}{4\pi k_0} = \dfrac{E\mathscr{B}}{\mu_0}$. **3.** Гравитационное притяжение уравновешивается при толщине 0,75 мкм. При меньшей толщине паруса результирующая сила со стороны Солнца будет силой отталкивания. **5.** а) $E_{\text{макс.}} = 3\cdot10^{-7}$ В/м; б) $S_{\text{макс.}} = 2{,}39\cdot10^{-16}$ Вт/м^2; в) $\bar{P} = 1{,}00\cdot10^{-9}$ Вт. **7.** а) $v = 2{,}79\cdot10^6$ м/с; б) $v = 27{,}9$ м/с. **9.** $n = 1{,}00025$. **11.** а) За один оборот энергия увеличивается приблизительно на $2\cdot10^7$ Дж; б) примерно 1 год. **13.** а) $F = 6{,}67\cdot10^{-6}$ Н; б) среднеквадратичное значение индуцированного тока 36,8 А/м; в) $4{,}244\cdot10^{-4}$ Дж/м^3. **15.** а) $y = \dfrac{F_0}{k - m\omega^2}\sin\omega t$; б) $y = \dfrac{F_0}{k - m\omega^2}\cos\omega t$; в) $\omega_0 = \sqrt{k/m}$; г) в противофазе. **17.** $\mathfrak{N} = 0{,}025$ электрон/см^3. **19.** а) $E_{\text{прош.}} = 0{,}98E_{\text{пад.}}$; $E_{\text{отр.}} = 2\cdot10^{-4}\ E_{\text{пад.}}$; б) $E_{\text{прош.}} = 0{,}96E_{\text{пад.}}$; $E_{\text{отр.}} = 1{,}98\cdot10^{-4}\ E_{\text{пад.}}$. **21.** а) $\Delta U = 4{,}39\cdot10^{-5}$ эВ; д) $t = 1{,}57\cdot10^{-11}$ с. **25.** $E = E_1 + E_2 = \dfrac{k_0 Q\omega^3}{2c^3 r}\sin 2\theta$. **27.** Сила $F_{\text{изл.}} = \dfrac{k_0 Qqa}{c^2 r}\sin\theta$ и направлена вдоль $-z$.

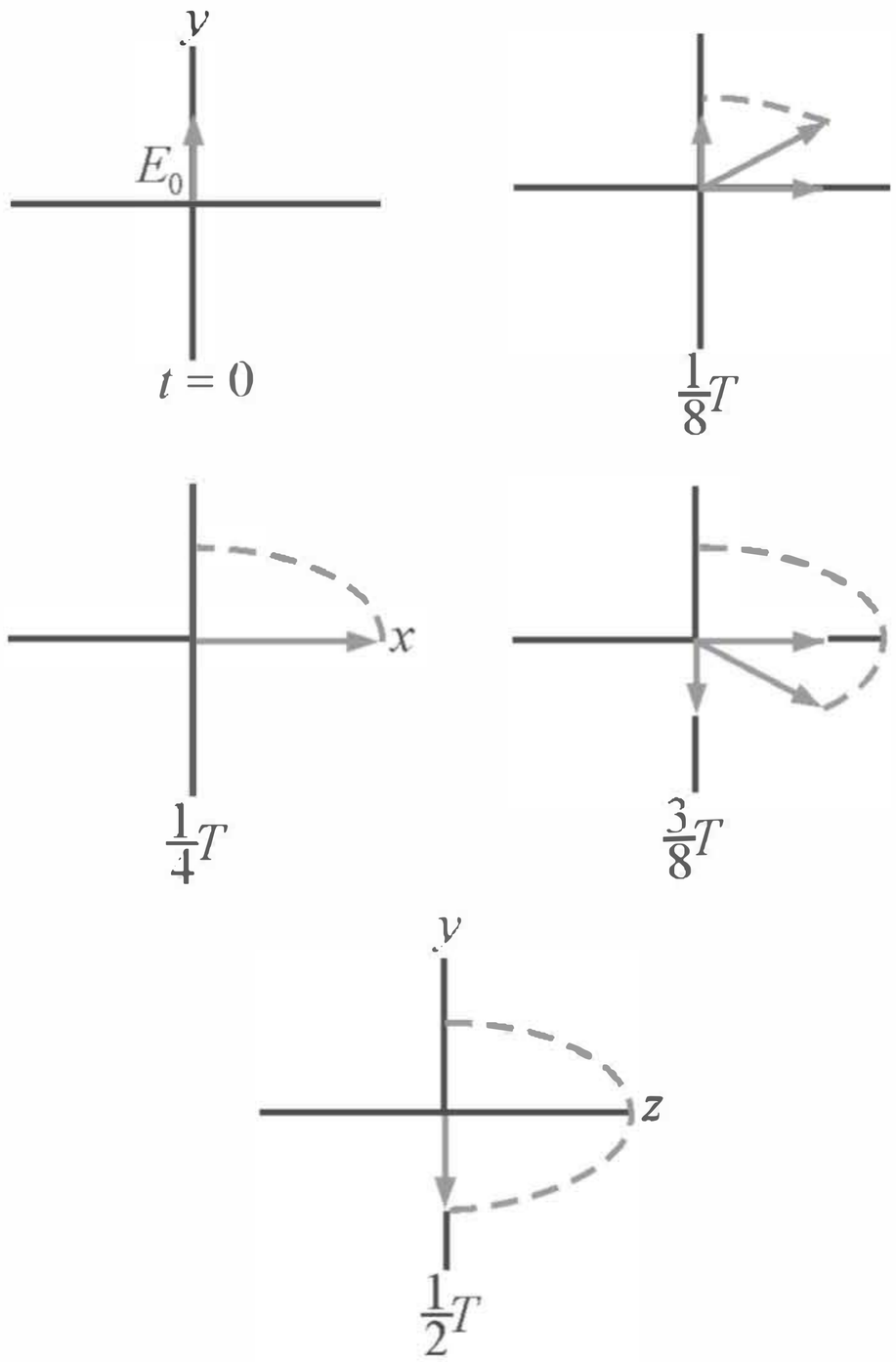
Глава 22

1. $\mathbf{E}'$ направлено вдоль отрицательного направления оси y; $\mathfrak{B}'$ – вдоль отрицательного направления оси z. **3.** $I = 5I_0 + 4I_0\cos(kd\sin\theta)$. **5.** а) $f = 33{,}3$ Гц; б) 66,7 с$^{-1}$. **7.** Условие минимума: $D_1 - D_2 = (n + 1/2)\lambda$. **9.** 30 см. **11.** $N = 4{,}25\cdot10^7$. **13.** $N = 982$. **15.** $E = -2E_0\sin kx\cos\omega t$. **19.** $E'^2 = E_1^2 + E_2^2 + 2E_1E_2\cos(kd\sin\theta)$. **21.** $\sin\theta_1 + \sin\theta_2 = n\lambda/d$. **23.** $\Delta l = 4{,}24\cdot10^{-19}$ м; необходимо $9{,}4\cdot10^{11}$ штрихов. **27.** Результаты приведены в следующей таблице, но только числа в ней нужно умножить на V_0^2:

	L'_f	R'_f	L'_b	R'_b		L'_f	R'_f	L'_b	R'_b
а)	1	0	1/2	1/2	в)	1/2	1/2	1	0
б)	0	1	1/2	1/2	г)	1/2	1/2	0	1

Глава 23

1.



3. Плоскополяризованная волна в направлении оси z. **5.** 10^{-6} св. лет $= 9{,}5\cdot10^{9}$ м. **7.** Размер пятна равен $7{,}72\cdot10^{-5}$ м. **9.** а) $I = I_0/2$; б) $I' = I_0/4$. **11.** Увеличенное, прямое; такое же изображение получается в зеркале для бритья. **13.** 66,7 см. **15.** $I' = 0{,}759 I_0$. **17.** а) $4I_0$; б) нуль; в) I_0, поляризация вертикальная; г) круговая поляризация; средняя энергия совпадает со случаем «в»; д) I_0, поляризация горизонтальная; е) I_0; ж) нуль. **19.** 0,389 нм. **21.** а) $3{,}79\cdot10^{-2}$ рад; б) $3{,}79\cdot10^{-3}$ рад.

23. $F(F-D)/D$, вправо от выпуклой линзы. **27.** а) $n_{\parallel} > n_{\perp}$; б) $x_0 = \dfrac{c}{2f\left(n_{\parallel} - n_{\perp}\right)}$.

Глава 24

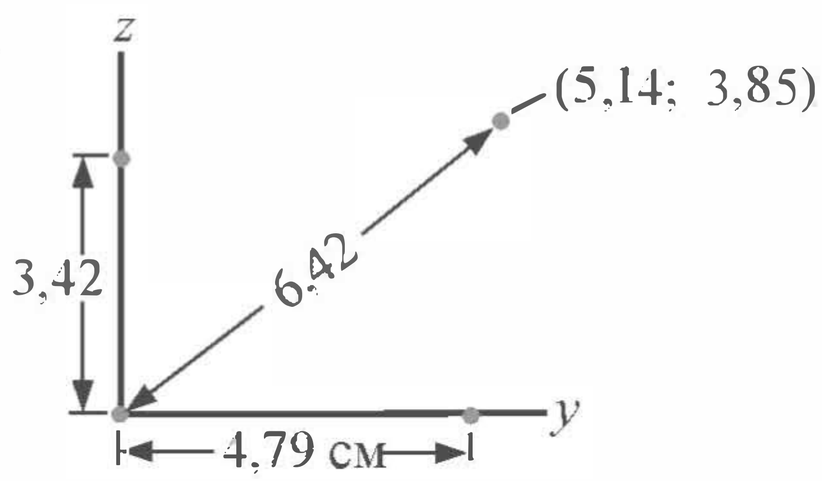
1. 0,0124 нм. **3.** $3{,}0\cdot10^{-10}$ кг·м/с; $\lambda = 2{,}21\cdot10^{-24}$ м. **5.** $\lambda_{\text{фотон}} = 1{,}24\cdot10^{-6}$ м; $\lambda_{\text{электрон}} = 1{,}23\cdot10^{-9}$ м.

7. $\lambda_0 = 2816$ нм. **9.** $\lambda = \dfrac{hc}{\sqrt{E^2 - m^2c^4}}$. **11.** а) 166,7 отсчет/с; б) 426,7 отсчет/с; в) 26,7 отсчет/с.

13. В 2 раза. **15.** а) $p_e = h\left(\dfrac{1}{\lambda} - \dfrac{1}{\lambda'}\right)$; б) $K = \left[c^2h^2\left(\dfrac{1}{\lambda} - \dfrac{1}{\lambda'}\right)^2 + m^2c^4\right]^{1/2} - mc^2$. **17.** 469 МэВ.

21. $K = 0{,}0375$ эВ, $l = 6{,}35\cdot10^{-9}$ м.

23.



С ростом энергии пучка точки на рисунке сближаются.

Глава 25

1. $\psi^*\psi = 2\,(1 + \cos 2\omega t) = 4\cos^2 \omega t$. **3.** $\psi^*\psi = 4\cos^2 \Delta k\, x$, $\Delta p \Delta x = \frac{\pi}{4}\hbar$. **5.** $\Delta x = 115m$.

7. а) $E_2 = 9{,}42\cdot 10^{-2}$ эВ; б) $\lambda = 438$ нм. **9.** $K = c\left(\frac{N^2\pi^2\hbar^2}{4x_0^2} + m^2c^2\right)^{1/2} - mc^2$. **11.** а) $\sqrt{2}\sigma_0$;

б) $B(k) = \frac{\sigma_0}{\sqrt{\pi}}\exp\left[-\sigma_0^2\left(k - mv_0/\hbar\right)^2\right]$. **13.** $\varphi = \operatorname{arctg}\left[\frac{A_1\sin\varphi_1 + A_2\sin\varphi_2}{A_1\cos\varphi_1 + A_2\cos\varphi_2}\right]$;

$A = \sqrt{A_1^2 + A_2^2 + 2A_1A_2\cos(\varphi_1 - \varphi_2)}$. **17.** $\frac{d\omega}{dk} = \frac{pc^2}{E} = v$. **19.** а) $E_1 = 942{,}4$ МэВ, $E_2 = 3770$ МэВ;

б) $E_1 = 31{,}1$ МэВ, $E_2 = 62{,}2$ МэВ. **21.** $E_1 = 22{,}76$ эВ; $E_2 = 88{,}23$ эВ. **23.** $E_1 = \hbar^2 / \left(72mx_1^2\right)$.

25. а) $\psi_1(x) = \exp\left[-\left(\sqrt{mk}/2\hbar\right)x^2\right]$; б) $E_1 = (1/2)\hbar\sqrt{k/m}$. **27.** $E = (3/2)\hbar\omega$.

Глава 26

1. $R_0 = \frac{\pi^2}{8}\frac{\hbar^2}{k_0 mze^2}n^2$. **3.** Энергия уменьшится на 2 % в случае с нерелятивистскими частицами.

5. 25 различных стоячих волн. **7.** Вдвое меньше радиуса водородного атома, или $R_{He} = 0{,}265$ нм. **9.** 10. **11.** Переходу в He^+ с $n = 4$ на $n = 2$ соответствует та же энергия фотона, что и переходу в H с $n = 2$ на $n = 1$. Длина волны 1215 нм. **13.** $\psi_{3,2,-2} = \frac{r^2}{a^2}e^{-r/3a}\sin^2\theta e^{-2i\varphi}$. **15.** $t = 4{,}7\cdot 10^{-8}$ с.

17. Все волновые функции имеют вид $\psi_{n_x, n_y, n_z} = \sin\frac{n_x\pi}{L}\sin\frac{n_y\pi}{L}\sin\frac{n_z\pi}{L}$.

$E_1 = 112$ эВ, $\psi = \psi_{1,1,1}$;
$E_2 = 224$ эВ, $\psi = \psi_{1,1,2}$, $\psi = \psi_{1,2,1}$ и $\psi = \psi_{2,1,1}$;
$E_3 = 336$ эВ, $\psi = \psi_{1,2,2}$, $\psi = \psi_{2,1,2}$ и $\psi = \psi_{2,2,1}$;
$E_4 = 410$ эВ, $\psi = \psi_{1,1,3}$, $\psi = \psi_{1,3,1}$ и $\psi = \psi_{3,1,1}$.

19. $a = \frac{\hbar^2}{k_0 me^2}$. **21.** $\left\langle\frac{1}{r}\right\rangle = \frac{1}{a} = \frac{k_0 me^2}{\hbar^2}$. **23.** $R = \hbar^2 n^2 / GM_n m_e^2 = 1{,}2\cdot 10^{29}$ м для $n = 1$. **25.** а) $E_1 = -3{,}2$ эВ;

б) трем переходам в основное состояние отвечают $hf = 1{,}2$; 1,8 и 2,2 эВ; двум переходам в первое

возбужденное состояние отвечают $hf = 0{,}6$ и 1,0 эВ; одному переходу во второе возбужденное состояние отвечает $hf = 0{,}4$ эВ.

Глава 27

1. $3{,}40 \cdot 10^{-10}$ м в случае с натрием; $4{,}24 \cdot 10^{-10}$ м в случае с калием. **3.** Переходы с $n = 9$, 10, 11, 12, 13 или 14 на $n = 6$; кроме того, с $n = 5$ на $n = 4$; с $n = 7$ или 8 на $n = 5$; с $n = 9$–23 на $n = 6$; с $n = 12$ или выше на $n = 7$; с $n = 21$ или выше на $n = 8$. **5.** 6560, 5411, 4859, 4541 и 4338 Å. **7.** 110 кэВ. **9.** 31,7 эВ. **11.** 50 элементов. **13.** а) $Z_{эф} = Z - 5$; б) $hf = 13{,}6\left[(Z-2)^2 - \dfrac{(Z-5)^2}{4}\right]$ дает 8,68 Å для Al и 0,185 Å для Pb. **17.** $Z_{эф} = 6{,}7$ для $2p$ электронов в случае с Al; $Z_{эф.} = 64{,}5$ для $2p$ электронов в случае с Pb. **19.** 50.

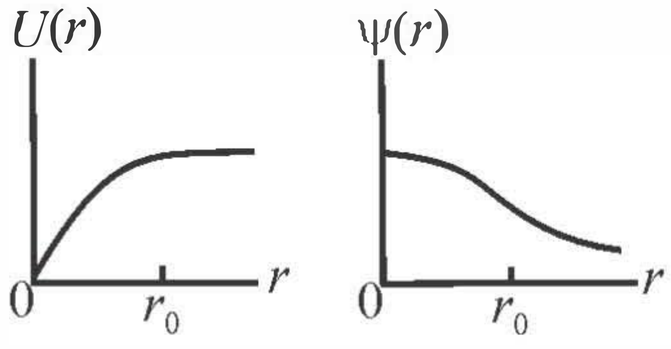
Глава 28

1. а) $E = K + U = -4$ эВ; б) $K = 11$ эВ. **3.** $U_0 = 5$ эВ. **5.** Контактная разность потенциалов 0,5 В; более высокий потенциал у металла А. **7.** а) $E = -4$ эВ; б) $W_0 = 4$ эВ; в) $U_0 = 9$ эВ; г) 9 эВ; д) 4 эВ. **9.** $U_0 = 7{,}91$ эВ. **11.** $R_{обр}/R_{прям} = 2{,}5 \cdot 10^{18}$. **13.** $E_\Delta = 2{,}48$ эВ. **15.** 15 750 Гц. **17.** $\rho = 1/h^3$. **19.** 6,77 Å; $\rho = 124$ кг/м^3. **21.** $U_0 = 7{,}06$ эВ. **23.** $E_1 = 0{,}06833 U_0$.

Глава 29

1. $\theta_{макс} = 1{,}7°$. **3.** $2{,}0 \cdot 10^{-15}$ м. **5.** 148. **7.** 3/4. **9.** 63,2 % на протяжении одного среднего времени жизни; 86,5 % на протяжении двух средних временжизни. **11.** Диаметр уменьшится в $5{,}47 \cdot 10^4$ раз и составит 25,4 км. **13.** а) 190, 128 ГэВ; б) $K = 16$ МэВ. **15.** $R = 26{,}5$ км; $M = 1{,}78 \cdot 10^{31}$ кг, или 8,9 массы Солнца. **17.** 18,0 см. **19.** а) 10^{-6} с$^{-1}$; б) $\tau = 10^6$ с; $T = 6{,}93 \cdot 10^5$ с. **21.** а) 5 МэВ; б) $8{,}4 \cdot 10^{21}$ с$^{-1}$; $\tau = 1{,}2$ мкс; г) длиннее; д) 8 МэВ.

23.



25. $Z = 25{,}3$. **27.** Около 3 кг в сутки. **29.** а) ~ 66 т; б) около 800 т за 30 лет.

Указатель

А

Абсолютная температура 158, 217, 219, 220, 226, 540, 541, 552, 557, 559, 561, 605, 730
Авогадро число 231, 240, 256, 730
Адиабатическое расширение 7, 235–239, 241, 242, 246, 260
Адроны 20, 617, 618, 622, 630–633, 635–642, 646, 647, 650, 651, 653, 655, 712, 713, 715
Альфа-распад 172, 583–586, 588, 598, 596
Ампер (А) 23, 302, 304, 305, 317, 325, 334, 335, 337, 339, 376, 387, 566, 731
Ампера закон 15, 315, 327–329, 332, 333, 369–371, 373, 384,
Анализ размерностей 5, 24, 25, 32
Аннигиляция 164, 165, 170, 269, 554, 649, 653, 713–715
Антивещество 713, 714
Античастицы 628, 632, 659, 660, 671, 674, 715
Аристотель 63, 85
Архимеда закон 216, 217
Атвуда машина 71, 73, 74, 79
Атом водорода 32, 78, 91, 122, 209, 221, 229, 231, 276, 281, 365, 404, 411, 412, 483, 495, 496, 498–500, 502–506, 508, 510–514, 519, 520, 574, 575, 581, 602, 647, 649, 710, 719, 739, 744
– волновая функция, см. волновая функция
– основное состояние 26, 232, 483, 493, 505, 507, 509, 511–514, 529, 544, 545, 547, 558, 561, 583, 586, 617, 650, 653, 744
– радиус 296, 299, 300, 338, 450, 455, 499, 509–514, 571, 572, 576, 577, 579, 586, 588, 596, 597, 744
– спектр 403, 428, 483, 505, 506, 509–511, 514, 520, 609
Атомная масса 231, 234, 241, 538, 568, 572
Атомное ядро 126, 145, 152, 164–166, 169, 298, 300, 302, 395, 449, 450, 455, 481, 493, 497, 507, 510, 511, 513, 518–522, 529, 531, 532, 536, 560, 568–574, 576–589, 592, 596–598, 614, 615, 639, 653, 654, 657–659, 716, 717, 724
– – размеры 10, 304, 480, 483, 488, 497, 510, 518, 521, 568, 569, 571, 580, 596, 597, 644, 646, 648, 692
– – распределение заряда 8, 272, 278, 279, 282, 283, 291, 294, 295, 323, 401, 412, 569, 571
– – структура 450, 541, 481, 508, 518, 526, 533, 534, 544, 549, 614, 616, 622, 623, 624, 632, 637, 647, 660, 661, 665, 676
– – энергетические уровни 483, 484, 486, 488, 495, 496, 499, 500, 502, 505–507, 509, 510, 513, 520, 522, 534–537, 544, 546, 561, 566, 578, 580, 581, 583, 586, 589, 596, 598
– – энергия связи, см. энергия связи ядерная
Атомные переходы 26, 403, 432, 433, 463, 483, 491, 492, 505, 506, 508, 509, 511–514, 518, 522, 525, 526, 532, 537, 551, 553, 601, 627, 659–661, 675, 744, 745
– часы 22, 26, 27,145, 153, 168, 610, 680, 687
Атомный номер 1, 516, 519, 522, 525, 532, 537, 568

Б

Бальмера серия 506, 512
Барионы 622, 628, 629, 636–638, 640, 642, 644, 646, 647, 650, 651, 713–715
Барометр 215, 217
Беватрон 325
Белый карлик 566, 603–607, 609, 610, 687, 705
Бета-распад 1, 164, 586, 587, 596, 597, 602, 622, 629, 639, 641, 653–655
Био-Савара закон 315, 319, 333, 335, 340
Бозе-Эйнштейна статистика 558
Бойля закон 218
Больцмана постоянная 219, 226, 252, 699, 730
Бор Нильс 509–514, 638, 641, 654
Бора модель атома 509–513
– постулат 510, 514
Брюстера угол 456–466

В

Валентная зона 548, 550–552, 554
Валентность 514, 518, 521, 522, 528, 529, 534, 535, 552
Валентные электроны 547, 552, 560–562
Вероятность 233, 252, 253, 255, 257, 259, 260, 467–469, 473, 475–477, 480–482, 486, 491, 492, 501, 503–505, 508, 514, 559, 560, 566, 572, 576, 583–586, 589, 591, 598, 618, 624, 652, 653, 658, 662, 673, 714, 715
– амплитуда 468, 473, 504, 505
– перехода 551
– распределение 470, 475, 476, 478, 494, 511, 576
Вес 6, 25–26, 67, 70, 72, 78–80, 88–91, 94–96, 117, 127, 214, 216, 217, 226, 227, 349, 556, 736
– кажущийся 95, 736
Вечный двигатель 113, 250, 251
– – второго рода 250
– – первого рода 250
Волновая амплитуда 430, 443, 473, 496
– функция 467–469, 473, 475–477, 480, 483–488, 491, 492, 494, 496, 497, 499–504, 511–514, 517, 520, 528–530, 532, 534–536, 544, 545, 549, 550, 559, 560, 562, 566, 574, 575, 584, 627–629, 639, 643, 744
Волновое уравнение 374, 375, 382, 383, 385, 388, 397
– число 381, 382, 409, 475, 482, 489
Волновой пакет 9, 10, 405–408, 410, 429, 469, 475–480, 486, 491, 492, 494, 500
– – расплывание 479, 480
– – ширина 480
Волны 21, 138, 140, 149, 155, 204, 207, 212, 355, 369–387
– бегущие 206, 207, 369, 379, 383, 395, 408, 409
– звуковые 32, 138, 206–209, 212, 383, 384, 431, 697
– интенсивность 384, 469
– интерференция, см. интерференция волн
– на поверхности воды 418, 419, 424, 443, 738
– скорость, см. скорость волны
Вольт (В) 287, 297, 304, 317, 345, 731
Время
– замедление 16, 137, 142–145, 154, 156, 169, 680
– обращение 256, 710
– постоянная 361
– собственное 143, 170
Вселенная 19, 133, 155, 169, 413, 437, 481, 603, 612, 629, 646, 659, 679, 685, 695, 696, 698, 699, 702–729
Вынужденное излучение 10, 507–509

Г

Газовая постоянная 242, 730
Галилей Галилео 86, 141, 200, 679
Гамма-распад 586, 596
Гармонический осциллятор в квантовой механике 489, 491, 495
Гаусс (Гс) 84, 317, 541, 595, 683, 731, 740
Гаусса распределение 476, 477, 491, 492
– теорема 270, 271–273, 275, 279, 280, 282–286, 327, 329, 342, 385, 683, 706
Гауссова поверхность 280, 282, 285
Гейгера счетчик 20, 466–469
Гелий 220, 508, 509, 519, 521, 533, 542, 558, 565, 600, 601, 717
– атом 91, 299, 509, 511, 519, 520, 558, 602
– жидкий 553, 557, 558
Геометрическая оптика 434, 451, 455
Голограмма 434, 435, 437, 438, 455, 457
Голография 16, 430, 434–437
Горизонт *см. Шварцшильда* радиус 611, 612, 685
Гравитационная постоянная 686, 730
– энергия звезды 608, 690
Гравитационное красное смещение 168, 686–688
Гравитационные волны 169, 691, 692, 694

Гравитационный коллапс 96, 193, 605, 611
Гравитация искусственная («псевдогравитация») 168
Граничные условия 375, 388, 486, 487
Групповая скорость 400, 405, 406, 408, 410, 479, 480, 491, 492, 634
Гука закон 15, 102, 108, 115, 196, 200

Д

Давление 23, 25, 37, 213–221, 224, 226–237, 239–231, 243, 246, 253, 260, 288, 297, 299, 358, 394, 410, 411, 558, 591, 603–609, 707, 719–721, 723, 725, 730, 731
– атмосферное 62, 215, 217, 226, 231, 242, 253
– гравитационное 603
Де Бройль Луи 466
Де Бройля соотношение 466
Дейтерий 592, 593, 595, 602, 716, 717
Дейтрон 574, 576, 592, 593, 598, 724
– энергия связи 488, 493, 574, 576
Деление ядер 166, 171, 172, 588, 589, 591, 593
– – спонтанное 166, 589
Детектор гравитационных волн 692
Дефекты кристаллической решетки 540, 544, 550
Джордано Бруно 86
Джоуль (Дж) 100, 248, 287, 462, 731
Диодный выпрямитель 563
– детектор 554, 562, 563
Диполь магнитный 334
– электрический 266, 289, 295, 298, 334, 402, 417
Дипольная антенна 413
Дипольный момент 226, 281, 282, 295, 296, 403, 417
Дирак П. А. М. 1, 337, 517, 639
Дисперсия 399, 405
Дифракционная решетка 421–423, 431, 432, 437, 471, 514, 526
Дифракционное рассеяние 448, 449, 455, 460, 473, 568, 596
Дифракция 425, 427, 431, 444, 446, 450, 526, 616
– на двух щелях 470
– – круглом отверстии 443
– – отдельной щели 425, 426, 431
– электронов 470, 471, 473
Диэлектрическая проницаемость 294, 296, 297, 300, 650
Длина волны 155, 168, 381, 383–385, 387, 411, 415, 416, 419, 422, 423, 431, 432, 434, 448, 449, 463, 464, 465, 470, 471, 473–475, 478, 483, 485, 490, 513, 535, 526, 532, 560, 565, 571, 616, 680, 697, 699, 700–703
– когерентности 428, 431, 433, 435, 436
Доплера эффект 149, 150, 153, 154, 157, 680, 686, 692, 697, 698, 702
Дырки 551–556
Дэвиссона и *Джермера* эксперимент 471, 472, 616
Дюлонга-Пти закон 234

Е

Единая теория слабых и электромагнитных взаимодействий 614, 630, 668, 669, 672–675, 712, 715, 723
Единицы измерения 21, 23, 67, 100, 220, 316, 317, 572, 731

З

Закон всемирного тяготения 82–84, 86, 87, 91, 93, 94, 263, 611, 686, 724
– равнораспределения энергии 223, 224, 226, 233
– равных площадей 87, 94, 179
Законы сохранения 75–78, 96, 98, 104, 118, 120, 125, 159, 161–163, 165, 167, 173, 175, 178, 180, 184, 191, 263, 464, 472, 611, 621, 624, 626–629, 631, 632, 671, 724
Замкнутая петля с током 334, 336, 340, 349
– система 75, 76, 78, 79, 100, 113, 116, 117, 122, 131, 161, 167, 170, 175, 178, 180, 182, 183, 250, 255, 259, 263, 627
Зарядовое сопряжение 659, 660
Заряд электрический 155, 172, 262–264, 276, 280, 292, 297, 301, 336, 352, 414, 569, 620, 621, 627, 628, 640, 642–644, 652, 671
– – движущийся 15, 177, 310, 320, 330, 372, 393, 723
– – индуцированный 274, 294, 295, 297, 300
– – точечный 267, 270, 271, 277, 287, 296, 297, 312, 330, 401, 402, 405, 511, 514, 650
Звезда нейтронная 16, 136, 604, 605, 607, 609–611, 692, 708
Звук 149, 154, 157, 205, 208, 209, 212, 697
– интенсивность 206–209, 212
– скорость 25, 32, 207, 387, 419, 431
Земля 22, 38, 57, 84, 86, 107, 116, 140, 152, 169, 215, 280, 542, 581, 612, 687, 698, 723, 730
– давление в центре 216
– магнитное поле 320, 334, 336, 365

И

Идеальный газ 219–221, 224, 226, 228, 231–238, 240, 241–245, 260, 539, 696
– – уравнение состояния 217, 219, 232
Излучение
– точечного заряда 390, 511
– электромагнитное 98, 164, 165, 169, 262, 281, 303, 373, 375, 396, 400, 403, 438, 483, 506, 694, 702
– энергия 294, 355, 390, 404, 448, 601, 701, 702, 704, 710, 728
Изображение оптическое 435, 694
Изотермическое расширение 235–238, 241, 243, 344, 246, 247, 253
Изотоп 21, 145, 231, 558, 568, 574, 580, 583, 586, 587, 593–597, 657
Изотопический спин 631, 632, 636
Импеданс 357, 363, 366
Импульс 21, 23, 49, 61–63, 75–78, 80, 87, 88, 96, 104–106, 120, 125, 136, 137, 142, 143, 150, 153–157, 159, 166, 170, 175, 177, 179, 180, 268, 379, 390, 394, 401, 406, 449, 455, 464, 465, 478, 479, 485, 489, 491, 496, 537, 538, 564, 580, 606, 616–620, 624–627, 650, 652, 658, 659, 668–670, 684, 691, 700
– релятивистский 161–163, 167, 171, 173, 178
– силы 117, 118, 131
– фотонов 472
– электромагнитного излучения 380, 393
Индуктивность 310, 350, 351, 353–355, 358–363
– соленоида 352, 366
Индукция электрическая 273, 274
Инерциальная система 55, 64, 70, 152, 461, 627, 636, 684, 691, 723
Интегральные схемы 533, 556
Интенсивность 384, 387, 395, 418–433, 436–437, 439–444, 450, 456–458, 461–462, 465–469, 470–471, 473, 555, 561, 564–565, 645, 691, 693, 699, 712
Интерференция волн 9, 140, 155, 414, 417–420, 423–425, 427–428, 430–431, 433, 435, 441–442, 455, 462, 465–470, 472–473, 481, 616, 669
– двойная щель 424, 441, 442, 457, 461, 462, 465–471, 473, 474
Интерферометр 140, 688
Ионизационный потенциал 516, 518–521, 531
Ионная связь 526, 531, 533
Ионосфера 285, 286, 297, 400, 401, 420
Ионы 211, 285, 286, 288, 303, 312, 313, 321, 526, 531, 534, 549, 583, 619

К

Кавендиш Генри 85, 86, 94, 679, 686
Калория 127, 164, 225, 226
Карно цикл (машина) 244–249, 251–252, 254, 259–260
– – КПД 230, 238, 239–241, 243, 246–247, 249, 251–253, 260
Квадрупольный излучатель 412
Квазары 151, 155, 678, 688, 694, 696, 698
Квант света 462, 464, 472
Квантовая электродинамика 504, 508, 573, 623, 625, 628, 629, 643, 662, 663, 668
Квантово-механическое давление 605
Кварки 16, 571, 573, 617, 618, 621–623, 629–633, 636–647, 650–655, 669, 672–675, 712, 713, 715
Кеплер Иоганн 86
Кеплера законы 86, 87, 94, 141, 179, 636

Кинетическая энергия 98, 99, 103, 104, 106, 109, 110, 114–118, 120–124, 131, 132, 202, 206, 208, 218, 219, 221–224, 233, 234, 290, 297, 303, 305, 315, 383, 462, 463, 472, 482, 483, 486, 489, 491, 496, 502, 526, 534, 537, 539, 559, 560, 561, 584, 587, 601, 602, 606, 607, 611, 666, 707, 710, 716
– – вращательная 178, 183, 190, 223, 232
– – релятивистская 152, 154, 162, 164–167, 170
Кирхгофа правила 308
Ковалентная связь 526–529, 531, 534, 535, 560
Когерентный световой пучок 428, 435, 438, 439, 509, 513
Колебательный контур 352, 353
Комптона эффект 136, 464, 465, 472, 626
Конденсатор 279, 291–295, 297, 303, 345, 352–355, 358–360, 362, 363, 368, 370, 563
– *RC*-цепь 359, 361
Консервативные силы 105, 106, 109, 114, 116, 123
Контактная разность потенциалов 539, 552, 553, 556, 561
Коперник Николай 86
Коронный разряд 288
Корпускулярно-волновой дуализм 461, 465
Космология 169, 695
Коэффициент полезного действия (КПД) 30, 104, 110, 239, 555
– – – бензиновый двигатель 129, 134, 230, 238–241
– – – тепловая машина 240, 244–252, 259
– усиления по току 555, 562
Красное смещение гравитационное 151, 680, 686, 688, 697
Кулон (Кл) 264
Кулона закон 263, 272, 275, 302, 310, 312, 313, 320, 339, 373, 404, 461, 569, 592, 724
K-мезон 172, 632, 659

Л

Лазер 428, 508
Лаймана серия 506, 507
Лебедев П.Н. 394
Легирование полупроводников 552, 562
Ленца закон 348, 349, 350, 362
Лептоны 617, 618, 621, 622, 628, 636, 654, 655, 665, 669, 671, 674, 675, 712, 715
Линзы 693, 694
Лоренца преобразования 145, 147, 149, 154, 156, 157, 160, 162, 170, 172, 627, 660, 684, 723
Лоренцево сокращение 147, 154, 156, 157, 312, 321

М

Магические числа 580, 581, 583, 596
Магнитная сила 15, 167, 264, 302, 310, 312, 314, 316, 321, 433, 345, 347, 350, 354, 355
Магнитное поле 15, 49, 144, 177, 294, 310, 33–321, 327, 329–340, 344–348, 350, 352, 362–364, 369, 372, 373, 376, 377, 385, 390, 392, 393, 395, 543, 593–595, 619, 647, 657, 658, 660, 723
– – движущегося заряженного тела 330
Магнитный заряд 336, 337, 340, 371, 385
– поток 339, 344, 345, 347–349, 351, 362, 363
Майкельсона-Морли опыт 138, 140, 141, 156, 461, 700
Макроскопические величины 213, 230
Максвелл Джеймс Клерк 370, 372, 373, 460, 623, 639
Максвелла уравнения 272, 339, 369, 372, 373, 379, 385–387, 399, 461, 627, 630
– – общий вид 371
Малые колебания 203
Масса 20, 21, 23, 24, 29, 62, 64, 65, 67, 68, 71, 73, 76, 114, 119, 120, 122, 129, 181, 182, 184, 188, 190, 196, 200, 206, 222, 231, 272, 280, 296, 588, 601–605, 607, 609–611, 613, 617, 619–623, 625, 632, 633, 635, 637, 639, 640, 644, 651, 654, 655, 662, 667, 668, 672, 673, 675, 676, 679, 706, 708, 709, 715, 724, 727, 730, 731
– гравитационная 82, 84–86, 91–94, 96, 167, 168, 262, 724, 174
– инертная 62, 91, 168, 413
– покоящегося тела 126, 165, 166, 578, 589, 592
– релятивистская 32, 78, 161, 164, 167–170, 172, 174, 293, 316, 325, 473
Массовое число 568, 579, 596, 607
Маятник 27, 33, 78, 90, 94, 194, 200, 209, 211, 679, 685
– баллистический 125, 126
– конический 71, 74, 81, 96, 97, 211
– математический 200, 201, 208
– физический 200
Мезоны 20, 622, 628, 629, 636, 637, 640, 646, 647, 713
Мёссбауэра эффект 158, 169
Металлическая связь 534, 536, 547, 560
Микроволны 415, 430, 434, 439, 440, 699, 703
Микроскоп 444–447, 451, 455, 478, 479, 533, 556, 616
Модуляция 368, 400, 406, 554, 563
Молекула 123, 126, 127, 202, 207, 213, 217–219, 222–225, 232, 250, 262, 295, 440, 455, 460, 508, 519, 523, 529, 531, 533, 534, 542, 614, 647, 649, 657
– водорода 209, 221, 233, 527, 528, 532
– двухатомная 204, 224, 232, 533
– неполярная 296
– полярная 295, 296
– потенциальная энергия 204
– частота колебаний 204
Молекулярная масса 231, 240, 241
– связь 518, 526, 527
Моль 231, 232, 234, 236, 240–243, 253, 260, 303, 538
Момент импульса 21, 49, 87, 88, 96, 175–179, 185, 191, 460, 500–502, 510, 512, 516, 520, 521, 531, 580, 589, 620, 627, 636, 657
– – в квантовой механике 338
– – молекулы 232
– – определение 62, 162
– – сохранение см. сохранение импульса момента
– инерции 184, 185, 191, 193, 194, 200, 202, 210, 223, 342, 502, 611
– силы 49, 179, 185, 187, 191
Монохроматическая волна 383, 391, 395, 398, 400, 405–408, 476, 691
Мощность 26, 100, 101, 104, 109, 127–129, 207, 238, 358, 359, 383–385, 390–392, 556, 557, 590, 594, 595, 619, 731
– цепь переменного тока 541
– электрическая 305, 320, 350
Мюон 165, 174, 513, 532, 618, 628, 652, 661, 712, 715

Н

Напряжение переменное 305, 344, 350, 352, 355, 357, 359, 363, 562
Невесомость 72, 88, 89, 94, 95
Нейтрино 136, 141, 160, 165, 263, 579, 586, 587, 596, 602, 610, 618, 621, 622, 638, 641, 654, 655, 661, 662, 669, 670, 676, 693, 709, 712, 714–718, 727
Нейтрон 1, 19, 20, 91, 263, 572, 580, 581, 583, 587–589, 594, 596, 605, 607, 610, 617, 621, 631, 632, 717
– взаимодействие с протоном 166, 481, 488, 568, 573–579, 614, 628, 647, 651, 704, 713, 716, 724
– поглощение 586, 587, 590, 593
– распад 164, 590, 602, 622, 629, 638, 654, 655, 657
Нейтронная звезда 604, 605, 607, 609–611, 692, 708
Некогерентное излучение 427, 428, 431, 508
Необратимый процесс 244, 256, 346, 356, 257, 660
Нуклон 91, 568, 574, 576, 578, 580, 588, 589, 596, 597, 601, 604, 607, 608, 614, 631, 632, 673, 704, 713, 715, 716, 724
– фундаментальные силы 573, 577, 639, 647
Ньютон Исаак 28, 56, 63, 64, 82–87, 91, 92, 94, 272, 280, 373, 452, 679, 685
Ньютона законы 63–68, 70–73, 75–79, 83, 87, 89, 90, 98, 105, 116, 118, 179, 180, 187, 191, 213, 271, 304, 460, 635, 689

О

Образование звезд 169, 600, 713, 714, 717
Обратимый процесс 238
Объектив 445–447, 455
Одновременность 148, 154
Однородность времени и пространства 75, 626, 627
Оккама бритва 19, 28

Ом Ге•рг 303, 304
Ома закон 303, 304, 308, 320, 352, 356, 357, 540
Омметр 324
Оптическая накачка 507, 508
Орбиталь 516–518, 530, 531, 580
Орбитальный момент импульса 338, 500, 516, 580, 581
Основное состояние атома 483, 505, 507, 509–514, 529, 544, 545, 547, 558, 561, 583
Основные типы взаимодействий 573
Относительность 154
– общая теория 16, 17, 32, 136, 138, 150, 152, 154, 168, 169, 627, 628, 680, 687, 700
– принцип 141, 142, 347
– специальная теория 697, 724
Отражение волн 286, 391, 394, 405, 414, 419, 443, 455, 616, 636, 656–661, 670, 715
– – электромагнитных 394
– закон 451, 452
– поляризация 442, 443, 456
Отто цикл 239, 243, 246, 260
Очарованные частицы 636
Ошибки систематические 26
– случайные 33

П

Парадокс близнецов 137, 151, 152, 154
Паскаля закон 214
Паули Вольфганг 516, 517, 638, 641, 654
Паули принцип запрета 10, 516–518, 520, 521, 528, 531, 536
Переменный ток 353, 355, 373, 563
Переходный процесс 661
Периодическая система элементов 521, 522, 525
Периодичность элементов 519, 610, 631,
– группа 522, 523, 532
Период полураспада 144, 145, 581, 583–585, 587, 589, 594, 597, 598
Пион 144, 145, 155, 165, 172, 617, 628, 632, 637, 639, 642, 646, 659, 713
Плазма 286, 390, 593–595, 604, 605, 609, 612, 703, 704, 710, 712–714, 716, 720, 721, 725, 728
– электромагнитное излучение 390, 400
– удержание 593–595
Плазменная частота 286, 297
Планк Макс 460, 472, 701
Планка постоянная 193, 232, 430, 394, 460, 462, 471, 473, 507, 510, 616, 620, 699
Плоский ток 330, 331, 374–376
– – излучение 373, 374
Плотность 21, 23, 66, 93, 131, 206, 208, 213, 268, 385, 392, 448, 569, 576, 596, 600, 685, 695, 701, 704, 708
– идеального газа 217, 220
– тока 49, 302, 320, 328, 390, 397, 401, 544
– электронного заряда 266, 275, 283, 285, 290, 303, 312, 318, 321, 330, 395, 617, 526, 530, 534, 549, 716
– энергии магнитной 294, 297, 332, 354, 355, 362, 392, 404
Поверхностный заряд 273, 277, 283, 319, 323, 385
Поглощение 305, 375, 383, 390, 393, 394, 404, 440, 449, 462, 463, 479, 481, 504, 507, 508, 513, 554, 557, 571, 586, 587, 590, 593, 596, 597, 622, 623, 625, 630, 701
Позитрон 164, 165, 170, 579, 586, 602, 618, 619, 639, 645, 648–650, 659, 663, 716
Пойнтинга вектор 392, 402, 410
Показатель преломления 396, 397, 399, 405, 410, 443, 454, 455, 459
Поле гравитационное 92, 93, 168, 169, 266, 280, 287, 595, 611, 612, 667–680, 684–687, 689–691, 694, 708
– излучения 375, 385, 393, 397, 398, 401, 402, 414, 452, 508
– физическая реальность 393, 394
Полное внутреннее отражение 561
Полупроводник 367, 533, 535, 548–552, 555–557, 562
Поляризатор 439, 440, 455
Поляризация 441, 443, 453, 647, 649, 650, 663, 691, 709
– круговая циркулярная 438, 439
– при отражении 442, 456
– света 438, 441
Полярная молекула 296
Поляроид 440–443, 469
Поперечное сечение 25, 26, 32, 118, 129–131, 134, 207, 208, 304, 305, 332, 337, 366, 440, 572
Порог слышимости 207, 208, 212
Последовательное соединение цепи 297, 306–308, 325, 345, 356–358, 360, 363, 562
Постоянный магнит 310, 349
Потенциальная энергия 98, 105, 106, 109, 114–117, 123, 124, 126, 131, 186, 202–204, 206, 208, 224, 233, 234, 287, 296, 485, 489, 495, 497, 498, 510, 519, 526, 531, 537, 539, 540, 544, 552, 558, 573, 574, 579, 584, 601, 649, 666, 667, 707, 708, 724, 725
– – пружины 108, 109
– – электрическая 287, 291, 296
Потенциальная яма 462, 463, 472, 483, 484, 486, 495, 536, 539, 544, 545, 547, 559, 561, 573-580, 596, 666
– – конечной глубины 486–488, 491
Поток магнитный 328, 329, 339, 344, 345, 347–349, 351, 362, 363, 369, 611
– самоиндукции 351
Правило многоугольника 48, 49, 58
– правой руки 176, 177, 314, 315, 348, 349, 395
Преломления закон 453–46, 560
Преобразования полей 318, 320, 322
Приборная ширина линии 422, 423, 444
Приведенная масса 200, 281
Призма 399
Принцип неопределенности 477–479, 481, 491
– суперпозиции 265, 290, 468, 645, 667
– эквивалентности 91, 92, 168, 170, 679, 685, 690, 694, 709
Принципы симметрии 75, 257
Продукты деления 589, 591, 593, 594, 597
Проникновение сквозь барьер 558–560, 562, 584, 593, 596
Простое гармоническое движение 38, 196, 197, 200, 202, 205–207, 489
– – – энергия 202
Протон 19, 20, 61, 91, 164–166, 231, 262, 263, 447, 450, 472, 488, 495, 527–529, 571, 573, 574, 576–581, 587, 588, 596, 601–604, 607, 610, 614, 616–621, 629, 631, 632, 636, 637, 642, 646, 647, 649, 651, 652, 655, 675, 704, 710, 713–717, 724, 730
– пучок 173, 449, 451, 455, 672
– сердцевина 450, 451, 571
– структура 451
Протонов рассеяние на протонах 450, 451, 456, 458
Протон-протонный цикл 602
Пружина, потенциальная энергия 106, 108, 205, 206, 383
– сила 62, 196
Птолемей 86
Пузырьковая камера 165, 217
Пульсар 136, 401, 605, 610, 611, 678, 692–694
Пучок электронов 20, 324, 466, 473, 474, 526, 564, 571, 595, 616
p-n-переходы 552–555, 557, 562
пи-мезон *см.* Пион

Р

Работа 98, 121, 123, 124, 225, 230, 231, 238, 240, 247, 259, 293, 344, 345, 347, 363, 364
– выхода 463, 472, 539, 561
– моля идеального газа 237
Равновесие 123, 196, 203, 208, 540, 603, 610, 710, 712, 714, 715, 716, 725
– тепловое 222, 223, 236, 539, 551, 700, 703
Радиоактивность 196, 481, 507, 585, 586, 588, 591, 598, 595, 596
Радиоактивный распад 144, 583, 584, 621, 653
– – кривая 584, 585, 589
Радиоастрономия 699
Радиометр 394
Радиопередатчик 403, 508
Радиотелескоп 401, 429, 430, 610, 689, 692, 708
Разность потенциалов 287, 289, 290, 292, 293, 297, 303, 305, 307, 308, 339, 344, 360, 390, 519, 539, 540, 552, 553, 561, 562, 619

Разрешающая способность 422, 423, 428, 444, 445–447, 451, 616
– – лазерный пучок 447
– – телескоп 444, 455
Ракета 31, 53, 76, 77, 168, 687, 706
– многоступенчатая 77
Распределение по импульсам 478, 491
Реактор гибридный 594
– ядерный 1, 32, 568, 583, 588, 591, 594
Резонанс 357, 416, 641
Резонансная частота 353, 357, 358, 366, 417
Релятивистское сложение скоростей 159, 160, 170
Рентгеновское излучение 447, 449, 465, 471, 525, 536, 531, 693

С

Самоиндукция 351
– ЭДС самоиндукции 351, 362
Сверхновая звезда 169, 605, 609, 610, 692, 703
Сверхпроводимость 352, 394, 533, 541, 543, 544, 558
Сверхтекучесть 533, 557, 558
Свет 15, 136, 138–140, 149, 150, 160, 262, 305, 372, 396, 421, 428, 435, 441, 448, 460, 466, 555, 560, 605, 616, 626, 680
– давление 394, 410
– красное смещение 150, 151, 168, 680, 686, 688, 697
– поляризация 438, 439, 441, 442, 451–453, 456
– скорость 22, 38, 64, 136, 138, 141, 143, 144, 151, 154, 160, 163, 166, 168, 264, 294, 312, 413, 396, 400, 461, 539, 611, 624, 670, 691, 726
Световой луч 143, 169, 171, 422, 425, 680, 688, 693
Светодиод 533, 555, 557
Свободное расширение газа 221, 222, 254, 256
Сила 19, 20, 21, 62, 66, 67, 71, 98, 105, 117, 167, 175, 179, 519, 541, 568, 573
– взаимодействия 28, 34, 65, 67, 69, 105, 106, 116, 179, 180, 311, 312, 646
– внешняя 61, 63, 64, 66, 76, 100, 116, 131, 179, 181, 485
– выталкивающая 217, 226
– гармоническая 38, 196, 208, 489
– гравитационная (тяжести) 42, 57, 61, 65–67, 71, 72, 75, 78, 82–86, 88, 91, 94–96, 99, 100, 105, 109, 133, 167–170, 192, 213, 214, 226, 262–266, 275, 276, 280, 410, 412, 495, 602, 604, 609–611, 721, 724
– единицы измерения 21, 66, 67
– консервативная 105, 106, 109, 114, 116, 123, 290
– контактная 67, 69, 72, 77, 78, 82
– магнитная 264, 302, 310, 312–314, 316, 320, 321, 334, 345, 347, 363
– трения 67, 69, 70, 72, 78, 123, 128, 131, 205, 255, 622
– упругая 205
– центральная 178, 179, 191
– электрическая 262, 266, 272, 275, 287, 291, 312
– электромагнитная 61, 105, 310, 316
– электростатическая 61, 110, 262, 287, 290, 313, 316, 495, 642
Силовые линии 286–271, 275, 279, 282, 284, 288, 289, 314, 328, 329, 332, 334, 336, 339, 350, 375, 376, 543
Сильное взаимодействие 257, 568, 573, 617, 623, 630–632, 638, 644–647, 651, 669, 672, 673, 675, 712, 715
Синтез ядер 98, 152, 588, 592, 604
Скорость волны 379, 380–384, 389, 397, 399, 400, 401, 405, 408, 479
– вторая космическая 120, 131, 542, 611, 706
– групповая 400, 405, 406, 408, 410, 479, 491
– дрейфа 303–305, 312
– звука 25
– мгновенная 35, 36, 41, 43
– относительная 77, 80, 125, 145, 150, 152, 154, 222, 347
– первая космическая (орбитальная) 56, 57, 120
– постоянная 34, 37, 46, 47, 54, 59, 63, 64, 73, 78, 94, 99, 100, 102, 110, 111, 128, 130, 133, 141, 142, 182, 188, 191
– предельная 44, 81, 141
– простое гармоническое движение (ПГД) 196, 197, 207
– света, см. свет, скорость
– сложение 48–50, 58
– средняя 36, 37, 39, 43, 303–305
– угловая 175, 184, 189, 191, 345, 362
– центра масс 134, 182, 183
Снелла закон см. преломления закон
Соленоид 327, 331–333, 337, 338, 340, 351, 352, 354, 355, 362
Солнечная энергия 30, 31, 541
Солнечные батареи 30, 190, 306, 533, 554, 555, 557
Сопротивление воздуха 26, 38, 42, 64, 128, 129, 542
– электрическое 303, 304, 308, 320, 355, 356, 361, 540
– – полное цепи 306, 307
– – удельное 305
Соударения 117, 225, 233, 464, 508, 584, 617, 618, 626, 646, 717
– неупругие 124, 166
– упругие 118, 119, 131, 218
Сохранение импульса 163
– момента импульса 178–180, 636
– релятивистского импульса 161–163, 167, 172, 178
– энергии 114, 115, 117, 120, 123, 125
Спектр 372, 387, 399, 403, 404, 432, 437, 460, 483, 506–509, 513, 520, 525, 531–532, 609, 612, 613, 654, 686, 693, 696, 697, 699
– сплошной 507
Спектрометр 423, 428, 444
Спин электрона 516, 517, 523, 549, 558, 620
Спонтанное деление 166, 581, 589
– излучение 505, 507, 508
Спутник искусственный 50, 55–58, 94, 460, 690, 694, 728
– – стационарный 85
Среднее значение 27, 37, 39, 129, 202, 358, 359, 363, 384, 431, 436, 489, 504
Среднеквадратичное значение 152, 218, 221, 346, 359, 649
– отклонение 408, 476, 477, 491
Среднее время жизни
Средняя длина свободного пробега 304, 322, 540, 561
Степень свободы 223, 226, 233, 550, 665
– – вращательная 224, 232, 234
Стоячие волны 395, 414–416, 495, 499, 500, 510, 516, 519, 529, 531, 536, 544, 574, 580, 596, 703
– – двумерные 496
– – квантовой механике 482, 483, 485, 486, 489–491
– – трехмерные 500
Странность 633, 636–638, 640
– сохранение 632
Странные частицы 632, 636, 638, 640
Струна, колебания 205–207, 369, 379, 381–283, 416, 417, 430, 482
Сферическое распределение заряда 279, 296
CP-инвариантность 660, 715

Т

Твердое тело 93, 112, 184, 186, 188, 191, 234
Телевидение 311, 353, 357, 562, 564–566
Телескоп 444–448, 694, 703
– отражательный 452
– увеличение 445, 452, 455
Температура 21–23, 1-6, 152, 231, 217, 219–222, 224–226, 230, 232–236, 241, 244, 246, 248–250, 254, 255, 259, 296, 303, 304, 320, 448, 534, 539–541, 543, 549, 551, 552, 557–559, 561, 592–594, 597, 601, 602, 605, 606, 609, 665, 600–705, 710–719, 723, 727, 728, 730
– термодинамическая шкала 252, 259
Теорема о связи работы и энергии 103, 105, 109, 123
Теплота 123, 205, 225, 230, 237, 240, 245, 247–251, 253, 254, 259, 391, 393
– *джоулевы* потери 129, 305, 390, 396
– механический эквивалент 225
Тепловое загрязнение 246, 247
Тепловые насосы 98, 247–249, 255
Теплоемкость 202, 232–234, 240, 254, 601
– при постоянном давлении 235
– – – объеме 232
Термистор 533, 552, 557

Термодинамика 213, 222
— закон второй 222, 244, 249, 250, 252, 255–257, 259–261
— — нулевой 222, 226
— — первый 222, 230, 240, 245, 249, 252
Термометр 219, 220
Термоэлектронная эмиссия 558, 559
Термоядерная реакция 221, 595, 600–602, 604
— энергия 31, 98, 593, 595, 596, 609
Тесла (Тл) 313, 316, 317, 731
Ток в *p-n*-переходе 553
— смещения 369–371
Точечный заряд 267, 270, 271, 287, 296, 312, 330, 401, 402, 405, 511, 514, 635, 650
— — движущийся 312, 319, 402
Траектория 46, 47, 53, 58, 75, 87, 104, 144, 168, 178, 315, 324, 648, 649, 679, 680, 690
Транзистор 533, 555–557, 562
Трансформатор 350, 362
Трение 62, 67, 69–73, 78, 99, 100, 105, 106, 109, 120, 123, 128, 129, 131, 205, 224–226, 240, 246, 542, 612, 622
— коэффициент динамический 69
— — статический 69
Тритий 593–595
Турбулентность 240, 446
Тяжелое ядро 166, 576–579, 583, 588, 591, 653, 654
Тау-лептон 712, 715

У

Угловая скорость 175, 184, 189, 191, 345, 362
Уитстона мост 309, 310
Ультрафиолетовая область спектра 434, 447, 483, 507, 509, 525, 693
Уравнение состояния идеального газа 217, 219, 226, 232
Уран 166, 481, 581, 583, 587–592, 594
Ускорение 21, 24, 34, 37, 39, 41–43, 49, 50, 55, 56, 58, 61–67, 71–74, 77, 82, 86, 91, 92, 94, 99, 128, 168, 197, 294, 313, 315, 369, 373, 382, 385, 393, 397, 401, 402, 405, 508, 610, 619, 677, 697, 685, 686, 690, 709, 720, 721, 728, 729
— мгновенное 38, 43
— постоянное 37, 38, 43–45, 53, 58, 110, 128, 176, 196
— простое гармоническое движение 38, 196, 200, 205–207
— свободного падения 38, 47, 57, 70, 84, 92, 603
— угловое 176, 191
— центростремительное 29, 54, 55, 58, 75, 121
Ускорители частиц высоких энергий 144, 166, 173, 300, 316, 444, 447, 451, 614–617, 619, 631, 646, 651, 655, 672, 673, 676

Ф

Фазовое пространство 606, 566
Фарад (Ф) 292
Фарадея закон 15, 320, 344–348, 350, 351, 362, 364, 369, 371, 385
Фейнман Ричард 14, 468, 624, 652
Ферми (фм) 451, 569, 571, 581
Ферми Энрико 1, 14, 536, 587, 590, 591, 617, 620, 651, 654, 655, 661, 664
Ферми граничная энергия 16, 463, 537–539, 561, 578, 596, 606, 607
— граничный импульс 538, 606
— уровень 474, 536, 537, 539, 540, 549, 552, 559, 561, 577, 578
Ферромагнитные материалы 665
Формула тонкой линзы 454
Фотодиод 555
Фотон 19, 141, 145, 160, 164, 263, 394, 400, 429, 439, 449, 462–466, 472, 473, 478, 479, 481, 483, 491, 507, 525, 526, 531, 554, 555, 573, 578, 602, 620–623, 630, 652, 659, 661, 669
— излучение 169, 428, 504, 505, 507, 508, 513, 522, 586, 596, 625, 645, 647, 700, 702, 703
— масса гравитационная 167
Фотоэффект 461–465, 472, 481, 539
Франклин Бенджамин 303
Фраунгофера приближение 418, 443
Фурье интеграл 379
Фурье-образ 408
Фурье разложение 377, 378

Х

Холодильники 213, 247–249, 251, 255
Хэнбери Брауна и *Твисса* метод 428

Ц

Цепная реакция 508, 589–591
Цепь тока переменного 355, 356
— — — соединение параллельное 298, 356
— — — — последовательное 356
— — постоянного 306, 363

Ч

Чандрасекара предел 604, 609
Частица в потенциальной яме конечной глубины, см. потенциальная яма конечной глубины
— — ящике 481–484, 489, 491, 492, 496, 497, 536–538, 540, 700, 701, 703
Черная дыра 16, 136, 169, 603, 605, 611–613, 692, 694, 727
Четвертое измерение 147
Четность 16, 257, 656–659, 661, 662, 669, 715

Ш

Шварцшильда радиус 611, 612, 685
Шредингера уравнение 485, 486, 489, 490, 498, 504, 509, 517, 528, 529, 560, 575
— — в трех измерениях 496, 497, 498, 512
— — стационарное 485, 486

Э

Эйнштейн Альберт 38, 92, 137, 138, 141–143, 152, 159, 161–164, 168, 169, 400, 461, 462, 464, 469, 472, 558, 591, 612, 615, 639, 678, 679, 683, 686–689, 693, 694, 701, 704, 706, 721
Эйнштейна уравнение 159, 615, 704, 721
Эквипотенциальная поверхность 291
Эквивалентность массы и энергии 164, 168, 724
Электрический потенциал 279, 286, 287, 290, 296, 297, 552, 661
— ток 23, 250, 302, 320, 395, 440, 540, 547
— — амперовский 337
— — единицы измерения 302, 312, 335
— — релятивистское преобразование 318, 321
Электрическое поле 49, 266–269, 272–275, 279, 282, 283, 286, 288–291, 294–297, 313, 316, 318–320, 330, 344, 347, 355, 369, 372, 373, 375, 390, 396, 398, 414, 436, 451, 461, 508, 554, 558, 619, 647, 660, 723
Электродвигатель 260, 346, 349
Электродвижущая сила (ЭДС) 306, 309, 344–347, 349–351, 360, 363, 364
— — индуцированная 347, 348, 362
— — магнитная 344
Электромагнитная волна 141, 150, 207, 355, 369, 372, 373, 379, 383, 384, 390, 394, 396, 400, 404, 405, 414, 416, 424, 430, 438, 455, 469, 508, 563, 610, 691, 725
— индукция 136, 320, 344
— сила 20, 61, 105, 262, 310
Электромагнитное поле 318, 355, 362, 373, 622, 623, 627, 630, 639, 642, 645, 647–660, 663, 723, 725
— — энергия 507, 659
Электрон 19, 20, 22, 29, 61, 164, 165, 170, 231, 262, 272, 285, 286, 296, 297, 302, 310, 313, 315, 336, 395–398, 400, 403–405, 456, 461–467, 469, 470, 480, 481, 483, 487, 495, 499, 501–503, 505, 507–510, 513, 516–529, 531, 534–541, 544, 547, 549–552, 554–556, 558–562, 569–571, 573, 577, 586–588, 595, 596, 601, 604–610, 614–616, 619–621, 623–626, 628, 631, 639, 645, 647–650, 652, 654, 657–659, 661–664, 669–671, 710, 712, 715, 716, 719
— заряд 263
— магнитный момент 338, 340
— проводимости 272, 274, 291, 302–305, 311, 312, 320, 321, 345, 347, 348, 472, 535–537, 540, 541, 551, 552, 554, 555, 558, 561, 562
— радиус 298, 395, 511

Электронвольт 100, 290, 291, 473–474, 525, 539, 565, 579, 615, 631, 638, 647, 660, 672, 716
Электронная орбиталь 27, 516–518, 530, 531, 580
Электронное облако 281, 282, 296, 395, 396, 404, 480, 501, 511, 527, 528, 530, 532, 534, 536, 560, 645
– сродство 521, 523, 526
Электронные конфигурации атомов 522, 523, 525, 727, 731
Электропроводность 305, 390, 391, 540, 551, 561
Энергия 98, 103, 105, 107, 108, 113, 114, 120, 122, 123, 126, 128, 131, 162, 164, 166, 170, 202, 222, 352, 383, 390, 600
– в катушке индуктивности 354, 362
– внутренняя 106, 124, 126, 224–226, 230, 234, 237, 240
– внутриядерная 126, 162
– гравитационная 120, 602, 667, 690
– – потенциальная 107–109, 112, 121, 122, 225, 607
– закон сохранения 98, 113, 114, 116, 124, 126, 131, 163, 173, 230, 240, 250, 354, 366, 390, 460, 464, 483, 507, 589, 618, 623, 638, 639, 641, 648, 653, 654, 713
– ионизация 518, 526
– кинетическая, см. кинетическая энергия
– конденсатора 293, 294, 297
– магнитного поля 35, 354
– – – плотность 354, 365
– механическая 113–116, 122, 129, 131, 213, 230, 235, 239, 240, 245, 249, 251, 254, 259, 306, 403, 607
– молекулы 204, 219, 224, 228, 233, 293
– основного состояния 483, 545
– полная 122–124, 166, 167, 294, 464, 484, 485, 489, 539, 587, 605–608, 649, 666, 702, 704, 706, 707, 723–725
– потенциальная, см. потенциальная энергия
– распределение зарядов 279
– релятивистская 163, 167, 316, 464
– связи 499, 518, 525, 527, 575, 577, 578, 588
– – ядерная 578
– тепловая 98, 109, 118, 124–126, 131, 225, 226, 230, 239, 249, 250, 251, 534, 539, 559, 601, 604, 607, 612, 713, 727
– химическая 98, 126, 127, 249, 306
– электрического поля 226, 286, 294, 354, 355, 377, 392, 558
– – – плотность 297, 355, 392
Энтропия 213, 250, 252
Эрг 100, 692, 731
Этвеш 92, 686, 690

Ю

Юкава 639

Я

Ядерное вещество 569, 580
Ядерные силы 61, 488, 568, 573–576, 579, 586, 592, 597
Янг 657, 658